

AC NG

Géochimie

De	À	Numéro	Longueur	U (ppm)	V (ppm)	W (ppm)	Zn (ppm)
29.50	30.00	P151051	0.50	-10	51	-10	47
60.00	60.50	P151052	0.50	-10	64	-10	71
90.00	90.50	P151053	0.50	-10	53	-10	57
120.00	120.50	P151054	0.50	-10	48	-10	48
150.00	150.50	P151055	0.50	-10	48	-10	42

MAUDORE MINERALS Ltd

Sondage : COM-12-896C  
 Titre minier : 5081419  
 Section : 1587.5E  
 Canton : Comtois  
 Niveau : Surface  
 Rang : IX  
 Place de travail : Lebel-Sur-Quévillon  
 Foré par : Forage Orbit Garant  
 Lot : 40  
 Décrit par : N. Guivarch, C. Blanchette  
 Du : 2012-05-06  
 Date de description : 2012-05-14  
 Au :

Collet

Azimut : 195.00°  
 Plongée : -71.50°  
 Longueur : 1 158.00 m

	UTM	Locales	GREER
Est	340 747.77	1 584.12	3 367.42
Nord	5 444 658.00	1 445.55	2 886.94
Élévation	288.10	288.10	288.10

Déviations

Type	Profondeur	Azimut	Plongée	Invalide	Description
Reflex	0.00	195.00°	-71.50°	Non	
Reflex	3.00	116.40°	-45.80°	Oui	56163
Reflex	6.00	353.30°	-71.70°	Oui	56326
Reflex	9.00	179.50°	-71.10°	Oui	29370
Reflex	12.00	11.20°	-70.90°	Oui	44588
Reflex	15.00	355.90°	-71.40°	Oui	40003
Reflex	18.00	87.00°	-71.80°	Oui	58315
Reflex	21.00	336.90°	-71.70°	Oui	57419
Reflex	24.00	302.60°	-71.60°	Oui	31393
Reflex	27.00	224.30°	-71.40°	Oui	6755
Reflex	30.00	195.90°	-71.30°	Oui	57741
Reflex	33.00	195.30°	-71.20°	Non	55913

Description

OSH-12-09. Position collet, arpenté Juin 2012, par Descarreaux & Dubé.



*Signature: C. Blanchette*  
*Initials: NS*

Dimension de la carotte : Carotte NQ      Cimenté : Non      Entreposé : Oui

MAUDORE MINERALS Ltd

KING 03

Déviation

Type	Profondeur	Azimut	Plongée	Invalide	Description
Reflex	36.00	195.20°	-71.00°	Non	55381
Reflex	39.00	194.20°	-71.00°	Non	55327
Reflex	42.00	194.70°	-70.90°	Non	55441
Reflex	45.00	194.10°	-70.80°	Non	54830
Reflex	48.00	193.70°	-70.70°	Non	54648
Reflex	51.00	193.60°	-70.50°	Non	54782
Reflex	54.00	194.00°	-70.30°	Non	54777
Reflex	57.00	194.00°	-70.20°	Non	54810
Reflex	60.00	194.70°	-70.00°	Oui	54956
Reflex	63.00	193.70°	-69.90°	Non	54879
Reflex	66.00	193.60°	-69.70°	Non	54706
Reflex	69.00	194.00°	-69.40°	Non	54791
Reflex	72.00	193.80°	-69.30°	Non	54860
Reflex	75.00	193.60°	-69.20°	Non	54672
Reflex	78.00	193.90°	-69.20°	Non	54822
Reflex	81.00	193.90°	-69.20°	Non	54861
Reflex	84.00	193.70°	-69.20°	Non	54745
Reflex	87.00	193.60°	-69.20°	Non	54707
Reflex	90.00	193.50°	-69.20°	Non	54746
Reflex	93.00	193.70°	-69.10°	Non	54725
Reflex	96.00	193.70°	-69.10°	Non	54719
Reflex	99.00	193.60°	-69.10°	Non	54755
Reflex	102.00	193.60°	-69.10°	Non	54755
Reflex	105.00	193.60°	-69.10°	Non	54717
Reflex	108.00	193.50°	-69.00°	Non	54698
Reflex	111.00	193.50°	-69.00°	Non	54738
Reflex	114.00	193.50°	-69.00°	Non	54716
Reflex	117.00	193.60°	-68.90°	Non	54720
Reflex	120.00	193.50°	-68.90°	Non	54745
Reflex	123.00	193.50°	-68.90°	Non	54762
Reflex	126.00	193.40°	-68.80°	Non	54754
Reflex	129.00	193.30°	-68.90°	Non	54704
Reflex	132.00	193.20°	-68.80°	Non	54754
Reflex	135.00	193.00°	-68.80°	Non	54701

MAUDORE MINERALS Ltd

AC NG 03

Déviation

Type	Profondeur	Azimet	Plongée	Invalide	Description
Reflex	138.00	192.70°	-68.80°	Non	54811
Reflex	141.00	192.70°	-68.70°	Non	54891
Reflex	144.00	192.30°	-68.60°	Non	55021
Reflex	147.00	191.20°	-68.60°	Oui	55095
Reflex	150.00	193.00°	-68.70°	Non	55234
Reflex	153.00	192.80°	-68.70°	Non	54813
Reflex	156.00	193.50°	-68.60°	Non	54884
Reflex	159.00	193.60°	-68.70°	Non	54766
Reflex	162.00	194.00°	-68.70°	Non	54763
Reflex	165.00	193.80°	-68.70°	Non	54731
Reflex	168.00	193.80°	-68.70°	Non	54757
Reflex	171.00	194.10°	-68.70°	Non	54783
Reflex	174.00	194.00°	-68.70°	Non	54745
Reflex	177.00	193.90°	-68.70°	Non	54752
Reflex	180.00	194.20°	-68.70°	Non	54800
Reflex	183.00	194.10°	-68.70°	Non	54735
Reflex	186.00	193.90°	-68.60°	Non	54726
Reflex	189.00	194.10°	-68.60°	Non	54829
Reflex	192.00	194.30°	-68.50°	Non	54824
Reflex	195.00	194.00°	-68.50°	Non	54720
Reflex	198.00	193.80°	-68.50°	Non	54820
Reflex	201.00	194.10°	-68.50°	Non	54789
Reflex	204.00	194.10°	-68.50°	Non	54714
Reflex	207.00	194.40°	-68.40°	Non	54776
Reflex	210.00	193.70°	-68.40°	Non	54679
Reflex	213.00	193.40°	-68.40°	Non	54687
Reflex	216.00	193.90°	-68.30°	Non	54719
Reflex	219.00	193.70°	-68.30°	Non	54734
Reflex	222.00	193.70°	-68.30°	Non	54713
Reflex	225.00	193.70°	-68.20°	Non	54733
Reflex	228.00	193.80°	-68.20°	Non	54720
Reflex	231.00	193.70°	-68.20°	Non	54726
Reflex	234.00	193.80°	-68.20°	Non	54717
Reflex	237.00	193.70°	-68.20°	Non	54702

MAUDORE MINERALS Ltd

KC NG CP

Déviations

Type	Profondeur	Azimut	Plongée	Invalide	Description
Reflex	240.00	193.70°	-68.10°	Non	54720
Reflex	243.00	193.70°	-68.10°	Non	54722
Reflex	246.00	193.60°	-68.00°	Non	54722
Reflex	249.00	193.80°	-68.00°	Non	54720
Reflex	252.00	193.80°	-68.00°	Non	54739
Reflex	255.00	193.70°	-67.90°	Non	54724
Reflex	258.00	193.70°	-67.80°	Non	54719
Reflex	261.00	193.50°	-67.80°	Non	54733
Reflex	264.00	193.50°	-67.70°	Non	54732
Reflex	267.00	193.40°	-67.70°	Non	54718
Reflex	270.00	193.40°	-67.60°	Non	54714
Reflex	273.00	193.60°	-67.50°	Non	54707
Reflex	276.00	193.70°	-67.40°	Non	54694
Reflex	279.00	193.70°	-67.40°	Non	54676
Reflex	282.00	193.50°	-67.30°	Non	54726
Reflex	285.00	193.50°	-67.30°	Non	54964
Reflex	288.00	193.50°	-67.30°	Non	54691
Reflex	291.00	193.40°	-67.20°	Non	54801
Reflex	294.00	193.50°	-67.20°	Non	54961
Reflex	297.00	193.40°	-67.10°	Non	54790
Reflex	300.00	193.60°	-67.10°	Non	54744
Reflex	303.00	193.60°	-67.10°	Non	54751
Reflex	306.00	193.60°	-67.00°	Non	54744
Reflex	309.00	193.50°	-67.00°	Non	54722
Reflex	312.00	193.80°	-66.90°	Non	54706
Reflex	315.00	193.70°	-66.90°	Non	54706
Reflex	318.00	193.80°	-66.90°	Non	54721
Reflex	321.00	193.70°	-66.90°	Non	54718
Reflex	324.00	193.80°	-66.80°	Non	54717
Reflex	327.00	193.80°	-66.80°	Non	54717
Reflex	330.00	193.70°	-66.80°	Non	54660
Reflex	333.00	193.90°	-66.70°	Non	54757
Reflex	336.00	194.30°	-66.70°	Non	54264
Reflex	339.00	193.80°	-66.70°	Non	54721

## Déviation

Type	Profondeur	Azimut	Plongée	Invalide	Description
Reflex	342.00	193.90°	-66.80°	Non	54694
Reflex	345.00	193.70°	-66.80°	Non	54693
Reflex	348.00	194.10°	-66.70°	Non	54692
Reflex	351.00	194.00°	-66.70°	Non	54702
Reflex	354.00	195.60°	-66.70°	Oui	54864
Reflex	357.00	194.20°	-66.70°	Non	54831
Reflex	360.00	194.20°	-66.70°	Non	54602
Reflex	363.00	194.30°	-66.60°	Non	54734
Reflex	366.00	194.10°	-66.60°	Non	54700
Reflex	369.00	194.30°	-66.60°	Non	54651
Reflex	372.00	193.40°	-66.60°	Oui	54584
Reflex	375.00	193.00°	-66.60°	Oui	54722
Reflex	378.00	194.40°	-66.60°	Non	54727
Reflex	381.00	194.50°	-66.60°	Non	54818
Reflex	384.00	194.40°	-66.50°	Non	54715
Reflex	387.00	194.30°	-66.50°	Non	54705
Reflex	390.00	194.50°	-66.50°	Non	54738
Reflex	393.00	194.80°	-66.30°	Non	54979
Reflex	396.00	194.80°	-66.30°	Non	54734
Reflex	399.00	194.70°	-66.20°	Non	54717
Reflex	402.00	194.80°	-66.10°	Non	54719
Reflex	405.00	194.70°	-66.00°	Non	54679
Reflex	408.00	194.70°	-66.00°	Non	54747
Reflex	411.00	194.50°	-65.90°	Non	54856
Reflex	414.00	194.80°	-65.80°	Non	54708
Reflex	417.00	194.80°	-65.70°	Non	54721
Reflex	420.00	195.00°	-65.60°	Non	54827
Reflex	423.00	194.90°	-65.30°	Non	54801
Reflex	426.00	195.60°	-65.10°	Non	54840
Reflex	429.00	196.00°	-64.90°	Non	54680
Reflex	432.00	196.40°	-64.60°	Non	54673
Reflex	435.00	196.50°	-64.40°	Non	54703
Reflex	438.00	196.60°	-64.20°	Non	54679
Reflex	441.00	196.70°	-64.00°	Non	54678

AC NG ER

Déviations

Type	Profondeur	Azimut	Plongée	Invalide	Description
Reflex	444.00	196.80°	-63.90°	Non	54692
Reflex	447.00	196.70°	-63.80°	Non	54691
Reflex	450.00	196.40°	-63.70°	Non	54696
Reflex	453.00	196.60°	-63.70°	Non	54703
Reflex	456.00	196.70°	-63.60°	Non	54724
Reflex	459.00	196.60°	-63.50°	Non	54714
Reflex	462.00	197.10°	-63.50°	Non	54652
Reflex	465.00	196.50°	-63.50°	Non	54745
Reflex	468.00	196.40°	-63.40°	Non	54714
Reflex	471.00	196.90°	-63.40°	Non	54648
Reflex	474.00	197.00°	-63.40°	Non	54653
Reflex	477.00	196.40°	-63.40°	Non	54726
Reflex	480.00	196.60°	-63.40°	Non	54713
Reflex	483.00	196.60°	-63.30°	Non	54713
Reflex	486.00	196.80°	-63.30°	Non	54677
Reflex	489.00	196.50°	-63.30°	Non	54721
Reflex	492.00	196.60°	-63.30°	Non	54775
Reflex	495.00	196.60°	-63.30°	Non	54738
Reflex	498.00	196.50°	-63.30°	Non	54714
Reflex	501.00	196.70°	-63.30°	Non	54672
Reflex	504.00	196.40°	-63.30°	Non	54696
Reflex	507.00	196.50°	-63.20°	Non	54713
Reflex	510.00	196.70°	-63.20°	Non	54718
Reflex	513.00	196.50°	-63.20°	Non	54788
Reflex	516.00	196.50°	-63.20°	Non	54730
Reflex	519.00	196.60°	-63.20°	Non	54711
Reflex	522.00	196.50°	-63.10°	Non	54732
Reflex	525.00	196.20°	-63.10°	Non	54754
Reflex	528.00	196.30°	-63.10°	Non	54753
Reflex	531.00	196.20°	-63.10°	Non	54731
Reflex	534.00	196.30°	-63.10°	Non	54731
Reflex	537.00	196.40°	-63.10°	Non	54719
Reflex	540.00	196.50°	-63.00°	Non	54714
Reflex	543.00	196.50°	-63.00°	Non	54709

AC NG CS

Déviations

Type	Profondeur	Azimet	Plongée	Invalide	Description
Reflex	546.00	196.50°	-63.00°	Non	54709
Reflex	549.00	196.70°	-63.00°	Non	54723
Reflex	552.00	196.60°	-63.00°	Non	54721
Reflex	555.00	196.50°	-62.90°	Non	54714
Reflex	558.00	196.60°	-63.00°	Non	54723
Reflex	561.00	196.40°	-62.90°	Non	54681
Reflex	564.00	196.60°	-62.90°	Non	54733
Reflex	567.00	196.50°	-62.90°	Non	54710
Reflex	570.00	196.60°	-62.90°	Non	54668
Reflex	573.00	196.40°	-62.90°	Non	54708
Reflex	576.00	196.90°	-62.90°	Non	54823
Reflex	579.00	197.50°	-62.80°	Oui	54790
Reflex	582.00	196.50°	-62.80°	Non	54690
Reflex	585.00	196.40°	-62.80°	Non	54760
Reflex	588.00	196.10°	-62.80°	Non	54660
Reflex	591.00	196.60°	-62.80°	Non	54662
Reflex	594.00	196.40°	-62.70°	Non	54725
Reflex	597.00	192.80°	-62.60°	Oui	55054
Reflex	600.00	197.00°	-62.60°	Non	54970
Reflex	603.00	196.20°	-62.50°	Oui	55042
Reflex	606.00	197.30°	-62.50°	Non	54934
Reflex	609.00	197.50°	-62.40°	Non	54772
Reflex	612.00	197.30°	-62.40°	Non	54702
Reflex	615.00	197.30°	-62.40°	Non	54721
Reflex	618.00	197.50°	-62.30°	Non	54759
Reflex	621.00	197.30°	-62.30°	Non	54725
Reflex	624.00	197.50°	-62.30°	Non	54729
Reflex	627.00	197.30°	-62.30°	Non	54803
Reflex	630.00	197.80°	-62.30°	Non	54738
Reflex	633.00	197.90°	-62.30°	Non	54675
Reflex	636.00	197.60°	-62.30°	Non	54646
Reflex	639.00	197.20°	-62.30°	Non	54702
Reflex	642.00	197.10°	-62.30°	Non	54729
Reflex	645.00	196.90°	-62.30°	Non	54712



AC NG 03

Déviation					
Type	Profondeur	Azimut	Plongée	Invalide	Description
Reflex	648.00	197.00°	-62.30°	Non	54899
Reflex	651.00	197.00°	-62.20°	Non	54733
Reflex	654.00	197.90°	-62.20°	Non	55147
Reflex	657.00	197.20°	-62.10°	Non	54808
Reflex	660.00	196.00°	-62.10°	Oui	54831
Reflex	663.00	197.50°	-62.00°	Non	54667
Reflex	666.00	196.60°	-62.00°	Non	54947
Reflex	669.00	196.70°	-62.00°	Non	55012
Reflex	672.00	197.80°	-62.00°	Non	54945
Reflex	675.00	197.30°	-62.00°	Non	54876
Reflex	678.00	197.10°	-61.90°	Non	54789
Reflex	681.00	196.70°	-61.90°	Non	54776
Reflex	684.00	197.20°	-61.90°	Non	55056
Reflex	687.00	197.50°	-61.80°	Non	54677
Reflex	690.00	197.60°	-61.80°	Non	54798
Reflex	693.00	197.30°	-61.80°	Non	54727
Reflex	696.00	197.50°	-61.70°	Non	54960
Reflex	699.00	197.10°	-61.60°	Non	54987
Reflex	702.00	195.70°	-61.60°	Oui	54864
Reflex	705.00	197.30°	-61.50°	Non	54820
Reflex	708.00	197.50°	-61.50°	Non	54794
Reflex	711.00	197.20°	-61.40°	Non	54785
Reflex	714.00	197.60°	-61.30°	Non	54674
Reflex	717.00	197.40°	-61.30°	Non	54724
Reflex	720.00	197.60°	-61.20°	Non	54704
Reflex	723.00	197.50°	-61.20°	Non	54696
Reflex	726.00	197.50°	-61.10°	Non	54710
Reflex	729.00	197.60°	-61.10°	Non	54680
Reflex	732.00	197.50°	-61.00°	Non	54675
Reflex	735.00	197.60°	-61.00°	Non	54683
Reflex	738.00	197.40°	-60.90°	Non	54679
Reflex	741.00	197.30°	-60.90°	Non	54648
Reflex	744.00	197.70°	-60.80°	Non	54668
Reflex	747.00	197.20°	-60.70°	Non	54674

MAUDORE MINERALS Ltd

AC NG CB

Déviation

Type	Profondeur	Azimet	Plongée	Invalide	Description
Reflex	750.00	197.40°	-60.70°	Non	54693
Reflex	753.00	197.50°	-60.60°	Non	54706
Reflex	756.00	196.90°	-60.60°	Non	54614
Reflex	759.00	197.40°	-60.50°	Non	54711
Reflex	762.00	197.60°	-60.50°	Non	54840
Reflex	765.00	196.80°	-60.50°	Non	54810
Reflex	768.00	197.40°	-60.50°	Non	54777
Reflex	771.00	198.10°	-60.50°	Non	54712
Reflex	774.00	198.00°	-60.40°	Non	54958
Reflex	777.00	197.10°	-60.40°	Non	54804
Reflex	780.00	197.00°	-60.40°	Non	54694
Reflex	783.00	197.20°	-60.40°	Non	54712
Reflex	786.00	197.20°	-60.40°	Non	54790
Reflex	789.00	197.30°	-60.40°	Non	54829
Reflex	792.00	196.60°	-60.40°	Oui	54822
Reflex	795.00	197.70°	-60.40°	Non	54764
Reflex	798.00	197.10°	-60.40°	Non	54858
Reflex	801.00	197.10°	-60.40°	Non	54862
Reflex	804.00	197.20°	-60.40°	Non	54840
Reflex	807.00	197.30°	-60.40°	Non	54743
Reflex	810.00	196.80°	-60.40°	Non	54860
Reflex	813.00	197.10°	-60.40°	Non	54921
Reflex	816.00	197.20°	-60.40°	Non	54959
Reflex	819.00	197.30°	-60.40°	Non	54972
Reflex	822.00	197.30°	-60.40°	Non	55013
Reflex	825.00	197.20°	-60.30°	Non	55206
Reflex	828.00	197.50°	-60.30°	Non	54900
Reflex	831.00	197.40°	-60.30°	Non	54883
Reflex	834.00	196.30°	-60.30°	Oui	55368
Reflex	837.00	197.10°	-60.30°	Non	54904
Reflex	840.00	197.30°	-60.30°	Non	55048
Reflex	843.00	197.20°	-60.30°	Non	54800
Reflex	846.00	197.30°	-60.20°	Non	54768
Reflex	849.00	197.10°	-60.20°	Non	54723

## MAUDORE MINERALS Ltd

AC NG CB

## Déviation

Type	Profondeur	Azimut	Plongée	Invalide	Description
Reflex	852.00	196.80°	-60.10°	Non	54784
Reflex	855.00	197.20°	-60.10°	Non	54612
Reflex	858.00	197.30°	-60.00°	Non	54770
Reflex	861.00	197.30°	-60.00°	Non	54747
Reflex	864.00	197.40°	-59.90°	Non	54714
Reflex	867.00	197.40°	-59.90°	Non	54722
Reflex	870.00	197.40°	-59.90°	Non	54735
Reflex	873.00	197.50°	-59.90°	Non	54770
Reflex	876.00	197.40°	-59.80°	Non	54819
Reflex	879.00	197.70°	-59.80°	Non	54767
Reflex	882.00	198.10°	-59.80°	Non	54752
Reflex	885.00	197.50°	-59.80°	Non	54667
Reflex	888.00	196.70°	-59.80°	Non	55187
Reflex	891.00	197.40°	-59.80°	Non	54786
Reflex	894.00	197.10°	-59.80°	Non	54907
Reflex	897.00	197.00°	-59.80°	Non	55101
Reflex	900.00	196.40°	-59.80°	Non	55224
Reflex	903.00	197.40°	-59.70°	Non	54617
Reflex	906.00	197.10°	-59.70°	Non	54685
Reflex	909.00	232.90°	-87.40°	Oui	23357
Reflex	912.00	197.90°	-59.60°	Non	54738
Reflex	915.00	197.30°	-59.60°	Non	55249
Reflex	918.00	197.80°	-59.60°	Non	55224
Reflex	921.00	197.80°	-59.60°	Non	55044
Reflex	924.00	196.00°	-59.60°	Oui	55117
Reflex	927.00	197.70°	-59.60°	Non	55350
Reflex	930.00	197.10°	-59.50°	Non	55260
Reflex	933.00	196.40°	-59.50°	Non	54814
Reflex	936.00	196.50°	-59.50°	Non	54870
Reflex	939.00	196.40°	-59.40°	Non	55066
Reflex	942.00	196.80°	-59.40°	Non	55149
Reflex	945.00	197.60°	-59.30°	Oui	55191
Reflex	948.00	195.70°	-59.30°	Non	54956
Reflex	951.00	195.80°	-59.30°	Non	55428

AL NG CB

Déviati

Type	Profondeur	Azimat	Plongée	Invalide	Description
Reflex	954.00	196.00°	-59.30°	Non	55707
Reflex	957.00	196.20°	-59.20°	Non	55601
Reflex	960.00	190.30°	-59.10°	Oui	54994
Reflex	963.00	196.20°	-59.10°	Non	55026
Reflex	966.00	197.20°	-59.00°	Non	55275
Reflex	969.00	196.20°	-59.00°	Non	55185
Reflex	972.00	195.70°	-58.90°	Non	55268
Reflex	975.00	194.90°	-58.90°	Non	55340
Reflex	978.00	195.40°	-59.00°	Non	55090
Reflex	981.00	195.80°	-58.90°	Non	54753
Reflex	984.00	195.90°	-58.90°	Non	55090
Reflex	987.00	196.10°	-58.80°	Non	55368
Reflex	990.00	194.90°	-58.80°	Oui	55548
Reflex	993.00	195.30°	-58.70°	Non	55160
Reflex	996.00	196.10°	-58.70°	Non	55271
Reflex	999.00	195.20°	-58.70°	Non	55130
Reflex	1 002.00	195.60°	-58.60°	Non	55428
Reflex	1 005.00	196.80°	-58.60°	Oui	54699
Reflex	1 008.00	195.00°	-58.60°	Non	55497
Reflex	1 011.00	195.40°	-58.50°	Non	55355
Reflex	1 014.00	192.20°	-58.50°	Oui	54807
Reflex	1 017.00	194.80°	-58.50°	Non	55349
Reflex	1 020.00	195.50°	-58.40°	Non	55047
Reflex	1 023.00	197.20°	-58.40°	Oui	54916
Reflex	1 026.00	198.20°	-58.40°	Oui	55153
Reflex	1 029.00	195.20°	-58.40°	Non	55203
Reflex	1 032.00	196.80°	-58.40°	Non	54858
Reflex	1 035.00	195.20°	-58.40°	Non	54557
Reflex	1 038.00	195.10°	-58.30°	Non	55444
Reflex	1 041.00	195.50°	-58.30°	Non	54837
Reflex	1 044.00	196.60°	-58.30°	Non	54902
Reflex	1 047.00	195.60°	-58.30°	Non	54944
Reflex	1 050.00	195.50°	-58.30°	Non	55719
Reflex	1 053.00	196.30°	-58.30°	Non	55529

MAUDORE MINERALS Ltd

AC NG CA

Déviations

Type	Profondeur	Azimut	Plongée	Invalide	Description
Reflex	1 056.00	196.40°	-58.30°	Non	54963
Reflex	1 059.00	195.40°	-58.20°	Non	55241
Reflex	1 062.00	195.90°	-58.30°	Non	55824
Reflex	1 065.00	194.90°	-58.30°	Non	55242
Reflex	1 068.00	197.60°	-58.30°	Oui	54993
Reflex	1 071.00	193.50°	-58.20°	Oui	55096
Reflex	1 074.00	195.40°	-58.20°	Non	55504
Reflex	1 077.00	195.80°	-58.20°	Non	55103
Reflex	1 080.00	195.90°	-58.20°	Non	55366
Reflex	1 083.00	195.60°	-58.20°	Non	54611
Reflex	1 086.00	195.10°	-58.10°	Non	54961
Reflex	1 089.00	195.80°	-58.10°	Non	54927
Reflex	1 092.00	195.40°	-58.00°	Non	54661
Reflex	1 095.00	195.60°	-58.00°	Non	55341
Reflex	1 098.00	196.20°	-58.00°	Non	55062
Reflex	1 101.00	196.50°	-57.90°	Non	55312
Reflex	1 104.00	195.40°	-57.90°	Non	55022
Reflex	1 107.00	195.00°	-57.90°	Non	55018
Reflex	1 110.00	195.00°	-57.90°	Non	55241
Reflex	1 113.00	195.60°	-57.90°	Non	54849
Reflex	1 116.00	196.90°	-57.80°	Oui	54946
Reflex	1 119.00	195.40°	-57.80°	Non	55130
Reflex	1 122.00	195.60°	-57.80°	Non	54817
Reflex	1 125.00	195.20°	-57.80°	Non	55108
Reflex	1 128.00	195.70°	-57.80°	Non	55151
Reflex	1 131.00	195.50°	-57.80°	Non	54754
Reflex	1 134.00	196.20°	-57.90°	Non	55910
Reflex	1 137.00	197.70°	-57.80°	Oui	55033
Reflex	1 140.00	198.00°	-57.90°	Oui	54848
Reflex	1 143.00	196.60°	-58.00°	Non	55007
Reflex	1 146.00	196.90°	-58.10°	Non	55101
Reflex	1 149.00	196.40°	-58.00°	Non	54973
Reflex	1 152.00	197.90°	-58.00°	Non	54720
Reflex	1 155.00	196.60°	-58.10°	Non	54841

AC NG 07

Déviation

Type	Profondeur	Azimat	Plongée	Invalide	Description
Reflex	1 158.00	196.70°	-58.20°	Non	54998

MAUDORE MINERALS Ltd

AC NG 03

Description			Analyse							
			De	À	Numéro	Longueur	Au_Final (g/t)	Ag_Final (ppm)	Cu_Final (ppm)	Zn_Final (ppm)
0.00	24.00	<p>MT</p> <p>Mort Terrain</p> <p>Mort terrain</p>								
24.00	136.30	<p>V2-V3; T1</p> <p>Volcanite intermédiaire à mafique; Tufs à lapillis</p> <p>Volcanite intermédiaire à mafique. Tuf à lapillis.</p> <p>Rubané.</p> <p>Matrice à grains fins de couleur gris moyen à foncé (principalement), à verdâtre, à brunâtre.</p> <p>Contient environ 15-20% de lapillis chloritisés étirés selon la foliation</p> <p>FOL bien marquée par les alternances d'altérations, généralement proche de 30-35°ac.</p> <p>Rares Vn/Vnl cm de Qz+Cb, discordantes.</p> <p>Contient de 1-5% de porphyre de Fld blanc laiteux sub-arrondis, parfois orientées ou étirées selon le plan de foliation. Les porphyres de Fld sont généralement mm (infra-mm à 2mm) et sont réparti de façon hétérogène.</p> <p>2-3% de Vn/Vnl irrégulières de Cb/Chl± Sr en patch ou auréoles.</p> <p>De 45-45.3m: Passage avec Chl+ pervasive, CB+, Ép avec un contact inf franc</p> <p>De 131-135.6m: Passage où la matrice à une teinte gris moyen brunâtre pervasive, très silicifié, contenant de nombreuses vnl irrégulières de Hm/Cb et Ép. et mouchetage de Chl.</p> <p>Veines:</p> <p>De 74.1-82.4m: Ensemble de veines de 2-5cm, perpendiculaire à l'Axe de la carotte, de Qz blanc+Cb. Globalement, elles contiennent chacune 1% Py en grains disséminés ou amas difformes de 3-5mm au niveau des épontes.</p> <p>Altération:</p> <p>De 25.5-91.3m: SIL+; Chl+; Bo+; Ab sous forme de petits porphyres blanchâtres; SER- en fines laminations ou parfois ne altération dans les clastes;</p> <p>Cb- en Vn/Vnl, localement pervasifs de part et d'Autre</p>								

MAUDORE MINERALS Ltd

AC NG CR

Description	Analyse									
	De	À	Numéro	Longueur	Au_Final (g/t)	Ag_Final (ppm)	Cu_Final (ppm)	Zn_Final (ppm)		
<p>du I3; Ép en traces en altération autour des Vn/Vnl; Pa en traces en fines laminations ou bandes gris bleutées De 91.3-95.55m: SIL+; Chl+; Sr pervasive; Bo- en fines bandes; Ab- sous forme de petits porphyres blanchâtres; Cb- en Vn/Vnl De 95.5-131.1m: SIL+; Chl+; Bo+; Ab sous forme de petits porphyres blanchâtres; SER- en fines laminations; Cb- en Vn/Vnl; Pa en traces en fines laminations ou bandes gris bleutées De 131.1-136.3m: SIL+ pervasive; Chl moy. pervasive ou en mouchetage, Bt moy. en bandes ou patches brunâtre, Cb moy. en association avec Hm en fines vnl irrégulières. Hm moy. en association avec Cb. Ép moy. en vnl irrégulières et remplissage de Fr.</p> <p>Minéralisation: traces occasionnelles de Py globalement De 36.1-37.5m: Globalement, 1% Py en grains finement disséminés, rarement subautomorphes De 41.3-42.8m: Globalement, 1% Py en grains finement disséminés, rarement subautomorphes De 73-74.3m: 1% Py en grains finement disséminés, rarement subautomorphes, ou en amas, souvent aux contacts des petites veines de Qz De 77.9-79.8m: 1% Py en grains finement disséminés, rarement subautomorphes, ou en amas, souvent aux contacts des petites veines de Qz</p> <p>Structure: De 64-66.2m: Roche fortement fracturée, morceaux de carotte de 3-5cm, nombreuses fractures dans l'Axe de la carotte Traits peu fiables ou pas de traits entre 87-111m</p> <p>Contact sup non recoupé par le forage. Contact inf.</p>										
25.50	91.30	SIL+; Chl+; BO+; AB; SR-; CB- Silicification forte; Chloritisation forte; Biotisation forte; Albitisation; Séricitisation faible;	28.50	30.00	P152124	1.50	0.005	0.20	17.0	65.0
			30.00	30.50	P151058	0.50	0.005	0.10	19.0	51.0
			30.50	31.50	P152125	1.00	0.010	0.10	96.0	50.0



MAUDORE MINERALS Ltd

AC NG CB

Description			Analyse							
			De	À	Numéro	Longueur	Au_Final (g/t)	Ag_Final (ppm)	Cu_Final (ppm)	Zn_Final (ppm)
34.00	36.10	I3 Carbonatisation faible SIL+; CHl+; Bo+; Ab sous forme de petits porphyres blanchâtres; SER- en fines laminations ou parfois ne altération dans les clastes; Cb- en Vn/Vnl, localement pervasifs de part et d'Autre du I3; Ép en traces en altération autour des Vn/Vnl; Pa en traces en fines laminations ou bandes gris bleutées  Intrusion mafique Intrusion mafique Couleur vert sombre Si+, CHl+, Cb- Traces de Py  Contact sup au niveau d'une fracture et inf de 60deg discordant								
		Py01	36.10	36.80	P152126	0.70	0.030	0.40	53.0	63.0
		Pyrite 1%	36.80	37.60	P152128	0.80	0.030	0.20	12.0	70.0
		Globalement, 1% Py en grains finement disséminés, rarement subautomorphes	37.60	39.00	P152129	1.40	0.005	0.10	4.0	67.0
			39.00	40.50	P152130	1.50	0.020	0.10	4.0	69.0
			40.50	41.40	P152131	0.90	0.020	0.10	3.0	58.0
41.30	42.80	Py01	41.40	42.00	P152132	0.60	0.010	0.10	3.0	71.0
		Pyrite 1%	42.00	43.00	P152133	1.00	0.010	0.10	9.0	63.0
		Globalement, 1% Py en grains finement disséminés, rarement subautomorphes	43.00	44.50	P152134	1.50	0.010	0.10	10.0	78.0
			58.50	60.00	P152135	1.50	0.005	0.10	7.0	84.0
			60.00	60.50	P151059	0.50	0.005	0.20	8.0	61.0
			60.50	62.00	P152136	1.50	0.010	0.10	7.0	71.0
64.00	66.20	FRC+  Fracturation forte Roche fortement fracturée, morceaux de carotte de 3-5cm, nombreuses fractures dans l'Axe de la carotte	72.00	73.50	P152137	1.50	0.040	0.20	9.0	67.0
73.00	74.30	Py01 Pyrite 1% 1% Py en grains finement disséminés,	73.50	74.50	P152138	1.00	0.040	0.10	20.0	63.0

MAUDORE MINERALS Ltd

AC NG CB

Description		Analyse								
		De	À	Numéro	Longueur	Au_Final (g/l)	Ag_Final (ppm)	Cu_Final (ppm)	Zn_Final (ppm)	
74.10	82.40	rarement subautomorphes, ou en amas, souvent aux contacts des petites veines de Qz								
		AMA;10%;Qz Cb;;Py01:	74.50	76.00	P152140	1.50	0.040	0.10	9.0	76.0
		<b>Amas 10% Quartz Carbonate</b>	76.00	77.50	P152141	1.50	0.140	0.10	10.0	86.0
		<b>Pyrite 1%</b>	77.50	78.50	P152142	1.00	0.020	0.15	7.5	59.0
		Ensemble de veines de 2-5cm, perpendiculaire à l'Axe de la carotte, de Qz blanc+Cb. Globalement, elles contiennent chacune 1% Py en grains disséminés ou amas difformes de 3-5mm au niveau des épontes.								
77.90	79.80	Py01	78.50	79.50	P152143	1.00	0.020	0.10	7.0	62.0
		<b>Pyrite 1%</b>	79.50	81.00	P152144	1.50	0.060	0.70	7.0	70.0
		1% Py en grains finement disséminés, rarement subautomorphes, ou en amas, souvent aux contacts des petites veines de Qz	81.00	81.80	P152146	0.80	0.110	0.10	6.0	62.0
			81.80	82.70	P152147	0.90	0.050	0.30	13.0	61.0
82.40	90.70	AMA;40%;Qz Cb Cl;30;;	82.70	84.00	P152148	1.30	0.005	0.10	8.0	68.0
		<b>Amas 40% Quartz Carbonate</b>	90.30	91.30	P152149	1.00	0.005	0.10	11.0	65.0
		<b>Chlorite 30°</b> Entre 148,1-157.2m: Amas de veines de Qtz±Cb±Chl (40%) de taille dm à pluri-dm recoupant l'unité de façon aléatoire. Non-minéralisé. Contacts irrégulier. Peut-être orientation générale 30 deg tca.								
91.30	95.50	SIL+; Chl+; SR; BO-; AB-; CB-	91.30	92.00	P152150	0.70	0.010	0.10	4.0	120.5
		<b>Silicification forte; Chloritisation forte; Séricitisation; Biotisation faible; Albitisation faible;</b>	92.00	92.50	P151060	0.50	0.002	0.20	4.0	80.0
		<b>Carbonatation faible</b>	92.50	93.20	P152151	0.70	0.005	0.10	58.0	58.0
		SIL+; Chl+; Sr pervasive; Bo- en fines bandes; Ab- sous forme de petits porphyres blanchâtres; Cb- en Vn/Vnl								
95.50	131.10	SIL+; Chl+; BO+; AB; SR-; CB-	118.50	119.50	P152152	1.00	0.005	0.10	10.0	48.0
		<b>Silicification forte; Chloritisation forte; Biotisation forte;</b>	119.50	120.00	P151073	0.50	0.005	0.20	5.0	56.0
		<b>Albitisation; Séricitisation faible; Carbonatation faible</b>	120.00	121.50	P152153	1.50	0.005	0.10	8.0	44.0

AC NG 05

Description		Analyse								
		De	À	Numéro	Longueur	Au_Final (g/t)	Ag_Final (ppm)	Cu_Final (ppm)	Zn_Final (ppm)	
131.10	136.30	<p>De 95.5-131.1m: SIL+; Chl+; Bo+; Ab sous forme de petits porphyres blanchâtres; SER- en fines laminations; Cb- en Vn/Vnl; Pa en traces en fines laminations ou bandes gris bleutées</p> <p>SIL+; Chl; BO; CB; HM; EP</p> <p>Silicification forte; Chloritisation; Biotisation; Carbonatation; Hématitisation; Épidotisation</p> <p>De 131.1-136.3m: SIL+ pervasive; Chl moy. pervasive ou en mouchelage, Bt moy. en bandes ou patches brunâtre, Cb moy. en association avec Hm en fines vnl irrégulières. Hm moy. en association avec Cb. Ép moy. en vnl irrégulières et remplissage de Fr.</p>	131.10	132.00	P152154	0.90	0.005	0.10	10.0	62.0
			132.00	133.50	P152155	1.50	0.030	0.10	109.0	57.0
			133.50	135.00	P152156	1.50	0.020	0.20	58.0	57.0
			135.00	135.70	P152157	0.70	0.005	0.10	164.0	49.0
136.30	173.80	<p>V2-V3: pFp; MAS</p> <p><b>Volcanite Intermédiaire à mafique; Porphyre de Feldspath; Massif</b></p> <p>Volcanite intermédiaire à mafique.</p> <p>Matrice à grains fins de couleur gris sombre à moyen, légèrement verdâtre.</p> <p>Unité généralement massive, comportant certains passages dm à clastes (tufacé) chloritisé.</p> <p>Contenant 5-10% de porphyres de Fld baignant dans la fine matrice.</p> <p>Les pFp sont infra-mm à max 2mm, sub-arrondis, blanc laiteux, répartition.</p> <p>Faible foliation locale autour de 30 deg tca, marquée par une légère nuance d'altération entre Chl/Bt ainsi que par l'orientation des grains constitutif de la matrice.</p> <p>Veines:</p> <p>Entre 148.1-157.2m: Amas de veines de Qtz±Cb±Chl (40%) de taille dm à pluri-dm recoupant l'unité de façon aléatoire. Non-minéralisé. Contacts irrégulier.</p> <p>Peut-être orientation générale 30 deg tca.</p> <p>Structure:</p>								

MAUDORE MINERALS Ltd

AC NG CR

Description	Analyse										
	De	À	Numéro	Longueur	Au_Final (g/t)	Ag_Final (ppm)	Cu_Final (ppm)	Zn_Final (ppm)			
<p>Entre 171.0-171.5m: Zone de faille, roche fracturée, stries sur les fractures, boue de faille carbonaté.</p> <p>Entre 163.5-166m: Présence de quelques failles mineures? (fracture avec texture friable, boue de faille?)</p> <p>Plusieurs marques de core orienteur pas très fiable à mon avis.</p> <p>Allération:</p> <p>Entre 136.3-142.3m: Sil+ pervasive, Chl+ pervasive, Bt+ pervasive, Cb- en vnl irrégulières, Hm- en vnl, Ab- en pFp.</p> <p>Entre 142.3-173.8m: Sil+ pervasive; Chl+ pervasive; Ab+ en pFp; Bt moy. pervasive; Cb- vnl irrégulière, Hm en trace (vnl), Ép en trace (vnl); Sr trace (vnl).</p> <p>Minéralisation:</p> <p>Aucune trace de minéralisation observée.</p> <p>Contact inf. progressif sur 20cm avec la disparition progressive des pFp.</p>	136.30	142.30	SIL+; Chl+; BO+; CB-; HM-; AB- Silicification forte; Chloritisation forte; Biotisation forte; Carbonatation faible; Hématisation faible; Albitisation faible								
	142.30	173.80	Chl+; SIL; BO; AB- Chloritisation forte; Silicification; Biotisation; Albitisation faible								
			Sil moy. pervasive, Chl+ pervasive ou en mouchetage, Bt moy. pervasive, Trace de Cb, Ép, Sr en vu/vnl irrégulières. Ab- en petits porphyres.	142.50	144.00	P152158	1.50	0.005	0.10	81.0	26.0
				144.00	144.50	P151074	0.50	0.002	0.10	42.0	30.0
				144.50	145.50	P152159	1.00	0.005	0.10	44.0	33.0
				148.10	149.60	P152160	1.50	0.005	0.10	45.0	50.0
				149.60	150.70	P152161	1.10	0.005	0.10	53.0	55.0
				150.70	151.30	P152162	0.60	0.005	0.10	17.0	25.0
				151.30	152.30	P152164	1.00	0.010	0.10	67.0	70.0
				152.30	153.00	P152165	0.70	0.010	0.10	82.0	23.0
				153.00	154.50	P152166	1.50	0.005	0.10	14.0	80.0

MAUDORE MINERALS Ltd

AC NG CB

Description				Analyse							
				De	À	Numéro	Longueur	Au_Final (g/t)	Ag_Final (ppm)	Cu_Final (ppm)	Zn_Final (ppm)
				154.50	156.00	P152168	1.50	0.005	0.10	29.0	60.0
				156.00	157.20	P152169	1.20	0.005	0.10	51.0	42.0
				157.20	158.10	P152224	0.90	0.005	0.10	31.0	63.0
171.00	171.50	FAI Faille									
		Entre 171.0-171.5m: Zone de faille, roche fracturée, stries sur les fractures, boue de faille carbonaté.									
173.80	204.30	V2-V3; TI Volcanite intermédiaire à mafique; Tufs à lapillis		175.50	176.50	P152171	1.00	0.005	0.10	47.0	40.0
		Volcanite intermédiaire à mafique. Tuf à lapillis. Aspect plutôt massif en général.		176.50	177.00	P151075	0.50	0.002	0.10	34.0	47.0
		Matrice à grains fins de couleur gris moyen à foncé (principalement), à verdâtre, à légèrement brunâtre.		177.00	178.50	P152172	1.50	0.005	0.10	55.0	40.0
		Moins de 5% de clastes? verdâtre, chloritisé, généralement cm, sub-arrondis, généralement orientée dans le sens de la foliation, mais localement sans orientation préférentielle.		194.00	195.00	P152173	1.00	0.005	0.10	48.0	32.0
		FOL faiblement marquée par l'orientation des grains selon la FOL et par les nuances d'allération, proche de 30-35 deg tca. À partir de 194m, foliation modérée entre 35-45 deg tca.		195.00	195.50	P151079	0.50	0.033	0.20	40.0	30.0
		Fin Mouchetage chloritique verdâtre (vésicules?). Rares petits porphyres de Fld distribués en poches avant 197.5m.		195.50	196.50	P152174	1.00	0.005	0.15	43.5	26.5
		Après 197.5m, 5-10% de porphyres de Fld blanc laiteux, infra-mm à 3mm, sub-arrondis, distribué de façon hétérogène dans la roche.									
		1-2% de Vn/vnl irrégulières de Cb±Ép± Sr en auréole.									
		Altération: Entre 173.8-197.5m: Sil moy. pervasive, Chl+ pervasive ou en mouchetage, Bt moy. pervasive, Trace de Cb, Ép, Sr en vn/vnl irrégulières. Ab- en petits porphyres. Entre 197.5-204.3m: Sil+ pervasive; Chl+ pervasive, Ab+ en petits pFp, Bt- en patchs (altération de clastes?) ou bandes, Cb- vn/vnl irrégulières, Sr et									

MAUDORE MINERALS Ltd

AC NG CB

Description	Analyse							
	De	À	Numéro	Longueur	Au_Final (g/t)	Ag_Final (ppm)	Cu_Final (ppm)	Zn_Final (ppm)
<p>Hm trace en association avec les vn de Cb.</p> <p>Structure: Plusieurs marques de core orienteur manquantes et pas du tout fiable.</p> <p>Minéralisation: Aucune trace de Py observée</p> <p>Contact inf. quelques peu diffus sur 10cm.</p>								
<p>173.80      197.50      Chl+; SIL; BO; AB-; CBtr; EPtr Chloritisation forte; Silicification; Biotisation; Albitisation faible; Carbonatation tr; Épidotisation tr Entre 173.8-197.5m: Sil moy. pervasive, Chl+ pervasive ou en mouchetage, Bt moy. pervasive, Trace de Cb, Ép, Sr en vn/vnl irrégulières. Ab- en petits porphyres.</p>								
<p>197.50      204.30      SIL+; Chl+; AB+; BO-; SR tr; HM tr Silicification forte; Chloritisation forte; Albitisation forte; Biotisation faible; Séricitisation tr; Hématitisation tr Entre 197.5-204.3m: Sil+ pervasive; Chl+ pervasive, Ab+ en petits pFp, Bt- en patchs (altération de clastes?) ou bandes, Cb- vn/vnl irrégulières, Sr et Hm trace en association avec les vn de Cb.</p>	203.00	204.30	P152175	1.30	0.005	0.10	36.5	40.5
<p>204.30      204.80      V1C; MAS Rhyodacite; Massif Rhyodacite. Matrice à grains très fins de couleur gris pâle à moyen, teinte verdâtre localement. Pourrait seulement sagir d'un intervalle mineur très altéré? Forte foliation bien développée à 35 deg tca, marquée par l'étiement des grains matricielles. Unité très carbonatée de façon pervasive, diffuse dans toute la matrice.</p>								

MAUDORE MINERALS Ltd

AC NG CS

Description	Analyse							
	De	À	Numéro	Longueur	Au_Final (g/t)	Ag_Final (ppm)	Cu_Final (ppm)	Zn_Final (ppm)
<p>Allération: Sil+ pervasive + vnl, Cb+ pervasive (diffuse) + vnl, Sr moy? diffuse, Chl- diffuse, Bt- en fines bandes concordantes.</p> <p>Minéralisation: Trace de Py en amas infra-mm (max1mm) dans une vnl de Qtz.</p> <p>Contact inf. franc et concordant à 30 deg lca.</p>								
<p>204.30 204.80 SIL+; CB+; SR; Chl-; BO- Silicification forte; Carbonatation forte; Séricitisation; Chloritisation faible; Biotisation faible Sil+ pervasive + vnl, Cb+ pervasive (diffuse) + vnl, Sr moy? diffuse, Chl- diffuse, Bt- en fines bandes concordantes.</p>	204.30	204.80	P151100	0.50	0.002	0.10	45.0	53.0
<p>204.80 524.30 V2-V3; T1 Volcanite intermédiaire à mafique; Tufts à lapillis Volcanite intermédiaire à mafique. Tuf à lapillis. Rubané. Matrice à grains fins de couleur gris moyen à foncé (principalement), avec bandes d'altération verdâtre à brunâtre. Contient environ 10-15% de lapillis? chloritisés ± carbonatés ou biotisés, généralement étirés selon la foliation. Forte foliation bien marquée par les alternances d'altérations en bandes mm à cm causant le rubanement, généralement proche de 30-35°ac, aussi par l'orientation des clastes? ou fragments? Présence de poches de porphyre de Fld (proportion variable) blanc laiteux sub-arrondis, parfois orientées ou élargies selon le plan de foliation. Les porphyres de Fld sont généralement mm (Infra-mm à 2mm) et sont répartis de façon hétérogène. Plus on approche de la fin de l'intervalle (50 derniers mètres), plus ils sont</p>	204.80	205.50	P152176	0.70	0.005	0.10	57.0	75.0
	205.50	206.30	P152177	0.80	0.470	0.10	54.0	60.0
	206.30	207.00	P152178	0.70	0.005	0.10	37.0	72.0
	207.00	207.90	P152179	0.90	0.005	0.10	48.0	60.0
	212.50	213.50	P152181	1.00	0.005	0.10	305.0	39.0
	213.50	214.00	P152182	0.50	0.005	0.10	50.0	52.0
	214.00	215.00	P152183	1.00	0.005	0.10	49.0	48.0
	225.00	226.50	P152184	1.50	0.005	0.10	67.0	41.0
	226.50	227.00	P151080	0.50	0.002	0.40	91.0	40.0
	227.00	228.50	P152185	1.50	0.005	0.10	42.0	48.0
	241.50	243.00	P152186	1.50	0.010	0.10	23.0	63.0
	253.50	254.50	P152187	1.00	0.005	0.10	33.0	74.0
	254.50	255.00	P151081	0.50	0.002	0.10	29.0	88.0
	255.00	256.50	P152188	1.50	0.005	0.10	34.0	50.0

KC NG 05

Description	Analyse							
	De	À	Numéro	Longueur	Au_Final (g/l)	Ag_Final (ppm)	Cu_Final (ppm)	Zn_Final (ppm)
<p>regroupés en grappes subarrondis cm à plurim dans une matrice fine mafique : Zone de transition avec le V1C??</p> <p>Globalement 1-2% de Vn/Vn irrégulières de Cb/Chl ±Ep± Sr en patch ou auréoles.</p> <p>Quelques vnl carbonatés jaunâtre (Sr?) entre 257.6m et 285m.</p> <p>Rares vn de Qtz+Cb blanche à rosé cm à dm discordantes.</p> <p>Unité très homogène et constante dans son ensemble avec le rubanement des bandes d'altération verdâtre. Rubanement moins visible à partir de 450m</p> <p>(Chl+Cb) et brunâtre (Bt) et les poches de petits pFp blanc.</p> <p>Enclave ou lambeau de V1C (gris pâle, massif) entre 205.3-205.4m.</p> <p>I2 mineur entre 337.7-337.9m: (fortement hématisé) avec contacts francs à 35 deg tca. plusieurs veinules de</p> <p>Cb+Hm suivant l'intrusif dans la volcanite.</p> <p>Quelques Intrusif mafique? ou lave massive? à grains fins mais quand même plus grossiers que la matrice volcanique. (Contacts visible très net).</p> <p>Structure:</p> <p>Unité très peu fracturé dans son ensemble. Beaucoup de marque pour le core orienté sont manquante et très peu fiable dans son ensemble, plusieurs marques en contradiction.</p> <p>Entre 341-341.8m: Bréchification in-situ (roche massive fortement fracturée dans toute les directions formant des fragments mm a cm angulaire dans une gangue carbonaté remplissant les fractures.</p> <p>Entre 282.2-282.25m: Faille mineure à 35 deg tca avec boue de faille + fine gravel.</p> <p>Veines:</p> <p>Entre 362.9-363.4m: Vn de Qtz blanche + Cb + Chl en patch + Ép trace; trace de Py en fins amas infra-mm. Conacts sup. et inf. franc à 30 deg tca</p>								



AC NG CP

Description	Analyse							
	De	À	Numéro	Longueur	Au_Final (g/l)	Ag_Final (ppm)	Cu_Final (ppm)	Zn_Final (ppm)
<p>discordant.</p> <p>Entre 394.8-395.7m: Vn de Qtz blanche + Calcite rose + Chl en amas ou au bordures de la veine. Aucune minéralisation. Contacts irréguliers.</p> <p>Entre 420.6-422.2m: Amas de Vn de Calcite (Cb) 30% + Hm en trace; Aspect bréchique (in-situ) avec fragments mm à cm angulaire emportés dans la gangue calcilique. Calcite automorphe dans un vide (géode) entre 422-422.2m</p> <p>Entre 434.6-438m: Amas de Vn de Calcite (Cb) 30% + Hm en Vnl; Aspect bréchique (in-situ) (434.6-435m et 435.2-435.5m) avec fragments mm à cm angulaire emportés dans la gangue calcilique.</p> <p>Entre 461.7-461.9m: 2 petites veines cm de CbzHm avec Chl en altération en périphérie. Présence de Py (1%) en grains finement disséminés</p> <p>Entre 478.7-478.9m: Veine de 2-3cm de Cb à 30deg concordante avec 3% Py en amas ou grains disséminés</p> <p>Entre 503.2-503.5m: Veine de Qz+Cb+Chl de 40deg concordante. Pas de minéralisation visible</p> <p>Altération:</p> <p>Entre 204.8-280.5m: Sil+ pervasive, Chl+ pervasive + bandes d'altération (clastes?), Bt+ bandes d'altération (clastes?), Cb- vn/vnl irrégulières. Hm- à partir de 256.7m en association avec les vnl de Cb. Aussi vnl carbonaté jaunâtre (Sr?) dans cet intervalle.</p> <p>Entre 280.5-301.5m: Sil+ pervasive, Chl+ pervasive + bandes d'altération (clastes?), Bt+ bandes d'altération (clastes?), Cb moy, vn/vnl irrégulières, trace Ép+Hm avec vnl de Cb. Trace de Sr en patches</p> <p>Entre 301.5-315.6m: Sil+ pervasive, Chl+ pervasive + bandes d'altération (clastes?), Bt+ bandes d'altération (clastes?), Cb- vn/vnl irrégulières. Ab- en petits pFp blanc.</p> <p>Entre 315.6-328.1m: Sil+ pervasive, Chl+ pervasive + bandes d'altération (clastes?), Bt+ bandes d'altération (clastes?), Ab. moy. en petits pFp blanc, Cb- vn/vnl irrégulières.</p>								

Description	Analyse							
	De	À	Numéro	Longueur	Au_Final (g/t)	Ag_Final (ppm)	Cu_Final (ppm)	Zn_Final (ppm)
<p>Enre 328.1-353.5: Sil+ pervasive, Chl+ pervasive + bandes d'altération (clastes?), Bt+ bandes d'altération (clastes?), Cb- vn/vnl irrégulières. Ab- en petits pFp blanc. Hm moy. entre 337.7-338.4m en vn/vnl±Cb.3</p> <p>Entre 353.5-395.7m: Sil+ pervasive; Chl+ pervasive; Bt moy. en bandes ou liserés ; Cb- vnl irrégulières; Ab- en petits pFp blanc. (Chl++ entre 355.7-356.3m). (intervalle plus clair).</p> <p>Entre 395.7-415.8m: Sil+ pervasive, Chl+ pervasive; Bt moy. en bandes ou liserés; Ab moy. en poches de pFp blanc; Cb- vnl irrégulières; Hm tr, Ép tr, Sr tr. (Intervalle beaucoup plus sombre).</p> <p>Entre 415.8-434.6m: Sil+ pervasive; Chl+ pervasive; Cb. moy. Vn/Vnl; Hm moy. Vn/Vnl en association avec les Cb; Ab tr pFp; Ép tr; Sr tr</p> <p>Entre 434.6-438m: Sil+ pervasive; Chl+ pervasive; Cb+ en Vn/Vnl et gangue de brèche; Hm moy en Vn/Vnl; Bt- en liserés</p> <p>Entre 438-456m: Sil+ pervasive, Chl+ pervasive; Bt moy. en bandes ou liserés; Ab moy. en poches de pFp blanc; Cb- vnl irrégulières</p> <p>Entre 456-483m: Sil+ pervasive; Chl+ pervasive; Bt moy. en bandes ou liserés ; Cb- vnl irrégulières; Ab- localement en rares petits pFp blanc; Hm en traces</p> <p>Entre 483-524.3m: Sil+ pervasive, Chl+ pervasive; Bt moy. en bandes ou liserés; Ab moy. en poches de pFp blanc à legerement verdâtres; Cb- vnl irrégulières</p> <p>Minéralisation:</p> <p>Avant 338.2 rares trace de Py. Fine bande d'alignement de grains de Py à 282.2m (35 deg tca)</p> <p>À partir de 338.2 trace de Py se présentent en fins amas infra-mm à mm souvent retrouvés dans des veinules de Cb/Chl. .</p> <p>Au visible (VG) à 344.2m en paillettes infra-mm méléables (3 patchs de paillettes) dans une vnl de Qtz/Cb orientée à 25 deg tca., également présence de Py en amas dans les flancs de la vnl contenant</p>								

MAUDORE MINERALS Ltd

AC NG CB

Description	Analyse							
	Dé	À	Numéro	Longueur	Au_Final (g/t)	Ag_Final (ppm)	Cu_Final (ppm)	Zn_Final (ppm)
<p>l'Au (se retrouvant plutôt près de l'Apex de la vnl).                      Entre 354.9-355.3m: 1-2% Py disséminée (50%), en amas mm à cm (40%) ou en fines bandes d'alignement de grains (10%).                      Entre 382.5-383.4m: 2% Py diss + amas; 0.5% Cpy en amas infra-mm à mm ou fins stringers dans une vnl de Cb/Chl (30 deg lca concordant); Po en trace amas de Po/Cpy. Amas Py cm à 383.1m.                      À 414.6m: trace de Cpy/Py dans une vnl de Qtz à 35 deg lca concordante.                      À 458.9m: Veine de Qz+Cb avec 10% Py en grains inframm disséminés parfois jointifs                      Entre 461.2-461.9m: 3% Py en grains mm disséminés faiblement étirés selon la foliation                      Entre 477.8-479.1m: 3% Py en amas de 3-5mm difformes, et notamment au sein d'une veine de Cb concordante (60%) et en grains finement disséminés (40%)</p> <p>Contact inf progressif sur 1m avec la disparition des grappes de pFp et éclaircissement de la roche</p> <p>EXCEPTÉ:                      331.2 à 336.5: I3;FIN                      369.5 à 377: I3; FIN                      378.3 à 380.5: I3; FIN                      462.9 à 478.4: I2;pFpAm                      513 à 514.4: I3; FIN</p>								
<p>204.80      256.70      SIL+; Chl+; BO+; CB-                      Silicification forte; Chloritisation forte; Blotisation forte; Carbonatation faible                      Sil+ pervasive, Chl+ pervasive + bandes d'altération (clastes?), Bl+ bandes d'altération (clastes?), Cb- vn/vnl irrégulières.                      Hm- à partir de 256.7m en association avec les vnl de Cb. Aussi vnl carbonaté jaunâtre dans cet intervalle</p>								

MAUDORE MINERALS Ltd

AL NG CB

Description			Analyse							
			De	À	Numéro	Longueur	Au_Final (g/t)	Ag_Final (ppm)	Cu_Final (ppm)	Zn_Final (ppm)
256.70	280.50	SIL+; Chl+; BO+; CB-; HM-; SR tr	264.00	265.50	P152189	1.50	0.005	0.10	19.0	60.0
		Silicification forte; Chloritisation	277.50	278.50	P152191	1.00	0.010	0.10	25.0	49.0
		forte; Biotisation forte;	278.50	279.00	P151091	0.50	0.009	0.10	23.0	44.0
		Carbonatation faible;	279.00	280.50	P152192	1.50	0.010	0.10	43.0	55.0
		Hématitisation faible; Séricitisation tr								
		Sil+ pervasive, Chl+ pervasive + bandes d'altération (clastes?), Bt+ bandes d'altération (clastes?), Cb- vn/vnl irrégulières.								
		Hm- à partir de 256.7m en association avec les vnl de Cb. Aussi vnl carbonaté jaunâtre (Sr?) dans cet intervalle								
280.50	301.50	SIL+; Chl+; BO+; CB	280.50	282.00	P152193	1.50	0.025	0.10	16.0	89.0
		Silicification forte; Chloritisation forte; Biotisation forte;	282.00	282.50	P152194	0.50	57.693	7.00	189.0	1 483.5
		Carbonatation								
		Entre 280.5-301.5m: Sil+ pervasive, Chl+ pervasive + bandes d'altération (clastes?), Bt+ bandes d'altération (clastes?), Cb moy. vn/vnl irrégulières, trace Ép+Hm avec vnl de Cb. Trace de Sr en patches								
282.20	282.25	FAI	282.50	283.50	P152196	1.00	0.260	0.30	68.0	147.0
		Faïlle 35*	283.50	284.50	P299252	1.00	0.010	0.30	62.0	36.0
		Entre 282.2-282.25m: Faïlle mineure à 35 deg tca avec boue de faïlle + fine gravel.	297.00	298.50	P152197	1.50	0.020	0.10	29.0	59.0
			298.50	300.00	P152198	1.50	0.017	0.10	26.0	39.5
301.50	315.60	SIL+; Chl+; BO+; CB-; AB-	307.50	309.00	P152199	1.50	0.005	0.10	51.0	54.0
		Silicification forte; Chloritisation forte; Biotisation forte;	309.00	309.50	P151092	0.50	0.005	0.10	40.0	55.0
		Carbonatation faible; Albitisation	309.50	311.00	P152200	1.50	0.005	0.10	20.5	54.0
		faible	311.00	312.00	P152201	1.00	0.005	0.10	26.0	57.0
		Entre 301.5-315.6m: Sil+ pervasive, Chl+ pervasive + bandes d'altération (clastes?), Bt+ bandes d'altération (clastes?), Cb- vn/vnl irrégulières. Ab- en petits pFp blanc.	312.00	313.00	P152202	1.00	0.008	0.20	45.0	72.0
			313.00	313.60	P152203	0.60	0.005	0.10	22.0	57.0
	313.60	315.00	P152204	1.40	0.010	0.10	36.0	58.0		
315.60	328.10	SIL+; Chl+; BO+; AB; CB- Silicification forte; Chloritisation								

MAUDORE MINERALS Ltd

AL NG CS

Description		Analyse								
		De	À	Numéro	Longueur	Au_Final (g/t)	Ag_Final (ppm)	Cu_Final (ppm)	Zn_Final (ppm)	
328.10	337.70	forte; Biotisation forte; Albitisation; Carbonatisation faible Entre 315.6-328.1m: Sil+ pervasive, Chl+ pervasive + bandes d'altération (clastes?), Bt+ bandes d'altération (clastes?), Ab. moy. en petits pFp blanc, Cb- vn/vnl irrégulières. SIL+; Chl+; BO+; CB-; AB- Silicification forte; Chloritisation forte; Biotisation forte; Carbonatisation faible; Albitisation faible Entre 328.1-400: Sil+ pervasive, Chl+ pervasive + bandes d'altération (clastes?), Bt+ bandes d'altération (clastes?), Cb- vn/vnl irrégulières. Ab- en petits pFp blanc. Hm moy. entre 337.7-338.4m en vn/vnl±Cb.  Excepté: 331.2-336.5m: I3 FIN	330.70	331.20	P152206	0.50	0.005	0.10	29.0	73.0
331.20	336.50	I3; FIN	336.50	337.00	P152207	0.50	0.005	0.10	17.0	69.0
		Intrusion mafique; Grains fins Intrusion mafique. Matrice à grains fins de couleur vert sombre. Massif, sans foliation apparente Mouchetage chloritique? Amp? 1% Vnl irrégulières de Cb±Hm±Chl±Sr. Trace de Py finement disséminée, et fins amas au contacts.  Contacts inf. et sup. franc et concordant entre 35-40 deg tca.	337.00	337.70	P152209	0.70	0.005	0.10	29.0	98.0
337.70	338.40	SIL+; Chl+; BO+; HM; CB-; AB- Silicification forte; Chloritisation forte; Biotisation forte; Hématisation; Carbonatisation faible; Albitisation faible Entre 328.1-400: Sil+ pervasive, Chl+ pervasive + bandes d'altération	337.70	338.40	P152210	0.70	0.010	0.10	42.0	85.0

MAUDORE MINERALS Ltd

AC NG CB

Description		Analyse								
		De	À	Numéro	Longueur	Au_Final (g/t)	Ag_Final (ppm)	Cu_Final (ppm)	Zn_Final (ppm)	
338.40	353.50	(clastes?), Bt+ bandes d'altération (clastes?), Cb- vn/vnl irrégulières. Ab- en petits pFp blanc. Hm moy. entre 337.7-338.4m en vn/vnl±Cb.	338.40	339.50	P152211	1.10	0.010	0.10	44.0	120.0
		SIL+; Chl+; BO+; CB-; AB- Silicification forte; Chloritisation forte; Biotisation forte; Carbonatation faible; Albitisation faible Entre 328.1-400: Sil+ pervasive, Chl+ pervasive + bandes d'altération (clastes?), Bt+ bandes d'altération (clastes?), Cb- vn/vnl irrégulières. Ab- en petits pFp blanc. Hm moy. entre 337.7-338.4m en vn/vnl±Cb.	339.50	341.00	P152212	1.50	0.005	0.10	36.0	85.0
341.00	341.80	BRE	341.00	342.00	P152213	1.00	0.005	0.10	23.0	98.0
		<b>Bréchiq</b>	342.00	342.50	P151093	0.50	0.009	0.10	36.0	54.0
		Entre 341-341.8m: Bréchification in-situ (roche massive fortement fracturée dans toute les directions formant des fragments mm a cm angulaire dans une gangue carbonaté remplissant les fractures.	342.50	343.50	P152214	1.00	0.010	0.10	33.0	56.0
			343.50	344.00	P152215	0.50	0.043			
			344.00	344.50	P152216	0.50	9.023			
344.20	344.25	VEI;100%;Qz Cc::25";Au Py;	344.50	345.00	P152218	0.50	0.013			
		<b>Veine 100% Quartz Calcite 25" Or natif Pyrite</b>	345.00	346.50	P152219	1.50	0.030	0.10	33.0	252.0
		Au visible (VG) à 344.2m en paillettes infra-mm méléables (3 patchs de paillettes) dans une vnl de Qtz/Cb orientée à 25 deg tca., également	346.50	348.00	P152220	1.50	0.010	0.10	54.0	94.0
		présence de Py en amas dans les flancs de la vnl contenant l'Au (se retrouvant plutôt près de l'Apex de la vnl).	348.00	349.50	P152221	1.50	0.010	0.10	48.0	124.0
			349.50	351.00	P152222	1.50	0.010	0.10	64.0	89.0
			351.00	352.50	P152223	1.50	0.010	0.10	49.5	130.0
353.50	395.70	SIL+; Chl+; BO; CB- Silicification forte; Chloritisation forte; Biotisation; Carbonatation faible Entre 353.5-395.7m: Sil+ pervasive; Chl+ pervasive; Bt moy. en bandes ou liserés ; Cb- vnl irrégulières;	352.50	354.00	P152225	1.50	0.005	0.10	53.0	106.5
			354.00	354.90	P152226	0.90	0.005	0.10	46.0	59.0

MAUDORE MINERALS Ltd

AC NG 13

Description		Analyse								
		De	À	Numéro	Longueur	Au_Final (g/t)	Ag_Final (ppm)	Cu_Final (ppm)	Zn_Final (ppm)	
		Ab- en petits pFp blanc. (Chl++ entre 355.7-356.3m). (intervalle plus clair).								
		Excepté: 369.5-377m: I3 FIN 378.3-380.5m: I3 FIN								
354.90	355.30	Py01.5	354.90	356.00	P152227	1.10	0.020	0.30	251.0	57.0
		<b>Pyrite 1.5%</b>	356.00	357.00	P152228	1.00	0.010	0.30	172.0	136.0
		Entre 354.9-355.3m: 1-2% Py	357.00	358.00	P152230	1.00	0.005	0.10	24.0	111.0
		disséminée (50%), en amas mm à cm	358.00	359.30	P152231	1.30	0.008	0.10	27.0	89.0
		(40%) ou en fines bandes d'alignement	359.30	360.50	P152232	1.20	0.005	0.10	51.0	77.0
		de grains (10%).	360.50	361.50	P152233	1.00	0.005	0.10	33.0	80.0
			361.50	362.00	P152234	0.50	0.010	0.30	97.0	265.0
			362.00	362.90	P152236	0.90	0.040	0.30	80.0	281.0
362.20	363.40	VEI;100%;Qz Cb Cl Ep.;30*;Pytr;	362.90	363.50	P152237	0.60	0.005	0.10	5.0	21.0
		<b>Veine 100% Quartz Carbonate</b>	363.50	364.50	P152238	1.00	0.005	0.10	49.0	113.0
		<b>Chlorite Épidote 30* Pyrite tr</b>	364.50	366.00	P152239	1.50	0.005	0.10	46.0	60.0
		Entre 362.9-363.4m: Vn de Qtz blanche	366.00	366.50	P151094	0.50	0.002	0.10	42.0	67.0
		+ Cb + Chl en patch + Ép trace; trace de	366.50	368.00	P152240	1.50	0.008	0.10	49.0	72.0
		Py en fins amas infra-mm. Contacts sup.	368.00	369.50	P152241	1.50	0.005	0.10	55.0	80.0
		et inf. franc à 30 deg tca discordant.								
369.50	377.00	I3; FIN								
		<b>Intrusion mafique; Grains fins</b>								
		Intrusion mafique.								
		Matrice à grains fins (quand même plus								
		grossiers que la matrice volcanique)								
		Couleur gris moyen verdâtre, matrice								
		équigranulaire, massive.								
		Pourrait-être aussi une coulée volcanique								
		massive plus grossière??								
		Massive, sans foliation évidente.								
		Mouchetage Chl? Amp?								
		Faible trace de Py.								
		Alt. Sil*, Cb moy. diffuse + vnl; Hm trace avec								
		Cb vnl.								
		Contacts inf.et sup. franc et discordant entre								
		45-50 deg tca.								

Description			Analyse							
			De	À	Numéro	Longueur	Au_Final (g/t)	Ag_Final (ppm)	Cu_Final (ppm)	Zn_Final (ppm)
378.30	380.50	I3; FIN	380.50	381.50	P152242	1.00	0.005	0.10	31.0	113.0
		<b>Intrusion mafique; Grains fins</b> Matrice à grains fins (quand même plus grossiers que la matrice volcanique) Couleur gris moyen verdâtre, matrice équi-granulaire, massive. Pourrait-être aussi une coulée volcanique massive plus grossière?? Massive, sans foliation évidente. Mouchetage Chl? Amp? Faible trace de Py. Alt, Sil+, Cb moy. diffuse + vnl; Hm trace avec Cb vnl.  Contacts inf.et sup. franc et discordant entre 25-30 deg tca.	381.50	382.50	P152243	1.00	0.020	0.20	52.0	152.0
382.50	383.40	Py02; Cp00.5; Poir	382.50	383.00	P152244	0.50	2.200	7.20	2 340.0	249.0
		<b>Pyrite 2%; Chalcopryite 0.5%;</b>	383.00	383.50	P152245	0.50	8.100	14.60	950.0	415.0
		<b>Pyrrhotine tr</b>	383.50	384.50	P152247	1.00	0.010	0.10	24.0	155.0
		Entre 382.5-383.4m: 2% Py diss + amas;	387.70	388.20	P152248	0.50	0.070	0.10	89.0	127.0
		0.5% Cpy en amas infra-mm à mm ou fins stringers dans une vn de Cb/Chl (30 deg tca concordant); Po en trace amas	392.80	394.00	P152249	1.20	0.090	1.60	68.0	314.0
		de Po/Cpy, Amas Py cm à 383.1m.	394.00	394.80	P152250	0.80	0.010	0.10	34.5	93.0
394.80	395.70	VEI;100%;Qz Cc Cl;;; <b>Veine 100% Quartz Calcite</b> <b>Chlorite</b> Entre 394.8-395.7m; Vn de Qtz blanche + Calcite rose + Chl en amas ou au bordures de la veine. Aucune minéralisation. Contacts irréguliers.	394.80	395.70	P152251	0.90	0.005	0.10	20.0	44.0
395.70	415.80	SIL+; Chl+; BO; AB; CB-; HMtr; EPtr; SRtr	395.70	397.00	P152252	1.30	0.005	0.10	31.0	38.0
		<b>Silicification forte; Chloritisation forte; Biotisation; Albitisation;</b>	397.00	398.50	P152253	1.50	0.010	0.20	69.0	35.0
		<b>Carbonatation faible;</b>	398.50	399.00	P151095	0.50	0.013	1.30	100.0	61.0
		<b>Hématitisation tr; Epidotisation tr;</b>	399.00	400.50	P152254	1.50	0.020	0.20	73.0	60.0
		<b>Séricitisation tr</b>	400.50	402.00	P152256	1.50	0.010	0.20	73.0	46.0
			406.00	407.00	P152257	1.00	0.010	0.10	39.0	40.0



MAUDORE MINERALS Ltd

AC NG CB

Description		Analyse							
		De	À	Numéro	Longueur	Au_Final (g/t)	Ag_Final (ppm)	Cu_Final (ppm)	Zn_Final (ppm)
		407.00	408.00	P152258	1.00	0.010	0.30	66.0	48.0
	Entre 395.7-415.8m: Sil+ pervasive; Chl+ pervasive; Bt moy. en bandes ou liserés;	413.50	414.50	P152259	1.00	0.005	0.10	40.0	37.0
	Ab moy. en poches de pFp blanc; Cb-vnl irrégulières; Hm tr, Ép tr, Sr tr. (Intervalle beaucoup plus sombre).	414.50	415.00	P152260	0.50	0.040	0.50	506.0	41.0
414.60	414.65								
	Cptr; Pylr Chalcopyrite tr; Pyrite tr À 414.6m: trace de Cpy/Py dans une vnl de Qtz à 35 deg tca concordante.								
414.60	414.65	415.00	416.00	P152262	1.00	0.005	0.10	54.0	40.0
	VEI; 100%; Qz; 35°; Py Cp; Veine 100% Quartz 35° Pyrite Chalcopyrite À 414.6m: trace de Cpy/Py dans une vnl de Qtz à 35 deg tca concordante.								
415.80	434.60	416.00	417.50	P152263	1.50	0.010	0.10	41.0	40.0
	SIL+; Chl+; CB; HM; ABtr; EPtr; SR-tr Silicification forte; Chloritisation forte; Carbonatation; Hématitisation; Albitisation tr; Épidotisation tr; Séricitisation faible tr	417.50	418.00	P152264	0.50	0.020	0.20	23.0	47.0
	Entre 415.8-450m: Sil+ pervasive; Chl+ pervasive; Cb. moy. Vn/Vnl; Hm moy. Vn/Vnl en association avec les Cb; Ab tr pFp; Ép tr; Sr tr	418.00	419.50	P152265	1.50	0.005	0.10	23.0	45.0
		419.50	420.60	P152266	1.10	0.010	0.10	38.0	49.0
420.60	422.20	420.60	421.50	P152267	0.90	0.005	0.10	22.0	33.0
	AMA; 30%; Cc Hm;;; Amas 30% Calcite Hématite	421.50	422.20	P152269	0.70	0.005	0.10	61.0	39.0
	Entre 420.6-422.2m: Amas de Vn de Calcite (Cb) 30% + Hm en trace; Aspect bréchique (in-situ) avec fragments mm à cm angulaire emportés dans la gangue calcitique. Calcite automorphe dans un vide (géode) entre 422-422.2m	422.20	423.00	P152270	0.80	0.020	0.10	53.0	39.0
		427.50	428.50	P152271	1.00	0.010	0.10	59.0	38.0
		428.50	429.00	P151096	0.50	0.002	0.10	30.0	42.0
		429.00	430.50	P152272	1.50	0.005	0.10	16.5	36.0
		433.00	434.50	P152273	1.50	0.030	0.10	63.0	60.0
		434.50	435.10	P152274	0.60	0.050	0.30	34.0	59.0
434.60	438.00								
	SIL+; Chl+; CB+; HM; BO- Silicification forte; Chloritisation forte; Carbonatation forte; Hématitisation; Biotisation faible Sil+ pervasive; Chl+ pervasive; Cb+ en Vn/Vnl et gangue de brèche; Hm moy en								

MAUDORE MINERALS Ltd

AL NG cm

Description			Analyse							
			De	À	Numéro	Longueur	Au_Final (g/t)	Ag_Final (ppm)	Cu_Final (ppm)	Zn_Final (ppm)
434.60	438.00	Vn/Vnl; Bi- en liserés	435.10	436.40	P152275	1.30	0.025	0.10	43.0	55.0
		AMA;;Cc Hm;;; <b>Amas Calcite Hématite</b>	436.40	437.50	P152276	1.10	0.010	0.10	29.0	53.0
		Amas de Vn de Calcite (Cb) 30% + Hm en Vnl; Aspect bréchique (in-situ) (434.6-435m et 435.2-435.5m) avec fragments mm à cm angulaire emportés dans la gangue calcitique.	437.50	438.20	P152277	0.70	0.010	0.10	61.0	49.0
438.00	456.00	SIL+; Chl+; BO; AB; CB- <b>Silicification forte; Chloritisation forte; Biotisation; Albitisation; Carbonatation faible</b>	438.20	439.20	P152278	1.00	0.010	0.10	58.0	53.0
			442.50	444.00	P152279	1.50	0.010	0.20	51.0	46.0
			444.00	444.60	P152281	0.60	0.040	0.10	93.0	44.0
		Sil+ pervasive; Chl+ pervasive; Bt moy. en bandes ou liserés; Ab moy. en poches de pFp blanc; Cb- vnl irrégulières	444.60	446.00	P152282	1.40	0.010	0.10	42.0	39.0
			452.10	453.00	P152283	0.90	0.005	0.20	27.0	47.0
			453.00	454.00	P152284	1.00	0.010	0.10	27.0	43.0
456.00	483.00	SIL+; Chl+; BO; CB-; AB- <b>Silicification forte; Chloritisation forte; Biotisation; Carbonatation faible; Albitation faible</b>	457.00	458.50	P152286	1.50	0.010	0.10	23.0	69.0
			458.50	459.00	P152287	0.50	0.050	0.10	33.0	66.0
			459.00	459.50	P151121	0.50	0.016	0.10	25.0	59.0
		Sil+ pervasive; Chl+ pervasive; Bt moy. en bandes ou liserés ; Cb- vnl irrégulières;	459.50	461.00	P152289	1.50	0.010	0.10	26.0	70.0
		Ab- localement en rares petits pFp blanc; Hm en traces	461.00	462.00	P152290	1.00	0.220	0.80	35.0	98.0
461.20	461.90	excepté: 462.9-478.4m: I2;pFpAm Py03 <b>Pyrite 3%</b> 3% Py en grains mm disséminés faiblement étirés selon la foliation								
		AMA;10%;Cb Hm Cl;;Py01; <b>Amas 10% Carbonate Hématite Chlorite Pyrite 1%</b> 2 petites veines cm de Cb±Hm avec Chl en allération en périphérie. Présence de Py (1%) en grains finement disséminés	462.00	462.90	P152292	0.90	0.010	0.10	38.0	67.0
462.90	478.40	I2; pFpAm <b>Intrusion Intermédiaire; Porphyre de</b>	477.00	478.00	P152293	1.00	0.010	0.10	70.0	71.0

Description		Analyse								
		De	À	Numéro	Longueur	Au_Final (g/l)	Ag_Final (ppm)	Cu_Final (ppm)	Zn_Final (ppm)	
<p><b>Feldspath et Amphibole</b> Intrusion intermédiaire Couleur gris sombre 15% pFp, 2-3mm, subarondis, blancs 5% amphiboles, plutôt en mouchetage noirâtre, 1-2mm</p> <p>Si+, Hm- à moy en Vn/Vnl, Cb- 1% Py en grains inframm disséminés</p> <p>Contacts sup et inf très irréguliers et anguleux</p>										
477.80	479.10	Py03	478.00	479.20	P152294	1.20	2.518	1.25	564.0	103.0
<p><b>Pyrite 3%</b> 3% Py en amas de 3-5mm difformes, et notamment au sein d'une veine de Cb concordante (60%) et en grains finement disséminés (40%)</p>										
478.70	478.90	VEI;100%;Cb;;Py03;	479.20	480.50	P152295	1.30	0.010	0.10	24.0	83.0
<p><b>Veine 100% Carbonate Pyrite 3%</b> Veine de 2-3cm de Cb à 30deg concordante avec 3% Py en amas ou grains disséminés</p>										
483.00	524.30	SIL+; Chl+; BO; AB; CB-	487.50	489.00	P152296	1.50	0.010	0.20	77.0	41.0
<p><b>Silicification forte; Chloritisation forte; Biotisation; Albitisation; Carbonatation faible</b></p>										
		Sil+ pervasive; Chl+ pervasive; Bt moy,	489.00	489.50	P151122	0.50	0.017	0.10	57.0	29.0
		en bandes ou liserés; Ab moy, en	489.50	491.00	P152297	1.50	0.010	0.10	66.0	51.0
		poches de pFp blanc à legerement	501.90	502.90	P152298	1.00	0.020	0.10	45.0	63.0
		verdâtres; Cb- vnl irrégulières	502.90	503.50	P152299	0.60	0.020	0.10	37.0	61.0
<p>excepté: 513-514.4m: I3;FIN</p>										
503.20	503.50	VEI;100%;Qz Cb Cl;;;	503.50	504.50	P152300	1.00	0.010	0.10	11.5	60.5
<p><b>Veine 100% Quartz Carbonate Chlorite</b> Veine de Qz+Cb+Chl de 40deg concordante. Pas de minéralisation visible</p>										
			504.50	505.50	P152301	1.00	0.010	0.10	49.0	49.0

Description		Analyse								
		De	À	Numéro	Longueur	Au_Final (g/l)	Ag_Final (ppm)	Cu_Final (ppm)	Zn_Final (ppm)	
513.00	514.40	I3; FIN	517.50	519.00	P152302	1.50	0.005	0.10	73.0	49.0
		Intrusion mafique 45°; Grains fins 45°	519.00	519.50	P151127	0.50	0.002	0.10	39.0	53.0
		Matrice à grains fins	519.50	521.00	P152303	1.50	0.005	0.10	48.0	57.0
		Couleur gris moyen verdâtre, matrice équi-grulaire, massive.	521.00	522.00	P152304	1.00	0.005	0.10	57.0	53.0
		Mouchetage Chl? Amp?	522.00	523.00	P152305	1.00	0.005	0.10	20.0	81.0
		Faible trace de Py.	523.00	524.30	P152306	1.30	0.005	0.10	46.0	87.0
		All. Sil+, Cb moy. diffuse + vnl; Hm- en vnl.								
		Contacts inf.et sup. franc et concordant à 45 deg tca.								
524.30	537.50	V1C; MAS								
		Rhyodacite; Massif								
		Rhyodacite.								
		Matrice à grains très fins de couleur gris moyen, teinte verdâtre localement.								
		Foliation moyennement développée à 25-30deg tca, marquée par l'éirement des grains matricielles.								
		Unité moyennement carbonatée de façon pervasive localement								
		Altération:								
		Sil+ pervasive + vnl, Pa forte pervasive, Cb en Vn/Vnl et localement faiblement pervasive (diffuse) + vnl, Sr- en fines laminations et altération autour de Vnl (?), Chl- en Vn/Vnl								
		Minéralisation:								
		Globalement, 5-7% Py en grains inframm disséminés (60%) ou en amas difformes de 3-5mm (30%) ou rares alignements de grains selon la foliation (10%)								
		Entre 531.4-531.5m: Bande à 30deg concordante avec Vnl Cb+Chl et amas de grains jointifs mm étirés selon la bande (10%)								
		Structure: De 531.6-531.9m: Roche fortement fracturée, morceaux de carotte anguleux de 3-10cm.								
		Contact inf. progressif sur 50cm avec assombrissement de la roche et apparition des pFp								

MAUDORE MINERALS Ltd

AL NG CB

Description			Analyse							
			De	À	Numéro	Longueur	Au_Final (g/t)	Ag_Final (ppm)	Cu_Final (ppm)	Zn_Final (ppm)
524.30	537.50	SIL+; PA+; CB; SR-; CHl- Silicification forte; Paragonite forte; Carbonatation; Séricitisation faible; Chloritisation faible Sil+ pervasive + vnl, Pa forte pervasive, Cb en Vn/Vnl et localement faiblement pervasive (diffuse) + vnl, Sr- en fines laminations et altération autour de Vnl (?), CHl- en Vn/Vnl								
524.30	537.50	Py06 <b>Pyrite 6%</b> Globalement, 5-7% Py en grains inframm disséminés (60%) ou en amas difformes de 3-5mm (30%) ou rares alignements de grains selon la foliation (10%) Entre 531.4-531.5m: Bande à 30deg concordante avec Vnl Cb+Chl et amas de grains jointifs mm étirés selon la bande (10%)	524.30	525.50	P152307	1.20	0.005	0.10	57.0	73.0
			525.50	526.20	P152308	0.70	0.005	0.10	29.0	47.0
			526.20	526.80	P152309	0.60	0.020	0.30	58.0	47.0
			526.80	528.00	P152311	1.20	0.005	0.20	15.0	50.0
			528.00	529.00	P152312	1.00	0.010	0.20	54.0	50.0
			529.00	530.30	P152313	1.30	0.010	0.20	80.0	61.0
			530.30	531.00	P152314	0.70	0.040	0.30	67.0	65.0
			531.00	531.60	P152316	0.60	0.410	1.30	51.0	75.0
531.60	531.90	FRC+ <b>Fracturation forte</b> Roche fortement fracturée, morceaux de carotte anguleux de 3-10cm.	531.60	533.00	P152318	1.40	0.060	0.40	81.0	55.0
			533.00	534.00	P152319	1.00	0.080	0.25	79.0	44.5
			534.00	534.50	P151128	0.50	0.133	0.40	110.0	54.0
			534.50	535.00	P152320	0.50	0.150	0.60	347.0	52.0
			535.00	536.50	P152321	1.50	0.110	0.30	87.0	46.0
			536.50	537.50	P152322	1.00	0.040	0.20	90.0	60.0
537.50	731.60	V2-V3; Tl <b>Volcanite intermédiaire à mafique; Tufs à lapillis</b> Volcanite intermédiaire à mafique. Tuf à lapillis. Rubané. Matrice à grains fins de couleur gris moyen à foncé (principalement), avec bandes d'altération verdâtre à brunâtre. Contient environ 10-15% de lapillis? chloritisés ± carbonatés ou biotisés, généralement étirés selon la foliation. Localement, les clastes peuvent être peu visibles, comme masqués par l'altération (?) Unité semblant plus massive jusqu'à 543m (clastes et	537.50	539.00	P152323	1.50	0.020	0.10	85.0	38.0
			539.00	540.50	P152324	1.50	0.020	0.10	36.0	32.0
			540.50	542.00	P152325	1.50	0.040	0.10	81.0	37.0
			542.00	543.00	P152326	1.00	0.070	0.10	43.0	35.0

Description	Analyse							
	De	À	Numéro	Longueur	Au_Final (g/t)	Ag_Final (ppm)	Cu_Final (ppm)	Zn_Final (ppm)
<p>foliation peu visibles)</p> <p>Foliation marquée par l'éirement des clastes? ou des grains matriciels, généralement proche de 30-35°ac</p> <p>Présence locale de petites poches de porphyre de Fld (proportion variable) blanc laiteux sub-arrondis, parfois orientées ou étirées selon le plan de foliation. Les porphyres de Fld sont généralement mm (infra-mm à 2mm) et sont répartis de façon hétérogène.</p> <p>Globalement 2-3% de Vn/Vn irrégulières de Cb/Chl</p> <p>Rares vn de Qtz+Cb blanche à rosé cm à dm discordantes.</p> <p>À partir de 597m: Seulement 2-3% de clastes mm à cm (max5cm) diformes généralement carbonatisé et chlorillé pas nécessairement suivant la foliation.</p> <p>Foliation modérée entre 30-35 deg tca, marquée par l'alternance des bandes d'altérations et parfois par les clastes.</p> <p>Entre 630-637.2m: Intervalle fortement minéralisé (3-5% Py) localement d'apparence plus pâle (patches beige).</p> <p>Altérations:</p> <p>De 537.5-543m: Si+ pervasive, Bo+ pervasive, Chl- en clastes peu visibles, Cb- en Vn/Vnl, Ab en traces sur les 30 premiers cm</p> <p>De 543-547.1m: Si moy à + pervasive, Chl+ pervasive localement et en altération autour des nombreuses Vnl de Cb, Cb moy en Vnl filamenteuses (stockwerk), Hm moy en Vn/Vnl parfois en association avec les Cb</p> <p>De 547.1-552m: Si+ pervasive, Chl+ en altération autour du mouchetage ou des Vn/Vnl de Cb (donnant un aspect verdâtre à la rochhe), Cb moy en Vn/Vnl et en petits grains mm disséminés dans la matrice (mouchetage), Bl- matricielle</p> <p>De 552-600m: Si+ pervasive, Bl- matricielle, Chl moy en clastes ou Vn/Vnl, Cb- en Vn/Vnl, Ab- en qqs grappes cm de pFp localisées, Sr en traces en qqs clastes subarrondis.</p> <p>Entre 600-618m: Si+ pervasive, Chl+ pervasive +</p>								

Description	Analyse							
	De	À	Numéro	Longueur	Au_Final (g/t)	Ag_Final (ppm)	Cu_Final (ppm)	Zn_Final (ppm)
<p>clastes+ Bt moyennes matricielle ou bandes d'allérations, Cb- vnl + clastes.</p> <p>Entre 618-627.3m: Si+ pervasive, Chl+ pervasive, Bt moy. à forte matricielle + bandes, Cb- vn/vnl+ clastes, Hm- en association avec Cb.</p> <p>Entre 627.3-630m: Si+ pervasive, Chl+ pervasive, Bt moy. à forte matricielle + bandes, Cb- vn/vnl+ clastes, Hm- en association avec Cb, Ab- en poches de petits porphyres blanc laiteux.</p> <p>Entre 630-637.2m: Si forte à intense pervasive, Chl+ pervasive, Bt+ pervasive, Sr moy. en patchs cm, Cb- vnl.</p> <p>Entre 637.2-708m: Si+ pervasive, Chl+ pervasive, Bt moy. matricielle ou en bandes, Cb- vn/vnl, Hm tr, Pa tr liseré, Sr tr. fines bandes.</p> <p>Entre 708-731.6m: Si+ pervasive, Bt+ pervasive matricielle, Pa moy. matricielle ou parfois en bandes diffuses, Chl- en veines ou bandes en association avec les Cb, Cb- accompagnant les veines de Chl.</p> <p>Minéralisation:</p> <p>De 537.5-561.5m: Py en traces en amas localisés et répartis de façon hétérogène. Et en qqs grains finement disséminés</p> <p>De 561.5-562.4m: 3% Py en grains finement disséminés et souvent étirés selon la foliation (70%) ou en qqs amas difformes (20%) ou rares alignements de grains selon la foliation (10%)</p> <p>De 562.4-567.9m: Py en traces à 0.5% en grains finement disséminés (70%) ou en qqs amas plutôt anguleux (20%) ou en alignements de grains dans des fractures (10%)</p> <p>De 567.9-574.6m: 1% Py en grains mm disséminés, répartition hétérogène (70%) ou qqs amas difformes de 5mm environ</p> <p>à 571.9m: Bande de Py dans une Vn de Cb+Chl. Épaisseur variant de 2mm-2cm</p> <p>De 576.4-578.1m: 5% Py en grains mm disséminés et étirés selon la foliation (50%) ou en alignements de grains selon la foliation (30%) ou en qqs amas difformes (20%)</p>								

AL NG CB

Description	Analyse							
	De	À	Numéro	Longueur	Au_Final (g/t)	Ag_Final (ppm)	Cu_Final (ppm)	Zn_Final (ppm)
<p>De 578.1-587.6m: 1-2% Py en amas localisés de 3mm-1cm (50%) ou en patchs cm de grains non jointifs (30%) ou en grains disséminés (20%)</p> <p>De 587.6-590m: 1% Py en grains mm disséminés (70%) u en amas pluri mm (30%)</p> <p>0.5% Sp en grains ocres dans des fines Vnl ou fissures remplies par des Cb</p> <p>De 590-595.9m: 0.5-1% Py en grains disséminés, répartition hétérogène (80%) ou en qqs amas difformes (20%)</p> <p>De 595.9-596.3m: 15% Py en amas floconneux de 5mm environ souvent jointifs formant des grosses grappes plurim, au sein de clastes subarrondis pluri cm de Sr</p> <p>De 596.3-598m: Py en traces en rares grains mm disséminés.</p> <p>Entre 598-630m: Globalement 2% Py; Minéralisation très hétérogène dans cet intervalle, principalement distribué en patchs semi-massive cm constitué d'amas mm (75% minéralisation), 0.5% Py disséminée ou en fins amas dans la matrice.</p> <p>Entre 630-637.2m: Globalement 3-5% Py finement disséminée (75%) ou en fins amas mm (20%), parfois en fines bandes d'alignement de grains suivant la foliation (5%). Intervalle dm de Py finement disséminée atteignant 5-10% Py.</p> <p>Entre 637.2-669.5m: Globalement 0.5% Sulfure (Py/Po); répartition hétérogène de la min. principalement concentré en patchs d'amas, tandis que matrice pratiquement stérile.</p> <p>0.25% Py en patchs mm à cm d'amas infra-mm à mm légèrement allongé parfois suivant la foliation.</p> <p>0.25% Po en patchs mm à cm d'amas infra-mm à mm légèrement allongé parfois suivant la foliation.</p> <p>Trace de Cpy à 662.2m en amas globuleux (4mm diamètre).</p> <p>Entre 669.5-670.1m: Globalement 0.5% Sulf. (75% Cpy; 25% Po); en amas mm diforme sans orientation préférentielle, Po/Cpy en association. Aussi fines bandes discontinues de Po (alignement de grains).</p> <p>Entre 670.1-678.8m :Globalement 0.5% Sulfure</p>								



Description	Analyse							
	De	À	Numéro	Longueur	Au_Final (g/t)	Ag_Final (ppm)	Cu_Final (ppm)	Zn_Final (ppm)
<p>(Py/Po); répartition hétérogène de la min. principalement concentré en patchs d'amas, tandis que matrice pratiquement stérile.</p> <p>0.25% Py en patchs mm à cm d'amas infra-mm à mm légèrement allongé parfois suivant la foliation.</p> <p>0.25% Po en patchs mm à cm d'amas infra-mm à mm légèrement allongé parfois suivant la foliation.</p> <p>Entre 678.8-687.3m: Seulement des traces de Py.</p> <p>Entre 687.3-688.4m: 3% Py principalement en amas mm (80%) (max 3mm); aussi disséminée grains infra-mm (20%).</p> <p>Entre 688.4-699.7m: Trace-0.5% Py principalement en amas mm isolés ou patchs cm d'amas mm. Rares bandes d'amas mm orientée dans la foliation.</p> <p>Entre 699.7-715m: 1-2% Py disséminée (grains infra-mm) ou en amas (max 1mm) disséminée dans la matrice; amas de Py souvent retrouvé dans les veines de Ch/Cb. Trace de Sp entre 710.5-710.7m en amas jaune-brun dans une veine de Qtz/Cb se retrouvant dans un intrusif pegmatitique.</p> <p>Entre 715-731.6m: 3-5% Py en amas globuleux disséminée dans la matrice (80%) allant de 1mm à 1cm; aussi en fine dissémination (20%) en grains infra-mm. Localement les amas regroupés dans la foliation formant des bandes continues à discontinues. Trace de Sp 720.5m en amas brun-jaune dans une veine de carbonate.</p> <p>Structure:</p> <p>Unité globalement moyennement fracturée, avec des passages de 30-80cm fortement fracturés, 70% simple, 30% conjuguée, 30-70deg AC</p> <p>De 544.3-544.6m: Zone de faille avec émiettage de la roche sur les 5 premiers centimètres de la roche et des fragments mm anguleux de V2V3 hématisés dans un ciment mafique (chlorite?) faiblement consolidé par la silicification. Faille semblant influencer de 543-547.1m avec présence de nombreuses Vn/Vnl de Cb+Hm</p> <p>De 565.1-565.4m: Zone de faille avec silicification moyenne, fragments cm de V2V3 dans une matrice</p>								

AC NG PR

Description	Analyse							
	De	À	Numéro	Longueur	Au_Final (g/l)	Ag_Final (ppm)	Cu_Final (ppm)	Zn_Final (ppm)
<p>mafique peu visible. Faille semblant être concordante De 570.9-571.7m: Roche moyennement à fortement fracturée avec stockwerk de Cb (zone de faille?). De 598.7-598.8m: Zone de brèche avec des fragments anguleux de Sil pluri cm dans une gangue mafique (Chl noire?). Entre 622.1-623.7m: Fracturation forte, fragments mm à cm angulaires. Entre 624.4-625.5m: Fracturation forte, fragments généralement cm, sub-angulaire, facilement friable. Entre 625.5-625.30m: Faille mineure (boue de faille + fine gravel) à 55 deg tca. Entre 625.30-625.5m: Fracturation forte, fragments sub-arrondis mm à cm. Entre 625.5-625.55m: Faille mineure (boue de faille + fine gravel) à 50 deg tca.</p> <p>Veines: Entre 712.1-715m: Amas de veines de Qtz blanche laiteuse (50%) associée avec des patches de Chl/Cb + patches de Sr.</p> <p>Contact inf. franc et ondulant et concordant, orientation générale à 35 deg tca.</p> <p>EXCEPTÉ: - 573.3 à 573.8: I3;FIN - 611.6 à 613.9: I2;pFpAm - 614.5 à 618: I2;pFpAm - 622.5 à 623.7: I3 - 630.6 à 631: - 637.2 à 647.7: - 696.5 à 697: - 700.1 à 701.4:</p>								
537.50	543.00	SIL+; BO+; Chl-; CB- Silicification forte; Biotisation forte; Chloritisation faible; Carbonatation faible Si+ pervasive, Bo+ pervasive, Chl- en						

MAUDORE MINERALS Ltd

AC WG CR

Description		Analyse							
		De	À	Numéro	Longueur	Au_Final (g/t)	Ag_Final (ppm)	Cu_Final (ppm)	Zn_Final (ppm)
543.00	547.10	clastes peu visibles, Cb- en Vn/Vnl, Ab en traces sur les 30 premiers cm SIL+; Chl+; CB; HM Silicification forte; Chloritisation forte; Carbonatation; Hématitisation Si moy à + pervasive, Chl+ pervasive localement et en altération autour des nombreuses Vnl de Cb, Cb moy en Vnl filamenteuses (stockwerk), Hm moy en Vn/Vnl parfois en association avec les Cb							
543.00	547.10	543.00	544.00	P152327	1.00	0.020	0.10	17.0	28.0
		544.00	545.00	P152328	1.00	0.060	0.30	138.0	50.0
		545.00	546.00	P152329	1.00	0.030	0.40	33.0	32.0
		546.00	547.10	P152330	1.10	0.030	0.40	38.0	28.0
		Zone de faille (544.3-544.6m) avec émiettage de la roche sur les 5 premiers centimètres de la roche et des fragments mm anguleux de V2V3 hématitisés dans un ciment mafique (chlorite?) faiblement consolidé par la silicification. Faille semblant influencer de 543-547.1m avec présence de nombreuses Vn/Vnl de Cb+Hm							
547.10	552.00	547.10	548.50	P152331	1.40	0.010	0.10	14.0	32.0
		SIL+; Chl+; CB; BO- Silicification forte; Chloritisation forte; Carbonatation; Biotitisation faible Si+ pervasive, Chl+ en altération autour du mouchetage ou des Vn/Vnl de Cb (donnant un aspect verdâtre à la roche), Cb moy en Vn/Vnl et en petits grains mm disséminés dans la matrice (mouchetage), Bt- matricielle							
552.00	600.00	560.00	561.50	P152332	1.50	0.030	0.20	57.0	64.0
		SIL+; BO+; Chl; CB-; AB- Silicification forte; Biotitisation forte; Chloritisation; Carbonatation faible; Albitisation faible Si+ pervasive, Bt+ matricielle, Chl moy en clastes ou Vn/Vnl, Cb- en Vn/Vnl, Ab- en							

MAUDORE MINERALS Ltd

AC NG CR

Description			Analyse								
			De	À	Numéro	Longueur	Au_Final (g/t)	Ag_Final (ppm)	Cu_Final (ppm)	Zn_Final (ppm)	
		qqs grappes cm de pFp localisées, Sr en traces en qqs clastes subarrondis									
		excepté: 573.3-573.8m: I3;FIN									
561.50	562.40	Py03 <b>Pyrite 3%</b> 3% Py en grains finement disséminés et souvent étirés selon la foliation (70%) ou en qqs amas difformes (20%) ou rares alignements de grains selon la foliation (10%)	561.50	562.50	P152333	1.00	19.707	6.20	462.0	599.5	
562.40	567.90	Py00.5 <b>Pyrite 0.5%</b> Py en traces à 0.5% en grains finement disséminés (70%) ou en qqs amas plutôt anguleux (20%) ou en alignements de grains dans des fractures (10%)	562.50	564.00	P152334	1.50	0.240	0.90	229.0	135.0	
			564.00	564.50	P151129	0.50	0.040	0.20	27.0	52.0	
			564.50	565.50	P152335	1.00	0.030	0.20	27.0	46.0	
565.10	565.40	FAI <b>Faïlle</b> Zone de faille avec silicification moyenne, fragments cm de V2V3 dans une matrice mafique peu visible. Faille semblant être concordante	565.50	567.00	P152336	1.50	0.060	0.20	94.0	37.0	
			567.00	568.50	P152337	1.50	0.040	0.20	74.0	40.0	
567.90	574.60	Py01 <b>Pyrite 1%</b> 1% Py en grains mm disséminés, répartition hétérogène (70%) ou qqs amas difformes de 5mm environ à 571.9m: Bande de Py dans une Vn de Cb+Chl. Épaisseur variant de 2mm-2cm	568.50	570.00	P152338	1.50	0.010	0.20	34.0	33.0	
			570.00	570.70	P152339	0.70	0.080	0.90	262.0	58.0	
			570.70	571.80	P152340	1.10	0.390	1.00	233.0	373.0	
		excepté: 573.3-573.8m: I3;FIN									
570.90	571.70	FRC+ <b>Fracturation forte</b> Roche moyennement à fortement fracturée avec stockwerk de Cb (zone de faille?).	571.80	572.30	P152341	0.50	0.130	0.80	211.0	41.0	
			572.80	573.50	P152343	0.70	0.040	0.30	106.0	103.0	
573.30	573.80	I3; FIN	573.50	574.50	P152345	1.00	0.030	0.20	78.0	74.0	

MAUDORE MINERALS Ltd

AL NG CG

Description		Analyse								
		De	À	Numéro	Longueur	Au_Final (g/t)	Ag_Final (ppm)	Cu_Final (ppm)	Zn_Final (ppm)	
Intrusion mafique 60°; Grains fins 60° Intrusion mafique (ou V3;MAS?) Couleur vert sombre Roche massive et homogène composée d'une matrice fine Si+, CHl+ Py en traces		574.50	575.50	P152346	1.00	0.200	0.50	181.0	111.0	
Contacts sup et inf de 60deg discordant										
574.60	578.10	Py05	575.50	576.30	P152348	0.80	0.050	0.20	81.0	52.0
Pyrite 5%		576.30	577.00	P152349	0.70	0.240	0.70	276.0	81.0	
5% Py en grains mm disséminés et étirés selon la foliation (50%) ou en alignements de grains selon la foliation		577.00	578.00	P152350	1.00	0.255	0.80	289.5	102.5	
(30%) ou en qqs amas difformes (20%)		578.00	579.50	P152351	1.50	0.050	0.30	106.0	238.0	
578.10	587.60	Py02	579.50	580.50	P152352	1.00	0.050	0.20	68.0	56.0
Pyrite 2%		580.50	582.00	P152353	1.50	0.040	0.20	67.0	51.0	
1-2% Py en amas localisés de 3mm-1cm (50%) ou en patchs cm de grains non jointifs (30%) ou en grains disséminés (20%)		582.00	582.60	P152354	0.60	0.130	0.70	58.0	173.0	
		582.60	583.30	P152355	0.70	0.170	1.30	306.0	359.0	
		583.30	583.80	P152356	0.50	0.210	1.20	247.0	771.0	
		583.80	585.00	P152357	1.20	0.210	0.80	277.0	404.0	
		585.00	585.90	P152359	0.90	0.110	0.70	303.0	82.0	
		585.90	587.40	P152360	1.50	0.030	0.30	103.0	518.0	
		587.40	588.00	P152361	0.60	0.050	0.40	67.0	1 345.0	
587.60	590.00	Py01; Sp00.5	588.00	589.00	P152363	1.00	0.010	0.20	45.0	81.0
Pyrite 1%; Sphalérite 0.5%		589.00	590.00	P152364	1.00	0.040	0.30	51.0	931.0	
1% Py en grains mm disséminés (70%) u en amas pluri mm (30%) 0.5% Sp en grains ocres dans des fines Vnl ou fissures remplies par des Cb										
589.70	589.80	BRE								
Bréchiqne Zone de brèche avec des fragments anguleux de Sil pluri cm dans une gangue mafique (Chl noire?)										
590.00	595.90	Py01	590.00	591.50	P152365	1.50	0.010	0.20	68.0	821.0
Pyrite 1%		591.50	593.00	P152366	1.50	0.010	0.20	46.0	332.0	
0.5-1% Py en grains disséminés,		593.00	594.00	P152367	1.00	0.010	0.20	35.0	164.0	

MAUDORE MINERALS Ltd

AC NG CB

Description			Analyse							
			De	À	Numéro	Longueur	Au_Final (g/t)	Ag_Final (ppm)	Cu_Final (ppm)	Zn_Final (ppm)
		répartition hétérogène (80%) ou en qqs amas difformes (20%)	594.00	594.50	P151130	0.50	0.019	0.30	55.0	85.0
			594.50	595.80	P152368	1.30	0.010	0.10	42.0	48.0
			595.80	596.30	P152369	0.50	0.270	0.80	93.0	43.0
595.90	596.30	Py15 <b>Pyrite 15%</b> 15% Py en amas floconneux de 5mm environ souvent jointifs formant des grosses grappes plurim, au sein de clastes subarrondis pluri cm de Sr								
596.30	630.00	Py02 <b>Pyrite 2%</b> Entre 598-630m: Globalement 2% Py; Minéralisation très hétérogène dans cet intervalle, principalement distribué en patchs semi-massive cm constitué d'amas mm (75% minéralisation), 0.5% Py disséminée ou en fins amas dans la matrice.  Excepté : 611.6-613.9 : I2; pFpAm 614.5-618 : I2; pFpAm 622.5-623.7 : I3 623.7-625.5 : I1F	596.30	597.50	P152371	1.20	0.005	0.10	52.0	42.0
			597.50	598.50	P152372	1.00	0.005	0.10	46.0	49.0
			598.50	600.00	P152373	1.50	0.008	0.10	39.0	42.0
600.00	618.00	SIL+; Chl+; BO; CB- <b>Silicification forte; Chloritisation forte; Biotisation; Carbonatation faible</b> Entre 600-618m: Si+ pervasive, Chl+ pervasive + clastes+ Bt moyennes matricielle ou bandes d'altérations, Cb-vnl + clastes.  Excepté: 611.6-613.9m: I2pFpAm 614.5-618m: I2pFpAm	600.00	601.50	P152374	1.50	0.020	0.10	32.0	53.0
			601.50	603.00	P152375	1.50	0.005	0.15	24.5	34.5
			603.00	604.50	P152376	1.50	0.010	0.10	31.0	68.0
			604.50	605.10	P152377	0.60	0.030	0.10	33.0	32.0
			605.10	606.00	P152378	0.90	0.020	0.10	49.0	174.0
			606.00	606.50	P152379	0.50	0.030	0.40	68.0	50.0
			606.50	607.50	P152381	1.00	0.010	0.10	34.0	48.0
			607.50	609.00	P152382	1.50	0.010	0.10	33.0	256.0
			609.00	610.50	P152383	1.50	0.010	0.10	45.0	337.0
			610.50	611.60	P152384	1.10	0.010	0.10	42.0	50.0
611.80	613.90	I2; pFpAm Intrusion Intermédiaire; Porphyre de Feldspath et Amphibole	613.90	614.50	P152385	0.60	0.090	0.50	56.0	45.0

MAUDORE MINERALS Ltd

AC NG CR

Description		Analyse								
		De	À	Numéro	Longueur	Au_Final (g/t)	Ag_Final (ppm)	Cu_Final (ppm)	Zn_Final (ppm)	
614.50	618.00	Intrusif intermédiaire à pFp et Amp. Matrice à grains fins de couleur gris moyen. Contient 30% de pFp blanc laiteux, aub-arrondis à prismatique, 1-3mm. Aucune trace de Min. Hm en trace, Sil+.								
		Contact sup. franc et concordant à 45 deg tca. Conact inf. franc et concordant à 20 deg tca.								
		I2; pFpAm Intrusion intermédiaire; Porphyre de Feldspath et Amphibole								
		Intrusif intermédiaire à pFp et Amp. Matrice à grains fins de couleur gris moyen. Contient 30% de pFp blanc laiteux, aub-arrondis à prismatique, 1-3mm. Aucune trace de Min. Hm moy., Sil+.								
		Unité moyennement fracturée.								
618.00	627.30	Contact sup. quelques peu diffus et discordant à 25 deg tca. Conact inf. perdus dans une zone de fracturation.								
		SIL+; Chl+; BO+; HM-; CB-	618.00	619.00	P152386	1.00	0.250	1.30	638.0	81.0
		Silicification forte; Chloritisation forte; Blotisation forte;	619.00	620.00	P152388	1.00	0.040	0.30	55.0	155.0
		Hématisation faible;	620.00	621.00	P152389	1.00	0.050	0.20	153.0	161.0
		Carbonatation faible	621.00	621.50	P152390	0.50	0.010	0.10	43.0	117.0
		Entre 618-627.3m: Si+ pervasive, Chl+ pervasive, Bt moy. à forte matricielle + bandes, Cb- vn/vnl+ clastes, Hm- en association avec Cb.	621.50	622.50	P152391	1.00	0.005	0.10	33.0	48.0
		Excepté: 622.5-623.7m: I3 623.7-625.5m: I1F								
622.10	623.70	FRC+ Fracturation forte Entre 622.1-623.7m: Fracturation forte,								

AC NG 03

Description			Analyse						
			De	À	Numéro	Longueur	Au_Final (g/t)	Ag_Final (ppm)	Cu_Final (ppm)
622.50	623.70	<p>I3</p> <p><b>Intrusion mafique</b> Intrusion mafique. Matrice à grains fins de couleur vert sombre. Massif, sans foliation. Fortement chloritisé, Hm faible à moyenne en vnl ou diffuse dans la matrice. Aucune trace de minéralisation. Unité fortement fracturée sur les 50 derniers cm.</p> <p>Contact sup. perdus dans une zone de fracturation. Contact inf. franc à 45 deg tca.</p>							
623.70	625.50	<p>I1F</p> <p><b>Aplite</b> Aplite. Matrice à grains très fins de couleur rougeâtre. Contient 10% de porphyre de Qtz arrondis, diffus, 1-2mm. Contient également 5% d'Amp en fines baguette sombre. (1mm) Matrice très siliceuse (Si+, Hm+ pervasive). Aucune trace de miné.</p> <p>Contact inf. à 55 deg tca.</p>							
624.40	625.25	<p>FRC+</p> <p><b>Fracturation forte</b> Entre 624.4-625.25m: Fracturation forte, fragments généralement cm, sub-angulaire, facilement friable.</p>							
625.25	625.30	<p>FAI</p> <p><b>Faille 55°</b> Entre 625.5-625.30m: Faille mineure (boue de faille + fine gravel) à 55 deg tca.</p>							
625.30	625.50	<p>FRC+</p> <p><b>Fracturation forte</b> Entre 625.30-625.5m: Fracturation forte,</p>							



MAUDORE MINERALS Ltd

AC NG CB

Description			Analyse							
			De	À	Numéro	Longueur	Au_Final (g/t)	Ag_Final (ppm)	Cu_Final (ppm)	Zn_Final (ppm)
625.50	625.55	fragments sub-arrondis mm à cm. FAI	625.50	626.60	P152392	1.10	0.080	0.20	248.0	57.0
		Faille 50° Entre 625.5-625.55m: Faille mineure (boue de faille + fine gravel) à 50 deg lca.	626.60	628.00	P152393	1.40	0.010	0.10	140.0	48.0
627.30	630.00	SIL+; Chl+; BO+; CB-; AB-; HM- Silicification forte; Chloritisation forte; Blotisation forte; Carbonatation faible; Albitisation faible; Hématitisation faible Entre 627.3-630m: Si+ pervasive, Chl+ pervasive, Bt moy. à forte matricielle + bandes, Cb- vn/vnl+ clastes, Hm- en association avec Cb, Ab- en poches de petits porphyres blanc laiteux.	628.00	629.50	P152394	1.50	0.010	0.10	89.0	36.0
			629.50	630.00	P151204	0.50	0.002	0.10	8.0	39.0
630.00	637.20	SIL++; Chl+; BO+; SR; CB- Silicification intense; Chloritisation forte; Blotisation forte; Séricitisation; Carbonatation faible Entre 630-637.2m: Si forte à intense pervasive, Chl+ pervasive, Bt+ pervasive, Sr moy. en patchs cm, Cb- vnl.  Excepté : 630.6-631 : IIF 45 deg								
630.00	637.20	Py04 Pyrite 4% Entre 630-637.2m: Globalement 3-5% Py finement disséminée (75%) ou en fins amas mm (20%), parfois en fines bandes d'alignement de grains suivant la foliation (5%). Intervalle dm de Py finement disséminée atteignant 5-10% Py.  Excepté : 630.6-631 : IIF 45 deg	630.00	630.60	P152395	0.60	0.010	0.10	11.0	43.0
630.60	631.00	IIF	630.60	631.30	P152397	0.70	0.010	0.10	12.0	24.0

MAUDORE MINERALS Ltd

AC NG CB

Description		Analyse							
		De	À	Numéro	Longueur	Au_Final (g/t)	Ag_Final (ppm)	Cu_Final (ppm)	Zn_Final (ppm)
	<b>Aplite 45*</b>	631.30	632.10	P152398	0.80	0.025	0.30	15.5	117.5
	Aplite.	632.10	633.00	P152399	0.90	0.030	0.50	60.0	118.0
	Matrice à grains très fins de couleur rougeâtre.	633.00	634.00	P152400	1.00	0.030	0.55	34.0	56.0
	Contient 10% de porphyre de Qtz arrondis, diffus, 1-2mm.	634.00	635.00	P152401	1.00	0.010	0.40	10.0	59.0
	Contient également 5% d'Amp en fines baguette sombre. (1mm)	635.00	636.00	P152402	1.00	0.020	0.70	22.0	115.0
	Matrice très siliceuse (Si+, Hm moy. pervasives). Aucune trace de miné.	636.00	637.20	P152403	1.20	0.010	0.50	12.0	192.0
	Contact sup. net et concordant à 45 deg tca. Contact inf. net et concordant à 50 deg tca.								
637.20	647.70								
	I2; pFpAm <b>Intrusion Intermediaire; Porphyre de Feldspath et Amphibole</b> Intrusif intermediaire à pFp et Amp. Matrice à grains fins de couleur gris moyen. Contient 30% de pFp blanc laiteux, aub-arrondis à prismatique, 1-3mm. Aucune trace de Min. Hm moy. pervasives, Sil+. Unité moyennement fracturée.								
	Contact sup. franc et concordant à 45 deg tca. Contact inf. franc et concordant à 10 deg tca.								
637.20	708.00								
	SIL+; Chl+; BO; CB-; HMtr; PAtr; SRtr <b>Silicification forte; Chloritisation forte; Biotisation; Carbonatation faible; Hématitisation tr; Paragonite tr; Séricitisation tr</b> Entre 637.2-700m: Si+ pervasives, Chl+ pervasives, Bt moy. matricielle ou en bandes, Cb- vn/vnl, Hm tr, Pa tr liseré, Sr tr fines bandes.	647.70	649.00	P152404	1.30	0.030	0.10	19.0	50.0
		649.00	650.50	P152406	1.50	0.020	0.10	12.0	41.0
		650.50	651.50	P152407	1.00	0.020	0.10	35.0	43.0
		651.50	652.50	P152408	1.00	0.030	0.20	75.0	36.0
		652.50	654.00	P152409	1.50	0.005	0.10	8.0	55.0
		654.00	655.50	P152410	1.50	0.020	0.10	11.0	43.0
		655.50	657.00	P152411	1.50	0.010	0.10	29.0	42.0
		657.00	657.50	P151205	0.50	0.007	0.10	50.0	20.0
	Excepté :	657.50	658.50	P152412	1.00	0.010	0.10	24.0	36.0
	637.2-647.7 : I2; pFpAm 672.4-672.7 : I1F	658.50	660.00	P152413	1.50	0.030	0.10	82.0	34.0

Description			Analyse							
			De	À	Numéro	Longueur	Au_Final (g/l)	Ag_Final (ppm)	Cu_Final (ppm)	Zn_Final (ppm)
		696.5-697m: I1F	660.00	660.50	P152414	0.50	0.350	0.90	386.0	65.0
		700.1-701.4m: I1G	660.50	661.50	P152416	1.00	0.180	0.60	351.0	36.0
			661.50	662.30	P152417	0.80	0.320	0.40	135.0	40.0
			662.30	663.00	P152418	0.70	0.120	0.10	28.0	50.0
			663.00	664.50	P152419	1.50	0.030	0.10	64.0	49.0
			664.50	666.00	P152420	1.50	0.025	0.15	94.0	46.5
			666.00	667.50	P152421	1.50	0.005	0.10	32.0	39.0
			667.50	669.00	P152422	1.50	0.010	0.10	71.0	47.0
			669.00	669.50	P152423	0.50	0.030	0.20	190.0	36.0
637.20	669.50	Py00.25; Po00.25 <b>Pyrite 0.25%; Pyrrhotine 0.25%</b> Entre 637.2-669.5m: Globalement 0.5% Sulfure (Py/Po); répartition hétérogène de la min. principalement concentré en patchs d'amas, tandis que matrice pratiquement stérile. 0.25% Py en patchs mm à cm d'amas infra-mm à mm légèrement allongé parfois suivant la foliation. 0.25% Po en patchs mm à cm d'amas infra-mm à mm légèrement allongé parfois suivant la foliation. Trace de Cpy à 662.2m en amas globuleux (4mm diamètre).  Excepté : 637.2-647.7 : I2; pFaAm 45 deg								
669.50	670.10	Cp00.4; Po00.1 <b>Chalcopyrite 0.4%; Pyrrhotine 0.1%</b> Entre 669.5-670.1m: Globalement 0.5% Sulf. (75% Cpy; 25% Po); en amas mm diforme sans orientation préférentielle, Po/Cpy en association. Aussi fines bandes discontinues de Po (alignement de grains).	669.50	670.10	P152425	0.60	0.073	0.35	406.0	36.5
670.10	678.80	Po00.25; Py00.25 <b>Pyrrhotine 0.25%; Pyrite 0.25%</b>	670.10	671.00	P152426	0.90	0.010	0.10	43.0	35.0

MAUDORE MINERALS Ltd

AC NG CB

Description		Analyse								
		De	À	Numéro	Longueur	Au_Final (g/t)	Ag_Final (ppm)	Cu_Final (ppm)	Zn_Final (ppm)	
		671.00	672.00	P152427	1.00	0.010	0.10	3.0	31.0	
		672.00	673.50	P152428	1.50	0.010	0.10	3.0	31.0	
<p>Entre 670.1-678.8 :Globalement 0.5% Sulfure (Py/Po); répartition hétérogène de la min. principalement concentré en patchs d'amas, tandis que matrice pratiquement stérile.</p> <p>0.25% Py en patchs mm à cm d'amas infra-mm à mm légèrement allongé parfois suivant la foliation.</p> <p>0.25% Po en patchs mm à cm d'amas infra-mm à mm légèrement allongé parfois suivant la foliation.</p> <p>Excepté : 672.4-672.7 : 11F</p>		673.50	675.00	P152430	1.50	0.020	0.10	54.0	35.0	
672.40	672.70	11F	675.00	676.50	P152431	1.50	0.040	0.20	103.0	34.0
		<b>Aplite</b>	676.50	677.70	P152432	1.20	0.100	0.20	252.0	36.0
		Aplite.	677.70	678.20	P152433	0.50	0.120	0.60	339.0	122.0
		Matrice à grains fins de couleur rougeâtre.	678.20	679.70	P152435	1.50	0.020	0.10	49.0	42.0
		Sil+, Hm+ pervasive.	679.70	681.00	P152436	1.30	0.020	0.10	43.0	32.0
		Aucune trace de min.	681.00	682.50	P152437	1.50	0.030	0.10	59.0	31.0
		Micas verdâtre translucide (muscovite) dans les fractures.	682.50	684.00	P152438	1.50	0.020	0.10	35.0	38.0
		Contacts sup et inf. franc et discordant à 30 deg tca.	684.00	685.50	P152439	1.50	0.020	0.10	40.0	43.0
			685.50	686.00	P151215	0.50	0.021	0.10	29.0	38.0
			686.00	687.30	P152440	1.30	0.070	0.10	73.0	49.0
687.30	688.40	Py03	687.30	688.40	P152441	1.10	2.060	0.40	195.0	58.0
		<b>Pyrite 3%</b>								
		Entre 687.3-688.4m: 3% Py principalement en amas mm (80%) (max 3mm); aussi disséminée grains infra-mm (20%)								
688.40	699.70	Py00.5	688.40	689.90	P152443	1.50	0.040	0.10	111.0	48.0
		<b>Pyrite 0.5%</b>	689.90	691.10	P152444	1.20	0.030	0.10	62.0	34.0
		Entre 688.4-699.7m: Trace-0.5% Py principalement en amas mm isolés ou patchs cm d'amas mm. Rares bandes d'amas mm orientée dans la foliation.	691.10	691.60	P152445	0.50	0.050	0.60	36.0	328.0
			691.60	693.00	P152446	1.40	0.040	0.10	53.0	35.0
			693.00	694.50	P152447	1.50	0.025	0.10	28.0	33.5
			694.50	696.00	P152448	1.50	0.150	0.10	148.0	46.0

MAUDORE MINERALS Ltd

AC NG 05

Description			Analyse							
			De	À	Numéro	Longueur	Au_Final (g/t)	Ag_Final (ppm)	Cu_Final (ppm)	Zn_Final (ppm)
696.50	697.00	Excepté: 696.5-697m: I1F	696.00	696.50	P152449	0.50	0.030	0.20	39.0	38.0
		I1F	696.50	697.00	P152450	0.50	0.008	0.15	4.5	11.5
		Aplite	697.00	698.50	P152451	1.50	0.090	0.20	97.0	45.0
		Aplite. Matrice à grains fins de couleur gris à rosé. Massif, fortement silicifié. Trace de Sp??? petits points rougeâtre. Si+, Hm-  Contact sup. et inf. franc à 35 deg tca concordant.	698.50	699.70	P152452	1.20	0.060	0.20	85.0	50.0
699.70	715.00	Py01.5; Spr Pyrite 1.5%; Sphalérite tr Entre 699.7-715m: 1-2% Py disséminée (grains infra-mm) ou en amas (max1mm) disséminée dans la matrice; amas de Py souvent retrouvé dans les veines de Ch/Cb. Trace de Sp entre 710.5-710.7m en amas jaune-brun dans une veine de Qtz/Cb se retrouvant dans un intrusif pegmatitique.  Excepté: 700.1-701.4m: I1G	699.70	700.20	P152453	0.50	0.220	0.30	250.0	46.0
700.10	701.40	I1G	701.40	702.00	P152454	0.60	0.120	0.20	158.0	44.0
		Pegmatite	702.00	703.50	P152456	1.50	0.250	0.30	269.0	52.0
		Pegmatite. Matrice à grains grossiers de couleur rosé.	703.50	705.00	P152457	1.50	0.140	0.10	26.0	43.0
		Amalgame de Fld grossier rosé et de Qtz blanc zénomorphe.	705.00	706.50	P152458	1.50	0.180	0.20	81.0	42.0
		5% de minéraux mafique en mouchetage vert sombre. Trace de Py. Chl- vnl, Cb- vnl.  Contacts sup. et inf. franc et discordant à 50 deg tca.	706.50	708.00	P152459	1.50	0.180	0.10	22.0	49.0
708.00	731.60	SIL+; BO+; PA; ChI-; CB- Silicification forte; Blotisation	708.00	709.50	P152460	1.50	0.300	0.40	29.0	288.0
			709.50	710.50	P152462	1.00	0.150	0.30	30.0	68.0

MAUDORE MINERALS Ltd

AC NG CB

Description			Analyse							
			De	À	Numéro	Longueur	Au_Final (g/t)	Ag_Final (ppm)	Cu_Final (ppm)	Zn_Final (ppm)
		forte; Paragonite; Chloritisation faible; Carbonatation faible	710.50	711.00	P152463	0.50	0.005	0.10	2.0	467.0
		Entre 708-731.6m: Si+ pervasive, Bt+ pervasive matricielle, Pa moy. matricielle ou parfois en bandes diffuses, Chl- en veines ou bandes en association avec les Cb, Cb- accompagnant les veines de Chl.	711.00	712.10	P152464	1.10	0.005	0.10	6.0	19.0
712.10	715.00	AMA:50%;Qz Cl Cc Sr;;; Amas 50% Quartz Chlorite Calcite Séricite	712.10	713.50	P152465	1.40	0.080	0.30	48.0	21.0
		Entre 712.1-715m: Amas de veines de Qtz blanche laiteuse (50%) associée avec des patchs de Chl/Cb + patchs de Sr.	713.50	714.00	P152466	0.50	0.080	0.10	24.0	10.0
			714.00	715.00	P152467	1.00	0.250	0.30	101.0	65.0
715.00	731.60	Py04; Sptr Pyrite 4%; Sphalérite tr	715.00	716.50	P152468	1.50	0.365	0.35	235.5	71.0
		Entre 715-731.6m: 3-5% Py en amas globuleux disséminée dans la matrice (80%) allant de 1mm à 1cm; aussi en fine dissémination (20%) en grains infra-mm. Localement les amas regroupés dans la foliation formant des bandes continues à discontinues. Trace de Sp 720.5m en amas brun-jaune dans une veine de carbonate.	716.50	717.00	P151216	0.50	0.319	0.20	144.0	88.0
			717.00	718.00	P152469	1.00	0.760	0.70	339.0	125.0
			718.00	719.00	P152470	1.00	0.590	0.80	416.0	129.0
			719.00	719.90	P152471	0.90	0.350	0.50	348.0	86.0
			719.90	720.70	P152472	0.80	0.490	0.30	54.0	1 295.0
			720.70	722.20	P152473	1.50	0.430	0.50	91.0	81.0
			722.20	723.70	P152475	1.50	0.520	0.25	80.0	61.0
			723.70	725.20	P152476	1.50	0.320	0.20	19.0	72.0
			725.20	726.70	P152477	1.50	0.430	0.10	12.0	80.0
			726.70	728.20	P152478	1.50	0.560	0.10	18.0	48.0
			728.20	729.00	P152479	0.80	0.790	0.30	308.0	59.0
			729.00	730.00	P152481	1.00	0.270	0.20	39.0	66.0
			730.00	731.00	P152482	1.00	0.410	0.40	293.0	73.0
			731.00	731.60	P152484	0.60	0.210	0.20	44.0	52.0
731.60	741.90	V1C: pQz; MAS Rhyodacite; Porphyre de Quartz; Massif Volcanite felsique à pQz. Massive. Matrice à grains fins de couleur gris pâle avec patchs ou bandes brunâtre (biotisation). Contient approximativement 2% de porphyres de Qtz								

MAUDORE MINERALS Ltd

AC UG CB

Description	Analyse							
	De	À	Numéro	Longueur	Au_Final (g/t)	Ag_Final (ppm)	Cu_Final (ppm)	Zn_Final (ppm)
<p>bleuté, arrondis, de 2-3mm.</p> <p>Forte foliation à 30 deg lca, marquée par l'alignement des minéraux d'altération tel que la paragonite et la biotite.</p> <p>Rares vn de Qtz blanche en amas entre 737.4-737.6m.</p> <p>Allération: Paragonite+ pervasive dans la matrice, Biotite moyenne en patchs ou bandes brunâtre, Si moy. pervasive, Chl- en bandes cm, Cb en trace avec la Chl, Sr- en patchs jaune-blanche. Serpentine en trace dans les fractures.</p> <p>Minéralisation: Globalement 1-2% Py disséminée dans la matrice, souvent regroupé en bandes mm (50%) suivant la foliation, associé à des bandes chloritique plus sombre. Aussi en amas mm (1-2mm).</p> <p>Structure: Roche moyennement fracturée, fracture à bas angle formant des wedges, contenant Serpentine sur les fractures. Entre 739.4-740.4m: Fortement fracturée fragments cm à pluri-cm angulaires.</p> <p>Contact inf. progressif, diffus avec la disparition des pQz.</p>	731.60	741.90	PA+; BO; SIL; Chl-; SR-; CBtr; STtr Paragonite forte; Biotisation; Silicification; Chloritisation faible; Séricitisation faible; Carbonatation tr; Serpentinisation tr Paragonite+ pervasive dans la matrice, Biotite moyenne en patchs ou bandes brunâtre, Si moy. pervasive, Chl- en bandes cm, Cb en trace avec la Chl, Sr- en patchs					

Description			Analyse								
			De	À	Numéro	Longueur	Au_Final (g/t)	Ag_Final (ppm)	Cu_Final (ppm)	Zn_Final (ppm)	
		jaune-blanche. Serpentine en trace dans les fractures.									
731.60	741.90	Py01.5	731.60	732.40	P152485	0.80	0.040	0.20	3.0	25.0	
		<b>Pyrite 1.5%</b>	732.40	733.90	P152486	1.50	0.060	0.10	6.0	21.0	
		Globalement 1-2% Py disséminée dans la matrice, souvent regroupé en bandes mm (50%) suivant la foliation, associé à des bandes chloritique plus sombre.	733.90	735.00	P152487	1.10	0.450	0.10	27.0	21.0	
		Aussi en amas mm (1-2mm).	735.00	736.50	P152488	1.50	0.830	0.30	9.0	20.0	
			736.50	738.00	P152489	1.50	1.140	0.20	9.0	20.0	
			738.00	739.50	P152490	1.50	0.450	0.20	25.0	27.0	
739.40	740.40	FRC+	739.50	741.00	P152491	1.50	3.335	0.50	31.0	35.0	
		<b>Fracturation forte</b>	741.00	741.90	P152492	0.90	9.735	1.20	13.0	18.0	
		Entre 739.4-740.4m: Fortement fracturée fragments cm à pluri-cm angulaires.									
741.90	746.00	V1C; MAS									
		<b>Rhyodacite; Massif</b>									
		Volcanite felsique massive.									
		Matrice à grains fins de couleur gris pâle, faiblement verdâtre à jaunâtre par endroit.									
		Rares porphyres de Qtz bleuté arrondis (1-3mm).									
		Unité massive ne contenant pas de porphyre de Qtz.									
		Faible foliation à 45 deg tca, marquée par l'alignement des minéraux matricielles comme la paragonite, ainsi que par les bandes de chlorite.									
		Quelques bandes brunâtre (biotisé).									
		Altération: Pa+ pervasive dans la matrice, Si moy. pervasive, Chl- en vnl irrégulières, Bt- en bandes concordantes mm à cm.									
		Minéralisation:									
		Globalement 1% Py finement disséminée (grains infra-mm). Trace de Sp dans une vnl de chl à 744.2m.									
		Contact inf. franc à 15 deg tca.									
741.90	746.00	PA+; SIL; Chl-; BO-									
		<b>Paragonite forte; Silicification;</b>									
		<b>Chloritisation faible; Biotisation faible</b>									
		Altération: Pa+ pervasive dans la									



MAUDORE MINERALS Ltd

AL NG 03

Description			Analyse								
			De	À	Numéro	Longueur	Au_Final (g/t)	Ag_Final (ppm)	Cu_Final (ppm)	Zn_Final (ppm)	
		matrice, Si moy. pervasive, Chl- en vnl irrégulières, Bt- en bandes concordantes mm à cm.									
741.90	746.00	Py01; Spr	741.90	742.60	P152494	0.70	0.390	0.10	10.0	20.0	
		<b>Pyrite 1%; Sphalérite tr</b>	742.60	743.50	P152495	0.90	1.120	0.40	25.0	35.0	
		Globalement 1% Py finement disséminée (grains infra-mm). Trace de Sp dans une vnl de chl à 744.2m.	743.50	744.00	P151217	0.50	0.251	0.20	7.0	14.0	
			744.00	744.50	P152496	0.50	0.060	0.10	1.0	5.0	
			744.50	746.00	P152497	1.50	0.015	0.10	4.0	10.5	
746.00	750.90	V1C; pQz; MAS <b>Rhyodacite; Porphyre de Quartz; Massif</b> Volcanite felsique à pQz. Massive. Matrice à grains fins de couleur gris pâle avec patchs ou bandes brunâtre (biotisation) à verdâtre (chloritisation). Contient approximativement moins de 1% de porphyres de Qtz bleuté, arrondis, de 2-3mm. Forte foliation à 30 deg lca, marquée par l'alignement des minéraux d'altération tel que la paragonite et la biotite. Unité fortement fracturée, bréchifié.  Altération:Chl+ pervasive, Bt moy pervasive, Si moy pervasive. Sr- en amas, Pa- en fins liserés.  Minéralisation: Globalement 1% Py concentré en poches de dissémination ou amas mm, souvent retrouvés autour des poches de Chl.  Structure: Bréchification (in-stu) entre 746-750.5m; fragments pluri-cm de volcanite felsique angulaire à sub-angulaire (80%) dans une matrice blanchâtre, tendre et fibreuse (wallowstonite?). Présence de petits minéraux vert-jaune.  Contact inf. progressif vers un V2V3 avec la disparition des pQz.									

AC NG CR

Description			Analyse							
			De	À	Numéro	Longueur	Au_Final (g/l)	Ag_Final (ppm)	Cu_Final (ppm)	Zn_Final (ppm)
746.00	750.90	<p>Chl+; BO; SIL; SR-; PA-</p> <p><b>Chloritisation forte; Blotisation;</b></p> <p><b>Silicification; Séricitisation faible;</b></p> <p><b>Paragonite faible</b></p> <p>Altération: Chl+ pervasive, Bt moy pervasive, Si moy pervasive, Sr- en amas, Pa- en fins liserés.</p>								
746.00	750.50	<p><b>BRE</b></p> <p><b>Bréchique</b></p> <p>Entre 746-750.5m: Bréchification (in-stu) entre 746-750.5m; fragments pluri-cm de volcanite felsique angulaire à sub-angulaire (80%) dans une matrice blanchâtre, tendre et fibreuse (wallostonite?). Présence de petits minéraux vert-jaune.</p>								
746.00	750.90	<p>Py01</p> <p><b>Pyrite 1%</b></p> <p>Minéralisation: Globalement 1% Py concentré en poches de dissémination ou amas mm, souvent retrouvés autour des poches de Chl.</p>	746.00	747.00	P152498	1.00	0.165	0.20	14.0	316.0
			747.00	748.50	P152499	1.50	0.180	0.30	22.0	22.0
			748.50	750.00	P152500	1.50	0.280	0.10	4.0	25.0
			750.00	750.90	P152501	0.90	0.290	0.10	18.0	37.0
750.90	755.90	<p>V2-V3; TI</p> <p><b>Volcanite intermédiaire à mafique; Tufs à lapillis</b></p> <p>Volcanite intermédiaire à mafique. Tufs à lapillis. Matrice à grains fins de couleur grise à brunâtre. Contenant 5% de clastes? mm à cm, sub-arrondis à fortement allongé dans la foliation formant un rubannement.</p> <p>Forte foliation à 40 deg tca, marquée par la rubannement entre les bandes d'altération verte et brunâtre.</p> <p>Quelques bandes grises plus pâle cm à dm insérées dans la foliation (paragonite).</p> <p>1-2% de Vn de Qtz/Cb irrégulières en remplissage de fractures.</p> <p>Rares vn de Chl irrégulières (tendres).</p> <p>Altération:</p>	750.90	751.90	P152502	1.00	0.460	0.30	51.0	90.0
			751.90	753.00	P152503	1.10	0.100	0.20	22.0	39.0

Description	Analyse							
	De	À	Numéro	Longueur	Au_Final (g/t)	Ag_Final (ppm)	Cu_Final (ppm)	Zn_Final (ppm)
<p>Entre 750.9-752.8m: Sr+ en bandes, Bt+ pervasive, Chl moy, Si moy, pervasive, Cb- vn irrégulières.</p> <p>Entre 752.8-755.9m: Bt+ pervasive, Chl+ pervasive, Pa moy, en bandes ou patches, Si moy, pervasive.</p> <p>Minéralisation: Entre 750.9-752.8m: 0.5%Py en patches de dissémination; trace de Sp 751.2m en amas regroupés dans une veine de Qtz/Chl. Entre 752.8-755.9m: 3% Py disséminée, parfois en bande d'alignement de grains discontinues suivant l'orientation de la foliation.</p> <p>Contact inf. franc et concordant à 45 deg tca.</p>								
<p>750.90 752.80 SR+; BO+; Chl; SIL; CB- <b>Séricitisation forte; Blotisation forte; Chloritisation; Silicification; Carbonatation faible</b> Entre 750.9-752.8m: Sr+ en bandes, Bt+ pervasive, Chl moy, Si moy, pervasive, Cb- vn irrégulières.</p>								
<p>750.90 752.80 Py00.5; Spr <b>Pyrite 0.5%; Sphalérite tr</b> Entre 750.9-752.8m: 0.5%Py en patches de dissémination; trace de Sp 751.2m en amas regroupés dans une veine de Qtz/Chl.</p>								
<p>752.80 755.90 BO+; Chl+; PA; SIL <b>Blotisation forte; Chloritisation forte; Paragonite; Silicification</b> Entre 752.8-755.9m: Bt+ pervasive, Chl+ pervasive, Pa moy, en bandes ou patches, Si moy, pervasive.</p>								
<p>752.80 755.90 Py03 <b>Pyrite 3%</b> Entre 752.8-755.9m: 3% Py disséminée, parfois en bande d'alignement de grains discontinues suivant l'orientation de la</p>	753.00	754.00	P152504	1.00	0.140	0.50	61.0	44.0
	754.00	755.00	P152506	1.00	0.170	0.10	43.0	40.0
	755.00	755.90	P152507	0.90	0.880	0.10	27.0	27.0

MAUDORE MINERALS Ltd

HC NG 03

Description		Analyse							
		De	À	Numéro	Longueur	Au_Final (g/t)	Ag_Final (ppm)	Cu_Final (ppm)	Zn_Final (ppm)
755.90	783.20	<p>foliation.</p> <p>V1C; pQz; MAS</p> <p><b>Rhyodacite; Porphyre de Quartz; Massif</b></p> <p>Volcanite felsique à porphyre de Qtz. Massif.</p> <p>Matrice à grains fins de couleur gris clair (pâle) avec des patchs brunâtre (biotisation).</p> <p>Contient moins de 1% de porphyre de Qtz bleuté, arrondis, 1-2mm, très localisés.</p> <p>Foliation modérée entre 30-40 deg tca, marquée par les fins minéraux d'altération matricielle (paragonite) ou parfois par les bandes brunâtre de biotite.</p> <p>Intervalle dm à métrique ressemblant parfaitement à un V2V3Tu mais avec rares pQz, ce sont dans ces intervalles altérés principalement en Bt que la minéralisation est la plus soutenue.</p> <p>Unité très très siliceuse (silicifiée) dans son ensemble.</p> <p>Unité d'apparence plutôt bizarre et irrégulières avec les patchs de biotite.</p> <p>Rare vn de Qtz blanche dm (non-minéralisé).</p> <p>Altération:</p> <p>Entre 755.9-774.2m: Si++ pervasive, Pa+ matricielle, Bt moyenne en patchs ou bandes, Chl- en vn/vnl vertes sombre irrégulières.</p> <p>Entre 774.2-783.2m: Si++ pervasive, Bt moy. à forte en patchs ou bandes, Pa moyenne pervasive hétérogène, Chl- à moyenne vn/vnl ou bandes, Sr- associé au vn de Chl.</p> <p>Minéralisation:</p> <p>Entre 755.9-763.8m: Seulement des traces de Py disséminée.</p> <p>Entre 763.8-765.4m: 2-3% Py disséminée (60%), aussi en amas (max2mm) (40%).</p> <p>Entre 765.4-774.2m: Globalement 1-2% Py disséminée.</p> <p>Entre 774.2-780.5m: 3-5% Py disséminée en grains infra-mm (60%), aussi en amas (max5mm) formant localement des bandes discontinues orientées dans la foliation.</p>							
		755.90	757.30	P152509	1.40	3.865	0.40	9.0	20.0
		757.30	758.00	P152510	0.70	0.140	0.20	7.0	261.0
		758.00	759.50	P152511	1.50	0.050	0.10	14.0	94.0

MAUDORE MINERALS Ltd

AC NG CB

Description		Analyse								
		De	À	Numéro	Longueur	Au_Final (g/t)	Ag_Final (ppm)	Cu_Final (ppm)	Zn_Final (ppm)	
755.90	774.20	Entre 780.5-783.2m: 1-2% Py disséminée (80%); aussi en amas (max2mm) (20%). Contact inf. diffus, progressif sur 20cm. SIL+*; PA*; BO; Chl- Silicification intense; Paragonite forte; Biotisation; Chloritisation faible Entre 755.9-774.2m: Si++ pervasive, Pa+ matricielle, Bt moyenne en patchs ou bandes, Chl- en vr/vnl vertes sombre irrégulières. Excepté: 759.5-763.3m: I3 769.8-773.1m: I2pFpAm								
759.50	763.30	I3; FIN	763.20	763.80	P152512	0.60	0.050	0.20	21.0	24.0
		Intrusion mafique; Grains fins; Grains fins Intrusion mafique. Matrice gris verdâtre sombre, à grains fins. Devenant à grains moyens au coeur de l'intrusif entre 760-762.7m. Équigranulaire et massif. Mouchetage chl ou Amp? Trace de Py jusqu'à 1% Py près des épontes. Contact sup. franc et discordant à 20 deg tca. Contact inf. franc et discordant à 30 deg tca								
763.80	765.40	Py02.5	763.80	764.50	P152513	0.70	0.120	0.40	17.0	210.0
		Pyrite 2.5%	764.50	765.40	P152515	0.90	0.140	0.50	12.0	247.0
		Entre 763.8-765.4m: 2-3% Py disséminée (60%), aussi en amas (max2mm) (40%).								
765.40	774.20	Py01.5	765.40	766.50	P152516	1.10	0.090	0.30	4.0	46.0
		Pyrite 1.5%	766.50	767.00	P152517	0.50	0.150	0.30	4.0	38.0
		Entre 765.4-774.2m: Globalement 1-2% Py disséminée.								
			767.00	767.50	P151225	0.50	1.860	0.20	11.0	51.0
			767.50	768.50	P152518	1.00	0.090	0.10	2.0	49.0
			768.50	769.80	P152519	1.30	0.180	0.20	6.0	41.0

MAUDORE MINERALS Ltd

AL NG CR

Description			Analyse							
			De	À	Numéro	Longueur	Au_Final (g/t)	Ag_Final (ppm)	Cu_Final (ppm)	Zn_Final (ppm)
769.80	773.10	I2; pFpAm Intrusion intermédiaire 40*; Porphyre de Feldspath et Amphibole 40* Intrusion intermédiaire à porphyre de Fld et amp. Matrice gris moyen à grains fins. Contenant 15% de porphyres de Fld blanc laiteux sub-arrondis, taille infra-mm à 3mm. Trace d'hématisation dans les porphyres localement. fins minéraux blanc en paillettes, luisant, dans la matrice (pa). Aucune min.  Contacts infé et sup. franc mais quelques peu ondulant, orientation générale à 40 deg lca.	773.10	774.10	P152520	1.00	0.060	0.10	5.0	55.0
			774.10	775.00	P152521	0.90	4.025	0.10	14.0	40.0
774.20	783.20	SIL++; BO; PA; Chl-; SR- Silicification intense; Blotisation; Paragonite; Chloritisation faible; Séricitisation faible Entre 774.2-783.2m: Si++ pervasivo, Bt moy. à forte en patchs ou bandes, Pa moyenne pervasivo hétérogène. Chl- à moyenne vn/vnl ou bandes. Sr- associé au vn de Chl,	775.00	776.00	P152522	1.00	0.305	0.20	14.0	25.5
			776.00	777.00	P152523	1.00	0.210	0.10	9.0	29.0
			777.00	777.50	P151226	0.50	0.287	0.10	5.0	29.0
			777.50	778.50	P152524	1.00	0.220	0.10	11.0	36.0
			778.50	779.50	P152525	1.00	0.180	0.10	15.0	30.0
779.50			779.50	780.50	P152526	1.00	0.130	0.10	9.0	36.0
774.20	780.50	Py04 Pyrite 4% Entre 774.2-780.5m: 3-5% Py disséminée en grains infra-mm (60%), aussi en amas (max5mm) formant localement des bandes discontinues orientées dans la foliation.								
780.50	783.20	Py01.5 Pyrite 1.5% Entre 780.5-783.2m: 1-2% Py disséminée (80%); aussi en amas (max2mm) (20%).	780.50	781.50	P152527	1.00	0.070	0.10	8.0	22.0
			781.50	782.00	P151227	0.50	0.033	0.10	0.5	21.0
			782.00	783.20	P152528	1.20	0.080	0.10	4.0	21.0
783.20	784.90	V2-V3; T1 Volcanite intermédiaire à mafique; Tufts à								

AC NG C3

Description	Analyse							
	De	À	Numéro	Longueur	Au_Final (g/t)	Ag_Final (ppm)	Cu_Final (ppm)	Zn_Final (ppm)
<p><b>lapillis</b>                      Volcanite intermédiaire à mafique; Tufs à lapillis.                      Matrice à grains fins de couleur brunâtre à verdâtre.                      Alternance de bandes d'altération verte (chlorite) à brunâtre (biotite).                      Forte foliation à 35 deg tca, marquée par le rubanement produit par l'alternance des bandes d'altération verte, brunâtre et plus rarement grise pâle (paragonite).                      Pourrait très bien être une volcanite felsique fortement altérée.</p> <p>Altération:                      Silicification forte à intense pervasive, Biotisation forte pervasive, Chloritisation forte pervasive, Sr moy- au pourtour des veines de Chl/Cb, Cb- en vn associé à la chl, Pa- en bandes grise pâle dans la foliation.</p> <p>Minéralisation:                      5% Py en amas (max 5mm) (60%) parfois regroupés ensemble; aussi en dissémination (40%), rares fines veinules.</p> <p>Contact inf. progressif sur 20cm.</p>								
<p>783.20      784.90      SIL+; BO+; Chl+; SR; CB-; PA-                      Silicification forte; Biotisation forte; Chloritisation forte; Séricitisation; Carbonatation faible; Paragonite faible</p>								
<p>783.20      784.90      Py05                      Pyrite 5%</p>	783.20	784.00	P152529	0.80	0.280	0.30	92.0	31.0
<p>5% Py en amas (max 5mm) (60%) parfois regroupés ensemble; aussi en dissémination (40%), rares fines</p>	784.00	784.90	P152531	0.90	0.230	0.10	24.0	32.0

AC NG 07

Description		Analyse						
		De	À	Numéro	Longueur	Au_Final (g/t)	Ag_Final (ppm)	Cu_Final (ppm)
784.90	789.00	<p>veinules.</p> <p>V1C; pQz; MAS</p> <p><b>Rhyodacite; Porphyre de Quartz; Massif</b></p> <p>Volcanite felsique à pQz. Massif.</p> <p>Matrice à grains fins de couleur gris clair (pâle) avec des patchs brunâtre (biotisation).</p> <p>Contient moins de 1% de pQz bleuté, arrondis, max 1mm diamètre, distribués en poche.</p> <p>Foliation faible, difficilement observable entre 30-40 deg tca, marquée par les fins minéraux d'altération matricielle (paragonite) ou parfois par les bandes brunâtre de biotite.</p> <p>On peut distinguer des fines paillettes matricielles de mica blancs dans toute la matrice.</p> <p>Unité très très siliceuse (silicifiée) dans son ensemble.</p> <p>Unité d'apparence plutôt bizarre et irrégulières avec les patchs de biotite et un réseau de vn/vnl gris claire recoupant l'unité dans toutes les directions.</p> <p>Serp. dans les fractures parfois.</p> <p>Altération:</p> <p>Si++ pervasive, Pa+ pervasive matricielle, Bt moy. en patchs brunâtre, Chl- vn/vn.</p> <p>Minéralisation:</p> <p>Globalement 2% Py finement disséminée dans la matrice, aussi en fins amas mm (max 1mm)</p> <p>Entre 786.3-786.5m: Regroupement d'amas plus grossiers (1-8mm diamètre) dans une intervalle de 20 cm (15% Sulf. dans cet intervalle).</p> <p>Contact inf. perdu dans une intrusif.</p>						
784.90	789.00	<p>SIL++; PA+; BO; Chl-</p> <p><b>Silicification intense; Paragonite forte; Biotisation; Chloritisation faible</b></p> <p>Si+++ pervasive, Pa+ pervasive matricielle, Bt moy. en patchs brunâtre, Chl- vn/vn.</p>						



MAUDORE MINERALS Ltd

AC NG CR

Description		Analyse								
		De	À	Numéro	Longueur	Au_Final (g/t)	Ag_Final (ppm)	Cu_Final (ppm)	Zn_Final (ppm)	
784.90	789.00	Excepté: 787.3-789: I3								
		Py02	784.90	786.30	P152533	1.40	0.050	0.10	11.0	20.0
		<b>Pyrite 2%</b> Globalement 2% Py finement disséminée dans la matrice, aussi en fins amas mm (max 1mm) Entre 786.3-786.5m: Regroupement d'amas plus grossiers (1-8mm diamètre) dans une intervalle de 20 cm (15% Sulf. dans cet intervalle).	786.30	787.30	P152534	1.00	0.020	0.10	8.0	24.0
787.30	789.00	Excepté: 787.3-789: I3								
		I3; FIN	787.30	788.80	P152535	1.50	0.010	0.10	36.0	55.0
		<b>Intrusion mafique; Grains fins</b> Intrusif mafique. Matrice gris verdâtre sombre, à grains fins. Équigranulaire et massif. Mouchetage chl ou Amp? Trace de Py.  Contacts sup et inf, franc et discordant à 30 deg tca.	788.80	789.30	P152536	0.50	0.145	0.10	31.0	60.0
789.00	800.80	V2-V3; T1 <b>Volcanite intermédiaire à mafique; Tufs à lapillis</b> Volcanite intermédiaire à mafique; Tufs à lapillis. Matrice à grains fins de couleur gris foncé, brunâtre. Matrice brunâtre fortement biotisé, en alternance avec des bandes d'altération (clastes?) vertes chloritisées, continues à discontinues, suivant la foliation. Les clastes? chloritisé/carbonatés ont souvent une auréole de Sr au pourtour. Rares bandes grises pâle cm à dm (paragonite) suivant la foliation. Forte foliation entre 30-35 deg tca, marquée par le rubanement produit par l'alternance des bandes d'altération verte, brunâtre et plus rarement grise pâle (paragonite).								

AL NG 07

Description	Analyse							
	De	À	Numéro	Longueur	Au_Final (g/t)	Ag_Final (ppm)	Cu_Final (ppm)	Zn_Final (ppm)
<p>Pourrait très bien être une volcanite felsique fortement altérée.</p> <p>Altération: Silicification globalement forte pervasive, Biotisation forte pervasive matricielle, Chl moyenne en bandes ou vn/vnl, Sr- au pourtour des bandes de chl/cb, CB- associée avec la chl.</p> <p>Minéralisation: Globalement 3-5% Py disséminée en grains infra-mm (60%), en amas de 1-5mm ou grains cubique (30%), parfois en bandes d'alignement mm à cm de grains ou amas non-jointifs suivant la foliation (10%). Band d'alignement de grains cm (2cm) au contact sup. de l'unité.</p> <p>Contact inf. franc et concordant à 30 deg tca.</p>								
<p>789.00 800.80 SIL+; BO+; Chl; SR-; CB- Silicification forte; Biotisation forte; Chloritisation; Séricitisation faible; Carbonatation faible</p> <p>Altération: Silicification globalement forte pervasive, Biotisation forte pervasive matricielle, Chl moyenne en bandes ou vn/vnl, Sr- au pourtour des bandes de chl/cb, CB- associée avec la chl.</p>								
<p>789.00 800.80 Py04 Pyrite 4%</p> <p>Globalement 3-5% Py disséminée en grains infra-mm (60%), en amas de 1-5mm ou grains cubique (30%), parfois en bandes d'alignement mm à cm de grains ou amas non-jointifs suivant la foliation (10%). Band d'alignement de grains cm (2cm) au</p>								

MAUDORE MINERALS Ltd

KL NG CB

Description		Analyse								
		De	À	Numéro	Longueur	Au_Final (g/t)	Ag_Final (ppm)	Cu_Final (ppm)	Zn_Final (ppm)	
contact sup. de l'unité.										
Exceplé: 789.3-792.9m: I2pFpAm										
789.30	792.90	I2; pFpAm	792.90	793.40	P152537	0.50	0.500	0.20	18.0	51.0
Intrusion intermédiaire 35°; Porphyre de Feldspath et Amphibole 35°			793.40	794.50	P152539	1.10	0.760	0.20	150.0	52.0
Intrusion intermédiaire à porphyre de Fld et amp.			794.50	795.50	P152540	1.00	0.280	0.10	21.0	63.0
Matrice gris moyen à grains fins.			795.50	796.50	P152541	1.00	0.265	0.15	85.0	52.5
Contenant 15% de porphyres de Fld blanc laiteux sub-arrondis, taille infra-mm à 3mm.			796.50	797.00	P152542	0.50	0.290	0.20	20.0	55.0
Trace d'hématisation dans les porphyres localement.			797.00	798.00	P152543	1.00	1.340	0.30	29.0	69.0
fins minéraux blanc en paillettes, luisant, dans la matrice (pa).			798.00	798.50	P151228	0.50	1.185	0.20	334.0	65.0
Aucune min.			798.50	800.00	P152544	1.50	0.240	0.10	18.0	40.0
Contacts inf. et sup. franc et concordant entre 30-35 deg tca.			800.00	800.80	P152545	0.80	0.030	0.10	7.0	27.0
800.80	826.70	V1C; MAS Rhyodacite; Massif Volcanite felsique. Massif. Matrice à grains fins de couleur gris clair (pâle) avec des patchs ou un mouchetage brunâtre (biotisation). Foliation modérée entre 30-40 deg tca, marquée par les fins minéraux d'altération matricielle (paragonite) s'alignant en fine bandes ou parfois par les bandes brunâtre de biotite. On peut distinguer des fines paillettes matricielles de mica blancs dans toute la matrice. Unité très très siliceuse (silicifiée) dans son ensemble. Unité d'apparence plutôt bizarre et irrégulières avec les patchs de biotite et un réseau de vn/vnl gris claire recoupant l'unité dans toutes les directions. Serp. dans les fractures parfois. Haute proportion de dyke dans cet intervalle. Rares vn de Qtz blanche ou vn pegmatitique cm recoupant l'unité. Tr de serp. dans les fractures.								

Description	Analyse							
	De	À	Numéro	Longueur	Au_Final (g/l)	Ag_Final (ppm)	Cu_Final (ppm)	Zn_Final (ppm)
<p>Altération: Si++ pervasive, Pa+ en fines paillettes matricielles, Bt moy. en patchs ou en mouchetage devenant forte à partir de 825.8m, Chl- en vnf sombre. Tr de serp. dans les fractures.</p> <p>Minéralisation: Globalement 2% Py finement disséminée en paillettes, rares petits amas mm (max1mm).</p> <p>Contact inf. franc et concordant à 35 deg lca.</p>								
<p>800.80 825.80 SIL++; PA+; BO; Chl-; STr <b>Silicification intense; Paragonite forte; Biotisation; Chloritisation faible; Serpentinisation tr</b> Si++ pervasive, Pa+ en fines paillettes matricielles. Bt moy. en patchs ou en mouchetage devenant forte à partir de 825.8m, Chl- en vnf sombre. Tr de serp. dans les fractures.</p> <p>Excepté: 802.2-805.4m: I2pFpAm 806.9-807.6m: I3 807.9-808.3m: I3 810.7-821.2m: I1G 821.2-825.2m: I2pFpAm</p>								
<p>800.80 826.70 Py02 <b>Pyrite 2%</b> Globalement 2% Py finement disséminée en paillettes, rares petits amas mm (max1mm).</p> <p>Excepté: 802.2-805.4m: I2pFpAm 806.9-807.6m: I3 807.9-808.3m: I3 810.7-821.2m: I1G 821.2-825.2m: I2pFpAm</p>	800.80	801.60	P152546	0.80	0.030	0.10	5.0	26.0
	801.60	802.20	P152547	0.60	0.030	0.10	5.0	42.0

MAUDORE MINERALS Ltd

AL NG CB

Description			Analyse							
			De	À	Numéro	Longueur	Au_Final (g/t)	Ag_Final (ppm)	Cu_Final (ppm)	Zn_Final (ppm)
802.20	805.40	I2; pFpAm Intrusion intermédiaire 40*; Porphyre de Feldspath et Amphibole 40* Intrusion intermédiaire à porphyre de Fld et amp. Matrice gris moyen à rougeâtre, à grains fins. Contenant 20% de porphyres de Fld blanc laiteux sub-arrondis, taille 1mm-5mm.. Hématisation moyenne pervasive. fins minéraux blanc en paillettes, luisant, dans la matrice (pa). 5% minéraux mafique sombre (amp?). Aucune min.  Contacts infé et sup. franc et concordant à 40 deg tca.	805.40	806.90	P152548	1.50	0.020	0.10	13.0	64.0
806.90	807.60	I3; FIN Intrusion mafique; Grains fins Intrusif mafique. Matrice gris verdâtre sombre, à grains fins. Équigranulaire et massif. Mouchetage chl ou Amp?. 1% Py finement disséminée  Contacts sup et inf. franc et discordant à 30 deg tca.	806.90	807.60	P152549	0.70	0.020	0.10	39.0	46.0
			807.60	808.40	P152550	0.80	0.020	0.10	38.0	50.5
807.90	808.30	I3; FIN Intrusion mafique; Grains fins Intrusif mafique. Matrice gris verdâtre sombre, à grains fins. Équigranulaire et massif. Mouchetage chl ou Amp?. Py finement disséminée à 2%.  Contact sup franc et discordant à 65 deg tca. Contact inf. franc et discordant à 15 deg tca.	808.40	809.80	P152551	1.40	0.010	0.10	9.0	116.0
			809.80	810.70	P152552	0.90	0.010	0.10	5.0	70.0
810.70	821.20	I1G Pegmatite Pegmatite/Aplite.								

Description		Analyse								
		De	À	Numéro	Longueur	Au_Final (g/t)	Ag_Final (ppm)	Cu_Final (ppm)	Zn_Final (ppm)	
821.20	825.20	I2; pFpAm	825.20	825.70	P152553	0.50	0.010	0.10	4.0	48.0
		<b>Intrusion intermédiaire; Porphyre de Feldspath et Amphibole</b>	825.70	826.20	P151229	0.50	0.016	0.10	4.0	27.0
		Intrusion intermédiaire à porphyre de Fld et amp. Matrice gris moyen à grains fins. Contenant 15% de porphyres de Fld blanc laiteux sub-arrondis, taille infra-mm à 3mm. Trace d'hématisation dans les porphyres localement. fins minéraux blanc en paillettes, luisant, dans la matrice (pa). Aucune min. Quelques veines pegmatitique recoupant l'unité.  Contact sup. franc à 50 deg tca. Contact inf. franc et concordant à 40 deg tca.								
825.80	826.70	SIL++; PA+; BO+; Chl-; STr	826.20	826.70	P152554	0.50	0.020	0.10	6.0	30.0
		<b>Silicification intense; Paragonite forte; Biotisation forte; Chloritisation faible; Serpentinisation tr</b> Si++ pervasive, Pa+ en fines paillettes matricielles, Bt moy. en patchs ou en mouchetage devenant forte à partir de 825.8m, Chl- en vnl sombre, Tr de serp. dans les fractures.								
826.70	860.00	V2-V3; T1								
		<b>Volcanite intermédiaire à mafique; Tufs à lapills</b>								

Description	Analyse							
	De	À	Numéro	Longueur	Au_Final (g/t)	Ag_Final (ppm)	Cu_Final (ppm)	Zn_Final (ppm)
<p>Volcanite intermédiaire à mafique. Tufs à lapillis.                      Matrice à grains fins de couleur gris foncé, brunâtre.                      Matrice brunâtre fortement biotisée, en alternance avec des bandes d'altération mm à cm (clastes?) vertes chloritisées, continues à discontinues, allongés suivant généralement la foliation.                      Les clastes? chloritisé/carbonatés ont souvent une auréole de Sr au pourtour.                      Quelques clastes isolés arrondis cm chloritisé sans orientation préférentielle.                      Rares bandes grises pâle cm à dm (paragonite) suivant la foliation.                      Forte foliation entre 30-35 deg tca, marquée par le rubanement produit par l'alternance des bandes d'altération verte, brunâtre et plus rarement grise pâle (paragonite).                      Quelques veines pegmatitiques blanche cm mineures recoupant l'unité.</p> <p>Altération:                      Silicification globalement forte pervasive, Biotisation forte pervasive matricielle, Chl moyenne en bandes ou vn/vnl, Sr- au pourtour des bandes de chl/cb, CB- associée avec la chl. Pa- en bandes grise pâle concordante.</p> <p>Minéralisation:                      Entre 826.7-838.7: Globalement 2-4% Py disséminée en grains infra-mm (60%), en amas de 1-5mm ou grains cubique (30%), parfois en bandes d'alignement mm à cm de grains ou amas non-jointifs suivant la foliation (10%).                      Amas ou regroupement d'amas atteignant parfois une taille cm.                      Entre 838.7-843m: Globalement 1-2% Py en amas mm (max 5mm) regroupés en poches (70%), aussi disséminée en grains infra-mm à max 1mm (30%).                      Minéralisation plutôt hétérogène.                      Entre 843-849m: Globalement 7-10% Py disséminée en grains infra-mm à max 1mm (70%); aussi en amas mm (1-5mm), 15% de la minéralisation en bandes</p>								

Description			Analyse							
			De	À	Numéro	Longueur	Au_Final (g/t)	Ag_Final (ppm)	Cu_Final (ppm)	Zn_Final (ppm)
<p>d'alignement de grains ou amas suivant la foliation. Entre 849-860m: Globalement 2-3% Py en amas mm (max 5mm) regroupés en poches (70%), aussi disséminée en grains infra-mm à max 1mm (30%). Minéralisation plutôt hétérogène.</p> <p>Contact inf. perdus dans un intrusif.</p>										
826.70	860.00	<p>SIL+; BO+; Chl; SR-; CB-; PA- <b>Silicification forte; Biotisation forte; Chloritisation; Séricitisation faible; Carbonatation faible; Paragonite faible</b> Silicification globalement forte pervasive, Biotisation forte pervasive matricielle, Chl moyenne en bandes ou vn/vnl, Sr- au pourtour des bandes de chl/cb, CB- associée avec la chl. Pa- en bandes grise pâle concordante.</p> <p>Excepté: 827.5-827.9m: I1C 828-830.5m: I1C 830.5-832.1m: I1G 857.6-860m: I2pFpAm</p>	826.70	827.40	P152556	0.70	0.160	0.10	15.0	50.0
			827.40	827.90	P152557	0.50	0.010	0.10	17.0	54.0
826.70	838.70	<p>Py03 <b>Pyrite 3%</b> Globalement 2-4% Py disséminée en grains infra-mm (60%), en amas de 1-5mm ou grains cubique (30%), parfois en bandes d'alignement mm à cm de grains ou amas non-jointifs suivant la foliation (10%). Amas ou regroupement d'amas atteignant parfois une taille cm.</p> <p>Excepté: 827.5-827.9m: I1C 828-830.5m: I1C 830.5-832.1m: I1G</p>								



MAUDORE MINERALS Ltd

AC NG 09

Description			Analyse							
			De	À	Numéro	Longueur	Au_Final (g/t)	Ag_Final (ppm)	Cu_Final (ppm)	Zn_Final (ppm)
827.50	827.90	<p>I1C</p> <p><b>Granodiorite</b></p> <p>Granodiorite.</p> <p>Matrice à grains moyen de couleur poivre et sel.</p> <p>Composé de Fld blanc laiteux (50%) et de Qtz translucide zénomorphe (40%) et de minéraux mafique en fines baguette (10%).</p> <p>Trace de Py.</p> <p>Contacts sup. et inf. franc et discordant à 45 deg tca.</p>	827.90	828.80	P152558	0.90	0.230	0.10	24.0	104.0
828.00	830.50	<p>I1C</p> <p><b>Granodiorite</b></p> <p>Granodiorite.</p> <p>Matrice à grains moyen de couleur poivre et sel.</p> <p>Composé de Fld blanc laiteux (50%) et de Qtz translucide zénomorphe (40%) et de minéraux mafique en fines baguette (10%).</p> <p>5% de méga porphyre de Fld blanc à translucide à texture perthitique automorphe.</p> <p>Trace de Py.</p> <p>Contacts sup. franc et discordant à 45 deg tca.</p> <p>Contact inf. franc à 35 deg tca avec une pegmatite.</p>								
830.50	832.10	<p>I1G</p> <p><b>Pegmatite</b></p> <p>Pegmatite.</p> <p>Pegmatite blanche à grains grossier (atteignant l'ordre du cm).</p> <p>Composé de Fld blanc sub-automorphe et de Qtz translucide zénomorphe.</p> <p>5-10% de minéraux de gangue mafique noirâtre en baguette (pouvant atteindre 5mm).</p> <p>Trace de Py en amas mm.</p> <p>Contact sup. franc à 35 deg tca.</p> <p>Contact inf. franc et discordant à 30 deg tca.</p>	832.10	833.00	P152559	0.90	0.520	0.30	283.0	100.0
			833.00	834.00	P152560	1.00	0.610	0.20	282.0	86.0
			834.00	835.50	P152562	1.50	0.670	0.40	521.0	54.0
			835.50	836.50	P152563	1.00	0.410	0.60	21.0	54.0
			836.50	837.70	P152564	1.20	0.720	0.10	94.0	60.0
			837.70	838.70	P152565	1.00	0.150	0.10	55.0	51.0

MAUDORE MINERALS Ltd

AC NG 05

Description			Analyse							
			De	À	Numéro	Longueur	Au_Final (g/l)	Ag_Final (ppm)	Cu_Final (ppm)	Zn_Final (ppm)
838.70	843.00	Py01.5 <b>Pyrite 1.5%</b> Entre 838.7-843m: Globalement 1-2% Py en amas mm (max 5mm) regroupés en poches (70%), aussi disséminée en grains infra-mm à max 1mm (30%). Minéralisation plutôt hétérogène.	838.70	840.00	P152566	1.30	0.055	1.70	59.0	64.0
			840.00	841.50	P152567	1.50	0.065	0.20	16.0	61.0
			841.50	843.00	P152568	1.50	0.060	0.10	32.0	75.0
843.00	849.00	Py07 <b>Pyrite 7%</b> Entre 843-849m: Globalement 7-10% Py disséminée en grains infra-mm à max 1mm (70%); aussi en amas mm (1-5mm). 15% de la minéralisation en bandes d'alignement de grains ou amas suivant la foliation.	843.00	844.00	P152569	1.00	0.120	0.10	23.0	116.0
			844.00	845.00	P152570	1.00	0.380	0.70	17.0	66.0
			845.00	846.00	P152571	1.00	0.230	0.10	17.0	66.0
			846.00	847.20	P152572	1.20	0.150	0.10	28.0	58.0
			847.20	848.00	P152574	0.80	0.140	0.10	18.0	53.0
849.00	860.00	Py02.5 <b>Pyrite 2.5%</b> Entre 849-860m: Globalement 2-3% Py en amas mm (max 5mm) regroupés en poches (70%), aussi disséminée en grains infra-mm à max 1mm (30%). Minéralisation plutôt hétérogène.  Excepté: 857.6-860m: I2pFpAm	849.00	850.00	P152577	1.00	0.230	0.10	31.0	55.0
			850.00	851.50	P152579	1.50	0.270	0.10	97.0	57.0
			851.50	853.00	P152580	1.50	0.420	0.10	22.0	51.0
			853.00	854.50	P152581	1.50	0.790	0.50	367.0	51.0
			854.50	855.00	P151232	0.50	1.580	0.80	937.0	56.0
			855.00	856.50	P152582	1.50	0.590	0.30	234.0	63.0
857.60	860.00	I2; pFpAm <b>Intrusion Intermédiaire; Porphyre de Feldspath et Amphibole</b> Intrusion intermédiaire à porphyre de Fld et amp. Matrice gris moyen, à grains fins. Contenant 15% de porphyres de Fld blanc laiteux sub-arrondis, taille 1mm-3mm. Hémalisation faible pervasive, Cb- en fines vnl. plusieurs fines veinules blanches irrégulières de cb. 5% minéraux mafique sombre (amp?). Aucune min.  Contact sup. franc mais irrégulier.	857.60	858.00	P152583	1.10	0.250	0.30	27.0	83.0
			859.90	861.00	P152584	1.10	0.020	0.20	3.0	28.0

AZ NG CB

Description		Analyse						
		De	À	Numéro	Longueur	Au_Final (g/t)	Ag_Final (ppm)	Cu_Final (ppm)
860.00	905.70	<p>Contact inf. franc et concordant à 25 deg tca.</p> <p>V1C; pQz; MAS</p> <p><b>Rhyodacite; Porphyre de Quartz; Massif</b></p> <p>Volcanite felsique. Rhyodacite à porphyres de Qtz. Massif.</p> <p>Matrice à grains fins (pratiquement aphanitique) de couleur gris pâle à légèrement verdâtre. Couleur plutôt beige entre 875.6-877.8m.</p> <p>Contient entre 2-10% porphyres de Qtz bleuté à blanc, arrondis, infra-mm à 5mm de diamètre.</p> <p>Importante proportion de pQz. Les pQz bleutés sont souvent distribués en poches (certains intervalles dm pouvant atteindre 7-10% de pQz). Entre 860-868.5m: 2-3% pQz bleuté. À partir de 868.5m: 5-10% de pQz bleuté.</p> <p>Foliation modérée à 35 deg tca, marquée par l'alignement des minéraux d'altération matricielle tel que la paragonite et aussi par les bandes de chloritisées ou biotisées.</p> <p>Localement mouchetage de chlorite ou de biotite.</p> <p>Entre 860-870m: 2-3% vn de Qtz cm ou vnl de carbonate irrégulières (remplissage de fractures).</p> <p>Entre 889.6-890.3m: QFP (présence de porphyres de Qtz et de Fld).</p> <p>Présence de trace de Sp en amas jaunâtre à orangé un peu partout dans l'unité.</p> <p>Structure: Unité peu fracturée.</p> <p>Altération:</p> <p>Entre 860-861m: Si+ pervasive, Bl+ pervasive, Pa modéré, Chl- patchs, Cb- vn, Hm- vn,</p> <p>Entre 861-870m: Si++ pervasive; Chl modéré en mouchetage, vnl, patchs ou bandes sombres; Pa modérée en fins liserés ou dissémination matricielle; Cb- vnl (remplissage de fractures).</p> <p>Entre 870-877.8m: Si++, Sr mod? pervasif (couleur beige), Pa modérée matricielle, Chl- vnl, Cb- vnl, Hm- vnl.</p> <p>Entre 877.8-905.7m: Si++ pervasif, Bl modérée en patchs ou mouchetage, Pa modéré matricielle, Chl-</p>						

Description	Analyse							
	De	À	Numéro	Longueur	Au_Final (g/t)	Ag_Final (ppm)	Cu_Final (ppm)	Zn_Final (ppm)
<p>mouchetage.</p> <p>Minéralisation:</p> <p>Entre 860-861m: 7% Py finement disséminée (80%), aussi en amas mm (20%), formant localement des bandes d'alignement de grains.</p> <p>Entre 861-875.6m: 0.5% Py finement disséminée en grains infra-mm (95%), fines paillettes de Py; aussi en rares amas mm (amoncellement de grains). Trace de Sp en amas jaunâtre à orangé, mm (1-3mm) partout dans l'unité.</p> <p>Entre 875.6-877.8m: 1% Py finement disséminée en grains infra-mm. Sp en trace.</p> <p>Entre 877.8-903.8m: 2% Py finement disséminée en grains infra-mm (95%), fines paillettes de Py; aussi en rares amas mm (amoncellement de grains). Trace de Sp en amas jaunâtre à orangé, mm (1-3mm) partout dans l'unité.</p> <p>Entre 903.8-905.7m: 0.5% Py finement disséminée en grains infra-mm (40%) et en amas mm (1-3mm) (60%).</p> <p>Contact inf. diffus avec la disparition des pQz.</p>								
<p>860.00</p> <p>861.00</p> <p>SIL+; BO+; PA; Chl-; CB-; HM-</p> <p><b>Silicification forte; Blotisation forte; Paragonite; Chloritisation faible; Carbonatation faible; Hématisation faible</b></p> <p>Entre 860-861m: Si+ pervasive, BI+ pervasive, Pa modéré, Chl- patches, Cb-vn, Hm- vn,</p>								
<p>860.00</p> <p>861.00</p> <p>Py07</p> <p><b>Pyrite 7%</b></p> <p>Entre 860-861m: 7% Py finement disséminée (80%), aussi en amas mm (20%), formant localement des bandes d'alignement de grains.</p>								
<p>861.00</p> <p>870.00</p> <p>SIL++; Chl; PA; CB-</p> <p><b>Silicification Intense; Chloritisation; Paragonite; Carbonatation faible</b></p>								

MAUDORE MINERALS Ltd

AC NG CM

Description		Analyse								
		De	À	Numéro	Longueur	Au_Final (g/t)	Ag_Final (ppm)	Cu_Final (ppm)	Zn_Final (ppm)	
861.00	875.60	Entre 861-870m: Si++ pervasive; Chl modéré en mouchetage, vnl, patches ou bandes sombres; Pa modérée en fins liserés ou dissémination matricielle; Cb- vnl (remplissage de fractures).								
		Py00.5; Sptr	861.00	862.50	P152586	1.50	0.020	0.10	4.0	12.0
		Pyrite 0.5%; Sphalérite tr	862.50	864.00	P152587	1.50	0.020	0.10	7.0	10.0
		Entre 861-875.6m: 0.5% Py finement disséminée en grains infra-mm (95%), fines paillettes de Py; aussi en rares amas mm (amoncellement de grains).	864.00	865.50	P152588	1.50	0.030	0.10	7.0	16.0
			865.50	867.00	P152589	1.50	0.010	0.10	2.0	23.0
			867.00	868.00	P152590	1.00	0.010	0.10	2.0	24.0
			868.00	868.50	P151233	0.50	0.009	0.10	35.0	29.0
			868.50	870.00	P152591	1.50	0.010	0.10	2.0	24.0
870.00	877.80	Excepté: 872.7-875.6m: I2pFpAm								
		SIL++; SR; PA; Chl-; CB-; HM- Silicification intense; Séricitisation; Paragonite; Chloritisation faible; Carbonatation faible; Hématisation faible Entre 870-877.8m: Si++, Sr mod? pervasif (couleur beige), Pa modérée matricielle, Chl- vnl, Cb- vnl, Hm- vnl.	870.00	871.50	P152575	1.50	0.015	0.10	5.0	19.5
			871.50	872.70	P152593	1.20	0.010	0.10	4.0	20.0
872.70	875.60	Excepté: 872.7-875.6m: I2pFpAm								
		I2; pFpAm Intrusion intermédiaire; Porphyre de Feldspath et Amphibole Intrusion intermédiaire à porphyre de Fld et amp. Matrice gris moyen à rougeâtre, à grains fins. Contenant 20% de porphyres de Fld blanc laiteux sub-arrondis, taille 1mm-5mm.. Hématisation forte pervasive entre 872.7-874.5m Faible par la suite. Mouchetage d'amp entre 874.5-875.6m et seulement 1-2% pFp.								

MAUDORE MINERALS Ltd

AC NG CB

Description			Analyse								
			De	À	Numéro	Longueur	Au_Final (g/t)	Ag_Final (ppm)	Cu_Final (ppm)	Zn_Final (ppm)	
5% minéraux mafique sombre (amp?). Aucune min.											
Contact sup. franc mais irrégulier, en lambeaux.											
Contact inf. franc à 45 deg tca.											
875.60	877.80	Py01; Sptr	875.60	876.60	P152594	1.00	0.020	0.10	6.0	11.0	
		<b>Pyrite 1%; Sphalérite tr</b>	876.60	877.80	P152595	1.20	0.010	0.20	8.0	10.0	
Entre 875.6-877.8m: 1% Py finement disséminée en grains infra-mm. Sp en trace.											
877.80	905.70	SIL++; BO; PA; Chl-	877.80	879.00	P152596	1.20	0.010	0.20	7.0	41.0	
<b>Silicification Intense; Blotisation;</b>			879.00	880.00	P152597	1.00	0.010	0.10	6.0	20.0	
<b>Paragonite; Chloritisation faible</b>			880.00	881.00	P152598	1.00	0.010	0.10	6.0	22.0	
Entre 877.8-905.7m: Si++ pervasif, Bt modérée en patchs ou mouchetage, Pa modéré matricielle, Chl- mouchetage.			881.00	881.60	P152599	0.60	0.010	0.10	6.0	23.0	
Exceptés: 881.5-886.2m: I2pFpAm 886.9-887.4m: I2pFpAm 890.7-903.8m: I2pFpAm											
877.80	903.80	Py02; Sptr									
<b>Pyrite 2%; Sphalérite tr</b>											
Entre 877.8-903.8m: 2% Py finement disséminée en grains infra-mm (95%), fines paillettes de Py; aussi en rares amas mm (amoncellement de grains). Trace de Sp en amas jaunâtre à orangé, mm (1-3mm) partout dans l'unité.											
Excepté: 881.5-886.2m: I2pFpAm 886.9-887.4m: I2pFpAm 890.7-903.8m: I2pFpAm											
881.50	886.20	I2; pFpAm	886.20	886.90	P152600	0.70	0.010	0.10	7.0	21.5	
<b>Intrusion Intermédiaire 45°; Porphyre de Feldspath et Amphibole 45°</b>											
Intrusion intermédiaire à porphyre de Fld et amp.											

MAUDORE MINERALS Ltd

AC NG CB

Description		Analyse									
		De	À	Numéro	Longueur	Au_Final (g/t)	Ag_Final (ppm)	Cu_Final (ppm)	Zn_Final (ppm)		
886.90	887.40	Matrice gris moyen à sombre, à grains fins. Contenant 20% de porphyres de Fld blanc laiteux sub-arrondis, taille 1mm-3mm.. Faible hématite localement. 5% minéraux mafique sombre (amp?). Aucune min. Veine pegmatitique rose-rouge entre 884.6-885m (contacts à 25 deg tca).  Contacts sup. et inf. franc et concordant à 45 deg tca.									
			I2; pFpAm	886.90	887.50	P152601	0.60	0.005	0.10	9.0	66.0
			<b>Intrusion Intermédiaire; Porphyre de Feldspath et Amphibole</b>	887.50	888.00	P152602	0.50	0.020	0.10	5.0	12.0
			Intrusion intermédiaire à porphyre de Fld et amp.	888.00	888.50	P151234	0.50	0.011	0.10	4.0	13.0
				888.50	889.50	P152603	1.00	0.020	0.10	2.0	45.0
			889.50	890.70	P152604	1.20	0.020	0.10	11.0	30.0	
890.70	903.80	Matrice gris moyen, à grains fins. Contenant 10% de porphyres de Fld blanc laiteux sub-arrondis, taille 1mm-5mm.. Hématite faible des pFp localement. 5% minéraux mafique sombre (amp?). Aucune min.  Contact sup. franc et discordant à 40 deg tca. Contact inf. franc et discordant à 20 deg tca.									
			I2; pFpAm								
		<b>Intrusion Intermédiaire; Porphyre de Feldspath et Amphibole</b> Intrusion intermédiaire à porphyre de Fld et amp.  Matrice gris moyen à mauvasse, à grains fins. Contenant 20% de porphyres de Fld blanc laiteux sub-arrondis à prismatique, taille 1mm-5mm.. Hématite faible pervasive, aussi en rares vnl. 10% minéraux mafique sombre (amp?). Aucune min.									

Description			Analyse							
			De	À	Numéro	Longueur	Au_Final (g/t)	Ag_Final (ppm)	Cu_Final (ppm)	Zn_Final (ppm)
		<p>Contact sup. franc mais irrégulier. Contact inf. franc et concordant à 40 deg tca.</p>								
903.80	905.70	Py00.5	903.80	904.50	P152606	0.70	0.115	0.10	8.0	37.0
		<b>Pyrite 0.5%</b>	904.50	905.70	P152607	1.20	0.080	0.10	22.0	36.0
		Entre 903.8-905.7m: 0.5% Py finement disséminée en grains infra-mm (40%) et en amas mm (1-3mm) (60%).								
905.70	907.00	<p>V2-V3; T1</p> <p><b>Volcanite intermédiaire à mafique; Tufs à lapillis</b></p> <p>Volcanite intermédiaire à mafique. Tufs à lapillis. Matrice à grains fins de couleur gris foncé, brunâtre. Matrice brunâtre fortement biotisé, en alternance avec des bandes d'altération mm à cm (clastes?) vertes chloritisées, continues à discontinues, allongés suivant généralement la foliation. Les clastes? chloritisé/carbonatés ont souvent une auréole de Sr au pourtour. Forte foliation entre 30-35 deg tca, marquée par le rubanement produit par l'alternance des bandes d'altération verte, brunâtre.</p> <p>Altération: Silicification globalement forte pervasive, Biotisation forte pervasive matricielle, Chl- en bandes ou vn/vnl, Cb- associée avec la chl.</p> <p>Minéralisation: Globalement 3-5% Py disséminée en grains infra-mm à 1mm allongé dans le sens de la foliation; aussi en amas mm (1-2mm); parfois py diss+amas dans les vn de Chl.</p> <p>Contact inf. diffus correspondant avec l'apparition des pQz.</p>								
905.70	907.00	<p>SIL+; BO+; Chl-; CB-</p> <p>Silicification forte; Biotisation forte; Chloritisation faible; Carbonatation faible</p> <p>Silicification globalement forte pervasive,</p>								



AL NG CB

Description		Analyse								
		Dé	À	Numéro	Longueur	Au_Final (g/t)	Ag_Final (ppm)	Cu_Final (ppm)	Zn_Final (ppm)	
905.70	907.00	<p>Biotisation forte pervasive matricielle, Chl- en bandes ou vn/vnl, Cb- associée avec la chl.</p> <p>Py04</p> <p><b>Pyrite 4%</b></p> <p>Globalement 3-5% Py disséminée en grains infra-mm à 1mm allongé dans le sens de la foliation; aussi en amas mm (1-2mm); parfois py diss+amas dans les vn de Chl.</p>	905.70	907.00	P152608	1.30	0.320	0.10	18.0	46.0
907.00	927.10	<p>V1C; pQz; MAS</p> <p><b>Rhyodacite; Porphyre de Quartz; Massif</b></p> <p>Volcanite felsique. Rhyodacite à porphyres de Qtz. Massif.</p> <p>Matrice à grains fins (pratiquement aphanitique) de couleur gris pâle à légèrement verdâtre, localement couleur plus sombre (à partir de 915m).</p> <p>Contient entre 2-5% porphyres de Qtz bleuté à blanc, arrondis, infra-mm à 4mm de diamètre pQz).</p> <p>Foliation modérée à 35 deg tca, marquée par l'alignement des minéraux d'altération matricielle tel que la paragonite et aussi par les bandes de chloritisées ou biotisées.</p> <p>Localement mouchetage de biotite ou chlorite</p> <p>Passage de V2V3 mineure entre 908.1-908.6m (contacts à 45 deg tca)</p> <p>Altération:</p> <p>Entre 907-915m: Si++ pervasive, Pa modérée en fines paillettes infra-mm luisante dans la matrice, Bt- en mouchetage, bandes ou patchs, Chl- matricielle.</p> <p>Entre 915-927.1m: Si+ pervasive; Bt modéré en mouchetage, fines paillettes matricielle formant localement des bandes suivant la foliation; Chl- en fines bandes ou mouchetage; Pa- pervasive ou en bandes grisâtre; Sr- en bandes beige.</p> <p>Minéralisation:</p> <p>Globalement 1-2% Py finement disséminée 70%, aussi en amas mm (1-3mm) 30%</p> <p>Entre 908.1-908.6m (V2V3): 5% Py disséminée 80%</p>	907.00	907.50	P152610	0.50	0.140	0.10	6.0	48.0
			907.50	908.10	P152611	0.60	0.020	0.10	3.0	42.0

Description	Analyse							
	De	À	Numéro	Longueur	Au_Final (g/t)	Ag_Final (ppm)	Cu_Final (ppm)	Zn_Final (ppm)
<p>grains moyens (moy 1mm), aussi en amas mm (1-3mm) 20%</p> <p>Entre 921-922.1m: Amoncellement d'amas mm à cm; Trace Po</p> <p>Contact inf. transitionnel sur 20cm avec la disparition des pQz.</p>								
<p>907.00 915.00 SIL++; PA; BO-; Chl- Silicification Intense; Paragonite; Biotisation faible; Chloritisation faible Allération: Entre 907-915m: Si++ pervasive, Pa modérée en fines paillettes infra-mm luisante dans la matrice, Bl- en mouchetage, bandes ou patchs, Chl- matricielle.</p> <p>Excepté: 910-915m: I2pFpAM</p>								
<p>907.00 908.10 Py01.5 <b>Pyrite 1.5%</b> Globalement 1-2% Py finement disséminée 70%, aussi en amas mm (1-3mm) 30% Entre 908.1-908.6m (V2V3): 5% Py disséminée 80% grains moyens (moy 1mm), aussi en amas mm (1-3mm) 20%</p>								
<p>908.10 908.60 Py05 <b>Pyrite 5%</b> Globalement 1-2% Py finement disséminée 70%, aussi en amas mm (1-3mm) 30% Entre 908.1-908.6m (V2V3): 5% Py disséminée 80% grains moyens (moy 1mm), aussi en amas mm (1-3mm) 20%</p>	908.10	908.60	P152612	0.50	0.260	0.10	15.0	48.0
<p>908.60 927.10 Py01.5 <b>Pyrite 1.5%</b> Globalement 1-2% Py finement disséminée 70%, aussi en amas mm</p>	908.60	910.00	P152613	1.40	0.050	0.10	4.0	65.0

MAUDORE MINERALS Ltd

AZ NG CB

Description		Analyse								
		De	À	Numéro	Longueur	Au_Final (g/t)	Ag_Final (ppm)	Cu_Final (ppm)	Zn_Final (ppm)	
910.00	915.00	<p>(1-3mm) 30% Entre 908.1-908.6m (V2V3): 5% Py disséminée 80% grains moyens (moy 1mm), aussi en amas mm (1-3mm) 20%.</p> <p>Excepté: 910-915m: I2pFpAm</p> <p>I2; pFpAm <b>Intrusion Intermédiaire; Porphyre de Feldspath et Amphibole</b> Intrusion intermédiaire à porphyre de Fld et amp. Matrice gris moyen à foncé, à grains fins. Contenant 15% de porphyres de Fld blanc laiteux sub-arrondis, taille 1mm-3mm.. Hématisation en trace, vnl. 5% minéraux mafique sombre (amp?). Aucune min</p> <p>Contact sup. franc mais irrégulier. Contact inf. franc à 40 deg tca.</p>								
915.00	927.10	<p>SIL+; BO; Chl-; PA-; SR- <b>Silicification forte; Blotisation; Chloritisation faible; Paragonite faible; Séricitisation faible</b> Entre 915-927.1m: Si+ pervasive; Bt modéré en mouchetage, fines paillettes matricielle formant localement des bandes suivant la foliation; Chl- en fines bandes ou mouchetage; Pa- pervasive ou en bandes grisâtre; Sr- en bandes beige.</p> <p>Exceptés: 916.4-920.9m: I1G 922.2-926.2m: I2pFpAm</p>	915.00	916.40	P152614	1.40	0.070	0.10	5.0	35.0
916.40	920.90	<p>I1G <b>Pegmatite</b> Pegmatite. Couleur blanc à rosé, grains grossier. Cristaux atteignant les cm.</p>	918.80	919.40	P152615	0.60	0.030	0.20	18.0	37.0
			920.90	921.40	P152616	0.50	0.610	0.30	65.0	48.0
			921.40	922.10	P151242	0.70	0.390	0.30	30.0	145.0

MAUDORE MINERALS Ltd

AC NG 02

Description		Analyse							
		De	À	Numéro	Longueur	Au_Final (g/l)	Ag_Final (ppm)	Cu_Final (ppm)	Zn_Final (ppm)
922.20	926.20	926.10	927.10	P152617	1.00	0.150	0.10	21.0	21.0
<p>Composé de Fld et de Qtz, 2-3% de minéraux de gangue mafique.</p> <p>Quelques intervalles aplitique à grains fins.</p> <p>dyke de l2pFpAm recoupant l'unité entre 916.5-916.9m et 918.7-918.9m.</p> <p>Passage de V2V3 entre 918.9-919.4m (2% Py diss+ amas).</p> <p>Aucune trace de min.</p> <p>Contact sup. franc et discordant à 45 deg tca.</p> <p>Contact inf. franc et discordant à 45 deg tca.</p> <p>l2; pFpAm</p> <p><b>Intrusion intermédiaire; Porphyre de Feldspath et Amphibole</b></p> <p>Intrusion intermédiaire à porphyre de Fld et amp.</p> <p>Matrice gris moyen à brunâtre, à grains fins.</p> <p>Contenant 15% de porphyres de Fld blanc laiteux sub-arrondis, taille 1mm-5mm.,</p> <p>Hématisation faible localement pervasive ou en vnl</p> <p>5% minéraux mafique sombre (amp?).</p> <p>Trace de Py diss.</p> <p>Contact sup. franc et concordant à 30 deg tca.</p> <p>Contact inf. franc et concordant à 45 deg tca.</p>									
927.10	1 128.50	927.10	928.00	P152618	0.90	0.480	0.20	20.0	48.0
<p>V2-V3; Tl</p> <p><b>Volcanite intermédiaire à mafique; Tufs à lapillis</b></p> <p>Volcanite intermédiaire à mafique. Tufs à lapillis.</p> <p>Matrice à grains fins à aphanitique de couleur gris sombre, à brunâtre et verdâtre.</p> <p>Approximativement 10% de clastes mm à cm, verdâtre (chloritisé) sub-arrondis à fortement allongé dans le sens de la foliation. Alors que la matrice semble plutôt brunâtre (biotisé)</p> <p>Alternance de bandes mm à cm d'altération brunâtre (biotisé), verdâtre (chloritisé) et plus rarement grise pâle (paragonite) formant un rubanement.</p> <p>Foliation modérée entre 35-40 deg tca, marquée par le rubanement (alternance entre les niveaux</p>		928.00	929.00	P152619	1.00	0.625	0.15	132.0	55.5
		929.00	929.60	P152620	0.60	0.540	0.80	653.0	63.0

AC NG CB

Description	Analyse							
	De	À	Numéro	Longueur	Au_Final (g/t)	Ag_Final (ppm)	Cu_Final (ppm)	Zn_Final (ppm)
<p>matricielle et les niveaux à clastes).                      Moins de 1% de Vnl fines blanche carbonatés, irrégulières.                      Rares vn de Chl+Cb généralement cm à pluri-cm, irrégulières.                      Rares vn de Qtz blanche, irrégulières.                      Entre 972.2-975m: Passage plus massif, sans foliation apparente, fortement chloritisé pervasif ou en mouchetage, contenant également des porphyres de Fld? Qtz? blanc, sub-arrondis(zone de transition?). contact sup. franc à 45 deg lca, mais contact infé non-apparent.</p> <p>Veines:                      Entre 1030.6-1031.1m: Veine de Qtz disc., 60-70deg. 15 py disséminés au niveau des épontes.</p> <p>Altération:                      Entre 927.1-957m: Si+ pervasive, Bt+ pervasive matricielle, Chl modérée en bandes ou altération des clastes, aussi plus rarement en vn, Cb- en vnl ou altération des clastes.                      Entre 957-959.5m: Si+ pervasive, Bt+ pervasive matricielle, Chl modérée en bandes ou altération des clastes, aussi plus rarement en vn, Cb- en vnl ou altération des clastes. Pa- en bandes grise pâle concordantes à la foliation.                      Entre 959.5-972.2: Si+ pervasive, Bt+ pervasive matricielle, Chl modérée en bandes ou altération des clastes, aussi plus rarement en vn, Cb- en vnl ou altération des clastes.                      Entre 972.2-975m: Chl+ pervasive ou en mouchetage, Si mod. pervasive, Ab- en pFp?, Cb- en vnl irrégulières.                      Entre 975-1011m: Si modérée pervasive, Bt modéré matricielle ou en mouchetage, Chl mod. en bandes ou altération des clastes, Pa- en qqs fines bandes ou patchs gris pâle, Cb- en vnl.                      Entre 1011-1030.6m: Si modérée pervasive, Bt modérée matricielle ou en mouchetage, Chl- en bandes ou altération des clastes, Pa- en qqs fines</p>								

AC NG CB

Description	Analyse							
	De	À	Numéro	Longueur	Au_Final (g/t)	Ag_Final (ppm)	Cu_Final (ppm)	Zn_Final (ppm)
<p>bandes ou patchs gris pâle, Cb- en vnl, Sr en traces en fines laminations jaunes verdâtres (1020.8m) au contact d'un I2;pFpAm</p> <p>Entre 1030.6-1050.3m: Si modérée pervasive, Bt modérée matricielle ou en mouchetage, Chl modérée en bandes ou altération des clastes, Pa- en qqs fines bandes ou patchs gris pâle, Cb- en vnl</p> <p>De 1050.3-1051.2m: Chl+ en bandes et gros amas verdâtres, Si modérée pervasive et en clastes de Qz subarrondis, Cb modérée en vnl et pervasifs dans les amas de Chl, Bt- matricielle, sr en traces en fines laminations vert clair</p> <p>De 1051.2-1117.3m: Bt+ matricielle ou en qqs bandes, Si modérée pervasive, Chl modérée en bandes ou altération des clastes, Pa- en qqs fines bandes ou patchs gris pâle, Cb- en vnl.</p> <p>De 1117.3-1138.5m: Bt+ matricielle ou en qqs bandes, Si modérée pervasive, Chl modérée en bandes ou altération des clastes, Hm modérée en vn et vnl et localement pervasive, Cb- en vnl.</p> <p>Minéralisation:</p> <p>Entre 927.1-929.6m: 2% Py principalement en amas (80%) mm (1-3mm) plus rarement cm, aussi disséminé en grains infra-mm (20%). Les amas forment localement des bandes de grains non-jointifs s'alignent suivant la foliation.</p> <p>Entre 929.6-941.4m: Globalement 0.5% Py disséminée en grains infra-mm (40%) ou en patch d'amas mm (max 2mm) (60%) Minéralisation distribué de façon hétérogène concentré en patchs d'amas.</p> <p>Entre 941.1-955.8m: Globalement 2% Py en patchs mm à cm de dissémination ou amas mm. Trace de Po en association avec la Py dans les amas.</p> <p>Minéralisation distribuée de façon hétérogène. 20% de la minéralisation en bandes d'alignement de grains ou amas discontinus suivant généralement la foliation, mais parfois irrégulières. Parfois en "rimming" autour des clastes.</p> <p>Entre 955.8-972.2m: Globalement 1% Py (distribution hétérogène) principalement en amas de Py/Po</p>								

AC NG 05

Description	Analyse							
	Dé	À	Numéro	Longueur	Au_Final (g/t)	Ag_Final (ppm)	Cu_Final (ppm)	Zn_Final (ppm)
<p>mineur.</p> <p>Amas de Py/Po mm à cm parfois regroupé en amoncellement, plus rarement en bandes d'alignement suivant la foliation. Faible dissémination de grains de Py infra-mm.</p> <p>Entre 972.2-974.4m: Seulement des traces de Py disséminée en grains infra-mm.</p> <p>Entre 974.4-989.5m Globalement 1% Py (distribution hétérogène) principalement en amas de Py/Po mineur.</p> <p>Amas de Py/Po mm à cm parfois regroupé en amoncellement, plus rarement en bandes d'alignement suivant la foliation. Faible dissémination de grains de Py infra-mm.</p> <p>Entre 989.5-990.1m: 1% Po; 0.5% Cpy; 0.5% Py en amas mm à cm ou patchs cm d'amas mm allongé dans la foliation. Py/Po/Cpy en association dans les amas.</p> <p>Entre 990.1-993.7m: Globalement 1% Py (distribution hétérogène) principalement en amas de Py/Po mineur.</p> <p>Amas de Py/Po mm à cm parfois regroupé en amoncellement, plus rarement en bandes d'alignement suivant la foliation. Faible dissémination de grains de Py infra-mm.</p> <p>Entre 993.7-1011.4m: 3-5% Py en amas (bandes plurim ou patchs étirés dans la foliation) (70%) ou en grains mm disséminés (30%)</p> <p>Po en traces en qqs amas associés dans les bandes d'amas de Py</p> <p>Entre 1011.4-1037.8m: 1-3% Py en amas majoritairement regroupés en patchs pluri cm étirés dans la foliation (60%) ou en grains mm disséminés (30%) ou en rares alignements de grains selon la foliation (10%). Répartition hétérogène</p> <p>Cpy en Tr, en amas difformes cm (1020.1m).</p> <p>Entre 1037.8-1041.0m: 3-5% Py en patchs d'amas pluri cm étirés selon la foliation en association avec les clastes de Chl (60%) ou en grains disséminés (40%). Répartition hétérogène</p> <p>1% Po en association avec les patchs de Py</p>								

AC NG CS

Description	Analyse							
	De	À	Numéro	Longueur	Au_Final (g/t)	Ag_Final (ppm)	Cu_Final (ppm)	Zn_Final (ppm)
<p>Cp en traces en amas filamenteux dans une anclave de V2V3 dans un intrusif</p> <p>Entre 1041-1077.5m: 1-2% Py en alignements de grains selon la foliation (60%) ou en amas de 2-3mm parfois regroupés en amas plurim (30%) ou en qqs grains mm disséminés (10%)</p> <p>Po en traces en grains disséminés</p> <p>Entre 1077.5-1078.3m: 5% Py en patchs d'amas de 2-8cm (80%) et diss (20%).</p> <p>Entre 1078.3-1082.4m: Globalement 1% de Py en alignements de grains mm (50%), en grains mm diss (30%) et en qq amas plurim difformes (20%).</p> <p>Entre 1082.4-1087.3m: Py en Tr en rains mm, diss.</p> <p>Entre 1087.3-1088.4m: 5% de Py en patchs d'amas de 2-10cm (80%), en grains mm diss (20%).</p> <p>Entre 1088.4-1110.4m: Globalement 1% de Py en amas de 1-4cm (60%), en alignement de grains mm suivant la schistosité (20%) et diss (20%).</p> <p>A 1090.5m: Cpy en Tr, associée avec Py en amas cm.</p> <p>A 1110.3m: Patch d'amas de Py de 10cm.</p> <p>Entre 1110.4-1138.5m: Py en Tr en qq rares amas et patch d'amas de 1-8cm (90%) et disséminée (10%).</p> <p>Structures:</p> <p>Roche très peu fracturée en général.</p> <p>Entre 957-965m: zones dm de "disking" (fracturation en rondelle), probablement dû à la drill plus qu'à un phénomène naturel.</p> <p>Entre 1009.3-1011.0 m: Zone moyennement fracturée, 40-50deg AC, 100% simple, 2 passages de 10cm de morceaux de roches de 2-3cm anguleux.</p> <p>A 1070.7m: petite zone de brèche avec ciment de Si et contenant des fragments cm anguleux de V2-V3.</p> <p>Entre 1123.5-126.5m: zone moyennement fracturée, 25-30deg AC, 100% simple, avec un passage de 1123.7 et 1124.2m plus bréchique contenant des fragments anguleux mm à 1-2cm.</p> <p>Contact inf. net à 40deg AC discordant</p>								



AL NG CB

Description			Analyse							
			De	À	Numéro	Longueur	Au_Final (g/t)	Ag_Final (ppm)	Cu_Final (ppm)	Zn_Final (ppm)
927.10	957.00	<p>SIL+; BO+; Chl; CB-                      Silicification forte; Biotisation forte; Chloritisation;                      Carbonatation faible                      Entre 927.1-957m: Si+ pervasive, Bt+ pervasive matricielle, Chl modérée en bandes ou altération des clastes, aussi plus rarement en vn, Cb- en vnl ou altération des clastes.</p> <p>Exceptés:                      916.4-920.9m: I1G                      922.2-926.2m: I2; pFpAm                      935.9-941.4m: I2; pFpAm                      944.9-947.5m: I2; pFpAm                      949.0-955.8m: I2; pFpAm</p>								
927.10	929.60	<p>Py02                      Pyrite 2%                      Entre 927.1-929.6m: 2% Py principalement en amas (80%) mm (1-3mm) plus rarement cm, aussi disséminé en grains infra-mm (20%). Les amas forment localement des bandes de grains non-jointifs s'alignent suivant la foliation.</p> <p>Exceptés:                      916.4 920.9 I1G                      922.2 926.2 I2; pFpAm</p>								
929.60	941.40	<p>Py00.5                      Pyrite 0.5%                      Entre 929.6-941.4m: Globalement 0.5% Py disséminée en grains infra-mm (40%) ou en patch d'amas mm (max 2mm) (60%) Minéralisation distribué de façon hétérogène concentré en patchs d'amas.</p>	929.60	931.00	P152621	1.40	0.310	0.50	428.0	67.0
			931.00	932.00	P152622	1.00	0.120	0.10	151.0	55.0
			932.00	933.00	P152623	1.00	0.160	0.30	73.0	563.0
			933.00	934.50	P152625	1.50	0.067	0.15	63.0	80.5
			934.50	935.80	P152626	1.30	0.070	0.10	39.0	74.0

Description		Analyse								
		De	À	Numéro	Longueur	Au_Final (g/t)	Ag_Final (ppm)	Cu_Final (ppm)	Zn_Final (ppm)	
<p>Excepté: 935.9 941.4 I2; pFpAm</p>										
935.90	941.40	<p>I2; pFpAm</p> <p>Intrusion intermédiaire 30°; Porphyre de Feldspath et Amphibole 30°</p> <p>Intrusion intermédiaire à porphyre de Fld et amp.</p> <p>Matrice gris moyen, à grains fins.</p> <p>Contenant 15-20% de porphyres de Fld blanc laiteux sub-arrondis, taille 1mm-5mm..</p> <p>5-10% minéraux mafique sombre en fine baguette (amp?).</p> <p>Trace de Py diss.</p> <p>Magnétique.</p> <p>Contact sup. franc et concordant à 35 deg tca.</p> <p>Contact inf. franc et concordant à 30 deg tca.</p>								
941.40	955.80	<p>PyO2; Potr</p> <p><b>Pyrite 2%; Pyrrholine tr</b></p> <p>Entre 941.1-955.8m: Globalement 2% Py en patchs mm à cm de dissémination ou amas mm. Trace de Po en association avec la Py dans les amas. Minéralisation distribuée de façon hétérogène. 20% de la minéralisation en bandes d'alignement de grains ou amas discontinus suivant généralement la foliation, mais parfois irrégulières. Parfois en "rimming" autour des clastes.</p> <p>Exceptés: 944.9 947.5 I2; pFpAm 949 955.8 I2; pFpAm</p>	941.50	942.50	P152627	1.00	0.410	0.70	393.0	53.0
			942.50	943.50	P152628	1.00	0.770	1.10	902.0	59.0
			943.50	944.90	P152629	1.40	0.350	0.50	386.0	76.0
944.90	947.50	<p>I2; pFpAm</p> <p>Intrusion Intermédiaire 30°; Porphyre de Feldspath et Amphibole 30°</p> <p>Intrusion intermédiaire à porphyre de Fld et amp.</p> <p>Matrice gris moyen à mauvasse, à grains fins.</p>	947.40	948.30	P152631	0.90	0.185	0.40	61.0	61.5
			948.30	949.20	P152632	0.90	0.460	0.80	319.0	69.0

MAUDORE MINERALS Ltd

AC NG CB

Description		Analyse							
		De	À	Numéro	Longueur	Au_Final (g/t)	Ag_Final (ppm)	Cu_Final (ppm)	Zn_Final (ppm)
949.00	955.80	955.70	957.00	P152633	1.30	0.190	0.30	231.0	49.0
955.80	972.20								

Contenant 15% de porphyres de Fld blanc laiteux sub-arrondis, taille 1mm-5mm..  
Hématisation modéré pervasive ou en vnl  
5% minéraux mafique sombre en fines baguettes (amp?).  
Trace de Py diss.

Contact sup. franc et concordant à 30 deg tca.  
Contact inf. franc et concordant à 30 deg tca.

I2; pFpAm  
**Intrusion intermédiaire; Porphyre de Feldspath et Amphibole**  
Intrusion intermédiaire à porphyre de Fld et amp.

Matrice gris moyen, à grains fins.  
Contenant 15% de porphyres de Fld blanc laiteux sub-arrondis à prismatique, taille 1mm-5mm..  
Hématisation faible localement pervasive ou en vnl  
5% minéraux mafique sombre en fines baguettes (amp?).  
Trace de Py diss ou en vnl.  
Unité plus fine au proches des épontes.

Contact sup. franc et concordant à 30 deg tca.  
Contact inf. franc et concordant à 45 deg tca.

Py01; Potr  
**Pyrite 1%; Pyrrhotine tr**  
Entre 955.8-972.2m: Globalement 1% Py (distribution hétérogène) principalement en amas de Py/Po mineur.  
Amas de Py/Po mm à cm parfois regroupé en amoncellement, plus rarement en bandes d'alignement suivant la foliation. Faible dissémination de grains de Py infra-mm.

Exceptés:  
961.2 963.2 I2; pFpAm  
963.2 964 I3; FIN

MAUDORE MINERALS Ltd

AC NG CB

Description			Analyse							
			De	À	Numéro	Longueur	Au_Final (g/t)	Ag_Final (ppm)	Cu_Final (ppm)	Zn_Final (ppm)
		964 970.2 I2								
957.00	959.50	SIL++; PA; BO-; Chl- Silicification intense; Paragonite; Biotisation faible; Chloritisation faible Entre 957-959.5m: Si+ pervasive, Bt+ pervasive matricielle, Chl modérée en bandes ou altération des clastes, aussi plus rarement en vn, Cb- en vnl ou altération des clastes. Pa- en bandes grise pâle concordantes à la foliation.	957.00	957.50	P151243	0.50	0.208	0.10	125.0	49.0
			957.50	958.50	P152634	1.00	0.110	0.10	88.0	42.0
			958.50	960.00	P152635	1.50	0.230	0.40	358.0	49.0
959.50	972.20	SIL+; BO+; Chl; CB- Silicification forte; Biotisation forte; Chloritisation; Carbonatation faible Entre 959.5-972.2: Si+ pervasive, Bt+ pervasive matricielle, Chl modérée en bandes ou altération des clastes, aussi plus rarement en vn, Cb- en vnl ou altération des clastes.  Exceptés: 961.2-963.2m: I2; pFpAm 963.2-964.0m: I3; FIN 964.0-970.2m: I2	960.00	961.20	P152636	1.20	0.160	0.20	151.0	46.0
961.20	963.20	I2; pFpAm Intrusion intermédiaire; Porphyre de Feldspath et Amphibole Intrusion intermédiaire à porphyre de Fld et amp. Matrice gris moyen, à grains fins. Contenant 15% de porphyres de Fld blanc laiteux sub-arrondis, taille 1mm-5mm.. Hématation faible localement pervasive ou en vnl 5% minéraux mafique sombre en fines baguettes (amp?). Unité plus fines aux épointes. Trace de Py diss.								

MAUDORE MINERALS Ltd

AC NG CB

Description		Analyse							
		De	À	Numéro	Longueur	Au_Final (g/t)	Ag_Final (ppm)	Cu_Final (ppm)	Zn_Final (ppm)
963.20	964.00	Contact sup. franc et concordant à 35 deg tca. Contact inf. franc et concordant à avec un I3 I3; FIN <b>Intrusion mafique; Grains fins</b> Intrusif mafique. Couleur vert sombre à grains fins. Massif. porphyre de Chl mm. Trace de Py diss.							
964.00	970.20	Contact sup. franc à 45 deg tca. Contact inf. franc à 55 deg tca. I2 <b>Intrusion intermédiaire</b> Intrusion intermédiaire à porphyre de Fld et amp. Matrice gris moyen, à grains fins. Contenant 20-25% de porphyres de Fld blanc laiteux sub-arrondis à prismatique, taille 1mm-8mm, plus rarement jusqu'à 1cm. Hémalisation modérée à localement forte pervasive ou en vnl 10% minéraux mafique sombre en fines baguettes (amp?). Passage mineur de V2V3 entre 969.7-969.9 (1% Py en amoncellement d'amas.							
		969.70	970.20	P152637	0.50	0.040	0.10	94.0	54.0
		970.20	971.00	P152638	0.80	0.140	0.30	152.0	61.0
		971.00	972.10	P152640	1.10	0.070	0.10	33.0	99.0
		972.10	973.10	P152641	1.00	0.020	0.10	56.0	25.0
972.20	975.00	Contact sup. franc et concordant à 30 deg tca. Contact inf. diffus. Chl+; SIL; AB-; CB- <b>Chloritisation forte; Silicification;</b> <b>Albitisation faible; Carbonatation faible</b> Entre 972.2-975m: Chl+ pervasive ou en mouchetage, Si mod. pervasive, Ab- en pFp?, Cb- en vnl irrégulières.							
		973.10	974.40	P152642	1.30	0.040	0.10	70.0	39.0
974.40	989.50	Py01; Polr <b>Pyrite 1%; Pyrrhotine tr</b> Entre 974.4-989.5m Globalement 1% Py (distribution hétérogène) principalement							
		974.40	975.50	P152643	1.10	0.170	0.20	166.0	66.0

MAUDORE MINERALS Ltd

AC NGC CR

Description		Analyse							
		De	À	Numéro	Longueur	Au_Final (g/t)	Ag_Final (ppm)	Cu_Final (ppm)	Zn_Final (ppm)
975.00	1 011.00	<p>en amas de Py/Po mineur. Amas de Py/Po mm à cm parfois regroupé en amoncellement, plus rarement en bandes d'alignement suivant la foliation. Faible dissémination de grains de Py infra-mm.</p> <p>Exceptés: 979.5 981.6 I3; FIN 984.8 987.1 I2 988.2 989.1 I1G</p> <p>SIL; BO; Ch; PA-; CB- Silicification; Biotisation; Chloritisation; Paragonite faible; Carbonatation faible</p> <p>Si modérée pervasive, Bt modéré matricielle ou en mouchetage. Chl mod. en bandes ou altération des clastes, Pa- en qqs fines bandes ou patchs gris pâle, Cb- en vnl.</p> <p>Exceptés: 979.5-981.6m: I3; FIN 984.8-987.1m: I2 988.2-989.1m: I1G 994.5-995.6m: I2; pFp 997.0-998.3m: I2; pFpAm 1002-1007.9m: I2; pFpAm</p>							
		975.50	976.50	P152644	1.00	0.510	0.30	326.0	48.0
		976.50	978.00	P152646	1.50	0.380	0.30	195.0	66.0
		978.00	979.50	P152647	1.50	0.330	0.40	478.0	43.0
979.50	981.60	<p>I3; FIN</p> <p>Intrusion mafique; Grains fins</p> <p>Intrusif mafique.</p> <p>Couleur vert sombre à grains fins. Massif. porphyre de Chl mm.</p> <p>Trace de Py en amas (2mm) près du contact inf.</p> <p>Vnl de Cb irrégulières.</p> <p>Faible hématitisation locale.</p> <p>Contact sup. franc à 50 deg tca.</p>							
		981.60	982.50	P152648	0.90	0.500	0.60	782.0	42.0
		982.50	984.00	P152649	1.50	0.210	0.20	497.0	42.0
		984.00	984.80	P152650	0.80	0.045	0.10	37.0	63.0

Description			Analyse							
			De	À	Numéro	Longueur	Au_Final (g/l)	Ag_Final (ppm)	Cu_Final (ppm)	Zn_Final (ppm)
984.80	987.10	<p>I2</p> <p><b>Intrusion Intermédiaire</b></p> <p>Intrusion intermédiaire à porphyre de Fld et amp.</p> <p>Matrice gris moyen, à grains fins.</p> <p>Contenant 20-25% de porphyres de Fld blanc lailleux sub-arrondis à prismatique, taille 1mm-8mm, plus rarement jusqu'à 1cm.</p> <p>Hématisation modérée à localement forte pervasive ou en vnl</p> <p>10% minéraux mafique sombre en fines baguettes (amp?).</p> <p>Passage mineur de V2V3 entre 969.7-969.9 (1% Py en amoncellement d'amas.</p>	987.00	988.20	P152651	1.20	0.060	0.40	132.0	84.0
988.20	989.10	<p>Contact sup. franc et concordant à 30 deg tca.</p> <p>Contact inf. dffus.</p> <p>I1G</p> <p><b>Pegmatite</b></p> <p>Pegmatite.</p> <p>Couleur blanc à rosé, grains grossier.</p> <p>Cristaux entre .5 et 1cm .</p> <p>Composé majoritairement de Fld et de Qtz, 10% de minéraux de gangue mafique.</p> <p>Grains plus fins vers le contact inférieur. (granitique).</p> <p>Aucune minéralisation</p>	989.00	989.50	P152652	0.50	0.040	0.10	92.0	54.0
989.50	990.10	<p>Contact supérieur ondulant à 25deg tca.</p> <p>Contact inférieur net à 40deg tca</p> <p>Po01; Cp00.5; Py00.5</p> <p><b>Pyrrhotine 1%; Chalcoppyrite 0.5%; Pyrite 0.5%</b></p> <p>Entre 989.5-990.1m: 1% Po; 0.5% Cpy; 0.5% Py en amas mm à cm ou patchs cm d'amas mm allongé dans la foliation.</p> <p>Py/Po/Cpy en association dans les amas.</p>	989.50	990.10	P152653	0.60	0.530	0.40	876.0	47.0

MAUDORE MINERALS Ltd

AC NG CB

Description			Analyse							
			De	À	Numéro	Longueur	Au_Final (g/t)	Ag_Final (ppm)	Cu_Final (ppm)	Zn_Final (ppm)
990.10	993.70	Py01; Potr <b>Pyrite 1%; Pyrrhotine tr</b> Entre 990.1- 7: Globalement 1% Py (distribution hétérogène) principalement en amas de Py/Po mineur. Amas de Py/Po mm à cm parfois regroupé en amoncellement, plus rarement en bandes d'alignement suivant la foliation. Faible dissémination de grains de Py infra-mm.	990.10	991.50	P152655	1.40	0.200	0.10	219.0	44.0
			991.50	992.50	P152656	1.00	0.050	0.10	12.0	39.0
			992.50	993.00	P151244	0.50	0.095	0.10	29.0	38.0
			993.00	993.70	P152657	0.70	0.030	0.10	14.0	49.0
993.70	1 011.40	Py05; Po <b>Pyrite 5%; Pyrrhotine</b> 3-5% Py en amas (bandes pluricm ou patchs étirés dans la foliation) (70%) ou en grains mm disséminés (30%) Po en traces en qqs amas associés dans les bandes d'amas de Py.  Exceptés: 994.5 995.6 I2; pFp 997 998.3 I2; pFpAm 1002 1007.9 I2; pFpAm	993.70	994.50	P152658	0.80	0.090	0.10	23.0	45.0
994.50	995.60	I2; pFp <b>Intrusion Intermédiaire 40°; Porphyre                      de Feldspath 40°</b> Intrusion intermédiaire à porphyre de Fld et amp. Matrice gris moyen, à grains fins. Contenant 15% de porphyres de Fld blanc laiteux sub-arrondis à prismatique, taille 1mm-4mm Hémalisation modérée à localement forte pervasive ou en vnl 10% minéraux mafique sombre en fines baguettes (amp?).  Contact sup. franc et concordant à 30 deg tca. Contact inf. franc et concordant à 40 deg tca.	995.60	997.00	P152659	1.40	0.300	0.20	187.0	196.0
997.00	998.30	I2; pFpAm	998.30	999.00	P152661	0.70	0.060	0.10	17.0	49.0

NG



MAUDORE MINERALS Ltd

AC NG CB

Description		Analyse								
		De	À	Numéro	Longueur	Au_Final (g/l)	Ag_Final (ppm)	Cu_Final (ppm)	Zn_Final (ppm)	
1 002.00	1 007.90	Intrusion intermédiaire 30°; Porphyre de Feldspath et Amphibole 30°	999.00	999.90	P152662	0.90	0.050	0.10	29.0	46.0
		Intrusif intermédiaire de couleur gris moyen.	999.90	1 000.40	P152663	0.50	0.040	0.10	12.0	38.0
		10% pfp blancs légèrement rosés de 3-5mm.	1 000.40	1 001.50	P152664	1.10	0.360	0.10	365.0	42.0
		15% Amph en baguettes ou en mouchetage de 3-5mm.	1 001.50	1 002.00	P152665	0.50	1.160	0.30	688.0	58.0
Passage de Pegmatite rose de 997.1m à 997.5m.										
Alt: Si+, Cb-										
Min: Tr de Py en grains fins diss.										
Contacts sup et inf de 30deg concordants.										
1 002.00	1 007.90	I2; pFpAm	1 002.00	1 003.00	P299287	1.00	0.010	0.10	7.0	86.0
1 011.00	1 030.60	Intrusion intermédiaire 30°; Porphyre de Feldspath et Amphibole 30°	1 007.90	1 009.00	P152666	1.10	0.060	0.10	18.5	55.5
		Intrusif intermédiaire de couleur gris moyen	1 009.00	1 009.50	P152667	0.50	0.100	0.10	55.0	42.0
		légèrement rosé (hématisation).	1 009.50	1 010.10	P152668	0.60	0.060	0.10	40.0	44.0
		15% pfp blancs légèrement rosés de 3-8mm.	1 010.10	1 011.00	P152670	0.90	0.030	0.20	31.0	55.0
15% Amph en baguettes ou en mouchetage de 3-5mm.										
Alt: Si+, Cb-, Hm-										
Min: Tr de Py en grains fins diss.										
Contacts sup et inf de 30deg concordants.										
1 011.00	1 030.60	SIL; BO; Chl-; PA-; CB- Silicification; Blotisation; Chloritisation faible; Paragonite faible; Carbonatation faible Si modérée pervasive, Bt modérée matricielle ou en mouchetage, Chl- en bandes ou altération des clastes, Pa- en qqs fines bandes ou patchs gris pâle. Cb- en vnl, Sr en traces en fines laminations jaunes verdâtres (1020.8m) au contact d'un I2;pFpAm.	1 011.00	1 011.80	P152671	0.80	0.230	0.20	34.0	42.0
Exceptés:										
1011.8-1014.9m: I2; pFpAm										
1020.8-1030.2m: I2; pFpAm										
1 011.40	1 037.80	Py03; Cp Pyrite 3%; Chalcopyrite 1-3% Py en amas majoritairement								

MAUDORE MINERALS Ltd

AC NG CB

Description	Analyse							
	De	À	Numéro	Longueur	Au_Final (g/t)	Ag_Final (ppm)	Cu_Final (ppm)	Zn_Final (ppm)
regroupés en patchs pluri cm étirés dans la foliation (60%) ou en grains mm disséminés (30%) ou en rares alignements de grains selon la foliation (10%). Répartition hétérogène Cpy en Tr, en amas difformes cm (1020.1m).  Exceptés: 1011.8 1014.9 I2; pFpAm 1020.8 1030.2 I2; pFpAm 1031.7 1036.1 I2; pFpAm								
1 011.80 1 014.90 I2; pFpAm	1 014.90	1 015.70	P152672	0.80	0.120	0.10	22.0	45.0
<b>Intrusion intermédiaire 25*; Porphyre de Feldspath et Amphibole 25*</b>	1 015.70	1 016.80	P152673	1.10	0.210	0.10	47.0	45.0
Intrusif intermédiaire de couleur gris moyen.	1 016.80	1 017.30	P151251	0.50	0.037	0.10	74.0	45.0
15% pfp blancs légèrement rosés de 3-8mm.	1 017.30	1 017.80	P152674	0.50	0.220	0.10	57.0	45.0
20% Amph en baguettes ou en mouchetage de 3-5mm.	1 017.80	1 019.00	P152675	1.20	0.040	0.10	21.0	44.0
Alt: Si+, Cb-	1 019.50	1 020.00	P152676	0.50	0.020	0.10	12.0	42.0
Min: Tr de Py en grains fins diss.	1 020.00	1 020.80	P152677	0.80	0.220	0.40	491.0	41.0
Contacts sup et inf de 25deg concordants.								
1 020.80 1 030.20 I2; pFpAm	1 030.10	1 030.60	P152679	0.50	0.070	0.30	18.0	57.0
<b>Intrusion intermédiaire 30*; Porphyre de Feldspath et Amphibole 30*</b>								
Intrusif intermédiaire de couleur gris moyen. Jusqu'à 1023.9m: 10% pfp blancs de 2-3mm. 15% Amph vert sombre à noires en mouchetage et rares baguettes de 3-5mm. De 1023.9-1027.0m: 10% pfp blancs de 3-8mm, rarement 1cm. 15% Amph vert sombre à noires en mouchetage et rares baguettes de 3-5mm. A partir de 1027.0m: 10% pfp blancs de 2-3mm. 15% Amph vert sombre à noires en mouchetage et rares baguettes de 3-5mm. De 1023.2 à 1023.6m: passage de I3 FIN gris sombre.								

AC NG CB

Description	Analyse							
	Dé	À	Numéro	Longueur	Au_Final (g/t)	Ag_Final (ppm)	Cu_Final (ppm)	Zn_Final (ppm)
Alt: Si+, Cb- Min: Tr de Py en grains fins diss. Contacts sup et inf de 30-35deg concordants.  1 030.60    1 050.30    SIL: BO; Chl; PA-; CB- Silicification; Biotisation; Chloritisation; Paragonite faible; Carbonatisation faible Si modérée pervasive, Bt modérée matricielle ou en mouchetage, Chl modérée en bandes ou altération des clastes, Pa- en qqs fines bandes ou patchs gris pâle, Cb- en vnl  Exceptés: 1031.7-1036.1m: I2; pFpAm 1038.9-1040.2m: I3? 1045.3-1048.3m: I2; pFpAm 1048.3-1050m: I3?	1 030.60	1 031.10	P152680	0.50	0.030	0.10	37.0	13.0
	1 031.10	1 031.70	P152681	0.60	0.420	0.80	489.0	40.0
1 030.60    1 031.10    VEI; 100%; Qz; Py01; Veine 100% Quartz Pyrite 1% Veine de Qtz disc., 60-70deg. 15 py disséminés au niveau des épontes. Veine de Qtz disc., 60-70deg. 15 py disséminés au niveau des épontes. Veine de Qtz disc., 60-70deg. 15 py disséminés au niveau des épontes. Veine de Qtz disc., 60-70deg. 15 py disséminés au niveau des épontes.	1 031.70	1 036.10	P152682	0.90	0.080	0.30	119.0	56.0
	1 036.10	1 037.00	P152683	1.10	0.430	0.50	494.0	62.0
I2; pFpAm Intrusion intermédiaire 30*; Porphyre de Feldspath et Amphibole 30* Intrusif intermédiaire de couleur gris moyen rosé. 15% pfp blancs légèrement rosés de 5-8mm. 30% Amph en baguettes ou en mouchetage de 3-5mm. Alt: Si+, Cb-, Hm- Min: Tr de Py en grains fins diss. Contacts sup et inf de 30deg concordants.	1 031.70	1 037.00	P152682	0.90	0.080	0.30	119.0	56.0
	1 036.10	1 038.10	P152683	1.10	0.430	0.50	494.0	62.0

MAUDORE MINERALS Ltd

AC NG CR

Description			Analyse							
			De	À	Numéro	Longueur	Au_Final (g/t)	Ag_Final (ppm)	Cu_Final (ppm)	Zn_Final (ppm)
1 037.80	1 041.00	Py05; Po01; Cp Pyrite 5%; Pyrrhotine 1%; Chalcopyrite 3-5% Py en patchs d'amas pluri cm étirés selon la foliation en association avec les clastes de Chl (60%) ou en grains disséminés (40%). Répartition hétérogène 1% Po en association avec les patchs de Py Cp en traces en amas filamenteux dans une enclave de V2V3 dans un intrusif.  Excepté: 1038.9 1040.2 I3?	1 038.10	1 038.90	P152684	0.80	0.380	0.70	597.0	46.0
1 038.90	1 040.20	I3 Intrusion mafique? 50* intrusion mafique? couleur gris sombre verdâtre mouchetage mm noir (Chlorite?) Enclave de V2V3 avec cp à 1039.8m les 60 derniers centimètres sont composés d'aplite Alt: Si+, Chl+ Traces de Py en grains finement disséminés Contacts sup et inf de 50deg concordant	1 039.60	1 040.10	P152686	0.50	0.130	0.40	300.0	47.0
			1 040.10	1 041.00	P152688	0.90	1.040	1.00	1 330.0	43.0
1 041.00	1 077.50	Py02; Po Pyrite 2%; Pyrrhotine 1-2% Py en alignements de grains selon la foliation (60%) ou en amas de 2-3mm parfois regroupés en amas pluricm (30%) ou en qqs grains mm disséminés (10%) Po en traces en grains disséminés.  Exceptés: 1045.3 1048.3 I2; pFpAm 1048.3 1050 I3? 1056.5 1059.4 I3? 1064.2 1065.3 I2; pFpAm	1 041.00	1 042.00	P152689	1.00	0.110	0.20	179.0	38.0
			1 042.00	1 043.00	P152690	1.00	0.260	0.40	350.0	36.0
			1 043.00	1 044.00	P152691	1.00	0.320	0.60	449.0	45.0
			1 044.00	1 044.80	P152692	0.80	0.170	0.40	136.0	62.0
			1 044.80	1 045.30	P151252	0.50	0.075	0.10	44.0	50.0

MAUDORE MINERALS Ltd

AC NG CB

Description			Analyse							
			De	À	Numéro	Longueur	Au_Final (g/t)	Ag_Final (ppm)	Cu_Final (ppm)	Zn_Final (ppm)
1066.1	1066.7	I2; pFpAm								
1067.8	1070	I2; pFpAm								
1071.6	1072.3	I2; pFpAm								
1072.5	1077.3	I2; pFpAm								
1 045.30	1 048.30	I2; pFpAm Intrusion Intermédiaire; Porphyre de Feldspath et Amphibole Intrusif Intermédiaire de couleur gris moyen rosé. 20% pfp blancs, de 5-8mm. 20% Amph en baguettes ou en mouchetage de 3-5mm. Alt: Si+, Cb-, Hm- Min: Tr à 1% de Py en grains fins diss. Contacts sup et inf au niveau d'une fracture mais semblant être perpendiculaire à l'Axe de la carotte								
1 048.30	1 050.00	I3 Intrusion mafique? Intrusif mafique? Couleur vert sombre présence de feldspath interstitiel Mouchetage vert sombre tres abondant de chlorite alt: Si+, Chl+ Traces de py en grains finement disséminés Contacts sup et inf semblant etre perpendiculaires à l'Axe de la carotte	1 050.00	1 051.20	P152693	1.20	0.113	0.35	307.0	40.0
1 050.30	1 051.20	Chl+; SIL; CB; BO- Chloritisation forte; Silicification; Carbonatation; Biotisation faible Chl+ en bandes et gros amas verdâtres, Si modérée pervasive et en clastes de Qz subarrondis, Cb modérée en vnl et pervasifs dans les amas de Chl, Bt- matricielle, sr en traces en fines laminations vert clair								
1 051.20	1 117.30	BO+; SIL; Chl; PA-; CB- Biotisation forte; Silicification;	1 051.20	1 052.50	P152694	1.30	0.070	0.10	33.0	34.0
			1 052.50	1 054.00	P152695	1.50	0.160	0.30	177.0	46.0

MAUDORE MINERALS Ltd

AL NG 07

Description	Analyse										
	De	À	Numéro	Longueur	Au_Final (g/t)	Ag_Final (ppm)	Cu_Final (ppm)	Zn_Final (ppm)			
Chloritisation; Paragonite faible; Carbonatation faible Bt+ matricielle ou en qqs bandes, Si modérée pervasive, Chl modérée en bandes ou altération des clastes, Pa- en qqs fines bandes ou patchs gris pâle, Cb- en vnl  Exceptés: 1056.5-1059.4m: I3? 1064.2-1065.3m: I2; pFpAm 1066.1-1066.7m: I2; pFpAm 1067.8-1070m: I2; pFpAm 1071.6-1072.3m: I2; pFpAm 1072.5-1077.3m: I2; pFpAm 1083.0-1084.1m: I2; pFpAm 1088.4-1090.1m: I2; pFpAm 1090.6-1091.9m: I2; pFpAm 1093.9-1098.8m: I2; pFpAm 1099.8-1108.0m: I2; pFpAm 1110.4-1117.3m: I2; pFpAm	1 054.00	1 054.50	P152696	0.50	0.340	1.20	832.0	43.0			
	1 054.50	1 055.50	P152697	1.00	0.180	0.10	247.0	36.0			
	1 055.50	1 056.50	P152698	1.00	0.340	0.30	406.0	40.0			
1 056.50	1 059.40	I3	1 059.40	1 059.90	P152699	0.50	0.540	0.40	602.0	37.0	
Intrusion mafique?	1 059.90	1 061.00	P152700	1.10	0.790	0.80	1 072.5	37.0			
Intrusif mafique?	1 061.00	1 061.50	P152701	0.50	0.360	0.40	547.0	44.0			
Couleur vert sombre	1 061.50	1 062.00	P152702	0.50	0.450	0.70	654.0	43.0			
présence de feldspath interstitiel	1 062.00	1 062.80	P152703	0.80	2.310	0.30	687.0	41.0			
Mouchetage vert sombre tres abondant de chlorite	1 062.80	1 063.50	P152704	0.70	0.320	1.00	1 340.0	34.0			
alt: Si+, Chl+	1 063.50	1 064.20	P152705	0.70	0.320	0.40	547.0	46.0			
Traces de py en grains finement disséminés Contacts sup et inf semblant etre perpendiculaires à l'Axe de la carotte	1 064.20	1 065.30	I2; pFpAm	1 065.30	1 066.10	P152706	0.80	0.850	0.40	607.0	44.0
Intrusion Intermédiaire; Porphyre de Feldspath et Amphibole Intrusif intermédiaire de couleur gris moyen 20% pfp blancs, de 5-8mm. 20% Amph en baguettes ou en mouchetage de 3-5mm. Alt: Si+, Cb-											

MAUDORE MINERALS Ltd

AL NG CB

Description		Analyse							
		De	À	Numéro	Longueur	Au_Final (g/t)	Ag_Final (ppm)	Cu_Final (ppm)	Zn_Final (ppm)
1 066.10	1 066.70	1 066.70	1 067.80	P152707	1.10	0.250	0.20	364.0	41.0
Min: Tr de Py en grains fins diss. Contacts sup au niveau d'une fracture et inf de 40deg concordant I2; pFpAm <b>Intrusion Intermédiaire 40*; Porphyre de Feldspath et Amphibole 40*</b> Intrusif intermédiaire de couleur gris moyen 15% pfp blancs, de 5-8mm. 20% Amph en baguettes ou en mouchetage de 3-5mm. Alt: Si+, Cb- Min: Tr de Py en grains fins diss. Contacts sup et inf de 40deg concordants									
1 067.80	1 070.00	1 070.00	1 070.80	P152708	0.80	0.280	0.40	626.0	68.0
I2; pFpAm <b>Intrusion Intermédiaire; Porphyre de Feldspath et Amphibole</b> Intrusif intermédiaire de couleur gris moyen rosé. 20% pfp blancs, de 5-12mm. 20% Amph en baguettes ou en mouchetage de 3-5mm. Alt: Si+, Cb-, Hm- Min: Tr de Py en grains fins diss. Contacts sup de 40deg concordant et inf au niveau d'une petite zone de fractures									
1 070.70	1 070.80	1 070.80	1 071.60	P152709	0.80	0.130	0.20	11.0	66.0
BRE <b>Bréchiique</b> Entre 1070.7-1070.8m: Petite zone de breche avec ciment de Si et contenant des fragments cm anguleux de V2-V3.									
1 071.60	1 072.30	1 072.20	1 072.70	P152711	0.50	0.020	0.10	24.0	48.0
I2; pFpAm <b>Intrusion Intermédiaire 35*; Porphyre de Feldspath et Amphibole 35*</b> Intrusif intermédiaire de couleur gris moyen rosé. 15% pfp blancs, de 5-8mm. 20% Amph en baguettes ou en mouchetage de 3-5mm. Alt: Si+, Cb-, Hm- Min: Tr à 1% de Py en grains fins diss.									

MAUDORE MINERALS Ltd

AC NG CB

Description		Analyse								
		De	À	Numéro	Longueur	Au_Final (g/t)	Ag_Final (ppm)	Cu_Final (ppm)	Zn_Final (ppm)	
1 072.50	1 077.30	Contacts sup et inf de 35deg concordants. I2; pFpAm <b>Intrusion intermédiaire; Porphyre de Feldspath et Amphibole</b> Intrusif intermédiaire de couleur gris moyen rosé à rouge 15% pfp blancs, de 3-8mm. 20% Amph en baguettes ou en mouchetage de 3-5mm. Alt: Si+, Cb-, Hm- à hm modérée. Min: Tr à 1% de Py en grains fins diss. Contacts sup et inf nets à 40deg AC concordants.								
1 077.50	1 078.30	Py05	1 077.50	1 078.50	P152712	1.00	0.370	0.20	31.0	76.0
		<b>Pyrite 5%</b> Entre 1077.5-1078.3m: 5% Py en patchs d'amas de 2-8cm (80%) et diss (20%).								
1 078.30	1 082.40	Py01	1 078.50	1 079.50	P152714	1.00	0.110	0.20	187.0	44.0
		<b>Pyrite 1%</b> Entre 1078.3-1082.4m: Globalement 1% de Py en alignements de grains mm (50%), en grains mm diss (30%) et en qq amas plurimm difformes (20%).	1 079.50	1 080.00	P151258	0.50	0.060	0.10	20.0	255.0
			1 080.00	1 081.00	P152715	1.00	0.145	0.15	113.5	43.0
			1 081.00	1 082.00	P152716	1.00	0.060	0.10	138.0	44.0
			1 082.00	1 083.10	P152717	1.10	0.060	0.10	48.0	41.0
1 082.40	1 087.30	PyTr								
		<b>Pyrite Tr</b> Entre 1082.4-1087.3m: Py en Tr en rains mm, diss.  Excepté: 1083 1084.1 I2; pFpAm								
1 083.00	1 084.10	I2; pFpAm	1 084.10	1 085.60	P152718	1.50	0.030	0.10	21.0	148.0
		<b>Intrusion intermédiaire 60°; Porphyre de Feldspath et Amphibole 60°</b> Intrusif intermédiaire de couleur gris moyen à gris rosé. 15% pfp blancs, de 0.5-1cm. 20% Amph en baguettes ou en mouchetage de 3-5mm.	1 085.60	1 086.50	P152719	0.90	0.010	0.10	5.0	33.0
			1 086.50	1 087.60	P152720	1.10	0.340	0.10	220.0	161.0



MAUDORE MINERALS Ltd

AC NG CB

Description	Analyse							
	De	À	Numéro	Longueur	Au_Final (g/t)	Ag_Final (ppm)	Cu_Final (ppm)	Zn_Final (ppm)
<p>Alt: Si+, Cb-, Hm Tr Min: Tr de Py en grains très fins diss. Contacts sup et inf nets à 60deg AC concordants.</p> <p>1 087.30 1 088.40 Py05 Pyrite 5% Entre 1087.3-1088.4m: 5% de Py en patchs d'amas de 2-10cm (80%), en grains mm diss (20%).</p>	1 087.60	1 088.40	P152721	0.80	0.790	0.30	194.0	97.0
<p>1 088.40 1 090.10 I2; pFpAm Intrusion intermédiaire 35°; Porphyre de Feldspath et Amphibole 35° Intrusif intermédiaire de couleur gris moyen à gris rosé. 15% pfp blancs, de 3-10mm. 20% Amph en baguettes ou en mouchetage de 3-5mm. Alt: Si+, Cb-, Hm Tr Min: Tr de Py en grains très fins diss. Contacts sup et inf nets à 35deg AC concordants.</p>	1 088.40	1 110.40	P152723	0.50	0.370	0.10	225.0	51.0
<p>Py01; CpTr Pyrite 1%; Chalcopyrite Tr Entre 1088.4-1110.4m: Globalement 1% de Py en amas de 1-4cm (60%), en alignement de grains mm suivant la schistosité (20%) et diss (20%). A 1090.5m: Cpy en Tr, associée avec Py en amas cm. A 1110.3m: Patch d'amas de Py de 10cm.</p> <p>Exceplés: 1088.4 1090.1 I2; pFpAm 1090.6 1091.9 I2; pFpAm 1093.9 1098.8 I2; pFpAm 1099.8 1108 I2; pFpAm</p>								

MAUDORE MINERALS Ltd

AL NG 013

Description		Analyse								
		De	À	Numéro	Longueur	Au_Final (g/t)	Ag_Final (ppm)	Cu_Final (ppm)	Zn_Final (ppm)	
1 090.60	1 091.90	I2; pFpAm <b>Intrusion intermédiaire 45°; Porphyre de Feldspath et Amphibole 45°</b> Intrusif intermédiaire de couleur gris moyen à gris rosé. 15% pfp blancs, de 0.5-1cm. 20% Amph en baguettes ou en mouchetage de 3-5mm. Alt: Si+, Cb-, Hm Tr Min: Tr de Py en grains très fins diss. Contacts sup et inf nets à 60deg AC concordants.	1 091.90	1 092.80	P152724	0.90	0.270	0.20	57.0	66.0
			1 092.80	1 093.90	P152725	1.10	0.445	0.20	131.5	78.0
1 093.90	1 098.80	I2; pFpAm <b>Intrusion intermédiaire; Porphyre de Feldspath et Amphibole</b> Intrusif intermédiaire de couleur rose 15% pfp blancs, de 0.5-1cm. 20% Amph en baguettes ou en mouchetage de 3-5mm. Alt: Si+, Hm, Cb- Min: Tr de Py en grains très fins diss. Contacts sup nets à 40deg AC concordant et inf diffus mais environ à 20deg AC concordant	1 098.90	1 099.80	P152726	0.90	0.300	0.20	171.0	80.0
1 099.80	1 108.00	I2; pFpAm <b>Intrusion intermédiaire 40°; Porphyre de Feldspath et Amphibole 40°</b> Intrusif intermédiaire de couleur rose 20% pfp blancs à roses, de 0.5-1cm. 5% Amph en baguettes ou en mouchetage de 3-5mm. Alt: Si+, Hm+, Cb- Min: Tr de Py en grains très fins diss. Contacts sup et inf nets à 40deg AC concordant	1 108.00	1 108.90	P152727	0.90	0.020	0.10	13.0	306.0
			1 108.90	1 109.90	P152728	1.00	0.020	0.20	11.0	181.0
			1 109.90	1 110.40	P152729	0.50	0.200	0.60	156.0	877.0
1 110.40	1 117.30	I2; pFpAm <b>Intrusion intermédiaire 30°; Porphyre de Feldspath et Amphibole 30°</b> Intrusif intermédiaire de couleur rouge 15% pfp blancs à roses, de 0.5-1cm. 15% Amph en baguettes ou en mouchetage de								

MAUDORE MINERALS Ltd

AC NG CB

Description			Analyse							
			De	À	Numéro	Longueur	Au_Final (g/t)	Ag_Final (ppm)	Cu_Final (ppm)	Zn_Final (ppm)
1 110.40	1 128.50	<p>3-5mm.                      fracturation forte en disques de                      1110.9-1112.4m                      Alt: Si+, Hm++, Cb-, Ep-                      Min: Tr de Py en grains très fins diss.                      Contacts sup et inf nets à 25-30deg AC                      concordant</p> <p>PyTr                      Pyrite Tr                      Entre 1110.4-1138.5m: Py en Tr en qq                      rares amas et patch d'amas de 1-8cm                      (90%) et disséminée (10%).</p> <p>Exceptés:                      1110.4 1117.3 I2; pFpAm                      1119.3 1122.9 I2; pFpAm</p>								
1 117.30	1 128.50	<p>BO+; SIL; Chl; HM; CB-                      Blotisation forte; Silicification;                      Chloritisation; Hématitisation;                      Carbonatation faible                      De 1117.3-1138.5m: Bt+ matricielle ou en                      qqs bandes, Si modérée pervasive, Chl                      modérée en bandes ou altération des                      clastes, Hm modérée en vn et vnl et                      localement pervasive, Cb- en vnl.</p> <p>Excepté:                      1119.3-1122.9m: I2; pFpAm</p>	1 117.30	1 118.30	P152731	1.00	0.030	0.20	77.0	104.0
			1 118.30	1 119.30	P152732	1.00	0.500	0.20	12.0	99.0
1 119.30	1 122.90	<p>I2; pFpAm                      Intrusion intermédiaire 60°; Porphyre                      de Feldspath et Amphibole 60°                      Intrusif intermédiaire de couleur rouge.                      15% pfp blancs à roses, de 0.5-1cm.                      10% Amph en baguettes ou en mouchetage de                      3-5mm.                      Alt: Si+, Hm++, Cb-                      Contacts sup et inf nets à 60-65deg AC                      discordants.</p>	1 122.90	1 124.20	P152733	1.30	0.010	0.10	32.0	81.0
			1 124.20	1 124.70	P152734	0.50	0.130	0.30	289.0	69.0
			1 124.70	1 125.50	P152736	0.80	0.080	0.40	236.0	73.0
			1 125.50	1 126.50	P152737	1.00	0.090	0.40	331.0	74.0
			1 127.00	1 128.50	P152739	1.50	0.025	0.20	8.0	65.0
1 128.50	1 158.00	11B								

Description	Analyse							
	De	À	Numéro	Longueur	Au_Final (g/t)	Ag_Final (ppm)	Cu_Final (ppm)	Zn_Final (ppm)
Granite Beehler  Contact sup. net à 40deg AC discordant.  1 128.50    1 158.00    I1B Granite 40* Beehler Contact sup nets à 40deg AC discordant.	1 136.50	1 137.00	P151259	0.50	0.015	0.20	9.0	70.0
1 158.00    Fin du sondage Nombre d'échantillons : 585 Nombre d'échantillons QAQC : 75 Longueur totale échantillonnée : 594.00								

MAUDORE MINERALS Ltd

AL NG CB

QAQC

De	À	Numéro	Référence	Longueur	Au (g/t)	Ag (ppm)	Cu (ppm)	Zn (ppm)
0.00	0.00	P152678	Blank	0.00	-0.01	0.2	12	21
0.00	0.00	P152310	Blank	0.00	-0.01	-0.2	12	23
0.00	0.00	P152268	SH55	0.00	1.32	0.7	95	70
0.00	0.00	P152291	SK62	0.00	3.83	1.1	91	101
0.00	0.00	P152288	Blank	0.00	-0.01	-0.2	11	22
0.00	0.00	P152738	SH55	0.00	1.32	0.8	109	76
0.00	0.00	P152735	Blank	0.00	-0.01	-0.2	13	19
0.00	0.00	P152722	SQ48	0.00	30.40	0.9	64	92
0.00	0.00	P152139	SK62	0.00	3.98	1.2	85	92
0.00	0.00	P152687	SK62	0.00	4.00	1.2	91	108
0.00	0.00	P152415	Blank	0.00	0.03	-0.2	16	38
0.00	0.00	P152461	Blank	0.00	-0.01	-0.2	14	26
0.00	0.00	P152127	Blank	0.00	-0.01	-0.2	13	23
0.00	0.00	P152246	SQ48	0.00	30.80	0.8	62	88
0.00	0.00	P152669	SH55	0.00	1.33	1.0	112	79
0.00	0.00	P152424	SH55	0.00	1.37	0.9	119	78
0.00	0.00	P152434	Blank	0.00	0.01	-0.2	16	25
0.00	0.00	P152514	SK62	0.00	3.87	1.0	93	105
0.00	0.00	P152508	Blank	0.00	-0.01	-0.2	13	19
0.00	0.00	P152505	P152497	0.00	0.02	-0.2	5	12
0.00	0.00	P152493	SH55	0.00	1.36	0.6	102	73
0.00	0.00	P152483	Blank	0.00	-0.01	-0.2	14	19
0.00	0.00	P152474	SQ48	0.00	29.80	1.1	68	93
0.00	0.00	P152442	SK62	0.00	4.21	1.1	95	114
0.00	0.00	P152163	Blank	0.00	-0.01	-0.2	12	22
0.00	0.00	P152208	Blank	0.00	-0.01	-0.2	29	25
0.00	0.00	P152654	Blank	0.00	-0.01	-0.2	15	25
0.00	0.00	P152645	SH55	0.00	1.36	0.8	106	76
0.00	0.00	P152639	Blank	0.00	-0.01	-0.2	12	22
0.00	0.00	P152624	SQ48	0.00	30.90	0.8	55	85
0.00	0.00	P152170	SQ48	0.00	22.40	0.9	65	88
0.00	0.00	P152190	Blank	0.00	-0.01	-0.2	12	22
0.00	0.00	P152609	Blank	0.00	-0.01	-0.2	15	24

MAUDORE MINERALS Ltd

AC NG 03

QAQC

De	À	Numéro	Référence	Longueur	Au (g/t)	Ag (ppm)	Cu (ppm)	Zn (ppm)
0.00	0.00	P152195	SH55	0.00	1.36	0.9	111	82
0.00	0.00	P152585	SK62	0.00	3.70	1.0	90	107
0.00	0.00	P152578	Blank	0.00	-0.01	-0.2	14	21
0.00	0.00	P152317	SQ48	0.00	30.30	1.2	65	90
0.00	0.00	P152561	Blank	0.00	-0.01	-0.2	17	23
0.00	0.00	P152261	Blank	0.00	-0.01	-0.2	11	21
0.00	0.00	P152538	SQ48	0.00	29.80	1.1	62	87
0.00	0.00	P152532	Blank	0.00	-0.01	-0.2	12	22
0.00	0.00	P152217	SK62	0.00	NSS			
0.00	0.00	P152396	SQ48	0.00	30.20	0.9	63	85
0.00	0.00	P152387	Blank	0.00	-0.01	-0.2	12	15
0.00	0.00	P152229	Blank	0.00	-0.01	-0.2	13	19
0.00	0.00	P152370	SK62	0.00	3.94	1.0	86	96
0.00	0.00	P152362	Blank	0.00	-0.01	-0.2	12	24
0.00	0.00	P152347	SH55	0.00	1.26	0.7	98	72
0.00	0.00	P152342	Blank	0.00	-0.01	-0.2	12	17
0.00	0.00	P152713	Blank	0.00	-0.01	-0.2	13	20
0.00	0.00	P152573	SH55	0.00	1.39	0.6	105	74
77.50	78.50	P152167	P152142	1.00	0.02	-0.2	8	56
195.50	196.50	P152180	P152174	1.00	-0.01	-0.2	45	26
282.00	282.50	P299251	P152194	0.50	0.38	0.8	211	957
298.50	300.00	P152205	P152198	1.50	-0.01	-0.2	28	37
351.00	352.50	P152235	P152223	1.50	0.01	-0.2	40	128
358.00	359.30	P152255	P152231	1.30	0.01	-0.2	25	83
429.00	430.50	P152280	P152272	1.50	-0.01	-0.2	16	36
478.00	479.20	P152315	P152294	1.20	0.19	0.8	285	102
533.00	534.00	P152344	P152319	1.00	0.09	0.2	73	44
561.50	562.50	P152358	P152333	1.00	0.92	1.2	391	710
598.50	600.00	P152380	P152373	1.50	0.01	-0.2	39	43
631.30	632.10	P152405	P152398	0.80	0.02	0.3	15	147
664.50	666.00	P152429	P152420	1.50	0.03	-0.2	129	44
693.00	694.50	P152455	P152447	1.50	0.02	-0.2	29	31
715.00	716.50	P152480	P152468	1.50	0.38	0.3	272	73

AL NG CK

QAQC

De	À	Numéro	Référence	Longueur	Au (g/t)	Ag (ppm)	Cu (ppm)	Zn (ppm)
775.00	776.00	P152530	P152522	1.00	0.30	0.3	14	26
795.50	796.50	P152555	P152541	1.00	0.26	-0.2	101	51
840.00	841.50	P152592	P152567	1.50	0.06	0.2	15	62
879.00	880.00	P152605	P152597	1.00	0.01	-0.2	6	20
928.00	929.00	P152630	P152619	1.00	0.51	0.2	140	53
947.40	948.30	P152660	P152631	0.90	0.11	0.2	38	50
1 007.90	1 009.00	P152685	P152666	1.10	0.06	-0.2	18	53
1 050.00	1 051.20	P152710	P152693	1.20	0.12	0.3	313	42
1 080.00	1 081.00	P152730	P152715	1.00	0.03	-0.2	42	39

## Géochimie

De	À	Numéro	Longueur	Description	SiO2 (%)	Al2O3 (%)	Fe2O3 (%)	CaO (%)
30.00	30.50	P151058	0.50		64.12	15.17	5.78	5.80
60.00	60.50	P151059	0.50		63.15	14.25	5.12	6.72
92.00	92.50	P151060	0.50		64.66	14.92	4.65	5.62
119.50	120.00	P151073	0.50		61.35	16.29	5.65	6.86
144.00	144.50	P151074	0.50		62.11	16.12	5.87	5.00
176.50	177.00	P151075	0.50		61.63	15.38	5.89	4.81
195.00	195.50	P151079	0.50		61.19	15.88	6.01	4.50
204.30	204.80	P151100	0.50		53.76	14.54	4.64	10.58
226.50	227.00	P151080	0.50		62.55	14.16	5.13	6.84
254.50	255.00	P151081	0.50		62.39	15.35	6.06	4.94
278.50	279.00	P151091	0.50		61.46	15.53	5.96	5.73
309.00	309.50	P151092	0.50		62.11	15.00	5.75	5.61
342.00	342.50	P151093	0.50		62.59	15.14	5.46	4.01
366.00	366.50	P151094	0.50		62.75	14.53	5.45	5.01
398.50	399.00	P151095	0.50		62.03	15.37	5.59	5.46
428.50	429.00	P151096	0.50		62.81	15.64	5.49	4.27
459.00	459.50	P151121	0.50		59.98	15.49	6.61	5.65
489.00	489.50	P151122	0.50		52.75	14.60	8.74	8.91
519.00	519.50	P151127	0.50		58.01	15.55	7.40	5.89
534.00	534.50	P151128	0.50		63.34	15.39	5.98	4.04
564.00	564.50	P151129	0.50		59.55	14.42	7.90	5.56
594.00	594.50	P151130	0.50		59.77	15.71	7.49	4.93
629.50	630.00	P151204	0.50		63.49	15.57	5.47	4.33
657.00	657.50	P151205	0.50		63.95	16.79	4.98	4.17
685.50	686.00	P151215	0.50		62.34	15.05	5.98	5.34
716.50	717.00	P151216	0.50		62.38	15.78	6.34	4.42
743.50	744.00	P151217	0.50		74.77	14.44	1.33	0.70
767.00	767.50	P151225	0.50		67.87	15.77	3.94	2.66
777.00	777.50	P151226	0.50		59.80	15.37	6.46	6.02
781.50	782.00	P151227	0.50		70.41	14.88	2.30	3.08
798.00	798.50	P151228	0.50		59.89	15.32	7.91	4.97
825.70	826.20	P151229	0.50		69.30	16.37	2.54	2.52
854.50	855.00	P151232	0.50		61.04	14.45	7.77	4.77



Géochimie

De	À	Numéro	Longueur	Description	SiO2 (%)	Al2O3 (%)	Fe2O3 (%)	CaO (%)
868.00	868.50	P151233	0.50		71.88	14.35	2.43	0.97
888.00	888.50	P151234	0.50		69.09	15.06	2.99	3.03
921.40	922.10	P151242	0.70		70.06	14.90	3.64	2.35
957.00	957.50	P151243	0.50		59.43	15.39	9.55	5.18
992.50	993.00	P151244	0.50		60.95	17.33	6.35	4.93
1 016.80	1 017.30	P151251	0.50		63.36	16.14	6.75	4.37
1 044.80	1 045.30	P151252	0.50		62.91	14.90	7.75	3.22
1 079.50	1 080.00	P151258	0.50		61.26	14.32	7.79	3.29
1 136.50	1 137.00	P151259	0.50		63.58	14.69	6.42	1.58

## Géochimie

De	À	Numéro	Longueur	MgO (%)	Na2O (%)	K2O (%)	Cr2O3 (%)	TiO2 (%)	MnO (%)	P2O5 (%)
30.00	30.50	P151058	0.50	3.64	1.58	1.59	-0.01	0.55	0.09	0.12
60.00	60.50	P151059	0.50	2.58	1.84	1.41	-0.01	0.57	0.07	0.17
92.00	92.50	P151060	0.50	2.32	2.72	0.95	-0.01	0.51	0.05	0.11
119.50	120.00	P151073	0.50	3.30	2.04	1.36	-0.01	0.55	0.07	0.13
144.00	144.50	P151074	0.50	2.97	5.41	0.30	-0.01	0.53	0.08	0.13
176.50	177.00	P151075	0.50	4.74	3.98	1.46	0.02	0.50	0.09	0.10
195.00	195.50	P151079	0.50	4.90	4.86	0.54	0.01	0.53	0.10	0.11
204.30	204.80	P151100	0.50	2.51	0.74	3.04	0.01	0.58	0.06	0.17
226.50	227.00	P151080	0.50	4.05	2.32	1.33	0.01	0.47	0.08	0.10
254.50	255.00	P151081	0.50	4.49	2.84	1.57	0.01	0.52	0.09	0.11
278.50	279.00	P151091	0.50	4.79	3.17	1.19	0.01	0.53	0.08	0.11
309.00	309.50	P151092	0.50	4.68	2.89	1.38	0.02	0.49	0.09	0.10
342.00	342.50	P151093	0.50	4.84	4.49	0.51	0.01	0.53	0.09	0.10
366.00	366.50	P151094	0.50	4.59	3.86	1.13	0.02	0.48	0.10	0.10
398.50	399.00	P151095	0.50	4.39	4.21	0.56	0.01	0.48	0.10	0.09
428.50	429.00	P151096	0.50	3.76	5.00	0.57	-0.01	0.52	0.10	0.12
459.00	459.50	P151121	0.50	5.32	1.93	2.09	0.02	0.51	0.13	0.11
489.00	489.50	P151122	0.50	8.13	2.88	0.84	0.04	0.71	0.14	0.23
519.00	519.50	P151127	0.50	5.58	4.09	0.34	0.02	0.60	0.13	0.12
534.00	534.50	P151128	0.50	2.58	2.59	1.33	-0.01	0.40	0.06	0.09
564.00	564.50	P151129	0.50	5.28	2.65	1.10	0.02	0.53	0.16	0.11
594.00	594.50	P151130	0.50	3.98	3.82	1.00	0.01	0.76	0.10	0.16
629.50	630.00	P151204	0.50	3.09	4.48	0.73	0.01	0.57	0.09	0.11
657.00	657.50	P151205	0.50	2.50	3.85	1.23	-0.01	0.52	0.08	0.13
685.50	686.00	P151215	0.50	3.23	4.00	1.13	0.01	0.48	0.08	0.12
716.50	717.00	P151216	0.50	2.75	2.69	2.20	-0.01	0.55	0.06	0.15
743.50	744.00	P151217	0.50	0.73	2.44	2.21	-0.01	0.15	0.01	0.08
767.00	767.50	P151225	0.50	1.62	2.62	1.53	-0.01	0.25	0.03	0.12
777.00	777.50	P151226	0.50	2.94	1.89	1.65	0.01	0.46	0.08	0.13
781.50	782.00	P151227	0.50	1.73	2.88	1.25	-0.01	0.22	0.03	0.08
798.00	798.50	P151228	0.50	3.01	2.31	1.51	0.01	0.57	0.06	0.12
825.70	826.20	P151229	0.50	1.46	2.79	1.93	-0.01	0.26	0.02	0.12
854.50	855.00	P151232	0.50	3.22	2.19	2.05	0.01	0.63	0.06	0.14

AC NG 09

Géochimie

De	À	Numéro	Longueur	MgO (%)	Na2O (%)	K2O (%)	Cr2O3 (%)	TiO2 (%)	MnO (%)	P2O5 (%)
868.00	868.50	P151233	0.50	1.11	4.99	1.61	-0.01	0.26	0.03	0.10
888.00	888.50	P151234	0.50	0.73	3.76	2.76	-0.01	0.24	0.03	0.10
921.40	922.10	P151242	0.70	1.15	4.03	2.07	0.01	0.26	0.05	0.12
957.00	957.50	P151243	0.50	4.68	1.88	1.46	0.02	0.70	0.13	0.23
992.50	993.00	P151244	0.50	3.01	2.58	1.82	0.01	0.68	0.08	0.18
1 016.80	1 017.30	P151251	0.50	3.37	2.50	1.50	0.01	0.59	0.09	0.16
1 044.80	1 045.30	P151252	0.50	2.87	2.55	2.18	0.02	0.48	0.07	0.13
1 079.50	1 080.00	P151258	0.50	5.03	2.21	2.05	0.02	0.49	0.17	0.13
1 136.50	1 137.00	P151259	0.50	5.05	2.78	2.25	0.02	0.47	0.16	0.11

MAUDORE MINERALS Ltd

AL NG CR

Géochimie

De	À	Numéro	Longueur	SrO (%)	BaO (%)	LOI (%)	Total (%)	Nb (ppm)	Ba (ppm)	Rb (ppm)
30.00	30.50	P151058	0.50	0.03	0.04	1.36	99.87	5	260	40
60.00	60.50	P151059	0.50	0.03	0.04	3.97	99.92	5	280	37
92.00	92.50	P151060	0.50	0.03	0.03	3.32	99.89	5	200	27
119.50	120.00	P151073	0.50	0.05	0.04	2.12	99.81	5	280	36
144.00	144.50	P151074	0.50	0.07	0.03	1.08	99.69	3	100	9
176.50	177.00	P151075	0.50	0.04	0.06	1.17	99.87	4	470	36
195.00	195.50	P151079	0.50	0.05	0.03	1.11	99.82	5	200	15
204.30	204.80	P151100	0.50	0.03	0.06	9.19	99.90	5	500	65
226.50	227.00	P151080	0.50	0.04	0.04	2.54	99.66	4	270	29
254.50	255.00	P151081	0.50	0.03	0.05	1.34	99.79	5	380	33
278.50	279.00	P151091	0.50	0.04	0.04	1.15	99.79	4	290	30
309.00	309.50	P151092	0.50	0.03	0.04	1.58	99.77	6	310	29
342.00	342.50	P151093	0.50	0.04	0.03	1.97	99.82	4	160	17
366.00	366.50	P151094	0.50	0.04	0.05	1.73	99.83	5	370	31
398.50	399.00	P151095	0.50	0.05	0.03	1.59	99.96	4	180	15
428.50	429.00	P151096	0.50	0.05	0.03	1.47	99.84	3	150	25
459.00	459.50	P151121	0.50	0.04	0.05	1.87	99.80	3	420	73
489.00	489.50	P151122	0.50	0.07	0.03	1.44	99.52	5	300	29
519.00	519.50	P151127	0.50	0.05	0.01	2.16	99.96	3	100	11
534.00	534.50	P151128	0.50	0.06	0.05	4.01	99.92	2	460	30
564.00	564.50	P151129	0.50	0.03	0.03	2.26	99.61	3	250	37
594.00	594.50	P151130	0.50	0.03	0.04	2.12	99.91	6	330	24
629.50	630.00	P151204	0.50	0.03	0.01	1.71	99.69	3	190	23
657.00	657.50	P151205	0.50	0.04	0.01	1.56	99.81	3	220	47
685.50	686.00	P151215	0.50	0.03	-0.01	1.80	99.58	3	130	31
716.50	717.00	P151216	0.50	0.03	0.03	2.00	99.38	4	350	65
743.50	744.00	P151217	0.50	0.03	0.01	2.26	99.14	3	220	97
767.00	767.50	P151225	0.50	0.04	0.02	2.47	98.94	3	400	55
777.00	777.50	P151226	0.50	0.05	0.02	3.28	98.15	4	290	62
781.50	782.00	P151227	0.50	0.05	0.02	2.23	99.15	3	280	48
798.00	798.50	P151228	0.50	0.05	0.02	3.42	99.17	3	310	53
825.70	826.20	P151229	0.50	0.05	0.02	2.00	99.38	4	300	112
854.50	855.00	P151232	0.50	0.05	0.04	3.06	99.47	3	330	80

## Géochimie

De	À	Numéro	Longueur	SrO (%)	BaO (%)	LOI (%)	Total (%)	Nb (ppm)	Ba (ppm)	Rb (ppm)
868.00	868.50	P151233	0.50	0.04	0.05	1.76	99.57	4	370	50
888.00	888.50	P151234	0.50	0.05	0.08	1.92	99.84	5	720	107
921.40	922.10	P151242	0.70	0.05	0.04	1.18	99.91	5	370	69
957.00	957.50	P151243	0.50	0.05	0.02	1.08	99.80	5	210	44
992.50	993.00	P151244	0.50	0.05	0.03	1.93	99.93	5	250	51
1 016.80	1 017.30	P151251	0.50	0.04	0.03	1.06	99.97	4	240	39
1 044.80	1 045.30	P151252	0.50	0.04	0.03	2.35	99.50	3	300	62
1 079.50	1 080.00	P151258	0.50	0.03	0.04	2.63	99.47	3	350	113
1 136.50	1 137.00	P151259	0.50	0.03	0.05	2.73	99.92	3	440	167

## Géochimie

De	À	Numéro	Longueur	Zr (ppm)	Y (ppm)	Sr (ppm)	Au (ppm)	Ag (ppm)	Al (%)	As (ppm)
30.00	30.50	P151058	0.50	136	11	242	0.005	-0.2	3.37	4
60.00	60.50	P151059	0.50	130	12	294	0.005	0.20	1.95	-2
92.00	92.50	P151060	0.50	134	11	276	-0.005	0.20	2.78	-2
119.50	120.00	P151073	0.50	136	12	391	0.005	0.20	3.31	4
144.00	144.50	P151074	0.50	118	13	592	-0.005	-0.2	0.77	-2
176.50	177.00	P151075	0.50	122	11	332	-0.005	-0.2	1.77	-2
195.00	195.50	P151079	0.50	129	12	412	0.033	0.20	1.17	2
204.30	204.80	P151100	0.50	105	10	226	-0.005	-0.2	1.69	-2
226.50	227.00	P151080	0.50	113	11	356	-0.005	0.40	2.72	-2
254.50	255.00	P151081	0.50	122	10	288	-0.005	-0.2	2.41	-2
278.50	279.00	P151091	0.50	125	11	326	0.009	-0.2	1.90	-2
309.00	309.50	P151092	0.50	123	11	265	0.006	-0.2	2.07	-2
342.00	342.50	P151093	0.50	126	10	375	0.009	-0.2	1.41	-2
366.00	366.50	P151094	0.50	121	10	312	-0.005	-0.2	1.22	-2
398.50	399.00	P151095	0.50	117	11	431	0.013	1.30	1.19	-2
428.50	429.00	P151096	0.50	120	10	408	-0.005	-0.2	1.12	-2
459.00	459.50	P151121	0.50	96	9	320	0.016	-0.2	3.02	-2
489.00	489.50	P151122	0.50	105	16	558	0.017	-0.2	1.44	-2
519.00	519.50	P151127	0.50	99	11	358	-0.005	-0.2	1.65	-2
534.00	534.50	P151128	0.50	105	6	448	0.133	0.40	2.20	-2
564.00	564.50	P151129	0.50	94	11	279	0.040	0.20	1.78	9
594.00	594.50	P151130	0.50	129	14	234	0.019	0.30	1.98	-2
629.50	630.00	P151204	0.50	117	9	268	-0.005	-0.2	1.59	-2
657.00	657.50	P151205	0.50	127	9	346	0.007	-0.2	1.66	2
685.50	686.00	P151215	0.50	112	8	247	0.021	-0.2	1.67	4
716.50	717.00	P151216	0.50	118	9	232	0.319	0.20	2.66	3
743.50	744.00	P151217	0.50	144	7	197	0.251	0.20	0.79	-2
767.00	767.50	P151225	0.50	161	11	377	1.860	0.20	1.18	3
777.00	777.50	P151226	0.50	116	9	400	0.287	-0.2	2.87	-2
781.50	782.00	P151227	0.50	149	9	422	0.033	-0.2	1.28	-2
798.00	798.50	P151228	0.50	115	9	474	1.185	0.20	3.14	-2
825.70	826.20	P151229	0.50	167	11	420	0.016	-0.2	1.05	-2
854.50	855.00	P151232	0.50	103	10	384	1.580	0.80	3.71	-2

KE NG 03

Géochimie

De	À	Numéro	Longueur	Zr (ppm)	Y (ppm)	Sr (ppm)	Au (ppm)	Ag (ppm)	Al (%)	As (ppm)
868.00	868.50	P151233	0.50	135	8	248	0.009	-0.2	0.76	-2
888.00	888.50	P151234	0.50	136	12	353	0.011	-0.2	0.51	2
921.40	922.10	P151242	0.70	168	12	445	0.390	0.30	0.97	3
957.00	957.50	P151243	0.50	120	11	358	0.208	-0.2	4.82	-2
992.50	993.00	P151244	0.50	134	9	382	0.095	-0.2	4.07	3
1 016.80	1 017.30	P151251	0.50	122	10	315	0.037	-0.2	3.85	-2
1 044.80	1 045.30	P151252	0.50	107	7	242	0.075	-0.2	2.45	-2
1 079.50	1 080.00	P151258	0.50	102	10	229	0.060	-0.2	2.86	5
1 136.50	1 137.00	P151259	0.50	99	7	213	0.015	0.20	2.86	-2

AC NG 03

Géochimie

De	À	Numéro	Longueur	B (ppm)	Ba Econo (ppm)	Be (ppm)	Bi (ppm)	Ca (%)	Cd (ppm)	Co (ppm)
30.00	30.50	P151058	0.50	-10		-0.5	-2	1.81	-0.5	11
60.00	60.50	P151059	0.50	-10		-0.5	-2	3.04	-0.5	9
92.00	92.50	P151060	0.50	-10		-0.5	-2	2.57	-0.5	10
119.50	120.00	P151073	0.50	-10		-0.5	-2	2.27	-0.5	14
144.00	144.50	P151074	0.50	-10		-0.5	-2	0.87	-0.5	8
176.50	177.00	P151075	0.50	-10		-0.5	-2	0.59	-0.5	15
195.00	195.50	P151079	0.50	-10		-0.5	-2	0.61	-0.5	12
204.30	204.80	P151100	0.50	-10		-0.5	-2	6.01	-0.5	15
226.50	227.00	P151080	0.50	-10		-0.5	-2	2.51	-0.5	13
254.50	255.00	P151081	0.50	-10		-0.5	-2	0.91	-0.5	17
278.50	279.00	P151091	0.50	-10		-0.5	-2	0.88	-0.5	12
309.00	309.50	P151092	0.50	-10		-0.5	-2	0.95	-0.5	14
342.00	342.50	P151093	0.50	-10		-0.5	-2	0.76	-0.5	12
366.00	366.50	P151094	0.50	-10		-0.5	-2	0.94	-0.5	13
398.50	399.00	P151095	0.50	-10		-0.5	-2	1.07	-0.5	12
428.50	429.00	P151096	0.50	-10		-0.5	2	0.69	-0.5	10
459.00	459.50	P151121	0.50	10		-0.5	-2	1.51	-0.5	15
489.00	489.50	P151122	0.50	-10		-0.5	-2	1.33	-0.5	14
519.00	519.50	P151127	0.50	-10		-0.5	-2	1.10	-0.5	17
534.00	534.50	P151128	0.50	-10		-0.5	-2	2.11	-0.5	15
564.00	564.50	P151129	0.50	-10		-0.5	-2	1.20	-0.5	24
594.00	594.50	P151130	0.50	-10		-0.5	-2	1.09	-0.5	16
629.50	630.00	P151204	0.50	-10		-0.5	-2	0.79	-0.5	9
657.00	657.50	P151205	0.50	-10		-0.5	-2	0.99	-0.5	13
685.50	686.00	P151215	0.50	-10		-0.5	-2	1.34	-0.5	16
716.50	717.00	P151216	0.50	-10		-0.5	-2	1.11	-0.5	10
743.50	744.00	P151217	0.50	-10		-0.5	-2	0.39	-0.5	4
767.00	767.50	P151225	0.50	-10		-0.5	-2	0.51	-0.5	11
777.00	777.50	P151226	0.50	10		-0.5	-2	2.15	-0.5	17
781.50	782.00	P151227	0.50	-10		-0.5	-2	0.79	-0.5	5
798.00	798.50	P151228	0.50	-10		-0.5	-2	1.52	-0.5	8
825.70	826.20	P151229	0.50	-10		-0.5	-2	0.25	-0.5	3
854.50	855.00	P151232	0.50	240		-0.5	-2	1.90	-0.5	8



AC NG CB

Géochimie

De	À	Numéro	Longueur	B (ppm)	Ba Econo (ppm)	Be (ppm)	Bi (ppm)	Ca (%)	Cd (ppm)	Co (ppm)
868.00	868.50	P151233	0.50	-10		-0.5	-2	0.43	-0.5	3
888.00	888.50	P151234	0.50	-10		-0.5	-2	1.32	-0.5	3
921.40	922.10	P151242	0.70	-10		-0.5	-2	0.28	-0.5	11
957.00	957.50	P151243	0.50	-10		-0.5	-2	1.95	-0.5	17
992.50	993.00	P151244	0.50	-10		-0.5	-2	1.77	-0.5	10
1 016.80	1 017.30	P151251	0.50	-10		-0.5	-2	1.22	-0.5	9
1 044.80	1 045.30	P151252	0.50	-10		-0.5	-2	0.59	-0.5	43
1 079.50	1 080.00	P151258	0.50	10		0.5	-2	1.05	2.1	20
1 136.50	1 137.00	P151259	0.50	-10		0.8	-2	0.49	-0.5	5

AL NG CB

Géochimie

De	À	Numéro	Longueur	Cr (ppm)	Cu (ppm)	Fe (%)	Ga (ppm)	Hg (ppm)	K (%)	La (ppm)
30.00	30.50	P151058	0.50	65	19	2.30	10	-1	0.70	10
60.00	60.50	P151059	0.50	22	8	2.51	-10	-1	0.20	20
92.00	92.50	P151060	0.50	31	4	2.77	10	1	0.08	10
119.50	120.00	P151073	0.50	60	5	2.63	10	-1	0.63	10
144.00	144.50	P151074	0.50	32	42	2.32	-10	-1	0.11	20
176.50	177.00	P151075	0.50	132	34	2.67	10	-1	1.09	10
195.00	195.50	P151079	0.50	104	40	1.87	10	1	0.35	10
204.30	204.80	P151100	0.50	29	45	2.24	-10	-1	0.38	10
226.50	227.00	P151080	0.50	108	91	2.46	10	-1	1.06	10
254.50	255.00	P151081	0.50	123	29	2.91	10	-1	1.07	10
278.50	279.00	P151091	0.50	107	23	2.07	10	-1	0.82	10
309.00	309.50	P151092	0.50	122	40	2.42	10	-1	1.00	10
342.00	342.50	P151093	0.50	116	36	2.27	10	-1	0.05	10
366.00	366.50	P151094	0.50	93	42	1.80	10	-1	0.14	10
398.50	399.00	P151095	0.50	86	100	1.75	-10	-1	0.29	10
428.50	429.00	P151096	0.50	56	30	2.08	10	-1	0.06	10
459.00	459.50	P151121	0.50	124	25	2.50	10	-1	0.82	10
489.00	489.50	P151122	0.50	117	57	1.83	-10	-1	0.51	20
519.00	519.50	P151127	0.50	94	39	2.50	10	-1	0.11	10
534.00	534.50	P151128	0.50	45	110	3.89	10	-1	0.07	10
564.00	564.50	P151129	0.50	113	27	2.59	10	1	0.16	10
594.00	594.50	P151130	0.50	85	55	3.62	10	-1	0.55	10
629.50	630.00	P151204	0.50	73	8	2.65	10	-1	0.26	10
657.00	657.50	P151205	0.50	51	50	2.31	10	-1	0.58	10
685.50	686.00	P151215	0.50	82	29	2.82	10	-1	0.75	10
716.50	717.00	P151216	0.50	38	144	3.82	10	-1	1.24	10
743.50	744.00	P151217	0.50	3	7	0.75	-10	-1	0.15	10
767.00	767.50	P151225	0.50	7	11	2.58	-10	-1	0.27	10
777.00	777.50	P151226	0.50	68	5	3.59	10	-1	0.47	10
781.50	782.00	P151227	0.50	10	-1	1.52	-10	-1	0.16	10
798.00	798.50	P151228	0.50	65	334	5.01	10	-1	0.81	10
825.70	826.20	P151229	0.50	5	4	1.65	-10	-1	0.33	10
854.50	855.00	P151232	0.50	88	937	4.92	10	-1	1.08	10

AC NG CB

Géochimie

De	À	Numéro	Longueur	Cr (ppm)	Cu (ppm)	Fe (%)	Ga (ppm)	Hg (ppm)	K (%)	La (ppm)
868.00	868.50	P151233	0.50	10	35	1.73	-10	-1	0.12	10
888.00	888.50	P151234	0.50	6	4	1.78	-10	-1	0.16	20
921.40	922.10	P151242	0.70	10	30	2.53	-10	-1	0.54	20
957.00	957.50	P151243	0.50	136	125	4.41	10	1	1.07	10
992.50	993.00	P151244	0.50	51	29	4.10	10	-1	1.11	10
1 016.80	1 017.30	P151251	0.50	79	74	4.12	10	1	1.18	10
1 044.80	1 045.30	P151252	0.50	105	44	4.98	10	-1	1.16	10
1 079.50	1 080.00	P151258	0.50	124	20	4.10	10	-1	0.41	10
1 136.50	1 137.00	P151259	0.50	111	9	3.95	10	-1	0.30	10

AC NG CR

Géochimie

De	À	Numéro	Longueur	Mg (%)	Mn (ppm)	Mo (ppm)	Na (%)	Ni (ppm)	P (ppm)	Pb (ppm)
30.00	30.50	P151058	0.50	1.14	259	-1	0.26	39	530	-2
60.00	60.50	P151059	0.50	0.97	363	-1	0.12	17	780	-2
92.00	92.50	P151060	0.50	1.20	374	1	0.03	30	500	-2
119.50	120.00	P151073	0.50	1.30	329	-1	0.24	39	570	-2
144.00	144.50	P151074	0.50	0.67	188	-1	0.07	15	630	-2
176.50	177.00	P151075	0.50	1.70	317	-1	0.07	81	420	-2
195.00	195.50	P151079	0.50	1.22	160	-1	0.07	54	480	-2
204.30	204.80	P151100	0.50	1.14	390	-1	0.02	58	780	-2
226.50	227.00	P151080	0.50	1.62	363	-1	0.15	62	450	-2
254.50	255.00	P151081	0.50	1.77	330	1	0.10	80	480	-2
278.50	279.00	P151091	0.50	1.35	181	-1	0.11	57	480	-2
309.00	309.50	P151092	0.50	1.60	329	1	0.09	76	440	-2
342.00	342.50	P151093	0.50	1.60	315	4	0.06	75	460	-2
366.00	366.50	P151094	0.50	1.19	246	-1	0.06	69	430	-2
398.50	399.00	P151095	0.50	1.08	211	-1	0.07	51	390	-2
428.50	429.00	P151096	0.50	1.09	326	-1	0.06	39	560	-2
459.00	459.50	P151121	0.50	1.69	317	-1	0.26	74	500	-2
489.00	489.50	P151122	0.50	1.30	234	-1	0.13	64	1 030	-2
519.00	519.50	P151127	0.50	1.55	318	-1	0.09	58	560	-2
534.00	534.50	P151128	0.50	1.37	533	-1	0.04	47	390	3
564.00	564.50	P151129	0.50	1.24	341	-1	0.11	74	490	7
594.00	594.50	P151130	0.50	1.57	342	-1	0.09	52	720	49
629.50	630.00	P151204	0.50	1.26	335	-1	0.10	46	470	2
657.00	657.50	P151205	0.50	0.93	216	-1	0.10	30	460	2
685.50	686.00	P151215	0.50	1.25	300	-1	0.10	46	460	-2
716.50	717.00	P151216	0.50	1.45	374	-1	0.17	27	630	4
743.50	744.00	P151217	0.50	0.25	64	17	0.08	4	330	3
767.00	767.50	P151225	0.50	0.77	194	2	0.08	11	490	11
777.00	777.50	P151226	0.50	1.06	251	-1	0.18	46	530	3
781.50	782.00	P151227	0.50	0.88	209	-1	0.07	8	330	6
798.00	798.50	P151228	0.50	1.54	308	-1	0.25	69	510	4
825.70	826.20	P151229	0.50	0.67	143	-1	0.07	6	500	2
854.50	855.00	P151232	0.50	1.67	310	-1	0.23	78	610	2

AC NG CB

Géochimie

De	À	Numéro	Longueur	Mg (%)	Mn (ppm)	Mo (ppm)	Na (%)	Ni (ppm)	P (ppm)	Pb (ppm)
868.00	868.50	P151233	0.50	0.51	141	2	0.07	8	430	3
888.00	888.50	P151234	0.50	0.21	172	3	0.06	4	470	3
921.40	922.10	P151242	0.70	0.59	329	-1	0.07	9	480	59
957.00	957.50	P151243	0.50	1.57	157	-1	0.49	90	980	2
992.50	993.00	P151244	0.50	1.61	391	-1	0.27	48	820	-2
1 016.80	1 017.30	P151251	0.50	1.72	328	-1	0.30	59	720	-2
1 044.80	1 045.30	P151252	0.50	1.50	409	-1	0.10	83	540	-2
1 079.50	1 080.00	P151258	0.50	2.05	628	-1	0.14	72	630	31
1 136.50	1 137.00	P151259	0.50	2.73	888	-1	0.09	76	480	6

Géochimie

De	À	Numéro	Longueur	S (%)	Sb (ppm)	Sc (ppm)	Th (ppm)	Sr Econo (ppm)	Ti (%)	Ti (ppm)
30.00	30.50	P151058	0.50	-0.01	-2	5	-20		0.13	-10
60.00	60.50	P151059	0.50	0.01	-2	3	-20		0.07	-10
92.00	92.50	P151060	0.50	0.01	-2	4	-20		0.15	-10
119.50	120.00	P151073	0.50	0.01	-2	6	-20		0.15	-10
144.00	144.50	P151074	0.50	0.01	-2	3	-20		0.07	-10
176.50	177.00	P151075	0.50	0.01	-2	3	-20		0.20	-10
195.00	195.50	P151079	0.50	0.01	2	3	-20		0.13	-10
204.30	204.80	P151100	0.50	0.07	-2	2	-20		0.08	-10
226.50	227.00	P151080	0.50	0.01	-2	7	-20		0.14	-10
254.50	255.00	P151081	0.50	0.23	-2	8	-20		0.17	-10
278.50	279.00	P151091	0.50	0.01	-2	5	-20		0.14	-10
309.00	309.50	P151092	0.50	0.01	-2	5	-20		0.17	-10
342.00	342.50	P151093	0.50	0.02	-2	4	-20		0.14	-10
366.00	366.50	P151094	0.50	0.08	-2	3	-20		0.12	-10
398.50	399.00	P151095	0.50	0.07	-2	4	-20		0.11	-10
428.50	429.00	P151096	0.50	0.02	-2	3	-20		0.13	-10
459.00	459.50	P151121	0.50	0.09	-2	5	-20		0.16	-10
489.00	489.50	P151122	0.50	0.07	-2	5	-20		0.14	-10
519.00	519.50	P151127	0.50	0.11	-2	5	-20		0.11	-10
534.00	534.50	P151128	0.50	0.75	-2	2	-20		0.01	-10
564.00	564.50	P151129	0.50	0.55	-2	5	-20		0.12	-10
594.00	594.50	P151130	0.50	0.55	-2	7	-20		0.18	-10
629.50	630.00	P151204	0.50	0.26	-2	4	-20		0.13	-10
657.00	657.50	P151205	0.50	0.09	-2	6	-20		0.11	-10
685.50	686.00	P151215	0.50	0.16	-2	7	-20		0.16	-10
716.50	717.00	P151216	0.50	1.03	-2	5	-20		0.20	-10
743.50	744.00	P151217	0.50	0.32	-2	-1	-20		0.01	-10
767.00	767.50	P151225	0.50	1.60	-2	1	-20		0.03	-10
777.00	777.50	P151226	0.50	2.30	-2	5	-20		0.08	-10
781.50	782.00	P151227	0.50	0.45	-2	1	-20		0.02	-10
798.00	798.50	P151228	0.50	3.14	-2	9	-20		0.12	-10
825.70	826.20	P151229	0.50	1.01	-2	1	-20		0.02	-10
854.50	855.00	P151232	0.50	2.75	-2	8	-20		0.18	-10

AL NG CR

Géochimie

De	À	Numéro	Longueur	S (%)	Sb (ppm)	Sc (ppm)	Th (ppm)	Sr Econo (ppm)	Ti (%)	Ti (ppm)
868.00	868.50	P151233	0.50	1.05	-2	1	-20		0.05	-10
888.00	888.50	P151234	0.50	1.43	-2	1	-20		0.03	-10
921.40	922.10	P151242	0.70	1.18	-2	2	-20		0.08	-10
957.00	957.50	P151243	0.50	0.92	-2	7	-20		0.17	-10
992.50	993.00	P151244	0.50	1.31	-2	8	-20		0.16	-10
1 016.80	1 017.30	P151251	0.50	0.52	-2	10	-20		0.19	-10
1 044.80	1 045.30	P151252	0.50	2.40	-2	8	-20		0.17	-10
1 079.50	1 080.00	P151258	0.50	0.73	-2	7	-20		0.16	-10
1 136.50	1 137.00	P151259	0.50	0.13	-2	8	-20		0.19	-10

KL NG CR

Géochimie

De	À	Numéro	Longueur	U (ppm)	V (ppm)	W (ppm)	Zn (ppm)
30.00	30.50	P151058	0.50	-10	61	-10	51
60.00	60.50	P151059	0.50	-10	39	-10	61
92.00	92.50	P151060	0.50	-10	46	-10	80
119.50	120.00	P151073	0.50	-10	70	-10	56
144.00	144.50	P151074	0.50	-10	56	-10	30
176.50	177.00	P151075	0.50	-10	58	-10	47
195.00	195.50	P151079	0.50	-10	54	-10	30
204.30	204.80	P151100	0.50	-10	26	-10	53
226.50	227.00	P151080	0.50	-10	67	-10	40
254.50	255.00	P151081	0.50	-10	77	-10	88
278.50	279.00	P151091	0.50	-10	62	-10	44
309.00	309.50	P151092	0.50	-10	61	-10	55
342.00	342.50	P151093	0.50	-10	51	-10	54
366.00	366.50	P151094	0.50	-10	41	-10	67
398.50	399.00	P151095	0.50	-10	49	-10	61
428.50	429.00	P151096	0.50	-10	51	-10	42
459.00	459.50	P151121	0.50	-10	60	-10	59
489.00	489.50	P151122	0.50	-10	46	-10	29
519.00	519.50	P151127	0.50	-10	55	-10	53
534.00	534.50	P151128	0.50	-10	29	-10	54
564.00	564.50	P151129	0.50	-10	52	-10	52
594.00	594.50	P151130	0.50	-10	76	-10	85
629.50	630.00	P151204	0.50	-10	58	-10	39
657.00	657.50	P151205	0.50	-10	57	-10	20
685.50	686.00	P151215	0.50	-10	67	-10	38
716.50	717.00	P151216	0.50	-10	74	-10	88
743.50	744.00	P151217	0.50	-10	1	-10	14
767.00	767.50	P151225	0.50	-10	5	-10	51
777.00	777.50	P151226	0.50	-10	42	-10	29
781.50	782.00	P151227	0.50	-10	7	-10	21
798.00	798.50	P151228	0.50	-10	75	-10	65
825.70	826.20	P151229	0.50	-10	2	-10	27
854.50	855.00	P151232	0.50	-10	80	-10	56



Géochimie

De	À	Numéro	Longueur	U (ppm)	V (ppm)	W (ppm)	Zn (ppm)
868.00	868.50	P151233	0.50	-10	10	-10	29
888.00	888.50	P151234	0.50	-10	4	-10	13
921.40	922.10	P151242	0.70	-10	17	-10	145
957.00	957.50	P151243	0.50	-10	85	-10	49
992.50	993.00	P151244	0.50	-10	78	-10	38
1 016.80	1 017.30	P151251	0.50	-10	88	-10	45
1 044.80	1 045.30	P151252	0.50	-10	67	-10	50
1 079.50	1 080.00	P151258	0.50	-10	67	-10	255
1 136.50	1 137.00	P151259	0.50	-10	72	-10	70

MAUDORE MINERALS Ltd

Sondage : COM-12-896D  
 Titre minier : 5081419  
 Section : 1587.5E  
 Canton : Comtois  
 Niveau : Surface  
 Rang : IX  
 Place de travail : Lebel-sur-Quévillon  
 Foré par : Forage Orbit Garant  
 Lot : 40  
 Décrit par : L. Blayo & C.Blanchette, N. Guivarch  
 Du : 2012-06-05  
 Date de description : 2012-06-08  
 Au : 2012-06-24

Collet

	UTM	Locales	GREER
Azimut : 195.00°	Est 340 747.77	1 584.12	3 367.42
Plongée : -71.50°	Nord 5 444 658.00	1 445.55	2 886.94
Longueur : 946.00 m	Élévation 288.10	288.10	288.10

Déviations

Type	Profondeur	Azimut	Plongée	Invalide	Description
Reflex	0.00	195.00°	-71.50°	Non	
Reflex	3.00	116.40°	-45.80°	Oui	56163
Reflex	6.00	353.30°	-71.70°	Oui	56326
Reflex	9.00	179.50°	-71.10°	Oui	29370
Reflex	12.00	11.20°	-70.90°	Oui	44588
Reflex	15.00	355.90°	-71.40°	Oui	40003
Reflex	18.00	87.00°	-71.80°	Oui	58315
Reflex	21.00	336.90°	-71.70°	Oui	57419
Reflex	24.00	302.60°	-71.60°	Oui	31393
Reflex	27.00	224.30°	-71.40°	Oui	6755
Reflex	30.00	195.90°	-71.30°	Oui	57741
Reflex	33.00	195.30°	-71.20°	Non	55913



*Blayo & Blanchette*  
 N5

Description  
 OSH-12-09. Position collet, arpenté Juin 2012, par Descarreaux & Dubé.  
 1er Wedge posé à 251m: angle de référence: 93.3; Dip=-68; Gravité: 1.001.  
 De 0 à 243 mètres, le multi shots a été pris dans le trou COM-12-896C. Par la suite, le multi shots du trou COM-12-896D a été utilisé.

Dimension de la carotte : Carotte NQ  
 Cimenté : Non  
 Entreposé : Oui

## Déviation

Type	Profondeur	Azimut	Plongée	Invalide	Description
Reflex	36.00	195.20°	-71.00°	Non	55381
Reflex	39.00	194.20°	-71.00°	Non	55327
Reflex	42.00	194.70°	-70.90°	Non	55441
Reflex	45.00	194.10°	-70.80°	Non	54830
Reflex	48.00	193.70°	-70.70°	Non	54648
Reflex	51.00	193.60°	-70.50°	Non	54782
Reflex	54.00	194.00°	-70.30°	Non	54777
Reflex	57.00	194.00°	-70.20°	Non	54810
Reflex	60.00	194.70°	-70.00°	Oui	54956
Reflex	63.00	193.70°	-69.90°	Non	54879
Reflex	66.00	193.60°	-69.70°	Non	54706
Reflex	69.00	194.00°	-69.40°	Non	54791
Reflex	72.00	193.80°	-69.30°	Non	54860
Reflex	75.00	193.60°	-69.20°	Non	54672
Reflex	78.00	193.90°	-69.20°	Non	54822
Reflex	81.00	193.90°	-69.20°	Non	54861
Reflex	84.00	193.70°	-69.20°	Non	54745
Reflex	87.00	193.60°	-69.20°	Non	54707
Reflex	90.00	193.50°	-69.20°	Non	54746
Reflex	93.00	193.70°	-69.10°	Non	54725
Reflex	96.00	193.70°	-69.10°	Non	54719
Reflex	99.00	193.60°	-69.10°	Non	54755
Reflex	102.00	193.60°	-69.10°	Non	54755
Reflex	105.00	193.60°	-69.10°	Non	54717
Reflex	108.00	193.50°	-69.00°	Non	54698
Reflex	111.00	193.50°	-69.00°	Non	54738
Reflex	114.00	193.50°	-69.00°	Non	54716
Reflex	117.00	193.60°	-68.90°	Non	54720
Reflex	120.00	193.50°	-68.90°	Non	54745
Reflex	123.00	193.50°	-68.90°	Non	54762
Reflex	126.00	193.40°	-68.80°	Non	54754
Reflex	129.00	193.30°	-68.90°	Non	54704
Reflex	132.00	193.20°	-68.80°	Non	54754
Reflex	135.00	193.00°	-68.80°	Non	54701

KC LBNG 09

Déviation

Type	Profondeur	Azimet	Plongée	Invalide	Description
Reflex	138.00	192.70°	-68.80°	Non	54811
Reflex	141.00	192.70°	-68.70°	Non	54891
Reflex	144.00	192.30°	-68.60°	Non	55021
Reflex	147.00	191.20°	-68.60°	Oui	55095
Reflex	150.00	193.00°	-68.70°	Non	55234
Reflex	153.00	192.80°	-68.70°	Non	54813
Reflex	156.00	193.50°	-68.60°	Non	54884
Reflex	159.00	193.60°	-68.70°	Non	54766
Reflex	162.00	194.00°	-68.70°	Non	54763
Reflex	165.00	193.80°	-68.70°	Non	54731
Reflex	168.00	193.80°	-68.70°	Non	54757
Reflex	171.00	194.10°	-68.70°	Non	54783
Reflex	174.00	194.00°	-68.70°	Non	54745
Reflex	177.00	193.90°	-68.70°	Non	54752
Reflex	180.00	194.20°	-68.70°	Non	54800
Reflex	183.00	194.10°	-68.70°	Non	54735
Reflex	186.00	193.90°	-68.60°	Non	54726
Reflex	189.00	194.10°	-68.60°	Non	54829
Reflex	192.00	194.30°	-68.50°	Non	54824
Reflex	195.00	194.00°	-68.50°	Non	54720
Reflex	198.00	193.80°	-68.50°	Non	54820
Reflex	201.00	194.10°	-68.50°	Non	54789
Reflex	204.00	194.10°	-68.50°	Non	54714
Reflex	207.00	194.40°	-68.40°	Non	54776
Reflex	210.00	193.70°	-68.40°	Non	54679
Reflex	213.00	193.40°	-68.40°	Non	54687
Reflex	216.00	193.90°	-68.30°	Non	54719
Reflex	219.00	193.70°	-68.30°	Non	54734
Reflex	222.00	193.70°	-68.30°	Non	54713
Reflex	225.00	193.70°	-68.20°	Non	54733
Reflex	228.00	193.80°	-68.20°	Non	54720
Reflex	231.00	193.70°	-68.20°	Non	54726
Reflex	234.00	193.80°	-68.20°	Non	54717
Reflex	237.00	193.70°	-68.20°	Non	54702

AC LG NG cas

Déviation

Type	Profondeur	Azimut	Plongée	Invalide	Description
Reflex	240.00	193.70°	-68.10°	Non	54720
Reflex	243.00	193.70°	-68.10°	Non	54722
Reflex	244.00	86.80°	-68.30°	Oui	123546
Reflex	247.00	232.90°	-68.30°	Oui	85412
Reflex	250.00	223.20°	-68.20°	Oui	67021
Reflex	253.00	198.30°	-67.20°	Non	54902
Reflex	256.00	198.30°	-66.70°	Non	54786
Reflex	259.00	198.30°	-65.10°	Non	54735
Reflex	262.00	198.10°	-64.10°	Non	54728
Reflex	265.00	198.40°	-62.80°	Non	54724
Reflex	268.00	198.90°	-61.80°	Non	54716
Reflex	271.00	199.30°	-60.70°	Non	54713
Reflex	274.00	199.60°	-59.60°	Non	54711
Reflex	277.00	199.90°	-58.50°	Non	54696
Reflex	280.00	200.20°	-57.50°	Non	54687
Reflex	283.00	200.00°	-56.90°	Non	54792
Reflex	286.00	200.40°	-56.40°	Non	54868
Reflex	289.00	200.50°	-55.90°	Non	54974
Reflex	292.00	200.40°	-55.70°	Non	54851
Reflex	295.00	201.40°	-55.30°	Non	54677
Reflex	298.00	201.70°	-55.00°	Non	54683
Reflex	301.00	201.70°	-54.70°	Non	54685
Reflex	304.00	201.70°	-54.40°	Non	54661
Reflex	307.00	201.90°	-54.20°	Non	54717
Reflex	310.00	202.00°	-54.00°	Non	54697
Reflex	313.00	202.30°	-53.70°	Non	54683
Reflex	316.00	202.40°	-53.50°	Non	54714
Reflex	319.00	202.70°	-53.40°	Non	54714
Reflex	322.00	202.70°	-53.50°	Non	54689
Reflex	325.00	202.80°	-53.60°	Non	54682
Reflex	328.00	202.80°	-53.60°	Non	54676
Reflex	331.00	202.70°	-53.50°	Non	54764
Reflex	334.00	203.20°	-53.60°	Non	54724
Reflex	337.00	203.20°	-53.70°	Non	54696

AL LB NG CB

Déviations

Type	Profondeur	Azimet	Plongée	Invalide	Description
Reflex	340.00	203.60°	-53.50°	Non	54692
Reflex	343.00	203.40°	-53.60°	Non	54701
Reflex	346.00	203.50°	-53.60°	Non	54703
Reflex	349.00	203.30°	-53.60°	Non	54736
Reflex	352.00	203.20°	-53.50°	Non	54615
Reflex	355.00	203.40°	-53.40°	Non	54731
Reflex	358.00	203.50°	-53.40°	Non	54679
Reflex	361.00	203.70°	-53.30°	Non	54682
Reflex	364.00	203.60°	-53.30°	Non	54673
Reflex	367.00	203.60°	-53.20°	Non	54686
Reflex	370.00	203.80°	-53.20°	Non	54671
Reflex	373.00	203.80°	-53.10°	Non	54667
Reflex	376.00	203.90°	-53.00°	Non	54675
Reflex	379.00	203.90°	-53.00°	Non	54618
Reflex	382.00	203.80°	-52.90°	Non	54667
Reflex	385.00	203.70°	-52.90°	Non	54691
Reflex	388.00	203.70°	-52.90°	Non	54562
Reflex	391.00	203.70°	-52.80°	Non	54653
Reflex	394.00	203.90°	-52.80°	Non	54692
Reflex	397.00	203.70°	-52.70°	Non	54714
Reflex	400.00	203.70°	-52.70°	Non	54714
Reflex	403.00	203.90°	-52.60°	Non	54710
Reflex	406.00	204.00°	-52.60°	Non	54725
Reflex	409.00	203.80°	-52.50°	Non	54744
Reflex	412.00	204.00°	-52.50°	Non	54701
Reflex	415.00	204.00°	-52.40°	Non	54707
Reflex	418.00	204.10°	-52.30°	Non	54715
Reflex	421.00	203.90°	-52.30°	Non	54712
Reflex	424.00	204.10°	-52.10°	Non	54706
Reflex	427.00	204.10°	-52.10°	Non	54710
Reflex	430.00	204.00°	-52.10°	Non	54708
Reflex	433.00	204.10°	-52.00°	Non	54731
Reflex	436.00	203.80°	-51.90°	Non	54753
Reflex	439.00	204.10°	-51.80°	Non	54722

## Déviation

Type	Profondeur	Azimut	Plongée	Invalide	Description
Reflex	442.00	204.40°	-51.70°	Non	54748
Reflex	445.00	204.40°	-51.70°	Non	54668
Reflex	448.00	204.30°	-51.60°	Non	54703
Reflex	451.00	204.20°	-51.60°	Non	54701
Reflex	454.00	204.50°	-51.50°	Non	54697
Reflex	457.00	204.70°	-51.50°	Non	54725
Reflex	460.00	204.90°	-51.50°	Non	54891
Reflex	463.00	204.10°	-51.40°	Non	54738
Reflex	466.00	203.50°	-51.40°	Non	55137
Reflex	469.00	204.70°	-51.40°	Non	54848
Reflex	472.00	204.30°	-51.40°	Non	54761
Reflex	475.00	204.00°	-51.40°	Non	54763
Reflex	478.00	204.70°	-51.40°	Non	54776
Reflex	481.00	204.80°	-51.40°	Non	54766
Reflex	484.00	205.00°	-51.30°	Non	54715
Reflex	487.00	204.20°	-51.30°	Non	54672
Reflex	490.00	203.80°	-51.30°	Non	54668
Reflex	493.00	204.40°	-51.20°	Non	54748
Reflex	496.00	204.60°	-51.20°	Non	54732
Reflex	499.00	204.60°	-51.10°	Non	54794
Reflex	502.00	204.30°	-51.20°	Non	54270
Reflex	505.00	203.60°	-51.10°	Non	54150
Reflex	508.00	204.70°	-51.10°	Non	54809
Reflex	511.00	204.60°	-51.10°	Non	54865
Reflex	514.00	204.90°	-51.00°	Non	54715
Reflex	517.00	204.80°	-51.10°	Non	54751
Reflex	520.00	204.80°	-51.00°	Non	54757
Reflex	523.00	204.80°	-50.90°	Non	54710
Reflex	526.00	204.80°	-50.90°	Non	54711
Reflex	529.00	204.90°	-50.90°	Non	54706
Reflex	532.00	205.10°	-50.80°	Non	54790
Reflex	535.00	205.30°	-50.80°	Non	54714
Reflex	538.00	205.20°	-50.80°	Non	54699
Reflex	541.00	205.00°	-50.70°	Non	54629

RC LB NG CB

Déviation

Type	Profondeur	Azimet	Plongée	Invalide	Description
Reflex	544.00	202.80°	-50.70°	Non	55625
Reflex	547.00	204.00°	-50.70°	Non	54785
Reflex	550.00	205.50°	-50.60°	Non	55022
Reflex	553.00	204.80°	-50.60°	Non	54498
Reflex	556.00	205.30°	-50.60°	Non	54673
Reflex	559.00	204.70°	-50.50°	Non	54737
Reflex	562.00	204.80°	-50.50°	Non	54740
Reflex	565.00	204.90°	-50.40°	Non	54970
Reflex	568.00	205.60°	-50.40°	Non	54727
Reflex	571.00	205.60°	-50.30°	Non	54720
Reflex	574.00	205.60°	-50.30°	Non	54742
Reflex	577.00	205.60°	-50.20°	Non	54691
Reflex	580.00	205.40°	-50.10°	Non	54783
Reflex	583.00	206.00°	-50.00°	Non	54796
Reflex	586.00	206.00°	-49.90°	Non	54754
Reflex	589.00	205.80°	-49.80°	Non	54865
Reflex	592.00	205.30°	-49.80°	Non	55033
Reflex	595.00	204.10°	-50.40°	Non	54672
Reflex	598.00	203.40°	-50.30°	Non	54887
Reflex	601.00	204.80°	-50.20°	Non	54864
Reflex	604.00	204.60°	-50.00°	Non	54758
Reflex	607.00	204.90°	-50.00°	Non	54931
Reflex	610.00	204.10°	-49.90°	Non	54930
Reflex	613.00	204.10°	-49.90°	Non	54920
Reflex	616.00	204.80°	-49.80°	Non	54816
Reflex	619.00	201.80°	-49.70°	Non	54710
Reflex	622.00	205.20°	-49.60°	Non	54649
Reflex	625.00	205.20°	-49.50°	Non	54871
Reflex	628.00	205.10°	-49.50°	Non	54801
Reflex	631.00	205.10°	-49.40°	Non	54775
Reflex	634.00	205.10°	-49.40°	Non	54676
Reflex	637.00	205.30°	-49.30°	Non	54703
Reflex	640.00	205.40°	-49.30°	Non	54753
Reflex	643.00	205.30°	-49.20°	Non	54723



## Déviation

Type	Profondeur	Azimut	Plongée	Invalide	Description
Reflex	646.00	205.40°	-49.10°	Non	54728
Reflex	649.00	205.40°	-49.10°	Non	54728
Reflex	652.00	205.30°	-49.00°	Non	54735
Reflex	655.00	205.40°	-48.90°	Non	54735
Reflex	658.00	205.00°	-48.90°	Non	54834
Reflex	661.00	205.50°	-48.80°	Non	54686
Reflex	664.00	205.70°	-48.70°	Non	54719
Reflex	667.00	205.40°	-48.60°	Non	54690
Reflex	670.00	205.70°	-48.50°	Non	54735
Reflex	673.00	205.50°	-48.40°	Non	54713
Reflex	676.00	205.30°	-48.30°	Non	54934
Reflex	679.00	205.10°	-48.30°	Non	55003
Reflex	682.00	205.60°	-48.20°	Non	54642
Reflex	685.00	205.60°	-48.10°	Non	54767
Reflex	688.00	205.40°	-47.90°	Non	54727
Reflex	691.00	206.60°	-47.10°	Non	54501
Reflex	694.00	206.30°	-47.00°	Non	54577
Reflex	697.00	205.80°	-47.00°	Non	54628
Reflex	700.00	206.70°	-47.10°	Non	54819
Reflex	703.00	205.90°	-47.10°	Non	54558
Reflex	706.00	205.90°	-47.10°	Non	54526
Reflex	709.00	206.00°	-47.10°	Non	54519
Reflex	712.00	205.40°	-47.20°	Non	54665
Reflex	715.00	206.30°	-47.20°	Non	54535
Reflex	718.00	206.30°	-47.20°	Non	54605
Reflex	721.00	206.10°	-47.20°	Non	54574
Reflex	724.00	206.40°	-47.20°	Non	54553
Reflex	727.00	206.20°	-47.20°	Non	54551
Reflex	730.00	205.80°	-47.20°	Non	54810
Reflex	733.00	206.40°	-47.20°	Non	54568
Reflex	736.00	203.40°	-47.30°	Non	54886
Reflex	739.00	206.40°	-47.20°	Non	54644
Reflex	742.00	206.10°	-47.20°	Non	54659
Reflex	745.00	206.60°	-47.10°	Non	54713

AC LB NG CR

Déviation

Type	Profondeur	Azimet	Plongée	Invalide	Description
Reflex	748.00	207.30°	-47.10°	Non	54978
Reflex	751.00	205.60°	-47.10°	Non	54615
Reflex	754.00	205.20°	-47.10°	Non	54766
Reflex	757.00	204.90°	-47.00°	Non	55187
Reflex	760.00	205.70°	-47.00°	Non	55173
Reflex	763.00	206.70°	-47.00°	Non	54876
Reflex	766.00	206.20°	-47.00°	Non	54784
Reflex	769.00	204.20°	-47.00°	Non	55780
Reflex	772.00	206.20°	-46.90°	Non	54737
Reflex	775.00	205.40°	-46.90°	Non	55488
Reflex	778.00	207.30°	-46.50°	Non	54949
Reflex	781.00	206.80°	-46.50°	Non	54635
Reflex	784.00	206.70°	-46.40°	Non	54725
Reflex	787.00	206.30°	-46.30°	Non	54548
Reflex	790.00	206.90°	-46.30°	Non	54686
Reflex	793.00	205.80°	-46.30°	Non	55264
Reflex	796.00	206.30°	-46.30°	Non	55134
Reflex	799.00	206.40°	-46.30°	Non	54727
Reflex	802.00	206.20°	-46.30°	Non	54584
Reflex	805.00	205.90°	-46.20°	Non	55347
Reflex	808.00	206.40°	-46.30°	Non	55262
Reflex	811.00	206.70°	-46.30°	Non	54593
Reflex	814.00	207.00°	-46.20°	Non	54684
Reflex	817.00	205.50°	-46.20°	Non	54851
Reflex	820.00	206.70°	-46.20°	Non	54816
Reflex	823.00	206.00°	-46.30°	Non	54756
Reflex	826.00	205.80°	-46.30°	Non	55184
Reflex	829.00	206.20°	-46.30°	Non	55103
Reflex	832.00	206.50°	-46.40°	Non	54770
Reflex	835.00	206.50°	-46.40°	Non	54779
Reflex	838.00	206.20°	-46.40°	Non	54850
Reflex	841.00	206.80°	-46.50°	Non	55001
Reflex	844.00	206.70°	-46.50°	Non	54594
Reflex	847.00	204.90°	-46.60°	Non	55576

## Déviation

Type	Profondeur	Azimut	Plongée	Invalide	Description
Reflex	850.00	205.10°	-46.50°	Non	54843
Reflex	853.00	205.50°	-46.60°	Non	54378
Reflex	856.00	206.50°	-46.60°	Non	54673
Reflex	859.00	205.20°	-46.60°	Non	55851
Reflex	862.00	205.70°	-46.60°	Non	55424
Reflex	865.00	206.80°	-46.60°	Non	54665
Reflex	868.00	206.60°	-46.60°	Non	54683
Reflex	871.00	206.50°	-46.60°	Non	54658
Reflex	874.00	206.00°	-46.60°	Non	55332
Reflex	877.00	205.70°	-46.60°	Non	55189
Reflex	880.00	201.70°	-46.60°	Non	55188
Reflex	883.00	207.30°	-46.60°	Non	54758
Reflex	886.00	205.10°	-46.60°	Non	55409
Reflex	889.00	205.80°	-46.60°	Non	54751
Reflex	892.00	204.90°	-46.70°	Non	55504
Reflex	895.00	206.10°	-46.60°	Non	54645
Reflex	898.00	206.00°	-46.50°	Non	54712
Reflex	901.00	205.30°	-46.50°	Non	55561
Reflex	904.00	205.70°	-46.50°	Non	55539
Reflex	907.00	205.80°	-46.50°	Non	54720
Reflex	910.00	205.40°	-46.50°	Non	55208
Reflex	913.00	204.30°	-46.50°	Non	55308
Reflex	916.00	205.30°	-46.50°	Non	54849
Reflex	919.00	205.30°	-46.50°	Non	54908
Reflex	922.00	206.90°	-46.50°	Non	54882
Reflex	925.00	200.50°	-46.50°	Non	56194
Reflex	928.00	200.20°	-46.50°	Non	55115
Reflex	931.00	204.10°	-46.40°	Non	56767
Reflex	934.00	203.60°	-46.30°	Non	55116
Reflex	937.00	205.20°	-46.40°	Non	56640
Reflex	940.00	202.80°	-46.30°	Non	55440
Reflex	943.00	202.00°	-46.30°	Non	58147
Reflex	946.00	204.30°	-46.30°	Non	55219

MAUDORE MINERALS Ltd

AL LB NG CB

Description		Analyse								
		De	À	Numéro	Longueur	Au_Final (g/t)	Ag_Final (ppm)	Cu_Final (ppm)	Zn_Final (ppm)	
244.50	499.00	V2-V3; T1	248.00	249.50	P152740	1.50	0.005	0.10	46.0	64.0
		Volcanite intermédiaire à mafique; Tufs à lapillis	249.50	250.00	P151266	0.50	0.002	0.20	47.0	36.0
		Roche volcanique mafique à intermédiaire. Tuf à lapillis.	250.00	251.40	P152741	1.40	0.005	0.10	47.0	48.0
		Matrice globalement à grains fins de couleur gris foncé, verdâtre et brunâtre.	274.50	276.00	P152742	1.50	0.005	0.10	12.0	66.0
		Alternance de bandes d'altération et/ou clastes verdâtres (chloritisés) et brunâtres (biotitisés), mm à cm, étirés selon une foliation entre 40-45deg AC.	276.00	276.50	P151267	0.50	0.005	0.10	19.0	77.0
		Les clastes sont généralement mm à cm, verdâtre (chloritisé) et fortement étirés suivant la foliation, mais sont localement difformes et sans orientation préférentielles (474-499m).	276.50	277.90	P152743	1.40	0.005	0.10	24.0	71.0
		Forte foliation marquée par l'éirement des clastes ainsi que par le rubanement des bandes d'altération en Chl/Bt en alternances. Passage dm localement plus massif sans foliation observable.	277.90	279.10	P152744	1.20	0.260	0.10	103.0	470.0
		Globalement, 1-2% Vnl blanches de Cb mm, concordantes ou discordantes, Cb blancs aussi en amas.	279.10	280.60	P152745	1.50	0.005	0.10	74.0	44.0
		Localement, vnl/vn de Cb(±Qtz) rosées (Hm) à vert pistache (Epidote), mm à dm, la plupart du temps chloritisées sur les bordures, concordantes ou discordantes.	280.60	281.10	P152746	0.50	0.580	0.80	332.0	4 490.0
		Très peu de minéralisation: Py en Tr globalement disséminée ou légèrement concentrée dans les bandes et clastes chloriteux ou le long de Vnl de Cb-Qtz.	281.10	282.50	P152747	1.40	0.015	0.35	94.5	139.0
		Altération plutôt homogène: Si+, Bt+, Chl mod, Cb- parfois associé à Hm- et/ou Ep- en Vn/Vnl. Plus localement, présence locale de pfp blancs laiteux généralement prismatique, de 1-4mm (albitisation).	282.50	284.00	P152748	1.50	0.005	0.10	23.0	50.0
		Rares vn apllique/pegmatitique mineures (cm à dm) discordantes.	284.00	285.40	P152749	1.40	0.005	0.10	48.0	74.0
		Altération: Entre 244.5-295.7m: Si+ pervasive, Bt+ pervasive matricielle ou en bandes d'altération étirées selon la foliaation, Chl modérée à forte en bandes ou clastes, Cb- en vnl mm, très localement vnl de Cb hémalisées								

Description	Analyse							
	De	À	Numéro	Longueur	Au_Final (g/l)	Ag_Final (ppm)	Cu_Final (ppm)	Zn_Final (ppm)
<p>et/ou épidotisées.</p> <p>Entre 295.7- 315.6m: Si+ pervasive, AB+ en petits pfp blancs laiteux mm, Bt modérée pervasive matricielle ou en bandes d'altération étiées selon la foliation, Chl modérée en bandes ou clastes, Cb- en vnl mm, très localement vnl de Cb hématisées et/ou épidotisées.</p> <p>Entre 297.6-300.1m: Biotite (10-15%) sous forme de mouchetage dans bandes brunatres, en grains mm alignés suivant la foliation.</p> <p>Entre 315.6-334.3m: Si+ pervasive, Bt modérée pervasive matricielle, Chl modérée en bandes ou clastes, AB- localement passages qui présentent des petits pfp blancs laiteux mm concentrées en patchs cm ou en bandes suivant la foliation, Cb- en vnl mm, très localement vnl de Cb hématisées et/ou épidotisées.</p> <p>Entre 334.3-356.7m: Si+ pervasive, Bt+ pervasive matricielle et en bandes d'altération cm, Chl modérée en bandes ou clastes, AB- localement passages qui présentent des petits pfp blancs laiteux mm concentrées en patchs cm ou en bandes suivant la foliation, Cb- en vnl mm.</p> <p>Entre 356.7-364.1m: Si+ pervasive, Bt+ pervasive matricielle et en bandes d'altération cm, Chl+ en bandes ou clastes, Pa- en association avec les bandes chloritisées, AB- localement passages qui présentent des petits pfp blancs laiteux mm concentrées en patchs cm ou en bandes suivant la foliation, Cb- en vnl mm à cm très chloritisées (vert clair).</p> <p>Entre 364.1-393m: Si+ pervasive, Chl+ pervasive, en bandes ou clastes, Bt moy. en bandes, AB- localement passages qui présentent des petits pfp blancs laiteux à rosés mm concentrées en patchs cm ou en bandes suivant la foliation, Cb- en vnl mm à cm.</p> <p>Entre 393-395.5m: Si+ pervasive, Bt+ matricielle ou en bandes, Chl moy. pervasive, Cb moy. matricielle ou en amas, Ab moy. en petits porphyres blanchâtre.</p> <p>Entre 395.5-414.1: Si+ pervasive, Chl+ pervasive, en bandes ou clastes, Bt moy. en bandes, AB- localement passages qui présentent des petits pfp</p>								

Description	Analyse							
	De	À	Numéro	Longueur	Au_Final (g/l)	Ag_Final (ppm)	Cu_Final (ppm)	Zn_Final (ppm)
<p>blancs laiteux à rosés mm concentrées en patchs cm ou en bandes suivant la foliation, Cb- en vnl mm discordante ou en amas.</p> <p>Entre 414.1-427.6m: Si+ pervasive, Chl+ pervasive (matricielle), Bt- en bandes, Cb- en vn/vnl mm à cm, Hm- en association avec les vn/vnl de Cb.</p> <p>Entre 427.6-436m: Si+ pervasive, Bt+ matricielle, Chl moy. en altération des clastes, Cb- en vnl ou altération des clastes avec la Chl.</p> <p>Entre 436-454.3: Si+ pervasive, Chl+ pervasive, en bandes ou clastes, Bt+ en bandes suivant la foliation, Ab- localement passages qui présentent des petits pfp blancs laiteux à rosés mm concentrées en patchs cm ou en bandes suivant la foliation, Cb- en vnl mm discordante ou en amas.</p> <p>Entre 454.3-472.1m: Si+ pervasive, Chl+ pervasive matricielle, aussi en vnl irrégulières, Bt moy. matricielle, Cb- en vnl irrégulières, trace Hm et Ép avec les vn/vnl de Cb.</p> <p>Entre 472.1-483.6m: Si+ pervasive, Chl+ pervasive matricielle, Bt- matricielle, Sr- en patchs cm, Cb- et Hm- en association dans des vn/vnl.</p> <p>Entre 483.6-499m: Si+ pervasive, Chl+ pervasive matricielle et en altération des clastes, Ab moy. en petits porphyres mm prismatique souvent concentrée en poches, Sr- en patchs mm à cm, Cb- en vn/vnl blanches irrégulières.</p> <p>Minéralisation:</p> <p>Entre 244.5-334.3m: Sur l'ensemble de l'intervalle, Py en Tr disséminée. Plus localement, présence de Py en grains mm.</p> <p>A 280.8m: Bandes biotitisée de 10 cm présentant de la Py à environ 5%, en Vnl concordantes.</p> <p>De 322.1 à 322.4m: Petit intervalle avec Py à 1-3% diss et en alignements de grains minéralisée dans les bandes biotitisées. Ce passage présente 30% de Vn-Vnl de Cb-Qtz.</p> <p>Entre 334.3-341.2m: 2-3% de minéralisation dont 80% de Py et 20% de Po.</p> <p>Py à 1-2% : en amas mm à 2cm le plus souvent dans</p>								

Description	Analyse							
	De	À	Numéro	Longueur	Au_Final (g/t)	Ag_Final (ppm)	Cu_Final (ppm)	Zn_Final (ppm)
<p>patch d'altération de chlorite (30%), en alignement de grains arrondis inframm ou étirés (mm) suivant la foliation (30%), plus localement concentrée dans des vnl mm de Cb chloritisées (20%), disséminée (20%).</p> <p>Po à 1% : en vnl mm de cb chloritisées (50%), associée aux amas de Py (30%), et disséminée (20%).</p> <p>Entre 341.2-361.8m: Py et Po mineure en Tr, disséminées (90%) et très localement en amas cm dans bandes cm de Cb-Chl (10%).</p> <p>Entre 361.8-362.4m: Py (70%) et Po (30%) à 5-8%. En patchs d'amas dans bandes d'altération carbonatées et/ou chloritisées (40%), en alignement de grains mm à 1cm suivant la schistosité (40%), disséminées (20%).</p> <p>Entre 362.4-429.4m: Py en Tr, disséminée ou en amas mm, très souvent concentrée dans bandes biotitisées ou le long de petites fractures carbonatées (70%), aussi en patchs d'amas ou alignements de grains infra-mm (30%).</p> <p>Bande d'alignement de grains et amas (1cm) suivant la foliation à 393.9m.</p> <p>Entre 429.4-432m: Globalement 1% Py (minéralisation hétérogène) disséminée (40%), en amas mm isolés ou en patch d'amas regroupés (60%). Une bande d'alignement de grains concordante à 430.8m.</p> <p>Entre 432-436m: 2% Py disséminée en grains infra-mm à max. 1mm.</p> <p>Entre 436-448.5m: Py en Tr, disséminée ou en amas mm, très souvent concentrée dans bandes biotitisées ou le long de petites fractures carbonatées (70%), aussi en patchs d'amas ou alignements de grains infra-mm (30%).</p> <p>Entre 448.5-454.3m: 3-5% Py finement disséminée en grains infra-mm (80%), aussi en amas mm (20%).</p> <p>Entre 454.3-457.8m: Seulement des traces de Py finement disséminée.</p> <p>Entre 457.8-460m: Globalement 1% Py en fins amas étirés dans l'axe de la foliation, aussi en patchs de grains ou bandes discontinues suivant la foliation.</p>								

Description	Analyse							
	De	À	Numéro	Longueur	Au_Final (g/t)	Ag_Final (ppm)	Cu_Final (ppm)	Zn_Final (ppm)
<p>Entre 460-499m: Seulement des traces de Py en amas mm isolés, ou en grains disséminés. Trace de Cpy à 483.1m (un amas de 2mm).</p> <p>Structures:</p> <p>Entre 287.2-287.7m: Zone fracturée avec fragments anguleux cm à dm, Fractures nettes conjuguées à 40deg AC.</p> <p>Entre 302.5-303m: Zone fracturée constituée de fragments anguleux de 1-5cm.</p> <p>Entre 330.2-330.4m: Zone de brèche hydraulique. Fragments anguleux de V2-V3, de 3-8cm, fracturés, hématisés et épidotisés. Contacts sup nets à 20deg AC. Contact inf anguleux à 30-35deg AC.</p> <p>Entre 334.1-334.3m: Zone très fracturée à 20deg Ac, 100% simple. Passage bréchique de 334.2 à 334.3m constitué de fragments anguleux de V2-V3 fortement chloritisés, de 1-3cm. Contacts sup et inf nets à 20deg AC.</p> <p>Veines:</p> <p>Entre 480.9-481.6m: Vn de Qtz (blanche) + Cb + Chl et Hm mineure. 15% d'enclave volcanite à l'intérieur de la veine.</p> <p>Contact inf. progressif vers une volcanite intermédiaire à mafique, massive, à porphyre de Fid.</p>								
<p>244.50</p> <p>295.70</p> <p>SIL+; BO+; Chl; Chl- <b>Silicification forte; Biotisation forte; Chloritisation; Chloritisation faible</b></p> <p>Entre 244.5-295.7m: Si+ pervasive, Bt+ pervasive matricielle ou en bandes d'altération étirées selon la foliation, Chl modérée à forte en bandes ou clastes, Cb- en vnl mm, très localement vnl de Cb hématisés et/ou épidotisés.</p>								
<p>244.50</p> <p>334.30</p> <p>PyTr <b>Pyrite Tr</b></p> <p>Entre 244.5-334.3m: Sur l'ensemble de l'intervalle, Py en Tr disséminée. Plus</p>								



ALB NG CB

Description		Analyse							
		De	À	Numéro	Longueur	Au_Final (g/t)	Ag_Final (ppm)	Cu_Final (ppm)	Zn_Final (ppm)
287.20	287.70								
295.70	315.60								
302.50	303.00								

localement, présence de Py en grains mm.  
 A 280.8m: Bandes biotitisée de 10 cm présentant de la Py à environ 5%, en Vnl concordantes.  
 De 322.1 à 322.4m: Petit intervalle présentant de la Py à 1-3% diss et en alignements de grains, minéralisée dans les bandes biotitisées. Ce passage présente 30% de Vn-Vnl de Cb-Qtz.

Exceptés:  
 302.7-303.3m: I3 FIN  
 316.9-319.4m: I3 FIN

FRC  
**Fracturé(e) 40\***  
 Entre 287.2-287.7m: Zone fracturée avec fragments anguleux cm à dm. Fractures nettes conjuguées à 40deg AC.

SIL+; AB+; BO; CH; CB-  
**Silicification forte; Albitisation forte; Biotisation; Chloritisation; Carbonatation faible**  
 Entre 295.7- 315.6m: Si+ pervasive, AB+ en petits pfp blancs laiteux mm, Bt modérée pervasive matricielle ou en bandes d'altération étirées selon la foliation, CH modérée en bandes ou clastes, Cb- en vnl mm, très localement vnl de Cb hématisées et/ou épidotisées.  
 Entre 297.6-300.1m: Biotite (10-15%) sous forme de mouchetage dans bandes brunâtres, en grains mm alignés suivant la foliation.

Excepté:  
 302.7-303.3m: I3 FIN  
 FRC  
**Fracturé(e)**  
 Entre 302.5-303m: Zone fracturée

MAUDORE MINERALS Ltd

AC LBX NG CB

Description			Analyse							
			De	À	Numéro	Longueur	Au_Final (g/t)	Ag_Final (ppm)	Cu_Final (ppm)	Zn_Final (ppm)
constituée de fragments anguleux de 1-5cm.										
302.70	303.30	I3; FIN	304.00	305.50	P152750	1.50	0.005	0.20	22.0	65.0
		<b>Intrusion mafique; Grains fins</b>	305.50	306.00	P151268	0.50	0.002	0.10	23.0	62.0
		Intrusion mafique.	306.00	307.20	P152751	1.20	0.005	0.20	80.0	62.0
		Matrice homogène à grains fins mm, de couleur vert sombre.	307.20	307.70	P152752	0.50	0.010	0.90	132.0	67.0
		Alt: Si+ pervasive, Chl-, Cb- pervasive, Hm- localement dans les fractures.	307.70	309.20	P152753	1.50	0.005	0.10	47.0	59.0
		Min: Py en Tr diss.	313.60	315.10	P152754	1.50	0.005	0.10	48.0	62.0
		Intrusif entièrement fracturé.	315.10	316.00	P152755	0.90	0.010	0.10	67.0	65.0
		Contact sup. au niveau d'une brèche? Contact inf assez net à 40deg AC.								
315.60	334.30	SIL+; BO; Chl; AB-; CB- <b>Silicification forte; Biotisation;</b> <b>Chloritisation; Albitisation faible;</b> <b>Carbonatation faible</b> Entre 315.6-334.3m: Si+ pervasive, Bt modérée pervasive matricielle, Chl modérée en bandes ou clastes, AB- localement passages qui présentent des petits pfp blancs laiteux mm concentrées en patchs cm ou en bandes suivant la foliation, Cb- en vnl mm, très localement vnl de Cb hématitisées et/ou épidotisées.  Excepté: 316.9-319.4m: I3 FIN								
316.90	319.40	I3; FIN	319.40	320.80	P152756	1.40	0.005	0.10	48.0	77.0
		<b>Intrusion mafique; Grains fins</b>	320.80	321.90	P152758	1.10	0.050	0.60	36.0	104.0
		Intrusion mafique.	321.90	322.40	P152759	0.50	0.020	0.40	29.0	122.0
		Matrice homogène à grains fins mm, de couleur vert sombre à brunâtre, localement rougeâtre (Hématisation). Passage de 1m fortement hématitisé. Vnl de Cb mm à cm, discordantes, parfois hématitisées et/ou épidotisées. Alt: Si+ pervasive, Chl+ localement chlorite noire en mouchetage, Cb- pervasive et en Vnl, Hm- et Ep- localement dans les fractures.	322.40	323.90	P152761	1.50	0.005	0.10	37.0	110.0

AL LB NG CB

Description			Analyse								
			De	À	Numéro	Longueur	Au_Final (g/l)	Ag_Final (ppm)	Cu_Final (ppm)	Zn_Final (ppm)	
Min: Py en Tr diss. Contact sup. au niveau d'une brèche cimentée par Cb et épidote. Contact inf net à 45deg Ac discordants.											
330.20	330.40	BRE <b>Bréchique</b> Entre 330.2-330.4m: Zone de brèche hydraulique. Fragments anguleux de V2-V3 fortement chloritisés, de 3-8cm, fracturés, hématisés et épidotisés. Ciment de Cb(-Qtz). Contactsup nets à 20deg AC. Contact inf anguleux à 30-35deg AC.	333.00	334.50	P152762	1.50	0.020	0.50	169.0	131.0	
334.10	334.30	FRC+ <b>Fracturation forte 20°</b> Entre 334.1-334.3m: Zone très fracturée à 20deg Ac, 100% simple. Passage bréchique de 334.2 à 334.3m constitué de fragments anguleux de V2-V3 chloritisés, de 1-3cm. Contacts sup et inf nets à 20deg AC.									
334.30	356.70	ST+; BO+; Chl; AB-; CB- <b>Serpentinisation forte; Biotisation forte; Chloritisation; Albitisation faible; Carbonatation faible</b> Entre 334.3-356.7m: Si+ pervasive, Bi+ pervasive matricielle et en bandes d'altération cm, Chl modérée en bandes ou clastes, AB- localement passages qui présentent des petits pfp blancs laiteux mm concentrées en patches cm ou en bandes suivant la foliation, Cb- en vnl mm.	334.50	336.00	P152763	1.50	0.010	0.15	24.5	126.0	
			336.00	336.50	P151269	0.50	0.006	0.20	29.0	157.0	
			336.50	338.00	P152764	1.50	0.020	0.10	75.0	1 910.0	
			338.00	339.50	P152765	1.50	0.010	0.40	66.0	1 170.0	
			339.50	340.10	P152766	0.60	0.005	0.20	25.0	72.0	
340.10	341.20	P152767	1.10	3.690	10.60	352.0	253.0				
334.30	341.20	Py1-2%; Po1% <b>Pyrite 1-2%; Pyrrholine 1%</b> Entre 334.3-341.2m: 2-3% de minéralisation dont 80% de Py et 20% de Po. Py à 1-2% : en amas mm à 2cm le plus									

Description			Analyse							
			De	À	Numéro	Longueur	Au_Final (g/l)	Ag_Final (ppm)	Cu_Final (ppm)	Zn_Final (ppm)
341.20	348.10	<p>souvent dans patch d'altération de chlorite (30%), en alignement de grains arrondis inframm ou étirés (mm) suivant la foliation (30%), plus localement concentrée dans des vnl mm de Cb chloritisées (20%), disséminée (20%). Po à 1% : en vnl mm de cb chloritisées (50%), associée aux amas de Py (30%), et disséminée (20%).</p> <p>PyTr; PoTr <b>Pyrite Tr; Pyrrhotine Tr</b> Entre 341.2-361.8m: Py et Po mineure en Tr, disséminées (90%) et très localement en amas cm dans bandes cm de Cb-Chl (10%).</p>	341.20	342.70	P152769	1.50	0.300	1.20	59.0	254.0
348.10	362.40	<p>Py3-5%; Po2-3% <b>Pyrite 3-5%; Pyrrhotine 2-3%</b> Entre 361.8-362.4m: Py (70%) et Po (30%) à 5-8%. En patchs d'amas dans bandes d'altération carbonatées et/ou chloritisées (40%), en alignement de grains mm à 1cm suivant la schistosité (40%), disséminées (20%).</p>	355.20	356.60	P152770	1.40	0.005	0.10	38.0	54.0
			356.60	358.00	P152771	1.40	0.005	0.10	25.0	74.0
356.70	364.10	<p>SIL+; BO+; Chl+; PA-; AB-; CB- <b>Silicification forte; Blotisation forte; Chloritisation forte; Paragonite faible; Albitisation faible; Carbonatation faible</b> Entre 356.7-364.1m: Si+ pervasive, Bt+ pervasive matricielle et en bandes d'altération cm, Chl+ en bandes ou clastes, Pa- en association avec les bandes chloritisées, AB- localement passages qui présentent des petits pfp blancs laiteux mm concentrées en palchs cm ou en bandes suivant la foliation, Cb- en vnl mm à cm très chloritisées (vert clair).</p>	358.00	359.40	P152772	1.40	0.005	0.10	28.0	51.0
			359.40	360.30	P152773	0.90	0.008	0.10	58.0	56.0
			360.30	361.80	P152774	1.50	0.050	0.40	42.0	88.0
			361.80	362.40	P152775	0.60	4.412	5.90	1 502.5	582.5

MAUDORE MINERALS Ltd

AL CB NG CR

Description			Analyse							
			Dé	À	Numéro	Longueur	Au_Final (g/t)	Ag_Final (ppm)	Cu_Final (ppm)	Zn_Final (ppm)
362.40	429.40	PyTr	362.40	363.00	P152776	0.60	0.120	0.40	35.0	244.0
		<b>Pyrite Tr</b>	363.00	363.50	P151270	0.50	0.007	0.10	42.0	65.0
		Entre 362.4-429.4m: Py en Tr, disséminée ou en amas mm, très souvent concentrée dans bandes biotitisées ou le long de petites fractures carbonatées (70%), aussi en patchs d'amas ou alignements de grains infra-mm (30%). Bande d'alignement de grains et amas (1cm) suivant la foliation à 393.9m.	363.50	364.10	P152777	0.60	0.010	0.20	36.0	67.0
		Exceptés: 381-383.7m: I2pFpAm 405.7-409.4m: I2pFpAm 418.2-419.4m: I1F								
364.10	393.00	SIL+; BO+; CHl+; AB-; CB-	364.10	364.60	P152778	0.50	0.110	2.10	84.0	337.0
		<b>Silicification forte; Biotitisation forte; Chloritisation forte;</b>	364.60	366.10	P152781	1.50	0.010	0.20	59.0	76.0
		<b>Albitisation faible; Carbonatation faible</b>	370.00	371.50	P152782	1.50	0.070	0.20	47.0	57.0
		Entre 364.1-393m: Si+ pervasive, CHl+ pervasive, en bandes ou clastes, Bt moy. en bandes, AB- localement passages qui présentent des petits pfp blancs laiteux à rosés mm concentrées en patchs cm ou en bandes suivant la foliation, Cb- en vnl mm à cm.	371.50	373.00	P152783	1.50	0.020	0.20	54.0	54.0
			373.00	374.50	P152784	1.50	0.025	0.40	67.0	60.0
			374.50	376.00	P152785	1.50	0.010	0.10	11.0	60.0
			376.00	377.50	P152786	1.50	0.020	0.20	28.0	58.0
			377.50	379.00	P152787	1.50	0.060	0.20	25.0	57.0
			379.00	380.00	P152788	1.00	0.010	0.10	86.0	72.0
			380.00	381.00	P152789	1.00	0.010	0.10	15.0	63.0
		Excepté: 381-383.7m: I2pFpAm								
381.00	383.70	I2; pFpAm	389.50	390.50	P152790	1.00	0.080	0.20	51.0	39.0
		<b>Intrusion intermédiaire; Porphyre de Feldspath et Amphibole</b>	390.50	391.00	P151277	0.50	0.002	0.10	18.0	55.0
		Intrusif intermédiaire à porphyre de Fld.	391.00	392.00	P152791	1.00	0.010	0.10	3.0	69.0
		I2pFp sans pFp.	392.00	393.50	P152792	1.50	0.010	0.10	34.0	72.0
		Matrice à grains fins à moyens de couleur gris verdâtre. Matrice généralement équi-granulaire. 5-10% de fines amphiboles en baguettes.								

MAUDORE MINERALS Ltd

AC LB NG 05

Description			Analyse							
			De	À	Numéro	Longueur	Au_Final (g/t)	Ag_Final (ppm)	Cu_Final (ppm)	Zn_Final (ppm)
<p>trace de Py finement disséminée.</p> <p>Contact sup. franc et discordant à 75 deg tca.</p> <p>Contact inf. franc et discordant à 60 deg tca.</p>										
393.00	395.50	<p>SIL+; BO+; Chl; CB; AB</p> <p><b>Silicification forte; Biotisation forte; Chloritisation; Carbonatation; Albitisation</b></p> <p>Entre 393-395.5m: Si+ pervasive, Bt+ matricielle ou en bandes, Chl moy. pervasive, Cb moy. matricielle ou en amas, Ab moy. en petits porphyres blanchâtre.</p>	393.50	394.00	P152793	0.50	0.470	1.80	472.0	185.0
			394.00	395.50	P152795	1.50	0.010	0.10	26.0	87.0
395.50	414.10	<p>SIL+; Chl+; BO; AB-; CB-</p> <p><b>Silicification forte; Chloritisation forte; Biotisation; Albitisation faible; Carbonatation faible</b></p> <p>Entre 395.5-414.1: Si+ pervasive, Chl+ pervasive, en bandes ou clastes, Bt moy. en bandes, AB- localement passages qui présentent des petits pfp blancs laiteux à rosés mm concentrées en patchs cm ou en bandes suivant la foliation, Cb- en vnl mm discordante ou en amas.</p> <p>Excepté: 405.7-409.4m: l2pFpAm</p>	395.50	397.00	P152796	1.50	0.005	0.10	28.0	69.0
			397.00	397.80	P152797	0.80	0.010	0.10	34.0	71.0
			397.80	399.00	P152798	1.20	0.010	0.10	41.0	65.0
			403.00	404.50	P152799	1.50	0.012	0.10	23.5	70.0
			404.50	405.70	P152800	1.20	0.010	0.10	101.5	62.5
405.70	409.40	<p>l2; pFpAm</p> <p><b>Intrusion intermédiaire 40*; Porphyre de Feldspath et Amphibole 40*</b></p> <p>Intrusif intermédiaire à porphyre de Fld et Amp.</p> <p>Matrice gris moyen à grains fins.</p> <p>Contenant 10% de pFp blanc laiteux sub-arrondis à prismatique (1-3mm) baignant dans la matrice.</p> <p>Contient également 15% d'Amp en fines baguettes infra-mm.</p> <p>Rares vn aplitique recoupant l'unité.</p> <p>Trace de Py en grains isolés se retrouvant dans des vn de Qlz translucide.</p>	405.70	406.70	P152801	1.00	0.005	0.10	13.0	66.0
			406.70	408.00	P152802	1.30	0.005	0.10	15.0	78.0
			408.00	409.40	P152803	1.40	0.005	0.10	10.0	70.0
			409.40	410.50	P152804	1.10	0.005	0.10	9.0	55.0
			410.50	412.00	P152806	1.50	0.060	0.10	23.0	60.0
			412.00	413.50	P152807	1.50	0.070	0.10	20.0	57.0
			413.50	414.50	P152808	1.00	0.010	0.10	13.0	84.0

Description		Analyse								
		De	À	Numéro	Longueur	Au_Final (g/t)	Ag_Final (ppm)	Cu_Final (ppm)	Zn_Final (ppm)	
414.10	427.60	<p>Contacts sup. et inf. franc et concordant à la foliation entre 35-40 deg tca.</p> <p>SIL+; Chl+; BO-; CB-; HM-  <b>Silicification forte; Chloritisation forte; Biotisation faible; Carbonatation faible; Hématitisation faible</b></p> <p>Entre 414.1-427.6m: Si+ pervasive, Chl+ pervasive (matricielle), Bt- en bandes, Cb- en vn/vnl mm à cm, Hm- en association avec les vn/vnl de Cb.</p> <p>Excepié:                      418.2-419.4m: I1F</p>	414.50	415.00	P151278	0.50	0.006	0.10	8.0	51.0
			415.00	416.00	P152809	1.00	0.005	0.10	15.0	47.0
418.20	419.40	<p>I1F</p> <p><b>Aplite</b></p> <p>Aplite.</p> <p>Matrice aphanitique de couleur rose-rougeâtre. Comprenant des passage cm (bandes concordante à 40 deg tca) à grains grossiers (pegmatite).</p> <p>Fins mica blancs luisant infra-mm.</p> <p>Alt: Si+ pervasive, Hm+ pervasive.</p> <p>Fines trace de Py disséminée en grains infra-mm.</p> <p>Contacts inf. et sup. franc et discordant à 40 deg tca.</p>								
427.60	436.00	<p>SIL+; BO+; Chl; CB-  <b>Silicification forte; Biotisation forte; Chloritisation; Carbonatation faible</b></p> <p>Entre 427.6-436m: Si+ pervasive, Bt+ matricielle, Chl moy. en altération des clastes, Cb- en vnl ou altération des clastes avec la Chl.</p>	428.00	429.40	P152810	1.40	0.005	0.20	17.0	65.0
429.40	432.00	<p>Py01</p> <p><b>Pyrite 1%</b></p>	429.40	430.50	P152811	1.10	0.070	0.10	45.0	61.0
			430.50	431.00	P152812	0.50	0.060	0.10	46.0	61.0

MAUDORE MINERALS Ltd

AC LB NG CS

Description		Analyse							
		De	À	Numéro	Longueur	Au_Final (g/l)	Ag_Final (ppm)	Cu_Final (ppm)	Zn_Final (ppm)
		431.00	432.00	P152814	1.00	2.700	7.80	1 060.0	124.0
432.00	436.00	432.00	433.00	P152815	1.00	0.060	0.40	55.0	62.0
		433.00	434.50	P152816	1.50	0.080	0.30	77.0	49.0
		434.50	436.00	P152817	1.50	0.070	0.90	27.0	112.0
436.00	454.30	436.00	437.50	P152819	1.50	0.005	0.10	19.0	55.0
436.00	448.50								
439.90	440.40	443.50	444.50	P152820	1.00	0.005	0.10	29.0	69.0
		444.50	445.00	P151279	0.50	0.008	0.10	23.0	69.0
		445.00	446.00	P152821	1.00	0.020	0.10	39.0	56.0
		446.00	447.50	P152822	1.50	0.005	0.20	27.0	55.0



MAUDORE MINERALS Ltd

ALB NG CR

Description		Analyse							
		De	À	Numéro	Longueur	Au_Final (g/t)	Ag_Final (ppm)	Cu_Final (ppm)	Zn_Final (ppm)
		447.50	448.50	P152823	1.00	0.050	0.30	137.0	65.0
	Comprenant des passage cm (bandes concordante à 40 deg tca) à grains grossiers (pegmatite). Fins mica blancs luisant infra-mm. Alt: Si+ pervasive, Hm+ pervasive.  Fines trace de Py disséminée en grains infra-mm Contacts inf. et sup. franc et discordant à 40 deg tca.								
448.50	454.30	448.50	449.50	P152824	1.00	0.085	0.35	73.5	49.5
	Pyrite 4%	449.50	451.00	P152825	1.50	0.190	1.05	151.0	55.0
	Entre 448.5-454.3m: 3-5% Py finement disséminée en grains infra-mm (80%), aussi en amas mm (20%).	451.00	452.50	P152826	1.50	0.180	1.10	171.0	85.0
		452.50	453.50	P152827	1.00	0.070	0.15	92.0	47.0
		453.50	454.30	P152828	0.80	0.140	0.30	159.0	54.0
454.30	472.10	454.30	455.50	P152829	1.20	0.040	0.10	95.0	34.0
	SIL+; Chl+; BO; CB- Silicification forte; Chloritisation forte; Biotisation; Carbonatation faible	455.50	457.00	P152831	1.50	0.040	0.10	54.0	26.0
	Entre 454.3-472.1m: Si+ pervasive, Chl+ pervasive matricielle, aussi en vnl irrégulières, Bt moy. matricielle, Cb- en vnl irrégulières, trace Hm et Ép avec les vn/vnl de Cb.	457.00	457.80	P152832	0.80	0.020	0.10	26.0	58.0
457.80	460.00	457.80	458.60	P152833	0.80	0.410	1.50	261.0	437.0
	Pyrite 1%	458.60	460.00	P152835	1.40	0.040	0.10	49.0	44.0
	Entre 457.8-460m: Globalement 1% Py en fins amas étirés dans l'axe de la foliation, aussi en patchs de grains ou bandes discontinues suivant la foliation.	460.00	460.70	P152836	0.70	0.030	0.10	110.0	39.0
		460.70	461.90	P152837	1.20	0.030	0.10	43.0	43.0
		461.90	463.00	P152838	1.10	0.040	0.10	90.0	39.0
		463.00	464.00	P152839	1.00	0.020	0.40	59.0	36.0
		464.00	464.50	P152840	0.50	0.050	0.20	119.0	43.0
		464.50	466.00	P152841	1.50	0.070	0.40	219.0	36.0
472.10	483.60	475.00	475.90	P152842	0.90	0.020	0.10	51.0	33.0
	SIL+; Chl+; BO-; SR-; CB-; HM- Silicification forte; Chloritisation forte; Biotisation faible; Séricitisation faible; Carbonatation faible; Hématitisation faible	475.90	476.40	P151293	0.50	0.012	0.10	6.0	28.0
		476.40	477.90	P152843	1.50	0.030	0.10	50.0	32.0

Description		Analyse								
		De	À	Numéro	Longueur	Au_Final (g/t)	Ag_Final (ppm)	Cu_Final (ppm)	Zn_Final (ppm)	
	Entre 472.1-483.6m: Si+ pervasive, Chl+ pervasive matricielle, Bt- matricielle, Sr- en patchs cm, Cb- et Hm- en association dans des vn/vnl.									
480.90	481.60	VEI;85%;Qz Cc Cl;:::	480.90	481.60	P152844	0.70	0.065	0.10	28.0	18.0
	<b>Veine 85% Quartz Calcite Chlorite</b>		481.60	482.30	P152845	0.70	1.270	2.30	1 850.0	82.0
	Entre 480.9-481.6m: Vn de Qtz (blanche) + Cb + Chl et Hm mineure.		482.30	483.10	P152847	0.80	0.030	0.10	52.0	48.0
	15% d'enclave volcanite à l'intérieur de la veine.		483.10	483.60	P152848	0.50	0.010	0.10	79.0	50.0
483.60	499.00	SIL+; Chl+; AB; SR-; CB- <b>Silicification forte; Chloritisation forte; Albisation; Séricitisation faible; Carbonatation faible</b>	483.60	485.00	P152849	1.40	0.040	0.10	41.0	34.0
	Entre 483.6-499m: Si+ pervasive, Chl+ pervasive matricielle et en altération des clastes, Ab moy. en petits porphyres mm prismatique souvent concentrée en poches, Sr- en patchs mm à cm, Cb- en vn/vnl blanches irrégulières.		485.00	486.50	P152850	1.50	0.250	0.45	75.0	987.0
			486.50	487.00	P152851	0.50	0.100	0.60	200.0	283.0
			487.00	488.50	P152852	1.50	0.040	0.30	92.0	88.0
			488.50	490.00	P152853	1.50	0.010	0.10	54.0	28.0
			490.00	491.50	P152854	1.50	0.010	0.10	54.0	17.0
			491.50	492.30	P152856	0.80	0.020	0.30	37.0	18.0
499.00	520.80	V2-V3; pFp; MAS <b>Volcanite intermédiaire à mafique; Porphyre de Feldspath; Massif</b> Volcanite intermédiaire à mafique à porphyre de Feldspath. Matrice à grains fins de couleur gris-verdâtre. Unité généralement massive sans foliation apparente. Contient un pourcentage variable de pFp blanc laiteux, sub-arrondis à prismatique, 1-3mm concentré en poches (globalement 3%). Faible foliation entre 35-40 deg tca marquée par l'étiement des grains matricielles. 5-10% de porphyres d'un minéral verdâtre trapus (Amp?, Chl?, Px?).  Altération: Chl+ pervasive + porphyres?, Ab moy. en pFp, Bt- en patchs, Cb- en vnl, Hm en trace avec Cb.  Minéralisation: Seulement des traces de Py en fins amas mm ou en								

Description		Analyse								
		De	À	Numéro	Longueur	Au_Final (g/t)	Ag_Final (ppm)	Cu_Final (ppm)	Zn_Final (ppm)	
grains diss.										
Contact inf. perdu dans un intrusif.										
499.00	520.80	Chl+; AB; CB-; BO- Chloritisation forte; Albitisation; Carbonatation faible; Blottisation faible	502.00	503.00	P152857	1.00	0.010	0.20	90.0	25.0
			503.00	503.50	P151294	0.50	0.007	0.10	19.0	22.0
			503.50	505.00	P152858	1.50	0.010	0.10	33.0	22.0
Altération: Chl+ pervasive + porphyres?, Ab moy. en pFp, Bt- en patchs, Cb- en vnl, Hm en trace avec Cb.										
Excepté: 505.9-506.5m: 11F										
505.90	506.60	11F <b>Aplite 55*</b> Aplite. Matrice aphanitique de couleur rose-rougeâtre. Comprenant des passage cm (bandes concordante à 40 deg tca) à grains grossiers (pegmatite). Fins mica blancs luisant infra-mm. Alt: Si+ pervasive, Hm+ pervasive.  Fines trace de Py disséminée en grains infra-mm ou fins amas. Contacts inf. et sup. franc et discordant à 55 deg tca.								
520.80	611.90	V2-V3; T1 <b>Volcanite intermédiaire à mafique; Tufts à lapillis</b> Volcanite intermédiaire à mafique. Tufts à lapillis. Matrice à grains fins de couleur gris foncé-verdâtre et brunâtre. Alternance de bandes d'altération et/ou clastes verdâtres (chloritisés) et brunâtres (biolitisés), mm à cm, étirés selon une foliation entre 40-45deg AC. Les clastes sont généralement mm à cm, verdâtre à brunâtre et fortement étirés suivant la foliation, localement sub-arrondis sans orientation particulière. Forte foliation marquée par l'étirement des clastes								

KL LB NG 15

Description	Analyse							
	De	À	Numéro	Longueur	Au_Final (g/t)	Ag_Final (ppm)	Cu_Final (ppm)	Zn_Final (ppm)
<p>ainsi que par le rubanement des bandes d'altération en Chl/Bt en alternances.</p> <p>Globalement, moins de 1% vnl blanches de Cb mm, concordantes ou discordantes.</p> <p>2% Vn de Cb+Chl±Sr±Ép irrégulières, souvent boudinées ou disloquées.</p> <p>Altération plutôt homogène: Si moy, Bt+, Chl+, Cb- parfois associé à Hm- et/ou Ep- en Vn/Vnl.</p> <p>Entre 586.2-594m: Clastes mm à cm sub-arrondis, chloritisés, baignant dans la matrice sans orientation préférentielle.</p> <p>Rares vn pegmatitique discordante, recoupant la carotte.</p> <p>Près du contact inf, passage de V1C ? entre 608-608.6m (gris-vert pâle, grains fins, massif, tendre)</p> <p>Sur les 2 derniers mètres de l'unité, altération en paragonite interstitielle, en bandes ou vnl irrégulières.</p> <p>Altération:</p> <p>Entre 520.8-533.8m: Chl+ pervasive matricielle (en bandes), Bt+ pervasive matricielle (en bandes), Si moy, pervasive, Cb- en vnl.</p> <p>Entre 533.8-586.2m: Chl+ pervasive matricielle, altération des clastes ou en vn, Bt moy, en bandes, Si moy, pervasive, Cb- vn/vnl irrégulières, Sr et Ép en trace avec les vn de Cb/Chl.</p> <p>Entre 586.2-594m: Chl+ pervasive matricielle, Si moy pervasive, Bt-, Cb- vn/vnl.</p> <p>Entre 594-606.6m: Chl+ pervasive matricielle (en bandes), Bt+ pervasive matricielle (en bandes), Si moy, pervasive, Cb- en vnl, Sr en trace dans les vn de Cb/Chl.</p> <p>Entre 606.6-608.6m: Chl+ pervasive, Cb+ matricielle, Si moy, pervasive, Bt- en bandes.</p> <p>Entre 608.6-610m: Bt+ pervasive matricielle, Si, moy, pervasive, Chl- vn.</p> <p>Entre 610-611.9m: Bt+ pervasive matricielle, Pa moy, interstitielle, vnl ou bandes, Si- pervasive, Chl- vn, Cb- vn.</p>								

Description	Analyse							
	Dé	À	Numéro	Longueur	Au_Final (g/t)	Ag_Final (ppm)	Cu_Final (ppm)	Zn_Final (ppm)
<p>Minéralisation:</p> <p>Entre 520.8-522.8m: Trace de Py disséminée.</p> <p>Entre 522.8-525.5m: 2-3% Py disséminée en grains infra-mm à mm (max 1mm) ou en amas mm étirés dans la foliation (max 5mm).</p> <p>Entre 525.5-530.5m: Seulement des traces de Py en amas (1-3mm).</p> <p>Entre 530.5-533.8m: Globalement 3-5% en amas (1-3mm) (70%), aussi dissémination fine (30%), rares bandes d'alignement de grains. Trace de Cpy en amas à 532.6m.</p> <p>Entre 533.8-542m: 0.5% Py disséminée en grains infra-mm (70%), aussi en amas mm (30%)</p> <p>Entre 542-544.4m: 5% Py disséminée, interstitielle en grains infra-mm à mm. Minéralisation plus grossière, on peut voir les grains de Py entourant les grains de la matrice (interstitielle).</p> <p>Entre 544.4-546.3m: 3% Py disséminée, interstitielle; aussi en patch de grains ou fins amas mm, rares bandes d'alignement de grains. (minéralisation hétérogène, distribuée inégalement).</p> <p>Entre 546.3-552.6m: Globalement 1-2% Py principalement en amas (1-2mm) à 60%) ou disséminée en grains infra-mm à 40%.</p> <p>Entre 552.6-559.2m: Seulement des traces de Py disséminée ou fins amas mm.</p> <p>Entre 559.2-564m: Globalement 1-2% Py en amas mm ou patch cm de grains ou amas mm, formant localement des bandes d'alignement discontinues, aussi disséminée, interstitielle. Trace de Po en association avec la Py localement. (minéralisation hétérogène, distribuée inégalement).</p> <p>Entre 564-569.3m: Seulement des traces de Py disséminée en grains infra-mm.</p> <p>Entre 569.3-569.6m: 2-3% Sp (brunâtre) en amas dans des vn/vnl de Chl sombre (Chloritisation forte); 0.5% Gn en amas.</p> <p>Entre 569.6-578.2m: Seulement des traces de Py en patches de dissémination ou amas.</p> <p>Entre 578.2-580.9m: Globalement 1-2% Py disséminée, localement interstitielle (grains plus</p>								

KL LB NG CB

Description	Analyse							
	De	À	Numéro	Longueur	Au_Final (g/t)	Ag_Final (ppm)	Cu_Final (ppm)	Zn_Final (ppm)
<p>grossiers), aussi en patches de grains ou amas.                      Entre 580.9-582.4m: Globalement 3% Py disséminée à interstitielle (grains plus grossiers), aussi très finement disséminée (grains infra-mm) dans des vn de Cb/Chl ± Sr.                      Entre 582.4-594m: Seulement des traces de Py finement disséminée (grains infra-mm).                      Entre 594-608m: Globalement 1-2% Py disséminée (60%) ou en amas (20%), également fines vnl ou bandes mm d'alignement de grains concordantes (20%). Localement la Py fait un "rimming" autour des clastes chloriteux.                      Entre 608-608.6m: 0.5% Py en amas infra-mm à 3mm, les amas se retrouvent également dans les vn de Chl+Cb.                      Entre 608.6-611.9m: Globalement 2% Py en amas mm à pluri-mm (max 3mm) ou patch d'amas (80%), aussi dissémination mineure (20%). les fins amas se retrouvent également dans les vnl irrégulières de Chl+Cb.</p> <p>Structure:                      Entre 521.7-521.75m: Faille à 50 deg tca (gravel + boue de faille + fragments mm à cm angulaire, roche plutôt friable de chaque côté de la faille.</p> <p>Veines:                      Amas de vn de Qtz+Cb+Chl(mineur)+Sr (mineur) entre 596.7-597.6m. Non-minéralisé dans les vn, mais plutôt dans la matrice.</p> <p>Contact inf. transitionnel 1-2m vers une volcanite felsique.</p>	520.80	521.70	I2; pFpAm					
<p><b>Intrusion Intermédiaire 45°; Porphyre de Feldspath et Amphibole 45°</b>                      Intrusif intermédiaire à porphyre de Fld et Amp. Matrice gris moyen à grains fins.                      Contenant 15% de pFp blanc laiteux sub-arrondis à prismatique (1-3mm) baignant dans la matrice.</p>								

MAUDORE MINERALS Ltd

AC LB NG CB

Description		Analyse							
		De	À	Numéro	Longueur	Au_Final (g/t)	Ag_Final (ppm)	Cu_Final (ppm)	Zn_Final (ppm)
520.80	533.80	<p>Contient également 15% d'Amp en fines baguettes infra-mm. Hm moy. en altération des pFp.</p> <p>Contacts sup. et inf. franc et concordant à 45 deg tca. (Contact inf. faillé).</p> <p>Contacts sup. et inf. franc et concordant à la foliation entre 35-40 deg tca.</p> <p>Chi+; BO+; SIL; CB- Chloritisation forte; Biotisation forte; Silicification; Carbonatation faible Entre 520.8-533.8m: Chi+ pervasive matricielle (en bandes), Bt+ pervasive matricielle (en bandes), Si moy. pervasive, Cb- en vnl.</p> <p>Excepté: 520.8-521.7m: l2pFpAm</p>							
521.70	521.75	521.70	522.80	P152859	1.10	0.120	0.40	130.0	42.0
522.80	525.50	<p>FAI Faille 50° Entre 521.7-521.75m: Faille à 50 deg tca (gravel + boue de faille + fragments mm à cm angulaire, roche plutôt friable de chaque côté de la faille).</p>							
		522.80	523.50	P152860	0.70	0.460	4.00	327.0	1 220.0
		523.50	524.50	P152861	1.00	0.190	0.60	197.0	68.0
		524.50	525.50	P152862	1.00	0.120	1.10	87.0	87.0
		525.50	527.00	P152864	1.50	0.130	0.40	109.0	73.0
		527.00	528.00	P152868	1.00	0.050	0.40	53.0	112.0
		528.00	528.50	P151295	0.50	0.017	0.10	32.0	50.0
530.50	533.80	528.50	530.00	P152865	1.50	0.100	0.30	145.0	62.0
		530.00	530.50	P152866	0.50	0.120	0.40	130.0	46.0
		530.50	532.00	P152867	1.50	0.380	0.90	433.0	80.0
		532.00	532.80	P152869	0.80	0.340	0.80	333.0	52.0
		532.80	533.80	P152871	1.00	0.230	0.90	328.0	80.0
		<p>Py04; Cptr Pyrite 4%; Chalcopyrite tr Entre 530.5-533.8m: Globalement 3-5% en amas (1-3mm) (70%), aussi dissémination fine (30%), rares bandes</p>							

*KL LB NG CR*

Description		Analyse							
		De	À	Numéro	Longueur	Au_Final (g/t)	Ag_Final (ppm)	Cu_Final (ppm)	Zn_Final (ppm)
533.80	538.60	d'alignement de grains. Trace de Cpy en amas à 532.6m. I2; pFpAm <b>Intrusion intermédiaire 45°; Porphyre de Feldspath et Amphibole 45°</b> Intrusif intermédiaire à porphyre de Fld et Amp. Matrice à grains fins de couleur gris moyens. Contenant 15-20% de porphyre de Fld blanc laiteux sub-arrondis (1-3mm). Rares baguettes sombre d'Amp. Aucune trace de Min. Contacts inf et sup. franc et concordant à 45 deg tca.							
533.80	586.20	538.60	539.50	P152872	0.90	0.080	0.50	144.0	143.0
		539.50	541.00	P152873	1.50	0.197	0.40	134.5	50.0
		541.00	542.00	P152874	1.00	0.300	0.40	120.0	31.0
		Chl+; BO; SIL; CB-; SRtr; EPtr <b>Chloritisation forte; Blotisation; Silicification; Carbonatation faible; Séricitisation tr; Épidotisation tr</b> Entre 533.8-586.2m: Chl+ pervasive matricielle, altération des clastes ou en vn, Bl moy. en bandes, Si moy. pervasive, Cb- vn/vnl irrégulières, Sr et Ép en trace avec les vn de Cb/Chl.							
533.80	542.00	Excepté: 533.8-538.6m: I2pFpAm 580.4-581.1m: I1F Py00.5 <b>Pyrite 0.5%</b> Entre 533.8-542m: 0.5% Py disséminée en grains infra-mm (70%), aussi en amas mm (30%).							
542.00	544.40	542.00	542.90	P152875	0.90	1.500	2.55	1 335.0	46.5
		542.90	543.80	P152876	0.90	3.410	3.10	816.0	46.0
		543.80	544.40	P152878	0.60	0.660	1.40	443.0	59.0
		Excepté: 533.8-538.6m: I2pFpAm Py05 <b>Pyrite 5%</b> Entre 542-544.4m: 5% Py disséminée, interstitielle en grains infra-mm à mm. Minéralisation plus grossière, on peut							



MAUDORE MINERALS Ltd

AL LB. NG CB

Description		Analyse								
		De	À	Numéro	Longueur	Au_Final (g/t)	Ag_Final (ppm)	Cu_Final (ppm)	Zn_Final (ppm)	
544.40	546.30	voir les grains de Py entourant les grains de la matrice (interstitielle).								
		Py03	544.40	545.30	P152879	0.90	0.240	0.60	253.0	59.0
		<b>Pyrite 3%</b>	545.30	546.30	P152881	1.00	2.420	3.30	1 120.0	72.0
		Entre 544.4-546.3m: 3% Py disséminée, interstitielle; aussi en patch de grains ou fins amas mm, rares bandes d'alignement de grains. (minéralisation hétérogène, distribuée inégalement).								
546.30	552.60	Py01.5	546.30	547.00	P152882	0.70	0.130	0.50	104.0	49.0
		<b>Pyrite 1.5%</b>	547.00	548.50	P152883	1.50	0.140	0.20	83.0	42.0
		Entre 546.3-552.6m: Globalement 1-2% Py principalement en amas (1-2mm) à 60%) ou disséminée en grains infra-mm à 40%.								
			548.50	550.00	P152884	1.50	0.240	0.70	239.0	60.0
			550.00	551.50	P152885	1.50	0.280	0.40	132.0	42.0
			551.50	552.60	P152886	1.10	0.210	0.50	278.0	44.0
			555.00	556.00	P152887	1.00	0.080	0.40	82.0	45.0
			556.00	556.50	P151298	0.50	0.106	0.20	78.0	35.0
			556.50	557.50	P152888	1.00	0.080	0.30	84.0	34.0
			557.50	558.50	P152889	1.00	0.100	0.30	75.0	31.0
	558.50	559.20	P152890	0.70	0.100	0.20	83.0	34.0		
559.20	564.00	Py01.5; Poir	559.20	560.50	P152891	1.30	0.410	0.80	285.0	42.0
		<b>Pyrite 1.5%; Pyrrhotine tr</b>	560.50	562.00	P152892	1.50	1.815	3.35	1 667.5	60.5
		Entre 559.2-564m: Globalement 1-2% Py en amas mm ou patch cm de grains ou amas mm, formant localement des bandes d'alignement discontinues, aussi disséminée, interstitielle. Trace de Po en association avec la Py localement. (minéralisation hétérogène, distribuée inégalement).								
			562.00	563.00	P152893	1.00	0.490	0.70	348.0	51.0
			563.00	564.00	P152894	1.00	0.780	0.70	251.0	44.0
			568.00	569.20	P152896	1.20	0.090	0.60	147.0	111.0
			569.20	569.70	P152897	0.50	0.070	0.70	238.0	4 040.0
569.30	569.60	Sp02.5; Gn00.5	569.70	571.00	P152898	1.30	0.110	0.30	131.0	120.0
		<b>Sphalérite 2.5%; Galène 0.5%</b>	Entre 569.3-569.6m: 2-3% Sp (brunâtre) en amas dans des vnl/vnl de ChI sombre (Chloritisation forte); 0.5% Gn en amas.							
578.20	580.40	Py01.5	578.20	579.20	P152899	1.00	0.420	0.90	428.0	49.0
		<b>Pyrite 1.5%</b>	579.20	579.80	P152900	0.60	0.310	0.45	251.0	57.0
		Entre 578.2-580.4m: Globalement 1-2% Py disséminée, localement interstitielle								
			579.80	580.40	P152901	0.60	0.220	0.70	231.0	103.0

MAUDORE MINERALS Ltd

K CB NG CB

Description			Analyse							
			De	À	Numéro	Longueur	Au_Final (g/t)	Ag_Final (ppm)	Cu_Final (ppm)	Zn_Final (ppm)
580.40	581.10	<p>I1F Aplite Aplite. Matrice à grains fins, aphanitique, massif, de couleur gris pâle. Fortement siliceux. Mouchetage chloritique. Fins mica blancs finement disséminée, luisant. Fine trace de Py finement disséminée.</p> <p>Contacts sup. et inf. franc et discordant entre 50-55 deg lca.</p>								
580.40	582.40	<p>Py03 <b>Pyrite 3%</b> Entre 580.4-582.4m: Globalement 3% Py disséminée à interstitielle (grains plus grossiers), aussi très finement disséminée (grains infra-mm) dans des vn de Cb/Chl ± Sr.</p> <p>Excepté: 580.4-581.1m: I1F</p>	580.40	581.10	P152902	0.70	0.005	0.10	9.0	50.0
			581.10	582.40	P152903	1.30	0.380	1.30	1 175.0	148.0
			582.40	583.40	P152904	1.00	0.070	0.30	58.0	64.0
586.20	594.00	<p>Chl+; SIL; BO-; CB- Chloritisation forte; Silicification; Biotisation faible; Carbonatation faible Entre 586.2-594m: Chl+ pervasive matricielle, Si moy pervasive, Bi-, Cb-vn/vnl.</p> <p>Excepté: 588.3-590.7m: I1G</p>	587.30	588.30	P152906	1.00	0.030	0.30	135.0	39.0
588.30	590.70	<p>I1G <b>Pegmalite</b> Pegmalite. Matrice à grains grossier de couleur rosé à blanc. Composé principalement de Fld rosé de taille</p>	590.70	592.00	P152907	1.30	0.030	0.20	8.0	37.0
			592.00	592.50	P151299	0.50	0.027	0.10	2.0	35.0
			592.50	594.00	P152908	1.50	0.040	0.20	4.0	43.0

Description		Analyse								
		De	À	Numéro	Longueur	Au_Final (g/t)	Ag_Final (ppm)	Cu_Final (ppm)	Zn_Final (ppm)	
594.00	606.60	Chl+; BO+; SIL; CB- Chloritisation forte; Biotisation forte; Silicification; Carbonatation faible Entre 594-606.6m: Chl+ pervasive matricielle (en bandes), Bt+ pervasive matricielle (en bandes), Si moy. pervasive, Cb- en vnl, Sr en trace dans les vn de Cb/Chl.								
594.00	608.00	Py01.5; Py01.5 <b>Pyrite 1.5%; Pyrite 1.5%</b> Entre 594-608m: Globalement 1-2% Py disséminée (60%) ou en amas (20%). également fines vnl ou bandes mm d'alignement de grains concordantes (20%). Localement la Py fait un "rimming" autour des clastes chloriteux.	594.00	595.20	P152909	1.20	0.070	0.40	67.0	93.0
			595.20	596.60	P152910	1.40	0.050	1.00	36.0	136.0
			596.60	597.70	P152911	1.10	0.050	1.60	94.0	85.0
596.70	597.60	AMA:70%;Qz Cc Cl Sr;;; <b>Amas 70% Quartz Calcite Chlorite Séricite</b> Amas de vn de Qtz+Cb+Chl(mineur)+Sr (mineur) entre 596.7-597.6m. Non-minéralisé dans les vn, mais plutôt dans la matrice.	597.70	598.70	P152912	1.00	0.030	0.20	15.0	53.0
			598.70	599.50	P152913	0.80	0.030	0.20	5.0	71.0
			599.50	600.00	P151300	0.50	0.031	0.10	3.0	42.0
			600.00	601.00	P152914	1.00	0.020	0.40	3.0	112.0
			601.00	602.50	P152915	1.50	0.050	0.40	24.0	184.0
			602.50	604.00	P152916	1.50	0.080	0.30	15.0	54.0
			604.00	605.50	P152917	1.50	0.160	0.40	10.0	88.0
			605.50	606.60	P152919	1.10	1.400	0.30	13.0	78.0
606.60	608.60	Chl+; CB+; SIL; BO- Chloritisation forte; Carbonatation forte; Silicification; Biotisation faible	606.60	608.00	P152920	1.40	0.400	0.40	51.0	91.0

MAUDORE MINERALS Ltd

KC LB NG CS

Description		Analyse								
		De	À	Numéro	Longueur	Au_Final (g/l)	Ag_Final (ppm)	Cu_Final (ppm)	Zn_Final (ppm)	
608.00	608.60	Entre 606.6-608.6m: Chl+ pervasive, Cb+ matricielle, Si moy. pervasive, Bt- en bandes. Py00.5 <b>Pyrite 0.5%</b> Entre 608-608.6m: 0.5% Py en amas infra-mm à 3mm, les amas se retrouvent également dans les vn de Chl+Cb.	608.00	608.60	P152922	0.60	0.320	0.30	20.0	81.0
608.60	610.00	BO+; SIL; Chl- <b>Biotisation forte; Silicification; Chloritisation faible</b> Entre 608.6-610m: Bt+ pervasive matricielle, Si. moy. pervasive, Chl- vn.								
608.60	611.90	Py02 <b>Pyrite 2%</b> Entre 608.6-611.9m: Globalement 2% Py en amas mm à pluri-mm (max 3mm) ou patch d'amas (80%), aussi dissémination mineure (20%), les fins amas se retrouvent également dans les vnl irrégulières de Chl+Cb.	608.60	609.90	P152923	1.30	0.405	0.20	8.5	69.0
			609.90	611.20	P152924	1.30	0.080	0.20	9.0	42.0
610.00	611.90	Excepté: 611.2-611.6m: I3 Fin BO+; PA; SIL-; Chl-; CB- <b>Biotisation forte; Paragonite; Silicification faible; Chloritisation faible; Carbonatation faible</b> Entre 610-611.9m: Bt+ pervasive matricielle, Pa moy. interstitielle, vnl ou bandes, Si- pervasive, Chl- vn, Cb- vn.								
611.20	611.60	Excepté: 611.2-611.6m: I3 Fin I3; FIN <b>Intrusion mafique; Grains fins</b> Intrusif mafique. Couleur vert foncé. Grains fins, massif. Vnl de carbonate.	611.20	611.90	P152925	0.70	0.040	0.15	30.0	37.5

AL LB NG CB

Description		Analyse								
		De	A	Numéro	Longueur	Au_Final (g/l)	Ag_Final (ppm)	Cu_Final (ppm)	Zn_Final (ppm)	
611.90	745.10	V1C; pQz	611.90	613.30	P152926	1.40	0.330	0.10	44.0	42.0
<p>Aucune minéralisation.</p> <p>Contact sup. et inf. franc et discordant à 60 deg tca.</p> <p><b>Rhyodacite; Porphyre de Quartz</b> Volcanite felsique. Rhyodacite à pQz. Matrice à grains fins (pratiquement aphanitique) de couleur variable allant de gris-pâle, verdâtre à brun et gris foncé. Unité ressemblant parfois à un V2V3; TI mais contenant néanmoins les pQz. Contenant Globalement 2-3% de porphyres de Qtz bleuté (yeux), arrondis, 1-4mm de diamètre, principalement distribués en poches (distribution hétérogène et inégale). Passage pouvant aller à plus de 5% pQz. Généralement l'unité est une alternance de passage pluri-métrique de couleur brun ou gris foncé (biotité) et de couleur gris pâle parfois légèrement verdâtre (paragonitisation). Altération en paragonite (gris pâle) Interstitielle, en bandes et en vnl irrégulières recoupant l'unité dans toutes les directions, donnant localement une allure bréchifié à la roche. Foliation modérée à forte entre 35-40 deg tca, marquée principalement par l'alignement des minéraux d'altération telle que la paragonite ou la biotite formant des bandes à l'échelle de la carotte. 2-3% de dyke intrusifs dm mineures (moins de 50cm) pegmatitique ou aplitique blanc, contenant (Qtz+Fld+mica). Rares vn de Qtz blanche ± Chl généralement concordantes à la foliation 1-2% de Vn de Chl irrégulières ± Cb, auréoles de Sr autour des vn de Chl.</p> <p>Structure: Roche peu fracturée globalement. Fracture le long de l'axe de la carotte (le long de vn de Chl) entre 649-651m.</p>										

Handwritten notes: *LAB NG CK*

Description	Analyse							
	De	À	Numéro	Longueur	Au_Final (g/l)	Ag_Final (ppm)	Cu_Final (ppm)	Zn_Final (ppm)
<p>Veines:</p> <p>Entre 640,8-641m: Vn de Qtz blanche + patch cm de Chl. Aucune minéralisation observée. Contact sup. franc et concordant à 50 deg tca. Contact inf. franc et concordant à 45 deg lca.</p> <p>Entre 695,1-695,7m: Amas de Vn de Qtz (50%); Vn cm à dm blanche concordante à la foliation. Chl et Cb mineure en patchs ou vnl. Aucune trace de minéralisation.</p> <p>Allération:</p> <p>Entre 611,9-613,3m: Pa+ pervasive, Si moy. pervasive + pQz, Cb moy. pervasive Chl- bandes ou vn, Bt-, bandes concordantes.</p> <p>Entre 613,3-623,2m: Bt++ pervasive matricielle, Pa- à modérée bandes ou vnl, Si moy pervasive, Chl- vn, Cb et Sr en trace avec vn de Chl.</p> <p>Entre 623,2-624m: Pa+ pervasive, Si moy. pervasive + pQz, Cb. moy. pervasive, Bt-, Chl- vn. tr Sr.</p> <p>Entre 624-638,3m: Bt+++ pervasive matricielle, Pa modérée bandes ou vnl, Si moy pervasive + pQz, Chl- vn, Cb et Sr en trace avec vn de Chl.</p> <p>Entre 638,3-639,5m: Pa+ pervasive, Cb. moy. pervasive, Bt- en bandes, Chl- vn. Si- pervasive.</p> <p>Entre 639,5-643m: Bt+++ pervasive matricielle, Pa modérée bandes ou vnl, Si moy pervasive + pQz, Chl- vn, Cb et Sr en trace avec vn de Chl.</p> <p>Entre 643-655,3m: Si+ pervasive, Bt+ pervasive, Pa moy. vnl ou bandes, Chl- vn, Cb- vn.</p> <p>Entre 655,3-682,6m: Si+ à modéré pervasive + pQz, Pa+ à modéré en bandes ou vnl, Bt- à modéré en bandes ou patchs, Chl- vn/vnl.</p> <p>Entre 682,6-692,5: Si+ pervasive, Sr moy. pervasive (teinte brunâtre pâle), Bt- patchs, Chl- vn.</p> <p>Entre 692,5-699,2m: Si++ pervasive (gris très pâle), Chl modérée pervasive et en vn/vnl; Pa- vn/vnl; Sr- en fines bandes.</p> <p>Entre 699,2-702m: Si+++ pervasive + pQz: Chl modérée en mouchetage ou vnl; Pa- vn/vnl; Hm- avec la Pa?</p> <p>Entre 702-716,4m: Pa+ pervasive ou en vn/vnl; Si</p>								

AL LG NG CB

Description	Analyse							
	De	À	Numéro	Longueur	Au_Final (g/t)	Ag_Final (ppm)	Cu_Final (ppm)	Zn_Final (ppm)
<p>modérée pervasive + pQz; Bt modérée en mouchetage ou bandes; Chl- en vn/vnl ou bandes concordantes.</p> <p>Entre 716.4-730.6m: Si+ pervasive + pQz; Chl+ pervasive+vn/vnl+bandes; Bt pervasive+bandes; Pa- vnl; Cb- vnl</p> <p>Entre 730.6-733.3m: Bt+ matricielle formant localement des bandes; Si+ à mod. pervasive; Pa en qqs bandes gris clair ou en qqs clastes; Chl- vn/vnl; Cb- vn/vnl.</p> <p>Entre 733.3-736.1m: Si+ pervasive, Pa+ pervasive, Bt- matricielle, Cb- en Vnl, CHI en traces en Vnl</p> <p>Entre 736.1-745.1m: Si+ pervasive, Pa mod pervasive, Bt mod matricielle, Chl- en Vnl, Cb- en Vnl</p> <p>Minéralisation:</p> <p>Entre 611.9-617.7m: Globalement 1-2% Py (distribution hétérogène) en amas mm isolés ou en patch cm d'amas mm (70%), également disséminée (30%). Les amas sont souvent regroupés dans des patchs chloriteuse.</p> <p>Entre 617.7-622.8m: Globalement 3-5% Py disséminée grains infra-mm à mm; aussi en amas (max2mm), parfois regroupés en bandes d'alignement de grains ou amas le long de vn sombre chloriteuse. Trace de Sp en amas mm.</p> <p>Entre 622.8-626.2m: Globalement 0.5% Py en amas mm (max2mm) ou disséminée, parfois en vnl.</p> <p>Entre 626.2-655.3m: Globalement 2-3% Py (distribution hétérogène) en amas mm (max4mm) isolés ou en patch cm d'amas mm (60%), également disséminée (40%). Les amas ou grains forment parfois des fines bandes d'alignement le long de vnl chloriteuse. Les amas sont également souvent regroupés dans des patchs chloriteuse plus sombre. Trace locale de Sp en association avec les amas de Py (observée avec la loupe).</p> <p>Entre 655.3-673m: Globalement 1% Py finement disséminée (grains infra-mm); aussi en amas mm (max2mm) souvent dans retrouvé dans un mouchetage chloritique. Fine trace de Sp localement</p>								

A CB NG CB

Description	Analyse							
	De	À	Numéro	Longueur	Au_Final (g/t)	Ag_Final (ppm)	Cu_Final (ppm)	Zn_Final (ppm)
<p>en association avec les amas de Py.</p> <p>Entre 673-679.5m: Globalement 1-2% Py disséminée grains infra-mm à mm (60%); aussi en amas (max 3mm) (40%); rares bandes d'alignement de grains ou patchs d'amas cm.</p> <p>Entre 679.5-682m: Globalement 3-5% Py (distribution hétérogène) principalement en amas mm (max 8mm) souvent regroupés en patchs d'amas cm dans des endroits (vn) sombres et chloriteux.</p> <p>Entre 682-690.3: Aucune minéralisation observée.</p> <p>Entre 690.3-692.5m: Globalement 2% Py disséminée en grains infra-mm ou en amas mm (max3mm); minéralisation souvent retrouvé le long de vn de Chl.</p> <p>Entre 692.5-707.4m: Rares trace de Py (finement disséminée).</p> <p>Entre 707.4-716.4m: Trace de Py très finement disséminée ou en rares amas mm (max 2mm); Trace de Sp en amas mm jaunâtre à brunâtre (max2mm).</p> <p>Entre 716.4-728.2m: Trace de Py en amas mm (max4mm); trace de CPy localement dans les patchs ou nodules de Chl+Cb.</p> <p>Entre 728.2-729.5m: Globalement 3-5% Py en amas mm à cm allongés regroupés le long de vn/vnl chloritique (65%); également finement disséminée (30%); rares vnl (5%); Trace de Cpy en amas (max3mm).</p> <p>Entre 729.5-733.3m: Globalement 2% Py principalement en amas mm (max7mm) allongés (60%) parfois regroupés; aussi disséminée en grains infra-mm (40%); Trace de Cpy en amas ou intersituelle, parfois en association avec la Py dans les amas.</p> <p>Entre 733.3-736.1m: 1-2% Py en grains mm diss</p> <p>Entre 736.1-745.1m: 3-5% Py en amas mm à cm allongés regroupés au sein de clastes chloritiques ou de passages plus sombre ((60%) ou en grains mm disséminés (40%)</p> <p>Contact inf diffus avec l'assombrissement de la roche et la disparition des pQz</p>								



MAUDORE MINERALS Ltd

AC LG NG CB

Description			Analyse							
			De	À	Numéro	Longueur	Au_Final (g/t)	Ag_Final (ppm)	Cu_Final (ppm)	Zn_Final (ppm)
611.90	613.30	PA+; SIL; CB; Chl-; BO- Paragonite forte; Silicification; Carbonatation; Chloritisation faible; Biotisation faible Entre 611.9-613.3m: Pa+ pervasive, Si moy. pervasive + pQz, Cb moy. pervasive Chl- bandes ou vn, Bt-, bandes concordantes.								
611.90	617.70	Py01.5 Pyrite 1.5% Entre 611.9-617.7m: Globalement 1-2% Py (distribution hétérogène) en amas mm isolés ou en patch cm d'amas mm (70%), également disséminée (30%). Les amas sont souvent regroupés dans des patches chloriteuse.								
613.30	623.20	BO++; PA-; SIL; Chl- Biotisation Intense; Paragonite faible; Silicification; Chloritisation faible Entre 613.3-623.2m: Bt++ pervasive matricielle, Pa- à modérée bandes ou vnl, Si moy pervasive, Chl- vn, Cb et Sr en trace avec vn de Chl.	613.30	614.70	P152927	1.40	0.160	0.30	187.0	41.0
			614.70	616.20	P152928	1.50	0.150	0.20	34.0	34.0
			616.20	617.70	P152929	1.50	0.960	0.20	143.0	26.0
617.70	622.80	Py04; Sptr Pyrite 4%; Sphalérite tr Entre 617.7-622.8m: Globalement 3-5% Py disséminée grains infra-mm à mm; aussi en amas (max2mm), parfois regroupés en bandes d'alignement de grains ou amas le long de vn sombre chloriteuse. Trace de Sp en amas mm.	617.70	619.00	P152931	1.30	0.750	0.40	13.0	40.0
			619.00	619.70	P152932	0.70	0.080	0.10	19.0	70.0
			619.70	620.50	P152933	0.80	0.030	0.10	8.0	50.0
			620.50	622.00	P152934	1.50	0.040	0.10	13.0	41.0
622.00	622.80	P152936	0.80	0.060	0.10	18.0	26.0			
622.80	626.20	Py00.5 Pyrite 0.5% Entre 622.8-626.2m: Globalement 0.5% Py en amas mm (max2mm) ou disséminée, parfois en vnl.	622.80	623.50	P152937	0.70	0.060	0.10	13.0	22.0
623.20	638.30	BO++; PA; SIL; Chl- Biotisation Intense; Paragonite; Silicification; Chloritisation faible	623.50	624.50	P152938	1.00	0.060	0.10	5.0	18.0
			624.50	625.00	P151316	0.50	0.096	0.10	6.0	24.0
			625.00	626.20	P152939	1.20	0.040	0.10	6.0	24.0

Description		Analyse								
		De	À	Numéro	Longueur	Au_Final (g/t)	Ag_Final (ppm)	Cu_Final (ppm)	Zn_Final (ppm)	
626.20	655.30	Entre 624-638.3m: Bt++ pervasive matricielle, Pa modérée bandes ou vnl, Si moy pervasive + pQz, Chl- vn, Cb et Sr en trace avec vn de Chl.								
		Excepté: 631.8-632.2m: I1G 632.5-632.9m: I1G 635.3-635.9m: I1G								
		Py02.5; Sptr	626.20	627.00	P152940	0.80	0.030	0.10	3.0	34.0
		<b>Pyrite 2.5%; Sphalérite tr</b>	627.00	628.00	P152941	1.00	0.060	0.10	5.0	41.0
		Entre 626.2-655.3m: Globalement 2-3% Py (distribution hétérogène) en amas mm (max4mm) isolés ou en patch cm d'amas mm (60%), également disséminée (40%).	628.00	629.00	P152943	1.00	0.070	0.10	5.0	41.0
		Les amas ou grains forment parfois des fines bandes d'alignement le long de vnl chloriteuse. Les amas sont également souvent regroupés dans des patchs chloriteuse plus sombre. Trace locale de Sp en association avec les amas de Py (observée avec la loupe).	629.00	630.00	P152944	1.00	0.040	0.10	3.0	27.0
631.80	632.20	630.00	631.00	P152945	1.00	0.060	0.10	4.0	31.0	
		631.00	631.80	P152946	0.80	0.040	0.10	7.0	41.0	
		Excepté: 631.8-632.2m: I1G 632.5-632.9m: I1G 635.3-635.9m: I1G								
		<b>Pegmalite</b>								
		Pegmalite. Couleur blanche à grise translucide, à grains grossier. Composé essentiellement de Fld blanc et Qtz translucide gris, ainsi que de minéraux de gangue mafique. Présence de Mica verdâtre (muscovite). Aucune trace de min.  Contact sup. et inf. franc et discordant entre 40-45 deg lca.	631.80	632.90	P152947	1.10	0.010	0.10	2.0	20.0

MAUDORE MINERALS Ltd

AL LB NG 03

Description			Analyse							
			De	A	Numéro	Longueur	Au_Final (g/l)	Ag_Final (ppm)	Cu_Final (ppm)	Zn_Final (ppm)
632.50	632.90	I1G <b>Pegmatite</b> Pegmatite. Couleur blanche à grise translucide, à grains grossier. Composé essentiellement de Fld blanc et Qtz translucide gris, ainsi que de minéraux de gangue mafique. Présence de Mica verdâtre (muscovite). Aucune trace de min.  Contact sup. et inf. franc et discordant entre 40-45 deg tca.	632.90	634.00	P152948	1.10	0.025	0.10	3.0	30.0
			634.00	635.30	P152949	1.30	0.040	0.10	6.0	39.0
635.30	635.90	I1G <b>Pegmatite</b> Pegmatite. Couleur blanche à grise translucide, à grains grossier. Composé essentiellement de Fld blanc et Qtz translucide gris, ainsi que de minéraux de gangue mafique. Présence de Mica verdâtre (muscovite). Aucune trace de min.  Contact sup. et inf. franc et discordant entre 40-45 deg tca.	635.30	635.90	P152950	0.60	0.005	0.10	2.0	11.0
			635.90	637.00	P152951	1.10	0.100	0.10	6.0	36.0
			637.00	638.30	P152952	1.30	0.110	0.10	56.0	55.0
638.30	639.50	PA+; CB; BO-; Chl-; SIL- <b>Paragonite forte; Carbonatation; Biotisation faible; Chloritisation faible; Silicification faible</b> Entre 638.3-639.5m: Pa+ pervasive, Cb. moy. pervasive, Bt- en bandes, Chl- vn. Si- pervasive.	638.30	639.50	P152953	1.20	0.080	0.10	8.0	54.0
639.50	643.00	BO++; PA; SIL; Chl- <b>Biotisation intense; Paragonite; Silicification; Chloritisation faible</b> Entre 639.5-643m: Bt++ pervasive matricielle, Pa modérée bandes ou vn, Si moy pervasive + pQz, Chl- vn, Cb et Sr en trace avec vn de Chl.	639.50	640.80	P152954	1.30	0.130	0.10	9.0	51.0

MAUDORE MINERALS Ltd

AL LB NG CR

Description			Analyse							
			De	À	Numéro	Longueur	Au_Final (g/t)	Ag_Final (ppm)	Cu_Final (ppm)	Zn_Final (ppm)
640.80	641.00	VEI:100%;Qz Cl::45*; Veine 100% Quartz Chlorite 45* 640.8-641m: Vn de Qtz blanche + patch cm de Chl. Aucune minéralisation observée. Contact sup. franc et concordant à 50 deg tca. Contact inf. franc et concordant à 45 deg tca.	640.80	641.30	P152956	0.50	0.070	0.10	5.0	21.0
			641.30	641.80	P152957	0.50	0.140	0.10	6.0	33.0
			641.80	643.00	P152994	1.20	0.060	0.20	6.0	27.0
643.00	655.30	SIL+; BO+; PA; Chl-; CB- Silicification forte; Blotisation forte; Paragonite; Chloritisation faible; Carbonatation faible Entre 643-655.3m: Si+ pervasive, Bt+ pervasive, Pa moy. vnl ou bandes, Chl- vn, Cb- vn.	643.00	644.50	P152958	1.50	0.030	0.10	2.0	18.0
			644.50	646.00	P152959	1.50	0.530	0.10	3.0	23.0
			646.00	646.50	P151317	0.50	0.034	0.10	3.0	21.0
			646.50	647.50	P152960	1.00	0.050	0.10	2.0	26.0
			647.50	649.00	P152961	1.50	1.810	0.10	5.0	25.0
			649.00	650.50	P152962	1.50	1.340	0.10	6.0	37.0
			650.50	652.00	P152963	1.50	1.020	0.10	23.0	44.0
			652.00	653.30	P152964	1.30	3.520	0.10	9.0	42.0
			653.30	653.90	P152965	0.60	0.450	0.10	22.0	68.0
			653.90	655.30	P152967	1.40	0.270	0.10	8.0	48.0
655.30	682.60	SIL+; PA+; BO-; Chl- Silicification forte; Paragonite forte; Blotisation faible; Chloritisation faible Entre 655.3-682.6m: Si+ à modéré pervasive, Pa+ à modéré en bandes ou vnl, Bt- à modéré en bandes ou patches, Chl- vn/vnl.  Excepté: 660-662.1m: I2pFpAm 663.4-666.4m: I2pFpAm 670.5-673m: I2pFpAm	655.30	656.50	P152968	1.20	0.070	0.10	5.0	23.0
			656.50	658.00	P152969	1.50	0.105	0.10	5.5	19.5
			658.00	659.00	P152970	1.00	0.060	0.10	3.0	21.0
			659.00	660.00	P152971	1.00	0.260	0.10	2.0	29.0
655.30	673.00	Py01; Sptr Pyrite 1%; Sphalérite tr Entre 655.3-673m: Globalement 1% Py finement disséminée (grains infra-mm); aussi en amas mm (max2mm) souvent dans retrouvé dans un mouchetage chloritique. Fine trace de Sp localement en association avec les amas de Py.								

MAUDORE MINERALS Ltd

AL LB NG CB

Description			Analyse							
			De	À	Numéro	Longueur	Au_Final (g/t)	Ag_Final (ppm)	Cu_Final (ppm)	Zn_Final (ppm)
660.00	662.10	Excepté: 660-662.1m: I2pFpAm 663.4-666.4m: I2pFpAm 670.5-673m: I2pFpAm								
		I2; pFpAm	662.10	662.80	P152972	0.70	0.040	0.10	7.0	30.0
		<b>Intrusion intermédiaire; Porphyre de Feldspath et Amphibole</b>	662.80	663.40	P152973	0.60	0.080	0.20	7.0	83.0
		Intrusif intermédiaire à porphyre de Fld et Amp. Matrice gris moyen à grains fins. Contenant 15% de pFp blanc laiteux sub-arrondis à prismatique (1-3mm) baignant dans la matrice. Contient également 15% d'Amp en fines baguettes infra-mm. Hm- vnl ou altération des pFp. Aucune minéralisation observée. Contacts sup. franc et concordant à 45 deg tca Contact inf. perdus dans une petite zone de fracturation.								
663.40	666.40	I2; pFpAm	666.40	667.50	P152975	1.10	0.355	0.10	30.5	27.0
		<b>Intrusion intermédiaire 45°; Porphyre de Feldspath et Amphibole 45°</b>	667.50	669.00	P152976	1.50	0.450	0.20	172.0	28.0
		Intrusif intermédiaire à porphyre de Fld et Amp. Matrice gris moyen à grains fins. Contenant 15% de pFp blanc laiteux sub-arrondis à prismatique (1-5mm) baignant dans la matrice. Contient également 15% d'Amp en fines baguettes infra-mm à mm. Hm moy. en altération des pFp. Aucune minéralisation observée. Contacts sup. et inf. franc et concordant entre 40-45 deg tca.	669.00	670.50	P152977	1.50	0.160	0.10	7.0	31.0
670.50	673.00	I2; pFpAm	670.50	671.50	P299288	1.00	0.020	0.10	5.0	89.0
		<b>Intrusion intermédiaire 45°; Porphyre de Feldspath et Amphibole 45°</b>	671.50	673.00	P299289	1.50	0.020	0.10	7.0	150.0

AL LB NG CB

Description			Analyse							
			De	À	Numéro	Longueur	Au_Final (g/t)	Ag_Final (ppm)	Cu_Final (ppm)	Zn_Final (ppm)
<p>Intrusif intermédiaire à porphyre de Fld et Amp. Matrice gris moyen à grains fins. Contenant 20% de pFp blanc laiteux sub-arrondis à prismatique (2-7mm) baignant dans la matrice. Contient également 15% d'Amp en fines baguettes infra-mm à mm. Aucune minéralisation observée.</p> <p>Contacts sup. et inf. franc et concordant entre 40-45 deg lca.</p>										
673.00	679.50	Py01.5	673.00	673.90	P152978	0.90	1.010	0.30	166.0	70.0
		<b>Pyrite 1.5%</b>	673.90	674.40	P152979	0.50	0.010	0.10	1.0	18.0
		Entre 673-679.5m: Globalement 1-2% Py disséminée grains infra-mm à mm (60%); aussi en amas (max 3mm) (40%); rares bandes d'alignement de grains ou patchs d'amas cm.	674.40	675.50	P152981	1.10	0.205	0.10	22.0	80.0
			675.50	676.50	P152982	1.00	0.090	0.10	13.0	53.0
			676.50	677.50	P152983	1.00	0.160	0.10	10.0	49.0
			677.50	678.00	P151318	0.50	0.034	0.10	5.0	13.0
			678.00	678.50	P152984	0.50	0.130	0.10	7.0	28.0
			678.50	679.50	P152985	1.00	0.070	0.10	4.0	68.0
679.50	682.00	Py04	679.50	680.50	P152986	1.00	0.570	0.10	14.0	34.0
		<b>Pyrite 4%</b>	680.50	681.00	P152988	0.50	0.140	0.10	7.0	27.0
		Entre 679.5-682m: Globalement 3-5% Py (distribution hétérogène) principalement en amas mm (max 8mm) souvent regroupés en patchs d'amas cm dans des endroits (vn) sombres et chloriteux.	681.00	681.50	P152989	0.50	0.020	0.10	8.0	12.0
			681.50	682.00	P152990	0.50	0.030	0.10	21.0	14.0
			682.00	682.60	P152991	0.60	0.010	0.10	9.0	24.0
682.60	692.50	SIL+; SR; BO-; Chl-	682.60	683.50	P152992	0.90	0.005	0.10	1.0	15.0
		<b>Silicification forte; Séricitisation; Biotisation faible; Chloritisation faible</b>	683.50	684.40	P152993	0.90	0.030	0.10	3.0	27.0
		Entre 682.6-692.5: Si+ pervasive, Sr moy. pervasive (teinte brunâtre pâle), Bt- patchs, Chl- vn.								
		Excepté: 684.4-690.3m: I2pFpAm								
684.40	690.30	I2; pFpAm	686.10	686.60	P152995	0.50	0.040	0.10	4.0	52.0
		<b>Intrusion intermédiaire 45*; Porphyre de Feldspath et Amphibole 45*</b>								

MAUDORE MINERALS Ltd

ALCB NG CB

Description			Analyse							
			De	À	Numéro	Longueur	Au_Final (g/t)	Ag_Final (ppm)	Cu_Final (ppm)	Zn_Final (ppm)
<p>Intrusif intermédiaire à porphyre de Fld et Amp. Matrice gris moyen à foncé à grains fins. Contenant 20% de pFp blanc laiteux sub-arrondis à prismatique (1-3mm) baignant dans la matrice. Contient également 15% d'Amp en fines baguettes infra-mm. Hm moy. en altération des pFp. Quelques veines pegmatitiques (dm) recoupant l'unité. Passage volcanique (V1C) mineure entre 686.1-686.4m (2% Py). Contacts sup. et inf. franc et concordant à 45 deg tca.</p>										
690.30	692.50	Py02	690.30	691.40	P152996	1.10	0.180	0.10	4.0	48.0
		<b>Pyrite 2%</b>	691.40	692.50	P152998	1.10	0.080	0.10	15.0	32.0
<p>Entre 690.3-692.5m: Globalement 2% Py disséminée en grains infra-mm ou en amas mm (max3mm); minéralisation souvent retrouvé le long de vn de Chl.</p>										
692.50	699.20	SIL++; Chl; PA-; SR-	692.50	694.00	P152999	1.50	0.020	0.10	3.0	9.5
		<b>Silicification Intense;</b>	694.00	694.50	P151329	0.50	0.010	0.10	2.0	12.0
		<b>Chloritisation; Paragonite faible; Séricitisation faible</b>	694.50	695.70	P153000	1.20	0.025	0.10	1.0	19.0
<p>Entre 692.5-699.2m: Si+++ pervasive (gris très pâle), Chl modérée pervasive et en vn/vnl; Pa- vn/vnl; Sr- en fines bandes.</p>										
<p>Excepté: 697.8-699.2m: I2pFpAm</p>										
695.10	695.70	AMA;50%;Qz Cc Cl;;	695.70	696.90	P153751	1.20	0.030	0.10	39.0	23.0
		<b>Amas 50% Quartz Calcite Chlorite</b>	696.90	697.80	P153752	0.90	0.210	0.30	13.0	87.0
<p>Entre 695.1-695.7m: Amas de Vn de Qtz (50%); Vn cm à dm blanche concordante à la foliation. Chl et Cb mineure en patchs ou vnl. Aucune trace de minéralisation.</p>										
697.80	699.20	I2; pFpAm								
<p><b>Intrusion Intermédiaire 40*; Porphyre</b></p>										

KL CB NG 03

Description		Analyse								
		De	À	Numéro	Longueur	Au_Final (g/l)	Ag_Final (ppm)	Cu_Final (ppm)	Zn_Final (ppm)	
699.20	702.00	<p><b>de Feldspath et Amphibole 40*</b>                      Intrusif intermédiaire à porphyres de Fld et Amp.                      l2pFpAm sans pFp.                      Matrice à grains fins de couleur gris moyen, brunâtre.                      Contenant 10% d'Amp en mouchetage.                      Aucune min.                      Cb- vnl; Hm- vnl.                      Contact inf et sup. concordant à 40 deg tca.</p>								
			699.20	700.00	P153753	0.80	0.010	0.10	7.0	20.0
			700.00	700.50	P151330	0.50	0.005	0.10	5.0	21.0
		700.50	702.00	P153754	1.50	0.010	0.10	12.0	20.0	
702.00	716.40	<p>Entre 699.2-702m: Si++ pervasive + pQz; Chl modérée en mouchetage ou vnl; Pa- vn/vnl; Hm- avec la Pa?.</p>								
			703.40	704.50	P153756	1.10	0.010	0.10	11.0	15.0
		704.50	705.60	P153757	1.10	0.090	0.10	49.0	13.0	
		<p>Entre 702-716.4m: Pa+ pervasive ou en vn/vnl; Si modérée pervasive + pQz; Bt modérée en mouchetage ou bandes; Chl- en vn/vnl ou bandes concordantes.</p>								
		<p>Excepté:                      705.6-707.4m: l2pFpAm</p>								
705.60	707.40	<p><b>de Feldspath et Amphibole 45*</b>                      Intrusion intermédiaire à porphyre de Fld et Amp.                      Matrice gris moyen à brunâtre à, grains fins.                      Contenant 20% de pFp blanc laiteux sub-arrondis, (1-5mm) baignant dans la matrice.                      Contient également 15% d'Amp en fines baguettes infra-mm                      Aucune min.                      Hm- en altération des pFp ou en vnl.                      Contacts sup. et inf. franc et concordant à 45 deg tca.</p>								



MAUDORE MINERALS Ltd

AL LB NG CB

Description			Analyse							
			De	À	Numéro	Longueur	Au_Final (g/l)	Ag_Final (ppm)	Cu_Final (ppm)	Zn_Final (ppm)
707.40	716.40	Pyrr: Sptr Pyrrite tr; Sphalérite tr Entre 707.4-716.4m: Trace de Py très finement disséminée ou en rares amas mm (max 2mm); Trace de Sp en amas mm jaunâtre à brunâtre (max2mm).	707.40	708.50	P153758	1.10	0.030	0.10	4.0	39.0
			708.50	709.50	P153759	1.00	0.240	0.20	23.0	84.0
			709.50	710.50	P153760	1.00	0.110	0.10	3.0	24.0
			710.50	712.00	P153761	1.50	0.090	0.10	6.0	39.0
			712.00	713.50	P153762	1.50	0.045	0.10	2.0	17.5
			713.50	715.00	P153763	1.50	0.050	0.10	16.0	23.0
			715.00	716.30	P153764	1.30	0.120	0.10	10.0	30.0
			716.30	717.40	P153765	1.10	0.080	0.20	84.0	70.0
716.40	730.60	SIL+; Chl+; BO; PA-; CB- Silicification forte; Chloritisation forte; Biotisation; Paragonite faible; Carbonatation faible Entre 716.4-730.6m: Si+ pervasive + pQz; Chl+ pervasive+vn/vnl+bandes; Bt pervasive+bandes; Pa- vnl; Cb- vnl.  Excepté: 720.9-724.7m: I2pFpAm	717.40	718.50	P153766	1.10	0.170	1.60	237.0	34.0
			718.50	719.90	P153767	1.40	0.090	0.30	182.0	79.0
			719.90	720.40	P153768	0.50	0.320	1.00	565.0	52.0
			720.40	720.90	P153770	0.50	0.410	0.70	440.0	67.0
716.40	728.20	Pyrr: Cptr Pyrrite tr; Chalcopyrite tr Entre 716.4-728.2m: Trace de Py en amas mm (max4mm); trace de CPy localement dans les patches ou nodules de Chl+Cb.  Excepté: 720.9-724.7m: I2pFpAm.								
720.90	724.70	I2; pFpAm Intrusion intermédiaire 45°; Porphyre de Feldspath et Amphibole 45° Intrusif intermédiaire à porphyre de Fld et Amp. Matrice gris moyen à foncé à grains fins. Contenant 20% de pFp blanc laiteux sub-arrondis à prismatique (1-5mm) baignant dans la matrice. Contient également 15% d'Amp en fines baguettes infra-mm. Hm- en vnl. Aucune miné.	724.70	725.70	P153771	1.00	0.020	0.10	131.0	56.0
			725.70	726.50	P153772	0.80	0.040	0.20	85.0	64.0
			726.50	727.00	P151331	0.50	0.086	0.10	102.0	60.0
			727.00	727.70	P153773	0.70	0.630	0.60	398.0	68.0
			727.70	728.20	P153775	0.50	0.495	1.20	678.0	65.5

MAUDORE MINERALS Ltd

*Handwritten notes:* \* LB NG CB

Description			Analyse							
			De	À	Numéro	Longueur	Au_Final (g/t)	Ag_Final (ppm)	Cu_Final (ppm)	Zn_Final (ppm)
Contacts sup. et inf. franc et concordant entre 45-50 deg tca.										
728.20	729.50	Py04; Cptr	728.20	728.80	P153776	0.60	1.460	1.70	762.0	83.0
		<b>Pyrite 4%; Chalcopyrite tr</b>	728.80	729.50	P153777	0.70	0.670	1.10	729.0	51.0
Entre 728.2-729.5m: Globalement 3-5% Py en amas mm à cm allongés regroupés le long de vn/vnl chloritlique (65%); également finement disséminée (30%); rares vnl (5%); Trace de Cpy en amas (max3mm).										
729.50	733.30	Py02; Cptr	729.50	730.40	P153778	0.90	0.400	0.80	451.0	55.0
		<b>Pyrite 2%; Chalcopyrite tr</b>	730.40	730.90	P153779	0.50	0.220	0.50	410.0	49.0
Entre 729.5-733.3m: Globalement 2% Py principalement en amas mm (max7mm) allongés (60%) parfois regroupés; aussi disséminée en grains infra-mm (40%); Trace de Cpy en amas ou interstitielle, parfois en association avec la Py dans les amas.										
730.60	733.30	BO+; SIL; PA; CH-; CB-	730.90	732.00	P153781	1.10	0.420	0.40	305.0	93.0
		<b>Blotisation forte; Silicification;</b>	732.00	732.80	P153782	0.80	0.410	0.80	559.0	60.0
		<b>Paragonite; Chloritisation faible;</b>	732.80	733.30	P153784	0.50	0.620	0.70	492.0	53.0
		<b>Carbonatation faible</b>								
Entre 730.6-733.3m: Bt+ matricielle formant localement des bandes; Si+ à mod. pervasive; Pa en qqs bandes gris clair ou en qqs clastes; CH- vn/vnl; Cb- vn/vnl.										
733.30	736.10	SIL+; PA+; BO-; CB-								
		<b>Silicification forte; Paragonite forte; Biotisation faible;</b>								
		<b>Carbonatation faible</b>								
Si+ pervasive, Pa+ pervasive, Bt- matricielle, Cb- en Vnl, CHI en traces en Vnl										
733.30	736.10	Py02	733.30	734.00	P153786	0.70	0.320	0.40	226.0	127.0
		<b>Pyrite 2%</b>	734.00	734.50	P151379	0.50	0.560	0.70	325.0	75.0
		1-2% Py en grains mm diss	734.50	735.80	P153787	1.30	0.200	0.30	137.0	95.0
			735.80	736.30	P153788	0.50	0.270	0.50	161.0	50.0

Description			Analyse							
			De	À	Numéro	Longueur	Au_Final (g/t)	Ag_Final (ppm)	Cu_Final (ppm)	Zn_Final (ppm)
736.10	745.10	SIL+; PA; BO; CB-; Chl- Silicification forte; Paragonite; Biotisation; Carbonatisation faible; Chloritisation faible Si+ pervasive, Pa mod pervasive, Bt mod matricielle, Chl- en Vnl, Cb- en Vnl  excepté: 736.3-736.8m: I3;FIN 736.8-743.6m: I2;pFpAm								
736.10	745.10	Py05 Pyrite 5% 3-5% Py en amas mm à cm allongés regroupés au sein de clastes chloritiques ou de passages plus sombre ((60%) ou en grains mm disséminés (40%)  excepté: 736.3-736.8m: I3;FIN 736.8-743.6m: I2;pFpAm								
736.30	736.80	I3; FIN Intrusion mafique; Grains fins Intrusion mafique Couleur vert sombre Roche homogène à grains fins Si+, Chl+ Pas de miné CContact sup de 40deg concordant et inf de 20deg AC								
736.80	743.60	I2; pFpAm Intrusion intermédiaire; Porphyre de Feldspath et Amphibole Intrusif intermédiaire à porphyre de Fld et Amp. Matrice gris moyen rosé Contenant 20% de pFp blanc laiteux à roses sub-arrondis à prismatique (1-8mm) baignant	743.50	744.00	P153789	0.50	0.220	0.10	27.0	47.0
			744.00	745.10	P153790	1.10	0.185	0.60	12.5	194.0

AC LB NG CB

Description		Analyse							
		De	À	Numéro	Longueur	Au_Final (g/t)	Ag_Final (ppm)	Cu_Final (ppm)	Zn_Final (ppm)
745.10	749.90								
<p>dans la matrice.                      Contient également 15% d'Amp en fines baguettes infra-mm.                      Si+, Hm-                      Aucune miné.                      Contacts sup. de 20deg AC et inf. franc et concordant entre 40 deg tca.</p> <p>V2-V3; T1</p> <p><b>Volcanite Intermédiaire à mafique; Tufts à lapilla</b></p> <p>Volcanite intermédiaire à mafique. Tufts à lapillis.                      Matrice à grains fins de couleur gris foncé-verdâtre et brunâtre.                      Alternance de bandes d'altération et/ou clastes verdâtres (chloritisés) et brunâtres (biotitisés), mm à cm, étirés selon une foliation entre 40-45deg AC. Les clastes sont généralement mm à cm, verdâtre à brunâtre et fortement étirés suivant la foliation, localement sub-arrondis sans orientation particulière.                      Roche homogène d'un point de vue couleur et altération                      Globalement, moins de 1% vnl blanches de Cb mm, concordantes ou discordantes.                      2% Vn de Cb+Chl, plurimm, concordantes</p> <p>Allérations:                      Bt+ matricielle, Chl+ en clastes, Si moy, Cb- en Vn/Vnl.</p> <p>Minéralisation:                      Entre 745.1-747.3m: 5% Py en amas subarrondis de 5mm-1cm (60%) ou an grains inframm à mm disséminés (40%)                      Entre 747.3-749.9m: 1% Py en grains mm diss</p> <p>Contact inf diffus avec l'apparition de pQz au niveau d'un intrusif</p>									

Description			Analyse							
			De	À	Numéro	Longueur	Au_Final (g/t)	Ag_Final (ppm)	Cu_Final (ppm)	Zn_Final (ppm)
745.10	749.90	BO+: Chl+; SIL; CB- Biotisation forte; Chloritisation forte; Silicification; Carbonatation faible Bt+ matricielle, Chl+ en clastes, Si moy, Cb- en Vn/Vnl.	745.10	746.00	P153791	0.90	0.200	0.50	289.0	90.0
			746.00	747.00	P153792	1.00	0.520	1.10	1 050.0	129.0
			747.00	747.70	P153793	0.70	0.150	0.40	418.0	56.0
745.10	747.30	Py05 Pyrite 5% 5% Py en amas subarrondis de 5mm-1cm (60%) ou en grains inframm à mm disséminés (40%)								
747.30	749.90	Py01 Pyrite 1% 1% Py en grains mm diss	747.70	748.20	P151380	0.50	0.040	0.30	110.0	50.0
			748.20	748.70	P153794	0.50	0.060	0.10	35.0	59.0
			748.70	749.60	P153795	0.90	0.070	0.50	313.0	54.0
			749.60	750.10	P153796	0.50	0.230	0.70	349.0	56.0
749.90	761.70	V1C; pQz Rhyodacite; Porphyre de Quartz Volcanite felsique. Rhyodacite à pQz. Matrice à grains fins (pratiquement aphanitique) de couleur variable allant de gris-pâle, à gris moyen brunâtre. Contenant Globalement 2-3% de porphyres de Qtz bleuté (yeux), arrondis, 1-4mm de diamètre, principalement distribués en poches (distribution hétérogène et inégale). Passage pouvant aller à plus de 5% pQz. Foliation modérée à forte entre 35-40 deg tca, marquée principalement par l'alignement des minéraux d'altération telle que la paragonite ou la biotite formant des bandes à l'échelle de la carotte  Altération: Entre 749.9-760.5m: Si+ pervasive, Pa+ pervasive, Bt- matricielle, Cb- en Vnl Entre 760.5-761.7m: Si+ pervasive, Pa pervasive, Bt matricielle, Cb- en Vnl  Minéralisation: 2-3% Py en grains mm diss, parfois regroupés en grappes. Répartition hétérogène								

AL LB NG 25

Description	Analyse							
	De	À	Numéro	Longueur	Au_Final (g/t)	Ag_Final (ppm)	Cu_Final (ppm)	Zn_Final (ppm)
<p>Contact inf difficile à observer mais disparition brusque des pQz</p> <p>749.90 760.50 SIL+; PA+; BO-; CB-  <b>Silicification forte; Paragonite forte; Biotisation faible; Carbonatation faible</b>                      Si+ pervasive, Pa+ pervasive, Bt-matricielle, Cb- en Vnl</p> <p>excepté:                      750-758.4m: I2;pFpAm</p> <p>749.90 761.70 Py03  <b>Pyrite 3%</b>                      2-3% Py en grains mm diss, parfois regroupés en grappes. Répartition hétérogène</p> <p>excepté:                      750-758.4m: I2;pFpAm</p>								
<p>750.00 758.40 I2; pFpAm  <b>Intrusion Intermédiaire; Porphyre de Feldspath et Amphibole</b>                      Intrusif intermédiaire à porphyre de Fld et Amp.                      Couleur variant entre le gris moyen et le gris moyen rosé                      Contenant 25% de pFp blanc laiteux à roses sub-arrondis à prismatique (1-15mm) baignant dans la matrice.                      Contient également 15% d'Amp en fines baguettes infra-mm.                      Si+, Hm-                      Aucune miné.                      Contacts sup. diffus, masqué par les frottements de la drill et inf. franc et concordant entre 40 deg tca.</p>	758.40	759.20	P153797	0.80	0.095	0.10	7.0	27.0
	759.20	760.00	P153798	0.80	0.020	0.10	6.0	19.0
	760.00	760.50	P151381	0.50	0.033	0.20	10.0	25.0
<p>760.50 761.70 SIL+; PA; BO; CB-  <b>Silicification forte; Paragonite; Biotisation; Carbonatation faible</b>                      Si+ pervasive, Pa pervasive, Bt</p>	760.50	761.70	P153799	1.20	0.090	0.10	18.0	23.0

AC CB NG CB

Description			Analyse							
			De	À	Numéro	Longueur	Au_Final (g/t)	Ag_Final (ppm)	Cu_Final (ppm)	Zn_Final (ppm)
761.70	778.80	<p>matricielle, Cb- en Vnl</p> <p>V2-V3; Tl</p> <p>Volcanite intermédiaire à mafique; Tufs à lapillis</p> <p>Volcanite intermédiaire à mafique. Tufs à lapillis.</p> <p>Matrice à grains fins de couleur gris foncé-verdâtre et brunâtre.</p> <p>Alternance de bandes d'altération et/ou clastes verdâtres (chloritisés) et brunâtres (biotitisés), mm à cm, étirés selon une foliation entre 40-45deg AC.</p> <p>Les clastes sont généralement mm à cm, verdâtre à brunâtre et fortement étirés suivant la foliation, localement sub-arrondis sans orientation particulière.</p> <p>Roche homogène d'un point de vue couleur et altération</p> <p>Altération: Si+ pervasive, Bt+ matricielle, Chl+ en clastes et en Vnl en association avec les Cb, Cb- en Vnl, Pa en traces en altération des clastes chloritisés</p> <p>Minéralisation:</p> <p>Entre 761.7-775.4m: 1-2% Py en grains mm diss (70%) en qqs amas plurimmm difformes (20%) ou rares alignements de grains selon des Vnl de Chl 910%).</p> <p>Répartition très hétérogène et minéralisation localisée.</p> <p>Entre 775.4-778.8m: 0.5-1% Py en grains finement diss</p> <p>Contact inf difficile à observer mais apparition brusque des pQz</p>								
761.70	778.80	<p>SIL+; BO+; Chl+; CB-</p> <p>Silicification forte; Biotisation forte; Chloritisation forte; Carbonatation faible</p> <p>Si+ pervasive, Bt+ matricielle, Chl+ en clastes et en Vnl en association avec les Cb, Cb- en Vnl, Pa en traces en altération des clastes chloritisés</p> <p>excepté:</p>	761.70	763.10	P153800	1.40	0.195	0.30	224.5	53.0

MAUDORE MINERALS Ltd

AC LB NG CR

Description		Analyse								
		De	À	Numéro	Longueur	Au_Final (g/t)	Ag_Final (ppm)	Cu_Final (ppm)	Zn_Final (ppm)	
761.70	775.40	763.1-764.8m: I2;pFpAm 770.1-772.8m: I2;pFpAm Py02 <b>Pyrite 2%</b> 1-2% Py en grains mm diss (70%) en qqs amas plurimm difformes (20%) ou rares alignemtns de grains selon des Vnl de Chl 910%). Répartition très hétérogène et minéralisation localisée.  excepté: 763.1-764.8m: I2;pFpAm 770.1-772.8m: I2;pFpAm								
763.10	764.80	I2; pFpAm <b>Intrusion intermédiaire; Porphyre de Feldspath et Amphibole</b> Intrusif intermédiaire à porphyre de Fld et Amp. Matrice gris moyen Contenant 20% de pFp blanc laiteux à roses sub-arrondis à prismatique (1-8mm) baignant dans la matrice. Contient également 15% d'Amp en fines baguettes infra-mm. Si+ Aucune miné. Contacts sup. de 65deg AC concordant et inf. franc et concordant entre 50 deg tca.	764.80 766.00 767.50 768.00 768.50 769.60	766.00 767.50 768.00 768.50 769.60 770.20	P153801 P153802 P153803 P151382 P153804 P153805	1.20 1.50 0.50 0.50 1.10 0.60	0.260 0.020 0.020 0.044 0.190 0.150	0.50 0.10 0.10 0.20 0.50 0.30	451.0 37.0 26.0 8.0 397.0 71.0	58.0 56.0 66.0 56.0 64.0 64.0
770.10	772.80	I2; pFpAm <b>Intrusion intermédiaire 40°; Porphyre de Feldspath et Amphibole 40°</b> Intrusif intermédiaire à porphyre de Fld et Amp. Matrice gris moyen rosé Contenant 10% de pFp blanc laiteux à roses sub-arrondis à prismatique (1-8mm) baignant dans la matrice. Contient également 10% d'Amp en fines baguettes infra-mm. Si+, Hm- Aucune miné. Contacts sup. et inf. franc et concordant entre 40-45 deg tca.	772.70 773.80 775.00	773.80 775.00 776.20	P153806 P153807 P153808	1.10 1.20 1.20	0.030 0.180 0.360	0.20 0.40 0.50	88.0 222.0 430.0	51.0 48.0 61.0



Description			Analyse							
			De	À	Numéro	Longueur	Au_Final (g/l)	Ag_Final (ppm)	Cu_Final (ppm)	Zn_Final (ppm)
775.40	778.80	Py01	776.20	777.50	P153809	1.30	0.160	0.50	256.0	51.0
		Pyrite 1%	777.50	778.80	P153810	1.30	0.190	0.30	397.0	55.0
		0.5-1% Py en grains finement diss								
775.80	793.80	V1C; pQz								
		<b>Rhyodacite; Porphyre de Quartz</b>								
		Volcanite felsique. Rhyodacite à pQz.								
		Matrice à grains fins (pratiquement aphanitique) de couleur variable allant de gris-pâle, à gris moyen brunâtre.								
		Contenant Globalement 2-3% de porphyres de Qtz bleuté (yeux), arrondis, 1-4mm de diamètre, principalement distribués en poches (distribution hétérogène et inégale), Passage pouvant aller à plus de 5% pQz.								
		Foliation modérée à forte entre 35-40 deg tca, marquée principalement par l'alignement des minéraux d'allération telle que la paragonite ou la biolite formant des bandes à l'échelle de la carotte								
		A partir de 792.2m: roche ressemblant à du V2V3 mais présence de qqs pQz								
		<b>Altération:</b>								
		Entre 778.8-781.7m: Si+ pervasive, Bt+ matricielle, Pa- pervasive, Cb- en Vnl								
		Entre 781.7-785.1m: Si+ pervasive, Pa+ pervasive, Bt matricielle, Cb- en Vnl, Ab- en qqs petits porphyres mm blancs (784-785.1m)								
		Entre 785.1-792.2m: Si+ pervasive, Bt+ matricielle, Pa- en fines bandes ou en altération autour de Vnl de Cb, Cb- en Vnl								
		Entre 792-2-793.8m: Si+ pervasive, Bo+ matricielle, Chl en qqs clastes, Cb- en Vnl								
		<b>Minéralisation:</b> Globalement, 2-3% Py en grains inframm à mm diss. Répartition relativement homogène								
		Contact inf difficile à observer mais disparition brusque des pQz								
778.80	781.70	SIL+; BO+; PA-; CB- Silicification forte; Blotisation								

MAUDORE MINERALS Ltd

KE LB NG 03

Description			Analyse							
			De	À	Numéro	Longueur	Au_Final (g/l)	Ag_Final (ppm)	Cu_Final (ppm)	Zn_Final (ppm)
778.80	793.80	forte; Paragonite faible; Carbonatisation faible Si+ pervasive, Bt+ matricielle, Pa- pervasive, Cb- en Vnl Py03	778.80	780.00	P153811	1.20	0.240	0.20	101.0	149.0
			780.00	781.50	P153812	1.50	0.220	0.30	55.0	79.0
			781.50	783.00	P153813	1.50	0.150	0.10	3.0	59.0
781.70	785.10	SIL+; PA+; BO; CB-; AB- Silicification forte; Paragonite forte; Biotisation; Carbonatisation faible; Albitisation faible Si+ pervasive, Pa+ pervasive, Bt matricielle, Cb- en Vnl, Ab- en qqs petits porphyres mm blancs (784-785.1m)	783.00	784.00	P153814	1.00	0.100	0.10	6.0	64.0
			784.00	784.50	P151383	0.50	0.451	0.30	3.0	28.0
			784.50	785.30	P153816	0.80	0.300	0.50	122.0	80.0
785.10	792.20	SIL+; BO+; PA-; CB- Silicification forte; Biotisation forte; Paragonite faible; Carbonatisation faible Si+ pervasive, Bt+ matricielle, Pa- en fines bandes ou en allérialion autour de Vnl de Cb, Cb- en Vnl	785.30	786.20	P153817	0.90	0.510	0.30	147.0	52.0
			787.30	787.80	P153818	0.50	0.120	0.10	6.0	32.0
			791.90	792.40	P153819	0.50	0.280	0.20	5.0	37.0
792.20	793.80	SIL+; BO+; Chl; CB- Silicification forte; Biotisation forte; Chloritisation; Carbonatisation faible Si+ pervasive, Bo+ matricielle, Chl en qqs clastes, Cb- en Vnl	792.40	793.80	P153821	1.40	0.230	0.10	15.0	51.0
793.80	815.30	V2-V3; T1 Volcanite intermédiaire à mafique; Tufs à lapillis Volcanite intermédiaire à mafique. Tufs à lapillis. Matrice à grains fins de couleur gris foncé-verdâtre et brunâtre. Alternance de bandes d'altération et/ou clastes verdâtres (chloritisés) et brunâtres (biotitisés), mm à cm, étirés selon une foliation entre 40-45deg AC. Les clastes sont généralement mm à cm, verdâtre à brunâtre et fortement étirés suivant la foliation,								

Description	Analyse							
	De	À	Numéro	Longueur	Au_Final (g/t)	Ag_Final (ppm)	Cu_Final (ppm)	Zn_Final (ppm)
<p>localement sub-arrondis sans orientation particulière. Roche homogène d'un point de vue couleur et altération</p> <p>Altération: Si+ pervasive, Chl+ en clastes et Vnl, Bt+ matricielle, Cb- en Vnl, Hm en traces en Vnl (814.3-814.7m)</p> <p>Minéralisation: Globalement, 2-3% Py en grains infram diss (70%) ou en rares amas difformes plurimm (20%) ou en remplissage de fissures (10%) Cp en traces en un petit amas cm difforme (796.5m) Po en traces en qqs grains diss</p> <p>Contact inf à 40deg</p>								
<p>793.80 815.30 SIL+; Chl+; BO+; CB- Silicification forte; Chloritisation forte; Biotisation forte; Carbonatation faible Si+ pervasive, Chl+ en clastes et Vnl, Bt+ matricielle, Cb- en Vnl, Hm en traces en Vnl (814.3-814.7m)</p> <p>excepté: 798.5-802.2m: I2;pFpAm 802.9-804.9m: I2;pFpAm</p>								
<p>793.80 815.30 Py03; CpTr; PoTr Pyrite 3%; Chalcopyrite Tr; Pyrrhotine Tr</p> <p>Globalement, 2-3% Py en grains infram diss (70%) ou en rares amas difformes plurimm (20%) ou en remplissage de fissures (10%) Cp en traces en un petit amas cm difforme (796.5m) Po en traces en qqs grains diss</p> <p>excepté: 798.5-802.2m: I2;pFpAm 802.9-804.9m: I2;pFpAm</p>	793.80	795.00	P153822	1.20	0.270	0.20	24.0	60.0
	795.00	796.20	P153823	1.20	0.890	0.70	513.0	54.0
	796.20	796.70	P153825	0.50	0.845	0.40	321.0	48.0
	796.70	797.60	P153826	0.90	0.100	0.20	13.0	47.0
	797.60	798.50	P153827	0.90	0.030	0.20	7.0	46.0

MAUDORE MINERALS Ltd

LB NG CB

Description			Analyse							
			De	À	Numéro	Longueur	Au_Final (g/t)	Ag_Final (ppm)	Cu_Final (ppm)	Zn_Final (ppm)
798.50	802.20	<p>I2; pFpAm</p> <p><b>Intrusion Intermédiaire 45°; Porphyre de Feldspath et Amphibole 45°</b></p> <p>Intrusif intermédiaire à porphyre de Fld et Amp.</p> <p>Matrice gris moyen</p> <p>Contenant 25% de pFp blanc laiteux sub-arrondis à prismatique (1-10mm) baignant dans la matrice.</p> <p>Contient également 15% d'Amp en fines baguettes infra-mm.</p> <p>Si+.</p> <p>Py en traces en grains inframm diss</p> <p>Contacts sup. et inf. franc et concordant entre 45 deg tca.</p>	802.20	802.90	P153828	0.70	0.010	0.10	8.0	56.0
802.90	804.90	<p>I2; pFpAm</p> <p><b>Intrusion Intermédiaire; Porphyre de Feldspath et Amphibole</b></p> <p>Intrusif intermédiaire à porphyre de Fld et Amp.</p> <p>Matrice gris moyen</p> <p>Contenant 25% de pFp blanc laiteux sub-arrondis à prismatique (1-10mm) baignant dans la matrice.</p> <p>Contient également 15% d'Amp en fines baguettes infra-mm.</p> <p>Si+.</p> <p>Py en traces en grains inframm diss</p> <p>Contacts sup. de 50deg concordant et inf ondulant à environ 70deg AC</p>	804.90	806.00	P153829	1.10	0.030	0.10	109.0	45.0
			806.00	806.50	P151384	0.50	0.032	0.10	36.0	43.0
			806.50	808.00	P153830	1.50	0.040	0.20	154.0	48.0
			808.00	809.00	P153831	1.00	0.005	0.10	4.0	48.0
			809.00	810.40	P153832	1.40	0.010	0.10	5.0	46.0
			810.40	811.00	P153833	0.60	0.010	0.10	3.0	36.0
			811.00	812.00	P153835	1.00	0.010	0.10	5.0	35.0
			812.00	813.00	P153836	1.00	0.010	0.10	2.0	115.0
			813.00	814.00	P153837	1.00	0.020	0.10	8.0	37.0
			814.00	815.30	P153839	1.30	0.040	0.15	45.0	40.5
815.30	816.00	<p>V1C; pQz</p> <p><b>Rhyodacite; Porphyre de Quartz</b></p> <p>Volcanite felsique. Rhyodacite à pQz.</p> <p>Matrice à grains fins (pratiquement aphanitique) de couleur gris-pâle</p> <p>Contenant Globalement 5% de porphyres de Qtz bleulé (yeux), arrondis, 1-4mm de diamètre</p> <p>Foliation modérée à forte entre 35-40 deg tca, marquée principalement par l'alignement des minéraux d'altération telle que la paragonite</p> <p>Altération: Si+ pervasive, Pa+ pervasive, Bt- faiblement matricielle, Cb- en Vnl</p>								

AC LB NG CR

Description	Analyse							
	De	À	Numéro	Longueur	Au_Final (g/t)	Ag_Final (ppm)	Cu_Final (ppm)	Zn_Final (ppm)
Minéralisation: 3-5% Py en grains mm diss (80%) ou en rares amas plurimm (20%)								
815.30 Contact inf de 30deg concordant	816.00							
SIL+; PA+; BO-; CB- Silicification forte; Paragonite forte; Biotisation faible; Carbonatation faible Si+ pervasive, Pa+ pervasive, Bt- faiblement matricielle, Cb- en Vnl								
815.30 Py05 Pyrite 5% 3-5% Py en grains mm diss (80%) ou en rares amas plurimm (20%)	816.00	816.00	P153840	0.70	0.030	0.10	6.0	13.0
816.00 901.70 V2-V3; T1 Volcanite intermédiaire à mafique; Tufs à lapillia Volcanite intermédiaire à mafique. Tufs à lapillis. Matrice à grains fins de couleur gris foncé-verdâtre et brunâtre. Alternance de bandes d'altération et/ou clastes verdâtres (chloritisés) et brunâtres (biotitisés), mm à cm, étirés selon une foliation entre 40-45deg AC. Les clastes sont généralement mm à cm, verdâtre à brunâtre et fortement étirés suivant la foliation, localement sub-arrondis sans orientation particulière. Passage de I3 entre 852.5-852.7m  Altérations: De 816-838.6m: Si+ pervasive, Bt+ matricielle, Chl+ en clastes et Vnl, Cb- en Vnl, Hm en traces De 838.6-844.8m: Si+ pervasive, Bt+ matricielle, Chl en clastes, Pa- en bandes gris clair, Cb- en Vnl De 844.8-854.5m: Si+ pervasive, Bt+ matricielle, Chl+ en clastes et Vnl, Cb- en Vnl, Hm en traces, Pa en traces en qqs fines bandes gris clair De 854.5-863.9m: Si+ pervasive, Bt+ matricielle, Chl+ en clastes et Vnl, Pa en bandes gris clair, Cb- en Vnl, Hm en traces De 854.5-867.8m: Si+ pervasive, Bt+ matricielle, Chl+	816.00	817.30	P153841	1.30	0.080	0.20	35.0	42.0

AL LB NG CB

Description	Analyse							
	De	À	Numéro	Longueur	Au_Final (g/l)	Ag_Final (ppm)	Cu_Final (ppm)	Zn_Final (ppm)
<p>en clastes, Hm- en remplissage de fissures et Vnl, Cb- en Vnl De 867.8-901.7m: Si+ pervasive, Bt+ matricielle, Chl+ en clastes, Cb- en Vnl</p> <p>Minéralisation:</p> <p>De 816-818.2m: 2% Py en grains finement disséminés (70%) ou en amas globuleux plurimm (30%)</p> <p>De 827.8-842.3m: 3-4% Py en amas plurimm difformes, parfois regroupés en patchs (70%) ou en grains mm diss (30%). Répartition aléatoire</p> <p>De 846.6-850.2m: 3-4% Py en amas souvent regroupés en patchs de 3-5cm étirés selon la foliation (70%) ou en grains mm diss</p> <p>1% Po en association avec les amas de Py Cp en traces en un grain en association avec un amas de Py (848.9m)</p> <p>De 850.2-854.7m: 2% Py en amas de 3-4mm (60%) ou en grains mm diss (40%)</p> <p>0.5% Cp en grains diss en association avec les amas de Py</p> <p>à 850.5m: Gros amas difforme de 5cm, en association avec un gros claste de Chl</p> <p>De 854.7-855.4m: 3% Py en amas parfois regroupés en patchs (50%) ou en grains mm diss (50%)</p> <p>2% Cp en grains mm en association avec les amas de Py</p> <p>De 855.4-857m: 1-2% Py en grains mm diss (60%) ou en amas plurimm difformes (40%). Répartition aléatoire</p> <p>De 857-884m: 3-4% Py en amas de 3-5mm difformes (60%) ou en grains mm diss (40%)</p> <p>Po en traces localement en qqs grains diss</p> <p>De 884-886.1m: 4-5% Py en patchs de 5-10cm regroupant des amas plurimm subarrondis (80%) ou en qqs grains mm diss (20%)</p> <p>2-3% Po en patchs regroupant des amas, en association avec la Py</p> <p>De 886.1-894.2m: 2-3% Py en amas de 3-4mm (70%) ou en grains mm diss (25%) ou en remplissage de</p>								

AL LB NG CB

Description	Analyse							
	De	À	Numéro	Longueur	Au_Final (g/t)	Ag_Final (ppm)	Cu_Final (ppm)	Zn_Final (ppm)
qqs fissures (5%) Po en traces en qqs petits amas De 894.2-901.7m: Py en traces en qqs petits amas  Contact inf de 40deg concordant 816.00 838.60 SIL+; BO+; ChI+; CB- Silicification forte; Biotisation forte; Chloritisation forte; Carbonatation faible Si+ pervasive, Bt+ matricielle, ChI+ en clastes et Vnl, Cb- en Vnl, Hm en traces  excepté: 818.5-820.9m: I1B 820.9-822.5m: I2;pFpAm 823.3-825.8m: I2;pFpAm 834.7-836.6m: I1B								
816.00 818.20 Py02 Pyrite 2% 2% Py en grains finement disséminés (70%) ou en amas globuleux plurimm (30%)								
817.00 817.40 I3; FIN Intrusion mafique; Grains fins Intrusion mafique Grains fins Couleur vert sombre Alt: Si+, ChI+ Pas de minéralisation Contacts sup et inf nets à 70deg discordants	817.30	818.50	P153842	1.20	0.040	0.10	28.0	48.0
818.20 844.80 Py04 Pyrite 4% 3-4% Py en amas plurimm difformes, parfois regroupés en patchs (70%) ou en grains mm diss (30%). Répartition aléatoire  excepté: 818.5-820.9m: I1B								

MAUDORE MINERALS Ltd

AL CB NG CR

Description			Analyse							
			De	À	Numéro	Longueur	Au_Final (g/t)	Ag_Final (ppm)	Cu_Final (ppm)	Zn_Final (ppm)
818.50	820.90	I1B Granite Intrusion granitique Couleur rose Hétérogène: début et fin d'intervalle de composition aplitique, de couleur rose Py en traces Contact sup de 20deg AC et inf de 40deg AC. Contact inf au niveau d'une fracture remplie de Py								
820.90	822.50	I2; pFpAm Intrusion Intermédiaire 40°; Porphyre de Feldspath et Amphibole 40° Intrusion intermédiaire Couleur rose à gris moyen rosé 20% pFp, 2-10mm, blancs à rosés 10% amphiboles en baguettes ou mouchetage, noirâtre Alt: Si+, Hm, Cb- Py en traces en grains finement diss Contact inf et sup de 40deg AC	822.50	823.30	P153843	0.60	0.010	0.10	23.0	54.0
823.30	825.80	I2; pFpAm Intrusion Intermédiaire 40°; Porphyre de Feldspath et Amphibole 40° Intrusion intermédiaire Couleur rose à gris moyen rosé 15% pFp, 2-10mm, blancs à rosés 10% amphiboles en baguettes ou mouchetage, noirâtre Alt: Si+, Hm, Cb- Py en traces en grains finement diss Contact inf et sup de 40deg AC	825.80	827.00	P153844	1.20	0.010	0.10	32.0	53.0
			827.00	828.50	P153845	1.50	0.070	0.20	79.0	49.0
			828.50	829.00	P153846	0.50	0.060	0.30	300.0	57.0
			829.00	829.80	P153847	0.80	0.250	0.20	68.0	48.0
			829.80	830.90	P153848	1.10	0.150	0.20	78.0	49.0
			830.90	832.00	P153850	1.10	0.365	0.20	169.0	45.0
			832.00	833.00	P153851	1.00	0.210	0.30	209.0	46.0
834.70	836.60	I1B Granite 60° Intrusion granitique	833.00	833.90	P153852	0.90	0.410	0.40	258.0	47.0
			833.90	834.70	P153853	0.80	0.970	0.30	210.0	52.0
			836.50	837.00	P153854	0.50	0.020	0.10	81.0	43.0
			837.00	837.50	P151395	0.50	0.109	0.30	192.0	48.0
			837.50	838.30	P153855	0.80	0.110	0.20	21.0	44.0



MAUDORE MINERALS Ltd

AL LB NG CB

Description		Analyse								
		De	À	Numéro	Longueur	Au_Final (g/t)	Ag_Final (ppm)	Cu_Final (ppm)	Zn_Final (ppm)	
838.60	844.80	SIL+; BO+; Chl; PA-; CB- Silicification forte; Biotisation forte; Chloritisation; Paragonite faible; Carbonatation faible Si+ pervasive, Bt+ matricielle, Chl en clastes, Pa- en bandes gris clair, Cb- en Vnl  excepté 840.8-844.8m: I2;pFpAm	838.30 838.90 839.60	838.90 839.60 840.80	P153856 P153858 P153859	0.60 0.70 1.20	0.190 0.090 0.030	0.20 0.20 0.10	37.0 39.0 11.0	49.0 53.0 45.0
840.80	844.80	I2; pFpAm Intrusion intermédiaire 35*; Porphyre de Feldspath et Amphibole 35* Intrusion intermédiaire Couleur rose à gris moyen rosé 20% pFp, 2-10mm, blancs à rosés 10% amphiboles en baguettes ou mouchetage, noirâtre Alt: Si+, Hm, Cb- Py en traces en grains finement diss Passage de V2V3 avec 3% Py entre 842.1-842.3m Contact inf et sup de 30-35deg concordant	841.90	842.40	P153860	0.50	0.010	0.10	13.0	55.0
844.80	854.50	SIL+; BO+; Chl+; CB- Silicification forte; Biotisation forte; Chloritisation forte; Carbonatation faible Si+ pervasive, Bt+ matricielle, Chl+ en clastes et Vnl, Cb- en Vnl, Hm en traces, Pa en traces en qqs fines bandes gris clair	844.80 845.80 846.60 847.20 848.30 849.40	845.80 846.60 847.20 848.30 849.40	P153861 P153862 P153863 P153865 P153866 P153867	1.00 0.80 0.60 1.10 1.10 0.80	0.040 0.130 0.400 0.160 0.320 0.220	0.10 0.20 0.20 0.30 0.40 0.50	31.0 137.0 65.0 252.0 258.0 320.0	39.0 44.0 41.0 39.0 55.0 46.0
844.80	850.20	Py04; Po01; CpTr Pyrite 4%; Pymhotine 1%; Chalcopryrite Tr 3-4% Py en amas souvent regroupés en patchs de 3-5cm étirés selon la foliation								

MAUDORE MINERALS Ltd

AC LB NG CR

Description		Analyse								
		De	À	Numéro	Longueur	Au_Final (g/l)	Ag_Final (ppm)	Cu_Final (ppm)	Zn_Final (ppm)	
850.20	854.70	(70%) ou en grains mm diss 1% Po en association avec les amas de Py Cp en traces en un grain en association avec un amas de Py (848.9m)								
		Py02	850.20	850.80	P153868	0.60	0.160	1.40	1 220.0	49.0
		<b>Pyrite 2%</b>	850.80	851.60	P153870	0.80	0.350	0.20	301.0	51.0
		2% Py en amas de 3-4mm (60%) ou en grains mm diss (40%)	851.60	852.60	P153871	1.00	0.130	0.20	32.0	46.0
		0.5% Cp en grains diss en association avec les amas de Py	852.60	853.70	P153872	1.10	0.290	0.30	35.0	38.0
		à 850.5m: Gros amas difforme de 5cm, en association avec un gros claste de Chl	853.70	854.50	P153873	0.80	0.970	0.90	391.0	30.0
854.50	863.90	SiL+; BO+; ChI+; PA; CB- <b>Silicification forte; Biotisation forte; Chloritisation forte; Paragonite; Carbonatation faible</b> Si+ pervasive, Bt+ matricielle, ChI+ en clastes et Vnl, Pa en bandes gris clair, Cb- en Vnl, Hm en traces	854.50	855.40	P153875	0.90	7.310	5.85	4 230.0	37.5
854.70	855.40	Py03; Cp02 <b>Pyrite 3%; Chalcopyrite 2%</b> 3% Py en amas parfois regroupés en patches (50%) ou en grains mm diss (50%) 2% Cp en grains mm en association avec les amas de Py								
855.40	857.00	Py02	855.40	856.50	P153874	1.10	0.470	0.80	636.0	76.0
		<b>Pyrite 2%</b>	856.50	857.40	P153876	0.90	0.110	0.10	44.0	46.0
		1-2% Py en grains mm diss (60%) ou en amas plurim difformes (40%). Répartition aléatoire								
857.00	884.00	Py04; PoTr <b>Pyrite 4%; Pyrrhotine Tr</b> 3-4% Py en amas de 3-5mm difformes (60%) ou en grains mm diss (40%) Po en traces localement en qqs grains diss								

MAUDORE MINERALS Ltd

AC LG NG CB

Description		Analyse								
		De	À	Numéro	Longueur	Au_Final (g/t)	Ag_Final (ppm)	Cu_Final (ppm)	Zn_Final (ppm)	
857.30	859.40	excepté: 857.3-859.4m: I2;pFpAm 864.9-866.4m: I2;pFpAm 868.5-873.8m: I2;pFpAm 874.5-875.3m: I2;pFpAm 880.7-883.5m: I2;pFpAm								
		I2; pFpAm	859.40	860.00	P153877	0.60	0.120	0.20	101.0	50.0
		Intrusion Intermédiaire 45°; Porphyre	860.00	861.00	P153878	1.00	0.150	0.40	136.0	239.0
		de Feldspath et Amphibole 45°	861.00	862.50	P153879	1.50	0.060	0.10	52.0	67.0
		Intrusion intermédiaire	862.50	863.00	P153880	0.50	0.070	0.10	76.0	59.0
		Couleur gris moyen rosé	863.00	863.50	P151396	0.50	0.068	0.40	84.0	59.0
		15% pFp, 2-10mm, blancs à rosés	863.50	864.80	P153881	1.30	0.283	0.25	208.0	50.5
10% amphiboles en baguettes ou mouchetage, noirâtre Alt: Si+, Hm, Cb- Py en traces en grains finement diss Contact inf et sup de 45deg concordant										
863.90	867.80	SIL+; BO+; Chl+; HM-; CB- Silicification forte; Biotisation forte; Chlortisation forte; Hématisation faible; Carbonatation faible Si+ pervasive, Bt+ matricielle, Chl+ en clastes, Hm- en remplissage de fissures et Vnl, Cb- en Vnl								
864.90	866.40	excepté: 857.3-859.4m: I2;pFpAm 864.9-866.4m: I2;pFpAm								
		I2; pFpAm	866.40	867.60	P153882	1.20	0.510	0.30	342.0	46.0
		Intrusion Intermédiaire 35°; Porphyre	867.60	868.50	P153883	0.90	0.120	0.50	531.0	94.0
de Feldspath et Amphibole 35°										
Intrusion intermédiaire										
Couleur rose à gris moyen rosé										
20% pFp, 2-10mm, blancs à rosés										
15% amphiboles en baguettes ou mouchetage, noirâtre Alt: Si+, Hm, Cb- Py en traces en grains finement diss Contact inf de 35deg discordant (?) et sup de										

Description			Analyse							
			De	À	Numéro	Longueur	Au_Final (g/t)	Ag_Final (ppm)	Cu_Final (ppm)	Zn_Final (ppm)
867.80	901.70	35deg concordant SIL+; BO+; Chl+; CB- Silicification forte; Biotisation forte; Chloritisation forte; Carbonatation faible Si+ pervasive, Bt+ matricielle, Chl+ en clastes, Cb- en Vnl  excepté: 868.5-873.8m: I2;pFpAm 874.5-875.3m: I2;pFpAm 880.7-883.5m: I2;pFpAm 886.1-890.5m: I2;pFpAm 896.2-900.6m: I2;pFpAm								
868.50	873.80	I2; pFpAm Intrusion intermédiaire 40*; Porphyre de Feldspath et Amphibole 40* Intrusion intermédiaire Couleur rose 25% pFp, 2-10mm, blancs à rosés 15% amphiboles en baguettes ou mouchetage, noirâtre Alt: Si+, Hm, Cb- Py en traces en grains finement diss Contact inf et sup de 35-40deg concordant	873.80	874.50	P153884	0.70	0.840	0.70	702.0	47.0
874.50	875.30	I2; pFpAm Intrusion intermédiaire 35*; Porphyre de Feldspath et Amphibole 35* Intrusion intermédiaire Couleur gris moyen rosé 10% pFp, 2-10mm, blancs à rosés 25% amphiboles en baguettes ou mouchetage, noirâtre Alt: Si+, Hm, Cb- Py en traces en grains finement diss Contact inf et sup de 35deg concordant	875.30	876.10	P153886	0.80	0.340	0.20	158.0	50.0
			876.10	877.00	P153887	0.90	0.190	0.20	154.0	47.0
			877.00	878.50	P153888	1.50	0.480	0.20	375.0	43.0
			878.50	880.00	P153889	1.50	0.370	0.20	403.0	43.0
			880.00	880.70	P153891	0.70	0.120	0.10	232.0	48.0
880.70	883.50	I2; pFpAm Intrusion intermédiaire 35*; Porphyre de Feldspath et Amphibole 35* Intrusion intermédiaire	883.50	884.50	P153892	1.00	0.100	0.10	119.0	40.0

Description		Analyse								
		De	À	Numéro	Longueur	Au_Final (g/t)	Ag_Final (ppm)	Cu_Final (ppm)	Zn_Final (ppm)	
		Couleur gris moyen 30% pFp, 2-15mm, blancs à rosés 20% amphiboles en baguettes ou mouchetage, noirâtre Alt: Si+, Cb- Py en traces en grains finement diss Contact inf et sup de 35deg concordant								
884.00	886.10	Py05; Po03	884.50	885.40	P153893	0.90	0.300	0.30	297.0	34.0
		<b>Pyrite 5%; Pyrrhotine 3%</b>	885.40	886.10	P153895	0.70	0.260	0.30	366.0	46.0
		4-5% Py en patchs de 5-10cm regroupant des amas plurimm subarrondis (80%) ou en qqs grains mm diss (20%) 2-3% Po en patchs regroupant des amas, en association avec la Py								
886.10	890.50	I2; pFpAm <b>Intrusion Intermédiaire; Porphyre de Feldspath et Amphibole</b> Intrusion intermédiaire Couleur gris moyen, rosé a partir de 889m 20% pFp, 2-10mm, blancs à rosés 20% amphiboles en baguettes ou mouchetage, noirâtre Alt: Si+, Cb-, Hm en traces Py en traces en grains finement diss Contact sup de 30deg concordant et inf irrégulier								
		Py03; PoTr	890.50	891.90	P153896	1.40	0.140	0.10	169.0	38.0
		<b>Pyrite 3%; Pyrrhotine Tr</b>	891.90	893.10	P153897	1.20	0.120	0.20	194.0	38.0
		2-3% Py en amas de 3-4mm (70%) ou en grains mm diss (25%) ou en remplissage de qqs fissures (5%)	893.10	894.50	P153898	1.40	0.100	0.10	83.0	38.0
		Po en traces en qqs petits amas	894.50	895.00	P151397	0.50	0.023	0.20	79.0	38.0
			895.00	896.20	P153899	1.20	0.010	0.10	14.0	37.0
		excepté: 886.1-890.5m: I2;pFpAm								
896.20	900.60	I2; pFpAm <b>Intrusion Intermédiaire 35°; Porphyre de Feldspath et Amphibole 35°</b> Intrusion intermédiaire	900.50	901.70	P153900	1.20	0.020	0.10	8.0	44.5

AC LB NG CS

Description		Analyse								
		De	À	Numéro	Longueur	Au_Final (g/t)	Ag_Final (ppm)	Cu_Final (ppm)	Zn_Final (ppm)	
901.70	909.20	<p>Couleur gris moyen                      20% pFp, 2-10mm, blancs                      20% amphiboles en baguettes ou mouchelage, noirâtre                      Alt: Si+, Cb-, Hm en traces                      Py en traces en grains finement diss                      Contact sup et inf de 30-35deg concordant</p> <p>V1C; pQz</p> <p><b>Rhyodacite; Porphyre de Quartz</b>                      Volcanite felsique. Rhyodacite à pQz.                      Matrice à grains fins (pratiquement aphanitique) de couleur gris moyen à sombre                      Texture de la roche faisant penser à du V1C; Zébré                      Contenant Globalement 5% de porphyres de Qtz bleuté (yeux), arrondis, 1-4mm de diamètre                      Foliation modérée à forte entre 35-40 deg tca, marquée principalement par l'alignement des minéraux d'altération telle que la paragonite</p> <p>Altérations: Si+ pervasive, Bt+ matricielle, Pa- en fines laminations, CB- en Vnl, Chl- en altération autour de fines laminations de Pa, Ab- (?) localement en petits porphyres blancs</p> <p>Minéralisation:                      De 901.7-902.1m: 3% Py en patchs plurim d'amas non jointifs (80%) ou en grains inframm diss (20%)                      Po en traces en association avec les amas de Py à 901.9m: Vnl de Py au sein d'une bande de Chl                      De 902.1-908.8m: 1-2% Py en grains mm diss à 904.7m: Alignement de grains le long d'une fissure                      De 908.8-909.2m: 3% Py en patchs plurim d'amas non jointifs (80%) ou en grains inframm diss (20%)                      Po en traces en association avec les amas de Py</p> <p>Contact inf diffus avec la disparition des pQz</p>								
901.70	909.20	SIL+; BO+; PA-; CB-; Chl-; AB-	901.70	902.50	P153901	0.80	0.180	0.10	62.0	315.0
		<p>Silicification forte; Blotisation forte; Paragonite faible; Carbonatation faible;</p>								

MAUDORE MINERALS Ltd

AC LB NG CB

Description		Analyse							
		Dé	À	Numéro	Longueur	Au_Final (g/t)	Ag_Final (ppm)	Cu_Final (ppm)	Zn_Final (ppm)
901.70	902.10								
902.10	908.80	902.50	903.00	P151402	0.50	0.138	0.10	8.0	43.0
		903.00	904.00	P153902	1.00	0.140	0.10	3.0	19.0
		904.00	905.30	P153903	1.30	0.180	0.10	8.0	28.0
905.30	908.80	908.70	909.20	P153904	0.50	0.020	0.20	9.0	33.0

Description			Analyse							
			De	À	Numéro	Longueur	Au_Final (g/t)	Ag_Final (ppm)	Cu_Final (ppm)	Zn_Final (ppm)
908.80	909.20	Py03; PoTr Pyrite 3%; Pyrrholine Tr 3% Py en patchs plurim d'amas non jointifs (80%) ou en grains inframm diss (20%) Po en traces en association avec les amas de Py								
909.20	915.20	V2-V3; T1 <b>Volcanite intermédiaire à mafique; Tufts à lapillis</b> Volcanite intermédiaire à mafique. Tufts à lapillis. Matrice à grains fins de couleur gris foncé-verdâtre et brunâtre. Alternance de bandes d'altération et/ou clastes verdâtres (chloritisés) et brunâtres (biotitisés), mm à cm, étirés selon une foliation entre 30-35deg AC. Les clastes sont généralement mm à cm, verdâtre à brunâtre et fortement étirés suivant la foliation, localement sub-arrondis sans orientation particulière.  Veines: à 910.5m: Veine perpendiculaire à l'Axe de la carotte de Qz. 1% Py en grains finement diss De 911.8-912.2m: Veine à 15deg concordante de Chl+Cb±Qz. 3% Py en grains mm diss  Altération: Si+ à intense pervasive, Bt+ matricielle, Chl+ en clastes ou bandes, Sr- en fines bandes ou en altération autour des clastes de Chl, Cb- en Vnl  Minéralisation: De 909.2-911.6m: Py en traces à 0.5% localement en grains finement diss De 911.6-915.2m: 1% Py en amas plurim difformes, parfois regroupés en petits patchs cm (70%) ou en grains inframm diss (30%). Répartition tres hétérogène  Contact inf de 35deg avec le Beehler								
909.20	915.20	SIL+; BO+; Chl+; SR-; CB- Silicification forte; Biotisation	909.20	910.20	P153906	1.00	0.010	0.10	2.0	18.0



MAUDORE MINERALS Ltd

AL LG NG 03

Description			Analyse							
			Dø	Å	Numéro	Longueur	Au_Final (g/t)	Ag_Final (ppm)	Cu_Final (ppm)	Zn_Final (ppm)
909.20	911.60	<p><b>forte; Chloritisation forte;</b>  <b>Séricitisation faible;</b>  <b>Carbonatation faible</b>                      Si+ à intense pervasive. Bt+ matricielle.                      Chl+ en clastes ou bandes, Sr- en fines bandes ou en altération autour des clastes de Chl, Cb- en Vnl</p> <p>Py00.5  <b>Pyrite 0.5%</b>                      Py en traces à 0.5% localement en grains finement diss</p>	910.20	910.70	P153907	0.50	0.010	0.10	2.0	15.0
910.50	910.60	<p>VEI;100%;Qz;;;Py01;  <b>Veine 100% Quartz Pyrite 1%</b>                      Veine perpendiculaire à l'Axe de la carolle de Qz. 1% Py en grains finement diss</p>	910.70	911.70	P153908	1.00	0.010	0.10	1.0	36.0
911.60	915.20	<p>Py01  <b>Pyrite 1%</b>                      1% Py en amas plurimmm difformes, parfois regroupés en petits patchs cm (70%) ou en grains inframm diss (30%). Répartition tres hétérogène</p>	911.70	912.20	P153909	0.50	0.010	0.10	22.0	23.0
911.80	912.20	<p>VEI;100%;Cl Cb Qz;;;Py03;  <b>Veine 100% Chlorite Carbonate</b>  <b>Quartz Pyrite 3%</b>                      Veine à 15deg concordante de Chl+Cb ±Qz. 3% Py en grains mm diss</p>	912.20	913.00	P153910	0.80	0.030	0.10	2.0	49.0
			913.00	913.50	P151403	0.50	0.002	0.10	2.0	37.0
			913.50	914.30	P153911	0.80	0.010	0.10	3.0	32.0
			914.30	915.20	P153912	0.90	0.010	0.30	18.0	35.0
915.20	946.00	<p>I1B  <b>Granite</b>                      Stock de Beehler</p>								
946.00	<p>Fin du sondage                      Nombre d'échantillons : 407                      Nombre d'échantillons QAQC : 51                      Longueur totale échantillonnée : 412.70</p>									

## QAQC

De	À	Numéro	Référence	Longueur	Au (g/t)	Ag (ppm)	Cu (ppm)	Zn (ppm)
0.00	0.00	P152987	Blank	0.00	-0.01	0.2	17	24
0.00	0.00	P152794	SQ48	0.00	28.70	0.7	55	79
0.00	0.00	P152757	Blank	0.00	-0.01	-0.2	14	23
0.00	0.00	P152768	SK62	0.00	4.16	1.1	93	141
0.00	0.00	P152870	SQ48	0.00	30.60	0.7	54	82
0.00	0.00	P153783	SH55	0.00	1.36	0.6	108	69
0.00	0.00	P153780	Blank	0.00	-0.01	0.2	14	25
0.00	0.00	P153774	SQ48	0.00	30.80	1.0	63	86
0.00	0.00	P152813	Blank	0.00	-0.01	-0.2	12	21
0.00	0.00	P152997	SK62	0.00	4.13	1.0	89	94
0.00	0.00	P152779	Blank	0.00	0.01	0.5	14	26
0.00	0.00	P152974	SH55	0.00	1.34	0.7	114	74
0.00	0.00	P152966	Blank	0.00	-0.01	-0.2	15	27
0.00	0.00	P152942	SQ48	0.00	31.60	1.0	69	90
0.00	0.00	P152935	Blank	0.00	-0.01	-0.2	13	20
0.00	0.00	P152921	SK62	0.00	4.05	1.2	86	103
0.00	0.00	P152918	Blank	0.00	-0.01	0.2	12	23
0.00	0.00	P152895	SH55	0.00	1.35	0.9	109	72
0.00	0.00	P152877	Blank	0.00	0.01	-0.2	14	21
0.00	0.00	P153769	Blank	0.00	-0.01	-0.2	16	26
0.00	0.00	P153834	Blank	0.00	-0.01	-0.2	12	19
0.00	0.00	P153885	Blank	0.00	0.02	-0.2	15	23
0.00	0.00	P153894	SK62	0.00	3.98	1.1	88	95
0.00	0.00	P153869	SH55	0.00	1.35	0.7	111	82
0.00	0.00	P153905	Blank	0.00	0.01	-0.2	11	17
0.00	0.00	P153913	SQ48	0.00	29.90	1.0	64	89
0.00	0.00	P152818	SH55	0.00	1.34	0.8	107	71
0.00	0.00	P153849	SQ48	0.00	29.60	1.2	66	96
0.00	0.00	P153857	Blank	0.00	-0.01	0.2	14	75
0.00	0.00	P153824	SK62	0.00	4.09	1.2	88	96
0.00	0.00	P153820	Blank	0.00	-0.01	-0.2	14	23
0.00	0.00	P152863	Blank	0.00	-0.01	-0.2	13	21
0.00	0.00	P152846	SK62	0.00	3.77	1.0	92	105

MAUDORE MINERALS Ltd

AL LB NG CB

QAQC

De	À	Numéro	Référence	Longueur	Au (g/t)	Ag (ppm)	Cu (ppm)	Zn (ppm)
0.00	0.00	P152834	Blank	0.00	-0.01	-0.2	13	25
281.10	282.50	P152760	P152747	1.40	0.02	0.4	105	145
334.50	336.00	P152780	P152763	1.50	0.01	0.2	24	119
403.00	404.50	P152805	P152799	1.50	-0.01	-0.2	22	70
448.50	449.50	P152830	P152824	1.00	0.09	0.3	72	52
452.50	453.50	P152855	P152827	1.00	0.07	0.2	94	49
539.50	541.00	P152880	P152873	1.50	0.18	0.5	127	52
560.50	562.00	P152905	P152892	1.50	1.55	2.7	1 500	62
608.60	609.90	P152930	P152923	1.30	0.18	-0.2	9	66
632.90	634.00	P152955	P152948	1.10	0.03	-0.2	3	30
656.50	658.00	P152980	P152969	1.50	0.11	-0.2	6	22
692.50	694.00	P153755	P152999	1.50	0.02	-0.2	4	11
712.00	713.50	P153785	P153762	1.50	0.05	-0.2	2	17
744.00	745.10	P153815	P153790	1.10	0.17	0.6	13	197
781.50	783.00	P153838	P153813	1.50	0.13	-0.2	2	57
814.00	815.30	P153864	P153839	1.30	0.04	0.2	47	41
847.20	848.30	P153890	P153865	1.10	0.14	0.2	177	37
863.50	864.80	P153915	P153881	1.30	0.23	0.3	217	53

AL LB NG CR

Géochimie

De	À	Numéro	Longueur	Description	SiO2 (%)	Al2O3 (%)	Fe2O3 (%)	CaO (%)
249.50	250.00	P151266	0.50		61.95	15.61	6.12	5.09
276.00	276.50	P151267	0.50		62.29	14.94	5.89	4.28
305.50	306.00	P151268	0.50		60.82	15.13	5.89	5.36
336.00	336.50	P151269	0.50		61.25	15.01	5.69	6.12
363.00	363.50	P151270	0.50		59.83	17.04	6.64	3.81
390.50	391.00	P151277	0.50		61.95	14.69	5.43	6.36
414.50	415.00	P151278	0.50		62.24	14.56	5.61	4.81
444.50	445.00	P151279	0.50		62.22	14.84	6.27	5.00
475.90	476.40	P151293	0.50		58.93	14.46	6.18	7.03
503.00	503.50	P151294	0.50		58.64	14.51	7.64	5.68
528.00	528.50	P151295	0.50		56.46	14.92	7.91	6.49
556.00	556.50	P151298	0.50		58.11	14.53	8.21	6.39
592.00	592.50	P151299	0.50		58.34	14.90	7.23	5.63
599.50	600.00	P151300	0.50		58.29	15.33	7.96	5.99
624.50	625.00	P151316	0.50		69.33	14.93	3.99	3.24
646.00	646.50	P151317	0.50		68.00	15.53	2.89	2.84
677.50	678.00	P151318	0.50		72.64	13.71	2.31	2.68
694.00	694.50	P151329	0.50		71.96	15.72	1.29	1.44
700.00	700.50	P151330	0.50		69.47	15.25	2.64	2.15
726.50	727.00	P151331	0.50		62.30	14.84	7.69	3.39
734.00	734.50	P151379	0.50		68.13	15.05	3.95	2.33
747.70	748.20	P151380	0.50		64.77	14.88	5.38	3.66
760.00	760.50	P151381	0.50		68.67	15.10	2.81	2.91
768.00	768.50	P151382	0.50		64.14	15.21	5.34	4.56
784.00	784.50	P151383	0.50		65.02	13.87	3.28	5.42
806.00	806.50	P151384	0.50		63.41	15.76	5.44	4.39
837.00	837.50	P151395	0.50		64.39	15.17	6.33	4.36
863.00	863.50	P151396	0.50		61.34	15.40	5.38	4.26
894.50	895.00	P151397	0.50		64.11	14.78	6.08	5.43
902.50	903.00	P151402	0.50		70.01	16.25	3.61	2.48
913.00	913.50	P151403	0.50		61.86	15.42	6.05	6.03

## Géochimie

De	À	Numéro	Longueur	MgO (%)	Na2O (%)	K2O (%)	Cr2O3 (%)	TiO2 (%)	MnO (%)	P2O5 (%)
249.50	250.00	P151266	0.50	4.84	3.88	0.87	0.02	0.51	0.08	0.11
276.00	276.50	P151267	0.50	4.98	2.75	1.70	0.02	0.47	0.07	0.09
305.50	306.00	P151268	0.50	4.71	3.35	1.24	0.02	0.50	0.08	0.10
336.00	336.50	P151269	0.50	4.43	3.09	1.11	0.01	0.50	0.15	0.17
363.00	363.50	P151270	0.50	4.42	5.38	0.42	0.01	0.70	0.09	0.20
390.50	391.00	P151277	0.50	4.77	2.74	1.31	0.02	0.47	0.09	0.10
414.50	415.00	P151278	0.50	4.42	3.47	1.86	0.01	0.47	0.12	0.09
444.50	445.00	P151279	0.50	4.90	3.29	0.91	0.01	0.57	0.11	0.16
475.90	476.40	P151293	0.50	4.72	3.97	0.57	0.03	0.55	0.16	0.13
503.00	503.50	P151294	0.50	5.68	4.62	0.70	0.04	0.56	0.13	0.12
528.00	528.50	P151295	0.50	6.24	2.69	1.51	0.04	0.56	0.13	0.11
556.00	556.50	P151298	0.50	5.44	3.31	0.88	0.03	0.60	0.12	0.12
592.00	592.50	P151299	0.50	5.19	4.64	0.32	0.03	0.58	0.15	0.11
599.50	600.00	P151300	0.50	3.81	3.14	1.47	0.02	0.75	0.12	0.16
624.50	625.00	P151316	0.50	1.89	1.92	1.79	0.01	0.34	0.05	0.09
646.00	646.50	P151317	0.50	1.19	4.37	1.46	-0.01	0.35	0.03	0.13
677.50	678.00	P151318	0.50	1.48	3.23	1.64	-0.01	0.16	0.04	0.07
694.00	694.50	P151329	0.50	0.86	4.15	2.30	-0.01	0.22	0.01	0.09
700.00	700.50	P151330	0.50	0.82	5.90	1.03	-0.01	0.23	0.03	0.10
726.50	727.00	P151331	0.50	2.74	4.87	1.18	0.01	0.52	0.09	0.11
734.00	734.50	P151379	0.50	0.91	5.69	1.23	-0.01	0.29	0.03	0.12
747.70	748.20	P151380	0.50	3.00	3.74	1.73	0.02	0.43	0.07	0.09
760.00	760.50	P151381	0.50	0.80	4.33	1.93	-0.01	0.33	0.03	0.12
768.00	768.50	P151382	0.50	3.01	4.10	1.27	0.02	0.46	0.08	0.09
784.00	784.50	P151383	0.50	0.83	4.41	1.19	-0.01	0.30	0.04	0.11
806.00	806.50	P151384	0.50	2.97	3.48	1.98	0.02	0.47	0.07	0.09
837.00	837.50	P151395	0.50	2.80	2.41	2.13	0.02	0.48	0.08	0.11
863.00	863.50	P151396	0.50	3.50	2.52	2.32	0.02	0.62	0.12	0.18
894.50	895.00	P151397	0.50	3.56	1.77	1.73	0.02	0.48	0.09	0.13
902.50	903.00	P151402	0.50	1.14	2.36	1.69	0.01	0.32	0.03	0.13
913.00	913.50	P151403	0.50	3.40	2.08	2.42	0.02	0.49	0.10	0.12

## Géochimie

De	À	Numéro	Longueur	SrO (%)	BaO (%)	LOI (%)	Total (%)	Nb (ppm)	Ba (ppm)	Rb (ppm)
249.50	250.00	P151266	0.50	0.03	0.01	1.01	100.15	4	160	18
276.00	276.50	P151267	0.50	0.04	0.02	2.24	99.77	4	270	38
305.50	306.00	P151268	0.50	0.04	0.03	2.75	100.00	3	310	30
336.00	336.50	P151269	0.50	0.04	0.03	2.23	99.83	4	440	27
363.00	363.50	P151270	0.50	0.05	-0.01	1.30	99.90	6	100	10
390.50	391.00	P151277	0.50	0.04	0.05	1.78	99.79	3	550	32
414.50	415.00	P151278	0.50	0.03	0.04	2.17	99.91	2	420	67
444.50	445.00	P151279	0.50	0.04	0.01	1.55	99.88	4	210	26
475.90	476.40	P151293	0.50	0.05	0.01	2.61	99.40	4	130	28
503.00	503.50	P151294	0.50	0.06	0.02	0.81	99.20	4	180	22
528.00	528.50	P151295	0.50	0.04	0.02	1.95	99.07	4	210	45
556.00	556.50	P151298	0.50	0.05	0.01	1.61	99.41	3	130	32
592.00	592.50	P151299	0.50	0.05	-0.01	1.92	99.09	3	60	12
599.50	600.00	P151300	0.50	0.03	0.02	2.46	99.55	7	200	45
624.50	625.00	P151316	0.50	0.04	0.03	2.11	99.76	4	270	52
646.00	646.50	P151317	0.50	0.04	0.05	2.39	99.26	4	460	46
677.50	678.00	P151318	0.50	0.04	0.03	1.84	99.88	4	270	40
694.00	694.50	P151329	0.50	0.03	0.06	1.87	99.99	4	460	84
700.00	700.50	P151330	0.50	0.04	0.04	1.69	99.39	5	390	27
726.50	727.00	P151331	0.50	0.04	0.04	1.59	99.42	4	440	46
734.00	734.50	P151379	0.50	0.02	0.04	2.07	99.86	4	310	36
747.70	748.20	P151380	0.50	0.02	0.04	1.59	99.42	4	260	69
760.00	760.50	P151381	0.50	0.02	0.05	2.46	99.56	4	300	61
768.00	768.50	P151382	0.50	0.03	0.03	1.45	99.78	4	200	45
784.00	784.50	P151383	0.50	0.04	0.02	3.77	98.29	4	110	49
806.00	806.50	P151384	0.50	0.04	0.03	1.12	99.26	4	240	67
837.00	837.50	P151395	0.50	0.04	0.04	1.41	99.77	4	350	75
863.00	863.50	P151396	0.50	0.03	0.04	3.65	99.39	5	330	113
894.50	895.00	P151397	0.50	0.03	0.04	1.38	99.63	3	300	72
902.50	903.00	P151402	0.50	0.04	0.04	1.44	99.56	4	300	85
913.00	913.50	P151403	0.50	0.04	0.07	1.82	99.92	4	550	154

## Géochimie

De	À	Numéro	Longueur	Zr (ppm)	Y (ppm)	Sr (ppm)	Au (ppm)	Ag (ppm)	Al (%)	As (ppm)
249.50	250.00	P151266	0.50	117	10	274	-0.005	0.20	1.72	2
276.00	276.50	P151267	0.50	115	9	288	0.005	-0.2	3.02	-2
305.50	306.00	P151268	0.50	116	9	340	-0.005	-0.2	2.21	-2
336.00	336.50	P151269	0.50	121	11	350	0.006	0.20	1.98	-2
363.00	363.50	P151270	0.50	121	11	441	0.007	-0.2	1.52	-2
390.50	391.00	P151277	0.50	110	9	352	-0.005	-0.2	2.05	-2
414.50	415.00	P151278	0.50	104	9	282	0.006	-0.2	1.48	-2
444.50	445.00	P151279	0.50	115	11	348	0.008	-0.2	1.80	-2
475.90	476.40	P151293	0.50	105	11	380	0.012	-0.2	1.31	-2
503.00	503.50	P151294	0.50	94	12	476	0.007	-0.2	1.05	-2
528.00	528.50	P151295	0.50	97	12	267	0.017	-0.2	2.42	-2
556.00	556.50	P151298	0.50	102	12	373	0.106	0.20	1.67	-2
592.00	592.50	P151299	0.50	103	11	376	0.027	-0.2	1.38	-2
599.50	600.00	P151300	0.50	136	15	238	0.031	-0.2	2.56	-2
624.50	625.00	P151316	0.50	123	9	256	0.096	-0.2	2.29	-2
646.00	646.50	P151317	0.50	155	11	295	0.034	-0.2	0.83	-2
677.50	678.00	P151318	0.50	147	9	281	0.034	-0.2	0.87	-2
694.00	694.50	P151329	0.50	151	9	251	0.010	-0.2	0.64	-2
700.00	700.50	P151330	0.50	152	12	397	0.005	-0.2	0.65	-2
726.50	727.00	P151331	0.50	113	10	367	0.086	-0.2	1.75	-2
734.00	734.50	P151379	0.50	153	11	200	0.560	0.70	0.72	-2
747.70	748.20	P151380	0.50	108	7	236	0.040	0.30	2.14	-2
760.00	760.50	P151381	0.50	149	11	252	0.033	0.20	0.62	-2
768.00	768.50	P151382	0.50	110	7	259	0.044	0.20	1.91	-2
784.00	784.50	P151383	0.50	138	12	357	0.451	0.30	0.59	-2
806.00	806.50	P151384	0.50	116	7	336	0.032	-0.2	2.44	-2
837.00	837.50	P151395	0.50	117	8	358	0.109	0.30	3.09	-2
863.00	863.50	P151396	0.50	124	11	329	0.068	0.40	2.87	-2
894.50	895.00	P151397	0.50	110	9	325	0.023	0.20	3.66	-2
902.50	903.00	P151402	0.50	161	13	435	0.138	-0.2	1.14	-2
913.00	913.50	P151403	0.50	108	10	418	-0.005	-0.2	2.35	-2

## Géochimie

De	À	Numéro	Longueur	B (ppm)	Ba Econo (ppm)	Be (ppm)	Bi (ppm)	Ca (%)	Cd (ppm)	Co (ppm)
249.50	250.00	P151266	0.50	-10		-0.5	-2	0.94	-0.5	11
276.00	276.50	P151267	0.50	-10		-0.5	-2	1.13	-0.5	19
305.50	306.00	P151268	0.50	-10		-0.5	-2	1.60	-0.5	16
336.00	336.50	P151269	0.50	-10		-0.5	-2	1.74	-0.5	14
363.00	363.50	P151270	0.50	-10		-0.5	-2	0.70	-0.5	16
390.50	391.00	P151277	0.50	-10		-0.5	-2	1.49	-0.5	15
414.50	415.00	P151278	0.50	-10		-0.5	-2	1.24	-0.5	13
444.50	445.00	P151279	0.50	-10		-0.5	-2	0.70	-0.5	18
475.90	476.40	P151293	0.50	-10		-0.5	-2	1.92	-0.5	10
503.00	503.50	P151294	0.50	-10		-0.5	-2	0.64	-0.5	11
528.00	528.50	P151295	0.50	-10		-0.5	-2	1.24	-0.5	16
556.00	556.50	P151298	0.50	-10		-0.5	-2	1.15	-0.5	17
592.00	592.50	P151299	0.50	-10		-0.5	-2	0.93	-0.5	20
599.50	600.00	P151300	0.50	-10		-0.5	2	1.44	-0.5	25
624.50	625.00	P151316	0.50	-10		-0.5	-2	0.93	-0.5	15
646.00	646.50	P151317	0.50	-10		-0.5	-2	0.89	-0.5	5
677.50	678.00	P151318	0.50	-10		-0.5	-2	0.68	-0.5	9
694.00	694.50	P151329	0.50	-10		-0.5	-2	0.66	-0.5	1
700.00	700.50	P151330	0.50	-10		-0.5	-2	0.94	-0.5	1
726.50	727.00	P151331	0.50	-10		-0.5	-2	0.94	-0.5	8
734.00	734.50	P151379	0.50	-10		-0.5	-2	1.00	1.0	5
747.70	748.20	P151380	0.50	-10		-0.5	-2	0.85	-0.5	1
760.00	760.50	P151381	0.50	-10		-0.5	-2	1.22	-0.5	13
768.00	768.50	P151382	0.50	-10		-0.5	-2	1.06	-0.5	12
784.00	784.50	P151383	0.50	-10		-0.5	-2	3.12	-0.5	4
806.00	806.50	P151384	0.50	-10		-0.5	-2	0.85	-0.5	14
837.00	837.50	P151395	0.50	-10		-0.5	-2	1.24	-0.5	19
863.00	863.50	P151396	0.50	-10		-0.5	-2	2.07	-0.5	8
894.50	895.00	P151397	0.50	-10		-0.5	-2	1.87	-0.5	5
902.50	903.00	P151402	0.50	-10		-0.5	2	0.21	-0.5	34
913.00	913.50	P151403	0.50	140		-0.5	-2	1.62	-0.5	5



Géochimie

De	À	Numéro	Longueur	Cr (ppm)	Cu (ppm)	Fe (%)	Ga (ppm)	Hg (ppm)	K (%)	La (ppm)
249.50	250.00	P151266	0.50	102	47	2.01	10	-1	0.69	10
276.00	276.50	P151267	0.50	154	19	3.64	10	-1	1.37	10
305.50	306.00	P151268	0.50	130	23	3.03	10	-1	0.65	10
336.00	336.50	P151269	0.50	99	29	2.70	10	-1	0.40	20
363.00	363.50	P151270	0.50	96	42	2.72	10	-1	0.21	20
390.50	391.00	P151277	0.50	125	18	2.17	10	-1	0.86	10
414.50	415.00	P151278	0.50	78	8	2.20	10	1	0.18	10
444.50	445.00	P151279	0.50	89	23	2.73	10	-1	0.41	10
475.90	476.40	P151293	0.50	89	6	1.86	10	-1	0.07	10
503.00	503.50	P151294	0.50	136	19	1.83	-10	-1	0.44	10
528.00	528.50	P151295	0.50	177	32	2.85	10	-1	0.73	10
556.00	556.50	P151298	0.50	107	78	2.61	10	-1	0.38	10
592.00	592.50	P151299	0.50	84	2	2.47	10	-1	0.06	10
599.50	600.00	P151300	0.50	91	3	4.29	10	-1	1.04	10
624.50	625.00	P151316	0.50	27	6	2.72	10	-1	0.49	10
646.00	646.50	P151317	0.50	8	3	1.97	-10	-1	0.21	10
677.50	678.00	P151318	0.50	7	5	1.45	-10	-1	0.37	10
694.00	694.50	P151329	0.50	6	2	0.75	-10	-1	0.13	10
700.00	700.50	P151330	0.50	8	5	1.49	-10	-1	0.07	20
726.50	727.00	P151331	0.50	63	102	4.70	10	-1	0.74	10
734.00	734.50	P151379	0.50	7	325	2.60	-10	-1	0.20	10
747.70	748.20	P151380	0.50	104	110	3.15	10	-1	1.00	10
760.00	760.50	P151381	0.50	10	10	1.84	-10	-1	0.33	10
768.00	768.50	P151382	0.50	97	8	2.94	10	-1	0.97	10
784.00	784.50	P151383	0.50	7	3	2.08	-10	-1	0.10	10
806.00	806.50	P151384	0.50	107	36	3.35	10	-1	1.44	10
837.00	837.50	P151395	0.50	82	192	3.88	10	-1	1.32	10
863.00	863.50	P151396	0.50	127	84	3.36	10	-1	0.26	10
894.50	895.00	P151397	0.50	110	79	2.80	10	-1	0.99	10
902.50	903.00	P151402	0.50	10	8	2.31	-10	-1	0.54	10
913.00	913.50	P151403	0.50	98	2	2.18	10	-1	0.44	10

## Géochimie

De	À	Numéro	Longueur	Mg (%)	Mn (ppm)	Mo (ppm)	Na (%)	Ni (ppm)	P (ppm)	Pb (ppm)
249.50	250.00	P151266	0.50	1.25	158	-1	0.15	50	450	-2
276.00	276.50	P151267	0.50	2.56	423	-1	0.11	98	410	-2
305.50	306.00	P151268	0.50	2.00	389	-1	0.10	82	420	-2
336.00	336.50	P151269	0.50	1.68	565	-1	0.13	75	730	2
363.00	363.50	P151270	0.50	1.42	173	-1	0.10	67	880	-2
390.50	391.00	P151277	0.50	1.49	358	-1	0.14	73	420	-2
414.50	415.00	P151278	0.50	1.35	407	-1	0.08	51	390	-2
444.50	445.00	P151279	0.50	1.72	338	-1	0.09	71	720	-2
475.90	476.40	P151293	0.50	1.17	420	-1	0.12	51	580	-2
503.00	503.50	P151294	0.50	0.97	168	-1	0.12	48	510	-2
528.00	528.50	P151295	0.50	1.92	347	-1	0.15	88	490	4
556.00	556.50	P151298	0.50	1.32	251	-1	0.15	77	520	2
592.00	592.50	P151299	0.50	1.18	311	-1	0.12	74	500	-2
599.50	600.00	P151300	0.50	1.46	421	-1	0.19	61	700	-2
624.50	625.00	P151316	0.50	0.98	292	-1	0.17	29	400	2
646.00	646.50	P151317	0.50	0.53	138	-1	0.10	6	500	2
677.50	678.00	P151318	0.50	0.60	200	-1	0.08	9	310	2
694.00	694.50	P151329	0.50	0.38	101	-1	0.06	9	380	-2
700.00	700.50	P151330	0.50	0.37	175	-1	0.05	4	410	-2
726.50	727.00	P151331	0.50	1.41	431	5	0.09	36	470	-2
734.00	734.50	P151379	0.50	0.47	145	9	0.08	4	420	15
747.70	748.20	P151380	0.50	1.56	332	3	0.12	57	370	-2
760.00	760.50	P151381	0.50	0.35	186	1	0.06	9	450	-2
768.00	768.50	P151382	0.50	1.41	383	1	0.13	60	380	-2
784.00	784.50	P151383	0.50	0.39	221	-1	0.07	5	450	8
806.00	806.50	P151384	0.50	1.58	356	1	0.14	65	390	-2
837.00	837.50	P151395	0.50	1.48	388	-1	0.19	63	480	2
863.00	863.50	P151396	0.50	1.98	631	-1	0.12	66	820	10
894.50	895.00	P151397	0.50	1.47	250	-1	0.23	72	560	2
902.50	903.00	P151402	0.50	0.58	179	7	0.07	7	490	8
913.00	913.50	P151403	0.50	1.05	307	-1	0.17	67	520	-2

## Géochimie

De	À	Numéro	Longueur	S (%)	Sb (ppm)	Sc (ppm)	Th (ppm)	Sr Econo (ppm)	Ti (%)	Ti (ppm)
249.50	250.00	P151266	0.50	-0.01	-2	5	-20		0.12	-10
276.00	276.50	P151267	0.50	-0.01	-2	10	-20		0.20	-10
305.50	306.00	P151268	0.50	0.01	-2	7	-20		0.18	-10
336.00	336.50	P151269	0.50	0.16	-2	5	-20		0.17	-10
363.00	363.50	P151270	0.50	0.14	-2	6	-20		0.18	-10
390.50	391.00	P151277	0.50	0.04	2	5	-20		0.15	-10
414.50	415.00	P151278	0.50	0.04	-2	5	-20		0.17	-10
444.50	445.00	P151279	0.50	0.19	-2	6	-20		0.18	-10
475.90	476.40	P151293	0.50	0.02	-2	4	-20		0.14	-10
503.00	503.50	P151294	0.50	0.02	-2	3	-20		0.13	-10
528.00	528.50	P151295	0.50	0.09	-2	6	-20		0.19	-10
556.00	556.50	P151298	0.50	0.44	-2	6	-20		0.13	-10
592.00	592.50	P151299	0.50	0.65	-2	4	-20		0.09	-10
599.50	600.00	P151300	0.50	1.94	-2	9	-20		0.18	-10
624.50	625.00	P151316	0.50	1.15	-2	3	-20		0.05	-10
646.00	646.50	P151317	0.50	1.14	-2	1	-20		0.02	-10
677.50	678.00	P151318	0.50	0.78	-2	1	-20		0.03	-10
694.00	694.50	P151329	0.50	0.16	2	1	-20		0.01	-10
700.00	700.50	P151330	0.50	0.05	2	1	-20		0.05	-10
726.50	727.00	P151331	0.50	0.11	-2	5	-20		0.18	-10
734.00	734.50	P151379	0.50	1.37	-2	1	-20		0.06	-10
747.70	748.20	P151380	0.50	0.06	-2	8	-20		0.18	-10
760.00	760.50	P151381	0.50	1.00	-2	1	-20		0.03	-10
768.00	768.50	P151382	0.50	0.26	-2	7	-20		0.14	-10
784.00	784.50	P151383	0.50	1.17	-2	1	-20		0.01	-10
806.00	806.50	P151384	0.50	0.27	-2	8	-20		0.20	-10
837.00	837.50	P151395	0.50	0.48	2	8	-20		0.20	-10
863.00	863.50	P151396	0.50	0.24	-2	8	-20		0.19	-10
894.50	895.00	P151397	0.50	0.04	-2	7	-20		0.17	-10
902.50	903.00	P151402	0.50	1.01	-2	2	-20		0.06	-10
913.00	913.50	P151403	0.50	0.10	-2	3	-20		0.18	-10

## Géochimie

De	À	Numéro	Longueur	U (ppm)	V (ppm)	W (ppm)	Zn (ppm)
249.50	250.00	P151266	0.50	-10	56	-10	36
276.00	276.50	P151267	0.50	-10	83	-10	77
305.50	306.00	P151268	0.50	-10	66	-10	62
336.00	336.50	P151269	0.50	-10	59	-10	157
363.00	363.50	P151270	0.50	-10	73	-10	65
390.50	391.00	P151277	0.50	-10	53	-10	55
414.50	415.00	P151278	0.50	-10	52	-10	51
444.50	445.00	P151279	0.50	-10	68	-10	69
475.90	476.40	P151293	0.50	-10	46	-10	28
503.00	503.50	P151294	0.50	-10	50	-10	22
528.00	528.50	P151295	0.50	-10	71	-10	50
556.00	556.50	P151298	0.50	-10	58	-10	35
592.00	592.50	P151299	0.50	-10	45	-10	35
599.50	600.00	P151300	0.50	-10	85	-10	42
624.50	625.00	P151316	0.50	-10	26	-10	24
646.00	646.50	P151317	0.50	-10	8	-10	21
677.50	678.00	P151318	0.50	-10	6	-10	13
694.00	694.50	P151329	0.50	-10	4	-10	12
700.00	700.50	P151330	0.50	-10	7	-10	21
726.50	727.00	P151331	0.50	-10	79	-10	60
734.00	734.50	P151379	0.50	-10	9	-10	75
747.70	748.20	P151380	0.50	-10	69	-10	50
760.00	760.50	P151381	0.50	-10	6	-10	25
768.00	768.50	P151382	0.50	-10	62	-10	56
784.00	784.50	P151383	0.50	-10	4	-10	28
806.00	806.50	P151384	0.50	-10	71	-10	43
837.00	837.50	P151395	0.50	-10	76	-10	48
863.00	863.50	P151396	0.50	-10	78	-10	59
894.50	895.00	P151397	0.50	-10	60	-10	38
902.50	903.00	P151402	0.50	-10	9	-10	43
913.00	913.50	P151403	0.50	-10	47	-10	37

MAUDORE MINERALS Ltd

Sondage :	COM-12-897	Titre minier :	5135758	Section :	G1800E
		Canton :	Comtois	Niveau :	Surface
		Rang :	VIII	Place de travail :	Lebel-sur-Quévillon
Foré par :	Forages M. Rouillier Inc	Lot :	38		
Décrit par :	JG. Merdy	Du :	2012-05-08	Date de description :	2012-06-22
		Au :	2012-06-12		

Collet

			UTM	Locales	GREER
Azimut :	330.00°	Est	340 258.69	1 703.18	1 801.21
Plongée :	-46.00°	Nord	5 442 372.70	-888.47	1 152.35
Longueur :	516.00 m	Élévation	286.79	286.79	286.79

Déviations

Type	Profondeur	Azimut	Plongée	Invalide	Description
Reflex	0.00	330.00°	-46.00°	Non	
Reflex	18.00	343.60°	-44.20°	Oui	63736
Reflex	21.00	334.90°	-45.20°	Oui	46799
Reflex	24.00	331.00°	-45.50°	Oui	60996
Reflex	27.00	353.50°	-46.10°	Oui	19453
Reflex	30.00	342.10°	-46.10°	Oui	46133
Reflex	33.00	334.60°	-46.00°	Oui	40765
Reflex	36.00	346.70°	-45.60°	Oui	33974
Reflex	39.00	330.80°	-45.70°	Oui	58988
Reflex	42.00	328.40°	-45.70°	Non	55750
Reflex	45.00	328.50°	-45.70°	Non	55374
Reflex	48.00	328.60°	-45.70°	Non	55185

Description

COM-12-897PR à partir de 364m (foré par Orbit 94). Position collet, arpenté Juin 2012, par Descarreaux & Dubé.



Dimension de la carotte : Carotte NQ      Cimenté : Non      Entrepris : Oui

MAUDORE MINERALS Ltd

AC

Déviations

Type	Profondeur	Azimut	Plongée	Invalide	Description
Reflex	51.00	328.70°	-45.70°	Non	55128
Reflex	54.00	328.50°	-45.70°	Non	55103
Reflex	57.00	328.50°	-45.60°	Non	55071
Reflex	60.00	328.50°	-45.50°	Non	55061
Reflex	63.00	328.50°	-45.40°	Non	55039
Reflex	66.00	328.70°	-45.20°	Non	54998
Reflex	69.00	328.70°	-45.10°	Non	54982
Reflex	72.00	328.70°	-44.90°	Non	54932
Reflex	75.00	328.00°	-44.80°	Non	54818
Reflex	78.00	328.30°	-44.60°	Non	55006
Reflex	81.00	327.70°	-44.60°	Non	54878
Reflex	84.00	328.20°	-44.40°	Non	55020
Reflex	87.00	328.40°	-44.20°	Non	54982
Reflex	90.00	328.60°	-44.00°	Non	55145
Reflex	93.00	328.90°	-43.80°	Non	54873
Reflex	96.00	328.80°	-43.80°	Non	55037
Reflex	99.00	328.70°	-43.80°	Non	55069
Reflex	102.00	328.80°	-43.70°	Non	55034
Reflex	105.00	328.60°	-43.70°	Non	55044
Reflex	108.00	328.70°	-43.60°	Non	55053
Reflex	111.00	328.50°	-43.50°	Non	55111
Reflex	114.00	328.80°	-43.50°	Non	55048
Reflex	117.00	328.90°	-43.40°	Non	55105
Reflex	120.00	327.80°	-43.30°	Non	55048
Reflex	123.00	328.80°	-43.20°	Non	55092
Reflex	126.00	328.20°	-43.10°	Non	55126
Reflex	129.00	327.60°	-43.10°	Non	55214
Reflex	132.00	328.30°	-43.10°	Non	55015
Reflex	135.00	327.50°	-43.10°	Non	55104
Reflex	138.00	328.50°	-43.00°	Non	55276
Reflex	141.00	328.50°	-43.00°	Non	55144
Reflex	144.00	328.80°	-42.90°	Non	55107
Reflex	147.00	328.70°	-42.80°	Non	55118
Reflex	150.00	328.70°	-42.70°	Non	55135

AC

Déviations

Type	Profondeur	Azimat	Plongée	Invalide	Description
Reflex	153.00	328.70°	-42.60°	Non	55083
Reflex	156.00	328.50°	-42.60°	Non	55083
Reflex	159.00	328.70°	-42.60°	Non	55067
Reflex	162.00	328.50°	-42.50°	Non	55077
Reflex	165.00	328.50°	-42.50°	Non	55036
Reflex	168.00	328.40°	-42.50°	Non	55074
Reflex	171.00	328.50°	-42.50°	Non	55107
Reflex	174.00	328.70°	-42.40°	Non	55052
Reflex	177.00	328.40°	-42.40°	Non	55014
Reflex	180.00	328.50°	-42.40°	Non	55094
Reflex	183.00	328.60°	-42.40°	Non	55064
Reflex	186.00	328.60°	-42.30°	Non	55103
Reflex	189.00	328.60°	-42.40°	Non	55076
Reflex	192.00	328.40°	-42.30°	Non	55019
Reflex	195.00	328.50°	-42.20°	Non	55047
Reflex	198.00	328.30°	-42.20°	Non	55135
Reflex	201.00	328.20°	-42.20°	Non	55033
Reflex	204.00	328.40°	-42.10°	Non	54897
Reflex	207.00	328.50°	-42.10°	Non	54946
Reflex	210.00	328.60°	-42.00°	Non	55042
Reflex	213.00	328.60°	-42.00°	Non	55023
Reflex	216.00	328.50°	-42.00°	Non	55009
Reflex	219.00	328.40°	-42.00°	Non	55011
Reflex	222.00	328.60°	-41.90°	Non	55024
Reflex	225.00	328.70°	-41.90°	Non	55052
Reflex	228.00	328.60°	-41.80°	Non	55010
Reflex	231.00	328.60°	-41.80°	Non	55006
Reflex	234.00	328.60°	-41.80°	Non	54998
Reflex	237.00	328.60°	-41.70°	Non	55005
Reflex	240.00	328.60°	-41.70°	Non	55004
Reflex	243.00	328.50°	-41.60°	Non	55025
Reflex	246.00	328.60°	-41.60°	Non	55035
Reflex	249.00	328.10°	-41.50°	Non	54940
Reflex	252.00	328.30°	-41.50°	Non	54915

MAUDORE MINERALS Ltd

AC

Déviations

Type	Profondeur	Azimut	Plongée	Invalide	Description
Reflex	255.00	328.50°	-41.50°	Non	54871
Reflex	258.00	327.90°	-41.40°	Non	55064
Reflex	261.00	328.40°	-41.40°	Non	54937
Reflex	264.00	327.90°	-41.40°	Non	54575
Reflex	267.00	328.20°	-41.30°	Non	55006
Reflex	270.00	328.50°	-41.30°	Non	54986
Reflex	273.00	328.80°	-41.30°	Non	55031
Reflex	276.00	328.60°	-41.30°	Non	55040
Reflex	279.00	328.70°	-41.30°	Non	54942
Reflex	282.00	328.80°	-41.30°	Non	55079
Reflex	285.00	328.60°	-41.30°	Non	55039
Reflex	288.00	328.60°	-41.30°	Non	55157
Reflex	291.00	329.00°	-41.20°	Non	55000
Reflex	294.00	328.20°	-41.00°	Non	54968
Reflex	297.00	328.90°	-40.70°	Non	55034
Reflex	300.00	328.90°	-40.70°	Non	55082
Reflex	303.00	328.80°	-40.50°	Non	55096
Reflex	306.00	328.90°	-40.40°	Non	55086
Reflex	309.00	328.80°	-40.40°	Non	55101
Reflex	312.00	328.60°	-40.30°	Non	55190
Reflex	315.00	329.10°	-40.20°	Non	55068
Reflex	318.00	329.10°	-40.20°	Non	55106
Reflex	321.00	329.00°	-40.10°	Non	55162
Reflex	324.00	329.20°	-40.00°	Non	55074
Reflex	327.00	328.90°	-40.00°	Non	55088
Reflex	330.00	329.10°	-39.90°	Non	55086
Reflex	333.00	329.00°	-39.80°	Non	55040
Reflex	336.00	328.80°	-39.80°	Non	55033
Reflex	339.00	328.50°	-39.70°	Non	55110
Reflex	342.00	328.60°	-39.70°	Non	55095
Reflex	345.00	329.50°	-39.60°	Non	55112
Reflex	348.00	328.70°	-39.50°	Non	54938
Reflex	351.00	329.10°	-39.40°	Non	54948
Reflex	354.00	328.80°	-39.30°	Non	54903



MAUDORE MINERALS Ltd

AK

Déviation

Type	Profondeur	Azimut	Plongée	Invalide	Description
Reflex	357.00	329.10°	-39.30°	Non	54863
Reflex	360.00	329.20°	-39.20°	Non	54938
Reflex	363.00	329.50°	-39.20°	Non	54989
Reflex	366.00	329.50°	-39.20°	Non	55030
Reflex	369.00	329.30°	-39.20°	Non	54970
Reflex	372.00	329.60°	-39.20°	Non	54951
Reflex	375.00	330.00°	-39.30°	Non	54994
Reflex	378.00	329.80°	-39.20°	Non	55056
Reflex	381.00	330.00°	-39.10°	Non	55015
Reflex	384.00	330.10°	-39.10°	Non	55047
Reflex	387.00	329.80°	-39.00°	Non	54978
Reflex	390.00	329.30°	-39.30°	Oui	55014
Reflex	393.00	329.50°	-39.00°	Non	54947
Reflex	396.00	328.70°	-39.00°	Non	54728
Reflex	399.00	329.40°	-38.90°	Non	54948
Reflex	402.00	329.60°	-38.90°	Non	55067
Reflex	405.00	329.00°	-38.80°	Non	55060
Reflex	408.00	329.00°	-38.70°	Non	54845
Reflex	411.00	329.00°	-38.70°	Non	55165
Reflex	414.00	329.20°	-38.60°	Non	55167
Reflex	417.00	329.50°	-38.60°	Non	55218
Reflex	420.00	329.60°	-38.50°	Non	54952
Reflex	423.00	328.10°	-38.50°	Oui	54937
Reflex	426.00	329.60°	-38.50°	Non	54984
Reflex	429.00	329.70°	-38.40°	Non	55078
Reflex	432.00	329.60°	-38.30°	Non	54958
Reflex	435.00	329.60°	-38.30°	Non	54997
Reflex	438.00	329.70°	-38.30°	Non	54994
Reflex	441.00	329.50°	-38.20°	Non	54981
Reflex	444.00	327.80°	-39.80°	Oui	54966
Reflex	447.00	329.50°	-38.20°	Non	54984
Reflex	450.00	329.60°	-38.20°	Non	54978
Reflex	453.00	329.70°	-38.20°	Non	55030
Reflex	456.00	330.10°	-38.10°	Non	55028

AC

Déviations

Type	Profondeur	Azimet	Plongée	Invalide	Description
Reflex	459.00	330.60°	-38.10°	Non	55392
Reflex	462.00	327.40°	-38.00°	Non	54562
Reflex	465.00	323.10°	-37.90°	Oui	52117
Reflex	468.00	331.20°	-37.90°	Non	54646
Reflex	471.00	330.10°	-37.90°	Non	54830
Reflex	474.00	329.30°	-37.80°	Non	54870
Reflex	477.00	329.30°	-37.70°	Non	55024
Reflex	480.00	327.40°	-37.70°	Oui	54843
Reflex	483.00	328.00°	-37.70°	Non	54966
Reflex	486.00	328.80°	-37.70°	Non	54936
Reflex	489.00	328.40°	-37.60°	Non	54821
Reflex	492.00	328.20°	-37.60°	Non	54739
Reflex	495.00	323.10°	-37.50°	Oui	56518
Reflex	498.00	330.30°	-37.50°	Oui	55265
Reflex	501.00	323.00°	-37.50°	Oui	55628
Reflex	504.00	328.50°	-37.40°	Non	55471
Reflex	507.00	328.70°	-37.50°	Non	55021
Reflex	510.00	329.30°	-37.40°	Non	55051
Reflex	513.00	329.50°	-37.40°	Non	55307
Reflex	516.00	329.20°	-37.40°	Non	55107

MAUDORE MINERALS Ltd

AC

Description			Analyse							
			De	À	Numéro	Longueur	Au_Final (g/t)	Ag_Final (ppm)	Cu_Final (ppm)	Zn_Final (ppm)
0.00	33.00	MT Mort Terrain Casing								
33.00	349.80	V2-V3; TI Volcanite intermédiaire à mafique; Tuf à lapillis Roche volcanique intermédiaire à mafique, à lapillis de taille variable, millimétriques à pluri-cm Teinte généralement gris-verdâtre Matrice à grains fins de couleur gris moyen à foncé, verdâtre. Foliation forte entre 55-60 deg AC marquée par un fort rubanement produit par l'alternance de bandes (clastes) mm à cm blanchâtres-verdâtres-brunâtres et par la présence de veinules de carbonates et d'hématite. Pas de clastes avant 55.2 (texture bréchique, altération trop forte), puis globalement 20-25% de clastes étirés dans le sens de la foliation. 5-10% de Vn-Vnl de Cb-Qz-Hm blanches et rouges irrégulières jusqu'à 157m, puis 3-4%. Présence de rares pQz bleus (1-2%) millimétriques à partir de 320m environ.  Structures : De 33-55.2 : V2V3 à texture bréchique avec de nombreuses veinules d'hématite et de calcite orientées dans toutes les directions; présence d'une faille à 46.3 orientée 15deg AC marquée par du sable issu du broyage de la roche. Fracturation généralement forte sur l'ensemble de l'intervalle, avec des blocs anguleux de 1mm-3cm et des lambeaux de carottes de 1-10cm. De 55.2-73 : Fracturation forte, avec des fractures AC, des blocs anguleux de 1mm-3cm et des lambeaux de carottes de 2-15cm. De 86-93 : Fracturation forte avec des fractures AC, des blocs anguleux de 1-3cm et des lambeaux de carottes de 5-25cm. De 114-118 : Fracturation forte, blocs anguleux de 0.5-5cm, lambeaux de carottes de 2-10cm.	47.50	49.00	P153493	1.50	0.030	0.10	36.0	52.0
			49.00	49.50	P151376	0.50	0.002	0.30	49.0	42.0
			49.50	51.00	P153494	1.50	0.010	0.10	79.0	60.0

AC

Description	Analyse							
	De	À	Numéro	Longueur	Au_Final (g/t)	Ag_Final (ppm)	Cu_Final (ppm)	Zn_Final (ppm)
<p>De 142.1-142.2 : Faille marquée par une texture bréchique et de la boue de forage.</p> <p>De 259.1-259.2 : Faille environ 40deg AC marquée par de la roche broyée en sable.</p> <p>De 296-296.2 : Faille environ 45deg AC marquée par de la boue de forage.</p> <p>De 314.3-314.4 : Faille marquée par de la boue de forage.</p> <p>Veines :</p> <p>De 150.1-151 : Amas de veines de Qz-Sr (Cb-Hm) à 25%, non-minéralisé, contact sup net concordant 55degAC, contact inf net irrégulier.</p> <p>De 269.5-270 : Veine à Qz-Cb-Hm, non-minéralisée, contact sup légèrement ondulant net 20deg AC, contact inf net très allongé irrégulier.</p> <p>De 300.8-301 : Veine à Qz, non-minéralisée, contact sup net irrégulier, contact inf fracturé.</p> <p>Altérations :</p> <p>De 33-55.2 : Zone bréchifiée, teinte gris clair, Hm forte en veinules orientées dans toutes les directions, Cb moyen en veinules orientées dans toutes les directions et pervasifs, Si faible pervasive, Ép faible locale en bandes pluri-centimétriques, Chl en traces en clastes et mouchetage de grains millimétriques, Sr en traces en bandes millimétriques.</p> <p>De 55.2-79 : Teinte gris-noir homogène, Si forte pervasive, Bt forte en clastes, Chl moyenne en clastes, Cb moyen en veinules millimétriques et pervasifs, Hm faible à moyen en veinules rouges, Sr en traces en bandes millimétriques.</p> <p>De 79-128.9 : Si forte pervasive et en veines de quartz blanc, Bt et Chl forts en clastes, Pa faible en bandes millimétriques, Cb faible en patchs millimétriques à centimétriques étirés dans le sens de la foliation, Hm en traces en veinules rouges millimétriques, Sr en traces pervasive autour de veinules de Cb.</p> <p>De 128.9-137.8 : Hm forte en veinules millimétriques à centimétriques orientées dans toutes les directions,</p>								

MAUDORE MINERALS Ltd

AC

Description	Analyse							
	De	À	Numéro	Longueur	Au_Final (g/t)	Ag_Final (ppm)	Cu_Final (ppm)	Zn_Final (ppm)
<p>Si moyenne pervasive, Cb faibles veinules millimétriques de Cc blanche, Bt et Chl faibles en clastes millimétriques</p> <p>De 137.8-143.1 : Si forte pervasive et en veines/veinules de Qz blanc, Chl forte en clastes, Bt moyenne en clastes, Pa faible en liserés de micas blancs et bandes millimétriques, Cb faible en patchs étirés dans le sens de la foliation, Hm en traces, Sr en traces.</p> <p>De 143.1-215.5 : Si forte pervasive et en veines/veinules de Qz blanc, Bt et Chl forts en clastes, Pa localement faible en bandes millimétriques et pervasive dans des zones de 20-30cm, Cb faibles (localement moyen) pervasifs et en patchs et veinules millimétriques, Hm en traces (localement moyenne) en veinules millimétriques, Sr en traces.</p> <p>De 215.5-222.2 : Si forte pervasive, Bt et Chl forts en clastes, Cb faibles en veinules millimétriques et patchs pluri-millimétriques étirés dans le sens de la foliation, mouchetage de FK faible (6-10%), Hm en traces en veinules rouges millimétriques.</p> <p>De 222.2-243.1 : Si forte pervasive et en veines/veinules de quartz blanc, Bt et Chl forts en clastes, Pa faible en bandes centimétriques et pervasive dans des zones de 20-30cm, Cb faibles en veinules millimétriques et en patchs étirés dans le sens de la foliation, FK en traces en mouchetage (2-3%)</p> <p>De 243.1-272.4 : Si moyenne pervasive et en veines/veinules de quartz blanc (localement forte), Cb moyens en veines/veinules de calcite blanche, en bandes cm et en patchs étirés dans le sens de la foliation, Ch et Bt faibles en clastes, Pa faible en bandes centimétriques et en zones pervasives de 10-20cm, Hm en traces en veinules rouges millimétriques, FK en traces en mouchetage (1-2%)</p> <p>De 272.4-289.3 : Si forte pervasive, Bt forte en clastes, Chl moyenne en clastes, Pa faible à localement moyenne pervasive et en bandes millimétriques à centimétriques, Cb faibles en patchs étirés dans le sens de la foliation et en veinules</p>								

AC

Description	Analyse							
	De	À	Numéro	Longueur	Au_Final (g/l)	Ag_Final (ppm)	Cu_Final (ppm)	Zn_Final (ppm)
<p>millimétriques, Hm en traces en veinules rouges millimétriques, Ép en traces en fines veinules orientées dans toutes les directions.</p> <p>De 289.3-308.9 : Augmentation du nombre de clastes (40%), Si forte pervasive et en veines/veinules de quartz blanc, Chl et Bt forts en clastes, Pa en traces pervasive, Sr en traces en bandes centimétriques, Cb en traces en patchs étirés selon la foliation, Hm en traces en fines veinules rouges.</p> <p>De 308.9-331 : Bt intense en clastes pluri-centimétriques, Si forte pervasive et en veines/veinules de quartz blanc, Chl forte en clastes, Sr faible en bandes pervasives, Cb faible en patchs millimétriques à pluri-centimétriques étirés dans le sens de la foliation et en fines veinules, Hm faible en veinules rouges de 1mm-1cm, Pa en traces en bandes centimétriques.</p> <p>De 331-352 : Beaucoup moins de clastes (5%), Si forte pervasive, Pa moyenne en bandes millimétriques, Bt moyenne en clastes, Sr moyenne en patchs centimétriques étirés dans le sens de la foliation (fantômes de clastes lessivés ?), Chl faible en bandes millimétriques et clastes, Cb faibles en veinules et patchs millimétriques étirés dans le sens de la foliation, FK faible en mouchetage (irrégulier : alternance zone mouchetée-zone plus massives, env. 3-4%), Hm en traces en fines veinules rouges.</p> <p>Minéralisations :</p> <p>De 161.7-170 : Py 0.5% en alignement de grains (60%) et grains disséminés (40%), inframillimétriques à millimétriques</p> <p>De 185.3-190.1 : Py 0.5% en grains disséminés millimétriques (40%), en alignements de grains millimétriques (40%) et en amas pluri-millimétriques étirés dans le sens de la foliation. Cpy en traces en grains disséminés infra-millimétriques. Po en traces en grains disséminés infra-millimétriques.</p> <p>De 197.1-197.6 : Py et Cpy en traces en grains disséminés infra-millimétriques.</p>								

MAUDORE MINERALS Ltd

Ac

Description	Analyse							
	De	À	Numéro	Longueur	Au_Final (g/t)	Ag_Final (ppm)	Cu_Final (ppm)	Zn_Final (ppm)
<p>De 201-217 : Py en traces en alignements de grains (70%) et en grains disséminés millimétriques (30%).</p> <p>De 239.7-242.6 : Py 0.5% en alignements de grains (80%) et en grains disséminés millimétriques à infra-millimétriques (20%)</p> <p>De 247-268 : Py 0.5-2% en alignements de grains (70%) et en grains disséminés millimétriques à infra-millimétriques (30%). Po en traces en amas pluri-millimétriques.</p> <p>De 272.4-290 : Py en traces en alignements de grains jusqu'à 3mm d'épaisseur (80%) et en grains disséminés infra-millimétriques à millimétriques (20%).</p> <p>De 294-298 : Py 1-2% en alignements de grains de 1mm à 3cm d'épaisseur (70%), en grains disséminés infra-millimétriques à millimétriques (20%) et en fines veinules millimétriques (10%). Cpy en traces en grains disséminés de 1-2mm.</p> <p>De 301-305.9 : Py 0.5% en alignements de grains millimétriques (80%) et en grains disséminés infra-millimétriques (20%). Po en traces en alignements de grains millimétriques.</p> <p>De 311.9-319.9 : Py 0.5% en alignements de grains millimétriques (60%) et en grains disséminés infra-millimétriques à millimétriques (40%). Cpy en traces en alignements de grains millimétriques (50%) et en grains disséminés de 1-2mm (50%).</p> <p>De 324.4-326.7 : Py en traces en alignements de grains (60%) et en grains disséminés infra-millimétriques (40%).</p> <p>Excepté :</p> <p>298.2-298.9 : I3; FIN</p> <p>305.9-307 : I2; pFpAm</p> <p>323.5-324.6 : I1G</p> <p>326.7-330.9 : I3; FIN</p> <p>340.6-341.1 : I1G</p> <p>345.6-347.4 : I1F</p> <p>Contact sup non intercepté</p> <p>Contact inf diffus</p>								

MAUDORE MINERALS Ltd

AC

Description			Analyse							
			De	À	Numéro	Longueur	Au_Final (g/t)	Ag_Final (ppm)	Cu_Final (ppm)	Zn_Final (ppm)
33.00	55.20	HM+; CB; SIL-; EP-; Chlr; SRtr Hématisation forte; Carbonatation; Silicification faible; Épidotisation faible; Chloritisation tr; Séricitisation tr Zone bréchifiée, teinte gris clair, Hm forte en veinules orientées dans toutes les directions, Cb moyen en veinules orientées dans toutes les directions et pervasifs, Si faible pervasive, Ép faible locale en bandes pluri-centimétriques, Chl en traces en clastes et en mouchetage de grains millimétriques, Sr en traces en bandes millimétriques.								
33.00	55.20	BRE; FAI; FRC+ Bréchique; Faille; Fracturation forte V2V3 à texture bréchique avec de nombreuses veinules d'hématite et de calcite orientées dans toutes les directions; présence d'une faille à 46.3 orientée 15deg AC marquée par du sable issu du broyage de la roche. Fracturation généralement forte sur l'ensemble de l'intervalle, avec des blocs anguleux de 1mm-3cm et des lambeaux de carottes de 1-10cm.								
55.20	79.00	SIL+; BO+; Chl; CB; HM-; SRtr Silicification forte; Biotisation forte; Chloritisation; Carbonatation; Hématisation faible; Séricitisation tr Si forte pervasive, Bt forte en clastes, Chl moyenne en clastes, Cb moyen en veinules millimétriques et pervasifs, Hm faible à moyen en veinules rouges, Sr en traces en bandes millimétriques.	61.00	62.50	P153495	1.50	0.010	0.10	20.0	60.0
			62.50	64.00	P153496	1.50	0.005	0.10	8.0	60.0
			64.00	65.50	P153497	1.50	0.005	0.10	111.0	52.0
			70.10	71.10	P153498	1.00	0.010	0.10	6.0	44.0
			71.10	72.10	P153499	1.00	0.005	0.10	9.0	42.0
			72.10	73.10	P153500	1.00	0.005	0.10	1.8	42.5
			78.50	80.00	P153501	1.50	0.005	0.10	29.0	44.0
55.20	73.00	FRC+								



MAUDORE MINERALS Ltd

AC

Description			Analyse							
			De	À	Numéro	Longueur	Au_Final (g/t)	Ag_Final (ppm)	Cu_Final (ppm)	Zn_Final (ppm)
79.00	128.90	<b>Fracturation forte</b> Fracturation forte, avec des fractures AC, des blocs anguleux de 1mm-3cm et des lambeaux de carottes de 2-15cm.	80.00	80.50	P151377	0.50	0.002	0.30	66.0	39.0
			80.50	82.00	P153502	1.50	0.005	0.10	29.0	43.0
86.00	93.00	<b>Fracturation forte</b> Fracturation forte avec des fractures AC, des blocs anguleux de 1-3cm et des lambeaux de carottes de 5-25cm.	92.00	93.50	P153503	1.50	0.005	0.10	18.0	47.0
			93.50	95.00	P153505	1.50	0.005	0.10	17.0	59.0
			95.00	96.50	P153506	1.50	0.005	0.10	33.0	58.0
			96.50	98.00	P153507	1.50	0.005	0.20	9.0	62.0
			109.80	111.30	P153508	1.50	0.010	0.10	48.0	57.0
			111.30	111.80	P151378	0.50	0.002	0.20	32.0	52.0
			111.80	113.30	P153509	1.50	0.010	0.20	76.0	51.0
			114.00	118.00	FRC+	125.50	127.00	P153510	1.50	0.005
114.00	118.00	<b>Fracturation forte</b> Fracturation forte, blocs anguleux de 0.5-5cm, lambeaux de carottes de 2-10cm.	127.00	128.50	P153511	1.50	0.005	0.10	46.0	59.0
			128.50	130.00	P153512	1.50	0.020	0.10	69.0	54.0
128.90	137.80	HM+; SIL; CB-; BO-; Chl- <b>Hématisation forte; Silicification;</b> <b>Carbonatation faible; Blotisation faible; Chloritisation faible</b> Hm forte en veinules millimétriques à centimétriques orientées dans toutes les directions, Si moyenne pervasive, Cb								

MAUDORE MINERALS Ltd

AC

Description		Analyse										
		De	À	Numéro	Longueur	Au_Final (g/l)	Ag_Final (ppm)	Cu_Final (ppm)	Zn_Final (ppm)			
137.80	143.10	faibles veinules millimétriques de Cc blanche, Bt et Chl faibles en clastes millimétriques										
		SIL+; Chl+; BO; PA; CB-; HMtr; SRtr	141.60	143.10	P153513	1.50	0.010	0.10	75.0	75.0		
		Silicification forte; Chloritisation forte; Biotitisation; Paragonite; Carbonatation faible; Hématitisation tr; Séricitisation tr										
		Si forte pervasive et en veines/veinules de Qz blanc, Chl forte en clastes, Bt moyenne en clastes, Pa faible en liserés de micas blancs et bandes millimétriques, Cb faible en patchs étirés dans le sens de la foliation, Hm en traces, Sr en traces.										
142.10	142.20	FAI; BRE										
		<b>Faille; Bréchique</b>										
		Faille marquée par une texture bréchique et de la boue de forage.										
143.10	215.50	SIL+; BO+; Chl+; PA-; CB-; HMtr; SRtr		143.10	143.60	P151400	0.50	0.016	0.20	73.0	59.0	
		Silicification forte; Biotitisation forte; Chloritisation forte;		143.60	145.10	P153514	1.50	0.010	0.30	25.0	51.0	
		Paragonite faible; Carbonatation faible; Hématitisation tr;		145.10	146.60	P153515	1.50	0.008	0.15	9.0	52.0	
		Séricitisation tr		146.60	148.10	P153516	1.50	0.020	0.20	43.0	56.0	
		Si forte pervasive et en veines/veinules de Qz blanc, Bt et Chl forts en clastes,		148.10	149.60	P153517	1.50	0.030	0.30	64.0	56.0	
		Pa localement faible en bandes millimétriques et pervasive dans des zones de 20-30cm, Cb faibles (localement moyen) pervasifs et en patchs et veinules millimétriques, Hm en traces (localement moyenne) en veinules millimétriques, Sr en traces.		149.60	151.00	P153518	1.40	0.020	0.20	61.0	46.0	
150.10	151.00	AMA;25%;Qz Sr;;; Amas 25% Quartz Séricite		161.40	162.40	P153519	1.00	0.050	0.30	133.0	72.0	
		Amas de veines de Qz-Sr (Cb-Hm) à 25%, non-minéralisé, contact sup net										

MAUDORE MINERALS Ltd

AC

Description			Analyse							
			De	À	Numéro	Longueur	Au_Final (g/t)	Ag_Final (ppm)	Cu_Final (ppm)	Zn_Final (ppm)
161.70	170.00	concordant 55degAC, contact inf nel irrégulier.								
		Py00.5	162.40	163.40	P153520	1.00	0.020	0.10	28.0	80.0
		<b>Pyrite 0.5%</b>	163.40	164.40	P153522	1.00	0.010	0.20	22.0	61.0
		Py 0.5% en alignement de grains (60%) et grains disséminés (40%),	164.40	165.50	P153523	1.10	0.020	0.10	62.0	57.0
		inframillimétriques à millimétriques	165.50	166.00	P153525	0.50	0.020	0.25	18.5	78.0
			166.00	167.00	P153526	1.00	0.050	0.20	54.0	148.0
			167.00	168.10	P153527	1.10	0.005	0.20	23.0	178.0
			168.10	169.10	P153528	1.00	0.010	0.10	44.0	150.0
			169.10	169.60	P153529	0.50	0.320	1.20	426.0	48.0
			169.60	170.60	P153531	1.00	0.020	0.30	71.0	57.0
			173.70	175.20	P153532	1.50	0.005	0.10	5.0	45.0
			175.20	175.70	P151401	0.50	0.009	0.10	7.0	56.0
			175.70	177.20	P153533	1.50	0.035	0.10	12.0	57.0
			184.00	185.00	P153534	1.00	0.020	0.20	68.0	84.0
			185.00	186.00	P153535	1.00	0.008	0.15	13.5	80.0
185.30	190.10	Py00.5; Cptr; Potr	186.00	187.00	P153536	1.00	0.020	0.10	33.0	132.0
		<b>Pyrite 0.5%; Chalcopyrite tr;</b>	187.00	187.70	P153538	0.70	0.020	0.20	77.0	195.0
		<b>Pyrrholine tr</b>	187.70	188.20	P153539	0.50	0.020	0.40	62.0	239.0
		Py 0.5% en grains disséminés	188.20	188.70	P153540	0.50	0.120	0.30	83.0	158.0
		millimétriques (40%), en alignements de	188.70	189.50	P153542	0.80	0.060	0.50	42.0	234.0
		grains millimétriques (40%) et en amas	189.50	190.00	P153543	0.50	0.010	0.10	12.0	59.0
		pluri-millimétriques étirés dans le sens de	190.00	191.00	P153544	1.00	0.020	0.20	38.0	61.0
		la foliation. Cpy en traces en grains	196.10	197.10	M105977	1.00	0.010	0.10	25.0	47.0
disséminés infra-millimétriques. Po en										
traces en grains disséminés										
infra-millimétriques.										
197.10	197.60	Pytr; Cptr	197.10	197.60	M105978	0.50	0.010	0.10	19.0	49.0
		<b>Pyrite tr; Chalcopyrite tr</b>	197.60	198.60	M105981	1.00	0.010	0.10	4.0	55.5
		Py et Cpy en traces en grains	200.90	201.90	P153545	1.00	0.010	0.10	55.0	75.0
		disséminés infra-millimétriques.								
201.00	217.00	Pytr	201.90	203.40	P153546	1.50	0.020	0.30	115.0	68.0
		<b>Pyrite tr</b>	203.40	203.90	P151407	0.50	0.005	0.10	29.0	66.0
		Py en traces en alignements de grains	203.90	205.40	P153547	1.50	0.010	0.10	17.0	71.0
		(70%) et en grains disséminés	205.40	206.40	P153548	1.00	0.020	0.10	41.0	69.0
		millimétriques (30%).								

MAUDORE MINERALS Ltd

AC

Description			Analyse							
			De	À	Numéro	Longueur	Au_Final (g/l)	Ag_Final (ppm)	Cu_Final (ppm)	Zn_Final (ppm)
215.50	222.20	SIL+; BO+; Chl+; CB-; Fk-; HMtr Silicification forte; Blotisation forte; Chloritisation forte; Carbonatation faible; Feldspath potassique -; Hématitisation tr Si forte pervasive, Bt et Chl forts en clastes, Cb faibles en veinules millimétriques et patches pluri-millimétriques étirés dans le sens de la foliation, mouchetage de FK faible (5-10%), Hm en traces en veinules rouges millimétriques.	206.40	207.00	P153549	0.60	0.040	0.20	124.0	73.0
			207.00	208.00	P153585	1.00	0.020	0.10	78.0	61.0
			208.00	209.50	P153550	1.50	0.008	0.10	26.5	67.0
			209.50	211.00	P153551	1.50	0.030	0.20	51.0	104.0
			211.00	212.50	P153552	1.50	0.040	0.10	42.0	112.0
			212.50	214.00	P153553	1.50	0.025	0.10	46.5	118.5
			214.00	215.50	P153554	1.50	0.010	0.20	58.0	65.0
			215.50	217.00	P153555	1.50	0.010	0.10	28.0	59.0
222.20	243.10	SIL+; BO+; Chl+; PA-; CB-; Fktr Silicification forte; Blotisation forte; Chloritisation forte; Paragonite faible; Carbonatation faible; Feldspath potassique tr Si forte pervasive et en veines/veinules de quartz blanc, Bt et Chl forts en clastes, Pa faible en bandes centimétriques et pervasive dans des zones de 20-30cm, Cb faibles en veinules millimétriques et en patches étirés dans le sens de la foliation, FK en traces en mouchetage (2-3%)	229.10	230.60	P153556	1.50	0.005	0.10	34.0	47.0
			230.60	231.10	P151408	0.50	0.002	0.10	31.0	54.0
			231.10	232.60	P153557	1.50	0.010	0.20	43.0	74.0
			239.60	240.60	P153558	1.00	0.010	0.20	37.0	69.0
239.70	242.60	Py00.5 Pyrite 0.5% Py 0.5% en alignements de grains (80%) et en grains disséminés millimétriques à infra-millimétriques (20%)	240.60	242.10	P153560	1.50	0.010	0.10	44.0	70.0
			242.10	243.10	P153561	1.00	0.030	0.20	72.0	44.0

MAUDORE MINERALS Ltd

AC

Description			Analyse							
			De	À	Numéro	Longueur	Au_Final (g/t)	Ag_Final (ppm)	Cu_Final (ppm)	Zn_Final (ppm)
243.10	272.40	SIL; CB; Chl-; BO-; PA-; HMtr; Fktr Silicification; Carbonatation; Chloritisation faible; Blotisation faible; Paragonite faible; Hématisation tr; Feldspath potassique tr Si moyenne pervasive et en veines/veinules de quartz blanc (localement forte), Cb moyens en veines/veinules de calcite blanche, en bandes cm et en patchs étirés dans le sens de la foliation, Ch et Bt faibles en clastes, Pa faible en bandes centimétriques et en zones pervasives de 10-20cm, Hm en traces en veinules rouges millimétriques, FK en traces en mouchetage (1-2%)	245.90	246.90	P153562	1.00	0.010	0.10	31.0	39.0
			246.90	248.00	P153563	1.10	0.060	0.50	105.0	41.0
247.00	268.00	Py00.5; Potr Pyrite 0.5%; Pyrrhotine tr Py 0.5-2% en alignements de grains (70%) et en grains disséminés millimétriques à infra-millimétriques (30%). Po en traces en amas pluri-millimétriques.	248.00	249.00	P153564	1.00	0.140	0.30	31.0	83.0
			249.00	249.50	P153565	0.50	0.780	0.60	20.0	83.0
			249.50	250.80	P153567	1.30	0.010	0.20	19.0	37.0
			250.80	251.30	P153568	0.50	0.195	0.60	151.0	51.0
			251.30	251.80	P153570	0.50	0.010	0.10	24.0	50.0
			251.80	253.30	P153571	1.50	0.010	0.10	21.0	48.0
			253.30	254.80	P153572	1.50	0.010	0.10	56.0	51.0
			254.80	256.30	P153573	1.50	0.010	0.10	83.0	47.0
			256.30	257.20	P153574	0.90	0.010	0.10	45.0	48.0
			257.20	257.70	P153575	0.50	0.050	0.25	90.5	78.5
259.10	259.20	FAI Faille 40* Faille environ 40deg AC marquée par de la roche broyée en sable.	258.40	259.90	P153577	1.50	0.005	0.10	39.0	42.0
			259.90	260.40	P151409	0.50	0.002	0.10	56.0	53.0
			260.40	261.90	P153580	1.50	0.005	0.10	49.0	49.0
			261.90	262.90	P153578	1.00	0.040	0.10	92.0	59.0
			262.90	264.40	P153581	1.50	0.005	0.10	47.0	53.0
			264.40	265.90	P153582	1.50	0.005	0.10	67.0	36.0
			265.90	267.40	P153583	1.50	0.005	0.10	49.0	40.0

MAUDORE MINERALS Ltd

AC

Description			Analyse							
			D <sub>e</sub>	Å	Numéro	Longueur	Au_Final (g/t)	Ag_Final (ppm)	Cu_Final (ppm)	Zn_Final (ppm)
269.50	270.00	VEI;100%:Qz Cb Hm;;; <b>Veine 100% Quartz Carbonate</b> <b>Hématite</b> Veine à Qz-Cb-Hm, non-minéralisée, contact sup légèrement ondulant net 20deg AC, contact inf net très allongé irrégulier.	267.40	268.40	P153584	1.00	0.010	0.10	43.0	37.0
			272.00	273.50	P153586	1.50	0.008	0.10	26.0	42.0
272.40	289.30	SIL+; BO+; Chl; PA-; CB-; HMtr; EPtr <b>Silicification forte; Blotisation forte; Chloritisation; Paragonite faible; Carbonatation faible; Hématitisation tr; Epidotisation tr</b> Si forte pervasive, Bt forte en clastes, Chl moyenne en clastes, Pa faible à localement moyenne pervasive et en bandes millimétriques à centimétriques, Cb faibles en patchs étirés dans le sens de la foliation et en veinules millimétriques, Hm en traces en veinules rouges millimétriques, Ép en traces en fines veinules orientées dans toutes les directions.								
272.40	290.00	Pyr <b>Pyrite tr</b> Py en traces en alignements de grains jusqu'à 3mm d'épaisseur (80%) et en grains disséminés infra-millimétriques à millimétriques (20%).	273.50	275.00	P153587	1.50	0.005	0.10	19.0	45.0
			275.00	276.50	P153588	1.50	0.005	0.10	20.0	37.0
			276.50	278.00	P153589	1.50	0.005	0.10	15.0	60.0
			278.00	279.50	P153590	1.50	0.070	0.10	25.0	47.0
			279.50	281.00	P153592	1.50	0.010	0.10	29.0	48.0
			281.00	282.50	P153593	1.50	0.100	0.10	12.0	29.0
			282.50	284.00	P153594	1.50	0.005	0.10	6.0	27.0
			284.00	285.00	P153595	1.00	0.010	0.10	16.0	32.0
289.30	308.90	SIL+; Chl+; BO+; PAtr; SRtr; CBtr; HMtr <b>Silicification forte; Chloritisation forte; Blotisation forte; Paragonite tr; Séricitisation tr; Carbonatation tr; Hématitisation</b>	289.00	290.00	P153596	1.00	0.005	0.10	15.0	35.0
			290.00	291.50	P153598	1.50	0.005	0.20	25.0	48.0
			291.50	292.00	P151413	0.50	0.133	0.40	206.0	55.0
			292.00	293.50	P153599	1.50	0.005	0.10	8.0	40.0
			293.50	294.70	P153600	1.20	0.015	0.10	38.5	40.0

MAUDORE MINERALS Ltd

AC

Description			Analyse							
			De	À	Numéro	Longueur	Au_Final (g/l)	Ag_Final (ppm)	Cu_Final (ppm)	Zn_Final (ppm)
		tr Augmentation du nombre de clastes (40%), Si forte pervasive et en veines/veinules de quartz blanc, Chl et Bt forts en clastes, Pa en traces pervasive, Sr en traces en bandes centimétriques, Cb en traces en patchs étirés selon la foliation, Hm en traces en fines veinules rouges.  Excepté : 298.2-298.9 : I3; FIN 305.9-307 : I2; pFpAm								
294.00	298.00	Py02; Cptr	294.70	295.20	P153601	0.50	0.040	0.30	127.0	31.0
		<b>Pyrite 2%; Chalcopyrite tr</b> Py 1-2% en alignements de grains de 1mm à 3cm d'épaisseur (70%), en grains disséminés infra-millimétriques à millimétriques (20%) et en fines veinules millimétriques (10%). Cpy en traces en grains disséminés de 1-2mm.	295.20	296.20	P153602	1.00	0.040	0.40	12.0	998.0
296.00	296.20	FAI	296.20	296.70	P153603	0.50	0.040	0.50	58.0	2 410.0
		<b>Faille 45°</b> Faille environ 45deg AC marquée par de la boue de forage.	296.70	297.70	P153605	1.00	0.010	0.20	38.0	52.0
			297.70	298.30	P153606	0.60	0.005	0.10	6.0	42.0
298.20	298.90	I3; FIN <b>Intrusion mafique; Grains fins</b> Intrusion mafique à grains fins, de couleur grise-noire Matrice fine microgrenue Nombreux pAm en baguettes noires infra-mm Veinules de calcite (blanche, rose ou violette) mm en traces Hématisation faible associée aux veinules de Cb  Pas de minéralisations								

MAUDORE MINERALS Ltd

AC

Description			Analyse							
			De	À	Numéro	Longueur	Au_Final (g/t)	Ag_Final (ppm)	Cu_Final (ppm)	Zn_Final (ppm)
300.80	301.00	Contact sup net légèrement ondulant 30deg AC Contact inf net 55deg AC VEI;100%;Qz;;; <b>Veine 100% Quartz</b> Veine à Qz, non-minéralisée, contact sup net irrégulier, contact inf fracturé.								
	301.00	Py00.5; Potr	301.00	301.80	P153607	0.80	0.020	0.20	45.0	62.0
		<b>Pyrite 0.5%; Pyrrhotine tr</b>	301.80	302.30	P153608	0.50	0.020	0.10	52.0	48.0
		Py 0.5% en alignements de grains millimétriques (80%) et en grains disséminés infra-millimétriques (20%). Po en traces en alignements de grains millimétriques.	302.30	303.30	P153609	1.00	0.010	0.10	24.0	41.0
			303.30	304.60	P153610	1.30	0.010	0.10	30.0	38.0
			304.60	305.10	P153611	0.50	0.020	0.20	86.0	27.0
			305.10	306.10	P153613	1.00	0.010	0.10	20.0	52.0
305.90	307.00	I2; pFpAm <b>Intrusion Intermédiaire; Porphyre de Feldspath et Amphibole 45°</b> Intrusion intermédiaire à pFp et pAm Couleur grise sombre Matrice fine grise sombre Mouchetage de pFp blancs-roses (env. 15%) de 0.1-1mm pAm env. 4-5% en baguettes noires infra-millimétriques alignées dans le sens de la foliation Silicification pervasive forte  Pas de minéralisations  Contact sup net concordant légèrement ondulant 45deg AC Contact inf net concordant 45deg AC								
308.80	331.00	BO++; SIL+; Chl+; SR-; CB-; HM-; PAtr <b>Biotisation Intense; Silicification forte; Chloritisation forte; Séricitisation faible; Carbonatation faible; Hématitisation faible; Paragonite tr</b> Bt intense en clastes pluri-centimétriques, Si forte pervasive et	311.50	312.50	P153614	1.00	0.050	0.20	245.0	52.0



MAUDORE MINERALS Ltd

AK

Description		Analyse								
		De	À	Numéro	Longueur	Au_Final (g/t)	Ag_Final (ppm)	Cu_Final (ppm)	Zn_Final (ppm)	
		en veines/veinules de quartz blanc, Chl forte en clastes, Sr faible en bandes pervasives, Cb faible en patchs millimétriques à pluri-centimétriques étirés dans le sens de la foliation et en fines veinules, Hm faible en veinules rouges de 1mm-1cm, Pa en traces en bandes centimétriques.  Excepté : 323.5-324.6 : I1G 326.7-330.9 : I3; FIN								
311.90	319.90	Py00.5; Cptr	312.50	313.50	P153615	1.00	0.100	0.40	228.0	40.0
		<b>Pyrite 0.5%; Chalcopyrite tr</b>	313.50	314.50	P153616	1.00	0.020	0.20	48.0	37.0
		Py 0.5% en alignements de grains millimétriques (60%) et en grains disséminés infra-millimétriques à millimétriques (40%). Cpy en traces en alignements de grains millimétriques (50%) et en grains disséminés de 1-2mm (50%).								
314.30	314.40	FAI	314.50	315.50	P153617	1.00	0.047	0.20	87.0	72.0
		<b>Faïlle</b>	315.50	316.50	P153618	1.00	0.010	0.20	33.0	145.0
		Faïlle marquée par de la boue de forage.	316.50	317.00	P153619	0.50	0.030	0.10	413.0	190.0
			317.00	318.10	P153621	1.10	0.010	0.10	49.0	41.0
			318.10	318.60	P153622	0.50	0.030	0.10	20.0	40.0
			318.60	320.00	P153623	1.40	0.010	0.30	16.0	40.0
			320.00	321.00	P153624	1.00	0.010	0.10	27.0	42.0
			321.00	321.50	P151414	0.50	0.013	0.10	67.0	135.0
			321.50	322.60	P153625	1.10	0.008	0.10	27.0	57.0
323.50	324.60	I1G <b>Pegmatite</b> Pegmatite Couleur rose Nombreux porphyres centimétriques de Fdp, quartz Présence d'enclaves de V2-V3								

MAUDORE MINERALS Ltd

AC

Description	Analyse							
	De	À	Numéro	Longueur	Au_Final (g/t)	Ag_Final (ppm)	Cu_Final (ppm)	Zn_Final (ppm)
Pas de minéralisations								
Contact sup net légèrement ondulant 65deg AC								
Contact inf net fracturé env. 55deg AC								
324.40 326.70 Pyr	324.40	325.40	P153626	1.00	0.010	0.10	58.0	72.0
Pyrite tr	325.40	326.40	P153627	1.00	0.010	0.10	24.0	84.0
Py en traces en alignements de grains (60%) et en grains disséminés infra-millimétriques (40%).	326.40	327.40	P153628	1.00	0.005	0.10	11.0	46.0
Excepté :								
De 323.5-324.6 : I1G								
326.70 330.90 I3; FIN								
<b>Intrusion mafique; Grains fins</b>								
Intrusion mafique à grains fins, de couleur grise-noire								
Matrice fine microgrenue								
Nombreux pAm en baguettes noires infra-mm								
Veinules de calcite (blanche, rose ou violette) mm en traces								
Hématisation faible associée aux veinules de Cb								
Pas de minéralisations								
Contact sup net irrégulier								
Contact inf net concordant 35deg AC								
331.00 364.20 SIL+; PA; BO; SR; Chl-; CB-; Fk-; HMtr	335.80	336.80	P153630	1.00	0.010	0.10	49.0	66.0
Silicification forte; Paragonite;	336.80	337.80	P153631	1.00	0.010	0.10	23.0	77.0
Blotisation; Séricitisation;	337.80	338.80	P153632	1.00	0.005	0.10	3.0	69.0
Chloritisation faible;								
Carbonatation faible; Feldspath potassique -; Hématisation tr								
Beaucoup moins de clastes (5%), Si forte pervasive, Pa moyenne en bandes millimétriques, Bt moyenne en clastes, Sr moyenne en patchs centimétriques étirés dans le sens de la foliation (fantômes de clastes lessivés ?), Chl faible en bandes millimétriques et clastes, Cb faibles en								

MAUDORE MINERALS Ltd

AC

Description			Analyse							
			De	À	Numéro	Longueur	Au_Final (g/t)	Ag_Final (ppm)	Cu_Final (ppm)	Zn_Final (ppm)
340.60	341.10	<p>I1G</p> <p><b>Pegmatite 50*</b></p> <p>Pegmatite</p> <p>Couleur rose</p> <p>Nombreux porphyres centimétriques de Fdp, quartz</p> <p>Présence d'enclaves de V2-V3</p> <p>Pas de minéralisations</p> <p>Contact sup net discordant légèrement ondulant 50deg AC</p> <p>Contact inf net discordant légèrement ondulant 45-50deg AC</p>								
345.60	347.40	<p>I1F</p> <p><b>Aplite</b></p> <p>Aplite</p> <p>Couleur grise-rose</p> <p>Matrice aphanitique</p> <p>Hématisation moyenne pervasive et veinules de carbonates en traces</p> <p>Silicification fote pervasive</p> <p>Pas de minéralisations</p> <p>Contact sup net 45deg AC</p> <p>Contact inf fracturé</p>	347.40	348.40	P153633	1.00	0.010	0.10	38.0	59.0
			348.40	348.90	P151415	0.50	0.005	0.10	41.0	47.0
			348.90	349.90	P153634	1.00	0.010	0.10	25.0	62.0
349.80	364.20	<p>I1B</p> <p><b>Granite</b></p> <p>Granite</p>								

MAUDORE MINERALS Ltd

AC

Description		Analyse								
		De	À	Numéro	Longueur	Au_Final (g/t)	Ag_Final (ppm)	Cu_Final (ppm)	Zn_Final (ppm)	
364.20	487.60	(Fin du trou initial) V2-V3; T1	370.00	371.00	P261001	1.00	0.005	0.10	43.0	61.0
		Volcanite intermédiaire à mafique; Tuf à lapillis	371.00	372.00	P261002	1.00	0.020	0.10	63.0	53.0
		Roche volcanique intermédiaire à mafique, à lapillis de taille variable, millimétriques à pluri-cm	372.00	373.00	P261003	1.00	0.005	0.10	40.0	48.0
		Couleur globale allant de gris sombre verdâtre (Chlorite), brunâtre (biotite) à blanchâtre dans plusieurs zones centimétriques à métriques (Pa)	377.50	378.50	P261004	1.00	0.005	0.10	27.0	40.0
		Matrice à grains fins de couleur gris moyen à foncé, verdâtre.	378.50	379.00	P299098	0.50	0.005	0.25	12.0	53.0
		Foliation forte entre 55-60 deg AC marquée par un fort rubanement produit par l'alternance de bandes (clastes) mm à cm blanchâtres-verdâtres-brunâtres (Pa-Chl-Bt) et par la présence de veinules de carbonates et d'hématite.	379.00	379.60	P261005	0.60	0.005	0.10	5.0	46.0
		De 20 à 25% de clastes millimétriques à centimétriques étirés dans le sens de la foliation, de couleurs verte (Chlorite), brune (biotite), bleuâtre à blanche (Paragonite).								
		Globalement 3-4% de veines/veinules de Qz-Cb millimétriques à pluri-centimétriques et 1% de veinules d'Hm millimétriques irrégulières.								
		Altérations :								
		De 364.2-380.8 : Si forte pervasive et en veines/veinules de quartz blanc, Bt moyenne en clastes millimétriques à centimétriques, Chl faible en clastes millimétriques à centimétriques, Cb faibles à moyens en mélanges pervasifs avec de la Chl et en veinules millimétriques à centimétriques de Cc blanche orientées dans toutes les directions, Sr faible en bandes millimétriques, Pa en traces en bandes pervasives bleuâtres.								
		De 380.8-402 : Si moyenne à forte pervasive et en veines/veinules de quartz blanc, Chl faible en clastes millimétriques à centimétriques, Cb faibles en veinules millimétriques à centimétriques de Cc blanche orientées dans toutes les directions, Pa faible (localement moyenne) en bandes pervasives								

AC

Description	Analyse							
	De	À	Numéro	Longueur	Au_Final (g/t)	Ag_Final (ppm)	Cu_Final (ppm)	Zn_Final (ppm)
<p>bleuâtres et en liserés de micas blancs, Sr en traces en bandes millimétriques, Bt en traces en clastes millimétriques, Hm en traces en veinules rouges millimétriques orientées dans toutes les directions.</p> <p>De 402-415.1 : Si forte pervasive et en veines/veinules de quartz blanc, Ab faible à moyenne en mouchetage de grains blancs-beiges millimétriques (env. 5 à 25%), Cb faibles à moyens en mélanges pervasifs avec de la Chl et en veinules millimétriques à centimétriques de Cc blanche orientées dans toutes les directions, Sr faible en bandes millimétriques, Hm faible en veinules rouges millimétriques orientées dans toutes les directions, Ép en traces en veinules vertes pistaches millimétriques orientées dans toutes les directions.</p> <p>De 415.1-428.7 : Si forte pervasive et en veines/veinules de quartz blanc, Sr faible en bandes millimétriques, Chl faible en clastes millimétriques à centimétriques, Hm en traces en veinules rouges millimétriques orientées dans toutes les directions, Ép en traces en veinules vertes pistaches millimétriques orientées dans toutes les directions, Cb en traces en veinules millimétriques à centimétriques de Cc blanche orientées dans toutes les directions, Pa en traces en bandes pervasives millimétriques bleuâtres et en fins liserés de micas blancs.</p> <p>De 428.7-432.4 : Si forte pervasive et en veines/veinules de quartz blanc, Chl forte à intense pervasive et en clastes pluri-centimétriques, Sr faible en bandes centimétriques et en patchs centimétriques, Cb faibles en veinules millimétriques de Cc blanche orientées dans toutes les directions, Hm faible en veinules rouges millimétriques orientées dans toutes les directions.</p> <p>De 432.4-446 : Si forte pervasive et en veines/veinules de quartz blanc, Ab faible en mouchetage de grains blancs-beiges millimétriques (env. 1 à 4%), Cb faibles à moyens en mélanges pervasifs avec de la Chl et en veinules millimétriques à centimétriques de Cc blanche orientées dans toutes les directions, Sr faible en bandes</p>								

Description	Analyse							
	Dø	Å	Numéro	Longueur	Au_Final (g/t)	Ag_Final (ppm)	Cu_Final (ppm)	Zn_Final (ppm)
<p>millimétriques, Hm faible en veinules rouges millimétriques orientées dans toutes les directions, Ép en traces en veinules vertes pistaches millimétriques orientées dans toutes les directions.</p> <p>De 446-459.5 : Si forte pervasive et en veines/veinules de quartz blanc, Chl forte à intense pervasive et en clastes pluri-centimétriques, Sr faible en bandes centimétriques et en patchs centimétriques, Cb faibles à moyens pervasifs et en veinules millimétriques de Cc blanche orientées dans toutes les directions, Hm en traces en veinules rouges millimétriques orientées dans toutes les directions, Ép en traces en patchs verts pistaches millimétriques associés aux carbonates, Ab localement en traces en mouchelage de grains blancs beiges millimétriques.</p> <p>De 459.5-462.2 : Si forte pervasive et en veines/veinules de quartz blanc, Chl forte pervasive et en clastes pluri-centimétriques, Cb faibles à moyens pervasifs et en veinules millimétriques de Cc blanche orientées dans toutes les directions, Bt faible en clastes millimétriques.</p> <p>De 462.2-464.4 : Si forte pervasive et en veines/veinules de quartz blanc, Chl faible en clastes millimétriques, Cb faibles en veinules millimétriques de Cc blanche orientées dans toutes les directions, Bt faible en clastes millimétriques.</p> <p>De 464.4-481.2 : Si forte pervasive et en veines/veinules de quartz blanc, Chl forte pervasive et en clastes pluri-centimétriques, Cb moyens pervasifs et en veinules millimétriques de Cc blanche orientées dans toutes les directions, Sr faible en patchs centimétriques étirés dans le sens de la foliation, Bt en traces en clastes millimétriques.</p> <p>De 481.2-487.6 : Si forte à intense pervasive et en veines/veinules de quartz blanc, Chl moyenne en clastes pluri-centimétriques, Cb faibles à moyens pervasifs et en veinules millimétriques de Cc blanche orientées dans toutes les directions, Sr faible en patchs centimétriques étirés dans le sens de la foliation.</p>								

Description	Analyse							
	De	À	Numéro	Longueur	Au_Final (g/t)	Ag_Final (ppm)	Cu_Final (ppm)	Zn_Final (ppm)
<p>Minéralisations : Localement quelques intervalles de Py en traces inférieures à 1 mètre, sauf :</p> <p>De 401-423.8 : Py en traces en alignements de grains millimétriques (80%) et en grains disséminés millimétriques (20%).</p> <p>De 453.1-459 : Py en traces (localement 3-4%) en grains disséminés 1-3mm (70%), en veinules millimétriques (20%) et en alignements de grains millimétriques (10%). Po en traces en grains disséminés 1-4mm. Cpy en traces en grains disséminés millimétriques.</p> <p>De 459-462.2 : Po 1% en amas de grains 1-8mm étirés dans le sens de la foliation (90%) et en alignements de grains millimétriques (10%). Py en traces en alignements de grains millimétriques. Cpy en traces en amas 1-10mm (80%) et en placage dans les fractures (20%).</p> <p>De 464.4-467.1 : Po 6-7% en amas pluri-centimétriques étirés dans le sens de la foliation (60%), en alignements de grains 1-5mm (30%) et en veinules millimétriques (10%). Py en traces en alignements de grains millimétriques (50%) et en grains disséminés millimétriques (50%). Cpy en grains disséminés millimétriques (30%) et en amas 1-10mm (70%).</p> <p>De 470.9-474.7 : Py en traces en grains disséminés millimétriques (50%) et en alignements de grains millimétriques (50%). Po en traces en grains disséminés millimétriques (30%) et en alignements de grains millimétriques (70%). Cpy en traces en grains disséminés millimétriques.</p> <p>De 481.2-485.4 : Py et Po en traces en grains disséminés millimétriques (40%) et en alignements de grains millimétriques (60%).</p> <p>Excepté :</p> <p>379.4-380.6 : I1G</p> <p>410.7-413 : I3; FIN</p> <p>421.3-422 : I1G</p> <p>423.8-428.7 : I3; FIN</p>								

AC

Description	Analyse							
	De	À	Numéro	Longueur	Au_Final (g/l)	Ag_Final (ppm)	Cu_Final (ppm)	Zn_Final (ppm)
<p>438.3-446 : I3; FIN 475.8-481.2 : I1B 485.4-487.6 : I2; pFpAm</p> <p>Veines :</p> <p>De 420.1-420.5 : Amas de veines à 40% de Qz-Cb-Ép. Pas de minéralisations. Contacts sup et inf irréguliers.</p> <p>De 481.2-482.6 : Amas de veines à 50% de Qz-Cb-Chl, Py en traces à 0.5% en alignements de grains millimétriques (80%) et en amas étirés dans le sens de la foliation de 1-10mm (20%). Contacts sup et inf diffus.</p> <p>Contact sup net discordant 20deg AC Contact inf diffus (intrusif)</p> <p>364.20 380.80 SIL+; BO; Chl-; CB-; SR-; PAtr <b>Silicification forte; Biotisation;</b> Chloritisation faible; Carbonatation faible; <b>Séricitisation faible; Paragonite tr</b> Si forte pervasive et en veines/veinules de quartz blanc, Bt moyenne en clastes millimétriques à centimétriques, Chl faible en clastes millimétriques à centimétriques, Cb faibles à moyens en mélanges pervasifs avec de la Chl et en veinules millimétriques à centimétriques de Cc blanche orientées dans toutes les directions, Sr faible en bandes millimétriques, Pa en traces en bandes pervasives bleuâtres.</p> <p>Excepté : 379.4-380.6 : I1G</p>								
<p>379.40 380.60 I1G Pegmatite Pegmatite</p>								



MAUDORE MINERALS Ltd

AC

Description		Analyse								
		De	À	Numéro	Longueur	Au_Final (g/t)	Ag_Final (ppm)	Cu_Final (ppm)	Zn_Final (ppm)	
Couleur rose Nombreux porphyres centimétriques à pluri-centimétriques de Fdp, quartz, muscovite Plusieurs passages aplitiques.  Pas de minéralisations  Contact sup net irrégulier Contact inf net ondulant env. 55deg AC.										
380.80	402.00	SIL; Chl-; CB-; PA-; SRtr; BOtr; HMtr	390.00	391.00	P261006	1.00	0.010	0.10	34.0	19.0
		Silicification; Chloritisation faible;	391.00	392.00	P261007	1.00	0.005	0.10	7.0	24.0
		Carbonatation faible; Paragonite faible; Séricitisation tr; Blotisation tr; Hématitisation tr	392.00	393.00	P261008	1.00	0.005	0.10	2.0	23.0
Si moyenne à forte pervasive et en veines/veinules de quartz blanc, Chl faible en clastes millimétriques à centimétriques, Cb faibles en veinules millimétriques à centimétriques de Cc blanche orientées dans toutes les directions, Pa faible (localement moyenne) en bandes pervasives bleuâtres et en liserés de micas blancs. Sr en traces en bandes millimétriques, Bt en traces en clastes millimétriques, Hm en traces en veinules rouges millimétriques orientées dans toutes les directions.										
401.00	423.80	Pytr Pyrite tr								
Py en traces en alignements de grains millimétriques (80%) et en grains disséminés millimétriques (20%).  Excepté : 410.7-413 : I3; FIN 421.3-422 : I1G										
402.00	415.10	SIL+; AB-; CB-; SR-; HM-; EPtr	402.00	403.00	P261009	1.00	0.005	0.10	3.0	12.0
		Silicification forte; Albitisation faible; Carbonatation faible;	403.00	404.00	P261011	1.00	0.005	0.10	12.0	15.0

MAUDORE MINERALS Ltd

AC

Description	Analyse							
	De	À	Numéro	Longueur	Au_Final (g/t)	Ag_Final (ppm)	Cu_Final (ppm)	Zn_Final (ppm)
<p>Séricitisation faible; Hématisation faible; Épidotisation tr</p> <p>Si forte pervasive et en veines/veinules de quartz blanc, Ab faible à moyenne en mouchetage de grains blancs-beiges millimétriques (env. 5 à 25%), Cb faibles à moyens en mélanges pervasifs avec de la Chl et en veinules millimétriques à centimétriques de Cc blanche orientées dans toutes les directions, Sr faible en bandes millimétriques, Hm faible en veinules rouges millimétriques orientées dans toutes les directions, Ép en traces en veinules vertes pistaches millimétriques orientées dans toutes les directions.</p> <p>Excepté : 410.7-413 : I3; FIN</p>	404.00	405.00	P261012	1.00	0.005	0.10	23.0	14.0
	407.50	408.50	P261013	1.00	0.005	0.10	22.0	16.0
	408.50	409.00	P299099	0.50	0.002	0.25	1.0	14.0
	409.00	410.00	P261014	1.00	0.060	0.10	3.0	15.0
<p>410.70      413.00      I3; FIN</p> <p>Intrusion mafique 25*; Grains fins 25*</p> <p>Intrusion mafique à grains fins, de couleur grise-noire</p> <p>Matrice fine microgrenue</p> <p>Nombreux pAm en baguettes noires infra-mm</p> <p>Veinules de calcite (blanche, rose ou violette) mm en traces</p> <p>Hématisation en traces en veinules rouges millimétriques</p> <p>Pas de minéralisations</p> <p>Contact sup net discordant 25deg AC</p> <p>Contact inf net discordant 25deg AC</p>								
<p>415.10      428.70      SIL*; SR-; Chl-; HM-; EPtr; CBtr; PAtr</p> <p>Silicification forte; Séricitisation faible; Chloritisation faible;</p> <p>Hématisation faible; Épidotisation tr; Carbonatation tr; Paragonite tr</p>	419.00	420.00	P261015	1.00	0.005	0.10	63.0	15.0
	420.00	421.00	P261017	1.00	0.010	0.10	130.0	22.0

AC

Description	Analyse							
	De	À	Numéro	Longueur	Au_Final (g/t)	Ag_Final (ppm)	Cu_Final (ppm)	Zn_Final (ppm)
<p>Si forte pervasive et en veines/veinules de quartz blanc, Sr faible en bandes millimétriques, Chl faible en clastes millimétriques à centimétriques, Hm en traces en veinules rouges millimétriques orientées dans toutes les directions, Ép en traces en veinules vertes pistaches millimétriques orientées dans toutes les directions, Cb en traces en veinules millimétriques à centimétriques de Cc blanche orientées dans toutes les directions, Pa en traces en bandes pervasives millimétriques bleuâtres et en fins liserés de micas blancs.</p> <p>Excepté : 421.3-422 : I1G 423.8-428.7 : I3; FIN</p>								
<p>420.10      420.50      AMA;40%;Qz Cb Ep;;; <b>Amas 40% Quartz Carbonate</b> <b>Épidote</b> Amas de veines à 40% de Qz-Cb-Ép. Pas de minéralisations. Contacts sup et inf irréguliers.</p>	421.00	421.50	P261018	0.50	0.005	0.10	84.0	45.0
<p>421.30      422.00      I1G <b>Pegmatite</b> Pegmatite Couleur rose-blanche Nombreux porphyres centimétriques à pluri-centimétriques de Fdp, quartz, muscovite Plusieurs passages aplitiques.</p> <p>Pas de minéralisations</p>								
<p>423.80      428.70      I3; FIN <b>Intrusion mafique; Grains fins</b> Intrusion mafique à grains fins, de couleur grise-noire</p>								

MAUDORE MINERALS Ltd

AC

Description	Analyse							
	De	À	Numéro	Longueur	Au_Final (g/t)	Ag_Final (ppm)	Cu_Final (ppm)	Zn_Final (ppm)
<p>Matrice fine microgrenue</p> <p>Nombreux pAm en baguettes noires infra-mm</p> <p>Quelques veines pegmatitiques de 5-10cm.</p> <p>Veinules de calcite (blanche, rose ou violette) mm en traces</p> <p>Hématisation faible en veinules rouges millimétriques</p> <p>Pas de minéralisations</p> <p>Contact sup net légèrement ondulant discordant env. 35deg AC</p> <p>Contact inf net irrégulier.</p>	428.70	432.40						
<p>SIL+; Chl+; SR-; CB-; HM-</p> <p>Silicification forte; Chloritisation forte; Séricitisation faible; Carbonatation faible; Hématisation faible</p> <p>Si forte pervasive et en veines/veinules de quartz blanc, Chl forte à intense pervasive et en clastes pluri-centimétriques, Sr faible en bandes centimétriques et en patches centimétriques, Cb faibles en veinules millimétriques de Cc blanche orientées dans toutes les directions, Hm faible en veinules rouges millimétriques orientées dans toutes les directions.</p>	432.40	446.00						
	433.00	434.00	P261019	1.00	0.005	0.10	14.5	24.0
	434.00	435.00	P261020	1.00	0.005	0.10	64.0	18.0
	435.00	436.00	P261021	1.00	0.010	0.10	104.0	18.0
	436.00	436.50	P299100	0.50	0.006	0.25	14.0	14.0
<p>SIL+; AB-; CB-; SR-; HM-; EPtr</p> <p>Silicification forte; Albitisation faible; Carbonatation faible; Séricitisation faible; Hématisation faible; Épldotisation tr</p> <p>Si forte pervasive et en veines/veinules de quartz blanc, Ab faible en mouchetage de grains blancs-beiges millimétriques (env. 1 à 4%), Cb faibles à moyens en mélanges pervasifs avec de la Chl et en veinules millimétriques à centimétriques de Cc blanche orientées</p>	436.50	437.50	P261022	1.00	0.010	0.10	21.0	14.0

MAUDORE MINERALS Ltd

AC

Description		Analyse							
		De	À	Numéro	Longueur	Au_Final (g/t)	Ag_Final (ppm)	Cu_Final (ppm)	Zn_Final (ppm)
438.30	446.00	<p>dans toutes les directions, Sr faible en bandes millimétriques, Hm faible en veinules rouges millimétriques orientées dans toutes les directions, Ép en traces en veinules vertes pislaches millimétriques orientées dans toutes les directions.</p> <p>Excepté : 438.3-446 : I3; FIN</p> <p>I3; FIN</p> <p><b>Intrusion mafique; Grains fins</b> Intrusion mafique à grains fins, de couleur grise-verdâtre Matrice moyennement grenue Nombreux pAm en baguettes noires infra-mm et mouchetage de Chl en grains millimétriques verdâtres. Veinules de calcite (blanche, rose ou violette) mm en traces Hématisation faible en veinules rouges millimétriques Présence locale de feldspaths roses millimétriques déformés.</p> <p>Pas de minéralisations</p> <p>Contact sup net ondulant discordant env. 5-10deg AC Contact inf net discordant 15deg AC.</p>							
446.00	459.50	446.00	447.00	P261023	1.00	0.005	0.10	46.0	25.0
		447.00	448.00	P261024	1.00	0.020	0.10	28.0	37.0
		448.00	449.00	P261025	1.00	0.008	0.10	35.5	39.5
		452.00	453.00	P261026	1.00	0.010	0.10	32.0	6.0
		453.00	453.50	P261027	0.50	0.090	0.10	158.0	15.0
		<p>SIL+; Chl+; SR-; CB-; HMr; EPtr; ABtr</p> <p><b>Silicification forte; Chloritisation forte; Séricitisation faible; Carbonatation faible; Hématisation tr; Épidotisation tr; Albitisation tr</b></p> <p>Si forte pervasive et en veines/veinules de quartz blanc, Chl forte à intense pervasive et en clastes pluri-centimétriques, Sr faible en bandes centimétriques et en patches</p>							

MAUDORE MINERALS Ltd

AC

Description		Analyse								
		Dø	Å	Numéro	Longueur	Au_Final (g/t)	Ag_Final (ppm)	Cu_Final (ppm)	Zn_Final (ppm)	
453.10	459.00	centimétriques, Cb faibles à moyens pervasifs et en veinules millimétriques de Cc blanche orientées dans toutes les directions, Hm en traces en veinules rouges millimétriques orientées dans toutes les directions, Ép en traces en patchs verts pistaches millimétriques associés aux carbonates, Ab localement en traces en mouchetage de grains blancs beiges millimétriques.  Pytr; Potr; Cptr <b>Pyrite tr; Pyrrhotine tr;</b> <b>Chalcopyrite tr</b>  Py en traces (localement 3-4%) en grains disséminés 1-3mm (70%), en veinules millimétriques (20%) et en alignements de grains millimétriques (10%). Po en traces en grains disséminés 1-4mm. Cpy en traces en grains disséminés millimétriques.	453.50	454.50	P261029	1.00	0.005	0.10	90.0	13.0
			454.50	455.50	P261030	1.00	0.010	0.20	148.0	20.0
			455.50	456.60	P261031	1.10	0.020	0.20	274.0	30.0
			456.60	457.60	P261032	1.00	0.005	0.10	43.0	12.0
			457.60	458.60	P261033	1.00	0.005	0.60	22.0	17.0
			458.60	459.50	P261034	0.90	0.005	0.10	58.0	11.0
459.00	462.20	Po01; Pytr; Cptr <b>Pyrrhotine 1%; Pyrite tr;</b> <b>Chalcopyrite tr</b>  Po 1% en amas de grains 1-8mm étirés dans le sens de la foliation (90%) et en alignements de grains millimétriques (10%). Py en traces en alignements de grains millimétriques. Cpy en traces en amas 1-10mm (80%) et en placage dans les fractures (20%).								
459.50	462.20	SIL+; Chl+; CB-; BO- <b>Silicification forte; Chloritisation forte; Carbonatation faible;</b> <b>Biolitisation faible</b>  Si forte pervasive et en veines/veinules de quartz blanc, Chl forte pervasive et en clastes pluri-centimétriques, Cb faibles à moyens pervasifs et en veinules millimétriques de Cc blanche	459.50	460.00	P261035	0.50	0.020	0.30	150.0	20.0
			460.00	460.50	P261036	0.50	0.150	0.80	699.0	12.0
			460.50	461.00	P261038	0.50	0.030	0.40	235.0	12.0
			461.00	461.50	P261039	0.50	0.020	0.30	271.0	12.0
			461.50	462.50	P261040	1.00	0.030	0.20	155.0	18.0

MAUDORE MINERALS Ltd

AC

Description			Analyse							
			D <sub>e</sub>	À	Numéro	Longueur	Au_Final (g/t)	Ag_Final (ppm)	Cu_Final (ppm)	Zn_Final (ppm)
462.20	464.40	orientées dans toutes les directions, Bt faible en clastes millimétriques.  SIL+; Chl-; CB-; BO- <b>Silicification forte; Chloritisation faible; Carbonatation faible; Biotisation faible</b>  Si forte pervasive et en veines/veinules de quartz blanc, Chl faible en clastes millimétriques, Cb faibles en veinules millimétriques de Cc blanche orientées dans toutes les directions, Bt faible en clastes millimétriques.	462.50	463.00	P299121	0.50	0.002	0.25	12.0	77.0
			463.00	464.00	P261041	1.00	0.010	0.10	5.0	24.0
			464.00	464.90	P261042	0.90	0.005	0.10	17.0	17.0
464.40	481.20	SIL+; Chl+; CB; SR-; BOtr <b>Silicification forte; Chloritisation forte; Carbonatation; Séricitisation faible; Biotisation tr</b>  Si forte pervasive et en veines/veinules de quartz blanc, Chl forte pervasive et en clastes pluri-centimétriques, Cb moyens pervasifs et en veinules millimétriques de Cc blanche orientées dans toutes les directions, Sr faible en patchs centimétriques étirés dans le sens de la foliation, Bt en traces en clastes millimétriques.  Excepté : 475.8-481.2 : 11B	464.90	465.40	P261043	0.50	0.010	0.10	99.0	10.0
			465.40	465.90	P261045	0.50	0.010	0.40	374.0	6.0
			465.90	466.40	P261046	0.50	0.010	0.20	210.0	5.0
			466.40	467.90	P261047	1.50	0.020	0.10	40.0	6.0
			467.90	468.70	P261048	0.80	0.550	0.10	5.0	5.0
			468.70	469.70	P261049	1.00	0.010	0.10	2.0	9.0
			469.70	470.50	P261050	0.80	0.008	0.10	1.5	19.0
			470.50	471.50	P261101	1.00	0.010	0.20	5.0	119.0
464.40	467.10	Po07; Pytr; Cptr <b>Pyrrholite 7%; Pyrite tr; Chalcopryite tr</b>  Po 6-7% en amas pluri-centimétriques étirés dans le sens de la foliation (60%), en alignements de grains 1-5mm (30%) et en veinules millimétriques (10%). Py en traces en alignements de grains millimétriques (50%) et en grains disséminés millimétriques (50%). Cpy en								

MAUDORE MINERALS Ltd

AC

Description		Analyse								
		De	À	Numéro	Longueur	Au_Final (g/l)	Ag_Final (ppm)	Cu_Final (ppm)	Zn_Final (ppm)	
470.90	474.70	grains disséminés millimétriques (30%) et en amas 1-10mm (70%).  Pytr; Potr; Cplr Pyrite tr; Pyrrholine tr; Chalcopryrite tr Py en traces en grains disséminés millimétriques (50%) et en alignements de grains millimétriques (50%). Po en traces en grains disséminés millimétriques (30%) et en alignements de grains millimétriques (70%). Cpy en traces en grains disséminés millimétriques.	471.50	472.50	P261102	1.00	0.025	0.10	12.0	17.0
			472.50	473.00	P261103	0.50	0.030	0.10	49.0	29.0
			473.00	474.00	P261105	1.00	0.005	0.10	4.0	17.0
			474.00	475.00	P261107	1.00	0.005	0.10	5.0	26.0
			475.00	475.80	P261108	0.80	0.020	0.10	22.0	38.0
475.80	481.20	I1B <b>Granite</b> Granite porphyrique à pFp Couleur globalement blanche-rose Matrice fine grise claire Composé globalement de pFp roses 1-10mm (env. 40%), de quartz blanc (30%), de petits minéraux mafiques (10%) et de biotite (20%). Plusieurs passages aplitiques pluri-centimétriques. Carbonates en traces en veinules millimétriques de Cc blanche  Pas de minéralisations  Contact sup net discordant 35deg AC. Contact inf net net, discordant, légèrement ondulant env. 20deg AC.	481.00	482.00	P261109	1.00	0.005	0.20	35.0	16.0
481.20	487.60	SIL+; Chl; CB-; SR- Silicification forte; Chloritisation; Carbonatisation faible; Séricitisation faible Si forte à intense pervasive et en veines/veinules de quartz blanc, Chl moyenne en clastes pluri-centimétriques, Cb faibles à moyens pervasifs et en veinules millimétriques de Cc blanche orientées dans toutes les directions, Sr	482.00	483.00	P261110	1.00	0.010	0.10	23.0	20.0
			483.00	484.00	P261111	1.00	0.010	0.10	24.0	25.0
			484.00	485.00	P261112	1.00	0.005	0.10	1.0	23.0
			485.00	485.50	P261113	0.50	0.005	0.10	8.0	39.0



AC

Description			Analyse							
			De	À	Numéro	Longueur	Au_Final (g/t)	Ag_Final (ppm)	Cu_Final (ppm)	Zn_Final (ppm)
		faible en patches centimétriques étirés dans le sens de la foliation.  Excepté : 485.4-487.6 : I2; pFpAm								
481.20	485.40	Potr; Pytr <b>Pyrrhotine tr; Pyrite tr</b> Py et Po en traces en grains disséminés millimétriques (40%) et en alignements de grains millimétriques (60%).								
481.20	482.60	AMA;50%;Qz Cb Cl;;Py00.5; <b>Amas 50% Quartz Carbonate</b> <b>Chlorite Pyrite 0.5%</b> Amas de veines à 50% de Qz-Cb-Chl. Py en traces à 0.5% en alignements de grains millimétriques (80%) et en amas étirés dans le sens de la foliation de 1-10mm (20%). Contacts sup et inf diffus.								
485.40	487.60	I2; pFpAm <b>Intrusion Intermédiaire; Porphyre de Feldspath et Amphibole</b> Intrusion intermédiaire à pFp et pAm Couleur hétérogène grise sombre à blanche Matrice fine grise sombre Mouchetage de pFp blancs (env. 35%) de 1-5mm pAm env. 7-8% en baguettes noires infra-millimétriques alignées dans le sens de la foliation Quelques petites veines apliques inférieures à 10cm Silicification pervasive forte  Pas de minéralisations  Contact sup diffus Contact inf diffus	487.50	488.60	P261114	1.10	0.005	0.10	17.0	58.0
487.60	499.00	I3A								

AC

Description	Analyse							
	De	À	Numéro	Longueur	Au_Final (g/t)	Ag_Final (ppm)	Cu_Final (ppm)	Zn_Final (ppm)
<p><b>Gabbro</b>                      Gabbro à grains moyen                      Magnétisme généralement fort                      Couleur verte foncé-clair                      Matrice à grains moyens à aphanitique (&lt;1mm à 1-2mm)</p> <p>Altérations :                      De 487.6-491 : Si forte à intense pervasive et en veines/veinules de quartz blanc, Chl moyenne en clastes pluri-centimétriques, Cb faibles à moyens pervasifs et en veinules millimétriques de Cc blanche orientées dans toutes les directions, Sr faible en patchs centimétriques étirés dans le sens de la foliation.                      De 491-499 : Si forte pervasive et en veines/veinules de quartz blanc, Chl forte pervasive et en clastes pluri-centimétriques, Cb faibles en veinules millimétriques de Cc blanche orientées dans toutes les directions, Sr moyenne en patchs centimétriques étirés dans le sens de la foliation et en bandes centimétriques.</p> <p>Minéralisations :                      Py 1-2% en alignements de grains millimétriques (60%) et en amas de grains 1-6mm étirés dans le sens de la foliation.                      Po 1-2% en alignements de grains 1-4mm (60%) et en amas de grains 1-6mm étirés dans le sens de la foliation.                      Cpy en traces en grains disséminés millimétriques.</p> <p>Excepté :                      495.4-496.6 : I2; pFpAm</p> <p>Contact sup diffus (intrusif)                      Contact inf net irrégulier</p>	487.60	491.00						

MAUDORE MINERALS Ltd

AK

Description			Analyse							
			De	À	Numéro	Longueur	Au_Final (g/l)	Ag_Final (ppm)	Cu_Final (ppm)	Zn_Final (ppm)
487.60	499.00	<p>Si forte à intense pervasivo et en veines/veinules de quartz blanc, Chl moyenne en clastes pluri-centimétriques, Cb faibles à moyens pervasifs et en veinules millimétriques de Cc blanche orientées dans toutes les directions, Sr faible en patchs centimétriques étirés dans le sens de la foliation.</p> <p>Py01; Po01; Cptr  <b>Pyrite 1%; Pyrrhotine 1%;</b>  <b>Chalcopryrite tr</b>                      Py 1-2% en alignements de grains millimétriques (60%) et en amas de grains 1-6mm étirés dans le sens de la foliation.                      Po 1-2% en alignements de grains 1-4mm (60%) et en amas de grains 1-6mm étirés dans le sens de la foliation.                      Cpy en traces en grains disséminés millimétriques.</p>	488.60	489.60	P261115	1.00	0.005	0.10	53.0	30.0
			489.60	490.60	P261116	1.00	0.005	0.20	117.0	125.0
			490.60	491.60	P261117	1.00	0.010	0.30	226.0	9.0
491.00	499.00	<p>Excepté :                      495.4-496.6 : I2; pFpAm</p> <p>SIL+; Chl+; CB-; SR  <b>Silicification forte; Chloritisation forte; Carbonatation faible;</b>  <b>Séarctisation</b>                      Si forte pervasive et en veines/veinules de quartz blanc, Chl forte pervasive et en clastes pluri-centimétriques, Cb faibles en veinules millimétriques de Cc blanche orientées dans toutes les directions, Sr moyenne en patchs centimétriques étirés dans le sens de la foliation et en bandes centimétriques.</p> <p>Excepté :                      495.4-496.6 : I2; pFpAm</p>	491.60	492.10	P299122	0.50	0.009	0.25	308.0	41.0
			492.10	493.00	P261118	0.90	0.005	0.30	204.0	15.0
			493.00	493.50	P261119	0.50	0.005	0.30	396.0	13.0
			493.50	494.50	P261121	1.00	0.010	0.20	287.0	18.0
			494.50	495.50	P261122	1.00	0.008	0.40	229.0	18.0
495.40	496.60	<p>I2; pFpAm  <b>Intrusion intermédiaire; Porphyre de</b></p>	496.50	497.00	P261123	0.50	0.005	0.70	390.0	41.0

MAUDORE MINERALS Ltd

AC

Description	Analyse							
	De	À	Numéro	Longueur	Au_Final (g/l)	Ag_Final (ppm)	Cu_Final (ppm)	Zn_Final (ppm)
Feldspath et Amphibole	497.00	498.00	P261124	1.00	0.005	0.55	183.5	11.5
Intrusion intermédiaire à pFp et pAm	498.00	499.00	P261125	1.00	0.005	0.20	157.5	15.0
Couleur grise sombre-rose								
Matrice fine grise sombre								
Mouchetage de pFp roses automorphes (env. 15%) de 1-11mm								
pAm env. 10-15% en baguettes noires millimétriques alignées dans le sens de la foliation								
Quelques petites veines apliques inférieures à 10cm								
Silicification pervasive forte								
Traces de Py en grains disséminés infra-millimétriques.								
Contact sup net fracturé concordant 60deg AC								
Contact inf net concordant 70deg AC.								
499.00 516.00 I1B Granite Beelher	499.00	500.00	P261126	1.00	0.005	0.20	94.0	271.0
516.00 Fin du sondage Nombre d'échantillons : 213 Nombre d'échantillons QAQC : 25 Longueur totale échantillonnée : 216.10								

MAUDORE MINERALS Ltd

AC

QAQC

De	À	Numéro	Référence	Longueur	Au (g/t)	Ag (ppm)	Cu (ppm)	Zn (ppm)
0.00	0.00	P153604	Blank	0.00	-0.01	-0.2	13	25
0.00	0.00	P153521	Blank	0.00	-0.01	0.3	11	17
0.00	0.00	P153524	SK62	0.00	4.04	1.0	90	104
0.00	0.00	P153530	Blank	0.00	0.01	-0.2	14	25
0.00	0.00	P153541	SQ48	0.00	29.00	1.1	65	93
0.00	0.00	P153566	Blank	0.00	-0.01	-0.2	13	20
0.00	0.00	P153569	SH55	0.00	1.28	1.5	103	173
0.00	0.00	P153591	Blank	0.00	-0.01	-0.2	13	19
0.00	0.00	P153597	SK62	0.00	3.93	1.1	87	93
0.00	0.00	M105979	Blank	0.00	-0.01	-0.2	9	26
0.00	0.00	P153620	SQ48	0.00	29.70	1.0	63	89
0.00	0.00	P261010	Blank	0.00	-0.01	-0.2	13	22
0.00	0.00	P261016	SQ48	0.00	30.00	0.9	65	97
0.00	0.00	P261037	Blank	0.00	-0.01	-0.2	11	28
0.00	0.00	P261044	SH65	0.00	1.29	1.4	97	164
0.00	0.00	P261104	Blank	0.00	-0.01	-0.2	14	22
0.00	0.00	P261120	SK62	0.00	3.78	1.1	93	105
145.10	146.60	P153537	P153515	1.50	-0.01	0.2	9	50
185.00	186.00	P153559	P153535	1.00	0.01	-0.2	13	74
212.50	214.00	P153579	P153553	1.50	0.02	-0.2	36	118
272.00	273.50	P153612	P153586	1.50	0.01	-0.2	26	41
314.50	315.50	P153629	P153617	1.00	0.05	0.2	85	97
433.00	434.00	P261028	P261019	1.00	-0.01	-0.2	14	24
466.40	467.90	P261106	P261047	1.50	0.02	-0.2	42	5
497.00	498.00	P261132	P261124	1.00	-0.01	0.6	193	10

## Géochimie

De	À	Numéro	Longueur	Description	SiO <sub>2</sub> (%)	Al <sub>2</sub> O <sub>3</sub> (%)	Fe <sub>2</sub> O <sub>3</sub> (%)	CaO (%)
49.00	49.50	P151376	0.50		61.83	14.40	3.97	4.32
80.00	80.50	P151377	0.50		60.71	14.93	5.88	6.45
111.30	111.80	P151378	0.50		56.79	14.84	7.15	7.01
143.10	143.60	P151400	0.50		63.37	15.37	5.01	5.28
175.20	175.70	P151401	0.50		61.89	15.46	6.34	5.15
203.40	203.90	P151407	0.50		61.31	15.48	5.93	5.70
230.60	231.10	P151408	0.50		61.98	14.22	6.06	6.15
259.90	260.40	P151409	0.50		59.49	15.36	6.36	4.51
291.50	292.00	P151413	0.50		62.41	14.79	4.94	7.62
321.00	321.50	P151414	0.50		62.83	15.07	5.58	4.28
348.40	348.90	P151415	0.50		63.73	15.30	6.23	5.22
378.50	379.00	P299098	0.50		62.70	14.80	6.10	5.49
408.50	409.00	P299099	0.50		66.40	15.40	3.90	3.65
436.00	436.50	P299100	0.50		67.70	15.60	2.96	2.99
462.50	463.00	P299121	0.50		52.20	14.30	8.86	9.77
491.60	492.10	P299122	0.50		47.90	12.05	13.00	14.40

AC

## Géochimie

De	À	Numéro	Longueur	MgO (%)	Na2O (%)	K2O (%)	Cr2O3 (%)	TiO2 (%)	MnO (%)	P2O5 (%)
49.00	49.50	P151376	0.50	2.64	5.25	2.43	0.01	0.40	0.07	0.08
80.00	80.50	P151377	0.50	3.94	3.51	0.87	0.02	0.53	0.11	0.21
111.30	111.80	P151378	0.50	5.59	2.91	1.59	0.03	0.69	0.12	0.16
143.10	143.60	P151400	0.50	3.30	2.89	1.53	0.02	0.44	0.08	0.09
175.20	175.70	P151401	0.50	3.30	4.15	1.18	0.02	0.55	0.09	0.12
203.40	203.90	P151407	0.50	3.41	3.28	1.48	0.01	0.53	0.09	0.10
230.60	231.10	P151408	0.50	4.71	3.03	1.05	0.03	0.45	0.10	0.09
259.90	260.40	P151409	0.50	4.39	4.88	0.83	0.02	0.54	0.11	0.11
291.50	292.00	P151413	0.50	3.95	2.02	1.69	0.03	0.36	0.08	0.08
321.00	321.50	P151414	0.50	2.92	4.71	1.17	-0.01	0.52	0.15	0.14
348.40	348.90	P151415	0.50	2.68	1.92	1.88	0.01	0.50	0.10	0.12
378.50	379.00	P299098	0.50	3.05	3.99	1.16	0.01	0.59	0.10	0.13
408.50	409.00	P299099	0.50	1.62	5.36	0.88	0.01	0.35	0.04	0.12
436.00	436.50	P299100	0.50	1.41	7.07	0.26	0.01	0.33	0.04	0.10
462.50	463.00	P299121	0.50	8.36	3.16	1.14	0.05	0.89	0.16	0.29
491.60	492.10	P299122	0.50	5.13	2.47	0.65	0.07	0.83	0.17	0.20

MAUDORE MINERALS Ltd

AC

Géochimie

De	À	Numéro	Longueur	SrO (%)	BaO (%)	LOI (%)	Total (%)	Nb (ppm)	Ba (ppm)	Rb (ppm)
49.00	49.50	P151376	0.50	0.01	0.04	4.38	99.84	3	240	53
80.00	80.50	P151377	0.50	0.04	0.03	2.39	99.62	4	210	24
111.30	111.80	P151378	0.50	0.03	0.06	2.50	99.47	5	460	38
143.10	143.60	P151400	0.50	0.04	0.04	2.02	99.49	3	320	48
175.20	175.70	P151401	0.50	0.03	0.03	1.60	99.91	4	230	29
203.40	203.90	P151407	0.50	0.04	0.04	2.05	99.46	4	300	32
230.60	231.10	P151408	0.50	0.04	0.03	2.02	99.96	4	220	25
259.90	260.40	P151409	0.50	0.03	0.03	3.05	99.72	4	210	28
291.50	292.00	P151413	0.50	0.05	0.03	1.57	99.61	3	350	56
321.00	321.50	P151414	0.50	0.04	0.02	2.61	100.05	4	240	54
348.40	348.90	P151415	0.50	0.06	0.05	2.33	100.15	4	460	87
378.50	379.00	P299098	0.50	0.05	0.03	1.68	99.88	5	296	47
408.50	409.00	P299099	0.50	0.05	0.03	0.54	98.35	3	280	28
436.00	436.50	P299100	0.50	0.04	0.01	1.40	99.92	4	122	10
462.50	463.00	P299121	0.50	0.07	0.04	1.69	100.98	7	309	46
491.60	492.10	P299122	0.50	0.06	0.01	1.48	98.42	7	124	46



MAUDORE MINERALS Ltd

AC

Géochimie

De	À	Numéro	Longueur	Zr (ppm)	Y (ppm)	Sr (ppm)	Au (ppm)	Ag (ppm)	Al (%)	As (ppm)
49.00	49.50	P151376	0.50	104	7	137	-0.005	0.30	1.61	-2
80.00	80.50	P151377	0.50	112	11	456	-0.005	0.30	1.78	-2
111.30	111.80	P151378	0.50	119	12	283	-0.005	0.20	2.24	-2
143.10	143.60	P151400	0.50	115	7	404	0.016	0.20	2.27	-2
175.20	175.70	P151401	0.50	122	10	299	0.009	-0.2	1.66	-2
203.40	203.90	P151407	0.50	113	11	397	0.005	-0.2	2.20	2
230.60	231.10	P151408	0.50	116	10	386	-0.005	-0.2	1.78	-2
259.90	260.40	P151409	0.50	124	12	366	-0.005	-0.2	1.61	-2
291.50	292.00	P151413	0.50	90	7	497	0.133	0.40	2.32	-2
321.00	321.50	P151414	0.50	131	10	362	0.013	-0.2	1.59	-2
348.40	348.90	P151415	0.50	133	10	544	0.005	-0.2	1.81	-2
378.50	379.00	P299098	0.50	130	11	434	0.005	-0.5		-0.1
408.50	409.00	P299099	0.50	110	8	442	-0.005	-0.5		0
436.00	436.50	P299100	0.50	120	8	298	0.006	-0.5		0
462.50	463.00	P299121	0.50	130	19	569	-0.005	-0.5		0
491.60	492.10	P299122	0.50	90	19	506	0.009	-0.5		1

AC

Géochimie

De	À	Numéro	Longueur	B (ppm)	Ba Econo (ppm)	Be (ppm)	Bi (ppm)	Ca (%)	Cd (ppm)	Co (ppm)
49.00	49.50	P151376	0.50	-10		-0.5	-2	2.87	-0.5	12
80.00	80.50	P151377	0.50	-10		-0.5	-2	1.83	-0.5	13
111.30	111.80	P151378	0.50	-10		-0.5	-2	1.91	-0.5	16
143.10	143.60	P151400	0.50	10		-0.5	-2	1.48	-0.5	14
175.20	175.70	P151401	0.50	-10		-0.5	-2	1.06	-0.5	15
203.40	203.90	P151407	0.50	-10		-0.5	-2	1.33	-0.5	15
230.60	231.10	P151408	0.50	-10		-0.5	-2	1.35	-0.5	12
259.90	260.40	P151409	0.50	-10		-0.5	-2	1.44	-0.5	15
291.50	292.00	P151413	0.50	20		-0.5	-2	1.43	-0.5	12
321.00	321.50	P151414	0.50	-10		-0.5	-2	1.63	0.7	14
348.40	348.90	P151415	0.50	-10		-0.5	-2	1.37	-0.5	13
378.50	379.00	P299098	0.50				0		-0.5	19
408.50	409.00	P299099	0.50				0		-0.5	9
436.00	436.50	P299100	0.50				0		-0.5	8
462.50	463.00	P299121	0.50				0		-0.5	34
491.60	492.10	P299122	0.50				1		0.6	50

MAUDORE MINERALS Ltd

AC

Géochimie

De	À	Numéro	Longueur	Cr (ppm)	Cu (ppm)	Fe (%)	Ga (ppm)	Hg (ppm)	K (%)	La (ppm)
49.00	49.50	P151376	0.50	86	49	2.55	10	-1	0.05	10
80.00	80.50	P151377	0.50	88	66	2.35	10	-1	0.38	10
111.30	111.80	P151378	0.50	141	32	2.66	10	-1	0.99	10
143.10	143.60	P151400	0.50	77	73	2.29	10	-1	0.35	10
175.20	175.70	P151401	0.50	82	7	2.64	10	-1	0.64	10
203.40	203.90	P151407	0.50	63	29	2.69	10	-1	0.89	10
230.60	231.10	P151408	0.50	107	31	1.96	10	-1	0.51	10
259.90	260.40	P151409	0.50	112	56	2.77	10	-1	0.12	10
291.50	292.00	P151413	0.50	65	206	1.93	10	-1	0.64	10
321.00	321.50	P151414	0.50	54	67	2.85	10	-1	0.13	10
348.40	348.90	P151415	0.50	47	41	2.64	10	-1	0.59	10
378.50	379.00	P299098	0.50	110	12		19	-0.005		17
408.50	409.00	P299099	0.50	50	1		19	-0.005		15
436.00	436.50	P299100	0.50	50	14		19	-0.005		16
462.50	463.00	P299121	0.50	380	12		18	-0.005		41
491.60	492.10	P299122	0.50	630	308		16	-0.005		18

MAUDORE MINERALS Ltd

AC

Géochimie

De	À	Numéro	Longueur	Mg (%)	Mn (ppm)	Mo (ppm)	Na (%)	Ni (ppm)	P (ppm)	Pb (ppm)
49.00	49.50	P151376	0.50	1.48	469	1	0.08	58	360	-2
80.00	80.50	P151377	0.50	1.35	334	-1	0.15	54	930	-2
111.30	111.80	P151378	0.50	1.86	340	1	0.15	101	700	-2
143.10	143.60	P151400	0.50	1.28	280	-1	0.14	62	410	4
175.20	175.70	P151401	0.50	1.16	280	-1	0.09	48	500	-2
203.40	203.90	P151407	0.50	1.41	339	-1	0.13	51	420	-2
230.60	231.10	P151408	0.50	1.33	206	-1	0.11	62	390	2
259.90	260.40	P151409	0.50	1.75	395	-1	0.07	65	480	-2
291.50	292.00	P151413	0.50	1.06	223	-1	0.15	45	330	3
321.00	321.50	P151414	0.50	1.27	640	1	0.08	39	590	37
348.40	348.90	P151415	0.50	1.03	319	5	0.07	45	450	-2
378.50	379.00	P299098	0.50			3		54		4
408.50	409.00	P299099	0.50			-1		20		2
436.00	436.50	P299100	0.50			-1		14		-2
462.50	463.00	P299121	0.50			-1		315		-2
491.60	492.10	P299122	0.50			-1		95		2

AC

Géochimie

De	À	Numéro	Longueur	S (%)	Sb (ppm)	Sc (ppm)	Th (ppm)	Sr Econo (ppm)	Ti (%)	Ti (ppm)
49.00	49.50	P151376	0.50	0.01	-2	7	-20		0.20	-10
80.00	80.50	P151377	0.50	-0.01	-2	6	-20		0.13	-10
111.30	111.80	P151378	0.50	-0.01	-2	6	-20		0.22	-10
143.10	143.60	P151400	0.50	0.09	-2	5	-20		0.15	-10
175.20	175.70	P151401	0.50	0.04	-2	6	-20		0.16	-10
203.40	203.90	P151407	0.50	0.02	-2	7	-20		0.18	-10
230.60	231.10	P151408	0.50	0.05	-2	5	-20		0.13	-10
259.90	260.40	P151409	0.50	0.02	-2	8	-20		0.18	-10
291.50	292.00	P151413	0.50	0.15	-2	4	-20		0.13	-10
321.00	321.50	P151414	0.50	0.12	-2	7	-20		0.19	-10
348.40	348.90	P151415	0.50	0.03	-2	6	-20		0.12	-10
378.50	379.00	P299098	0.50	0.02	-0.05	10	2			-0.5
408.50	409.00	P299099	0.50	0.10	-0.05	6	2			-0.5
436.00	436.50	P299100	0.50	-0.01	-0.05	5	2			-0.5
462.50	463.00	P299121	0.50	0.05	0	21	3			-0.5
491.60	492.10	P299122	0.50	2.00	-0.05	26	2			-0.5

AC

Géochimie

De	À	Numéro	Longueur	U (ppm)	V (ppm)	W (ppm)	Zn (ppm)
49.00	49.50	P151376	0.50	-10	65	-10	42
80.00	80.50	P151377	0.50	-10	63	-10	39
111.30	111.80	P151378	0.50	-10	76	-10	52
143.10	143.60	P151400	0.50	-10	55	-10	59
175.20	175.70	P151401	0.50	-10	67	-10	56
203.40	203.90	P151407	0.50	-10	76	-10	66
230.60	231.10	P151408	0.50	-10	55	-10	54
259.90	260.40	P151409	0.50	-10	70	-10	53
291.50	292.00	P151413	0.50	-10	44	-10	55
321.00	321.50	P151414	0.50	-10	71	-10	135
348.40	348.90	P151415	0.50	-10	55	-10	47
378.50	379.00	P299098	0.50	1	95	1	53
408.50	409.00	P299099	0.50	0	51	-1	14
436.00	436.50	P299100	0.50	1	43	-1	14
462.50	463.00	P299121	0.50	1	201	1	77
491.60	492.10	P299122	0.50	0	226	2	41

MAUDORE MINERALS Ltd

Sondage : COM-12-898  
 Titre minier : 5135758  
 Section : G1800E  
 Canton : Comtois  
 Niveau : Surface  
 Rang : VIII  
 Place de travail : Lebel-Sur-Quévillon  
 Foré par : Forages M. Rouillier Inc  
 Lot : 38  
 Décrit par : JG. Merdy  
 Du : 2012-05-12  
 Date de description : 2012-06-21  
 Au : 2012-05-14


Collet

	UTM	Locales	GREER
Azimut : 330.00°	Est 340 137.86	1 533.12	1 799.64
Plongée : -46.00°	Nord 5 442 578.84	-720.62	1 391.29
Longueur : 202.00 m	Élévation 306.68	306.68	306.68

Déviations

Type	Profondeur	Azimut	Plongée	Invalide	Description
Reflex	0.00	330.00°	-46.00°	Non	
Reflex	13.00	352.80°	-46.10°	Oui	90196
Reflex	16.00	330.70°	-45.50°	Non	57652
Reflex	19.00	330.60°	-45.20°	Non	56459
Reflex	22.00	329.80°	-45.20°	Non	56024
Reflex	25.00	331.10°	-43.90°	Oui	55605
Reflex	28.00	329.70°	-44.80°	Non	55419
Reflex	31.00	329.20°	-44.80°	Oui	55188
Reflex	34.00	332.30°	-42.10°	Oui	55204
Reflex	37.00	329.80°	-44.50°	Non	55398
Reflex	40.00	330.20°	-44.40°	Non	55053
Reflex	43.00	315.40°	-52.60°	Oui	55187

Description  
 GRE-12-16. Position collet, arpenté Juin 2012, par Descarreaux & Dubé.



Dimension de la carotte : Carotte NQ  
 Cimenté : Non  
 Entreprisé : Oui

MAUDORE MINERALS Ltd

AK

Déviations

Type	Profondeur	Azimut	Plongée	Invalide	Description
Reflex	46.00	329.00°	-44.40°	Oui	55498
Reflex	49.00	328.60°	-44.10°	Oui	54952
Reflex	52.00	330.30°	-44.00°	Non	55075
Reflex	55.00	331.00°	-43.60°	Oui	55398
Reflex	58.00	330.40°	-43.80°	Non	55345
Reflex	61.00	330.30°	-43.80°	Non	55567
Reflex	64.00	330.60°	-43.70°	Non	55350
Reflex	67.00	329.90°	-43.60°	Non	55425
Reflex	70.00	330.10°	-43.50°	Non	55129
Reflex	73.00	330.00°	-43.50°	Non	55196
Reflex	76.00	330.00°	-43.60°	Non	55222
Reflex	79.00	331.40°	-41.60°	Oui	55236
Reflex	82.00	334.40°	-38.40°	Oui	55460
Reflex	85.00	330.80°	-43.50°	Non	55451
Reflex	88.00	330.70°	-43.50°	Non	55406
Reflex	91.00	330.80°	-43.50°	Non	55422
Reflex	94.00	330.90°	-43.50°	Non	55403
Reflex	97.00	330.90°	-43.50°	Non	55470
Reflex	100.00	331.50°	-42.90°	Oui	55484
Reflex	103.00	331.30°	-43.50°	Non	55497
Reflex	106.00	331.10°	-43.40°	Non	55249
Reflex	109.00	331.90°	-43.40°	Non	55610
Reflex	112.00	331.50°	-43.40°	Non	55354
Reflex	115.00	331.60°	-43.40°	Non	55313
Reflex	118.00	331.80°	-43.30°	Non	55394
Reflex	121.00	331.00°	-43.20°	Non	55418
Reflex	124.00	331.60°	-43.10°	Non	55466
Reflex	127.00	331.00°	-43.00°	Non	55062
Reflex	130.00	331.50°	-43.00°	Non	55384
Reflex	133.00	330.60°	-43.00°	Non	55310
Reflex	136.00	330.60°	-42.90°	Non	55195
Reflex	139.00	330.60°	-42.60°	Oui	55237
Reflex	142.00	330.30°	-42.80°	Non	55242
Reflex	145.00	330.50°	-42.80°	Non	55236



Ac

Déviation

Type	Profondeur	Azimet	Plongée	Invalide	Description
Reflex	148.00	330.70°	-42.80°	Non	55216
Reflex	151.00	331.10°	-42.80°	Non	55387
Reflex	154.00	331.20°	-42.70°	Non	55362
Reflex	157.00	330.90°	-42.80°	Non	55350
Reflex	160.00	330.20°	-44.30°	Oui	55390
Reflex	163.00	332.50°	-41.00°	Oui	55405
Reflex	166.00	333.80°	-41.00°	Oui	55376
Reflex	169.00	332.00°	-42.70°	Non	55547
Reflex	172.00	331.90°	-42.70°	Non	55561
Reflex	175.00	331.40°	-42.50°	Oui	55486
Reflex	178.00	330.80°	-42.70°	Non	55330
Reflex	181.00	330.80°	-42.70°	Non	55363
Reflex	184.00	331.10°	-42.00°	Oui	55410
Reflex	187.00	331.20°	-42.60°	Non	55407
Reflex	190.00	331.00°	-42.60°	Non	55436
Reflex	193.00	330.40°	-43.40°	Oui	55713
Reflex	196.00	336.30°	-41.00°	Oui	55505
Reflex	199.00	330.00°	-43.00°	Oui	55066
Reflex	202.00	331.40°	-42.40°	Non	55066

MAUDORE MINERALS Ltd

Ac

Description			Analyse							
			De	À	Numéro	Longueur	Au_Final (g/t)	Ag_Final (ppm)	Cu_Final (ppm)	Zn_Final (ppm)
0.00	6.00	<p>MT</p> <p>Mort Terrain</p> <p>Casing</p>								
6.00	181.00	<p>V2-V3; T1</p> <p>Volcanite intermédiaire à mafique; Tuf à lapillis</p> <p>Roche volcanique intermédiaire à mafique, à lapillis de taille variable, millimétriques à pluri-cm</p> <p>Teinte généralement gris sombre</p> <p>Matrice à grains fins de couleur gris moyens à foncé, verdâtre.</p> <p>Localement plusieurs passages altérés beaucoup plus clairs, avec de la Pa (teinte verte-bleue) et moins de clastes (5%)</p> <p>Foliation moyenne entre 40-45 deg AC marquée par un fort rubanement produit par l'alternance de bandes (clastes) mm à cm blanchâtres-verdâtres-brunâtres et par la présence locale de veinules de carbonates et d'hématite.</p> <p>50-60% de clastes étirés dans le sens de la foliation jusqu'à 31.4, puis 10-20%.</p> <p>2-3% de Vn-Vnl de Cb-Qz blanches irrégulières.</p> <p>Présence de rares pQz bleus (0.5-1%) millimétriques</p> <p>A partir de 124.9, altération trop importante pour distinguer les clastes, aspect de la roche très massif, quelques zones plus claires millimétriques à centimétriques : lessivage conduisant à des "fantômes" de clastes.</p> <p>Altérations :</p> <p>De 6-18 : Si forte pervasive , Bt et Chl forts en clastes, Cb faible en veinules millimétriques, Sr faible autour des veinules de carbonates.</p> <p>De 18-19 : Si forte pervasive, Cb forts pervasifs et en bandes centimétriques et en veinules millimétriques, Pa moyenne pervasive, Chl faible à moyen en clastes, Sr faible en bandes millimétriques.</p> <p>De 19-27.5 : Si intense pervasive et en veines de quartz blanc, Bt forte en clastes (localement intense), Chl forte en clastes, Cb faible en veinules millimétriques et patch 1-2cm.</p>								

AC

Description	Analyse							
	De	À	Numéro	Longueur	Au_Final (g/t)	Ag_Final (ppm)	Cu_Final (ppm)	Zn_Final (ppm)
<p>De 27.5-31.4 : Si forte pervasive, Pa moyenne pervasive, Sr moyen en bandes 1-2mm, Chl moyen en clastes, Cb faibles en bandes de Cc blanche millimétriques.</p> <p>De 31.4-57.5 : Si intense pervasive, Bt forte en clastes, Chl moyenne en clastes, Cb faibles en bandes centimétriques et veinules millimétriques, Sr en traces associée aux carbonates. Très localement, Pa moyenne et mouchetage de FK faible.</p> <p>De 57.5-108.7 : Si intense pervasive et en veines/veinules de quartz blanc, Hm moyenne en veinules millimétriques rouges et pervasive, Cb moyens en patchs centimétriques, bandes et veinules millimétriques, Sr faible en veinules millimétriques et bandes, Bt faible en clastes, Chl faible en clastes.</p> <p>De 108.7-124.9 : Diminution du nombre de clastes (5%), Si forte pervasive, Cb moyens en patchs pluri-centimétriques et veinules millimétriques à centimétriques, Chl moyenne en clastes, Bt moyen en clastes, Sr moyen en bandes centimétriques et en patchs principalement autour des carbonates, Pa faible en fantômes et en bandes bleuâtres.</p> <p>De 124.9-156.1 : Roche beaucoup plus massive, à grains fins, noire (I3?), Si forte pervasive et en veinules de quartz blanc, Sr moyen en bandes et fantômes de clastes, Cb faibles en patchs centimétriques étirés et veinules millimétriques, Hm et Ép en traces en veinules millimétriques, Chl et Pa en traces en bandes. Mouchetage de FK env. 2-3% (augmente sur la fin de l'intervalle). Nombreuses veines de I1B.</p> <p>De 156.1-156.7 : Si forte pervasive, Pa moyen en liserés de micas blancs et bandes pluri-centimétriques pervasives, Cb faible en bandes et veinules, Chl et Bt en traces en clastes.</p> <p>De 156.7-158.5 : Si forte pervasive, Mouchetage de FK fort (20-30%), Cb faibles en veinules millimétriques.</p> <p>De 158.5-173 : Si forte pervasive, Cb forts pervasifs, en bandes pluri-centimétriques et en veinules, Chl</p>								

Description	Analyse							
	De	À	Numéro	Longueur	Au_Final (g/l)	Ag_Final (ppm)	Cu_Final (ppm)	Zn_Final (ppm)
<p>forte en patchs pluri-centimétriques et pervasive, Hm, Sr et Ép faibles en veinules millimétriques, Bt en traces en clastes millimétriques.</p> <p>De 173-181 : Si forte pervasive et en veinules de quartz blanc, Sr moyen en bandes et fantômes de clastes, Cb faibles en patchs centimétriques étirés et veinules millimétriques, Hm en traces en veinules millimétriques, Chl en traces en bandes.</p> <p>Minéralisations :</p> <p>De 6.6-11 : Py 0.5% en grains disséminés et veinules millimétriques.</p> <p>De 12.5-14.7 : Py 0.5% en grains disséminés, en alignements de grains et en veinules millimétriques.</p> <p>Po en traces en alignements de grains et patchs centimétriques.</p> <p>De 16.6-21.3 : Py 0.5% en veinules, grains disséminés millimétriques et amas pluri-millimétriques étirés dans le sens de la foliation, Po en traces en alignements de grains et patchs centimétriques.</p> <p>De 23.2-26.2 : Py 0.5% en veinules, grains disséminés millimétriques et amas pluri-millimétriques étirés dans le sens de la foliation. Cpy en traces en grains disséminés millimétriques associés aux grains de Py. Po en traces en alignements de grains.</p> <p>De 31-37.3 : Py 0.5% en veinules, grains disséminés millimétriques et amas pluri-millimétriques étirés dans le sens de la foliation. Po en traces en alignements de grains et amas centimétriques.</p> <p>De 39.5-41 : Py 1% en alignements de grains, en grains disséminés et en amas centimétriques étirés dans le sens de la foliation. Po 0.5% en alignements de grains et en amas centimétriques. Cpy en traces en grains disséminés associés aux grains de Py.</p> <p>De 125.5-129.3 : Py 0.5% en fines veinules millimétriques (20%), en grains disséminés (20%) et en alignements de grains millimétriques (60%). Cpy en traces en grains disséminés allongés dans le sens de la foliation millimétriques.</p> <p>De 144.1-146.7 : Py et Cpy en traces en alignements de grains associés aux veinules de Cb-Sr.</p>								

MAUDORE MINERALS Ltd

AK

Description	Analyse							
	De	À	Numéro	Longueur	Au_Final (g/t)	Ag_Final (ppm)	Cu_Final (ppm)	Zn_Final (ppm)
<p>De 163.6-169.2 : Py et Po en traces en alignements de grains (60%), en grains disséminés millimétriques (30%) et en amas pluri-millimétriques (10%)</p> <p>De 169.8-170.3 : Cpy 0.5% en amas 1-2mm autour d'une veine de quartz blanc.</p> <p>De 173-173.5 : Py 5% en grains disséminés millimétriques (80%) et en amas 2-3mm (20%).</p> <p>Excepté :</p> <p>29.6-31 : I2; pFpAm</p> <p>41-44.2 : I1B</p> <p>46-50.6 : I1B</p> <p>65.1-78.4 : I1B</p> <p>78.4-85.3 : I3?</p> <p>85.3-86.7 : I1B</p> <p>86.7-88.3 : I3; FIN</p> <p>88.3-91.9 : I3?</p> <p>91.9-92.4 : I1F</p> <p>92.4-102.7 : I3?</p> <p>102.7-103.9 : I1B</p> <p>103.9-108.7 : I3?</p> <p>114.7-115.8 : I1F; I1G</p> <p>118.1-118.7 : I1F; I1G</p> <p>121.5-122 : I1F; I1G</p> <p>122.9-123.4 : I1F; I1G</p> <p>123.9-124.5 : I1F; I1G</p> <p>137.6-138.2 : I1B</p> <p>175.7-181 : I1F; I1G</p> <p>Structures :</p> <p>De 6-12.5 : Fracturation forte avec des blocs anguleux de 0.5-2cm et des lambeaux de carottes 4-20cm, présence de possibles failles à 9.2m et 12.4m.</p> <p>Veines :</p> <p>De 53.1-53.4 : Veine à Qz-Cb-Hm-Chl, pas de minéralisations, contact sup fracturé, contact inf net discordant 20deg AC.</p> <p>Contact sup non recoupé</p>								

MAUDORE MINERALS Ltd

AC

Description			Analyse							
			Dé	À	Numéro	Longueur	Au_Final (g/t)	Ag_Final (ppm)	Cu_Final (ppm)	Zn_Final (ppm)
6.00	18.00	Contact inf irrégulier SIL+; BO+; Chl+; CB-; SR- Silicification forte; Blotisation forte; Chloritisation forte; Carbonatation faible; Séricitisation faible Si forte pervasive, Bt et Chl forts en clastes, Cb faible en veinules millimétriques, Sr faible autour des veinules de carbonates.								
6.00	12.50	FRC+; FAI Fracturation forte; Faille Fracturation forte avec des blocs anguleux de 0.5-2cm et des lambeaux de carottes 4-20cm, présence de possibles failles à 9.2m et 12.4m.								
6.60	11.00	Py00.5 Pyrite 0.5% Py 0.5% en grains disséminés et veinules millimétriques.	6.60	7.40	P153412	0.80	0.005	0.10	17.0	38.0
			7.40	8.40	P153413	1.00	0.310	0.50	272.0	73.0
			8.40	9.40	P153414	1.00	0.030	0.10	60.0	44.0
			9.40	9.90	P153415	0.50	0.010	0.10	9.0	36.0
			9.90	10.90	P153417	1.00	0.010	0.10	35.0	30.0
12.50	14.70	Py00.5; Potr Pyrite 0.5%; Pyrrhotine tr Py 0.5% en grains disséminés, en alignements de grains et en veinules millimétriques. Po en traces en alignements de grains et patches centimétriques.	12.50	13.40	P153418	0.90	0.030	0.10	30.0	38.0
			13.40	14.40	P153419	1.00	0.010	0.10	16.0	33.0
			14.40	15.40	P153420	1.00	0.020	0.10	55.0	47.0
			15.40	15.90	P151360	0.50	0.013	0.10	31.0	43.0
			15.90	16.90	P153421	1.00	0.010	0.10	29.0	45.0
16.60	21.30	Py00.5; Potr Pyrite 0.5%; Pyrrhotine tr Py 0.5% en veinules, grains disséminés millimétriques et amas pluri-millimétriques étirés dans le sens de la foliation. Po en traces en alignements de grains et patches centimétriques.	16.90	17.90	P153422	1.00	0.010	0.10	7.0	31.0
			17.90	18.90	P153423	1.00	0.005	0.10	13.0	19.0
18.00	19.00	SIL+; CB+; PA; Chl-; SR- Silicification forte;	18.90	19.50	P153424	0.60	0.005	0.10	4.0	39.0

MAUDORE MINERALS Ltd

AK

Description			Analyse							
			De	À	Numéro	Longueur	Au_Final (g/t)	Ag_Final (ppm)	Cu_Final (ppm)	Zn_Final (ppm)
19.00	27.50	<p>Carbonatisation forte; Paragonite; Chloritisation faible; Séricitisation faible</p> <p>Si forte pervasive, Cb forts pervasifs et en bandes centimétriques et en veinules millimétriques, Pa moyenne pervasive, Chl faible à moyen en clastes, Sr faible en bandes millimétriques.</p>	19.50	21.00	P153425	1.50	0.005	0.10	9.0	57.5
			21.00	22.00	P153426	1.00	0.010	0.10	9.0	63.0
			22.00	23.20	P153427	1.20	0.020	0.10	17.0	75.0
			23.20	23.70	P153428	0.50	0.060	0.20	265.0	93.0
23.30	26.20	<p>Py00.5; Cptr; Potr</p> <p>Pyrite 0.5%; Chalcopyrite tr; Pyrrholite tr</p> <p>Py 0.5% en veinules, grains disséminés millimétriques et amas pluri-millimétriques étirés dans le sens de la foliation. Cpy en traces en grains disséminés millimétriques associés aux grains de Py. Po en traces en alignements de grains.</p>	23.70	24.70	P153430	1.00	0.070	0.10	189.0	93.0
			24.70	25.70	P153431	1.00	0.010	0.10	34.0	73.0
			25.70	26.20	P153432	0.50	0.010	0.10	52.0	69.0
			26.20	27.20	P153433	1.00	0.005	0.10	13.0	55.0
27.50	31.40	<p>SIL+; PA; SR; CB-</p> <p>Silicification forte; Paragonite; Séricitisation; Carbonatisation faible</p> <p>Si forte pervasive, Pa moyenne pervasive, Sr moyen en bandes 1-2mm, Chl moyen en clastes, Cb faibles en bandes de Cc blanche millimétriques.</p> <p>Excepté : 29.6-31 : I2; pFpAm</p>								

MAUDORE MINERALS Ltd

AC

Description			Analyse							
			De	À	Numéro	Longueur	Au_Final (g/t)	Ag_Final (ppm)	Cu_Final (ppm)	Zn_Final (ppm)
29.60	31.00	I2; pFpAm Intrusion intermédiaire; Porphyre de Feldspath et Amphibole 55° Intrusion intermédiaire à pFp et pAm Couleur grise claire Matrice fine grise Mouchetage de pFp blancs-roses (env. 30%) de 1-2mm pAm env. 2-3% en baguettes noires infra-millimétriques alignées dans le sens de la foliation Carbonates faibles en patchs de 1-2cm  Traces de Py en grains fins infra-mm disséminés  Contact sup net concordant 55deg AC Contact inf net fracturé env. 55deg AC	30.60	31.10	P153434	0.50	0.005	0.10	4.0	53.0
31.00	37.30	Py00.5; Potr Pyrite 0.5%; Pyrrhotine tr Py 0.5% en veinules, grains disséminés millimétriques et amas pluri-millimétriques étirés dans le sens de la foliation. Po en traces en alignements de grains et amas centimétriques.	31.10	31.60	P153435	0.50	0.015	0.20	29.0	21.0
31.40	57.50	SIL++; BO+; Chl; CB-; SRtr Silicification intense; Blotisation forte; Chloritisation; Carbonatation faible; Séricitisation tr Si intense pervasive, Bt forte en clastes. Chl moyenne en clastes, Cb faibles en bandes centimétriques et veinules millimétriques, Sr en traces associée aux carbonates. Très localement, Pa moyenne et mouchetage de FK faible.	31.60	32.60	P153436	1.00	0.010	0.10	27.0	64.0
			32.60	33.60	P153437	1.00	0.010	0.10	44.0	47.0
			33.60	34.60	P153439	1.00	0.020	0.10	30.0	81.0
			34.60	35.60	P153440	1.00	0.005	0.10	21.0	55.0
			35.60	36.80	P153441	1.20	0.010	0.10	43.0	77.0
			36.80	38.00	P153442	1.20	0.010	0.10	52.0	84.5
			38.00	39.00	P153443	1.00	0.010	0.10	25.0	63.0
			39.00	40.00	P153444	1.00	0.020	0.10	44.0	55.0
		Exceplé : 41-44.2 : I1B 46-50.6 : I1B								



MAUDORE MINERALS Ltd

AC

Description			Analyse							
			De	À	Numéro	Longueur	Au_Final (g/t)	Ag_Final (ppm)	Cu_Final (ppm)	Zn_Final (ppm)
39.50	41.00	Py01; Po0.5; Cptr <b>Pyrite 1%; Pyrrhotine 0.5%;                      Chalcopyrite tr</b> Py 1% en alignements de grains, en grains disséminés et en amas centimétriques étirés dans le sens de la foliation. Po 0.5% en alignements de grains et en amas centimétriques. Cpy en traces en grains disséminés associés aux grains de Py.	40.00	40.50	P153445	0.50	0.330	0.60	262.0	52.0
			40.50	41.20	P153447	0.70	0.005	0.10	27.0	49.0
41.00	44.20	I1B <b>Granite</b> Intrusion granitique Grains moyens Couleur rose 50% de FP (en Pfp roses de 1mm), 20% de Qtz, 20% Biotite et 10% Amphibole. Traces de py en grains disséminés Carbonates en traces en patchs 1-2cm  Contact sup net discordant 30deg AC Contact inf net discordant 45deg AC (avec une zone de recuit de 5cm)	43.70	44.70	P153448	1.00	0.005	0.10	37.0	32.0
			44.70	45.20	P151361	0.50	0.002	0.10	33.0	42.0
			45.20	46.20	P153449	1.00	0.005	0.10	10.0	45.0
48.00	50.60	I1B <b>Granite 30°</b> Intrusion granitique Grains moyens Couleur gris clair-rose 40% de FP (en Pfp blancs-roses de 1-2mm), 30% de Qtz, 25% Biotite et 5% Amphibole. Traces de py en grains disséminés Carbonates faibles en patchs 1-2cm et en veinules millimétriques, Hématite faible pervasive et en veinules millimétriques rouges.  Contact sup net discordant 30-35deg AC Contact inf net légèrement ondulant discordant env. 25-30deg AC	52.00	53.00	P153450	1.00	0.008	0.10	26.0	91.0
			53.00	54.00	P153451	1.00	0.010	0.10	50.0	63.0
53.10	53.40	VEI;100%;Qz Cb Hm Cl;;;	54.00	55.00	P153452	1.00	0.010	0.10	28.0	53.0

MAUDORE MINERALS Ltd

AK

Description			Analyse							
			De	À	Numéro	Longueur	Au_Final (g/t)	Ag_Final (ppm)	Cu_Final (ppm)	Zn_Final (ppm)
57.50	108.70	<p><b>Veine 100% Quartz Carbonate</b>  <b>Hématite Chlorite</b>                      Veine à Qz-Cb-Hm-Chl, pas de minéralisations, contact sup fracturé, contact inf net discordant 20deg AC.</p> <p>SIL++; HM; CB; SR-; BO-; Chl-  <b>Silicification intense;</b>  <b>Hématisation; Carbonatisation;</b>  <b>Séricitisation faible; Biotisation faible; Chloritisation faible</b></p> <p>Si intense pervasive et en veines/veinules de quartz blanc, Hm moyenne en veinules millimétriques rouges et pervasive, Cb moyens en patchs centimétriques, bandes et veinules millimétriques, Sr faible en veinules millimétriques et bandes. Bt faible en clastes, Chl faible en clastes.</p> <p>Exceplé :                      65.1-78.4 : I1B                      78.4-85.3 : I3?                      85.3-86.7 : I1B                      86.7-88.3 : I3; FIN                      88.3-91.9 : I3?                      91.9-92.4 : I1F                      92.4-102.7 : I3?                      102.7-103.9 : I1B                      103.9-108.7 : I3?</p>	62.00	63.00	P153453	1.00	0.005	0.10	27.0	46.0
			63.00	64.00	P153454	1.00	0.005	0.10	23.0	48.0
			64.00	65.00	P153455	1.00	0.010	0.10	57.0	56.0
65.10	78.40	<p>I1B  <b>Granite</b>                      Intrusion granitique                      Grains moyens                      Couleur rose                      50% de FP (en Pfp roses de 1-2mm), 20% de Qtz, 20% Biotite et 10% Amphibole.                      Traces de py en grains disséminés                      Carbonates faibles en patchs 1-2cm et en veinules millimétriques, Hématite en traces en veinules rouges millimétriques.</p>								

MAUDORE MINERALS Ltd

AC

Description		Analyse							
		De	À	Numéro	Longueur	Au_Final (g/t)	Ag_Final (ppm)	Cu_Final (ppm)	Zn_Final (ppm)
78.40	85.30								
Contact sup diffus (zone de recuit de 30cm) Contact inf net 20deg AC I3 Intrusion mafique? Intrusion mafique, de couleur gris sombre-verdâtre Matrice fine microgrenue Mouchetage de pFp (4-5%) roses de 1 à 3mm Nombreuses amphiboles en baguettes noires millimétriques Chlorite faible pervasive donnant sa couleur verdâtre à l'intrusion Hématite en traces en veinules rouges millimétriques Présence d'une veine pegmatitique de 20cm entre 84.6 et 84.8.  Traces de pyrite en grains disséminés millimétriques  Contact sup net 20deg AC Contact inf net 30deg AC									
85.30	86.70								
I1B Granite Intrusion granitique Grains moyens Couleur gris clair-rose 40% de FP (en Pfp blancs-roses de 1-2mm), 30% de Qtz, 25% Biotite et 5% Amphibole. Traces de py en grains disséminés Carbonates faibles en palchs 1-2cm et en veinules millimétriques, Hématite faible pervasive et en veinules millimétriques rouges.  Contact sup net 30deg AC Contact inf relativement net (recoupé par une veine de pegmatite) nev. 45deg AC									
86.70	88.30								
I3; FIN Intrusion mafique; Grains fins									

MAUDORE MINERALS Ltd

AC

Description		Analyse							
		De	À	Numéro	Longueur	Au_Final (g/t)	Ag_Final (ppm)	Cu_Final (ppm)	Zn_Final (ppm)
88.30	91.90								
Intrusion mafique à grains fins, de couleur grise-noire Matrice fine microgrenue Nombreux pAm en baguettes noires infra-mm Présence de quelques rares pFp (3-4%) roses 1-3mm possiblement arrachés aux granites ? Veinules de calcite (blanche, rose ou violette) mm en traces Hématisation en traces associée aux veinules de Cb Chlorite (mouchetage et pervasive) forte et baguettes d'amphiboles  Py en traces en grains disséminés infra-mm.  Contact sup relativement net 45deg AC Contact inf net 30deg AC I3 <b>Intrusion mafique?</b> Intrusion mafique, de couleur gris sombre-verdâtre Matrice fine microgrenue Mouchetage de pFp (4-5%) roses de 1 à 3mm Nombreuses amphiboles en baguettes noires millimétriques Chlorite faible pervasive donnant sa couleur verdâtre à l'intrusion Hémalite en traces en veinules rouges millimétriques Présence d'une veine pegmatitique de 5cm  Traces de pyrite en grains disséminés millimétriques  Contact sup net 30deg AC Contact inf net 45deg AC I1F Aplite Aplite Couleur rose Matrice aphanitique									
91.90	92.40								

MAUDORE MINERALS Ltd

BC

Description		Analyse							
		De	À	Numéro	Longueur	Au_Final (g/t)	Ag_Final (ppm)	Cu_Final (ppm)	Zn_Final (ppm)
92.40	102.70								
<p>Quelques pFp et pAm assez peu nombreux (5% chacuns)</p> <p>Pas de minéralisations</p> <p>Contact sup net 45deg AC</p> <p>Contact inf net irrégulier</p> <p>I3</p> <p><b>Intrusion mafique?</b></p> <p>Intrusion mafique, de couleur gris sombre-verdâtre</p> <p>Matrice fine microgrenue</p> <p>Mouchetage de pFp (2-3%) roses de 1 à 3mm</p> <p>Nombreuses amphiboles en baguettes noires millimétriques</p> <p>Chlorite faible pervasive donnant sa couleur verdâtre à l'intrusion</p> <p>Hématite en traces en veinules rouges millimétriques</p> <p>Traces de pyrite en grains disséminés millimétriques</p> <p>Contact sup net irrégulier</p> <p>Contact inf net irrégulier</p>									
102.70	103.90								
<p>I1B</p> <p><b>Granite</b></p> <p>Intrusion granitique</p> <p>Grains moyens</p> <p>Couleur gris clair-rose</p> <p>40% de FP (en Pfp blancs-roses de 1mm-1cm), 30% de Qtz, 25% Biotite et 5% Amphibole.</p> <p>Traces de py en grains disséminés</p> <p>Carbonates faibles en patchs 1-2cm et en veinules millimétriques, Hématite faible pervasive et en veinules millimétriques rouges.</p> <p>Contact sup net irrégulier</p> <p>Contact inf net 15deg AC</p>									

MAUDORE MINERALS Ltd

AC

Description			Analyse							
			De	À	Numéro	Longueur	Au_Final (g/l)	Ag_Final (ppm)	Cu_Final (ppm)	Zn_Final (ppm)
103.90	108.70	<p>I3</p> <p><b>Intrusion mafique?</b></p> <p>Intrusion mafique, de couleur gris sombre-verdâtre</p> <p>Matrice fine microgrenue</p> <p>Mouchetage de pFp (2-3%) blancs-roses de 1mm-2cm, ainsi que des "veinules" de feldspaths</p> <p>Nombreuses amphiboles en baguettes noires millimétriques</p> <p>Chlorite faible pervasive donnant sa couleur verdâtre à l'intrusion</p> <p>Traces de pyrite en grains disséminés millimétriques</p> <p>Contact sup net 15deg AC</p> <p>Contact inf diffus</p>								
108.70	124.90	<p>SIL+; Chl; BO; SR; CB; PA-</p> <p><b>Silicification forte; Chloritisation;</b></p> <p><b>Blotisation; Sérictisation;</b></p> <p><b>Carbonatation; Paragonite faible</b></p> <p>Diminution du nombre de clastes (5%), Si forte pervasive, Cb moyens en patchs pluri-centimétriques et veinules millimétriques à centimétriques, Chl moyenne en clastes, Bt moyen en clastes, Sr moyen en bandes centimétriques et en patchs principalement autour des carbonates, Pa faible en fantômes et en bandes bleuâtres.</p> <p>Excepté :</p> <p>114.7-115.8 : I1F; I1G</p> <p>118.1-118.7 : I1F; I1G</p> <p>121.5-122 : I1F; I1G</p> <p>122.9-123.4 : I1F; I1G</p> <p>123.9-124.5 : I1F; I1G</p>	110.50	112.00	P153456	1.50	0.005	0.10	12.0	30.0
			112.00	112.50	P151365	0.50	0.002	0.10	1.0	32.0
			112.50	114.00	P153457	1.50	0.010	0.10	49.0	32.0

AC

Description			Analyse						
			De	À	Numéro	Longueur	Au_Final (g/t)	Ag_Final (ppm)	Cu_Final (ppm)
114.70	115.80	IIF <b>Aplite; Pegmatite</b> Aplite-Pegmatite Couleur blanche-rose Matrice aphanitique dans les passages aplitiques, porphyrique dans les passages pegmatitiques.  Traces de Py en grains fins disséminés  Contact sup net légèrement ondulant 40deg AC Contact inf net légèrement ondulant 30deg AC							
118.10	118.70	IIF <b>Aplite; Pegmatite</b> Aplite-Pegmatite Couleur blanche-rose Matrice aphanitique dans les passages aplitiques, porphyrique dans les passages pegmatitiques.  Traces de Py en grains fins disséminés  Contact sup net irrégulier Contact inf net légèrement ondulant 35deg AC							
121.50	122.00	IIF <b>Aplite; Pegmatite</b> Aplite-Pegmatite Couleur blanche-rose Matrice aphanitique dans les passages aplitiques, porphyrique dans les passages pegmatitiques.  Traces de Py en grains fins disséminés  Contact sup irrégulier Contact inf irrégulier							
122.90	123.40	IIF <b>Aplite; Pegmatite</b> Aplite-Pegmatite Couleur blanche-rose							

MAUDORE MINERALS Ltd

AK

Description		Analyse							
		De	À	Numéro	Longueur	Au_Final (g/t)	Ag_Final (ppm)	Cu_Final (ppm)	Zn_Final (ppm)
123.90	124.50	124.80	125.80	P153458	1.00	0.010	0.10	2.0	22.0
<p>Matrice aphanitique dans les passages aplitiques, porphyrique dans les passages pegmatitiques.</p> <p>Traces de Py en grains fins disséminés</p> <p>Contact sup irrégulier Contact inf irrégulier</p> <p>I1F</p> <p><b>Aplite; Pegmatite</b> Aplite-Pegmatite Couleur blanche-rose Matrice aphanitique dans les passages aplitiques, porphyrique dans les passages pegmatitiques.</p> <p>Traces de Py en grains fins disséminés</p> <p>Contact sup irrégulier Contact inf irrégulier</p>									
124.90	156.10	125.80	126.80	P153459	1.00	0.005	0.10	7.5	17.5
125.50	129.30	126.80	127.80	P153461	1.00	0.005	0.10	12.0	14.0
<p>SIL+; SR; CB-; HMT; EPI; Chlr; PAtr Silicification forte; Séricitisation; Carbonatation faible; Hématitisation tr; Épidotisation tr; Chloritisation tr; Paragonite tr Roche beaucoup plus massive, à grains fins, noire (I37). Si forte pervasive et en veinules de quartz blanc, Sr moyen en bandes et fantômes de clastes, Cb faibles en patchs centriques étirés et veinules millimétriques, Hm et Ép en traces en veinules millimétriques, Chl et Pa en traces en bandes. Mouchetage de FK env. 2-3% (augmente sur la fin de l'intervalle). Nombreuses veines de I1B.</p> <p>Excepté : 137.6-138.2 : I1B</p> <p>Py00.5; Cptr <b>Pyrite 0.5%; Chalcopyrite tr</b> Py 0.5% en fines veinules millimétriques</p>									



MAUDORE MINERALS Ltd

AC

Description			Analyse								
			De	À	Numéro	Longueur	Au_Final (g/t)	Ag_Final (ppm)	Cu_Final (ppm)	Zn_Final (ppm)	
137.60	138.20	I1B <b>Granite</b> Intrusion granitique Grains moyens Couleur gris clair-rose 30% de FP (en Pfp blancs-roses de 1mm-8mm), 30% de Qtz, 30% Biotite et 10% Amphibole. Traces de py en grains disséminés Carbonates faibles en patchs 1-2cm et en veinules millimétriques.	127.80	128.30	P153462	0.50	0.110	0.40	407.0	26.0	
			128.30	128.80	P153464	0.50	0.100	0.40	410.0	19.0	
			128.80	129.80	P153465	1.00	0.010	0.20	113.0	18.0	
			140.50	142.00	P153466	1.50	0.005	0.10	2.0	16.0	
		142.00	142.50	P151366	0.50	0.002	0.10	1.0	15.0		
		142.50	144.00	P153467	1.50	0.005	0.10	0.5	17.0		
		144.00	144.50	P153468	0.50	0.010	0.10	90.0	18.0		
		144.10	146.70	Contact sup net 60deg AC Contact inf net irrégulier							
		144.50	145.00	Pytr; Cplr	0.50	0.030	0.10	297.0	14.0		
		145.00	146.00	<b>Pyrite tr; Chalcopyrite tr</b>	1.00	0.100	0.10	5.0	17.0		
146.00	147.00	Py et Cpy en traces en alignements de grains associés aux veinules de Cb-Sr.	1.00	0.030	0.10	62.0	17.0				
155.50	157.00		1.50	0.020	0.10	23.0	13.0				
156.10	156.70	SIL+; PA; CB-; Chlr; BOtr <b>Silicification forte; Paragonite;</b> <b>Carbonatation faible;</b> <b>Chloritisation tr; Biotisation tr</b> Si forte pervasive, Pa moyen en liserés de micas blancs et bandes pluri-centimétriques pervasives, Cb faible en bandes et veinules, Chl et Bt en traces en clastes.									
156.70	158.50	SIL+; Fk+; CB- <b>Silicification forte; Feldspath potassique forte; Carbonatation faible</b> Si forte pervasive, Mouchetage de FK fort (20-30%), Cb faibles en veinules	157.00	157.50	P151367	0.50	0.002	0.10	21.0	16.0	
			157.50	159.00	P153474	1.50	0.030	0.10	61.0	12.0	

MAUDORE MINERALS Ltd

AC

Description		Analyse								
		De	À	Numéro	Longueur	Au_Final (g/t)	Ag_Final (ppm)	Cu_Final (ppm)	Zn_Final (ppm)	
	millimétriques.									
158.50	173.00	SIL+; CB+; ChI+; HM-; EP-; SR-; BOtr Silicification forte; Carbonatisation forte; Chloritisation forte; Hématitisation faible; Epidotisation faible; Séricitisation faible; Blotisation tr	159.00	160.00	P153475	1.00	0.030	0.10	13.5	21.5
		Si forte pervasive, Cb forts pervasifs, en bandes pluri-centimétriques et en veinules, ChI forte en patchs pluri-centimétriques et pervasive, Hm, Sr et Ép faibles en veinules millimétriques, Bt en traces en clastes millimétriques.	160.00	161.50	P153476	1.50	0.100	0.10	8.0	7.0
			161.50	162.00	P151368	0.50	0.020	0.10	11.0	4.0
			162.00	163.50	P153477	1.50	0.050	0.10	11.0	7.0
			163.50	165.00	P153478	1.50	0.180	0.10	4.0	13.0
163.60	169.20	Pytr; Potr Pyrite tr; Pyrrhotine tr	165.00	166.00	P153479	1.00	0.020	0.10	10.0	15.0
		Py et Po en traces en alignements de grains (60%), en grains disséminés millimétriques (30%) et en amas pluri-millimétriques (10%)	166.00	166.50	P153480	0.50	0.080	0.70	28.0	123.0
			166.50	167.00	P153482	0.50	0.050	0.10	29.0	25.0
			167.00	167.80	P153483	0.80	0.060	0.10	27.0	17.0
			167.80	168.80	P153484	1.00	0.020	0.10	20.0	24.0
			168.80	169.80	P153485	1.00	0.010	0.10	27.0	17.0
169.80	170.30	Cp00.5 Chalcopyrite 0.5%	169.80	170.30	P153486	0.50	0.010	0.10	94.0	21.0
		Cpy 0.5% en amas 1-2mm autour d'une veine de quartz blanc.	170.30	171.30	P153487	1.00	0.010	0.10	8.0	32.0
			171.30	172.40	P153488	1.10	0.025	0.15	73.0	20.0
			172.40	172.90	P153489	0.50	0.150	0.80	1 005.0	19.0
			172.90	173.90	P153492	1.00	0.010	0.10	19.0	17.0
173.00	181.00	SIL+; SR; CB-; HMtr; Chltr Silicification forte; Séricitisation; Carbonatisation faible; Hématitisation tr; Chloritisation tr								
		Si forte pervasive et en veinules de quartz blanc, Sr moyen en bandes et fantômes de clastes, Cb faibles en patchs centimétriques étirés et veinules millimétriques, Hm en traces en veinules millimétriques, ChI en traces en bandes.								
		Excepté : 175.7-181 : IIF; IIG								

MAUDORE MINERALS Ltd

*Handwritten signature*

Description			Analyse							
			De	À	Numéro	Longueur	Au_Final (g/t)	Ag_Final (ppm)	Cu_Final (ppm)	Zn_Final (ppm)
173.00	173.50	Py05 Pyrite 5% Py 5% en grains disséminés millimétriques (80%) et en amas 2-3mm (20%).								
175.70	181.00	I1F Aplite; Pegmatite Aplite-Pegmatite Couleur blanche-rose Matrice aphanitique dans les passages aplitiques, porphyrique dans les passages pegmatitiques. Quelques passages granitiques  Traces de Py en grains fins disséminés  Contact sup irrégulier Contact inf irrégulier								
181.00	202.00	I1B Granite Beelher avec quelques passages aplitiques								
202.00	Fin du sondage Nombre d'échantillons : 77 Nombre d'échantillons QAQC : 11 Longueur totale échantillonnée : 71.50									

MAUDORE MINERALS Ltd

K

QAQC

De	À	Numéro	Référence	Longueur	Au (g/t)	Ag (ppm)	Cu (ppm)	Zn (ppm)
0.00	0.00	P153446	SK62	0.00	3.50	1.0	90	92
9.40	9.90	P153416	SH55	0.50	1.36	0.7	122	77
15.90	16.90	P153438	P153421	1.00	0.01	-0.2	31	46
23.20	23.70	P153429	Blank	0.50	-0.01	-0.2	13	24
36.80	38.00	P153460	P153442	1.20	0.01	-0.2	51	83
125.80	126.80	P153490	P153459	1.00	-0.01	-0.2	11	19
127.80	128.30	P153463	Blank	0.50	-0.01	-0.2	12	25
144.50	145.00	P153470	SQ48	0.50	30.00	1.0	62	88
166.00	166.50	P153481	Blank	0.50	-0.01	-0.2	12	20
171.30	172.40	P153504	P153488	1.10	0.02	0.2	76	21
172.40	172.90	P153491	SH55	0.50	1.35	0.8	104	71

AK

Géochimie

De	À	Numéro	Longueur	Description	SiO2 (%)	Al2O3 (%)	Fe2O3 (%)	CaO (%)
15.40	15.90	P151360	0.50		63.51	15.64	6.44	4.87
44.70	45.20	P151361	0.50		63.65	14.97	5.85	4.43
112.00	112.50	P151365	0.50		61.81	14.98	6.49	6.23
142.00	142.50	P151366	0.50		66.88	15.84	4.05	3.93
157.00	157.50	P151367	0.50		66.89	15.59	3.42	4.02
161.50	162.00	P151368	0.50		51.41	13.29	8.80	15.72

## Géochimie

De	À	Numéro	Longueur	MgO (%)	Na2O (%)	K2O (%)	Cr2O3 (%)	TiO2 (%)	MnO (%)	P2O5 (%)
15.40	15.90	P151360	0.50	3.57	1.90	1.58	0.01	0.51	0.11	0.13
44.70	45.20	P151361	0.50	3.40	3.72	1.40	0.01	0.52	0.14	0.11
112.00	112.50	P151365	0.50	3.28	3.04	1.40	0.02	0.61	0.10	0.17
142.00	142.50	P151366	0.50	1.76	4.74	1.16	0.01	0.35	0.04	0.11
157.00	157.50	P151367	0.50	1.38	4.03	2.08	0.01	0.30	0.04	0.10
161.50	162.00	P151368	0.50	4.76	3.33	0.14	0.06	0.85	0.21	0.20

AC

Géochimie

De	À	Numéro	Longueur	SrO (%)	BaO (%)	LOI (%)	Total (%)	Nb (ppm)	Ba (ppm)	Rb (ppm)
15.40	15.90	P151360	0.50	0.03	0.05	1.60	99.95	5	410	46
44.70	45.20	P151361	0.50	0.04	0.05	1.36	99.66	4	360	73
112.00	112.50	P151365	0.50	0.04	0.03	1.40	99.61	6	240	52
142.00	142.50	P151366	0.50	0.05	0.05	0.52	99.48	4	360	40
157.00	157.50	P151367	0.50	0.02	0.07	1.53	99.48	3	540	50
161.50	162.00	P151368	0.50	0.05	0.01	0.58	99.41	9	40	6

Géochimie

De	À	Numéro	Longueur	Zr (ppm)	Y (ppm)	Sr (ppm)	Au (ppm)	Ag (ppm)	Al (%)	As (ppm)
15.40	15.90	P151360	0.50	117	10	279	0.013	-0.2	4.01	-2
44.70	45.20	P151361	0.50	137	9	386	-0.005	-0.2	1.51	-2
112.00	112.50	P151365	0.50	142	13	448	-0.005	-0.2	1.73	-2
142.00	142.50	P151366	0.50	115	8	487	-0.005	-0.2	1.26	-2
157.00	157.50	P151367	0.50	114	8	226	-0.005	-0.2	1.19	-2
161.50	162.00	P151368	0.50	94	16	466	0.020	-0.2	0.41	-2



A

## Géochimie

De	À	Numéro	Longueur	B (ppm)	Ba Econo (ppm)	Be (ppm)	Bi (ppm)	Ca (%)	Cd (ppm)	Co (ppm)
15.40	15.90	P151360	0.50	-10		-0.5	-2	1.80	-0.5	13
44.70	45.20	P151361	0.50	-10		-0.5	-2	0.52	-0.5	13
112.00	112.50	P151365	0.50	-10		-0.5	-2	1.14	-0.5	12
142.00	142.50	P151366	0.50	-10		-0.5	-2	0.31	-0.5	8
157.00	157.50	P151367	0.50	-10		-0.5	-2	1.07	-0.5	11
161.50	162.00	P151368	0.50	20		-0.5	-2	1.02	-0.5	7

*AK*

Géochimie

De	À	Numéro	Longueur	Cr (ppm)	Cu (ppm)	Fe (%)	Ga (ppm)	Hg (ppm)	K (%)	La (ppm)
15.40	15.90	P151360	0.50	43	31	3.09	10	-1	0.78	10
44.70	45.20	P151361	0.50	60	33	2.50	10	-1	0.34	10
112.00	112.50	P151365	0.50	70	1	2.42	10	-1	0.82	20
142.00	142.50	P151366	0.50	25	1	2.25	10	-1	0.82	10
157.00	157.50	P151367	0.50	18	21	1.82	-10	-1	0.80	10
161.50	162.00	P151368	0.50	35	11	0.56	-10	-1	0.03	10

AC

Géochimie

De	À	Numéro	Longueur	Mg (%)	Mn (ppm)	Mo (ppm)	Na (%)	Ni (ppm)	P (ppm)	Pb (ppm)
15.40	15.90	P151360	0.50	1.37	263	1	0.33	39	590	3
44.70	45.20	P151361	0.50	1.31	489	-1	0.07	45	490	-2
112.00	112.50	P151365	0.50	1.09	246	-1	0.09	42	730	-2
142.00	142.50	P151366	0.50	0.88	191	-1	0.06	19	450	-2
157.00	157.50	P151367	0.50	0.65	222	-1	0.05	16	430	-2
161.50	162.00	P151368	0.50	0.16	108	-1	0.06	38	860	-2

AC

## Géochimie

De	À	Numéro	Longueur	S (%)	Sb (ppm)	Sc (ppm)	Th (ppm)	Sr Econo (ppm)	Ti (%)	Ti (ppm)
15.40	15.90	P151360	0.50	0.39	-2	7	-20		0.13	-10
44.70	45.20	P151361	0.50	0.10	-2	4	-20		0.20	-10
112.00	112.50	P151365	0.50	0.01	-2	5	-20		0.17	-10
142.00	142.50	P151366	0.50	-0.01	-2	2	-20		0.15	-10
157.00	157.50	P151367	0.50	0.11	-2	1	-20		0.11	-10
161.50	162.00	P151368	0.50	0.08	-2	1	-20		0.14	-10

A

Géochimie

De	À	Numéro	Longueur	U (ppm)	V (ppm)	W (ppm)	Zn (ppm)
15.40	15.90	P151360	0.50	-10	67	-10	43
44.70	45.20	P151361	0.50	-10	58	-10	42
112.00	112.50	P151365	0.50	-10	60	-10	32
142.00	142.50	P151366	0.50	-10	40	-10	15
157.00	157.50	P151367	0.50	-10	23	-10	16
161.50	162.00	P151368	0.50	-10	17	-10	4

MAUDORE MINERALS Ltd

Sondage : COM-12-899  
 Titre minier : 5135756  
 Section : G1200E  
 Canton : Comtois  
 Niveau : Surface  
 Rang : VIII  
 Place de travail : Lebel-sur-Quévillon  
 Foré par : Forages M. Rouillier Inc  
 Lot : 36  
 Décrit par : JG. Merdy  
 Du : 2012-05-14  
 Date de description : 2012-06-26  
 Au : 2012-05-16

Collet

Azimut : 329.00°  
 Plongée : -47.10°  
 Longueur : 220.00 m

	UTM	Locales	GREER
Est	339 640.60	1 139.77	1 200.98
Nord	5 442 242.80	-1 173.91	1 348.90
Élévation	306.64	306.64	306.64

Déviations

Type	Profondeur	Azimut	Plongée	Invalide	Description
Reflex	0.00	329.00°	-47.10°	Non	
Reflex	4.00	345.10°	-48.40°	Oui	92868
Reflex	7.00	16.30°	-47.40°	Oui	22304
Reflex	10.00	333.60°	-47.20°	Oui	57490
Reflex	13.00	337.20°	-47.40°	Oui	53220
Reflex	16.00	42.20°	-47.60°	Oui	35913
Reflex	19.00	163.40°	-54.50°	Oui	55110
Reflex	22.00	328.60°	-47.10°	Non	54872
Reflex	25.00	329.50°	-47.10°	Non	55000
Reflex	28.00	330.30°	-46.50°	Oui	55036
Reflex	31.00	324.80°	-51.30°	Oui	55070
Reflex	34.00	329.50°	-47.10°	Non	55066

Description

GRE-12-18. Position collet, arpenté Juin 2012, par Descarreaux & Dubé.



Dimension de la carotte :

Carotte NQ

Cimenté : Non

Entreposé : Oui

MAUDORE MINERALS Ltd

AC

Déviation

Type	Profondeur	Azimut	Plongée	Invalide	Description
Reflex	37.00	329.50°	-46.10°	Oui	55124
Reflex	40.00	330.80°	-47.10°	Non	55040
Reflex	43.00	329.40°	-47.00°	Non	55114
Reflex	46.00	329.50°	-47.00°	Non	55109
Reflex	49.00	329.50°	-46.90°	Non	55100
Reflex	52.00	329.50°	-46.90°	Non	55101
Reflex	55.00	329.50°	-46.90°	Non	55084
Reflex	58.00	329.30°	-46.90°	Non	55111
Reflex	61.00	329.70°	-46.80°	Non	55068
Reflex	64.00	329.60°	-46.70°	Non	55068
Reflex	67.00	329.20°	-46.70°	Non	54864
Reflex	70.00	329.70°	-46.60°	Non	55029
Reflex	73.00	329.50°	-46.70°	Non	55168
Reflex	76.00	330.00°	-46.60°	Oui	55191
Reflex	79.00	328.60°	-46.60°	Non	55238
Reflex	82.00	329.90°	-46.60°	Non	55165
Reflex	85.00	328.80°	-46.60°	Non	55018
Reflex	88.00	329.40°	-46.60°	Non	55107
Reflex	91.00	329.70°	-46.60°	Non	55117
Reflex	94.00	329.70°	-46.60°	Non	55124
Reflex	97.00	329.50°	-46.60°	Non	55124
Reflex	100.00	329.90°	-46.50°	Non	55031
Reflex	103.00	329.30°	-47.30°	Oui	55073
Reflex	106.00	330.70°	-46.20°	Non	55216
Reflex	109.00	330.40°	-46.10°	Non	55278
Reflex	112.00	330.10°	-46.00°	Non	54955
Reflex	115.00	329.90°	-46.00°	Non	54978
Reflex	118.00	330.00°	-46.00°	Non	55027
Reflex	121.00	329.80°	-46.00°	Non	54958
Reflex	124.00	329.90°	-46.00°	Non	54917
Reflex	127.00	330.10°	-45.90°	Non	54991
Reflex	130.00	330.60°	-46.00°	Non	54836
Reflex	133.00	332.40°	-46.10°	Oui	55259
Reflex	136.00	330.50°	-14.20°	Oui	55202

MAUDORE MINERALS Ltd

AC

Déviations

Type	Profondeur	Azimet	Plongée	Invalide	Description
Reflex	139.00	330.80°	-45.80°	Non	55144
Reflex	142.00	330.90°	-45.70°	Non	55148
Reflex	145.00	331.00°	-45.70°	Non	55160
Reflex	148.00	335.20°	-31.60°	Oui	55153
Reflex	151.00	330.50°	-45.60°	Non	54982
Reflex	154.00	330.50°	-45.60°	Non	54972
Reflex	157.00	330.90°	-45.70°	Non	55008
Reflex	160.00	330.70°	-45.60°	Non	54956
Reflex	163.00	331.10°	-45.60°	Non	55141
Reflex	166.00	331.50°	-45.50°	Non	55188
Reflex	169.00	333.80°	-35.90°	Oui	55166
Reflex	172.00	330.90°	-45.60°	Non	55079
Reflex	175.00	330.50°	-45.50°	Non	55091
Reflex	178.00	330.70°	-45.50°	Non	55027
Reflex	181.00	331.40°	-45.50°	Non	55227
Reflex	184.00	331.40°	-45.40°	Non	55167
Reflex	187.00	338.10°	-5.50°	Oui	55240
Reflex	190.00	331.40°	-45.40°	Non	55224
Reflex	193.00	330.50°	-45.40°	Non	55053
Reflex	196.00	331.60°	-45.30°	Non	55386
Reflex	199.00	330.80°	-45.40°	Non	55031
Reflex	202.00	331.20°	-45.30°	Non	55171
Reflex	205.00	330.80°	-45.30°	Non	55017
Reflex	208.00	331.00°	-45.30°	Non	55053
Reflex	211.00	331.50°	-45.30°	Non	55076
Reflex	214.00	330.50°	-45.20°	Non	54907
Reflex	217.00	331.40°	-45.20°	Non	55314
Reflex	220.00	331.10°	-45.00°	Non	55779



Description			Analyse							
			De	À	Numéro	Longueur	Au_Final (g/t)	Ag_Final (ppm)	Cu_Final (ppm)	Zn_Final (ppm)
0.00	18.00	<p>MT</p> <p>Mort Terrain</p> <p>Casing</p>								
18.00	220.00	<p>V2-V3; T1</p> <p><b>Volcanite Intermédiaire à mafique; Tuf à lapillis</b></p> <p>Roche volcanique intermédiaire à mafique, à lapillis de taille variable, millimétriques à pluri-cm</p> <p>Teinte généralement gris sombre-verdâtre</p> <p>Matrice à grains fins de couleur gris moyen à foncé, verdâtre.</p> <p>Foliation moyenne à forte entre 50-55 deg AC marquée par un fort rubanement produit par l'alternance de bandes (clastes) mm à cm blanchâtres-verdâtres-brunâtres et par la présence locale de veinules de carbonates et d'hématite.</p> <p>Globalement 35-40% de clastes étirés dans le sens de la foliation millimétriques à pluri-centimétriques.</p> <p>3-4% de Vn-Vnl de Cb-Qz-Hm blanches et rouges irrégulières.</p> <p>Présence de petits grenats roses floculeux millimétriques entre 143.2 et 144.</p> <p>Structures :</p> <p>De 56.7-56.9 : Faille marquée par de la de la roche broyée ainsi qu'une texture bréchique sur 10cm avec de nombreuses veinules à Qz-Cb orientées dans toutes les directions et minéralisées (traces de Py).</p> <p>Allérations :</p> <p>De 18-24.7 : Si forte pervasive et en veines/veinules de quartz blanc, Chl forte en clastes, Bt moyen en clastes, FK faible à moyen (5-6%), Hm faible en veinules rouges millimétriques, Cb faible en bandes étirées dans le sens de la foliation et en veinules associées à l'Hm, Ép en traces en veinules associées aux Cb et à l'Hm.</p> <p>De 24.7-53 : Chl et Bt forts en clastes, Si moyenne pervasive, Pa faible en bandes centimétriques (localement moyen et pervasif), Cb faibles en veinules millimétriques et en patchs centimétriques,</p>								

HC

Description	Analyse							
	De	À	Numéro	Longueur	Au_Final (g/t)	Ag_Final (ppm)	Cu_Final (ppm)	Zn_Final (ppm)
<p>Hm en traces en fines veinules rouges, Sr en traces en bandes millimétriques.</p> <p>De 53-60.8 : Si forte pervasive et en veines/veinules de quartz blanc, Bt et Chl forts en clastes, Sr faible en bandes millimétriques, Cb en traces en veinules millimétriques, Pa en traces en bandes millimétriques.</p> <p>De 60.8-95.8 : Roche très hétérogène, Si forte pervasive et en veines/veinules de quartz blanc, Cb moyens en bandes pluri-centimétriques, en patchs étirés dans le sens de la foliation et en veines/veinules de Cc blanche, verte et rose, Chl moyenne à forte en clastes et bandes millimétriques à pluri-centimétriques, Bt moyenne à faible en clastes, Hm faible à moyen en veinules rouges millimétriques à centimétriques, Sr faible en bandes millimétriques et en zones pervasives pluri-centimétriques, Ép en trace à faible en veinules millimétriques associées à l'Hm, FK localement faible en mouchetage de petits feldspaths millimétriques.</p> <p>De 95.8-106 : Roche plus massive, mais toujours hétérogène, Si forte pervasive, Cb moyen en bandes pluri-centimétriques, en patchs étirés dans le sens de la foliation et en veines/veinules de Cc blanche, verte et rose, Hm faible à moyenne en veinules millimétriques associées aux carbonates, Chl faible en clastes et bandes centimétriques.</p> <p>De 106-109 : Si forte pervasive et en veines/veinules de quartz blanc, Cb forts pervasifs et en bandes pluri-centimétriques et en veinules pluri-millimétriques de Cc blanche, Chl moyenne en clastes, Bt faible en clastes, Hm faible en veinules rouges millimétriques, Sr en traces en bandes millimétriques.</p> <p>De 109-186.1 : Roche plus massive, moins de clastes (5%), couleur noire, Si forte pervasive et en veines/veinules de quartz blanc, Sr moyenne en bandes millimétriques à centimétriques et en "fantômes" de clastes, Bt moyenne en clastes, Cb faible en patchs pluri-centimétriques et en veinules de Cc blanche millimétriques, localement présence de grenats roses millimétriques flocculeux (2-3%).</p> <p>De 186.1-220 : Si forte pervasive, Chl forte en</p>								

AK

Description	Analyse							
	De	À	Numéro	Longueur	Au_Final (g/t)	Ag_Final (ppm)	Cu_Final (ppm)	Zn_Final (ppm)
<p>clastes, Bt moyenne en clastes, Sr faible à moyenne en bandes centimétriques, Hm faible en veinules rouges millimétriques orientées dans toutes les directions, Cb faibles en veinules millimétriques de Cc blanche, Pa en trace en liserés de micas blancs, Gt en traces en grains rouges millimétriques foculeux disséminés.</p> <p>Minéralisations :</p> <p>De 46-58 : Py 0.5% en alignements de grains infra-millimétriques à millimétriques (80%) et en amas pluri-millimétriques (10%) et en grains disséminés infra-millimétriques (10%).</p> <p>De 107.7-109 : Py en traces en veinules millimétriques (60%) et alignement de grains millimétriques (40%).</p> <p>Excepté :</p> <p>30.9-32 : I3; FIN                      39.2-39.8 : I3; FIN                      75.1-75.8 : I2; pFpAm                      79.3-79.7 : I3; FIN                      80.1-80.8 : I3; FIN                      110.1-131.7 : I1B                      148.9-158.7 : I1B                      158.7-159.2 : I3; FIN                      159.2-160 : I1B                      160-166 : I3; FIN                      166-178.7 : I1B                      178.7-179.9 : I3; FIN                      179.9-180.4 : I1B                      180.4-180.9 : I3; FIN                      180.9-186.1 : I1B                      188-189.5 : I1B                      191.4-192.4 : I2; pFpAm                      196.9-213.2 : I1B                      214.5-215.9 : I1B</p> <p>Contact sup non intercepté                      Contact inf non intercepté</p>								

MAUDORE MINERALS Ltd

14

Description			Analyse							
			De	À	Numéro	Longueur	Au_Final (g/t)	Ag_Final (ppm)	Cu_Final (ppm)	Zn_Final (ppm)
18.00	24.70	<p>SIL+; Chl+; BO; Fk; HM-; CB-; EPir</p> <p>Silicification forte; Chloritisation forte; Biotisation; Feldspath potassique; Hématisation faible; Carbonatation faible; Épidotisation tr</p> <p>Si forte pervasive et en veines/veinules de quartz blanc, Chl forte en clastes, Bt moyen en clastes, FK faible à moyen (5-6%), Hm faible en veinules rouges millimétriques, Cb faible en bandes élargies dans le sens de la foliation et en veinules associées à l'Hm, Ép en traces en veinules associées aux Cb et à l'Hm.</p>								
24.70	53.00	<p>Chl+; BO+; SIL; PA-; CB-; HMtr; SRtr</p> <p>Chloritisation forte; Biotisation forte; Silicification; Paragonite faible; Carbonatation faible; Hématisation tr; Séricitisation tr</p> <p>Chl et Bt forts en clastes, Si moyenne pervasive, Pa faible en bandes centimétriques (localement moyen et pervasif), Cb faibles en veinules millimétriques et en patchs centimétriques, Hm en traces en fines veinules rouges, Sr en traces en bandes millimétriques.</p> <p>Excepté :</p> <p>30.9-32 : I3; FIN</p> <p>39.2-39.8 : I3; FIN</p>	25.80	27.30	P153635	1.50	0.005	0.10	5.0	220.0
			27.30	27.80	P151418	0.50	0.002	0.10	8.0	263.0
			27.80	29.30	P153636	1.50	0.005	0.10	19.0	154.0
30.90	32.00	<p>I3; FIN</p> <p>Intrusion mafique; Grains fins 30°</p> <p>Intrusion mafique à grains fins, de couleur grise-noire</p> <p>Matrice fine microgrenue</p> <p>Nombreux pAm en baguettes noires infra-mm</p> <p>Veinules de calcite (blanche, rose ou violette)</p>	35.20	36.20	P153637	1.00	0.010	0.10	13.0	236.0
			36.20	37.20	P153639	1.00	0.005	0.10	12.0	180.0
			37.20	38.20	P153640	1.00	0.010	0.10	32.0	113.0

MAUDORE MINERALS Ltd

ABC

Description		Analyse							
		De	À	Numéro	Longueur	Au_Final (g/t)	Ag_Final (ppm)	Cu_Final (ppm)	Zn_Final (ppm)
39.20	39.80								
mm en traces Hématisation en traces associée aux veinules de Cb  Pas de minéralisations  Contact sup net discordant 30deg AC Contact inf net discordant 30deg AC I3; FIN <b>Intrusion mafique; Grains fins</b> Intrusion mafique à grains fins, de couleur grise-verdâtre Matrice fine microgrenue Nombreux pAm en baguettes noires infra-mm à mm Veinules de calcite (blanche, rose ou violette) mm en traces Hématisation en traces associée aux veinules de Cb Chlorite (mouchetage et pervasive) forte  Pas de minéralisations  Contact sup net discordant 45deg AC Contact inf net discordant 35deg AC									
46.00	58.00	46.00	47.00	P153641	1.00	0.010	0.10	35.0	85.0
		47.00	48.50	P153642	1.50	0.010	0.10	48.5	73.5
		48.50	50.00	P153643	1.50	0.010	0.10	44.0	77.0
		50.00	51.00	P153644	1.00	0.020	0.10	46.0	108.0
		51.00	51.50	P153645	0.50	0.020	0.10	49.0	125.0
		51.50	52.00	P153646	0.50	0.010	0.10	32.0	98.0
		52.00	53.50	P153648	1.50	0.010	0.10	33.0	146.0
53.00	60.80	53.50	55.00	P153649	1.50	0.010	0.10	47.0	126.0
		55.00	56.50	P153650	1.50	0.010	0.10	38.5	94.5
		56.50	57.50	P153651	1.00	0.010	0.10	36.0	93.0
SiL+; BO+; Chl+; SR-; CBtr; PAtr <b>Silicification forte; Biotisation forte; Chloritisation forte;</b> <b>Séricitisation faible;</b> <b>Carbonatation tr; Paragonite tr</b> Si forte pervasive et en veines/veinules de quartz blanc, Bt et Chl forts en									

MAUDORE MINERALS Ltd

AC

Description			Analyse							
			De	À	Numéro	Longueur	Au_Final (g/t)	Ag_Final (ppm)	Cu_Final (ppm)	Zn_Final (ppm)
56.70	56.90	<p>clastes, Sr faible en bandes millimétriques, Cb en traces en veinules millimétriques, Pa en traces en bandes millimétriques.</p> <p>FAI; BRE</p> <p><b>Faille; Bréchique</b></p> <p>Faille marquée par de la de la roche broyée ainsi qu'une texture bréchique sur 10cm avec de nombreuses veinules à Qz-Cb orientées dans toutes les directions et minéralisées (traces de Py).</p>	57.50	58.50	P153652	1.00	0.010	0.10	27.0	116.0
			58.50	59.00	P151419	0.50	0.005	0.10	37.0	178.0
			59.00	60.00	P153653	1.00	0.010	0.10	35.0	159.0
60.80	95.80	<p>SIL+; CB; Chl; BO; HM-; SR-; EPtr; Fktr</p> <p><b>Silicification forte;</b></p> <p><b>Carbonatation; Chloritisation;</b></p> <p><b>Biotisation; Hématitisation faible;</b></p> <p><b>Séricitisation faible; Epidotisation tr;</b></p> <p><b>Feldspath potassique tr</b></p> <p>Roche très hétérogène, Si forte pervasive et en veines/veinules de quartz blanc, Cb moyens en bandes pluri-centimétriques, en patchs étirés dans le sens de la foliation et en veines/veinules de Cc blanche, verte et rose, Chl moyenne à forte en clastes et bandes millimétriques à pluri-centimétriques, Bt moyenne à faible en clastes, Hm faible à moyen en veinules rouges millimétriques à centimétriques, Sr faible en bandes millimétriques et en zones pervasives pluri-centimétriques, Ép en trace à faible en veinules millimétriques associées à l'Hm, FK localement faible en mouchetage de petits feldspaths millimétriques.</p> <p>Excepté :</p> <p>75.1-75.8 : I2; pFpAm</p> <p>79.3-79.7 : I3; FIN</p>	70.00	71.00	P153654	1.00	0.020	0.10	36.0	52.0
			71.00	72.00	P153655	1.00	0.010	0.10	28.0	51.0
			72.00	73.00	P153656	1.00	0.020	0.10	41.0	62.0

Description		Analyse						
		De	À	Numéro	Longueur	Au_Final (g/t)	Ag_Final (ppm)	Cu_Final (ppm)
75.10	75.80	<p>80.1-80.8 : I3; FIN</p> <p>I2; pFpAm Intrusion Intermédiaire; Porphyre de Feldspath et Amphibole Intrusion intermédiaire à pFp et pAm Couleur grise claire Matrice fine grise Mouchetage de pFp blancs (env. 20-25%) de 1mm pAm env. 1-2% en petits minéraux noirs xénomorphes infra-millimétriques alignés dans le sens de la foliation Hématite faible en veinules rouges millimétriques et pervasive autour de veinules de carbonates-épidote Carbonates en traces en veinules millimétriques Épidote en traces associée aux carbonates</p> <p>Pas de minéralisations</p> <p>Contact sup net concordant 45deg AC Contact inf net concordant 50deg AC</p>						
79.30	79.70	<p>I3; FIN</p> <p>Intrusion mafique; Grains fins Intrusion mafique à grains fins, de couleur grise-verdâtre Matrice fine microgrenue Nombreux pAm en baguettes noires infra-mm à mm Veinules de calcite (blanche, rose ou violette) mm en traces Hématite faible en veinules orientées dans toutes les directions associée aux veinules de Cb Chlorite (mouchetage et pervasive) forte Silice forte en veines de quartz blanc</p> <p>Pas de minéralisations</p> <p>Contact sup net discordant 35deg AC</p>						

MAUDORE MINERALS Ltd

AC

Description		Analyse								
		De	À	Numéro	Longueur	Au_Final (g/t)	Ag_Final (ppm)	Cu_Final (ppm)	Zn_Final (ppm)	
80.10	80.80	Contact inf net concordant 55deg AC I3; FIN	85.00	86.00	P153657	1.00	0.010	0.10	36.0	82.0
		<b>Intrusion mafique; Grains fins</b>	86.00	87.00	P153659	1.00	0.010	0.10	47.0	108.0
		Intrusion mafique à grains fins, de couleur grise-verdâtre	87.00	88.00	P153660	1.00	0.010	0.10	41.0	251.0
		Matrice fine microgrenue	88.00	89.00	P153661	1.00	0.010	0.10	16.0	125.0
		Nombreux pAm en baguettes noires infra-mm à mm	89.00	89.50	P151420	0.50	0.002	0.10	7.0	118.0
			89.50	90.50	P153662	1.00	0.010	0.10	13.0	113.0
		Veinules de calcite (blanche, rose ou violette) mm en traces								
		Hématisation faible en veinules orientées dans toutes les directions associée aux veinules de Cb								
		Chlorite (mouchetage et pervasive) forte								
		Silice forte en veines de quartz blanc								
		Albitisation faible en mouchetage de Fp roses								
		Pas de minéralisations								
		Contact sup net discordant 30deg AC								
		Contact inf net légèrement ondulant discordant env. 30deg AC								
95.80	106.00	SIL+; CB; HM-; Chl- <b>Silicification forte;</b>	100.00	101.00	P153663	1.00	0.010	0.10	48.0	45.0
		<b>Carbonatation; Hématisation faible; Chloritisation faible</b>	101.00	102.00	P153664	1.00	0.025	0.10	25.5	25.5
		Roche plus massive, mais toujours hétérogène, Si forte pervasive, Cb moyen en bandes pluri-centimétriques, en patchs étirés dans le sens de la foliation et en veines/veinules de Cc blanche, verte et rose, Hm faible à moyenne en veinules millimétriques associées aux carbonates, Chl faible en clastes et bandes centimétriques.	102.00	103.00	P153665	1.00	0.010	0.10	42.0	21.0
106.00	109.00	SIL+; CB+; Chl; BO-; HM-; SRtr <b>Silicification forte;</b>	107.40	108.40	P153666	1.00	0.010	0.10	337.0	43.0
		<b>Carbonatation forte;</b>								
		<b>Chloritisation; Bitisation faible;</b>								
		<b>Hématisation faible; Séricitisation</b>								



MAUDORE MINERALS Ltd

AC

Description		Analyse								
		De	À	Numéro	Longueur	Au_Final (g/t)	Ag_Final (ppm)	Cu_Final (ppm)	Zn_Final (ppm)	
	tr									
	Si forte pervasive et en veines/veinules de quartz blanc, Cb forts pervasifs et en bandes pluri-centimétriques et en veinules pluri-millimétriques de Cc blanche, Chl moyenne en clastes, Bt faible en clastes, Hm faible en veinules rouges millimétriques, Sr en traces en bandes millimétriques.									
107.70	109.00	Pytr	108.40	108.90	P153667	0.50	0.010	0.10	118.0	28.0
		Pyrite tr	108.90	109.90	P153669	1.00	0.020	0.10	57.0	54.0
		Py en traces en veinules millimétriques (60%) et alignement de grains millimétriques (40%).								
109.00	186.10	SIL+; SR; BO; CB-; GRtr Silicification forte; Séricitisation; Biotisation; Carbonatation faible; Grenat tr Roche plus massive, moins de clastes (5%), couleur noire, Si forte pervasive et en veines/veinules de quartz blanc, Sr moyenne en bandes millimétriques à centimétriques et en "fantômes" de clastes, Bt moyenne en clastes, Cb faible en patchs pluri-centimétriques et en veinules de Cc blanche millimétriques, localement présence de grenats roses millimétriques foculeux (2-3%).  Excepté : 110.1-131.7 : I1B 148.9-158.7 : I1B 158.7-159.2 : I3; FIN 159.2-160 : I1B 160-166 : I3; FIN 166-178.7 : I1B 178.7-179.9 : I3; FIN 179.9-180.4 : I1B 180.4-180.9 : I3; FIN								

MAUDORE MINERALS Ltd

AC

Description			Analyse							
			De	À	Numéro	Longueur	Au_Final (g/t)	Ag_Final (ppm)	Cu_Final (ppm)	Zn_Final (ppm)
180.9-186.1 : I1B										
110.10	131.70	I1B <b>Granite</b> Intrusion granitique Grains moyens à grossiers Couleur grise-rose 40% de FP (en Pfp roses-blancs de 1-4mm). 25% de Qtz, 30% Biotite et 5% Amphibole. Traces de py en grains disséminés infra-millimétriques Hématite localement moyenne pervasive et en veinules rouges millimétriques. Quelques veines aplitiques et pegmatitiques, entre 5-30 cm.  Contact sup net discordant 80deg AC Contact inf net fracturé discordant environ 45deg AC	133.10	134.60	P153670	1.50	0.005	0.10	29.0	55.0
			134.60	135.10	P151424	0.50	0.002	0.10	32.0	70.0
			135.10	136.60	P153671	1.50	0.005	0.10	36.0	38.0
			145.00	146.00	P153672	1.00	0.010	0.10	32.0	62.0
			146.00	147.00	P153674	1.00	0.010	0.10	32.0	56.0
			147.00	148.00	P153675	1.00	0.008	0.10	40.0	56.5
148.90	158.70	I1B <b>Granite</b> Intrusion granitique Grains moyens à grossiers Couleur grise-rose 40% de FP (en Pfp roses-blancs de 1-6mm). 25% de Qtz, 30% Biotite et 5% Amphibole. Traces de py en grains disséminés infra-millimétriques Hématite localement moyenne pervasive et en veinules rouges millimétriques, carbonates en traces en veinules millimétriques de Cc blanche.  Contact sup net irrégulier Contact inf net 40deg AC								
158.70	159.20	I3; FIN <b>Intrusion mafique; Grains fins</b> Intrusion mafique à grains fins, de couleur grise claire Matrice fine microgrenue Nombreux pAm en baguettes noires infra-mm à mm								

MAUDORE MINERALS Ltd

AC

Description	Analyse							
	De	À	Numéro	Longueur	Au_Final (g/t)	Ag_Final (ppm)	Cu_Final (ppm)	Zn_Final (ppm)
<p>Veinules de calcite (blanche, rose ou violette) mm en traces</p> <p>Hématisation en traces en veinules orientées dans toutes les directions associée aux veinules de Cb</p> <p>Pas de minéralisations</p> <p>Contact sup net 40deg AC Contact inf net 60deg AC</p> <p>159.20      160.00</p> <p>11B</p> <p><b>Granite 60*</b></p> <p>Intrusion granitique</p> <p>Grains moyens à grossiers</p> <p>Couleur grise-rose</p> <p>40% de FP (en Pfp roses-blancs de 1-5mm), 25% de Qtz, 30% Biotite et 5% Amphibole.</p> <p>Traces de py en grains disséminés infra-millimétriques</p> <p>Hématite localement moyenne pervasive et en veinules rouges millimétriques, carbonates en traces en veinules millimétriques de Cc blanche.</p> <p>Contact sup net 60deg AC Contact inf net légèrement ondulant 60deg AC</p> <p>160.00      166.00</p> <p>I3; FIN</p> <p><b>Intrusion mafique; Grains fins</b></p> <p>Intrusion mafique à grains fins, de couleur grise claire</p> <p>Matrice fine microgrenue</p> <p>Nombreux pAm en baguettes noires infra-mm à mm</p> <p>Veinules de calcite (blanche, rose ou violette) mm en traces</p> <p>Hématisation en traces en veinules orientées dans toutes les directions associée aux veinules de Cb</p> <p>Présence de pFp dans la matrice, env 1-3mm, roses : probablement arrachés aux granites. Quelques passages granitiques</p>								

Description	Analyse							
	De	À	Numéro	Longueur	Au_Final (g/t)	Ag_Final (ppm)	Cu_Final (ppm)	Zn_Final (ppm)
pluri-centimétriques.  Pas de minéralisations  Contact sup net légèrement ondulant 60deg AC Contact inf fracturé  166.00      178.70 I1B <b>Granite</b> Intrusion granitique Grains moyens à grossiers Couleur grise-rose 40% de FP (en Pfp roses-blancs de 1-4mm), 25% de Qtz, 30% Biotite et 5% Amphibole. Traces de py en grains disséminés infra-millimétriques Hématite localement moyenne pervasive et en veinules rouges millimétriques, carbonates en traces en veinules millimétriques de Cc blanche. Passages de I3 de 15cm.  Contact sup fracturé Contact inf net 75deg AC  178.70      179.90 I3; FIN <b>Intrusion mafique; Grains fins</b> Intrusion mafique à grains fins, de couleur grise claire Matrice fine microgrenue Nombreux pAm en baguettes noires infra-mm à mm Veinules de calcite (blanche, rose ou violette) mm en traces Hématite en traces en veinules orientées dans toutes les directions associée aux veinules de Cb Présence de pFp dans la matrice, env 1-3mm, roses : probablement arrachés aux granites (particulièrement dans les 20 premiers cm, en 25%)  Pas de minéralisations								

MAUDORE MINERALS Ltd

AC

Description	Analyse							
	De	À	Numéro	Longueur	Au_Final (g/t)	Ag_Final (ppm)	Cu_Final (ppm)	Zn_Final (ppm)
<p>179.90      180.40</p> <p>Contact sup net 75deg AC Contact inf net légèrement ondulant 35deg AC I1B <b>Granite</b> Intrusion granitique Grains moyens à grossiers Couleur grise-rose 40% de FP (en Pfp roses-blancs de 1-2mm). 25% de Qtz, 30% Biotite et 5% Amphibole. Traces de py en grains disséminés infra-millimétriques Hématite localement moyenne pervasive et en veinules rouges millimétriques, carbonates en traces en veinules millimétriques de Cc blanche.</p>								
<p>180.40      180.90</p> <p>Contact sup net légèrement ondulant 35deg AC Contact inf net fracturé I3; FIN <b>Intrusion mafique; Grains fins</b> Intrusion mafique à grains fins, de couleur grise claire Matrice fine microgrenue Nombreux pAm en baguettes noires infra-mm à mm Veinules de calcite (blanche, rose ou violette) mm en traces Hématisation en traces en veinules orientées dans toutes les directions associée aux veinules de Cb Présence de pFp dans la matrice, env 1-3mm, roses : probablement arrachés aux granites</p> <p>Pas de minéralisations</p>								
<p>180.90      186.10</p> <p>Contact sup net fracturé Contact inf net 70deg AC I1B <b>Granite</b> Intrusion granitique</p>								

MAUDORE MINERALS Ltd

AC

Description	Analyse							
	De	À	Numéro	Longueur	Au_Final (g/t)	Ag_Final (ppm)	Cu_Final (ppm)	Zn_Final (ppm)
<p>Grains moyens à grossiers Couleur grise-rose 40% de FP (en Plp roses-blancs de 1-4mm), 25% de Qtz, 30% Biotite et 5% Amphibole. Traces de py en grains disséminés infra-millimétriques Hématite localement moyenne pervasive et en veinules rouges millimétriques, carbonates en traces en veinules millimétriques de Cc blanche. Quelques passage de l3 de 5-20cm.</p> <p>Contact sup net 70deg AC Contact inf net discordant légèrement ondulant 60deg AC</p>								
<p>186.10      220.00      SIL+; Chl+; BO; SR; HM-; CB-; PAtr; GRtr Silicification forte; Chloritisation forte; Biotisation; Sécitisation; Hématisation faible; Carbonatation faible; Paragonite tr; Grenat tr Si forte pervasive, Chl forte en clastes, Bt moyenne en clastes, Sr faible à moyenne en bandes centimétriques, Hm faible en veinules rouges millimétriques orientées dans toutes les directions, Cb faibles en veinules millimétriques de Cc blanche, Pa en trace en liserés de micas blancs, Gt en traces en grains rouges millimétriques flocculeux disséminés.</p> <p>Excepté : 188-189.5 : l1B 191.4-192.4 : l2; pFpAm 196.9-213.2 : l1B 214.5-215.9 : l1B</p>								
<p>188.00      189.50      l1B Granite 30* Intrusion granitique Grains moyens à grossiers</p>								

MAUDORE MINERALS Ltd

AC

Description		Analyse								
		De	À	Numéro	Longueur	Au_Final (g/t)	Ag_Final (ppm)	Cu_Final (ppm)	Zn_Final (ppm)	
	<p>Couleur grise-rose 40% de FP (en Pfp roses-blancs de 1-2mm), 25% de Qtz, 30% Biotite et 5% Amphibole. Traces de py en grains disséminés infra-millimétriques Hématite localement moyenne pervasive et en veinules rouges millimétriques, carbonates en traces en veinules millimétriques de Cc blanche. Quelques enclaves de V2V3 centimétriques</p> <p>Contact sup net discordant 30deg AC Contact inf net discordant légèrement ondulant 30deg AC</p>									
191.40	192.40	I2; pFpAm	192.50	193.50	P153676	1.00	0.005	0.10	24.0	47.0
		Intrusion Intermédiaire; Porphyre de Feldspath et Amphibole	193.50	194.00	P151425	0.50	0.002	0.10	39.0	34.0
		Intrusion intermédiaire à pFp et pAm	194.00	195.00	P153678	1.00	0.005	0.10	56.0	33.0
		<p>Couleur rouge Matrice fine rougeâtre Mouchetage de pFp blancs-roses (env. 10-15%) de 1-2mm pAm env. 4-5% en minéraux noirs xénomorphes millimétriques alignés dans le sens de la foliation Hématite forte pervasive (couleur rouge) Carbonates en traces en veinules millimétriques et en patchs centimétriques Quelques enclaves de V2V3 centimétriques</p> <p>Pas de minéralisations</p> <p>Contact sup net discordant 20deg AC Contact inf net irrégulier</p>								
196.90	213.20	I1B Granite Intrusion granitique Grains moyens à grossiers Couleur grise-rose 40% de FP (en Pfp roses-blancs de 1-5mm), 25% de Qtz, 30% Biotite et 5% Amphibole.								

MAUDORE MINERALS Ltd

AC

Description		Analyse							
		De	À	Numéro	Longueur	Au_Final (g/t)	Ag_Final (ppm)	Cu_Final (ppm)	Zn_Final (ppm)
214.50	215.90								
Traces de py en grains disséminés infra-millimétriques Hématite localement forte pervasive et en veinules rouges millimétriques, carbonates en traces en veinules millimétriques de Cc blanche. Quelques enclaves de V2V3 centimétriques									
Contact sup net discordant légèrement ondulant 40deg AC Contact inf net env. 80deg AC									
	11B	216.00	217.00	P153679	1.00	0.005	0.10	35.0	38.0
	Granite 70°	217.00	217.50	P151426	0.50	0.002	0.10	34.0	35.0
	Intrusion granitique	217.50	218.50	P153680	1.00	0.005	0.10	33.0	34.0
Grains moyens à grossiers Couleur grise-rose 40% de FP (en Pfp roses-blancs de 1-2mm), 25% de Qtz, 30% Biotite et 5% Amphibole. Traces de py en grains disséminés infra-millimétriques Hématite faible en veinules rouges millimétriques, carbonates en traces en veinules millimétriques de Cc blanche.									
Contact sup net concordant 70deg AC Contact inf net concordant 70deg AC									
220.00	Fin du sondage Nombre d'échantillons : 46 Nombre d'échantillons QAQC : 6 Longueur totale échantillonnée : 46.00								



MAUDORE MINERALS Ltd

AC

QAQC

De	À	Numéro	Référence	Longueur	Au (g/t)	Ag (ppm)	Cu (ppm)	Zn (ppm)
35.20	36.20	P153638	Blank	1.00	-0.01	-0.2	15	25
47.00	48.50	P153658	P153642	1.50	0.01	-0.2	48	68
51.50	52.00	P153647	SH65	0.50	1.32	1.5	107	183
101.00	102.00	P153677	P153664	1.00	0.02	-0.2	25	27
108.40	108.90	P153668	Blank	0.50	-0.01	-0.2	14	18
145.00	146.00	P153673	SK62	1.00	4.06	1.1	87	92

Géochimie

De	À	Numéro	Longueur	Description	SiO2 (%)	Al2O3 (%)	Fe2O3 (%)	CaO (%)
27.30	27.80	P151418	0.50		61.80	15.47	6.05	4.58
58.50	59.00	P151419	0.50		63.08	15.48	5.43	5.66
89.00	89.50	P151420	0.50		63.40	15.23	5.54	4.29
134.60	135.10	P151424	0.50		59.96	18.04	6.05	3.96
193.50	194.00	P151425	0.50		65.92	15.11	5.81	3.62
217.00	217.50	P151426	0.50		69.05	13.96	6.29	2.92

## Géochimie

De	À	Numéro	Longueur	MgO (%)	Na2O (%)	K2O (%)	Cr2O3 (%)	TiO2 (%)	MnO (%)	P2O5 (%)
27.30	27.80	P151418	0.50	3.37	2.90	1.98	0.01	0.52	0.22	0.16
58.50	59.00	P151419	0.50	2.86	1.85	2.08	-0.01	0.51	0.12	0.13
89.00	89.50	P151420	0.50	3.21	3.92	1.44	0.01	0.48	0.11	0.11
134.60	135.10	P151424	0.50	2.70	5.02	1.67	0.01	0.55	0.09	0.23
193.50	194.00	P151425	0.50	1.48	3.83	1.17	0.02	0.49	0.18	0.10
217.00	217.50	P151426	0.50	1.64	3.22	1.09	0.02	0.47	0.14	0.10

AC

Géochimie

De	À	Numéro	Longueur	SrO (%)	BaO (%)	LOI (%)	Total (%)	Nb (ppm)	Ba (ppm)	Rb (ppm)
27.30	27.80	P151418	0.50	0.04	0.04	2.25	99.39	5	420	75
58.50	59.00	P151419	0.50	0.05	0.03	1.47	98.75	4	360	72
89.00	89.50	P151420	0.50	0.04	0.03	2.06	99.86	4	310	64
134.60	135.10	P151424	0.50	0.05	0.05	0.81	99.19	5	410	47
193.50	194.00	P151425	0.50	0.03	0.04	1.85	99.65	6	280	60
217.00	217.50	P151426	0.50	0.03	0.04	0.99	99.95	6	300	63

AC

Géochimie

De	À	Numéro	Longueur	Zr (ppm)	Y (ppm)	Sr (ppm)	Au (ppm)	Ag (ppm)	Al (%)	As (ppm)
27.30	27.80	P151418	0.50	130	12	398	-0.005	-0.2	2.41	-2
58.50	59.00	P151419	0.50	129	10	427	0.005	-0.2	3.73	-2
89.00	89.50	P151420	0.50	118	8	358	-0.005	-0.2	1.86	-2
134.60	135.10	P151424	0.50	149	10	465	-0.005	-0.2	2.15	-2
193.50	194.00	P151425	0.50	150	11	340	-0.005	-0.2	1.66	-2
217.00	217.50	P151426	0.50	129	9	252	-0.005	-0.2	1.66	-2

AC

Géochimie

De	À	Numéro	Longueur	B (ppm)	Ba Econo (ppm)	Be (ppm)	Bi (ppm)	Ca (%)	Cd (ppm)	Co (ppm)
27.30	27.80	P151418	0.50	110		-0.5	-2	1.50	-0.5	15
58.50	59.00	P151419	0.50	10		-0.5	-2	2.04	-0.5	12
89.00	89.50	P151420	0.50	20		-0.5	-2	1.16	-0.5	14
134.60	135.10	P151424	0.50	-10		-0.5	2	0.45	-0.5	14
193.50	194.00	P151425	0.50	10		-0.5	-2	1.17	-0.5	10
217.00	217.50	P151426	0.50	-10		-0.5	2	0.64	-0.5	11

AC

Géochimie

De	À	Numéro	Longueur	Cr (ppm)	Cu (ppm)	Fe (%)	Ga (ppm)	Hg (ppm)	K (%)	La (ppm)
27.30	27.80	P151418	0.50	55	8	2.91	10	-1	0.17	10
58.50	59.00	P151419	0.50	48	37	2.82	10	-1	0.96	10
89.00	89.50	P151420	0.50	76	7	3.06	10	-1	0.36	10
134.60	135.10	P151424	0.50	38	32	3.35	10	-1	1.17	20
193.50	194.00	P151425	0.50	68	39	2.99	10	-1	0.36	10
217.00	217.50	P151426	0.50	74	34	2.90	10	-1	0.59	10

## Géochimie

De	À	Numéro	Longueur	Mg (%)	Mn (ppm)	Mo (ppm)	Na (%)	Ni (ppm)	P (ppm)	Pb (ppm)
27.30	27.80	P151418	0.50	1.45	842	1	0.12	47	690	-2
58.50	59.00	P151419	0.50	1.28	502	-1	0.26	39	580	-2
89.00	89.50	P151420	0.50	1.57	484	1	0.08	50	460	-2
134.60	135.10	P151424	0.50	1.36	376	-1	0.07	25	1 020	-2
193.50	194.00	P151425	0.50	0.71	769	-1	0.07	29	360	-2
217.00	217.50	P151426	0.50	0.72	494	1	0.08	32	360	-2



AC

Géochimie

De	À	Numéro	Longueur	S (%)	Sb (ppm)	Sc (ppm)	Th (ppm)	Sr Econo (ppm)	Ti (%)	Tl (ppm)
27.30	27.80	P151418	0.50	0.05	-2	6	-20		0.19	-10
58.50	59.00	P151419	0.50	0.13	2	6	-20		0.18	-10
89.00	89.50	P151420	0.50	0.01	-2	9	-20		0.20	-10
134.60	135.10	P151424	0.50	0.03	-2	7	-20		0.20	10
193.50	194.00	P151425	0.50	0.02	-2	6	-20		0.14	-10
217.00	217.50	P151426	0.50	0.01	-2	8	-20		0.13	-10

Géochimie

De	À	Numéro	Longueur	U (ppm)	V (ppm)	W (ppm)	Zn (ppm)
27.30	27.80	P151418	0.50	-10	64	-10	263
58.50	59.00	P151419	0.50	-10	72	-10	178
89.00	89.50	P151420	0.50	-10	70	-10	118
134.60	135.10	P151424	0.50	-10	91	-10	70
193.50	194.00	P151425	0.50	-10	53	-10	34
217.00	217.50	P151426	0.50	-10	60	-10	35

MAUDORE MINERALS Ltd

Sondage : COM-12-900  
 Titre minier : 5163474  
 Section : 1584E; 3650N  
 Canton : Fraser  
 Niveau : Surface  
 Rang : I  
 Place de travail : Lebel-Sur-Quévillon  
 Foré par : Forages M. Rouillier Inc  
 Lot : 41  
 Décrit par : Camille Vallet  
 Du : 2012-05-24  
 Date de description : 2012-06-24  
 Au : 2012-05-30

Collet

Azimut : 285.00°  
 Plongée : -50.00°  
 Longueur : 502.00 m

	UTM	Locales	GREER
Est	341 318.07	1 584.62	4 924.54
Nord	5 446 784.46	3 647.15	4 443.36
Élévation	290.47	290.47	290.47

Déviations

Type	Profondeur	Azimut	Plongée	Invalide	Description
Reflex	0.00	280.50°	-51.00°	Non	
Reflex	13.00	294.90°	-51.20°	Oui	58472
Reflex	16.00	286.00°	-51.10°	Oui	56206
Reflex	19.00	271.60°	-51.40°	Oui	56870
Reflex	22.00	297.60°	-43.40°	Oui	54695
Reflex	25.00	280.60°	-51.00°	Non	54289
Reflex	28.00	289.50°	-48.30°	Oui	54535
Reflex	31.00	288.50°	-48.30°	Oui	54582
Reflex	34.00	287.50°	-48.40°	Oui	54561
Reflex	37.00	283.10°	-51.20°	Oui	54966
Reflex	40.00	288.70°	-49.70°	Oui	54013
Reflex	43.00	280.20°	-51.70°	Oui	54569

Description

Proposition TNO-12-09. Position collet, arpenté Juin 2012, par Descarreaux & Dubé.



Dimension de la carotte : Carotte NQ      Cimenté : Non      Entreposé : Non

Déviation

Type	Profondeur	Azimut	Plongée	Invalide	Description
Reflex	46.00	288.30°	-48.80°	Oui	54772
Reflex	49.00	295.70°	-45.40°	Oui	54748
Reflex	52.00	278.70°	-51.00°	Non	54800
Reflex	55.00	279.70°	-50.70°	Non	54433
Reflex	58.00	280.20°	-50.50°	Non	54327
Reflex	61.00	268.90°	-51.50°	Oui	54754
Reflex	64.00	291.60°	-47.90°	Oui	54640
Reflex	67.00	283.80°	-50.30°	Non	54312
Reflex	70.00	284.00°	-50.30°	Non	54369
Reflex	73.00	282.20°	-50.10°	Oui	54571
Reflex	76.00	283.60°	-50.00°	Non	54384
Reflex	79.00	284.30°	-49.90°	Non	54401
Reflex	82.00	282.10°	-49.80°	Non	54321
Reflex	85.00	280.80°	-49.60°	Oui	53890
Reflex	88.00	284.20°	-49.60°	Non	54516
Reflex	91.00	284.40°	-49.40°	Non	54479
Reflex	94.00	304.70°	-40.50°	Oui	54564
Reflex	97.00	284.40°	-49.40°	Non	54570
Reflex	100.00	284.90°	-49.20°	Non	54585
Reflex	103.00	284.90°	-49.20°	Non	54578
Reflex	106.00	285.20°	-49.10°	Non	54613
Reflex	109.00	285.30°	-49.10°	Non	54642
Reflex	112.00	283.90°	-49.00°	Oui	54648
Reflex	115.00	285.60°	-48.80°	Non	54661
Reflex	118.00	285.50°	-48.90°	Non	54632
Reflex	121.00	285.90°	-48.60°	Oui	54606
Reflex	124.00	279.10°	-50.90°	Oui	54645
Reflex	127.00	284.40°	-48.70°	Non	54674
Reflex	130.00	285.40°	-48.60°	Non	54881
Reflex	133.00	284.60°	-48.40°	Non	54014
Reflex	136.00	285.90°	-48.30°	Non	54262
Reflex	139.00	285.10°	-48.20°	Non	54503
Reflex	142.00	284.60°	-48.20°	Non	54597
Reflex	145.00	285.60°	-48.00°	Non	54559

MAUDORE MINERALS Ltd

A

Déviations

Type	Profondeur	Azimat	Plongée	Invalide	Description
Reflex	148.00	286.00°	-47.90°	Non	54509
Reflex	151.00	286.10°	-47.80°	Non	54484
Reflex	154.00	286.10°	-47.70°	Non	54484
Reflex	157.00	286.20°	-47.70°	Non	54599
Reflex	160.00	284.80°	-48.20°	Oui	54623
Reflex	163.00	286.30°	-47.50°	Non	54619
Reflex	166.00	286.20°	-47.50°	Non	54606
Reflex	169.00	298.70°	-42.30°	Oui	54601
Reflex	172.00	286.20°	-47.40°	Non	54630
Reflex	175.00	285.80°	-47.30°	Non	54646
Reflex	178.00	285.80°	-47.20°	Non	54640
Reflex	181.00	283.80°	-47.90°	Oui	54598
Reflex	184.00	286.10°	-47.00°	Non	54585
Reflex	187.00	285.70°	-46.90°	Non	54546
Reflex	190.00	284.90°	-46.70°	Oui	54477
Reflex	193.00	284.70°	-46.90°	Non	54600
Reflex	196.00	286.40°	-46.40°	Oui	54603
Reflex	199.00	284.80°	-46.60°	Non	54736
Reflex	202.00	286.10°	-46.60°	Non	54617
Reflex	205.00	285.00°	-46.80°	Oui	54557
Reflex	208.00	267.50°	-52.00°	Oui	54532
Reflex	211.00	286.00°	-46.30°	Non	54577
Reflex	214.00	285.90°	-46.20°	Non	54617
Reflex	217.00	286.10°	-46.20°	Non	54653
Reflex	220.00	286.30°	-46.20°	Non	54627
Reflex	223.00	286.60°	-46.10°	Non	54672
Reflex	226.00	305.90°	-37.10°	Oui	54665
Reflex	229.00	286.70°	-46.00°	Non	54676
Reflex	232.00	286.60°	-45.90°	Non	54669
Reflex	235.00	286.40°	-45.80°	Non	54681
Reflex	238.00	286.50°	-45.70°	Non	54690
Reflex	241.00	286.50°	-45.60°	Non	54686
Reflex	244.00	286.40°	-45.60°	Non	54669
Reflex	247.00	286.60°	-45.40°	Non	54668

## Déviations

Type	Profondeur	Azimut	Plongée	Invalide	Description
Reflex	250.00	286.50°	-45.30°	Non	54646
Reflex	253.00	286.50°	-45.20°	Non	54627
Reflex	256.00	280.20°	-47.20°	Oui	54625
Reflex	259.00	286.20°	-45.10°	Non	54645
Reflex	262.00	286.00°	-45.00°	Non	54650
Reflex	265.00	286.10°	-44.90°	Non	54639
Reflex	268.00	286.10°	-44.90°	Non	54632
Reflex	271.00	286.10°	-44.70°	Non	54637
Reflex	274.00	286.00°	-44.60°	Non	54647
Reflex	277.00	286.00°	-44.60°	Non	54654
Reflex	280.00	286.00°	-44.40°	Non	54641
Reflex	283.00	285.60°	-44.40°	Non	54590
Reflex	286.00	285.90°	-44.30°	Non	54593
Reflex	289.00	295.20°	-40.50°	Oui	54594
Reflex	292.00	285.80°	-44.10°	Non	54631
Reflex	295.00	285.90°	-44.10°	Non	54580
Reflex	298.00	285.80°	-43.90°	Non	54574
Reflex	301.00	285.80°	-43.90°	Non	54576
Reflex	304.00	285.70°	-43.80°	Non	54598
Reflex	307.00	285.60°	-43.70°	Non	54618
Reflex	310.00	273.40°	-47.40°	Oui	54649
Reflex	313.00	283.10°	-44.50°	Oui	54672
Reflex	316.00	285.60°	-43.60°	Non	54669
Reflex	319.00	286.10°	-43.50°	Non	54689
Reflex	322.00	286.00°	-43.50°	Non	54760
Reflex	325.00	319.50°	-21.50°	Oui	54613
Reflex	328.00	286.00°	-43.30°	Non	54651
Reflex	331.00	286.10°	-43.20°	Non	54600
Reflex	334.00	286.20°	-43.10°	Non	54588
Reflex	337.00	285.90°	-43.00°	Non	54589
Reflex	340.00	286.10°	-42.90°	Non	54564
Reflex	343.00	286.40°	-42.80°	Non	54573
Reflex	346.00	286.10°	-42.70°	Non	54557
Reflex	349.00	286.10°	-42.60°	Non	54571

MAUDORE MINERALS Ltd

AC

Déviation

Type	Profondeur	Azimut	Plongée	Invalide	Description
Reflex	352.00	286.20°	-42.50°	Non	54556
Reflex	355.00	286.20°	-42.30°	Non	54539
Reflex	358.00	286.30°	-42.30°	Non	54551
Reflex	361.00	286.30°	-42.20°	Non	54564
Reflex	364.00	286.30°	-42.10°	Non	54554
Reflex	367.00	284.70°	-42.60°	Oui	54558
Reflex	370.00	286.40°	-42.10°	Non	54553
Reflex	373.00	286.10°	-42.00°	Non	54554
Reflex	376.00	286.10°	-41.90°	Non	54551
Reflex	379.00	286.10°	-41.90°	Non	54551
Reflex	382.00	286.10°	-41.80°	Non	54550
Reflex	385.00	286.20°	-41.80°	Non	54547
Reflex	388.00	270.30°	-46.40°	Oui	54543
Reflex	391.00	286.20°	-41.70°	Non	54561
Reflex	394.00	286.60°	-41.50°	Non	54554
Reflex	397.00	286.20°	-41.60°	Non	54528
Reflex	400.00	286.10°	-41.60°	Non	54478
Reflex	403.00	286.00°	-41.60°	Non	54544
Reflex	406.00	286.40°	-41.60°	Non	54568
Reflex	409.00	286.30°	-41.60°	Non	54489
Reflex	412.00	286.50°	-41.60°	Non	54542
Reflex	415.00	286.80°	-41.60°	Non	54725
Reflex	418.00	284.60°	-41.60°	Oui	54550
Reflex	421.00	285.70°	-41.60°	Non	54404
Reflex	424.00	285.00°	-41.70°	Non	54685
Reflex	427.00	283.80°	-41.70°	Non	54845
Reflex	430.00	285.30°	-41.70°	Non	54555
Reflex	433.00	285.90°	-41.70°	Non	54493
Reflex	436.00	285.10°	-41.70°	Non	54988
Reflex	439.00	285.50°	-41.70°	Non	54613
Reflex	442.00	284.80°	-41.80°	Non	54615
Reflex	445.00	285.80°	-41.70°	Non	54575
Reflex	448.00	286.10°	-41.70°	Non	54773
Reflex	451.00	285.60°	-41.70°	Non	54617

AC

Déviation

Type	Profondeur	Azimut	Plongée	Invalide	Description
Reflex	454.00	285.30°	-41.70°	Non	54603
Reflex	457.00	285.10°	-41.70°	Non	54648
Reflex	460.00	284.40°	-41.70°	Non	54582
Reflex	463.00	284.70°	-41.70°	Non	54248
Reflex	466.00	286.20°	-41.70°	Non	54355
Reflex	469.00	286.10°	-41.60°	Non	55681
Reflex	472.00	303.60°	-33.70°	Oui	54920
Reflex	475.00	270.40°	-46.20°	Oui	54579
Reflex	478.00	284.30°	-41.50°	Oui	55177
Reflex	481.00	285.80°	-41.50°	Non	54599
Reflex	484.00	285.90°	-41.50°	Non	54604
Reflex	487.00	286.10°	-41.40°	Non	54547
Reflex	490.00	287.00°	-41.30°	Non	54619
Reflex	493.00	294.10°	-38.40°	Oui	54487
Reflex	496.00	289.50°	-39.90°	Oui	54602
Reflex	499.00	293.60°	-38.70°	Oui	54575
Reflex	502.00	286.70°	-40.90°	Non	54487



MAUDORE MINERALS Ltd

A

Description			Analyse							
			De	À	Numéro	Longueur	Au_Final (g/t)	Ag_Final (ppm)	Cu_Final (ppm)	Zn_Final (ppm)
0.00	10.00	<p>MT</p> <p><b>Mort Terrain</b></p> <p>Mort Terrain</p>								
10.00	41.60	<p>I3E</p> <p><b>Gabbro à quartz</b></p> <p>Gabbro microgrenue</p> <p>Vert forêt, aspect massif et homogène, le plus souvent isotrope mais très localement folié</p> <p>Grains visible à la loupe: amphibole, magnétite, quartz, chlorite, plagioclases épidotisés, Porphyres mm de quartz bleus également visibles.</p> <p>Granulométrie variable dans l'ensemble.</p> <p>Roche à fort magnétisme sur l'ensemble de l'intervalle.</p> <p>Très faible épidotisation, quelques fines veinules de calcite, calcitisation pervasive très locale.</p> <p>Rarement des traces de PY.</p> <p>Contact sup. souligné par altération Cb et le changement de magnétisme de nul à fort à 60deg AC</p> <p>Contact inf. à 30deg AC; Présence de deux enclaves de I3A; MOY à 37.2-37.3 et 37.6-38.9 dans le I3A;</p> <p>FIN</p> <p>Altération:</p> <p>Si+ pervasive, Chl moy pervasive, Ep moy interstitielle, Mg moy interstitielle, Cb moy en Vnl</p> <p>Excepté:</p> <p>10-11.6: I2, pFp</p> <p>12.4-16.9: I2, APH</p> <p>17.7-18.5: I2, APH</p>								
10.00	11.60	<p>I2; pFp</p> <p><b>Intrusion intermédiaire; Porphyre de Feldspath</b></p> <p>Intrusion intermédiaire à porphyres de feldspaths; de couleur gris souris, à matrice microcristalline, contenant 15-20% de phénocristaux de feldspaths idiomorphes, 0.5 à 5mm. Texture isotrope. Contact net avec l'unité suivante mais transposé et zigzagant.</p>								

MAUDORE MINERALS Ltd

AC

Description			Analyse							
			De	À	Numéro	Longueur	Au_Final (g/t)	Ag_Final (ppm)	Cu_Final (ppm)	Zn_Final (ppm)
10.00	41.60	SIL+; CH; EP; MG; CB Silicification forte; Chloritisation; Épidotisation; Magnétite; Carbonatisation Si+ pervasive, Chl moy pervasive, Ep moy interstitielle, Mg moy interstitielle, Cb moy en Vnl  Excepté: 10-11.6: I2, pFp 12.4-16.9: I2, APH 17.7-18.5: I2, APH	10.00	11.50	P151855	1.50	0.005	0.20	15.0	50.0
11.50	12.40	Pytr-1 Pyrite tr-1 Pyrite tr-1	11.50	12.40	P151856	0.90	0.005	0.40	44.0	99.0
12.40	16.90	I2J Intrusion Intermédiaire; Aphanitique Intrusion intermédiaire de couleur gris clair légèrement brunâtre. Grain aphanitique, texture marbrée par une bréchification dense injectée de calcite. Possiblement de même nature que le dyke précédent. Contacts nets et concordants 55-60 deg a/c. Tr Py.	12.40	13.40	P151857	1.00	0.005	0.30	40.0	70.0
			13.40	14.10	P151858	0.70	0.005	0.20	36.0	72.0
14.10	15.80	Pytr Pyrite tr Pyrite tr Dyke aussi minéralisé	14.10	14.60	P151860	0.50	0.010	0.30	73.0	66.0
			14.60	15.80	P151862	1.20	0.005	0.20	30.0	66.0
			15.80	16.80	P151863	1.00	0.005	0.40	38.0	66.0
			16.80	18.00	P151864	1.20	0.005	0.10	17.0	93.0
17.70	18.50	I2J Intrusion Intermédiaire; Aphanitique Intrusion intermédiaire de couleur gris clair légèrement brunâtre. Grain aphanitique, texture marbrée par une bréchification dense injectée de calcite. Possiblement de même nature que le dyke précédent. Contacts nets et concordants								

MAUDORE MINERALS Ltd

AK

Description			Analyse							
			De	À	Numéro	Longueur	Au_Final (g/t)	Ag_Final (ppm)	Cu_Final (ppm)	Zn_Final (ppm)
55-60 deg a/c marqués par une bordure figée sur 3-5cm. Tr Py.										
18.00	18.50	Cptr <b>Chalcopyrite tr</b> tr Cp, avec veine de Qz-Cc de 4-5cm	18.00	18.50	P151865	0.50	0.005	0.10	10.0	40.0
18.50	21.40	Pytr-1 <b>Pyrite tr-1</b> tr-1% Py disséminée.	18.50	19.90	P151867	1.40	0.005	0.10	57.0	59.0
			19.90	21.40	P151868	1.50	0.005	0.10	43.0	51.0
			21.40	22.90	P151869	1.50	0.005	0.10	36.0	41.0
			22.90	24.40	P151870	1.50	0.005	0.10	15.0	46.0
			24.40	25.90	P151871	1.50	0.005	0.10	18.5	38.5
			25.90	27.20	P151872	1.30	0.005	0.10	18.0	36.0
			27.20	28.70	P151873	1.50	0.005	0.10	11.0	41.0
			28.70	29.20	P151388	0.50	0.002	0.10	5.0	33.0
			29.20	30.20	P151874	1.00	0.005	0.10	64.0	42.0
			36.40	37.40	P151875	1.00	0.005	0.15	104.0	34.0
37.40	39.00	Pytr-1; MI01 <b>Pyrite tr-1; Magnétite 1%</b> Veinules de magnétite massives, 0.5cm d'épaisseurs, 20 deg a/c, très faiblement partiellement remplacées par la pyrite; localement recoupées par des veinules de calcite et pyrite (la pyrite remplace clairement la magnétite dans les veinules de calcite qui les recoupernt)	37.40	37.90	P151876	0.50	0.005	0.10	98.0	46.0
			37.90	38.50	P151877	0.60	0.005	0.10	100.0	35.0
			38.50	39.00	P151878	0.50	0.005	0.10	105.0	32.5
			39.00	40.00	P151879	1.00	0.010	0.10	79.0	33.0
			40.00	41.00	P151880	1.00	0.005	0.10	70.0	28.0
41.60	58.80	I3E <b>Gabbro à quartz</b> Gabbro grenue Vert forêt à taches vert pâle Homogène et isotrope Grenue, avec amphibole, magnétite, quartz (pQz) bleu, moins de 1%) disséminé Roche moyennement magnétique sur l'ensemble de l'intervalle. Épidotisation modérée à localement intense sur tout l'intervalle. Pas de foliation								

MAUDORE MINERALS Ltd

AC

Description			Analyse							
			De	À	Numéro	Longueur	Au_Final (g/l)	Ag_Final (ppm)	Cu_Final (ppm)	Zn_Final (ppm)
Contact sup. à 30deg AC Contact inf. net ondulant mais globalement à 15degAC  Altération: Si+ pervasive, Épidotisation modérée à localement Intense; Mg moy interstitielle, Cb tr en Vnl										
41.60	58.80	SIL+; EP; MG; Ch; CBtr	46.50	47.60	P151881	1.10	0.005	0.10	81.0	49.0
		Silicification forte; Épidotisation;	47.60	48.10	P151882	0.50	0.005	0.10	78.0	58.0
		Magnétite; Chloritisation;	48.10	49.30	P151884	1.20	0.005	0.10	45.0	44.0
		Carbonatisation tr	55.70	56.90	P151885	1.20	0.010	0.10	14.0	50.0
		Si+ pervasive, Épidotisation modérée à localement intense; Mg moy interstitielle,	56.90	57.90	P151886	1.00	0.005	0.10	52.0	52.0
		Chl moy pervasive, Cb tr en Vnl	57.90	58.80	P151887	0.90	0.005	0.10	68.0	66.0
58.80	66.00	13E <b>Gabbro à quartz</b> Gabbro cisailé Couleur vert sombre à vert pâle. Grain aphanitique et faiblement folié au début de l'intervalle, devenant plus pâle avec la progression de l'intensité de la foliation et de la calcitisation. Roche non magnétique; porphyroblastes (porphyroclastes ?) de quartz 1-2mm, moins de 1%. Foliation à 35deg AC.  Contact sup. net ondulant mais globalement à 15degAC et marqué par un changement drastique dans la granulométrie. Pas de contact inf. net, passage progressif  Altération: Si+ pervasive, Calcitisation moy pervasive, surtout présente lorsque la roche est la plus foliée.  Minéralisation: Py tr-localement 1%, souvent en grains étirés parallèlement à la foliation								
		SIL+; CB; Chl	58.80	59.70	P151889	0.90	0.005	0.10	101.0	101.0

MAUDORE MINERALS Ltd

AC

Description		Analyse								
		De	À	Numéro	Longueur	Au_Final (g/t)	Ag_Final (ppm)	Cu_Final (ppm)	Zn_Final (ppm)	
	Silicification forte; Carbonatation; Chloritisation	59.70	60.70	P151890	1.00	0.005	0.10	135.0	101.0	
	Si+ pervasive, Calcitisation moy	60.70	61.90	P151892	1.20	0.010	0.10	126.0	104.0	
	pervasiva, surtout présente lorsque la roche est la plus foliée, Chl moy	61.90	62.90	P151893	1.00	0.005	0.10	80.0	77.0	
	pervasiva									
58.80	60.70	Pytr-1								
	<b>Pyrite tr-1</b>									
	Disséminée et en grains aplatis dans les plans de foliation.									
62.90	64.00	Pytr-1	62.90	64.00	P151894	1.10	0.010	0.10	129.0	75.0
	<b>Pyrite tr-1</b>									
	Tr-1% Py dans des veines de quartz-calcite concordantes, 0.5 à 3cm d'épaisseurs, comptant pour environ 20% du volume de cet intervalle moyennement cisailé.									
64.00	66.00	Pytr-1	64.00	64.50	P151389	0.50	0.002	0.10	61.0	69.0
	<b>Pyrite tr-1</b>									
	Tr-1% Py en grains millimétriques aplatis dans les plans de foliation.	64.50	65.40	P151895	0.90	0.005	0.10	79.0	75.0	
		65.40	66.00	P151896	0.60	0.005	0.10	80.0	71.0	
66.00	122.40	I3E								
	<b>Gabbro à quartz</b>									
	Gabbro grenue (grossier)									
	Vert clair, hétérogène, passage à fort lessivage-décoloration (épidotisation); texture mouchetée (taches vert foncé sur fond gris-vert pomme)									
	Grenue grossier (minéraux centimétriques), avec amphibole, magnétite, quartz (pQz bleu) disséminé, chlorite									
	Roche moyennement magnétique, puis localement faiblement magnétique entre 96 et 122.4m.									
	Localement folié de 67.8-70.7: foliation dans l'axe de la carotte (soit 0deg AC); de 70.7-73.4: foliation à 35deg AC									
	Pas de contact sup. net, passage progressif; contact inf. marqué par l'apparition d'une faible foliation.									
	Altération:									

MAUDORE MINERALS Ltd

AC

Description	Analyse							
	Dé	À	Numéro	Longueur	Au_Final (g/t)	Ag_Final (ppm)	Cu_Final (ppm)	Zn_Final (ppm)
Si moy pervasive, Epidotisation modérée à intense sur tout l'intervalle, souvent en veines d'épidote à faible angle avec la carotte; magnétite localement transformée en leucoxènes								
Minéralisation: Tr Py								
Structure: Petite zone de cisaillement de 108.7-108.9, 50 deg AC.								
Excepté: 75.8-78.1: I2; APH								
66.00 122.40 EP+; SIL; MG; CHl	66.00	67.00	P151897	1.00	0.005	0.10	23.0	48.0
Épidotisation forte; Silicification;	67.00	68.50	P151898	1.50	0.005	0.10	41.0	41.0
Magnétite; Chloritisation	68.50	70.00	P151899	1.50	0.005	0.10	53.0	56.0
Si moy pervasive, épidotisation modérée à intense sur tout l'intervalle, souvent en veines d'épidote à faible angle avec la carotte; magnétite localement transformée en leucoxènes (toujours à proximité de la pyrite), CHl moy pervasive	70.00	71.50	P151900	1.50	0.005	0.10	56.5	54.0
	71.50	72.00	P151901	0.50	0.005	0.10	47.0	59.0
	72.00	73.00	P151903	1.00	0.005	0.10	60.0	68.0
Excepté: 75.8-78.1: I2; APH								
73.00 73.50 Py01	73.00	73.50	P151904	0.50	0.005	0.10	71.0	81.0
Pyrite 1% 1% Py aplatie dans les plans de foliation.								
73.50 73.60 FAI	73.50	74.60	P151905	1.10	0.005	0.10	27.0	73.0
Faïlle 20° Petite faille avec contacts boueux-sable	74.60	75.80	P151906	1.20	0.005	0.10	34.0	77.0
75.80 78.10 I2J Intrusion Intermédiaire; Aphanitique Intrusion intermédiaire (à felsique ??) de couleur gris souris à gris pâle; grain aphanitique; faiblement folié ( 35-40 deg a/c); contacts nets et concordants.								

MAUDORE MINERALS Ltd

Description		Analyse								
		De	À	Numéro	Longueur	Au_Final (g/t)	Ag_Final (ppm)	Cu_Final (ppm)	Zn_Final (ppm)	
	Tr Py.									
75.80	78.20	Pytr-1	75.80	77.20	P151907	1.40	0.005	0.10	12.0	52.0
		<b>Pyrite tr-1</b>	77.20	77.70	P151390	0.50	0.002	0.10	15.0	27.0
		Pyrite tr-1, en grains fins et disséminée idiomorphes.	77.70	78.20	P151909	0.50	0.005	0.10	17.0	49.0
			78.20	79.30	P151910	1.10	0.005	0.20	94.0	76.0
		Dyke minéralisé	79.30	80.80	P151911	1.50	0.010	0.10	55.0	77.0
			80.80	82.00	P151913	1.20	0.010	0.20	64.0	78.0
82.00	83.30	Py01	82.00	83.30	P151914	1.30	0.005	0.10	40.0	77.0
		<b>Pyrite 1%</b>	83.30	84.70	P151915	1.40	0.005	0.10	46.0	78.0
		1% Py aplatie dans les plans de foliation, plus fréquente près des veinules de quartz-calcite (1-2cm, concordantes)	84.70	86.00	P151916	1.30	0.005	0.10	18.0	69.0
			86.00	86.50	P151917	0.50	0.005	0.20	38.5	43.0
			86.50	87.20	P151918	0.70	0.005	0.10	48.0	76.0
			87.20	87.70	P151391	0.50	0.002	0.30	14.0	74.0
			87.70	88.40	P151919	0.70	0.005	0.20	32.0	70.0
88.40	89.20	Py1-2	88.40	89.20	P151920	0.80	0.005	0.10	17.0	63.0
		<b>Pyrite 1-2</b>	89.20	90.50	P151921	1.30	0.005	0.20	19.0	62.0
		En "amas" de 2-4mm et disséminée.	90.50	91.50	P151922	1.00	0.005	0.20	5.0	70.0
			91.50	92.10	P151923	0.60	0.005	0.10	17.0	58.0
			92.10	93.10	P151924	1.00	0.005	0.10	28.0	74.0
			104.70	105.70	P151925	1.00	0.005	0.15	44.5	34.5
105.30	105.50	FRC+								
		<b>Fracturation forte</b>								
		Fracturation forte								
105.70	106.20	Pytr-1	105.70	106.20	P151926	0.50	0.005	0.10	36.0	50.0
		<b>Pyrite tr-1</b>	106.20	107.20	P151927	1.00	0.005	0.10	47.0	42.0
		Pyrite tr-1, surtout concentrée dans une veinule de quartz-calcite à 60deg a/c.	107.20	108.60	P151928	1.40	0.005	0.10	33.0	41.0
			108.60	109.10	P151929	0.50	0.005	0.10	41.0	45.0
108.70	108.90	CIS+	109.10	110.10	P151930	1.00	0.005	0.10	46.0	45.0
		<b>Cisaillement fort</b>	112.40	113.40	P151931	1.00	0.005	0.10	36.0	53.0
		Petite zone de cisaillement de 108.7-108.9, 50 deg AC.								
113.40	114.20	Pytr-1	113.40	114.20	P151932	0.80	0.005	0.15	75.0	62.0
		<b>Pyrite tr-1</b>	114.20	115.20	P151933	1.00	0.005	0.10	30.0	46.0
		Pyrite tr-1, dans petite zone de cisaillement 45deg a/c, avec veinules de	121.70	122.70	P151934	1.00	0.005	0.10	29.0	26.0

MAUDORE MINERALS Ltd

AC

Description			Analyse								
			De	À	Numéro	Longueur	Au_Final (g/t)	Ag_Final (ppm)	Cu_Final (ppm)	Zn_Final (ppm)	
122.40	142.60	<p>13A  <b>Gabbro</b>                      Gabbro cisailé                      Couleur vert grisâtre.                      Grain fin à aphanitique (- de 1mm à 2-3mm). (Le cisaillement n'est pas dans l'onglet structure car il y a chevauchement avec un intervalle à forte fracturation). Distinct de l'unité suivante par la présence d'une faible foliation (variable de 25 à 40 deg AC) sur presque tout l'ensemble de l'intervalle, certaines portions décimétriques à métriques étant isotropes.                      Magnétisme moy</p> <p>Allération :                      Globalement, Si moy pervasive, faible épidotisation pervasive                      132-142.6: Cb+ (calcite) en Vnl discordantes, Ep moy pervasive</p> <p>Minéralisation:                      Py en traces, très localement tr-1% .                      128.9-135.7 : tr-1% Py sur les pourtour d'une veines de quartz-calcite (2-3cm) aux épontes moyennement chloritisées</p> <p>Excepté:                      135.7-142.6: I2; pFp</p>									
	122.40	162.80	<p>SiL; Chl; EP-                      Silicification; Chloritisation;                      Épidotisation faible                      Si moy pervasive, Chl moy pervasive,                      faible épidotisation pervasive</p> <p>Excepté:                      135.7-142.6: I2; pFp</p>	122.70	123.20	P151392	0.50	0.002	0.10	75.0	28.0
				123.20	124.20	P151935	1.00	0.008	0.10	81.0	27.0
				127.70	128.90	P151936	1.20	0.005	0.10	38.0	28.0
	128.90	135.70	<p>Pytr                      Pyrite tr                      Py tr et localement 1% sur les pourtour d'une veines de quartz-calcite (2-3cm)</p>	128.90	129.60	P151937	0.70	0.005	0.10	35.0	43.0
				129.60	130.30	P151939	0.70	0.005	0.10	26.0	27.0
				130.30	131.40	P151940	1.10	0.005	0.10	34.0	40.0



MAUDORE MINERALS Ltd



Description				Analyse							
				De	À	Numéro	Longueur	Au_Final (g/t)	Ag_Final (ppm)	Cu_Final (ppm)	Zn_Final (ppm)
			aux éponges moyennement chloritisées	131.40	132.00	P151941	0.60	0.005	0.10	24.0	46.0
				132.00	133.30	P151943	1.30	0.005	0.10	21.0	41.0
				133.30	134.40	P151944	1.10	0.005	0.10	24.0	36.0
133.70	134.40		FRC+	134.40	135.10	P151946	0.70	0.005	0.10	38.0	60.0
			<b>Fracturation forte</b>	135.10	135.70	P151947	0.60	0.005	0.10	23.0	56.0
			Fracturation forte, avec grenaille et boue.								
135.70	142.60	I2J		135.70	137.00	P151948	1.30	0.005	0.10	37.0	36.0
			<b>Intrusion intermédiaire; Porphyre de Feldspath</b>								
			Dyke intermédiaire à porphyres de feldspaths. De couleur gris moyen, à matrice aphanitique, contenant 2-7% de porphyres de feldspaths blancs, idiomorphes, 0.5 à 2mm. Contact sup. net avec bordure figée sur environ 30cm. Contact inf. graduel dans intervalle folié.								
142.60	162.80	I3A		142.60	143.60	P151949	1.00	0.005	0.10	26.0	31.0
			<b>Gabbro</b>	143.60	144.10	P151393	0.50	0.002	0.10	39.0	32.0
			Gabbro hétérogène	144.10	145.10	P151950	1.00	0.005	0.10	18.0	32.0
			Couleur vert grisâtre.	150.70	151.80	P151951	1.10	0.005	0.10	27.0	35.0
			Grain fin à aphanitique (- de 1mm à 2-3mm).	151.80	152.60	P151952	0.80	0.005	0.20	45.0	64.0
			Présence de 3 intervalles fortement foliés ressemblant à un V3 (ou gabbro fortement cisailé?) de 145.5-146.4, 152.2-153.2, et 162-162.8. Pas de clastes visibles, forte schistosité à 25deg AC. Ces intervalles sont minéralisés en Py Ir								
			Roche à faible magnétisme localement fort dans les zones altérées								
			Contact sup diffus, a été placé au niveau de l'intrusion								
			Contact inf. diffus, localisé au dernier intervalle de V3								
			Les contacts I3A-V3 sont également diffus sans contact vraiment visible								
			<b>Allération</b>								
			Globalement, Si moy pervasive, faible épidolisation pervasive								

MAUDORE MINERALS Ltd

AC

Description			Analyse							
			De	À	Numéro	Longueur	Au_Final (g/t)	Ag_Final (ppm)	Cu_Final (ppm)	Zn_Final (ppm)
Veine: 153.00-153.50: Veine à Qz-Cb (calcite)										
Minéralisation 152.2-153.2: Py tr en grains disséminés allongés dans la foliation et dans Vnl de Cb en grains automorphes 162-162.8: Py tr en grains disséminés allongés dans la foliation										
152.20	153.20	PyTr <b>Pyrite Tr</b> Py tr en grains disséminés allongés dans la foliation et dans Vnl de Cb en grains automorphes	152.60	153.60	P151953	1.00	0.005	0.10	50.0	63.0
153.00	153.50	VEI;50%;Qz Cc Ep;;Pytr; <b>Veine 50% Quartz Calcite Épidote</b> <b>Pyrite tr</b> 153.00-153.50: Veine à Qz-Cb (calcite)	153.60	154.60	P151955	1.00	0.005	0.10	44.0	57.0
			161.30	162.30	P151957	1.00	0.005	0.10	70.0	57.0
162.00	162.80	PyTr <b>Pyrite Tr</b> Py tr en grains disséminés allongés dans la foliation	162.30	162.80	P151958	0.50	0.005	0.10	107.0	58.0
162.80	315.60	I3A <b>Gabbro</b> Gabbro grenue Couleur vert grisâtre. Globalement homogène et isotrope Grenue à microgrenue (- de 1mm à 2-3mm), minéraux d'amphibole bien visible (1mm) en mouchetage, Ep interstitielle, pas de pQz Roche faiblement magnétique Foliation localement visible à 45deg AC Localement, gabbro à grains fins mais pas de contacts visibles (185.5-189.2, 223.1-229.1, 251.5-255.7), altération?, cisaillement?, intrusion?  Observation: de 255.7-256, intervalle homogène très fin, à forte concentration de pQz bleu et rare amphibole; contact visible à 20deg AC	162.80	163.80	P151959	1.00	0.005	0.10	66.0	74.0
			166.50	167.50	P151960	1.00	0.005	0.10	70.0	59.0
			167.50	168.00	P151961	0.50	0.005	0.10	71.0	68.0
			168.00	169.00	P151962	1.00	0.005	0.10	69.0	54.0
			169.00	169.50	P151394	0.50	0.002	0.10	71.0	63.0
			169.50	170.50	P151963	1.00	0.005	0.10	69.0	65.0
			170.50	171.40	P151964	0.90	0.005	0.10	70.0	90.0
			171.40	172.40	P151965	1.00	0.005	0.10	70.0	79.0

MAUDORE MINERALS Ltd

AK

Description	Analyse							
	De	À	Numéro	Longueur	Au_Final (g/t)	Ag_Final (ppm)	Cu_Final (ppm)	Zn_Final (ppm)
<p>Contact sup. diffus</p> <p>Contact inf. placé à 315.6 au niveau d'une veine de qz; 313-315.6: zone de transition à fort lessivage, couleur grise, schistosité moy</p> <p>Altération:</p> <p>162.8-177: Si moy pervasive, Chl moy pervasive, Ep-, Cb tr en Vnl discordantes</p> <p>177-185.5: Si moy pervasive, Ep moy interstitielle et en Vn associée à Cb, Cb tr en Vn et Vnl, Chl moy pervasive</p> <p>185.5-189.2: Si moy pervasive, Cb+ pervasifs et Vnl concordantes, Chl moy pervasive</p> <p>189.2-251.5: Si moy pervasive, Ep moy (voir faible) interstitielle, Cb tr en Vn et Vnl, Chl moy pervasive et plus rarement en Vnl. Autour des Vnl et Vn, auréole d'altération avec Cb pervasifs (1cm max)</p> <p>251.5-256: Si moy pervasive, Cb+ pervasifs et Vnl concordantes, Chl moy pervasive</p> <p>256-2-258: Si moy pervasive, Ep moy interstitielle et en Vn associée à Cb, Cb tr en Vn et Vnl, Chl moy pervasive et plus rarement en Vnl</p> <p>258-302.5: Si moy pervasive, Ep moy interstitielle et en Vn associée à Cb, Cb- en Vn et Vnl (concordantes et discordantes), Chl moy pervasive et plus rarement en Vnl, Sr tr en Vn. Avec localement: Si moy pervasive, Cb+ pervasifs, Chl moy pervasive: 267.5-268.2, 273-273.5, 299.2-299.8.</p> <p>302.5-313: Si moy pervasive, Ep moy interstitielle et en Vn associée à Cb, Cb moy en Vn et Vnl (concordantes et discordantes), Chl moy pervasive, Sr- en Vn</p> <p>313-315.6: Couleur grise, fort lessivage, Cb++ pervasive</p> <p>Minéralisation:</p> <p>Minéralisation à rattacher aux intervalles plus fins</p> <p>185.9-190: Py tr en grains disséminés ou associés à Vn Qz-Cb-Chl</p> <p>205.4-217: Py tr en grains disséminés, allongés dans</p>								

MAUDORE MINERALS Ltd

AC

Description	Analyse							
	Dé	À	Numéro	Longueur	Au_Final (g/t)	Ag_Final (ppm)	Cu_Final (ppm)	Zn_Final (ppm)
la foliation ou associés à Vn Qz-Cb 222.3-223.3: Py tr dans Vn de Qz-Cb 251.5-276.6: Py tr en grains disséminés, allongés dans la foliation 291.5-299.5: Py tr en grains disséminés, allongés dans la foliation 304-315.6: Py tr en grains disséminés, allongés dans la foliation  Structure: 303.7-304: Frct+; blocs anguleux de 1 à 5 cm	162.80	177.00	SIL; Chl; EP-; CBtr Silicification; Chloritisation; Épidotisation faible; Carbonatisation tr Si moy pervasive, Chl moy pervasive, Ep-, Cb tr en Vnl discordantes					
177.00 185.50 SIL; EP; Chl; CBtr Silicification; Épidotisation; Chloritisation; Carbonatisation tr Si moy pervasive, Ep moy intersituelle et en Vn associée à Cb, Cb tr en Vn et Vnl, Chl moy pervasive	177.00	185.50	P151966	1.50	0.005	0.20	74.0	70.0
185.50 189.20 CB+; SIL; Chl Carbonatisation forte; Silicification; Chloritisation Si moy pervasive, Cb+ pervasifs et Vnl concordantes, Chl moy pervasive	185.50	189.20	P151967	1.50	0.005	0.10	79.0	68.0
185.90 190.00 Pytr Pyrite tr Py tren grains disséminés ou associés à Vn Qz-Cb-Chl	185.90	190.00	P151968	0.50	0.005	0.10	66.0	83.0
			P151969	0.50	0.005	0.20	68.0	89.0
			P151970	0.50	0.005	0.10	46.0	73.0
			P151972	1.50	0.005	0.10	92.0	79.0
189.20 251.50 SIL; EP; Chl; CBtr Silicification; Épidotisation;	189.20	251.50	P151973	1.50	0.005	0.10	154.0	66.0
			P151974	1.50	0.005	0.10	35.0	47.0

MAUDORE MINERALS Ltd

AC

Description			Analyse							
			De	À	Numéro	Longueur	Au_Final (g/l)	Ag_Final (ppm)	Cu_Final (ppm)	Zn_Final (ppm)
		Chloritisation; Carbonatation tr	200.00	200.50	P151404	0.50	0.002	0.10	78.0	45.0
		Si moy pervasive, Ep moy (voir faible)	200.50	202.00	P151975	1.50	0.005	0.10	63.0	45.5
		interstitielle, Cb tr en Vn et Vnl, Chl moy	202.00	203.50	P151976	1.50	0.005	0.10	80.0	59.0
		pervasives et plus rarement en Vnl.	203.50	205.00	P151977	1.50	0.005	0.20	81.0	54.0
		Autour des Vnl et Vn, auréole d'allération	205.00	205.50	P151978	0.50	0.005	0.10	65.0	67.0
		avec Cb pervasifs (1cm max)								
205.40	217.00	Pytr	205.50	206.50	P151979	1.00	0.050	0.20	82.0	72.0
		Pyrite tr	206.50	208.00	P151980	1.50	0.005	0.10	81.0	62.0
		Py tr en grains disséminés, allongés	208.00	209.50	P151981	1.50	0.005	0.10	93.0	74.0
		dans la foliation ou associés à Vn Qz-Cb	209.50	211.00	P151983	1.50	0.010	0.10	57.0	133.0
			211.00	212.50	P151984	1.50	0.005	0.10	72.0	53.0
			212.50	214.00	P151986	1.50	0.005	0.10	69.0	73.0
			214.00	215.50	P151987	1.50	0.005	0.10	125.0	107.0
			215.50	217.00	P151989	1.50	0.005	0.10	106.0	69.0
			220.80	222.30	P151990	1.50	0.010	0.10	70.0	78.0
222.30	223.30	Pytr	222.30	223.00	P151991	0.70	0.005	0.10	71.0	78.0
		Pyrite tr	223.00	223.50	P151992	0.50	0.005	0.10	73.0	52.0
		Py tr dans Vn de Qz-Cb	223.50	225.00	P151993	1.50	0.010	0.10	70.0	58.0
			225.00	225.50	P151405	0.50	0.002	0.20	57.0	62.0
			225.50	227.00	P151994	1.50	0.005	0.10	52.0	34.0
			235.00	236.50	P151995	1.50	0.005	0.10	63.0	57.0
			236.50	238.00	P151996	1.50	0.007	0.10	81.5	66.0
			238.00	239.50	P151997	1.50	0.005	0.10	107.0	74.0
			250.00	251.50	P151998	1.50	0.005	0.20	75.0	68.0
251.50	256.00	CB+; SIL; Chl								
		Carbonatation forte;								
		Silicification; Chloritisation								
		Si moy pervasive, Cb+ pervasifs et Vnl								
		concordantes, Chl moy pervasive								
251.50	276.60	Pytr	251.50	253.00	P151999	1.50	0.005	0.60	73.0	92.0
		Pyrite tr	253.00	254.00	P152000	1.00	0.005	0.25	78.5	96.5
		Py tr en grains disséminés, allongés	254.00	255.50	P298001	1.50	0.005	0.10	73.0	107.0
		dans la foliation	255.50	256.00	P151406	0.50	0.002	0.10	52.0	68.0

MAUDORE MINERALS Ltd

AC

Description			Analyse							
			De	À	Numéro	Longueur	Au_Final (g/t)	Ag_Final (ppm)	Cu_Final (ppm)	Zn_Final (ppm)
256.00	258.00	SIL; EP; Chl; CBtr Silicification; Épidotisation; Chloritisation; Carbonatisation tr Si moy pervasive, Ep moy interstitielle et en Vn associée à Cb, Cb tr en Vn et Vnl, Chl moy pervasive et plus rarement en Vnl	256.00	257.50	P298002	1.50	0.005	0.10	84.0	83.0
			257.50	259.00	P298003	1.50	0.005	0.60	79.0	90.0
258.00	267.50	SIL; EP; Chl; CB-; SRtr Silicification; Épidotisation; Chloritisation; Carbonatisation faible; Séricitisation tr Si moy pervasive, Ep moy interstitielle et en Vn associée à Cb, Cb- en Vn et Vnl (concordantes et discordantes), Chl moy pervasive et plus rarement en Vnl, Sr tr en Vn.	259.00	260.50	P298004	1.50	0.005	0.30	85.0	80.0
			260.50	262.00	P298005	1.50	0.005	0.10	97.0	80.0
			262.00	263.50	P298006	1.50	0.005	0.40	91.0	80.0
			263.50	265.00	P298008	1.50	0.005	0.10	86.0	54.0
			265.00	266.50	P298009	1.50	0.005	0.10	61.0	51.0
267.50	268.20	CB+; SIL; Chl Carbonatisation forte; Silicification; Chloritisation Si moy pervasive, Cb+ pervasifs, Chl moy pervasive	266.50	268.00	P298010	1.50	0.005	0.10	67.0	64.0
			268.00	269.50	P298011	1.50	0.005	0.10	105.0	72.0
268.20	273.00	SIL; EP; Chl; CB-; SRtr Silicification; Épidotisation; Chloritisation; Carbonatisation faible; Séricitisation tr Si moy pervasive, Ep moy interstitielle et en Vn associée à Cb, Cb- en Vn et Vnl (concordantes et discordantes), Chl moy pervasive et plus rarement en Vnl, Sr tr en Vn	269.50	271.00	P298013	1.50	0.005	0.10	67.0	54.0
			271.00	272.50	P298014	1.50	0.005	0.10	43.0	48.0
			272.50	274.00	P298015	1.50	0.005	0.10	82.0	71.0
273.00	273.50	CB+; SIL; Chl Carbonatisation forte; Silicification; Chloritisation Si moy pervasive, Cb+ pervasifs, Chl moy pervasive								

MAUDORE MINERALS Ltd

AC

Description			Analyse							
			De	À	Numéro	Longueur	Au_Final (g/l)	Ag_Final (ppm)	Cu_Final (ppm)	Zn_Final (ppm)
273.50	299.20	SIL; EP; Chl; CB-; SRtr Silicification; Épidotisation; Chloritisation; Carbonatation faible; Séricitisation tr Si moy pervasive, Ep moy interstitielle et en Vn associée à Cb, Cb- en Vn et Vnl (concordantes et discordantes), Chl moy pervasive et plus rarement en Vnl, Sr tr en Vn.	274.00	275.50	P298016	1.50	0.005	0.10	72.0	77.0
			275.50	277.00	P298018	1.50	0.005	0.10	65.0	69.0
			287.00	288.50	P298019	1.50	0.005	0.20	75.0	65.0
			288.50	290.00	P298020	1.50	0.005	0.10	69.0	75.0
			290.00	290.50	P151416	0.50	0.002	0.10	57.0	79.0
			290.50	292.00	P298021	1.50	0.005	0.10	71.0	72.0
291.50	299.50	Pyr Pyrite tr Py tr en grains disséminés, allongés dans la foliation	292.00	293.50	P298022	1.50	0.005	0.10	68.0	76.0
			293.50	295.00	P298023	1.50	0.005	0.10	60.5	56.0
			295.00	296.50	P298024	1.50	0.010	0.10	61.0	73.0
			296.50	298.00	P298025	1.50	0.005	0.10	73.5	74.0
			298.00	299.50	P298026	1.50	0.005	0.10	64.0	71.0
299.20	299.80	CB+; SIL; Chl Carbonatation forte; Silicification; Chloritisation Si moy pervasive, Cb+ pervasifs, Chl moy pervasive	299.50	301.00	P298027	1.50	0.005	0.20	61.0	64.0
299.80	302.50	SR; EP; Chl; CB-; SRtr Séricitisation; Épidotisation; Chloritisation; Carbonatation faible; Séricitisation tr Si moy pervasive, Ep moy interstitielle et en Vn associée à Cb, Cb- en Vn et Vnl (concordantes et discordantes), Chl moy pervasive et plus rarement en Vnl, Sr tr en Vn.								
302.50	313.00	SIL; EP; Chl; CB; SR- Silicification; Épidotisation; Chloritisation; Carbonatation; Séricitisation faible Si moy pervasive, Ep moy interstitielle et en Vn associée à Cb, Cb moy en Vn et Vnl (concordantes et discordantes), Chl								

MAUDORE MINERALS Ltd

AC

Description			Analyse						
			De	À	Numéro	Longueur	Au_Final (g/t)	Ag_Final (ppm)	Cu_Final (ppm)
moy pervasive, Sr- en Vn									
303.70	304.00	FRC+							
<b>Fracturation forte</b>									
Blocs anguleux de 1 à 5 cm									
304.00	315.60	Pytr	304.00	305.50	P298028	1.50	0.005	0.10	73.0
<b>Pyrite tr</b>			305.50	307.00	P298029	1.50	0.005	0.10	66.0
Py tr en grains disséminés, allongés dans la foliation			307.00	308.50	P298030	1.50	0.005	0.10	67.0
			308.50	310.00	P298031	1.50	0.005	0.10	77.0
			310.00	311.50	P298032	1.50	0.005	0.20	70.0
			311.50	313.00	P298034	1.50	0.010	0.20	93.0
313.00	315.60	CB++	313.00	314.50	P298035	1.50	0.005	0.10	81.0
<b>Carbonatisation intense</b>			314.50	315.50	P298037	1.00	0.010	0.10	63.0
Couleur grise, fort lessivage, Cb++ pervasive			315.50	316.00	P298038	0.50	0.005	0.30	15.0
315.60	319.10	SGp							
<b>Sédiment graphiteux</b>									
Sédiments graphiteux									
De couleur brun sombre, presque noir, à gris-noir (graphite).									
Schistosité à 35deg AC									
Contact sup. placé à 315.6 au niveau d'une veine de qz; 313-315.6: zone de transition à fort lessivage, couleur grise, schistosité moy									
Contact inf. progressif, dans la foliation									
Allération:									
Si moy en Vn et patchs									
Minéralisation:									
Sur l'ensemble de l'intervalle, Py 10%, en grains disséminés automorphes, allongés dans la foliation, ou en Vn/Vn dont 2 intervalles à sulfures massifs de 317.4-317.5, 318.2-318.4									
Structure:									
315.9-318.2: Boue, graviers, blocs de 1 à 10 cm									



MAUDORE MINERALS Ltd

AT

Description			Analyse							
			De	À	Numéro	Longueur	Au_Final (g/t)	Ag_Final (ppm)	Cu_Final (ppm)	Zn_Final (ppm)
subarrondis (riche en Py= sulfures massifs)										
Veine: 315.6-316: Veine de Qz (80%) et Cb (20%), qlq enclaves de SGp, avec Py 1%										
315.60	319.10	SIL Silicification Si moy en Vn et patchs								
315.60	317.40	Py02 Pyrite 2% Py 2% en grains disséminés								
315.60	316.00	VEI:90%;Qz Cb;45";Py01; Veine 90% Quartz Carbonate 45" Pyrite 1% Veine de Qz (80%) et Cb (20%), qlq enclaves de SGp								
315.90	318.20	FRC+ Fracturation forte Boue, graviers, blocs de 1 à 10 cm subarrondis (riche en py= sulfures massifs) Zone de faille entre deux litho, gabbro et sédiments graphiteux	316.00	317.50	P298040	1.50	0.005	0.30	33.0	169.0
317.40	317.50	Py80 Pyrite 80% Sulfure massif								
317.50	318.20	Py50 Pyrite 50% Patch de sulfures massifs	317.50	318.20	P298041	0.70	0.010	0.40	35.0	310.0
318.20	318.40	Py90 Pyrite 90% Sulfure massif	318.20	318.70	P298042	0.50	0.010	2.90	51.0	5 670.0

Description			Analyse							
			De	À	Numéro	Longueur	Au_Final (g/l)	Ag_Final (ppm)	Cu_Final (ppm)	Zn_Final (ppm)
318.40	319.10	Py05 Pyrite 5% Py 5% en vnl et grains disséminés automorphes	318.70	319.50	P298043	0.80	0.005	0.20	30.0	422.0
319.10	485.10	V1; pQz; Tl Volcanite felsique; Porphyre de Quartz; Tuf à lapillis Volcanite felsique Couleur gris pâle à verdâtre Hétérogène, clastes de 0.5 à 2 cm, localement plus gros (5cm) entrecoupé par de nombreuses petites intrusions felsiques microgrenue Nombreux pQz bleu, inférieur à 1mm Très localement, petits grenats rouges disséminés Localement présence de fuschite Une foliation générale à 30deg AC marqué par allongement de clastes de 1 à 3cm d'épaisseur Tous les 2-3m environ, présence Vn (1cm) discordante à Qz-Cb parfois Chl noire et plus rarement Py automorphe (en moy alpha:55deg, beta 150deg)  Contact sup. progressif, dans la foliation Contact inf. pas visible, situé au niveau d'un amas de veine (3m), disparition des pQz  Altération: 319-339: Gris clair, Si+ (voir intense) pervasive, en Vn et pQz (bleu), Sr+ pervasive, Pa moy en clastes, Cb moy en Vn/Vnl, Chl- pervasive 339-362.5: Gris clair, Si+ pervasive et pQz (bleu), Sr+ pervasive, Pa moy en clastes, Cb moy en Vn/Vnl, Chl- pervasive. Localement roche vert ressemblant à de la fuschite. 362.5-375.5: Gris noir, Si+ (voir intense) pervasive et pQz (bleu), Sr moy pervasive, Chl moy pervasive, Pa-, Cb- en Vn/Vnl 375.5-422.8: Gris noir sombre, (couleur bien plus sombre que les intervalles précédents; altération différente? niveau seulement plus massif? ou autre lithologie?); Si+ (voir intense) pervasive et pQz								

MAUDORE MINERALS Ltd

AC

Description	Analyse							
	De	À	Numéro	Longueur	Au_Final (g/l)	Ag_Final (ppm)	Cu_Final (ppm)	Zn_Final (ppm)
<p>(bleu), Chl moy, Sr-, Pa-, Cb- en Vn/Vnl                      422.8-461: Gris noir sombre, Si+ (voir intense)                      pervasive et pQz (bleu), Chl moy en clastes, Pa moy                      en clastes, Cb moy à forts en Vn de 0 à 45 deg AC                      461-468.1: Hétérogène selon de % hm, de gris                      sombre, à rougeâtre; Si+ pervasive et pQz, Hm+                      pervasive, Chl pervasive et Vnl, Cb en Vn/Vnl, Sr-                      localement pervasive                      468.1-478.1: Gris verdâtre, Si+ (voir intense)                      pervasive et pQz, Chl+ pervasive, Pa en clastes, Cb                      en Vn et Vnl                      478.1-480.8: Jaune verdâtre, Si+ (voir intense)                      pervasive, Sr+ pervasive et automorphe, Chl moy                      pervasive                      480.8-485.1: Roche très clair complètement silicifiée,                      Si++ en patch, Pa pervasive, Chl en Vnl, Sr-</p> <p>Minéralisation:</p> <p>319.1-322.6: Py 1% en grains disséminés allongés                      dans la foliation                      322.6-323: Py 80%, sulfure massif avec matrice à Qz                      323-323.6: Py 3% en Vn/Vnl ou grains disséminés                      323.6-339.3: Py tr, Po tr disséminées                      339.3-339.8: Po 2% en Vnl en bordure de clastes                      362.5-367: Py tr en grains disséminés automorphes                      373-376: Py tr en grains disséminés automorphes                      396.7-398.6: Py 1%, dyke minéralisé en grains                      finement disséminés                      398.6-400: Py tr en grains disséminés                      409.5-415.8: Py tr grains disséminés                      415.8-417.3: Py 1%, dyke minéralisé en grains                      finement disséminés                      417.3-432.8: Py tr grains disséminés                      440.5-467.8: Py tr, jusqu'à 1% aux contacts des                      intrusifs (eux même minéralisés), en grains                      disséminés, ou dans des Vnl de Qz-Cb, Po tr en Vnl                      ou grains disséminés                      472.9-485.1: Py tr en grains disséminés                      automorphes, ou associés à Vnl-Vn de Qz-Cb</p> <p>Structure:</p>								

MAUDORE MINERALS Ltd

AC

Description	Analyse							
	De	À	Numéro	Longueur	Au_Final (g/l)	Ag_Final (ppm)	Cu_Final (ppm)	Zn_Final (ppm)
355-370: Frct+ 391.1-391.2: Faille Rien de notable jusqu'à 485.1m  Veine: 404-404.1: Veine de Qz-Cb 480.8-485.1: Roche très clair complètement silicifiée, Amas de Vn, Si++ en patch, Pa pervasive, Chl en Vnl, Sr-, Py tr  Excepté: 319.4-320.7: I1 344.5-345: I1 396.7-398.5: I3; FIN 415.8-417.3: I3; FIN 440.8-442.4: I3; FIN 452.7-453.6: I3; FIN 462.5-463.7: I3; FIN 465.9-466.3: I3; FIN 474.3-475.4: I3; FIN								
319.10      339.00      SIL+; SR+; PA; CB; Chl- Silicification forte; Séricitisation forte; Paragonite; Carbonatation; Chloritisation faible Gris clair, Si+ (voir intense) pervasive, en Vn et pQz (bleu), Sr+ pervasive, Pa moy en clastes, Cb moy en Vn/Vnl, Chl- pervasive  Excepté: 319.4-320.7: I1								
319.10      322.60      Py01 Pyrite 1% Py 1% en grains disséminés allongés dans la foliation  Excepté:								

MAUDORE MINERALS Ltd

AC

Description			Analyse							
			De	À	Numéro	Longueur	Au_Final (g/t)	Ag_Final (ppm)	Cu_Final (ppm)	Zn_Final (ppm)
319.4-320.7										
319.40	320.70	I1B	320.70	321.60	P298044	0.90	0.005	0.20	20.0	95.0
		Intrusion felsique	321.60	322.10	P151417	0.50	0.002	0.10	22.0	83.0
		Intrusion felsique	322.10	322.60	P298045	0.50	0.005	0.20	19.0	98.0
		Gris clair à matrice fine								
		Contact sup. net concordant 40deg AC, contact inf. net concordant 30deg AC								
322.60	323.00	Py80	322.60	323.10	P298046	0.50	0.020	0.50	34.0	2 630.0
		<b>Pyrite 80%</b>								
		Py 80%, sulfure massif avec matrice à Qz								
323.00	323.60	Py03	323.10	323.60	P298047	0.50	0.005	0.40	37.0	1 555.0
		<b>Pyrite 3%</b>								
		Py 3% en Vn/Vnl ou grains disséminés								
323.60	339.30	Pytr; Potr	323.60	325.00	P298048	1.40	0.005	0.15	27.5	194.5
		<b>Pyrite tr; Pyrrhotine tr</b>	325.00	326.50	P298049	1.50	0.005	0.20	48.0	72.0
		Py tr, Po tr disséminées	326.50	328.00	P298050	1.50	0.005	0.15	26.5	44.0
			328.00	329.50	P298051	1.50	0.005	0.10	33.0	66.0
			329.50	331.00	P298052	1.50	0.005	0.10	40.0	101.0
			331.00	332.50	P298053	1.50	0.005	0.10	41.0	108.0
			332.50	334.00	P298054	1.50	0.005	0.10	35.0	110.0
			334.00	335.50	P298055	1.50	0.010	0.10	39.0	88.0
			335.50	337.00	P298056	1.50	0.010	0.10	39.0	35.0
			337.00	338.00	P298058	1.00	0.005	0.20	28.0	55.0
			338.00	339.00	P298059	1.00	0.005	0.10	49.0	97.0
339.00	362.50	SIL+; SR+; PA; CB; Chl-; FC- Silicification forte; Séricitisation forte; Paragonite; Carbonatation; Chloritisation faible; Fuchsitisation faible Gris clair, Si+ pervasive et pQz (bleu), Sr+ pervasive, Pa moy en clastes, Cb moy en Vn/Vnl, Chl- pervasive. Localement roche vert ressemblant à de	339.00	340.00	P298061	1.00	0.005	0.20	56.0	138.0

MAUDORE MINERALS Ltd

AC

Description			Analyse							
			De	À	Numéro	Longueur	Au_Final (g/t)	Ag_Final (ppm)	Cu_Final (ppm)	Zn_Final (ppm)
		la fuschite.  Excepté: 344.5-345: 11								
339.30	339.80	Pe02; Pytr <b>Pyrrhotine 2%; Pyrite tr</b> Po 2% en Vnl en bordure de clastes, Py tr								
344.50	345.00	HB <b>Intrusion felsique</b> Intrusion felsique Gris clair à pQz (0,5mm) Contact sup. net concordant 30deg AC, contact inf. net concordant 35deg AC	347.50	349.00	P298062	1.50	0.005	0.10	38.0	31.0
			349.00	350.50	P298063	1.50	0.010	0.10	43.0	52.0
			350.50	351.00	P151421	0.50	0.002	0.10	37.0	15.0
			351.00	352.50	P298064	1.50	0.005	0.10	35.0	44.0
			352.50	354.00	P298065	1.50	0.005	0.10	29.0	63.0
			354.00	354.50	P298066	0.50	0.005	0.10	38.0	34.0
			354.50	356.00	P298068	1.50	0.005	0.10	33.0	19.0
355.00	370.00	FRC- <b>Fracturation faible</b> Fracturation faible, blocs supérieurs à 5cm	356.00	357.50	P298069	1.50	0.005	0.10	42.0	18.0
362.50	375.50	SIL+; SR; Chl; PA-; CB- <b>Silicification forte; Séricitisation;</b> <b>Chloritisation; Paragonite faible;</b> <b>Carbonatation faible</b> Gris noir, Si fort à intense pervasive et pQz (bleu), Sr moy pervasive, Chl moy pervasive, Pa-, Cb- en Vn/Vnl	362.50	364.00	P298070	1.50	0.005	0.10	37.0	65.0
			364.00	365.50	P298071	1.50	0.005	0.10	30.5	44.0
			365.50	367.00	P298072	1.50	0.008	0.20	42.0	92.0
			371.50	373.00	P298073	1.50	0.010	0.20	36.0	51.0
362.50	367.00	Pytr <b>Pyrite tr</b> Py tr en grains disséminés automorphes								
373.00	376.00	Pytr <b>Pyrite tr</b> Py tr en grains disséminés automorphes	373.00	373.50	P298074	0.50	0.005	0.10	32.0	84.0
			373.50	374.90	P298075	1.40	0.008	0.25	49.0	53.5
			374.90	375.40	P298076	0.50	0.005	0.80	33.0	175.0
			375.40	376.00	P298079	0.60	0.005	0.30	29.0	44.0

MAUDORE MINERALS Ltd

AK

Description			Analyse							
			De	À	Numéro	Longueur	Au_Final (g/t)	Ag_Final (ppm)	Cu_Final (ppm)	Zn_Final (ppm)
375.50	422.80	SIL+; Chl; SR-; PA- Silicification forte; Chloritisation; Sérictisation faible; Paragonite faible Gris noir sombre, (couleur bien plus sombre que les intervalles précédents: altération différente? niveau seulement plus massif? ou autre litologie?) Si+ à ++ pervasifs et pQz (bleu), Chl moy. Sr- Pa-, Cb- en Vn/Vnl  Excepté: 396.7-398.5: I3; FIN 415.8-417.3: I3; FIN	376.00	377.50	P298080	1.50	0.005	0.20	34.0	59.0
			379.50	381.00	P298081	1.50	0.005	0.20	31.0	53.0
			381.00	381.50	P151422	0.50	0.002	0.20	28.0	57.0
			381.50	383.00	P298082	1.50	0.005	0.20	39.0	54.0
			391.00	392.50	P298083	1.50	0.005	0.30	39.0	56.0
391.10	391.20	FAI Faille Faille	392.50	394.00	P298084	1.50	0.005	0.20	32.0	51.0
			394.00	395.50	P298085	1.50	0.005	0.10	35.0	61.0
			395.50	396.80	P298086	1.30	0.005	0.30	30.0	46.0
396.70	398.50	I3; FIN Intrusion mafique; Grains fins Intrusion mafique? Roche sombre, noire Grains fins, Cb+ pervasifs Py 1% finement disséminée Contact sup. net discordant 50deg AC Contact inf. net discordant 58deg AC	396.80	397.80	P298087	1.00	0.005	0.20	21.0	74.0
			397.80	398.40	P298088	0.60	0.005	0.30	21.0	71.0
			398.40	399.40	P298089	1.00	0.005	0.20	30.0	43.0
			399.40	400.00	P298091	0.60	0.005	0.20	36.0	64.0
398.60	400.00	Pytr Pyrite tr 398.6-400: Py tr en grains disséminés	400.00	401.50	P298092	1.50	0.005	0.20	36.0	52.0
			404.00	404.10	P298093	1.50	0.005	0.20	39.0	85.0
		VEI; Qz Cb; 30*; Veine Quartz Carbonate 30* Veine de Qz-Cb concordante	409.00	410.50	P298093	1.50	0.005	0.20	39.0	85.0

MAUDORE MINERALS Ltd

AC

Description			Analyse							
			De	À	Numéro	Longueur	Au_Final (g/t)	Ag_Final (ppm)	Cu_Final (ppm)	Zn_Final (ppm)
409.50	415.80	Pyr Pyrite tr Py tr grains disséminés	410.50	411.10	P298094	0.60	0.005	0.20	39.0	77.0
			411.10	411.60	P151423	0.50	0.002	0.10	38.0	58.0
			411.60	413.10	P298095	1.50	0.005	0.20	26.0	62.0
			413.10	414.00	P298096	0.90	0.005	0.20	37.0	51.0
			414.00	415.00	P298097	1.00	0.005	0.15	38.0	42.0
			415.00	415.90	P298098	0.90	0.005	0.20	41.0	51.0
415.80	417.30	I3; FIN Intrusion mafique; Grains fins Intrusion mafique? Roche sombre, noire Grains fins Py 1% finement disséminée Contact sup. et inf. net discordant 80deg AC	415.90	416.50	P298099	0.60	0.005	0.20	18.0	67.0
			416.50	417.20	P298100	0.70	0.028	0.15	20.0	69.5
			417.20	418.00	P298101	0.80	0.010	0.20	29.0	80.0
			418.00	419.50	P298102	1.50	0.010	0.20	36.0	54.0
			419.50	421.00	P298104	1.50	0.010	0.10	31.0	42.0
			421.00	422.50	P298105	1.50	0.005	0.10	34.0	42.0
			422.50	424.00	P298106	1.50	0.005	0.10	33.0	30.0
			424.00	425.50	P298107	1.50	0.005	0.10	38.0	83.0
			425.50	427.00	P298109	1.50	0.005	0.10	43.0	48.0
			427.00	428.50	P298110	1.50	0.005	0.10	38.0	39.0
			428.50	430.00	P298111	1.50	0.010	0.10	38.0	37.0
			430.00	431.50	P298112	1.50	0.005	0.10	35.0	47.0
431.50	433.00	P298113	1.50	0.008	0.10	39.0	61.0			
433.00	434.50	P298114	1.50	0.005	0.10	34.0	56.0			
434.50	436.00	P298115	1.50	0.005	0.10	29.0	32.0			
436.00	437.50	P298116	1.50	0.005	0.10	35.0	53.0			
437.50	439.00	P298117	1.50	0.005	0.10	33.0	46.0			
439.00	439.50	P151427	0.50	0.002	0.20	32.0	47.0			



MAUDORE MINERALS Ltd

A

Description			Analyse							
			De	À	Numéro	Longueur	Au_Final (g/t)	Ag_Final (ppm)	Cu_Final (ppm)	Zn_Final (ppm)
440.50	440.80	Pytr; Potr Pyrite tr; Pyrrhotine tr Py tr, jusqu'à 1% aux contacts des intrusifs (eux même minéralisés), en grains disséminés, ou dans des Vnl de Qz-Cb, Po tr en Vnl ou grains disséminés	439.50	440.00	P298118	0.50	0.010	0.10	36.0	32.0
			440.00	440.90	P298119	0.90	0.010	0.10	33.0	53.0
440.80	442.40	I3; FIN Intrusion mafique; Grains fins 20" Intrusion mafique? Roche homogène à grains fins Couleur gris verdâtre sombre Chlorite visible en grains mm, Cb+ pervasifs Pyrite 0.5% en grains disséminés automorphes mm Contact sup. et inf. net concordant, 20deg AC								
440.80	442.40	Py00.5 Pyrite 0.5% Py 0.5%, dyke minéralisé en grains finement disséminés	440.90	442.30	P298120	1.40	0.005	0.10	31.0	56.0
			442.30	442.80	P298121	0.50	0.005	0.10	36.0	30.0
442.40	452.70	Pytr; Potr Pyrite tr; Pyrrhotine tr Py tr, jusqu'à 1% aux contacts des intrusifs (eux même minéralisés), en grains disséminés, ou dans des Vnl de Qz-Cb, Po tr en Vnl ou grains disséminés	442.80	443.50	P298123	0.70	0.010	0.10	29.0	26.0
			443.50	444.30	P298124	0.80	0.005	0.10	31.0	35.0
			444.30	445.00	P298125	0.70	0.005	0.10	43.0	51.5
			445.00	446.00	P298126	1.00	0.005	0.10	34.0	41.0
			446.00	447.00	P298127	1.00	0.005	0.10	32.0	32.0
			447.00	448.00	P298128	1.00	0.005	0.20	30.0	33.0
			448.00	449.50	P298129	1.50	0.010	0.25	37.0	44.0
			449.50	451.00	P298130	1.50	0.010	0.30	30.0	54.0
			451.00	452.00	P298132	1.00	0.010	0.10	30.0	52.0
452.00	452.80	P298133	0.80	0.010	0.20	30.0	39.0			
452.70	453.60	I3; FIN Intrusion mafique; Grains fins 20" Intrusion mafique?								

MAUDORE MINERALS Ltd

AK

Description		Analyse								
		De	À	Numéro	Longueur	Au_Final (g/t)	Ag_Final (ppm)	Cu_Final (ppm)	Zn_Final (ppm)	
Roche homogène à grains fins Couleur gris verdâtre clair Chlorite visible en grains mm, Cb+ pervasifs Pyrite 0.5% en grains disséminés automorphes mm Contact sup. et inf. net concordant, 20deg AC										
452.70	453.60	Py00.5	452.80	453.50	P298134	0.70	0.005	0.10	28.0	73.0
		<b>Pyrite 0.5%</b>	453.50	454.00	P298135	0.50	0.005	0.10	37.0	27.0
		Py 0.5%, dyke minéralisé en grains finement disséminés								
453.60	467.80	Pytr; Potr	454.00	455.50	P298137	1.50	0.010	0.10	47.0	30.0
		<b>Pyrite tr; Pyrrhotine tr</b>	455.50	457.00	P298138	1.50	0.010	0.10	38.0	58.0
		Py tr, jusqu'à 1% aux contacts des intrusifs (eux même minéralisés), en grains disséminés, ou dans des Vnl de	457.00	458.50	P298139	1.50	0.005	0.20	42.0	45.0
		Qz-Cb, Po tr en Vnl ou grains disséminés	458.50	460.00	P298140	1.50	0.005	0.10	39.0	72.0
			460.00	461.50	P298141	1.50	0.005	0.10	32.0	47.0
		Dont deux dykes minéralisé avec Py tr en grains disséminés 462.5-463.7: I3; FIN; 474.3-475.4: I3; FIN								
		Excepté:								
		465.9-466.3: I3; FIN, non minéralisé								
461.00	468.10	SIL+; HM+; Chl; CB; SR-	461.50	462.30	P298142	0.80	0.005	0.10	35.0	50.0
		Silicification forte; Hématisation forte; Chloritisation; Carbonatation; Séricitisation faible	462.30	463.00	P298143	0.70	0.010	0.10	60.0	69.0
		Hétérogène selon le % hm, de gris sombre, à rougeâtre; Si+ pervasif et pQz, Hm+ pervasif, Chl pervasif et Vnl, Cb en Vnl/Vnl, Sr- localement pervasif								
		Excepté:								
		462.5-463.7: I3; FIN								
		465.9-466.3: I3; FIN								

MAUDORE MINERALS Ltd

AC

Description		Analyse								
		De	À	Numéro	Longueur	Au_Final (g/t)	Ag_Final (ppm)	Cu_Final (ppm)	Zn_Final (ppm)	
462.50	463.70	I3; FIN	463.00	464.00	P298144	1.00	0.005	0.10	44.0	62.0
		<b>Intrusion mafique; Grains fins</b>	464.00	465.00	P298145	1.00	0.010	0.10	38.0	15.0
		Intrusion mafique?	465.00	466.00	P298147	1.00	0.010	0.10	49.0	14.0
		Roche hétérogène à grains fins								
		Couleur gris verdâtre sombre								
		Chlorite visible en grains mm, petits minéraux								
		blancs visibles (Fdps?), Cb+ pervasifs								
		Pyrite tr en grains disséminés automorphes mm								
		Contact sup. net discordant 75deg AC et inf.								
		net concordant, 40deg AC								
465.90	466.30	I3; FIN	466.00	467.00	P298148	1.00	0.010	0.10	43.0	62.0
		<b>Intrusion mafique; Grains fins</b>	467.00	468.00	P298149	1.00	0.010	0.10	41.0	66.0
		Intrusion mafique?	468.00	469.00	P298150	1.00	0.008	0.10	42.5	80.5
		Roche homogène à grains fins								
		Couleur gris verdâtre sombre								
		Chlorite visible en grains mm, Cb+ pervasifs								
		Contact sup. net discordant 80deg AC et inf.								
		net concordant, 45deg AC								
468.10	478.10	StL+; Chl+; PA; CB	469.00	470.00	P298151	1.00	0.005	0.10	41.0	79.0
		<b>Silicification forte; Chloritisation</b>	470.00	470.50	P151428	0.50	0.002	0.10	40.0	48.0
		<b>forte; Paragonite; Carbonatation</b>	470.50	472.00	P298152	1.50	0.005	0.10	44.0	47.0
		Gris verdâtre, Si+ (voir intense)	472.00	472.80	P298153	0.80	0.005	0.10	46.0	32.0
		pervasives et pQz, Chl+ pervasives, Pa en	472.80	473.30	P298154	0.50	0.005	0.10	40.0	41.0
		clastes, Cb en Vn et Vnl								
		Excepté:								
		474.3-475.4; I3; FIN								
472.90	502.00	Pyrr	473.30	474.40	P298156	1.10	0.005	0.10	45.0	62.0
		<b>Pyrite tr</b>								
		Py tr en grains disséminés automorphes,								
		ou associés à Vnl-Vn de Qz-Cb								
474.30	475.40	I3; FIN	474.40	475.10	P298157	0.70	0.005	0.10	29.0	69.0
		<b>Intrusion mafique; Grains fins</b>	475.10	476.50	P298158	1.40	0.005	0.10	33.0	46.0
		Intrusion mafique?	476.50	478.00	P298159	1.50	0.005	0.10	46.0	32.0
		Roche homogène à grains fins	478.00	479.00	P298161	1.00	0.005	0.10	44.0	32.0
		Couleur gris verdâtre clair								
		Chlorite visible en grains mm, Cb+ pervasifs								
		Pyrite tr finement disséminée								
		Contact sup. et inf. net mais ondulant								

MAUDORE MINERALS Ltd

AC

Description			Analyse							
			De	À	Numéro	Longueur	Au_Final (g/l)	Ag_Final (ppm)	Cu_Final (ppm)	Zn_Final (ppm)
478.10	480.80	SIL+; SR+; Chl Silicification forte; Séricitisation forte; Chloritisation Jaune verdâtre, Si+ (voir intense) pervasive, Sr+ pervasive et automorphe, Chl moy pervasive	479.00	480.50	P298162	1.50	0.005	0.10	41.0	31.0
			480.50	481.00	P298163	0.50	0.005	0.10	28.0	15.0
480.80	485.10	SIL++; PA; Chl; SR- Silicification intense; Paragonite; Chloritisation; Séricitisation faible Roche très clair complètement silicifiée, amas de veines, Si++ en patch, Pa pervasive, Chl en Vnl, Sr-								
480.80	485.10	AMA;60%;Qz Cb Cl;30*; Amas 60% Quartz Carbonate Chlorite 30° Roche très clair complètement silicifiée, Amas de Vn, Si++ en patch, Pa pervasive, Chl en Vnl, Sr-, Py tr	481.00	482.00	P298165	1.00	0.005	0.10	41.0	44.0
			482.00	483.00	P298166	1.00	0.005	0.10	22.0	7.0
			483.00	484.00	P298167	1.00	0.005	0.10	29.0	7.0
			484.00	484.90	P298168	0.90	0.005	0.20	39.0	12.0
484.90	485.80	P298169	0.90	0.005	0.15	35.5	52.5			
485.10	502.00	V2-V3; T1 Volcanite intermédiaire à mafique; Tuf à lapillis Volcanite intermédiaire à mafique à lapillis Intervalle trop court pour vraiment savoir si c'est du V2V3 (dans le V1 précédent: certains passages ressemblant, vers 376m par exemple, mais avec pQz) Roche gris verdâtre à bleu Clastes visibles localement sur des intervalles métriques, foliation 25-30deg AC Pas de pQz (l'absence de pQz a été un élément pour penser à un changement de lithologie) Gris vert; Si+ pervasive (mais moins forte que pour le V1), Pa+ en clastes, Chl pervasive et en clastes, Cb moy en Vn, Vnl, principalement concordantes Contact sup. pas visible, situé au niveau d'un amas de veine (3m), disparition des pQz Contact inf. inconnu								

MAUDORE MINERALS Ltd



Description	Analyse							
	De	À	Numéro	Longueur	Au_Final (g/t)	Ag_Final (ppm)	Cu_Final (ppm)	Zn_Final (ppm)
Minéralisation: 485.1-502: Py tr en grains disséminés automorphes, ou associés à Vnl-Vn de Qz-Cb								
485.10 502.00 SIL+; PA+; Chl	485.80	486.30	P298170	0.50	0.005	0.10	24.0	32.0
Silicification forte; Paragonite	486.30	487.00	P298171	0.70	0.005	0.20	28.0	36.0
forte; Chloritisation	487.00	488.50	P298172	1.50	0.010	0.10	32.0	24.0
Gris vert; Si+ pervasive, Pa+ en clastes,	488.50	490.00	P298173	1.50	0.030	0.10	38.0	37.0
Chl pervasive et en clastes, Cb moy en	490.00	491.50	P298174	1.50	0.005	0.20	30.0	27.0
Vn, Vnl, principalement concordantes	491.50	493.00	P298175	1.50	0.008	0.25	29.5	50.0
	493.00	494.00	P298176	1.00	0.010	0.20	36.0	71.0
	494.00	494.50	P151429	0.50	0.002	0.10	38.0	80.0
	494.50	496.00	P298177	1.50	0.010	0.10	43.0	78.0
	496.00	497.50	P298178	1.50	0.010	0.20	54.0	56.0
	497.50	499.00	P298179	1.50	0.010	0.10	31.0	62.0
	499.00	500.50	P298181	1.50	0.010	0.10	36.0	67.0
	500.50	502.00	P298182	1.50	0.010	0.10	31.0	79.0
502.00 Fin du sondage								
Nombre d'échantillons : 306								
Nombre d'échantillons QAQC : 39								
Longueur totale échantillonnée : 339.80								

MAUDORE MINERALS Ltd

AC

QAQC

De	À	Numéro	Référence	Longueur	Au (g/t)	Ag (ppm)	Cu (ppm)	Zn (ppm)
0.00	0.00	P151942	Blank	0.00	-0.01	-0.2	11	17
0.00	0.00	P298033	Blank	0.00	-0.01	0.2	12	18
0.00	0.00	P298012	Blank	0.00	0.02	0.2	14	22
0.00	0.00	P151861	SQ48	0.00	30.00	1.2	65	91
0.00	0.00	P151988	SQ48	0.00	29.80	1.1	64	89
0.00	0.00	P151982	Blank	0.00	-0.01	-0.2	17	20
0.00	0.00	P298039	SK62	0.00	3.74	1.0	82	91
0.00	0.00	P151954	SH55	0.00	1.34	0.8	105	71
0.00	0.00	P298017	SH55	0.00	1.26	0.8	107	72
0.00	0.00	P151938	SQ48	0.00	29.90	1.0	67	99
0.00	0.00	P151908	SK62	0.00	4.02	1.3	85	95
0.00	0.00	P151902	Blank	0.00	-0.01	0.2	11	20
0.00	0.00	P151891	SH55	0.00	1.36	0.7	112	72
0.00	0.00	P151883	Blank	0.00	-0.01	-0.2	12	25
0.00	0.00	P151866	Blank	0.00	-0.01	-0.2	11	20
0.00	0.00	P151971	Blank	0.00	-0.01	0.2	13	20
0.00	0.00	P298108	Blank	0.00	-0.01	-0.2	19	20
0.00	0.00	P298060	Blank	0.00	-0.01	-0.2	16	22
0.00	0.00	P298164	SH55	0.00	1.35	0.8	104	74
0.00	0.00	P298067	SQ48	0.00	29.10	1.1	67	93
0.00	0.00	P298155	Blank	0.00	-0.01	-0.2	15	30
0.00	0.00	P298078	Blank	0.00	-0.01	0.3	11	20
0.00	0.00	P298090	SH55	0.00	1.29	0.7	113	78
0.00	0.00	P298146	SQ48	0.00	29.40	1.0	65	90
0.00	0.00	P298136	Blank	0.00	0.01	-0.2	12	24
0.00	0.00	P298122	SK62	0.00	4.07	1.1	89	101
24.40	25.90	P151888	P151871	1.50	-0.01	-0.2	20	38
38.50	39.00	P151912	P151878	0.50	-0.01	-0.2	108	33
86.00	86.50	P151945	P151917	0.50	-0.01	-0.2	36	40
113.40	114.20	P151956	P151932	0.80	-0.01	0.2	74	62
170.50	171.40	P151985	P151964	0.90	-0.01	-0.2	68	91
236.50	238.00	P298007	P151996	1.50	-0.01	-0.2	87	73
293.50	295.00	P298036	P298023	1.50	-0.01	-0.2	62	53

AC

QAQC

De	À	Numéro	Référence	Longueur	Au (g/t)	Ag (ppm)	Cu (ppm)	Zn (ppm)
323.60	325.00	P298057	P298048	1.40	-0.01	-0.2	26	183
364.00	365.50	P298077	P298071	1.50	-0.01	-0.2	30	40
414.00	415.00	P298103	P298097	1.00	-0.01	-0.2	36	41
431.50	433.00	P298131	P298113	1.50	-0.01	-0.2	40	59
448.00	449.50	P298160	P298129	1.50	0.01	0.3	37	47
484.90	485.80	P298180	P298169	0.90	-0.01	-0.2	38	52

## MAUDORE MINERALS Ltd

AC

## Géochimie

De	À	Numéro	Longueur	Description	SiO2 (%)	Al2O3 (%)	Fe2O3 (%)	CaO (%)
28.70	29.20	P151388	0.50	I3E, MG+, EP+	48.45	12.29	17.34	8.86
64.00	64.50	P151389	0.50	I3E, CIS, MG+, CC+	43.48	12.76	11.95	9.50
77.20	77.70	P151390	0.50	I1-I2, GF, CC+, trPy	63.66	15.04	3.35	3.55
87.20	87.70	P151391	0.50	I3E, CC+, MG+	45.39	15.38	11.56	8.11
122.70	123.20	P151392	0.50	I3A, MOY, SR; EP-	45.73	15.84	15.22	9.91
143.60	144.10	P151393	0.50	I3A; MOY; HK, SR; EP-	47.82	16.10	12.81	8.71
169.00	169.50	P151394	0.50	I3A; MOY; SR; EP-; CBtr	46.99	15.04	14.68	9.81
200.00	200.50	P151404	0.50	I3A, Si, Chl, Ep	46.76	14.43	14.86	9.75
225.00	225.50	P151405	0.50	I3A; Si, Chl, Ep	46.48	14.22	14.95	8.48
255.50	256.00	P151406	0.50	I3A; pQz+	52.37	13.35	8.56	7.85
290.00	290.50	P151416	0.50	I3A, Si, Ep, Chl, Cbtr	47.06	15.55	14.45	8.14
321.60	322.10	P151417	0.50	V1; SIL++; SR+; PA; CB; Chl-	63.29	14.31	3.58	5.69
350.50	351.00	P151421	0.50	V1, SIL+; SR+; PA; CB; Chl-; FC-	65.44	20.18	1.14	3.11
381.00	381.50	P151422	0.50	V1; SIL++; Chl; SR-; PA-	65.79	16.17	5.29	3.78
411.10	411.60	P151423	0.50	V1; SIL++; Chl; SR-; PA-	61.09	18.32	4.84	4.12
439.00	439.50	P151427	0.50	V1; Si+, Chl, Pa, Cb	69.63	14.05	4.54	3.52
470.00	470.50	P151428	0.50	V1; Si+, Chl+, Pa, Cb	63.63	16.59	6.83	4.37
494.00	494.50	P151429	0.50	V2V3? Si+, Pa+, Chl	65.09	15.50	6.22	3.72





Géochimie

De	À	Numéro	Longueur	MgO (%)	Na2O (%)	K2O (%)	Cr2O3 (%)	TiO2 (%)	MnO (%)	P2O5 (%)
28.70	29.20	P151388	0.50	5.21	3.26	0.16	-0.01	2.49	0.24	0.19
64.00	64.50	P151389	0.50	5.34	3.24	0.14	0.03	1.37	0.20	0.12
77.20	77.70	P151390	0.50	1.25	4.63	2.24	0.01	0.45	0.05	0.15
87.20	87.70	P151391	0.50	4.63	3.85	0.77	0.03	1.43	0.21	0.02
122.70	123.20	P151392	0.50	6.05	2.53	0.19	0.03	1.63	0.17	0.12
143.60	144.10	P151393	0.50	6.35	3.26	0.57	0.03	1.48	0.16	0.12
169.00	169.50	P151394	0.50	6.64	1.91	0.21	0.03	1.60	0.22	0.12
200.00	200.50	P151404	0.50	6.85	2.56	0.18	0.02	1.59	0.20	0.13
225.00	225.50	P151405	0.50	6.99	2.82	0.16	0.03	1.67	0.20	0.13
255.50	256.00	P151406	0.50	4.94	4.41	0.23	0.03	0.93	0.14	0.26
290.00	290.50	P151416	0.50	6.96	3.19	0.07	0.03	1.49	0.21	0.13
321.60	322.10	P151417	0.50	1.75	3.05	1.30	-0.01	0.65	0.10	0.22
350.50	351.00	P151421	0.50	0.74	5.53	0.85	0.01	0.66	0.01	0.15
381.00	381.50	P151422	0.50	0.92	3.98	0.68	0.01	0.50	0.09	0.13
411.10	411.60	P151423	0.50	0.87	5.14	1.17	0.01	0.58	0.13	0.15
439.00	439.50	P151427	0.50	0.43	3.09	1.68	0.01	0.44	0.11	0.12
470.00	470.50	P151428	0.50	0.85	3.03	1.13	0.02	0.67	0.14	0.31
494.00	494.50	P151429	0.50	1.51	3.30	0.90	0.01	0.53	0.11	0.13

## Géochimie

De	À	Numéro	Longueur	SrO (%)	BaO (%)	LOI (%)	Total (%)	Nb (ppm)	Ba (ppm)	Rb (ppm)
28.70	29.20	P151388	0.50	0.01	0.01	1.09	99.60	5	40	2
64.00	64.50	P151389	0.50	0.01	0.01	10.05	98.20	4	50	4
77.20	77.70	P151390	0.50	0.02	0.05	4.87	99.33	3	410	43
87.20	87.70	P151391	0.50	-0.01	0.02	8.12	99.51	4	150	16
122.70	123.20	P151392	0.50	0.01	0.01	2.51	99.95	5	40	5
143.60	144.10	P151393	0.50	0.02	0.02	2.27	99.73	5	160	15
169.00	169.50	P151394	0.50	0.01	0.01	2.37	99.64	5	30	4
200.00	200.50	P151404	0.50	0.01	0.01	2.08	99.43	4	20	4
225.00	225.50	P151405	0.50	-0.01	0.01	3.24	99.37	4	30	3
255.50	256.00	P151406	0.50	0.02	0.01	6.55	99.64	5	40	7
290.00	290.50	P151416	0.50	0.02	-0.01	2.64	99.92	5	20	2
321.60	322.10	P151417	0.50	0.03	0.01	4.48	98.46	6	220	36
350.50	351.00	P151421	0.50	0.06	0.03	1.55	99.46	6	200	27
381.00	381.50	P151422	0.50	0.04	0.03	2.30	99.70	4	210	19
411.10	411.60	P151423	0.50	0.05	0.03	3.06	99.56	4	250	30
439.00	439.50	P151427	0.50	0.03	0.04	1.97	99.66	4	330	39
470.00	470.50	P151428	0.50	0.08	0.04	2.16	99.86	6	310	30
494.00	494.50	P151429	0.50	0.05	0.04	2.60	99.69	6	280	24

## Géochimie

De	À	Numéro	Longueur	Zr (ppm)	Y (ppm)	Sr (ppm)	Au (ppm)	Ag (ppm)	Al (%)	As (ppm)
28.70	29.20	P151388	0.50	118	40	70	-0.005	-0.2	1.32	-2
64.00	64.50	P151389	0.50	76	31	173	-0.005	-0.2	4.00	2
77.20	77.70	P151390	0.50	138	7	290	-0.005	-0.2	0.33	3
87.20	87.70	P151391	0.50	99	20	107	-0.005	0.30	4.15	-2
122.70	123.20	P151392	0.50	106	35	115	-0.005	-0.2	2.60	-2
143.60	144.10	P151393	0.50	102	33	217	-0.005	-0.2	2.43	-2
169.00	169.50	P151394	0.50	103	34	110	-0.005	-0.2	2.59	-2
200.00	200.50	P151404	0.50	102	34	99	-0.005	-0.2	2.12	-2
225.00	225.50	P151405	0.50	112	36	83	-0.005	0.20	2.74	2
255.50	256.00	P151406	0.50	132	24	268	-0.005	-0.2	2.64	-2
290.00	290.50	P151416	0.50	110	35	185	-0.005	-0.2	2.73	-2
321.60	322.10	P151417	0.50	206	13	324	-0.005	-0.2	0.97	-2
350.50	351.00	P151421	0.50	150	11	562	-0.005	-0.2	0.69	-2
381.00	381.50	P151422	0.50	125	10	405	-0.005	0.20	1.55	-2
411.10	411.60	P151423	0.50	140	9	524	-0.005	-0.2	1.35	-2
439.00	439.50	P151427	0.50	110	10	311	-0.005	0.20	0.90	-2
470.00	470.50	P151428	0.50	148	14	774	-0.005	-0.2	1.75	-2
494.00	494.50	P151429	0.50	134	10	467	-0.005	-0.2	1.95	2

MAUDORE MINERALS Ltd

AC

Géochimie

De	À	Numéro	Longueur	B (ppm)	Ba Econo (ppm)	Be (ppm)	Bi (ppm)	Ca (%)	Cd (ppm)	Co (ppm)
28.70	29.20	P151388	0.50	-10		-0.5	-2	1.45	-0.5	12
64.00	64.50	P151389	0.50	-10		-0.5	-2	6.24	-0.5	32
77.20	77.70	P151390	0.50	-10		-0.5	-2	2.39	-0.5	8
87.20	87.70	P151391	0.50	-10		-0.5	-2	4.81	-0.5	24
122.70	123.20	P151392	0.50	-10		-0.5	-2	1.27	-0.5	21
143.60	144.10	P151393	0.50	-10		-0.5	-2	0.99	-0.5	24
169.00	169.50	P151394	0.50	-10		-0.5	-2	0.97	-0.5	24
200.00	200.50	P151404	0.50	-10		-0.5	-2	0.97	-0.5	22
225.00	225.50	P151405	0.50	-10		-0.5	2	1.48	-0.5	25
255.50	256.00	P151406	0.50	-10		-0.5	2	4.02	-0.5	23
290.00	290.50	P151416	0.50	10		-0.5	-2	1.03	-0.5	29
321.60	322.10	P151417	0.50	-10		-0.5	-2	3.07	-0.5	12
350.50	351.00	P151421	0.50	-10		-0.5	-2	0.48	-0.5	7
381.00	381.50	P151422	0.50	-10		-0.5	2	1.08	-0.5	12
411.10	411.60	P151423	0.50	-10		-0.5	-2	1.62	-0.5	10
439.00	439.50	P151427	0.50	-10		-0.5	-2	1.31	-0.5	13
470.00	470.50	P151428	0.50	-10		-0.5	2	1.11	-0.5	15
494.00	494.50	P151429	0.50	-10		-0.5	3	1.16	-0.5	16

MAUDORE MINERALS Ltd

Géochimie

De	À	Numéro	Longueur	Cr (ppm)	Cu (ppm)	Fe (%)	Ga (ppm)	Hg (ppm)	K (%)	La (ppm)
28.70	29.20	P151388	0.50	2	5	3.95	-10	-1	0.03	-10
64.00	64.50	P151389	0.50	159	61	7.01	10	-1	0.11	-10
77.20	77.70	P151390	0.50	3	15	1.67	-10	-1	0.15	20
87.20	87.70	P151391	0.50	161	14	6.80	10	-1	0.49	-10
122.70	123.20	P151392	0.50	84	75	4.45	10	-1	0.08	-10
143.60	144.10	P151393	0.50	90	39	3.75	10	-1	0.39	-10
169.00	169.50	P151394	0.50	68	71	4.13	10	-1	0.04	-10
200.00	200.50	P151404	0.50	67	78	3.48	10	-1	0.05	-10
225.00	225.50	P151405	0.50	76	57	4.51	10	-1	0.04	-10
255.50	256.00	P151406	0.50	138	52	4.30	10	-1	0.08	20
290.00	290.50	P151416	0.50	86	57	4.77	10	-1	0.01	-10
321.60	322.10	P151417	0.50	14	22	2.26	-10	-1	0.07	10
350.50	351.00	P151421	0.50	21	37	0.70	-10	-1	0.06	10
381.00	381.50	P151422	0.50	30	28	3.12	10	-1	0.04	10
411.10	411.60	P151423	0.50	26	38	2.80	10	-1	0.06	10
439.00	439.50	P151427	0.50	27	32	2.67	-10	-1	0.30	10
470.00	470.50	P151428	0.50	79	40	3.78	10	-1	0.07	20
494.00	494.50	P151429	0.50	48	38	3.73	10	-1	0.06	10

## Géochimie

De	À	Numéro	Longueur	Mg (%)	Mn (ppm)	Mo (ppm)	Na (%)	Ni (ppm)	P (ppm)	Pb (ppm)
28.70	29.20	P151388	0.50	0.81	351	-1	0.12	8	880	2
64.00	64.50	P151389	0.50	3.14	1 180	-1	0.04	39	580	-2
77.20	77.70	P151390	0.50	0.62	339	-1	0.05	6	670	-2
87.20	87.70	P151391	0.50	2.79	1 095	-1	0.07	34	100	4
122.70	123.20	P151392	0.50	1.99	354	-1	0.10	37	540	2
143.60	144.10	P151393	0.50	2.01	323	-1	0.09	55	550	-2
169.00	169.50	P151394	0.50	2.02	444	-1	0.08	67	530	2
200.00	200.50	P151404	0.50	1.59	364	-1	0.07	58	550	-2
225.00	225.50	P151405	0.50	2.10	468	-1	0.06	53	560	-2
255.50	256.00	P151406	0.50	2.23	656	-1	0.05	60	1 050	-2
290.00	290.50	P151416	0.50	2.06	498	-1	0.06	92	570	-2
321.60	322.10	P151417	0.50	0.70	729	1	0.05	20	1 010	11
350.50	351.00	P151421	0.50	0.32	55	-1	0.07	18	630	-2
381.00	381.50	P151422	0.50	0.48	518	-1	0.04	27	570	-2
411.10	411.60	P151423	0.50	0.43	658	-1	0.04	21	640	-2
439.00	439.50	P151427	0.50	0.21	663	-1	0.04	25	570	-2
470.00	470.50	P151428	0.50	0.45	705	-1	0.04	44	1 410	-2
494.00	494.50	P151429	0.50	0.83	543	-1	0.03	59	570	-2

AC

Géochimie

De	À	Numéro	Longueur	S (%)	Sb (ppm)	Sc (ppm)	Th (ppm)	Sr Econo (ppm)	Ti (%)	Ti (ppm)
28.70	29.20	P151388	0.50	-0.01	-2	7	-20		0.21	-10
64.00	64.50	P151389	0.50	0.16	-2	39	-20		0.09	-10
77.20	77.70	P151390	0.50	0.20	-2	1	-20		0.03	-10
87.20	87.70	P151391	0.50	0.04	-2	13	-20		0.17	-10
122.70	123.20	P151392	0.50	0.02	-2	6	-20		0.17	-10
143.60	144.10	P151393	0.50	0.01	-2	4	-20		0.20	-10
169.00	169.50	P151394	0.50	0.01	-2	4	-20		0.18	-10
200.00	200.50	P151404	0.50	0.01	-2	3	-20		0.17	-10
225.00	225.50	P151405	0.50	0.01	-2	5	-20		0.20	-10
255.50	256.00	P151406	0.50	0.14	-2	15	-20		0.15	-10
290.00	290.50	P151416	0.50	0.12	2	3	-20		0.18	-10
321.60	322.10	P151417	0.50	1.05	-2	2	-20		0.04	-10
350.50	351.00	P151421	0.50	0.05	-2	3	-20		0.06	-10
381.00	381.50	P151422	0.50	0.01	-2	3	-20		0.03	-10
411.10	411.60	P151423	0.50	0.02	-2	4	-20		0.03	-10
439.00	439.50	P151427	0.50	0.13	-2	4	-20		0.07	-10
470.00	470.50	P151428	0.50	0.02	-2	3	-20		0.04	-10
494.00	494.50	P151429	0.50	0.01	-2	5	-20		0.05	-10

## Géochimie

De	À	Numéro	Longueur	U (ppm)	V (ppm)	W (ppm)	Zn (ppm)
28.70	29.20	P151388	0.50	-10	199	-10	33
64.00	64.50	P151389	0.50	-10	307	-10	69
77.20	77.70	P151390	0.50	-10	6	-10	27
87.20	87.70	P151391	0.50	-10	258	-10	74
122.70	123.20	P151392	0.50	-10	97	-10	28
143.60	144.10	P151393	0.50	-10	102	-10	32
169.00	169.50	P151394	0.50	-10	77	-10	63
200.00	200.50	P151404	0.50	-10	78	-10	45
225.00	225.50	P151405	0.50	-10	102	-10	62
255.50	256.00	P151406	0.50	-10	149	-10	68
290.00	290.50	P151416	0.50	-10	90	-10	79
321.60	322.10	P151417	0.50	-10	18	-10	83
350.50	351.00	P151421	0.50	-10	20	-10	15
381.00	381.50	P151422	0.50	-10	42	-10	57
411.10	411.60	P151423	0.50	-10	33	-10	58
439.00	439.50	P151427	0.50	-10	38	-10	47
470.00	470.50	P151428	0.50	-10	42	-10	48
494.00	494.50	P151429	0.50	-10	49	-10	80



MAUDORE MINERALS Ltd

Sondage : COM-12-901  
 Titre minier :  
 Canton : Comtois  
 Rang :  
 Lot :  
 Foré par : Forages M. Rouillier Inc  
 Décrit par : Camille Vallet  
 Du : 2012-06-04  
 Au : 2012-06-10  
 Section : 1584E; 3750N  
 Niveau : Surface  
 Place de travail : Lebel-Sur-Quévillon  
 Date de description : 2012-06-29

Collet

	UTM	Locales	GREER
Azimut : 283.00°	Est 341 344.95	1 584.65	4 997.93
Plongée : -52.00°	Nord 5 446 884.67	3 750.91	4 516.70
Longueur : 500.00 m	Élévation 289.77	289.77	289.77

Déviations

Type	Profondeur	Azimut	Plongée	Invalide	Description
Reflex	0.00	283.00°	-52.00°	Non	
Reflex	26.00	19.70°	-51.50°	Oui	52826
Reflex	29.00	327.70°	-51.30°	Oui	19150
Reflex	32.00	356.50°	-51.60°	Oui	62510
Reflex	35.00	11.20°	-51.70°	Oui	38532
Reflex	38.00	152.00°	-51.50°	Oui	3063
Reflex	41.00	285.10°	-51.70°	Oui	55683
Reflex	44.00	287.70°	-50.50°	Oui	54447
Reflex	47.00	289.20°	-49.50°	Oui	54558
Reflex	50.00	283.40°	-51.50°	Non	54927
Reflex	53.00	281.90°	-51.50°	Oui	55003
Reflex	56.00	335.90°	-0.20°	Oui	55353

Description

Proposition TNO-12-08



Dimension de la carotte : Carotte NQ      Cimenté : Non      Entrepris : Non

MAUDORE MINERALS Ltd

AC

Déviations

Type	Profondeur	Azimut	Plongée	Invalide	Description
Reflex	59.00	284.60°	-51.50°	Oui	54589
Reflex	62.00	281.30°	-51.50°	Oui	54896
Reflex	65.00	284.90°	-51.50°	Oui	55099
Reflex	68.00	282.40°	-51.50°	Non	54983
Reflex	71.00	274.40°	-54.00°	Oui	54950
Reflex	74.00	282.80°	-51.40°	Non	55223
Reflex	77.00	281.50°	-51.50°	Oui	55744
Reflex	80.00	283.00°	-51.30°	Non	55381
Reflex	83.00	314.30°	-38.80°	Oui	55068
Reflex	86.00	283.80°	-51.30°	Non	55161
Reflex	89.00	283.60°	-51.30°	Non	55082
Reflex	92.00	283.90°	-51.20°	Non	55168
Reflex	95.00	283.00°	-51.20°	Non	55274
Reflex	98.00	283.20°	-51.10°	Non	55115
Reflex	101.00	283.40°	-51.10°	Non	54999
Reflex	104.00	278.20°	-52.80°	Oui	54831
Reflex	107.00	283.20°	-51.10°	Non	54700
Reflex	110.00	283.30°	-51.10°	Non	54474
Reflex	113.00	282.60°	-51.20°	Oui	54221
Reflex	116.00	284.00°	-51.20°	Non	54075
Reflex	119.00	281.40°	-51.10°	Oui	54774
Reflex	122.00	285.00°	-51.00°	Non	54656
Reflex	125.00	284.60°	-51.00°	Non	54725
Reflex	128.00	284.90°	-51.10°	Non	54857
Reflex	131.00	284.70°	-51.10°	Non	54902
Reflex	134.00	284.30°	-51.20°	Oui	54914
Reflex	137.00	284.40°	-51.00°	Non	54998
Reflex	140.00	284.60°	-51.00°	Non	54948
Reflex	143.00	284.50°	-51.00°	Non	54959
Reflex	146.00	284.30°	-51.00°	Non	54968
Reflex	149.00	285.40°	-50.50°	Oui	54950
Reflex	152.00	284.00°	-50.80°	Non	55177
Reflex	155.00	284.50°	-50.80°	Non	54953
Reflex	158.00	284.50°	-50.90°	Non	54959



Déviation

Type	Profondeur	Azimut	Plongée	Invalide	Description
Reflex	161.00	284.30°	-50.80°	Non	54883
Reflex	164.00	284.40°	-50.70°	Non	55051
Reflex	167.00	284.60°	-50.80°	Non	55002
Reflex	170.00	284.60°	-50.80°	Non	54921
Reflex	173.00	284.70°	-50.80°	Non	54860
Reflex	176.00	284.60°	-50.80°	Non	54918
Reflex	179.00	284.70°	-50.70°	Non	54862
Reflex	182.00	284.90°	-50.70°	Non	54902
Reflex	185.00	284.90°	-50.70°	Non	54931
Reflex	188.00	284.90°	-50.70°	Non	54895
Reflex	191.00	311.40°	-37.70°	Oui	54922
Reflex	194.00	285.30°	-50.50°	Non	54945
Reflex	197.00	285.00°	-50.50°	Non	55039
Reflex	200.00	285.00°	-50.50°	Non	54954
Reflex	203.00	284.60°	-50.40°	Non	55164
Reflex	206.00	285.60°	-50.40°	Non	54889
Reflex	209.00	229.30°	-69.00°	Oui	54886
Reflex	212.00	285.50°	-50.40°	Non	54981
Reflex	215.00	284.60°	-50.70°	Oui	54937
Reflex	218.00	285.50°	-50.40°	Non	54964
Reflex	221.00	285.40°	-50.30°	Non	54971
Reflex	224.00	233.10°	-64.20°	Oui	54964
Reflex	227.00	285.60°	-50.30°	Non	54967
Reflex	230.00	299.40°	-45.20°	Oui	54965
Reflex	233.00	285.60°	-50.20°	Non	54964
Reflex	236.00	285.60°	-50.20°	Non	54959
Reflex	239.00	285.50°	-50.20°	Non	54965
Reflex	242.00	285.60°	-50.10°	Non	54971
Reflex	245.00	285.60°	-50.10°	Non	54971
Reflex	248.00	285.70°	-50.10°	Non	54969
Reflex	251.00	285.70°	-50.00°	Non	54961
Reflex	254.00	285.80°	-49.90°	Non	54968
Reflex	257.00	286.00°	-49.80°	Non	54966
Reflex	260.00	285.80°	-49.80°	Non	54965

Déviation

Type	Profondeur	Azimut	Plongée	Invalide	Description
Reflex	263.00	286.00°	-49.80°	Non	54969
Reflex	266.00	278.30°	-52.20°	Oui	54962
Reflex	269.00	285.90°	-49.70°	Non	54969
Reflex	272.00	285.90°	-49.70°	Non	54968
Reflex	275.00	285.80°	-49.70°	Non	54962
Reflex	278.00	285.90°	-49.60°	Non	54960
Reflex	281.00	285.90°	-49.60°	Non	54959
Reflex	284.00	286.10°	-49.60°	Non	54961
Reflex	287.00	285.90°	-49.60°	Non	54958
Reflex	290.00	285.80°	-49.60°	Non	54962
Reflex	293.00	285.50°	-49.60°	Non	54954
Reflex	296.00	285.70°	-49.60°	Non	54948
Reflex	299.00	285.90°	-49.50°	Non	54942
Reflex	302.00	285.90°	-49.50°	Non	54946
Reflex	305.00	285.90°	-49.50°	Non	54940
Reflex	308.00	285.90°	-49.50°	Non	54945
Reflex	311.00	286.00°	-49.50°	Non	54942
Reflex	314.00	286.10°	-49.50°	Non	54939
Reflex	317.00	286.00°	-49.50°	Non	54934
Reflex	320.00	288.60°	-48.30°	Oui	54937
Reflex	323.00	286.10°	-49.40°	Non	54925
Reflex	326.00	286.10°	-49.40°	Non	54925
Reflex	329.00	286.20°	-49.40°	Non	54922
Reflex	332.00	286.00°	-49.40°	Non	54929
Reflex	335.00	286.30°	-49.30°	Non	54622
Reflex	338.00	286.20°	-49.30°	Non	54916
Reflex	341.00	235.00°	-64.70°	Oui	54918
Reflex	344.00	286.10°	-49.30°	Non	54922
Reflex	347.00	286.20°	-49.30°	Non	54922
Reflex	350.00	286.20°	-49.20°	Non	54916
Reflex	353.00	286.30°	-49.20°	Non	54918
Reflex	356.00	286.30°	-49.10°	Non	54919
Reflex	359.00	286.40°	-49.10°	Non	54925
Reflex	362.00	286.50°	-49.00°	Non	54917

MAUDORE MINERALS Ltd

A

Déviati

Type	Profondeur	Azimat	Plongée	Invalide	Description
Reflex	365.00	286.50°	-49.00°	Non	54915
Reflex	368.00	286.50°	-49.10°	Non	54922
Reflex	371.00	286.60°	-49.00°	Non	54954
Reflex	374.00	270.90°	-49.00°	Oui	55749
Reflex	377.00	284.40°	-49.90°	Oui	54627
Reflex	380.00	286.60°	-48.90°	Non	54804
Reflex	383.00	286.70°	-48.80°	Non	54981
Reflex	386.00	286.70°	-48.80°	Non	54949
Reflex	389.00	286.80°	-48.70°	Non	54978
Reflex	392.00	286.50°	-48.70°	Non	54916
Reflex	395.00	286.40°	-48.60°	Non	54923
Reflex	398.00	286.70°	-48.60°	Non	54909
Reflex	401.00	286.70°	-48.50°	Non	54884
Reflex	404.00	286.80°	-48.50°	Non	54872
Reflex	407.00	286.90°	-48.40°	Non	54882
Reflex	410.00	286.80°	-48.40°	Non	54882
Reflex	413.00	286.80°	-48.40°	Non	54879
Reflex	416.00	286.80°	-48.40°	Non	54867
Reflex	419.00	286.70°	-48.40°	Non	54839
Reflex	422.00	286.70°	-48.30°	Non	54855
Reflex	425.00	286.50°	-48.20°	Non	54870
Reflex	428.00	286.50°	-48.20°	Non	54876
Reflex	431.00	288.10°	-47.50°	Oui	54936
Reflex	434.00	286.90°	-47.90°	Non	54949
Reflex	437.00	286.90°	-47.80°	Non	54943
Reflex	440.00	286.90°	-47.70°	Non	54933
Reflex	443.00	286.80°	-47.70°	Non	54957
Reflex	446.00	280.70°	-49.60°	Oui	54972
Reflex	449.00	287.00°	-47.50°	Non	54953
Reflex	452.00	287.30°	-47.30°	Non	54946
Reflex	455.00	287.20°	-47.30°	Non	54935
Reflex	458.00	284.40°	-48.20°	Oui	54932
Reflex	461.00	287.30°	-47.30°	Non	54937
Reflex	464.00	287.70°	-47.20°	Non	54950

Déviations

Type	Profondeur	Azimut	Plongée	Invalide	Description
Reflex	467.00	287.10°	-47.20°	Non	54922
Reflex	470.00	287.10°	-47.10°	Non	54914
Reflex	473.00	287.20°	-47.00°	Non	54913
Reflex	476.00	326.30°	-12.10°	Oui	54884
Reflex	479.00	287.00°	-46.90°	Non	54919
Reflex	482.00	287.00°	-46.90°	Non	54939
Reflex	485.00	286.70°	-46.90°	Non	54921
Reflex	488.00	287.00°	-46.90°	Non	54914
Reflex	491.00	287.00°	-46.80°	Non	54949
Reflex	494.00	287.00°	-46.80°	Non	54943
Reflex	497.00	286.90°	-46.80°	Non	54952
Reflex	500.00	286.90°	-46.80°	Non	54963

MAUDORE MINERALS Ltd

AC

Description			Analyse							
			De	À	Numéro	Longueur	Au_Final (g/l)	Ag_Final (ppm)	Cu_Final (ppm)	Zn_Final (ppm)
0.00	18.00	MT Mort Terrain Mort Terrain								
18.00	97.00	I3E	22.00	23.00	P298183	1.00	0.005	0.10	53.0	74.0
		Gabbro à quartz	23.00	24.00	P298184	1.00	0.005	0.10	81.0	63.0
		Gabbro à quartz	24.00	24.70	P298186	0.70	0.005	0.10	55.0	73.0
		Vert forêt sombre								
		Aspect massif, homogène, le plus souvent isotrope mais très localement folié								
		Grenue; amphibole (baguettes de 1cm), magnétite, quartz (pQz mm bleu), chlorite, plagioclases épidotisés.								
		Roche à fort magnétisme sur l'ensemble de l'intervalle.								
		Faible épidotisation; quelques fines veinules de calcite, calcitisation pervasive très locale de 27.4 à 29.6m								
		Globalement Py en trace								
		De 75-78, sûrement une enclave, grains un peu plus fin, (microgrenue)								
		Altération:								
		18-27.4: Sil+ pervasive, Chl moy pervasive, Mg moy interstitielle, Ep- interstitielle, Cb- en Vnl, MAG fort								
		27.4-29.6: Cb+ pervasifs, Chl moy pervasive, Si- pervasive, MAG nul								
		29.6- 97 : Sil+ pervasive, Chl moy pervasive, Mg moy interstitielle, Ep- interstitielle, Cb- en Vnl, MAG fort								
		Minéralisation:								
		18-24.2: Py tr, en grains disséminés généralement automorphes ou dans des Vnl de Cb								
		24.2-31.9: Py 0.5%, en grains disséminés généralement automorphes ou dans des Vnl de Cb (plus localement Qz)								
		31.9-48.6: Py tr, en grains disséminés généralement automorphes ou dans des Vnl de Cb								
		48.6-50.9: Py 0.5%, en grains disséminés généralement automorphes ou dans des Vnl de Cb								
		50.9-51.8: Py 1%, en grains disséminés généralement automorphes ou dans des Vnl de Cb								

MAUDORE MINERALS Ltd

AK

Description	Analyse							
	De	À	Numéro	Longueur	Au_Final (g/l)	Ag_Final (ppm)	Cu_Final (ppm)	Zn_Final (ppm)
<p>51.8-56: Py tr, en grains disséminés généralement automorphes</p> <p>56-57.5: Py 0.5%, en grains disséminés généralement automorphes ou dans des Vnl de Cb (plus localement Qz)</p> <p>57.5-97: Py tr, en grains disséminés généralement automorphes ou dans des Vnl de Cb (plus localement Qz)</p> <p>Structure:</p> <p>46-54.9: Frct-, blocs de 2 à 10cm</p> <p>54.9-56: Frct+, Blocs de 1 à 5cm subarrondis</p> <p>56-59.8: Frct-, blocs de 2 à 10cm</p> <p>59.8-59.9: Faille avec boue</p> <p>59.9-61: Frct-, blocs de 2 à 10cm</p> <p>Veine:</p> <p>27.9-28.7: Amas de Vn Qz-Cb, (50% d'encaissant) à 45deg AC, contact sup. net discordant 75deg AC, contact inf. net concordant 35deg AC; Py tr en Vnl</p> <p>96.8-97: Vn de Qz, Py tr, contacts à 35</p> <p>Excepté:</p> <p>61.1-75: I2, pFp</p> <p>78-97: I2, pFp</p>								
<p>18.00 27.40 SIL+; Chl; MG; EP-; CB- Silicification forte; Chloritisation; Magnétite; Épidotisation faible; Carbonatation faible Sil+ pervasive, Chl moy pervasive, Mg moy interstitielle, Ep- interstitielle, Cb- en Vnl</p>								
<p>18.00 24.20 Pytr Pyrite tr Py tr, en grains disséminés généralement automorphes ou dans des Vnl de Cb</p>								
<p>24.20 31.90 Py00.5 Pyrite 0.5%</p>	24.70	25.70	P298187	1.00	0.005	0.10	65.0	72.0



MAUDORE MINERALS Ltd

AC

Description			Analyse							
			De	À	Numéro	Longueur	Au_Final (g/t)	Ag_Final (ppm)	Cu_Final (ppm)	Zn_Final (ppm)
		Py 0.5%, en grains disséminés généralement automorphes ou dans des Vnl de Cb (plus localement Qz)	25.70	26.70	P298188	1.00	0.005	0.10	55.0	82.0
			26.70	27.30	P298189	0.60	0.005	0.10	100.0	81.0
			27.30	27.80	P298190	0.50	0.005	0.10	84.0	98.0
27.40	29.60	CB+; Chl; SIL- Carbonatation forte; Chloritisation; Silicification faible Cb+ pervasifs, Chl moy pervasive, Si- pervasive	27.80	28.70	P298191	0.90	0.022	0.15	57.5	116.5
27.90	28.70	AMA;50%;Qz Cb;;Pytr; Amas 50% Quartz Carbonate Pyrite tr Amas de Vn Qz-Cb, (50% d'encaissant) à 45deg AC, contact sup. net discordant 75deg AC, contact inf net concordant 35deg AC; Py tr en Vnl	28.70	29.20	P298192	0.50	0.005	0.10	44.0	167.0
			29.20	30.50	P298193	1.30	0.005	0.10	88.0	159.0
29.60	97.00	SIL+; Chl; MG; EP-; CB- Silicification forte; Chloritisation; Magnétite; Épidotisation faible; Carbonatation faible Sil+ pervasive, Chl moy pervasive, Mg moy interstitielle, Ep- interstitielle, Cb- en Vnl  Excepté: 61,1-75: I2, pFp 78-97: I2, pFp	30.50	31.00	P151433	0.50	0.002	0.10	76.0	68.0
			31.00	32.00	P298194	1.00	0.010	0.10	61.0	60.0
31.90	48.60	Pytr Pyrite tr Py tr, en grains disséminés généralement automorphes ou dans des Vnl de Cb	32.00	33.00	P298195	1.00	0.005	0.10	71.0	60.0
			33.00	34.00	P298197	1.00	0.005	0.10	64.0	67.0
			34.00	35.50	P298198	1.50	0.005	0.10	41.0	99.0
			35.50	37.00	P298199	1.50	0.005	0.10	63.0	69.0
			37.00	38.50	P298200	1.50	0.008	0.10	51.0	78.0
			38.50	40.00	P298201	1.50	0.005	0.20	72.0	65.0
			40.00	41.50	P298202	1.50	0.005	0.10	108.5	59.0
			41.50	43.00	P298203	1.50	0.005	0.10	73.0	90.0
43.00	44.50	P298204	1.50	0.005	0.10	79.0	67.0			

MAUDORE MINERALS Ltd

AC

Description			Analyse							
			De	À	Numéro	Longueur	Au_Final (g/t)	Ag_Final (ppm)	Cu_Final (ppm)	Zn_Final (ppm)
			44.50	46.00	P298205	1.50	0.005	0.10	71.0	59.0
46.00	54.90	FRC-	46.00	47.00	P298206	1.00	0.005	0.10	85.0	55.0
		<b>Fracturation faible</b>	47.00	48.50	P298207	1.50	0.005	0.10	58.0	56.0
		Blocs de 2 à 10cm	48.50	49.50	P298209	1.00	0.005	0.10	89.0	59.0
48.60	50.90	Py00.5	49.50	50.90	P298210	1.40	0.005	0.10	47.0	73.0
		<b>Pyrite 0.5%</b>								
		Py 0.5%, en grains disséminés généralement automorphes ou dans des Vnl de Cb								
50.90	51.80	Py01	50.90	52.00	P298212	1.10	0.005	0.10	71.0	53.0
		<b>Pyrite 1%</b>								
		Py 1%, en grains disséminés généralement automorphes ou dans des Vnl de Cb								
51.80	56.00	Pytr	52.00	52.50	P151434	0.50	0.002	0.10	44.0	70.0
		<b>Pyrite tr</b>	52.50	54.00	P298213	1.50	0.005	0.20	29.0	70.0
		Py tr, en grains disséminés généralement automorphes								
54.90	56.00	FRC+								
		<b>Fracturation forte</b>								
		Blocs de 1 à 5cm subarrondis								
56.00	59.80	FRC-	56.00	57.00	P298214	1.00	0.005	0.10	76.0	69.0
		<b>Fracturation faible</b>	57.00	58.00	P298215	1.00	0.005	0.10	81.0	92.0
		Blocs de 2 à 10cm								
56.00	57.50	Py00.5								
		<b>Pyrite 0.5%</b>								
		Py 0.5%, en grains disséminés généralement automorphes ou dans des Vnl de Cb (plus localement Qz)								
57.50	120.70	Pytr	58.00	59.50	P298216	1.50	0.005	0.10	59.0	86.0
		<b>Pyrite tr</b>	59.50	60.70	P298217	1.20	0.005	0.10	47.0	90.0
		Py tr, en grains disséminés généralement automorphes. et en amas								

MAUDORE MINERALS Ltd

AC

Description			Analyse							
			De	À	Numéro	Longueur	Au_Final (g/t)	Ag_Final (ppm)	Cu_Final (ppm)	Zn_Final (ppm)
59.80	59.90	<p>étirés concordants à la foliation, ou dans des Vnl de Cb (plus localement Qz)</p> <p>Excepté: 61.1-75: I2, pFp 78-97: I2, pFp</p> <p>FAI Faille Faille avec boue</p>								
59.90	61.00	<p>FRC- Fracturation faible Frct-, blocs de 2 à 10cm</p>	60.70	61.20	P298218	0.50	0.005	0.30	37.0	72.0
61.10	75.00	<p>I2; pFp Intrusion intermédiaire; Porphyre de Feldspath</p>	74.80	75.80	P298219	1.00	0.005	0.10	91.0	138.0
		<p>Intrusion intermédiaire à porphyre de Feldspath Mouchetage de pFp (inférieurs à 0.5mm) dans matrice fine sombre, noire Altération en Hm+ sur passage de 2-3m donne à la roche une couleur rouge, Vnl de Cb à 45deg AC Pas de minéralisation</p>	75.80	76.70	P298220	0.90	0.005	0.10	64.0	70.0
		<p>Contact sup. net discordant à 40deg AC, contact inf. net discordant à 50deg AC marqué par veine de Qz-Cb. Pas d'auréole d'altération aux contacts</p>	76.70	78.10	P298221	1.40	0.005	0.10	72.0	61.0
78.00	97.00	<p>I2; pFp Intrusion intermédiaire; Porphyre de Feldspath</p>	96.70	97.20	P298222	0.50	0.005	0.20	11.0	121.0
		<p>Intrusion intermédiaire à porphyre de Feldspath Mouchetage de pFp (inférieurs à 0.5mm) dans matrice fine sombre, noire Altération en Hm+ sur passage de 2-3m donne à la roche une couleur rouge, Vnl de Cb à 45deg AC Pas de minéralisation</p>								

MAUDORE MINERALS Ltd

AK

Description		Analyse								
		De	À	Numéro	Longueur	Au_Final (g/t)	Ag_Final (ppm)	Cu_Final (ppm)	Zn_Final (ppm)	
96.80	97.00	Contact sup. net discordant à 45deg AC, contact inf. net discordant à 30deg AC. Pas d'auréole d'altération aux contacts VEI;100%;Qz;;35";Pytr; <b>Veine 100% Quartz 35" Pyrite tr</b> Vn de Qz blanc, Py tr, contacts à 35								
97.00	208.00	13A	97.20	98.20	P298224	1.00	0.010	0.10	60.0	94.0
		<b>Gabbro</b>	98.20	98.70	P298225	0.50	0.005	0.20	105.5	95.0
		Gabbro grenue Globalement vert forêt, localement un peu plus clair Ep plus fort et/ou matrice plus importante Aspect massif, homogène, le plus souvent isotrope mais très localement folié Grenue; amphibole (baguettes de 1cm), chlorite, plagioclases épidotisés, pas de magnétite visible, pas de pQz Magnétisme très faible sur l'ensemble de l'intervalle, nul dans les passages à altération forte (lessivage?) Deux altération différentes (intervalles altérés de 2-3m tous les 10-15m): - gabbro "non altéré", isotrope, grenue: Si+ pervasive, Ep+ interstitielle, Chl pervasive - gabbro altéré, à grains fins, localement folié (cisaillement, ou lithologie différente?): Cb+ pervasifs et en Vn/Vn, Si moy pervasive, Chl moy pervasive, MAG nul Globalement Py en trace  Contact sup.: pas de contact visible, seulement une disparition des pQz et une altération Ep+ Contact inf.  Altération: 97-102.5: Aspect plus fin, gris sombre (foliation faible), Cb+ pervasifs et en Vn/Vn, Si moy pervasive, Chl moy pervasive, MAG nul 102.5-120.7: Vert forêt, Si+ pervasive, Ep+ interstitielle, Chl moy pervasive, Sr tr en Vn 120.7-122.2: Gris sombre, forte foliation marquée par Vn de Cb, (Cisaillement?): Cb+ pervasifs, Si moy								

A

Description	Analyse							
	De	À	Numéro	Longueur	Au_Final (g/t)	Ag_Final (ppm)	Cu_Final (ppm)	Zn_Final (ppm)
<p>pervasive, Chl moy pervasive, MAG nul</p> <p>122.2-131.5: Vert forêt, clair, Si+ pervasive, Ep+ interstitielle, Chl+ moy pervasive</p> <p>131.5-135: Aspect plus fin, gris sombre, foliation faible, Cb+ pervasifs et en Vnl/Vn, Chl moy pervasive, Si- pervasive, MAG nul</p> <p>135-139: Vert forêt, Si+ pervasive, Ep+ interstitielle, Chl moy pervasive, Cb- en Vnl</p> <p>139-145: Aspect plus fin, gris sombre, forte foliation marquée par Vn de Cb, (Cisaillement?), Cb+ pervasifs et en Vnl/Vn, Chl moy pervasive, Si- pervasive, MAG nul</p> <p>145-153.4: Vert forêt, Si+ pervasive, Ep+ interstitielle, Chl moy pervasive, Cb moy en Vnl</p> <p>153.4-169: Vert forêt, Si+ pervasive, Ep+ interstitielle, Chl moy pervasive, Sr- en Vnl (et interstitielle?)</p> <p>169-174.5: Aspect plus fin, gris sombre, forte foliation marquée par Vn de Cb, (Cisaillement?); Cb+ pervasifs et en Vnl/Vn, Chl moy pervasive, Si- pervasive, MAG nul</p> <p>174.5-182.1: Vert forêt, Si+ pervasive, Ep+ interstitielle, Chl moy pervasive</p> <p>182.1-183.5: Aspect plus fin, gris sombre, forte foliation marquée par Vn de Cb, (Cisaillement?), Cb+ pervasifs et en Vnl/Vn, Chl moy pervasive, Si- pervasive, MAG nul, excepté l3; FIN</p> <p>183.5-208: Vert forêt, Si+ pervasive, Ep+ interstitielle, Chl moy pervasive, Cb- en Vnl</p> <p>Minéralisation:</p> <p>97-102: Py tr, en grains disséminés généralement automorphes ou dans des Vnl de Cb (plus localement Qz)</p> <p>102-120.7: Py tr en grains disséminés et en amas étirés concordants à la foliation, plus localement en grains dans Vnl de Cb</p> <p>120.7-121.7: 2-3% Py, en grains disséminés et amas étirés et Vn concordants à la foliation; associée à une altération Cb+ et aux Vn de Cb</p> <p>121.7-140.4: Py tr en grains disséminés et en amas étirés concordants à la foliation, plus localement en</p>								

AC

Description	Analyse							
	De	À	Numéro	Longueur	Au_Final (g/l)	Ag_Final (ppm)	Cu_Final (ppm)	Zn_Final (ppm)
<p>grains dans Vnl de Cb, Po tr en patch, localement présente en Vn/Vnl</p> <p>140.4-154: Py tr en grains disséminés et en grains automorphes présentent principalement dans Vnl de Cb</p> <p>154-182.4: Py tr en grains disséminés et en amas élargis concordants à la foliation, plus localement en grains dans Vnl de Cb</p> <p>182.4-208: Py tr majoritairement en Vnl et plus localement en amas (1-3mm)</p> <p>Veine:</p> <p>98.5-99.9: Intervalle à forte concentration (50%) de Vn/Vnl, (=amas de Vn) à Cb (80%) et Qz (20%), Py tr. Pas de contact vraiment distinct.</p> <p>120.7-120.9: Intervalle à forte concentration (50%) de Vn/Vnl, (=amas de Vn) à Cb (80%) et Qz (20%), Py tr. Pas de contact vraiment distinct.</p> <p>121.3-121.6: Intervalle à forte concentration (50%) de Vn/Vnl, (=amas de Vn) à Cb (80%) et Qz (20%), Py tr. Pas de contact vraiment distinct.</p> <p>133.5-134.2: Vn (80%) à Qz(80%), Cb (20%) et Chl noire. Pas de minéralisation. Contact sup. diffus, contact inf. à 60deg AC</p> <p>135.9-153: Amas de Vnl de Cb entre 40deg AC et 70deg AC, en moyenne 6Vnl par mètre, non minéralisées</p> <p>170.9-171.3: Vn (100%), à Qz (50%), Cb (50%), et Chl noire, Contacts à 55 deg AC, non minéralisée</p> <p>Structure:</p> <p>156.9-157.7: Frct-, fracturation dans l'axe de la carotte</p> <p>207.8-208: Frct- dans l'axe de la carotte</p> <p>Excepté:</p> <p>117.9-120.7: I2, pFp</p> <p>182.4-183.5: I3. FIN</p>								
97.00	102.50	CB+; SIL; Chl Carbonatation forte;						

MAUDORE MINERALS Ltd

AC

Description			Analyse							
			De	À	Numéro	Longueur	Au_Final (g/t)	Ag_Final (ppm)	Cu_Final (ppm)	Zn_Final (ppm)
		<p><b>Silicification; Chloritisation</b> Aspect plus fin, gris sombre (foliation faible), Cb+ pervasifs et en Vn/Vn, Si moy pervasive, Chl moy pervasive. MAG nul</p>								
98.50	99.90	<p>AMA;50%;Cc;;Pytr; <b>Amas 50% Calcite Pyrite tr</b> Intervalle à forte concentration (50%) de Vn/Vn de Cb, Py tr</p>	98.70	99.20	P298226	0.50	0.010	0.20	93.0	79.0
			99.20	100.00	P298227	0.80	0.005	0.20	133.0	77.0
			100.00	100.50	P151435	0.50	0.002	0.10	145.0	101.0
			100.50	102.00	P298228	1.50	0.025	0.30	175.0	111.0
			102.00	103.00	P298229	1.00	0.005	0.10	249.0	102.0
102.50	120.70	<p>SIL+; EP+; Chl; SRtr <b>Silicification forte; Épidotisation forte; Chloritisation; Séricitisation tr</b> Vert forêt, Si+ pervasive, Ep+ interstitielle, Chl moy pervasive, Sr tr en Vn</p> <p>Excepté: 117.9-120.7: I2, pFp</p>	103.00	104.50	P298231	1.50	0.005	0.10	193.0	83.0
			104.50	106.00	P298233	1.50	0.005	0.10	253.0	88.0
			106.00	107.50	P298234	1.50	0.010	0.10	229.0	84.0
			107.50	109.00	P298235	1.50	0.010	0.10	239.0	92.0
			109.00	110.50	P298236	1.50	0.005	0.10	158.0	84.0
			110.50	112.00	P298237	1.50	0.010	0.10	178.0	60.0
			112.00	113.50	P298238	1.50	0.010	0.10	181.0	56.0
			113.50	115.00	P298239	1.50	0.005	0.15	189.0	54.5
			115.00	116.50	P298240	1.50	0.005	0.10	184.0	69.0
			116.50	118.00	P298241	1.50	0.010	0.10	235.0	72.0
117.90	120.70	<p>I2; pFp <b>Intrusion Intermédiaire; Porphyre de Feldspath</b> Intrusion intermédiaire à porphyre de Feldspath Mouchetage de pFp (inférieurs à 0.5mm) dans matrice fine sombre, noire Altération en Hm- donnant une couleur rose aux pFp Pas de minéralisation</p> <p>Contact sup. net discordant à 45deg AC, contact inf. net discordant à 30deg AC. Pas d'auréole d'altération aux contacts</p>	120.50	121.00	P298242	0.50	0.010	0.10	83.0	54.0
120.70	122.20	<p>CB+; SIL; Chl <b>Carbonatation forte; Silicification; Chloritisation</b></p>	121.00	121.60	P298243	0.60	0.010	0.20	155.0	176.0

MAUDORE MINERALS Ltd

AK

Description			Analyse							
			De	À	Numéro	Longueur	Au_Final (g/t)	Ag_Final (ppm)	Cu_Final (ppm)	Zn_Final (ppm)
120.70	121.70	<p>Grès sombre, forte foliation marquée par Vn de Cb, (Cisaillement?); Cb+ pervasifs, Si moy pervasive, Chl moy pervasive, MAG nul</p> <p>Py02</p> <p><b>Pyrite 2%</b></p> <p>2-3% Py, en grains disséminés et amas étirés et Vn concordants à la foliation; associée à une altération Cb+ et aux Vn de Cb</p>								
120.70	120.90	<p>AMA;50%;Cb Qz;;;Pytr;</p> <p><b>Amas 50% Carbonate Quartz</b></p> <p><b>Pyrite tr</b></p> <p>Intervalle à forte concentration (50%) de Vn/Vnl, (=amas de Vn) à Cb (80%) et Qz (20%), Py tr. Pas de contact vraiment distinct.</p>								
121.30	121.60	<p>AMA;50%;Cb Qz;;;Pytr;</p> <p><b>Amas 50% Carbonate Quartz</b></p> <p><b>Pyrite tr</b></p> <p>Intervalle à forte concentration (50%) de Vn/Vnl, (=amas de Vn) à Cb (80%) et Qz (20%), Py tr. Pas de contact vraiment distinct.</p>	121.60	122.20	P298245	0.60	0.010	0.10	130.0	90.0
121.70	140.40	<p>Pytr; Potr</p> <p><b>Pyrite tr; Pymhotine tr</b></p> <p>Py tr en grains disséminés et en amas étirés concordants à la foliation, plus localement en grains dans Vnl de Cb, Po tr en patch, localement présente en Vn/Vnl</p>								
122.20	131.50	<p>SIL+; EP+; Chl+</p> <p><b>Silicification forte; Épidotisation forte; Chloritisation forte</b></p>	122.20	123.00	P298246	0.80	0.005	0.10	139.0	60.0
			123.00	124.00	P298247	1.00	0.010	0.10	114.0	57.0
			124.00	125.50	P298248	1.50	0.010	0.10	125.0	53.0



MAUDORE MINERALS Ltd

AK

Description			Analyse							
			De	À	Numéro	Longueur	Au_Final (g/t)	Ag_Final (ppm)	Cu_Final (ppm)	Zn_Final (ppm)
		Vert forêt, clair, Si+ pervasive, Ep+ interstitielle, Chl+ moy pervasive	125.50	127.00	P298249	1.50	0.010	0.10	128.0	60.0
			127.00	127.50	P151439	0.50	0.002	0.10	119.0	70.0
			127.50	129.00	P298250	1.50	0.010	0.10	281.0	100.5
			129.00	130.00	P298251	1.00	0.005	0.10	201.0	95.0
			130.00	131.50	P298252	1.50	0.005	0.10	114.0	94.0
131.50	135.00	CB+; Chl; SIL- <b>Carbonatation forte;</b> <b>Chloritisation; Silicification faible</b> Aspect plus fin, gris sombre, foliation faible, Cb+ pervasifs et en Vnl/Vn, Chl moy pervasive, Si- pervasive, MAG nul	131.50	132.50	P298254	1.00	0.005	0.20	228.0	103.0
			132.50	133.30	P298255	0.80	0.020	0.50	407.0	162.0
			133.30	134.20	P298256	0.90	0.007	0.15	117.5	82.0
133.50	134.20	VEI;80%;Cb Qz Cl;;; <b>Veine 80%</b> Vn (80%) à Qz(80%), Cb (20%) et Chl noire. Pas de minéralisation. Contact sup. diffus, contact inf. à 60deg AC	134.20	135.00	P298257	0.80	0.005	0.10	107.0	145.0
135.00	139.00	SIL+; EP+; Chl; CB- <b>Silicification forte; Épidotisation forte; Chloritisation;</b> <b>Carbonatation faible</b> Vert forêt, Si+ pervasive, Ep+ interstitielle, Chl moy pervasive, Cb- en Vnl	135.00	136.00	P298258	1.00	0.005	0.30	279.0	173.0
135.90	153.00	AMA;40%;Cb;;45°;Pytr; <b>Amas 40% 45° Pyrite tr</b> Amas de Vnl de Cb entre 40deg AC et 70deg AC, en moyenne 6Vnl par mètre, avec quelques grains de Py automorphes dans les Vnl	136.00	137.50	P298259	1.50	0.005	0.10	157.0	97.0
			137.50	139.00	P298260	1.50	0.005	0.20	91.0	71.0
139.00	145.00	CB+; Chl; SIL- <b>Carbonatation forte;</b> <b>Chloritisation; Silicification faible</b> Aspect plus fin, gris sombre, forte foliation marquée par Vn de Cb, (Cisaillement?), Cb+ pervasifs et en Vnl/Vn, Chl moy pervasive, Si-	139.00	140.50	P298261	1.50	0.005	0.10	119.0	100.0

MAUDORE MINERALS Ltd

AC

Description			Analyse							
			De	À	Numéro	Longueur	Au_Final (g/t)	Ag_Final (ppm)	Cu_Final (ppm)	Zn_Final (ppm)
pervasive, MAG nul										
140.40	154.00	Pyrr	140.50	142.00	P298262	1.50	0.005	0.10	144.0	64.0
		<b>Pyrite tr</b>	142.00	143.50	P298263	1.50	0.005	0.10	140.0	52.0
		Py tr en grains disséminés et en grains automorphes présentent principalement dans Vnl de Cb	143.50	145.00	P298264	1.50	0.005	0.10	119.0	99.0
145.00	153.40	SIL+; EP+; Chl; CB	145.00	146.50	P298265	1.50	0.005	0.10	113.0	98.0
		<b>Silicification forte; Épidotisation</b>	146.50	148.00	P298266	1.50	0.005	0.10	143.0	62.0
		<b>forte; Chloritisation;</b>	148.00	149.50	P298268	1.50	0.005	0.10	108.0	40.0
		<b>Carbonatation</b>	149.50	151.00	P298269	1.50	0.010	0.10	150.0	40.0
		Vert forêt, Si+ pervasive, Ep+	151.00	152.50	P298270	1.50	0.005	0.10	88.0	40.0
		interstitielle, Chl moy pervasive, Cb moy en Vnl	152.50	154.00	P298271	1.50	0.010	0.10	103.0	31.0
153.40	169.00	SIL+; EP+; Chl; SR-								
		<b>Silicification forte; Épidotisation</b>								
		<b>forte; Chloritisation; Séricitisation</b>								
		<b>faible</b>								
		Vert forêt, Si+ pervasive, Ep+								
		interstitielle, Chl moy pervasive, Sr- en Vnl (et interstitielle?)								
154.00	182.40	Pyrr	154.00	155.50	P298272	1.50	0.005	0.10	96.0	35.0
		<b>Pyrite tr</b>	155.50	157.00	P298273	1.50	0.005	0.10	138.0	28.0
		Py tr en grains disséminés et en amas étirés concordants à la foliation, plus localement en grains dans Vnl de Cb								
156.90	157.70	FRC-	157.00	158.50	P298275	1.50	0.005	0.10	117.0	34.0
		<b>Fracturation faible</b>	158.50	159.50	P298276	1.00	0.005	0.10	154.0	21.0
		Fracturation dans l'axe de la carotte	159.50	160.00	P151440	0.50	0.002	0.10	123.0	48.0
			160.00	161.50	P298277	1.50	0.010	0.10	117.0	36.0
			161.50	163.00	P298278	1.50	0.010	0.10	95.0	30.0
			163.00	164.50	P298279	1.50	0.010	0.10	125.0	48.0
			164.50	166.00	P298281	1.50	0.008	0.10	143.0	25.0
			166.00	167.50	P298282	1.50	0.010	0.10	72.0	31.0
			167.50	169.00	P298283	1.50	0.010	0.10	154.0	40.0

MAUDORE MINERALS Ltd

AC

Description			Analyse							
			De	À	Numéro	Longueur	Au_Final (g/t)	Ag_Final (ppm)	Cu_Final (ppm)	Zn_Final (ppm)
169.00	174.50	CB+; Chl; SIL- <b>Carbonatisation forte;</b> Chloritisation; Silicification faible Aspect plus fin, gris sombre, forte foliation marquée par Vn de Cb, (Cisaillement?); Cb+ pervasifs et en Vnl/Vn, Chl moy pervasive, Si-pervasive, MAG nul	169.00	170.00	P298285	1.00	0.010	0.10	101.0	73.0
			170.00	170.90	P298286	0.90	0.010	0.10	57.0	77.0
170.90	171.30	VEI;100%;Qz Cb Cl;;; <b>Veine 100% Quartz Carbonate Chlorite</b> Vn (100%), à Qz (50%), Cb (50%), et Chl noire, Contacts à 55 deg AC, non minéralisée	170.90	171.40	P298287	0.50	0.010	0.10	4.0	69.0
			171.40	172.00	P298289	0.60	0.010	0.10	70.0	88.0
			172.00	173.50	P298290	1.50	0.010	0.10	77.0	106.0
			173.50	175.00	P298291	1.50	0.005	0.10	57.0	54.0
174.50	182.10	SIL+; EP+; Chl <b>Silicification forte; Épidotisation forte; Chloritisation</b> Vert forêt, Si+ pervasive, Ep+ interstitielle, Chl moy pervasive	175.00	176.50	P298292	1.50	0.010	0.10	96.0	41.0
			176.50	178.00	P298293	1.50	0.005	0.10	110.0	73.0
			178.00	179.50	P298294	1.50	0.010	0.10	183.0	74.0
			179.50	181.00	P298295	1.50	0.008	0.10	279.0	44.5
			181.00	182.50	P298296	1.50	0.010	0.10	123.0	50.0
182.10	183.50	CB+; Chl; SIL- <b>Carbonatisation forte;</b> Chloritisation; Silicification faible Aspect plus fin, gris sombre, forte foliation marquée par Vn de Cb, (Cisaillement?); Cb+ pervasifs et en Vnl/Vn, Chl moy pervasive, Si-pervasive, MAG nul  Excepté: 182.4-183.5: I3, FIN								
182.40	183.50	I3; FIN <b>Intrusion mafique; Grains fins</b> Intrusion mafique Roche gris sombre Grains fins Pas de minéralisation Contact sup. et inf. net concordant 45deg AC								

MAUDORE MINERALS Ltd

AC

Description			Analyse							
			De	À	Numéro	Longueur	Au_Final (g/l)	Ag_Final (ppm)	Cu_Final (ppm)	Zn_Final (ppm)
182.40	217.40	Pytr Pyrite tr Py tr majoritairement en Vnl et plus localement en amas (1-3mm)  211-217.4: I2, pFp; avec Py tr  Excepté: 182.4-183.5: I3, FIN								
183.50	208.00	SIL+; EP+; Chl; CB- Silicification forte; Épidolisation forte; Chloritisation; Carbonatation faible Vert forêt, Si+ pervasive, Ep+ Interstitielle, Chl moy pervasive, Cb- en Vnl	183.50	185.00	P298297	1.50	0.010	0.10	167.0	92.0
			185.00	186.50	P298298	1.50	0.010	0.10	184.0	35.0
			186.50	188.00	P298299	1.50	0.005	0.10	125.0	33.0
			188.00	189.50	P298300	1.50	0.010	0.10	315.5	34.5
			189.50	190.00	P151444	0.50	0.002	0.10	307.0	38.0
			190.00	191.50	P298301	1.50	0.010	0.10	143.0	43.0
			191.50	193.00	P298302	1.50	0.005	0.10	129.0	46.0
			193.00	194.50	P298303	1.50	0.005	0.10	106.0	43.0
			194.50	196.00	P298304	1.50	0.005	0.10	298.0	45.0
			196.00	197.50	P298305	1.50	0.005	0.10	300.0	49.0
			197.50	199.00	P298306	1.50	0.005	0.10	264.0	52.0
			199.00	200.50	P298308	1.50	0.005	0.10	88.0	47.0
			200.50	202.00	P298309	1.50	0.005	0.30	27.0	27.0
			202.00	203.00	P298311	1.00	0.005	0.10	108.0	27.0
			203.00	204.00	P298312	1.00	0.005	0.30	196.0	41.0
			204.00	204.70	P298313	0.70	0.005	0.10	148.0	41.0
			204.70	205.20	P298314	0.50	0.005	0.10	80.0	51.0
			205.20	205.80	P298316	0.60	0.008	0.10	28.0	34.0
			205.80	206.30	P298317	0.50	0.005	0.10	197.0	53.0
			206.30	207.30	P298318	1.00	0.005	0.10	89.0	55.0
			207.30	208.00	P298319	0.70	0.010	0.10	82.0	56.0
207.80	208.50	FRC- Fracturation faible								

MAUDORE MINERALS Ltd

A

Description			Analyse							
			De	À	Numéro	Longueur	Au_Final (g/t)	Ag_Final (ppm)	Cu_Final (ppm)	Zn_Final (ppm)
Frct- dans l'axe de la carotte										
208.00	353.10	I3A	208.00	209.50	P298320	1.50	0.008	0.10	67.5	66.0
		<b>Gabbro</b>	209.50	211.00	P298321	1.50	0.005	0.10	55.0	76.0
		Gabbro aphanitique								
		Globalement gris vert, localement un peu plus clair Ep plus fort et/ou matrice plus importante (mais moins marqué que précédemment)								
		Aspect massif, homogène, le plus souvent isotrope mais très localement folié								
		Minéraux difficiles à reconnaître: amphibole, chlorite, plagioclases épidotisés, pas de magnétite visible, pas de pQz								
		Magnétisme très faible sur l'ensemble de l'intervalle, nul dans les passages à altération forte (lessivage?)								
		Deux altération différentes (intervalles altérés de 2-3m tous les 10-15m):								
		- gabbro "non altéré", isotrope: Ep+ interstitielle, Si pervasive, Chl pervasive, Cb tr; à partir de 302m important réseau de Vnl de Cb								
		- gabbro altéré massif, localement folié: Cb+ pervasifs et en Vnl/Vn, Chl moy pervasive, Ep moy, Si-; MAG nul								
		Globalement Py en trace								
		Contact sup.: le contact a été défini lors du log de la table suivante, le contact correspond sans doute à l'intrusif								
		Contact inf. progressif								
		Altération:								
		208-220: Vert Clair, grain aphanitique (altération?), Cb+ pervasifs, Vnl et en grains, Chl moy pervasive, Si-, Sr-								
		220-221.2: Sombre massif, Cb+ pervasifs, Chl moy pervasive, Si-								
		221.2-222.5: Vert clair, Cb+ pervasifs, Vnl et en grains, Chl moy pervasive, Si-, Sr-, et pFp en grains automorphes blanc-jaune (1%)								
		222.5-232.9: Vert clair, (pas de Cb pervasifs), Ep, Chl, Sr, Si-, et pFp en grains automorphes								

MAUDORE MINERALS Ltd

bc

Description	Analyse							
	De	À	Numéro	Longueur	Au_Final (g/l)	Ag_Final (ppm)	Cu_Final (ppm)	Zn_Final (ppm)
blanc-jaune (1%) 232.9-253.8: Vert massif, Cb+ pervasifs, Chl+ pervasive 253.8-273.6: Altération intensif du I2, pFp, de couleur verdâtre à rose, correspondant à des halos d'altération 20cm autour de Vnl noires (Chl?); Si++ pervasive, Chl moy 273.6-276.4: Gris vert; Cb+ pervasifs, Ep moy interstitielle, Chl moy, Sr-, Si- 276.4-286.8: Gris vert; Ep+ interstitielle, Chl moy pervasive, Si moy pervasive, Cb tr 286.8-289: Gris vert; Cb+ pervasifs, Ep moy interstitielle, Chl moy, Sr-, Si- 289-297.5: Gris vert; Ep+ interstitielle, Chl moy pervasive, Si moy pervasive, Cb tr 297.5-299.7: Gris vert; Cb+ pervasifs, Ep moy interstitielle, Chl moy, Sr-, Si- 299.7-307: Gris vert; Ep+ interstitielle, Chl moy pervasive, Si moy pervasive, Cb moy (réseau de Vnl) 307-307.9: Gris vert; Cb+ pervasifs et réseau de Vnl, Ep moy interstitielle, Chl moy, Sr-, Si- 307.9-312.9: Gris vert; Ep+ interstitielle, Chl moy pervasive, Si moy pervasive, Cb moy (réseau de Vnl) 312.9-314.4: Gris vert; Cb+ pervasifs et réseau de Vnl, Ep moy interstitielle, Chl moy, Sr-, Si- 314.4-323.5: Gris vert; Ep+ interstitielle, Chl moy pervasive, Si moy pervasive, Cb moy (réseau de Vnl) 323.5-329.5: Gris vert; Cb+ pervasifs et réseau de Vnl, Ep moy interstitielle, Chl moy, Sr-, Si- 329.5-346.9: Gris vert; Ep+ interstitielle, Chl moy pervasive, Si moy pervasive, Cb moy (réseau de Vnl) 349.9-353.1: Gris vert, voir gris dans la partie inf. (zone de transition avec le SGp), Cb+, Ep, Chl-, Pa-  Minéralisation 208-217.4: Py tr majoritairement en Vnl et plus localement en amas (1-3mm) 217.4-218.4: 3-4% Py, en grains allongés dans la foliation associés aux Cb 218.4-220.1: Py tr en grains allongés dans la foliation associés aux Cb								

MAUDORE MINERALS Ltd



Description	Analyse							
	De	À	Numéro	Longueur	Au_Final (g/t)	Ag_Final (ppm)	Cu_Final (ppm)	Zn_Final (ppm)
<p>220.1-220.8: 1-2% Py en grains allongés dans la foliation associés aux Cb</p> <p>247-294.8, Py tr voir 0.5%, 70% en ds Vnl, 30% en grains disséminés automorphes de taille inf. à 0.5mm, Po tr en grains disséminés</p> <p>294.8-295.9: 0.5% Py en grains disséminés allongés selon la foliation</p> <p>295.9-313.5: Py tr principalement dans Vnl de Cb), (ressemble à un début de stockwerk), mais aussi en grains disséminés. Intrusif I3, FIN = minéralisé</p> <p>341-345: Py tr en grains disséminés souvent associés à Vnl de Cb-Sr, concordante à la foliation</p> <p>345-353.1: Py tr en grains disséminés subautomorphes</p> <p>Veine:</p> <p>241.1-241.3: Vn (80%), Cb-Sr, pas de minéralisation</p> <p>280.5-280.7: Vn Qz (50%), Cb (50%), enclaves (10%), Py tr en grains disséminés, contacts à 20deg AC</p> <p>297.5-298.3: Vn de Cb (80%), Qz (20%), Chl, pas de minéralisation, contact sup. diffus, contact inf. à 20deg AC</p> <p>306.3-306.6: Vn de Qz (80%), Cb (20%), enclave présente au centre (7cm), Py tr en grains disséminés</p> <p>312.9-313.3: Vn de Qz (80%), Cb (20%), qlq enclaves présentes, pas de minéralisation. Contacts 30deg AC</p> <p>Structure:</p> <p>210-211: Frct-, blocs anguleux de 1 à 10cm</p> <p>245.4-245.7: Frct+, blocs subarrondis de 1 à 5cm, enclave de I3A dans I2, pFp</p> <p>319-325: Frct-, blocs anguleux 5-10cm</p> <p>348.5-351.9: Brèche, Vnl de Chl, blocs anguleux 5cm (petit stockwerk)</p> <p>351.9-353.1: Frct-: blocs anguleux min. 2mm + brèche; Vnl de Chl, blocs anguleux 5cm (petit stockwerk)</p> <p>Excepté:</p>								

AC

Description			Analyse							
			De	À	Numéro	Longueur	Au_Final (g/t)	Ag_Final (ppm)	Cu_Final (ppm)	Zn_Final (ppm)
208.00	220.00	211-217.4: I2, pFp 226.1-231.5: I2, pFp 235.3-273.6: I2, pFp 307.9-312.9: I3; FIN CB+; Chl; SIL-; SR- Carbonatisation forte; Chloritisation; Silicification faible; Séricitisation faible Vert Clair, grain aphanitique (altération?), Cb+ pervasifs, Vnl et en grains, Chl moy pervasiva, Sl-, Sr- Excepté: 211-217.4: I2, pFp								
210.00	211.00	FRC- Fracturation faible Frct-, blocs anguleux de 1 à 10cm								
211.00	217.40	I2; pFp Intrusion intermédiaire; Porphyre de Feldspath Intrusion intermédiaire à porphyre de Feldspath Mouchetage de pFp (inférieurs à 0.5mm) dans matrice fine sombre, noire Isotrope, pas de foliation Nombreuses Vnl de Cb Py tr Contact sup. non visible, contact inf. net discordant, légèrement en zigzag, globalement à 40deg AC. Pas d'auréole d'altération (métamorphisme?) au contact inf. sur 1m environ	211.00	212.50	P298322	1.50	0.005	0.10	3.0	58.0
			212.50	214.00	P298323	1.50	0.005	0.10	3.0	23.0
			214.00	215.50	P298324	1.50	0.005	0.10	2.0	18.0
			215.50	217.00	P298325	1.50	0.005	0.10	3.0	35.0
			217.00	217.50	P298326	0.50	0.010	0.10	16.0	114.0
217.40	218.40	Py03 Pyrite 3% 3-4% Py, en grains allongés dans la foliation associés aux Cb	217.50	218.00	P298327	0.50	0.010	0.30	46.0	146.0
			218.00	218.50	P298329	0.50	0.010	0.30	63.0	82.0
218.40	220.10	Pytr	218.50	220.00	P298330	1.50	0.050	0.20	41.0	69.0



MAUDORE MINERALS Ltd

4

Description			Analyse							
			De	À	Numéro	Longueur	Au_Final (g/t)	Ag_Final (ppm)	Cu_Final (ppm)	Zn_Final (ppm)
		Pyrite tr Py tr en grains allongés dans la foliation associés aux Cb								
220.00	221.20	CB+; Chl; SIL- <b>Carbonatation forte;</b> <b>Chloritisation; Silicification faible</b> Sombre massif, Cb+ pervasifs, Chl moy pervasive, Si-	220.00	221.00	P298331	1.00	0.010	0.30	57.0	84.0
220.10	220.80	Py02 <b>Pyrite 2%</b> 1-2% Py en grains allongés dans la foliation associés aux Cb	221.00	221.50	P151445	0.50	0.002	0.10	68.0	84.0
221.20	222.50	CB+; Chl; SIL-; SR- <b>Carbonatation forte;</b> <b>Chloritisation; Silicification faible;</b> <b>Séricitisation faible</b> Vert clair, grain aphanitique, Cb+ pervasifs, Vnl et en grains, Chl moy pervasive, Si-, Sr-, et pFp en grains automorphes blanc-jaune (1%)	221.50	223.00	P298332	1.50	0.010	0.10	46.0	77.0
222.50	232.90	EP; Chl; SR; SIL- <b>Épidotisation; Chloritisation;</b> <b>Séricitisation; Silicification faible</b> Vert clair, grain aphanitique, (pas de Cb pervasifs), Ep, Chl, Sr, Si-, et pFp en grains automorphes blanc-jaune (1%)  Excepté 226.1-231.5: I2, pFp								
226.10	231.50	I2; pFp	229.00	230.50	P298333	1.50	0.010	0.10	3.0	72.0
		<b>Intrusion intermédiaire; Porphyre de Feldspath</b>	230.50	232.00	P298335	1.50	0.010	0.10	24.0	55.0
		Intrusion intermédiaire à porphyre de Feldspath Mouchetage de pFp (inférieurs à 0.5mm) dans matrice fine sombre, noire	232.00	233.50	P298336	1.50	0.010	0.10	81.0	80.0

Description		Analyse								
		De	À	Numéro	Longueur	Au_Final (g/t)	Ag_Final (ppm)	Cu_Final (ppm)	Zn_Final (ppm)	
232.90	253.80	<p>Altération Hm-, pFp légèrement roses Pas de minéralisation</p> <p>Contact sup. net ondulant non mesurable, contact inf. net discordant à 40deg AC. Petit recuit aux contacts de l'intrusif sur 50cm</p> <p>CB+; ChI+; SiL- <b>Carbonatation forte;</b> <b>Chloritisation forte; Silicification faible</b> Vert massif, Cb+ pervasifs, ChI+ pervasive, Si-</p> <p>Excepté: 235.3-264: I2, pFp</p>								
235.30	273.60	<p>I2; pFp <b>Intrusion Intermédiaire; Porphyre de Feldspath</b> Intrusion intermédiaire à porphyre de Feldspath Mouchelage de pFp (inférieurs à 0.5mm) dans matrice fine sombre, noire 245.4-245.7: enclave de I3A Cb- en Vnl 253.8-260: couleur gris clair-verdâtre, Si++, Py tr en gros grains (jusqu'à 1cm) disséminés, avec à 254.5 veine de Si rose Py tr, dans zones altérées ou dans Vnl de Cb</p> <p>Contact sup. discordant à 20-25deg AC, légèrement ondulant Contact inf. net 30deg AC. présence de petites enclaves de gabbro (20-40cm) dans les 6 derniers mètres de l'intrusif</p>	239.50	241.00	P298337	1.50	0.010	0.10	7.0	171.0
			241.00	241.50	P298338	0.50	0.010	0.10	70.0	58.0
241.10	241.30	<p>VEI; 80%; Cb Sr; ; ; <b>Veine 80% Carbonate Séricite</b> 2Vn (80%), Cb-Sr, contact diffus, pas de minéralisation</p>	241.50	243.00	P298340	1.50	0.010	0.10	26.0	130.0
			243.00	244.50	P298341	1.50	0.010	0.10	2.0	57.0
245.40	245.70	<p>FRC+ <b>Fracturation forte</b> Blocs subarrondis de 1 à 5cm, enclave</p>								

MAUDORE MINERALS Ltd



Description			Analyse							
			De	À	Numéro	Longueur	Au_Final (g/t)	Ag_Final (ppm)	Cu_Final (ppm)	Zn_Final (ppm)
247.00	294.80	de I3A dans I2, pFp								
		Pytr; Potr	248.50	250.00	P298342	1.50	0.010	0.10	2.0	101.0
		<b>Pyrite tr; Pyrrholite tr</b>	250.00	250.50	P151446	0.50	0.002	0.10	5.0	31.0
		Py tr voir 0.5%, 70% en ds Vnl, 30% en grains disséminés automorphes de taille inf. à 0.5mm; Po tr en grains disséminés automorphes de taille inf. à 0.5mm	250.50	252.00	P298343	1.50	0.008	0.10	2.0	45.0
		Minéralisation de l'intrusion (I2, pFp) dans zones d'altération ou associée à des Vnl de Cb	252.00	253.50	P298344	1.50	0.008	0.10	4.0	48.5
		253.50	254.80	P298345	1.30	0.010	0.10	34.0	188.0	
253.80	273.60	SIL++; Chl	254.80	255.30	P151447	0.50	0.002	0.10	61.0	782.0
		<b>Silicification intense;</b>	255.30	256.00	P298346	0.70	0.010	0.10	14.0	53.0
		<b>Chloritisation</b>	256.00	257.50	P298347	1.50	0.010	0.10	7.0	20.0
		Altération intensif du I2, pFp, de couleur verdâtre à rose, correspondant à des halos d'altération 20cm autour de Vnl noires (Chl?); Si++ pervasive, Chl moy Associé à Py tr	257.50	259.00	P298348	1.50	0.005	0.10	9.0	40.0
			259.00	260.50	P298349	1.50	0.005	0.10	15.0	244.0
			260.50	262.00	P298350	1.50	0.005	0.70	6.0	208.5
			262.00	263.50	P298351	1.50	0.005	0.10	2.0	142.0
			263.50	265.00	P298352	1.50	0.005	0.10	2.0	100.0
			265.00	266.50	P298353	1.50	0.005	0.10	1.0	104.0
			266.50	268.00	P298354	1.50	0.005	0.10	1.0	100.0
			268.00	269.50	P298355	1.50	0.005	0.10	2.0	112.0
			269.50	271.00	P298356	1.50	0.005	0.10	51.0	55.0
			271.00	272.50	P298357	1.50	0.005	0.10	19.0	77.0
			272.50	273.50	P298358	1.00	0.005	0.10	11.0	81.0
			273.50	274.50	P298360	1.00	0.005	0.10	88.0	266.0
273.60	276.40	CB+; EP; Chl; SR-; SIL-	274.50	275.50	P298361	1.00	0.005	0.20	97.0	441.0
		<b>Carbonatation forte;</b>	275.50	277.00	P298363	1.50	0.005	0.10	99.0	140.0
		<b>Épidotisation; Chloritisation;</b>								
		<b>Séricitisation faible; Silicification faible</b>								
		Gris vert; Cb+ pervasifs, Ep moy interstitielle, Chl moy, Sr-, Si-								
276.40	286.80	EP+; Chl; SIL; CBtr	277.00	278.50	P298364	1.50	0.005	0.10	65.0	121.0
		<b>Épidotisation forte; Chloritisation;</b>	278.50	279.50	P298365	1.00	0.010	0.10	76.0	78.0

MAUDORE MINERALS Ltd

AC

Description		Analyse								
		De	À	Numéro	Longueur	Au_Final (g/t)	Ag_Final (ppm)	Cu_Final (ppm)	Zn_Final (ppm)	
	<b>Silicification; Carbonatisation tr</b>	279.50	280.00	P151453	0.50	0.002	0.10	63.0	60.0	
	Gris vert; Ep+ interstitielle, Chl moy pervasive, Si moy pervasive, Cb tr	280.00	281.50	P298366	1.50	0.005	0.10	41.0	59.0	
280.50	280.70	VEI;90%;Qz Cb;;20";Pytr;	281.50	283.00	P298368	1.50	0.005	0.10	69.0	56.0
	<b>Veine 90% Quartz Carbonate 20"</b>	283.00	284.50	P298369	1.50	0.005	0.10	54.0	66.0	
	<b>Pyrite tr</b>	284.50	286.00	P298370	1.50	0.005	0.10	58.0	60.0	
	Vn Qz (50%), Cb (50%), enclaves (10%), Py tr en grains disséminés, Contacts à 20deg AC	286.00	287.50	P298371	1.50	0.005	0.10	42.0	81.0	
286.80	289.00	CB+; EP; Chl; SR-; SIL- <b>Carbonatisation forte;</b> <b>Épidotisation; Chloritisation;</b> <b>Séricitisation faible; Silicification</b> <b>faible</b> Gris vert; Cb+ pervasifs, Ep moy interstitielle, Chl moy, Sr-, Si-	287.50	289.00	P298372	1.50	0.005	0.10	69.5	118.0
289.00	297.50	EP+; Chl; SIL; CBtr	289.00	290.50	P298373	1.50	0.005	0.10	46.0	88.0
	<b>Épidotisation forte; Chloritisation;</b>	290.50	292.00	P298374	1.50	0.005	0.10	47.0	57.0	
	<b>Silicification; Carbonatisation tr</b>	292.00	293.00	P298375	1.00	0.005	0.10	53.5	61.0	
	Gris vert; Ep+ interstitielle, Chl moy pervasive, Si moy pervasive, Cb tr	293.00	294.50	P298376	1.50	0.010	0.10	62.0	72.0	
		294.50	295.00	P298377	0.50	0.005	0.10	73.0	74.0	
294.80	295.90	Py00.5 <b>Pyrite 0.5%</b> 0.5% Py en grains disséminés allongés selon la foliation	295.00	296.00	P298378	1.00	0.005	0.10	146.0	86.0
295.90	313.50	Pytr	296.00	297.40	P298379	1.40	0.005	0.10	85.0	110.0
	<b>Pyrite tr</b>	297.40	298.30	P298380	0.90	0.010	0.10	47.0	62.0	
	Py tr principalement dans Vnl de Cb), (ressemble à un début de stockwerk), mais aussi en grains disséminés. Intrusif I3. FIN = minéralisé									
297.50	299.70	CB+; EP; Chl; SR-; SIL- <b>Carbonatisation forte;</b> <b>Épidotisation; Chloritisation;</b> <b>Séricitisation faible; Silicification</b>	298.30	299.50	P298382	1.20	0.010	0.10	74.0	114.0
			299.50	301.00	P298383	1.50	0.010	0.10	46.0	59.0

Description			Analyse							
			De	À	Numéro	Longueur	Au_Final (g/t)	Ag_Final (ppm)	Cu_Final (ppm)	Zn_Final (ppm)
297.50	298.30	<p>faible</p> <p>Gris vert; Cb+ pervasifs, Ep moy interstitielle, Chl moy, Sr-, Si-</p> <p>VEI:95%;Cb Qz Cl;;;</p> <p><b>Veine 95% Carbonate Quartz</b></p> <p><b>Chlorite</b></p> <p>Vn de Cb (80%), Qz (20%), Chl, pas de minéralisation, contact sup. diffus, contact inf. à 20deg AC</p>								
299.70	307.00	<p>EP+; Chl; SIL; CB</p> <p><b>Épidotisation forte; Chloritisation;</b></p> <p><b>Silicification; Carbonatisation</b></p> <p>Gris vert; Ep+ interstitielle, Chl moy pervasive, Si moy pervasive, Cb moy (réseau de Vnl)</p>	301.00	302.50	P298384	1.50	0.010	0.10	74.0	58.0
			302.50	304.00	P298386	1.50	0.005	0.10	51.0	56.0
			304.00	305.50	P298387	1.50	0.005	0.10	57.0	59.0
			305.50	306.20	P298388	0.70	0.005	0.20	81.0	64.0
306.20	307.00	P298390	0.80	0.010	0.10	46.0	53.0			
306.30	306.60	<p>VEI:70%;Qz Cb;;30*;Pytr;</p> <p><b>Veine 70% Quartz Carbonate 30*</b></p> <p><b>Pyrite tr</b></p> <p>Vn de Qz (80%), Cb (20%), enclave présente au centre (7cm), Py tr en grains disséminés. Contacts à 30deg AC</p>								
307.00	314.40	<p>CB+; EP; Chl; SR-; SIL-</p> <p><b>Carbonatisation forte;</b></p> <p><b>Épidotisation; Chloritisation;</b></p> <p><b>Séricitisation faible; Silicification</b></p> <p><b>faible</b></p> <p>Gris vert; Cb+ pervasifs et réseau de Vnl, Ep moy interstitielle, Chl moy, Sr-, Si-</p> <p>Excepté:</p> <p>307.9-312.9: I3; FIN</p>	307.00	307.50	P151454	0.50	0.002	0.10	55.0	62.0
			307.50	309.00	P298391	1.50	0.005	0.10	50.0	72.0
307.90	312.90	<p>I3; FIN</p> <p><b>Intrusion mafique; Grains fins 45*</b></p> <p>Intrusion mafique</p> <p>Roche gris sombre, légèrement bleuté</p> <p>Massive, à grains fins</p>	309.00	310.50	P298392	1.50	0.010	0.10	35.0	77.0
			310.50	312.00	P298393	1.50	0.010	0.10	7.0	82.0
			312.00	312.80	P298394	0.80	0.010	0.10	20.0	512.0
			312.80	313.40	P298395	0.60	0.005	0.10	10.0	62.0

MAUDORE MINERALS Ltd

4

Description			Analyse							
			De	À	Numéro	Longueur	Au_Final (g/t)	Ag_Final (ppm)	Cu_Final (ppm)	Zn_Final (ppm)
Contact sup. et inf. net à 45deg AC, souligné par Vnl de Cb Py tr dans Vnl de Cb										
312.90	313.30	VEI;80%;Qz Cb;;30"; <b>Veine 80% Quartz Carbonate 30°</b> Vn de Qz (80%), Cb (20%). q/q enclaves présentes,pas de minéralisation. Contacts 30deg AC	313.40	314.90	P298396	1.50	0.005	0.10	66.0	87.0
314.40	323.50	EP+; Ch; SIL; CB <b>Épidotisation forte; Chloritisation; Silicification; Carbonatation</b> Gris vert; Ep+ interstitielle, Chl moy pervasiva, Si moy pervasiva, Cb moy (réseau de Vnl)								
319.00	325.00	FRC- <b>Fracturation faible</b> Fcl-, blocs anguleux 5-10cm								
323.50	329.50	CB+; EP; Ch; SR-; SIL- <b>Carbonatation forte; Épidotisation; Chloritisation; Séricitisation faible; Silicification faible</b> Gris vert; Cb+ pervasifs et réseau de Vnl, Ep moy interstitielle, Chl moy, Sr-, Si-	325.00	326.50	P298397	1.50	0.010	0.10	63.0	107.0
			326.50	327.50	P298398	1.00	0.008	0.10	73.5	92.0
			327.50	329.00	P298399	1.50	0.010	0.10	52.0	91.0
			329.00	330.50	P298400	1.50	0.010	0.10	48.0	84.0
329.50	349.90	EP+; Ch; SIL; CB <b>Épidotisation forte; Chloritisation; Silicification; Carbonatation</b> Gris vert; Ep+ interstitielle, Chl moy pervasiva, Si moy pervasiva, Cb moy (réseau de Vnl)	330.50	332.00	P298401	1.50	0.010	0.10	73.0	70.0
			339.00	340.50	P298402	1.50	0.010	0.10	83.0	72.0
			340.50	341.00	P151455	0.50	0.002	0.10	60.0	70.0
341.00	345.00	Pyr <b>Pyrite tr</b> Py tr en grains disséminés souvent associés à Vnl de Cb-Sr, concordante à la foliation	341.00	342.50	P298403	1.50	0.010	2.80	73.0	70.0
			342.50	344.00	P298404	1.50	0.005	0.10	79.0	72.0
			344.00	345.00	P298405	1.00	0.010	0.10	75.0	65.0
345.00	353.10	Pyr	345.00	346.00	P298406	1.00	0.005	0.10	84.0	97.0

MAUDORE MINERALS Ltd



Description		Analyse							
		De	À	Numéro	Longueur	Au_Final (g/t)	Ag_Final (ppm)	Cu_Final (ppm)	Zn_Final (ppm)
		346.00	347.50	P298408	1.50	0.005	0.30	86.0	112.0
		347.50	349.00	P298409	1.50	0.005	0.10	80.0	123.0
348.50	351.90	349.00	350.50	P298410	1.50	0.005	0.30	73.0	108.0
		350.50	352.00	P298411	1.50	0.005	0.10	57.0	102.0
351.90	353.50	352.00	353.00	P298412	1.00	0.005	0.10	63.0	121.0
		353.00	353.50	P298413	0.50	0.005	0.10	78.0	155.0
353.10	358.50								

MAUDORE MINERALS Ltd

AC

Description		Analyse							
		De	À	Numéro	Longueur	Au_Final (g/t)	Ag_Final (ppm)	Cu_Final (ppm)	Zn_Final (ppm)
	brèche: Vnl de Chl, blocs anguleux 5cm (petit stockwerk) 356.4-357.9: Frct+, blocs subarrondis, de 1 à 5 cm								
	Contacts progressifs								
353.10	358.50 SIL; CB- Silicification; Carbonatation faible Si moy en Vn et patches, Cb- en Vnl, et localement Cb+ (bandes de 2 à 5 cm) pervasifs								
353.10	358.50 Py35 Pyrite 35% Py 30-40%, en grains automorphes regroupés en amas, Vn et Vnl, dans la foliation	353.50	354.00	P298415	0.50	0.020	0.20	69.0	255.0
		354.00	354.50	P298416	0.50	0.030	2.20	97.0	290.0
		354.50	355.00	P298417	0.50	0.060	1.40	101.0	447.0
		355.00	355.50	P298418	0.50	0.010	0.20	62.0	510.0
		355.50	356.00	P298419	0.50	0.005	0.40	45.0	256.0
		356.00	356.50	P298421	0.50	0.010	6.00	55.0	222.0
356.40	357.90 FRC+ Fracturation forte Frct+, blocs subarrondis, de 1 à 5 cm	356.50	357.30	P298422	0.80	0.010	0.50	71.0	222.0
		357.30	358.00	P298423	0.70	0.010	0.10	110.0	130.0
		358.00	359.00	P298424	1.00	0.012	0.95	74.0	68.5
358.50	359.60 F1 Sulfures massifs Sulfures massifs 90-95% de Py, massif au centre, (les grains ne sont pas visibles); en patches et Vn en périphérie Globalement Si-								
	Contacts progressifs								
358.50	359.60 SIL- Silicification faible Si-								
358.50	359.60 Py90 Pyrite 90% 90-95% de Py, massif au centre, (les grains ne sont pas visibles); en patches et Vn en périphérie	359.00	359.50	P298425	0.50	0.015	0.95	55.5	237.0
		359.50	360.00	P298426	0.50	0.005	0.20	56.0	228.0
359.60	408.30 V1; pQz; TI Volcanite felsique; Porphyre de Quartz; Tuf	360.00	360.50	P298427	0.50	0.005	0.90	94.0	174.0





Description	Analyse							
	De	À	Numéro	Longueur	Au_Final (g/l)	Ag_Final (ppm)	Cu_Final (ppm)	Zn_Final (ppm)
<p>à lapillis</p> <p>Volcanite felsique; Tuf à lapillis</p> <p>Couleur gris pâle à verdâtre</p> <p>Clastes de 0.5 à 2 cm, localement plus gros (5cm)</p> <p>entrecoupé par de nombreuses petites intrusions felsiques microgrenues</p> <p>Rare pQz, inférieur à 1mm</p> <p>Une foliation générale à 20-25deg AC marqué par allongement de clastes</p> <p>Localement de 391-394, présence de petits grenals (&lt;1mm)</p> <p>Altération:</p> <p>359.6-389.5: Gris vert, Si+ (voir moy car bcp de Pa = "moue"), Sr+ pervasive, Pa+ pervasive ou en clastes, Chl- pervasive (?), Cb tr en Vnl</p> <p>389.5-396.8: Gris noir (=sombre), Si+ (voir intense) pervasive, Chl moy, pFp moy en mouchetage, Sr-, Pa-, Cb tr en Vnl</p> <p>396.8-404.2: Hétérogène, roche très clair blanc jaunâtre; Si++ pervasive, Sr+ pervasive</p> <p>404.2-405.2: Gris sombre, Si+ (voir intense) pervasive, Chl moy, Pa moy pervasive, pFp moy en mouchetage, Sr-, Cb tr en Vnl</p> <p>405.2-408.3: Roche très clair blanc jaunâtre; Si++ pervasive, Sr+ pervasive</p> <p>Minéralisation:</p> <p>359.6-360.1: Py 2% en grains disséminés automorphes (taille jusqu'à 3mm)</p> <p>360.1-360.8: Py 50%, 90% en amas de grains ou Vn de grains, 10% en grains disséminés (taille jusqu'à 3mm)</p> <p>360.8-361.8: Po 15%, amas de grains, ou grains allongés selon la foliation</p> <p>361.8-363: Po tr en grains disséminés</p> <p>363-380.1: Py tr en grains disséminés souvent automorphes cubiques, Po tr en grains disséminés allongés selon la foliation, souvent dans clastes sombres (chl?)</p> <p>380.1-380.6: Py 1% et Po 1%; en grains disséminés</p>								

MAUDORE MINERALS Ltd

AC

Description	Analyse							
	De	À	Numéro	Longueur	Au_Final (g/l)	Ag_Final (ppm)	Cu_Final (ppm)	Zn_Final (ppm)
<p>allongés selon la foliation, souvent dans clastes sombres (chl?)</p> <p>380.6-390.4: Py tr et Po tr en grains disséminés</p> <p>390.4-391: Py 1% en grains disséminés allongés selon la foliation ou non</p> <p>391-394: Py tr et po tr en grains disséminés</p> <p>Veine:</p> <p>361.6-361.8: Vn (95%), à Qz (80%), Cb (17%), et Chl (3%), Po 2%, Py 1%; contacts ondulants</p> <p>383.2-383.9: Vn (70%), Qz et Cb, pas de minéralisation, pas de contact net</p> <p>408.1-408.3: Vn (100%), Qz blanc (95%), Cb (5%), pas de minéralisation, Contacts nets concordants, contact sup. 50deg AC, contact inf. 35deg AC</p> <p>Structure:</p> <p>387-387.3: Frct-, blocs anguleux, sup. à 2cm</p> <p>Contact sup. progressif</p> <p>Contact inf. net concordant 35deg AC</p>								
<p>359.60 389.50 SIL+; SR+; PA+; Chl-; CBtr</p> <p><b>Silicification forte; Séricitisation forte; Paragonite forte;</b></p> <p><b>Chloritisation faible;</b></p> <p><b>Carbonatisation tr</b></p> <p>Gris vert, Si+ (voir moy car bcp de Pa = "moue"), Sr+ pervasive, Pa+ pervasive ou en clastes, Chl- pervasive (?), Cb tr en Vnl</p>								
<p>359.60 360.10 Py02</p> <p><b>Pyrite 2%</b></p> <p>Py 2% en grains disséminés automorphes (taille jusqu'à 3mm)</p>								
<p>360.10 360.80 Py50</p> <p><b>Pyrite 50%</b></p> <p>Py 50%, 90% en amas de grains ou Vn de grains, 10% en grains disséminés (taille jusqu'à 3mm)</p>	360.50	361.00	P298428	0.50	0.005	0.50	206.0	1 330.0

MAUDORE MINERALS Ltd

★

Description			Analyse							
			De	À	Numéro	Longueur	Au_Final (g/t)	Ag_Final (ppm)	Cu_Final (ppm)	Zn_Final (ppm)
360.80	361.80	Po15	361.00	361.50	P298429	0.50	0.005	0.40	78.0	589.0
		<b>Pyrrholine 15%</b> Po 15%, amas de grains, ou grains allongés selon la foliation	361.50	362.00	P298430	0.50	0.380	0.10	45.0	102.0
361.60	361.80	VEI:95%;Qz Cb Cl;;;Po02 Py01; <b>Veine 95% Pyrrholine 2% Pyrite 1%</b> Vn (95%), à Qz (80%), Cb (17%), et Chl (3%), Py 1%, Po 2%; contacts ondulants								
361.80	363.00	Potr <b>Pyrrholine tr</b> Po tr en grains disséminés	362.00	363.50	P298432	1.50	0.005	0.10	37.0	89.0
363.00	380.10	Pytr; Potr	363.50	365.00	P298433	1.50	0.005	0.10	40.0	142.0
		<b>Pyrite tr; Pyrrholine tr</b>	365.00	366.50	P298434	1.50	0.005	0.40	38.0	138.0
		Py tr en grains disséminés souvent automorphes cubiques, Po tr en grains disséminés allongés selon la foliation, souvent dans clastes sombres (chl?)	366.50	368.00	P298436	1.50	0.005	0.10	35.0	92.0
			368.00	369.50	P298437	1.50	0.005	0.10	48.0	143.0
			369.50	370.00	P151459	0.50	0.002	0.20	51.0	114.0
			370.00	371.50	P298438	1.50	0.005	0.20	46.0	132.0
			371.50	373.00	P298439	1.50	0.005	0.10	40.0	146.0
			373.00	374.50	P298440	1.50	0.005	0.10	48.0	131.0
			374.50	376.00	P298441	1.50	0.005	0.10	45.0	140.0
			376.00	377.50	P298443	1.50	0.005	0.10	45.0	91.0
			377.50	379.00	P298444	1.50	0.005	0.10	44.0	132.0
			379.00	380.00	P298445	1.00	0.005	0.10	45.0	73.0
			380.00	380.50	P298446	0.50	0.005	0.10	59.0	66.0
380.10	380.60	Py01; Po01 <b>Pyrite 1%; Pyrrholine 1%</b> Py 1% et Po 1%; en grains disséminés allongés selon la foliation, souvent dans clastes sombres (chl?)	380.50	382.00	P298447	1.50	0.008	0.10	35.5	96.0
380.60	390.40	Pytr; Potr <b>Pyrite tr; Pyrrholine tr</b>	382.00	383.50	P298448	1.50	0.005	0.10	33.0	99.0

MAUDORE MINERALS Ltd

AK

Description			Analyse							
			De	À	Numéro	Longueur	Au_Final (g/t)	Ag_Final (ppm)	Cu_Final (ppm)	Zn_Final (ppm)
		Py tr et Po tr en grains disséminés								
383.20	383.90	VEI;70%;Qz Cb;;; <b>Veine 70% Quartz Carbonate</b>	383.50	385.00	P298449	1.50	0.005	0.10	43.0	76.0
		Vn (70%), Qz et Cb, pas de minéralisation, pas de contact net	385.00	386.50	P298450	1.50	0.008	0.10	37.0	109.0
			386.50	388.00	P298451	1.50	0.010	0.10	37.0	139.0
387.00	387.30	FRC-	388.00	389.30	P298452	1.30	0.010	0.10	35.0	145.0
		<b>Fracturation faible</b>	389.30	390.30	P298453	1.00	0.010	0.10	41.0	72.0
		Frct-, blocs anguleux, sup. à 2cm								
389.50	396.80	SIL+; Chl; AB; SR-; PA-; CBtr <b>Silicification forte; Chloritisation; Albittisation; Séricitisation faible; Paragonite faible; Carbonatation</b>	390.30	391.00	P298454	0.70	0.005	0.10	47.0	76.0
		tr Gris noir (=sombre), Si+ (voir intense) pervasive, Chl moy, pFp moy en mouchetage (albite?), Sr-, Pa-, Cb tr en Vnl								
390.40	391.00	Py01 <b>Pyrite 1%</b> Py 1% en grains disséminés allongés selon la foliation ou non								
391.00	394.00	Pytr; Potr	391.00	392.50	P298456	1.50	0.010	0.10	45.0	71.0
		<b>Pyrite tr; Pyrrhotine tr</b>	392.50	394.00	P298457	1.50	0.010	0.20	50.0	70.0
		Py tr et Po tr en grains disséminés	394.00	395.50	P298459	1.50	0.010	0.10	41.0	34.0
			395.50	397.00	P298460	1.50	0.010	0.10	43.0	55.0
396.80	404.20	SIL++; SR+ <b>Silicification Intense; Séricitisation forte</b>	397.00	398.50	P298461	1.50	0.005	0.10	46.0	42.0
		Hétérogène, roche très clair blanc jaunâtre, Si++ pervasive, Sr+ pervasive	398.50	400.00	P298462	1.50	0.010	0.10	33.0	29.0
			400.00	400.50	P151460	0.50	0.002	0.10	34.0	31.0
			400.50	401.50	P298463	1.00	0.010	0.10	30.0	30.0
			401.50	403.00	P298464	1.50	0.010	0.10	32.0	8.0
			403.00	404.50	P298466	1.50	0.010	0.10	32.0	10.0
404.20	405.20	SIL+; Chl; PA; AB; SR-; CBtr <b>Silicification forte; Chloritisation; Paragonite; Albittisation; Séricitisation faible;</b>	404.50	406.00	P298467	1.50	0.010	0.20	43.0	30.0

MAUDORE MINERALS Ltd

AK

Description			Analyse							
			De	À	Numéro	Longueur	Au_Final (g/t)	Ag_Final (ppm)	Cu_Final (ppm)	Zn_Final (ppm)
		<p><b>Carbonatisation tr</b> Gris sombre, Si+ (voir intense) pervasive, Chl moy, Pa moy pervasive, pFp moy en mouchetage, Sr-, Cb tr en Vnl</p>								
405.20	408.30	SIL+; SR+	406.00	407.00	P298468	1.00	0.010	0.10	32.0	3.0
		<b>Silicification forte; Séricitisation forte</b>	407.00	407.90	P298469	0.90	0.008	0.10	32.5	4.5
		Roche très clair blanc jaunâtre; Si++ pervasive, Sr+ pervasive	407.90	408.40	P298470	0.50	0.020	0.10	13.0	64.0
408.10	408.30	VEI;100%;Qz Cb;;; <b>Veine 100% Quartz Carbonate</b> Vn (100%),Qz blanc (95%), Cb (5%), pas de minéralisation, Contacts nets concordants, contact sup. 50deg AC, contact inf. 35deg AC								
408.30	410.50	I3A <b>Gabbro</b> Gabbro Vert forêt Microgrenue Présence de nombreux petits trous dans la roche, comme des vacuoles, ou des boxworks (minéraux disparus) Sûrement un dyke Altération: Cb+, pFp 2% dans la partie sup. Minéralisation: Py tr en grains disséminés								
		Contacts nets concordants 35deg AC								
408.30	410.50	CB+; AB- <b>Carbonatisation forte; Albitisation faible</b>								
		Cb+, pFp (albite?) 2% dans la partie sup.								
408.30	410.50	Pytr	408.40	409.50	P298471	1.10	0.010	0.10	57.0	62.0
		<b>Pyrite tr</b>	409.50	410.40	P298472	0.90	0.010	0.10	55.0	50.0
		Py tr en grains disséminés	410.40	410.90	P298473	0.50	0.010	0.10	38.0	31.0
410.50	427.80	V1; pQz; TI	410.90	412.00	P298474	1.10	0.005	0.10	33.0	3.0
		<b>Volcanite felsique; Porphyre de Quartz; Tuf à lapillis</b>	412.00	413.50	P298475	1.50	0.010	0.10	35.5	4.0

MAUDORE MINERALS Ltd

AC

Description	Analyse							
	De	À	Numéro	Longueur	Au_Final (g/l)	Ag_Final (ppm)	Cu_Final (ppm)	Zn_Final (ppm)
Volcanite felsique; Tuf à lapillis	413.50	415.00	P298476	1.50	0.010	0.10	38.0	7.0
Couleur gris pâle à verdâtre	415.00	416.50	P298477	1.50	0.005	0.10	45.0	9.0
Clastes de 0.5 à 2 cm, localement plus gros (5cm) entrecoupé par de nombreuses petites intrusions felsiques microgrenue Rare pQz, inférieur à 1mm Une foliation générale à 20-25deg AC marqué par allongement de clastes	416.50	418.00	P298478	1.50	0.005	0.10	30.0	6.0
Altération: 424-418: Roche très clair blanc jaunâtre; Si++ pervasive, Sr+ pervasive 418-420: Gris sombre, Si+ (voir intense) pervasive, Chl moy, Pa moy pervasive, pFp moy en mouchetage, Sr-, Cb tr en Vnl 420-427.8: Hétérogène, roche très clair blanc jaunâtre; Si+++ pervasive, Sr+ pervasive  Contact sup. net concordant 35deg AC Contact inf. progressif, dans la foliation à 30deg AC	410.50	418.00						
SIL++; SR+ <b>Silicification Intense; Sérictisation forte</b> Roche très clair blanc jaunâtre; Si++ pervasive, Sr+ pervasive								
SR+; Chl; PA; AB; SR-; CBr	418.00	420.00	P298479	1.50	0.005	0.10	36.0	20.0
<b>Sérictisation forte; Chloritisation;</b> <b>Paragonite; Albitisation;</b> <b>Sérictisation faible;</b> <b>Carbonatation tr</b> Gris sombre, Si+ (voir intense) pervasive, Chl moy, Pa moy pervasive, pFp moy en mouchetage, Sr-, Cb tr en Vnl	419.50	421.00	P298481	1.50	0.005	0.10	31.0	72.0
SIL++; SR+ <b>Silicification Intense; Sérictisation forte</b> Hétérogène, roche très clair blanc	420.00	427.80						
	421.00	422.50	P298483	1.50	0.005	0.10	33.0	11.0
	422.50	424.00	P298484	1.50	0.005	0.10	26.0	9.0
	424.00	425.50	P298485	1.50	0.005	0.10	32.0	13.0

MAUDORE MINERALS Ltd

A

Description			Analyse							
			De	À	Numéro	Longueur	Au_Final (g/l)	Ag_Final (ppm)	Cu_Final (ppm)	Zn_Final (ppm)
		jaunâtre; Si++ pervasive, Sr+ pervasive	425.50	427.00	P298486	1.50	0.005	0.10	35.0	14.0
			427.00	428.50	P298487	1.50	0.005	0.10	35.0	17.0
427.80	500.00	V2-V3; T1 <b>Volcanite intermédiaire à mafique; Tuf à lapillis</b> Volcanite intermédiaire à mafique; Tuf à lapillis Roche gris verdâtre à bleu Clastes allongés selon la foliation à 30deg AC Pas de pQz (mais dans le V1, T1 précédent il n'y en avait pas beaucoup) Apparition de pFp à l'approche de l'intrusion (sur 2m environ) De 451-452.3, roche massive, gris sombre, pas de contact net (=intrusion, ou recuit du V2V3, T1?)  Altération: Pa+ pervasive et en claste, Si moy pervasive, Chl moy pervasive, Cb- en Vnl discordantes, Grt- en mouchetage  Minéralisation: 442.8-44.7: Py tr et Po tr en grains disséminés  Contact sup. progressif, dans la foliation à 30deg AC Contact inf. inconnu  Structure: 459.8-462.4: Frct-, blocs anguleux de 1 à 10cm  Excepté: 452.3-500: I2, pFp								
		PA+; SIL; Chl; CB-; GR-	428.50	430.00	P298489	1.50	0.005	0.10	35.0	54.0
		<b>Paragonite forte; Silicification;</b>	430.00	430.50	P151461	0.50	0.002	0.10	28.0	68.0
		<b>Chloritisation; Carbonatation faible; Grenat faible</b>	430.50	431.50	P298490	1.00	0.005	0.10	45.0	106.0
		Pa+ pervasive et en claste, Si moy	431.50	433.00	P298491	1.50	0.005	0.10	56.0	66.0
		pervasive, Chl moy pervasive, Cb- en	433.00	434.50	P298492	1.50	0.010	0.10	40.0	51.0
		Vnl discordantes, Grt- en mouchetage	434.50	436.00	P298493	1.50	0.005	0.10	37.0	42.0

MAUDORE MINERALS Ltd

AC

Description			Analyse							
			De	À	Numéro	Longueur	Au_Final (g/t)	Ag_Final (ppm)	Cu_Final (ppm)	Zn_Final (ppm)
			436.00	437.50	P298494	1.50	0.300	0.10	30.0	43.0
			437.50	439.00	P298495	1.50	0.005	0.10	31.0	31.0
			439.00	440.50	P298496	1.50	0.008	0.10	34.0	43.5
			440.50	442.00	P298497	1.50	0.005	0.10	29.0	139.0
			442.00	443.50	P298498	1.50	0.005	0.10	33.0	143.0
			443.50	445.00	P298499	1.50	0.005	0.10	27.0	457.0
			445.00	446.50	P298500	1.50	0.005	0.10	33.0	82.0
			446.50	448.00	P298501	1.50	0.010	0.10	35.0	54.0
			448.00	449.50	P298502	1.50	0.005	0.10	30.0	57.0
			449.50	451.00	P298503	1.50	0.010	0.10	34.0	54.0
			451.00	452.50	P298504	1.50	0.010	0.10	25.0	94.0
452.30	500.00	I2; pFp	452.50	454.00	P298505	1.50	0.005	0.10	1.0	141.0
		<b>Intrusion Intermédiaire; Porphyre de</b>	454.00	455.50	P298506	1.50	0.010	0.10	2.0	114.0
		<b>Feldspath</b>	455.50	457.00	P298507	1.50	0.010	0.10	2.0	110.0
		Intrusion intermédiaire à porphyre de Feldspath								
		Mouchetage de pFp (inférieurs à 0.5mm) dans								
		matrice fine sombre, noire								
		Contact sup. net à 10deg AC, contact inf.								
		inconnu.								
		Légère réaction sur la bordure de l'intrusion								
		sur 1cm, apparait un peu plus clair								
		Localement altération en Hm sur 1 à 2 m								
		Présence de 2 enclaves, contact à 5deg AC								
		(dans axe de la carotte): 462.2-465,								
		466.4-469. De couleur gris verdâtre, gris								
		jaune. Ressemblant étrangement au V1, T1								
		précédent. V2V3, T1 très altéré?)								
		Py Ir en grains disséminés souvent associés à								
		Vnl de Cb								
459.80	462.40	FRC-	461.80	463.30	P298508	1.50	0.010	0.10	18.0	169.0
		<b>Fracturation faible</b>	463.30	463.80	P151462	0.50	0.002	0.80	35.0	10.0
		Frct-, blocs anguleux de 1 à 10cm	463.80	465.30	P298510	1.50	0.010	0.10	21.0	59.0
			466.00	467.50	P298512	1.50	0.010	0.10	4.0	112.0
			467.50	469.00	P298513	1.50	0.010	0.10	1.0	11.0
			469.00	470.50	P298514	1.50	0.010	0.10	1.0	19.0
			493.00	494.50	P298515	1.50	0.005	0.10	3.0	339.0
			494.50	496.00	P298516	1.50	0.005	0.10	2.0	133.0



MAUDORE MINERALS Ltd

AC

Description	Analyse							
	De	À	Numéro	Longueur	Au_Final (g/t)	Ag_Final (ppm)	Cu_Final (ppm)	Zn_Final (ppm)
	496.00	497.50	P298518	1.50	0.005	0.10	1.0	124.0
	497.50	499.00	P298519	1.50	0.010	0.10	2.0	255.0
	499.00	500.00	P298520	1.00	0.005	0.10	2.0	231.0
500.00 Fin du sondage Nombre d'échantillons : 313 Nombre d'échantillons QAQC : 41 Longueur totale échantillonnée : 379.20								

MAUDORE MINERALS Ltd

AK

QAQC

De	À	Numéro	Référence	Longueur	Au (g/t)	Ag (ppm)	Cu (ppm)	Zn (ppm)
0.00	0.00	P298274	SK62	0.00	4.05	1.0	86	96
0.00	0.00	P298517	SK62	0.00	4.30	1.0	86	96
0.00	0.00	P298339	SH65	0.00	1.34	1.2	104	172
0.00	0.00	P298185	Blank	0.00	-0.01	-0.2	17	24
0.00	0.00	P298328	Blank	0.00	0.01	0.3	11	22
0.00	0.00	P298315	SQ48	0.00	29.00	1.1	65	96
0.00	0.00	P298310	Blank	0.00	-0.01	-0.2	14	22
0.00	0.00	P298367	SK62	0.00	4.06	1.0	94	103
0.00	0.00	P298284	Blank	0.00	0.01	-0.2	14	18
0.00	0.00	P298362	Blank	0.00	-0.01	-0.2	14	25
0.00	0.00	P298267	Blank	0.00	-0.01	-0.2	13	25
0.00	0.00	P298244	SK62	0.00	3.94	1.1	83	90
0.00	0.00	P298232	Blank	0.00	-0.01	-0.2	15	27
0.00	0.00	P298223	SQ48	0.00	30.30	1.1	62	83
0.00	0.00	P298211	Blank	0.00	-0.01	-0.2	12	19
0.00	0.00	P298196	SK62	0.00	4.05	1.1	86	94
0.00	0.00	P298288	SH65	0.00	1.27	1.6	101	174
0.00	0.00	P298455	Blank	0.00	0.01	0.3	12	20
0.00	0.00	P298511	Blank	0.00	0.01	-0.2	11	22
0.00	0.00	P298488	SH55	0.00	1.36	0.8	110	79
0.00	0.00	P298482	Blank	0.00	-0.01	-0.2	12	20
0.00	0.00	P298465	SQ48	0.00	29.70	1.0	64	92
0.00	0.00	P298442	SK62	0.00	3.88	0.9	82	92
0.00	0.00	P298435	Blank	0.00	-0.01	-0.2	13	21
0.00	0.00	P298381	Blank	0.00	-0.01	-0.2	15	24
0.00	0.00	P298420	SH65	0.00	1.35	1.5	110	190
0.00	0.00	P298414	Blank	0.00	-0.01	0.2	17	27
0.00	0.00	P298389	SQ48	0.00	28.90	1.0	66	93
27.80	28.70	P298208	P298191	0.90	-0.01	0.2	58	93
40.00	41.50	P298230	P298202	1.50	-0.01	-0.2	118	60
113.50	115.00	P298253	P298239	1.50	-0.01	0.2	181	52
133.30	134.20	P298280	P298256	0.90	0.01	-0.2	121	81
179.50	181.00	P298307	P298295	1.50	-0.01	-0.2	274	45



QAQC

De	À	Numéro	Référence	Longueur	Au (g/t)	Ag (ppm)	Cu (ppm)	Zn (ppm)
208.00	209.50	P298334	P298320	1.50	0.01	-0.2	68	67
252.00	253.50	P298359	P298344	1.50	-0.01	-0.2	4	49
287.50	289.00	P298385	P298372	1.50	-0.01	-0.2	74	124
326.50	327.50	P298407	P298398	1.00	-0.01	-0.2	68	91
358.00	359.00	P298431	P298424	1.00	0.02	0.9	76	67
380.50	382.00	P298458	P298447	1.50	0.01	-0.2	35	98
407.00	407.90	P298480	P298469	0.90	-0.01	-0.2	34	4
439.00	440.50	P298509	P298496	1.50	0.01	-0.2	34	47

## Géochimie

De	À	Numéro	Longueur	Description	SiO2 (%)	Al2O3 (%)	Fe2O3 (%)	CaO (%)
30.50	31.00	P151433	0.50	I3E, MOY; SIL+; Chl; MG; EP-; CB-	48.83	12.06	19.14	8.00
52.00	52.50	P151434	0.50	I3E, MOY; SIL+; Chl; MG; EP-; CB-	48.09	11.80	19.53	8.51
100.00	100.50	P151435	0.50	I3E, FIN; SIL+; Chl; MG; EP-; CB-	42.83	15.08	13.17	8.62
127.00	127.50	P151439	0.50	I3A; Si+, Ep+, Chl+, Py tr	47.99	16.63	13.91	8.99
159.50	160.00	P151440	0.50	I3A; Si+, Ep+, Chl, Sr-, Py tr	47.21	13.63	13.74	11.45
189.50	190.00	P151444	0.50	I3A; Si+, Ep+, Chl, Py tr	45.93	13.56	15.94	11.00
221.00	221.50	P151445	0.50	I3A, Cb+, Chl, Si-	41.12	16.39	12.06	8.18
250.00	250.50	P151446	0.50	I2, pFp, py tr	68.84	16.19	1.87	0.93
254.80	255.30	P151447	0.50	I2, pFp, altération Si++, Chl, Py tr	66.49	18.91	1.96	0.75
279.50	280.00	P151453	0.50	I3A; EP+; Chl; SIL; CBtr	45.41	16.33	13.75	8.47
307.00	307.50	P151454	0.50	I3A; CB+; EP; Chl; SR-	45.40	15.59	13.45	7.85
340.50	341.00	P151455	0.50	I3A; EP+; Chl; SIL; CB	45.77	14.97	14.68	8.52
369.50	370.00	P151459	0.50	V1, pQz, TI; SIL+; SR+; PA+; Chl-; CBtr	61.94	22.55	2.06	1.69
400.00	400.50	P151460	0.50	V1, pQz, TI; SIL++; SR+	72.78	15.07	0.68	2.30
430.00	430.50	P151461	0.50	V2V3, TI, Pa+, Chl, Si	64.25	16.09	6.39	4.07
463.30	463.80	P151462	0.50	V2V3?, enclave	67.31	16.65	3.13	3.26

MAUDORE MINERALS Ltd

A

Géochimie

De	À	Numéro	Longueur	MgO (%)	Na2O (%)	K2O (%)	Cr2O3 (%)	TiO2 (%)	MnO (%)	P2O5 (%)
30.50	31.00	P151433	0.50	4.30	3.07	0.16	-0.01	2.64	0.29	0.17
52.00	52.50	P151434	0.50	4.28	2.75	0.15	-0.01	2.81	0.33	0.17
100.00	100.50	P151435	0.50	3.56	5.16	0.93	0.01	1.72	0.17	0.09
127.00	127.50	P151439	0.50	4.63	3.38	0.09	0.01	1.71	0.20	0.10
159.50	160.00	P151440	0.50	8.01	1.94	0.22	0.07	1.30	0.22	0.09
189.50	190.00	P151444	0.50	7.84	1.94	0.18	0.05	1.61	0.23	0.06
221.00	221.50	P151445	0.50	8.04	1.89	0.92	0.03	1.08	0.21	0.01
250.00	250.50	P151446	0.50	0.05	5.98	4.81	-0.01	0.08	0.06	0.01
254.80	255.30	P151447	0.50	0.10	9.26	1.05	-0.01	0.09	0.03	0.01
279.50	280.00	P151453	0.50	7.75	2.49	0.51	0.03	1.19	0.28	0.10
307.00	307.50	P151454	0.50	7.94	3.57	0.26	0.03	1.20	0.22	0.10
340.50	341.00	P151455	0.50	8.74	2.19	0.08	0.03	1.33	0.28	0.11
369.50	370.00	P151459	0.50	1.68	3.66	2.09	0.01	0.85	0.01	0.06
400.00	400.50	P151460	0.50	0.34	5.24	0.96	0.03	0.49	0.01	0.13
430.00	430.50	P151461	0.50	1.14	2.60	1.51	0.01	0.58	0.12	0.23
463.30	463.80	P151462	0.50	0.53	4.94	1.69	0.01	0.44	0.08	0.10

AC

Géochimie

De	À	Numéro	Longueur	SrO (%)	BaO (%)	LOI (%)	Total (%)	Nb (ppm)	Ba (ppm)	Rb (ppm)
30.50	31.00	P151433	0.50	0.01	0.01	1.16	99.84	8	10	3
52.00	52.50	P151434	0.50	0.01	0.01	1.29	99.73	8	10	3
100.00	100.50	P151435	0.50	-0.01	0.02	8.22	99.58	4	120	38
127.00	127.50	P151439	0.50	0.02	0.01	2.17	99.84	6	20	3
159.50	160.00	P151440	0.50	0.01	0.01	1.56	99.45	4	40	6
189.50	190.00	P151444	0.50	0.01	0.01	1.61	99.97	4	20	5
221.00	221.50	P151445	0.50	-0.01	0.01	9.25	99.19	3	80	53
250.00	250.50	P151446	0.50	0.01	0.06	1.03	99.92	33	370	176
254.80	255.30	P151447	0.50	0.01	0.04	1.15	99.86	31	300	52
279.50	280.00	P151453	0.50	0.01	0.02	2.84	99.18	4	130	16
307.00	307.50	P151454	0.50	0.01	0.01	4.19	99.81	4	40	7
340.50	341.00	P151455	0.50	0.03	0.01	3.13	99.87	4	-10	4
369.50	370.00	P151459	0.50	0.05	0.04	3.20	99.89	7	230	68
400.00	400.50	P151460	0.50	0.03	0.03	0.96	99.05	4	190	25
430.00	430.50	P151461	0.50	0.03	0.05	2.81	99.87	5	350	38
463.30	463.80	P151462	0.50	0.04	0.05	1.76	100.00	3	290	60

AK

Géochimie

De	À	Numéro	Longueur	Zr (ppm)	Y (ppm)	Sr (ppm)	Au (ppm)	Ag (ppm)	Al (%)	As (ppm)
30.50	31.00	P151433	0.50	166	52	89	-0.005	-0.2	1.82	-2
52.00	52.50	P151434	0.50	144	46	78	-0.005	-0.2	1.82	-2
100.00	100.50	P151435	0.50	84	27	108	-0.005	-0.2	3.79	2
127.00	127.50	P151439	0.50	87	30	180	-0.005	-0.2	2.47	-2
159.50	160.00	P151440	0.50	79	28	102	-0.005	-0.2	1.66	-2
189.50	190.00	P151444	0.50	55	22	110	-0.005	-0.2	1.81	-2
221.00	221.50	P151445	0.50	60	13	89	-0.005	-0.2	5.32	-2
250.00	250.50	P151446	0.50	349	32	91	-0.005	-0.2	0.53	2
254.80	255.30	P151447	0.50	408	34	118	-0.005	-0.2	0.30	2
279.50	280.00	P151453	0.50	83	27	115	-0.005	-0.2	3.08	-2
307.00	307.50	P151454	0.50	85	27	135	-0.005	-0.2	3.33	2
340.50	341.00	P151455	0.50	100	31	333	-0.005	-0.2	3.47	-2
369.50	370.00	P151459	0.50	219	13	490	-0.005	0.20	1.40	2
400.00	400.50	P151460	0.50	129	8	329	-0.005	-0.2	0.43	-2
430.00	430.50	P151461	0.50	133	13	342	-0.005	-0.2	1.87	-2
463.30	463.80	P151462	0.50	126	9	480	-0.005	0.80	0.77	-2

MAUDORE MINERALS Ltd

X

Géochimie

De	À	Numéro	Longueur	B (ppm)	Ba Econo (ppm)	Be (ppm)	Bi (ppm)	Ca (%)	Cd (ppm)	Co (ppm)
30.50	31.00	P151433	0.50	-10		-0.5	-2	1.67	-0.5	22
52.00	52.50	P151434	0.50	-10		-0.5	-2	1.81	-0.5	21
100.00	100.50	P151435	0.50	-10		0.5	-2	5.97	-0.5	33
127.00	127.50	P151439	0.50	-10		-0.5	-2	1.16	-0.5	27
159.50	160.00	P151440	0.50	-10		-0.5	-2	1.05	-0.5	19
189.50	190.00	P151444	0.50	-10		-0.5	-2	0.83	-0.5	22
221.00	221.50	P151445	0.50	-10		-0.5	-2	4.32	-0.5	40
250.00	250.50	P151446	0.50	-10		1.6	-2	0.66	-0.5	2
254.80	255.30	P151447	0.50	-10		0.5	-2	0.44	4.8	5
279.50	280.00	P151453	0.50	-10		-0.5	-2	0.83	-0.5	33
307.00	307.50	P151454	0.50	-10		-0.5	-2	2.05	-0.5	32
340.50	341.00	P151455	0.50	-10		-0.5	2	0.73	-0.5	38
369.50	370.00	P151459	0.50	-10		-0.5	-2	0.49	-0.5	9
400.00	400.50	P151460	0.50	-10		-0.5	-2	0.49	-0.5	4
430.00	430.50	P151461	0.50	-10		-0.5	-2	1.37	-0.5	16
463.30	463.80	P151462	0.50	-10		0.5	-2	0.95	-0.5	12





Géochimie

De	À	Numéro	Longueur	Cr (ppm)	Cu (ppm)	Fe (%)	Ga (ppm)	Hg (ppm)	K (%)	La (ppm)
30.50	31.00	P151433	0.50	1	76	5.43	10	-1	0.04	-10
52.00	52.50	P151434	0.50	1	44	5.73	10	-1	0.04	-10
100.00	100.50	P151435	0.50	27	145	8.16	20	-1	0.83	-10
127.00	127.50	P151439	0.50	30	119	4.52	10	-1	0.02	-10
159.50	160.00	P151440	0.50	50	123	2.81	-10	-1	0.03	-10
189.50	190.00	P151444	0.50	89	307	3.19	-10	-1	0.03	-10
221.00	221.50	P151445	0.50	167	68	6.89	10	1	0.18	-10
250.00	250.50	P151446	0.50	13	5	1.44	-10	-1	0.12	20
254.80	255.30	P151447	0.50	8	61	1.15	-10	-1	0.10	20
279.50	280.00	P151453	0.50	108	63	5.04	10	-1	0.04	-10
307.00	307.50	P151454	0.50	107	55	5.01	10	-1	0.02	-10
340.50	341.00	P151455	0.50	96	60	5.45	10	-1	-0.01	-10
369.50	370.00	P151459	0.50	17	51	1.33	-10	-1	0.13	20
400.00	400.50	P151460	0.50	18	34	0.45	-10	-1	0.08	10
430.00	430.50	P151461	0.50	28	28	3.85	10	1	0.12	10
463.30	463.80	P151462	0.50	25	35	1.34	-10	-1	0.16	10

MAUDORE MINERALS Ltd

AC

Géochimie

De	À	Numéro	Longueur	Mg (%)	Mn (ppm)	Mo (ppm)	Na (%)	Ni (ppm)	P (ppm)	Pb (ppm)
30.50	31.00	P151433	0.50	0.93	547	-1	0.15	7	780	-2
52.00	52.50	P151434	0.50	0.96	624	-1	0.15	6	740	-2
100.00	100.50	P151435	0.50	2.19	1 070	26	0.08	25	420	2
127.00	127.50	P151439	0.50	1.62	497	-1	0.09	27	430	-2
159.50	160.00	P151440	0.50	1.15	354	-1	0.07	41	390	-2
189.50	190.00	P151444	0.50	1.21	355	-1	0.08	50	270	-2
221.00	221.50	P151445	0.50	4.28	1 280	-1	0.04	122	50	2
250.00	250.50	P151446	0.50	0.11	437	-1	0.09	5	50	5
254.80	255.30	P151447	0.50	0.05	210	2	0.10	1	50	145
279.50	280.00	P151453	0.50	2.69	992	-1	0.07	120	440	-2
307.00	307.50	P151454	0.50	2.92	653	-1	0.09	125	450	-2
340.50	341.00	P151455	0.50	2.95	800	-1	0.05	144	520	-2
369.50	370.00	P151459	0.50	0.78	73	-1	0.12	30	280	12
400.00	400.50	P151460	0.50	0.15	75	-1	0.09	10	570	-2
430.00	430.50	P151461	0.50	0.60	615	-1	0.04	46	1 010	-2
463.30	463.80	P151462	0.50	0.17	382	-1	0.05	36	430	-2

MAUDORE MINERALS Ltd

AT

Géochimie

De	À	Numéro	Longueur	S (%)	Sb (ppm)	Sc (ppm)	Th (ppm)	Sr Econo (ppm)	Ti (%)	Ti (ppm)
30.50	31.00	P151433	0.50	0.14	-2	8	-20		0.28	-10
52.00	52.50	P151434	0.50	0.05	-2	10	-20		0.31	-10
100.00	100.50	P151435	0.50	0.28	-2	33	-20		0.21	-10
127.00	127.50	P151439	0.50	0.19	-2	5	-20		0.22	-10
159.50	160.00	P151440	0.50	0.11	-2	4	-20		0.22	-10
189.50	190.00	P151444	0.50	0.14	-2	4	-20		0.18	-10
221.00	221.50	P151445	0.50	0.03	-2	11	-20		0.22	-10
250.00	250.50	P151446	0.50	0.19	-2	-1	-20		0.03	-10
254.80	255.30	P151447	0.50	0.65	-2	-1	-20		-0.01	-10
279.50	280.00	P151453	0.50	0.09	-2	4	-20		0.20	-10
307.00	307.50	P151454	0.50	0.04	-2	3	-20		0.16	-10
340.50	341.00	P151455	0.50	0.07	-2	3	-20		0.18	-10
369.50	370.00	P151459	0.50	0.34	-2	2	-20		0.07	-10
400.00	400.50	P151460	0.50	0.01	-2	2	-20		0.05	-10
430.00	430.50	P151461	0.50	0.02	-2	5	-20		0.05	-10
463.30	463.80	P151462	0.50	0.02	-2	2	-20		0.09	-10

MAUDORE MINERALS Ltd

AC

Géochimie

De	À	Numéro	Longueur	U (ppm)	V (ppm)	W (ppm)	Zn (ppm)
30.50	31.00	P151433	0.50	-10	207	-10	68
52.00	52.50	P151434	0.50	-10	243	-10	70
100.00	100.50	P151435	0.50	-10	553	-10	101
127.00	127.50	P151439	0.50	-10	144	-10	70
159.50	160.00	P151440	0.50	-10	73	-10	48
189.50	190.00	P151444	0.50	-10	106	-10	38
221.00	221.50	P151445	0.50	-10	124	-10	84
250.00	250.50	P151446	0.50	-10	5	-10	31
254.80	255.30	P151447	0.50	-10	1	-10	782
279.50	280.00	P151453	0.50	-10	99	-10	60
307.00	307.50	P151454	0.50	-10	90	-10	62
340.50	341.00	P151455	0.50	-10	95	-10	70
369.50	370.00	P151459	0.50	-10	19	-10	114
400.00	400.50	P151460	0.50	-10	15	-10	31
430.00	430.50	P151461	0.50	-10	39	-10	68
463.30	463.80	P151462	0.50	-10	16	-10	10

MAUDORE MINERALS Ltd

Sondage : COM-12-902  
 Titre minier :  
 Canton : Comtois  
 Rang :  
 Lot :  
 Foré par : Forages M. Rouillier Inc  
 Décrit par : JG. Merdy  
 Du : 2012-06-11  
 Au : 2012-06-21  
 Section : 1425E  
 Niveau : Surface  
 Place de travail : Lebel-sur-Quévillon  
 Date de description : 2012-06-28

Collet

	UTM	Locales	GREER
Azimut : 190.00°	Est 340 569.69	1 423.84	3 190.53
Plongée : -60.00°	Nord 5 444 612.66	1 355.66	2 936.71
Longueur : 481.00 m	Élévation 289.06	289.06	289.06

Déviations

Type	Profondeur	Azimut	Plongée	Invalide	Description

Description  
 TMN-12-01. Position collet, arpenté Juin 2012, par Descarreaux & Dubé.



Dimension de la carotte : Carotte NQ  
 Cimenté : Non  
 Entreposé : Oui

Description			Analyse						
			De	À	Numéro	Longueur	Au_Final (g/t)	Ag_Final (ppm)	Cu_Final (ppm)
0.00	33.00	MT Mort Terrain Casing							
33.00	35.90	V2-V3; T1 Volcanite intermédiaire à mafique; Tuf à lapillis Roche volcanique intermédiaire à mafique, à lapillis millimétriques Teinte généralement gris sombre-noire Matrice à grains fins de couleur gris foncé. Foliation faible entre 25-30 deg AC marquée par un léger rubanement produit par l'alternance de bandes (clastes) mm à cm blanchâtres-verdâtres-brunâtres et par la présence locale de veinules de carbonates et d'hématite. Globalement 5-10% de clastes étirés dans le sens de la foliation millimétriques à pluri-centimétriques. 1-2% de Vn-Vnl de Cb-Qz-Hm blanches et rouges irrégulières.  Altération : Si forte pervasive, Chl moyenne en clastes, Bt faible en clastes, Sr faible en bandes centimétriques.  Minéralisations : Py en traces en grains disséminés 1-2mm xénomorphes-subautomorphes  Structures : De 33-36.2 : Fracturation forte avec des blocs anguleux de 0.5-4cm et des lambeaux de carottes de 3-20cm.  Contact sup non intercepté Contact inf fracturé							
33.00	35.90	SIL+; Chl; BO-; SR- Silicification forte; Chloritisation; Biotisation faible; Séricitisation faible Si forte pervasive, Chl moyenne en clastes, Bt faible en clastes, Sr faible en							

Description				Analyse						
				De	À	Numéro	Longueur	Au_Final (g/t)	Ag_Final (ppm)	Cu_Final (ppm)
		bandes centimétriques.								
33.00	36.20	FRC+ Fracturation forte Fracturation forte avec des blocs anguleux de 0,5-4cm et des lambeaux de carottes de 3-20cm.	35.80	36.80	P153681	1.00	0.290	0.40	530.0	25.0
35.90	36.70	I3A Gabbro Gabbro à grains moyens Couleur verte-grisâtre Matrice à grains fins à aphanitique (<1mm à 1-2mm) Présence de grains millimétriques blancs-roses légèrement flocculeux en mouchetage dans la matrice (env. 5-10%) : leucoxènes ou grenats ?  Altération : Silice moyenne pervasive à forte localement Carbonates moyens à forts pervasifs et en patchs pluri-centimétriques étirés dans le sens de la foliation  Pas de minéralisations  Structures : De 33-36.2 : Fracturation forte avec des blocs anguleux de 0,5-4cm et des lambeaux de carottes de 3-20cm.  Contact sup fracturé Contact inf net concordant 35deg AC								
35.90	36.70	SIL; CB Silicification; Carbonatisation Silice moyenne pervasive à forte localement Carbonates moyens à forts pervasifs et en patchs pluri-centimétriques étirés dans le sens de la foliation								
36.70	39.80	V2-V3; T1 Volcanite intermédiaire à mafique; Tuf à lapillis								

Description		Analyse								
		De	À	Numéro	Longueur	Au_Final (g/t)	Ag_Final (ppm)	Cu_Final (ppm)	Zn_Final (ppm)	
36.70	39.80	<p>Roche volcanique intermédiaire à mafique, à lapillis millimétriques</p> <p>Teinte généralement gris clair</p> <p>Matrice à grains fins de couleur gris clair</p> <p>Foliation faible entre 25-30 deg AC marquée par un léger rubanement produit par l'alternance de bandes (clastes) mm à cm blanchâtres-verdâtres-brunâtres et par la présence locale de veinules de carbonates et d'hématite.</p> <p>Globalement 15-20% de clastes étirés dans le sens de la foliation millimétriques à pluri-centimétriques.</p> <p>2% de Vn-Vnl de Cb-Qz-Hm blanches et rouges irrégulières.</p> <p>Allévation :</p> <p>Si moyenne pervasive, Bt moyen en clastes, Pa moyenne en bandes pervasives, Chl faible en clastes, Hm en traces en veinules rouges</p> <p>Minéralisations :</p> <p>Py en traces à 0.5% en alignements de grains millimétriques et en grains disséminés millimétriques.</p> <p>Contact sup net concordant 35deg AC</p> <p>Contact inf net discordant 50deg AC</p> <p>SIL; BO; PA; Chl; HMr</p> <p>Silicification; Biotisation;</p> <p>Paragonite; Chloritisation faible;</p> <p>Hématisation tr</p> <p>Si moyenne pervasive, Bt moyen en clastes, Pa moyenne en bandes pervasives, Chl faible en clastes, Hm en traces en veinules rouges</p>								
36.70	39.80	Pytr	36.80	37.80	P153682	1.00	0.010	0.10	22.0	42.0
		Pyrite tr	37.80	38.80	P153683	1.00	0.010	0.10	18.0	32.0
		Py en traces à 0.5% en alignements de grains millimétriques et en grains disséminés millimétriques.	38.80	39.80	P153684	1.00	0.050	0.10	69.0	30.0
39.80	57.30	13A Gabbro								





Description	Analyse							
	De	À	Numéro	Longueur	Au_Final (g/t)	Ag_Final (ppm)	Cu_Final (ppm)	Zn_Final (ppm)
<p>Gabbro à grains grossiers Couleur verte-grisâtre Matrice à grains moyens à grossiers (&gt;1mm à 5-6mm) Présence de grains millimétriques blancs-roses légèrement flocculeux en mouchetage dans la matrice (env. 5-10%) : leucoxènes ou grenats ? Porphyres d'amphiboles en baguettes verdâtres pluri-millimétriques (20%) Quelques passages plus fins de 20-30cm, ainsi que des enclaves de V2V3 pluri-centimétriques</p> <p>Altération : Silice faible pervasive Carbonates moyens à forts pervasifs et en patchs pluri-centimétriques étirés dans le sens de la foliation Épidote faible localement pervasive</p> <p>Minéralisations : Globalement Py en traces, sauf : De 40.6-42.3 : Py 3% en veinules millimétriques orientées dans toutes les directions (70%), en amas centimétriques étirés dans le sens de la foliation (20%) et en alignement de grains millimétriques (10%). De 45.2-46 : Py 2% en veinules millimétriques orientées dans toutes les directions (80%) et en alignements de grains millimétriques (20%)</p> <p>Structures : De 51-53.8 : Fracturation forte avec des blocs anguleux de 2-4cm et des lambeaux de carottes de 3-10cm.</p> <p>Contact sup net discordant 50deg AC Contact inf net discordant légèrement ondulant 10deg AC</p>								
<p>39.80</p> <p>57.30</p> <p>SIL-; CB; EP- Silicification faible; Carbonatation; Épidotisation faible</p>	39.80	40.80	P153685	1.00	0.190	0.50	735.0	48.0

MAUDORE MINERALS Ltd

AC

Description		Analyse								
		De	À	Numéro	Longueur	Au_Final (g/t)	Ag_Final (ppm)	Cu_Final (ppm)	Zn_Final (ppm)	
		Silice faible pervasive Carbonates moyens à forts pervasifs et en patches pluri-centimétriques étirés dans le sens de la foliation Épidote faible localement pervasive								
40.60	42.30	Py03	40.80	41.30	P153686	0.50	0.080	0.90	1 090.0	32.0
		<b>Pyrite 3%</b>	41.30	41.80	P153687	0.50	0.050	0.50	868.0	25.0
		Py 3% en veinules millimétriques orientées dans toutes les directions (70%), en amas centimétriques étirés dans le sens de la foliation (20%) et en alignement de grains millimétriques (10%).	41.80	42.50	P153689	0.70	0.170	0.40	753.0	45.0
			42.50	43.00	P151436	0.50	0.151	0.20	612.0	36.0
			43.00	44.00	P153690	1.00	0.030	0.60	578.0	38.0
			44.00	45.00	P153691	1.00	0.050	0.10	286.0	111.0
			45.00	46.00	P153692	1.00	0.040	0.25	221.5	94.0
45.20	46.00	Py02	46.00	47.50	P153693	1.50	0.650	1.40	339.0	74.0
		<b>Pyrite 2%</b>								
		Py 2% en veinules millimétriques orientées dans toutes les directions (80%) et en alignements de grains millimétriques (20%)								
51.00	53.80	FRC+	57.00	58.00	P153694	1.00	0.070	1.30	126.0	42.0
		<b>Fracturation forte</b>								
		Fracturation forte avec des blocs anguleux de 2-4cm et des lambeaux de carottes de 3-10cm.								
57.30	427.60	V2-V3; T1	58.00	59.50	P153695	1.50	0.010	0.10	12.0	29.0
		<b>Volcanite intermédiaire à mafique; Tuf à lapillis</b>	59.50	61.00	P153696	1.50	0.010	0.10	23.0	40.0
		Roche volcanique intermédiaire à mafique, à lapillis millimétriques	61.00	62.50	P153697	1.50	0.010	0.10	20.0	65.0
		Teinte généralement gris sombre-noire Matrice à grains fins de couleur gris foncé. Foliation faible à moyenne entre 30-35 deg AC marquée par un léger rubanement produit par l'alternance de bandes (clastes) mm à cm blanchâtres-verdâtres-brunâtres et par la présence locale de veinules de carbonates et d'hématite. Globalement 10-15% de clastes étirés dans le sens de la foliation millimétriques à pluri-centimétriques. 2-3% de Vn-Vnl de Cb-Qz-Hm blanches et rouges	62.50	63.30	P153698	0.80	0.010	0.20	20.0	433.0

AK

Description	Analyse							
	De	À	Numéro	Longueur	Au_Final (g/t)	Ag_Final (ppm)	Cu_Final (ppm)	Zn_Final (ppm)
<p>irrégulières.</p> <p>De 247.7-267.1 : Intrusion intermédiaire ? V2V3 altéré ? Roche grise claire à sombre, assez hétérogène, présentant de fins liserés blancs réguliers d'orientation moyenne 50deg AC marquant un rubanement. Présence de pFp également, peu visible dans les zones à liserés mais bien visibles dans les zones plus massives. Contacts nets ==&gt; intrusif.</p> <p>Altération :</p> <p>De 57.3-78.3 : Si forte pervasive et en veines/veinules de quartz blanc, Bt faible en clastes, Chl faible en clastes, Cb faibles en veinules millimétriques et en patchs pluri-centimétriques étirés dans le sens de la foliation de Cc blanche.</p> <p>De 78.3-85.2 : Si forte pervasive et en veines/veinules de quartz blanc, Hm moyen en veinules rouges millimétriques à pluri-centimétriques, Cb faible à moyen en veinules millimétriques et en patchs pluri-centimétriques étirés dans le sens de la foliation de Cc blanche, Chl faible en clastes, Sr faible pervasive, Ép en traces en veinules millimétriques associées à l'Hm.</p> <p>De 85.2-116.1 : Si forte pervasive et en veines/veinules de quartz blanc, Bt faible en clastes, Chl faible en clastes, Cb faibles en veinules millimétriques et en patchs pluri-centimétriques étirés dans le sens de la foliation de Cc blanche.</p> <p>De 116.1-145.4 : Si moyenne à forte pervasive et en veinules de quartz blanc, Cb moyens en veines/veinules de Cc blanche et verte et en patchs centimétriques étirés dans le sens de la foliation, Chl faible pervasive et en clastes, Hm faible en veinules rouges orientées dans toutes les directions (souvent associées aux veinules de Cc blanche), mouchetage de FK localement faible (env.10%) en petits pFp blancs de 1mm, Ép en traces en veinules millimétriques et autour des veinules d'Hm-Cb.</p> <p>De 145.4-154 : Si forte pervasive et en veines/veinules de quartz blanc, Bt forte en clastes, Chl moyenne en clastes, Hm faible en veinules</p>								

MAUDORE MINERALS Ltd

AC

Description	Analyse							
	De	À	Numéro	Longueur	Au_Final (g/t)	Ag_Final (ppm)	Cu_Final (ppm)	Zn_Final (ppm)
<p>rouges millimétriques, Cb faibles en veinules de Cc verte et blanche millimétriques, Ép faible en veinules millimétriques et en placage dans les fractures, souvent associées à l'Hm</p> <p>De 154-164 : Si moyenne à forte pervasive, Chl moyenne en clastes, Bt faible en clastes, Pa faible pervasive dans des bandes millimétriques bleuâtres, Hm faible en veinules rouges millimétriques, Cb faible en veinules de Cc blanche millimétriques orientées dans toutes les directions, Sr en traces en bandes millimétriques.</p> <p>De 164-241.9 : Si forte pervasive et en veines/veinules de quartz blanc, Chl moyenne en clastes, Sr moyenne en mouchetage de grains millimétriques à pluri-millimétriques regroupés en petits amas et en bandes pluri-centimétriques étirées dans le sens de la foliation, Bt faible en clastes, Hm faible pervasive et en veinules rouges millimétriques, Cb faibles en bandes millimétriques de Cc verte étirées dans le sens de la foliation, en patchs pluri-millimétriques de Cc blanche et en veinules millimétriques de Cc blanche, Ép en traces en veinules millimétriques associées aux veinules de Cb et Hm.</p> <p>De 241.9-267.1 : Si moyenne pervasive et en veines/veinules de quartz blanc, Chl moyenne en clastes, Pa faible à moyenne en bandes pluri-millimétriques et pervasive, Bt faible en clastes, Cb faibles en bandes centimétriques de Cc verte et pervasive.</p> <p>De 267.1-292 : Si forte pervasive et en veines/veinules de quartz blanc, Bt forte en clastes, Chl moyenne en clastes, Cb moyens en patchs centimétriques de Cc verte étirés dans le sens de la foliation, en bandes centimétriques et en veinules millimétriques de Cc blanche, Pa faible en bandes pervasives.</p> <p>292-298.7 : Si forte pervasive, Hm moyenne en veinules rouges millimétriques et pervasive, Chl moyenne en clastes, Pa faible localement en liserés de micas blancs, Bt faible en clastes, Cb faible en</p>								



Description	Analyse							
	De	À	Numéro	Longueur	Au_Final (g/t)	Ag_Final (ppm)	Cu_Final (ppm)	Zn_Final (ppm)
<p>veinules millimétriques de Cc blanche.</p> <p>De 298.7-311.1 : Si moyenne à forte pervasive, Cb moyens pervasifs, en veinules millimétriques de Cc blanche et en patchs étirés dans le sens de la foliation de Cc verte, Chl moyenne en clastes, Bt faible en clastes, Pa faible en liserés de micas blancs, Hm en traces en veinules rouges millimétriques, Sr en traces en bandes millimétriques.</p> <p>De 311.1-313.8 : Chl intense pervasive, Si forte pervasive, Bt moyenne en clastes, Hm faible à moyenne en veinules rouges millimétriques et pervasive, Cb faibles en veinules de Cc blanche.</p> <p>De 313.8-320.8 : Si forte pervasive, Chl et Bt forts en clastes, Cb faibles en bandes et patchs centimétriques de Cc verte étirés dans le sens de la foliation et en veinules millimétriques de Cc blanche, Hm en traces en veinules rouges millimétriques, Sr en traces en bandes centimétriques.</p> <p>De 320.8-335.4 : Si forte pervasive, Cb faibles en patchs et bandes de Cc verte centimétriques étirés dans le sens de la foliation et en veinules millimétriques de Cc blanche, Chl faible en clastes, Sr en traces en bandes centimétriques.</p> <p>De 335.4-396.9 : Si forte pervasive et en veines/veinules de quartz blanc, Chl et Bt forts en clastes, Cb faibles à moyens en patchs et bandes de Cc verte centimétriques étirés dans le sens de la foliation et en veinules millimétriques de Cc blanche, Pa faible en liserés de micas blancs et pervasive, mouchetage de Fk localement faible (8-10%), Sr en traces en bandes centimétriques.</p> <p>De 396.9-422.7 : Si forte pervasive et en veines/veinules de quartz blanc, Bt et Chl forts en clastes, Cb faibles en veinules millimétriques de Cc blanche, Sr en traces en bandes millimétriques, Hm en traces en veinules rouges millimétriques.</p> <p>De 422.7-427.6 : Bt forte à intense en clastes pluri-centimétriques, Si forte pervasive et en veines/veinules de quartz blanc, Chl forte en clastes et halo d'altération autour de veinules de Cc verte, Cb faibles en veinules millimétriques de Cc verte, Pa</p>								

AC

Description	Analyse							
	De	À	Numéro	Longueur	Au_Final (g/t)	Ag_Final (ppm)	Cu_Final (ppm)	Zn_Final (ppm)
<p>faible en bandes pervasives millimétriques, FK faible localement (4-5%) en mouchetage, Sr en traces en bandes millimétriques.</p> <p>Minéralisations :</p> <p>De 57.3-63.1 : Py en traces en grains disséminés 1-2mm (60%) et alignements de grains 1-2mm (40%)</p> <p>De 63.3-67.6 : Py en traces en alignements de grains millimétriques (50%), en amas 3-4mm étirés dans le sens de la foliation (30%) et en grains disséminés millimétriques (20%). Sp en traces en veinules millimétriques (associée aux Cb)</p> <p>De 73.5-78.2 : Py 2% en alignements de grains 1-2mm (80%) et en grains disséminés millimétriques (20%)</p> <p>De 91-98 : Py 0.5% en alignements de grains 1-3mm (70%), en grains disséminés millimétriques (25%) et en amas 3-4mm étirés dans le sens de la foliation (5%)</p> <p>De 98-101.4 : Py 1% en grains disséminés 1-3mm (60%), en alignements de grains millimétriques (20%) et en amas 4-5mm étirés dans le sens de la foliation (20%). Po 0.5% en alignements de grains 1-2mm (50%) et en grains disséminés 1-3mm (50%). Cpy en traces en grains disséminés millimétriques.</p> <p>De 101.4-106.9 : Py 3% en grains disséminés 1-4mm (30%), en alignements de grains 1-4mm (50%) et en amas 1-6mm étirés dans le sens de la foliation (20%).</p> <p>De 108.5-113.5 : Py 0.5% en alignements de grains 1-3mm (80%) et en grains disséminés 1-2mm (20%). Po en traces en alignements de grains 1-2mm.</p> <p>De 113.5-118.3 : Py 1% en veinules millimétriques (30%), en grains disséminés millimétriques (40%) et en alignements de grains millimétriques (30%).</p> <p>De 120.3-123.3 : Py 0.5% en alignements de grains millimétriques (80%) et en grains disséminés millimétriques (20%). Sp en traces en grains disséminés millimétriques.</p> <p>De 125.3-131.2 : Py 0.5% en alignements de grains millimétriques (60%), en amas 1-2mm étirés dans le sens de la foliation (30%) et en grains disséminés</p>								

Description	Analyse							
	De	À	Numéro	Longueur	Au_Final (g/t)	Ag_Final (ppm)	Cu_Final (ppm)	Zn_Final (ppm)
<p>millimétriques (10%). Po en traces en alignements de grains et en petits amas de grains.</p> <p>De 139.1-142 : Py 2% en amas 1-5mm étirés dans le sens de la foliation (60%) et en alignements de grains millimétriques (30%) et en grains disséminés millimétriques (10%).</p> <p>De 143.8-146 : Py 0.5% en alignements de grains millimétriques (80%) et en amas 1-3mm étirés dans le sens de la foliation (20%).</p> <p>De 150.1-159.3 : Py 0.5% en alignements de grains millimétriques (70%), en amas étirés dans le sens de la foliation (25%) et en grains disséminés millimétriques (5%). Po en traces en amas 1-2mm (60%) et en grains disséminés millimétriques (40%).</p> <p>De 202.5-232 : Py en traces en grains disséminés millimétriques (50%) et en alignements de grains millimétriques (50%). Po en traces en alignements de grains millimétriques (70%) et en grains disséminés millimétriques (30%).</p> <p>De 232-241 : Py en traces en grains disséminés millimétriques (30%) et en alignements de grains millimétriques (70%). Po 0.5% en alignements de grains millimétriques (40%), en grains disséminés millimétriques (50%) et en amas 3-4mm (10%).</p> <p>De 241-365.8 : Py en traces en grains disséminés millimétriques (50%) et en alignements de grains millimétriques (50%). Po en traces en alignements de grains millimétriques (20%) et en grains disséminés millimétriques (80%).</p> <p>De 365.8-373 : Py 0.5-1% en grains disséminés millimétriques (50%) et en alignements de grains millimétriques (50%).</p> <p>De 373-427.6 : Py tr-0.5% en grains disséminés millimétriques (40%) et en alignements de grains millimétriques (40%) et en amas pluri-millimétriques étirés dans le sens de la foliation (20%).</p> <p>Excepté :</p> <p>78.3-79.4 : I2; pFpAm</p> <p>80.6-82 : I2; pFpAm</p> <p>91.4-92.1 : I2; pFpAm</p>								

Description	Analyse							
	De	À	Numéro	Longueur	Au_Final (g/t)	Ag_Final (ppm)	Cu_Final (ppm)	Zn_Final (ppm)
<p>131.2-137.1 : I2; pFpAm                      230.4-230.9 : I3; FIN                      247.7-267.1 : I2; pFpAm                      307-311.1 : I2; pFpAm                      324.4-327.1 : I3; FIN                      328.3-329 : I1F                      331.4-332 : I1F                      336-339.7 : I1F; I1G                      386.8-388.1 : I1F; I1G                      395.3-396.9 : I1F; I1G                      406.3-409.5 : I1F; I1G                      411-412.4 : I1F</p> <p>Structures :</p> <p>De 144-146.8 : Fracturation forte avec des blocs anguleux de 0,1-3cm et des lambeaux de carottes de 2-20cm. Présence de plusieurs petites failles, dont notamment une faille à 15deg AC à 146m marquée par des stries et une roche broyée, ainsi qu'à 146.6 marquée par de la roche broyée. Texture légèrement bréchique par endroits.</p> <p>De 202.5-204.3 : Fracturation forte avec des blocs anguleux de 1-4cm et des lambeaux de carottes de 2-10cm.</p> <p>De 218.9-219.2 : Texture bréchique avec des veinules orientées dans toutes les directions à remplissage d'Hm-Cb. Présence d'une faille à 219.</p> <p>De 241.8-241.9 : Faille marquée par de la boue de forage.</p> <p>De 291.8-294.6 : Fracturation forte avec des blocs anguleux de 1-5cm et des lambeaux de carottes de 3-25cm.</p> <p>De 295-298.6 : Texture bréchique avec de nombreuses veinules à remplissage d'Hm-Cb orientées dans toutes les directions.</p> <p>De 314.9-315 : Faille marquée par de la boue de forage env. 30deg AC.</p> <p>De 320.5-320.6 : Faille marquée par de la boue de forage et des stries de faille env. 15deg AC.</p> <p>De 394.4-395.4 : Texture bréchique avec des veinules orientées dans toutes les directions à</p>								



MAUDORE MINERALS Ltd

AC

Description	Analyse							
	De	À	Numéro	Longueur	Au_Final (g/l)	Ag_Final (ppm)	Cu_Final (ppm)	Zn_Final (ppm)
remplissage de Cb-Hm.								
Veines :								
De 164-164.4 : Amas de veines à 60% de Qz-Cb-Hm. Pas de minéralisations. Contact sup et inf irréguliers.								
De 254.6-255 : Veine à Qz-Cb. Traces de Py en grains disséminés millimétriques principalement dans les carbonates. Contact sup net discordant 15deg AC, contact inf net discordant 20-25deg AC.								
De 388.5-388.8 : Veine à Cb-Qz-Fp-Chl. Traces de Py en alignements de grains millimétriques au bord des contacts. Contact sup et inf irréguliers.								
De 400.3-400.9 : Veine à Cb-Qz-Fp-Ép.								
Non-minéralisée. Contact sup net ondulant env. 10deg AC. Contact inf net légèrement ondulant 15deg AC.								
Contact sup net discordant légèrement ondulant 10deg AC								
Contact inf net fracturé, env. 30-35deg AC								
57.30 78.30								
SIL+; BO-; CH-; CB- Silicification forte; Biotisation faible; Chloritisation faible; Carbonatation faible								
Si forte pervasive et en veines/veinules de quartz blanc, Bt faible en clastes, Chl faible en clastes, Cb faibles en veinules millimétriques et en patches pluri-centimétriques étirés dans le sens de la foliation de Cc blanche.								
63.30 67.60								
Pytr; Sptr	63.30	63.80	P153702	0.50	0.020	0.20	12.0	328.0
Pyrite tr; Sphalérite tr	63.80	64.80	P153700	1.00	0.075	0.10	20.0	239.5
Py en traces en alignements de grains millimétriques (50%), en amas 3-4mm étirés dans le sens de la foliation (30%)	64.80	65.30	P153701	0.50	0.030	0.10	17.0	777.0
et en grains disséminés millimétriques (20%). Sp en traces en veinules millimétriques (associée aux Cb)	65.30	66.80	P153705	1.50	0.050	0.10	28.0	231.0
	66.80	67.80	P153706	1.00	0.010	0.10	3.0	295.0
	69.80	71.30	P153707	1.50	0.010	0.20	52.0	74.0
	71.30	71.80	P151437	0.50	0.005	0.10	35.0	74.0

MAUDORE MINERALS Ltd

KC

Description	Analyse							
	De	À	Numéro	Longueur	Au_Final (g/t)	Ag_Final (ppm)	Cu_Final (ppm)	Zn_Final (ppm)
	71.80	73.30	P153708	1.50	0.020	0.30	115.0	67.0
	73.30	74.30	P153709	1.00	0.020	0.20	59.0	49.0
73.50 78.20 Py02	74.30	75.30	P153710	1.00	0.030	0.20	90.0	69.0
Pyrite 2%	75.30	76.30	P153711	1.00	0.150	0.20	19.0	48.0
Py 2% en alignements de grains 1-2mm (80%) et en grains disséminés millimétriques (20%)	76.30	77.10	P153712	0.80	0.060	0.10	8.0	49.0
	77.10	77.60	P153713	0.50	1.310	0.90	201.0	78.0
	77.60	78.50	P153714	0.90	0.010	0.10	19.0	71.0
78.30 79.40 I2; pFpAm Intrusion Intermédiaire; Porphyre de Feldspath et Amphibole Intrusion intermédiaire à porphyres d'amphiboles et de feldspaths Couleur grise clair-verdâtre Matrice fine grise clair-verdâtre pFp blancs subautomorphes de 1-3mm (env. 10-15%) pAm invisibles Hématite faible en veinules rouges millimétriques Cb faible en veine 5-6cm et en veinules millimétriques de Cc blanche  Traces de Py en grains disséminés millimétriques, notamment dans les veinules à Hm-Cc  Contact sup fracturé 40-45deg AC environ Contact inf relativement net 30deg AC								
78.30 85.20 SIL+; HM; CB-; CH-; SR-; EPTr Silicification forte; Hématitisation; Carbonatitisation faible; Chlorititisation faible; Séricititisation faible; Épidotitisation tr Si forte pervasive et en veines/veinules de quartz blanc, Hm moyen en veinules rouges millimétriques à pluri-centimétriques, Cb faible à moyen en veinules millimétriques et en patchs pluri-centimétriques étirés dans le sens								

MAUDORE MINERALS Ltd

★

Description		Analyse							
		De	À	Numéro	Longueur	Au_Final (g/t)	Ag_Final (ppm)	Cu_Final (ppm)	Zn_Final (ppm)
80.60	82.00	<p>de la foliation de Cc blanche, Chl faible en clastes, Sr faible pervasive, Ép en traces en veinules millimétriques associées à l'Hm.</p> <p>Excepté :</p> <p>78.3-79.4 : I2; pFpAm 80.6-82 : I2; pFpAm</p> <p>I2; pFpAm</p> <p><b>Intrusion Intermédiaire; Porphyre de Feldspath et Amphibole 30°</b></p> <p>Intrusion intermédiaire à porphyres d'amphiboles et de feldspaths</p> <p>Couleur grise clair-verdâtre</p> <p>Matrice fine grise clair-verdâtre</p> <p>pFp blancs subautomorphes de 1-3mm (env. 10-15%)</p> <p>pAm invisibles</p> <p>Hématite moyenne en veinules rouges millimétriques à centimétriques</p> <p>Cb faible en veine 5-6cm et en veinules millimétriques de Cc blanche</p> <p>Traces de Py en grains disséminés millimétriques, notamment dans les veinules à Hm-Cc</p> <p>Contact sup net 25-30deg AC</p> <p>Contact inf fracturé env. 30deg AC</p>							
85.20	116.10	88.00	89.50	P153715	1.50	0.010	0.20	16.0	84.0
		89.50	91.00	P153716	1.50	0.020	0.10	44.0	57.0
		<p><b>SIL+; BO-; Chl-; CB-</b></p> <p><b>Silicification forte; Biotisation faible; Chloritisation faible; Carbonatation faible</b></p> <p>Si forte pervasive et en veines/veinules de quartz blanc, Bt faible en clastes, Chl faible en clastes, Cb faibles en veinules millimétriques et en patches pluri-centimétriques étirés dans le sens de la foliation de Cc blanche.</p>							

MAUDORE MINERALS Ltd

AC

Description		Analyse								
		De	À	Numéro	Longueur	Au_Final (g/t)	Ag_Final (ppm)	Cu_Final (ppm)	Zn_Final (ppm)	
91.00	98.00	<p>Excepté : 91.4-92.1 : I2; pFpAm</p> <p>Py00.5</p> <p><b>Pyrite 0.5%</b></p> <p>Py 0.5% en alignements de grains 1-3mm (70%), en grains disséminés millimétriques (25%) et en amas 3-4mm étirés dans le sens de la foliation (5%)</p> <p>Excepté : 91.4-92.1 : I2; pFpAm</p>	91.00	92.50	P153717	1.50	0.020	0.10	42.0	54.0
91.40	92.10	<p>I2; pFpAm</p> <p><b>Intrusion Intermédiaire; Porphyre de Feldspath et Amphibole 30°</b></p> <p>Intrusion intermédiaire à porphyres d'amphiboles et de feldspaths Couleur grise clair-verdâtre Matrice fine grise clair-verdâtre pFp blancs subaénomorphes de 1-3mm (env. 10-15%) pAm invisibles Hématite en traces en veinules rouges millimétriques Cb en traces en veinules millimétriques de Cc blanche</p> <p>Traces de Py en grains disséminés millimétriques, notamment dans les veinules à Hm-Cc</p> <p>Contact sup net 25-30deg AC Contact inf net 30deg AC</p>	92.50	94.00	P153718	1.50	0.040	0.20	62.0	51.0
			94.00	95.50	P153719	1.50	0.065	0.15	42.5	52.0
			95.50	96.00	P153720	0.50	0.150	0.10	32.0	47.0
			96.00	97.50	P153721	1.50	0.060	0.10	14.0	49.0
			97.50	98.40	P153722	0.90	0.050	0.20	17.0	58.0
98.00	101.40	<p>Py01; Po00.5; Cptr</p> <p><b>Pyrite 1%; Pyrrhotine 0.5%; Chalcopyrite tr</b></p> <p>Py 1% en grains disséminés 1-3mm (60%), en alignements de grains millimétriques (20%) et en amas 4-5mm étirés dans le sens de la foliation (20%).</p>	98.40	98.90	P153723	0.50	0.760	0.80	346.0	54.0
			98.90	99.40	P153725	0.50	0.240	0.40	93.5	53.0
			99.40	100.40	P153726	1.00	0.290	0.20	54.0	57.0
			100.40	101.70	P153727	1.30	0.090	0.20	40.0	68.0

MAUDORE MINERALS Ltd

AC

Description		Analyse								
		De	À	Numéro	Longueur	Au_Final (g/t)	Ag_Final (ppm)	Cu_Final (ppm)	Zn_Final (ppm)	
101.40	106.90	Po 0.5% en alignements de grains 1-2mm (50%) et en grains disséminés 1-3mm (50%). Cpy en traces en grains disséminés millimétriques.	101.70	102.20	P151438	0.50	0.045	0.10	35.0	68.0
		<b>Pyrite 3%</b>	102.20	102.70	P153728	0.50	0.190	0.50	193.0	158.0
		Py 3% en grains disséminés 1-4mm (30%), en alignements de grains 1-4mm (50%) et en amas 1-6mm étirés dans le sens de la foliation (20%).	102.70	103.70	P153729	1.00	0.040	0.10	14.0	59.0
			103.70	104.60	P153730	0.90	0.020	0.10	6.0	48.0
			104.60	105.10	P153733	0.50	0.040	0.10	8.0	58.0
			105.10	106.10	P153731	1.00	0.010	0.10	10.0	89.0
			106.10	107.10	P153735	1.00	0.010	0.10	7.0	51.0
			107.10	107.80	P153736	0.70	0.010	0.10	11.0	54.0
			107.80	108.50	P153737	0.70	0.020	0.20	109.0	55.0
		108.50	113.50	Py00.5; Potr	108.50	109.00	P153738	0.50	0.020	0.10
<b>Pyrite 0.5%; Pyrrhotine tr</b>	109.00			110.50	P153740	1.50	0.020	0.10	51.0	50.0
Py 0.5% en alignements de grains 1-3mm (80%) et en grains disséminés 1-2mm (20%). Po en traces en alignements de grains 1-2mm.	110.50			112.00	P153741	1.50	0.030	0.10	50.0	46.0
	112.00			113.50	P153742	1.50	0.010	0.20	23.0	69.0
113.50	118.30	Py01	113.50	114.30	P153743	0.80	0.030	0.20	23.0	102.0
		<b>Pyrite 1%</b>	114.30	114.80	P153744	0.50	0.140	0.20	46.0	91.0
		Py 1% en veinules millimétriques (30%) en grains disséminés millimétriques (40%) et en alignements de grains millimétriques (30%).	114.80	115.80	P153746	1.00	0.020	0.10	4.0	73.0
			115.80	116.80	P153747	1.00	0.010	0.10	12.0	67.0
116.10	145.40	SiL; CB; Chl-; HM-; Fk10; EPir	116.80	117.80	P153748	1.00	0.020	0.10	44.0	79.0
		<b>Silicification; Carbonatisation;</b>	117.80	118.80	P153749	1.00	0.030	0.20	17.0	76.0
		<b>Chloritisation faible; Hémalisation faible; Feldspath potassique 10; Épidotisation tr</b>	120.20	121.20	P153750	1.00	0.040	0.20	39.0	70.5
		Si moyenne à forte pervasive et en veinules de quartz blanc, Cb moyens en veines/veinules de Cc blanche et verte et en patchs centimétriques étirés dans le sens de la foliation, Chl faible pervasive et en clastes, Hm faible en								

AC

Description		Analyse								
		De	À	Numéro	Longueur	Au_Final (g/t)	Ag_Final (ppm)	Cu_Final (ppm)	Zn_Final (ppm)	
		veinules rouges orientées dans toutes les directions (souvent associées aux veinules de Cc blanche), mouchetage de FK localement faible (env.10%) en petits pFp blancs de 1mm, Ép en traces en veinules millimétriques et autour des veinules d'Hm-Cb.								
		Excepté :								
		131.2-137.1 : I2; pFpAm								
120.30	123.30	Py00.5; Sptr	121.20	121.70	P296001	0.50	0.080	0.30	50.0	73.0
		<b>Pyrite 0.5%; Sphalérite tr</b>	121.70	122.80	P296002	1.10	0.010	0.10	26.0	77.0
		Py 0.5% en alignements de grains millimétriques (80%) et en grains disséminés millimétriques (20%). Sp en traces en grains disséminés millimétriques.	122.80	123.30	P296003	0.50	0.020	0.20	27.0	76.0
			123.30	124.30	P296005	1.00	0.020	0.10	40.0	79.0
			124.30	125.30	P296007	1.00	0.020	0.10	53.0	111.0
125.30	131.20	Py00.5; Potr	125.30	126.30	P296008	1.00	0.080	0.40	145.0	145.0
		<b>Pyrite 0.5%; Pyrrhotine tr</b>	126.30	127.30	P296009	1.00	0.090	0.20	27.0	53.0
		Py 0.5% en alignements de grains millimétriques (60%), en amas 1-2mm étirés dans le sens de la foliation (30%) et en grains disséminés millimétriques (10%). Po en traces en alignements de grains et en petits amas de grains.	127.30	128.30	P296010	1.00	0.030	0.10	30.0	80.0
			128.30	128.80	P296011	0.50	0.050	0.40	438.0	75.0
			128.80	129.50	P296012	0.70	0.070	0.20	62.0	69.0
			129.50	130.00	P151448	0.50	0.033	0.10	28.0	83.0
			130.00	130.60	P296013	0.60	0.290	0.30	131.0	92.0
			130.60	131.10	P296014	0.50	0.530	0.60	149.0	87.0
			131.10	131.60	P296016	0.50	0.020	0.10	32.0	90.0
131.20	137.10	I2; pFpAm	138.60	139.60	P296017	1.00	0.010	0.10	45.0	51.0
		<b>Intrusion Intermédiaire; Porphyre de Feldspath et Amphibole 30*</b>								
		Intrusion intermédiaire à porphyres d'amphiboles et de feldspaths								
		Couleur grise clair-verdâtre								
		Matrice fine grise clair-verdâtre								
		pFp blancs subautomorphes de 1mm et moins en mouchetage (env. 10-15%)								
		pAm invisibles								
		Hématite moyenne en veinules rouges millimétriques à centimétriques								

MAUDORE MINERALS Ltd

AC

Description		Analyse								
		De	À	Numéro	Longueur	Au_Final (g/t)	Ag_Final (ppm)	Cu_Final (ppm)	Zn_Final (ppm)	
139.10	142.00	Py02 <b>Pyrite 2%</b> Py 2% en amas 1-5mm étirés dans le sens de la foliation (60%) et en alignements de grains millimétriques (30%) et en grains disséminés millimétriques (10%).	139.60 140.10 140.60 141.10	140.10 140.60 141.10 142.10	P296018 P296019 P296020 P296021	0.50 0.50 0.50 1.00	0.680 0.470 0.130 0.020	0.60 0.20 0.10 0.10	43.0 78.0 35.0 28.5	60.0 79.0 42.0 38.0
143.80	146.00	Py00.5 <b>Pyrite 0.5%</b> Py 0.5% en alignements de grains millimétriques (80%) et en amas 1-3mm étirés dans le sens de la foliation (20%).	143.80	144.80	P296022	1.00	0.560	1.10	139.0	45.0
144.00	146.80	FRC+; FAI; BRE <b>Fracturation forte; Faille; Bréchique</b> Fracturation forte avec des blocs anguleux de 0.1-3cm et des lambeaux de carottes de 2-20cm. Présence de plusieurs petites failles, dont notamment une faille à 15deg AC à 146m marquée par des stries et une roche broyée, ainsi qu'à 146.6 marquée par de la roche broyée. Texture légèrement bréchique par endroits.	144.80	146.00	P296023	1.20	0.090	0.30	49.0	39.0
145.40	154.00	SIL+; BO+; Chi; HM-; CB-; EP- <b>Silicification forte; Biotisation forte; Chloritisation; Hématitisation</b>	150.00	151.00	P296024	1.00	0.070	0.10	10.0	42.0

MAUDORE MINERALS Ltd

AC

Description		Analyse								
		De	À	Numéro	Longueur	Au_Final (g/t)	Ag_Final (ppm)	Cu_Final (ppm)	Zn_Final (ppm)	
150.10	159.30	faible; Carbonatation faible; Épidotisation faible Si forte pervasive et en veines/veinules de quartz blanc, Bt forte en clastes, Chl moyenne en clastes, Hm faible en veinules rouges millimétriques, Cb faibles en veinules de Cc verte et blanche millimétriques, Ép faible en veinules millimétriques et en placage dans les fractures, souvent associées à l'Hm	151.00	152.00	P296025	1.00	0.015	0.10	12.5	43.0
			152.00	153.10	P296026	1.10	0.020	0.10	18.0	37.0
			153.10	154.00	P296027	0.90	0.010	0.10	16.0	39.0
154.00	164.00	Pyrite 0.5%; Potr Pyrite 0.5%; Pyrrhotine tr Py 0.5% en alignements de grains millimétriques (70%), en amas étirés dans le sens de la foliation (25%) et en grains disséminés millimétriques (5%). Po en traces en amas 1-2mm (60%) et en grains disséminés millimétriques (40%). SIL; Chl; BO-; PA-; HM-; CB-; SRtr Silicification; Chloritisation; Biotisation faible; Paragonite faible; Hématitisation faible; Carbonatation faible; Séricitisation tr Si moyenne à forte pervasive, Chl moyenne en clastes, Bt faible en clastes, Pa faible pervasive dans des bandes millimétriques bleuâtres, Hm faible en veinules rouges millimétriques, Cb faible en veinules de Cc blanche millimétriques orientées dans toutes les directions, Sr en traces en bandes millimétriques.	154.00	155.00	P296028	1.00	0.005	0.10	13.0	36.0
			155.00	156.00	P296029	1.00	0.020	0.10	19.0	43.0
			156.00	157.00	P296030	1.00	0.010	0.10	22.0	42.0
			157.00	158.10	P296031	1.10	0.030	0.10	20.0	54.0
			158.10	158.80	P296032	0.70	0.060	0.40	82.0	105.0
			158.80	159.30	P296033	0.50	0.140	1.00	353.0	217.0
			159.30	160.00	P296035	0.70	0.130	0.30	45.0	133.0
			160.00	160.50	P151449	0.50	0.011	0.30	48.0	121.0
160.50	161.50	P296037	1.00	0.115	1.40	49.0	140.0			
164.00	241.90	SIL+; Chl; SR; BO-; HM-; CB-; EPtr Silicification forte; Chloritisation; Séricitisation; Biotisation faible; Hématitisation faible; Carbonatation faible; Épidotisation tr	169.00	170.00	P296038	1.00	0.005	0.20	29.0	377.0
			170.00	171.00	P296039	1.00	0.010	0.10	46.0	837.0
			171.00	172.00	P296040	1.00	0.005	0.10	8.0	86.0
			178.00	179.00	P296042	1.00	0.020	0.10	43.0	49.0



MAUDORE MINERALS Ltd

AC

Description			Analyse							
			De	À	Numéro	Longueur	Au_Final (g/t)	Ag_Final (ppm)	Cu_Final (ppm)	Zn_Final (ppm)
		Si forte pervasive et en veines/veinules de quartz blanc, Chl moyenne en clastes, Sr moyenne en mouchetage de grains millimétriques à pluri-millimétriques regroupés en petits amas et en bandes pluri-centimétriques étirées dans le sens de la foliation, Bt faible en clastes, Hm faible pervasive et en veinules rouges millimétriques, Cb faibles en bandes millimétriques de Cc verte étirées dans le sens de la foliation, en patchs pluri-millimétriques de Cc blanche et en veinules millimétriques de Cc blanche, Ép en traces en veinules millimétriques associées aux veinules de Cb et Hm.	179.00	180.00	P296043	1.00	0.005	0.10	8.0	52.0
			180.00	181.00	P296044	1.00	0.010	0.10	7.0	51.0
			188.50	190.00	P296045	1.50	0.020	0.10	59.0	55.0
			190.00	190.50	P151450	0.50	0.013	0.10	51.0	48.0
			190.50	192.00	P296046	1.50	0.010	0.10	10.0	48.0
			201.60	202.60	P296047	1.00	0.230	0.20	44.0	55.0
		Excepté : 230.4-230.9 : I3; FIN								
164.00	164.40	AMA;60%;Qz Cb Hm;;; <b>Amas 60% Quartz Carbonate Hématite</b> Amas de veines à 60% de Qz-Cb-Hm. Pas de minéralisations. Contact sup et inf irréguliers.								
202.50	204.30	FRC+ <b>Fracturation forte</b> Fracturation forte avec des blocs anguleux de 1-4cm et des lambeaux de carottes de 2-10cm.								
202.50	232.00	Pyir; Potr <b>Pyrite tr; Pyrrhotine tr</b> Py en traces en grains disséminés millimétriques (50%) et en alignements de grains millimétriques (50%). Po en traces en alignements de grains millimétriques (70%) et en grains disséminés millimétriques (30%).	202.60	203.10	P296048	0.50	0.160	0.50	154.0	48.0
			203.10	204.10	P296049	1.00	0.053	0.10	40.5	39.5
			206.00	207.10	P296050	1.10	0.075	0.10	7.5	47.5
			207.10	208.00	P296051	0.90	0.040	0.10	24.0	49.0
			208.00	209.00	P296052	1.00	0.040	0.10	53.0	51.0
			209.00	210.00	P296053	1.00	0.030	0.10	79.0	53.0
			210.00	211.00	P296054	1.00	0.020	0.10	47.0	43.0

MAUDORE MINERALS Ltd

AK

Description			Analyse							
			De	A	Numéro	Longueur	Au_Final (g/t)	Ag_Final (ppm)	Cu_Final (ppm)	Zn_Final (ppm)
218.90	219.20	Excepté : 230.4-230.9 : I3; FIN  BRE; FAI Bréchique; Faille Texture bréchique avec des veinules orientées dans toutes les directions à remplissage d'Hm-Cb. Présence d'une faille à 219.	211.00	212.00	P296056	1.00	0.030	0.10	16.0	52.0
			212.00	213.00	P296057	1.00	0.030	0.10	35.0	56.0
			213.00	214.50	P296058	1.50	0.060	0.20	130.0	59.0
			214.50	215.00	P296059	0.50	0.070	0.30	110.0	65.0
			215.00	216.00	P296061	1.00	0.080	0.30	285.0	55.0
			216.00	216.50	P296062	0.50	0.040	0.10	37.0	61.0
			216.50	217.50	P296063	1.00	0.040	0.10	14.0	56.0
			217.50	218.50	P296064	1.00	0.057	0.25	239.5	55.0
			218.50	219.50	P296065	1.00	0.190	0.50	307.0	62.0
			219.50	220.00	P151451	0.50	0.051	0.20	55.0	54.0
			220.00	221.50	P296066	1.50	0.050	0.10	46.0	55.0
			221.50	222.20	P296067	0.70	0.070	0.10	6.0	53.0
			222.20	222.70	P296068	0.50	0.040	0.10	10.0	52.0
			222.70	223.70	P296070	1.00	0.010	0.10	15.0	65.0
223.70	224.70	P296071	1.00	0.010	0.10	17.0	61.0			
224.70	225.70	P296072	1.00	0.005	0.10	23.0	55.0			
225.70	226.70	P296073	1.00	0.010	0.10	13.0	60.0			
226.70	227.70	P296074	1.00	0.010	0.10	28.0	60.0			
227.70	228.80	P296075	1.10	0.017	0.15	32.5	63.0			
228.80	229.80	P296076	1.00	0.020	0.10	28.0	54.0			
229.80	230.90	P296077	1.10	0.010	0.10	34.0	61.0			
230.40	230.90	I3; FIN Intrusion mafique; Grains fins Intrusion mafique à grains fins, de couleur grise-verdâtre Matrice fine microgrenue Nombreux pAm en baguettes noires infra-mm  Pas de minéralisations  Contact sup net fracturé Contact inf net discordant 60deg AC	230.90	232.00	P296078	1.10	0.020	0.10	22.0	59.0
232.00	241.00	Pyrr; Po00.5 Pyrite tr; Pyrrhotine 0.5% Py en traces en grains disséminés millimétriques (30%) et en alignements de	232.00	233.10	P296079	1.10	0.090	0.10	162.0	58.0
			233.10	233.60	P296080	0.50	0.050	0.10	38.0	62.0
			233.60	234.50	P296082	0.90	0.070	0.30	33.0	60.0

MAUDORE MINERALS Ltd

AC

Description			Analyse							
			De	À	Numéro	Longueur	Au_Final (g/t)	Ag_Final (ppm)	Cu_Final (ppm)	Zn_Final (ppm)
241.00	365.80	grains millimétriques (70%). Po 0.5% en alignements de grains millimétriques (40%), en grains disséminés millimétriques (50%) et en amas 3-4mm (10%).	234.50	235.40	P296083	0.90	0.040	0.10	23.0	65.0
			235.40	235.90	P296084	0.50	0.040	0.10	8.0	67.0
			235.90	236.90	P296086	1.00	0.030	0.10	12.0	54.0
			236.90	238.00	P296087	1.10	0.030	0.10	7.0	56.0
			238.00	239.00	P296088	1.00	0.040	0.10	11.0	52.0
			239.00	240.20	P296089	1.20	0.050	0.10	19.0	58.0
			240.20	240.70	P296090	0.50	0.040	0.10	10.0	63.0
			240.70	241.70	P296092	1.00	0.030	0.10	12.0	56.0
			241.70	242.80	P296093	1.10	0.060	0.10	10.0	53.0
241.80	241.90	Pyrr; Polr <b>Pyrite tr; Pyrrhotine tr</b> Py en traces en grains disséminés millimétriques (50%) et en alignements de grains millimétriques (50%). Po en traces en alignements de grains millimétriques (20%) et en grains disséminés millimétriques (80%).  Excepté : 247.7-267.1 : I2; pFpAm 307-311.1 : I2; pFpAm 324.4-327.1 : I3; FIN 328.3-329 : I1F 331.4-332 : I1F 336-339.7 : I1F; I1G								
241.90	267.10	FAI <b>Faïlle</b> Faïlle marquée par de la boue de forage.  SIL; Chl; PA-; BO-; CB- <b>Silicification; Chloritisation;</b> <b>Paragonite faible; Biotisation</b> <b>faible; Carbonatation faible</b> Si moyenne pervasive et en veines/veinules de quartz blanc. Chl moyenne en clastes, Pa faible à moyenne en bandes pluri-millimétriques et pervasive, Bi faible en clastes, Cb faibles en bandes centimétriques de Cc verte et pervasive.	242.80	244.00	P296094	1.20	0.030	0.10	18.0	50.0
			244.00	245.00	P296095	1.00	0.040	0.10	26.0	47.0
			245.00	246.00	P296096	1.00	0.070	0.10	99.0	56.0
			246.00	247.00	P296097	1.00	0.030	0.25	29.0	50.5
			247.00	248.00	P296098	1.00	0.060	0.10	25.0	56.0

MAUDORE MINERALS Ltd

AC

Description			Analyse							
			De	À	Numéro	Longueur	Au_Final (g/l)	Ag_Final (ppm)	Cu_Final (ppm)	Zn_Final (ppm)
247.70	267.10	Excepté : 247.7-267.1 : I2; pFpAm I2; pFpAm <b>Intrusion intermédiaire; Porphyre de                      Feldspath et Amphibole</b> Intrusion intermédiaire à porphyres d'amphiboles et de feldspaths Couleur grise clair (localement verdâtre) Matrice fine grise clair pFp blancs-roses subautomorphes de 1-3mm en mouchetage (env. 10-15%) visibles uniquement par endroits. pAm invisibles Si forte en veines de quartz blanc et pervasive Altération forte en liserés blancs millimétriques réguliers, marquant une orientation moyenne de 50deg AC et oblitérant le protolithe (pFp très peu visibles dans ces zones à liserés) ==> Paragonite ? Quelques passages de V2V3 Cb faible en fines veinules millimétriques de Cc verte  Traces de Py en grains disséminés millimétriques associés aux carbonates  Contact sup net fracturé 45deg AC Contact inf net 25-30deg AC	248.00	249.00	P296099	1.00	0.080	0.10	6.0	49.0
			249.00	250.00	P296100	1.00	0.155	0.10	5.0	53.5
			250.00	251.00	P296101	1.00	0.150	0.10	7.0	51.0
			251.00	252.50	P296102	1.50	0.110	0.20	16.0	78.0
			252.50	253.00	P151452	0.50	0.010	0.10	4.0	83.0
			253.00	254.50	P296103	1.50	0.050	0.10	7.0	47.0
254.60	255.00	VEI;100%;Qz Cb;;Pytr; <b>Veine 100% Quartz Carbonate</b> <b>Pyrite tr</b> Veine à Qz-Cb. Traces de Py en grains disséminés millimétriques principalement dans les carbonates. Contact sup net discordant 15deg AC, contact inf net discordant 20-25deg AC.	267.00	268.00	P296104	1.00	0.120	0.20	12.0	77.0
267.10	292.00	SIL+; BO+; ChI; CB; PA- <b>Silicification forte; Biotisation</b> <b>forte; Chloritisation;</b> <b>Carbonatation; Paragonite faible</b>	268.00	269.00	P296105	1.00	0.090	0.30	138.0	49.0
			269.00	270.00	P296106	1.00	0.120	0.20	91.0	41.0
			270.00	271.00	P296108	1.00	0.090	0.10	1.0	37.0

MAUDORE MINERALS Ltd

AC

Description	Analyse									
	De	À	Numéro	Longueur	Au_Final (g/l)	Ag_Final (ppm)	Cu_Final (ppm)	Zn_Final (ppm)		
Si forte pervasive et en veines/veinules de quartz blanc, Bt forte en clastes, Chl moyenne en clastes, Cb moyens en patchs centimétriques de Cc verte étirés dans le sens de la foliation, en bandes centimétriques et en veinules millimétriques de Cc blanche, Pa faible en bandes pervasives.	271.00	272.00	P296109	1.00	1.620	0.30	4.0	39.0		
	272.00	273.00	P296110	1.00	0.090	0.10	4.0	40.0		
	273.00	273.50	P296111	0.50	0.130	0.10	1.0	40.0		
	273.50	274.50	P296112	1.00	0.040	0.10	2.0	39.0		
	274.50	275.50	P296113	1.00	0.040	0.10	3.0	39.0		
	275.50	276.50	P296114	1.00	0.050	0.10	3.0	59.0		
	276.50	277.50	P296116	1.00	0.060	0.30	3.0	120.0		
	277.50	278.50	P296117	1.00	0.050	0.10	5.0	49.0		
	278.50	279.50	P296118	1.00	0.080	0.10	4.0	39.0		
	279.50	280.50	P296119	1.00	0.100	0.10	2.0	38.0		
	280.50	281.50	P296120	1.00	0.380	0.10	4.0	37.0		
	281.50	282.00	P151456	0.50	0.152	0.10	1.0	39.0		
	282.00	283.00	P296121	1.00	0.160	0.10	0.5	35.0		
	283.00	284.00	P296123	1.00	0.040	0.10	1.0	41.0		
	284.00	285.00	P296124	1.00	0.140	0.10	3.0	45.0		
	285.00	285.50	P296125	0.50	1.400	0.30	11.0	51.0		
	285.50	286.40	P296126	0.90	0.280	0.10	15.0	54.0		
	286.40	287.40	P296127	1.00	0.170	0.10	11.0	34.0		
287.40	288.50	P296128	1.10	0.040	0.10	4.0	33.0			
288.50	289.50	P296129	1.00	0.080	0.10	4.0	31.0			
289.50	290.50	P296130	1.00	0.440	0.10	4.0	38.0			
290.50	291.50	P296131	1.00	0.650	0.10	17.0	36.0			
291.50	292.00	P296132	0.50	0.140	0.10	121.0	35.0			
291.80	294.60	FRC+								
		<b>Fracturation forte</b>								
		Fracturation forte avec des blocs anguleux de 1-5cm et des lambeaux de carottes de 3-25cm.								
292.00	298.70	SIL+; HM; Chl; PA-; BO-; CB-	292.00	293.00	P296134	1.00	0.110	0.10	44.0	33.0
		<b>Silicification forte; Hématitisation;</b>	293.00	294.00	P296135	1.00	0.200	0.10	31.0	39.0
		<b>Chloritisation; Paragonite faible;</b>	294.00	295.00	P296137	1.00	0.030	0.10	20.0	31.0
		<b>Biotisation faible; Carbonatation faible</b>								
		Si forte pervasive, Hm moyenne en veinules rouges millimétriques et								

MAUDORE MINERALS Ltd

AC

Description			Analyse							
			De	À	Numéro	Longueur	Au_Final (g/t)	Ag_Final (ppm)	Cu_Final (ppm)	Zn_Final (ppm)
295.00	298.60	<p>pervasives, Chl moyenne en clastes, Pa faible localement en liserés de micas blancs, Bl faible en clastes, Cb faible en veinules millimétriques de Cc blanche.</p> <p><b>BRE</b></p> <p><b>Bréchique</b></p> <p>Texture bréchique avec de nombreuses veinules à remplissage d'Hm-Cb orientées dans toutes les directions.</p>	298.00	299.50	P296138	1.50	0.210	0.10	19.0	44.0
298.70	311.10	<p>SIL+; CB; Ch; BO-; PA-; HMr; SRtr</p> <p><b>Silicification forte;</b></p> <p><b>Carbonatation; Chloritisation;</b></p> <p><b>Blotisation faible; Paragonite faible; Hématite tr;</b></p> <p><b>Séricitisation tr</b></p> <p>Si moyenne à forte pervasive, Cb moyens pervasifs, en veinules millimétriques de Cc blanche et en patches étirés dans le sens de la foliation de Cc verte, Chl moyenne en clastes, Bl faible en clastes, Pa faible en liserés de micas blancs, Hm en traces en veinules rouges millimétriques, Sr en traces en bandes millimétriques.</p> <p>Excepté :</p> <p>307-311.1 : I2; pFpAm</p>	299.50	301.00	P296139	1.50	0.075	0.10	3.0	85.5
			301.00	302.50	P296140	1.50	0.200	0.10	6.0	56.0
			302.50	304.00	P296141	1.50	0.140	0.10	6.0	43.0
			304.00	305.50	P296142	1.50	0.110	0.10	6.0	48.0
305.50	307.00	P296143	1.50	0.060	0.10	6.0	48.0			
307.00	311.10	<p>I2; pFpAm</p> <p><b>Intrusion intermédiaire; Porphyre de Feldspath et Amphibole</b></p> <p>Intrusion intermédiaire à porphyres d'amphiboles et de feldspaths</p> <p>Couleur grise rose</p> <p>Matrice fine grise rose</p> <p>pFp roses subautomorphes de 1-2mm en mouchetage (env. 30%)</p> <p>pAm invisibles</p> <p>Si forte pervasive</p>								

MAUDORE MINERALS Ltd

AC

Description			Analyse							
			De	À	Numéro	Longueur	Au_Final (g/t)	Ag_Final (ppm)	Cu_Final (ppm)	Zn_Final (ppm)
311.10	313.80	<p>Hm moyenne pervasive et en veinules rouges Cb en traces en fines veinules millimétriques de Cc blanche associées à l'Hm</p> <p>Traces de Py en grains disséminés millimétriques associés aux carbonates</p> <p>Contact sup fracturé Contact inf net concordant 45deg AC</p> <p>CHI+; SIL+; BO; HM-; CB- Chloritisation intense; Silicification forte; Blotisation; Hématisation faible; Carbonatation faible</p> <p>Chi intense pervasive, Si forte pervasive, Bt moyenne en clastes, Hm faible à moyenne en veinules rouges millimétriques et pervasive, Cb faibles en veinules de Cc blanche.</p>	311.10	312.10	P296144	1.00	0.040	0.10	37.0	55.0
			312.10	313.00	P296145	0.90	0.130	0.10	57.0	47.0
			313.00	313.50	P151457	0.50	0.024	0.10	57.0	31.0
			313.50	314.50	P296146	1.00	0.050	0.10	35.0	45.0
313.80	320.80	<p>SIL+; CHI+; BO+; CB-; HMtr; SRtr Silicification forte; Chloritisation forte; Blotisation forte; Carbonatation faible; Hématisation tr; Séricitisation tr</p> <p>Si forte pervasive, Chi et Bt forts en clastes, Cb faibles en bandes et patchs centimétriques de Cc verte étirés dans le sens de la foliation et en veinules millimétriques de Cc blanche, Hm en traces en veinules rouges millimétriques. Sr en traces en bandes centimétriques.</p>	314.50	315.00	P296147	0.50	0.120	0.10	19.0	49.0
314.90	315.00	<p>FAI Faille 30° Faille marquée par de la boue de forage env. 30deg AC.</p>	315.00	316.00	P296149	1.00	0.095	0.10	6.0	54.0
			316.00	317.00	P296150	1.00	0.160	0.10	35.0	35.0
			317.00	318.50	P296151	1.50	0.360	0.10	14.0	42.0
			318.50	319.00	P296152	0.50	0.820	0.10	7.0	37.0
			319.00	320.00	P296154	1.00	0.250	0.10	20.0	44.0
			320.00	321.00	P296155	1.00	0.130	0.10	19.0	51.0

MAUDORE MINERALS Ltd

AC

Description			Analyse							
			De	À	Numéro	Longueur	Au_Final (g/t)	Ag_Final (ppm)	Cu_Final (ppm)	Zn_Final (ppm)
320.50	320.60	FAI Faille 15° Faille marquée par de la boue de forage et des stries de faille env. 15deg AC.								
320.80	335.40	SIL+; CB-; Chl-; SRtr Silicification forte; Carbonatisation faible; Chloritisation faible; Séricitisation tr Si forte pervasive, Cb faibles en patchs et bandes de Cc verte centimétriques étirés dans le sens de la foliation et en veinules millimétriques de Cc blanche, Chl faible en clastes, Sr en traces en bandes centimétriques.  Excepté : 324.4-327.1 : I3; FIN 328.3-329 : I1F 331.4-332 : I1F	321.00	322.00	P296156	1.00	0.070	0.10	16.0	49.0
			322.00	323.00	P296157	1.00	0.060	0.10	11.0	49.0
			323.00	324.00	P296158	1.00	0.140	0.10	41.0	48.0
			324.00	324.50	P296159	0.50	0.020	0.10	17.0	43.0
324.40	327.10	I3; FIN Intrusion mafique; Grains fins Intrusion mafique à grains fins, de couleur grise-verdâtre Matrice fine microgrenue Nombreux pAm en baguettes noires infra-mm Quelques pFp blancs-roses 1-3mm.  Traces de Py en grains disséminés infra-millimétriques  Contact sup net 60deg AC Contact inf net 90deg AC	327.00	328.30	P296161	1.30	0.060	0.10	40.0	53.0
328.30	329.00	I1F Aplite 60° Aplite Couleur rose Matrice aphanitique Quelques pFp et pAm assez peu nombreux	328.30	329.30	P296162	1.00	0.020	0.10	3.0	22.0
			329.30	330.30	P296163	1.00	0.200	0.10	19.0	51.0
			330.30	331.80	P296164	1.50	0.050	0.10	24.0	59.0



MAUDORE MINERALS Ltd

AC

Description		Analyse							
		De	À	Numéro	Longueur	Au_Final (g/t)	Ag_Final (ppm)	Cu_Final (ppm)	Zn_Final (ppm)
331.40	332.00	331.80	332.80	P296165	1.00	0.220	0.10	10.0	51.0
		332.80	334.00	P296166	1.20	0.083	0.10	20.5	53.5
		334.00	335.00	P296167	1.00	0.030	0.10	14.0	48.0
		335.00	336.10	P296168	1.10	0.030	0.10	12.0	57.0
335.40	396.90								

(5% chacuns)  
Petit passage pegmatitique minéralisé avec du Qz, Bt, Fdp  
  
Py 0.5% disséminée dans des baguettes de Bt  
  
Contact sup net 60deg AC  
Contact inf net 60deg AC  
  
11F  
**Aplite**  
Aplite  
Couleur blanche-rose  
Matrice aphanitique  
Quelques pFp et pAm assez peu nombreux  
(5% chacuns)  
Petit passage pegmatitique avec du Qz, Bt, Fdp  
  
Traces de Py en grains disséminés millimétriques  
  
Contact sup net 40deg AC  
Contact inf net 30deg AC  
  
SIL+; Chl+; BO+; CB-; PA-; Fk-; SRtr  
Silicification forte; Chloritisation forte; Blotisation forte; Carbonatation faible; Paragonite faible; Feldspath potassique -; Séricitisation tr  
Si forte pervasive et en veines/veinules de quartz blanc, Chl et Bt forts en clastes, Cb faibles à moyens en patchs et bandes de Cc verte centimétriques étirés dans le sens de la foliation et en veinules millimétriques de Cc blanche, Pa faible en liserés de micas blancs et pervasive, mouchelage de Fk localement faible (8-10%), Sr en traces en bandes centimétriques.  
  
Excepté :

MAUDORE MINERALS Ltd

AC

Description			Analyse							
			De	À	Numéro	Longueur	Au_Final (g/t)	Ag_Final (ppm)	Cu_Final (ppm)	Zn_Final (ppm)
336.00	339.70	336-339.7 : I1F; I1G								
		386.8-388.1 : I1F; I1G								
		395.3-396.9 : I1F; I1G								
		I1F; I1G	339.60	340.60	P296169	1.00	0.150	0.10	16.0	88.0
		<b>Aplite; Pegmatite 40*</b>	340.60	341.60	P296170	1.00	0.120	0.10	10.0	63.0
		Aplite et Pegmatite	341.60	343.00	P296172	1.40	0.170	0.10	12.0	57.0
		Couleur rose	343.00	343.50	P151458	0.50	0.057	0.10	14.0	72.0
		Matrice aphanitique en général	343.50	344.50	P296173	1.00	0.040	0.10	12.0	42.0
		Quelques pFp et pAm assez peu nombreux (5% chacuns)	344.50	345.50	P296174	1.00	0.020	0.10	9.0	53.0
		Plusieurs passages pegmatitiques minéralisés avec du Qz, Bt, Fdp, Ms	345.50	346.50	P296175	1.00	0.045	0.10	61.0	48.5
		Carbonates faibles en veinules de Cc blanche.	346.50	347.50	P296176	1.00	0.020	0.10	28.0	53.0
			347.50	348.50	P296177	1.00	0.020	0.10	24.0	54.0
		Traces de Py en grains disséminés millimétriques	348.50	349.50	P296179	1.00	0.060	0.10	17.0	72.0
			349.50	350.50	P296180	1.00	0.020	0.10	13.0	80.0
		Contact sup net discordant 35-40deg AC	350.50	351.50	P296181	1.00	0.030	0.20	26.0	138.0
		Contact inf net discordant 40deg AC	351.50	352.50	P296182	1.00	0.020	0.20	57.0	137.0
			352.50	353.50	P296183	1.00	0.020	0.10	73.0	63.0
			353.50	355.00	P296184	1.50	0.020	0.10	27.0	61.0
			355.00	356.00	P296185	1.00	0.030	0.30	13.0	55.0
			356.00	357.00	P296186	1.00	0.020	0.10	7.0	58.0
			357.00	358.00	P296187	1.00	0.030	0.10	3.0	64.0
			358.00	358.50	P296188	0.50	0.020	0.10	4.0	61.0
			358.50	360.00	P296190	1.50	0.020	0.10	29.0	116.0
			360.00	361.00	P296191	1.00	0.010	0.10	17.0	97.0
			361.00	362.00	P296192	1.00	0.010	0.20	44.0	136.0
			362.00	363.00	P296193	1.00	0.020	0.10	18.0	52.0
			363.00	364.00	P296194	1.00	0.020	0.10	4.0	54.0
			364.00	365.00	P296195	1.00	0.030	0.10	4.0	60.0
			365.00	366.00	P296196	1.00	0.040	0.10	18.0	50.0
365.80	373.00	Py01	366.00	367.00	P296197	1.00	0.020	0.10	95.0	56.0
		<b>Pyrite 1%</b>	367.00	367.50	P296198	0.50	0.020	0.10	38.0	55.0
		Py 0.5-1% en grains disséminés millimétriques (50%) et en alignements de grains millimétriques (50%).	367.50	369.00	P296200	1.50	0.010	0.10	28.5	57.5
			369.00	370.00	P296201	1.00	0.030	0.10	47.0	52.0
			370.00	370.50	P296202	0.50	0.040	0.10	17.0	83.0

MAUDORE MINERALS Ltd

A

Description			Analyse							
			De	À	Numéro	Longueur	Au_Final (g/l)	Ag_Final (ppm)	Cu_Final (ppm)	Zn_Final (ppm)
			370.50	371.00	P296204	0.50	0.020	0.10	11.0	79.0
			371.00	372.10	P296205	1.10	0.090	0.10	20.0	63.0
			372.10	372.60	P296206	0.50	0.100	0.10	21.0	82.0
			372.60	373.30	P296208	0.70	0.060	0.20	55.0	52.0
373.00	427.60	Py00.5 <b>Pyrite 0.5%</b> Py tr-0.5% en grains disséminés millimétriques (40%) et en alignements de grains millimétriques (40%) et en amas pluri-millimétriques étirés dans le sens de la foliation (20%).  Excepté : 386.8-388.1 : I1F; I1G 395.3-396.9 : I1F; I1G 406.3-409.5 : I1F; I1G 411-412.4 : I1F	373.30	374.80	P296209	1.50	0.010	0.10	13.0	62.0
			374.80	375.30	P151463	0.50	0.002	0.10	3.0	39.0
			375.30	376.50	P296210	1.20	0.008	0.10	6.0	36.0
			376.50	377.50	P296212	1.00	0.005	0.10	5.0	32.0
			377.50	378.50	P296213	1.00	0.005	0.10	6.0	30.0
			378.50	379.50	P296214	1.00	0.005	0.20	10.0	41.0
			379.50	380.50	P296215	1.00	0.010	0.10	17.0	54.0
			380.50	381.50	P296216	1.00	0.005	0.10	5.0	69.0
			381.50	382.50	P296217	1.00	0.020	0.10	11.0	63.0
			382.50	384.00	P296218	1.50	0.010	0.10	24.5	68.5
			384.00	385.50	P296219	1.50	0.005	0.10	66.0	51.0
			385.50	387.00	P296220	1.50	0.010	0.10	18.0	72.0
386.80	388.10	I1F; I1G <b>Aplite; Pegmatite</b> Aplite et Pegmatite Couleur blanche Matrice aphanitique en général Quelques pFp et pAm assez peu nombreux (5% chacuns) Plusieurs passages pegmatitiques avec du Qz. Bt, Fdp, Ms Carbonates faibles en veinules de Cc blanche.  Traces de Py en grains disséminés millimétriques  Contact sup net discordant 20deg AC Contact inf net ondulant env. 50deg AC	388.00	389.50	P296221	1.50	0.010	0.10	138.0	80.0
388.50	388.80	VEI:100%;Qz Cb F# Cl;;Pytr; <b>Veine 100% Quartz Carbonate</b> <b>Felspath (potassique) Chlorite</b> <b>Pyrite tr</b> Veine à Cb-Qz-Fp-Chl. Traces de Py en	389.50	391.00	P296222	1.50	0.070	0.50	568.0	50.0
			391.00	392.40	P296223	1.40	0.020	0.10	124.0	57.0
			392.40	392.90	P296224	0.50	0.090	3.30	113.0	3 210.0
			392.90	394.40	P296225	1.50	0.025	0.25	197.5	109.0

MAUDORE MINERALS Ltd

AC

Description			Analyse							
			De	À	Numéro	Longueur	Au_Final (g/l)	Ag_Final (ppm)	Cu_Final (ppm)	Zn_Final (ppm)
394.40	395.40	alignements de grains millimétriques au bord des contacts. Contact sup et inf irréguliers.  BRE <b>Bréchique</b> Texture bréchique avec des veinules orientées dans toutes les directions à remplissage de Cb-Hm.	394.40	395.90	P296226	1.50	0.030	0.10	117.0	107.0
395.30	396.90	I1F; I1G <b>Aplite; Pegmatite</b> Aplite et Pegmatite Couleur blanche-rose Matrice aphanitique en général Quelques pFp et pAm assez peu nombreux (5% chacuns) Plusieurs passages pegmatitiques avec du Qz, Bt, Fdp, Ms Carbonates faibles en veinules de Cc blanche.  Traces de Py en grains disséminés millimétriques  Contact sup net irrégulier très allongé Contact inf net 40deg AC	396.80	398.00	P296227	1.20	0.005	0.20	95.0	48.0
396.90	422.70	SIL+; BO+; Chl+; CB-; SRtr; HMr; SR <b>Silicification forte; Biotisation forte; Chloritisation forte; Carbonatation faible; Séricitisation tr; Hématitisation tr; Séricitisation</b> Si forte pervasive et en veines/veinules de quartz blanc, Bt et Chl forts en clastes, Cb faibles en veinules millimétriques de Cc blanche, Sr en traces en bandes millimétriques, Hm en traces en veinules rouges millimétriques.  Excepté : 406.3-409.5 : I1F; I1G 411-412.4 : I1F	398.00	399.50	P296228	1.50	0.005	0.10	19.0	61.0
			399.50	401.00	P296229	1.50	0.005	0.10	113.0	46.0

MAUDORE MINERALS Ltd

AC

Description			Analyse							
			De	À	Numéro	Longueur	Au_Final (g/t)	Ag_Final (ppm)	Cu_Final (ppm)	Zn_Final (ppm)
400.30	400.90	VEI;100%:Cb Qz F# Ep;::; Veine 100% Carbonate Quartz Felspath (potassique) Épidote Veine à Cb-Qz-Fp-Ép. Non-minéralisée. Contact sup net ondulant env. 10deg AC. Contact inf net légèrement ondulant 15deg AC.	401.00	402.50	P296230	1.50	0.005	0.20	145.0	79.0
			402.50	403.00	P151464	0.50	0.002	0.10	19.0	61.0
			403.00	403.90	P296231	0.90	0.005	0.10	51.0	65.0
			403.90	405.40	P296233	1.50	0.005	0.10	73.5	77.0
			405.40	406.40	P296234	1.00	0.010	0.10	90.0	85.0
406.30	409.50	I1F; I1G Aplite; Pegmatite Aplite et Pegmatite Couleur blanche-rose Matrice aphanitique en général Quelques pFp et pAm assez peu nombreux (5% chacuns) Plusieurs passages pegmatitiques avec du Qz, Bt, Fdp, Ms, Tm Épidote faible pervasive Carbonates faibles en veinules de Cc blanche.  Traces de Py en grains disséminés millimétriques  Contact sup net 40deg AC Contact inf net discordant 30deg AC	409.40	410.10	P296235	0.70	0.040	0.10	25.0	68.0
			410.10	411.10	P296236	1.00	0.020	0.10	13.0	68.0
411.00	412.40	I1F Aplite Aplite Couleur blanche-rose Matrice aphanitique Quelques pFp et pAm assez peu nombreux (5-10% chacuns) Petit passage granitique sur les 30 derniers cm avec du Qz, Bt, Fdp  Traces de Py en grains disséminés infra-millimétriques  Contact sup diffus Contact inf net ondulant env. 30deg AC	412.20	413.40	P296237	1.20	0.070	0.20	68.0	67.0
			413.40	414.40	P296238	1.00	5.740	0.50	116.0	47.0
			414.40	414.90	P296239	0.50	0.030	0.10	59.0	45.0
			414.90	415.90	P296241	1.00	0.010	0.10	29.0	49.0
			415.90	416.90	P296242	1.00	0.005	0.10	18.0	58.0
			416.90	418.00	P296243	1.10	0.005	0.10	13.0	77.0
			418.00	419.00	P296244	1.00	0.010	0.10	9.0	57.0
			419.00	420.00	P296245	1.00	0.005	0.10	15.0	89.0
			420.00	421.00	P296246	1.00	0.010	0.10	13.0	46.0
			421.00	422.00	P296247	1.00	0.010	0.20	13.0	80.0
			422.00	423.10	P296249	1.10	0.040	0.20	111.0	117.0
422.70	427.60	BO++; SIL+; CHl+; CB-; PA-; Fk-; SRtr	423.10	424.00	P296250	0.90	0.120	0.40	305.5	85.0

AC

Description			Analyse							
			De	À	Numéro	Longueur	Au_Final (g/t)	Ag_Final (ppm)	Cu_Final (ppm)	Zn_Final (ppm)
		Biotisation intense; Silicification forte; Chloritisation forte;	424.00	425.00	P296251	1.00	0.140	0.70	174.0	190.0
		Carbonatation faible; Paragonite faible; Feldspath potassique -;	425.00	426.00	P296252	1.00	0.230	0.50	382.0	81.0
		Séricitisation tr	426.00	427.00	P296254	1.00	0.150	0.30	232.0	67.0
		Bt forte à intense en clastes pluri-centimétriques, Si forte pervasive et en veines/veinules de quartz blanc, Chl forte en clastes et halo d'altération autour de veinules de Cc verte, Cb faibles en veinules millimétriques de Cc verte, Pa faible en bandes pervasives millimétriques, FK faible localement (4-5%) en mouchetage, Sr en traces en bandes millimétriques.	427.00	428.30	P296255	1.30	0.070	0.20	52.0	185.0
427.60	428.10	V1C <b>Rhyodacite</b> Volcanite felsique. Rhyodacite. Matrice à grains fins de couleur gris clair à gris moyen. Foliation moyenne à forte entre 35-40 deg AC, marquée par un rubanement ou l'orientation des lisérés de mica blancs. Rubanement de bandes grisâtre de différentes teintes, également bandes teintées rougeâtre (Hm). Globalement 1-2% de Vh/Vnl de Cb±Qtz mm, irrégulières.  Altérations : Si forte pervasive, Cb faible en veinules millimétriques de Cc blanche, Hm en traces en veinules rouges millimétriques.  Minéralisations : Py en traces en alignements de grains millimétriques  Contact sup fracturé, env. 30-35deg AC Contact inf net légèrement ondulant 40deg AC								
	428.10	SIL+; CB-; HMtr Silicification forte; Carbonatation faible;								

AC

Description		Analyse						
		De	À	Numéro	Longueur	Au_Final (g/t)	Ag_Final (ppm)	Cu_Final (ppm)
427.60	428.10	<p><b>Hématisation tr</b> Si forte pervasive, Cb faible en veinules millimétriques de Cc blanche, Hm en traces en veinules rouges millimétriques.</p> <p><b>Pytr</b> <b>Pyrite tr</b> Py en traces en alignements de grains millimétriques</p>						
428.10	430.30	<p>V2-V3; T1 <b>Volcanite intermédiaire à mafique; Tuf à lapillis 40°</b> Roche volcanique intermédiaire à mafique, à lapillis millimétriques Teinte généralement gris sombre-noire Matrice à grains fins de couleur gris foncé. Foliation faible à moyenne entre 30-35 deg AC marquée par un léger rubanement produit par l'alternance de bandes (clastes) mm à cm blanchâtres-verdâtres-brunâtres et par la présence locale de veinules de carbonates. Globalement 20-25% de clastes étirés dans le sens de la foliation millimétriques à pluri-centimétriques. 3-4% de Vn-Vnl de Cb-Qz-Hm blanches et rouges irrégulières.</p> <p>Altérations : Si moyenne pervasive, Chl forte en clastes, Bt forte en clastes, Cb faibles en veinules millimétriques de Cc blanche et en bandes millimétriques de Cc verte.</p> <p>Minéralisations : Py tr-0.5% en grains disséminés millimétriques (40%) et en alignements de grains millimétriques (40%) et en amas pluri-millimétriques étirés dans le sens de la foliation (20%).</p> <p>Excepté : 428.2-429.2 : I1F; I1G</p> <p>Contact sup net légèrement ondulant 40deg AC Contact inf net concordant légèrement ondulant</p>						

MAUDORE MINERALS Ltd

AC

Description		Analyse							
		De	À	Numéro	Longueur	Au_Final (g/t)	Ag_Final (ppm)	Cu_Final (ppm)	Zn_Final (ppm)
428.10	430.30	40deg AC							
		SIL; Chl+; BO+; CB- Silicification; Chloritisation forte; Biotisation forte; Carbonatation faible Si moyenne pervasive, Chl forte en clastes, Bt forte en clastes, Cb faibles en veinules millimétriques de Cc blanche et en bandes millimétriques de Cc verte.  Excepté : 428.2-429.2 : I1F; I1G							
428.10	430.30	Py00.5 Pyrite 0.5% Py tr-0.5% en grains disséminés millimétriques (40%) et en alignements de grains millimétriques (40%) et en amas pluri-millimétriques étirés dans le sens de la foliation (20%).  Excepté : 428.2-429.2 : I1F; I1G							
428.20	429.20	I1F; I1G	428.30	429.10	P296256	0.80	0.10	4.0	86.0
		<b>Aplite; Pegmatite</b>	429.10	430.10	P296257	1.00	0.30	61.0	109.0
		Aplite et Pegmatite Couleur blanche-rose Matrice aphanitique en général Quelques pFp et pAm assez peu nombreux (5% chacuns) Plusieurs passages pegmatitiques avec du Qz, Bt, Fdp, Ms, Tm Carbonates faibles en veinules de Cc blanche. Traces de Py en grains disséminés millimétriques  Contact sup net 40deg AC Contact inf fracturé	430.10	430.60	P296258	0.50	1.10	119.0	727.0
430.30	481.00	V1C; pQz Rhyodacite; Porphyre de Quartz Volcanite felsique. Rhyodacite.							



AC

Description	Analyse							
	De	À	Numéro	Longueur	Au_Final (g/l)	Ag_Final (ppm)	Cu_Final (ppm)	Zn_Final (ppm)
<p>Matrice à grains fins de couleur gris clair à gris moyen.</p> <p>Foliation moyenne à forte entre 35-40 deg AC, marquée par un rubanement ou l'orientation des lisérés de mica blancs. Rubanement de bandes grisâtre de différentes teintes, également bandes teintées rougeâtre (Hm).</p> <p>Globalement 1-2% de Vn/Vnl de Cb±Qtz mm, irrégulières.</p> <p>Quelques passages résiduels de V2V3; Tl de 10-20 cm minéralisés</p> <p>Présence de pQz bleus 1-3mm env. 3-4%</p> <p>Allérations :</p> <p>De 430.3-448.6 : Si forte pervasive, Cb faible en veinules millimétriques de Cc blanche, Sr en traces en bandes centimétriques, Hm en traces en veinules rouges millimétriques et en bandes centimétriques.</p> <p>De 448.6-481 : Si forte pervasive et en veines/veinules de quartz blanc, Pa moyenne en lisérés de micas blancs et pervasive, FpK faible à moyen en mouchetage de pFp blancs 1-3mm (env. 10-15%), Cb faibles à moyens en veines/veinules millimétriques à centimétriques de Cc blanche, Sr faible en bandes centimétriques principalement autour des veinules de Cb, Hm en traces en fines veinules rouges millimétriques.</p> <p>Minéralisations :</p> <p>De 430.3-481 : Py 0.5% en grains fins disséminés infra-millimétriques (70%), en alignements de grains millimétriques (15%) et en veinules millimétriques (15%)</p> <p>Excepté :</p> <p>432.9-437.4 : I2; pFpAm</p> <p>440.7-443.3 : I2; pFpAm</p> <p>461.3-461.8 : I2; pFpAm</p> <p>463.1-464.4 : I2; pFpAm</p> <p>467.2-468.6 : I2; pFpAm</p>								

MAUDORE MINERALS Ltd

AC

Description	Analyse							
	De	À	Numéro	Longueur	Au_Final (g/t)	Ag_Final (ppm)	Cu_Final (ppm)	Zn_Final (ppm)
<p>Structures :</p> <p>De 440.5-440.6 : Faille marquée par de la boue de forage et de la roche broyée.</p> <p>Veines :</p> <p>De 450-450.8 : Amas de veines à Qz (50%). Py 0.5% dans les parties de V1C. Contacts sup et inf nets irréguliers.</p> <p>De 464.8-465.2 : Veine à Qz-Cb. Traces de Py dans les veinules de Cb. Contacts sup et inf nets irréguliers.</p> <p>De 468.6-469 : Veine à Qz-Cb. Traces de Py dans les veinules de Cb. Contacts sup et inf nets irréguliers.</p> <p>De 473.3-473.7 : Veine à Cb-Qz. Non-minéralisée. Contacts sup et inf nets irréguliers.</p> <p>De 477.8-478.5 : Veine à Qz-Cb. Traces de Py dans les veinules et patches de Cb. Contact sup net irrégulier. Contact inf net 65deg AC.</p> <p>Contact sup net concordant légèrement ondulant 40deg AC</p> <p>Contact inf non recoupé.</p>								
<p>430.30 448.60</p> <p>SIL+; CB-; HMr; SRtr</p> <p>Silicification forte;</p> <p>Carbonatation faible;</p> <p>Hématite tr; Séricitisation tr</p> <p>Si forte pervasive, Cb faible en veinules millimétriques de Cc blanche, Sr en traces en bandes centimétriques, Hm en traces en veinules rouges millimétriques et en bandes centimétriques.</p> <p>Exceplé :</p> <p>432.9-437.4 : I2; pFpAm</p> <p>440.7-443.3 : I2; pFpAm</p>								
<p>430.30 481.00</p> <p>Py00.5</p> <p>Pyrite 0.5%</p> <p>Py 0.5% en grains fins disséminés infra-millimétriques (70%), en alignements de grains millimétriques</p>	430.60	431.60	P296260	1.00	0.040	0.20	8.0	166.0
	431.60	432.10	P151465	0.50	0.016	0.30	3.0	70.0
	432.10	433.00	P296261	0.90	0.010	0.20	6.0	33.0

MAUDORE MINERALS Ltd

Description		Analyse								
		De	À	Numéro	Longueur	Au_Final (g/t)	Ag_Final (ppm)	Cu_Final (ppm)	Zn_Final (ppm)	
	(15%) et en veinules millimétriques (15%)  Excepté : 432.9-437.4 : I2; pFpAm 440.7-443.3 : I2; pFpAm 461.3-461.8 : I2; pFpAm 463.1-464.4 : I2; pFpAm 467.2-468.6 : I2; pFpAm									
432.90	437.40	I2; pFpAm	437.10	438.10	P296262	1.00	0.010	0.20	54.0	32.0
		<b>Intrusion intermédiaire; Porphyre de Feldspath et Amphibole</b>	438.10	439.10	P296263	1.00	0.020	0.20	3.0	24.0
		Intrusion intermédiaire à porphyres d'amphiboles et de feldspaths	439.10	440.10	P296264	1.00	0.030	0.20	4.0	22.0
		Couleur grise claire Matrice fine grise claire pFp blancs subautomorphes de 1-4mm en mouchetage (env. 30-35%) pAm en petites baguettes noires infra-millimétriques (env-2-3%) Si forte pervasive et en veinules de Qz blanc Cb en traces en fines veinules millimétriques de Cc blanche  Traces de Py en grains disséminés millimétriques associés aux carbonates  Contact sup net légèrement ondulant 35deg AC Contact inf diffus	440.10	440.70	P296265	0.60	0.020	0.30	24.0	51.0
440.50	440.60	FAI <b>Faille</b> Faille marquée par de la boue de forage et de la roche broyée.								
440.70	443.30	I2; pFpAm	442.30	443.20	P296266	0.90	0.010	0.20	15.0	26.0
		<b>Intrusion intermédiaire; Porphyre de Feldspath et Amphibole</b>	443.20	443.70	P296267	0.50	0.020	0.30	14.0	31.0
		Intrusion intermédiaire à porphyres d'amphiboles et de feldspaths	443.70	444.50	P296269	0.80	0.025	0.40	10.0	24.0
		Couleur grise claire	444.50	445.50	P296270	1.00	0.020	0.10	7.0	27.0
		Matrice fine grise claire	445.50	446.60	P296271	1.10	0.025	0.10	15.0	29.5
		pFp blancs subautomorphes de 1-3mm en	446.60	447.10	P296272	0.50	0.010	0.10	29.0	45.0

MAUDORE MINERALS Ltd

*AK*

Description	Analyse							
	De	A	Numéro	Longueur	Au_Final (g/t)	Ag_Final (ppm)	Cu_Final (ppm)	Zn_Final (ppm)
mouchetage (env. 35-40%)	447.10	447.60	P296273	0.50	0.010	0.10	19.0	27.0
pAm en petites baguettes noires	447.60	448.10	P296274	0.50	0.060	0.10	44.0	73.0
infra-millimétriques (env-2-3%)	448.10	449.00	P296275	0.90	0.055	0.15	19.0	47.0
Si forte pervasive et en veinules de Qz blanc								
Cb en traces en fines veinules millimétriques de								
Cc blanche								
Hm en traces en fines veinules rouges								
Traces de Py en grains disséminés								
millimétriques associés aux carbonates								
Contact sup net 45deg AC								
Contact inf diffus								
448.60 481.00 SIL+; PA; Fk; CB-; SRtr; HMtr Silicification forte; Paragonite; Feldspath potassique; Carbonatation faible; Séricitisation tr; Hématitisation tr Si forte pervasive et en veines/veinules de quartz blanc, Pa moyenne en liserés de micas blancs et pervasive, FpK faible à moyen en mouchetage de pFp blancs 1-3mm (env. 10-15%), Cb faibles à moyens en veines/veinules millimétriques à centimétriques de Cc blanche, Sr faible en bandes centimétriques principalement autour des veinules de Cb, Hm en traces en fines veinules rouges millimétriques.  Excepté : 461.3-461.8 : I2; pFpAm 463.1-464.4 : I2; pFpAm 467.2-468.6 : I2; pFpAm	449.00	450.00	P296276	1.00	0.030	0.10	9.0	27.0
450.00 450.80 AMA;50%;Qz;;;Py00.5; Amas 50% Quartz Pyrite 0.5% Amas de veines à Qz (50%), Py 0.5% dans les parties de V1C. Contacts sup et inf nets irréguliers.	450.00	451.00	P296277	1.00	0.030	0.10	7.0	274.0
	451.00	451.50	P296278	0.50	0.030	0.50	13.0	2 050.0
	451.50	452.50	P296280	1.00	0.050	0.30	12.0	38.0
	452.50	453.50	P296281	1.00	0.030	0.30	8.0	90.0
	453.50	454.50	P296282	1.00	0.020	0.10	18.0	91.0

MAUDORE MINERALS Ltd

DL

Description			Analyse							
			De	À	Numéro	Longueur	Au_Final (g/l)	Ag_Final (ppm)	Cu_Final (ppm)	Zn_Final (ppm)
461.30	461.80	I2; pFpAm Intrusion Intermédiaire; Porphyre de Feldspath et Amphibole Intrusion intermédiaire à porphyres d'amphiboles et de feldspaths Couleur grise verdâtre Matrice fine grise verdâtre pFp blancs subautomorphes de 1-2mm en mouchetage (env. 25-30%) pAm invisibles Si forte pervasive et en veinules de Qz blanc Cb en traces en fines veinules millimétriques de Cc blanche  Pas de minéralisations  Contact sup net 50deg AC Contact inf net 55deg AC	454.50	455.50	P296284	1.00	0.020	0.10	19.0	29.0
			455.50	456.00	P296285	0.50	0.050	0.10	8.0	21.0
			456.00	457.00	P296286	1.00	0.030	0.30	7.0	576.0
			457.00	457.50	P151466	0.50	0.076	0.10	5.0	35.0
			457.50	458.50	P296287	1.00	0.030	0.20	9.0	42.0
			458.50	459.40	P296288	0.90	0.130	0.20	9.0	148.0
			459.40	460.40	P296289	1.00	0.085	0.15	119.0	27.0
			460.40	461.40	P296290	1.00	0.230	0.10	61.0	30.0
463.10	464.40	I2; pFpAm Intrusion Intermédiaire; Porphyre de Feldspath et Amphibole Intrusion intermédiaire à porphyres d'amphiboles et de feldspaths Couleur grise verdâtre Matrice fine grise verdâtre pFp blancs subautomorphes de 1-3mm en mouchetage (env. 30%) pAm en petites baguettes noires infra-millimétriques (env-2-3%) Si forte pervasive et en veinules de Qz blanc Cb en traces en fines veinules millimétriques de	464.20	465.10	P296291	0.90	0.030	0.20	7.0	54.0

MAUDORE MINERALS Ltd

AC

Description		Analyse								
		De	À	Numéro	Longueur	Au_Final (g/t)	Ag_Final (ppm)	Cu_Final (ppm)	Zn_Final (ppm)	
464.80	465.20	VEI;100%;Qz Cb;;;Pytr; <b>Veine 100% Quartz Carbonate</b> <b>Pyrite tr</b> Veine à Qz-Cb. Traces de Py dans les veinules de Cb. Contacts sup et inf nets irréguliers.	465.10	465.60	P296292	0.50	0.100	0.20	6.0	18.0
			465.60	466.60	P296294	1.00	0.090	0.10	19.0	19.0
			466.60	467.30	P296295	0.70	0.050	0.10	8.0	10.0
467.20	468.60	I2; pFpAm <b>Intrusion Intermédiaire; Porphyre de Feldspath et Amphibole</b> Intrusion intermédiaire à porphyres d'amphiboles et de feldspaths Couleur grise-rose Matrice fine grise claire pFp blancs-roses subautomorphes de 1-4mm en mouchetage (env. 30-35%) pAm en petites baguettes noires infra-millimétriques (env.4-5%) Si forte pervasive et en veinules de Qz blanc Cb en traces en fines veinules millimétriques de Cc blanche Hm en traces en fines veinules rouges  Traces de Py en grains disséminés millimétriques associés aux carbonates  Contact sup net 40-45deg AC Contact inf net irrégulier	468.50	469.00	P296296	0.50	0.020	0.20	12.0	13.0
468.60	469.00	VEI;100%;Qz Cb;;;Pytr; <b>Veine 100% Quartz Carbonate</b> <b>Pyrite tr</b> Veine à Qz-Cb. Traces de Py dans les veinules de Cb. Contacts sup et inf nets								

MAUDORE MINERALS Ltd

AC

Description			Analyse							
			De	À	Numéro	Longueur	Au_Final (g/t)	Ag_Final (ppm)	Cu_Final (ppm)	Zn_Final (ppm)
irréguliers.										
469.00	469.40	VEI:100%;Cb Qz;;; <b>Veine 100% Carbonate Quartz</b> Veine à Cb-Qz. Non-minéralisée. Contacts sup et inf nets irréguliers.	469.00	470.00	P296297	1.00	0.040	0.20	7.0	14.0
			470.00	471.00	P296298	1.00	0.090	0.20	4.0	68.0
			471.00	472.00	P296299	1.00	0.340	0.20	3.0	44.0
			472.00	473.00	P296300	1.00	0.150	0.10	2.5	62.0
			473.00	474.00	P296301	1.00	0.060	0.10	5.0	82.0
			474.00	475.00	P296302	1.00	0.050	0.10	2.0	72.0
			475.00	476.00	P296303	1.00	0.050	0.10	4.0	42.0
			476.00	477.00	P296304	1.00	0.030	0.10	34.0	33.0
			477.00	478.00	P296305	1.00	0.030	0.10	6.0	25.0
477.80	478.50	VEI:100%;Qz Cb;;;Pytr; <b>Veine 100% Quartz Carbonate</b> <b>Pyrite tr</b> Veine à Qz-Cb. Traces de Py dans les veinules et patches de Cb. Contact sup net irrégulier. Contact inf net 65deg AC.	478.00	479.00	P296307	1.00	0.040	0.10	5.0	14.0
			479.00	479.50	P296308	0.50	0.060	0.10	2.0	70.0
			479.50	481.00	P296310	1.50	0.100	0.10	2.0	29.0
481.00	Fin du sondage Nombre d'échantillons : 348 Nombre d'échantillons QAQC : 47 Longueur totale échantillonnée : 336.30									

MAUDORE MINERALS Ltd

AC

QAQC

De	À	Numéro	Référence	Longueur	Au (g/t)	Ag (ppm)	Cu (ppm)	Zn (ppm)
41.30	41.80	P153688	Blank	0.50	-0.01	-0.2	15	28
45.00	46.00	P153704	P153692	1.00	0.04	0.3	210	87
62.50	63.30	P153699	SQ48	0.80	28.50	0.8	61	88
63.30	63.80	P153703	Blank	0.50	0.01	0.3	14	21
94.00	95.50	P153732	P153719	1.50	0.07	0.2	47	53
98.40	98.90	P153724	SH55	0.50	1.28	0.9	110	81
103.70	104.60	P296006	P153730	0.90	0.02	-0.2	5	48
104.60	105.10	P153734	Blank	0.50	0.01	0.2	20	28
108.50	109.00	P153739	SK62	0.50	4.04	1.1	84	96
114.30	114.80	P153745	SK62	0.50	4.08	1.0	84	95
122.80	123.30	P296004	Blank	0.50	-0.01	-0.2	12	17
130.60	131.10	P296015	SQ48	0.50	30.10	1.1	74	98
141.10	142.10	P296036	P296021	1.00	0.02	-0.2	33	38
158.80	159.30	P296034	Blank	0.50	-0.01	-0.2	14	22
171.00	172.00	P296041	SH55	1.00	1.31	0.7	107	74
203.10	204.10	P296055	P296049	1.00	0.07	-0.2	53	39
214.50	215.00	P296060	Blank	0.50	-0.01	-0.2	10	21
217.50	218.50	P296085	P296064	1.00	0.05	0.2	205	56
222.20	222.70	P296069	SK62	0.50	3.94	0.9	89	100
233.10	233.60	P296081	Blank	0.50	-0.01	-0.2	11	21
240.20	240.70	P296091	SQ48	0.50	29.30	1.3	64	92
246.00	247.00	P296107	P296097	1.00	0.03	0.3	31	50
272.00	273.00	P296136	P296110	1.00	0.09	-0.2	4	42
275.50	276.50	P296115	Blank	1.00	-0.01	0.5	13	20
282.00	283.00	P296122	SQ48	1.00	30.20	1.2	65	92
291.50	292.00	P296133	Blank	0.50	-0.01	-0.2	12	22
299.50	301.00	P296160	P296139	1.50	0.07	-0.2	2	82
314.50	315.00	P296148	SH55	0.50	1.24	0.6	113	72
318.50	319.00	P296153	Blank	0.50	-0.01	-0.2	10	26
332.80	334.00	P296178	P296166	1.20	0.11	-0.2	21	51
340.60	341.60	P296171	SK62	1.00	3.91	1.0	86	90
353.50	355.00	P296211	P295184	1.50	0.01	-0.2	21	54
358.00	358.50	P296189	Blank	0.50	0.01	-0.2	12	23



MAUDORE MINERALS Ltd

AC

QAQC

De	À	Numéro	Référence	Longueur	Au (g/t)	Ag (ppm)	Cu (ppm)	Zn (ppm)
367.00	367.50	P296199	SQ48	0.50	28.90	1.1	64	95
370.00	370.50	P296203	Blank	0.50	-0.01	-0.2	11	21
372.10	372.60	P296207	SH55	0.50	1.34	0.8	109	76
382.50	384.00	P296232	P296218	1.50	0.01	-0.2	25	67
403.90	405.40	P296253	P296233	1.50	-0.01	-0.2	75	77
414.40	414.90	P296240	Blank	0.50	-0.01	-0.2	11	23
421.00	422.00	P296248	SK62	1.00	4.17	1.0	79	91
430.10	430.60	P296259	Blank	0.50	-0.01	-0.2	13	29
443.20	443.70	P296268	SQ48	0.50	29.20	1.0	64	90
445.50	446.60	P296283	P296271	1.10	0.02	-0.2	15	29
451.00	451.50	P296279	Blank	0.50	-0.01	-0.2	11	30
459.40	460.40	P296306	P296289	1.00	0.12	-0.2	128	26
465.10	465.60	P296293	SH55	0.50	1.32	0.8	113	76
479.00	479.50	P296309	Blank	0.50	-0.01	-0.2	12	20

Ac

Géochimie

De	À	Numéro	Longueur	Description	SiO2 (%)	Al2O3 (%)	Fe2O3 (%)	CaO (%)
42.50	43.00	P151436	0.50		41.48	6.50	20.15	14.47
71.30	71.80	P151437	0.50		62.63	15.89	5.78	3.74
101.70	102.20	P151438	0.50		65.63	15.57	5.34	4.15
129.50	130.00	P151448	0.50		64.32	15.86	5.13	3.41
160.00	160.50	P151449	0.50		59.82	15.46	6.79	5.67
190.00	190.50	P151450	0.50		64.30	14.88	5.60	6.85
219.50	220.00	P151451	0.50		62.20	15.61	5.88	5.75
252.50	253.00	P151452	0.50		67.78	16.27	2.87	2.32
281.50	282.00	P151456	0.50		64.31	15.06	5.95	4.23
313.00	313.50	P151457	0.50		52.95	15.40	9.28	8.52
343.00	343.50	P151458	0.50		65.46	15.05	5.38	3.19
374.80	375.30	P151463	0.50		61.34	15.10	6.76	4.99
402.50	403.00	P151464	0.50		60.44	15.60	6.57	4.80
431.60	432.10	P151465	0.50		71.00	14.68	2.39	1.52
457.00	457.50	P151466	0.50		67.55	15.40	3.30	2.49

MAUDORE MINERALS Ltd

AC

Géochimie

De	À	Numéro	Longueur	MgO (%)	Na2O (%)	K2O (%)	Cr2O3 (%)	TiO2 (%)	MnO (%)	P2O5 (%)
42.50	43.00	P151436	0.50	7.67	1.05	1.02	0.01	3.92	0.33	0.17
71.30	71.80	P151437	0.50	2.16	4.59	1.81	0.01	0.60	0.09	0.22
101.70	102.20	P151438	0.50	2.06	2.89	1.43	0.01	0.59	0.11	0.19
129.50	130.00	P151448	0.50	1.98	5.41	0.87	0.01	0.41	0.12	0.10
160.00	160.50	P151449	0.50	3.17	3.31	1.63	0.01	0.55	0.17	0.14
190.00	190.50	P151450	0.50	2.04	1.89	1.55	0.01	0.50	0.13	0.12
219.50	220.00	P151451	0.50	2.54	2.43	1.79	0.01	0.57	0.08	0.20
252.50	253.00	P151452	0.50	0.62	6.10	1.28	-0.01	0.26	0.04	0.13
281.50	282.00	P151456	0.50	2.11	3.57	1.71	0.01	0.54	0.04	0.19
313.00	313.50	P151457	0.50	6.38	3.53	0.82	0.02	0.92	0.15	0.31
343.00	343.50	P151458	0.50	2.86	3.31	1.70	0.02	0.52	0.06	0.12
374.80	375.30	P151463	0.50	4.07	4.03	1.02	0.02	0.53	0.10	0.11
402.50	403.00	P151464	0.50	4.32	4.69	0.75	0.02	0.53	0.11	0.11
431.60	432.10	P151465	0.50	0.74	4.21	2.60	-0.01	0.19	0.02	0.10
457.00	457.50	P151466	0.50	1.00	5.49	1.34	-0.01	0.33	0.03	0.12

MAUDORE MINERALS Ltd

A

Géochimie

De	À	Numéro	Longueur	SrO (%)	BaO (%)	LOI (%)	Total (%)	Nb (ppm)	Ba (ppm)	Rb (ppm)
42.50	43.00	P151436	0.50	0.09	0.06	2.55	99.46	45	460	26
71.30	71.80	P151437	0.50	0.02	0.06	2.21	99.80	6	490	46
101.70	102.20	P151438	0.50	0.04	0.05	1.48	99.53	5	370	46
129.50	130.00	P151448	0.50	0.04	0.04	1.97	99.66	2	250	27
160.00	160.50	P151449	0.50	0.03	0.06	3.19	100.00	3	520	66
190.00	190.50	P151450	0.50	0.04	0.06	1.99	99.97	6	420	47
219.50	220.00	P151451	0.50	0.05	0.05	2.18	99.35	5	360	56
252.50	253.00	P151452	0.50	0.04	0.04	1.88	99.63	5	250	39
281.50	282.00	P151456	0.50	0.03	0.05	1.85	99.65	5	340	50
313.00	313.50	P151457	0.50	0.09	0.05	1.53	99.96	6	350	39
343.00	343.50	P151458	0.50	0.03	0.03	2.14	99.87	6	180	55
374.80	375.30	P151463	0.50	0.03	0.02	1.26	99.38	5	160	32
402.50	403.00	P151464	0.50	0.04	0.03	1.90	99.91	5	160	29
431.60	432.10	P151465	0.50	0.02	0.08	2.27	99.82	4	610	83
457.00	457.50	P151466	0.50	0.03	0.08	2.78	99.94	5	580	33

MAUDORE MINERALS Ltd

AA

Géochimie

De	À	Numéro	Longueur	Zr (ppm)	Y (ppm)	Sr (ppm)	Au (ppm)	Ag (ppm)	Al (%)	As (ppm)
42.50	43.00	P151436	0.50	128	18	853	0.151	0.20	0.83	-2
71.30	71.80	P151437	0.50	144	13	222	0.005	-0.2	2.23	-2
101.70	102.20	P151438	0.50	145	13	364	0.045	-0.2	2.24	-2
129.50	130.00	P151448	0.50	106	9	374	0.033	-0.2	1.53	-2
160.00	160.50	P151449	0.50	114	13	360	0.011	0.30	2.26	-2
190.00	190.50	P151450	0.50	132	13	434	0.013	-0.2	2.79	-2
219.50	220.00	P151451	0.50	150	12	549	0.051	0.20	2.98	-2
252.50	253.00	P151452	0.50	223	10	391	0.010	-0.2	0.74	2
281.50	282.00	P151456	0.50	142	12	316	0.152	-0.2	2.09	-2
313.00	313.50	P151457	0.50	152	20	889	0.024	-0.2	1.26	-2
343.00	343.50	P151458	0.50	140	11	340	0.057	-0.2	2.41	-2
374.80	375.30	P151463	0.50	126	12	236	-0.005	-0.2	1.59	-2
402.50	403.00	P151464	0.50	127	12	480	-0.005	-0.2	1.77	3
431.60	432.10	P151465	0.50	161	12	241	0.016	0.30	0.58	6
457.00	457.50	P151466	0.50	156	12	326	0.076	-0.2	0.70	3

AC

Géochimie

De	A	Numéro	Longueur	B (ppm)	Ba Econo (ppm)	Be (ppm)	Bl (ppm)	Ca (%)	Cd (ppm)	Co (ppm)
42.50	43.00	P151436	0.50	-10		0.9	-2	3.48	-0.5	23
71.30	71.80	P151437	0.50	-10		-0.5	-2	1.58	-0.5	15
101.70	102.20	P151438	0.50	-10		-0.5	-2	1.10	-0.5	12
129.50	130.00	P151448	0.50	-10		-0.5	-2	1.15	-0.5	17
160.00	160.50	P151449	0.50	-10		-0.5	-2	2.09	-0.5	16
190.00	190.50	P151450	0.50	-10		-0.5	-2	2.27	-0.5	12
219.50	220.00	P151451	0.50	-10		-0.5	2	2.07	-0.5	4
252.50	253.00	P151452	0.50	-10		-0.5	-2	1.07	-0.5	2
281.50	282.00	P151456	0.50	-10		-0.5	-2	1.34	-0.5	14
313.00	313.50	P151457	0.50	-10		-0.5	-2	1.47	-0.5	22
343.00	343.50	P151458	0.50	-10		-0.5	-2	0.84	-0.5	12
374.80	375.30	P151463	0.50	-10		-0.5	-2	0.77	-0.5	12
402.50	403.00	P151464	0.50	-10		-0.5	-2	1.25	-0.5	15
431.60	432.10	P151465	0.50	-10		1.0	-2	0.82	0.6	3
457.00	457.50	P151466	0.50	-10		-0.5	-2	1.25	-0.5	5

AC

Géochimie

De	À	Numéro	Longueur	Cr (ppm)	Cu (ppm)	Fe (%)	Ga (ppm)	Hg (ppm)	K (%)	La (ppm)
42.50	43.00	P151436	0.50	2	612	6.94	10	-1	0.07	30
71.30	71.80	P151437	0.50	31	35	3.77	10	-1	1.00	20
101.70	102.20	P151438	0.50	42	35	2.99	10	-1	0.69	20
129.50	130.00	P151448	0.50	35	28	3.09	10	-1	0.11	10
160.00	160.50	P151449	0.50	44	48	3.63	10	-1	0.23	10
190.00	190.50	P151450	0.50	55	51	2.74	10	-1	0.70	10
219.50	220.00	P151451	0.50	38	55	3.33	10	-1	0.66	20
252.50	253.00	P151452	0.50	4	4	1.66	-10	-1	0.14	30
281.50	282.00	P151456	0.50	38	1	3.71	10	-1	0.86	20
313.00	313.50	P151457	0.50	49	57	2.27	-10	-1	0.09	40
343.00	343.50	P151458	0.50	100	14	3.51	10	-1	0.83	10
374.80	375.30	P151463	0.50	84	3	2.69	10	-1	0.61	10
402.50	403.00	P151464	0.50	87	19	2.44	10	-1	0.14	10
431.60	432.10	P151465	0.50	3	3	1.51	-10	-1	0.12	10
457.00	457.50	P151466	0.50	7	5	2.08	-10	-1	0.10	20

*A*

Géochimie

De	À	Numéro	Longueur	Mg (%)	Mn (ppm)	Mo (ppm)	Na (%)	Ni (ppm)	P (ppm)	Pb (ppm)
42.50	43.00	P151436	0.50	0.75	464	-1	0.07	43	750	-2
71.30	71.80	P151437	0.50	1.27	483	-1	0.07	24	850	3
101.70	102.20	P151438	0.50	1.04	397	-1	0.14	34	820	-2
129.50	130.00	P151448	0.50	1.07	610	-1	0.09	23	430	-2
160.00	160.50	P151449	0.50	1.58	854	-1	0.14	34	650	-2
190.00	190.50	P151450	0.50	0.95	512	-1	0.23	35	550	2
219.50	220.00	P151451	0.50	1.32	389	-1	0.19	27	900	-2
252.50	253.00	P151452	0.50	0.30	225	-1	0.08	1	560	2
281.50	282.00	P151456	0.50	1.20	223	-1	0.12	27	840	-2
313.00	313.50	P151457	0.50	1.15	266	3	0.13	75	1 400	-2
343.00	343.50	P151458	0.50	1.68	276	-1	0.11	48	480	8
374.80	375.30	P151463	0.50	1.32	202	1	0.10	53	510	-2
402.50	403.00	P151464	0.50	1.28	225	-1	0.10	68	500	-2
431.60	432.10	P151465	0.50	0.29	117	5	0.06	2	430	12
457.00	457.50	P151466	0.50	0.46	164	6	0.06	5	560	5



AC

Géochimie

De	À	Numéro	Longueur	S (%)	Sb (ppm)	Sc (ppm)	Th (ppm)	Sr Econo (ppm)	Ti (%)	Ti (ppm)
42.50	43.00	P151436	0.50	0.25	-2	5	-20		0.82	-10
71.30	71.80	P151437	0.50	0.16	-2	7	-20		0.21	-10
101.70	102.20	P151438	0.50	0.20	-2	7	-20		0.15	-10
129.50	130.00	P151448	0.50	0.36	-2	6	-20		0.14	-10
160.00	160.50	P151449	0.50	0.09	-2	7	-20		0.21	-10
190.00	190.50	P151450	0.50	0.16	-2	5	-20		0.15	-10
219.50	220.00	P151451	0.50	0.16	-2	6	-20		0.19	-10
252.50	253.00	P151452	0.50	0.07	2	-1	-20		0.03	-10
281.50	282.00	P151456	0.50	0.82	-2	6	-20		0.19	-10
313.00	313.50	P151457	0.50	0.46	-2	5	-20		0.16	-10
343.00	343.50	P151458	0.50	0.92	2	8	-20		0.16	-10
374.80	375.30	P151463	0.50	0.42	-2	5	-20		0.15	-10
402.50	403.00	P151464	0.50	0.35	-2	3	-20		0.15	-10
431.60	432.10	P151465	0.50	1.07	-2	1	-20		0.02	-10
457.00	457.50	P151466	0.50	1.29	-2	1	-20		0.02	-10

AC

Géochimie

De	À	Numéro	Longueur	U (ppm)	V (ppm)	W (ppm)	Zn (ppm)
42.50	43.00	P151436	0.50	-10	245	-10	36
71.30	71.80	P151437	0.50	-10	83	-10	74
101.70	102.20	P151438	0.50	-10	73	-10	68
129.50	130.00	P151448	0.50	-10	56	-10	83
160.00	160.50	P151449	0.50	-10	85	-10	121
190.00	190.50	P151450	0.50	-10	59	-10	48
219.50	220.00	P151451	0.50	-10	76	-10	54
252.50	253.00	P151452	0.50	-10	5	-10	83
281.50	282.00	P151456	0.50	-10	75	-10	39
313.00	313.50	P151457	0.50	-10	50	-10	31
343.00	343.50	P151458	0.50	-10	65	-10	72
374.80	375.30	P151463	0.50	-10	66	-10	39
402.50	403.00	P151464	0.50	-10	54	-10	61
431.60	432.10	P151465	0.50	-10	2	-10	70
457.00	457.50	P151466	0.50	-10	6	-10	35

MAUDORE MINERALS Ltd

Sondage : COM-12-903  
 Titre minier :  
 Canton : Comtois  
 Rang :  
 Lot :  
 Foré par : Forages M. Rouillier Inc  
 Décrit par : Camille Vallet  
 Du : 2012-06-22  
 Au : 2012-07-04  
 Section : 1475E; 1420N  
 Niveau : Surface  
 Place de travail : Lebel-Sur-Quévillon  
 Date de description : 2012-07-12

Collet

	UTM	Locales	GREER
Azimut : 195.00°	Est 340 635.04	1 473.26	3 273.60
Plongée : -45.00°	Nord 5 444 665.61	1 423.72	2 949.89
Longueur : 502.00 m	Élévation 288.80	288.80	288.80

Déviations

Type	Profondeur	Azimut	Plongée	Invalide	Description
Reflex	0.00	195.00°	-45.00°	Non	
Reflex	37.00	334.20°	-46.90°	Oui	27267
Reflex	40.00	342.90°	-46.70°	Oui	23385
Reflex	43.00	19.10°	-46.90°	Oui	30466
Reflex	46.00	157.20°	-47.20°	Oui	27113
Reflex	49.00	326.60°	-47.70°	Oui	95441
Reflex	52.00	1.20°	-48.10°	Oui	25110
Reflex	55.00	3.80°	-47.90°	Oui	27896
Reflex	58.00	320.50°	-48.00°	Oui	37022
Reflex	61.00	13.20°	-47.90°	Oui	39981
Reflex	64.00	330.20°	-48.10°	Oui	28349
Reflex	67.00	339.20°	-41.60°	Oui	20264

Description



Dimension de la carotte : Carotte NQ      Cimenté : Non      Entreprisé : Non

MAUDORE MINERALS Ltd

AK

Déviations

Type	Profondeur	Azimet	Plongée	Invalide	Description
Reflex	70.00	347.40°	-48.20°	Oui	21344
Reflex	73.00	37.10°	-48.20°	Oui	31992
Reflex	76.00	193.00°	-48.20°	Non	55549
Reflex	79.00	192.50°	-48.20°	Non	55040
Reflex	82.00	191.40°	-48.10°	Non	54941
Reflex	85.00	191.30°	-47.90°	Non	54999
Reflex	88.00	192.20°	-47.80°	Non	54915
Reflex	91.00	192.40°	-47.20°	Non	55355
Reflex	94.00	191.20°	-47.70°	Non	54783
Reflex	97.00	191.20°	-47.60°	Non	54855
Reflex	100.00	190.50°	-47.50°	Non	55127
Reflex	103.00	191.10°	-47.40°	Non	54871
Reflex	106.00	191.50°	-47.30°	Non	54801
Reflex	109.00	190.70°	-47.90°	Oui	54696
Reflex	112.00	191.80°	-47.00°	Oui	54626
Reflex	115.00	191.30°	-47.20°	Non	54751
Reflex	118.00	191.40°	-47.20°	Non	54680
Reflex	121.00	190.00°	-47.70°	Oui	54724
Reflex	124.00	191.00°	-47.00°	Non	54761
Reflex	127.00	190.90°	-47.00°	Non	54749
Reflex	130.00	190.70°	-47.00°	Non	54730
Reflex	133.00	191.20°	-46.80°	Non	54683
Reflex	136.00	191.30°	-46.60°	Non	54619
Reflex	139.00	191.10°	-46.50°	Non	54649
Reflex	142.00	191.00°	-46.30°	Non	54637
Reflex	145.00	191.20°	-46.20°	Non	54563
Reflex	148.00	191.30°	-46.10°	Non	54583
Reflex	151.00	191.70°	-46.10°	Non	54600
Reflex	154.00	190.80°	-46.20°	Oui	54589
Reflex	157.00	191.40°	-46.00°	Non	54681
Reflex	160.00	191.90°	-45.80°	Non	54668
Reflex	163.00	192.00°	-45.80°	Non	54832
Reflex	166.00	190.50°	-45.60°	Oui	57435
Reflex	169.00	192.70°	-45.70°	Non	54853

MAUDORE MINERALS Ltd

Déviation

Type	Profondeur	Azimet	Plongée	Invalide	Description
Reflex	172.00	192.40°	-45.50°	Non	54807
Reflex	175.00	191.90°	-45.60°	Non	54752
Reflex	178.00	191.50°	-45.50°	Non	54709
Reflex	181.00	191.40°	-45.60°	Non	54670
Reflex	184.00	191.30°	-45.50°	Non	54639
Reflex	187.00	191.20°	-45.40°	Non	54612
Reflex	190.00	191.40°	-45.40°	Non	54594
Reflex	193.00	191.40°	-45.30°	Non	54582
Reflex	196.00	191.40°	-45.30°	Non	54580
Reflex	199.00	191.50°	-45.20°	Non	54593
Reflex	202.00	192.00°	-45.20°	Non	54789
Reflex	205.00	191.30°	-45.20°	Non	54683
Reflex	208.00	190.90°	-45.10°	Non	55247
Reflex	211.00	191.50°	-45.10°	Non	54780
Reflex	214.00	191.70°	-45.00°	Non	54746
Reflex	217.00	190.70°	-45.00°	Oui	55498
Reflex	220.00	191.80°	-44.90°	Non	55174
Reflex	223.00	191.70°	-44.90°	Non	55031
Reflex	226.00	192.10°	-44.80°	Non	55004
Reflex	229.00	192.20°	-44.80°	Non	54905
Reflex	232.00	192.40°	-44.70°	Non	54979
Reflex	235.00	191.20°	-44.70°	Oui	55377
Reflex	238.00	192.10°	-44.60°	Non	55190
Reflex	241.00	191.40°	-44.60°	Oui	54798
Reflex	244.00	192.10°	-44.50°	Non	54750
Reflex	247.00	192.00°	-44.50°	Non	54682
Reflex	250.00	192.10°	-44.50°	Non	55206
Reflex	253.00	191.60°	-44.40°	Non	54908
Reflex	256.00	191.90°	-44.30°	Non	54834
Reflex	259.00	191.60°	-44.30°	Non	55202
Reflex	262.00	192.60°	-44.20°	Non	55234
Reflex	265.00	192.40°	-44.20°	Non	54685
Reflex	268.00	191.90°	-44.10°	Non	55067
Reflex	271.00	192.40°	-44.10°	Non	54632

MAUDORE MINERALS Ltd

AK

Déviation

Type	Profondeur	Azimut	Plongée	Invalide	Description
Reflex	274.00	192.50°	-44.10°	Non	54818
Reflex	277.00	192.60°	-44.00°	Non	54772
Reflex	280.00	192.40°	-44.00°	Non	54723
Reflex	283.00	192.90°	-43.90°	Non	55041
Reflex	286.00	192.80°	-43.90°	Non	54852
Reflex	289.00	192.80°	-43.90°	Non	54799
Reflex	292.00	192.60°	-43.80°	Non	54816
Reflex	295.00	192.90°	-43.80°	Non	54709
Reflex	298.00	192.60°	-43.70°	Non	54973
Reflex	301.00	192.90°	-43.70°	Non	54929
Reflex	304.00	192.50°	-43.70°	Non	54890
Reflex	307.00	191.20°	-43.60°	Oui	55303
Reflex	310.00	193.10°	-43.60°	Non	54815
Reflex	313.00	192.70°	-43.60°	Non	54826
Reflex	316.00	193.00°	-43.50°	Non	54755
Reflex	319.00	193.30°	-43.50°	Non	54737
Reflex	322.00	192.90°	-43.40°	Non	54753
Reflex	325.00	192.90°	-43.40°	Non	54700
Reflex	328.00	192.80°	-43.20°	Non	54652
Reflex	331.00	192.50°	-43.00°	Non	54828
Reflex	334.00	193.10°	-42.80°	Non	54884
Reflex	337.00	192.60°	-42.70°	Non	54712
Reflex	340.00	192.50°	-42.70°	Non	54836
Reflex	343.00	192.70°	-42.70°	Non	54712
Reflex	346.00	192.50°	-42.60°	Non	54753
Reflex	349.00	193.20°	-42.50°	Non	54709
Reflex	352.00	192.70°	-42.50°	Non	54756
Reflex	355.00	192.70°	-42.50°	Non	54692
Reflex	358.00	192.90°	-42.50°	Non	54689
Reflex	361.00	192.30°	-42.80°	Non	54697
Reflex	364.00	193.20°	-42.30°	Non	54782
Reflex	367.00	193.00°	-42.40°	Non	54829
Reflex	370.00	193.20°	-42.30°	Non	54731
Reflex	373.00	192.90°	-42.30°	Non	54724

MAUDORE MINERALS Ltd

*sc*

Déviaton

Type	Profondeur	Azimat	Plongée	Invalide	Description
Reflex	376.00	193.10°	-42.30°	Non	54717
Reflex	379.00	193.20°	-42.20°	Non	54718
Reflex	382.00	193.10°	-42.30°	Non	54713
Reflex	385.00	192.80°	-42.30°	Non	54751
Reflex	388.00	192.90°	-42.20°	Non	54690
Reflex	391.00	192.60°	-42.20°	Non	54715
Reflex	394.00	192.60°	-42.10°	Non	54727
Reflex	397.00	192.80°	-42.10°	Non	54736
Reflex	400.00	193.00°	-42.10°	Non	54736
Reflex	403.00	193.00°	-42.00°	Non	54736
Reflex	406.00	193.00°	-42.00°	Non	54734
Reflex	409.00	193.10°	-41.90°	Non	54724
Reflex	412.00	193.00°	-41.90°	Non	54739
Reflex	415.00	193.00°	-41.90°	Non	54761
Reflex	418.00	193.10°	-41.70°	Non	54803
Reflex	421.00	193.00°	-41.80°	Non	54730
Reflex	424.00	193.00°	-41.70°	Non	54733
Reflex	427.00	193.00°	-41.70°	Non	54757
Reflex	430.00	192.90°	-41.60°	Non	54770
Reflex	433.00	193.10°	-41.50°	Non	54739
Reflex	436.00	193.10°	-41.50°	Non	54759
Reflex	439.00	193.00°	-41.50°	Non	54744
Reflex	442.00	193.00°	-41.50°	Non	54744
Reflex	445.00	193.00°	-41.40°	Non	54767
Reflex	448.00	192.90°	-41.40°	Non	54856
Reflex	451.00	193.20°	-41.40°	Non	54687
Reflex	454.00	193.10°	-41.30°	Non	54736
Reflex	457.00	193.20°	-41.30°	Non	54739
Reflex	460.00	193.20°	-41.30°	Non	54751
Reflex	463.00	193.50°	-41.30°	Non	54983
Reflex	466.00	193.30°	-41.20°	Non	54745
Reflex	469.00	193.10°	-41.20°	Non	54698
Reflex	472.00	192.90°	-41.20°	Non	54777
Reflex	475.00	193.20°	-41.10°	Non	54718

AK

Déviation

Type	Profondeur	Azimut	Plongée	Invalide	Description
Reflex	478.00	193.40°	-41.10°	Non	54732
Reflex	481.00	193.30°	-41.10°	Non	54722
Reflex	484.00	193.20°	-41.00°	Non	54746
Reflex	487.00	193.00°	-41.00°	Non	54749
Reflex	490.00	193.20°	-41.00°	Non	54706
Reflex	493.00	193.00°	-41.00°	Non	54787
Reflex	496.00	193.00°	-41.00°	Non	54780
Reflex	499.00	193.00°	-41.00°	Non	54766
Reflex	502.00	193.30°	-41.00°	Non	54755



MAUDORE MINERALS Ltd

AC

Description			Analyse							
			De	À	Numéro	Longueur	Au_Final (g/l)	Ag_Final (ppm)	Cu_Final (ppm)	Zn_Final (ppm)
0.00	47.00	MT Mort Terrain Mort Terrain								
47.00	312.40	V2-V3; TI Volcanite intermédiaire à mafique; Tuf à lapillis Volcanite intermédiaire à mafique; Tuf à lapillis Teinte générale gris sombre-noire Matrice à grains fins de couleur gris foncé. Foliation bien visible entre 45-50 deg AC marquée par un léger rubanement produit par l'alternance de bandes (clastes) mm à cm blanchâtres-verdâtres-brunâtres et par la présence locale de veinules de carbonates et d'hématite. Globalement 30-40% de clastes étirés dans le sens de la foliation millimétriques à pluri-centimétriques. 1-2% de Vn-Vnl de Cb-Qz-Hm blanches et rouges irrégulières. Magnétisme nul sauf très localement en bandes cm associé à la paragonite  (Entre 135.50-145.7: Plusieurs intervalles (de 0.3 à 3m) de roche massive, sombre à grains fins. Pas de clastes visibles. Minéraux de chlorite visible en grains fins allongés (1mm). MAG moy, Contacts flous pas vraiment visibles. Minéralisation Py 1%. Altération très variable. Correspond peut être à du basalte? ou V2V3 MAS?, cf. échantillon litho)  Altération : 47-84.5: Si+ pervasive, Chl moy en clastes, Bt- en clastes, Pa- en Vnl et bande (mm), Hm- en Vnl rouges mm, Cb- en veinules de Cc blanche mm (pas de direction préférentielle), Sr tr en bandes mm, Mg tr associée aux bandes de Pa 84.5-109.1: Aspect massif noir, (il faut bien s'approcher pour voir les clastes), Si+ pervasive, Chl moy en clastes, Bt- en clastes, Pa- en bandes mm ou associée à Vnl de Cb, Cb tr. Localement intervalles de 10cm: Sr+ 109.1-120.9: Si+ pervasive, Chl moy en clastes, Bt-	49.00	50.50	P298697	1.50	0.005	0.40	39.0	67.0
			50.50	51.00	P151514	0.50	0.005	0.20	36.0	66.0
			51.00	52.50	P298698	1.50	0.008	0.10	31.5	80.5
			52.50	54.00	P298699	1.50	0.020	0.10	71.0	70.0

Description	Analyse							
	De	À	Numéro	Longueur	Au_Final (g/t)	Ag_Final (ppm)	Cu_Final (ppm)	Zn_Final (ppm)
<p>en clastes, Pa- en bandes mm, Cb tr en Vnl, pFp- (albile) en mouchetage</p> <p>120.9-135.4: Si+ pervasive, Chl moy en clastes, Pa moy, Bt- en clastes, Hm- en Vnl et pervasive autour de celle-ci, Cb tr en Vnl, Ep tr en Vnl, pFp (albile) 5% en mouchetage</p> <p>135.4-139: Gris clair: Chl+ pervasive et en grains allongés mm, Si moy pervasive, Sr- associé aux patchs de Cb, Cb- en patchs</p> <p>139-145.7: Massif homogène, Si+ pervasive, Chl+ pervasive et en grains allongés mm. De 140-141: intervalle brun à Si+ pervasive, Bo moy (voir fort) pervasive, Cb moy en Vn</p> <p>145.7-150.4: Gris (légèrement clair), Si+ pervasive, Cb+ pervasifs, Pa moy, Chl- et Bo- en clastes</p> <p>150.4-157.4: Sombre noire, Si+ pervasive, Chl moy et Bo moy en clastes, Cb- en Vnl/Vn</p> <p>157.4-161: Gris (légèrement clair), Si+ pervasive, Chl moy et Bo moy en clastes, Cb - à moy en clastes, Pa- en clastes</p> <p>161-167: Sombre noire, Si+ pervasive, Chl moy et Bo moy en clastes, Cb tr en Vnl</p> <p>167-186.8: Si+ pervasive, Chl moy et Bo moy en clastes, pFp- en mouchetage, Cb- en Vnl (et localement moy pervasifs), Pa- en bandes, Sr- en halos d'altération autour de Vnl, Hm tr en Vnl</p> <p>186.8-195.7: Hétérogène, brun, jaunâtre ou gris sombre; Si+ pervasive, Chl moy pervasive, pFp moy en mouchetage, Cb moy en Vn, Hm-</p> <p>195.7-202.1: Si+ pervasive, Chl moy pervasive, Cb moy en Vn et localement légèrement pervasifs, pFp- en mouchetage</p> <p>202.1-230.5: Gris, Si+ pervasive, Chl moy en clastes, Pa moy en clastes, Bo- en clastes, Cb- en patchs et Vnl, Sr-, Hm- en Vnl, Ep tr en patchs</p> <p>230.5-242.5: Hétérogène, Si+ pervasive, Chl moy en clastes, Hm moy à faible en Vnl et localement pervasive, Pa- en bandes, Sr- associée à Cb- en patchs, Ep tr en patchs/Vnl</p> <p>242.5-281.5: Si moy à forte pervasive, Chl moy et Bo moy en clastes, Sr moy en mouchetage de grains mm</p>								

MAUDORE MINERALS Ltd

HC

Description	Analyse							
	De	À	Numéro	Longueur	Au_Final (g/t)	Ag_Final (ppm)	Cu_Final (ppm)	Zn_Final (ppm)
<p>regroupés en petits amas et en bandes cm étirées dans le sens de la foliation, Cb tr en Vnl, Ep- en Vnl. Localement Sr+ pervasive sur des intervalles de 10-20cm</p> <p>281.5-304.0: Si moy à forte pervasive, Hm moyenne en Vnl rouges, Chl moyenne en clasles, Pa moy pervasive, Bt faible en clasles, Cb faible en Vnl</p> <p>304.0-312.4:Silice moyenne, faible biotitisation (surtout la matrice), localement faiblement chloritisé, quelques bandes séricitisées, carbonatation (calcite) pervasive dans certains secteurs, mais aussi sous forme de veinules mm le plus souvent hématite (veinules de silice ou feldspaths hématitisées); localement présence de pFp (faible feldspatitisation?).</p> <p>Minéralisation:</p> <p>47-65.5: Py tr en grains disséminés, localement Py 0.5%; Po tr en grains disséminés</p> <p>65.5-76: Py 0.5% en grains disséminés</p> <p>80.6-85.8: Py tr en grains disséminés</p> <p>85.8-105: Py 1% en grains disséminés infra mm à 0.5cm automorphes (cubique) ou allongés dans la foliation. Environ 10% en Vnl</p> <p>105-117.4: Py 0.5% en grains disséminés</p> <p>117.4-135.4: Py tr localement Py 0.5%. Présence de 2 Vn (2-3cm) de grains de Py automorphes (0.5cm)</p> <p>135.4-138.7: Py 0.5 en grains dans Vnl</p> <p>138.7-140: Py tr en grains disséminés</p> <p>140-161.6: Py 0.5% en moy sur l'intervalle, 70% en Vnl, 30% disséminés, alternance d'intervalles de 20cm à Py tr/Py 1%/Py tr/Py 1%; Po tr</p> <p>161.6-169: Py 1%, gros grains (jusqu'à 4mm) disséminés</p> <p>169-185.5: Py 0.5% à 1%, hétérogène: Py tr alternant avec intervalles de 20cm à Py 5% en grains disséminés ou Vnl associés à une altération en Sr+</p> <p>185.5-197.5: Py tr à 0.5% en grains disséminés</p> <p>197.5-199: Py 1% en grains disséminés (80%) ou Vn (20%)</p> <p>199-226.5: Py tr en grains disséminés ou en patchs</p>								

Description	Analyse							
	De	À	Numéro	Longueur	Au_Final (g/t)	Ag_Final (ppm)	Cu_Final (ppm)	Zn_Final (ppm)
<p>(env. 15%) dans la foliation, très localement Py 1% sur 10-20cm</p> <p>226.5-232: Py 0.5% en grains disséminés excepté I3, FIN</p> <p>242.5-253.1: Py tr à 0.5%, en grains disséminés (50%) ou dans Vnl de Cb-Chl (50%)</p> <p>256.5-274: Py tr localement 0.5%, en grains disséminés (50%) ou dans Vnl de Cb-Chl (50%)</p> <p>274-297: Py tr en grains disséminés</p> <p>297-306.2 : Py tr-1%, en grains disséminés, localement en amas et en veinules mm.</p> <p>306.2-311.8: tr Py, en grains disséminés, localement en amas et en veinules mm.</p> <p>Veine: Rien</p> <p>Structure: 52.9-53.5: Frct+, blocs anguleux de 1 à 6cm 59-60.3: Frct-, blocs anguleux de 2 à 10cm 95.9-96.3: Frct-, blocs anguleux de 1 à 5cm 106.7-109: Frct-, blocs anguleux de 3 à 7cm 119.2-119.5: Frct+, blocs anguleux de 0.5 à 3cm 136-138.3: Frct-, blocs anguleux de 2 à 8cm 212.5-212.9: Frct-, blocs anguleux de 2 à 8cm 250-250.8: Brèche à Chl, Cb, Sr. Py tr disséminée. Contact net 30deg AC</p> <p>Excepté: 170.5-174.1: I2, pFp 227-230.1: I3; FIN</p> <p>47.00 84.50 SIL+; Chl; BO-; PA-; HM-; CB-; SRtr; MGtr Silicification forte; Chloritisation; Blotisation faible; Paragonite faible; Hématite faible; Carbonatation faible; Séricitisation tr; Magnétite tr Si+ pervasive, Chl moy en clastes, Bt- en clastes, Pa- en Vnl et bande (mm), Hm- en Vnl rouges mm, Cb- en veinules</p>								

MAUDORE MINERALS Ltd

AC

Description			Analyse							
			De	À	Numéro	Longueur	Au_Final (g/l)	Ag_Final (ppm)	Cu_Final (ppm)	Zn_Final (ppm)
		de Cc blanche mm (pas de direction préférentielle), Sr tr en bandes mm, Mg tr associée aux bandes de Pa								
47.00	65.50	Pytr; Polr <b>Pyrite tr; Pyrrhotine tr</b> Py tr en grains disséminés, localement Py 0.5%; Po tr en grains disséminés								
52.90	53.50	FRC+ <b>Fracturation forte</b> Frct+, blocs anguleux de 1 à 6cm	54.00	55.50	P298700	1.50	0.020	0.15	90.5	40.0
			55.50	57.00	P298701	1.50	0.010	0.10	36.0	60.0
			57.00	58.00	P298702	1.00	0.010	0.10	18.0	66.0
			58.00	59.50	P298703	1.50	0.010	0.10	32.0	62.0
59.00	60.30	FRC- <b>Fracturation faible</b> Frct-, blocs anguleux de 2 à 10cm	59.50	61.00	P298704	1.50	0.010	0.10	29.0	66.0
			61.00	62.50	P298705	1.50	0.010	0.10	56.0	77.0
			62.50	64.00	P298706	1.50	0.010	0.10	98.0	91.0
			64.00	65.50	P298707	1.50	0.010	0.10	51.0	74.0
65.50	76.00	Py00.5 <b>Pyrite 0.5%</b> Py 0.5% en grains disséminés	65.50	67.00	P298709	1.50	0.020	0.10	45.0	101.0
			67.00	68.00	P298711	1.00	0.020	0.10	33.0	92.0
			68.00	69.00	P298712	1.00	0.020	0.10	34.0	85.0
			69.00	70.00	P298713	1.00	0.010	0.10	43.0	80.0
			70.00	71.50	P298714	1.50	0.010	0.20	50.0	73.0
			71.50	73.00	P298715	1.50	0.060	0.10	70.0	90.0
			73.00	74.50	P298716	1.50	0.070	0.10	28.0	79.0
			74.50	75.50	P298717	1.00	0.010	0.10	49.0	83.0
			75.50	76.00	P298718	0.50	0.010	0.10	28.0	90.0
			76.00	77.50	P298720	1.50	0.030	0.10	43.0	79.0
80.60	85.80	Pytr <b>Pyrite tr</b> Py tr en grains disséminés	80.50	82.00	P298721	1.50	0.010	0.10	43.0	84.0
			82.00	82.50	P151515	0.50	0.007	0.10	48.0	89.0
			82.50	83.50	P298722	1.00	0.010	0.10	22.0	83.0
			83.50	85.00	P298723	1.50	0.008	0.10	44.5	62.5
84.50	109.10	SIL+; Chl; BO-; PA-; CBtr <b>Silicification forte; Chloritisation;</b> <b>Biotisation faible; Paragonite</b> <b>faible; Carbonatation tr</b>	85.00	86.50	P298724	1.50	0.030	0.10	13.0	85.0

MAUDORE MINERALS Ltd

AC

Description		Analyse											
		De	À	Numéro	Longueur	Au_Final (g/t)	Ag_Final (ppm)	Cu_Final (ppm)	Zn_Final (ppm)				
85.80	105.00	Aspect massif noir, (il faut bien s'approcher pour voir les clastes), Si+ pervasive, Chl moy en clastes, Bt- en clastes, Pa- en bandes mm ou associée à Vnl de Cb, Cb tr. Localement intervalles de 10cm: Sr+  Py01 <b>Pyrite 1%</b> Py 1% en grains disséminés inframm à 0.5cm automorphes (cubique) ou allongés dans la foliation. Environ 10% en Vnl	86.50	88.00	P298725	1.50	0.010	0.10	9.0	87.0			
			88.00	89.50	P298726	1.50	0.010	0.10	10.0	76.0			
			89.50	90.00	P298767	0.50	0.010	0.10	18.0	81.0			
			90.00	91.00	P298727	1.00	0.005	0.10	21.0	107.0			
			91.00	92.50	P298728	1.50	0.010	0.10	58.0	97.0			
			92.50	94.00	P298729	1.50	0.020	0.10	57.0	74.0			
			94.00	95.50	P298731	1.50	0.010	0.10	28.0	74.0			
			95.50	97.00	P298732	1.50	0.010	0.10	53.0	100.0			
			95.90	96.30	FRC- <b>Fracturation faible</b> Frct-, blocs anguleux de 1 à 5cm	97.00	98.00	P298733	1.00	0.005	0.10	48.0	83.0
						98.00	98.50	P298735	0.50	0.010	0.10	93.0	77.0
98.50	100.00	P298737				1.50	0.030	0.20	16.0	82.0			
100.00	101.00	P298738				1.00	0.005	0.10	4.0	80.0			
101.00	102.00	P298739				1.00	0.005	0.10	4.0	83.0			
102.00	103.00	P298740				1.00	0.005	0.10	4.0	86.0			
103.00	104.50	P298741				1.50	0.020	0.10	5.0	89.0			
104.50	106.00	P298742				1.50	0.005	0.10	5.0	94.0			
105.00	117.40	Py00.5 <b>Pyrite 0.5%</b> Py 0.5% en grains disséminés	106.00	107.50	P298743	1.50	0.005	0.10	104.0	74.0			
106.70	109.00	FRC- <b>Fracturation faible</b> Frct-, blocs anguleux de 3 à 7cm	107.50	109.00	P298744	1.50	0.005	0.10	24.0	77.0			
			109.00	110.50	P298745	1.50	0.005	0.20	8.0	85.0			
109.10	120.90	SIL+; Chl; BO-; PA-; Cbtr; AB- <b>Silicification forte; Chloritisation;</b> <b>Biotisation faible; Paragonite</b> <b>faible; Carbonatation tr;</b> <b>Albitisation faible</b> Si+ pervasive, Chl moy en clastes, Bt- en clastes, Pa- en bandes mm, Cb tr en	110.50	112.00	P298746	1.50	0.005	0.10	7.0	83.0			
			112.00	112.50	P151516	0.50	0.002	0.10	4.0	84.0			
			112.50	113.00	P298747	0.50	0.040	0.10	4.0	104.0			
			113.00	113.50	P298748	0.50	0.005	0.10	3.0	130.0			
			113.50	114.50	P298749	1.00	0.005	0.10	22.0	99.0			

MAUDORE MINERALS Ltd

Description			Analyse							
			De	À	Numéro	Longueur	Au_Final (g/l)	Ag_Final (ppm)	Cu_Final (ppm)	Zn_Final (ppm)
117.40	135.40	Vnl, pFp- (albite) en mouchetage  Pytr <b>Pyrite tr</b> Py tr localement Py 0.5%. Présence de 2 Vn (2-3cm) de grains de Py automorphes (0.5cm)	114.50	115.00	P298750	0.50	0.005	0.10	28.5	84.5
			115.00	116.00	P298751	1.00	0.010	0.10	27.0	90.0
			116.00	116.50	P298752	0.50	0.005	0.10	2.0	91.0
			116.50	118.00	P298754	1.50	0.160	0.30	74.0	82.0
			118.00	118.70	P298755	0.70	0.005	0.10	8.0	77.0
			118.70	119.20	P298756	0.50	0.270	0.10	9.0	97.0
119.20	119.50	FRC+ <b>Fracturation forte</b> Frct+, blocs anguleux de 0.5 à 3cm	119.20	120.50	P298758	1.30	0.005	0.10	9.0	88.0
			120.50	122.00	P298759	1.50	0.005	0.10	1.0	76.0
120.90	135.40	SIL+; Chl; PA; AB; HM-; CBtr; EPtr <b>Silicification forte; Chloritisation;</b> <b>Paragonite; Albitisation;</b> <b>Hématisation faible;</b> <b>Carbonatation tr; Épidotisation tr</b>  Si+ pervasive, Chl moy en clastes, Pa moy, Bt- en clastes, Hm- en VNI et pervasive autour de celle-ci, Cb tr en Vnl, Ep tr en Vnl, pFp (albite) 5% en mouchetage	122.00	123.50	P298761	1.50	0.010	0.10	120.0	69.0
			123.50	124.00	P298762	0.50	0.020	0.10	9.0	78.0
			124.00	125.50	P298763	1.50	0.005	0.10	24.0	84.0
			125.50	127.00	P298764	1.50	0.005	0.10	23.0	84.0
			127.00	128.50	P298765	1.50	0.005	0.10	44.0	89.0
			128.50	130.00	P298766	1.50	0.005	0.10	24.0	103.0
			130.00	131.50	P298768	1.50	0.005	0.10	4.0	104.0
			131.50	133.00	P298769	1.50	0.005	0.10	9.0	89.0
			133.00	134.50	P298770	1.50	0.008	0.10	16.0	80.5
			134.50	136.00	P298771	1.50	0.190	0.40	159.0	137.0
135.40	139.00	Chl+; SIL; SR-; CB- <b>Chloritisation forte; Silicification;</b> <b>Séricitisation faible;</b> <b>Carbonatation faible</b>  Gris clair: Chl+ pervasive et en grains allongés mm, Si moy pervasive, Sr- associé aux patchs de Cb, Cb- en patchs								
135.40	138.70	Py00.5 <b>Pyrite 0.5%</b>								

MAUDORE MINERALS Ltd

AC

Description			Analyse							
			De	À	Numéro	Longueur	Au_Final (g/t)	Ag_Final (ppm)	Cu_Final (ppm)	Zn_Final (ppm)
136.00	136.30	Py 0.5 en grains dans Vnl								
		FRC-	136.00	137.50	P298772	1.50	5.180	6.20	356.0	210.0
		<b>Fracturation faible</b>	137.50	139.00	P298773	1.50	0.630	0.60	169.0	92.0
		Frct-, blocs anguleux de 2 à 8cm								
138.70	140.00	Pytr								
		<b>Pyrite tr</b>								
		Py tr en grains disséminés								
139.00	140.00	SIL+; Chl+	139.00	140.00	P298774	1.00	0.020	0.20	40.0	78.0
		<b>Silicification forte; Chloritisation forte</b>								
		Massif homogène, Si+ pervasive, Chl+ pervasive et en grains allongés mm. De 140-141: intervalle brun à Si+ pervasive, Bo moy (voir fort) pervasive, Cb moy en Vn								
140.00	141.00	SIL+; BO; CB								
		<b>Silicification forte; Blotisation; Carbonatation</b>								
		De 140-141: intervalle brun à Si+ pervasive, Bo moy (voir fort) pervasive, Cb moy en Vn								
140.00	161.60	Py00.5; Potr	140.00	140.50	P298775	0.50	0.090	0.45	134.0	156.5
		<b>Pyrite 0.5%; Pyrrhotine tr</b>	140.50	141.30	P298776	0.80	0.010	0.20	60.0	56.0
		Py 0.5% en moy sur l'intervalle, 70% en Vnl, 30% disséminés, alterance d'intervalles de 20cm à Py tr/Py 1%/Py tr/Py 1%; Po tr								
141.00	145.70	SIL+; Chl+	141.30	141.80	P151520	0.50	0.008	0.10	47.0	46.0
		<b>Silicification forte; Chloritisation forte</b>	141.80	142.50	P298777	0.70	0.040	0.20	59.0	62.0
		Massif homogène, Si+ pervasive, Chl+ pervasive et en grains allongés mm. De 140-141: intervalle brun à Si+ pervasive,	142.50	143.50	P298778	1.00	0.040	0.30	84.0	55.0
			143.50	145.00	P298779	1.50	0.030	0.20	61.0	65.0
			145.00	146.50	P298780	1.50	0.010	0.10	43.0	57.0



MAUDORE MINERALS Ltd

AC

Description			Analyse							
			De	À	Numéro	Longueur	Au_Final (g/t)	Ag_Final (ppm)	Cu_Final (ppm)	Zn_Final (ppm)
145.70	150.40	Bo moy (voir fort) pervasive, Cb moy en Vn SIL+; CB+; PA; CHl-; BO- Silicification forte; Carbonatation forte; Paragonite; Chloritisation faible; Biotisation faible Gris (légèrement clair), Si+ pervasive, Cb+ pervasifs, Pa moy, CHl- et Bo- en clastes	146.50	147.00	P298781	0.50	0.060	0.80	378.0	302.0
			147.00	148.00	P298783	1.00	0.020	0.50	145.0	144.0
			148.00	149.50	P298785	1.50	0.010	0.40	83.0	77.0
			149.50	151.00	P298786	1.50	1.330	0.30	37.0	83.0
150.40	157.40	SIL+; CHl; BO; CB- Silicification forte; Chloritisation; Biotisation; Carbonatation faible Sombre noire, Si+ pervasive, CHl moy et Bo moy en clastes, Cb- en Vn/Vn	151.00	152.50	P298787	1.50	0.020	0.30	66.0	136.0
			152.50	154.00	P298788	1.50	0.010	0.10	18.0	106.0
			154.00	155.50	P298789	1.50	0.030	0.10	20.0	104.0
			155.50	157.00	P298791	1.50	0.040	0.10	19.0	279.0
			157.00	157.50	P298792	0.50	0.040	0.10	18.0	85.0
157.40	161.00	SIL+; CHl; BO; CB-; PA- Silicification forte; Chloritisation; Biotisation; Carbonatation faible; Paragonite faible Gris (légèrement clair), Si+ pervasive, CHl moy et Bo moy en clastes, Cb - à moy en clastes, Pa- en clastes	157.50	158.50	P298793	1.00	1.485	1.20	27.5	155.5
			158.50	160.00	P298794	1.50	0.130	0.30	54.0	126.0
			160.00	161.50	P298795	1.50	0.070	0.10	42.0	80.0
161.00	167.00	SIL+; CHl; BO; CBtr Silicification forte; Chloritisation; Biotisation; Carbonatation tr Sombre noire, Si+ pervasive, CHl moy et Bo moy en clastes, Cb tr en Vn	161.50	163.00	P298796	1.50	0.030	0.10	59.0	70.0
161.60	169.00	Py01 Pyrite 1% Py 1%, gros grains (jusqu'à 4mm) disséminés	163.00	164.00	P298797	1.00	0.060	0.10	45.0	93.0
			164.00	165.00	P298798	1.00	0.020	0.10	10.0	83.0
			165.00	166.00	P298799	1.00	0.010	0.10	15.0	87.0
			166.00	167.50	P298800	1.50	0.020	0.10	14.0	176.0
167.00	186.80	SIL+; CHl; BO; AB-; CB-; PA-; SR-; SR-; HMr	167.50	169.00	P298801	1.50	0.030	0.10	15.0	112.0

MAUDORE MINERALS Ltd

ke

Description	Analyse								
	De	À	Numéro	Longueur	Au_Final (g/t)	Ag_Final (ppm)	Cu_Final (ppm)	Zn_Final (ppm)	
<p>Silicification forte; Chloritisation; Blotisation; Albitisation faible; Carbonatation faible; Paragonite faible; Séricitisation faible; Séricitisation faible; Hématitisation tr Si+ pervasive, Chl moy et Bo moy en clastes, pFp- en mouchetage, Cb- en Vnl (et localement moy pervasifs), Pa- en bandes, Sr- en halos d'altération autour de Vnl, Hm tr en Vnl</p> <p>Excepté: 170.5-174.1: I2, pFp</p>									
169.00 185.50	Py00.5	169.00	170.00	P298802	1.00	0.060	0.80	117.0	505.0
	<b>Pyrite 0.5%</b>	170.00	170.60	P298803	0.60	0.200	0.40	23.0	109.0
	Py 0.5% à 1%, hétérogène:Py tr alterant avec intervalles de 20cm à Py 5% en grains disséminés ou VNI associés à une altération en Sr+								
	Excepté: 170.5-174.1: I2, pFp								
170.50 174.10	I2; pFp	170.60	172.00	P298804	1.40	0.020	0.10	9.0	80.0
	<b>Intrusion intermédiaire; Porphyre de Feldspath</b>	172.00	172.50	P151521	0.50	0.022	0.10	9.0	58.0
	Intrusion intermédiaire; Porphyre de Feldspath	172.50	173.90	P298805	1.40	0.010	0.10	8.0	75.0
	Matrice fine sombre (noire)	173.90	175.00	P298806	1.10	0.020	0.50	24.0	173.0
	Mouchetage de pFp blanc (2mm) environ 15%	175.00	176.50	P298808	1.50	0.010	0.10	6.0	134.0
	Contacts flous pas vraiment visibles, mais le mouchetage de pFp s'arrête net	176.50	177.00	P298809	0.50	0.040	0.20	9.0	126.0
	Minéralisation Py 1%	177.00	177.50	P298811	0.50	0.010	0.10	11.0	99.0
		177.50	178.00	P298812	0.50	0.140	0.20	23.0	134.0
		178.00	179.00	P298813	1.00	0.020	0.10	14.0	106.0
		179.00	180.00	P298814	1.00	0.030	0.10	35.0	124.0
		180.00	181.00	P298815	1.00	0.030	0.10	49.0	129.0
		181.00	182.50	P298816	1.50	0.020	0.10	12.0	93.0
		182.50	184.00	P298817	1.50	0.030	0.10	10.0	95.0

MAUDORE MINERALS Ltd

Description			Analyse							
			De	À	Numéro	Longueur	Au_Final (g/l)	Ag_Final (ppm)	Cu_Final (ppm)	Zn_Final (ppm)
			184.00	185.50	P298818	1.50	0.100	0.50	63.0	242.0
185.50	197.50	Pytr Pyrite tr Py tr à 0.5% en grains disséminés	185.50	187.00	P298820	1.50	0.020	0.10	56.0	281.0
186.80	195.70	SIL+; Chl; AB; CB; HM- Silicification forte; Chloritisation; Albitisation; Carbonatation; Hématisation faible Hétérogène, brun, jaunâtre ou gris	187.00	188.50	P298821	1.50	0.020	0.10	30.0	96.0
			188.50	190.00	P298822	1.50	0.010	0.10	25.5	109.0
			190.00	191.50	P298823	1.50	0.020	0.20	36.0	241.0
			191.50	193.00	P298824	1.50	0.010	0.10	30.0	101.0
			193.00	194.50	P298825	1.50	0.008	0.10	24.0	113.0
			194.50	196.00	P298826	1.50	0.005	0.10	46.0	103.0
195.70	202.10	SIL+; Chl; CB; AB- Silicification forte; Chloritisation; Carbonatation; Albitation faible Si+ pervasive, Chl moy pervasive, Cb moy en Vn et localement légèrement pervasifs, pFp- en mouchetage	196.00	197.50	P298827	1.50	0.020	0.10	16.0	144.0
197.50	199.00	Py01 Pyrite 1% Py 1% en grains disséminés (80%) ou Vn (20%)	197.50	198.00	P298828	0.50	0.285	0.40	72.0	293.0
			198.00	199.00	P298830	1.00	0.020	0.10	12.0	163.0
199.00	226.50	Pytr Pyrite tr Py tr en grains disséminés ou en patches (env. 15%) dans la foliation, très localement Py 1% sur 10-20cm	199.00	200.50	P298831	1.50	0.010	0.10	47.0	85.0
			200.50	202.00	P298832	1.50	0.005	0.10	38.0	62.0
			202.00	203.00	P298833	1.00	0.005	0.10	5.0	60.0
202.10	230.50	SIL+; Chl; PA; BO-; CB-; SR-; HM-; EPtr Silicification forte; Chloritisation; Paragonite; Blotisation faible; Carbonatation faible; Séricitisation faible; Hématisation faible; Epidotisation tr Gris, Si+ pervasive, Chl moy en clastes, Pa moy en clastes, Bo- en clastes, Cb-	203.00	203.50	P151522	0.50	0.002	0.10	39.0	71.0
			203.50	205.00	P298835	1.50	0.010	0.10	48.0	82.0
			205.00	206.50	P298836	1.50	0.005	0.10	57.0	74.0
			206.50	208.00	P298837	1.50	0.005	0.10	23.0	70.0
			208.00	209.50	P298838	1.50	0.005	0.10	10.0	74.0
			209.50	211.00	P298840	1.50	0.005	0.10	5.0	59.0

MAUDORE MINERALS Ltd

KC

Description		Analyse								
		De	À	Numéro	Longueur	Au_Final (g/t)	Ag_Final (ppm)	Cu_Final (ppm)	Zn_Final (ppm)	
212.50	212.90	en patchs et Vnl, Sr-, Hm- en Vnl, Ep tr en patchs  Excepté: 227-230.1: I3; FIN								
		FRC-	214.00	215.00	P298841	1.00	0.010	0.20	7.0	57.0
		<b>Fracturation faible</b>	215.00	216.00	P298842	1.00	0.005	0.10	4.0	62.0
		Frct-, blocs anguleux de 2 à 8cm	216.00	217.00	P298843	1.00	0.005	0.10	13.0	68.0
			220.00	221.50	P298844	1.50	0.005	0.10	16.0	64.0
			221.50	223.00	P298845	1.50	0.005	0.10	37.0	75.0
			223.00	224.50	P298846	1.50	0.025	0.10	54.5	63.0
			224.50	225.50	P298847	1.00	0.005	0.10	28.0	65.0
			225.50	226.00	P151526	0.50	0.002	0.10	36.0	74.0
			226.00	227.00	P298848	1.00	0.008	0.10	29.0	79.0
226.50	232.00	Py00.5 <b>Pyrite 0.5%</b> Py 0.5% en grains disséminés  Excepté: 227-230.1: I3, FIN								
227.00	230.10	I3; FIN <b>Intrusion mafique; Grains fins 55°</b> Intrusion mafique; Grains fins Roche noire à grains fins, massive, homogène Pas de minéralisation Contacts nets 55deg AC	230.00	231.00	P298849	1.00	0.050	0.20	101.0	75.0
230.50	242.50	STL+; Ch; HM-; PA-; SR-; CB-; EPtr <b>Silicification forte; Chloritisation;</b> <b>Hématitisation faible; Paragonite</b> <b>faible; Séricitisation faible;</b> <b>Carbonatitisation faible;</b> <b>Épidotitisation tr</b> Hétérogène, Si+ pervasive, Ch moy en clastes, Hm moy à faible en Vnl et localement pervasive, Pa- en bandes, Sr- associée à Cb- en patchs, Ep tr en patchs/Vnl	231.00	232.00	P298850	1.00	0.065	0.30	76.5	103.0
			232.00	233.50	P298851	1.50	0.020	0.20	35.0	81.0
			241.00	242.50	P298852	1.50	0.020	0.10	60.0	68.0

MAUDORE MINERALS Ltd

AC

Description			Analyse							
			De	À	Numéro	Longueur	Au_Final (g/t)	Ag_Final (ppm)	Cu_Final (ppm)	Zn_Final (ppm)
242.50	281.50	SIL; Chl; BO; SR; EP-; CBtr Silicification; Chloritisation; Biotisation; Séricitisation; Épidotisation faible; Carbonatation tr Si moy à forte pervasive, Chl moy et Bo moy en clasles, Sr moy en mouchetage de grains mm regroupés en petits amas et en bandes cm étirées dans le sens de la foliation, Cb tr en Vnl, Ep- en Vnl. Localement Sr+ pervasive sur des intervalles de 10-20cm	242.50	244.00	P298853	1.50	0.050	0.10	30.0	87.0
			244.00	245.50	P298854	1.50	0.100	0.30	135.0	58.0
			245.50	247.00	P298855	1.50	0.080	0.10	49.0	120.0
			247.00	248.50	P298856	1.50	0.240	0.30	168.0	67.0
			248.50	250.00	P298857	1.50	0.040	0.20	32.0	51.0
242.50	253.10	Py00.5 Pyrite 0.5% Py tr à 0.5%, en grains disséminés (50%) ou dans Vnl de Cb-Chl (50%)								
250.00	250.80	BRE Bréchtique Brèche à Chl, Cb, Sr. Py tr disséminée. Contact net 30deg AC	250.00	251.50	P298858	1.50	0.030	0.30	84.0	81.0
			251.50	253.00	P298860	1.50	0.060	0.20	55.0	130.0
256.50	274.00	Pyr Pyrite tr Py tr localement 0.5%, en grains disséminés (50%) ou dans Vnl de Cb-Chl (50%)	256.50	258.00	P298862	1.50	0.070	0.10	8.0	47.0
			258.00	259.50	P298863	1.50	0.020	0.10	7.0	47.0
			259.50	260.90	P298865	1.40	0.010	0.10	9.0	37.0
			260.90	262.00	P298866	1.10	0.020	0.10	21.0	37.0
			262.00	262.50	P151527	0.50	0.023	0.10	136.0	49.0
			262.50	263.50	P298867	1.00	0.030	0.20	139.0	37.0
			263.50	265.00	P298868	1.50	0.050	0.20	86.0	35.0
			265.00	266.50	P298869	1.50	0.020	0.20	33.0	46.0
			266.50	268.00	P298870	1.50	0.030	0.10	90.0	38.0
	272.50	274.00	P298871	1.50	0.010	0.10	15.0	39.0		
274.00	297.00	Pyr Pyrite tr Py tr en grains disséminés	274.00	275.50	P298872	1.50	0.020	0.10	42.0	39.0
			275.50	277.00	P298873	1.50	0.010	0.10	12.0	39.5
			277.00	278.00	P298874	1.00	0.010	0.20	39.0	40.0
			278.00	279.00	P298875	1.00	0.010	0.10	24.5	40.5

MAUDORE MINERALS Ltd

AC

Description			Analyse							
			De	À	Numéro	Longueur	Au_Final (g/t)	Ag_Final (ppm)	Cu_Final (ppm)	Zn_Final (ppm)
281.50	304.00	SIL; HM; Chl; PA; BO-; CB- Silicification; Hématisation; Chloritisation; Paragonite; Biotisation faible; Carbonatation faible Si moy à forte pervasive, Hm moyenne en Vnl rouges avec Cb (calcite), Chl moyenne en clastes, Pa moy pervasive, Bt faible en clastes.	279.00	280.00	P298876	1.00	0.030	0.10	2.0	7.0
			280.00	281.50	P298877	1.50	0.010	0.10	9.0	42.0
			281.50	283.00	P298878	1.50	0.030	0.10	21.0	35.0
			283.00	284.50	P298879	1.50	0.010	0.10	31.0	38.0
			284.50	286.00	P298880	1.50	0.020	0.20	36.0	34.0
			286.00	287.50	P298881	1.50	0.020	0.10	34.0	42.0
			287.50	289.00	P298883	1.50	0.010	0.10	65.0	40.0
			289.00	290.50	P298884	1.50	0.020	0.10	33.0	41.0
			290.50	292.00	P298885	1.50	0.010	0.10	17.0	41.0
			292.00	292.50	P151528	0.50	0.007	0.20	19.0	54.0
			292.50	294.00	P298886	1.50	0.020	0.10	44.0	47.0
			294.00	295.50	P298887	1.50	0.020	0.10	21.0	42.0
297.00	306.20	Pytr-1 Pyrite tr-1 297-306.2 : Py tr-1%, en grains disséminés, localement en amas et en veinules mm.	295.50	297.00	P298888	1.50	0.030	0.10	23.0	41.0
			297.00	298.50	P298890	1.50	0.080	0.10	29.0	43.0
299.40	300.00	FRC Fracturé(e) FRacturation modérée avec calcite et hématite dans les plans de fractures	298.50	300.00	P298891	1.50	0.030	0.10	52.0	44.0
			300.00	301.00	P298892	1.00	0.050	0.10	103.0	42.0
			301.00	302.50	P298894	1.50	0.030	0.10	32.0	46.0
304.00	312.40	SIL; CB-; Chl-; BO-; HM-; SR- Silicification; Carbonatation faible; Chloritisation faible; Biotisation faible; Hématisation faible; Séricitisation faible Silice moyenne, faible biotisation (surtout la matrice), localement faiblement chloritisé, quelques bandes séricitisées, carbonatation (calcite) pervasive dans certains secteurs, mais aussi sous forme de veinules mm le plus souvent hématite (veinules de silice ou feldspaths hématitisées); localement présence de pFp (faible feldspatitisation?)	302.50	304.00	P298895	1.50	0.025	0.15	57.0	43.5
			304.00	305.50	P298896	1.50	0.020	0.10	16.0	38.0
			305.50	306.20	P298897	0.70	0.030	0.10	89.0	37.0

MAUDORE MINERALS Ltd

AK

Description			Analyse							
			De	À	Numéro	Longueur	Au_Final (g/l)	Ag_Final (ppm)	Cu_Final (ppm)	Zn_Final (ppm)
306.20	311.80	Pytr Pyrite tr 306.2-311.8: tr Py, en grains disséminés, localement en amas et en veinules mm.	306.20	307.40	P298898	1.20	0.080	0.50	263.0	61.0
306.70	307.10	FRC+ Fracturation forte	307.40	308.90	P298899	1.50	0.010	0.10	34.0	47.0
		Grenaille avec boue.	308.90	310.40	P298900	1.50	0.015	0.10	111.0	50.5
			310.40	311.80	P298901	1.40	0.020	0.10	35.0	44.0
312.40	348.40	V2-V3; pFp; TI Volcanite intermédiaire à mafique; Porphyre de Feldspath; Tuf à lapillis Tuf à lapilli de composition intermédiaire à mafique, de couleur vert moyen à foncé grisâtre. Lapillis arrondis, aplatis selon la schistosité, 0,5 à 5 cm de grosseur (localement des bombes de plus de 7cm) caractérisés par la présence de 10-15% de porphyres de feldspaths blanc-crème (idiomorphes à sub-idiomorphes, millimétriques). La matrice est à cendres fines et les contacts avec les lapillis sont souvent flous. Les lapillis montrent une dureté nettement plus forte que la matrice. Dans l'ensemble, faible biotitisation affectant la matrice. Localement faiblement calcitisé. Bonne foliation 55-60 deg a/c.  346.9-347.3: Petit dyke intermédiaire, grain aphanitique, couleur gris rosé; contacts nets et discordants 65 deg a/c. 322.5-323.1: Veine de quartz-calcite discordante; qlq enclaves chloriteuses, faiblement hématitisée; contacts bréchiques irréguliers.  Altération: 312.4-348.4: Silice moyenne, chloritisation et biotitisation faible (surtout dans la matrice), carbonates faible (calcite, en veinules avec hématite, plus localement diffuse).  Minéralisation: 324.4-324.9 : tr-1% Py fine et disséminée 329.4-330.9: tr Py en fine veinule sub-mm								

MAUDORE MINERALS Ltd

AC

Description	Analyse									
	De	À	Numéro	Longueur	Au_Final (g/t)	Ag_Final (ppm)	Cu_Final (ppm)	Zn_Final (ppm)		
334.1-340.8: tr Py disséminée, très localement en amas. 344.1-344.6: tr-1% Py fine et disséminée, contrôlée par des veinules.  Excepté: 336-340.9: l2, pFp										
312.40	348.40	SIL; Chl-; BO-; CB-; HM- <b>Silicification; Chloritisation faible;</b> <b>Biotitisation faible; Carbonatation faible; Hématitisation faible</b>	320.10 321.10	321.10 322.00	P298902 P298903	1.00 0.90	0.005 0.045	0.10 0.55	45.0 190.0	40.0 49.5
		312.4-348.4: Silice moyenne, chloritisation et biotitisation faible (surtout dans la matrice), carbonates faible (calcite, en veinules avec hématite, plus localement diffuse).								
312.40	324.90	Pytr-1 <b>Pyrite tr-1</b> 324.4-324.9 : tr-1% Py fine et disséminée								
321.60	321.61	FAI <b>Faille 55°</b> Boue de faille avec sable, concordant, 55deg a/c	322.00 322.50	322.50 323.10	P151529 P298904	0.50 0.60	0.002 0.005	0.10 0.10	35.0 7.0	31.0 5.0
322.60	323.10	VEI;100%;Qz Cc Cl Hm;;; <b>Veine 100% Quartz Calcite</b> <b>Chlorite Hématite</b> Veine de quartz-calcite discordante; qq enclaves chloriteuses, faiblement hématitisée; contacts bréchiques irréguliers	323.10 324.40	324.40 324.90	P298905 P298906	1.30 0.50	0.005 0.020	0.10 0.60	60.0 83.0	23.0 11.0
324.90	330.90	Pytr <b>Pyrite tr</b> 329.4-330.9: tr Py en fine veinule sub-mm	324.90 326.40 327.90 329.40 330.90 332.40 333.30	326.40 327.90 329.40 330.90 332.40 334.10	P298909 P298910 P298911 P298912 P298913 P298915 P298916	1.50 1.50 1.50 1.50 1.50 0.90 0.80	0.010 0.005 0.005 0.010 0.010 0.020 0.040	0.40 0.10 0.10 0.10 0.20 0.20 0.30	128.0 20.0 35.0 61.0 33.0 181.0 133.0	14.0 26.0 26.0 31.0 36.0 40.0 48.0



MAUDORE MINERALS Ltd

Description			Analyse							
			De	À	Numéro	Longueur	Au_Final (g/t)	Ag_Final (ppm)	Cu_Final (ppm)	Zn_Final (ppm)
334.10	340.80	Pyr Pyrite tr 334.1-340.8: tr Py disséminée, très localement en amas.	334.10	334.90	P298917	0.80	0.020	0.20	52.0	31.0
			334.90	336.00	P298918	1.10	0.005	0.10	12.0	31.0
336.00	340.90	I2; pFp Intrusion Intermédiaire; Porphyre de Feldspath Dyke intermédiaire porphyrique en feldspath, de couleur gris rosé à rougeâtre. 20-30% de porphyres de feldspaths sub-idiomorphes (contacts flous), 2-7mm, dans une matrice quartzofeldspathique contenant de la chlorite et des micas blancs. Hématitisation presque omniprésente donnant à la roche une teinte rose. Contacts nets et discordants 50-55 deg a/c.	336.00	337.50	P298919	1.50	0.005	0.10	5.0	42.0
			340.80	341.80	P298920	1.00	0.005	0.10	16.0	36.0
			341.80	342.90	P298921	1.10	0.005	0.10	9.0	33.0
			342.90	344.10	P298922	1.20	0.005	0.10	2.0	34.0
343.00	346.00	FRC Fracturé(e) 15° Quelques fractures ouvertes 10-20 deg a/c avec placages de calcite et/ou chlorite								
344.10	344.60	Pyr-1 Pyrite tr-1 344.1-344.6: tr-1% Py fine et disséminée, contrôlée par des veinules.	344.10	344.60	P298923	0.50	0.005	0.10	4.0	21.0
			344.60	346.00	P298924	1.40	0.010	0.10	4.0	36.0
348.40	448.50	V2-V3; T1 Volcanite Intermédiaire à mafique; Tuf à lapillis Tuf à lapilli de composition intermédiaire à mafique. De couleur gris verdâtre à foncé. Lapillis arrondis, aplatis selon la schistosité, 0.5 à 5 cm de grosseur (localement des bombes de plus de 7cm); on observe localement la présence de porphyres de feldspaths blanc-crème (idiomorphes à sub-idiomorphes, millimétriques). La matrice est à cendres fines et les contacts avec les lapillis sont souvent flous. Les lapillis montrent une dureté nettement plus forte que la matrice. Dans l'ensemble, faible chloritisation (surtout sur les épontes de veinules de calcite-épidote); biotitisation	351.00	352.00	P298925	1.00	0.005	0.10	2.0	34.0

AC

Description	Analyse							
	De	À	Numéro	Longueur	Au_Final (g/t)	Ag_Final (ppm)	Cu_Final (ppm)	Zn_Final (ppm)
<p>faible à localement moyenne. Localement moyennement à fortement séricitisé.</p> <p>Foliation relativement discrète 55-60 deg a/c</p> <p>Tr à localement 1% de pyrite.</p> <p>De 401.5-409, 413.5-416, 418-419.5, 423.8-428.4:</p> <p>Les clastes sont bien rondes très peu déformées, de 1 à 5cm</p> <p>Contact inf. progressif</p> <p>Altération :</p> <p>348.4-365.5: Silice moyenne, faible chloritisation, biotitisation faible à localement moyenne, localement faiblement à fortement séricitisé</p> <p>365.5-373: Silice moyenne, biotitisation moyenne localement accompagnée d'une faible feldspathisation, séricitisation moyenne localisée dans les bandes les plus altérées sur les épontes des veinules de quartz-calcite-(épidote); correspond à un intervalle minéralisé en Py.</p> <p>373-380.5: Si moy pervasive, Bo moy en clastes, Chl- en clastes, Pa- en patchs, Sr- en patchs, Cb- en Vnl/Vn</p> <p>380.5-391 : Si moy pervasive, Chl moy en clastes, Bo- (voir moy) en clastes, Pa- en patchs, Sr- en patchs, Cb- en Vnl/Vn</p> <p>391-400: Si moy, Bo moy en clastes, Fk moy, Sr moy Cb- en Vn (1cm max.) et Vnl</p> <p>400-410.3: Aspect massif; Si moy pervasive, Chl moy en clastes, Bo moy en clastes</p> <p>410.3-421: Si moy (voir localement faible), Chl moy en clastes, Bo moy en clastes, Sr moy en Vn, Cb moy en Vn et Vnl</p> <p>421-437.5: Aspect massif; Si moy pervasive, Chl moy en clastes, Bo- en clastes, Sr tr et Cb tr en Vnl</p> <p>437.5-448.5 Si moy pervasive, Hm moy en Vnl et localement pervasive, Sr moy pervasive et en patchs, Bo moy en clastes, Chl- en clastes</p> <p>Minéralisation:</p> <p>359.2-359.7: Ir-1% Py disséminée et en petits amas sub-cm.</p>								

MAUDORE MINERALS Ltd

AC

Description	Analyse							
	De	À	Numéro	Longueur	Au_Final (g/t)	Ag_Final (ppm)	Cu_Final (ppm)	Zn_Final (ppm)
<p>364.0-365.5: traces de Py fine et disséminée</p> <p>365.5-374.7: 1% Py disséminée, en grains idiomorphes de 1-2mm ou très fine dans les intervalles plus fortement altérés (veinules de calcite aux épontes calcitisées, séricitisées, biotitisées et faiblement chloritisées</p> <p>374.7-378: Py tr en grains disséminés</p> <p>378-379: Py 1% en grains finement disséminés automorphes</p> <p>379-379.5: Py 1% en grains disséminés, Cp tr, Sp tr associés à brèche (4cm) Cb Qz dans la foliation</p> <p>379.5-383: Py 1% en grains finement disséminés automorphes</p> <p>383-404.5: Py 0.5%, localement Py 1% sur des intervalles de 20cm, Po tr</p> <p>404.5-405.8: Py 4% en grains disséminés automorphes 0,5 à 3mm</p> <p>405.8-410.5: Py 0.5% localement 1%</p> <p>410.5-411.2: Py 3% en grains disséminés</p> <p>411.2-430: Py 0.5% en grains disséminés</p> <p>430-431.1: Py 2% en grains disséminés</p> <p>431.1-439: Py 0.5% en grains disséminés</p> <p>439-445.8: Py tr en grains finement disséminés</p> <p>445.8-446.9: Py 0.5%</p> <p>446.9-447.4: Py 5%, Sp tr dans Vnl de Cb</p> <p>447.4-448.5: Py 5% en grains disséminés et amas centimétriques</p> <p>Structure:</p> <p>351.7-361.8: Frct</p> <p>372.5-373: Faille 60deg AC</p> <p>400.1-401.4: Frct- dans AC</p> <p>417.3-418: Intervalle bréchique souligné par Vnl de Cb blancs</p> <p>437.5-445: Brèche: Forte concentration de Vnl de Hm et/ou Cb, qlq Vn (1cm) à Hm/Cb avec enclaves de V2V3 TI de 1-2mm en fragments anguleux, Frct- voir localement forte</p> <p>Excepté:</p> <p>348.4-350.4: I1G</p>								

MAUDORE MINERALS Ltd

AC

Description			Analyse							
			De	À	Numéro	Longueur	Au_Final (g/l)	Ag_Final (ppm)	Cu_Final (ppm)	Zn_Final (ppm)
		381.5-383: I3; FIN 420.3-422.4: I1G 428.5-430: I2, pFp 435.9-437.2: I2,pFp 443.8-445: I1G								
348.40	350.40	I1G <b>Pegmatite</b> Pegmatite de couleur rose, traversée par des injections décimétriques aplitiques. Avec veinules de quartz et de micas blancs grossiers; qq enclaves chloriteuses. Contact sup. net 15 deg a/c et contact inf. bréchique.								
348.40	365.50	SIL; Chl-; BO-; SR- <b>Silicification; Chloritisation faible; Biotisation faible; Séricitisation faible</b> 348.4-365.5: Silice moyenne, faible chloritisation, biotitisation faible à localement moyenne, localement faiblement à fortement séricitisé  Excepté: 348.4-350.4: I1G								
351.70	361.80	FRC <b>Fracturé(e)</b> Fracturation moyenne à localement forte sur 10-20cm.	352.00	352.50	P151530	0.50	0.002	0.10	3.0	36.0
			352.50	354.00	P298926	1.50	0.060	0.20	217.0	51.0
			354.00	355.50	P298927	1.50	0.130	0.10	213.0	63.0
			355.50	357.00	P298928	1.50	0.005	0.10	6.0	46.0
			357.00	358.00	P298929	1.00	0.020	0.10	56.0	36.0
			358.00	359.20	P298930	1.20	0.005	0.10	13.0	44.0
359.20	359.70	Pytr-1 <b>Pyrite tr-1</b> 359.2-359.7: tr-1% Py disséminée et en petits amas sub-cm.	359.20	359.80	P298931	0.60	0.010	0.10	2.5	50.5
359.70	364.00	I1G	359.80	360.50	P298932	0.70	0.010	0.10	3.0	8.0

MAUDORE MINERALS Ltd

AC

Description			Analyse							
			De	À	Numéro	Longueur	Au_Final (g/t)	Ag_Final (ppm)	Cu_Final (ppm)	Zn_Final (ppm)
		<b>Pegmatite</b> Pegmatite de couleur rose et blanc crème; grain grossier (0,5-2,5cm). Paillettes de biolite et de chlorite. Veinules de quartz et de micas blancs. tr Py. Enclave de volcanite de 362,0 à 362,8. Contacts nets (55-65 deg a/c) ou bréchiques.	363.90	365.40	P298933	1.50	0.005	0.10	1.0	32.0
364.00	365.50	<b>Pytr</b> <b>Pyrite tr</b> 364.0-365.5: trPy fine et disséminée	365.40	366.50	P298934	1.10	0.040	0.10	116.0	27.0
365.50	373.00	SIL; BO; Fk; SR; CB- <b>Silicification; Biotisation;</b> <b>Feldspath potassique;</b> <b>Séricitisation; Carbonatation</b> <b>faible</b> 365.5-373.333: Silice moyenne, biotitisation moyenne localement accompagnée d'une faible feldspathisation, séricitisation moyenne localisée dans les bandes les plus altérées sur les épontes des veinules de quartz-calcite-(épidote); correspond à un intervalle minéralisé en Py.								
365.50	374.70	<b>Py01</b> <b>Pyrite 1%</b> 1% Py disséminée, en grains idiomorphes de 1-2mm ou très fine dans les intervalles plus fortement altérés (veinules de calcite aux épontes calcitisées, séricitisées, biotitisées et faiblement chloritisées	366.50	367.70	P298935	1.20	0.080	0.20	220.0	34.0
			367.70	369.20	P298937	1.50	0.040	0.10	67.0	34.0
			369.20	370.00	P298938	0.80	0.010	0.10	8.0	46.0
			370.00	371.20	P298939	1.20	0.010	0.10	21.0	39.0
			371.20	371.90	P298940	0.70	0.030	0.10	7.0	46.0
			371.90	373.00	P298942	1.10	0.030	0.20	21.0	63.0
372.50	373.00	<b>FAI</b> <b>Faïlle 60°</b> Boue de faille et sable dans 3-4 plans sub-centimétriques concordants.								
373.00	380.50	SIL; BO; Chl-; PA-; SR-; CB- <b>Silicification; Biotisation;</b> <b>Chloritisation faible; Paragonite</b>	373.00	374.00	P298944	1.00	0.100	0.30	9.0	119.0
			374.00	375.00	P298945	1.00	0.090	0.10	5.0	64.0

MAUDORE MINERALS Ltd

Ac

Description			Analyse							
			Dé	À	Numéro	Longueur	Au_Final (g/t)	Ag_Final (ppm)	Cu_Final (ppm)	Zn_Final (ppm)
		faible; Séricitisation faible; Carbonatation faible Si moy pervasive, Bo moy en clastes, Chl- en clastes, Pa- en patchs, Sr- en patchs, Cb- en Vnl/Vn								
374.70	378.00	Pytr	375.00	376.00	P298946	1.00	0.140	0.20	10.0	116.0
		Pyrite tr	376.00	377.00	P298947	1.00	0.030	0.10	3.0	43.0
		Py tr en grains disséminés	377.00	378.00	P298948	1.00	0.030	0.10	2.0	57.0
378.00	379.00	Py01 Pyrite 1% Py 1% en grains finement disséminés automorphes	378.00	379.00	P298949	1.00	0.100	0.30	3.0	67.0
379.00	379.50	Py01; Cptr; Sptr Pyrite 1%; Chalcopyrite tr; Sphalérite tr Py 1% en grains disséminés, Cp tr, Sp tr associés à brèche (4cm) Cb Qz dans la foliation	379.00	379.50	P298950	0.50	0.057	0.80	4.0	234.5
379.50	383.00	Py01 Pyrite 1% Py 1% en grains finement disséminés automorphes	379.50	380.00	P151534	0.50	0.031	0.40	1.0	52.0
			380.00	381.50	P298951	1.50	0.020	0.10	4.0	52.0
380.50	391.00	SIL; Chl; BO-; PA-; SR-; CB-; CB- Silicification; Chloritisation; Biotisation faible; Paragonite faible; Séricitisation faible; Carbonatation faible; Carbonatation faible Si moy pervasive, Chl moy en clastes, Bo- (voir moy) en clastes, Pa- en patchs, Sr- en patchs, Cb- en Vnl/Vn  Excepté: 381.5-383: I3; FIN								

MAUDORE MINERALS Ltd

AC

Description		Analyse								
		De	À	Numéro	Longueur	Au_Final (g/t)	Ag_Final (ppm)	Cu_Final (ppm)	Zn_Final (ppm)	
381.50	383.00	I3; FIN	381.50	382.50	P298952	1.00	0.005	0.10	35.0	33.0
		<b>Intrusion mafique; Grains fins</b>	382.50	384.00	P298953	1.50	0.010	0.10	4.0	64.0
		Intrusion mafique								
		Gris sombre-verdâtre								
		Microgrenue								
		Beaucoup de Vn (2-3cm) de Cb minéralisé en								
		Py tr								
		Contacts flous								
383.00	404.50	Py00.5	384.00	385.00	P298954	1.00	0.040	0.10	5.0	62.0
		<b>Pyrite 0.5%</b>	385.00	386.00	P298955	1.00	0.030	0.10	6.0	58.0
		Py 0.5%, localement Py 1% sur des	386.00	387.00	P298956	1.00	0.020	0.10	4.0	88.0
		intervalles de 20cm, Po tr	387.00	388.00	P298957	1.00	0.020	0.10	2.0	56.0
			388.00	389.50	P298959	1.50	0.010	0.10	3.0	36.0
			389.50	391.00	P298960	1.50	0.030	0.10	9.0	23.0
391.00	400.00	SIL; BO; Fk; SR; CB-	391.00	392.50	P298961	1.50	0.020	0.10	3.0	82.0
		<b>Silicification; Blotisation;</b>	392.50	394.00	P298962	1.50	0.030	0.30	31.0	65.0
		<b>Feldspath potassique;</b>	394.00	395.50	P298963	1.50	0.010	0.10	4.0	41.0
		<b>Séricitisation; Carbonatation</b>	395.50	397.00	P298964	1.50	0.020	0.10	4.0	39.0
		<b>faible</b>	397.00	398.50	P298966	1.50	0.010	0.10	3.0	172.0
		Si moy, Bo moy en clastes, Fk moy, Sr	398.50	400.00	P298967	1.50	0.008	0.10	7.5	38.0
		moy Cb- en Vn (1cm max.) et Vnl								
400.00	410.30	SIL; Chl; BO	400.00	401.50	P298968	1.50	0.020	0.10	19.0	28.0
		<b>Silicification; Chloritisation;</b>								
		<b>Blotisation</b>								
		Aspect massif; Si moy pervasive, Chl								
		moy en clastes, Bo moy en clastes								
400.10	401.40	FRC-	401.50	403.00	P298969	1.50	0.020	0.10	24.0	35.0
		<b>Fracturation faible</b>	403.00	404.50	P298970	1.50	0.040	0.10	10.0	44.0
		Frct- dans AC								
404.50	405.80	Py04	404.50	405.00	P298971	0.50	15.375	0.50	6.0	51.0
		<b>Pyrite 4%</b>	405.00	405.50	P298973	0.50	0.430	0.10	8.0	48.0
		Py 4% en grains disséminés	405.50	406.00	P298974	0.50	0.130	0.10	11.0	46.0
		automorphes 0.5 à 3mm								
405.80	410.50	Py00.5	406.00	407.50	P298975	1.50	0.020	0.10	6.0	47.0
		<b>Pyrite 0.5%</b>								

MAUDORE MINERALS Ltd

AC

Description			Analyse							
			De	À	Numéro	Longueur	Au_Final (g/t)	Ag_Final (ppm)	Cu_Final (ppm)	Zn_Final (ppm)
		Py 0.5% localement 1%	407.50	409.00	P298976	1.50	0.020	0.10	12.0	40.0
			409.00	410.50	P298977	1.50	0.070	0.10	22.0	56.0
410.30	422.40	SIL; Chl; BO; SR; CB Silicification; Chloritisation; Biotisation; Séricitisation; Carbonatation Si moy (voir localement faible), Chl moy en clastes, Bo moy en clastes, Sr moy en Vn, Cb moy en Vn et Vnl  Excepté 420.3-422.4: I1G								
410.50	411.20	Py03 Pyrite 3% Py 3% en grains disséminés	410.50	411.00	P298978	0.50	0.120	0.10	21.0	124.0
			411.00	411.50	P298980	0.50	0.120	0.20	32.0	77.0
411.20	430.00	Py00.5 Pyrite 0.5% Py 0.5% en grains disséminés	411.50	412.00	P298982	0.50	0.050	0.20	7.0	68.0
			412.00	412.50	P151535	0.50	0.054	0.10	11.0	66.0
			412.50	413.50	P298983	1.00	0.020	0.10	4.0	67.0
			413.50	415.00	P298984	1.50	0.020	0.10	9.0	75.0
			415.00	416.50	P298985	1.50	0.020	0.10	16.0	59.0
416.50	418.00	BRE Bréchique Intervalle bréchique souigné par Vnl de Cb blancs	416.50	418.00	P298986	1.50	0.130	0.10	23.0	98.0
			418.00	419.50	P298987	1.50	0.080	0.10	78.0	74.0
			419.50	420.40	P298988	0.90	0.060	0.10	180.0	41.0
420.30	422.40	I1G Pegmatite Pegmatite de couleur blanc-rose. Avec veinules de Qz et de Chl Contacts sup. et inf. net à 30deg AC Pas de minéralisation	420.40	421.90	P298989	1.50	0.010	0.20	11.0	20.0
			421.90	422.50	P298990	0.60	0.010	0.10	46.0	23.0
422.40	437.50	SIL; Chl; BO-; SRtr; CBtr Silicification; Chloritisation; Biotisation faible; Séricitisation tr; Carbonatation tr	422.50	424.00	P298991	1.50	0.030	0.10	162.0	69.0
			424.00	425.50	P298992	1.50	0.050	0.25	173.0	59.0
			425.50	426.50	P298993	1.00	0.090	0.30	341.0	65.0



MAUDORE MINERALS Ltd

AC

Description			Analyse							
			De	À	Numéro	Longueur	Au_Final (g/l)	Ag_Final (ppm)	Cu_Final (ppm)	Zn_Final (ppm)
428.50	430.00	Aspect massif; Si moy pervasive, Chl moy en clastes, Bo- en clastes, Sr tr et Cb tr en Vnl  Excepté: 428.5-430: I2, pFp 435.9-437.2: I2,pFp  I2; pFp <b>Intrusion intermédiaire; Porphyre de Feldspath</b> Intrusion intermédiaire Matrice sombre grise et mouchetâgé de pFp (1-2mm) blanc-rose sub-automorphe isotrope Contact sup. diifus, contact inf. diffus avec veine 30cm de pegmatite rose-rouge Vnl de Qz-Chl Pas de minéralisation								
	430.00	Py02 <b>Pyrite 2%</b> Py 2% en grains disséminés	430.00	431.50	P298994	1.50	0.020	0.10	59.0	53.0
	431.10	Py00.5 <b>Pyrite 0.5%</b> Py 0.5% en grains disséminés	431.50	433.00	P298995	1.50	0.060	0.30	394.0	61.0
			433.00	434.50	P298996	1.50	0.040	0.30	382.0	53.0
			434.50	436.00	P298998	1.50	0.065	0.20	105.0	63.0
435.90	437.20	I2; pFp <b>Intrusion intermédiaire; Porphyre de Feldspath</b> Intrusion intermédiaire Matrice sombre grise et mouchetâgé de pFp (1-2mm) rouge sub-automorphe isotrope Contact sup. fracturé, contact inf. net concordant à 50deg AC Vnl de Qz-Chl avec Py tr	436.00	437.00	P298999	1.00	0.005	0.10	10.0	27.0
			437.00	438.00	P299000	1.00	0.080	0.15	196.0	45.5
437.50	448.50	SIL; HM; SR; BO; Chl- Silicification; Hématisation; Séricitisation; Blottisation; Chloritisation faible	438.00	439.00	P295601	1.00	0.160	0.40	317.0	85.0

MAUDORE MINERALS Ltd

AC

Description		Analyse							
		De	À	Numéro	Longueur	Au_Final (g/l)	Ag_Final (ppm)	Cu_Final (ppm)	Zn_Final (ppm)
437.50	445.00	SI moy pervasive, Hm moy en Vnl et localement pervasive, Sr moy pervasive et en patches, Bo moy en clastes, Chl- en clastes  Excepté: 443.8-445: I1G BRE; FRC- <b>Bréchique; Fracturation faible</b> Brèche: Forte concentration de Vnl de Hm et/ou Cb, qlq Vn (1cm) à Hm/Cb avec enclaves de V2V3 Tl de 1-2mm en fragments anguleux. Frct- voir localement forte							
439.00	445.80	439.00	440.00	P295602	1.00	0.040	0.10	39.0	58.0
		440.00	440.50	P295603	0.50	0.050	0.10	65.0	37.0
		440.50	442.00	P295605	1.50	0.100	0.10	125.0	59.0
		442.00	442.50	P151536	0.50	0.058	0.30	37.0	227.0
		442.50	443.50	P295606	1.00	0.050	0.30	39.0	40.0
		443.50	445.00	P295607	1.50	0.020	0.10	48.0	37.0
443.80	445.00	445.00	446.00	P295608	1.00	0.050	0.60	23.0	251.0
		I1G <b>Pegmatite</b> Pegmatite de couleur rose voir rouge; grain grossier (0,5-2,5cm). Pas de minéralisation Contact sup. net 60deg AC, contact inf. diffus							
445.80	446.90	446.00	446.90	P295609	0.90	0.070	0.30	53.0	97.0
		Py00.5 <b>Pyrite 0.5%</b> Py 0.5% en grains disséminés							
446.90	447.40	446.90	447.40	P295610	0.50	0.060	0.70	46.0	3 110.0
		Py05; Sptr <b>Pyrite 5%; Sphalérite tr</b> Py 5%, Sp tr dans Vnl de Cb							
447.40	451.50	447.40	448.00	P295612	0.60	0.050	0.40	60.0	88.0
		448.00	449.00	P295613	1.00	0.040	0.10	16.0	51.0
		Py05 <b>Pyrite 5%</b> Py 5% en grains disséminés et amas centimétriques							

MAUDORE MINERALS Ltd

AK

Description			Analyse							
			De	À	Numéro	Longueur	Au_Final (g/t)	Ag_Final (ppm)	Cu_Final (ppm)	Zn_Final (ppm)
448.50	451.50	V1C: pQz Rhyodacite; Porphyre de Quartz Rhyodacite Roche grise, massive homogène Matrice fine et mouchetage de pQz bleu (2-3mm), 2 à 4% Pas de foliation visible, isotrope Minéralisation Py de 2 à 5% en grains finement disséminés Altération: Si+ pervasive, Pa+ pervasive  Contacts progressifs  Excepté: 449.5-450.7: I1G								
	448.50	451.50 SIL+; PA+ Silicification forte; Paragonite forte Si+ pervasive, Pa+ pervasive	449.00	450.00	P295614	1.00	0.020	0.20	4.0	47.0
	449.50	450.70 I1G Pegmatite 20* Pegmatite blanche à gris; grain grossier (0,5-2,5cm) avec passage aplitique. Py tr en grains automorphes Contacts nets 20deg AC	450.00	451.00	P295615	1.00	0.010	0.10	2.0	217.0
			451.00	451.50	P295616	0.50	0.270	0.20	21.0	160.0
451.50	502.00	V1; pQz; Tl Volcanite felsique; Porphyre de Quartz; Tuf à lapillis Volcanite felsique Roche gris sombre, voir brun (bcp de Biotite) pQz bleu inf. à 1mm (1%) Clastes 1-2 cm d'épaisseurs étirés selon la foliation Foliation autour de 50deg AC Minéralisation globalement entre 8-10% de Py en grains disséminés, patches et Vn  Contact sup. progressifs, contact inf. inconnu								

AC

Description	Analyse							
	Dé	À	Numéro	Longueur	Au_Final (g/t)	Ag_Final (ppm)	Cu_Final (ppm)	Zn_Final (ppm)
<p>Altération</p> <p>451.5-475.6: Si+ pervasive, Bo+ en clastes, Pa, Sr et Cb en clastes, Cb également en Vnl concordantes et discordantes, localement Mg en Vnl</p> <p>475.6-488.4: Si+ pervasive, Pa+ pervasive et en clastes, Bo moy en clastes</p> <p>488.4-502: Si+ pervasive, Bo en clastes, Chl - en clastes, Pa-, Sr- et Cb- en clastes, Cb- également en Vnl concordantes et discordantes</p> <p>Minéralisation:</p> <p>451.5-502: Py 10% en grains disséminés pour 70%, associés à Vn et/ou Vnl de Cb formant des amas pour 30%</p> <p>Veine:</p> <p>493.4-496.8: 2 Vn vertes (5cm) présentant une forte dissolution = Vn à Chl vert et Cb associées à Vnl de Py et Py 10% en grains disséminés. Contacts à 60deg AC concordant.</p> <p>Excepté:</p> <p>458.6-460.2: I2; pFp</p> <p>467.2-468.7: I3; FIN</p> <p>474.5-475.6: I1F</p> <p>478.1-484: I1G</p> <p>484-485.5: I2; pFp</p> <p>485.5-486.9: I1G</p> <p>486.9-488.4: I3; FIN</p> <p>501.8-502: I3; FIN</p>								
<p>451.50</p> <p>475.60</p> <p>SIL+; BO+; PA; SR; CB; MGir</p> <p>Silicification forte; Bitolisation forte; Paragonite; Séricitisation; Carbonatation; Magnétite tr</p> <p>Si+ pervasive, Bo+ en clastes, Pa, Sr et Cb en clastes, Cb également en Vnl concordantes et discordantes, localement Mg en Vnl</p> <p>Excepté:</p>								

MAUDORE MINERALS Ltd

Description			Analyse							
			De	À	Numéro	Longueur	Au_Final (g/l)	Ag_Final (ppm)	Cu_Final (ppm)	Zn_Final (ppm)
451.50	502.00	458.6-460.2: I2; pFp 467.2-468.7: I3; FIN 474.5-475.6: I1F  Py10 <b>Pyrite 10%</b> 502: Py 10% en grains disséminés pour 70%, associés à Vn et/ou Vnl de Cb formant des amas pour 30%  Excepté: 458.6-460.2: I2; pFp 467.2-468.7: I3; FIN 474.5-475.6: I1F 478.1-484: I1G 484-485.5: I2; pFp 485.5-486.9: I1G 486.9-488.4: I3; FIN 501.8-502: I3; FIN	451.50	452.00	P295618	0.50	0.440	0.30	48.0	78.0
			452.00	453.00	P295619	1.00	0.390	0.10	38.0	85.0
			453.00	454.00	P295620	1.00	0.250	0.10	19.0	61.0
			454.00	455.50	P295621	1.50	0.020	0.10	6.0	57.0
			455.50	456.00	P295622	0.50	0.490	0.20	31.0	63.0
			456.00	457.10	P295623	1.10	0.270	0.10	31.5	61.5
			457.10	458.60	P295624	1.50	0.240	0.10	85.0	85.0
458.60	460.20	I2; pFp <b>Intrusion intermédiaire; Porphyre de Feldspath 60°</b> Intrusion intermédiaire Roche gris sombre Matrice microgrenue à grains blancs (qz?, feldspath?) et noirs (mx mafique) Mouchetage de pFp blancs (1mm) Contacts nets concordants 60deg AC Pas de minéralisation	460.00	461.00	P295625	1.00	0.625	0.10	11.5	67.0
			461.00	461.50	P295626	0.50	0.840	0.10	12.0	47.0
			461.50	463.00	P295627	1.50	0.460	0.10	7.0	87.0
			463.00	464.00	P295628	1.00	0.470	0.10	6.0	51.0
			464.00	465.00	P295630	1.00	0.490	0.20	19.0	58.0
			465.00	466.20	P295631	1.20	0.610	0.20	5.0	44.0
			466.20	467.20	P295632	1.00	0.090	0.20	5.0	42.0
467.20	468.70	I3; FIN <b>Intrusion mafique; Grains fins 60°</b> Intrusion mafique Roche gris sombre, homogène et massif Matrice aphanitique Quelques Vn/Vnl de Cb qui recoupe l'intrusif Contacts nets concordants 60deg AC Pas de minéralisation	468.50	469.00	P295633	0.50	0.060	0.10	11.0	39.0
			469.00	470.50	P295634	1.50	0.130	0.10	6.0	53.0
			470.50	472.00	P295635	1.50	0.280	0.10	4.0	108.0
			472.00	472.50	P295637	0.50	0.400	0.10	4.0	58.0
			472.50	473.50	P295639	1.00	0.290	0.10	3.0	26.0
			473.50	474.00	P151537	0.50	0.066	0.10	92.0	79.0
			474.00	474.50	P295640	0.50	0.880	1.30	1 500.0	112.0
474.50	475.60	I1F <b>Aplite 75°</b> Aplite	474.50	475.50	P295641	1.00	0.005	0.10	15.0	57.0
			475.50	476.00	P295642	0.50	0.140	0.20	5.0	39.0

MAUDORE MINERALS Ltd

AC

Description		Analyse							
		De	À	Numéro	Longueur	Au_Final (g/l)	Ag_Final (ppm)	Cu_Final (ppm)	Zn_Final (ppm)
475.60	488.40	Roche gris marron, homogène et massive Pas vraiment de minéraux visible, mouchetage de mica Localement qlq Vnl de Cb Contacts nets concordants 75deg AC Py Ir en grains très disséminés							
		476.00	476.50	P295643	0.50	0.370	0.10	6.0	86.0
		476.50	477.00	P295644	0.50	0.230	0.10	5.0	96.0
		477.00	478.20	P295645	1.20	0.250	0.10	7.0	72.0
		Excepté: 478.1-484: I1G 484-485.5: I2; pFp 485.5-486.9: I1G 486.9-488.4: I3; FIN							
478.10	484.00	I1G <b>Pegmatite 45°</b> Pegmatite Couleur blanc à rose Minéraux centimétriques de Qz, feldspaths, micas Localement qlq Vn d'aplite Contacts nets discordants à 45deg AC Rares traces de Py en grains disséminés							
484.00	485.50	I2; pFp <b>Intrusion Intermédiaire; Porphyre de Feldspath</b> Intrusion intermédiaire Matrice aphanitique homogène noire Mouchetage de pFp blancs de 1 à 5mm Pas de minéralisation Contacts net 45deg AC							
485.50	486.90	I1G <b>Pegmatite</b> Pegmatite Couleur blanc à rose Minéraux centimétriques de Qz, feldspaths,							

MAUDORE MINERALS Ltd

AC

Description		Analyse								
		De	À	Numéro	Longueur	Au_Final (g/t)	Ag_Final (ppm)	Cu_Final (ppm)	Zn_Final (ppm)	
486.90	488.40	I3; FIN	488.30	489.50	P295646	1.20	0.240	0.10	30.0	41.0
micas Localement qlq Vn d'aplite Contacts nets discordants: Contacts sup. à 45deg AC, inf. à 50deg AC Rares traces de Py en grains disséminés Intrusion mafique; Grains fins Intrusion mafique Roche gris sombre, homogène et massif Matrice aphanitique Mouchetage (15%) de minéraux mafique (environ 1mm) probablement de la Chl noire Quelques Vn/Vnl de Cb qui recoupe l'intrusif Contact sup. net 60deg AC, contact inf. net concordant 45deg AC Pas de minéralisation										
488.40	502.00	SIL+; BO; CHL; PA-; SR-; CB- Silicification forte; Biotisation; Chloritisation faible; Paragonite faible; Séricitisation faible; Carbonatation faible	489.50	490.00	P295647	0.50	0.380	0.10	6.0	41.0
		Si+ pervasive, Bo en clastes, Chl - en clastes, Pa-, Sr- et Cb- en clastes, Cb- également en Vnl concordantes et discordantes	490.00	491.50	P295648	1.50	0.255	0.10	6.0	40.0
		Excepté: 501.8-502: I3; FIN	491.50	493.00	P295649	1.50	0.320	0.10	10.0	42.0
493.40	496.80	VEI;50%;Cl Cb;60%;Py10; Veine 50% Chlorite Carbonate 60* Pyrite 10% 2 Vn vertes (5cm) présentant une forte dissolution = Vn à Chl vert et Cb associées à Vnl de Py et Py 10% en grains disséminés. Contacts à 60deg AC concordant.	493.80	494.30	P295651	0.50	0.350	0.10	4.0	29.0
			494.30	495.50	P295652	1.20	0.110	0.10	7.0	36.0
			495.50	496.00	P295653	0.50	0.190	0.10	7.0	114.0
			496.00	497.00	P295655	1.00	0.120	0.10	3.0	35.0
			497.00	498.50	P295656	1.50	0.090	0.10	3.0	32.0
			498.50	499.00	P151538	0.50	0.160	0.10	4.0	35.0
			499.00	500.00	P295657	1.00	0.070	0.10	3.0	42.0
			500.00	501.00	P295658	1.00	0.040	0.10	11.0	42.0
501.80	502.00	I3; FIN Intrusion mafique; Grains fins Intrusion mafique								

MAUDORE MINERALS Ltd

AC

Description	Analyse							
	De	À	Numéro	Longueur	Au_Final (g/t)	Ag_Final (ppm)	Cu_Final (ppm)	Zn_Final (ppm)
Roche gris sombre, homogène et massif Matrice aphanitique Mouchetage (15%) de minéraux mafique (environ 1mm) probablement de la Chl noire Quelques Vn/Vnl de Cb qui recoupe l'intrusif Contact sup. net discordant 35deg AC, contact inf. inconnu Pas de minéralisation								
502.00 Fin du sondage Nombre d'échantillons : 335 Nombre d'échantillons QAQC : 44 Longueur totale échantillonnée : 388.20								



MAUDORE MINERALS Ltd

QAQC

De	A	Numéro	Référence	Longueur	Au (g/t)	Ag (ppm)	Cu (ppm)	Zn (ppm)
0.00	0.00	P298782	Blank	0.00	0.01	0.4	14	24
0.00	0.00	P295629	Blank	0.00	-0.01	-0.2	12	23
0.00	0.00	P298864	SQ48	0.00	29.30	1.0	60	89
0.00	0.00	P298859	Blank	0.00	-0.01	-0.2	13	22
0.00	0.00	P298839	SK62	0.00	3.88	1.1	88	94
0.00	0.00	P298829	Blank	0.00	-0.01	-0.2	17	23
0.00	0.00	P298819	SH55	0.00	1.29	0.7	111	71
0.00	0.00	P298893	SH55	0.00	1.35	0.7	115	75
0.00	0.00	P298790	SQ48	0.00	29.30	1.3	64	88
0.00	0.00	P298882	Blank	0.00	0.03	-0.2	14	24
0.00	0.00	P298757	SK62	0.00	3.69	1.3	92	91
0.00	0.00	P298753	Blank	0.00	-0.01	-0.2	11	12
0.00	0.00	P298736	SH55	0.00	1.29	0.7	103	73
0.00	0.00	P298730	Blank	0.00	-0.01	-0.2	14	25
0.00	0.00	P298719	SQ48	0.00	29.30	0.9	64	91
0.00	0.00	P298710	Blank	0.00	0.01	-0.2	12	21
0.00	0.00	P298810	Blank	0.00	0.01	-0.2	12	24
0.00	0.00	P298941	SQ48	0.00	29.90	1.1	60	84
0.00	0.00	P295617	SQ48	0.00	30.40	0.9	63	90
0.00	0.00	P295604	Blank	0.00	-0.01	-0.2	17	37
0.00	0.00	P298997	SK62	0.00	3.85	1.0	84	96
0.00	0.00	P298979	Blank	0.00	-0.01	-0.2	15	23
0.00	0.00	P298972	SH55	0.00	1.35	0.8	99	73
0.00	0.00	P298958	Blank	0.00	-0.01	-0.2	15	26
0.00	0.00	P295638	SH55	0.00	1.36	0.8	107	79
0.00	0.00	P298936	Blank	0.00	-0.01	-0.2	12	24
0.00	0.00	P295654	Blank	0.00	0.01	-0.2	15	23
0.00	0.00	P298914	SK62	0.00	3.88	1.0	79	92
0.00	0.00	P298907	Blank	0.00	-0.01	-0.2	10	18
51.00	52.50	P298708	P298698	1.50	0.01	-0.2	33	83
83.50	85.00	P298734	P298723	1.50	-0.01	-0.2	45	61
110.50	112.00	P298760	P298746	1.50	-0.01	-0.2	7	84
133.00	134.50	P298784	P298770	1.50	0.01	-0.2	15	80

MAUDORE MINERALS Ltd

AC

QAQC

De	À	Numéro	Référence	Longueur	Au (g/t)	Ag (ppm)	Cu (ppm)	Zn (ppm)
157.50	158.50	P298807	P298793	1.00	1.30	0.7	23	147
188.50	190.00	P298834	P298822	1.50	0.01	-0.2	28	110
223.00	224.50	P298861	P298846	1.50	0.01	-0.2	35	61
275.50	277.00	P298889	P298873	1.50	0.01	-0.2	12	40
302.50	304.00	P298908	P298895	1.50	0.02	0.2	30	46
321.10	322.00	P298943	P298903	0.90	0.04	0.5	180	47
359.20	359.80	P298965	P298931	0.60	0.01	-0.2	3	53
398.50	400.00	P298981	P298967	1.50	-0.01	-0.2	7	41
424.00	425.50	P295611	P298992	1.50	0.06	0.3	189	61
456.00	457.10	P295636	P295623	1.10	0.27	-0.2	35	62
490.00	491.50	P295660	P295648	1.50	0.29	-0.2	7	48

MAUDORE MINERALS Ltd



Géochimie

De	À	Numéro	Longueur	Description	SiO2 (%)	Al2O3 (%)	Fe2O3 (%)	CaO (%)
50.50	51.00	P151514	0.50	V2V3; SIL+; Chl; BO-; PA-; HM-; CB-; SRtr; MGtr	61.59	16.13	6.12	5.06
82.00	82.50	P151515	0.50	V2V3; SIL+; Chl; BO-; PA-; HM-; CB-; SRtr; MGtr	61.37	16.14	5.33	5.17
112.00	112.50	P151516	0.50	V2V3; SIL+; Chl; BO-; PA-; CBtr; AB-	62.84	15.30	5.50	4.83
141.30	141.80	P151520	0.50	V2V3 Ti; SIL+; Chl+	61.30	15.95	6.98	5.09
172.00	172.50	P151521	0.50	I2, pFp	63.87	15.78	4.33	3.46
203.00	203.50	P151522	0.50	V2V3 Ti; SIL+; Chl; PA; BO-; CB-; SR-; HM-; EPtr	63.00	16.02	5.49	4.89
225.50	226.00	P151526	0.50	V2V3 Ti; SIL+; Chl; PA; BO-; CB-; SR-; HM-; EPtr	59.76	15.78	6.68	6.50
262.00	262.50	P151527	0.50	V2V3 Ti; SIL; Chl; BO; SR; EP-; CBtr	62.11	14.92	6.90	6.22
292.00	292.50	P151528	0.50	V2V3 Ti; SIL; HM; Chl; PA; BO-; CB-	58.98	15.64	6.94	4.27
322.00	322.50	P151529	0.50	V2V3,pFp,Ti,Si,CL-,BO-	60.91	15.03	6.29	5.71
352.00	352.50	P151530	0.50	V2V3 Ti, Si,CL,CB	60.85	15.06	7.33	4.67
379.50	380.00	P151534	0.50	V2V3 Ti; Si; BO; Chl-; PA-; SR-; CB-	63.67	14.86	6.44	2.94
412.00	412.50	P151535	0.50	V2V3 Ti SIL; Chl; BO; SR; CB	60.71	14.03	7.62	4.25
442.00	442.50	P151536	0.50	V2V3 Ti; SIL; HM; SR; BO; Chl-	60.65	14.09	7.08	3.76
473.50	474.00	P151537	0.50	V1, pQz, Ti; SIL+; BO+; PA; SR; CB; MGtr	62.62	15.21	6.57	4.61
498.50	499.00	P151538	0.50	V1, pQz, Ti; SIL+; BO; Chl-; PA-; SR-; CB-	61.92	14.76	7.59	4.65

## Géochimie

De	À	Numéro	Longueur	MgO (%)	Na2O (%)	K2O (%)	Cr2O3 (%)	TiO2 (%)	MnO (%)	P2O5 (%)
50.50	51.00	P151514	0.50	3.25	4.46	1.11	0.01	0.51	0.11	0.16
82.00	82.50	P151515	0.50	1.90	3.76	1.81	0.01	0.60	0.09	0.22
112.00	112.50	P151516	0.50	2.36	3.44	1.72	0.01	0.56	0.12	0.20
141.30	141.80	P151520	0.50	3.13	4.43	1.12	0.01	0.57	0.12	0.15
172.00	172.50	P151521	0.50	1.05	4.73	2.64	-0.01	0.48	0.10	0.21
203.00	203.50	P151522	0.50	2.05	3.55	1.48	0.01	0.57	0.11	0.20
225.50	226.00	P151526	0.50	3.03	3.23	2.00	0.01	0.56	0.11	0.16
262.00	262.50	P151527	0.50	2.96	2.27	0.93	0.01	0.51	0.13	0.12
292.00	292.50	P151528	0.50	3.47	4.97	1.86	0.02	0.52	0.12	0.12
322.00	322.50	P151529	0.50	3.97	4.10	0.75	0.02	0.54	0.12	0.11
352.00	352.50	P151530	0.50	4.43	4.11	0.73	0.03	0.52	0.12	0.11
379.50	380.00	P151534	0.50	3.47	2.09	3.03	0.03	0.48	0.09	0.10
412.00	412.50	P151535	0.50	4.72	1.89	3.01	0.03	0.48	0.11	0.10
442.00	442.50	P151536	0.50	4.82	3.10	2.49	0.03	0.47	0.16	0.10
473.50	474.00	P151537	0.50	3.08	2.26	2.58	0.01	0.52	0.07	0.15
498.50	499.00	P151538	0.50	2.68	2.84	1.67	0.02	0.48	0.06	0.10

MAUDORE MINERALS Ltd

AC

Géochimie

De	À	Numéro	Longueur	SrO (%)	BaO (%)	LOI (%)	Total (%)	Nb (ppm)	Ba (ppm)	Rb (ppm)
50.50	51.00	P151514	0.50	0.03	0.04	1.21	99.79	5	290	26
82.00	82.50	P151515	0.50	0.03	0.05	2.77	99.24	7	320	47
112.00	112.50	P151516	0.50	0.03	0.05	2.04	98.99	5	310	46
141.30	141.80	P151520	0.50	0.06	0.04	0.92	99.87	4	350	33
172.00	172.50	P151521	0.50	0.06	0.10	2.61	99.42	18	750	62
203.00	203.50	P151522	0.50	0.04	0.05	2.02	99.48	6	390	37
225.50	226.00	P151526	0.50	0.04	0.08	1.52	99.47	4	680	51
262.00	262.50	P151527	0.50	0.04	0.05	2.41	99.58	5	390	27
292.00	292.50	P151528	0.50	0.03	0.04	2.91	99.90	4	290	65
322.00	322.50	P151529	0.50	0.03	0.03	1.95	99.56	4	130	29
352.00	352.50	P151530	0.50	0.07	0.02	1.78	99.83	4	120	31
379.50	380.00	P151534	0.50	0.02	0.06	2.81	100.10	4	510	115
412.00	412.50	P151535	0.50	0.02	0.06	2.98	100.00	5	460	135
442.00	442.50	P151536	0.50	0.02	0.07	3.20	100.05	4	580	96
473.50	474.00	P151537	0.50	0.03	0.04	2.18	99.93	4	250	88
498.50	499.00	P151538	0.50	0.03	0.03	3.14	99.97	4	260	52

## Géochimie

De	À	Numéro	Longueur	Zr (ppm)	Y (ppm)	Sr (ppm)	Au (ppm)	Ag (ppm)	Al (%)	As (ppm)
50.50	51.00	P151514	0.50	114	11	306	0.005	0.20	1.66	-2
82.00	82.50	P151515	0.50	147	13	348	0.007	-0.2	1.83	-2
112.00	112.50	P151516	0.50	145	12	306	-0.005	-0.2	2.24	-2
141.30	141.80	P151520	0.50	119	14	553	0.008	-0.2	1.40	-2
172.00	172.50	P151521	0.50	279	25	678	0.022	-0.2	1.04	-2
203.00	203.50	P151522	0.50	151	13	415	-0.005	-0.2	1.94	-2
225.50	226.00	P151526	0.50	109	12	420	-0.005	-0.2	2.12	-2
262.00	262.50	P151527	0.50	140	11	388	0.023	-0.2	3.10	-2
292.00	292.50	P151528	0.50	124	11	355	0.007	0.20	1.85	2
322.00	322.50	P151529	0.50	122	12	331	-0.005	-0.2	1.52	-2
352.00	352.50	P151530	0.50	127	12	670	-0.005	-0.2	1.69	-2
379.50	380.00	P151534	0.50	124	10	253	0.031	0.40	2.53	2
412.00	412.50	P151535	0.50	122	11	238	0.054	-0.2	3.02	5
442.00	442.50	P151536	0.50	120	11	282	0.058	0.30	2.54	-2
473.50	474.00	P151537	0.50	122	12	341	0.066	-0.2	2.49	-2
498.50	499.00	P151538	0.50	113	11	376	0.160	-0.2	1.96	-2

MAUDORE MINERALS Ltd

AC

Géochimie

De	À	Numéro	Longueur	B (ppm)	Ba Econo (ppm)	Be (ppm)	Bi (ppm)	Ca (%)	Cd (ppm)	Co (ppm)
50.50	51.00	P151514	0.50	-10		-0.5	-2	0.95	-0.5	14
82.00	82.50	P151515	0.50	-10		-0.5	2	2.01	-0.5	13
112.00	112.50	P151516	0.50	-10		-0.5	-2	1.59	-0.5	15
141.30	141.80	P151520	0.50	-10		-0.5	-2	0.85	-0.5	13
172.00	172.50	P151521	0.50	-10		-0.5	2	1.63	-0.5	7
203.00	203.50	P151522	0.50	-10		-0.5	2	1.46	-0.5	15
225.50	226.00	P151526	0.50	-10		-0.5	-2	1.35	-0.5	18
262.00	262.50	P151527	0.50	-10		-0.5	3	2.07	-0.5	20
292.00	292.50	P151528	0.50	-10		-0.5	-2	1.86	-0.5	15
322.00	322.50	P151529	0.50	-10		-0.5	-2	1.42	-0.5	8
352.00	352.50	P151530	0.50	-10		-0.5	-2	0.87	-0.5	10
379.50	380.00	P151534	0.50	-10		0.5	-2	1.07	-0.5	23
412.00	412.50	P151535	0.50	-10		0.8	-2	1.33	-0.5	29
442.00	442.50	P151536	0.50	-10		0.5	-2	1.27	1.5	31
473.50	474.00	P151537	0.50	10		-0.5	-2	1.30	-0.5	9
498.50	499.00	P151538	0.50	-10		-0.5	-2	0.98	-0.5	16

## Géochimie

De	À	Numéro	Longueur	Cr (ppm)	Cu (ppm)	Fe (%)	Ga (ppm)	Hg (ppm)	K (%)	La (ppm)
50.50	51.00	P151514	0.50	51	36	2.87	10	-1	0.75	10
82.00	82.50	P151515	0.50	27	48	3.25	10	-1	0.73	20
112.00	112.50	P151516	0.50	39	4	3.49	10	-1	0.98	20
141.30	141.80	P151520	0.50	37	47	2.64	10	1	0.38	20
172.00	172.50	P151521	0.50	4	9	2.25	-10	-1	0.21	50
203.00	203.50	P151522	0.50	36	39	3.19	10	-1	0.56	20
225.50	226.00	P151526	0.50	54	36	3.26	10	-1	1.19	10
262.00	262.50	P151527	0.50	59	136	3.31	10	1	0.25	10
292.00	292.50	P151528	0.50	71	19	3.58	10	-1	0.12	10
322.00	322.50	P151529	0.50	90	35	2.21	10	-1	0.17	10
352.00	352.50	P151530	0.50	122	3	2.95	10	-1	0.30	10
379.50	380.00	P151534	0.50	135	1	4.17	10	-1	0.64	10
412.00	412.50	P151535	0.50	174	11	4.67	10	-1	0.69	10
442.00	442.50	P151536	0.50	141	37	3.99	10	-1	0.26	10
473.50	474.00	P151537	0.50	39	92	3.96	10	-1	1.02	10
498.50	499.00	P151538	0.50	77	4	4.78	10	-1	0.90	10



AL

Géochimie

De	À	Numéro	Longueur	Mg (%)	Mn (ppm)	Mo (ppm)	Na (%)	Ni (ppm)	P (ppm)	Pb (ppm)
50.50	51.00	P151514	0.50	1.28	342	-1	0.10	39	700	-2
82.00	82.50	P151515	0.50	1.07	474	-1	0.09	25	980	-2
112.00	112.50	P151516	0.50	1.39	624	-1	0.10	29	890	-2
141.30	141.80	P151520	0.50	1.03	280	-1	0.13	30	640	-2
172.00	172.50	P151521	0.50	0.48	570	-1	0.07	1	870	3
203.00	203.50	P151522	0.50	1.10	503	-1	0.12	26	870	2
225.50	226.00	P151526	0.50	1.31	427	-1	0.13	36	710	3
262.00	262.50	P151527	0.50	1.20	442	-1	0.22	45	510	-2
292.00	292.50	P151528	0.50	1.51	525	-1	0.10	60	560	7
322.00	322.50	P151529	0.50	1.20	305	-1	0.12	54	500	2
352.00	352.50	P151530	0.50	1.48	319	-1	0.10	68	460	-2
379.50	380.00	P151534	0.50	1.90	475	-1	0.10	102	450	4
412.00	412.50	P151535	0.50	2.41	527	-1	0.15	119	470	2
442.00	442.50	P151536	0.50	2.34	738	4	0.08	108	470	4
473.50	474.00	P151537	0.50	1.62	335	2	0.09	37	680	-2
498.50	499.00	P151538	0.50	1.40	302	-1	0.12	55	410	-2

MAUDORE MINERALS Ltd

AC

Géochimie

De	À	Numéro	Longueur	S (%)	Sb (ppm)	Sc (ppm)	Th (ppm)	Sr Econo (ppm)	Tl (%)	Tl (ppm)
50.50	51.00	P151514	0.50	0.18	-2	6	-20		0.14	-10
82.00	82.50	P151515	0.50	0.04	-2	5	-20		0.17	-10
112.00	112.50	P151516	0.50	0.35	-2	7	-20		0.20	-10
141.30	141.80	P151520	0.50	0.23	-2	4	-20		0.13	-10
172.00	172.50	P151521	0.50	0.28	-2	1	-20		0.15	-10
203.00	203.50	P151522	0.50	0.11	-2	6	-20		0.18	-10
225.50	226.00	P151526	0.50	0.31	-2	7	-20		0.22	-10
262.00	262.50	P151527	0.50	0.49	-2	6	-20		0.14	-10
292.00	292.50	P151528	0.50	0.20	-2	6	-20		0.19	-10
322.00	322.50	P151529	0.50	0.02	-2	4	-20		0.15	-10
352.00	352.50	P151530	0.50	0.01	-2	4	-20		0.15	-10
379.50	380.00	P151534	0.50	1.32	3	8	-20		0.18	-10
412.00	412.50	P151535	0.50	1.79	3	7	-20		0.22	-10
442.00	442.50	P151536	0.50	0.70	-2	6	-20		0.19	-10
473.50	474.00	P151537	0.50	0.88	-2	5	-20		0.23	-10
498.50	499.00	P151538	0.50	3.16	4	5	-20		0.12	-10

AC

Géochimie

De	À	Numéro	Longueur	U (ppm)	V (ppm)	W (ppm)	Zn (ppm)
50.50	51.00	P151514	0.50	-10	71	-10	66
82.00	82.50	P151515	0.50	-10	66	-10	89
112.00	112.50	P151516	0.50	-10	79	-10	84
141.30	141.80	P151520	0.50	-10	68	-10	46
172.00	172.50	P151521	0.50	-10	18	-10	58
203.00	203.50	P151522	0.50	-10	71	-10	71
225.50	226.00	P151526	0.50	-10	92	-10	74
262.00	262.50	P151527	0.50	-10	55	-10	49
292.00	292.50	P151528	0.50	-10	71	-10	54
322.00	322.50	P151529	0.50	-10	53	-10	31
352.00	352.50	P151530	0.50	-10	68	-10	36
379.50	380.00	P151534	0.50	-10	69	-10	52
412.00	412.50	P151535	0.50	-10	79	-10	66
442.00	442.50	P151536	0.50	-10	66	-10	227
473.50	474.00	P151537	0.50	-10	66	-10	79
498.50	499.00	P151538	0.50	-10	56	-10	35

MAUDORE MINERALS Ltd

Sondage : COM-12-904

Titre minier : 5029366

Section : 1265E

Canton : Comtois

Niveau : Surface

Rang : IX

Place de travail : Lebel-Sur-Quévillon

Foré par : Forage Orbit Garant

Lot : 42

Décrit par : Nicolas Guivarch

Du : 2012-06-27

Date de description : 2012-07-04

Au : 2012-06-28

Collet

	UTM	Locales	GREER
Azimut : 184.00°			
Plongée : -68.00°			
Longueur : 102.00 m			
Est	340 428.17	1 255.20	3 129.68
Nord	5 444 736.09	1 438.26	3 114.37
Élévation	293.55	293.55	293.55

Déviations

Type	Profondeur	Azimut	Plongée	Invalide	Description
Reflex (single shot)	27.00	184.70°	-68.30°	Oui	53084
Reflex (single shot)	42.00	217.40°	-68.10°	Oui	55912
Reflex (single shot)	45.00	213.70°	-68.20°	Oui	43110
Reflex (single shot)	51.00	199.20°	-68.10°	Oui	57770
Reflex (single shot)	60.00	182.40°	-67.90°	Oui	57441
Reflex (single shot)	63.00	190.50°	-68.00°	Oui	56043
Reflex (single shot)	69.00	174.80°	-67.90°	Non	58662
Reflex (single shot)	75.00	176.60°	-67.90°	Non	57213
Reflex (single shot)	84.00	177.70°	-67.80°	Non	56542
Reflex (single shot)	96.00	177.00°	-67.70°	Non	56172
Reflex (single shot)	102.00	177.40°	-67.60°	Non	55942

Description

OSH-12-11  
Arraché à 102m pour mauvais azimuth



*NG*

Dimension de la carotte : Carotte NQ      Cimenté : Non      Entrepris : Oui

Description			Analyse							
			De	À	Numéro	Longueur	Au_Final (g/t)	Ag_Final (ppm)	Cu_Final (ppm)	Zn_Final (ppm)
0.00	15.50	MT Mort Terrain Mort terrain								
15.50	102.00	V2-V3; TI Volcanite intermédiaire à mafique; Tuf à lapillis Volcanite intermédiaire à mafique Couleur gris sombre Roche plutôt homogène Présence de 5% globalement de clastes biotisés (couleur brunâtre), en forme d'ogive, étirés dans la foliation. Elle est orientée à 30-40deg AC. Environ 5% de Vn/Vnl de Qz+Cb concordantes De 73-76m: Roche de couleur gris moyen à sombre ressemblant à la texture du V1C, zébré (???) avec de fines laminations discontinues blanchâtres marquant la foliation. Pas de contacts distincts.  Veines: De 63.2-63.3m: Veine de Qz blanc à 50-55deg discordante. 2% Py en amas de 3-5mm au niveau des épontes de la veine De 74.2-74.4m: Gros amas de Sil+Cb étiré dans l'axe de la carotte. Py en traces en qqs grains inframm diss  Altération: De 15.5-82.7m: Si+ pervasive, Bt matricielle et en clastes, Cb- en Vn/Vnl De 82.7-91.7m: Si+ pervasive, Ab moy à forte en petits porphyres blanchâtres mm, Bt matricielle et en clastes, Cb- en Vn/Vnl De 91.7-96.3m: Si+ pervasive, Hm pervasif, Cb en Vn/Vnl et réseau de fines fissures, Ab- en rares porphyres blanchâtres, Chl noire en traces en remplissage de fissures De 96.3-99.9m: Si+ pervasive, Ab moy à forte en petits porphyres blanchâtres mm, Bt matricielle et en clastes, Cb- en Vn/Vnl De 99.9-102m: Si+ pervasive, Hm pervasif et en remplissage de fissures, Cb en Vn/Vnl et réseau de fines fissures, Ab- en rares porphyres blanchâtres,	17.00	18.00	M107928	1.00	0.010	0.20	45.0	52.0
			18.00	18.50	P151469	0.50	0.007	0.10	32.0	19.0
			18.50	19.20	M107929	0.70	0.020	0.20	59.0	17.0

MAUDORE MINERALS Ltd

AL NG

Description	Analyse							
	De	À	Numéro	Longueur	Au_Final (g/t)	Ag_Final (ppm)	Cu_Final (ppm)	Zn_Final (ppm)
<p>Chl noire en traces en remplissage de fissures</p> <p>Minéralisation:                      De 15.5-36.3m: Globalement, 1-2% Py en grains finement diss (80%) ou en rares amas plurimm (20%). Répartition hétérogène                      De 67.2-68.1m: Globalement, 0.5% Py en grains inframm à mm diss                      De 86-91.7m: 1-2% Py en grains inframm diss. Répartition homogène.                      De 98.3-99.m: 1% Py en grains inframm finement diss</p> <p>Structures: Peu de mesures car foliation peu visible et manque de traits en début de trou</p> <p>Contact sup dans le casing et inf ???</p>								
<p>15.50 82.70 SIL+; BO; CB-                      Silicification forte; Blotisation;                      Carbonatation faible                      Si+ pervasive, Bt matricielle et en clastes, Cb- en Vn/Vnl</p> <p>excepté:                      19.2-21.4m: I3A                      37.4-64.8m: I3A</p>								
<p>15.50 36.30 Py02                      Pyrite 2%                      Globalement, 1-2% Py en grains finement diss (80%) ou en rares amas plurimm (20%). Répartition hétérogène</p> <p>excepté:                      19.2-21.4m: I3A</p>								
<p>19.20 21.40 I3A</p>	19.20	20.10	M107930	0.90	0.160	0.30	264.0	15.0
<p>Gabbro</p>	20.10	21.40	M107931	1.30	0.400	0.50	666.0	14.0
<p>Gabbro</p>	21.40	22.00	M107932	0.60	0.060	0.20	182.0	17.0
<p>Couleur vert forêt-vert sombre</p>	22.00	23.00	M107933	1.00	0.020	0.10	139.0	27.0
<p>Roche à grains plutôt fins jusqu'à 20.6m puis moyennement grenue avec porphyres</p>	23.00	24.00	M107935	1.00	0.005	0.10	46.0	41.0
<p>d'amphiboles</p>	24.00	25.50	M107936	1.50	0.005	0.10	30.0	27.0
<p>Foliation à 30-40deg faiblement marquée</p>								

MAUDORE MINERALS Ltd

AC NG

Description	Analyse									
	De	À	Numéro	Longueur	Au_Final (g/t)	Ag_Final (ppm)	Cu_Final (ppm)	Zn_Final (ppm)		
localement par l'étiement de grains matriciels	25.50	27.00	M107937	1.50	0.010	0.10	41.5	29.0		
et notamment les porphyres d'amphiboles	27.00	28.50	M107938	1.50	0.080	0.10	42.0	29.0		
Environ 10% d'amphiboles vert sombre en	28.50	30.00	M107939	1.50	0.010	0.10	25.0	20.0		
baguettes de 1-3mm	30.00	31.50	M107940	1.50	0.005	0.10	19.0	20.0		
Mag moyen à fort localement	31.50	33.00	M107941	1.50	0.010	0.10	52.0	31.0		
Veine: de 19.6-19.7m: Veine discontinue et	33.00	34.50	M107942	1.50	0.005	0.10	27.0	33.0		
ondulante de Cb rose+Sil. Pas de	34.50	36.00	M107943	1.50	0.030	0.10	53.0	40.0		
minéralisation associée.	36.00	37.40	M107944	1.40	0.280	0.50	279.0	31.0		
Altération:										
De 19.2-19.6m: Si+ pervasive, Chl+ pervasive,										
Amp- en petits porphyres, Cb- faiblement										
pervasive										
De 19.6-20.1m: Si+, pervasive, Cb+ pervasif,										
Chl+ pervasif, Amp- en petits porphyres										
De 20.1-21.4m: Si+ pervasif, Chl+ pervasif,										
AMP+ en porphyres plurimm, Cb- faiblement										
pervasif										
Minéralisation: Py en traces en qqs grains										
finement diss										
COntact sup diffus sur 10cm (changement de										
couleur) et inf de 25deg concordant										
37.40	64.80	13A	37.40	37.90	M107945	0.50	0.120	0.30	344.0	29.0
		Gabbro	37.90	39.00	M107947	1.10	0.170	0.50	536.0	15.0
		Gabbro	39.00	39.50	P151470	0.50	0.144	0.40	630.0	10.0
		Roche hétérogène	39.50	40.50	M107949	1.00	0.100	0.60	614.0	19.0
		Couleur vert forêt jusqu'à 46.6m puis gris	40.50	42.00	M107950	1.50	0.440	0.70	771.5	14.5
		sombre verdâtre le reste de l'intervalle (chlorite	42.00	42.60	P299301	0.60	0.150	0.50	883.0	32.0
		noire pervasive?)	42.60	43.10	P299302	0.50	0.140	0.40	491.0	10.0
		Roche à grains plutôt fins jusqu'à 20.6m puis	43.10	44.20	P299304	1.10	0.370	0.40	597.0	20.0
		moymnement grenue avec porphyres	44.20	45.50	P299305	1.30	0.180	0.50	642.0	27.0
		d'amphiboles	48.00	48.90	P299306	0.90	0.020	0.10	76.0	124.0
		Foliation à 30-40deg marquée localement par								
		l'étiement de grains matriciels et notamment les								

MAUDORE MINERALS Ltd

AL NG

Description	Analyse							
	De	À	Numéro	Longueur	Au_Final (g/t)	Ag_Final (ppm)	Cu_Final (ppm)	Zn_Final (ppm)
porphyres d'amphiboles. Foliation surtout visible à partir de 46.6m.	48.90	49.80	P299307	0.90	0.350	0.80	521.0	441.0
Environ 10% d'amphiboles vert sombre en baguettes de 1-3mm.	49.80	50.70	P299309	0.90	0.090	0.90	427.0	655.0
Mag moyen globalement	50.70	51.20	P299311	0.50	0.620	1.40	454.0	1 695.0
	51.20	52.50	P299312	1.30	0.090	0.60	420.0	755.0
	52.50	54.00	P299313	1.50	0.040	0.40	157.0	357.0
Veine: de 43.5-43.8m: Veine, au contact sup de 50deg AC et inf dans une zone de fracture, de Cb rose+Sil. Pas de minéralisation associée.	54.00	55.50	P299314	1.50	0.110	0.50	168.0	490.0
	55.50	57.00	P299315	1.50	0.640	0.60	188.0	117.0
	57.00	58.00	P299316	1.00	0.090	0.20	162.0	91.0
Altération:	58.00	59.00	P299317	1.00	0.040	0.40	146.0	128.0
De 37.4-46.6m: Si+ pervasive, CHI+ pervasive, Amp+ en porphyres, Cb- faiblement pervasifs et en Vn/Vnl, Ép-	59.00	60.00	P299318	1.00	0.080	0.60	409.0	1 125.0
	60.00	60.50	P151471	0.50	0.123	0.90	255.0	98.0
De 46.6-64.8m: Si+ pervasif, Amph- en prophyres, Cb moy en fines laminations ou faiblement pervasifs	60.50	62.00	P299319	1.50	0.060	0.60	412.0	628.0
	62.00	63.50	P299320	1.50	0.035	0.45	432.5	295.5
Minéralisation:								
De 37.4-42.2m: Py en traces en grains infram à mm diss de façon aléatoire								
à 37.4m: Vnl de Py au niveau du contact sup								
De 42.2-44.2m: 1% Py en grains mm diss, parfois regroupés en grappes plurim (90%) ou en rares alignements de grains le long de fissures (10%)								
Cp en traces en grains diss le long d'une fissure (42.9m)								
De 48.9-49.7m: 5% Py en amas plurim "floconneux", souvent répartis en grappes plurim (70%) ou en grains mm diss, notamment le long de Vn/Vnl de Sil (30%)								
De 49.7-62.2m: 1-3% Py en grains finement diss (80%) ou en qqs amas localisés dans des passages de 20cm en moyenne (20%)								
De 62.2-64.8m: 3-5% Py en amas difformes de 2-5mm souvent regroupés en grappes (70%) ou en grains infram à mm diss (30%)								
Contact sup diffus sur 10cm (changement de couleur) et inf de 50deg AC								



MAUDORE MINERALS Ltd

ALNG

Description			Analyse							
			De	À	Numéro	Longueur	Au_Final (g/l)	Ag_Final (ppm)	Cu_Final (ppm)	Zn_Final (ppm)
63.20	63.30	VEI;100%;Qz;;;Py02;	63.50	64.80	P299321	1.30	0.060	0.80	857.0	365.0
		<b>Veine 100% Quartz Pyrite 2%</b>	64.80	66.00	P299322	1.20	0.005	0.20	39.0	59.0
		Veine de Qz blanc à 50-55deg	66.00	67.00	P299323	1.00	0.020	0.10	9.0	39.0
		discordante, 2% Py en amas de 3-5mm au niveau des épontes de la veine	67.00	67.70	P299324	0.70	0.005	0.20	60.0	37.0
67.20	68.10	Py00.5	67.70	69.00	P299325	1.30	0.017	0.15	41.0	28.0
		<b>Pyrite 0.5%</b>	73.00	74.00	P299326	1.00	0.010	0.20	7.0	19.0
		Globalement, 0.5% Py en grains inframm à mm diss	74.00	75.00	P299327	1.00	0.010	0.10	9.0	21.0
74.20	74.40	AMA;60%;Qz Cb;;;Py;	75.00	76.00	P299328	1.00	0.005	0.10	11.0	24.0
		<b>Amas 60% Quartz Carbonate Pyrite</b>	82.50	83.50	P299329	1.00	0.005	0.10	47.0	35.0
Gros amas de Sil+Cb étiré dans l'axe de la carotte. Py en traces en qqs grains inframm diss										
82.70	91.70	SIL+; AB; BO; CB-	83.50	84.50	P299330	1.00	0.005	0.20	31.0	48.0
		<b>Silicification forte; Albitisation; Biotisation; Carbonatation faible</b>	84.50	85.90	P299331	1.40	0.010	0.10	41.0	54.0
		Si+ pervasive, Ab moy à forte en petits porphyres blanchâtres mm, Bt matricielle et en clastes, Cb- en Vn/Vnl	85.90	87.00	P299332	1.10	0.005	0.10	18.0	56.0
86.00	91.70	Py02	87.00	88.00	P299333	1.00	0.005	0.10	13.0	43.0
		<b>Pyrite 2%</b>	88.00	89.00	P299335	1.00	0.005	0.10	44.0	53.0
		1-2% Py en grains inframm diss. Répartition homogène.	89.00	90.00	P299336	1.00	0.005	0.10	21.0	76.0
			90.00	90.50	P151472	0.50	0.002	0.10	33.0	56.0
			90.50	91.70	P299337	1.20	0.005	0.20	29.0	44.0
91.70	96.30	SIL+; HM; CB; AB-	91.70	93.00	P299338	1.30	0.005	0.10	18.0	40.0
<b>Silicification forte; Hémalisation; Carbonatation; Albitisation faible</b>										
Si+ pervasive, Hm pervasif, Cb en Vn/Vnl et réseau de fines fissures, Ab- en rares porphyres blanchâtres, Chl noire en traces en remplissage de fissures										
96.30	99.90	SIL+; AB; BO; CB-								
		<b>Silicification forte; Albitisation; Biotisation; Carbonatation faible</b>								
Si+ pervasive, Ab moy à forte en petits porphyres blanchâtres mm, Bt matricielle										

Description			Analyse							
			De	À	Numéro	Longueur	Au_Final (g/t)	Ag_Final (ppm)	Cu_Final (ppm)	Zn_Final (ppm)
98.30	99.00	et en clastes, Cb- en Vn/Vnl Py01 Pyrite 1% 1% Py en grains inframes finement diss								
99.90	102.00	SIL+; HM; CB; AB- Silicification forte; Hématisation; Carbonatation; Albitisation faible Si+ pervasive, Hm pervasif et en remplissage de fissures, Cb en Vn/Vnl et réseau de fines fissures, Ab- en rares porphyres blanchâtres, Chl noire en traces en remplissage de fissures								
102.00	Fin du sondage Nombre d'échantillons : 58 Nombre d'échantillons QAQC : 7 Longueur totale échantillonnée : 63.00									

AL NG

QAQC

De	À	Numéro	Référence	Longueur	Au (g/t)	Ag (ppm)	Cu (ppm)	Zn (ppm)
0.00	0.00	P299334	Blank	0.00	-0.01	-0.2	12	17
0.00	0.00	P299308	SH55	0.00	1.36	0.8	113	81
0.00	0.00	P299303	Blank	0.00	-0.01	-0.2	14	27
0.00	0.00	M107946	SQ48	0.00	29.20	1.3	62	88
0.00	0.00	M107934	Blank	0.00	-0.01	-0.2	11	21
25.50	27.00	P299310	M107937	1.50	0.01	-0.2	43	29
62.00	63.50	P299345	P299320	1.50	0.04	0.4	420	299

AL NG

Géochimie

De	À	Numéro	Longueur	Description	SiO2 (%)	Al2O3 (%)	Fe2O3 (%)	CaO (%)
18.00	18.50	P151469	0.50		59.15	15.15	6.71	5.74
39.00	39.50	P151470	0.50		46.55	4.22	13.75	16.51
60.00	60.50	P151471	0.50		43.88	14.08	14.13	9.98
90.00	90.50	P151472	0.50		63.03	15.69	5.40	3.68

## Géochimie

De	À	Numéro	Longueur	MgO (%)	Na2O (%)	K2O (%)	Cr2O3 (%)	TiO2 (%)	MnO (%)	P2O5 (%)
18.00	18.50	P151469	0.50	3.89	6.28	0.18	0.02	0.64	0.15	0.21
39.00	39.50	P151470	0.50	13.31	0.45	0.16	0.12	1.65	0.26	0.07
60.00	60.50	P151471	0.50	3.39	4.63	1.37	-0.01	2.36	0.30	0.63
90.00	90.50	P151472	0.50	3.00	5.03	1.25	0.01	0.48	0.09	0.13

KLNG

Géochimie

De	À	Numéro	Longueur	SrO (%)	BaO (%)	LOI (%)	Total (%)	Nb (ppm)	Ba (ppm)	Rb (ppm)
18.00	18.50	P151469	0.50	0.03	0.03	1.77	99.95	5	220	8
39.00	39.50	P151470	0.50	0.02	0.02	2.75	99.84	26	40	3
60.00	60.50	P151471	0.50	0.13	0.11	3.93	98.92	62	1 050	62
90.00	90.50	P151472	0.50	0.05	0.04	1.02	98.90	4	280	31

ALNG

Géochimie

De	À	Numéro	Longueur	Zr (ppm)	Y (ppm)	Sr (ppm)	Au (ppm)	Ag (ppm)	Al (%)	As (ppm)
18.00	18.50	P151469	0.50	128	14	292	0.007	-0.2	0.55	-2
39.00	39.50	P151470	0.50	66	12	264	0.144	0.40	0.27	-2
60.00	60.50	P151471	0.50	139	16	1 320	0.123	0.90	1.91	-2
90.00	90.50	P151472	0.50	126	10	430	-0.005	-0.2	1.55	-2

Géochimie

De	A	Numéro	Longueur	B (ppm)	Ba Econo (ppm)	Be (ppm)	Bi (ppm)	Ca (%)	Cd (ppm)	Co (ppm)
18.00	18.50	P151469	0.50	-10		-0.5	-2	1.73	-0.5	10
39.00	39.50	P151470	0.50	-10		-0.5	-2	2.64	-0.5	13
60.00	60.50	P151471	0.50	-10		0.6	-2	4.60	-0.5	29
90.00	90.50	P151472	0.50	-10		-0.5	-2	0.47	-0.5	14



AC NG

Géochimie

De	À	Numéro	Longueur	Cr (ppm)	Cu (ppm)	Fe (%)	Ga (ppm)	Hg (ppm)	K (%)	La (ppm)
18.00	18.50	P151469	0.50	80	32	2.06	-10	-1	0.04	30
39.00	39.50	P151470	0.50	193	630	2.46	-10	-1	0.01	10
60.00	60.50	P151471	0.50	1	255	7.04	10	-1	1.06	60
90.00	90.50	P151472	0.50	43	33	2.69	10	-1	0.79	10

Géochimie

De	À	Numéro	Longueur	Mg (%)	Mn (ppm)	Mo (ppm)	Na (%)	Ni (ppm)	P (ppm)	Pb (ppm)
18.00	18.50	P151469	0.50	0.55	241	1	0.09	32	960	-2
39.00	39.50	P151470	0.50	0.45	197	-1	0.04	48	350	-2
60.00	60.50	P151471	0.50	1.24	984	-1	0.15	10	2 820	9
90.00	90.50	P151472	0.50	1.23	297	1	0.12	30	570	-2

AC NG

Géochimie

De	À	Numéro	Longueur	S (%)	Sb (ppm)	Sc (ppm)	Th (ppm)	Sr Econo (ppm)	Ti (%)	Tl (ppm)
18.00	18.50	P151469	0.50	0.12	-2	2	-20		0.15	-10
39.00	39.50	P151470	0.50	0.15	-2	5	-20		0.43	-10
60.00	60.50	P151471	0.50	0.85	-2	2	-20		0.33	-10
90.00	90.50	P151472	0.50	0.30	-2	4	-20		0.17	-10

AL NG

Géochimie

De	À	Numéro	Longueur	U (ppm)	V (ppm)	W (ppm)	Zn (ppm)
18.00	18.50	P151469	0.50	-10	61	-10	19
39.00	39.50	P151470	0.50	-10	70	-10	10
60.00	60.50	P151471	0.50	-10	91	10	98
90.00	90.50	P151472	0.50	-10	61	-10	56

MAUDORE MINERALS Ltd

Sondage : COM-12-904A  
 Titre minier : 5029366  
 Section : 1265E  
 Canton : Comtois  
 Niveau : Surface  
 Rang : IX  
 Place de travail : Label-Sur-Quévillon  
 Foré par : Forage Orbit Garant  
 Lot : 42  
 Décrit par : Nicolas Guivarch  
 Du : 2012-06-28  
 Date de description : 2012-07-06  
 Au : 2012-06-29

Collet


	UTM	Locales	GREER
Azimut : 184.00°	Est 340 428.17	1 255.20	3 129.68
Plongée : -68.00°	Nord 5 444 736.09	1 438.26	3 114.37
Longueur : 114.00 m	Élévation 293.55	293.55	293.55

Déviations

Type	Profondeur	Azimut	Plongée	Invalide	Description
Reflex	0.00	184.00°	-68.00°	Non	
Reflex	12.00	332.50°	-44.30°	Oui	57947
Reflex	15.00	334.80°	-66.90°	Oui	29640
Reflex	18.00	301.80°	-67.30°	Oui	40012
Reflex	21.00	284.80°	-67.70°	Oui	99017
Reflex	24.00	185.10°	-67.60°	Non	55096
Reflex	27.00	204.70°	-67.60°	Oui	60339
Reflex	30.00	179.90°	-67.60°	Non	53419
Reflex	33.00	179.40°	-67.50°	Non	54552
Reflex	36.00	182.80°	-67.40°	Non	54424
Reflex	39.00	179.40°	-65.80°	Oui	53880
Reflex	42.00	178.80°	-67.40°	Non	53983

Description

OSH-12-11  
 Arraché à 114m pour mauvais azimuth



Dimension de la carotte : Carotte NQ  
 Cimenté : Non  
 Entreposé : Oui

## Déviation

Type	Profondeur	Azimet	Plongée	Invalide	Description
Reflex	45.00	171.90°	-67.30°	Non	54618
Reflex	48.00	148.10°	-67.50°	Oui	51771
Reflex	51.00	169.50°	-67.20°	Oui	57623
Reflex	54.00	180.10°	-67.40°	Non	53862
Reflex	57.00	177.80°	-67.30°	Non	56348
Reflex	60.00	181.00°	-67.20°	Non	55761
Reflex	63.00	184.00°	-67.10°	Oui	55264
Reflex	66.00	165.10°	-67.10°	Oui	54964
Reflex	69.00	179.70°	-67.00°	Non	58435
Reflex	72.00	178.60°	-67.00°	Non	56977
Reflex	75.00	178.90°	-67.00°	Non	56645
Reflex	78.00	180.40°	-67.00°	Non	56270
Reflex	81.00	179.90°	-66.90°	Non	56027
Reflex	84.00	178.10°	-69.90°	Oui	55889
Reflex	87.00	180.10°	-66.90°	Non	55655
Reflex	90.00	179.80°	-66.90°	Non	55582
Reflex	93.00	179.60°	-66.90°	Non	55474
Reflex	96.00	180.10°	-66.90°	Non	55417
Reflex	99.00	179.20°	-66.90°	Non	55554
Reflex	102.00	179.40°	-66.80°	Non	55335
Reflex	105.00	179.70°	-66.80°	Non	55255
Reflex	108.00	179.50°	-66.80°	Non	55226
Reflex	111.00	179.80°	-66.70°	Non	55477
Reflex	114.00	179.50°	-66.70°	Non	55208

Description			Analyse							
			De	À	Numéro	Longueur	Au_Final (g/t)	Ag_Final (ppm)	Cu_Final (ppm)	Zn_Final (ppm)
0.00	15.50	MT Mort Terrain Mort terrain								
15.50	66.70	V2-V3; T1 <b>Volcanite intermédiaire à mafique; Tuf à lapillis</b> Volcanite intermédiaire à mafique Couleur gris sombre Roche plutôt homogène Présence de 5% globalement de clastes biotisés (couleur brunâtre), en forme d'ogive, étirés dans la foliation. Elle est orientée à 30-40deg AC. Environ 5% de Vn/Vnl de Qz+Cb concordantes  Allération: Globalement, Si+ pervasive, Bt matricielle et en clastes, Cb- en Vn/Vnl  Minéralisation: Globalement, Py en traces à 0.5% Py en grains infram à mm, parfois subautomorphes, finement diss. Répartition hétérogène.  Contact sup dans le casing et inf au niveau d'un intrusif de gabbro								
15.50	66.70	SIL+; BO; CB- <b>Silicification forte; Biotisation; Carbonatation faible</b> Globalement, Si+ pervasive, Bt matricielle et en clastes, Cb- en Vn/Vnl  excepté: 19.9-25.2m: I3A 38.4-66.7m: I3A								
15.50	66.70	Py00.5 <b>Pyrite 0.5%</b> Globalement, Py en traces à 0.5% Py en grains infram à mm, parfois subautomorphes, finement diss. Répartition hétérogène.	17.50	18.40	P299339	0.90	0.020	0.10	35.0	35.0
			18.40	19.90	P299340	1.50	0.020	0.10	45.5	20.0

MAUDORE MINERALS Ltd

AC NG

Description			Analyse							
			De	À	Numéro	Longueur	Au_Final (g/t)	Ag_Final (ppm)	Cu_Final (ppm)	Zn_Final (ppm)
19.90	25.20	excepté: 19.9-25.2m: I3A 38.4-66.7m: I3A I3A <b>Gabbro</b> Gabbro Couleur vert forêt-vert sombre Foliation à 30-40deg faiblement marquée localement par l'éirement de grains matriciels et notamment les porphyres d'amphiboles Environ 10% d'amphiboles vert sombre en baguettes de 1-3mm Mag moyen à fort localement Altération: Globalement, Si+ pervasif, CHI+ pervasif, AMP+ en porphyres plurimm, Cb- à moy faiblement pervasif Minéralisation: 1% Py en grains finement diss Traces de Cpy à 24.5m en un amas de 5mm et en plaquage dans une fracture COn tact sup diffus sur 10cm (changement de couleur) et inf de 35deg concordant	19.90	21.00	P299341	1.10	0.240	0.40	484.0	18.0
			21.00	22.50	P299342	1.50	0.320	0.40	549.0	13.0
			22.50	23.50	P299343	1.00	0.170	0.50	946.0	16.0
			23.50	24.20	P299344	0.70	0.110	0.40	639.0	20.0
			24.20	24.70	P299346	0.50	0.160	0.30	777.0	31.0
			24.70	25.20	P299348	0.50	0.270	0.20	705.0	27.0
			25.20	26.50	P299349	1.30	0.005	0.10	46.0	29.0
			26.50	27.00	P151479	0.50	0.002	0.10	34.0	25.0
			27.00	28.50	P299350	1.50	0.030	0.10	42.0	47.0
			28.50	30.00	P299351	1.50	0.010	0.20	27.0	25.0
			30.00	31.50	P299352	1.50	0.010	0.10	24.0	26.0
			31.50	33.00	P299353	1.50	0.005	0.10	14.0	15.0
38.40	66.70	I3A <b>Gabbro</b> Gabbro Roche hétérogène Couleur vert forêt jusqu'à 46.6m puis gris sombre verdâtre le reste de l'intervalle (chlorite noire pervasive?) Foliation à 30-40deg marquée localement par l'éirement de grains matriciels et notamment les porphyres d'amphiboles. Foliation surtout visible à partir de 46.7m. Environ 10% d'amphiboles vert sombre en baguettes de 1-3mm. Mag moyen globalement Altération: De 37,4-46.7m: Si+ pervasive, CHI+ pervasive,	48.00	49.40	P299354	1.40	0.010	0.60	186.0	127.0
			49.40	49.90	P299355	0.50	0.190	1.10	166.0	118.0
			49.90	51.00	P299356	1.10	0.270	0.90	451.0	486.0
			51.00	51.60	P299357	0.60	0.110	1.30	677.0	341.0
			51.60	52.20	P299359	0.60	0.325	2.20	776.0	2 370.0
			52.20	53.70	P299360	1.50	0.090	1.30	590.0	2 480.0
			53.70	54.20	P299361	0.50	0.170	1.20	524.0	663.0
			54.20	55.20	P299362	1.00	0.070	0.90	205.0	841.0
			55.20	55.90	P299363	0.70	0.080	1.10	205.0	800.0
			55.90	57.00	P299365	1.10	0.070	1.40	484.0	1 710.0
			57.00	57.50	P151480	0.50	0.067	1.90	722.0	5 270.0
			57.50	59.00	P299367	1.50	0.050	0.70	239.0	949.0
			59.00	60.00	P299368	1.00	0.080	1.20	201.0	644.0
			60.00	61.20	P299369	1.20	0.100	0.80	147.0	305.0



Description	Analyse							
	De	À	Numéro	Longueur	Au_Final (g/t)	Ag_Final (ppm)	Cu_Final (ppm)	Zn_Final (ppm)
Amp+ en porphyres, Cb- faiblement pervasifs	61.20	62.70	P299370	1.50	0.200	0.80	181.0	126.0
el en Vn/Vnl, Ép-	62.70	63.80	P299371	1.10	0.080	0.70	383.5	191.5
De 46.6-66.7m: SI+ pervasif, Amph- en	63.80	64.60	P299372	0.80	0.060	0.80	434.0	776.0
prophyres, Cb moy en fines laminations ou	64.60	65.70	P299373	1.10	0.100	1.20	502.0	207.0
faiblement pervasifs	65.70	66.70	P299374	1.00	0.040	0.90	510.0	108.0
Minéralisation:								
De 38.4-49.4m: Py en traces en grains inframm								
à mm diss de façon aléatoire								
De 49.4-52.2m: 3% Py en amas globuleux de								
3-5mm (50%) ou en grains inframm à mm diss								
(50%)								
De 53.9-61.1m: 2-3% Py en amas difformes de								
3-5mm, souvent regroupés en grappes (60%)								
ou en grains inframm à mm diss (40%).								
Répartition hétérogène.								
De 62.7-66.7m: 3-4% Py en amas difformes de								
3-5mm, souvent regroupés en grappes (70%)								
ou en grains inframm à mm diss (30%).								
Répartition hétérogène.								
Contact sup au niveau d'une fracture et diffus								
sur 10cm (changement de couleur) et inf de								
40deg AC								
66.70 78.20 V2-V3; MAS								
<b>Volcanite intermédiaire à mafique; Massif</b>								
Volcanite intermédiaire à mafique (??)								
Roche massive à grains fins et homogène.								
Texture faisant penser localement à du V1C, zébré								
avec de fines laminations discontinues blanchâtres								
Couleur gris moyen								
Foliation très peu visible marqué localement par les								
fines laminations ou par l'éclatement de grains								
matriciels								
Veine: à 69.4m: Petite veine irrégulière de Qz+Cb								
±Chl. Traces de Py en rares grains inframm diss								
Altération: Si+ pervasive, Pa- (??) en fine								
slaminations discontinues, Cb- en Vn/Vnl, Hm-								
localement pervasive ou Vn/Vnl								

Description	Analyse							
	Dé	À	Numéro	Longueur	Au_Final (g/l)	Ag_Final (ppm)	Cu_Final (ppm)	Zn_Final (ppm)
Minéralisation: De 66.7-69.6m: 1-2% Py en grains inframm à mm diss (70%) ou en amas difformes de 3-5mm (30%) (jusqu'à 67.5m)								
Contact inf de 35deg concordant								
66.70 78.20 SIL+; PA-; CB-; HM-	66.70	67.80	P299375	1.10	0.010	0.35	102.5	83.0
Silicification forte; Paragonite	67.80	69.00	P299376	1.20	0.005	0.10	27.0	34.0
faible; Carbonatation faible; Hématitisation faible	69.00	70.00	P299377	1.00	0.005	0.10	29.0	26.0
Si+ pervasive, Pa- (??) en fine slaminations discontinues, Cb- en Vn/Vnl, Hm- localement pervasive ou Vn/Vnl								
66.70 69.60 Py02 Pyrite 2%								
1-2% Py en grains inframm à mm diss (70%) ou en amas difformes de 3-5mm (30%) (jusqu'à 67.5m)								
69.40 69.50 VEI;100%;Qz Cb Cl;::;PyTr;	70.00	71.50	P299378	1.50	0.010	0.10	8.0	22.0
Veine 100% Quartz Carbonate	71.50	72.00	P151481	0.50	0.002	0.20	9.0	16.0
Chlorite Pyrite Tr	72.00	73.00	P299379	1.00	0.005	0.10	3.0	16.0
Petite veine irrégulière de Qz+Cb±Chl.	73.00	74.00	P299380	1.00	0.010	0.10	7.0	19.0
Traces de Py en rares grains inframm diss	74.00	75.00	P299382	1.00	0.005	0.10	12.0	28.0
78.20 114.00 V2-V3; T1 Volcanite intermédiaire à mafique; Tuf à lapillis Volcanite intermédiaire à mafique Couleur gris sombre Roche plutot homogène Présence de 5% globalement de clastes biotisés (couleur brunâtre), en forme d'ogive, étirés dans la foliation. Elle est orientée à 30-40deg AC.  Altération: De 78.2-82.1m: Si+ pervasive, Bo+ matricielle et en clastes, Cb- en Vn/Vnl, Chl en traces								

AL NG

Description	Analyse							
	De	À	Numéro	Longueur	Au_Final (g/t)	Ag_Final (ppm)	Cu_Final (ppm)	Zn_Final (ppm)
<p>en remplissage de fissures</p> <p>De 82.1-86.7m: Si+ pervasive, Bo matricielle, Ab en petits porphyres mm blanchâtres, Cb- en Vn/Vnl</p> <p>De 86.7-93.9m: Si+ pervasive, Bo matricielle, Hm- en Vn/Vnl et faiblement pervasive, Cb- en Vn/Vnl, AB en traces en qqs petits porphyres</p> <p>De 93.9-109.5m: Si+ pervasive, Bo matricielle, Ab en petits porphyres mm blanchâtres, Cb- en Vn/Vnl</p> <p>De 109.5-114m: Si+ pervasive, Bo matricielle et en clastes, Cb- en Vn/Vnl, Sr- en qqs amas cm vert clair difformes, Chl en traces en mouchetage vert sombre</p> <p>Minéralisation:</p> <p>De 82-87m: 1% Py en grains inframm diss</p> <p>De 100-112m: 1% Py en grains inframm diss</p> <p>Structure: De 81-90m: Zone fortement fracturée, morceaux de caroles de 5-10cm, nombreuses fractures à 10-20deg AC, qqs passages de 10-20cm avec des morceaux de carotte de 3-5cm anguleux</p> <p>Contact inf??</p>								
<p>78.20      82.10      SIL+; BO+; CB- Silicification forte; Biotisation forte; Carbonatation faible</p> <p>Si+ pervasive, Bo+ matricielle et en clastes, Cb- en Vn/Vnl, Chl en traces en remplissage de fissures</p>								
<p>81.00      90.00      FRC+ Fracturation forte</p> <p>Zone fortement fracturée, morceaux de caroles de 5-10cm, nombreuses fractures à 10-20deg AC, qqs passages de 10-20cm avec des morceaux de carotte de 3-5cm anguleux</p>	81.00	82.00	P299383	1.00	0.005	0.10	7.0	27.0
<p>82.00      87.00      Py01 Pyrite 1%</p> <p>1% Py en grains inframm diss</p>	82.00	83.00	P299384	1.00	0.005	0.10	91.0	44.0
<p>82.10      86.70      SIL+; BO; AB; CB-</p>	83.00	84.00	P299385	1.00	0.005	0.10	35.0	39.0

MAUDORE MINERALS Ltd

AC NG

Description		Analyse								
		De	À	Numéro	Longueur	Au_Final (g/t)	Ag_Final (ppm)	Cu_Final (ppm)	Zn_Final (ppm)	
86.70	93.90	Silicification forte; Biotisation;	84.00	85.00	P299386	1.00	0.010	0.50	39.0	45.0
		Albitisation; Carbonatisation faible	85.00	86.00	P299387	1.00	0.005	0.10	51.0	84.0
		Si+ pervasive, Bo matricielle, Ab en petits porphyres mm blanchâtres, Cb- en Vn/Vnl	86.00	86.70	P299388	0.70	0.010	0.20	57.0	70.0
		STL+; BO; HM-; CB- Silicification forte; Biotisation; Hématisation faible; Carbonatisation faible	86.70	87.50	P299389	0.80	0.005	0.10	19.0	40.0
93.90	109.50	Si+ pervasive, Bo matricielle, Hm- en Vn/Vnl et faiblement pervasive, Cb- en Vn/Vnl, AB en traces en qqs petits porphyres	98.00	99.00	P299390	1.00	0.005	0.10	28.0	34.0
		STL+; BO; AB; CB- Silicification forte; Biotisation; Albitisation; Carbonatisation faible	99.00	99.50	P151482	0.50	0.002	0.10	54.0	38.0
		Si+ pervasive, Bo matricielle, Ab en petits porphyres mm blanchâtres, Cb- en Vn/Vnl	99.50	100.70	P299391	1.20	0.005	0.10	16.0	37.0
100.00	112.00	excepté: 100.7-107.3m: I2;pFpAm Py01 Pyrite 1% 1% Py en grains inframm diss								
		excepté: 100.7-107.3m: I2;pFpAm								
100.70	107.30	I2; pFpAm	107.30	108.40	P299392	1.10	0.005	0.10	6.0	78.0
		Intrusion Intermédiaire; Porphyre de Feldspath et Amphibole Intrusion intermédiaire Couleur gris moyen 15% pFp de 2-3mm, blancs, subarrondis 5% d'amphiboles en baguettes, 1-3mm Alt: Si+, Cb- en Vn/Vnl Traces de Py en grains finement diss COntact sup diffus et inf de 40deg AC	108.40	109.50	P299393	1.10	0.005	0.10	3.0	72.0
109.50	114.00	STL+; BO; CB-; SR- Silicification forte; Biotisation;	109.50	110.50	P299394	1.00	0.020	0.10	7.0	60.0
			110.50	112.00	P299397	1.50	0.160	0.10	22.0	46.0

Description	Analyse							
	De	À	Numéro	Longueur	Au_Final (g/t)	Ag_Final (ppm)	Cu_Final (ppm)	Zn_Final (ppm)
Carbonatation faible; Séricitisation faible Si+ pervasive, Bo matricielle et en clastes, Cb- en Vn/Vnl, Sr- en qqs amas cm vert clair difformes, Chl en traces en mouchetage vert sombre								
114.00 Fin du sondage Nombre d'échantillons : 55 Nombre d'échantillons QAQC : 7 Longueur totale échantillonnée : 56.40								

ALNG

QAQC

De	À	Numéro	Référence	Longueur	Au (g/t)	Ag (ppm)	Cu (ppm)	Zn (ppm)
0.00	0.00	P299395	SH55	0.00	1.31	0.8	112	78
0.00	0.00	P299381	Blank	0.00	-0.01	-0.2	12	27
0.00	0.00	P299364	SQ48	0.00	28.50	1.2	64	90
0.00	0.00	P299358	Blank	0.00	-0.01	0.3	13	23
0.00	0.00	P299347	SK62	0.00	4.09	1.0	84	93
18.40	19.90	P299366	P299340	1.50	0.02	-0.2	41	24
62.70	63.80	P299396	P299371	1.10	0.06	0.5	396	175

Géochimie

De	À	Numéro	Longueur	Description	SiO2 (%)	Al2O3 (%)	Fe2O3 (%)	CaO (%)
26.50	27.00	P151479	0.50		62.57	14.96	5.52	3.37
57.00	57.50	P151480	0.50		39.63	15.00	14.70	11.60
71.50	72.00	P151481	0.50		66.76	14.89	2.53	3.47
99.00	99.50	P151482	0.50		58.02	15.68	7.88	5.32

## Géochimie

De	À	Numéro	Longueur	MgO (%)	Na2O (%)	K2O (%)	Cr2O3 (%)	TiO2 (%)	MnO (%)	P2O5 (%)
26.50	27.00	P151479	0.50	2.65	6.14	0.80	0.01	0.53	0.09	0.13
57.00	57.50	P151480	0.50	1.22	2.48	3.82	-0.01	0.81	0.83	0.31
71.50	72.00	P151481	0.50	0.61	5.80	1.33	-0.01	0.26	0.05	0.12
99.00	99.50	P151482	0.50	4.84	4.66	0.67	0.02	0.68	0.13	0.12



AC NG

Géochimie

De	À	Numéro	Longueur	SrO (%)	BaO (%)	LOI (%)	Total (%)	Nb (ppm)	Ba (ppm)	Rb (ppm)
26.50	27.00	P151479	0.50	0.04	0.04	1.39	98.24	4	270	25
57.00	57.50	P151480	0.50	0.11	0.24	3.49	94.23	90	2 790	121
71.50	72.00	P151481	0.50	0.04	0.05	2.71	98.63	4	330	30
99.00	99.50	P151482	0.50	0.06	0.04	1.70	99.81	3	250	25

Géochimie

De	À	Numéro	Longueur	Zr (ppm)	Y (ppm)	Sr (ppm)	Au (ppm)	Ag (ppm)	Al (%)	As (ppm)
26.50	27.00	P151479	0.50	128	10	345	-0.005	-0.2	1.35	-2
57.00	57.50	P151480	0.50	155	59	1 030	0.067	1.90	2.05	3
71.50	72.00	P151481	0.50	206	10	449	-0.005	0.20	0.55	-2
99.00	99.50	P151482	0.50	110	16	592	-0.005	-0.2	1.47	-2

AL NG

Géochimie

De	À	Numéro	Longueur	B (ppm)	Ba Econo (ppm)	Be (ppm)	Bi (ppm)	Ca (%)	Cd (ppm)	Co (ppm)
26.50	27.00	P151479	0.50	-10		-0.5	-2	0.95	-0.5	20
57.00	57.50	P151480	0.50	-10		1.0	-2	5.34	14.4	21
71.50	72.00	P151481	0.50	-10		-0.5	-2	2.15	-0.5	3
99.00	99.50	P151482	0.50	-10		-0.5	-2	0.92	-0.5	14

ALNG

Géochimie

De	À	Numéro	Longueur	Cr (ppm)	Cu (ppm)	Fe (%)	Ga (ppm)	Hg (ppm)	K (%)	La (ppm)
26.50	27.00	P151479	0.50	52	34	2.76	10	-1	0.58	10
57.00	57.50	P151480	0.50	1	722	8.52	10	-1	0.84	110
71.50	72.00	P151481	0.50	4	9	1.42	-10	-1	0.11	20
99.00	99.50	P151482	0.50	70	54	2.73	10	-1	0.15	10

HC NG

Géochimie

De	À	Numéro	Longueur	Mg (%)	Mn (ppm)	Mo (ppm)	Na (%)	Ni (ppm)	P (ppm)	Pb (ppm)
26.50	27.00	P151479	0.50	1.04	321	-1	0.12	35	540	-2
57.00	57.50	P151480	0.50	0.66	2 980	6	0.09	-1	1 370	37
71.50	72.00	P151481	0.50	0.27	274	-1	0.07	-1	560	-2
99.00	99.50	P151482	0.50	1.38	266	1	0.13	45	530	-2

ALNG

Géochimie

De	À	Numéro	Longueur	S (%)	Sb (ppm)	Sc (ppm)	Th (ppm)	Sr Econo (ppm)	Tl (%)	Tl (ppm)
26.50	27.00	P151479	0.50	0.19	-2	4	-20		0.14	-10
57.00	57.50	P151480	0.50	2.86	-2	-1	-20		0.22	-10
71.50	72.00	P151481	0.50	0.18	-2	1	-20		0.06	-10
99.00	99.50	P151482	0.50	0.14	-2	5	-20		0.13	-10

AC NG

Géochimie

De	À	Numéro	Longueur	U (ppm)	V (ppm)	W (ppm)	Zn (ppm)
26.50	27.00	P151479	0.50	-10	64	-10	25
57.00	57.50	P151480	0.50	-10	17	-10	5 270
71.50	72.00	P151481	0.50	-10	8	-10	16
99.00	99.50	P151482	0.50	-10	68	-10	38

MAUDORE MINERALS Ltd

Sondage : COM-12-904B

Titre minier : 5029366

Section : 1265 E

Canton : Comtois

Niveau : Surface

Rang : IX

Place de travail : Lebel-Sur-Quévillon

Foré par : Forage Orbit Garant

Lot : 42

Décri par : Cagil Blanchette , N. Guivarch

Du :

Date de description : 2012-04-09

Au :

Collet

Azimut : 184.00°  
 Plongée : -68.00°  
 Longueur : 649.00 m

	UTM	Locales	GREER
Est	340 428.17	1 255.20	3 129.68
Nord	5 444 736.09	1 438.26	3 114.37
Élévation	293.55	293.55	293.55

Déviaton

Type	Profondeur	Azimut	Plongée	Invalide	Description
Reflex	0.00	184.00°	-68.00°	Non	
Reflex	1.00	349.90°	-68.60°	Oui	57622
Reflex	4.00	349.80°	-68.60°	Oui	57652
Reflex	7.00	349.70°	-68.60°	Oui	57626
Reflex	10.00	349.80°	-68.60°	Oui	57557
Reflex	13.00	349.70°	-68.60°	Oui	57562
Reflex	16.00	152.00°	-68.70°	Oui	11398
Reflex	19.00	185.70°	-68.60°	Oui	55797
Reflex	22.00	189.90°	-68.60°	Oui	54168
Reflex	25.00	182.40°	-68.90°	Oui	57349
Reflex	28.00	191.60°	-68.50°	Oui	53717
Reflex	31.00	189.60°	-68.70°	Oui	57062

Description



Dimension de la carotte :

Carotte NQ

Cimenté : Non

Entreposé : Oui



Déviations

Type	Profondeur	Azmut	Plongée	Invalide	Description
Reflex	34.00	183.70°	-68.50°	Non	58464
Reflex	37.00	182.20°	-68.40°	Oui	53030
Reflex	40.00	178.10°	-68.60°	Oui	54893
Reflex	43.00	177.90°	-68.40°	Oui	52989
Reflex	46.00	184.00°	-68.40°	Non	55647
Reflex	49.00	196.00°	-68.20°	Oui	56312
Reflex	52.00	181.00°	-68.30°	Oui	53702
Reflex	55.00	188.80°	-68.30°	Oui	53428
Reflex	58.00	190.60°	-68.20°	Oui	54583
Reflex	61.00	189.50°	-67.90°	Oui	55528
Reflex	64.00	188.50°	-68.10°	Oui	55810
Reflex	67.00	190.50°	-65.90°	Oui	56044
Reflex	70.00	185.00°	-67.90°	Non	56448
Reflex	73.00	185.00°	-67.80°	Non	55757
Reflex	76.00	185.50°	-67.70°	Non	55454
Reflex	79.00	185.50°	-67.70°	Non	55342
Reflex	82.00	185.10°	-67.90°	Non	55190
Reflex	85.00	185.60°	-67.40°	Non	55379
Reflex	88.00	186.10°	-67.20°	Oui	55157
Reflex	91.00	185.80°	-67.20°	Non	55026
Reflex	94.00	184.10°	-67.10°	Oui	55351
Reflex	97.00	185.50°	-67.10°	Non	54879
Reflex	100.00	187.20°	-66.50°	Oui	54573
Reflex	103.00	185.30°	-67.10°	Non	54990
Reflex	106.00	185.60°	-67.10°	Non	54872
Reflex	109.00	184.70°	-67.10°	Oui	54837
Reflex	112.00	186.20°	-67.00°	Non	54877
Reflex	115.00	186.30°	-66.90°	Non	54973
Reflex	118.00	185.90°	-66.80°	Non	54718
Reflex	121.00	185.70°	-66.60°	Non	54795
Reflex	124.00	186.10°	-66.50°	Non	54770
Reflex	127.00	186.00°	-66.30°	Non	54640
Reflex	130.00	186.10°	-66.20°	Non	54714
Reflex	133.00	185.80°	-66.10°	Non	54878

## Déviation

Type	Profondeur	Azimet	Plongée	Invalide	Description
Reflex	136.00	185.80°	-66.00°	Non	54790
Reflex	139.00	186.10°	-66.00°	Non	54870
Reflex	142.00	185.80°	-66.00°	Non	54985
Reflex	145.00	185.70°	-66.00°	Non	54874
Reflex	148.00	185.90°	-65.90°	Non	54815
Reflex	151.00	186.00°	-65.90°	Non	53928
Reflex	154.00	186.20°	-65.90°	Non	54818
Reflex	157.00	186.40°	-65.90°	Non	54867
Reflex	160.00	186.40°	-65.90°	Non	54865
Reflex	163.00	186.30°	-65.90°	Non	54837
Reflex	166.00	185.90°	-65.80°	Non	54675
Reflex	169.00	185.50°	-65.80°	Non	54649
Reflex	172.00	186.40°	-65.80°	Non	54819
Reflex	175.00	186.30°	-65.80°	Non	54913
Reflex	178.00	185.60°	-65.90°	Non	54986
Reflex	181.00	186.40°	-65.80°	Non	54849
Reflex	184.00	186.10°	-65.80°	Non	54905
Reflex	187.00	186.10°	-65.90°	Non	54935
Reflex	190.00	186.30°	-65.80°	Non	54958
Reflex	193.00	186.50°	-65.80°	Non	54927
Reflex	196.00	186.70°	-65.80°	Non	55044
Reflex	199.00	186.70°	-65.80°	Non	54983
Reflex	202.00	186.40°	-65.90°	Non	55035
Reflex	205.00	186.80°	-65.80°	Non	54850
Reflex	208.00	186.10°	-65.80°	Non	54972
Reflex	211.00	186.70°	-65.70°	Non	55004
Reflex	214.00	185.50°	-65.70°	Oui	55178
Reflex	217.00	186.20°	-65.70°	Non	54910
Reflex	220.00	186.40°	-65.70°	Non	54870
Reflex	223.00	186.60°	-65.70°	Non	54932
Reflex	226.00	186.30°	-65.70°	Non	55048
Reflex	229.00	186.20°	-65.60°	Non	54924
Reflex	232.00	186.20°	-65.60°	Non	54906
Reflex	235.00	186.50°	-65.50°	Non	55115

Déviations

Type	Profondeur	Azimut	Plongée	Invalide	Description
Reflex	238.00	185.90°	-65.50°	Non	54925
Reflex	241.00	186.50°	-65.50°	Non	54923
Reflex	244.00	186.20°	-65.50°	Non	54900
Reflex	247.00	186.60°	-65.50°	Non	55180
Reflex	250.00	186.40°	-65.40°	Non	54905
Reflex	253.00	187.00°	-65.40°	Non	55011
Reflex	256.00	186.10°	-65.40°	Non	54823
Reflex	259.00	186.40°	-65.30°	Non	54927
Reflex	262.00	186.40°	-65.30°	Non	54991
Reflex	265.00	186.40°	-65.30°	Non	54944
Reflex	268.00	186.50°	-65.20°	Non	54951
Reflex	271.00	186.90°	-65.20°	Non	54968
Reflex	274.00	186.30°	-65.20°	Non	54929
Reflex	277.00	186.70°	-65.10°	Non	55123
Reflex	280.00	186.80°	-65.10°	Non	54979
Reflex	283.00	186.90°	-65.00°	Non	54935
Reflex	286.00	186.60°	-65.00°	Non	55043
Reflex	289.00	186.60°	-65.00°	Non	54870
Reflex	292.00	186.60°	-65.00°	Non	55189
Reflex	295.00	186.80°	-65.00°	Non	54985
Reflex	298.00	186.60°	-64.90°	Non	55068
Reflex	301.00	186.00°	-64.90°	Non	54853
Reflex	304.00	186.80°	-64.80°	Non	55184
Reflex	307.00	186.10°	-64.80°	Non	54964
Reflex	310.00	187.20°	-64.70°	Oui	55203
Reflex	313.00	186.80°	-64.80°	Non	55025
Reflex	316.00	186.80°	-64.80°	Non	54961
Reflex	319.00	186.50°	-64.80°	Non	54915
Reflex	322.00	186.10°	-64.80°	Non	54887
Reflex	325.00	186.40°	-64.80°	Non	54965
Reflex	328.00	186.80°	-64.70°	Non	54977
Reflex	331.00	186.40°	-64.70°	Non	54956
Reflex	334.00	186.50°	-64.70°	Non	54992
Reflex	337.00	186.50°	-64.70°	Non	55019

KING CG

## Déviation

Type	Profondeur	Azimet	Plongée	Invalide	Description
Reflex	340.00	186.80°	-64.70°	Non	55004
Reflex	343.00	186.90°	-64.70°	Non	54981
Reflex	346.00	187.00°	-64.70°	Non	55165
Reflex	349.00	186.70°	-64.60°	Non	54967
Reflex	352.00	186.30°	-64.60°	Non	54923
Reflex	355.00	186.40°	-64.50°	Non	55057
Reflex	358.00	186.10°	-64.50°	Non	55048
Reflex	361.00	186.40°	-64.30°	Non	55052
Reflex	364.00	186.60°	-64.30°	Non	54991
Reflex	367.00	186.80°	-64.20°	Non	54964
Reflex	370.00	186.80°	-64.20°	Non	54909
Reflex	373.00	186.70°	-64.10°	Non	54938
Reflex	376.00	186.80°	-64.00°	Non	54880
Reflex	379.00	185.90°	-64.10°	Non	55064
Reflex	382.00	186.60°	-64.10°	Non	54888
Reflex	385.00	187.00°	-64.00°	Non	54929
Reflex	388.00	187.40°	-63.90°	Non	54807
Reflex	391.00	187.00°	-63.90°	Non	54935
Reflex	394.00	187.50°	-63.90°	Non	54958
Reflex	397.00	187.90°	-63.80°	Non	54976
Reflex	400.00	188.10°	-63.80°	Non	54872
Reflex	403.00	187.60°	-63.70°	Non	54923
Reflex	406.00	188.20°	-63.60°	Non	54921
Reflex	409.00	188.60°	-63.50°	Non	55022
Reflex	412.00	188.30°	-63.50°	Non	54854
Reflex	415.00	188.10°	-63.40°	Non	54896
Reflex	418.00	188.10°	-63.40°	Non	54903
Reflex	421.00	187.10°	-63.40°	Oui	54842
Reflex	424.00	188.90°	-63.40°	Non	54846
Reflex	427.00	188.20°	-63.30°	Non	54936
Reflex	430.00	188.30°	-63.40°	Non	54941
Reflex	433.00	188.60°	-63.30°	Non	54970
Reflex	436.00	188.60°	-63.30°	Non	54888
Reflex	439.00	187.40°	-63.20°	Oui	54863

## Déviation

Type	Profondeur	Azimut	Plongée	Invalide	Description
Reflex	442.00	188.20°	-63.20°	Non	54991
Reflex	445.00	188.40°	-63.20°	Non	55017
Reflex	448.00	188.40°	-63.20°	Non	54913
Reflex	451.00	188.40°	-63.20°	Non	54939
Reflex	454.00	188.80°	-63.20°	Non	55042
Reflex	457.00	189.40°	-63.10°	Oui	55222
Reflex	460.00	188.40°	-63.10°	Oui	54735
Reflex	463.00	186.00°	-63.10°	Oui	55700
Reflex	466.00	188.60°	-63.10°	Non	55175
Reflex	469.00	189.00°	-63.10°	Non	55048
Reflex	472.00	188.40°	-63.10°	Non	54893
Reflex	475.00	189.70°	-63.10°	Oui	55347
Reflex	478.00	190.20°	-63.00°	Oui	55143
Reflex	481.00	189.60°	-62.90°	Oui	54869
Reflex	484.00	188.30°	-62.90°	Non	55167
Reflex	487.00	190.90°	-62.90°	Oui	55663
Reflex	490.00	189.60°	-62.80°	Oui	54818
Reflex	493.00	189.70°	-62.80°	Oui	54824
Reflex	496.00	188.50°	-62.80°	Non	55170
Reflex	499.00	188.50°	-62.80°	Non	54880
Reflex	502.00	187.20°	-62.70°	Non	54889
Reflex	505.00	189.30°	-62.80°	Non	54971
Reflex	508.00	189.50°	-62.70°	Non	55046
Reflex	511.00	189.30°	-62.70°	Non	55043
Reflex	514.00	190.00°	-62.70°	Oui	54991
Reflex	517.00	187.70°	-62.80°	Oui	54822
Reflex	520.00	189.20°	-62.80°	Non	55028
Reflex	523.00	189.00°	-63.00°	Non	55018
Reflex	526.00	188.80°	-62.90°	Non	55057
Reflex	529.00	188.60°	-62.90°	Non	54980
Reflex	532.00	188.90°	-62.90°	Non	55006
Reflex	535.00	189.20°	-62.80°	Non	55056
Reflex	538.00	188.90°	-62.80°	Non	54989
Reflex	541.00	189.00°	-62.80°	Non	55150

AL NG CS

Déviation

Type	Profondeur	Azimet	Plongée	Invalide	Description
Reflex	544.00	188.50°	-62.80°	Non	55101
Reflex	547.00	188.80°	-62.80°	Non	55069
Reflex	550.00	188.60°	-62.80°	Non	55068
Reflex	553.00	188.80°	-62.80°	Non	54975
Reflex	556.00	189.20°	-62.70°	Non	55016
Reflex	559.00	188.90°	-62.70°	Non	55042
Reflex	562.00	188.80°	-62.70°	Non	55088
Reflex	565.00	188.50°	-62.70°	Non	55053
Reflex	568.00	189.00°	-62.60°	Non	55028
Reflex	571.00	188.90°	-62.60°	Non	55079
Reflex	574.00	189.20°	-62.60°	Non	55142
Reflex	577.00	187.90°	-62.50°	Oui	55348
Reflex	580.00	189.60°	-62.50°	Non	54951
Reflex	583.00	188.70°	-62.50°	Oui	54861
Reflex	586.00	189.10°	-62.50°	Non	55111
Reflex	589.00	189.00°	-62.60°	Non	55069
Reflex	592.00	188.50°	-62.80°	Non	55138
Reflex	595.00	188.70°	-62.60°	Non	55036
Reflex	598.00	188.80°	-62.50°	Non	54969
Reflex	601.00	189.70°	-62.50°	Non	55144
Reflex	604.00	189.60°	-62.50°	Non	54992
Reflex	607.00	188.20°	-62.40°	Oui	55368
Reflex	610.00	189.20°	-62.40°	Non	55018
Reflex	613.00	189.10°	-62.40°	Non	55260
Reflex	616.00	189.40°	-62.40°	Non	55050
Reflex	619.00	188.90°	-62.30°	Non	55077
Reflex	622.00	189.40°	-62.30°	Non	55346
Reflex	625.00	189.70°	-62.30°	Non	55149
Reflex	628.00	188.90°	-62.30°	Non	55155
Reflex	631.00	189.80°	-62.30°	Non	55124
Reflex	634.00	189.50°	-62.20°	Non	55245
Reflex	637.00	189.60°	-62.20°	Non	55189
Reflex	640.00	189.90°	-62.10°	Non	55205
Reflex	643.00	189.40°	-62.20°	Non	55168

AC NG CB

Déviation

Type	Profondeur	Azimut	Plongée	Invalide	Description
Reflex	646.00	189.40°	-62.20°	Non	55166
Reflex	649.00	38.80°	-89.10°	Oui	30259

Description			Analyse							
			De	À	Numéro	Longueur	Au_Final (g/t)	Ag_Final (ppm)	Cu_Final (ppm)	Zn_Final (ppm)
0.00	12.30	MT Mort Terrain Mort terrain								
12.30	48.90	I3A	13.50	14.50	P299398	1.00	0.040	0.30	871.0	11.0
		Gabbro	14.50	15.00	P299399	0.50	0.130	0.90	1 445.0	33.0
		Gabbro	15.00	15.50	P151488	0.50	0.128	0.70	709.0	41.0
		Roche hétérogène	15.50	16.60	P299400	1.10	0.080	0.40	495.0	64.5
		Couleur vert forêt jusqu'à 17.5m puis gris sombre jusqu'à 46.1m (chlorite noire pervasive?) puis gris moyen le reste de l'intervalle								
		Grains moyens à grossiers dans les passages les plus verdâtres, grains fins dans les passages plus gris sombre.								
		Foliation à 30-40deg marquée localement par l'étiement de grains matriciels et notamment les porphyres d'amphiboles.								
		Environ 10% d'amphiboles vert sombre en baguettes de 1-3mm.								
		Mag moyen globalement								
		De 29.7-30m: PAssage de pegmatite rosé								
		Veines:								
		De 16.1-16.3m: Amas de 2 petites veines de 2-5cm, composées de Qz perpendiculaire à l'Axe de la carotte. 2% Py diss au niveau des épontes								
		à 37.6m: Veine perpendiculaire à l'Axe de la carotte de 5cm de Qz blanc. 1% en grains finement diss au niveau des épontes.								
		De 48-48.6m: Amas de 2 veines de Cb blanc à rose+Qz à 40deg concordantes (?). 1% Py en grains inframm à mm, parfois subautomorphes, diss								
		Altération: De 12.3-17.5m: Si+ pervasive, Chl+ pervasive, Amp+ en grosses baguettes parfois cm, Cb- en Vn/Vnl et en petitespaillettes, Ép- localement pervasive								
		De 17.5-46.1m: Si+ pervasive, Amp- en petites baguettes mm, Cb+ pervasive et en Vn/Vnl, Chl- pervasive								
		De 46.1-48.9m: Si+ pervasive, Chl pervasive, Amp en baguettes, Cb- en Vn/Vnl et en petites paillettes								



MAUDORE MINERALS Ltd

AC NG CB

Description	Analyse							
	De	À	Numéro	Longueur	Au_Final (g/t)	Ag_Final (ppm)	Cu_Final (ppm)	Zn_Final (ppm)
<p>Minéralisation:</p> <p>De 12.3-20.6m: 2% Py en grains finement diss, en périphérie de petites veines de Qz ou parfois regroupés en grappes.</p> <p>De 25.7-27.5m: 2% en grains infamm à mm diss, parfois regroupés en grappes</p> <p>De 30.3-37.6m: 4-5% Py en grains mm diss, soit regroupés en grappes soit diss au niveau des épontes de petites veines de Qz</p> <p>De 37.6-48.9m: Globalement, 1% Py en grains finement diss, parfois regroupés en grappes (80%) ou en remplissage de fissures (20%). Répartition très hétérogène</p> <p>Structure: De 48.8-48.9m: Roche fortement fracturée, morceaux de carotte de 3cm environ, anguleux, pas d'orientation préférentielle.</p> <p>Pas de traits de 12.3-27m, de 45-54m,</p> <p>Contact sup a niveau du mort terrain et inf au niveau d'une zone de fractures (visible avec le changement de couleur)</p>								
<p>12.30      17.50      SIL+; Chl+; AM+; CB-; EP- Silicification forte; Chloritisation forte; Amphibolitisation forte; Carbonatation faible; Épidotisation faible Si+ pervasive, Chl+ pervasive, Amp+ en grosses baguettes parfois cm, Cb- en Vn/Vnl et en petites paillettes, Ép- localement pervasive</p>								
<p>12.30      20.60      Py02 Pyrite 2% 2% Py en grains finement diss, en périphérie de petites veines de Qz ou parfois regroupés en grappes.</p>								
<p>16.10      16.30      AMA;80%;Qz;;Py02; Amas 80% Quartz Pyrite 2% Amas de 2 petites veines de 2-5cm, composées de Qz perpendiculaire à</p>	16.60	17.50	P299401	0.90	0.105	0.50	528.0	59.0

MAUDORE MINERALS Ltd

AL NG 03

Description		Analyse								
		De	À	Numéro	Longueur	Au_Final (g/t)	Ag_Final (ppm)	Cu_Final (ppm)	Zn_Final (ppm)	
17.50	46.10	l'Axe de la carotte. 2% Py diss au niveau des épontes								
		SIL+; AM-; CB+; Chl-	17.50	18.50	P299402	1.00	0.060	0.50	254.0	180.0
		Silicification forte;	18.50	19.50	P299403	1.00	0.060	0.30	217.0	107.0
		Amphibolitisation faible;	19.50	20.40	P299404	0.90	0.050	0.10	143.0	80.0
		Carbonatation forte;	20.40	21.00	P299406	0.60	0.060	0.10	153.0	92.0
		Chloritisation faible								
		Si+ pervasive, Amp- en petites baguettes mm, Cb+ pervasive et en Vn/Vnl, Chl- pervasive								
		excepté:								
		20.9-23.3m: I2:pFpAm								
20.90	23.30	I2; pFpAm	24.50	25.50	P299407	1.00	0.040	0.30	180.0	189.0
		<b>Intrusion intermédiaire 70°; Porphyre de Feldspath et Amphibole 70°</b>	25.50	26.20	P299408	0.70	0.880	1.70	88.0	117.0
		Intrusion intermédiaire??								
		Couleur rose à gris clair								
		Proportion des pFp importante (environ 40%), de 2-5m, anguleux, rarement jusqu'à 1cm, blanchâtres								
		5% amphiboles en baguettes de 2-3mm								
		Alt: Si+, Hm-								
		1% Py en grains finement diss								
		Contacts sup et inf francs et nets de 70deg discordant								
25.70	27.50	Py02	26.20	27.00	P299409	0.80	0.730	0.90	549.0	843.0
		<b>Pyrite 2%</b>	27.00	27.60	P299410	0.60	1.630	1.20	727.0	833.0
		2% en grains inframm à mm diss, parfois regroupés en grappes	27.60	29.00	P299411	1.40	0.100	1.60	1 180.0	2 170.0
			29.00	30.30	P299412	1.30	0.140	0.60	423.0	1 390.0
30.30	37.60	Py05	30.30	31.20	P299413	0.90	1.650	1.40	272.0	3 640.0
		<b>Pyrite 5%</b>	31.20	31.80	P299414	0.60	0.350	1.30	639.0	1 500.0
		4-5% Py en grains mm diss, soit regroupés en grappes soit diss au	31.80	32.80	P299416	1.00	0.440	2.00	969.0	433.0
		niveau des épontes de petites veines de	32.80	33.60	P299417	0.80	0.210	1.20	369.0	522.0
		Qz	33.60	34.60	P299419	1.00	0.770	1.00	346.0	930.0
			34.60	35.50	P299420	0.90	0.120	1.10	211.0	2 030.0
			35.50	36.60	P299421	1.10	0.955	0.90	160.0	1 018.5
	36.60	37.30	P299422	0.70	0.030	0.50	116.0	203.0		

MAUDORE MINERALS Ltd

AL NG CB

Description			Analyse							
			De	À	Numéro	Longueur	Au_Final (g/t)	Ag_Final (ppm)	Cu_Final (ppm)	Zn_Final (ppm)
37.60	48.90	Py01	37.30	37.80	P299423	0.50	0.090	0.70	367.0	77.0
		Pyrite 1%	37.80	39.00	P299424	1.20	0.110	0.70	361.0	57.0
		Globalement, 1% Py en grains finement	39.00	40.50	P299425	1.50	0.030	0.50	171.5	121.0
		diss, parfois regroupés en grappes	40.50	41.50	P299426	1.00	0.210	0.40	464.0	64.0
		(80%) ou en remplissage de fissures	41.50	42.00	P299427	0.50	0.150	0.10	327.0	55.0
		(20%). Répartition très hétérogène	42.00	42.50	P151489	0.50	0.115	0.50	270.0	59.0
			42.50	43.50	P299428	1.00	0.060	0.10	336.0	70.0
			43.50	45.00	P299429	1.50	0.040	0.30	401.0	99.0
			45.00	45.80	P299430	0.80	0.050	0.10	453.0	82.0
			45.80	46.50	P299431	0.70	0.090	0.10	465.0	41.0
37.60	37.70	VEI;100%;Qz;;;Py01; Veine 100% Quartz Pyrite 1% Veine perpendiculaire à l'Axe de la carotte de 5cm de Qz blanc. 1% en grains finement diss au niveau des épontes.								
46.10	48.90	SIL+; Chl; AM; CB- Silicification forte; Chloritisation; Amphibolitisation; Carbonatation faible Si+ pervasive, Chl pervasive, Amp en baguettes, Cb- en Vn/Vnl et en petites paillettes	46.50	48.00	P299432	1.50	0.140	0.40	1 020.0	44.0
48.00	48.60	AMA;70%;Qz Cc;;;Py01; Amas 70% Quartz Calcite Pyrite 1% Amas de 2 veines de Cb blanc à rose+Qz à 40deg concordantes (?). 1% Py en grains inframm à mm, parfois subautomorphes, diss	48.00	48.90	P299433	0.90	0.090	0.40	558.0	46.0
48.80	48.90	FRC+ Fracturation forte Roche fortement fracturée, morceaux de carotte de 3cm environ, anguleux, pas d'orientation préférentielle.								
48.90	377.10	V2-V3; TI	48.90	49.40	P299434	0.50	0.040	0.10	249.0	84.0
		Volcanite intermédiaire à mafique; Tuf à lapillis	49.40	50.50	P299435	1.10	0.010	0.10	35.0	40.0

MAUDORE MINERALS Ltd

AC NG CB

Description	Analyse							
	De	À	Numéro	Longueur	Au_Final (g/t)	Ag_Final (ppm)	Cu_Final (ppm)	Zn_Final (ppm)
Volcanite intermédiaire à mafique	50.50	51.50	P299436	1.00	0.010	0.10	33.0	44.0
Roche à grains fins	51.50	52.80	P299437	1.30	0.010	0.10	15.0	39.0
Roche hétérogène jusqu'à 66.5m, alternance de couleur gris sombre (tuffacé) et gris moyen très faiblement rosé (massif). Roche homogène le reste de l'intervalle. Couleur gris sombre à noir	52.80	53.30	P299438	0.50	0.040	0.10	51.0	50.0
<p>Foliation peu visible marquée par l'éirement des clastes ou par l'éirement de grains matriciels. Elle est orientée entre 30-40deg AC</p> <p>Contient environ 10% de clastes cm en forme d'ogive. Ils sont peu visibles, masqués par l'altération ?? Ces clastes ont l'air légèrement chloritisés mais difficile à dire</p> <p>En dessous de 340m, présence fréquente de porphyres de Fp (petits grains blancs).</p> <p>Entre 340 et 372.9m: présence dans cet interval de nombreux patchs centimétriques de carbonates de forme et d'orientation très variable</p> <p>De 58-68m: 5% de passages cm de pegmatite rose</p> <p>De 307-313m: 5% de passages de 10-30cm d'aplite à pegmatite rose.</p> <p>Veines:</p> <p>à 53m: Petite veine "boudinée" de Cb, perpendiculaire à l'Axe de la carotte. 2% Pt en grains infram finement diss.</p> <p>De 268.9-269m: Veine de Qz blanc à 40deg discordante. Pas de minéralisation</p> <p>De 315.7-315.8m: Veine à 30deg concordante de Qz ±Chl. Py en traces en rares grains diss</p> <p>De 330.6-331m: AMas de veines de Qz à 40deg concordante ou ondulante dans l'axe de la carotte. Py en traces en rares grains infram diss.</p> <p>Allération:</p> <p>De 48.9-53.9m: Si+ pervasive, Bt matricielle, Chl- en altération de clastes ou en périphérie de Vnl de Cb, Cb- en Vn/Vnl</p> <p>De 53.9-58.9m: Si+ pervasive, Bt matricielle, Cb- en Vn/Vnl, Pa- (?) en mouchetege de 5mm environ blanchâtre</p>								

Description	Analyse							
	De	À	Numéro	Longueur	Au_Final (g/t)	Ag_Final (ppm)	Cu_Final (ppm)	Zn_Final (ppm)
De 58.9-62.7m: Si+ pervasive, Bt matricielle, Chl- en altération de clastes ou en périphérie de Vnl de Cb, Cb- en Vn/Vnl, Sr en traces en altération de clastes (59.7-60.2m)								
De 62.7-66.5m: Si+ pervasive, Bt matricielle, Cb- en Vn/Vnl, Pa- (?) en mouchetage de 5mm environ blanchâtre								
De 66.5-130.7m: Si+ pervasive, Bt matricielle, Chl en altération de clastes ou en périphérie de Vnl de Cb, Cb- en Vn/Vnl, Sr en traces en altération de qqs clastes, Ab en traces en rares porphyres blanchâtres								
De 130.7-139.6m: Si+ pervasive, Bo matricielle, Ab en petits porphyres blanchâtres, Sr- en altération autour de fissures et des Vn/Vnl de Cb, Cb- en Vn/Vnl, Pa- (?) en petites paillettes mm gris bleutées								
De 139.6-203m: Si+ pervasive, Bo matricielle et en altération de clastes, Sr en mouchetage mm souvent regroupés en grappes au sein des clastes chloritisés ou petits clastes subarrondis de couleur vert clair, Chl- en Vn/Vnl et en altération de clastes, Hm en traces en Vn/Vnl (surtout de 158.2-159.7m)								
De 203-203.9m: Si+ pervasive, Bo matricielle, Cb pervasive, Chl- faiblement pervasive								
De 203.9-251.2m: Si+ pervasive, Bo matricielle et en altération de clastes, Sr en mouchetage mm souvent regroupés en grappes au sein des clastes chloritisés ou petits clastes subarrondis de couleur vert clair, Chl en Vn/Vnl et en altération de clastes, Hm en traces en Vn/Vnl								
De 251.2-251.8m: Si moy pervasive, Hm en Vn/Vnl, Cb pervasif, Bo matricielle, Chl en fines bandes verdâtres ou mouchetage vert sombre								
De 251.8-269.7m: Si+ pervasive, Chl+ en Vn/Vnl et en altération de clastes et aussi en bandes verdâtres ou Vn/Vnl, Bo matricielle et en altération de clastes, Sr en mouchetage mm souvent regroupés en grappes au sein des clastes chloritisés ou petits clastes subarrondis de couleur vert clair, Cb- en Vn/Vnl								
De 269.7-273.7m: Si+ pervasive, Bo matricielle, Hm								

AL NG CB

Description	Analyse							
	De	À	Numéro	Longueur	Au_Final (g/t)	Ag_Final (ppm)	Cu_Final (ppm)	Zn_Final (ppm)
<p>en halo d'altération autour de Vn/Vnl, Cb- en Vn/Vnl, Ab- en petits porphyres blancs (jusqu'à 268.3m)</p> <p>De 273.7-279m: Si+ pervasive, Bo matricielle, Chl- en qqs fines bandes verdâtres, Cb- en Vn/Vnl, Sr- en petits amas mm verdâtres ou mouchetage mm vert clair, Ab en traces en qqs petits porphyres mm blancs</p> <p>De 279-286m: Passage plus massif; Si+ pervasive, Bo matricielle, Cb- en Vn/Vnl, Ab en traces en qqs petits porphyres blancs, Sr en traces en halo d'altération autour de Vn/Vnl</p> <p>De 286-288.4m: Si+ pervasive, Bo matricielle, Chl- en qqs fines bandes verdâtres, Cb- en Vn/Vnl, Sr- en petits amas mm verdâtres ou mouchetage mm vert clair, Ab en traces en qqs petits porphyres mm blancs</p> <p>De 288.4-290.4m: Si+ pervasive, Bo matricielle, Sr en halo d'altération autour de Vn/Vnl, Cb- en Vn/Vnl, Ab- en petits porphyres blancs, Chl- en qqs fines bandes verdâtres</p> <p>De 290.4-293.8m: Si+ pervasive, Bo matricielle, Chl- en qqs fines bandes verdâtres, Cb- en Vn/Vnl, Ab- en petits porphyres mm blancs</p> <p>De 293.8-308.5m: Si+ pervasive, Bo matricielle, Sr en halo d'altération autour de Vn/Vnl, imprégnant toute la roche sur des passages métriques, Cb- en Vn/Vnl, Ab- en petits porphyres blancs, Chl- en qqs fines bandes verdâtres</p> <p>De 308.5-315.8m: Si+ pervasive, Bo matricielle, Chl- en qqs fines bandes verdâtres, Cb- en Vn/Vnl, Ab- en petits porphyres mm blancs</p> <p>De 315.8-321.6m: Si+ pervasive, Bo matricielle, Chl- en qqs fines bandes verdâtres, Hm- en Vn/Vnl, Cb- en Vn/Vnl, Ab- en petits porphyres mm blancs</p> <p>De 321.6-372.9m: Si+ pervasive, Bo matricielle, Chl en qqs fines bandes verdâtres ou en altération des clastes ou Vn/Vnl, Cb- en Vn/Vnl et patchs de forme et d'orientation variable, Ab- en petits porphyres mm blanc cassé</p> <p>De 372.9 à 377.1m: SIL; Chl; Bo-; SER-; Ab- en petits porphyres mm blanc cassé</p>								

AC NG CUB

Description	Analyse							
	De	À	Numéro	Longueur	Au_Final (g/l)	Ag_Final (ppm)	Cu_Final (ppm)	Zn_Final (ppm)
<p>Minéralisation: Globalement, Py en traces en rares grains diss</p> <p>De 108.8-113.5m: 0.5% Py en grains finement diss</p> <p>De 140-148.2m: 0.5% Py en grains finement diss</p> <p>Po en traces en association avec les grains de Py</p> <p>De 267.1-267.7m: 0.5% Py en grains mm diss, majoritairement subautomorphes</p> <p>De 291.9-292.9m: 0.5% Py en grains inframm à mm diss (95%) ou en un alignement de grains selon une fracture (5%)</p> <p>De 316-317.9m: 0.5% Py en grains inframm diss</p> <p>De 322-349.3mm: 0.5-1% Py en grains finement diss. et en alignements de grains</p> <p>De 349.3 à 373.5m: 2% Py globalement, principalement en grains fins disséminés; traces de chalcoppyrite autours de 360m; traces de Po autours de 373.3m.</p> <p>De 373.5 à 377.1m: &lt;1% Py en grains fins disséminés</p> <p>Structure: De 48.9-54.3m: roche moyennement fracturée, de 30-60deg AC, 90% simple, 10% conjuguée. Petit passage ou la roche est fortement fracturée avec des morceaux anguleux de carotte (53.2-53.4m)</p> <p>De 85.7-87m: Zone moyennement fracturée, pas d'orientation préférentielle (perpendiculaire à parallèle à l'Axe de la carotte), parfois fractures ondulantes</p> <p>De 158.2-159.7m: Roche fortement fracturée, pas d'orientation préférentielle, morceaux de carotte de 2-10cm</p> <p>De 188.8-192m: Zone moyennement fracturée, majorité des fractures dans l'axe de la carotte. sinon 100% simple, 40-60deg AC. Qqs passages de 10cm avec des fragment anguleux de 1-3cm.</p> <p>De 207.6-210.7m: Zone fortement fracturée avec des fractures dans l'axe de la carotte ou entre 20-50deg AC. 100% simple</p> <p>De 253.9-254.5m: Zone de faille avec nombreuses fractures et morceaux de roche broyée dans les</p>								

AC NG 00

Description	Analyse							
	De	À	Numéro	Longueur	Au_Final (g/t)	Ag_Final (ppm)	Cu_Final (ppm)	Zn_Final (ppm)
<p>fractures.</p> <p>De 313.7-316m: Roche moyennement fracturée, 80% simple, 20% fracturée, de 30-50deg AC</p> <p>De 328.3-328.7m: Roche moyennement fracturée, pas d'orientation préférentielle mais présence de boue de forage mélangée avec le la roche broyée:</p> <p>faille</p> <p>De 331.6-333.6m: Roche fortement fracturée, selon la foliation, entre 30-40deg AC, localement morceaux de carotte anguleux cm</p> <p>De 334.4-335m: Roche fortement fracturée, pas d'orientation préférentielle, morceaux de carotte cm</p> <p>Pas de traits entre 218.5-230m, de 313-334m,</p> <p>Contacts: sup?: Inf progressif (très difficile à localiser avec précision), marqué par disparition des patches de Cb et de SER, passage vers des teintes plus sombres et homogènes, avec grains fins non forcément orientés, FOL difficile à mesurer, parfois très faiblement marquée</p>								
<p>48.90</p> <p>53.90</p> <p>SIL+; BO; Chl-; CB- Silicification forte; Biotisation; Chloritisation faible; Carbonatation faible Si+ pervasive, Bt matricielle, Chl- en altération de clastes ou en pépériphérie de Vnl de Cb, Cb- en Vn/Vnl</p>								
<p>48.90</p> <p>54.30</p> <p>FRC Fracturé(e) roche moyennement fracturée, de 30-60deg AC, 90% simple, 10% conjuguée. Petit passage ou la roche est fortement fracturée avec des morceaux anguleux de carotte (53.2-53.4m)</p>								
<p>53.00</p> <p>53.10</p> <p>VEI;100%;Cc;;Py02; Veine 100% Calcite Pyrite 2% Petite veine "boudinée" de Cb, perpendiculaire à l'Axe de la carotte. 2% Pt en grains infram finement diss.</p>	53.30	54.50	P299440	1.20	0.020	0.10	24.0	35.0



MAUDORE MINERALS Ltd

AL NG CB

Description			Analyse							
			De	À	Numéro	Longueur	Au_Final (g/t)	Ag_Final (ppm)	Cu_Final (ppm)	Zn_Final (ppm)
53.90	58.90	SIL+; BO; CB-; PA- Silicification forte; Biotisation; Carbonatisation faible; Paragonite faible Si+ pervasive, Bt matricielle, Cb- en Vn/Vnl, Pa- (?) en mouchalege de 5mm environ blanchâtre								
58.90	62.70	SIL+; BO; Chl-; CB- Silicification forte; Biotisation; Chloritisation faible; Carbonatisation faible Si+ pervasive, Bt matricielle, Chl- en altération de clastes ou en pépériphérie de Vnl de Cb, Cb- en Vn/Vnl, Sr en traces en altération de clastes (59.7-60.2m)								
62.70	66.50	SIL+; BO; CB-; PA- Silicification forte; Biotisation; Carbonatisation faible; Paragonite faible Si+ pervasive, Bt matricielle, Cb- en Vn/Vnl, Pa- (?) en mouchalege de 5mm environ blanchâtre	64.00	65.00	P299441	1.00	0.020	0.10	4.0	64.0
			65.00	65.50	P151490	0.50	0.002	0.10	9.0	54.0
			65.50	66.50	P299442	1.00	0.010	0.10	7.0	55.0
66.50	130.70	SIL+; BO; Chl; CB- Silicification forte; Biotisation; Chloritisation; Carbonatisation faible Si+ pervasive, Bt matricielle, Chl en altération de clastes ou en pépériphérie de Vnl de Cb, Cb- en Vn/Vnl, Sr en traces en altération de qqs clastes, Ab en traces en rares porphyres blanchâtres  excepté: 93-99.3m: I2;pFpAm 111.5-112.1m: I2;pFpAm 129-130.7m: I2;pFpAm	66.50	68.00	P299443	1.50	0.010	0.10	15.0	44.0
			68.00	69.50	P299444	1.50	0.020	0.10	34.0	49.0
			69.50	71.00	P299445	1.50	0.320	0.10	33.0	41.0
			71.00	72.50	P299447	1.50	0.010	0.10	30.0	51.0
85.70	87.00	FRC Fracturé(e)	89.00	90.00	P299448	1.00	0.020	0.10	31.0	40.0
			90.00	90.50	P151491	0.50	0.031	0.10	60.0	35.0

MAUDORE MINERALS Ltd

AC NG CB

Description		Analyse								
		De	À	Numéro	Longueur	Au_Final (g/t)	Ag_Final (ppm)	Cu_Final (ppm)	Zn_Final (ppm)	
		Zone moyennement fracturée, pas d'orientation préférentielle	90.50	91.50	P299450	1.00	0.090	0.10	92.0	25.0
		(perpendiculaire à parallèle à l'Axe de la carotte), parfois fractures ondulantes	91.50	93.00	P299451	1.50	0.070	0.40	134.0	153.0
93.00	99.30	I2; pFpAm	99.30	100.50	P299452	1.20	0.010	0.10	24.0	49.0
		<b>Intrusion Intermédiaire; Porphyre de Feldspath et Amphibole</b>	100.50	101.50	P299453	1.00	0.005	0.10	21.0	21.0
		Intrusion intermédiaire	101.50	103.00	P299455	1.50	0.010	0.20	24.0	38.5
		Couleur gris moyen	103.00	104.00	P299456	1.00	0.580	0.30	23.0	32.0
		10% pFp de 2-5mm, subarrondis, blanchâtres	107.50	109.00	P299457	1.50	0.040	0.20	91.0	34.0
		5% amphiboles en mouchetage et baguettes, noirâtres								
		Pas de miné								
		COntact sup et inf diffus								
108.80	113.50	Py00.5	109.00	110.00	P299458	1.00	0.110	0.30	126.0	30.0
		<b>Pyrite 0.5%</b>	110.00	110.80	P299459	0.80	0.370	0.10	91.0	52.0
		0.5% Py en grains finement diss	110.80	111.80	P299460	1.00	0.070	0.20	138.0	63.0
		excepté:								
		111.5-112.1m: I2;pFpAm								
111.50	112.10	I2; pFp	111.80	112.60	P299461	0.80	0.030	0.10	60.0	46.0
		<b>Intrusion Intermédiaire 20*; Porphyre de Feldspath 20*</b>	112.60	113.60	P299462	1.00	0.125	0.60	207.0	42.0
		Intrusion intermédiaire ??	113.60	114.30	P299463	0.70	0.020	0.20	60.0	30.0
		Roche bizarre pour un intrusif. Présence de Vn/Vnl de Cb avec altération en Sr au niveau des épontes.	119.00	120.00	P299464	1.00	0.010	0.20	31.0	27.0
			120.00	120.50	P151492	0.50	0.011	0.10	56.0	33.0
			120.50	121.50	P299465	1.00	0.010	0.20	41.0	32.0
		Couleur gris moyen	126.00	127.00	P299466	1.00	0.020	0.10	25.0	26.0
		10% pFp de 2-5mm, subarrondis, blanchâtres	127.00	128.00	P299467	1.00	3.595	1.40	196.0	73.0
		5% amphiboles en mouchetage et baguettes, noirâtres	128.00	129.00	P299469	1.00	0.830	0.80	185.0	82.0
		Py en traces en grains finement diss								
		COntact sup et inf legerement ondulant et à 20deg concordant								
129.00	130.70	I2; pFp	129.00	130.00	P299470	1.00	0.005	0.10	7.0	71.0
		<b>Intrusion Intermédiaire; Porphyre de Feldspath</b>								
		Intrusion intermédiaire ??								
		Roche bizarre pour un intrusif. Présence de Vn/Vnl de Cb avec altération en Sr au niveau								

MAUDORE MINERALS Ltd

ALNG CB

Description		Analyse								
		De	À	Numéro	Longueur	Au_Final (g/t)	Ag_Final (ppm)	Cu_Final (ppm)	Zn_Final (ppm)	
	des épontes. Couleur gris moyen 10% pFp de 2-5mm, subarrondis, blanchâtres 5% amphiboles en mouchetage et baguettes, noirâtres Py en traces en grains finement diss COntact sup de 20deg concordant et inf de 70deg concordant									
130.70	139.60	SIL+; BO; AB; SR-; CB-; PA- <b>Silicification forte; Biotisation;</b> <b>Albitisation; Séricitisation faible;</b> <b>Carbonatisation faible; Paragonite faible</b> Si+ pervasive, Bo matricielle, Ab en petits porphyres blanchâtres, Sr- en altération autour de fissures et des Vn/Vnl de Cb, Cb- en Vn/Vnl, Pa- (?) en petites paillettes mm gris bleutées	139.00	140.00	P299471	1.00	0.080	0.20	12.0	79.0
139.60	203.00	SIL+; BO; SR; Chl- <b>Silicification forte; Biotisation;</b> <b>Séricitisation; Chloritisation faible</b> Si+ pervasive, Bo matricielle et en altération de clastes, Sr en mouchetage mm souvent regroupés en grappes au sein des clastes chloritisés ou petits clastes subarrondis de couleur vert clair, Chl- en Vn/Vnl et en altération de clastes, Hm en traces en Vn/Vnl (surtout de 158.2-159.7m)								
140.00	148.20	Py00.5; Po <b>Pyrite 0.5%; Pymholine</b> 0.5% Py en grains finement diss Po en traces en association avec les grains de Py	140.00	141.00	P299472	1.00	0.010	0.20	21.0	77.0
			141.00	142.00	P299474	1.00	0.010	0.10	21.0	39.0
			142.00	143.00	P299475	1.00	0.010	0.20	17.0	42.5
			143.00	144.00	P299476	1.00	0.010	0.10	20.0	42.0
			144.00	145.00	P299477	1.00	0.020	0.20	51.0	45.0
			145.00	146.00	P299478	1.00	0.050	0.30	142.0	53.0
			146.00	147.00	P299479	1.00	0.070	0.30	161.0	61.0
			147.00	148.00	P299481	1.00	0.080	0.20	102.0	41.0
			148.00	149.00	P299482	1.00	0.010	0.10	32.0	39.0

MAUDORE MINERALS Ltd

AL NG CB

Description			Analyse							
			De	À	Numéro	Longueur	Au_Final (g/t)	Ag_Final (ppm)	Cu_Final (ppm)	Zn_Final (ppm)
158.20	159.70	FRC+ <b>Fracturation forte</b> Roche fortement fracturée, pas d'orientation préférentielle, morceaux de carotte de 2-10cm	149.00	150.00	P299483	1.00	0.010	0.10	29.0	37.0
			150.00	150.50	P151493	0.50	0.005	0.10	29.0	66.0
			150.50	151.50	P299484	1.00	0.010	0.10	25.0	45.0
			179.00	180.50	P299485	1.50	0.005	0.10	18.0	26.0
			180.50	181.00	P151494	0.50	0.005	0.10	18.0	27.0
			181.00	182.00	P299486	1.00	0.010	0.10	20.0	31.0
			182.00	183.50	P299487	1.50	0.040	0.10	43.0	28.0
			183.50	184.50	P299488	1.00	0.020	0.10	12.0	32.0
			188.50	189.50	P299489	1.00	0.010	0.10	7.0	28.0
188.80	192.00	FRC <b>Fracturé(e)</b> Zone moyennement fracturée, majorité des fractures dans l'axe de la carotte. sinon 100% simple, 40-60deg AC. Qqs passages de 10cm avec des fragment anguleux de 1-3cm.	189.50	190.50	P299490	1.00	0.010	0.10	96.0	32.0
			190.50	191.50	P299491	1.00	0.020	0.10	76.0	36.0
			191.50	192.50	P299493	1.00	0.020	0.10	43.0	36.0
			192.50	193.50	P299494	1.00	0.010	0.10	37.0	24.0
203.00	203.90	SIL+; BO; CB; Chl- <b>Silicification forte; Biotisation; Carbonatation; Chloritisation faible</b> Si+ pervasive, Bo matricielle, Cb pervasive, Chl- faiblement pervasive								
203.90	251.20	SIL+; BO; SR; Chl <b>Silicification forte; Biotisation; Séricitisation; Chloritisation</b> Si+ pervasive, Bo matricielle et en altération de clastes, Sr en mouchetage mm souvent regroupés en grappes au sein des clastes chloritisés ou petits clastes subarrondis de couleur vert clair, Chl en Vn/Vnl et en altération de clastes, Hm en traces en Vn/Vnl								
207.60	210.70	FRC+ <b>Fracturation forte</b> Zone fortement fracturée avec des fractures dans l'axe de la carotte ou entre 20-50deg AC. 100% simple	209.00	210.50	P299495	1.50	0.020	0.10	14.0	31.0
			210.50	211.00	P151495	0.50	0.031	0.10	5.0	23.0
			211.00	212.00	P299496	1.00	0.055	0.20	24.0	26.0
			212.00	213.00	P299498	1.00	0.010	0.10	73.0	24.0
			213.00	214.00	P299499	1.00	0.045	0.15	36.5	19.0

MAUDORE MINERALS Ltd

AC NG CB

Description			Analyse							
			De	À	Numéro	Longueur	Au_Final (g/t)	Ag_Final (ppm)	Cu_Final (ppm)	Zn_Final (ppm)
			214.00	215.00	P299500	1.00	0.070	0.10	73.0	20.0
			215.00	216.00	P299501	1.00	0.050	0.10	38.0	18.0
			216.00	217.00	P299502	1.00	0.020	0.10	23.0	19.0
			217.00	218.50	P299503	1.50	0.010	0.10	33.0	22.0
			218.50	220.00	P299504	1.50	0.020	0.10	44.0	21.0
			220.00	221.50	P299505	1.50	0.030	0.10	17.0	19.0
			221.50	223.00	P299506	1.50	0.050	0.10	17.0	18.0
			239.00	240.50	P299507	1.50	0.010	0.10	43.0	26.0
			240.50	241.00	P151496	0.50	0.184	0.20	59.0	23.0
			241.00	242.50	P299508	1.50	0.025	0.15	78.5	33.5
			242.50	244.00	P299509	1.50	0.040	0.10	122.0	30.0
			244.00	245.50	P299510	1.50	0.020	0.10	53.0	28.0
			250.00	251.20	P299511	1.20	0.020	0.10	15.0	22.0
251.20	251.80	SIL; HM; CB; BO; BO; Chl Silicification; Hématisation; Carbonatation; Biotisation; Blotisation; Chloritisation Si moy pervasive, Hm en Vn/Vnl, Cb pervasif, Bo matricielle, Chl en fines bandes verdâtres ou mouchetage vert sombre	251.20	251.80	P299512	0.60	0.020	0.20	15.0	29.0
251.80	269.70	SIL+; Chl+; BO; SR; CB- Silicification forte; Chloritisation forte; Biotisation; Séricitisation; Carbonatation faible Si+ pervasive, Chl+ en Vn/Vnl et en altération de clastes et aussi en bandes verdâtres ou Vn/Vnl, Bo matricielle et en altération de clastes, Sr en mouchetage mm souvent regroupés en grappes au sein des clastes chloritisés ou petits clastes subarrondis de couleur vert clair, Cb- en Vn/Vnl	251.80	253.00	P299514	1.20	0.010	0.10	6.0	24.0
			253.00	253.90	P299515	0.90	0.155	0.10	29.0	27.0
253.90	254.50	FAI Faille Zone de faille avec nombreuses fractures et morceaux de roche broyée dans les fractures.	253.90	254.50	P299516	0.60	0.320	0.10	124.0	26.0
			254.50	255.50	P299517	1.00	0.005	0.10	16.0	27.0
			255.50	256.50	P299518	1.00	0.005	0.10	32.0	25.0
			256.50	257.50	P299519	1.00	0.010	0.10	90.0	29.0

MAUDORE MINERALS Ltd

AL NG CB

Description			Analyse							
			De	À	Numéro	Longueur	Au_Final (g/l)	Ag_Final (ppm)	Cu_Final (ppm)	Zn_Final (ppm)
			257.50	258.50	P299521	1.00	0.010	0.10	34.0	28.0
			264.00	265.00	P299522	1.00	0.005	0.10	27.0	28.0
			265.00	266.00	P299523	1.00	0.005	0.10	47.0	27.0
			266.00	267.10	P299525	1.10	0.035	0.25	172.0	21.0
267.10	267.70	Py00.5	267.10	267.70	P299526	0.60	0.040	0.30	231.0	38.0
		<b>Pyrite 0.5%</b>	267.70	268.50	P299527	0.80	0.005	0.10	11.0	55.0
		0.5% Py en grains mm diss, majoritairement subautomorphes	268.50	270.00	P299528	1.50	0.020	0.10	6.0	52.0
268.90	269.00	VEI;100%;Qz;::; <b>Veine 100% Quartz</b> Veine de Qz blanc à 40deg discordante. Pas de minéralisation								
269.70	273.70	SIL+; BO; HM; CB-; AB- <b>Silicification forte; Biotisation;</b> <b>Hématisation; Carbonatation</b> <b>faible; Albitisation faible</b> Si+ pervasive, Bo matricielle, Hm en halo d'altération autour de Vn/Vnl, Cb- en Vn/Vnl, Ab- en petits porphyres blancs (jusqu'à 268.3m)	270.00	271.00	P299529	1.00	0.005	0.10	4.0	74.0
			271.00	271.50	P151506	0.50	0.002	0.10	3.0	69.0
			271.50	273.00	P299530	1.50	0.005	0.10	6.0	58.0
273.70	279.00	SIL+; BO; Chl-; CB-; SR- <b>Silicification forte; Biotisation;</b> <b>Chloritisation faible;</b> <b>Carbonatation faible;</b> <b>Séricitisation faible</b> Si+ pervasive, Bo matricielle, Chl- en qqs fines bandes verdâtres, Cb- en Vn/Vnl, Sr- en petits amas mm verdâtres ou mouchelage mm vert clair, Ab en traces en qqs petits porphyres mm blancs								
279.00	286.00	SIL+; BO; CB- <b>Silicification forte; Biotisation;</b> <b>Carbonatation faible</b> Passage plus massif; Si+ pervasive, Bo matricielle, Cb- en Vn/Vnl, Ab en traces en qqs petits porphyres blancs, Sr en traces en halo d'altération autour de Vn/Vnl								
286.00	288.40	SIL+; BO; Chl-; CB-; SR-	286.00	287.40	P299531	1.40	0.010	0.10	6.0	34.0

MAUDORE MINERALS Ltd

ALNG CS

Description		Analyse							
		De	À	Numéro	Longueur	Au_Final (g/t)	Ag_Final (ppm)	Cu_Final (ppm)	Zn_Final (ppm)
		287.40	288.40	P299532	1.00	0.010	0.10	6.0	34.0
	Silicification forte; Biotisation; Chloritisation faible; Carbonatation faible; Séricitisation faible Si+ pervasive, Bo matricielle, Chl- en qqs fines bandes verdâtres, Cb- en Vn/Vnl, Sr- en petits amas mm verdâtres ou mouchetage mm vert clair, Ab en traces en qqs petits porphyres mm blancs								
288.40	290.40	288.40	289.50	P299534	1.10	0.005	0.10	5.0	55.0
	SIL+; BO; SR; CB-; AB-; Chl- Silicification forte; Biotisation; Séricitisation; Carbonatation faible; Albitisation faible; Chloritisation faible	289.50	290.70	P299535	1.20	0.005	0.10	5.0	33.0
	Si+ pervasive, Bo matricielle, Sr en halo d'altération autour de Vn/Vnl, Cb- en Vn/Vnl, Ab- en petits porphyres blancs, Chl- en qqs fines bandes verdâtres								
290.40	293.80	290.70	291.80	P299536	1.10	0.010	0.10	5.0	45.0
	SIL+; BO; Chl-; CB-; AB- Silicification forte; Biotisation; Chloritisation faible; Carbonatation faible; Albitisation faible	291.80	292.80	P299537	1.00	0.090	0.10	52.0	114.0
	Si+ pervasive, Bo matricielle, Chl- en qqs fines bandes verdâtres, Cb- en Vn/Vnl, Ab- en petits porphyres mm blancs								
291.90	292.90	292.80	293.80	P299539	1.00	0.005	0.10	3.0	46.0
	Pyrite 0.5% 0.5% Py en grains infamm à mm diss (95%) ou en un alignement de grains selon une fracture (5%)								
293.80	308.50	293.80	295.00	P299540	1.20	0.005	0.10	4.0	46.0
	SIL+; BO; SR; CB-; AB-; Chl- Silicification forte; Biotisation; Séricitisation; Carbonatation faible; Albitisation faible; Chloritisation faible	300.50	301.50	P299541	1.00	0.005	0.10	5.0	55.0
	Si+ pervasive, Bo matricielle, Sr en halo d'altération autour de Vn/Vnl, imprégnant toute la roche sur des passages métriques, Cb- en Vn/Vnl, Ab- en petits	301.50	302.00	P151507	0.50	0.002	0.10	4.0	59.0
		302.00	303.50	P299542	1.50	0.005	0.10	5.0	53.0

MAUDORE MINERALS Ltd

AC NG CB

Description		Analyse								
		De	À	Numéro	Longueur	Au_Final (g/l)	Ag_Final (ppm)	Cu_Final (ppm)	Zn_Final (ppm)	
308.50	315.80	porphyres blancs, Chl- en qqs fines bandes verdâtres SiL+; BO; Chl-; CB-; AB- <b>Silicification forte; Biotisation;</b> <b>Chloritisation faible;</b> <b>Carbonatation faible; Albitisation faible</b> Si+ pervasive, Bo matricielle, Chl- en qqs fines bandes verdâtres, Cb- en Vn/Vnl, Ab- en petits porphyres mm blancs  excepté: 310.8-311.3m: I1F	310.00	310.80	P299543	0.80	0.010	0.10	60.0	28.0
310.80	311.30	I1F	311.30	312.40	P299544	1.10	0.005	0.10	3.0	30.0
		<b>Aplité</b>	312.40	312.90	P299545	0.50	0.005	0.10	9.0	45.0
		Intrusion aplitique Couleur rose Pas de minéralisation COn tact sup au niveau d'une fracture et inf sur 30cm à 15-20deg discordant	312.90	313.40	P299546	0.50	0.100	0.10	53.0	38.0
313.20	315.70	I3; FIN <b>Intrusion mafique; Grains fins</b> Intrusion mafique Grains fins Couleur vert sombre Roche homogène Alt: Si+, Chl+ Pas de miné COn tact sup de 40deg concordant et inf au niveau d'une veine de Qz de 30deg concordant								
313.70	316.00	FRC <b>Fracturé(e)</b> Roche moyennement fracturée, 80% simple, 20% fracturée, de 30-50deg AC	315.60	316.10	P299548	0.50	0.020	0.10	31.0	31.0
315.70	315.80	VEI; 100%; Qz Cl;; PyTr; <b>Veine 100% Quartz Chlorite</b> <b>Pyrite Tr</b> Veine à 30deg concordante de Qz±Chl. Py en traces en rares grains diss								



MAUDORE MINERALS Ltd

AC WG CB

Description			Analyse							
			Dé	À	Numéro	Longueur	Au_Final (g/t)	Ag_Final (ppm)	Cu_Final (ppm)	Zn_Final (ppm)
315.80	321.60	SIL+; BO; ChI; HM-; CB-; AB- Silicification forte; Blotisation; Chloritisation faible; Hématisation faible; Carbonatation faible; Albitisation faible Si+ pervasive, Bo matricielle, ChI- en qqs fines bandes verdâtres, Hm- en Vn/Vnl, Cb- en Vn/Vnl, Ab- en petits porphyres mm blancs								
316.00	317.90	Py00.5 <b>Pyrite 0.5%</b> 0.5% Py en grains inframm diss	316.10	317.10	P299549	1.00	0.195	0.15	30.5	28.5
			317.10	317.90	P299550	0.80	0.085	0.10	51.0	28.5
			317.90	319.00	P299551	1.10	0.090	0.10	73.0	32.0
			319.00	320.50	P299552	1.50	0.160	0.10	49.0	24.0
			320.50	322.00	P299553	1.50	0.350	0.10	81.0	33.0
321.60	372.90	SIL+; BO; ChI; CB-; AB- Silicification forte; Blotisation; Chloritisation; Carbonatation faible; Albitisation faible Si+ pervasive, Bo matricielle, ChI en qqs fines bandes verdâtres ou en altération des clastes ou Vn/Vnl, Cb- en Vn/Vnl et patches de forme et d'orientation variable, Ab- en petits porphyres mm blanc cassé  excepté: 335.4-336.2m: I1G 336.2-338m: I3;FIN 313.2-315.7m: I3;FIN								
322.00	349.30	Py01 <b>Pyrite 1%</b> 0.5-1% Py en grains finement diss. et en alignements de grains	322.00	323.00	P299554	1.00	0.825	0.10	83.0	55.0
			323.00	324.00	P299555	1.00	0.140	0.10	100.0	39.0
			324.00	325.00	P299557	1.00	1.540	0.30	153.0	44.0
			325.00	326.00	P299558	1.00	0.250	0.10	58.0	56.0
			326.00	327.00	P299559	1.00	0.160	0.10	70.0	35.0
			327.00	328.00	P299560	1.00	0.070	0.10	45.0	28.0
			328.00	329.00	P299561	1.00	3.930	1.90	622.0	41.0
328.30	328.70	FRC; FAI <b>Fracturé(e); Falle</b> Roche moyennement fracturée, pas	329.00	330.00	P299562	1.00	0.150	0.10	86.0	38.0
			330.00	331.50	P299563	1.50	0.270	0.10	31.0	39.0

MAUDORE MINERALS Ltd

AL NG CB

Description		Analyse								
		De	À	Numéro	Longueur	Au_Final (g/t)	Ag_Final (ppm)	Cu_Final (ppm)	Zn_Final (ppm)	
330.60	331.00	d'orientation préférentielle mais présence de boue de forage mélangée avec le la roche broyée: faille AMA;70%;Qz;;PyTr; <b>Amas 70% Quartz Pyrite Tr</b> AMas de veines de Qz à 40deg concordante ou ondulante dans l'axe de la carotte. Py en traces en rares grains inframm diss.	331.50	332.00	P151508	0.50	0.428	0.10	14.0	66.0
331.60	333.60	FRC+ <b>Fracturation forte</b> Roche fortement fracturée, selon la foliation, entre 30-40deg AC, localement morceaux de carotte anguleux cm	332.00	333.50	P299564	1.50	0.260	0.40	20.0	131.0
			333.50	334.50	P299565	1.00	0.060	0.50	20.0	69.0
334.40	335.00	FRC+ <b>Fracturation forte</b> Roche fortement fracturée, pas d'orientation préférentielle, morceaux de carotte cm	334.50	335.40	P299566	0.90	0.360	0.30	70.0	23.0
335.40	336.20	I1G <b>Pegmatite</b> Intrusion pegmatitique Couleur rose Pas de minéralisation COn tact sup au niveau d'une fracture et inf perpendiculaire à l'axe de la carotte								
336.20	338.50	I3; FIN <b>Intrusion mafique; Grains fins</b> Intrusion mafique Couleur vert sombre Grains fins à moyens avec présence de feldspath interstitiel Alt: Si+, Chl+, Hm- Traces de Py en grains finement diss Contact sup perpendiculaire à l'axe de la carotte								
338.50	339.50	I1F <b>Aplita</b> Roche aplitique rosâtre SIL+; Hm+	339.50	340.00	P299567	0.50	0.060	0.10	69.0	37.0
			340.00	341.50	P299569	1.50	0.040	0.10	54.0	35.0
			341.50	343.00	P299571	1.50	0.040	0.10	36.0	30.0

MAUDORE MINERALS Ltd

AC NG CP

Description				Analyse						
				De	À	Numéro	Longueur	Au_Final (g/t)	Ag_Final (ppm)	Cu_Final (ppm)
		Non magnétique	343.00	344.50	P299572	1.50	0.010	0.10	11.0	27.0
		Contacts: sup et inf nets dans fractures	344.50	345.70	P299573	1.20	0.070	0.10	65.0	16.5
			345.70	347.00	P299574	1.30	0.025	0.10	4.0	24.0
			347.00	348.50	P299575	1.50	0.015	0.10	4.0	15.0
			348.50	349.30	P299576	0.80	0.010	0.10	19.0	50.0
349.30	373.50	Py02	349.30	350.50	P299577	1.20	0.020	0.10	30.0	41.0
		<b>Pyrite 2%</b>	350.50	352.00	P299578	1.50	0.040	0.20	49.0	34.0
		2% Py globalement, principalement en grains fins disséminés; traces de chalcopryrite autours de 360m; traces de Po autours de 373.3m.	352.00	353.50	P299579	1.50	0.070	0.10	8.0	16.0
			353.50	354.40	P299580	0.90	0.030	0.10	20.0	14.0
			354.40	355.00	P299581	0.60	0.110	0.10	31.0	18.0
			355.00	356.50	P299583	1.50	0.060	0.20	103.0	22.0
			356.50	358.00	P299584	1.50	0.010	0.10	39.0	29.0
			358.00	358.80	P299585	0.80	0.010	0.10	30.0	30.0
358.10	359.40	IIG	358.80	359.50	P299586	0.70	0.020	0.10	12.0	30.0
		<b>Pegmatite</b>	359.50	361.00	P299587	1.50	0.470	0.20	291.0	39.0
		Roche pegmatitique	361.00	361.50	P151542	0.50	0.100	0.10	127.0	31.0
		Teintes pâles, rosâtres	361.50	362.50	P299589	1.00	0.060	0.10	18.0	23.0
		SIL+; Hm moyen	362.50	364.00	P299590	1.50	0.170	0.10	32.0	27.0
		Non magnétique	364.00	365.50	P299592	1.50	0.180	0.10	116.0	25.0
		Contacts: sup en lambeaux proches de 20°ac; inf net à 60°ac	365.50	367.00	P299593	1.50	0.050	0.10	20.0	32.0
			367.00	368.50	P299594	1.50	2.980	0.10	230.0	29.0
			368.50	370.00	P299595	1.50	0.170	0.10	32.0	33.0
			370.00	371.50	P299596	1.50	0.060	0.10	32.0	37.0
			371.50	373.00	P299597	1.50	0.385	0.10	38.0	37.0
372.90	377.10	SIL; Chl; BO-; SR-; AB- Silicification; Chloritisation; Biotisation faible; Séricitisation faible; Albilisation faible	373.00	373.50	P299598	0.50	0.150	0.10	282.0	127.0
			373.50	374.50	P299599	1.00	0.020	0.10	39.0	33.0
			374.50	375.50	P299600	1.00	0.015	0.10	35.0	33.0
		SIL; Chl; Bo-; SER-; Ab- en petits porphyres mm blanc cassé	375.50	376.10	P297701	0.60	0.090	0.10	31.0	24.0
			376.10	377.10	P297702	1.00	0.030	0.10	63.0	61.0
377.10	417.90	V2-V3; pFp; MAS Volcanite intermédiaire à mafique; Porphyre de Feldspath; Massif Roche volcanique intermédiaire à mafique à grains								

Description	Analyse									
	De	À	Numéro	Longueur	Au_Final (g/t)	Ag_Final (ppm)	Cu_Final (ppm)	Zn_Final (ppm)		
<p>fins, comportant de petits porphyres de feldspaths blancs cassés distribués de façon hétérogène Couleur très sombre, homogène FOL souvent très faiblement marquée, difficile à mesurer</p> <p>Structure: - De 394 à 395.7m: texture bréchique marquée par la fragmentation d'un intrusif aplitique rosâtre présent sur l'ensemble de l'intervalle</p> <p>Altération: - De 377.1 à 418m: SIL; Chl-; traces de Cb; traces de Bo</p> <p>Minéralisation: - De 377.1 à 385.5m: &lt;1% Py globalement - De 385.5 à 418m: 2% Py globalement, en grains fins disséminés</p> <p>Contacts: sup progressif; inf au niveau d'une intrusion aplitique</p>										
377.10	417.90	SIL; Chl- <b>Silicification; Chloritisation faible</b> SIL; Chl-; traces de Cb; traces de Bo	377.10 378.60 379.80	378.60 379.80 380.80	P297703 P297704 P297705	1.50 1.20 1.00	0.080 0.100 0.040	0.20 0.10 0.10	117.0 120.0 99.0	29.0 29.0 25.0
385.50	417.90	excepté: 391-393.6m: I3; FIN 394-395.7m: I1F 415.7-417.3m: I1F <b>Pyrite 2%</b> 2% Py globalement, en grains fins disséminés excepté: 391-393.6m: I3; FIN 394-395.7m: I1F 415.7-417.3m: I1F	385.50 386.50 388.00 388.50 389.30 390.50	386.50 388.00 388.50 389.30 390.50	P297706 P297707 P151543 P297708 P297710 P297712	1.00 1.50 0.50 0.80 1.20 0.50	0.090 0.650 1.925 0.250 0.190 0.020	0.30 1.20 1.50 0.70 0.30 0.10	227.0 1035.0 84.0 27.0 8.0 35.0	154.0 29.0 482.0 132.0 36.0 33.0
391.00	393.60	I3; FIN <b>Intrusion mafique; Grains fins</b>	393.00	393.60	P297713	0.60	0.040	0.10	12.0	29.0

MAUDORE MINERALS Ltd

AL 10G CB

Description		Analyse								
		Dé	À	Numéro	Longueur	Au_Final (g/l)	Ag_Final (ppm)	Cu_Final (ppm)	Zn_Final (ppm)	
394.00	395.70	Roche intrusive mafique à grains fins Couleur sombre avec nuances brunâtres SIL: Hm- Non magnétique Contacts: sup ondulant proche de 15°ac; inf dans fracture. Contacts difficiles à distinguer de la roche encaissante	393.60	394.40	P297714	0.80	0.070	0.20	42.0	29.0
		IIF								
		<b>Aplité</b>								
		Roche aplitique partiellement bréchifiée occupant environ 50% de l'intervall Couleur rosâtre des portions intrusives SIL+: Hm+ Non magnétique Contacts bréchiques								
394.00	395.70	<b>BRE</b>	394.40	395.10	P297716	0.70	0.070	0.10	73.0	35.0
		<b>Bréchique</b>	395.10	395.70	P297717	0.60	0.050	0.10	64.0	28.0
		Texture bréchique marquée par la fragmentation d'un intrusif aplitique	395.70	397.00	P297718	1.30	0.150	0.20	9.0	19.0
		rosâtre présent sur l'ensemble de l'intervall	397.00	398.00	P297719	1.00	0.250	0.10	4.0	17.0
			398.00	399.30	P297720	1.30	1.030	0.30	6.0	25.0
			399.30	400.60	P297721	1.30	0.500	0.20	103.0	28.0
			400.60	401.50	P297722	0.90	0.175	0.20	60.0	27.5
			401.50	403.00	P297723	1.50	0.060	0.10	10.0	23.0
			403.00	404.50	P297724	1.50	0.100	0.10	22.0	33.0
			404.50	406.00	P297725	1.50	0.215	0.10	17.0	42.0
			406.00	407.50	P297726	1.50	0.040	0.10	11.0	29.0
			407.50	409.00	P297727	1.50	0.140	0.20	202.0	25.0
			409.00	409.60	P297728	0.60	0.150	0.10	82.0	27.0
			409.60	410.60	P297730	1.00	0.010	0.10	7.0	24.0
			410.60	412.00	P297731	1.40	0.040	0.10	7.0	24.0
			412.00	413.50	P297732	1.50	0.030	0.10	70.0	31.0
			413.50	415.00	P297733	1.50	0.010	0.10	37.0	44.0
			415.00	415.70	P297734	0.70	0.005	0.10	37.0	23.0
415.70	417.30	IIF	415.70	416.50	P297736	0.80	0.005	0.10	4.0	14.0
		<b>Aplité</b>	416.50	417.30	P297737	0.80	0.005	0.10	43.0	22.0
		Roche aplitique pâle faiblement rosâtre SIL+: Hm-	417.30	418.00	P297738	0.70	0.040	0.10	115.0	38.0

MAUDORE MINERALS Ltd

AL NG C13

Description		Analyse							
		De	À	Numéro	Longueur	Au_Final (g/t)	Ag_Final (ppm)	Cu_Final (ppm)	Zn_Final (ppm)
417.90	505.40	<p>Non magnétique</p> <p>Contacts: sup presque // à la carotte; inf net à 50°ac.</p> <p>V2-V3; T1</p> <p>418.00 419.00 P297739 1.00 0.005 0.10 8.0 35.0</p> <p>Volcanite intermédiaire à mafique; Tuf à lapillis</p> <p>419.00 419.80 P297740 0.80 0.030 0.40 432.0 123.0</p> <p>419.80 420.50 P297741 0.70 0.040 0.10 93.0 49.0</p> <p>Volcanite intermédiaire à mafique</p> <p>420.50 421.00 P151553 0.50 0.028 0.10 84.0 39.0</p> <p>Roche à grains fins de couleur gris sombre brunâtre à verdâtre. Roche homogène sur l'ensemble de l'intervalle</p> <p>421.00 422.00 P297742 1.00 0.060 0.10 22.0 34.0</p> <p>422.00 423.00 P297743 1.00 2.660 0.10 57.0 31.0</p> <p>Foliation peu visible marquée localement par l'étirement de grains matriciels. Elle est orientée entre 30deg AC</p> <p>423.00 423.80 P297744 0.80 0.450 0.20 104.0 34.0</p> <p>423.80 424.40 P297745 0.60 0.140 0.20 54.0 34.0</p> <p>Contient environ 10% de clastes cm. L'altération des clastes a l'air d'alterner entre Bt et Chl. Ils sont peu visibles, contours peu évidents, se mélangeant avec la matrice, masqués par l'altération ??</p> <p>3-4% de Vn/Vnl mm à cm de Chl+Cb±Sr concordantes</p> <p>Veines: De 496.6-496.7m: Veine à 30deg concordante de Chl+CB+Grt (?). 0.5% Py en grains finement diss ou en un amas étiré le long du contact sup</p> <p>Allérations:</p> <p>De 418-435.5m: Si+ pervasive, Bo+ matricielle ou rarement en altération des clastes, CHI modérée en altération des clastes ou rarement matricielle ou en altération autour de Vn/Vnl de Cb (couleur vert clair); Cb- en Vn/Vnl parfois discontinues, Sr en traces en petits amas verdâtres ou faiblement en altération autour des vn/Vnl de Cb</p> <p>De 435.5-454.5m: Si+ pervasive, Bo+ matricielle, Chl en altération de clastes ou autour des Vn/Vnl de Cb, Ab- en petits porphyres blanchâtres, Cb- en Vn/Vnl</p> <p>De 454.5-481.7m: Si+ pervasive, Bo+ matricielle ou en altération des clastes, CHI modérée à forte en altération des clastes ou matricielle ou en altération autour de Vn/Vnl de Cb (couleur vert clair), Cb- en Vn/Vnl parfois discontinues, Sr en traces en petits</p>							

AC NG CR

Description	Analyse							
	De	À	Numéro	Longueur	Au_Final (g/t)	Ag_Final (ppm)	Cu_Final (ppm)	Zn_Final (ppm)
<p>amas verdâtres ou faiblement en altération autour des vn/Vnl de Cb ou une veine de 10cm vert clair (469.8-469.9m), Ab en traces en qqs petits porphyres blancs localisés</p> <p>De 481.7-488.4m: Si+ pervasive, Bo+ matricielle, Chl en altération de clastes ou autour des Vn/Vnl de Cb, Ab- en petits porphyres blanchâtres, Cb- en Vn/Vnl, Sr en traces en altération autour des Vn/Vnl de Cb</p> <p>De 488.4-505.5m: Si+ pervasive, Bo+ matricielle ou en altération des clastes, CHI modérée à forte en altération des clastes ou matricielle ou en altération autour de Vn/Vnl de Cb (couleur vert clair), Cb- en Vn/Vnl parfois discontinues, Sr en traces en petits amas verdâtres parfois étirés selon la foliation ou faiblement en altération autour des vn/Vnl de Cb, Ab en traces en qqs petits porphyres blancs localisés, Grt en traces (???) en flocons brunâtres dans une veine de Chl+Cb</p> <p>Minéralisation:</p> <p>De 418-482.8m: Répartition tres homogène de la minéralisation. 2% Py globalement en grains inframm à mm diss</p> <p>1% Po en grains mm diss en association avec les grains de Py</p> <p>à 424m: Veinule de 3-4cm avec des amas de 3-4mm, recoupée par un intrusif aplitique</p> <p>De 482.8-490.4m: 1% Py en grains finement diss (70%) ou en qqs alignements de grains selon la foliation (30%)</p> <p>488.9-489.2m: 2 veinules discontinues en association avec des Vnl de Chl (la premiere perpendiculaire à l'Axe de la carotte et la seconde à 20deg discordante)</p> <p>De 490.4-495.9m: 2-3% Py en grains inframm à mm diss (90%) ou en rares petits amas de 2-4mm maxi (10%)</p> <p>à 493.3m: Vnl discontinue de Py composée d'amas de 3-5mm ou de grains mm souvent jointifs, à 20deg concordante</p> <p>De 495.9-505.5m: 1% Py en grains inframm diss</p>								

Description	Analyse							
	De	À	Numéro	Longueur	Au_Final (g/t)	Ag_Final (ppm)	Cu_Final (ppm)	Zn_Final (ppm)
<p>Contact inf progressif sur 30cm avec éclaircissement de la roche et apparition de pFp et pQz</p> <p>417.90      419.10      I1F</p> <p><b>Aplité</b></p> <p>Roche aplitique gris pâle faiblement rosâtre</p> <p>SIL+</p> <p>Non magnétique</p> <p>Enclave de VeV3 minéralisé de 418.7-418.9m</p> <p>Contacts: sup de 30deg AC et inf de 80deg AC</p>								
<p>417.90      435.50      SIL+; BO+; CH; CB-</p> <p><b>Silicification forte; Biotisation forte; Chloritisation; Carbonatation faible</b></p> <p>Si+ pervasive, Bo+ matricielle ou rarement en altération des clastes, CHI modérée en altération des clastes ou rarement matricielle ou en altération autour de Vn/Vnl de Cb (couleur vert clair); Cb- en Vn/Vnl parfois discontinues, Sr en traces en petits amas verdâtres ou faiblement en altération autour des vn/Vnl de Cb</p> <p>excepté:</p> <p>417.9-419.1m: I1F</p> <p>424.3-427.7m: I1F</p> <p>427.7-429.6m: I2;pFpAm</p>								
<p>417.90      482.80      Py02; Po01</p> <p><b>Pyrite 2%; Pyrrholite 1%</b></p> <p>Répartition tres homogène de la minéralisation. 2% Py globalement en grains inframm à mm diss</p> <p>1% Po en grains mm diss en association avec les grains de Py</p> <p>à 424m: Veinule de 3-4cm avec des amas de 3-4mm, recoupée par un intrusif aplitique</p> <p>excepté:</p>								



MAUDORE MINERALS Ltd

AC NG CG

Description			Analyse							
			De	À	Numéro	Longueur	Au_Final (g/l)	Ag_Final (ppm)	Cu_Final (ppm)	Zn_Final (ppm)
424.30	427.70	417.9-419.1m: I1F								
		424.3-427.7m: I1F								
		427.7-429.6m: I2;pFpAm								
		437.4-452.3m: I1F								
		458.3-459m: I2;pFpAm								
		459-459.2m: I1F								
		I1F								
		<b>Aplité</b>								
		Roche aplitique pâle faiblement rosâtre								
		SIL+; Hm-								
		Non magnétique								
		enclaves de I2;pFpAm sur les 50 derniers centimètres								
		Contacts: sup tres irrégulier et à environ 15deg sur 60cm et inf franc et net à 20deg								
427.70	429.60	I2; pFpAm	429.60	430.50	P297747	0.90	0.020	0.10	8.0	77.0
		<b>Intrusion Intermédiaire; Porphyre de</b>								
		<b>Feldspath et Amphibole</b>	430.50	431.50	P297748	1.00	0.010	0.10	10.0	24.0
		Intrusion intermédiaire	431.50	432.50	P297749	1.00	0.017	0.10	5.5	30.0
		Couleur gris moyen	432.50	433.50	P297750	1.00	0.015	0.10	12.0	29.5
		30% pFp, blancs, 2-5mm maxi, subarrondis	433.50	434.50	P297901	1.00	0.040	0.40	157.0	210.0
		10% amphiboles en baguettes ou mouchetage, 3-5mm	434.50	435.50	P297902	1.00	0.100	0.10	42.0	28.0
		1% Py en grains finement diss								
		Alt: Si+								
		COntact sup de 20deg AC et inf de 40deg concordant								
435.50	454.50	SIL+; BO+; Chl; AB-; CB-	435.50	436.50	P297903	1.00	0.040	0.10	18.0	36.0
		<b>Silicification forte; Blotisation forte; Chloritisation; Albitisation faible; Carbonatation faible</b>	436.50	437.50	P297904	1.00	0.140	0.10	51.0	33.0
		Si+ pervasive, Bo+ matricielle, Chl en altération de clastes ou autour des Vn/Vnl de Cb, Ab- en petits porphyres blanchâtres, Cb- en Vn/VNI								
		excepté:								
		437.4-452.3m: I1F								
437.40	452.30	I1F	452.30	453.40	P297905	1.10	0.010	0.10	25.0	46.0
		<b>Aplité</b>	453.40	454.00	P297906	0.60	0.040	0.20	155.0	49.0

MAUDORE MINERALS Ltd

AL NG 03

Description			Analyse							
			De	À	Numéro	Longueur	Au_Final (g/t)	Ag_Final (ppm)	Cu_Final (ppm)	Zn_Final (ppm)
		Roche aplitique pâle faiblement rosâtre SIL+; Hm- Non magnétique enclaves de I2;pFpAm sur les 50 derniers centimètres Contacts: sup franc et net à 30deg et inf tres irrégulier et à environ 15deg sur 1m	454.00	454.50	P151554	0.50	0.002	0.10	116.0	19.0
454.50	481.70	SIL+; BO+; ChI; CB- <b>Silicification forte; Biotisation forte; Chloritisation; Carbonatation faible</b> Si+ pervasive, Bo+ matricielle ou en altération des clastes, CHI modérée à forte en altération des clastes ou matricielle ou en altération autour de Vn/Vnl de Cb (couleur vert clair), Cb- en Vn/Vnl parfois discontinues, Sr en traces en petits amas verdâtres ou faiblement en altération autour des vn/Vnl de Cb ou une veine de 10cm vert clair (469.8-469.9m), Ab en traces en qqs petits porphyres blancs localisés  excepté: 458.3-459m: I2;pFpAm 459-459.2m: I1F	454.50	455.50	P297907	1.00	0.050	0.20	221.0	34.0
			455.50	456.50	P297908	1.00	0.050	0.10	126.0	26.0
			456.50	457.50	P297909	1.00	0.040	0.10	106.0	23.0
			457.50	458.30	P297910	0.80	0.020	0.10	124.0	35.0
458.30	459.00	I2; pFpAm <b>Intrusion Intermédiaire; Porphyre de Feldspath et Amphibole</b> Intrusion intermédiaire Couleur gris moyen 20% pFp, 1-3mm, subarrondis, blanchâtres 10% amphiboles en mouchetage ou baguettes Alt: Si+ Py en traces en grains finement diss Contact sup de 50deg concordant et inf de 20deg AC								
			459.30	460.50	P297911	1.20	0.050	0.20	264.0	41.0
		<b>Aplite</b>	460.50	462.00	P297912	1.50	0.030	0.10	19.0	30.0
		Roche aplitique pâle faiblement rosâtre SIL+	462.00	463.50	P297913	1.50	0.020	0.10	146.0	21.5

MAUDORE MINERALS Ltd

AC NG CB

Description			Analyse							
			De	À	Numéro	Longueur	Au_Final (g/l)	Ag_Final (ppm)	Cu_Final (ppm)	Zn_Final (ppm)
Contacts: sup franc et net à 20deg et inf franc et net à 30deg concordant			463.50	465.00	P297914	1.50	0.020	0.10	46.0	24.0
			465.00	466.50	P297916	1.50	0.040	0.10	114.0	32.0
			466.50	468.00	P297917	1.50	0.030	0.10	28.0	21.0
			468.00	469.50	P297918	1.50	0.040	0.10	75.0	31.0
			469.50	471.00	P297919	1.50	0.030	0.10	9.0	29.0
			471.00	472.50	P297921	1.50	0.040	0.10	115.0	26.0
			472.50	474.00	P297922	1.50	0.060	0.10	64.0	25.0
			474.00	475.50	P297924	1.50	0.080	0.10	124.0	24.0
			475.50	477.00	P297925	1.50	0.055	0.10	155.0	23.5
			477.00	478.50	P297926	1.50	0.100	0.50	405.0	31.0
			478.50	480.00	P297927	1.50	0.040	0.10	88.0	31.0
			480.00	481.00	P297928	1.00	0.060	0.10	190.0	37.0
			481.00	481.70	P297929	0.70	0.060	0.20	181.0	22.0
			481.70	488.40	P297930	1.10	0.040	0.10	148.0	27.0
SIL+; BO+; Chl; AB-; CB- Silicification forte; Biotisation forte; Chloritisation; Albitisation faible; Carbonatation faible Si+ pervasive, Bo+ matricielle, Chl en altération de clastes ou autour des Vn/Vnl de Cb, Ab- en petits porphyres blanchâtres, Cb- en Vn/Vnl, Sr en traces en altération autour des Vn/Vnl de Cb			481.70	482.80	P297930	1.10	0.040	0.10	148.0	27.0
Py01 Pyrite 1% 1% Py en grains finement diss (70%) ou en qqs alignements de grains selon la foliation (30%) 488.9-489.2m: 2 veinules discontinues en association avec des Vnl de Chl (la première perpendiculaire à l'Axe de la carotte et la seconde à 20deg discordante)			482.80	484.00	P297931	1.20	0.040	0.10	44.0	32.0
excepté: 489.3-490.4m: I1F			484.00	484.50	P151555	0.50	0.035	0.10	121.0	20.0
			484.50	485.00	P297932	0.50	0.080	0.20	176.0	29.0
			485.00	485.50	P297933	0.50	0.130	0.30	331.0	31.0
			485.50	487.00	P297934	1.50	0.020	0.10	86.0	26.0
			487.00	488.40	P297935	1.40	0.070	0.10	160.0	34.0
488.40	505.40	P297936	0.90	0.080	0.30	240.0	49.0			
SIL+; BO+; Chl; CB- Silicification forte; Biotisation forte; Chloritisation;			488.40	489.30	P297936	0.90	0.080	0.30	240.0	49.0

MAUDORE MINERALS Ltd

AC NG Co

Description	Analyse										
	De	À	Numéro	Longueur	Au_Final (g/t)	Ag_Final (ppm)	Cu_Final (ppm)	Zn_Final (ppm)			
<p>Carbonatation faible</p> <p>Si+ pervasive, Bo+ matricielle ou en altération des clastes, CHI modérée à forte en altération des clastes ou matricielle ou en altération autour de Vn/Vnl de Cb (couleur vert clair), Cb- en Vn/Vnl parfois discontinues, Sr en traces en petits amas verdâtres parfois étirés selon la foliation ou faiblement en altération autour des vn/Vnl de Cb, Ab en traces en qqs petits porphyres blancs localisés, Grt en traces (???) en flocons brunâtres dans une veine de CHI+Cb</p> <p>excepté:</p> <p>489.3-490.4m: I1F</p>											
<p>489.30      490.40      I1F</p> <p><b>Aplité 40*</b></p> <p>Roche aplitique gris pâle</p> <p>Qqs méga porphyres de feldspath faiblement rosés</p> <p>SIL+</p> <p>Contacts: sup et inf francs et nets à 40deg concordant</p>											
	490.40	495.90	Py03	490.40	491.50	P297939	1.10	0.050	0.40	268.0	37.0
			<b>Pyrite 3%</b>	491.50	493.00	P297940	1.50	0.040	0.30	292.0	18.0
			2-3% Py en grains inframm à mm diss (90%) ou en rares petits amas de 2-4mm maxi (10%)	493.00	493.50	P297941	0.50	0.130	0.20	268.0	17.0
			à 493.3m: Vnl discontinue de Py composée d'amas de 3-5mm ou de grains mm souvent jointifs. à 20deg concordante	493.50	495.00	P297943	1.50	0.020	0.90	123.0	87.0
				495.00	496.30	P297944	1.30	0.030	0.10	153.0	12.0
	495.90	505.40	Py01	496.30	496.80	P297945	0.50	0.030	0.40	124.0	46.0
			<b>Pyrite 1%</b>								
			1% Py en grains inframm diss								
	496.60	496.70	VEI;100%;CI Cb Gr;;Py00.5;	496.60	498.00	P297946	1.20	0.015	0.25	84.0	48.0
			<b>Veine 100% Chlorite Carbonate</b>	498.00	499.50	P297947	1.50	0.040	0.10	46.0	32.0
			<b>Grenat Pyrite 0.5%</b>	499.50	501.00	P297948	1.50	0.020	0.10	123.0	18.0
			Veine à 30deg concordante de	501.00	502.50	P297949	1.50	0.020	0.20	75.0	18.0

MAUDORE MINERALS Ltd

AC NG CB

Description			Analyse							
			De	À	Numéro	Longueur	Au_Final (g/t)	Ag_Final (ppm)	Cu_Final (ppm)	Zn_Final (ppm)
		CHI+CB+Grt (?). 0.5% Py en grains finement diss ou en un amas étiré le long du contact sup	502.50	504.00	P297950	1.50	0.065	0.30	136.0	214.0
503.20	503.80	FRC+ <b>Fracturation forte</b> roche fortement fracturée, 100% simple, dans l'axe de la carotte à 20deg AC	504.00	505.40	P297951	1.40	0.005	0.10	3.0	9.0
505.40	597.50	QFP <b>Porphyre à Quartz-Feldspath</b> Porphyre à quartz et feldspath Roche à matrice fine de couleur gris clair à moyen, peu déformée de maniere générale Contient environ 5% de pFp, blanchâtres, 1-3mm et 2-3% de pQz bleutés, 1-2mm, subarrondis jusqu'à 526m A partir de 526m, environ 20% de pFp, blanchâtres à rarement verdâtres, 2-5mm et 20% de pQz bleutés, de 2-5mm Jusqu'à 526m, plusieurs passages ou la roche semble plus massive avec absence de pFp ou pQz La minéralisation semble suivre les changements d'altération et les proportions de pFp/pQz Foliation tres peu marquée. Il est parfois difficile de dire si les intrusifs sont plutot concordants ou discordant. Localement, elle est marquée par l'étirement de pFp ou de pQz. Elle est orientée entre 25-30deg AC De 513.4-513.5m: Bande de l3 vert sombre avec 2% Py en grains finement diss De 573.7-582m: Zone plus floue avec peu de pFp (3-4%) et de rares pQz, roche plus sombre et plus brunâtre (couleur faisant plus penser à du V2V3) De 584-584.3m: Bande de Sr+CB, vert pâle, contact sup de 30deg AC et inf de 70degAC  Veines: De 518.3-518.5m: Veines aux contours irréguliers mais à environ 30-40deg Ac de Qz+Cb±Chl. Pas de minéralisation associée  Altération:	505.40	506.00	P297952	0.60	0.070	0.20	55.0	64.0
			506.00	507.50	P297953	1.50	0.020	0.10	36.0	36.0
			507.50	508.50	P297954	1.00	0.010	0.20	35.0	36.0
			508.50	510.00	P297955	1.50	0.010	0.10	17.0	35.0
			510.00	511.00	P297956	1.00	0.005	0.10	14.0	27.0
			511.00	512.00	P297957	1.00	0.010	0.30	33.0	32.0
			512.00	513.00	P297959	1.00	0.030	0.20	68.0	30.0
			513.00	513.50	P297960	0.50	0.030	0.10	61.0	29.0
			513.50	514.00	P151573	0.50	0.027	0.10	53.0	47.0
			514.00	514.50	P297961	0.50	0.040	0.30	32.0	44.0
			514.50	516.00	P297962	1.50	0.020	0.10	24.0	34.0
			516.00	517.00	P297963	1.00	0.010	0.20	18.0	27.0
			517.00	518.00	P297964	1.00	0.040	0.20	21.0	35.0
			518.00	518.70	P297965	0.70	0.040	0.30	24.0	20.0

AC NG CA

Description	Analyse							
	De	À	Numéro	Longueur	Au_Final (g/l)	Ag_Final (ppm)	Cu_Final (ppm)	Zn_Final (ppm)
<p>De 505.4-528.5m: Si++ pervasive et en pFp;pQz, Pa+ pervasive, Chl- en Vn/Vnl ou altération autour de Vn/Vnl de Cb, Cb- en Vn/Vnl, Bt- localement pervasive</p> <p>De 528.5-573.7m: Si++ pervasive et en pFp;pQz, Pa pervasive, Bt localement pervasive, Chl- en Vn/Vnl ou altération autour de Vn/Vnl de Cb, Cb- en Vn/Vnl, Hm en traces en altération autour de Vnl de Cb a la suite d'un I3 (525.2-526m)</p> <p>De 573.7-597.5m: Si+ pervasive et en pFp, Bt+ pervasive, Chl- en Vn/Vnl, Cb- en Vn/Vnl, Pa- faiblement pervasive</p> <p>Minéralisation:</p> <p>De 505.4-526m: 1-2% Py en grains tres finement diss (90%) ou en remplissage de fissures (10%)</p> <p>De 526-573.7m: Répartition relativement homogène. 3-5% Py en grains finement diss (60%) ou en qqas amas difformes (30%) ou en remplissage de fissures (10%)</p> <p>De 573.7-597.5m: Répartition hétérogène. 2-3% Py en grains finement diss (80%) ou en gros amas pluricm (20%)</p> <p>1% Po en grains diss, se regroupant rarement en patchs pluricm</p> <p>Structure:</p> <p>De 503.2-503.8m: roche fortement fracturée, 100% simple, dans l'axe de la carotte à 20deg AC</p> <p>De 528.7-529.7m: Roche fortement fracturée, 100% simple, à 20deg AC</p> <p>De 535.6-536m: Roche fortement fracturée, pas d'orientation préférentielle, morceaux de roche de 3-5cm</p> <p>De 558.5-558.7m: Roche fortement fracturée, pas d'orientation préférentielle, morceaux de carotte de 3cm</p> <p>De 587-591m: Roche fortement fracturée, 80% simple, 20% fracturée, passages avec de smorceaux de carottes anguleux de 3-5cm</p>								

RNG CB

Description			Analyse							
			De	À	Numéro	Longueur	Au_Final (g/t)	Ag_Final (ppm)	Cu_Final (ppm)	Zn_Final (ppm)
505.40	528.50	<p>Contact inf possiblement au niveau d'une veine de Qz, mais sinon plot progressif sur 20cm avec la disparition des pFp</p> <p>SIL++; PA+; Chl-; BO-; CB-  <b>Silicification intense; Paragonite forte; Chloritisation faible; Biotisation faible; Carbonatisation faible</b>                      Si++ pervasive et en pFp;pQz, Pa+ pervasive, Chl- en Vn/Vnl ou altération autour de Vn/Vnl de Cb, Cb- en Vn/Vnl, Bt- localement pervasive</p> <p>excepté:                      520.4-521.7: I1F                      523.1-525.2m: I3;FIN</p>								
505.40	526.00	<p>Py02  <b>Pyrite 2%</b>                      1-2% Py en grains tres finement diss (90%) ou en remplissage de fissures (10%)</p> <p>excepté:                      520.4-521.7: I1F                      523.1-525.2m: I3;FIN</p>								
518.30	518.50	<p>VEI:100%;Qz Cb Cl:;  <b>Veine 100% Quartz Carbonate Chlorite</b>                      Veines aux contours irréguliers mais à environ 30-40deg Ac de Qz+Cb±Chl.                      Pas de minéralisation associée</p>	518.70	520.20	P297967	1.50	0.010	0.10	14.0	74.0
520.20	521.70	<p>I1F  <b>Aplite 20*</b>                      Intrusion aplitique                      Couleur rose                      Non mag                      Pas de miné                      Contacts sup et inf legerement ondulants à 20deg AC environ</p>	521.60	523.10	P297968	1.50	0.010	0.10	16.0	25.0

MAUDORE MINERALS Ltd

AL NG CB

Description		Analyse								
		De	À	Numéro	Longueur	Au_Final (g/l)	Ag_Final (ppm)	Cu_Final (ppm)	Zn_Final (ppm)	
523.10	525.20	I3; FIN Intrusion mafique 40°; Grains fins 40° Intrusif mafique Couleur vert sombre Grains fins à moyens Alt: Si+, CHl+, Hm 0.5% Py en grains finement diss COntacts sup et inf de 40deg AC	525.20	526.00	P297969	0.80	0.020	0.20	17.0	36.0
526.00	573.70	Py04 Pyrite 4% Répartition relativement homogène. 3-5% Py en grains finement diss (60%) ou en qqs amas difformes (30%) ou en remplissage de fissures (10%)  excepté: 532.8-533.1m: I3;FIN 534.9-535.7m: I1F 544.6-545.3m: I1F 561.3-562m: I3;FIN 566.4-566.8m: I1B 567.7-568.3m: I3;FIN 568.3-568.8m: I1G 569.1-573.7m: I2;pFpAm	526.00	527.00	P297971	1.00	0.020	0.20	15.0	30.0
			527.00	528.00	P297972	1.00	0.010	0.20	13.0	27.0
			528.00	529.00	P297973	1.00	0.010	0.10	24.0	31.0
528.50	573.70	SIL++; PA; BO; CHl-; CB- Silicification intense; Paragonite; Biotisation; Chloritisation faible; Carbonatation faible Si++ pervasive et en pFp;pQz, Pa pervasive, Bt localement pervasive, CHl- en Vn/Vnl ou altération autour de Vn/Vnl de Cb, Cb- en Vn/Vnl, Hm en traces en altération autour de Vnl de Cb a la suite d'un I3 (525.2-526m)  excepté: 532.8-533.1m: I3;FIN 534.9-535.7m: I1F 544.6-545.3m: I1F 561.3-562m: I3;FIN 566.4-566.8m: I1B								



Description		Analyse								
		De	À	Numéro	Longueur	Au_Final (g/l)	Ag_Final (ppm)	Cu_Final (ppm)	Zn_Final (ppm)	
528.70	529.70	567.7-568.3m: I3;FIN	529.00	530.20	P297974	1.20	0.050	0.15	21.0	29.5
		568.3-568.8m: I1G								
		569.1-573.7m: I2;pFpAm								
		FRC+								
		Fracturation forte	530.20	531.00	P297975	0.80	0.295	0.20	145.0	34.0
		Roche fortement fracturée, 100% simple, à 20deg AC	531.00	532.00	P297976	1.00	0.115	0.10	20.0	27.0
			532.00	532.90	P297977	0.90	0.030	0.10	27.0	33.0
			532.90	534.00	P297978	1.10	0.030	0.10	20.0	29.0
532.80	533.10	I3; FIN	534.00	534.90	P297979	0.90	0.010	0.10	10.0	40.0
534.90	535.70	Intrusion mafique	534.90	534.90	P297979	0.90	0.010	0.10	10.0	40.0
		Intrusion mafique 50*; Grains fins 50*								
		Roche homogène à grains fins de couleur vert sombre								
		Alt: Si+, Chi+								
		1% Py en grains finement diss								
		COnтакты sup et inf de 50deg AC								
		I1F								
		Aplite								
		Intrusion aplitique								
		De couleur gris clair à rosé								
		Non mag								
		Pas de miné								
		Contact sup de 65deg AC et inf au niveau d'une zone de fractures								
535.60	536.00	FRC+	535.70	537.00	P297980	1.30	0.020	0.10	17.0	51.0
		Fracturation forte	537.00	538.00	P297981	1.00	0.040	0.10	17.0	30.0
		Roche fortement fracturée, pas d'orientation préférentielle, morceaux de roche de 3-5cm	538.00	539.00	P297983	1.00	0.050	0.10	15.0	27.0
			539.00	539.50	P297984	0.50	0.050	0.10	10.0	28.0
			539.50	540.50	P297986	1.00	0.030	0.20	17.0	38.0
			540.50	541.50	P297987	1.00	0.050	0.20	29.0	25.0
			541.50	542.50	P297988	1.00	0.060	0.10	12.0	32.0
			542.50	543.50	P297989	1.00	0.030	0.10	11.0	30.0
			543.50	544.00	P151574	0.50	0.039	0.10	8.0	31.0
			544.00	544.70	P297990	0.70	0.030	0.10	18.0	29.0
544.60	545.30	I1F	545.30	546.50	P297991	1.20	0.010	0.10	29.0	34.0
		Aplite 40*	546.50	547.50	P297992	1.00	0.010	0.10	7.0	30.0
		Intrusion aplitique	547.50	548.50	P297993	1.00	0.030	0.10	6.0	31.0
		De couleur gris clair à rosé								

MAUDORE MINERALS Ltd

AK NG CS

Description			Analyse							
			De	À	Numéro	Longueur	Au_Final (g/t)	Ag_Final (ppm)	Cu_Final (ppm)	Zn_Final (ppm)
		Non mag	548.50	549.50	P297994	1.00	0.040	0.10	31.0	30.0
		Pas de miné	549.50	550.60	P297996	1.10	0.090	0.10	37.5	33.0
		Contacts sup et inf de 40deg discordants (?)	550.60	551.50	P297997	0.90	0.050	0.20	38.0	65.0
			551.50	552.50	P297998	1.00	0.040	0.10	16.0	48.0
			552.50	553.50	P297999	1.00	0.030	0.30	22.0	46.0
			553.50	554.50	P298000	1.00	0.035	0.20	21.0	77.5
			554.50	555.50	P297751	1.00	0.040	0.20	11.0	45.0
			555.50	556.50	P297752	1.00	0.050	0.20	10.0	42.0
			556.50	557.50	P297753	1.00	0.005	0.10	16.0	39.0
			557.50	558.50	P297755	1.00	0.010	0.10	23.0	38.0
558.50	558.70	FRC+	558.50	559.00	P297756	0.50	0.030	0.20	24.0	23.0
		<b>Fracturation forte</b>	559.00	559.60	P297757	0.60	0.050	0.20	48.0	38.0
		Roche fortement fracturée, pas d'orientation préférentielle, morceaux de carotte de 3cm	559.60	560.40	P297758	0.80	0.030	0.10	68.0	38.0
			560.40	561.30	P297759	0.90	0.030	0.20	29.0	34.0
561.30	562.00	I3; FIN	562.00	563.00	P297760	1.00	0.060	0.10	25.0	35.0
		<b>Intrusion mafique; Grains fins</b>	563.00	563.50	P297761	0.50	0.070	0.10	34.0	33.0
		Intrusif mafique	563.50	564.50	P297763	1.00	0.060	0.10	20.0	31.0
		Couleur vert sombre	564.50	565.60	P297764	1.10	0.060	0.20	26.0	33.0
		Grains fins et homogène	565.60	566.50	P297765	0.90	0.050	0.10	110.0	28.0
		Alt: Si+, CHI+								
		Py entraces en grains finement diss								
566.40	566.80	Contact sup de 45deg AC et inf de 55deg AC	566.50	567.70	P297766	1.20	0.070	0.30	146.0	37.0
		I1B								
		<b>Granite 65*</b>								
		Intrusion granitique								
		Couleur gris pale faiblement rosée								
		Pas de miné								
		Contact sup et inf de 65deg AC								
567.70	568.30	I3; FIN								
		<b>Intrusion mafique; Grains fins</b>								
		Intrusion mafique								
		Couleur vert osmbre								
		Grains fins et homogène								
		Alt: Si+, CHI+								
		Contact sup au niveau d'une fracture et inf de 60deg AC								

MAUDORE MINERALS Ltd

AL NO CR

Description			Analyse							
			De	À	Numéro	Longueur	Au_Final (g/t)	Ag_Final (ppm)	Cu_Final (ppm)	Zn_Final (ppm)
568.30	568.80	IIG Pegmatite Intrusion pegmatitique Couleur blanc à rose Pas de miné Contact inf au niveau d'une fracture	568.80	569.30	P297767	0.50	0.110	0.30	45.0	39.0
569.10	573.70	I2; pFpAm Intrusion Intermédiaire; Porphyre de Feldspath et Amphibole Intrusion Intermédiaire Couleur gris moyen 20% pFp, 2-4mm, subarrondis, blanchâtres 20% amphiboles en baguettes ou mouchetage, 2-3mm Py en traces en grains finement diss Contact sup diffus et au niveau d'une fracture et inf de 30deg concordant	573.60	574.50	P297768	0.90	0.020	0.50	114.0	130.0
573.70	597.50	SIL+; BO+; Chl-; CB-; PA- Silicification forte; Blotisation forte; Chlortisation faible; Carbonatisation faible; Paragonite faible Si+ pervasive et en pFp, Bt+ pervasive, Chl- en Vn/Vnl, Cb- en Vn/Vnl, Pa- faiblement pervasive  excepté: 579.4-579.8m: I3;FIN 590-590.6m: I1F								
573.70	597.50	Py03 Pyrite 3% Répartition hétérogène. 2-3% Py en grains finement diss (80%) ou en gros amas pluri cm (20%) 1% Po en grains diss, se regroupant rarement en patchs pluricm  excepté: 579.4-579.8m: I3;FIN 590-590.6m: I1F	574.50	575.00	P297769	0.50	0.010	0.40	63.0	84.0
			575.00	576.00	P297771	1.00	0.025	0.15	39.0	68.5
			576.00	577.00	P297772	1.00	0.050	0.20	31.0	43.0
			577.00	577.50	P297775	0.50	0.035	0.35	112.5	79.0
			577.50	578.00	P151575	0.50	0.011	0.10	45.0	39.0
			578.00	578.50	P297773	0.50	0.060	0.40	150.0	199.0
			578.50	579.40	P297774	0.90	0.020	0.30	189.0	118.0

MAUDORE MINERALS Ltd

KL NG CB

Description		Analyse								
		De	À	Numéro	Longueur	Au_Final (g/l)	Ag_Final (ppm)	Cu_Final (ppm)	Zn_Final (ppm)	
579.40	579.80	I3; FIN	579.40	580.00	P297776	0.60	0.010	0.10	41.0	22.0
		Intrusion mafique 50°; Grains fins 50°	580.00	581.00	P297777	1.00	0.110	0.40	53.0	72.0
		Intrusion mafique	581.00	582.00	P297778	1.00	0.100	0.90	487.0	264.0
		Couleur vert sombre	582.00	583.50	P297779	1.50	0.180	0.20	119.0	71.0
		MAtrice à grains fins et homogène	583.50	584.50	P297780	1.00	0.150	0.10	60.0	24.0
		Alt: Si+, Chl+	584.50	585.50	P297782	1.00	0.100	0.10	128.0	23.0
		0.5% Py en grains finement diss (dans les 20 derniers cm)	585.50	586.50	P297783	1.00	0.120	0.10	57.0	16.0
		Contact sup et inf de 50deg AC	586.50	587.50	P297784	1.00	0.080	0.20	116.0	46.0
			587.50	588.50	P297785	1.00	0.050	0.10	72.0	18.0
			588.50	590.00	P297786	1.50	0.020	0.20	65.0	143.0
590.00	590.60	I1F	590.60	592.00	P297787	1.40	0.030	0.10	23.0	29.0
		Aplite	592.00	593.50	P297788	1.50	0.050	0.30	21.0	34.0
		APlité	593.50	595.00	P297789	1.50	0.045	0.10	8.5	52.5
		Couleur blanche à rosé	595.00	596.50	P297790	1.50	0.040	0.10	61.0	14.0
		Non mag	596.50	597.50	P297791	1.00	0.070	0.10	92.0	35.0
		Pas de miné								
		COntact sup et inf perdu au niveau de fractures								
597.50	608.50	V1C; MAS								
		<b>Rhyodacite; Massif</b>								
		Volcanite felsique								
		Couleur gris moyen								
		Matrice à grains fins, plutôt homogène								
		Foliation peu visible, mais il semblerait qu'elle soit dans l'Axe de la carotte (0-5degAC). Elle est marquée par de fines laminations de Pa ou de Chl								
		Veines: De 604.7-605m: Veine de Qz gris clair 3-5cm d'épaisseur, dans l'axe de la carotte. Pas de minéralisation associée directement à cette veine								
		De 606.5-606.6m: Veine de Qz blanc de 3cm formant un cercle.								
		Altérations: Si+ pervasive, Bt pervasive, Pa faiblement pervasive et en laminations, Chl- en laminations ou Vn/Vnl, Cb- en Vn/Vnl								
		Minéralisation: Répartition hétérogène. 1% Py en								

MAUDORE MINERALS Ltd

AC NG 03

Description			Analyse							
			De	À	Numéro	Longueur	Au_Final (g/t)	Ag_Final (ppm)	Cu_Final (ppm)	Zn_Final (ppm)
grains finement diss										
Contact inf legerement ondulant et perpendiculaire à l'axe de la carotte										
597.50	608.50	SIL+; BO; PA; Chl-; CB- Silicification forte; Biotisation; Paragonite; Chloritisation faible; Carbonatation faible Si+ pervasive, Bt pervasive, Pa faiblement pervasive et en laminations, Chl- en laminations ou Vn/Vnl, Cb- en Vn/Vnl								
excepté: 598.8-599.2m: I3;FIN										
597.50	608.50	Py01	597.50	598.00	P297792	0.50	0.030	0.10	28.0	28.0
		Pyrite 1%	598.00	599.00	P297794	1.00	0.060	0.10	49.0	30.0
Répartition hétérogène. 1% Py en grains finement diss										
excepté: 598.8-599.2m: I3;FIN										
598.80	599.20	I3; FIN	599.00	600.50	P297796	1.50	0.080	0.10	42.0	23.0
Intrusion mafique; Grains fins			600.50	602.00	P297797	1.50	0.180	0.30	151.0	56.0
Intrusion mafique			602.00	603.50	P297798	1.50	0.630	0.70	580.0	65.0
Couleur vert sombre			603.50	604.60	P297799	1.10	0.140	0.40	223.0	105.0
Roche homogène à grains fins			604.60	605.40	P297800	0.80	0.410	0.75	343.0	105.0
1% Py en grains finement diss										
Alt: Si+, CHI+										
Contacts sup et inf subperpendiculaire à l'axe de la carotte										
604.70	605.00	VEI;100%;Qz;;; Veine 100% Quartz Veine de Qz gris clair 3-5cm d'épaisseur, dans l'axe de la carotte. Pas de minéralisation associée directement à cette veine	605.40	606.40	P297801	1.00	0.220	0.70	314.0	49.0
605.50	605.60	VEI;100%;Qz;;;	606.40	607.00	P297802	0.60	0.190	0.30	140.0	37.0

AC NG 63

Description			Analyse							
			De	À	Numéro	Longueur	Au_Final (g/l)	Ag_Final (ppm)	Cu_Final (ppm)	Zn_Final (ppm)
		Veine 100% Quartz	607.00	607.50	P151580	0.50	0.202	0.30	75.0	96.0
		Veine de Qz blanc de 3cm formant un cercle.	607.50	608.50	P297803	1.00	0.030	0.10	45.0	39.0
		Veine de Qz blanc de 3cm formant un cercle.								
		Veine de Qz blanc de 3cm formant un cercle.								
608.50	649.00	I1B <b>Granite</b> Beehler Roche plutôt fortement fracturée Couleur majoritairement rose avec des passages gris clair								
649.00	Fin du sondage Nombre d'échantillons : 379 Nombre d'échantillons QAQC : 49 Longueur totale échantillonnée : 392.30									

MAUDORE MINERALS Ltd

AL NG CB

QAQC

De	À	Numéro	Référence	Longueur	Au (g/t)	Ag (ppm)	Cu (ppm)	Zn (ppm)
0.00	0.00	P299513	Blank	0.00	0.02	-0.2	13	22
0.00	0.00	P297793	SK62	0.00	4.06	1.2	85	93
0.00	0.00	P299591	SQ48	0.00	29.30	1.0	68	90
0.00	0.00	P299405	Blank	0.00	-0.01	-0.2	13	26
0.00	0.00	P299582	Blank	0.00	0.01	-0.2	14	24
0.00	0.00	P299568	SK62	0.00	3.92	1.0	86	92
0.00	0.00	P299556	Blank	0.00	-0.01	-0.2	13	19
0.00	0.00	P299547	SH55	0.00	1.20	0.6	107	78
0.00	0.00	P297715	SH55	0.00	1.39	0.9	111	78
0.00	0.00	P299524	SQ48	0.00	29.60	1.2	63	91
0.00	0.00	P297709	Blank	0.00	0.03	-0.2	15	23
0.00	0.00	P299497	SK62	0.00	3.96	1.1	80	96
0.00	0.00	P299492	Blank	0.00	-0.01	-0.2	15	27
0.00	0.00	P299473	SH55	0.00	1.47	0.9	118	74
0.00	0.00	P299468	Blank	0.00	-0.01	0.4	13	21
0.00	0.00	P299480	P299455	0.00	0.01	0.2	25	39
0.00	0.00	P299449	Blank	0.00	-0.01	-0.2	13	19
0.00	0.00	P299439	SQ48	0.00	29.80	1.0	66	94
0.00	0.00	P299418	SQ48	0.00	3.98	1.4	89	97
0.00	0.00	P299538	Blank	0.00	-0.01	-0.2	11	18
0.00	0.00	P297781	Blank	0.00	-0.01	-0.2	15	19
0.00	0.00	P297982	Blank	0.00	-0.01	-0.2	13	22
0.00	0.00	P297985	SQ48	0.00	29.50	1.0	67	93
0.00	0.00	P297729	Blank	0.00	-0.01	-0.2	15	25
0.00	0.00	P297958	Blank	0.00	-0.01	0.3	12	20
0.00	0.00	P297754	Blank	0.00	0.03	-0.2	13	31
0.00	0.00	P297762	SH55	0.00	1.34	1.1	105	74
0.00	0.00	P297937	Blank	0.00	-0.01	-0.2	17	26
0.00	0.00	P297966	SK62	0.00	3.94	1.3	82	95
0.00	0.00	P297923	SQ48	0.00	31.00	1.0	61	89
0.00	0.00	P297920	Blank	0.00	0.01	-0.2	16	23
0.00	0.00	P297746	SK62	0.00	4.09	1.2	90	95
0.00	0.00	P297942	SH55	0.00	1.31	0.4	396	13

## QAQC

De	À	Numéro	Référence	Longueur	Au (g/t)	Ag (ppm)	Cu (ppm)	Zn (ppm)
13.50	14.50	P299415	P299398	1.00	0.04	0.3	785	13
35.50	36.60	P299446	P299421	1.10	0.91	0.7	163	1 105
43.50	45.00	P299454	P299429	1.50	0.04	0.4	380	95
213.00	214.00	P299520	P299499	1.00	0.04	-0.2	36	18
241.00	242.50	P299533	P299508	1.50	0.03	-0.2	77	32
316.10	317.10	P299570	P299549	1.00	0.16	0.2	30	29
344.50	345.70	P299588	P299573	1.20	0.08	-0.2	77	16
371.50	373.00	P297711	P299597	1.50	0.35	-0.2	30	35
400.60	401.50	P297735	P297722	0.90	0.18	0.2	63	27
431.50	432.50	P297915	P297749	1.00	0.01	-0.2	6	33
462.00	463.50	P297938	P297913	1.50	0.02	-0.2	155	22
496.80	498.00	P297970	P297946	1.20	0.01	0.2	45	32
529.00	530.20	P297995	P297974	1.20	0.07	0.2	24	28
549.50	550.60	P297770	P297996	1.10	0.10	-0.2	38	36
575.00	576.00	P297795	P297771	1.00	0.02	-0.2	40	61
593.50	595.00	P297815	P297789	1.50	0.04	-0.2	9	47



AL NG CB

Géochimie

De	À	Numéro	Longueur	Description	SiO2 (%)	Al2O3 (%)	Fe2O3 (%)	CaO (%)
15.00	15.50	P151488	0.50		41.45	7.83	20.08	14.40
42.00	42.50	P151489	0.50		43.86	13.91	15.24	10.87
65.00	65.50	P151490	0.50		67.36	16.00	2.75	2.48
90.00	90.50	P151491	0.50		63.54	14.37	7.15	4.50
120.00	120.50	P151492	0.50		63.15	15.47	5.78	5.15
150.00	150.50	P151493	0.50		58.20	14.56	6.52	6.20
180.00	180.50	P151494	0.50		63.70	15.05	5.99	5.32
210.50	211.00	P151495	0.50		65.40	14.90	4.92	3.87
240.50	241.00	P151496	0.50		63.66	15.65	5.41	4.70
271.00	271.50	P151506	0.50		67.68	16.49	3.06	2.82
301.50	302.00	P151507	0.50		68.74	16.50	2.85	2.75
331.50	332.00	P151508	0.50		64.12	16.58	5.94	1.22
361.00	361.50	P151542	0.50		62.72	15.74	6.13	3.94
388.00	388.50	P151543	0.50		63.27	13.89	7.81	2.96
420.50	421.00	P151553	0.50		58.91	15.56	7.15	6.53
454.00	454.50	P151554	0.50		62.21	15.07	6.64	5.56
484.00	484.50	P151555	0.50		62.94	15.56	5.80	5.95
513.50	514.00	P151573	0.50		71.04	14.52	1.93	2.40
543.50	544.00	P151574	0.50		68.81	14.80	3.66	3.15
577.50	578.00	P151575	0.50		67.85	14.95	4.62	3.25
607.00	607.50	P151580	0.50		71.28	14.92	2.41	2.06

ALNG CB

Géochimie

De	À	Numéro	Longueur	MgO (%)	Na2O (%)	K2O (%)	Cr2O3 (%)	TiO2 (%)	MnO (%)	P2O5 (%)
15.00	15.50	P151488	0.50	7.22	1.03	0.23	-0.01	4.11	0.33	0.17
42.00	42.50	P151489	0.50	4.02	4.35	0.69	0.01	2.70	0.26	0.54
65.00	65.50	P151490	0.50	0.62	6.10	1.63	0.01	0.30	0.05	0.12
90.00	90.50	P151491	0.50	3.32	4.01	0.84	0.01	0.56	0.11	0.14
120.00	120.50	P151492	0.50	2.91	4.28	1.09	0.01	0.57	0.11	0.12
150.00	150.50	P151493	0.50	3.24	3.45	1.33	0.01	0.52	0.11	0.11
180.00	180.50	P151494	0.50	2.76	4.03	1.19	0.01	0.52	0.10	0.13
210.50	211.00	P151495	0.50	2.37	4.71	1.28	0.01	0.44	0.07	0.09
240.50	241.00	P151496	0.50	2.45	4.09	1.65	0.01	0.53	0.06	0.13
271.00	271.50	P151506	0.50	0.72	5.78	1.52	-0.01	0.31	0.06	0.13
301.50	302.00	P151507	0.50	0.64	5.68	1.50	-0.01	0.27	0.05	0.13
331.50	332.00	P151508	0.50	2.69	0.90	4.49	0.01	0.56	0.07	0.15
361.00	361.50	P151542	0.50	2.96	5.01	0.75	0.01	0.50	0.08	0.11
388.00	388.50	P151543	0.50	3.69	4.51	0.60	0.01	0.50	0.09	0.14
420.50	421.00	P151553	0.50	4.76	2.84	2.14	0.03	0.56	0.10	0.12
454.00	454.50	P151554	0.50	3.51	4.53	0.66	0.02	0.55	0.09	0.15
484.00	484.50	P151555	0.50	2.53	4.20	0.62	0.01	0.52	0.06	0.15
513.50	514.00	P151573	0.50	0.65	5.60	1.15	-0.01	0.16	0.03	0.07
543.50	544.00	P151574	0.50	1.31	5.12	1.08	-0.01	0.34	0.04	0.10
577.50	578.00	P151575	0.50	1.43	4.97	1.32	0.01	0.36	0.04	0.11
607.00	607.50	P151580	0.50	0.58	5.01	2.01	-0.01	0.22	0.03	0.10

## Géochimie

De	À	Numéro	Longueur	SrO (%)	BaO (%)	LOI (%)	Total (%)	Nb (ppm)	Ba (ppm)	Rb (ppm)
15.00	15.50	P151488	0.50	0.10	0.02	2.08	99.06	58	160	7
42.00	42.50	P151489	0.50	0.18	0.08	2.71	99.42	64	840	35
65.00	65.50	P151490	0.50	0.03	0.06	2.00	99.51	5	380	34
90.00	90.50	P151491	0.50	0.04	0.04	1.06	99.69	5	320	30
120.00	120.50	P151492	0.50	0.04	0.04	1.00	99.71	5	280	33
150.00	150.50	P151493	0.50	0.02	0.03	4.51	98.82	5	240	41
180.00	180.50	P151494	0.50	0.04	0.04	1.17	100.05	6	310	34
210.50	211.00	P151495	0.50	0.04	0.04	1.78	99.92	4	240	41
240.50	241.00	P151496	0.50	0.03	0.04	1.43	99.83	6	280	42
271.00	271.50	P151506	0.50	0.07	0.05	1.20	99.90	5	360	41
301.50	302.00	P151507	0.50	0.08	0.05	0.67	99.91	5	350	51
331.50	332.00	P151508	0.50	0.01	0.08	3.07	99.88	5	590	147
361.00	361.50	P151542	0.50	0.04	0.02	1.50	99.52	4	130	29
388.00	388.50	P151543	0.50	0.02	0.02	2.45	99.96	5	120	26
420.50	421.00	P151553	0.50	0.02	0.04	1.26	100.00	4	340	69
454.00	454.50	P151554	0.50	0.05	0.02	0.97	100.05	4	140	25
484.00	484.50	P151555	0.50	0.06	0.02	1.21	99.64	4	150	24
513.50	514.00	P151573	0.50	0.03	0.05	1.94	99.57	4	320	29
543.50	544.00	P151574	0.50	0.04	0.07	0.99	99.51	5	540	32
577.50	578.00	P151575	0.50	0.05	0.08	0.73	99.78	5	680	41
607.00	607.50	P151580	0.50	0.03	0.06	0.90	99.60	4	370	48

## Géochimie

De	À	Numéro	Longueur	Zr (ppm)	Y (ppm)	Sr (ppm)	Au (ppm)	Ag (ppm)	Al (%)	As (ppm)
15.00	15.50	P151488	0.50	144	19	953	0.128	0.70	1.04	-2
42.00	42.50	P151489	0.50	151	22	1 830	0.115	0.50	1.12	-2
65.00	65.50	P151490	0.50	217	9	307	-0.005	-0.2	0.65	-2
90.00	90.50	P151491	0.50	129	11	364	0.031	-0.2	1.21	-2
120.00	120.50	P151492	0.50	127	10	347	0.011	-0.2	1.46	-2
150.00	150.50	P151493	0.50	118	9	278	0.005	-0.2	2.17	2
180.00	180.50	P151494	0.50	134	11	384	0.005	-0.2	1.44	-2
210.50	211.00	P151495	0.50	124	9	424	0.031	-0.2	1.14	-2
240.50	241.00	P151496	0.50	137	11	251	0.184	0.20	1.83	-2
271.00	271.50	P151506	0.50	226	11	788	-0.005	-0.2	0.72	3
301.50	302.00	P151507	0.50	235	10	782	-0.005	-0.2	0.77	-2
331.50	332.00	P151508	0.50	142	9	108	0.428	-0.2	1.94	-2
361.00	361.50	P151542	0.50	131	10	374	0.100	-0.2	1.60	4
388.00	388.50	P151543	0.50	116	10	258	1.925	1.50	1.62	9
420.50	421.00	P151553	0.50	106	12	196	0.028	-0.2	2.51	-2
454.00	454.50	P151554	0.50	119	12	492	-0.005	-0.2	1.17	-2
484.00	484.50	P151555	0.50	124	12	600	0.035	-0.2	1.12	-2
513.50	514.00	P151573	0.50	130	9	357	0.027	-0.2	0.58	4
543.50	544.00	P151574	0.50	144	11	390	0.039	-0.2	1.13	-2
577.50	578.00	P151575	0.50	152	12	524	0.011	-0.2	1.37	2
607.00	607.50	P151580	0.50	167	9	279	0.202	0.30	0.49	3

## Géochimie

De	À	Numéro	Longueur	B (ppm)	Ba Econo (ppm)	Be (ppm)	Bi (ppm)	Ca (%)	Cd (ppm)	Co (ppm)
15.00	15.50	P151488	0.50	-10		0.5	-2	2.85	-0.5	38
42.00	42.50	P151489	0.50	-10		0.5	-2	3.67	-0.5	19
65.00	65.50	P151490	0.50	-10		-0.5	-2	1.28	-0.5	3
90.00	90.50	P151491	0.50	-10		-0.5	-2	0.71	-0.5	10
120.00	120.50	P151492	0.50	-10		-0.5	-2	0.96	-0.5	14
150.00	150.50	P151493	0.50	-10		-0.5	-2	2.93	-0.5	14
180.00	180.50	P151494	0.50	-10		-0.5	-2	0.96	-0.5	10
210.50	211.00	P151495	0.50	-10		-0.5	-2	1.09	-0.5	12
240.50	241.00	P151496	0.50	-10		-0.5	-2	1.18	-0.5	14
271.00	271.50	P151506	0.50	-10		-0.5	-2	0.53	-0.5	3
301.50	302.00	P151507	0.50	-10		-0.5	-2	0.42	-0.5	3
331.50	332.00	P151508	0.50	-10		0.5	-2	0.64	-0.5	11
361.00	361.50	P151542	0.50	-10		-0.5	-2	0.70	-0.5	18
388.00	388.50	P151543	0.50	-10		-0.5	-2	0.57	7.5	55
420.50	421.00	P151553	0.50	-10		-0.5	-2	1.11	-0.5	31
454.00	454.50	P151554	0.50	-10		-0.5	-2	0.71	-0.5	26
484.00	484.50	P151555	0.50	-10		-0.5	-2	1.35	-0.5	21
513.50	514.00	P151573	0.50	-10		-0.5	-2	1.34	-0.5	7
543.50	544.00	P151574	0.50	-10		-0.5	-2	0.49	-0.5	22
577.50	578.00	P151575	0.50	-10		-0.5	-2	0.42	-0.5	8
607.00	607.50	P151580	0.50	-10		-0.5	-2	0.38	-0.5	4

*AK NG 63*

Géochimie

De	À	Numéro	Longueur	Cr (ppm)	Cu (ppm)	Fe (%)	Ga (ppm)	Hg (ppm)	K (%)	La (ppm)
15.00	15.50	P151488	0.50	3	709	6.81	10	-1	0.04	20
42.00	42.50	P151489	0.50	1	270	5.80	-10	-1	0.35	50
65.00	65.50	P151490	0.50	3	9	1.48	-10	-1	0.16	30
90.00	90.50	P151491	0.50	49	60	2.79	10	-1	0.26	10
120.00	120.50	P151492	0.50	52	56	2.50	10	-1	0.73	10
150.00	150.50	P151493	0.50	51	29	3.71	10	-1	0.24	10
180.00	180.50	P151494	0.50	50	18	2.49	10	-1	0.69	10
210.50	211.00	P151495	0.50	47	5	2.54	10	-1	0.09	10
240.50	241.00	P151496	0.50	57	59	2.95	10	-1	1.00	10
271.00	271.50	P151506	0.50	8	3	1.86	-10	-1	0.25	30
301.50	302.00	P151507	0.50	6	4	1.80	10	-1	0.29	30
331.50	332.00	P151508	0.50	44	14	3.49	10	-1	0.29	10
361.00	361.50	P151542	0.50	61	127	3.13	10	-1	0.27	10
388.00	388.50	P151543	0.50	75	84	4.54	10	-1	0.21	10
420.50	421.00	P151553	0.50	154	84	3.49	10	-1	1.58	10
454.00	454.50	P151554	0.50	54	116	2.60	-10	-1	0.47	10
484.00	484.50	P151555	0.50	38	121	2.52	-10	-1	0.31	20
513.50	514.00	P151573	0.50	8	53	1.15	-10	-1	0.07	20
543.50	544.00	P151574	0.50	26	8	2.32	-10	-1	0.70	20
577.50	578.00	P151575	0.50	27	45	2.60	-10	-1	0.82	20
607.00	607.50	P151580	0.50	8	75	1.36	-10	-1	0.24	10

## Géochimie

De	À	Numéro	Longueur	Mg (%)	Mn (ppm)	Mo (ppm)	Na (%)	Ni (ppm)	P (ppm)	Pb (ppm)
15.00	15.50	P151488	0.50	0.91	503	-1	0.09	49	760	3
42.00	42.50	P151489	0.50	0.79	619	-1	0.18	8	2 330	4
65.00	65.50	P151490	0.50	0.27	306	-1	0.08	-1	560	2
90.00	90.50	P151491	0.50	0.96	240	-1	0.11	36	540	-2
120.00	120.50	P151492	0.50	1.13	314	-1	0.09	36	470	-2
150.00	150.50	P151493	0.50	1.69	569	-1	0.05	46	470	-2
180.00	180.50	P151494	0.50	1.06	327	-1	0.08	33	530	-2
210.50	211.00	P151495	0.50	1.05	293	-1	0.06	32	360	-2
240.50	241.00	P151496	0.50	1.19	281	-1	0.07	35	520	-2
271.00	271.50	P151506	0.50	0.38	303	-1	0.07	3	590	2
301.50	302.00	P151507	0.50	0.36	291	-1	0.08	1	570	-2
331.50	332.00	P151508	0.50	1.42	432	-1	0.02	47	650	-2
361.00	361.50	P151542	0.50	1.32	345	-1	0.10	48	500	2
388.00	388.50	P151543	0.50	1.78	345	2	0.07	56	590	48
420.50	421.00	P151553	0.50	1.94	368	-1	0.16	107	510	-2
454.00	454.50	P151554	0.50	0.87	176	-1	0.13	54	690	-2
484.00	484.50	P151555	0.50	0.70	114	1	0.12	36	680	-2
513.50	514.00	P151573	0.50	0.30	150	2	0.06	7	340	6
543.50	544.00	P151574	0.50	0.77	211	-1	0.08	17	490	-2
577.50	578.00	P151575	0.50	0.80	207	-1	0.06	15	490	-2
607.00	607.50	P151580	0.50	0.24	131	2	0.06	2	390	57

AC NG 03

Géochimie

De	À	Numéro	Longueur	S (%)	Sb (ppm)	Sc (ppm)	Th (ppm)	Sr Econo (ppm)	Ti (%)	Ti (ppm)
15.00	15.50	P151488	0.50	1.01	-2	4	-20		0.65	-10
42.00	42.50	P151489	0.50	0.07	-2	2	-20		0.31	-10
65.00	65.50	P151490	0.50	0.10	-2	1	-20		0.08	-10
90.00	90.50	P151491	0.50	0.27	-2	4	-20		0.12	-10
120.00	120.50	P151492	0.50	0.08	-2	5	-20		0.15	-10
150.00	150.50	P151493	0.50	0.14	-2	6	-20		0.18	-10
180.00	180.50	P151494	0.50	0.03	-2	4	-20		0.17	-10
210.50	211.00	P151495	0.50	0.09	-2	4	-20		0.12	-10
240.50	241.00	P151496	0.50	0.18	-2	5	-20		0.19	-10
271.00	271.50	P151506	0.50	0.03	-2	1	-20		0.11	-10
301.50	302.00	P151507	0.50	0.06	-2	1	-20		0.12	-10
331.50	332.00	P151508	0.50	0.21	-2	4	-20		0.20	-10
361.00	361.50	P151542	0.50	0.34	-2	6	-20		0.18	-10
388.00	388.50	P151543	0.50	1.55	-2	6	-20		0.16	-10
420.50	421.00	P151553	0.50	0.53	-2	6	-20		0.25	-10
454.00	454.50	P151554	0.50	0.72	2	3	-20		0.13	-10
484.00	484.50	P151555	0.50	0.88	-2	3	-20		0.10	-10
513.50	514.00	P151573	0.50	0.17	-2	1	-20		0.03	-10
543.50	544.00	P151574	0.50	0.80	-2	1	-20		0.15	-10
577.50	578.00	P151575	0.50	0.15	-2	1	-20		0.17	-10
607.00	607.50	P151580	0.50	0.42	-2	1	-20		0.06	-10



## Géochimie

De	À	Numéro	Longueur	U (ppm)	V (ppm)	W (ppm)	Zn (ppm)
15.00	15.50	P151488	0.50	-10	207	-10	41
42.00	42.50	P151489	0.50	-10	90	-10	59
65.00	65.50	P151490	0.50	-10	6	-10	54
90.00	90.50	P151491	0.50	-10	53	-10	35
120.00	120.50	P151492	0.50	-10	58	-10	33
150.00	150.50	P151493	0.50	-10	59	-10	66
180.00	180.50	P151494	0.50	-10	52	-10	27
210.50	211.00	P151495	0.50	-10	52	-10	23
240.50	241.00	P151496	0.50	-10	67	-10	23
271.00	271.50	P151506	0.50	-10	14	-10	69
301.50	302.00	P151507	0.50	-10	11	-10	59
331.50	332.00	P151508	0.50	-10	45	-10	66
361.00	361.50	P151542	0.50	-10	73	-10	31
388.00	388.50	P151543	0.50	-10	77	-10	482
420.50	421.00	P151553	0.50	-10	83	-10	39
454.00	454.50	P151554	0.50	-10	50	-10	19
484.00	484.50	P151555	0.50	-10	51	-10	20
513.50	514.00	P151573	0.50	-10	4	-10	47
543.50	544.00	P151574	0.50	-10	36	-10	31
577.50	578.00	P151575	0.50	-10	37	-10	39
607.00	607.50	P151580	0.50	-10	7	-10	96

MAUDORE MINERALS Ltd

Sondage : COM-12-905  
 Titre minier :  
 Canton : Comtois  
 Rang :  
 Lot :  
 Foré par : Forage Orbit Garant  
 Décrit par : JG. Merdy, I. Blayo, N. Guivarch  
 Du : 2012-06-28  
 Au : 2012-07-11  
 Section : 3032E  
 Niveau : Surface  
 Place de travail : Lebel-sur-Quévillon  
 Date de description : 2012-07-05

Collet

	UTM	Locales	GREER
Azimut : 193.00°	Est 342 145.39	3 033.79	4 385.24
Plongée : -68.00°	Nord 5 444 272.88	1 435.28	1 854.60
Longueur : 1 179.00 m	Élévation 285.10	285.10	285.10

Déviations

Type	Profondeur	Azimut	Plongée	Invalide	Description
Reflex	0.00	190.00°	-69.00°	Non	
Reflex	33.00	192.80°	-69.10°	Oui	59565
Reflex	36.00	189.70°	-69.00°	Non	55472
Reflex	39.00	189.50°	-68.90°	Non	55070
Reflex	42.00	189.70°	-68.80°	Non	54919
Reflex	45.00	190.00°	-68.70°	Non	54838
Reflex	48.00	189.40°	-68.70°	Non	54793
Reflex	51.00	189.60°	-68.60°	Non	54771
Reflex	54.00	189.20°	-68.80°	Oui	54829
Reflex	57.00	189.50°	-68.50°	Non	54764
Reflex	60.00	189.90°	-68.50°	Non	54893
Reflex	63.00	189.10°	-68.40°	Non	54745

Description

OSH-12-12. Wedge en fond de trou à 291m pour faire dévier en azimuth.  
 Erreur d'échantillonnage, numéro M105982 remplace P295030 ; M105983 remplace P295029 ; M105984 remplace P295031 ; M105985 remplace P295032 (blanc) ; M105986 remplace P295033.



Dimension de la carotte : Carotte NQ  
 Cimenté : Non  
 Entreposé : Oui

## Déviation

Type	Profondeur	Azimut	Plongée	Invalide	Description
Reflex	66.00	189.00°	-68.30°	Non	54686
Reflex	69.00	189.10°	-68.30°	Non	54805
Reflex	72.00	195.60°	-67.80°	Oui	54734
Reflex	75.00	189.10°	-68.20°	Non	54828
Reflex	78.00	188.10°	-68.10°	Non	54742
Reflex	81.00	189.40°	-68.20°	Non	54735
Reflex	84.00	177.00°	-68.10°	Oui	54754
Reflex	87.00	189.10°	-68.00°	Non	54738
Reflex	90.00	189.20°	-68.00°	Non	54738
Reflex	93.00	187.80°	-68.00°	Oui	54711
Reflex	96.00	189.40°	-67.90°	Non	54708
Reflex	99.00	189.30°	-67.90°	Non	54668
Reflex	102.00	188.90°	-67.90°	Non	54755
Reflex	105.00	189.70°	-67.90°	Non	54843
Reflex	108.00	189.40°	-67.80°	Non	54845
Reflex	111.00	189.00°	-67.70°	Non	54774
Reflex	114.00	189.40°	-67.70°	Non	54825
Reflex	117.00	189.40°	-67.70°	Non	54871
Reflex	120.00	189.80°	-67.60°	Non	55043
Reflex	123.00	189.90°	-67.60°	Non	54899
Reflex	126.00	188.40°	-67.50°	Non	54918
Reflex	129.00	188.70°	-67.50°	Non	54849
Reflex	132.00	189.10°	-67.40°	Non	54914
Reflex	135.00	189.50°	-67.40°	Non	54754
Reflex	138.00	189.80°	-67.40°	Non	54831
Reflex	141.00	190.00°	-67.30°	Non	54716
Reflex	144.00	189.50°	-67.20°	Non	54702
Reflex	147.00	189.50°	-67.20°	Non	54689
Reflex	150.00	190.10°	-67.10°	Non	54684
Reflex	153.00	189.80°	-66.90°	Non	54904
Reflex	156.00	190.00°	-66.90°	Non	54740
Reflex	159.00	189.50°	-66.80°	Non	54878
Reflex	162.00	190.10°	-66.70°	Non	54783
Reflex	165.00	190.10°	-66.60°	Non	54796

ALB NG

Déviations

Type	Profondeur	Azimet	Plongée	Invalide	Description
Reflex	168.00	190.10°	-66.60°	Non	55042
Reflex	171.00	190.40°	-66.60°	Non	54812
Reflex	174.00	190.70°	-66.40°	Non	54874
Reflex	177.00	190.40°	-66.40°	Non	54839
Reflex	180.00	190.60°	-66.40°	Non	55090
Reflex	183.00	191.30°	-66.40°	Non	55002
Reflex	186.00	190.70°	-66.40°	Non	54735
Reflex	189.00	190.60°	-66.30°	Non	54807
Reflex	192.00	190.60°	-66.20°	Non	54837
Reflex	195.00	191.00°	-66.20°	Non	54874
Reflex	198.00	191.60°	-66.20°	Non	54955
Reflex	201.00	192.20°	-66.30°	Non	54945
Reflex	204.00	191.40°	-66.30°	Non	54992
Reflex	207.00	191.90°	-66.20°	Non	54791
Reflex	210.00	191.60°	-66.10°	Non	54822
Reflex	213.00	191.80°	-66.10°	Non	54819
Reflex	216.00	191.70°	-66.00°	Non	54900
Reflex	219.00	198.00°	-65.60°	Oui	54711
Reflex	222.00	192.30°	-65.70°	Non	54793
Reflex	225.00	192.40°	-65.50°	Non	54975
Reflex	228.00	192.50°	-65.40°	Non	54789
Reflex	231.00	192.30°	-65.20°	Non	54741
Reflex	234.00	191.60°	-65.10°	Non	54922
Reflex	237.00	191.50°	-65.00°	Non	54820
Reflex	240.00	191.70°	-64.90°	Non	54816
Reflex	243.00	192.30°	-64.80°	Non	54827
Reflex	246.00	191.60°	-64.60°	Non	54926
Reflex	249.00	191.20°	-64.20°	Non	54748
Reflex	252.00	189.80°	-63.70°	Oui	55066
Reflex	255.00	190.50°	-63.20°	Non	54849
Reflex	258.00	189.70°	-62.80°	Non	54970
Reflex	261.00	189.00°	-62.40°	Non	54838
Reflex	264.00	189.20°	-62.10°	Non	55003
Reflex	267.00	188.90°	-62.00°	Non	55054

## Déviation

Type	Profondeur	Azimut	Plongée	Invalide	Description
Reflex	270.00	188.70°	-62.00°	Non	55243
Reflex	273.00	189.10°	-61.80°	Non	54693
Reflex	276.00	189.30°	-61.60°	Non	54755
Reflex	279.00	189.30°	-61.50°	Non	54839
Reflex	282.00	190.70°	-61.60°	Non	54862
Reflex	285.00	189.70°	-61.40°	Non	54954
Reflex	288.00	192.10°	-59.70°	Oui	55268
Reflex	291.00	188.80°	-61.20°	Oui	55168
Reflex	295.00	194.40°	-60.80°	Non	54865
Reflex	298.00	194.50°	-60.50°	Non	54663
Reflex	301.00	194.70°	-60.30°	Non	54642
Reflex	304.00	194.40°	-60.00°	Non	54634
Reflex	307.00	194.10°	-59.80°	Non	54621
Reflex	310.00	194.20°	-59.70°	Non	54579
Reflex	313.00	194.30°	-59.70°	Non	54827
Reflex	316.00	194.10°	-59.60°	Non	54652
Reflex	319.00	193.90°	-59.50°	Non	54620
Reflex	322.00	193.90°	-59.40°	Non	54715
Reflex	325.00	194.30°	-59.40°	Non	54568
Reflex	328.00	193.70°	-59.30°	Non	54648
Reflex	331.00	194.00°	-59.20°	Non	54642
Reflex	334.00	194.00°	-59.10°	Non	54572
Reflex	337.00	194.30°	-59.20°	Non	54571
Reflex	340.00	194.20°	-59.10°	Non	54820
Reflex	343.00	194.40°	-59.10°	Non	54793
Reflex	346.00	194.50°	-59.00°	Non	54760
Reflex	349.00	194.80°	-59.00°	Non	54549
Reflex	352.00	194.40°	-58.90°	Non	54553
Reflex	355.00	194.80°	-58.80°	Non	54620
Reflex	358.00	194.80°	-58.70°	Non	54657
Reflex	361.00	194.90°	-58.60°	Non	54729
Reflex	364.00	195.00°	-58.60°	Non	54756
Reflex	367.00	195.30°	-58.60°	Non	54708
Reflex	370.00	195.40°	-58.60°	Non	54725

## Déviation

Type	Profondeur	Azimet	Plongée	Invalide	Description
Reflex	373.00	195.10°	-58.60°	Non	54668
Reflex	376.00	194.90°	-58.40°	Non	54616
Reflex	379.00	194.90°	-58.40°	Non	54603
Reflex	382.00	195.50°	-58.40°	Non	54545
Reflex	385.00	195.40°	-58.30°	Non	54473
Reflex	388.00	195.70°	-58.20°	Non	54587
Reflex	391.00	195.90°	-58.20°	Non	54805
Reflex	394.00	195.30°	-58.10°	Non	54736
Reflex	397.00	195.40°	-58.20°	Non	54589
Reflex	400.00	195.60°	-58.20°	Non	55100
Reflex	403.00	195.50°	-58.10°	Non	54748
Reflex	406.00	195.30°	-58.10°	Non	54937
Reflex	409.00	195.70°	-58.10°	Non	54635
Reflex	412.00	195.70°	-58.10°	Non	54580
Reflex	415.00	195.80°	-58.10°	Non	54630
Reflex	418.00	196.00°	-58.00°	Non	54632
Reflex	421.00	196.10°	-58.00°	Non	54657
Reflex	424.00	195.60°	-57.90°	Non	55085
Reflex	427.00	195.60°	-57.90°	Non	54918
Reflex	430.00	195.80°	-57.90°	Non	54886
Reflex	433.00	195.50°	-57.90°	Non	54895
Reflex	436.00	195.80°	-57.90°	Non	54766
Reflex	439.00	195.80°	-57.80°	Non	54808
Reflex	442.00	196.10°	-57.80°	Non	54857
Reflex	445.00	196.00°	-57.80°	Non	54841
Reflex	448.00	196.00°	-57.80°	Non	54853
Reflex	451.00	196.10°	-57.70°	Non	54723
Reflex	454.00	195.80°	-57.80°	Non	54767
Reflex	457.00	196.40°	-57.70°	Non	54666
Reflex	460.00	196.60°	-57.70°	Non	54751
Reflex	463.00	196.70°	-57.70°	Non	54620
Reflex	466.00	196.50°	-57.60°	Non	54650
Reflex	469.00	196.20°	-57.50°	Non	54740
Reflex	472.00	196.50°	-57.50°	Non	54727

Déviations

Type	Profondeur	Azimut	Plongée	Invalide	Description
Reflex	475.00	196.60°	-57.50°	Non	54660
Reflex	478.00	196.80°	-57.50°	Non	54675
Reflex	481.00	196.40°	-57.50°	Non	54800
Reflex	484.00	196.20°	-57.50°	Non	54743
Reflex	487.00	196.80°	-57.50°	Non	54600
Reflex	490.00	197.30°	-57.40°	Non	54675
Reflex	493.00	197.10°	-57.40°	Non	54803
Reflex	496.00	197.30°	-57.30°	Non	54771
Reflex	499.00	197.30°	-57.30°	Non	54790
Reflex	502.00	197.50°	-57.20°	Non	54797
Reflex	505.00	197.40°	-57.10°	Non	54776
Reflex	508.00	197.70°	-57.10°	Non	54759
Reflex	511.00	197.70°	-57.10°	Non	54802
Reflex	514.00	197.70°	-57.10°	Non	54772
Reflex	517.00	197.80°	-57.10°	Non	54776
Reflex	520.00	198.00°	-57.00°	Non	54769
Reflex	523.00	198.50°	-57.00°	Non	54775
Reflex	526.00	199.10°	-57.20°	Non	54771
Reflex	529.00	199.90°	-57.70°	Non	54783
Reflex	532.00	200.20°	-57.80°	Non	54761
Reflex	535.00	200.50°	-57.80°	Non	54744
Reflex	538.00	200.90°	-57.80°	Non	54825
Reflex	541.00	200.70°	-57.90°	Non	54633
Reflex	544.00	201.20°	-58.00°	Oui	54707
Reflex	547.00	200.40°	-57.80°	Non	54617
Reflex	550.00	202.10°	-57.80°	Non	54986
Reflex	553.00	201.20°	-57.70°	Non	54628
Reflex	556.00	201.40°	-57.80°	Non	54683
Reflex	559.00	201.00°	-57.80°	Non	54741
Reflex	562.00	201.20°	-57.80°	Non	54616
Reflex	565.00	201.70°	-57.80°	Non	54835
Reflex	568.00	202.70°	-57.80°	Non	54677
Reflex	571.00	201.80°	-57.80°	Non	54827
Reflex	574.00	202.20°	-57.80°	Non	54772

Déviations

Type	Profondeur	Azimet	Plongée	Invalide	Description
Reflex	577.00	202.70°	-57.80°	Non	54647
Reflex	580.00	202.60°	-57.80°	Non	54640
Reflex	583.00	202.80°	-57.70°	Non	54637
Reflex	586.00	202.70°	-57.70°	Non	54582
Reflex	589.00	202.70°	-57.70°	Non	54713
Reflex	592.00	203.50°	-57.70°	Non	54633
Reflex	595.00	203.50°	-57.70°	Non	54597
Reflex	598.00	203.80°	-57.70°	Non	54609
Reflex	601.00	203.80°	-57.80°	Non	54606
Reflex	604.00	203.00°	-57.80°	Non	54600
Reflex	607.00	203.70°	-57.80°	Non	54615
Reflex	610.00	204.00°	-57.70°	Oui	54660
Reflex	613.00	203.30°	-58.00°	Non	54642
Reflex	616.00	203.90°	-57.80°	Non	54563
Reflex	619.00	204.10°	-57.70°	Non	54623
Reflex	622.00	204.40°	-57.70°	Non	54581
Reflex	625.00	203.60°	-57.70°	Non	54751
Reflex	628.00	204.50°	-57.60°	Non	54651
Reflex	631.00	204.80°	-57.60°	Non	54625
Reflex	634.00	204.60°	-57.50°	Non	54616
Reflex	637.00	204.90°	-57.40°	Non	54608
Reflex	640.00	204.20°	-57.50°	Non	54603
Reflex	643.00	205.20°	-57.40°	Non	54602
Reflex	646.00	205.20°	-57.20°	Non	54604
Reflex	649.00	204.50°	-57.20°	Non	54575
Reflex	652.00	204.60°	-57.10°	Non	54637
Reflex	655.00	204.70°	-56.90°	Non	54529
Reflex	658.00	204.90°	-56.60°	Non	54501
Reflex	661.00	204.30°	-56.60°	Non	54586
Reflex	664.00	204.90°	-56.60°	Non	54506
Reflex	667.00	205.20°	-56.40°	Non	54631
Reflex	670.00	204.60°	-56.30°	Non	54652
Reflex	673.00	204.80°	-56.10°	Non	54658
Reflex	676.00	204.90°	-56.00°	Non	54579



MAUDORE MINERALS Ltd

AC LB NG

Déviations

Type	Profondeur	Azimut	Plongée	Invalide	Description
Reflex	679.00	204.50°	-55.80°	Non	54679
Reflex	682.00	202.60°	-55.70°	Oui	54896
Reflex	685.00	203.30°	-55.50°	Oui	54910
Reflex	688.00	204.00°	-55.40°	Non	54835
Reflex	691.00	204.00°	-55.10°	Non	54714
Reflex	694.00	204.50°	-55.10°	Non	54647
Reflex	697.00	203.50°	-54.90°	Oui	54788
Reflex	700.00	204.60°	-54.90°	Non	54949
Reflex	703.00	203.50°	-54.70°	Non	54931
Reflex	706.00	203.00°	-54.60°	Oui	54738
Reflex	709.00	204.00°	-54.50°	Non	54986
Reflex	712.00	204.50°	-54.40°	Non	54753
Reflex	715.00	204.20°	-54.40°	Non	54971
Reflex	718.00	204.30°	-54.30°	Non	54836
Reflex	721.00	205.20°	-54.20°	Non	54931
Reflex	724.00	205.00°	-54.10°	Non	54805
Reflex	727.00	205.50°	-54.00°	Non	55002
Reflex	730.00	205.60°	-53.90°	Non	54740
Reflex	733.00	205.40°	-53.90°	Non	55111
Reflex	736.00	204.80°	-53.90°	Oui	54498
Reflex	739.00	206.10°	-53.90°	Non	55268
Reflex	742.00	205.70°	-53.90°	Non	54967
Reflex	745.00	206.30°	-53.90°	Non	54899
Reflex	748.00	205.80°	-53.90°	Non	54749
Reflex	751.00	205.30°	-53.90°	Non	54811
Reflex	754.00	202.90°	-54.00°	Oui	54603
Reflex	757.00	204.80°	-54.10°	Oui	55736
Reflex	760.00	206.10°	-54.10°	Non	55043
Reflex	763.00	206.20°	-54.00°	Non	54958
Reflex	766.00	206.80°	-54.00°	Non	54900
Reflex	769.00	206.60°	-53.90°	Non	54950
Reflex	772.00	206.90°	-53.90°	Non	54787
Reflex	775.00	208.70°	-53.80°	Non	55137
Reflex	778.00	207.90°	-53.70°	Non	54994

## Déviation

Type	Profondeur	Azimet	Plongée	Invalide	Description
Reflex	781.00	206.50°	-53.80°	Oui	55023
Reflex	784.00	207.60°	-53.80°	Non	54830
Reflex	787.00	207.80°	-53.80°	Non	54968
Reflex	790.00	207.80°	-53.80°	Non	54725
Reflex	793.00	207.80°	-53.90°	Non	54727
Reflex	796.00	208.00°	-53.90°	Non	54734
Reflex	799.00	207.90°	-53.90°	Non	54742
Reflex	802.00	208.10°	-53.90°	Non	54750
Reflex	805.00	208.20°	-53.90°	Non	54752
Reflex	808.00	208.00°	-53.80°	Non	54740
Reflex	811.00	208.10°	-53.80°	Non	54754
Reflex	814.00	208.20°	-53.60°	Non	54751
Reflex	817.00	208.00°	-53.60°	Non	54756
Reflex	820.00	208.10°	-53.50°	Non	54754
Reflex	823.00	207.90°	-53.50°	Non	54750
Reflex	826.00	207.80°	-53.50°	Non	54752
Reflex	829.00	208.00°	-53.40°	Non	54735
Reflex	832.00	207.90°	-53.30°	Non	54732
Reflex	835.00	207.80°	-53.30°	Non	54771
Reflex	838.00	208.70°	-53.20°	Non	54910
Reflex	841.00	208.60°	-53.20°	Non	54914
Reflex	844.00	208.10°	-53.20°	Non	54696
Reflex	847.00	207.90°	-53.10°	Non	54802
Reflex	850.00	208.10°	-53.10°	Non	54815
Reflex	853.00	208.00°	-53.10°	Non	54978
Reflex	856.00	207.40°	-53.10°	Non	54932
Reflex	859.00	207.80°	-53.00°	Non	55122
Reflex	862.00	207.90°	-52.90°	Non	55094
Reflex	865.00	207.90°	-52.90°	Non	55101
Reflex	868.00	208.00°	-52.80°	Non	54714
Reflex	871.00	208.10°	-52.70°	Non	54790
Reflex	874.00	208.10°	-52.70°	Non	54729
Reflex	877.00	208.10°	-52.70°	Non	54800
Reflex	880.00	207.20°	-52.60°	Non	54878

Déviations

Type	Profondeur	Azimut	Plongée	Invalide	Description
Reflex	883.00	207.80°	-52.60°	Non	54752
Reflex	886.00	207.80°	-52.50°	Non	54727
Reflex	889.00	207.60°	-52.40°	Non	54966
Reflex	892.00	206.70°	-52.30°	Oui	55425
Reflex	895.00	208.10°	-52.10°	Non	54624
Reflex	898.00	208.10°	-51.90°	Non	54675
Reflex	901.00	208.20°	-51.60°	Non	54716
Reflex	904.00	208.10°	-51.20°	Non	54739
Reflex	907.00	207.90°	-50.60°	Non	54735
Reflex	910.00	208.00°	-50.00°	Non	54936
Reflex	913.00	206.10°	-49.80°	Oui	55389
Reflex	916.00	207.40°	-49.70°	Non	54934
Reflex	919.00	207.30°	-49.70°	Non	54757
Reflex	922.00	207.40°	-49.60°	Non	55186
Reflex	925.00	207.70°	-49.60°	Non	54708
Reflex	928.00	207.70°	-49.50°	Non	54697
Reflex	931.00	205.40°	-49.50°	Oui	55326
Reflex	934.00	207.60°	-49.40°	Non	54778
Reflex	937.00	207.00°	-49.40°	Non	54890
Reflex	940.00	207.20°	-49.30°	Non	55142
Reflex	943.00	207.20°	-49.30°	Non	55245
Reflex	946.00	207.50°	-49.20°	Non	54692
Reflex	949.00	207.20°	-49.20°	Non	55440
Reflex	952.00	207.70°	-49.20°	Non	55173
Reflex	955.00	207.10°	-49.10°	Non	54672
Reflex	958.00	207.90°	-49.10°	Non	54779
Reflex	961.00	207.40°	-49.10°	Non	54741
Reflex	964.00	204.70°	-49.00°	Oui	56059
Reflex	967.00	205.30°	-48.90°	Oui	55332
Reflex	970.00	207.50°	-48.90°	Non	54711
Reflex	973.00	207.80°	-48.90°	Non	54821
Reflex	976.00	207.50°	-48.80°	Non	54799
Reflex	979.00	206.10°	-48.80°	Oui	55375
Reflex	982.00	206.70°	-48.80°	Non	54605

## Déviation

Type	Profondeur	Azimut	Plongée	Invalide	Description
Reflex	985.00	207.30°	-48.70°	Non	54750
Reflex	988.00	207.30°	-48.60°	Non	54763
Reflex	991.00	207.10°	-48.50°	Non	54955
Reflex	994.00	207.50°	-48.40°	Non	55112
Reflex	997.00	208.20°	-48.30°	Non	54682
Reflex	1 000.00	208.20°	-48.30°	Non	54615
Reflex	1 003.00	208.10°	-48.30°	Non	54846
Reflex	1 006.00	208.50°	-48.20°	Non	54684
Reflex	1 009.00	208.30°	-48.20°	Non	54710
Reflex	1 012.00	208.10°	-48.20°	Non	54646
Reflex	1 015.00	208.30°	-48.10°	Non	54766
Reflex	1 018.00	207.70°	-48.10°	Non	55025
Reflex	1 021.00	207.90°	-48.00°	Non	54858
Reflex	1 024.00	207.50°	-48.00°	Non	54953
Reflex	1 027.00	207.20°	-48.00°	Non	54992
Reflex	1 030.00	207.30°	-47.90°	Non	55087
Reflex	1 033.00	206.50°	-47.90°	Oui	55107
Reflex	1 036.00	207.70°	-47.90°	Non	54765
Reflex	1 039.00	207.20°	-47.90°	Non	54968
Reflex	1 042.00	206.90°	-47.90°	Non	55411
Reflex	1 045.00	206.50°	-47.90°	Oui	55070
Reflex	1 048.00	207.20°	-47.90°	Non	55028
Reflex	1 051.00	208.20°	-47.90°	Non	55180
Reflex	1 054.00	207.90°	-47.90°	Non	54669
Reflex	1 057.00	208.50°	-47.80°	Non	54750
Reflex	1 060.00	208.40°	-47.70°	Non	54729
Reflex	1 063.00	208.10°	-47.60°	Non	54794
Reflex	1 066.00	208.20°	-47.50°	Non	54776
Reflex	1 069.00	208.40°	-47.40°	Non	54956
Reflex	1 072.00	208.30°	-47.40°	Non	54734
Reflex	1 075.00	208.20°	-47.40°	Non	54674
Reflex	1 078.00	209.60°	-47.30°	Oui	54799
Reflex	1 081.00	208.50°	-47.30°	Non	54702
Reflex	1 084.00	207.90°	-47.30°	Non	55206

## Déviation

Type	Profondeur	Azimut	Plongée	Invalide	Description
Reflex	1 087.00	208.10°	-47.30°	Non	54769
Reflex	1 090.00	206.90°	-47.20°	Non	55232
Reflex	1 093.00	208.10°	-47.10°	Non	54697
Reflex	1 096.00	207.80°	-47.10°	Non	55309
Reflex	1 099.00	208.00°	-47.00°	Non	54842
Reflex	1 102.00	207.30°	-47.00°	Non	55491
Reflex	1 105.00	206.20°	-47.00°	Oui	55136
Reflex	1 108.00	207.30°	-47.00°	Non	55312
Reflex	1 111.00	207.30°	-47.00°	Non	55219
Reflex	1 114.00	208.20°	-47.00°	Non	55199
Reflex	1 117.00	207.80°	-47.00°	Non	54762
Reflex	1 120.00	208.20°	-46.90°	Non	54613
Reflex	1 123.00	208.00°	-46.90°	Non	54700
Reflex	1 126.00	208.00°	-46.80°	Non	54687
Reflex	1 129.00	208.40°	-46.70°	Non	54924
Reflex	1 132.00	208.10°	-46.70°	Non	54727
Reflex	1 135.00	206.70°	-46.60°	Oui	55276
Reflex	1 138.00	207.00°	-46.60°	Non	55371
Reflex	1 141.00	207.20°	-46.70°	Non	55308
Reflex	1 144.00	207.70°	-46.60°	Non	54819
Reflex	1 147.00	207.80°	-46.60°	Non	54897
Reflex	1 150.00	207.20°	-46.50°	Non	55642
Reflex	1 153.00	208.00°	-46.50°	Non	55264
Reflex	1 156.00	208.00°	-46.50°	Non	54799
Reflex	1 159.00	207.40°	-46.50°	Non	55175
Reflex	1 162.00	207.30°	-46.40°	Non	55235
Reflex	1 165.00	206.80°	-46.40°	Non	55251
Reflex	1 168.00	206.50°	-46.40°	Oui	55246
Reflex	1 171.00	207.70°	-46.40°	Non	55289
Reflex	1 174.00	207.80°	-46.30°	Non	55281
Reflex	1 177.00	207.20°	-46.40°	Non	54992

AC LB NG

Description			Analyse							
			De	À	Numéro	Longueur	Au_Final (g/t)	Ag_Final (ppm)	Cu_Final (ppm)	Zn_Final (ppm)
0.00	30.00	MT Mort Terrain Casing								
30.00	192.90	V2-V3; TI Volcanite intermédiaire à mafique; Tufs à lapillis Roche volcanique mafique à intermédiaire. Tuf à lapillis. Matrice globalement à grains fins de couleur gris foncé, verdâtre et brunâtre. Alternance de bandes d'altération et/ou clastes verdâtres (chloritisés) et brunâtres (biotitisés) et blanchâtres (paragonitisés), mm à cm, étirés selon une foliation entre 15-20deg AC. Les clastes sont généralement mm à cm, verdâtre (chloritisé) et fortement étirés suivant la foliation. Forte foliation marquée par l'étiement des clastes ainsi que par le rubanement des bandes d'altération en Chl/BU/Pa en alternances. Passages localement plus massif sans foliation observable. Globalement, 1-2% Vnl blanches de Cb mm, concordantes ou discordantes, Cb blancs aussi en amas. Localement, vnl/vn de Cb(±Qtz) rosées (Hm) à vert pistache (Epidote), mm à dm, la plupart du temps chloritisées sur les bordures, concordantes ou discordantes. De 128.6-132.9 : Roche à grains fins grise claire, avec mouchetage de petits minéraux noirs alignés dans le sens de la foliation, mais pas de contacts nets car trop fracturée ==> intrusif mafique ?  Minéralisations : De 115-192.9 : Py en traces (à trace-1) principalement en alignements de grains millimétriques en bordures des veines/veinules de Qz-Cb (80%) et en grains disséminés millimétriques (20%). De 159-160 : Sp en traces en grains disséminés millimétriques associés aux patchs de Cb.  Altérations :	37.50	39.00	P153914	1.50	0.010	0.10	32.0	75.0
			39.00	39.50	P151483	0.50	0.002	0.10	53.0	72.0
			39.50	41.00	P153916	1.50	0.010	0.10	73.0	69.0

Description	Analyse							
	De	À	Numéro	Longueur	Au_Final (g/t)	Ag_Final (ppm)	Cu_Final (ppm)	Zn_Final (ppm)
<p>De 30-46.6 : Si forte pervasive, Chl forte en clastes, Cb moyen pervasive et en bandes centimétriques de Cc blanche, Pa faible en liserés de micas blancs, Bt faible en clastes, Hm en traces en fines veinules rouges.</p> <p>De 46.6-66.3 : Si forte pervasive, Chl forte en clastes, Bt moyenne en clastes, Sr moyen en bandes centimétriques et pervasive, Cb moyens pervasifs et en veines/veinules de Cc blanche, Hm faible en fines veinules rouges souvent associée aux carbonates.</p> <p>De 66.3-73 : Si forte pervasive, Chl et Bt forts en clastes, Cb et Hm en trace en fines veinules millimétriques blanches (Cc) et rouges.</p> <p>De 73-79.9 : Cb forts pervasifs et en veines/veinules de Cc blanche et en patchs/bandes centimétriques de Cc verte, Si moyenne pervasive, Hm moyenne en veinules rouges millimétriques à centimétriques, Sr faible à moyen pervasive, Ép en traces en placage dans les fractures.</p> <p>De 79.9-115.8 : Si forte pervasive, Chl et Bt forts en clastes, Cb moyens en bandes centimétriques, en veinules millimétriques de Cc blanche et pervasive, Hm en traces en fines veinules rouges millimétriques.</p> <p>De 115.8-120.5 : Si forte pervasive et en veines/veinules de quartz blanc, Cb moyens pervasifs et en patchs centimétriques étirés dans le sens de la foliation et en veinules millimétriques de Cc blanche, Chl faible en halos autour des Cb et en clastes, Hm en traces en fines veinules rouges millimétriques.</p> <p>De 120.5-122.7 : Si moyenne pervasive et en veines/veinules de quartz blanc, Cb moyens à forts pervasifs et en patchs centimétriques de Cc blanche étirés dans les sens de la foliation et en veinules millimétriques de Cc blanche, Hm moyenne pervasive et en veinules millimétriques rouges, Chl et Bt faibles en clastes, Sr en traces en bandes millimétriques.</p> <p>De 122.7-132.9 : Si forte pervasive et en veines/veinules de quartz blanc, Cb moyens pervasifs et en patchs centimétriques de Cc blanche étirés dans les sens de la foliation et en veinules</p>								

Description	Analyse							
	De	À	Numéro	Longueur	Au_Final (g/t)	Ag_Final (ppm)	Cu_Final (ppm)	Zn_Final (ppm)
<p>millimétriques de Cc blanche, Bt faible en clastes millimétriques, Sr faible en bandes millimétriques, Chl faible en mouchetage de grains millimétriques, Hm en traces pervasive.</p> <p>De 132.9-157.1 : Si forte pervasive et en veines/veinules de quartz blanc, Chl forte en clastes, Bt moyenne en clastes, Cb moyens pervasifs et en patchs centimétriques de Cc blanche étirés dans les sens de la foliation et en veinules millimétriques de Cc blanche, Hm faible pervasive et en fines veinules rouges, Sr en traces en bandes millimétriques.</p> <p>De 157.1-166.1 : Roche plus massive, Si forte pervasive et en veines/veinules de quartz blanc, Cb moyens à forts en patchs centimétriques de Cc blanche étirés dans les sens de la foliation et en veinules millimétriques de Cc blanche, Chl faible en halos d'altérations autour des veinules de Cb, Sr en traces en bandes millimétriques, Bt en traces en clastes millimétriques.</p> <p>De 166.1-174.9 : Si forte pervasive et en veines/veinules de quartz blanc, Chl forte en clastes, Cb moyens pervasifs et en veinules millimétriques de Cc blanche et rose, Bt faible en clastes, Sr faible en bandes millimétriques autour des veinules de Cb et en bandes étirées dans le sens de la foliation, Hm en traces pervasive et en veinules rouges millimétriques.</p> <p>De 174.9-185 : Si forte pervasive et en veines/veinules de quartz blanc, Cb moyens en patchs centimétriques de Cc blanche et rose étirés dans le sens de la foliation et en veinules millimétriques de Cc blanche, Bt et Chl faibles en clastes, Hm faible pervasive et en veinules rouges millimétriques.</p> <p>De 185-192.9 : Cb forts pervasifs et en patchs et bandes pluri-centimétriques de Cc blanche et rose étirés dans le sens de la foliation, Si moyenne pervasive et en veines/veinules de quartz blanc, Sr moyenne en bandes pluri-centimétriques étirées dans le sens de la foliation, Chl moyenne en clastes et bandes d'allération centimétriques, Hm en traces pervasive et en veinules rouges millimétriques.</p>								



Description	Analyse							
	De	À	Numéro	Longueur	Au_Final (g/l)	Ag_Final (ppm)	Cu_Final (ppm)	Zn_Final (ppm)
<p>Excepté :</p> <p>52.5-53.6 : I3; FIN 69.7-70.4 : I2; pFpAm</p> <p>Structures :</p> <p>De 55.7-83.3 : Fracturation forte avec des blocs anguleux de 0.2-5cm et des lambeaux de carottes de 2-25cm. Nombreuses fractures AC. Texture bréchique sans déplacement entre 77.4 et 78.7 avec de nombreuses veinules à remplissage de Hm-Cb orientées dans toutes les directions.</p> <p>De 130.6-135.8 : Fracturation forte avec des blocs anguleux de 1-4cm et des lambeaux de carottes de 2-20cm.</p> <p>De 181.2-185 : Fracturation moyenne à forte avec des blocs anguleux de 2-4cm et des lambeaux de carottes de 3-30cm.</p> <p>De 190.4-192.6 : Fracturation forte avec des blocs anguleux de 1-6cm et des lambeaux de carottes de 1-15cm. Présence d'une faille marquée par des stries et de la boue de forage à 192.2.</p> <p>Veines :</p> <p>De 91.5-91.8 : Veine à Cb (Cc blanche et rose) non-minéralisée, contacts sup et inf irréguliers.</p> <p>De 116.5-116.8 : Veine à Qz-Cb (Cc rose et blanche). Trace de Py au contact avec les V2V3. Contacts sup et inf nets 40deg AC.</p> <p>Contact sup non recoupé Contact inf net concordant 15deg AC</p> <p>30.00 46.60 SIL+; Chl+; CB; PA-; BO-; HMIr <b>Silicification forte; Chloritisation forte; Carbonatation; Paragonite faible; Biotisation faible; Hémalisation tr</b> Si forte pervasive, Chl forte en clastes, Cb moyen pervasive et en bandes centimétriques de Cc blanche, Pa faible en liserés de micas blancs, Bt faible en</p>								

AC LB NG

Description			Analyse							
			De	À	Numéro	Longueur	Au_Final (g/t)	Ag_Final (ppm)	Cu_Final (ppm)	Zn_Final (ppm)
46.60	66.30	<p>clastes, Hm en traces en fines veinules rouges.</p> <p>SIL+; Chl+; BO+; SR; CB; HM-  <b>Silicification forte; Chloritisation forte; Biotisation forte; Séricitisation; Carbonatation; Hématation faible</b></p> <p>Si forte pervasive, Chl forte en clastes, Bt moyenne en clastes, Sr moyen en bandes centimétriques et pervasive, Cb moyens pervasifs et en veines/veinules de Cc blanche, Hm faible en fines veinules rouges souvent associée aux carbonates.</p> <p>Excepté :                      52.5-53.6 : I3; FIN</p>	49.00	50.00	P153917	1.00	0.020	0.10	3.0	68.0
			50.00	51.00	P153918	1.00	0.008	0.10	16.5	64.0
			51.00	52.00	P153919	1.00	0.005	0.10	2.0	67.0
52.50	53.60	<p>I3; FIN</p> <p><b>Intrusion mafique; Grains fins</b></p> <p>Intrusion mafique.</p> <p>Matrice homogène à grains fins mm, de couleur vert sombre à brunâtre, localement rougeâtre (Hématation).</p> <p>Cb faibles en vnl de Cb mm à cm, discordantes, parfois hématitisées et/ou épidolisées.</p> <p>Si forte pervasive</p> <p>Chl forte localement chlorite noire en mouchetage</p> <p>Hm faible et Ép faible localement dans les fractures.</p> <p>Pas de minéralisations</p> <p>Contact sup. net discordant irrégulier</p> <p>Contact inf net discordant 50deg AC</p>								
55.70	83.30	<p>FRC+; BRE</p> <p><b>Fracturation forte; Bréchique</b></p> <p>Fracturation forte avec des blocs</p>	61.00	62.00	P153920	1.00	0.005	0.10	36.0	67.0
			62.00	63.00	P153921	1.00	0.005	0.10	34.0	59.0

MAUDORE MINERALS Ltd

AC LR NG

Description		Analyse							
		De	À	Numéro	Longueur	Au_Final (g/t)	Ag_Final (ppm)	Cu_Final (ppm)	Zn_Final (ppm)
66.30	73.00	63.00	64.00	P153922	1.00	0.005	0.10	54.0	64.0
<p>anguleux de 0.2-5cm et des lambeaux de carottes de 2-25cm. Nombreuses fractures AC. Texture bréchique sans déplacement entre 77.4 et 78.7 avec de nombreuses veinules à remplissage de Hm-Cb orientées dans toutes les directions.</p> <p>SIL+; Chl+; BO+; CBtr; HMir</p> <p><b>Silicification forte; Chloritisation forte; Biotisation forte;</b></p> <p><b>Carbonatation tr; Hématitisation tr</b></p> <p>Si forte pervasive, Chl et Bt forts en clastes, Cb et Hm en trace en fines veinules millimétriques blanches (Cc) et rouges.</p> <p>Excepté :</p> <p>69.7-70.4 : I2; pFpAm</p>									
69.70	70.30	70.20	71.50	P153923	1.30	0.005	0.10	19.0	70.0
<p>I2; pFpAm</p> <p><b>Intrusion Intermédiaire; Porphyre de Feldspath et Amphibole</b></p> <p>Intrusif intermédiaire à porphyre de Fp et Am</p> <p>I2pFpAm sans pAm</p> <p>Matrice à grains fins à moyens de couleur gris beige.</p> <p>pFp millimétriques blancs-beiges env. 30%</p> <p>Hématite faible en fines veinules rouges</p> <p>Sr faible pervasive</p> <p>Pas de minéralisations</p> <p>Contact sup. fracturé</p> <p>Contact inf. net discordant 10deg AC</p>		71.50	72.00	P151484	0.50	0.002	0.20	23.0	57.0
		72.00	73.50	P153924	1.50	0.005	0.10	33.0	70.0
73.00	79.90								
<p>CB+; SIL; HM; SR-; EPtr</p> <p><b>Carbonatation forte;</b></p> <p><b>Silicification; Hématitisation;</b></p> <p><b>Séricitisation faible; Épidotisation tr</b></p> <p>Cb forts pervasifs et en veines/veinules de Cc blanche et en patches/bandes</p>									

MAUDORE MINERALS Ltd

ACCB NG

Description		Analyse								
		De	À	Numéro	Longueur	Au_Final (g/t)	Ag_Final (ppm)	Cu_Final (ppm)	Zn_Final (ppm)	
	centimétriques de Cc verte, Si moyenne pervasive, Hm moyenne en veinules rouges millimétriques à centimétriques, Sr faible à moyen pervasive, Ép en traces en placage dans les fractures.									
79.90	115.80	SIL+; Chl+; BO+; CB; HMr	84.00	85.00	P153925	1.00	0.005	0.10	74.0	78.0
		<b>Silicification forte; Chloritisation forte; Biotisation forte; Carbonatisation; Hématitisation tr</b>	85.00	86.00	P153926	1.00	0.010	0.10	46.0	59.0
		Si forte pervasive, Chl et Bt forts en clastes, Cb moyens en bandes centimétriques, en veinules millimétriques de Cc blanche et pervasive, Hm en traces en fines veinules rouges millimétriques.	86.00	87.00	P153927	1.00	0.010	0.10	20.0	52.0
91.50	91.80	VEI;100%;Cc;;; <b>Veine 100% Calcite</b>	100.00	101.50	P153929	1.50	0.010	0.10	34.0	64.0
		Veine à Cb (Cc blanche et rose)	101.50	102.00	P151499	0.50	0.002	0.10	39.0	66.0
		non-minéralisée, contacts sup et inf irréguliers.	102.00	103.50	P153930	1.50	0.010	0.10	38.0	61.0
			114.00	115.50	P153931	1.50	0.005	0.10	45.0	50.0
			115.50	117.00	P153932	1.50	0.008	0.10	41.5	65.0
115.80	120.50	SIL+; CB; Chl-; HMr <b>Silicification forte; Carbonatisation; Chloritisation faible; Hématitisation tr</b>								
		Si forte pervasive et en veines/veinules de quartz blanc, Cb moyens pervasifs et en patchs centimétriques étirés dans le sens de la foliation et en veinules millimétriques de Cc blanche, Chl faible en halos autour des Cb et en clastes, Hm en traces en fines veinules rouges millimétriques.								
116.50	116.80	VEI;100%;Qz Cc;40*;Pytr; <b>Veine 100% Quartz Calcite 40°</b>	117.00	118.50	P153933	1.50	0.010	0.10	43.0	66.0
		<b>Pyrite tr</b>	118.50	120.00	P153934	1.50	0.010	0.10	40.0	70.0
		Veine à Qz-Cb (Cc rose et blanche). Trace de Py au contact avec les V2V3.	120.00	121.50	P153935	1.50	0.010	0.10	47.0	61.0

MAUDORE MINERALS Ltd

AC LB-NG

Description		Analyse							
		De	À	Numéro	Longueur	Au_Final (g/l)	Ag_Final (ppm)	Cu_Final (ppm)	Zn_Final (ppm)
120.50	122.70	Contacts sup et inf nets 40deg AC.							
		121.50	123.00	P153937	1.50	0.010	0.10	64.0	64.0
		SIL; CB; HM; HM; CHl-; BO-; SRtr Silicification; Carbonatisation; Hématisation; Hématisation; Chloritisation faible; Biotisation faible; Séricitisation tr Si moyenne pervasive et en veines/veinules de quartz blanc, Cb moyens à forts pervasifs et en patchs centimétriques de Cc blanche étirés dans les sens de la foliation et en veinules millimétriques de Cc blanche. Hm moyenne pervasive et en veinules millimétriques rouges, Chl et Bt faibles en clastes, Sr en traces en bandes millimétriques.							
122.70	132.90	SIL+; CB; BO-; SR-; CHl-; HMtr							
		123.00	124.50	P153938	1.50	0.010	0.10	27.0	69.0
		124.50	126.00	P153939	1.50	0.020	0.10	23.0	72.0
		126.00	127.50	P153940	1.50	0.010	0.10	37.0	75.0
		127.50	129.00	P153941	1.50	0.010	0.10	23.0	76.0
		129.00	129.50	P151500	0.50	0.005	0.10	35.0	69.0
		129.50	131.00	P153942	1.50	0.010	0.10	32.0	64.0
		Si forte pervasive et en veines/veinules de quartz blanc, Cb moyens pervasifs et en patchs centimétriques de Cc blanche étirés dans les sens de la foliation et en veinules millimétriques de Cc blanche, Bt faible en clastes millimétriques, Sr faible en bandes millimétriques, Chl faible en mouchetage de grains millimétriques, Hm en traces pervasive.							
130.60	135.80	FRC+							
		Fracturation forte Fracturation forte avec des blocs anguleux de 1-4cm et des lambeaux de carottes de 2-20cm.							
132.90	157.10	SIL+; CHl+; BO; CB; HM-; SRtr							
		139.50	141.00	P153943	1.50	0.020	0.10	42.0	65.0
		141.00	142.50	P153944	1.50	0.010	0.10	42.0	70.0
		Silicification forte; Chloritisation							

Description		Analyse							
		De	À	Numéro	Longueur	Au_Final (g/t)	Ag_Final (ppm)	Cu_Final (ppm)	Zn_Final (ppm)
		142.50	144.00	P153946	1.50	0.010	0.10	31.0	65.0
	forte; Biotisation; Carbonatation; Hématisation faible; Séricitisation tr Si forte pervasive et en veines/veinules de quartz blanc, Chl forte en clastes, Bt moyenne en clastes, Cb moyens pervasifs et en patchs centimétriques de Cc blanche étirés dans les sens de la foliation et en veinules millimétriques de Cc blanche, Hm faible pervasive et en fines veinules rouges, Sr en traces en bandes millimétriques.								
157.10	166.10	157.50	159.00	P153947	1.50	0.010	0.10	37.0	72.0
	SIL+; CB; Chl-; SRtr; BOtr Silicification forte; Carbonatation; Chloritisation faible; Séricitisation tr; Biotisation tr Roche plus massive, Si forte pervasive et en veines/veinules de quartz blanc, Cb moyens à forts en patchs centimétriques de Cc blanche étirés dans les sens de la foliation et en veinules millimétriques de Cc blanche, Chl faible en halos d'altérations autour des veinules de Cb, Sr en traces en bandes millimétriques, Bt en traces en clastes millimétriques.								
159.00	160.00	159.00	159.50	P153948	0.50	0.005	0.10	49.0	60.0
	Sphalérite tr	159.50	161.00	P153949	1.50	0.010	0.10	29.0	63.0
	Sp en traces en grains disséminés millimétriques associés aux patchs de Cb.	163.50	165.00	P153950	1.50	0.005	0.10	37.0	63.5
		165.00	165.50	P151501	0.50	0.002	0.30	45.0	69.0
		165.50	167.00	P153951	1.50	0.005	0.10	41.0	73.0
166.10	174.90								
	SIL+; Chl+; CB; BO-; SR-; HMtr Silicification forte; Chloritisation forte; Carbonatation; Biotisation faible; Séricitisation faible; Hématisation tr Si forte pervasive et en veines/veinules								

MAUDORE MINERALS Ltd

AC LB NG

Description		Analyse							
		De	À	Numéro	Longueur	Au_Final (g/t)	Ag_Final (ppm)	Cu_Final (ppm)	Zn_Final (ppm)
174.90	185.00	de quartz blanc, Chl forte en clastes, Cb moyens pervasifs et en veinules millimétriques de Cc blanche et rose, Bt faible en clastes, Sr faible en bandes millimétriques autour des veinules de Cb et en bandes étirées dans le sens de la foliation, Hm en traces pervasive et en veinules rouges millimétriques.							
		177.00	178.00	P153952	1.00	0.005	0.20	38.0	69.0
		178.00	179.00	P153953	1.00	0.005	0.30	43.0	72.0
		179.00	180.00	P153954	1.00	0.005	0.10	25.0	78.0
		SIL+; CB; BO-; Chl-; HM- Silicification forte; Carbonatation; Blotisation faible; Chloritisation faible; Hématitisation faible							
		Si forte pervasive et en veines/veinules de quartz blanc, Cb moyens en patchs centimétriques de Cc blanche et rose étirés dans le sens de la foliation et en veinules millimétriques de Cc blanche, Bt et Chl faibles en clastes, Hm faible pervasive et en veinules rouges millimétriques.							
181.20	185.00	FRC+ Fracturation forte Fracturation moyenne à forte avec des blocs anguleux de 2-4cm et des lambeaux de carottes de 3-30cm.							
185.00	192.90	186.00	187.50	P153955	1.50	0.005	0.20	34.0	102.0
		187.50	188.00	P151509	0.50	0.005	0.10	44.0	86.0
		188.00	189.50	P153956	1.50	0.005	0.20	20.0	84.0
		189.50	191.00	P153957	1.50	0.008	0.30	19.0	66.0
		CB+; SIL; SR; Chl; HMtr Carbonatation forte; Silicification; Séricitisation; Chloritisation; Hématitisation tr							
		Cb forts pervasifs et en patchs et bandes pluri-centimétriques de Cc blanche et rose étirés dans le sens de la foliation, Si moyenne pervasive et en veines/veinules de quartz blanc, Sr moyenne en bandes pluri-centimétriques étirées dans le sens de la foliation, Chl moyenne en clastes et bandes							

MAUDORE MINERALS Ltd

AC CB NG

Description			Analyse							
			De	À	Numéro	Longueur	Au_Final (g/t)	Ag_Final (ppm)	Cu_Final (ppm)	Zn_Final (ppm)
190.40	192.60	d'altération centimétriques, Hm en traces pervasive et en veinules rouges millimétriques. FRC+; FAI <b>Fracturation forte; Faille</b> Fracturation forte avec des blocs anguleux de 1-6cm et des lambeaux de carottes de 1-15cm. Présence d'une faille marquée par des stries et de la boue de forage à 192.2.	192.70	193.50	P153959	0.80	0.005	0.10	22.0	65.0
192.90	195.20	V1C <b>Rhyodacite 15°</b> Volcanite felsique. Rhyodacite. Matrice à grains fins (pratiquement aphanitique) de couleur de gris-pâle. Foliation faible entre 15-20deg AC, marquée principalement par l'alignement des minéraux d'altération telle que la paragonite ou la biotite formant des bandes à l'échelle de la carotte.  Altération : Si forte pervasive, Cb faibles en veinules millimétriques de Cc blanche, Sr faible en bandes millimétriques.  Minéralisations : Py en traces en grains disséminés infra-millimétriques (30%) et en veinules infra-millimétriques (70%).  Contact sup net concordant 15deg AC Contact inf net concordant 15deg AC								
192.90	195.20	SIL+; CB-; SR- <b>Silicification forte;</b> <b>Carbonatation faible;</b> <b>Séricitisation faible</b> Si forte pervasive, Cb faibles en veinules millimétriques de Cc blanche, Sr faible en bandes millimétriques.	193.50	194.00	P153960	0.50	0.005	0.10	19.0	38.0
			194.00	195.00	P153962	1.00	0.005	0.10	30.0	24.0
			195.00	196.00	P153963	1.00	0.005	0.10	24.0	64.0
195.20	473.40	V2-V3; T1 <b>Volcanite intermédiaire à mafique; Tufs à</b>	198.00	199.00	P153964	1.00	0.005	0.10	29.0	58.0
			199.00	199.50	P153965	0.50	0.005	0.20	14.0	80.0



Description	Analyse							
	De	À	Numéro	Longueur	Au_Final (g/t)	Ag_Final (ppm)	Cu_Final (ppm)	Zn_Final (ppm)
<p>lapillis</p> <p>Roche volcanique mafique à intermédiaire. Tuf à lapillis.</p> <p>Matrice globalement à grains fins de couleur gris foncé, verdâtre et brunâtre.</p> <p>Alternance de bandes d'altération et/ou clastes verdâtres (chloritisés) et brunâtres (biotitisés), mm à cm, étirés selon une foliation entre 15-20deg AC.</p> <p>Les clastes sont généralement mm à cm, verdâtre (chloritisé) et fortement étirés suivant la foliation.</p> <p>Faible foliation marquée par l'étiement des clastes ainsi que par le rubanement des bandes d'altération en Chl-Cb en alternances. Passages localement plus massif sans foliation observable.</p> <p>Globalement, 1-2% Vnl blanches de Cb mm, concordantes ou discordantes, Cb blancs aussi en amas.</p> <p>Altérations :</p> <p>De 195.2-205.7 : Si forte pervasive et en veines/veinules de quartz blanc, Chl forte en clastes, Cb forts en bandes centimétriques à pluri-centimétriques de Cc rose, Bt faible en clastes, Sr faible en bandes millimétriques.</p> <p>De 205.7-209.8 : Si forte pervasive et en veines/veinules de quartz blanc, Cb moyens en veinules millimétriques de Cc blanche et en patchs pluri-centimétriques de Cc blanche, Chl faible en clastes, Hm en traces en veinules rouges millimétriques.à</p> <p>De 209.8-234.7 : Si forte pervasive et en veines/veinules de quartz blanc, Cb forts en bandes centimétriques à pluri-centimétriques de Cc rose, en patchs centimétriques de Cc rose, mauve et blanche étirés dans le sens de la foliation et en veinules millimétriques de Cc blanche, Chl moyenne en clastes, Sr moyenne pervasive et en bandes centimétriques, Bt faible en clastes.</p> <p>De 234.7-242.7 : Si forte pervasive et en veines/veinules de quartz blanc, Chl moyenne en clastes et pervasive, Cb faible en patchs</p>	199.50	201.00	P153967	1.50	0.005	0.10	34.0	50.0

Description	Analyse							
	De	À	Numéro	Longueur	Au_Final (g/t)	Ag_Final (ppm)	Cu_Final (ppm)	Zn_Final (ppm)
<p>centimétriques de Cc blanche étirés dans le sens de la foliation et en veinules millimétriques de Cc blanche, Sr faible pervasive et en halos autour de veinules de Cb et en bandes centimétriques, Hm en traces en fines veinules rouges millimétriques.</p> <p>De 242.7-256.3 : Si forte pervasive et en veines/veinules de quartz blanc, Chl forte en clastes, Cb moyens pervasifs et en bandes centimétriques de Cc rose et blanche et en veinules millimétriques de Cc blanche, Bt faible en clastes, Sr faible en bandes millimétriques et en halos d'altération autour des veinules de Cb, Hm en traces en veinules rouges millimétriques.</p> <p>De 256.3-273.7 : Si forte pervasive et en veines/veinules de quartz blanc, Cb forts pervasifs et en bandes centimétriques de Cc blanche et en veinules millimétriques de Cc blanche, Chl forte en clastes, Bt moyen en clastes, Hm faible à moyenne en veinules millimétriques à centimétriques rouges et pervasive, Sr faible en veinules millimétriques.</p> <p>De 273.7-283 : Si forte pervasive et en veines/veinules de quartz blanc, Chl forte à intense en clastes et localement pervasive, Cb faibles à moyens pervasifs et en veinules millimétriques de Cc blanche, Hm faible en veinules millimétriques rouges, Sr en traces en fines veinules millimétriques orientées dans toutes les directions.</p> <p>De 283-305.9 : Si forte pervasive et en veines/veinules de quartz blanc, Cb moyens à forts pervasifs et en bandes centimétriques de Cc blanche et en veinules millimétriques de Cc blanche, Chl forte en clastes, Bt moyenne en clastes, Hm faible (localement forte pervasive) en veinules rouges millimétriques, Ép en traces en fines veinules vertes pistache millimétriques, Sr en traces en bandes millimétriques.</p> <p>De 305.9-309.6 : Si forte pervasive et en veines/veinules de quartz blanc, Chl moyenne en clastes, Bt faible en clastes, Cb faible en veinules millimétriques et en patchs centimétriques de Cc blanche étirés dans le sens de la foliation, Hm en</p>								

Description	Analyse							
	De	À	Numéro	Longueur	Au_Final (g/t)	Ag_Final (ppm)	Cu_Final (ppm)	Zn_Final (ppm)
<p>traces en veinules rouges millimétriques.</p> <p>De 309.6-314.7 : Si forte pervasive et en veines/veinules de quartz blanc, Cb moyens à forts pervasifs et en bandes centimétriques de Cc blanche et en veinules millimétriques de Cc blanche, Chl forte en clastes, Bt moyenne en clastes, Hm en traces en veinules rouges millimétriques.</p> <p>De 314.7-318.4 : Si forte pervasive et en veines/veinules de quartz blanc, Hm forte pervasive et en veinules rouges millimétriques à centimétriques, Cb faibles en veinules millimétriques de Cc blanche, Chl faible en clastes, Bt faible en clastes, Sr en traces en veinules millimétriques.</p> <p>De 318.4-321 : Si forte pervasive et en veines/veinules de quartz blanc, Chl forte en clastes, Sr moyenne en bandes centimétriques, Cb faibles à moyens en veinules millimétriques de Cc blanche et localement pervasive, Bt faible en clastes, Hm faible en veinules rouges millimétriques.</p> <p>De 321.0-322.1 : Si+ pervasive et en vn cm de Qtz-Cb, Chl+ en bandes mm à cm, Ser moy en fines bandes br&gt;De 322.1- 331.1 : Si+ pervasive et en vn/vnl de Qtz blanc, Chl+ en bandes et clastes, Cb moy pervasive et en vnl associées au Qtz, Pa - et Ser- en bandes mm à cm, Hm- en vnl et remplissage de fractures.</p> <p>De 331.1-336.8 : Si+ pervasive et en rares vnl, Chl+ pervasive et en bandes, Ser moy en bandes et clastes, Hm- à moy en vnl et et remplissage de fractures, Cb- principalement associée aux vn/vnl de Qtz-Hm.</p> <p>De 336.8-340.5 : Si+ pervasive, Ser+ en grains de 1-3mm (effet moucheté), Chl moy, Pa moy, Cb moy pervasive et en Vnl mm, Hm- en remplissage de fractures.</p> <p>De 340.5-351.7 : Si+ pervasive et en vnl mm, Chl+ en bandes étirées mm, Cb moy pervasive et en vnl, Pa- et Ser- en bandes et clastes, Bt- en fines bandes br&gt;De 351.7-360.0 : Si+ pervasive et vnl mm, Chl+ en bandes mm, Pa et Ser moy en bandes mm à cm, Cb moy à - pervasive et en vnl mm, Hm- en vnl mm et</p>								

Description	Analyse							
	De	À	Numéro	Longueur	Au_Final (g/t)	Ag_Final (ppm)	Cu_Final (ppm)	Zn_Final (ppm)
<p>localement pervasive, Bt en Tr.</p> <p>De 360.0-377.8 : Si+ pervasive et vnl mm, Chl+ en bandes mm à cm, Bt- à localement moy, Cb moy en vnl mm à cm et en remplissage de fractures, Hm moy en vnl, en remplissage de fractures et localement pervasive, Ser- et Pa en Tr.</p> <p>De 377.8-382.9 : Si+ pervasive et en vnl/vn discordantes, Chl+ en fins grains étirés, Ser+ en grains mm (30-35%), jaune verdâtre à jaune orangé (hématisation), Hm- en vnl et pervasive aux abords des vnde Qtz, Cb en Tr en vn/vnl.</p> <p>De 382.9-386.5 : Si+ pervasive et vnl mm, Chl+ en bandes mm à cm, Bt moy, Hm moy en vnl, en remplissage de fractures et localement pervasive, Cb moy en vnl mm à cm et en remplissage de fractures, Pa- et Ser en Tr.</p> <p>De 386.5-389.2 : Si+ pervasive et vnl mm, Chl+ en bandes mm à cm et en remplissage de fractures, Bt moy, Cb moy à + en vnl mm à cm et en remplissage de fractures, Pa- et Ser- et Hm- en vnl, en remplissage de fractures et localement pervasive.</p> <p>De 389.2-392.8 : Intervalle plus lessivé; Si+ pervasive , Chl moy, Bt-, Ser- diffuses, Cb- et Hm en Tr en remplissages de fractures et en rares vnl mm.</p> <p>De 392.8-400.3 : Si+, Hm+ et Cb+ à Cb moy en remplissage de fractures et pervasives, Chl moy à Chl+ en fins grains étirés suivant la foliation; Ser- en mouchetage local</p> <p>De 400.3-418.5m: Si+, Chl moy, Pa- en liseres clairs concordants, Sr-, Hm- en Vnl et localement pervasive, Cb- en liseres clairs concordants&lt;&lt;br&gt;De 418.5-438.1m: Si+, Chl+, Pa-, Cb- en Vn ou Vnl et en faible mouchetage mm local, Sr en traces en Vnl, hm en traces en altération de Vnl de Cb</p> <p>De 438.1-447.4m: Si+, Chl+, hm- à moy en altération de Vnl de Cb, Pa-, Cb- en Vn ou Vnl et en faible mouchetage mm local</p> <p>De 447.4-450.2m: Si+, Chl+, hm+ pervasive, Pa-, Cb- en Vn ou Vnl et en faible mouchetage mm local</p> <p>De 450.2-467.4m: Si+, Chl+ pervasive, Hm- en et en altération autour de fractures, Cb- en Vnl, Pa- (?) en</p>								

12 LB NG

Description	Analyse							
	De	À	Numéro	Longueur	Au_Final (g/l)	Ag_Final (ppm)	Cu_Final (ppm)	Zn_Final (ppm)
<p>liserés gris clair, Sr en traces associés aux Vnl de Cb</p> <p>De 467.4-473.4m: Si+, Sr+ pervasive et en altération des clastes, Chl moy pervasive, Hm- en remplissage, Cb en traces</p> <p>Minéralisations :</p> <p>De 195.2-247.3 : Py en traces (à traces-1%) principalement en alignements de grains millimétriques (80%) et en grains disséminés infra-millimétriques à millimétriques (20%).</p> <p>De 247.3-248.1 : Py 0.5% en grains disséminés automorphes 1-3mm.</p> <p>De 247.3-284 : Py en traces (à traces-1%) principalement en alignements de grains millimétriques (80%) et en grains disséminés infra-millimétriques à millimétriques (20%).</p> <p>De 347.8-350.8 : Py en Tr (à Tr-1%) en grains subautomorphes à automorphes de 1-3mm (70%) et disséminée en grains inframillimétriques (30%).</p> <p>De 382.9-385.9 : Py en Tr (Tr à 1%) disséminée en grains br&gt;De 387.6-388.3 : 1% de Py disséminée en grains br&gt;a 397.6m: Veine de 5cm à 40deg concordante de Cb+Hm avec 1% Py en grains mm diss</p> <p>Excepté :</p> <p>318.7-319.6 : I3; FIN</p> <p>Structures :</p> <p>De 260.7-266.3 : Fracturation forte avec des blocs anguleux de 3-6cm et des lambeaux de carottes de 2-25cm. Texture bréchique de 261.1-268.1 avec une fracturation orientée dans toutes les directions et à remplissage de Cc-Hm. Présence de failles à 264.9 et 266.2 marquées par de la roche broyée.</p> <p>De 272.4-280 : Texture bréchique avec remplissage des fractures à Cb-Hm-Qz-Sr et une faille à 278.4 d'angle env. 20deg AC marquée par de la boue de forage et de la roche broyée.</p> <p>De 300.9-310 : Fracturation forte avec des blocs</p>								

Description	Analyse							
	De	À	Numéro	Longueur	Au_Final (g/l)	Ag_Final (ppm)	Cu_Final (ppm)	Zn_Final (ppm)
<p>anguleux de 0.5-6cm et des lambeaux de carottes 2-20cm.</p> <p>De 321.1-321.2 : Faille env. 25deg AC marquée par de la boue de forage et de la roche broyée.</p> <p>De 236.1-236.5 : Zone de "brèche" hydraulique avec remplissage des fractures en Hm-Cb.</p> <p>De 366-404.4m : Fracturation plus importante, FR moy avec des passages cm à métriques à FR+ avec des morceaux de carotte anguleux de 2-3cm</p> <p>365.6-367.2 : Zone de "brèche" hydraulique avec remplissage des fractures en Cb-Qtz-Hm.</p> <p>367.2-367.3 : Faille à 10deg ac (mesures orientées impossibles car pas de ligne).</p> <p>à 397.6m: Faille avec roche finement broyée et boue de forage sur 2cm, à 30deg AC</p> <p>Pas de traits de 417-440m</p> <p>Veines : De 394-394.5m: Veine de Qz blanc±Hm, contours difficiles à estimer, contact sup a 40deg AC et inf diffus avec Hm. Py en traces en grains finement diss</p> <p>De 397.6-400.3m: Zone de stockwerk inframm à mm avec hm+Cb</p> <p>De 417.2-418.2m: Veine de Qz blanc+Cb rose aux contours ondulants et légèrement irrégulier, contact sup dans l'axe de la carotte. Pas d'éméralisation associée</p> <p>Contact sup net concordant 15deg AC</p> <p>Contact inf diffus et progressif avec la disparition des clastes</p> <p>195.20</p> <p>205.70</p> <p>SIL+; Chl+; CB+; BO-; SR-  <b>Silicification forte; Chloritisation forte; Carbonatation forte; Biotisation faible; Séricitisation faible</b></p> <p>Si forte pervasive et en veines/veinules de quartz blanc, Chl forte en clastes, Cb forts en bandes centimétriques à pluri-centimétriques de Cc rose, Bt faible</p>								

AC LB NG

Description		Analyse								
		De	À	Numéro	Longueur	Au_Final (g/t)	Ag_Final (ppm)	Cu_Final (ppm)	Zn_Final (ppm)	
205.70	209.80	en clastes, Sr faible en bandes millimétriques.								
		SIL+; CB; Chl; HMtr	208.00	209.00	P153968	1.00	0.005	0.10	25.0	71.0
		Silicification forte; Carbonatisation; Chloritisation faible; Hématitisation tr								
		Si forte pervasive et en veines/veinules de quartz blanc, Cb moyens en veinules millimétriques de Cc blanche et en patchs pluri-centimétriques de Cc blanche, Chl faible en clastes, Hm en traces en veinules rouges millimétriques.								
209.80	234.70	SIL+; CB+; Chl; SR; BO-	210.00	211.00	P153970	1.00	0.005	0.10	42.0	51.0
		Silicification forte;								
		Carbonatisation forte;								
		Chloritisation; Séricitisation;								
		Biotitisation faible								
		Si forte pervasive et en veines/veinules de quartz blanc, Cb forts en bandes centimétriques à pluri-centimétriques de Cc rose, en patchs centimétriques de Cc rose, mauve et blanche étirés dans le sens de la foliation et en veinules millimétriques de Cc blanche, Chl moyenne en clastes, Sr moyenne pervasive et en bandes centimétriques, Bt faible en clastes.								
234.70	242.70	SIL+; Chl; CB-; SR-; HMtr								
		Silicification forte; Chloritisation;								
		Carbonatisation faible; Séricitisation faible; Hématitisation tr								
Si forte pervasive et en veines/veinules de quartz blanc, Chl moyenne en clastes et pervasive, Cb faible en patchs centimétriques de Cc blanche étirés dans le sens de la foliation et en veinules millimétriques de Cc blanche, Sr faible										

MAUDORE MINERALS Ltd

AL LB NG

Description			Analyse							
			De	À	Numéro	Longueur	Au_Final (g/t)	Ag_Final (ppm)	Cu_Final (ppm)	Zn_Final (ppm)
236.10	236.50	BRE <b>Bréchique</b> De 236.1-236.5 : Zone de "brèche" hydraulique avec remplissage des fractures en Hm-Cb.	241.20	242.20	P153976	1.00	0.005	0.10	39.0	69.0
			242.20	242.70	P153977	0.50	0.010	0.10	34.0	69.0
242.70	256.30	SIL+; Chl+; CB; BO-; SR-; HMir <b>Silicification forte; Chloritisation forte; Carbonatation; Biotisation faible; Séricitisation faible; Hématitisation tr</b> Si forte pervasive et en veines/veinules de quartz blanc, Chl forte en clastes, Cb moyens pervasifs et en bandes centimétriques de Cc rose et blanche et en veinules millimétriques de Cc blanche, Bi faible en clastes, Sr faible en bandes millimétriques et en halos d'altération autour des veinules de Cb, Hm en traces en veinules rouges millimétriques.	242.70	243.70	P153979	1.00	0.005	0.10	39.0	67.0
			246.40	247.40	P153980	1.00	0.010	0.10	34.0	60.0
247.30	248.10	Py00.5 <b>Pyrite 0.5%</b> Py 0.5% en grains disséminés automorphes 1-3mm.	247.40	247.90	P153981	0.50	0.005	0.10	28.0	76.0
			247.90	248.40	P153984	0.50	0.005	0.10	31.0	63.0
			248.40	249.90	P153985	1.50	0.010	0.10	35.0	70.0
			249.90	250.50	P153986	0.60	0.005	0.10	34.0	66.0
			250.50	251.50	P153987	1.00	0.005	0.10	34.0	66.0
			251.50	252.00	P151517	0.50	0.002	0.10	29.0	68.0
			252.00	253.50	P153988	1.50	0.005	0.10	31.0	62.0
			253.50	255.00	P153989	1.50	0.005	0.10	40.0	54.0
			255.00	255.50	P153990	0.50	0.005	0.10	46.0	57.0
256.30	273.70	SIL+; CB+; Chl+; BO; HM-; SR- <b>Silicification forte; Carbonatation forte;</b>	255.50	256.50	P153991	1.00	0.005	0.10	43.0	132.0



MAUDORE MINERALS Ltd

AC LB NG

Description		Analyse								
		De	À	Numéro	Longueur	Au_Final (g/t)	Ag_Final (ppm)	Cu_Final (ppm)	Zn_Final (ppm)	
		<p><b>Chloritisation forte; Biotisation;</b>  <b>Hématisation faible; Séricitisation faible</b>                      Si forte pervasive et en veines/veinules de quartz blanc, Cb forts pervasifs et en bandes centimétriques de Cc blanche et en veinules millimétriques de Cc blanche, Chl forte en clastes, Bt moyen en clastes, Hm faible à moyenne en veinules millimétriques à centimétriques rouges et pervasive, Sr faible en veinules millimétriques.</p>								
260.70	268.10	FRC+; BRE; FAI	262.80	263.30	P153992	0.50	0.005	0.10	43.0	48.0
		<b>Fracturation forte; Bréchique;</b>	263.30	264.30	P153993	1.00	0.005	0.10	39.0	78.0
		<b>Faille</b>	264.30	265.30	P153994	1.00	0.005	0.10	38.0	67.0
		<p>Fracturation forte avec des blocs anguleux de 3-6cm et des lambeaux de carottes de 2-25cm. Texture bréchique de 261.1-268.1 avec une fracturation orientée dans toutes les directions et à remplissage de Cc-Hm. Présence de failles à 264.9 et 266.2 marquées par de la roche broyée.</p>								
272.40	280.00	BRE; FAI								
		<b>Bréchique; Faille 20°</b>								
		<p>Texture bréchique avec remplissage des fractures à Cb-Hm-Qz-Sr et une faille à 278.4 d'angle env. 20deg AC marquée par de la boue de forage et de la roche broyée.</p>								
273.70	283.00	SIL+; Chl+; CB-; HM-; SRtr	275.00	276.00	P153995	1.00	0.005	0.10	71.0	53.0
		<b>Silicification forte; Chloritisation forte; Carbonatation faible;</b>	276.00	277.00	P153996	1.00	0.005	0.10	33.0	69.0
		<b>Hématisation faible; Séricitisation</b>	277.00	278.00	P153997	1.00	0.005	0.10	42.0	51.0
		<b>tr</b>	281.00	282.00	P153998	1.00	0.010	0.10	38.0	78.0
		Si forte pervasive et en veines/veinules de quartz blanc, Chl forte à intense en	282.00	282.50	P151518	0.50	0.002	0.10	38.0	68.0

Description		Analyse							
		De	À	Numéro	Longueur	Au_Final (g/t)	Ag_Final (ppm)	Cu_Final (ppm)	Zn_Final (ppm)
		282.50	283.50	P153999	1.00	0.010	0.10	36.0	64.0
283.00	305.90	291.00	292.00	P154000	1.00	0.008	0.10	37.0	73.5
		292.00	293.00	P295001	1.00	0.005	0.10	39.0	86.0
		293.00	294.00	P295002	1.00	0.005	0.10	61.0	90.0
300.90	310.00	304.00	305.00	P295003	1.00	0.005	0.10	23.0	64.0
		305.00	306.00	P295004	1.00	0.005	0.10	32.0	66.0
305.90	309.60	306.00	307.00	P295005	1.00	0.005	0.10	32.0	69.0

AL LG NG

Description		Analyse								
		De	À	Numéro	Longueur	Au_Final (g/t)	Ag_Final (ppm)	Cu_Final (ppm)	Zn_Final (ppm)	
309.60	314.70	en veinules rouges millimétriques.								
		SIL+; CB; Chl+; BO; HMtr	311.00	312.00	P295006	1.00	0.010	0.10	38.0	67.0
		Silicification forte;	312.00	312.50	P151519	0.50	0.002	0.10	41.0	75.0
		Carbonatation; Chloritisation forte; Biotisation; Hématitisation tr	312.50	313.50	P295007	1.00	0.005	0.10	26.0	60.0
Si forte pervasive et en veines/veinules de quartz blanc, Cb moyens à forts pervasifs et en bandes centimétriques de Cc blanche et en veinules millimétriques de Cc blanche, Chl forte en clastes, Bt moyenne en clastes, Hm en traces en veinules rouges millimétriques.										
314.70	318.40	SIL+; HM+; CB-; Chl-; BO-; SRtr								
		Silicification forte; Hématitisation forte; Carbonatation faible; Chloritisation faible; Biotisation faible; Séricitisation tr								
Si forte pervasive et en veines/veinules de quartz blanc, Hm forte pervasive et en veinules rouges millimétriques à centimétriques, Cb faibles en veinules millimétriques de Cc blanche, Chl faible en clastes, Bt faible en clastes, Sr en traces en veinules millimétriques.										
318.40	321.00	SIL+; Chl+; SR; CB-; BO-; HM-								
		Silicification forte; Chloritisation forte; Séricitisation; Carbonatation faible; Biotisation faible; Hématitisation faible								
Si forte pervasive et en veines/veinules de quartz blanc, Chl forte en clastes, Sr moyenne en bandes centimétriques, Cb faibles à moyens en veinules millimétriques de Cc blanche et localement pervasive, Bt faible en clastes, Hm faible en veinules rouges millimétriques.										

Description			Analyse							
			De	À	Numéro	Longueur	Au_Final (g/t)	Ag_Final (ppm)	Cu_Final (ppm)	Zn_Final (ppm)
318.70	319.60	<p>Excepté : 318.7-319.6 : I3; FIN</p> <p>I3; FIN</p> <p><b>Intrusion mafique; Grains fins</b> Intrusion mafique. Matrice homogène à grains fins mm, de couleur gris sombre. Cb forts en mouchetage de petits grains de Cc blanche 1-2mm (5-10%) et pervasifs. Si forte pervasive Hm faible en veinules rouges infra-millimétriques.</p> <p>Pas de minéralisations</p> <p>Contact sup. fracturé env. 65deg AC Contact inf net irrégulier</p>								
321.00	322.10	<p>SIL+; Chl+; SR; CB-; HM en Tr</p> <p><b>Silicification forte; Chloritisation forte; Séricitisation;</b> <b>Carbonatation faible;</b> <b>Hématation en Tr</b></p> <p>De 321.0-322.1 : Si+ pervasive et en vn cm de Qtz-Cb, Chl+ en bandes mm à cm, Ser moy en fines bandes br&gt;</p>								
321.10	321.20	<p>FAI</p> <p><b>Faille 25*</b></p> <p>Faille env. 25deg AC marquée par de la boue de forage et de la roche broyée.</p>								
322.10	331.10	<p>SIL+; Chl+; Chl++; PA-; SR-; HM-</p> <p><b>Silicification forte; Chloritisation forte; Chloritisation Intense;</b> <b>Paragonite faible; Séricitisation faible; Hématation faible</b></p> <p>De 322.1- 331.1 : Si+ pervasive et en vn/vnl de Qtz blanc, Chl+ en bandes et clastes, Cb moy pervasive et en vnl associées au Qtz, Pa - et Ser- en bandes mm à cm, Hm- en vnl et</p>	325.20	326.70	P295008	1.50	0.005	0.10	35.0	66.0
			326.70	327.30	P295009	0.60	0.010	0.10	42.0	66.0
			327.30	328.80	P295011	1.50	0.005	0.10	35.0	65.0
			328.80	330.30	P295012	1.50	0.005	0.10	49.0	69.0

Description		Analyse							
		De	À	Numéro	Longueur	Au_Final (g/t)	Ag_Final (ppm)	Cu_Final (ppm)	Zn_Final (ppm)
331.10	336.80	remplissage de fractures. SIL+; SR+; PA; CB; HM- Silicification forte; Séricitisation forte; Paragonite; Carbonatisation; Hématitisation faible De 331.1-336.8 : Si+ pervasive et en rares vnl, Chl+ pervasive et en bandes. Ser moy en bandes et clastes, Hm- à moy en vnl et et remplissage de fractures, Cb- principalement associée aux vn/vnl de Qtz-Hm.							
336.80	340.50	SIL+; SR+; CB; PA; CB; HM- Silicification forte; Séricitisation forte; Carbonatisation; Paragonite; Carbonatisation; Hématitisation faible De 336.8-340.5 : Si+ pervasive, Ser+ en grains de 1-3mm (effet moucheté), Chl moy, Pa moy, Cb moy pervasive et en Vnl mm, Hm- en remplissage de fractures.							
340.50	351.70	340.50	342.00	P295013	1.50	0.005	0.10	44.0	64.0
		342.00	342.50	P151578	0.50	0.002	0.10	34.0	64.0
		342.50	344.00	P295014	1.50	0.005	0.10	34.0	62.0
		348.30	349.80	P295015	1.50	0.010	0.10	25.0	62.0
		349.80	350.30	P295016	0.50	0.005	0.10	33.0	69.0
		350.30	351.80	P295018	1.50	0.010	0.10	36.0	61.0
		De 340.5-351.7 : Si+ pervasive et en vnl mm, Chl+ en bandes étirées mm, Cb moy pervasive et en vnl, Pa- et Ser- en bandes et clastes, Bt- en fines bandes br>							
351.70	360.00	SIL+; Chl+; PA; SR; CB; HM- Silicification forte; Chloritisation forte; Paragonite; Séricitisation; Carbonatisation; Hématitisation							

Description		Analyse							
		De	À	Numéro	Longueur	Au_Final (g/t)	Ag_Final (ppm)	Cu_Final (ppm)	Zn_Final (ppm)
360.00	377.80	<p><b>faible</b> De 351.7-360.0 : Si+ pervasive et vnl mm, Chl+ en bandes mm, Pa et Ser moy en bandes mm à cm, Cb moy à - pervasive et en vnl mm, Hm- en vnl mm et localement pervasive, Bt en Tr.</p> <p>SIL+; Chl+; BO-; CB; HM; SR-; PA en TR <b>Silicification forte; Chloritisation forte; Blotisation faible;</b> <b>Carbonatation; Hémalisation;</b> <b>Séricitisation faible; Paragonite en TR</b></p> <p>De 360.0-377.8 : Si+ pervasive et vnl mm, Chl+ en bandes mm à cm, Bt- à localement moy, Cb moy en vnl mm à cm et en remplissage de fractures, Hm moy en vnl, en remplissage de fractures et localement pervasive, Ser- et Pa en Tr.</p>							
366.00	404.40	370.50	372.00	P295019	1.50	0.010	0.10	28.0	59.5
		372.00	372.50	P151581	0.50	0.002	0.10	44.0	53.0
		372.50	374.00	P295020	1.50	0.010	0.10	41.0	54.0
		<p><b>FRC+; BRE; FAI</b> <b>Fracturation forte; Bréchiq;</b> <b>Faille</b> De 366-404.4m : Fracturation plus importante, FR moy avec des passages cm à métriques à FR+ avec des morceaux de carotte anguleux de 2-3cm 365.6-367.2 : Zone de "brèche" hydraulique avec remplissage des fractures en Cb-Qtz-Hm. 367.2-367.3 : Faille à 10deg ac (mesures orientées impossibles car pas de ligne). à 397.6m: Faille avec roche finement broyée et boue de forage sur 2cm, à 30deg AC</p>							
377.80	382.90	381.40	382.90	P295021	1.50	0.010	0.10	49.0	71.0
		<p>SIL+; Chl+; SR+; HM-; CB en Tr <b>Silicification forte; Chloritisation forte; Séricitisation forte;</b> <b>Hémalisation faible;</b> <b>Carbonatation en Tr</b> De 377.8-382.9 : Si+ pervasive et en</p>							

AC LG NG

Description		Analyse								
		De	À	Numéro	Longueur	Au_Final (g/t)	Ag_Final (ppm)	Cu_Final (ppm)	Zn_Final (ppm)	
	vnl/vn discordantes, Chl+ en fins grains étirés, Ser+ en grains mm (30-35%), jaune verdâtre à jaune orangé (hématisation), Hm- en vnl et pervasive aux abords des vnde Qtz, Cb en Tr en vnl/vnl.									
382.90	386.50	SIL+; Chl+; BO; HM; CB; PA-; SR en Tr	382.90	383.40	P295022	0.50	0.010	0.20	363.0	100.0
		Silicification forte; Chloritisation forte; Blotisation; Hématisation; Carbonatation; Paragonite faible; Séricitisation en Tr	383.40	384.80	P295024	1.40	0.010	0.10	30.0	51.0
			384.80	386.10	P295025	1.30	0.010	0.10	29.5	64.0
			386.10	387.60	P295026	1.50	0.110	0.30	239.0	44.0
		De 382.9-386.5 : Si+ pervasive et vnl mm, Chl+ en bandes mm à cm, Bt moy, Hm moy en vnl, en remplissage de fractures et localement pervasive, Cb moy en vnl mm à cm et en remplissage de fractures, Pa- et Ser en Tr.								
386.50	389.20	SIL+; Chl+; BO; CB; PA-; SR-; HM- Silicification forte; Chloritisation forte; Blotisation; Carbonatation; Paragonite faible; Séricitisation faible; Hématisation faible								
		De 386.5-389.2 : Si+ pervasive et vnl mm, Chl+ en bandes mm à cm et en remplissage de fractures, Bt moy, Cb moy à + en vnl mm à cm et en remplissage de fractures, Pa- et Ser-Hm- en vnl, en remplissage de fractures et localement pervasive.								
387.60	388.30	Py01	387.60	388.30	P295027	0.70	0.110	0.10	189.0	41.0
		Pyrite 1%	388.30	389.80	P295028	1.50	0.180	0.20	295.0	38.0
		De 387.6-388.3 : 1% de Py disséminée en grains /p>								
389.20	392.80	SIL+; Chl; BO-; SR-; CB- Silicification forte; Chloritisation; Blotisation faible; Séricitisation faible; Carbonatation faible	392.40	393.90	M105983	1.50	0.005	0.10	18.0	60.0
		De 389.2-392.8 : Intervalle plus lessivé;								

MAUDORE MINERALS Ltd

AC LB NG

Description		Analyse							
		De	À	Numéro	Longueur	Au_Final (g/t)	Ag_Final (ppm)	Cu_Final (ppm)	Zn_Final (ppm)
392.60	400.30	393.90	394.60	M105984	0.70	0.020	0.20	109.0	17.0
		394.60	396.00	M105986	1.40	0.008	0.10	29.5	73.5
394.00	394.50	396.00	397.50	P295034	1.50	0.190	0.10	131.0	41.0
		397.50	398.50	P295035	1.00	0.180	0.30	171.0	42.0
397.60	400.30	398.50	400.00	P295036	1.50	0.780	0.30	63.0	44.0
		400.00	400.50	P295037	0.50	0.380	0.20	221.0	41.0
400.30	418.50	400.50	402.00	P295039	1.50	0.010	0.10	44.0	67.0
		402.00	402.50	P151585	0.50	0.002	0.10	37.0	58.0
		402.50	404.00	P295040	1.50	0.010	0.10	33.0	67.0
		415.70	417.20	P295041	1.50	0.010	0.10	58.0	60.0
417.20	418.20	417.20	418.40	P295042	1.20	0.020	0.15	77.5	55.0
		418.40	419.90	P295043	1.50	0.020	0.10	27.0	43.0



MAUDORE MINERALS Ltd

*Handwritten initials: LG NG*

Description			Analyse							
			De	À	Numéro	Longueur	Au_Final (g/t)	Ag_Final (ppm)	Cu_Final (ppm)	Zn_Final (ppm)
418.50	438.10	SIL+; Chl+; CB- Silicification forte; Chloritisation forte; Carbonatation faible Si+, Chl+, Pa-, Cb- en Vn ou Vnl et en faible mouchetage mm local, Sr en traces en Vnl, hm en traces en altération de Vnl de Cb	423.00	424.00	P295044	1.00	0.030	0.10	34.0	53.0
			424.00	425.00	P295045	1.00	0.400	0.10	96.0	39.0
			425.00	426.00	P295046	1.00	0.280	0.10	45.0	38.0
			426.00	427.00	P295047	1.00	0.430	0.20	238.0	38.0
			430.50	432.00	P295048	1.50	0.690	0.40	656.0	34.0
			432.00	432.50	P151586	0.50	0.002	0.10	41.0	63.0
			432.50	434.00	P295049	1.50	0.210	0.10	188.0	32.0
			438.10	447.40	P295050	1.50	0.230	0.10	238.5	41.0
447.40	450.20	SIL+; Chl+; HM+; PA-; CB- Silicification forte; Chloritisation forte; Hématitisation faible; Paragonite faible; Carbonatation faible De 438.1-447.4m: Si+, Chl+, hm- à moy en altération de Vnl de Cb, Pa-, Cb- en Vn ou Vnl et en faible mouchetage mm local	445.20	446.70	P295050	1.50	0.230	0.10	238.5	41.0
			446.70	447.40	P295051	0.70	0.005	0.10	39.0	65.0
447.40	450.20	SIL+; Chl+; HM+; PA-; CB- Silicification forte; Chloritisation forte; Hématitisation forte; Paragonite faible; Carbonatation faible Si+, Chl+, hm+ pervasive, Pa-, Cb- en Vn ou Vnl et en faible mouchetage mm local	447.40	447.90	P295052	0.50	0.005	0.10	35.0	60.0
			447.90	448.90	P295054	1.00	0.005	0.10	44.0	63.0
			448.90	450.40	P295055	1.50	0.010	0.10	40.0	63.0
450.20	467.40	SIL+; Chl+; HM-; CB-; PA- Silicification forte; Chloritisation forte; Hématitisation faible; Carbonatation faible; Paragonite faible De 450.2-467.4m: Si+, Chl+ pervasive, Hm- en et en altération autour de fractures, Cb- en Vnl, Pa- (?) en liserés gris clair, Sr en traces associés aux Vnl de Cb	450.40	451.90	P295056	1.50	0.005	0.10	38.0	65.0
			451.90	453.00	P295057	1.10	0.005	0.10	30.0	65.0
			456.50	457.50	P295058	1.00	0.005	0.10	57.0	78.0
			457.50	459.00	P295059	1.50	0.005	0.15	40.0	61.0
			459.00	460.50	P295060	1.50	0.005	0.10	48.0	77.0
			460.50	462.00	P295061	1.50	0.005	0.20	49.0	74.0
			462.00	462.50	P151587	0.50	0.002	0.10	50.0	60.0
			462.50	464.00	P295062	1.50	0.005	0.10	51.0	69.0
467.40	473.40	SIL+; SR+; Chl; HM- Silicification forte; Séricitisation forte; Chloritisation; Hématitisation faible	464.00	465.50	P295063	1.50	0.005	0.20	46.0	68.0
			465.50	467.00	P295064	1.50	0.005	0.10	46.0	64.0

Description		Analyse										
		De	À	Numéro	Longueur	Au_Final (g/t)	Ag_Final (ppm)	Cu_Final (ppm)	Zn_Final (ppm)			
473.40	522.80	Si+, Sr+ pervasive et en altération des clastes, Chl moy pervasive, Hm- en remplissage, Cb en traces										
		V2-V3; MAS	479.00	480.00	P295065	1.00	0.005	0.10	54.0	68.0		
		<b>Volcanite intermédiaire à mafique; Massif</b>	480.00	481.00	P295066	1.00	0.005	0.30	51.0	64.0		
		Volcanite intermédiaire à mafique	481.00	482.00	P295068	1.00	0.010	0.10	44.0	56.0		
		Couleur vert moyen à sombre, avec un mouchetage mm chloritique vert sombre	482.00	483.00	P295069	1.00	0.010	0.20	46.0	59.0		
		Roche à grains fins et plutôt homogène. Roche faisant penser localement à de l'andésite	483.00	484.50	P295070	1.50	0.005	0.10	53.0	72.0		
		Foliation peu marquée par l'étiement de grains matriciels. Elle est orientée à 30-35deg AC	484.50	486.00	P295071	1.50	0.005	0.10	50.0	60.0		
			486.00	487.50	P295072	1.50	0.005	0.10	43.0	62.0		
			487.50	489.00	P295073	1.50	0.005	0.10	55.0	65.0		
		Altérations:	489.00	490.50	P295075	1.50	0.010	0.10	48.0	62.5		
		De 473.4-505.2m: Si+, Chl+ pervasive et en mouchetage, Pa (??) moy, Sr-, Hm- en altération de Vnl, Cb- en Vnl	490.50	492.00	P295076	1.50	0.005	0.10	54.0	66.0		
			492.00	492.50	P151588	0.50	0.002	0.10	46.0	63.0		
		De 505.2-506.4m: Si+, Chl+ pervasive, Hm+ en Vn/Vnl, Sr moy en Vn/Vnl ou fins bandes vert clair, Cb-	492.50	494.00	P295077	1.50	0.010	0.10	48.0	64.0		
			504.00	505.20	P295078	1.20	0.010	0.10	57.0	63.0		
		De 506.4-512.2m: Si+, Chl+ pervasive, Hm-, Ep en traces en association avec des Vn de Cb, Ab en traces en un regroupement de pFp mm blanchâtre										
		De 512.2-522.8m: Si+, Hm moy pervasive donnant une couleur bordeaux à la roche et en Vn/Vnl, Chl moy pervasive de couleur vert bouteille, Cb- en Vn/Vnl										
		Minéralisations: Globalement, Py en traces en grains inframm à mm disséminés. Répartition aléatoire										
		Structure:										
		De 512.7-522.8m: Fracturation moyenne avec des passages métriques de forte fracturation et des morceaux de carottes anguleux de 1-3cm										
		Contact inf progressif et diffus avec la réapparition de clastes et/ou bandes d'altérations										
473.40		505.20										
		SIL+; Chl+; PA; SR-; HM- Silicification forte; Chloritisation forte; Paragonite; Séricitisation										

MAUDORE MINERALS Ltd

ALB NG

Description		Analyse								
		De	À	Numéro	Longueur	Au_Final (g/t)	Ag_Final (ppm)	Cu_Final (ppm)	Zn_Final (ppm)	
505.20	506.40	faible; Hématisation faible Si+, Chl+ pervasive et en mouchetage, Pa (??) moy, Sr-, Hm- en altération de Vnl, Cb- en Vnl SIL+; Chl+; HM+; SR; CB- Silicification forte; Chloritisation forte; Hématisation forte; Séricitisation; Carbonatation faible Si+, Chl+ pervasive, Hm+ en Vn/Vnl, Sr moy en Vn/Vnl ou fins bandes vert clair, Cb-	505.20	506.40	P295079	1.20	0.010	0.10	37.0	71.0
506.40	512.20	SIL+; Chl+; HM- Silicification forte; Chloritisation forte; Hématisation faible Si+, Chl+ pervasive, Hm-, Ep en traces en association avec des Vn de Cb, Ab en traces en un regroupement de pFp mm blanchâtre	506.40	507.50	P295080	1.10	0.010	0.10	42.0	66.0
512.20	558.70	SIL+; Chl+; CB+ Silicification forte; Chloritisation forte; Carbonatation forte Si+, Chl+, Cb+ en stockwerk et liserés discontinus marquant la foliation, Ép en traces en association avec Cb dans le stockwerk, hm en traces en Vn/Vnl	512.20	558.70						
512.70	543.20	FRC+; BRE Fracturation forte; Bréchiq De 512.7-543.2m: Fracturation moyenne avec des passages métriques de forte fracturation et des morceaux de carottes anguleux de 1-3cm 525.2-525.4m: Zone de brèche constitué de fragements mm subarrondis de V2V3 (environ 10% de la brèche) baignant dans une matrice verdâtre de Chl±Cb 527.3-527.5m: ensemble de 2 petites zones de brèche la première plutôt ondulante et irrégulière la deuxième à 35deg AC concordante. Dans les deux,	520.50	522.00	P295081	1.50	0.010	0.10	38.0	70.0
			522.00	522.50	P151589	0.50	0.002	0.10	51.0	76.0
			522.50	524.00	P295082	1.50	0.010	0.10	58.0	110.0

Description		Analyse								
		De	À	Numéro	Longueur	Au_Final (g/t)	Ag_Final (ppm)	Cu_Final (ppm)	Zn_Final (ppm)	
522.80	1 150.80	des éléments subarrondis, rarement anguleux, mm à 1cm maxi baignent dans une matrice carbonatée								
		V2-V3; T1	524.00	524.90	P295083	0.90	0.005	0.10	199.0	122.0
		Volcanite intermédiaire à mafique; Tufs à lapillis	524.90	526.00	P295085	1.10	0.010	0.20	64.0	95.0
		Roche volcanique mafique à intermédiaire. Tuf à lapillis. Matrice globalement à grains fins de couleur gris foncé, verdâtre et brunâtre. Alternance de bandes d'altération et/ou clastes verdâtres (chloritisés) et brunâtres (biotitisés), mm à cm, étirés selon une foliation entre 20-30deg AC. Les clastes sont généralement mm à cm, verdâtre (chloritisé) et fortement étirés suivant la foliation. Foliation marquée par l'étiement des clastes ainsi que par le rubanement des bandes d'altération en Chl-Cb en alternances. Quelques passages localement plus massifs sans foliation observable. Globalement, 1-2% Vnl blanches de Cb mm, concordantes ou discordantes, Cb blancs aussi en amas. De 1010.2-1011.3m: Enclave d'aplite dans l'axe de la carotte  Altérations: De 522.8-551.5m: Si+, Chl+, Cb+ en stockwerk et liserés discontinus marquant la foliation, Ép en traces en association avec Cb dans le stockwerk, hm en traces en Vn/Vnl. De 551.5-558.7m: Si+ pervasive, Chl+ en bandes, Hm+ principalement en remplissage de fractures et pervasive, Cb moy à localement Cb+ associée l'Hm. De 558.7-567.4m: Si+ pervasive, Chl+ en bandes, Hm moy principalement en remplissage de fractures et pervasive, Cb moy à localement Cb+ associée l'Hm. De 567.4-584.6m: Si+ pervasive et en vnl mm discordantes, Chl+, Cb moy en bandes et amas, Hm et Ep en Tr en rares vnl mm. De 584.6-604.7m: Si+ pervasive et en vnl mm à cm,								

Description	Analyse							
	De	À	Numéro	Longueur	Au_Final (g/t)	Ag_Final (ppm)	Cu_Final (ppm)	Zn_Final (ppm)
<p>Chl+; Cb moy pervasive, en vnl mm ou en bandes cm et amas, Hm- en remplissage de fractures, Ep en Tr.</p> <p>De 604.7-631.0m: Si+ pervasive et en vnl disc mm, Chl+ en bandes passant progressivement à une forme de mouchetage de grains vert sombre dans une matrice vert plus clair, Cb moy pervasive, en bandes mm à cm ou amas étirés suivant la foliation et en vnl mm, Hm en Tr en vnl mm associée à Cb.</p> <p>De 631.0-648.6m: Si+ pervasive et en fines vnl mm indulantes; Cb moy en bandes, en vnl mm et en remplissage de fractures Ser moy, Pa- et Chl- en bandes mm à cm, Hm en Tr en remplissage de fractures.</p> <p>De 648.6-667.4m: Si+ pervasive, Chl+, Cb moy pervasive, en bandes et amas étirés, Ser- en quelques bandes cm, Hm- vnl.</p> <p>De 667.4-670.8m: Si+ pervasive et en vnl/vn, Chl+ en bandes mm, Cb moyen bandes mm et en amas, Ser- en bandes mm.</p> <p>De 670.8-673.0m: Si+ pervasive, Chl+ et Cb+ en fines bandes ou clastes étirés, Bt en Tr.</p> <p>De 673.0-678.0m: Si+ pervasive et en vnl/vn, Chl+ en bandes mm à cm, Cb+ en bandes mm et en amas, Ser moy en bandes mm Hm- en remplissage de fractures.</p> <p>De 678.0-683.8m: Si+ pervasive et en vn, Hm+ pervasive et en bandes mm à cm, Chl moy en bandes mm à cm, Cb moy en bandes mm et en amas, Ser en Tr.</p> <p>De 683.8-693.0m: Si+ pervasive et en vnl/vn de Qtz, Chl+ en fines bandes mm à cm déformées et en amas dans vn de Qtz-Cb, Cb+ en bandes mm déformées et en vnl/vn associée au Qtz, Ser moy en bandes mm, Hm- en Tr en remplissage de fractures (intervalle assez déformé).</p> <p>De 693.0-698.1m: Si+, Chl+, Cb+, Hm+ et Ser- en amas de vn et vnl de Qtz.</p> <p>De 698.1-706.5m: Si+ pervasive, Hm+ et Ser- en bandes d'altération pervasives, Cb-pervasive.</p> <p>De 706.5-734.2m: Si+, Chl+ en bandes cm, Cb- en bandes et amas, Ser- et Pa- en bandes d'altération</p>								

Description	Analyse							
	De	À	Numéro	Longueur	Au_Final (g/l)	Ag_Final (ppm)	Cu_Final (ppm)	Zn_Final (ppm)
<p>mm à cm.</p> <p>De 734.2-760.2m: Si+, Chl+ en bandes concordantes d'altérations, Hm moy en bandes concordantes, Sr moy, Cb- en Vn/Vnl</p> <p>De 760.2-772.5m: Si+ pervasive et Vn/Vnl, Chl+ pervasive et en altération de Vn/Vnl, Cb- en Vn/Vnl</p> <p>De 772.5-787.6m: Si+ pervasive, Chl+, Hm- en altération de Vn/Vnl, Cb- en Vn/Vnl, ép en traces en altération de Vn/Vnl et en remplissage de fractures</p> <p>De 787.6-809.1m: Si+ pervasive, ChL+ en clastes fortement étirés, Bt moy matricielle (formant des bandes), Pa moy en bandes d'altération concordantes, Sr en traces</p> <p>De 809.1-837.3m: Si+ pervasive, ChL+ en clastes fortement étirés, Bt+ matricielle (formant des bandes), Pa- en bandes d'altération concordantes, Sr en traces</p> <p>De 837.3-890.4m: Si+ pervasive, Chl+ en clastes fortement étirés, Bt- matricielle (formant des bandes), Pa- en qqs fines bandes, hm en traces en Vn/Vnl.</p> <p>De 890.4-904.9m: Si+ pervasive, Chl+ en clastes fortement étirés, Bt- matricielle, Pa- en qqs fines bandes, Hm- et Ep- en Vn/Vnl.</p> <p>De 904.9-917.2m: Si+ pervasive, Chl moy en clastes fortement étirés, Cb moy en bandes, Pa- en qqs fines bandes, Hm- et Ep en Tr en Vn/Vnl, Bt en Tr.</p> <p>De 917.2-936.3m: Si+ pervasive, Chl+ en clastes fortement étirés, Cb- en bandes, Bt- matricielle, Pa- en qqs fines bandes, Hm- en Tr en Vn/Vnl.</p> <p>De 936.3-961m: Si+ pervasive et en rares vn de Qtz-Chl dm, Chl moy en clastes fortement étirés, Bt moy en abndes concordantes cm brunâtres, Hm- à moy en fines bandes et vnl discordantes, Cb- en bandes, Pa- en qqs fines bandes</p> <p>De 961-1150.8m: Si+ pervasive, Chl+ en bandes verdâtres, Bt moy en bandes brunâtres, Cb- en Vn/Vnl, Pa- en qqs bandes cm gris clair, Hm en traces en vn/Vnl, Ép en traces en altération de Vn/Vnl</p> <p>Minéralisations:</p>								

Description	Analyse							
	De	À	Numéro	Longueur	Au_Final (g/t)	Ag_Final (ppm)	Cu_Final (ppm)	Zn_Final (ppm)
<p>à 527.2m: Traces de Cp au niveau d'une veine de Qz+Cb en grains mm étirés</p> <p>De 549-551.5m: 1% Py en grains finement diss. Répartition homogène</p> <p>De 551.5-555m: 1-2% Py en grains inframm finement diss</p> <p>De 555-559.9m: 3-5% Py en grains finement diss (40%) ou en alignements de grains (30%) ou en qqs amas parfois regroupés en patches (30%)</p> <p>De 559.9-565.5m: 2-3% Py en grains inframm à mm subautomorphes diss, parfois regroupés au sein des clastes</p> <p>De 565.5-575.1m: 1-2% Py en grains infram finement diss (90%) ou rares alignements de grains (10%)</p> <p>De 575.1-581.2m: 8-10% Py en grains inframm non jointifs regroupés en petits amas cm étirés selon la foliation (40%) ou en grains inframm à 2mm maxi diss, répartition homogène (30%), en alignements de grains inframm à mm selon la foliation (30%)</p> <p>De 581.2-606.7m: 1% Py en grains inframm éa localement mm diss. Répartition hétérogène</p> <p>De 606.7-612.1m: 3-5% Py en alignements de grains mm souvent discontinues (60%) ou en grains finement diss (40%)</p> <p>De 612.1-621.4m: 2% Py en grains inframm éa mm subautomorphes diss (80%) ou en qqs alignements de grains discontinus selon la foliation (20%)</p> <p>De 621.4-626m: 1% Py en grains inframm diss</p> <p>De 626-635m: 2% Py en grains inframm, rarement mm, disséminés</p> <p>De 635-642m: 5-8% Py en alignements de grains de grains pouvant former des bandes cm (70%) ou en grains finement diss, souvent associés aux bandes de micas blancs (Sr-Pa) (30%)</p> <p>De 642-644.8m: 3-5% Py en grains finement diss (60%) ou en bandes d'alignement de grains (40%)</p> <p>De 644.8-647.3m: 2-3% Py en grains finement diss (80%) ou en alignements de grains discontinus (20%)</p> <p>De 647.3-668.2m: 2% Py en grains finement diss, rarement regroupés au sein de clastes chloritisés</p>								

Description	Analyse							
	De	À	Numéro	Longueur	Au_Final (g/t)	Ag_Final (ppm)	Cu_Final (ppm)	Zn_Final (ppm)
<p>De 668.2-673.5m: 1% Py en grains inframm a mm subautomorphes diss</p> <p>De 692.8-698.1m: 0.5% Py en grains mm diss, souvent regroupés dans des clastes Cb ou Ser</p> <p>De 698.1-731.5m: Py en Tr disséminée</p> <p>Cp (?) en traces à 127.1m en grains finement diss dans une VNI de Cb</p> <p>De 731.5-752.7m: 0.5% Py en grains mm diss. Répartition tres hétérogène.</p> <p>à 731.6m: Amas de 5mm de Py suivant une Vnl de Cb mm perpendiculaireà l'axe de la carotte</p> <p>De 752.7-787.6m: Py en traces en qqs grains localement diss (80%) ou en qqs amas globuleux de 5mm (20%)</p> <p>De 787.6-792m: 1-2% Py en alignements de grains discontinus selon la foliation (90%) ou en qqs amas de 2-3mm étirés faiblement selon la foliation (10%)</p> <p>De 792-810.7m: 0.5-1% Py en grains inframm finement diss (90%) ou en qqs alignements de grains discontinus selon la foliation (10%)</p> <p>De 810.7-929.3m: Py en traces en rares grains diss.</p> <p>A 922.3m: Possible occurrence de Cp (un grain)</p> <p>De 929.3-933.6m: 1-2% de Py en alignement de grains br&gt;De 933.6-953.8m: Py en Tr en rares grains disséminés.</p> <p>De 953.8-957.7m: 0.5-1% de Py en alignements de grainsbr&gt;De 957.7-962m: Py en Tr en rares grains disséminés.</p> <p>De 963.4-964.3m: 1% Py en grains finement diss souvent étirés selon la foliation</p> <p>De 964.3-1150.8m: Py en Tr en grains finement disséminés dans bandes de Biotite ou en grains mm isolés.</p> <p>Structure: Globalement, de 522.8-710m, roche moyennement fracturée, la majorité des fractures ont une angle de 20-30deg AC (selon la foliation)</p> <p>De 522.8-543.2m: Fracturation moyenne avec des passages métriques de forte fracturation et des morceaux de carottes anguleux de 1-3cm</p>								



Description	Analyse							
	De	À	Numéro	Longueur	Au_Final (g/t)	Ag_Final (ppm)	Cu_Final (ppm)	Zn_Final (ppm)
<p>525.2-525.4m: Zone de vrèche constitué de fragments mm subarrondis de V2V3 (environ 10% de la breche) baignant dans une matrice verdâtre de Chl ±Cb</p> <p>527.3-527.5m: ensemble de 2 petites zones de breche la première plutôt ondulante et irrégulière la deuxième à 35deg AC concordante. Dans les deux, des éléments subarrondis, rarement anguleux, mm à 1cm maxi baignent dans une matrice carbonatée</p> <p>De 551.5-555m: Roche fortement fracturée dans une zone fortement hématisée en stockwerk, passages avec de smorceaux de carotte de 1-3cm anguleux et des passages avec de smorceaux de 3-5cm anguleux</p> <p>De 554.3m: Zone de breche composée d'éléments de V2V3 mm anguleux (20% de la breche) baignant dans une matrice cb+Hm</p> <p>De 560.5-564m: Zone moyennement fracturée avec des passages de 20-30cm de fracturation forte avec de smorceaux de carotte de 2-5cm anguleux</p> <p>De 611.5-612m: Roche fortement fracturée avec des morceaux de carottes de 5cm</p> <p>De 628-630m: Schistosité déformée, elle est orientée dans l'axe de la carotte (0-5deg AC)</p> <p>De 632.7-632.8m: Schistosité plissolée en S</p> <p>De 667.4-672m: Roche fortement fracturée selon la foliation (autour de 20deg AC) ou dans l'axe de la carotte. Localement, morceaux de carottes de 2-5cm. 100% simple</p> <p>De 684-687m: Zone fortement déformée dans une zone hématisée et en périphérie d'amas de veines de Qz. La schistosité est située dans l'Axe de carotte et est plissée le long de la veine de Qz. Zone de plissement de 686.1-686.7m avec la trace de l'Axe du pli (schistosité forme un rond)</p> <p>De 699.6-702.8m: Zone moyennement à fortement fracturée avec localement des morceaux de carotte anguleux de 1-5cm</p> <p>De 710-711m: Zone fortement fracturée avec morceaux de carotte anguleux de 1-3cm, ou lambeaux de carotte de 5cm</p>								

KL LB NG

Description	Analyse							
	De	À	Numéro	Longueur	Au_Final (g/l)	Ag_Final (ppm)	Cu_Final (ppm)	Zn_Final (ppm)
<p>De 734.2-760.2m: Rubanement composé d'alternance de bandes d'altération cm de Chl-Sr-Hm marquant la foliation à 30deg AC</p> <p>De 791.1-791.5m: Clastes subarrondis ressemblant à des "Yeux" de 2cm de Cb+Sil+Chl faiblement déformés selon la foliation avec sur un d'eux présence d'une ombre de pression composée de Chlorite</p> <p>De 848.5-871.3m: Roche globalement moyennement fracturée, 80% simple, 20% conjuguée, majoritairement selon la foliation (25-35deg AC)</p> <p>De 964.6-967.7m: Roche moyennement à fortement fracturée, 80% simple, 20% conjuguée, majoritairement selon la foliation 925-30deg AC) ou discordantes (40-60deg AC)</p> <p>De 975.5-975.8m: Breche sous forme d'une veine à 30deg concordante composée de qqs fragements pluri mm subarrondis (5%) dans une matrice de Ép+Cb±Hm</p> <p>Pas de traits de 550-570m, 579-584m, 597-613m, 664-673m, 694-714m, 798-879m, 978.5-889m, 898-907m, 909-921m, 927-236m, 939-948m, 950-952m,</p> <p>Veines:</p> <p>De 525-539.8m: Zone de stockwerk de cb±Sil±Ép.</p> <p>De 591.5-592m: Amas de veines cm ou clastes de Qz+Cb (40%) à 30deg concordant. 2% Py en grains mm diss</p> <p>De 622.3-622.9m: Veine aux contours diffus mais le contact semble être à 30deg AC concordant, composée de Qz blanc+Cb+Chl noire. 1% Py en grains finement diss plutot répartis dans les passages plus chloritisés</p> <p>De 684.5-685.7m: Amas de veines ou clastes (30%) de Qz blanc+Cb+Chl noire soit dans l'axe de la carotte soit à 50deg discordant. Zone avec 0.5% Py en grains finement diss</p> <p>De 693.9-698.4m: Amas de veines (50%) de Qz blanc+Cb+Hm. Py en traces en grains finement diss</p>								

MAUDORE MINERALS Ltd

ALB NG

Description	Analyse							
	De	À	Numéro	Longueur	Au_Final (g/t)	Ag_Final (ppm)	Cu_Final (ppm)	Zn_Final (ppm)
De 734.7-738m: Amas de veines (30%) concordantes à discordantes de Qz blanc+Chl noire+Cb. Cp en traces en grains finement diss (734.8m) et globalement Py en traces en grains finement diss								
De 742.5-744.1m: Amas de veines (60%) de Qz blanc+Chl noire+Cb±Sr, à 30deg concordantes. Py en traces en grains finement diss								
De 982.3-982.7m: Amas de 2 veines à 25-30deg discordantes de 10-15cm de Qz blanc±Cb. Py en traces en grains diss en tre les veines								
Contact inf net à 50deg ac concordant.								
525.00 539.80 STW::Cb Qz Ep:::	526.00	527.10	P295086	1.10	0.005	0.10	208.0	129.0
Stockwerk Carbonate Quartz	527.10	527.60	P295087	0.50	0.010	0.30	1 215.0	93.0
Épidote	527.60	528.60	P295089	1.00	0.010	0.10	101.0	124.0
Zone de stockwerk de cb±Sil±Ép.	528.60	530.10	P295090	1.50	0.010	0.15	26.0	122.5
	530.10	531.60	P295091	1.50	0.010	0.80	34.0	121.0
	548.20	549.50	P295092	1.30	0.010	0.10	51.0	79.0
549.00 551.50 Py01	549.50	550.50	P295093	1.00	0.010	0.10	55.0	80.0
Pyrite 1%	550.50	551.50	P295094	1.00	0.010	0.10	46.0	81.0
1% Py en grains finement diss. Répartition homogène								
551.50 555.00 FRC+; BRE								
Fracturation forte; Bréchtique								
De 551.5-555m: Roche fortement fracturée dans u ne zone fortement hémalisée en stockwerk, passages avec de smorceaux de carotte de 1-3cm anguleux et des passages avec de smorceaux de 3-5cm anguleux								
éa 554.3m: Zone de breche composée d'éléments de V2V3 mm anguleux (20% de la breche) baignant dans une matrice cb+Hm								
551.50 555.00 Py02	551.50	552.00	P295095	0.50	0.010	0.20	25.0	98.0
Pyrite 2%	552.00	552.50	P151592	0.50	0.002	0.10	20.0	80.0
1-2% Py en grains inframm finement diss	552.50	554.00	P295097	1.50	0.010	0.10	32.0	87.0

ALB NG

Description			Analyse							
			De	À	Numéro	Longueur	Au_Final (g/t)	Ag_Final (ppm)	Cu_Final (ppm)	Zn_Final (ppm)
			554.00	555.00	P295098	1.00	0.010	0.30	22.0	82.0
555.00	559.90	Py05	555.00	556.00	P295099	1.00	0.010	0.10	45.0	77.0
		<b>Pyrite 5%</b>	556.00	557.00	P295100	1.00	0.010	0.10	44.0	68.0
		3-5% Py en grains finement diss (40%)	557.00	558.00	P295101	1.00	0.010	0.20	40.0	72.0
		ou en alignements de grains (30%) ou en	558.00	559.00	P295102	1.00	0.010	0.10	44.0	90.0
		qqs amas parfois regroupés en patches (30%)								
558.70	567.40	SIL+; Chl+; Hm; CB	559.00	559.90	P295103	0.90	0.020	0.50	63.0	256.0
		<b>Silicification forte; Chloritisation forte; Hémalisation;</b>								
		<b>Carbonatation</b>								
		De 558.7-567.4m: Si+ pervasive, Chl+ en bandes, Hm moy principalement en remplissage de fractures et pervasive, Cb moy à localement Cb+ associée l'Hm.								
559.90	565.50	Py03	559.90	561.00	P295105	1.10	0.010	0.20	48.0	89.0
		<b>Pyrite 3%</b>								
		2-3% Py en grains finfram à mm subautomorphes diss, parfois regroupés au sein des clastes								
560.50	564.00	FRC+	561.00	562.00	P295106	1.00	0.005	0.10	49.0	92.0
		<b>Fracturation forte</b>	562.00	563.00	P295107	1.00	0.005	0.10	42.0	95.0
		Zone moyennement fracturée avec des passages de 20-30cm de fracturation forte avec de smorceaux de carotte de 2-5cm anguleux	563.00	564.00	P295108	1.00	0.005	0.10	48.0	91.0
			564.00	565.50	P295109	1.50	0.010	0.20	53.0	101.0
565.50	575.10	Py02	565.50	566.40	P295110	0.90	0.010	0.30	33.0	90.0
		<b>Pyrite 2%</b>	566.40	567.40	P295111	1.00	0.010	0.20	37.0	76.0
		1-2% Py en grains infram finement diss (90%) ou rares alignements de grains (10%)								
567.40	584.60	SIL+; Chl+; CB	567.40	568.90	P295112	1.50	0.010	0.20	55.0	80.0
		<b>Silicification forte; Chloritisation forte; Carbonatation</b>	568.90	570.30	P295113	1.40	0.010	0.20	44.0	89.0
		De 567.4-584.6m: Si+ pervasive et en vnl mm discordantes, Chl+, Cb moy en bandes et amas, Hm et Ep en Tr en rares vnl mm.	570.30	571.80	P295114	1.50	0.010	0.10	46.0	104.0
			571.80	573.00	P295116	1.20	0.010	0.10	49.0	119.0
			573.00	574.00	P295117	1.00	0.010	0.10	33.0	100.0
			574.00	575.10	P295118	1.10	0.050	0.20	29.0	104.0

MAUDORE MINERALS Ltd

AL LB NG

Description			Analyse							
			De	À	Numéro	Longueur	Au_Final (g/t)	Ag_Final (ppm)	Cu_Final (ppm)	Zn_Final (ppm)
575.10	581.20	Py10	575.10	576.30	P295119	1.20	0.010	0.40	49.5	106.5
		<b>Pyrite 10%</b>	576.30	577.30	P295120	1.00	0.010	0.40	26.0	81.0
		8-10% Py en grains inframm non jointifs regroupés en petits amas cm élargés selon la foliation (40%) ou en grains inframm à 2mm maxi diss, répartition homogène (30%), en alignements de grains inframm à mm selon la foliation (30%)	577.30	578.30	P295121	1.00	0.010	0.40	32.0	109.0
			578.30	579.30	P295123	1.00	0.010	0.50	47.0	100.0
			579.30	580.30	P295124	1.00	0.010	0.30	35.0	87.0
			580.30	581.30	P295125	1.00	0.023	0.30	29.5	95.0
581.20	606.70	Py01	581.30	582.00	P295126	0.70	0.010	0.30	34.0	110.0
		<b>Pyrite 1%</b>	582.00	583.00	P295127	1.00	0.010	0.60	41.0	153.0
		1% Py en grains inframm à localement mm diss. Répartition hétérogène	583.00	584.20	P295128	1.20	0.005	0.20	46.0	116.0
			584.20	584.70	P151593	0.50	0.002	0.10	34.0	64.0
584.60	604.70	SIL+; Chl+; CB; HM-; EPTr	584.70	586.00	P295130	1.30	0.005	0.10	29.0	61.0
		<b>Silicification forte; Chloritisation forte; Carbonatation;</b>	586.00	587.50	P295131	1.50	0.005	0.10	31.0	58.0
		<b>Hématitisation faible; Épidotisation</b>	587.50	589.00	P295132	1.50	0.005	0.10	32.0	63.0
		<b>Tr</b>	589.00	590.50	P295133	1.50	0.010	0.10	29.0	61.0
		De 584.6-604.7m: Si+ pervasive et en vnl mm à cm, Chl+; Cb moy pervasive, en vnl mm ou en bandes cm et amas, Hm- en remplissage de fractures, Ep en Tr.	590.50	591.50	P295135	1.00	0.010	0.10	33.0	64.0
591.50	592.00	AMA;40%;Qz Cb;;Py02;	591.50	592.00	P295136	0.50	0.010	0.30	31.0	68.0
		<b>Amas 40% Quartz Carbonate</b>	592.00	593.50	P295138	1.50	0.010	0.10	32.0	63.0
		<b>Pyrite 2%</b>	593.50	595.00	P295139	1.50	0.005	0.10	29.0	69.0
		Amas de veines cm ou clastes de Qz+Cb (40%) à 30deg concordant. 2% Py en grains mm diss	595.00	596.50	P295140	1.50	0.005	0.10	33.5	63.0
			596.50	598.00	P295141	1.50	0.005	0.20	31.0	60.0
			598.00	599.50	P295142	1.50	0.010	0.10	29.0	64.0
			599.50	601.00	P295143	1.50	0.005	0.10	37.0	60.0
			601.00	602.50	P295144	1.50	0.005	0.10	37.0	64.0
			602.50	604.00	P295145	1.50	0.005	0.10	38.0	59.0
			604.00	604.70	P295146	0.70	0.010	0.10	37.0	61.0
604.70	631.00	SIL+; Chl+; Chl++; HMTr	604.70	606.00	P295147	1.30	0.005	0.10	36.0	62.0
		<b>Silicification forte; Chloritisation forte; Chloritisation Intense;</b>	606.00	606.70	P295148	0.70	0.010	0.10	51.0	72.0

Description			Analyse							
			De	À	Numéro	Longueur	Au_Final (g/l)	Ag_Final (ppm)	Cu_Final (ppm)	Zn_Final (ppm)
<b>Hématisation Tr</b> De 604.7-631.0m: Si+ pervasive et en vnl disc mm, Chl+ en bandes passant progressivement à une forme de mouchetage de grains vert sombre dans une matrice vert plus clair, Cb moy pervasive, en bandes mm à cm ou amas étirés suivant la foliation et en vnl mm, Hm en Tr en vnl mm associée à Cb.										
606.70	612.10	Py05	606.70	608.20	P295149	1.50	0.010	0.10	65.0	64.0
		<b>Pyrite 5%</b>	608.20	609.60	P295150	1.40	0.010	0.10	61.0	73.0
		3-5% Py en alignements de grains mm souvent discontinues (60%) ou en grains finement diss (40%)	609.60	610.50	P295151	0.90	0.005	0.20	64.0	63.0
			610.50	611.30	P295152	0.80	0.005	0.20	58.0	69.0
			611.30	612.10	P295153	0.80	0.005	0.30	66.0	66.0
611.50	612.00	FRC+								
		<b>Fracturation forte</b>								
		Roche fortement fracturée avec des morceaux de carottes de 5cm								
612.10	621.40	Py02	612.10	613.50	P295154	1.40	0.005	0.20	59.0	67.0
		<b>Pyrite 2%</b>	613.50	614.00	P151594	0.50	0.002	0.10	63.0	67.0
		2% Py en grains inframm à mm subautomorphes diss (80%) ou en qqs alignements de grains discontinus selon la foliation (20%)	614.00	615.30	P295155	1.30	0.005	0.20	67.0	57.0
			615.30	616.00	P295156	0.70	0.005	0.20	52.0	70.0
			616.00	617.00	P295157	1.00	0.005	0.30	70.0	71.0
			617.00	618.00	P295158	1.00	0.005	0.30	73.0	66.0
			618.00	619.00	P295160	1.00	0.005	0.20	53.0	76.0
			619.00	620.00	P295161	1.00	0.005	0.20	47.0	79.0
			620.00	621.40	P295162	1.40	0.005	0.20	51.0	109.0
621.40	626.00	Py01	621.40	622.30	P295163	0.90	0.008	0.15	59.5	95.5
		<b>Pyrite 1%</b>								
		1% Py en grains inframm diss								
622.30	622.90	VEI;100%;Qz Cb Cl;;Py01;	622.30	622.90	P295164	0.60	0.005	0.10	36.0	18.0
		<b>Veine 100% Quartz Carbonate</b>	622.90	623.40	P295166	0.50	0.005	0.10	41.0	106.0
		<b>Chlorite Pyrite 1%</b>	623.40	624.50	P295168	1.10	0.005	0.10	50.0	114.0
		Veine aux contours diffus mais le contact semble être à 30deg AC concordant, composée de Qz blanc+Cb+Chl noire.	624.50	626.00	P295169	1.50	0.005	0.10	52.0	118.0

MAUDORE MINERALS Ltd

ALB NG

Description			Analyse										
			De	À	Numéro	Longueur	Au_Final (g/t)	Ag_Final (ppm)	Cu_Final (ppm)	Zn_Final (ppm)			
		1% Py en grains finement diss plutot répartis dans les passages plus chloritisés											
626.00	635.00	Py02	626.00	627.50	P295170	1.50	0.005	0.20	55.0	86.0			
		<b>Pyrite 2%</b>	627.50	628.50	P295171	1.00	0.005	0.10	58.0	93.0			
		2% Py en grains inframm, rarement mm, disséminés											
628.00	630.00	SCH+	628.50	630.00	P295172	1.50	0.005	0.10	80.0	482.0			
		<b>Schistosité forte</b>	630.00	631.00	P295173	1.00	0.005	0.10	73.0	222.0			
		Schistosité déformée, elle est orientée dans l'axe de la carotte (0-5deg AC)											
631.00	648.60	SIL+; CB; SR; PA-; HMTr	631.00	632.00	P295174	1.00	0.005	0.10	50.0	103.0			
		<b>Silicification forte;</b>	632.00	633.00	P295175	1.00	0.005	0.10	47.5	101.5			
		<b>Carbonatisation; Séricitisation;</b>											
		<b>Paragonite faible; Hématisation Tr</b>											
		De 631.0-648.6m: Si+ pervasive et en fines vnl mm indulantes; Cb moy en bandes, en vnl mm et en remplissage de fractures Ser moy, Pa- et Chl- en bandes mm à cm, Hm en Tr en remplissage de fractures.											
632.70	632.80	PLI	633.00	634.00	P295176	1.00	0.010	0.10	44.0	102.0			
		<b>Plissement</b>	634.00	635.00	P295177	1.00	0.010	0.10	48.0	102.0			
		Schistosité plissotée en S											
635.00	642.00	Py08	635.00	636.00	P295178	1.00	0.010	0.10	50.0	135.0			
		<b>Pyrite 8%</b>	636.00	637.00	P295180	1.00	0.010	0.60	64.0	330.0			
		5-8% Py en alignements de grains de grains pouvant former des bandes cm (70%) ou en grains finement diss, souvent associés aux bandes de micas blancs (Sr-Pa) (30%)	637.00	638.00	P295181	1.00	0.010	0.30	63.0	337.0			
			638.00	639.00	P295182	1.00	0.040	10.20	66.0	109.0			
			639.00	639.50	P151595	0.50	0.014	2.80	20.0	135.0			
			639.50	640.50	P295184	1.00	0.010	0.35	27.0	79.0			
			640.50	641.30	P295185	0.80	0.010	0.10	30.0	75.0			
			641.30	642.00	P295186	0.70	0.020	0.40	41.0	49.0			
642.00	644.80	Py05	642.00	643.00	P295187	1.00	0.010	1.10	35.0	86.0			
		<b>Pyrite 5%</b>	643.00	644.00	P295189	1.00	0.010	1.10	57.0	77.0			
		3-5% Py en grains finement diss (60%) ou en bandes d'alignement de grains	644.00	644.80	P295190	0.80	0.010	0.30	59.0	139.0			

MAUDORE MINERALS Ltd

AC LB NG

Description			Analyse							
			De	À	Numéro	Longueur	Au_Final (g/t)	Ag_Final (ppm)	Cu_Final (ppm)	Zn_Final (ppm)
644.80	647.30	(40%) Py03 <b>Pyrite 3%</b> 2-3% Py en grains finement diss (80%) ou en alignements de grains discontinus (20%)	644.80	646.00	P295191	1.20	0.005	0.25	78.5	192.0
			646.00	647.30	P295192	1.30	0.010	0.20	67.0	124.0
647.30	668.20	Py02 <b>Pyrite 2%</b> 2% Py en grains finement diss, rarement regroupés au sein de clastes chloritisés	647.30	648.60	P295193	1.30	0.010	0.30	52.0	101.0
648.60	667.40	SIL+; Chl+; SR-; Hm- <b>Silicification forte; Chloritisation forte; Séricitisation faible;</b> <b>Hématisation faible</b> De 648.6-667.4m: Si+ pervasive, Chl+, Cb moy pervasive, en bandes et amas étirés, Ser- en quelques bandes cm, Hm-vnl.	648.60	649.20	P295194	0.60	0.020	0.50	47.0	137.0
649.20	651.50	I3; FIN <b>Intrusion mafique; Grains fins</b> Intrusion mafique Roche homogène a grains fins Couleur vert sombre à noir Alt: Si+, Chl+, Cb 2% Py en grains finement diss COntact sup perpendiculaire à l'axe de la carotte et inf de 70deg AC	651.50	653.00	P295195	1.50	0.050	0.70	49.0	141.0
			653.00	654.00	P295196	1.00	0.010	0.50	49.0	97.0
			654.00	655.20	P295197	1.20	0.010	0.10	51.0	105.0
			655.20	656.10	P295198	0.90	0.010	0.20	73.0	107.0
			656.10	657.20	P295199	1.10	0.010	0.10	48.0	101.0
657.20	661.50	I3; FIN <b>Intrusion mafique 30°; Grains fins 30°</b> Intrusion mafique Couleur vert sombre Roche homogène a grains fins Alt: Si+, Chl+, Cb+, Hm- Py en traces en grains finement diss Contacts sup et inf francs et nets de 30deg Ac	661.50	662.50	P295200	1.00	0.010	0.10	47.0	104.0
			662.50	663.50	P295201	1.00	0.010	0.10	53.0	109.0
			663.50	664.50	P295202	1.00	0.010	0.20	54.0	87.0
			664.50	665.50	P295203	1.00	0.005	0.10	49.0	78.0
			665.50	666.50	P295204	1.00	0.005	0.10	49.0	87.0
			666.50	667.40	P295205	0.90	0.005	0.10	45.0	93.0
667.40	670.80	SIL+; Chl-; Chl+; SR- <b>Silicification forte; Chloritisation faible; Chloritisation forte;</b> <b>Séricitisation faible</b>								



MAUDORE MINERALS Ltd

AL LB NG

Description			Analyse							
			De	À	Numéro	Longueur	Au_Final (g/t)	Ag_Final (ppm)	Cu_Final (ppm)	Zn_Final (ppm)
667.40	672.00	<p>De 667.4-670.8m: Si+ pervasive et en vnl/vn, Chl+ en bandes mm, Cb moyen bandes mm et en amas, Ser- en bandes mm.</p> <p><b>FRC+</b></p> <p><b>Fracturation forte</b></p> <p>Roche fortement fracturée selon la foliation (autour de 20deg AC) ou dans l'axe de la carotte. Localement, morceaux de carottes de 2-5cm. 100% simple</p>	667.40	668.20	P295206	0.80	0.010	0.20	48.0	92.0
668.20	673.50	<p><b>Py01</b></p> <p><b>Pyrite 1%</b></p> <p>1% Py en grains inframm a mm subautomorphes diss</p>	668.20	669.50	P295207	1.30	0.005	0.10	43.5	75.5
			669.50	670.00	P151596	0.50	0.002	0.10	39.0	82.0
			670.00	670.80	P295208	0.80	0.005	0.10	36.0	91.0
670.80	673.00	<p>SIL+; Chl+; CB+; BOTr</p> <p><b>Silicification forte; Chloritisation forte; Carbonatation forte;</b></p> <p><b>Blotisation Tr</b></p> <p>De 670.8-673.0m: Si+ pervasive, Chl+ et Cb+ en fines bandes ou clastes étirés, Bt en Tr.</p>	670.80	672.00	P295209	1.20	0.005	0.10	47.0	71.0
			672.00	673.50	P295211	1.50	0.010	0.10	47.0	76.0
673.00	678.00	<p>SIL+; Chl+; EP-; SR; HM-</p> <p><b>Silicification forte; Chloritisation forte; Epidotisation faible;</b></p> <p><b>Séricitisation; Hématitisation faible</b></p> <p>De 673.0-678.0m: Si+ pervasive et en vnl/vn, Chl+ en bandes mm à cm, Cb+ en bandes mm et en amas, Ser moy en bandes mm Hm- en remplissage de fractures.</p>	673.50	675.00	P295212	1.50	0.005	0.10	33.0	71.0
678.00	683.80	<p>SIL+; HM+; Chl; Chl-; SRTr</p> <p><b>Silicification forte; Hématitisation forte; Chloritisation; Chloritisation faible; Séricitisation Tr</b></p> <p>De 678.0-683.8m: Si+ pervasive et en vn, Hm+ pervasive et en bandes mm à</p>	683.00	684.00	P295213	1.00	0.020	0.10	54.0	39.0

ALB NG

Description		Analyse							
		De	À	Numéro	Longueur	Au_Final (g/t)	Ag_Final (ppm)	Cu_Final (ppm)	Zn_Final (ppm)
	cm, Chl moy en bandes mm à cm, Cb moy en bandes mm et en amas, Ser en Tr.								
683.80	693.00								
	SIL+; Chl+; SR; HM- Silicification forte; Chloritisation forte; Séricitisation; Hématitisation faible De 683.8-693.0m: Si+ pervasive et en vnl/vn de Qtz, Chl+ en fines bandes mm à cm déformées et en amas dans vn de Qtz-Cb, Cb+ en bandes mm déformées et en vnl/vn associée au Qtz, Ser moy en bandes mm, Hm- en Tr en remplissage de fractures (intervalle assez déformé).								
684.00	687.00	684.00	685.50	P295214	1.50	0.010	0.10	15.0	45.0
	PLI Plissement Zone fortement déformée dans une zone hématisée et en périphérie d'amas de veines de Qz. La schistosité est située dans l'Axe de carotte et est plissée le long de la veine de Qz. Zone de plissement de 686.1-686.7m avec la trace de l'Axe du pli (schistosité forme un rond)								
684.50	685.70	685.50	686.70	P295216	1.20	0.010	0.10	6.0	33.0
	AMAs; 30% Qz Cb Cl; Py 0.5%; Amas 30% Quartz Carbonate Chlorite Pyrite 0.5% Amas de veines ou clastes (30%) de Qz blanc+Cb+Chl noire soit dans l'Axe de la carotte soit à 50deg discordant. Zone avec 0.5% Py en grains finement diss	686.70	688.00	P295217	1.30	0.010	0.10	34.0	66.0
692.00	698.10	692.00	693.00	P295218	1.00	0.020	0.10	33.0	78.0
	Py 0.5 Pyrite 0.5% 0.5% Py en grains mm diss, souvent regroupés dans des clastes Cb ou Ser								
693.00	698.10	693.00	693.90	P295219	0.90	0.020	0.10	24.0	66.0
	SIL+; Chl+; HM+; SR- Silicification forte; Chloritisation								

MAUDORE MINERALS Ltd

AL LB NG

Description			Analyse								
			De	À	Numéro	Longueur	Au_Final (g/t)	Ag_Final (ppm)	Cu_Final (ppm)	Zn_Final (ppm)	
		forte; Hématisation forte; Séricitisation faible De 693.0-698.1m: Si+, Chl+, Cb+, Hm+ et Ser- en amas de vn et vnl de Qtz.									
693.90	698.40	AMA;50%;Qz Cb Hm;;;	693.90	695.20	P295220	1.30	0.020	0.10	39.0	46.0	
		<b>Amas 50% Quartz Carbonate</b>	695.20	696.20	P295222	1.00	0.015	0.10	47.0	42.0	
		<b>Hématite</b>	696.20	697.40	P295223	1.20	0.010	0.10	38.0	20.0	
		Amas de veines (50%) de Qz blanc+Cb+Hm. Py en traces en grains finement diss									
697.30	698.10	I3; FIN <b>Intrusion mafique; Grains fins</b> Intrusion mafique Couleur vert sombre Roche homogène a grains fins Alt: Si+, Chl+ Traces de Py en grains finement diss COn tact sup et inf au niveau d'une fracture mais semblant être perpendiculaire a l'axe de la carotte	697.40	698.10	P295224	0.70	0.005	0.10	24.0	34.0	
698.10	706.50	SIL+; HM+; SR-; CB-	698.10	699.00	P295225	0.90	0.010	0.10	11.0	47.0	
		<b>Silicification forte; Hématisation</b> <b>forte; Séricitisation faible;</b> <b>Carbonatation faible</b> De 698.1-706.5m: Si+ pervasive, Hm+ et Ser- en bandes d'altération pervasives, Cb-pervasives.	699.00	700.00	P295226	1.00	0.005	0.10	10.0	49.0	
699.60	702.80	FRC+	700.00	700.50	P151597	0.50	0.002	0.10	11.0	52.0	
		<b>Fracturation forte</b> Zone moyennement à fortement fracturée avec localement des morceaux de carotte anguleux de 1-5cm	700.50	702.00	P295227	1.50	0.005	0.10	2.0	52.0	
706.50	734.20	SIL+; Chl+; CB-; SR-; PA- <b>Silicification forte; Chloritisation</b> <b>forte; Carbonatation faible;</b> <b>Séricitisation faible; Paragonite</b> <b>faible</b> De 706.5-720 m: Si+, Chl+ en bandes									

MAUDORE MINERALS Ltd

ALB NG

Description		Analyse								
		De	À	Numéro	Longueur	Au_Final (g/t)	Ag_Final (ppm)	Cu_Final (ppm)	Zn_Final (ppm)	
710.00	711.00	cm, Cb- en bandes et amas, Ser- et Pa- en bandes d'allération mm à cm.								
		<b>FRC+</b>	716.00	717.00	P295228	1.00	0.010	0.10	46.0	74.0
		<b>Fracturation forte</b>	717.00	718.50	P295229	1.50	0.017	0.15	50.0	94.0
		ZOne fortement fracturée avec	718.50	719.50	P295230	1.00	0.005	0.10	43.0	81.0
		morceaux de carotte anguleux de 1-3cm,	723.90	725.40	P295233	1.50	0.010	0.10	61.0	73.0
		ou lambeaux de carotte de 5cm	725.40	726.80	P295231	1.40	0.005	0.10	60.0	82.0
			726.80	727.30	P295234	0.50	0.020	0.10	114.0	67.0
			727.30	728.00	P295236	0.70	0.010	0.10	49.0	76.0
			728.00	729.50	P295237	1.50	0.010	0.10	19.0	72.0
			729.50	730.00	P151600	0.50	0.002	0.10	30.0	62.0
			730.00	731.50	P295238	1.50	0.005	0.10	12.0	63.0
731.50	752.70	Py00.5	731.50	732.00	P295239	0.50	0.010	0.10	39.0	74.0
		<b>Pyrite 0.5%</b>	732.00	733.00	P295240	1.00	0.010	0.10	65.0	76.0
		0.5% Py en grains mm diss. Répartition	733.00	734.00	P295241	1.00	0.010	0.10	47.0	83.0
		tres hétérogène.	734.00	734.50	P295242	0.50	0.040	0.10	97.0	101.0
		à 731.6m: Amas de 5mm de Py suivant								
		une Vnl de Cb mm perpendiculaireà l'axe								
		de la carotte								
734.20	760.20	SIL+; Chl+; HM; SR; CB-	734.50	735.00	P295243	0.50	0.020	0.10	52.0	24.0
		<b>Silicification forte; Chloritisation</b>								
		<b>forte; Hématitisation; Séricitisation;</b>								
		<b>Carbonatitisation faible</b>								
		Si+, Chl+ en bandes concordante								
		d'allérations, Hm moy en bandes								
		concordantes, Sr moy, Cb- en VN/Vnl								
734.70	738.00	AMA;30%;Qz Cl Cb;;;CpTr Pytr;	735.00	735.50	P295245	0.50	0.005	0.10	23.0	45.0
		<b>Amas 30% Quartz Chlorite</b>	735.50	736.50	P295246	1.00	0.005	0.10	17.0	71.0
		<b>Carbonate Chalcopyrite Tr Pyrite</b>	736.50	738.00	P295247	1.50	0.005	0.10	18.0	65.0
		<b>tr</b>	738.00	739.50	P295248	1.50	0.010	0.30	34.0	97.0
		Amas de veines (30%) concordantes à	739.50	741.00	P295249	1.50	0.010	0.10	25.0	132.0
		discordantes de Qz blanc+Chl noire+Cb.	741.00	742.40	P295250	1.40	0.008	0.10	7.5	63.5
		Cp en traces en grains finement diss	742.40	743.00	P295251	0.60	0.005	0.10	8.0	92.0
		(734.8m) et globalement Py en traces en								
		grains finement diss								
742.50	744.10	AMA;60%;Qz Cl Cb Sr;;;	743.00	743.60	P295252	0.60	0.010	2.70	23.0	18.0
		<b>Amas 60% Quartz Chlorite</b>	743.60	744.20	P295253	0.60	0.020	17.00	19.0	14.0
		<b>Carbonate Séricite</b>								

MAUDORE MINERALS Ltd

AC LB NG

Description			Analyse							
			De	À	Numéro	Longueur	Au_Final (g/t)	Ag_Final (ppm)	Cu_Final (ppm)	Zn_Final (ppm)
754.50	755.60	I3; FIN Intrusion mafique 30*; Grains fins 30* Intrusion mafique Roche à grains fins Couleur vert sombre Alt: Si+, Chl+, Cb-, hm-, Ép en traces Py en traces en grains finement diss COntract sup et inf franc et net de 30deg discordants (contact sup recoupé par une Vnl de Cb)	744.20	745.70	P295254	1.50	0.005	0.10	9.0	75.0
			745.70	746.60	P295256	0.90	0.005	0.10	5.0	46.0
			746.60	747.60	P295257	1.00	0.005	0.10	4.0	43.0
			747.60	748.60	P295258	1.00	0.005	0.10	8.0	56.0
			748.60	749.60	P295259	1.00	0.010	0.10	11.0	57.0
			749.60	751.10	P295260	1.50	0.005	0.10	22.0	42.0
			751.10	752.60	P295261	1.50	0.012	0.10	20.0	65.5
			752.60	753.50	P295262	0.90	0.008	0.10	36.0	91.0
			759.50	761.00	P295263	1.50	0.005	0.10	4.0	64.0
			760.20	772.50	SIL+; Chl+; CB- Silicification forte; Chloritisation forte; Carbonatation faible Si+ pervasive et Vn/Vnl, Chl+ pervasive et en altération de Vn/Vnl, Cb- en Vn/Vnl	761.00	761.50	P299001	0.50	0.002
761.50	763.00	P295264				1.50	0.005	0.10	10.0	79.0
767.70	769.10	P295265				1.40	0.010	0.10	36.0	93.0
769.10	770.10	P295266				1.00	0.010	0.40	102.0	92.0
770.10	771.60	P295267				1.50	0.005	0.10	10.0	58.0
771.60	773.10	P295268				1.50	0.010	0.10	7.0	60.0
772.50	787.60	SIL+; Chl+; HM-; CB- Silicification forte; Chloritisation forte; Hématation faible; Carbonatation faible Si+ pervasive, Chl+, Hm- en altération de Vn/Vnl, Cb- en Vn/Vnl, ép en traces en altération de Vn/Vnl et en remplissage de fractures	773.10	774.00	P295269	0.90	0.005	0.10	3.0	56.0
			774.00	775.30	P295271	1.30	0.005	0.10	3.0	62.0
775.30	775.70	I3; FIN Intrusion mafique; Grains fins Intrusion mafique Roche à grains fins Couleur vert sombre	777.00	778.50	P295272	1.50	0.005	0.10	3.0	48.0
			778.50	779.00	P295273	0.50	0.010	0.10	7.0	40.0
			779.00	780.00	P295275	1.00	0.008	0.10	2.0	52.0
			786.10	787.60	P295276	1.50	0.005	0.10	10.0	95.0

MAUDORE MINERALS Ltd

ALB NG

Description			Analyse								
			De	À	Numéro	Longueur	Au_Final (g/t)	Ag_Final (ppm)	Cu_Final (ppm)	Zn_Final (ppm)	
809.10	809.10	Alt: Si+, ChL+, Cb- Py en traces en grains finement diss COnlact sup et inf au niveau de fractures à35deg discordants									
787.60	809.10	SIL+; ChL+; BO; PA	787.60	788.30	P295277	0.70	0.005	0.10	53.0	323.0	
		Silicification forte; Chloritisation forte; Biotisation; Paragonite	788.30	789.00	P295278	0.70	0.010	0.20	33.0	415.0	
		Si+ pervasive, ChL+ en clastes	789.00	789.50	P299002	0.50	0.002	0.20	33.0	145.0	
		fortement étirés, Bt moy matricielle	789.50	790.50	P295279	1.00	0.020	0.10	45.0	151.0	
		(formant des bandes), Pa moy en	790.50	791.50	P295280	1.00	0.010	0.40	53.0	757.0	
		bandes d'altération concordantes, Sr en traces	791.50	792.60	P295282	1.10	0.005	0.30	40.0	155.0	
787.60	792.00	Py02 Pyrite 2%									
		1-2% Py en alignements de grains discontinus selon la foliation (90%) ou en qqs amas de 2-3mm étirés faiblement selon la foliation (10%)									
792.00	810.70	Py01 Pyrite 1%	792.60	794.10	P295283	1.50	0.005	0.30	39.0	240.0	
		0.5-1% Py en grains inframm finement diss (90%) ou en qqs alignements de grains discontinus selon la foliation (10%)	794.10	795.60	P295284	1.50	0.005	0.30	44.0	65.0	
			795.60	797.10	P295285	1.50	0.005	0.30	35.0	134.0	
			797.10	798.50	P295287	1.40	0.010	0.60	28.0	65.5	
			798.50	800.00	P295288	1.50	0.005	0.50	33.0	120.0	
			800.00	801.50	P295289	1.50	0.005	0.20	39.0	55.0	
			801.50	803.00	P295290	1.50	0.010	0.20	57.0	45.0	
			803.00	804.50	P295291	1.50	0.005	0.20	48.0	80.0	
			804.50	806.00	P295292	1.50	0.010	0.60	58.0	71.0	
			806.00	807.50	P295294	1.50	0.020	0.20	49.0	52.0	
			807.50	809.00	P295295	1.50	0.010	0.30	42.0	56.0	
			809.00	810.50	P295296	1.50	0.005	0.30	41.0	85.0	
809.10	837.30	SIL+; ChL+; BO+; PA- Silicification forte; Chloritisation forte; Biotisation forte; Paragonite faible									
		Si+ pervasive, ChL+ en clastes									
		fortement étirés, Bt+ matricielle (formant des bandes), Pa- en bandes d'altération concordantes, Sr en traces									

MAUDORE MINERALS Ltd

AC LG WG

Description			Analyse							
			De	À	Numéro	Longueur	Au_Final (g/t)	Ag_Final (ppm)	Cu_Final (ppm)	Zn_Final (ppm)
810.70	929.30	PyTr	818.50	820.00	P295297	1.50	0.020	0.20	33.0	50.0
		Pyrite Tr	820.00	820.50	P299003	0.50	0.002	0.30	53.0	73.0
		De 810.7-929.3m: Py en traces en rares grains diss.	820.50	821.90	P295298	1.40	0.005	0.30	45.0	66.0
		A 922.3m: Possible occurrence de Cp (un grain)								
834.50	835.30	I3; FIN Intrusion mafique 50*; Grains fins 50* Intrusion mafique Roche à grains fins Couleur vert sombre Alt: Si+, Chl+, Cb- Py en traces en grains finement diss Contact sup et inf au niveau de fractures à 35deg discordants	836.50	838.00	P295299	1.50	0.005	0.10	42.0	56.0
837.30	890.40	SIL+; Chl+; BO-; PA- Silicification forte; Chloritisation forte; Biotisation faible; Paragonite faible Si+ pervasive, Chl+ en clastes fortement élargés, Bt- matricielle (formant des bandes), Pa- en qqs fines bandes, hm en traces en Vn/Vnl	838.00	839.50	P295300	1.50	0.005	0.20	42.0	50.5
848.50	871.30	FRC	848.50	850.00	P295301	1.50	0.005	0.10	52.0	70.0
		Fracturé(e)	850.00	850.50	P299004	0.50	0.002	0.10	48.0	71.0
		Roche globalement moyennement fracturée, 80% simple, 20% conjuguée, majoritairement selon la foliation (25-35deg AC)	850.50	852.00	P295302	1.50	0.005	0.10	41.0	68.0
			863.50	865.00	P295303	1.50	0.005	0.10	46.0	54.0
			865.00	866.50	P295304	1.50	0.010	0.10	47.0	57.0
			878.50	880.00	P295305	1.50	0.005	0.10	36.0	42.0
			880.00	880.50	P299005	0.50	0.028	0.10	28.0	43.0
			880.50	882.00	P295306	1.50	0.005	0.10	34.0	41.0
890.40	904.90	SIL+; Chl+; BO-; PA-; HM-; EP-	890.40	891.10	P295308	0.70	0.005	0.10	24.0	47.0
		Silicification forte; Chloritisation forte; Biotisation faible; Paragonite faible; Hématitisation faible; Épidotisation faible	891.10	892.20	P295309	1.10	0.005	0.10	20.0	61.5
			892.20	893.00	P295310	0.80	0.005	0.10	43.0	62.0
			893.00	894.00	P295312	1.00	0.020	0.10	91.0	49.0
			901.60	902.60	P295313	1.00	0.005	0.10	43.0	74.0
		De 890.4-904.9m: Si+ pervasive, Chl+ en								

Description		Analyse							
		De	À	Numéro	Longueur	Au_Final (g/t)	Ag_Final (ppm)	Cu_Final (ppm)	Zn_Final (ppm)
		902.60	903.10	P295314	0.50	0.005	0.10	34.0	49.0
		903.10	904.00	P295315	0.90	0.005	0.10	40.0	44.0
904.90	917.20	909.00	910.00	P295316	1.00	0.005	0.10	46.0	53.0
		910.00	910.50	P299006	0.50	0.002	0.10	24.0	46.0
		910.50	911.50	P295317	1.00	0.005	0.10	40.0	48.0
		916.00	917.20	P295318	1.20	0.020	0.10	37.0	52.0
917.20	936.30	917.20	918.00	P295319	0.80	0.010	0.10	43.0	46.0
		918.00	919.00	P295321	1.00	0.010	0.10	60.0	37.0
		919.00	919.90	P295322	0.90	0.005	0.10	55.0	43.0
919.90	920.70								



Description		Analyse								
		De	À	Numéro	Longueur	Au_Final (g/t)	Ag_Final (ppm)	Cu_Final (ppm)	Zn_Final (ppm)	
921.80	922.10	Contact inf. net concordant à 35deg ac.								
		I2; pFpAm	922.10	922.60	P295324	0.50	0.005	0.10	37.0	76.0
		Intrusion Intermédiaire 40°; Porphyre de Feldspath et Amphibole 40°	922.60	924.00	P295325	1.40	0.005	0.10	36.0	44.5
		Intrusif Intermédiaire à porphyres de Fp et Am	928.00	929.30	P295326	1.30	0.010	0.10	36.0	41.0
		Matrice à grains moyens de couleur corail (Hématisation totale). 25% de pFp, mm à 2cm, de couleur beige-verdâtre. 25% de Am, mm à 0.5cm Alt: Hm++, Ser moy pervasives Pas de minéralisations								
		Contact sup., net concordant à 40deg ac.								
		Contact inf. net concordant à 40deg ac.								
929.30	933.60	Py1-2	929.30	930.00	P295327	0.70	0.005	0.10	50.0	52.0
		<b>Pyrite 1-2</b>	930.00	931.00	P295328	1.00	0.005	0.10	20.0	72.0
		De 929.3-933.6m: 1-2% de Py en alignement de grains br>	931.00	931.80	P295329	0.80	0.010	0.20	42.0	63.0
			931.80	932.50	P295330	0.70	0.020	0.10	36.0	93.0
			932.50	933.60	P295332	1.10	0.020	0.30	70.0	143.0
933.60	953.80	PyTr	933.60	934.60	P295333	1.00	0.005	0.10	45.0	81.0
		<b>Pyrite Tr</b> De 933.6-953.8m: Py en Tr en rares grains disséminés.								
		Exceptés: 936.7-944.2m: I2 pfp Am 945.1-945.6m: I2 pfp Am 949.5-951.4m: I2 pfp Am 952.0-953.4m: I2 pfp Am								
936.30	961.00	SIL+; Chl; BO; HM-; PA-; CB- <b>Silicification forte; Chloritisation;</b> Biotisation; Hématisation faible; <b>Paragonite faible; Carbonatation faible</b> De 936.3-962m: Si+ pervasive et en rares vn de Qtz-Chl dm, Chl moy en								

Description		Analyse						
		De	À	Numéro	Longueur	Au_Final (g/t)	Ag_Final (ppm)	Cu_Final (ppm)
936.70	944.20	<p>I2; pFpAm</p> <p><b>Intrusion Intermédiaire; Porphyre de Feldspath et Amphibole</b></p> <p>Intrusif Intermédiaire à porphyres de Fp et Am</p> <p>Matrice à grains fins à moyens de couleur corail à gris rougeâtre (Hématisation).</p> <p>25-30% de pFp, mm à 1cm, de couleur beige-rosé à beige-rougeâtre.</p> <p>25% de Am, mm à 0.5cm</p> <p>Alt: Hm++ pervasive et en vnl mm, Ser en Tr</p> <p>Py en Tr disséminées en grains br&gt;</p> <p>Contact sup., net concordant à 50deg ac.</p> <p>Contact inf. net concordant à 40deg ac.</p>						
945.10	945.60	<p>pFpAm</p> <p><b>Porphyre de Feldspath et Amphibole 45°</b></p> <p>Intrusif Intermédiaire à porphyres de Fp et Am</p> <p>Matrice à grains fins à moyens de couleur corail à gris-orangé (Forte Hématisation).</p> <p>25% de pFp, mm à 1cm, de couleur beige-rougeâtre.</p> <p>30% de Am, mm à 0.5cm</p> <p>Alt: Hm++ pervasive et en vnl mm, Ser en Tr</p> <p>Py en Tr diséminée en grains</p> <p>Contact sup. net concordant à 45deg ac.</p> <p>Contact inf. net concordant à 45deg ac.</p>						
949.50	951.40	<p>I2; pFpAm</p> <p><b>Intrusion Intermédiaire; Porphyre de</b></p>						

Description		Analyse							
		De	À	Numéro	Longueur	Au_Final (g/l)	Ag_Final (ppm)	Cu_Final (ppm)	Zn_Final (ppm)
952.00	953.40	953.30	953.80	P295334	0.50	0.010	0.20	40.0	85.0
<p><b>Feldspath et Amphibole</b>                      Intrusif intermédiaire à porphyres de Fp et Am                      Matrice à grains fins à moyens de couleur corail à gris rougeâtre (Hématisation).                      25-30% de pFp, mm à 1cm, de couleur gris à gris-orangé.                      25% de Am, mm.                      Alt: Hm++ pervasive et en vnl mm, Ser en Tr Py en Tr disséminées en grains br&gt;                      Contact sup., net concordant à 40deg ac.                      Contact inf. net concordant à 60deg ac.</p>									
953.80	957.70	953.80	954.30	P295336	0.50	0.010	0.10	28.0	71.0
<p><b>Intrusion intermédiaire; Porphyre de Feldspath et Amphibole</b>                      Intrusif intermédiaire à porphyres de Fp et Am                      Matrice à grains fins à moyens de couleur corail à gris rougeâtre (Hématisation).                      20% de pFp, mm à 0.8cm, de couleur gris à beige-orangé ou beige-verdâtre.                      25% de Am, mm.                      Alt: Hm++ pervasive et en vnl mm, Chl en Tr en vnl, Ser en Tr pervasive.                      Py en Tr disséminées en grains br&gt;                      Contact sup., net concordant à 45deg ac.                      Contact inf. net concordant à 35deg ac.</p>									
954.10	954.50	954.30	955.20	P295337	0.90	0.010	0.10	47.0	62.0
<p><b>Pyrite 0.5-1</b>                      De 953.8-957.7m: 0.5-1% de Py en alignements de grains br&gt;                      Exceptés:                      954.1-954.5m: 13 FIN                      955.2-955.8m: 13 FIN</p> <p><b>I3; FIN</b>                      Intrusion mafique 40°; Grains fins 40°                      Intrusion mafique                      Roche à grains fins                      Couleur vert sombre                      Alt: Si+, Chl+, Cb-                      Py en traces en grains finement disséminés                      Contact sup et inf discordants à 40deg ac</p>									

MAUDORE MINERALS Ltd

ALB NG

Description			Analyse							
			De	À	Numéro	Longueur	Au_Final (g/t)	Ag_Final (ppm)	Cu_Final (ppm)	Zn_Final (ppm)
955.20	955.80	I3; FIN	955.20	956.30	P295338	1.10	0.010	0.10	33.0	57.0
		<b>Intrusion mafique; Grains fins</b>	956.30	957.00	P295340	0.70	0.010	0.20	34.0	60.0
		Intrusion mafique	957.00	957.50	P295341	0.50	0.005	0.10	24.0	42.0
		Roche à grains fins	957.50	958.00	P295342	0.50	0.010	0.10	34.0	52.0
		Couleur vert sombre								
		Alt: Si+, Chl+, Cb-								
		Py en traces en grains finement diss								
		Contact sup et inf nels à 60 et 40 deg ac discordants								
957.70	962.00	PyTr	958.00	958.50	P299007	0.50	0.030	0.20	56.0	50.0
		<b>Pyrite Tr</b>	958.50	959.50	P295343	1.00	0.010	0.10	34.0	53.0
		De 957.7-962m: Py en Tr en rares grains disséminés.								
961.00	1 150.80	SIL+; Chl+; BO; CB-; PA- <b>Silicification forte; Chloritisation forte; Biotisation; Carbonatation faible; Paragonite faible</b> Si+ pervasive, Chl+ en bandes verdâtres, Bt moy en bandes brunâtres, Cb- en Vn/Vnl, Pa- en qqs bandes cm gris clair, Hm en traces en vn/Vnl, Ép en traces en altération de Vn/Vnl  Exceptés: 965.4 966.5 I2; pFpAm 968.7 970.8 I2; pFpAm 976.5 978 I2; pFpAm 987.2 987.5 I3; FIN 988.6 993.5 I2; pFpAm 994 994.4 I2; pFpAm 995.8 998.1 I2; pFpAm 1000.7 1003 I2; pFpAm 1004.6 1005.3 I2; pFpAm 1006.4 1010.1 I2; pFpAm 1012.8 1014.7 I2; pFpAm 1015.6 1051.8 I1B 1054.9 1055.5 I2; pFpAm 1057.8 1058.2 I1F 1066.9 1067.2 I3; FIN 1067.2 1068.7 I2; pFpAm 1068.7 1069.2 I3; FIN	961.90	963.40	P295344	1.50	0.010	0.10	38.0	55.0

AL LB NG

Description		Analyse								
		De	À	Numéro	Longueur	Au_Final (g/l)	Ag_Final (ppm)	Cu_Final (ppm)	Zn_Final (ppm)	
	1071.9 1073.1 I2; pFpAm									
	1073.1 1074.3 I2; pFpAm									
	1077.2 1079.6 I3; FIN									
	1080.4 1085.5 I2; pFpAm									
	1086.2 1089 I2; pFpAm									
	1089.8 1090.9 I2; pFpAm									
	1090.9 1095.8 I2; pFpAm									
	1096.8 1097 I3; FIN									
	1097.8 1110.8 I2; pFpAm									
	1112.1 1114.1 I2; pFpAm									
	1114.1 1116.2 I3; FIN									
	1117.3 1118 I2; pFpAm									
	1118.9 1120.3 I2; pFpAm									
	1127.3 1128.7 I3; FIN									
	1132.9 1140 I2; pFpAm									
	1148.1 1149.8 I2; pFpAm									
963.40	964.30	Py01	963.40	964.30	P295345	0.90	0.008	0.15	47.5	62.5
		<b>Pyrite 1%</b>								
		1% Py en grains finement diss souvent étirés selon la foliation	964.30	965.50	P295346	1.20	0.005	0.10	47.0	56.0
964.60	967.70	FRC <b>Fracturé(e)</b> Roche moyennement à fortement fracturée, 80% simple, 20% conjuguée, majoritairement selon la foliation (25-30deg AC) ou discordantes (40-60deg AC)								
965.40	966.50	I2; pFpAm Intrusion intermédiaire; Porphyre de Feldspath et Amphibole Intrusion intermédiaire Couleur rouge pFp difficilement visibles avec l'itération environ 15% pFp, rouges, 2-8mm 10% amphiboles en baguettes ou mouchetage, 2-5mm Alt: Si+, Hm+ Py en traces en qqs grains diss Contact sup dans une fracture et inf de 20deg concordant								

MAUDORE MINERALS Ltd

AL LG NG

Description		Analyse								
		De	À	Numéro	Longueur	Au_Final (g/t)	Ag_Final (ppm)	Cu_Final (ppm)	Zn_Final (ppm)	
968.70	970.80	I2; pFpAm Intrusion intermédiaire; Porphyre de Feldspath et Amphibole Intrusion intermédiaire Couleur rouge pFp difficilement visibles avec l'itération environ 15% pFp, rouges, 2-8mm 10% amphiboles en baguettes ou mouchetage, 2-5mm Alt: Si+, Hm+, cb- Py en traces en qqs grains diss Contact sup à 40deg concordant et inf perpendiculaire à l'Axe de la carotte	973.80	975.30	P295347	1.50	0.005	0.20	28.0	76.0
			975.30	975.80	P295348	0.50	0.005	0.10	6.0	79.0
975.50	975.80	BRE Bréchtique Breche sous forme d'une veine à 30deg concordante composée de qqs fragements pluri mm subarrondis (5%) dans une matrice de Ép+Cb±Hm	975.80	976.60	P295349	0.80	0.005	0.30	3.0	106.0
976.50	978.00	I2; pFpAm Intrusion intermédiaire 40*; Porphyre de Feldspath et Amphibole 40* Intrusion intermédiaire Couleur rouge pFp difficilement visibles avec l'altération environ 15% pFp, rouges, 2-8mm 10% amphiboles en baguettes ou mouchetage, 2-5mm Alt: Si+, Hm+ Py en traces en qqs grains diss Contact sup et inf de 40-45deg concordant	980.70	982.20	P295350	1.50	0.008	0.20	7.0	55.0
			982.20	982.80	P295351	0.60	0.005	0.10	61.0	28.0
982.30	982.70	AMA; 80%; Qz Cb;; PyTr; Amas 80% Quartz Carbonate Pyrite Tr Amas de 2 veines à 25-30deg discordantes de 10-15cm de Qz blanc ±Cb. Py en traces en grains diss en tre les veines	982.80	984.30	P295352	1.50	0.010	0.20	69.0	58.0
			984.30	984.80	P299010	0.50	0.002	0.10	18.0	79.0
			984.80	986.30	P295353	1.50	0.005	0.10	43.0	54.0
987.20	987.50	I3; FIN								

ALB NG

Description		Analyse							
		De	A	Numéro	Longueur	Au_Final (g/t)	Ag_Final (ppm)	Cu_Final (ppm)	Zn_Final (ppm)
988.60	993.50								
Intrusion mafique; Grains fins Intrusion mafique Grains fins Couleur vert sombre Alt: Si+, Chl+ Pas de miné Contact sup de 70deg discordant et inf dans une fracture mais semblant etre subperpendiculaire à l'axe de la carotte I2; pFpAm Intrusion intermédiaire 25°; Porphyre de Feldspath et Amphibole 25° Intrusion intermédiaire Couleur rouge pFp difficilement visibles avec l'itération environ 15% pFp, rouges, 2-8mm 10% amphiboles en baguettes ou mouchetage, 2-5mm Alt: Si+, Hm+ Py en traces en qqs grains diss Enclave de V2V3 de 992.8-993.3m Contact sup dans une fracture et inf de 20deg concordant									
994.00	994.40								
I2; pFpAm Intrusion intermédiaire; Porphyre de Feldspath et Amphibole Intrusion intermédiaire Couleur rouge pFp difficilement visibles avec l'itération environ 15% pFp, rouges, 2-8mm 10% amphiboles en baguettes ou mouchetage, 2-5mm Alt: Si+, Hm+ Py en traces en qqs grains diss Contact sup et inf de 20deg concordant									
995.80	998.10								
I2; pFpAm Intrusion intermédiaire 35°; Porphyre de Feldspath et Amphibole 35° Intrusion intermédiaire Couleur rouge pFp difficilement visibles avec l'itération									

Description		Analyse							
		De	À	Numéro	Longueur	Au_Final (g/t)	Ag_Final (ppm)	Cu_Final (ppm)	Zn_Final (ppm)
1 000.70	1 003.00								
environ 15% pFp, rouges, 2-8mm 10% amphiboles en baguettes ou mouchetage, 2-5mm Alt: Si+, Hm+ Py en traces en qqs grains diss Contact sup det inf de 35deg concordant I2; pFpAm <b>Intrusion intermédiaire 35°; Porphyre de Feldspath et Amphibole 35°</b> Intrusion intermédiaire Couleur rouge pFp difficilement visibles avec l'itération environ 15% pFp, rouges, 2-8mm 10% amphiboles en baguettes ou mouchetage, 2-5mm Alt: Si+, Hm+ Py en traces en qqs grains diss Contact sup et inf de 35deg concordant									
1 004.60	1 005.30								
I2; pFpAm <b>Intrusion intermédiaire 35°; Porphyre de Feldspath et Amphibole 35°</b> Intrusion intermédiaire Couleur rouge pFp difficilement visibles avec l'itération environ 15% pFp, rouges, 2-8mm 10% amphiboles en baguettes ou mouchetage, 2-5mm Alt: Si+, Hm+ Py en traces en qqs grains diss Contact sup et inf de 35deg concordant									
1 006.40	1 010.10								
I2; pFpAm <b>Intrusion intermédiaire 35°; Porphyre de Feldspath et Amphibole 35°</b> Intrusion intermédiaire Couleur rouge pFp difficilement visibles avec l'itération environ 15% pFp, rouges, 2-8mm 10% amphiboles en baguettes ou mouchetage, 2-5mm Alt: Si+, Hm+ Py en traces en qqs grains diss									



MAUDORE MINERALS Ltd

AC LR NG

Description		Analyse								
		De	À	Numéro	Longueur	Au_Final (g/l)	Ag_Final (ppm)	Cu_Final (ppm)	Zn_Final (ppm)	
1 012.80	1 014.70	Contact sup irrégulier mais à environ 35deg AC et inf de 35deg concordant I2; pFpAm Intrusion Intermédiaire 35°; Porphyre de Feldspath et Amphibole 35° Intrusion intermédiaire Couleur rouge pFp difficilement visibles avec l'itération environ 15% pFp, rouges, 2-8mm 10% amphiboles en baguettes ou mouchetage, 2-5mm Alt: Si+, Hm+ Py en traces en qqs grains diss								
1 015.60	1 051.80	Contact sup et inf de 35deg concordant I1B Granite 30° Intrusion granitique ressemblant fortement au Beehler Couleur rose Les 5 premiers premiers metres ressemblant a un I2;pFpAm pas de miné Contact sup de 30deg concordant Contact inf de 5deg ac concordant								
1 054.90	1 055.50	I2; pFpAm Intrusion intermédiaire 40°; Porphyre de Feldspath et Amphibole 40° Intrusion intermédiaire Couleur rouge 30% de pFp de couleur beige rougeâtre, mm à cm. 25% amphiboles en baguettes ou mouchetage, 2-5mm Alt: Si+, Hm+ Py en traces en qqs grains diss Contact sup net à 45deg ac concordant; inf à 40deg ac concordant.								
1 057.80	1 058.20	I1F Aplite 20° Roche intrusive felsique.	1 061.10	1 062.50	P295354	1.40	0.005	0.10	23.0	65.0
			1 062.50	1 063.00	P299086	0.50	0.002	0.25	5.0	88.0
			1 063.00	1 064.00	P295356	1.00	0.005	0.10	26.0	61.0

AL LG NG

Description		Analyse							
		De	À	Numéro	Longueur	Au_Final (g/t)	Ag_Final (ppm)	Cu_Final (ppm)	Zn_Final (ppm)
	Matrice à grains fins, très silicifiée.	1 064.00	1 064.50	P295357	0.50	0.005	0.90	73.0	75.0
	Couleur beige verdâtre.	1 064.50	1 065.90	P295359	1.40	0.005	0.20	40.0	59.0
	Alt: Ep moy, Hm Tr.	1 065.90	1 066.90	P295360	1.00	0.005	0.10	33.0	57.0
	Non minéralisée								
	Contact inf et sup nets à 20deg ac discordants.								
1 066.90	1 067.20								
	I3; FIN								
	<b>Intrusion mafique; Grains fins</b>								
	Intrusion mafique								
	Matrice à grains fins								
	Couleur vert sombre								
	Alt: Si+, Chl+								
	Pas de miné								
	Contact sup de 50deg discordant et inf 60deg ac disc.								
1 067.20	1 068.70								
	I2; pFpAm								
	<b>Intrusion intermédiaire; Porphyre de Feldspath et Amphibole</b>								
	Intrusion intermédiaire								
	Couleur gris sombre légèrement rosé								
	20 à 15% pFp, blancs laiteux rougeâtres								
	autour des vnl de Hm, 1-8mm								
	15% amphiboles en baguettes ou mouchetage.								
	2-5mm								
	Alt: Si+, Hm- en vnl								
	Non minéralisée								
	Contacts sup à 60deg ac disc.; inf à 30deg ac disc.								
1 068.70	1 069.20								
	I3; FIN								
	<b>Intrusion mafique; Grains fins</b>								
	Intrusion mafique								
	Grains fins								
	Couleur vert sombre								
	Alt: Si+, Chl+								
	Pas de miné								
	Contact sup de 30deg discordant et inf 60deg ac disc.								
1 071.90	1 073.10								
	I2; pFpAm								
	<b>Intrusion intermédiaire; Porphyre de Feldspath et Amphibole</b>								

MAUDORE MINERALS Ltd

KC LB NG

Description		Analyse							
		Dé	À	Numéro	Longueur	Au_Final (g/t)	Ag_Final (ppm)	Cu_Final (ppm)	Zn_Final (ppm)
1 073.10	1 074.30								
1 077.20	1 079.60								
1 080.40	1 085.50								

ACLG NG

Description		Analyse							
		De	À	Numéro	Longueur	Au_Final (g/l)	Ag_Final (ppm)	Cu_Final (ppm)	Zn_Final (ppm)
1 086.20	1 089.00								
1 089.80	1 090.90								
1 090.90	1 095.80								

ACLB NG

Description			Analyse						
			De	À	Numéro	Longueur	Au_Final (g/t)	Ag_Final (ppm)	Cu_Final (ppm)
1 096.80	1 097.00	I3; FIN <b>Intrusion mafique; Grains fins</b> Intrusion mafique Grains fins Couleur vert sombre Alt: Si+, Chl+ Min: Py en Tr en rares grains br>Contact sup de 45deg concordant et inf 35deg ac disc sur une fracture.							
1 097.80	1 110.80	I2; pFpAm <b>Intrusion Intermédiaire; Porphyre de                      Feldspath et Amphibole</b> Intrusion intermédiaire Couleur rouge orangé. 10% de pFp, blancs laiteux rougeâtres, 2-8mm. 10% amphiboles en baguettes ou mouchetage, 1-5mm. Alt: Si+, Hm++ pervasives Py en Tr en rares grains disséminés. Contacts sup net à 45deg ac conc.; inf net à 40deg ac concordant.							
1 112.10	1 114.10	I2; pFpAm <b>Intrusion Intermédiaire; Porphyre de                      Feldspath et Amphibole</b> Intrusion intermédiaire Couleur rouge orangé. 10% de pFp, blancs laiteux rougeâtres, 1-5mm. 5% amphiboles en baguettes ou mouchetage, 1-5mm. Alt: Si+, Hm++ pervasives Py en Tr en rares grains disséminés. Contacts sup net à 40deg ac conc.; inf net à 35deg ac discordant.							
1 114.10	1 116.20	I3; FIN <b>Intrusion mafique; Grains fins</b> Intrusion mafique Grains fins Couleur vert sombre Alt: Si+, Chl+, Hm- pervasive. Min: Py en Tr en rares grains br>Contact sup							

MAUDORE MINERALS Ltd

AC LB NG

Description		Analyse							
		De	À	Numéro	Longueur	Au_Final (g/t)	Ag_Final (ppm)	Cu_Final (ppm)	Zn_Final (ppm)
1 117.30	1 118.00	net de 35deg discordant et inf de 45deg ac disc sur une vnl de CB-Chl. I2; pFpAm Intrusion Intermédiaire 25°; Porphyre de Feldspath et Amphibole 25° Intrusion intermédiaire Couleur gris rougeâtre. 15% de pFp, blancs laiteux rougeâtres, 2-8mm. 15% amphiboles en baguettes ou mouchetage, 1-5mm. Alt: Si+, Hm+ pervasives Py en Tr en rares grains disséminés. Contacts sup net à 25deg ac conc.; inf net à 25deg ac concordant.							
1 118.90	1 120.30	1 122.30	1 123.80	P295361	1.50	0.005	0.30	44.0	90.0
		1 123.80	1 124.30	P299090	0.50	0.002	0.25	45.0	54.0
		1 124.30	1 125.80	P295362	1.50	0.005	0.40	42.0	44.0
		Intrusion intermédiaire Couleur rouge orangé. 15% de pFp, blancs laiteux rougeâtres, 1-5mm. 10% amphiboles en baguettes ou mouchetage, 1-3mm. All: Si+, Hm++ pervasives Py en Tr en rares grains disséminés. Contacts sup net à 40deg ac conc.; inf net à 40deg ac concordant.							
1 127.30	1 128.70	I3; FIN Intrusion mafique; Grains fins Intrusion mafique Roche homogene a grains fins Couleur vert sombre Alt: Si+, Chl+, Cb 2% Py en grains finement diss COn tact sup net à 65deg ac disc et inf de 50deg ac disc.							
1 132.90	1 140.00	1 143.60	1 145.10	P295363	1.50	0.005	0.10	61.0	52.0
		1 145.10	1 146.60	P295364	1.50	0.010	0.10	41.0	45.0
		1 146.60	1 148.10	P295365	1.50	0.010	0.40	38.0	48.0
		I2; pFpAm Intrusion Intermédiaire 40°; Porphyre de Feldspath et Amphibole 40° Intrusion intermédiaire Couleur rouge orangé.							

ALB NG

Description	Analyse							
	De	À	Numéro	Longueur	Au_Final (g/t)	Ag_Final (ppm)	Cu_Final (ppm)	Zn_Final (ppm)
<p>20% de pFp, blancs laiteux rougeâtres, 0.3-1.5mm.                      15% amphiboles en baguettes ou mouchetage, 1-3mm.                      Alt: Si+, Hm+ pervasives                      Py en Tr en rares grains disséminés.                      Contacts sup net à 40deg ac conc.; inf net à 40deg ac concordant.</p> <p>1 148.10      1 149.80</p> <p>I2; pFpAm                      Intrusion intermédiaire; Porphyre de Feldspath et Amphibole                      Intrusion intermédiaire                      Couleur brun rougeâtre.                      5% de pFp, blancs laiteux rougeâtres, 1-5mm.                      10% amphiboles en baguettes ou mouchetage, 1-2mm.                      Alt: Si+, Hm moy pervasives                      Py en Tr en rares grains disséminés.                      Contacts sup net à 50deg ac conc.; inf net à 30deg ac concordant.</p>								
<p>1 150.80      1 179.00</p> <p>11B                      Granite 50*                      Beelher                      Fin de trou.</p>								
<p>1 179.00</p> <p>Fin du sondage                      Nombre d'échantillons : 432                      Nombre d'échantillons QAQC : 53                      Longueur totale échantillonnée : 472.00</p>								

MAUDORE MINERALS Ltd

ALB NG

QAQC

De	À	Numéro	Référence	Longueur	Au (g/t)	Ag (ppm)	Cu (ppm)	Zn (ppm)
0.00	0.00	M105985	Blank	0.00	-0.01	-0.2	13	24
0.00	0.00	P295274	SK62	0.00	3.98	0.9	83	91
0.00	0.00	P295358	Blank	0.00	-0.01	-0.2	12	22
0.00	0.00	P295244	SH55	0.00	1.37	0.6	116	73
0.00	0.00	P295235	Blank	0.00	-0.01	-0.2	13	19
0.00	0.00	P295104	Blank	0.00	0.01	0.4	15	28
0.00	0.00	P295096	SH55	0.00	1.33	0.9	117	79
0.00	0.00	P295088	Blank	0.00	-0.01	-0.2	15	25
0.00	0.00	P295074	SQ48	0.00	29.80	1.2	64	91
0.00	0.00	P295281	Blank	0.00	-0.01	-0.2	13	24
0.00	0.00	P295038	SH55	0.00	1.24	0.6	113	74
0.00	0.00	P295270	Blank	0.00	-0.01	-0.2	14	22
0.00	0.00	P295023	SH55	0.00	1.32	0.7	116	75
0.00	0.00	P295017	Blank	0.00	0.01	-0.2	11	17
0.00	0.00	P153983	SQ48	0.00	29.10	1.0	66	94
0.00	0.00	P153978	Blank	0.00	-0.01	-0.2	12	23
0.00	0.00	P153966	SK62	0.00	3.74	1.1	89	99
0.00	0.00	P153961	Blank	0.00	-0.01	0.2	12	30
0.00	0.00	P153945	Blank	0.00	-0.01	-0.2	11	30
0.00	0.00	P153936	SH55	0.00	1.24	0.8	102	72
0.00	0.00	P295053	Blank	0.00	-0.01	0.4	10	21
0.00	0.00	P295215	Blank	0.00	-0.01	-0.2	14	25
0.00	0.00	P295179	Blank	0.00	0.01	-0.2	12	16
0.00	0.00	P295293	SQ48	0.00	30.50	1.0	67	92
0.00	0.00	P295137	SQ48	0.00	29.30	1.1	63	92
0.00	0.00	P295129	Blank	0.00	-0.01	-0.2	13	24
0.00	0.00	P295183	SK62	0.00	3.89	0.9	84	89
0.00	0.00	P295167	SH55	0.00	1.32	0.7	108	74
0.00	0.00	P295122	SK62	0.00	4.02	1.3	82	96
0.00	0.00	P295159	Blank	0.00	-0.01	-0.2	17	31
0.00	0.00	P295339	SK62	0.00	4.01	1.2	88	94
0.00	0.00	P295331	Blank	0.00	-0.01	-0.2	16	23
0.00	0.00	P295323	SH55	0.00	1.32	0.7	110	72



MAUDORE MINERALS Ltd

ALB NG

QAQC

De	À	Numéro	Référence	Longueur	Au (g/t)	Ag (ppm)	Cu (ppm)	Zn (ppm)
0.00	0.00	P295311	Blank	0.00	-0.01	-0.2	12	24
0.00	0.00	P295221	SQ48	0.00	28.70	0.8	61	91
50.00	51.00	P153928	P153918	1.00	0.01	-0.2	12	62
115.50	117.00	P153958	P153932	1.50	-0.01	-0.2	42	68
189.50	191.00	P153982	P153957	1.50	0.01	0.2	18	68
248.40	249.90	P295010	P151985	1.50	0.01	-0.2	34	55
370.50	372.00	M105982	P295019	1.50	0.01	-0.2	24	63
417.20	418.40	P295067	P295042	1.20	0.01	0.2	88	72
457.50	459.00	P295084	P295059	1.50	-0.01	-0.2	41	62
528.60	530.10	P295115	P295090	1.50	0.01	0.2	40	117
575.10	576.30	P295134	P295119	1.20	0.01	0.4	52	107
595.00	596.50	P295165	P295140	1.50	-0.01	-0.2	34	64
621.40	622.30	P295188	P295163	0.90	0.01	-0.2	55	109
644.80	646.00	P295210	P295191	1.20	-0.01	0.4	99	196
668.20	669.50	P295232	P295207	1.30	-0.01	-0.2	43	72
717.00	718.50	P295255	P295229	1.50	-0.01	0.2	49	101
751.10	752.60	P295286	P295261	1.50	0.02	-0.2	20	63
797.10	798.50	P295320	P295287	1.40	0.01	0.6	27	67
891.10	892.20	P295335	P295309	1.10	-0.01	-0.2	25	63
963.40	964.30	P295355	P295345	0.90	0.01	-0.2	51	60

## Géochimie

De	A	Numéro	Longueur	Description	SiO2 (%)	Al2O3 (%)	Fe2O3 (%)	CaO (%)
39.00	39.50	P151483	0.50		58.99	15.83	5.97	4.93
71.50	72.00	P151484	0.50		65.03	14.45	5.49	4.47
101.50	102.00	P151499	0.50		62.23	15.06	5.04	6.06
129.00	129.50	P151500	0.50		62.37	14.80	5.78	3.91
165.00	165.50	P151501	0.50		61.44	14.50	5.05	6.90
187.50	188.00	P151509	0.50		56.35	17.35	5.43	5.42
219.00	219.50	P151510	0.50		66.21	14.49	4.36	3.94
251.50	252.00	P151517	0.50		63.11	13.72	5.64	6.84
282.00	282.50	P151518	0.50		60.05	15.39	5.46	5.57
312.00	312.50	P151519	0.50		60.80	15.39	5.99	6.71
342.00	342.50	P151578	0.50		66.06	14.26	6.27	2.78
372.00	372.50	P151581	0.50		66.91	12.39	4.53	3.99
402.00	402.50	P151585	0.50		65.89	14.49	4.61	2.66
432.00	432.50	P151586	0.50		65.74	15.40	4.96	2.47
462.00	462.50	P151587	0.50		58.12	15.14	7.27	5.63
492.00	492.50	P151588	0.50		56.27	17.39	8.04	3.68
522.00	522.50	P151589	0.50		56.25	15.83	7.75	4.45
552.00	552.50	P151592	0.50		56.72	15.73	7.78	4.17
584.20	584.70	P151593	0.50		62.98	15.44	5.28	4.65
613.50	614.00	P151594	0.50		52.42	15.14	10.04	7.15
639.00	639.50	P151595	0.50		63.98	16.24	5.07	3.40
669.50	670.00	P151596	0.50		58.59	15.63	6.16	5.48
700.00	700.50	P151597	0.50		66.92	16.93	3.47	2.17
729.50	730.00	P151600	0.50		56.56	14.37	7.12	7.04
761.00	761.50	P299001	0.50		66.62	16.03	3.50	5.51
789.00	789.50	P299002	0.50		63.13	14.56	5.08	6.24
820.00	820.50	P299003	0.50		62.77	15.11	5.45	5.67
850.00	850.50	P299004	0.50		56.98	15.75	7.68	5.92
880.00	880.50	P299005	0.50		62.77	15.66	5.55	6.29
910.00	910.50	P299006	0.50		59.36	15.35	6.79	5.81
958.00	958.50	P299007	0.50		61.35	14.99	5.87	5.92
984.30	984.80	P299010	0.50		62.89	16.19	6.21	5.03
1 062.50	1 063.00	P299086	0.50		63.30	15.85	5.46	5.71

ALB NG

Géochimie

De	À	Numéro	Longueur	Description	SiO2 (%)	Al2O3 (%)	Fe2O3 (%)	CaO (%)
1 123.80	1 124.30	P299090	0.50		61.60	14.95	5.34	6.70

Géochimie

De	À	Numéro	Longueur	MgO (%)	Na2O (%)	K2O (%)	Cr2O3 (%)	TiO2 (%)	MnO (%)	P2O5 (%)
39.00	39.50	P151483	0.50	4.44	3.33	0.80	0.02	0.49	0.09	0.12
71.50	72.00	P151484	0.50	2.64	2.63	0.90	0.01	0.47	0.07	0.14
101.50	102.00	P151499	0.50	2.01	3.29	1.15	0.01	0.51	0.09	0.14
129.00	129.50	P151500	0.50	3.24	4.88	0.32	0.02	0.57	0.08	0.12
165.00	165.50	P151501	0.50	2.01	3.65	0.85	0.01	0.57	0.09	0.10
187.50	188.00	P151509	0.50	2.91	2.29	2.84	0.02	0.72	0.06	0.17
219.00	219.50	P151510	0.50	1.69	2.67	1.76	0.01	0.50	0.05	0.10
251.50	252.00	P151517	0.50	2.07	1.78	1.02	0.01	0.47	0.10	0.09
282.00	282.50	P151518	0.50	2.74	2.29	2.18	0.01	0.53	0.15	0.11
312.00	312.50	P151519	0.50	1.34	3.38	0.96	0.01	0.53	0.09	0.11
342.00	342.50	P151578	0.50	3.13	3.76	0.59	0.01	0.49	0.08	0.10
372.00	372.50	P151581	0.50	2.28	4.93	0.32	0.01	0.42	0.06	0.09
402.00	402.50	P151585	0.50	3.25	4.46	0.64	0.01	0.44	0.07	0.11
432.00	432.50	P151586	0.50	2.55	5.27	1.35	0.01	0.49	0.06	0.11
462.00	462.50	P151587	0.50	4.92	3.42	0.69	0.03	0.61	0.11	0.24
492.00	492.50	P151588	0.50	5.00	5.33	0.54	0.01	0.66	0.12	0.14
522.00	522.50	P151589	0.50	4.36	6.06	0.36	0.01	0.63	0.16	0.16
552.00	552.50	P151592	0.50	4.00	5.09	0.87	0.01	0.71	0.10	0.25
584.20	584.70	P151593	0.50	2.73	4.07	0.92	0.01	0.48	0.11	0.11
613.50	614.00	P151594	0.50	6.06	2.98	0.39	0.07	0.49	0.16	0.13
639.00	639.50	P151595	0.50	2.38	3.35	1.61	0.01	0.56	0.10	0.13
669.50	670.00	P151596	0.50	3.47	2.33	1.67	0.01	0.57	0.10	0.14
700.00	700.50	P151597	0.50	1.25	4.50	1.88	-0.01	0.32	0.04	0.12
729.50	730.00	P151600	0.50	4.09	1.80	1.68	0.02	0.63	0.13	0.15
761.00	761.50	P299001	0.50	0.90	2.33	1.36	-0.01	0.28	0.05	0.12
789.00	789.50	P299002	0.50	2.94	2.13	1.27	0.01	0.43	0.19	0.11
820.00	820.50	P299003	0.50	2.83	2.00	1.51	0.01	0.45	0.09	0.11
850.00	850.50	P299004	0.50	3.85	3.95	1.04	-0.01	0.79	0.11	0.38
880.00	880.50	P299005	0.50	3.33	2.19	1.22	-0.01	0.47	0.09	0.12
910.00	910.50	P299006	0.50	4.02	3.18	1.41	0.02	0.45	0.10	0.10
958.00	958.50	P299007	0.50	2.85	4.16	1.05	0.01	0.46	0.09	0.16
984.30	984.80	P299010	0.50	2.65	2.34	1.88	-0.01	0.56	0.09	0.15
1 062.50	1 063.00	P299086	0.50	2.59	2.98	1.45	0.01	0.54	0.09	0.12

ALB NG

Géochimie

De	À	Numéro	Longueur	MgO (%)	Na2O (%)	K2O (%)	Cr2O3 (%)	TiO2 (%)	MnO (%)	P2O5 (%)
1 123.80	1 124.30	P299090	0.50	3.11	3.09	1.20	0.02	0.51	0.10	0.10

Géochimie

De	À	Numéro	Longueur	SrO (%)	BaO (%)	LOI (%)	Total (%)	Nb (ppm)	Ba (ppm)	Rb (ppm)
39.00	39.50	P151483	0.50	0.03	0.04	4.16	99.23	3	230	22
71.50	72.00	P151484	0.50	0.04	0.03	2.85	99.23	3	220	26
101.50	102.00	P151499	0.50	0.04	0.04	3.55	99.22	4	310	31
129.00	129.50	P151500	0.50	0.03	0.02	3.76	99.90	6	90	11
165.00	165.50	P151501	0.50	0.02	0.04	4.68	99.91	5	240	27
187.50	188.00	P151509	0.50	0.01	0.05	6.24	99.87	6	390	80
219.00	219.50	P151510	0.50	0.01	0.03	4.06	99.89	5	250	65
251.50	252.00	P151517	0.50	0.02	0.02	4.65	99.54	5	160	34
282.00	282.50	P151518	0.50	0.02	0.06	5.23	99.79	6	410	103
312.00	312.50	P151519	0.50	0.04	0.03	4.48	99.86	5	230	31
342.00	342.50	P151578	0.50	0.03	0.04	2.25	99.85	5	290	20
372.00	372.50	P151581	0.50	-0.01	0.02	4.03	99.98	4	60	7
402.00	402.50	P151585	0.50	0.02	0.02	2.67	99.34	4	120	25
432.00	432.50	P151586	0.50	0.03	0.05	1.26	99.75	4	380	32
462.00	462.50	P151587	0.50	0.06	0.03	2.88	99.15	4	210	17
492.00	492.50	P151588	0.50	0.04	0.03	2.58	99.83	4	210	16
522.00	522.50	P151589	0.50	0.03	0.02	3.71	99.78	6	80	11
552.00	552.50	P151592	0.50	0.02	0.03	4.42	99.89	6	150	29
584.20	584.70	P151593	0.50	0.03	0.04	3.09	99.94	4	260	23
613.50	614.00	P151594	0.50	0.02	0.02	4.74	99.81	4	110	9
639.00	639.50	P151595	0.50	0.03	0.04	3.02	99.92	4	250	41
669.50	670.00	P151596	0.50	0.03	0.03	5.70	99.91	3	230	45
700.00	700.50	P151597	0.50	0.03	0.04	2.19	99.86	4	330	45
729.50	730.00	P151600	0.50	0.02	0.04	6.27	99.92	5	330	46
761.00	761.50	P299001	0.50	0.04	0.03	2.57	99.33	4	360	33
789.00	789.50	P299002	0.50	0.04	0.02	2.97	99.12	3	240	38
820.00	820.50	P299003	0.50	0.05	0.01	2.68	98.74	4	250	37
850.00	850.50	P299004	0.50	0.04	0.03	2.75	99.27	6	360	29
880.00	880.50	P299005	0.50	0.06	0.01	1.51	99.26	3	210	28
910.00	910.50	P299006	0.50	0.05	0.02	2.74	99.39	3	270	34
958.00	958.50	P299007	0.50	0.05	0.01	2.93	99.90	4	190	39
984.30	984.80	P299010	0.50	0.06	0.02	1.88	99.95	4	300	75
1 062.50	1 063.00	P299086	0.50	0.07	0.03	1.91	100.11	4	289	50

Géochimie

De	À	Numéro	Longueur	SrO (%)	BaO (%)	LOI (%)	Total (%)	Nb (ppm)	Ba (ppm)	Rb (ppm)
1 123.80	1 124.30	P299090	0.50	0.07	0.03	2.11	98.93	4	312	43

ALB NG

Géochimie

De	À	Numéro	Longueur	Zr (ppm)	Y (ppm)	Sr (ppm)	Au (ppm)	Ag (ppm)	Al (%)	As (ppm)
39.00	39.50	P151483	0.50	111	9	343	-0.005	-0.2	2.97	-2
71.50	72.00	P151484	0.50	108	9	445	-0.005	0.20	2.12	-2
101.50	102.00	P151499	0.50	114	10	449	-0.005	-0.2	1.70	-2
129.00	129.50	P151500	0.50	142	11	349	0.005	-0.2	2.10	-2
165.00	165.50	P151501	0.50	136	11	270	-0.005	0.30	1.76	-2
187.50	188.00	P151509	0.50	142	11	228	0.005	-0.2	2.12	-2
219.00	219.50	P151510	0.50	138	10	182	-0.005	-0.2	1.43	-2
251.50	252.00	P151517	0.50	128	10	237	-0.005	-0.2	2.82	-2
282.00	282.50	P151518	0.50	144	11	249	-0.005	-0.2	2.46	3
312.00	312.50	P151519	0.50	146	11	408	-0.005	-0.2	1.71	-2
342.00	342.50	P151578	0.50	137	11	320	-0.005	-0.2	2.15	-2
372.00	372.50	P151581	0.50	116	10	89	-0.005	-0.2	1.80	2
402.00	402.50	P151585	0.50	120	9	236	-0.005	-0.2	2.04	-2
432.00	432.50	P151586	0.50	131	9	289	-0.005	-0.2	1.87	-2
462.00	462.50	P151587	0.50	133	14	666	-0.005	-0.2	2.27	-2
492.00	492.50	P151588	0.50	120	16	420	-0.005	-0.2	2.47	-2
522.00	522.50	P151589	0.50	106	14	344	-0.005	-0.2	2.30	-2
552.00	552.50	P151592	0.50	128	13	319	-0.005	-0.2	2.59	2
584.20	584.70	P151593	0.50	120	11	397	-0.005	-0.2	1.69	2
613.50	614.00	P151594	0.50	81	12	257	-0.005	-0.2	3.11	3
639.00	639.50	P151595	0.50	119	11	391	0.014	2.80	1.60	14
669.50	670.00	P151596	0.50	116	13	351	-0.005	-0.2	2.44	-2
700.00	700.50	P151597	0.50	135	8	347	-0.005	-0.2	0.97	-2
729.50	730.00	P151600	0.50	114	13	324	-0.005	-0.2	3.07	-2
761.00	761.50	P299001	0.50	130	9	407	-0.005	-0.2	2.05	-2
789.00	789.50	P299002	0.50	122	9	335	-0.005	0.20	2.53	3
820.00	820.50	P299003	0.50	120	9	436	-0.005	0.30	3.01	-2
850.00	850.50	P299004	0.50	144	15	392	-0.005	-0.2	2.23	-2
880.00	880.50	P299005	0.50	116	10	537	0.028	-0.2	3.58	-2
910.00	910.50	P299006	0.50	114	10	449	-0.005	-0.2	1.89	-2
958.00	958.50	P299007	0.50	111	11	508	0.030	0.20	1.44	-2
984.30	984.80	P299010	0.50	134	12	539	-0.005	-0.2	2.92	-2
1 062.50	1 063.00	P299086	0.50	110	11	563	-0.005	-0.5		-0.1



ALB NG

Géochimie

De	À	Numéro	Longueur	Zr (ppm)	Y (ppm)	Sr (ppm)	Au (ppm)	Ag (ppm)	Al (%)	As (ppm)
1 123.80	1 124.30	P299090	0.50	110	10	595	-0.005	-0.5		-0.1

AL LB NG

Géochimie

De	À	Numéro	Longueur	B (ppm)	Ba Econo (ppm)	Be (ppm)	Bi (ppm)	Ca (%)	Cd (ppm)	Co (ppm)
39.00	39.50	P151483	0.50	-10		-0.5	-2	1.88	-0.5	20
71.50	72.00	P151484	0.50	-10		-0.5	-2	1.23	-0.5	15
101.50	102.00	P151499	0.50	-10		-0.5	-2	2.57	-0.5	15
129.00	129.50	P151500	0.50	-10		-0.5	-2	2.02	-0.5	15
165.00	165.50	P151501	0.50	-10		-0.5	-2	3.24	-0.5	14
187.50	188.00	P151509	0.50	-10		-0.5	-2	3.59	-0.5	18
219.00	219.50	P151510	0.50	-10		-0.5	-2	2.09	-0.5	11
251.50	252.00	P151517	0.50	-10		-0.5	-2	3.56	-0.5	14
282.00	282.50	P151518	0.50	10		-0.5	-2	3.10	-0.5	14
312.00	312.50	P151519	0.50	-10		-0.5	-2	3.06	-0.5	16
342.00	342.50	P151578	0.50	-10		-0.5	-2	0.58	-0.5	15
372.00	372.50	P151581	0.50	-10		-0.5	-2	2.69	-0.5	12
402.00	402.50	P151585	0.50	-10		-0.5	-2	0.96	-0.5	12
432.00	432.50	P151586	0.50	-10		-0.5	-2	0.62	-0.5	14
462.00	462.50	P151587	0.50	-10		-0.5	-2	1.20	-0.5	18
492.00	492.50	P151588	0.50	-10		-0.5	-2	0.64	-0.5	20
522.00	522.50	P151589	0.50	-10		-0.5	-2	2.00	-0.5	21
552.00	552.50	P151592	0.50	-10		-0.5	-2	2.56	-0.5	22
584.20	584.70	P151593	0.50	-10		-0.5	-2	1.67	-0.5	15
613.50	614.00	P151594	0.50	-10		-0.5	-2	3.20	-0.5	37
639.00	639.50	P151595	0.50	-10		-0.5	-2	0.89	-0.5	17
669.50	670.00	P151596	0.50	-10		-0.5	-2	3.12	-0.5	17
700.00	700.50	P151597	0.50	-10		-0.5	-2	0.80	-0.5	5
729.50	730.00	P151600	0.50	-10		-0.5	-2	3.52	-0.5	19
761.00	761.50	P299001	0.50	-10		-0.5	-2	2.20	-0.5	5
789.00	789.50	P299002	0.50	10		-0.5	-2	2.47	-0.5	14
820.00	820.50	P299003	0.50	-10		-0.5	-2	2.32	-0.5	15
850.00	850.50	P299004	0.50	-10		-0.5	-2	1.99	-0.5	17
880.00	880.50	P299005	0.50	-10		-0.5	-2	2.05	-0.5	13
910.00	910.50	P299006	0.50	-10		-0.5	-2	1.65	-0.5	16
958.00	958.50	P299007	0.50	-10		-0.5	-2	2.29	-0.5	16
984.30	984.80	P299010	0.50	-10		-0.5	-2	1.72	-0.5	18
1 062.50	1 063.00	P299086	0.50				0		-0.5	15

ALL NG

Géochimie

De	A	Numéro	Longueur	B (ppm)	Ba Econo (ppm)	Be (ppm)	Bi (ppm)	Ca (%)	Cd (ppm)	Co (ppm)
1 123.80	1 124.30	P299090	0.50				0		-0.5	16

Géochimie

De	À	Numéro	Longueur	Cr (ppm)	Cu (ppm)	Fe (%)	Ga (ppm)	Hg (ppm)	K (%)	La (ppm)
39.00	39.50	P151483	0.50	106	53	3.68	10	-1	0.43	10
71.50	72.00	P151484	0.50	55	23	3.18	10	-1	0.18	-10
101.50	102.00	P151499	0.50	58	39	3.04	10	-1	0.17	10
129.00	129.50	P151500	0.50	97	35	3.68	10	-1	0.05	10
165.00	165.50	P151501	0.50	67	45	3.29	10	-1	0.43	10
187.50	188.00	P151509	0.50	22	44	3.11	10	-1	0.14	10
219.00	219.50	P151510	0.50	35	33	2.68	-10	-1	0.12	10
251.50	252.00	P151517	0.50	50	29	3.60	10	-1	0.16	10
282.00	282.50	P151518	0.50	50	38	3.12	10	-1	0.19	10
312.00	312.50	P151519	0.50	50	41	3.59	10	-1	0.08	-10
342.00	342.50	P151578	0.50	61	34	3.59	10	-1	0.06	-10
372.00	372.50	P151581	0.50	61	44	2.92	10	-1	0.02	10
402.00	402.50	P151585	0.50	48	37	2.70	10	-1	0.09	10
432.00	432.50	P151586	0.50	57	41	3.23	10	-1	0.92	10
462.00	462.50	P151587	0.50	124	50	2.96	10	-1	0.32	10
492.00	492.50	P151588	0.50	45	46	3.79	10	-1	0.16	10
522.00	522.50	P151589	0.50	64	51	4.28	10	-1	0.03	10
552.00	552.50	P151592	0.50	30	20	4.66	10	-1	0.11	10
584.20	584.70	P151593	0.50	64	34	3.20	10	-1	0.32	10
613.50	614.00	P151594	0.50	349	63	5.15	10	-1	0.23	-10
639.00	639.50	P151595	0.50	40	20	3.17	10	-1	0.19	10
669.50	670.00	P151596	0.50	47	39	3.55	10	-1	0.16	10
700.00	700.50	P151597	0.50	3	11	1.97	-10	-1	0.13	10
729.50	730.00	P151600	0.50	55	30	3.99	10	-1	0.75	10
761.00	761.50	P299001	0.50	6	4	2.04	10	-1	0.09	10
789.00	789.50	P299002	0.50	59	33	2.62	10	-1	0.28	10
820.00	820.50	P299003	0.50	59	53	2.55	10	-1	0.24	10
850.00	850.50	P299004	0.50	54	48	3.97	10	-1	0.64	40
880.00	880.50	P299005	0.50	35	28	2.42	10	-1	0.66	10
910.00	910.50	P299006	0.50	91	24	2.84	10	-1	0.39	10
958.00	958.50	P299007	0.50	49	56	2.83	10	-1	0.23	20
984.30	984.80	P299010	0.50	21	18	3.08	10	-1	0.50	10
1 062.50	1 063.00	P299086	0.50	100	5		21	-0.005		18

ALB NG

Géochimie

De	À	Numéro	Longueur	Cr (ppm)	Cu (ppm)	Fe (%)	Ga (ppm)	Hg (ppm)	K (%)	La (ppm)
1 123.80	1 124.30	P299090	0.50	170	45		19	-0.005		16

ALB NG

Géochimie

De	À	Numéro	Longueur	Mg (%)	Mn (ppm)	Mo (ppm)	Na (%)	Ni (ppm)	P (ppm)	Pb (ppm)
39.00	39.50	P151483	0.50	2.53	552	-1	0.07	84	510	3
71.50	72.00	P151484	0.50	1.50	375	-1	0.06	42	600	2
101.50	102.00	P151499	0.50	1.15	497	-1	0.05	46	630	-2
129.00	129.50	P151500	0.50	1.89	545	-1	0.05	52	540	-2
165.00	165.50	P151501	0.50	1.13	583	4	0.05	40	450	-2
187.50	188.00	P151509	0.50	1.51	426	9	0.04	51	790	-2
219.00	219.50	P151510	0.50	0.88	353	-1	0.04	33	460	-2
251.50	252.00	P151517	0.50	1.24	589	-1	0.21	42	440	-2
282.00	282.50	P151518	0.50	1.50	842	-1	0.09	45	470	-2
312.00	312.50	P151519	0.50	0.76	510	2	0.08	46	460	-2
342.00	342.50	P151578	0.50	1.69	472	-1	0.05	40	410	-2
372.00	372.50	P151581	0.50	1.29	444	-1	0.06	37	370	-2
402.00	402.50	P151585	0.50	1.81	432	-1	0.05	37	470	-2
432.00	432.50	P151586	0.50	1.45	357	-1	0.07	40	500	-2
462.00	462.50	P151587	0.50	2.19	394	-1	0.05	60	1 020	-2
492.00	492.50	P151588	0.50	2.36	445	-1	0.07	45	560	-2
522.00	522.50	P151589	0.50	2.23	810	-1	0.07	46	660	-2
552.00	552.50	P151592	0.50	2.17	632	-1	0.06	43	1 050	-2
584.20	584.70	P151593	0.50	1.41	591	-1	0.06	39	460	-2
613.50	614.00	P151594	0.50	2.85	719	-1	0.05	127	540	-2
639.00	639.50	P151595	0.50	1.25	471	-1	0.08	37	560	2
669.50	670.00	P151596	0.50	1.78	651	-1	0.04	44	580	-2
700.00	700.50	P151597	0.50	0.58	220	1	0.05	1	520	-2
729.50	730.00	P151600	0.50	2.20	776	-1	0.15	55	640	2
761.00	761.50	P299001	0.50	0.44	320	-1	0.20	2	520	-2
789.00	789.50	P299002	0.50	1.35	914	-1	0.16	67	480	-2
820.00	820.50	P299003	0.50	1.11	347	-1	0.20	73	490	4
850.00	850.50	P299004	0.50	1.76	443	-1	0.07	61	1 730	-2
880.00	880.50	P299005	0.50	1.21	315	-1	0.35	32	530	3
910.00	910.50	P299006	0.50	1.44	427	-1	0.08	74	420	-2
958.00	958.50	P299007	0.50	1.08	435	-1	0.08	37	740	-2
984.30	984.80	P299010	0.50	1.13	396	-1	0.21	32	680	2
1 062.50	1 063.00	P299086	0.50			-1		43		4

Géochimie

De	À	Numéro	Longueur	Mg (%)	Mn (ppm)	Mo (ppm)	Na (%)	Ni (ppm)	P (ppm)	Pb (ppm)
1 123.80	1 124.30	P299090	0.50			-1		53		3

## Géochimie

De	À	Numéro	Longueur	S (%)	Sb (ppm)	Sc (ppm)	Th (ppm)	Sr Econo (ppm)	Ti (%)	Ti (ppm)
39.00	39.50	P151483	0.50	0.01	-2	8	-20		0.12	-10
71.50	72.00	P151484	0.50	-0.01	-2	2	-20		0.10	-10
101.50	102.00	P151499	0.50	0.01	-2	3	-20		0.12	-10
129.00	129.50	P151500	0.50	0.03	-2	8	-20		0.10	-10
165.00	165.50	P151501	0.50	0.02	-2	8	-20		0.13	-10
187.50	188.00	P151509	0.50	0.30	-2	3	-20		-0.01	-10
219.00	219.50	P151510	0.50	0.02	-2	3	-20		0.01	-10
251.50	252.00	P151517	0.50	0.03	2	3	-20		0.06	-10
282.00	282.50	P151518	0.50	0.02	2	4	-20		0.16	-10
312.00	312.50	P151519	0.50	0.01	-2	4	-20		0.08	-10
342.00	342.50	P151578	0.50	0.02	-2	3	-20		0.14	-10
372.00	372.50	P151581	0.50	0.04	-2	7	-20		0.12	-10
402.00	402.50	P151585	0.50	-0.01	-2	3	-20		0.16	-10
432.00	432.50	P151586	0.50	0.02	-2	6	-20		0.18	-10
462.00	462.50	P151587	0.50	-0.01	-2	2	-20		0.14	-10
492.00	492.50	P151588	0.50	0.02	-2	4	-20		0.16	-10
522.00	522.50	P151589	0.50	0.09	-2	7	-20		0.18	-10
552.00	552.50	P151592	0.50	0.51	-2	10	-20		0.22	-10
584.20	584.70	P151593	0.50	1.19	-2	6	-20		0.13	-10
613.50	614.00	P151594	0.50	1.02	-2	10	-20		0.10	-10
639.00	639.50	P151595	0.50	1.59	-2	5	-20		0.12	-10
669.50	670.00	P151596	0.50	0.41	-2	5	-20		0.02	-10
700.00	700.50	P151597	0.50	0.20	-2	1	-20		0.02	-10
729.50	730.00	P151600	0.50	0.02	-2	6	-20		0.12	-10
761.00	761.50	P299001	0.50	0.01	-2	1	-20		0.03	-10
789.00	789.50	P299002	0.50	0.51	-2	3	-20		0.14	-10
820.00	820.50	P299003	0.50	0.24	-2	3	-20		0.12	-10
850.00	850.50	P299004	0.50	0.02	2	8	-20		0.17	-10
880.00	880.50	P299005	0.50	0.16	-2	6	-20		0.12	-10
910.00	910.50	P299006	0.50	0.03	-2	4	-20		0.14	-10
958.00	958.50	P299007	0.50	0.24	-2	5	-20		0.14	-10
984.30	984.80	P299010	0.50	0.08	-2	6	-20		0.15	-10
1 062.50	1 063.00	P299086	0.50	0.02	-0.05	10	2			-0.5



AC LB WG

Géochimie

De	À	Numéro	Longueur	S (%)	Sb (ppm)	Sc (ppm)	Th (ppm)	Sr Econo (ppm)	Ti (%)	Tl (ppm)
1 123.80	1 124.30	P299090	0.50	0.02	-0.05	10	2			-0.5

Géochimie

De	À	Numéro	Longueur	U (ppm)	V (ppm)	W (ppm)	Zn (ppm)
39.00	39.50	P151483	0.50	-10	80	-10	72
71.50	72.00	P151484	0.50	-10	44	-10	57
101.50	102.00	P151499	0.50	-10	50	-10	66
129.00	129.50	P151500	0.50	-10	66	-10	69
165.00	165.50	P151501	0.50	-10	71	-10	69
187.50	188.00	P151509	0.50	-10	40	-10	86
219.00	219.50	P151510	0.50	-10	33	-10	52
251.50	252.00	P151517	0.50	-10	54	-10	68
282.00	282.50	P151518	0.50	-10	46	-10	68
312.00	312.50	P151519	0.50	-10	55	-10	75
342.00	342.50	P151578	0.50	-10	59	-10	64
372.00	372.50	P151581	0.50	-10	59	-10	53
402.00	402.50	P151585	0.50	-10	51	-10	58
432.00	432.50	P151586	0.50	-10	77	-10	63
462.00	462.50	P151587	0.50	-10	60	-10	60
492.00	492.50	P151588	0.50	-10	78	-10	63
522.00	522.50	P151589	0.50	-10	82	-10	76
552.00	552.50	P151592	0.50	-10	111	-10	80
584.20	584.70	P151593	0.50	-10	60	-10	64
613.50	614.00	P151594	0.50	-10	110	-10	67
639.00	639.50	P151595	0.50	-10	56	-10	135
669.50	670.00	P151596	0.50	-10	54	-10	82
700.00	700.50	P151597	0.50	-10	9	-10	52
729.50	730.00	P151600	0.50	-10	81	-10	62
761.00	761.50	P299001	0.50	-10	10	-10	78
789.00	789.50	P299002	0.50	-10	44	-10	145
820.00	820.50	P299003	0.50	-10	41	-10	73
850.00	850.50	P299004	0.50	-10	98	-10	71
880.00	880.50	P299005	0.50	-10	59	-10	43
910.00	910.50	P299006	0.50	-10	53	-10	46
958.00	958.50	P299007	0.50	-10	61	-10	50
984.30	984.80	P299010	0.50	-10	66	-10	79
1 062.50	1 063.00	P299086	0.50	1	117	-1	88

AC LG NG

Géochimie

De	À	Numéro	Longueur	U (ppm)	V (ppm)	W (ppm)	Zn (ppm)
1 123.80	1 124.30	P299090	0.50	0	139	1	54

MAUDORE MINERALS Ltd

Sondage : COM-12-906  
 Titre minier :  
 Canton : Comtois  
 Rang :  
 Lot :  
 Du : 2012-07-01  
 Au :  
 Section : 2778E  
 Niveau : Surface  
 Place de travail : Lebel-sur-Quévillon  
 Date de description : 2012-07-04  
 Foré par : Forage Orbit Garant  
 Décrit par : Lucie Blayo

Collet

	UTM	Locales	GREER
Azimut : 197.00°	Est 341 915.00	2 778.32	4 249.34
Plongée : -68.00°	Nord 5 444 400.13	1 498.56	2 080.00
Longueur : 478.00 m	Élévation 281.30	281.30	281.30

Déviations

Type	Profondeur	Azimut	Plongée	Invalide	Description
Reflex	0.00	197.00°	-68.00°	Non	
Reflex	22.00	4.70°	-68.10°	Oui	44565
Reflex	25.00	68.00°	-68.90°	Oui	44221
Reflex	28.00	327.40°	-68.00°	Oui	24675
Reflex	31.00	199.70°	-67.80°	Non	58746
Reflex	34.00	196.50°	-67.30°	Oui	56106
Reflex	37.00	198.60°	-67.40°	Non	55656
Reflex	40.00	196.60°	-67.30°	Non	55490
Reflex	43.00	196.70°	-67.20°	Non	55390
Reflex	46.00	196.10°	-66.90°	Non	55260
Reflex	49.00	196.60°	-66.90°	Non	55195
Reflex	52.00	199.70°	-66.30°	Oui	55176

Description  
 OSH-12-13



Dimension de la carotte : Carotte NQ  
 Cimenté : Non  
 Entrepris : Oui

MAUDORE MINERALS Ltd

AC LB

Déviation

Type	Profondeur	Azimut	Plongée	Invalide	Description
Reflex	55.00	196.40°	-66.50°	Non	55141
Reflex	58.00	196.10°	-66.40°	Non	55061
Reflex	61.00	196.40°	-66.30°	Non	55079
Reflex	64.00	196.50°	-66.40°	Non	55146
Reflex	67.00	194.20°	-66.80°	Oui	55049
Reflex	70.00	196.00°	-65.90°	Non	55020
Reflex	73.00	196.00°	-65.80°	Non	55053
Reflex	76.00	196.00°	-65.70°	Non	55053
Reflex	79.00	196.00°	-65.70°	Non	55093
Reflex	82.00	195.90°	-65.70°	Non	54998
Reflex	85.00	195.30°	-65.70°	Non	55000
Reflex	88.00	195.70°	-65.60°	Non	54998
Reflex	91.00	195.20°	-65.90°	Non	55009
Reflex	94.00	195.60°	-65.50°	Non	54978
Reflex	97.00	195.80°	-65.50°	Non	54974
Reflex	100.00	195.90°	-65.50°	Non	54995
Reflex	103.00	195.30°	-65.40°	Non	54973
Reflex	106.00	195.20°	-65.40°	Non	54978
Reflex	109.00	195.40°	-65.30°	Non	54990
Reflex	112.00	196.00°	-65.10°	Non	54977
Reflex	115.00	195.40°	-65.30°	Non	54963
Reflex	118.00	194.30°	-65.20°	Non	55014
Reflex	121.00	195.20°	-65.20°	Non	54957
Reflex	124.00	195.50°	-65.20°	Non	54970
Reflex	127.00	195.50°	-65.20°	Non	54953
Reflex	130.00	195.50°	-65.20°	Non	55001
Reflex	133.00	195.80°	-64.90°	Non	54956
Reflex	136.00	195.50°	-65.10°	Non	54962
Reflex	139.00	195.50°	-65.10°	Non	54963
Reflex	142.00	195.60°	-65.10°	Non	54966
Reflex	145.00	195.30°	-65.00°	Non	54970
Reflex	148.00	195.40°	-65.00°	Non	54945
Reflex	151.00	197.30°	-65.00°	Oui	54953
Reflex	154.00	195.20°	-65.00°	Non	54947

## Déviation

Type	Profondeur	Azimet	Plongée	Invalide	Description
Reflex	157.00	195.50°	-64.90°	Non	54967
Reflex	160.00	195.40°	-64.90°	Non	54947
Reflex	163.00	195.10°	-64.90°	Non	54952
Reflex	166.00	195.20°	-64.90°	Non	54952
Reflex	169.00	195.40°	-64.80°	Non	55051
Reflex	172.00	195.40°	-64.80°	Non	54941
Reflex	175.00	195.20°	-64.80°	Non	54958
Reflex	178.00	195.00°	-64.80°	Non	54958
Reflex	181.00	195.00°	-64.70°	Non	54941
Reflex	184.00	194.80°	-64.70°	Non	54952
Reflex	187.00	194.70°	-64.60°	Non	54980
Reflex	190.00	194.90°	-64.60°	Non	54974
Reflex	193.00	193.80°	-64.50°	Non	54990
Reflex	196.00	193.60°	-64.50°	Non	54958
Reflex	199.00	193.80°	-64.40°	Non	54953
Reflex	202.00	194.70°	-64.50°	Non	54955
Reflex	205.00	194.60°	-64.40°	Non	54954
Reflex	208.00	196.70°	-63.90°	Oui	54989
Reflex	211.00	195.20°	-64.30°	Non	54934
Reflex	214.00	195.40°	-64.30°	Non	54939
Reflex	217.00	195.30°	-64.30°	Non	54926
Reflex	220.00	195.30°	-64.20°	Non	54911
Reflex	223.00	195.50°	-64.20°	Non	54994
Reflex	226.00	195.20°	-64.10°	Non	54954
Reflex	229.00	193.40°	-64.00°	Oui	54970
Reflex	232.00	193.40°	-64.10°	Oui	55030
Reflex	235.00	193.30°	-64.00°	Oui	54956
Reflex	238.00	194.50°	-64.00°	Non	55019
Reflex	241.00	194.80°	-63.90°	Non	54930
Reflex	244.00	194.60°	-63.80°	Non	54929
Reflex	247.00	194.50°	-63.80°	Non	54998
Reflex	250.00	194.70°	-63.60°	Non	54920
Reflex	253.00	194.70°	-63.50°	Non	54948
Reflex	256.00	195.40°	-63.40°	Non	54943

MAUDORE MINERALS Ltd

ACB

Déviations

Type	Profondeur	Azimut	Plongée	Invalide	Description
Reflex	259.00	195.40°	-63.10°	Non	54933
Reflex	262.00	195.50°	-63.00°	Non	54932
Reflex	265.00	195.20°	-62.80°	Non	54915
Reflex	268.00	195.40°	-62.70°	Non	54979
Reflex	271.00	195.30°	-62.50°	Non	54931
Reflex	274.00	195.30°	-62.40°	Non	54932
Reflex	277.00	195.20°	-62.30°	Non	54947
Reflex	280.00	195.20°	-62.30°	Non	54931
Reflex	283.00	195.30°	-62.20°	Non	54930
Reflex	286.00	195.10°	-62.10°	Non	54932
Reflex	289.00	195.30°	-61.80°	Non	54963
Reflex	292.00	195.70°	-61.80°	Non	54937
Reflex	295.00	195.30°	-61.80°	Non	55058
Reflex	298.00	195.40°	-61.70°	Non	54873
Reflex	301.00	194.50°	-61.70°	Non	54903
Reflex	304.00	194.60°	-61.60°	Non	55074
Reflex	307.00	194.80°	-61.50°	Non	54965
Reflex	310.00	194.80°	-61.40°	Non	54967
Reflex	313.00	194.90°	-61.30°	Non	55013
Reflex	316.00	194.90°	-61.20°	Non	55020
Reflex	319.00	194.20°	-61.10°	Non	55033
Reflex	322.00	192.70°	-61.00°	Oui	55399
Reflex	325.00	194.10°	-60.90°	Non	55111
Reflex	328.00	194.50°	-60.80°	Non	55065
Reflex	331.00	194.40°	-60.70°	Non	55247
Reflex	334.00	198.90°	-60.70°	Oui	58740
Reflex	337.00	253.60°	-60.90°	Oui	90300
Reflex	340.00	234.10°	-60.60°	Oui	70653
Reflex	343.00	199.20°	-60.00°	Oui	55288
Reflex	346.00	199.30°	-58.40°	Oui	54976
Reflex	349.00	199.50°	-58.40°	Oui	54967
Reflex	352.00	199.10°	-57.60°	Oui	55033
Reflex	355.00	198.50°	-56.60°	Oui	55027
Reflex	358.00	198.50°	-55.20°	Oui	54973

## Déviation

Type	Profondeur	Azimet	Plongée	Invalide	Description
Reflex	361.00	198.00°	-53.60°	Oui	54979
Reflex	364.00	195.90°	-52.10°	Non	55078
Reflex	367.00	196.10°	-50.50°	Non	55075
Reflex	370.00	195.90°	-48.80°	Non	55073
Reflex	373.00	195.60°	-47.00°	Non	55025
Reflex	376.00	195.20°	-45.50°	Non	54991
Reflex	379.00	195.10°	-45.00°	Non	55002
Reflex	382.00	196.50°	-44.90°	Non	54905
Reflex	385.00	196.30°	-44.80°	Non	54917
Reflex	388.00	196.40°	-44.60°	Non	55059
Reflex	391.00	196.20°	-44.30°	Non	55007
Reflex	394.00	195.70°	-44.20°	Non	55106
Reflex	397.00	196.10°	-44.00°	Non	55047
Reflex	400.00	195.50°	-43.80°	Non	54965
Reflex	403.00	195.30°	-43.70°	Non	54883
Reflex	406.00	195.20°	-43.10°	Non	55028
Reflex	409.00	195.00°	-43.40°	Non	55096
Reflex	412.00	195.00°	-43.20°	Non	55079
Reflex	415.00	194.90°	-43.10°	Non	55108
Reflex	418.00	195.30°	-42.90°	Non	54984
Reflex	421.00	194.90°	-42.80°	Non	55091
Reflex	424.00	195.60°	-42.70°	Non	54871
Reflex	427.00	195.00°	-42.70°	Non	54970
Reflex	430.00	194.90°	-42.60°	Non	55025
Reflex	433.00	195.20°	-42.60°	Non	54847
Reflex	436.00	195.20°	-42.50°	Non	54809
Reflex	439.00	199.50°	-40.10°	Oui	54898
Reflex	442.00	196.50°	-42.20°	Non	54940
Reflex	445.00	196.50°	-42.10°	Non	54884
Reflex	448.00	195.70°	-42.10°	Non	55060
Reflex	451.00	195.60°	-41.90°	Non	55011
Reflex	454.00	196.80°	-41.90°	Non	54969
Reflex	457.00	196.60°	-41.80°	Non	55116
Reflex	460.00	196.40°	-41.70°	Non	54797



Déviations

Type	Profondeur	Azimat	Plongée	Invalide	Description
Reflex	463.00	196.20°	-41.60°	Non	55235
Reflex	466.00	195.80°	-41.60°	Non	55337
Reflex	469.00	196.10°	-41.40°	Non	55027
Reflex	472.00	196.00°	-41.30°	Non	54929
Reflex	475.00	196.00°	-41.20°	Non	54918
Reflex	478.00	196.50°	-41.00°	Non	54978

AC LB

Description			Analyse							
			De	À	Numéro	Longueur	Au_Final (g/t)	Ag_Final (ppm)	Cu_Final (ppm)	Zn_Final (ppm)
0.00	15.00	MT Mort Terrain Casing								
15.00	478.00	V2-V3; T1 <b>Volcanite intermédiaire à mafique; Tuf à lapillis</b> Volcanite intermédiaire à mafique. Tuf à Lapillis. Matrice à grains fins de couleur gris moyen, verdâtre. Alternance de bandes gris sombre (chlorite) et gris moyen bleuté à verdâtre (paragonite ou séricite), mm à cm (6-7cm maximum). Localement, dans les bandes gris plus clair de paragonite, apparaît un fin mouchetage de chlorite (15%) de couleur gris sombre, étiré selon la foliation. Faible foliation principalement marquée par les alternances d'altération, à 20deg ac passant progressivement à 25-30° ac. Sur les intervalles présentant une séricitisation en mouchetage, la foliation s'efface. Seule une légère orientation préférentielle des grains de chlorite permet de la deviner. À partir de 124m environ, apparaissent des clastes (5-10%) de 2 à 10cm, de couleur gris moyen à clair verdâtre. Ceux-ci présentent généralement un mouchetage de chlorite en fins grains br>Roche globalement moyennement fracturée. 441.4-449.8: Intervalle relativement massif. Matrice est probablement une lave mafique à grain fin, à texture bréchique, mais contenant également des éléments felsiques et possiblement intrusifs.  Veines: - De 45.6 à 47.7m: Veines de Qz (30%) - Tm (25%) - Cb (10%) - Chl (3-4%) - Hm (1% dans fractures). Passage pegmatitique jaune-orangé de 46.5 à 46.9m. Globalement, intervalle plus fracturé. Contacts sup et inf. peu nets mais très irréguliers. - De 190.6 à 190.7m: Veine de Qz avec 10% de Chlorite. Hématitisation le long des fractures. Min: Py en Tr sur les épontes. Contacts sup et inf. nets à 55° ac.	18.00	19.50	P297157	1.50	0.008	0.10	42.0	68.0

AC US

Description	Analyse							
	De	À	Numéro	Longueur	Au_Final (g/t)	Ag_Final (ppm)	Cu_Final (ppm)	Zn_Final (ppm)
<p>- De 109.1 à 109.5m: Veine de Chl (40%) - Ser (30%) - Qtz (15%) - Cb rose (15%). Alt: Si+, Hm-. Contacts sup et inf, nets à 55°ac disc. et 35°ac conc.</p> <p>- De 237.8 à 238.5m: Veine et veinules d'altération de part et d'autre d'une fracture (238.4m), dans l'axe de la carotte; Chl vert clair à vert sombre (50%)-Qtz (30%)-Cb(10%)-Hm(10%). Pas de contacts nets. Non minéralisée.</p> <p>- De 240.3 à 241.3m: Amas de Veines et veinules de Chl fortement hématisée (60%); Chl (50%)-Hm(35%)-Qtz(10%)-Cb(5%). Py en Tr minéralisée dans les veinules de Qtz-Cb.</p> <p>- A 246.1m: Veinule de Qtz-Cb chloritisée sur 2-10mm sur les bordures. Contacts plutôt nets et ondulés, concordants à 5°ac.</p> <p>- De 212.9 à 314.2m: Amas de veines de 1-5cm (20%), de Cb-Qtz-Chl et de fines vnl mm de Cb (50%). Les veines plus larges présentent de la chlorite vert sombre minéralisée en Py (grains &lt;1mm) à 5-8%, ce qui représente sur l'ensemble de l'intervalle &lt;1% de Py.</p> <p>- De 314.2 à 314.5m: Amas de veines (80%), de Hm(35%)-Cb(30%)-Qtz(25%)-Chl(10%). Contacts inf et sup peu francs, ondulants, concordants à 25°ac.</p> <p>- De 444.4 à 444.9: Veine de quartz-calcite- (tourmaline) à texture multi-injections bréchiques, aux contacts bréchiques (discordants ?), avec tr de Py idiomorphe mmtrique.</p> <p>- De 471.7 à 472.3: Veine de Quartz-calcite hématisée (rouge), 40% de l'intervalle; texture bréchique; enclaves fortement hématisées, avec tr de Py.</p> <p>Structures:</p> <p>- De 18.4 à 18.5m: intervalle de fracturation intense. Fragments de 1-3cm anguleux. Contact sup net à 45deg ac, hématisé.</p> <p>- De 21.0 à 21.5m: zone de fracturation moyenne à 40deg ac avec fractures nettes (fragments de 3-6cm) passant à une fracturation plus forte à 20deg</p>								

AC LB

Description	Analyse							
	De	À	Numéro	Longueur	Au_Final (g/t)	Ag_Final (ppm)	Cu_Final (ppm)	Zn_Final (ppm)
<p>ac avec des fragments anguleux de 1-3cm.</p> <p>- De 23.2 à 23.4m: passage fortement fracturé avec fragments anguleux de 1-5cm.</p> <p>- De 228.2 à 228.4m: zone de fracturation forte. Fragment anguleux de 1- 4cm. Fractures inf. et sup nettes, discordantes à 55°ac.</p> <p>- De 269.0 à 269.4m: Zone de fracturation forte. Fragments anguleux de 1-7cm. Fractures à 40-45°ac.</p> <p>- De 287.8 à 288.1m: zone de fracturation forte à environ 25°ac. De 287.8 à 287.95m, brèche hydraulique composée d'une matrice de Cb rose ou violet-Hm-Qtz-Chl et de fragments anguleux de 0.5-3cm de V2-V3 chloritisés et séricitisés. Les contacts fragment-matrice sont souvent fortement chloritisés.</p> <p>- De 441.0 à 441.2: Zone de fracturation moyenne 0-10 deg a/c.</p> <p>- De 471.9 à 472.3: Forte fracturation</p> <p>- De 476.4 à 476.6: Forte fracturation, grenaille.</p> <p>- De 477.4 à 477.6: Forte fracturation, grenaille.</p> <p>Altération:</p> <p>- De 15.0 à 33.6m: Si+, Chl moy, Pa moy, Ser-, Cb- dans fractures et pervasive, Hm en Tr en vnl et dans fractures.</p> <p>- De 33.6 à 37.3m: Si+, Chl moy en fines bandes mm ou en mouchetage dans bandes de Pa, Pa moy, Ser-, Cb- dans fractures et pervasive, Hm en Tr en vnl et dans fractures.</p> <p>- De 37.3 à 41.4m: Si+, Ser moy, Pa moy, Chl- en fines bandes mm ou en mouchetage dans bandes de Pa-Ser, Cb- en vnl mm discordantes, Hm- en fines vnl ou pervasive aux abords de vnl de Qtz-Cb et de fractures.</p> <p>- De 41.4 à 48.6m: Si+, Ser moy à localement Ser+, Pa moy, Cb moy, Hm moy, Chl- à localement Chl moy, Ep- à moy. Intervalle d'altération forte et très hétérogène présentant notamment une large veine de Qtz-Tm-Chl-Cb de 2m env.</p> <p>- De 48.6 à 52.1m: Si+, Ser moy, Chl moy, Pa-, Ep-,</p>								

MAUDORE MINERALS Ltd

AC LB

Description	Analyse							
	De	À	Numéro	Longueur	Au_Final (g/l)	Ag_Final (ppm)	Cu_Final (ppm)	Zn_Final (ppm)
<p>Hm en Tr localement fines vnl &lt;1mm disc.</p> <p>- De 52.1 à 69.6m: Si+, Pa moy à Pa-, Ser moy à Ser-, Chl- à Chl moy, Ep-, Cb-, Hm en Tr.</p> <p>- De 69.6 à 73.7m: Si+, Pa moy, Ser moy, Chl-, Hm moy, Ep- à localement Ep+, Cb-.</p> <p>- De 73.7 à 74.4m: Ser+, Ep+, Hm moy, Si moy, Cb- Intervalle bizarre! Allévation intense donnant une roche couleur vert pistache (Ep ou Ser?) à vert rougeâtre (hématisation). On note la présence d'un élément dm anguleux et de forme très irrégulière, difficilement identifiable (Intrusion, simple enclave ou bien gros clastes???)</p> <p>- De 74.4 à 78.3m: Ser+, Pa moy, Ep moy, Hm moy, Si moy, Cb-, Chl-.</p> <p>- De 78.3 à 93.5m: Si+, Chl-, Pa-, Ser-, Cb-, Hm- à localement Hm++ (à 92.5m), Ep en Tr.</p> <p>- De 93.5 à 100.0m: Si+, Chl-, Hm moy, Cb-, Pa en Tr, Ser en Tr.</p> <p>- De 100.0 à 110.1m: Si+, Chl moy, Hm-, Cb-, Pa en Tr, Ser en Tr.</p> <p>- De 110.1 à 110.4m: Si+, Chl+, Ser+, Cb+, Hm moy.</p> <p>- De 110.4 à 118.1m: Si+, Chl moy, Hm-, Cb-, Pa en Tr, Ser en Tr.</p> <p>- De 118.1 à 122.3m: Si+, Pa moy, Chl- à Chl moy, Cb-, Hm-, Ser-.</p> <p>- De 122.3 à 124.0m: Si+, Chl moy, Bt-, Ser-, Cb-, Hm-.</p> <p>- De 124.0 à 132.9m: Si+, Pa moy à Pa+, Ser-, Chl-, Cb en Tr.</p> <p>- De 132.9 à 145.2m: Si+, Pa moy, Chl- à Chl moy, Ser-, Hm-, Cb en Tr.</p> <p>- De 145.2 à 156.0m: Si+, Chl moy, Bt-, Pa-, Ser-, Cb en Tr en vnl.</p> <p>- De 156.0 à 168.4m: Si+, Chl moy, Pa- à Pa moy, Ser-, Hm-, Cb en Tr.</p> <p>- De 168.4 à 174.5m: Si+, Ser+, Pa moy, Chl-, Hm-, Cb en Tr.</p> <p>- De 174.5 à 176.4m: Si+, Chl moy, Ser-, Pa-, Cb en Tr.</p> <p>- De 176.4 à 179.0m: Si+, Hm+, Chl moy, Pa-, Cb en Tr.</p>								

AC LB

Description	Analyse							
	De	À	Numéro	Longueur	Au_Final (g/t)	Ag_Final (ppm)	Cu_Final (ppm)	Zn_Final (ppm)
<p>- De 179.0 à 194.9m: Si+, Chl moy, Bt-, Cb-, Hm-, Pa-, Ser-.</p> <p>- De 194.9 à 198.4m: Si+, Hm+, Ser moy, Chl-, Pa-, Cb- en vnl.</p> <p>- De 198.4 à 203.9m: Si+, Chl moy, Ser-, Hm-, Bl-, Cb-, Pa en Tr.</p> <p>- De 203.9 à 206.0m: Si+, Hm+, Ser moy, Chl-, Pa-, Cb- en vnl.</p> <p>- De 206.0 à 219.1m: Si+, pervasive, Chl moy en grains mm répartie de façon homogène dans la matrice, Cb- pervasive, Hm- en bandes pervasives ou vnl, Ser- en grains mm (effet moucheté).</p> <p>- De 219,1 à 225,1m: altération hétérogène, roche lessivée, Si+ pervasive, Ser moy, Hm moy pervasive ou en vnl, Chl- à Chl moy localement, Pa- en bandes ou clastes cm, Cb-.</p> <p>- De 225.1 à 229.2m: Si= pervasive, Chl moy en grains répartie de façon homogène dans la matrice, Pa moy, Ser- en vnl mm à cm, Hm- en vnl, Cb- en vnl et pervasive.</p> <p>- De 229.2 à 231.3m: Si+ pervasive, Chl+, Ser- en une veinule de 2cm, Cb- pervasive, Hm en Tr en vnl -</p> <p>- De 231.3 à 238.5m: Si+ pervasive, Ser moy en grains mm (effet moucheté), Chl- en grains mm répartie de façon homogène dans la matrice, Hm- pervasive sur tout l'intervalle ou vnl, Cb en Tr. Entre 237.8 et 238.5m, veinule de Ser-Qtz-Cb-Hm dans l'axe de la carotte.</p> <p>- De 238.5 à 254,5m: Si+ pervasive, Pa- à moy en bandes et clastes, Chl- à moy en en bandes ou en grains dans les bandes de Pa, Bt- en bandes, Hm en Tr en remplissage de fractures, Cb en Tr pervasive. Très localement, larges veinules de Qtz-Cb séricitisées (10-15%).</p> <p>- De 254.5 à 267.5m: Si+ pervasive, Chl moy en bandes ou en grains dans bandes Pa, Pa- en bandes d'altération, Ser- dans clastes cm ou associé à Hm, Hm en Tr en vnl mm, Cb en Tr dans vnl.</p> <p>- De 267.5 à 275.7m: Si+ pervasive, Chl moy, Pa- et Ser- en clastes cm, Hm- en vnl mm ou pervasive, Cb en Tr.</p>								

AC 13

Description	Analyse							
	Dé	À	Numéro	Longueur	Au_Final (g/t)	Ag_Final (ppm)	Cu_Final (ppm)	Zn_Final (ppm)
<p>- De 275.7 à 277.7m: Si+ pervasive, Chl+ en bandes et clastes, Pa- et Ser- en clastes et bandes mm, Cb en Tr.</p> <p>- De 277.7 à 280.8m: Si+ pervasive, Hm+ pervasive, Chl-, Cb- en vnl, Pa en Tr.</p> <p>- De 280.8 à 282.7m: Si+ pervasive, Ser moy en vnl et en grains mm répartis de façon homogène dans la matrice (effet moucheté), Chl moy, Hm- en vnl, Cb en vnl ou pervasive.</p> <p>- De 282.7 à 287.2m: Si+ pervasive, Ser+ en vn et vnl et en grains mm répartis de façon homogène dans la matrice (effet moucheté), Chl-, Pa-, Hm- en vnl, Cb en vnl ou pervasive.</p> <p>- De 287.2 à 290.9m: Si+ pervasive, Ser+ jaune-verdâtre en mouchetage. Chl moy, Cb-, Hm en Tr en fines vnl.</p> <p>- De 290.9 à 301.2m: Si+ pervasive, Ser moy en mouchetage plus discret et en vnl mm (disc. ondulantes ou parallèles à schistosité), Chl moy en bandes d'altération cm, Hm- pervasive autour des vnl de Cb-Qtz, Cb-. De part et d'autre du passage bréchifié à 288m, la roche est lessivée et présente plus de vnl de séricite.</p> <p>- De 301.2 à 306.4m: Si+ pervasive, Ser+ jaune-verdâtre en mouchetage (grains mm élargis) ou diffuse aux abords de vnl, Chl moy principalement en bandes, Cb- en vnl conc. mm à cm, Hm en Tr en fines vnl.</p> <p>- De 306.4 à 311.5m: Si+ pervasive, Chl moy, Bt-, Pa- en bandes et clastes, Cb- pervasive et en vnl mm, Hm- pervasive et en vnl mm, Ser en Tr</p> <p>- De 311.5 à 314.2m: Si+ pervasive et en vn et vnl de Qtz, Cb+ en bandes mm à cm, Chl+ en bandes mm à cm, Hm moy pervasive, Pa en Tr associée aux bandes de Cb.</p> <p>- De 314.5 à 315.9m: Si+ en vn et vnl ou pervasive, Hm+ pervasive sur l'ensemble de l'intervalle, Cb moy, Chl-, Pa-</p> <p>- De 315.9 à 320.4m: Si+ pervasive, Chl+, Cb+ à moy en fines bandes ou clastes cm, Hm- en vnl ou remplissage de fractures, Pa en Tr.</p>								

AC LG

Description	Analyse							
	De	À	Numéro	Longueur	Au_Final (g/t)	Ag_Final (ppm)	Cu_Final (ppm)	Zn_Final (ppm)
<p>- De 320.4 à 335.7 m: Si+ pervasive, Chl moy à Chl+ en alternance de bandes et clastes mm à cm, vert moyen à vert sombre, Cb moy en clastes, Pa-, Ser et Hm en Tr en vnl.</p> <p>- De 335.7 à 342.0m: Si+ pervasive, Chl moy en alternance de bandes et clastes mm à cm, vert moyen à vert sombre, Hm- pervasive et en remplissage de fractures, Cb- en clastes, Pa et Ser en Tr.</p> <p>- De 342.0 à 364.7m: Si+ pervasive, Chl moy en fines bandes mm, Pa moy en fines bandes mm, Cb- pervasive et en clastes étirés, Ser en Tr, Hm en Tr à très localement Hm moy en vnl.</p> <p>- De 364.7 à 372.3m: Si+ pervasive, Chl+, Ser moy en fines vnl ondulantes, Hm- en vnl, Cb- pervasive.</p> <p>- De 364.3 à 364.9m: Si+ pervasive, Hm+, Chl moy, Cb moy.</p> <p>- De 364.9 à 377.3m: Si+ pervasive, Chl moy et Pa moy en fines bandes et en clastes étirés cm, Hm- en vnl et pervasive, Cb- pervasive.</p> <p>- De 377.3 à 385.7m: Si+ pervasive, Chl+ en alternance de bandes de 3-6cm discordante avec la schistosité, de couleur vert moyen et vert sombre; Pa- en clastes et fines bandes, Cb et Hm en Tr.</p> <p>- De 385.7 à 395.2m: Si+ pervasive, Chl moy, Pa- à moy, Ser- en clastes, Cb-, Hm en Tr en vnl.</p> <p>- De 395.2 à 404.7m: Si+ pervasive, Chl+ en bandes et clastes, Hm- en vnl et pervasives (clastes), Pa- à en Tr, Cb-, Ser en Tr (sur 10cm fines vnl ondulantes).</p> <p>- De 404.7 à 418.1m: Silice moyenne pervasive, hématitisation diffuse faible et locale, faible épidotisation et calcitisation (couleur pâle), faiblement séricitisé et paragonite (mica blanc), magnétisme fort à moyen, chlorite faible.</p> <p>- De 418.1 à 464.4m: Silice moyenne, chloritisation moyenne dans la matrice à grain fin, hématitisation moyenne diffuse en taches et en veinules avec magnétisme fort et omniprésent, faible épidotisation, faible calcitisation.</p> <p>- De 464.4 à 478: Silice moyenne, chloritisation</p>								



AC UB

Description	Analyse							
	De	À	Numéro	Longueur	Au_Final (g/t)	Ag_Final (ppm)	Cu_Final (ppm)	Zn_Final (ppm)
<p>moyenne, hématisation forte en Vnl et pervasive, faible calcitisation</p> <p>Minéralisation:</p> <ul style="list-style-type: none"> <li>- De 23.9 à 406..m: globalement, Py en Tr. Py en Tr, plus localement petits intervalles présentant de la Py en Tr à 1%. Se présente sous forme de grains mm sub-automorphes à automorphes, de grains fins étirés selon la foliation &lt;1mm ou en amas cm, disséminée.</li> <li>- Quelques occurrences de Cpy en Tr: 32.9m, 38.7m?, 77.3m, 81.6m?, 92.7m.</li> <li>- De 145 à 155.7m: intervalle légèrement plus minéralisé avec &lt;1% de Py disséminée ou en fins grains étirés principalement dans les bandes et clastes biotitisés.</li> <li>- De 174.5-176.7m: 1% de Py en grains sub-automorphes à automorphes &lt;1mm à 3mm (90%), regroupés en amas de grains ou en alignements de grains; disséminée (10%).</li> <li>- De 238.5 à 239.7m: 1% de Py en grains &lt;1mm isolés +/- étirés selon la foliation.</li> <li>- De 278.5 à 280.8m: 1% de Py disséminée.</li> <li>- De 312.9 à 315.9m: Py en Tr à 1%, en fins grains &lt;&lt;1mm disséminée ou associée à la chlorite dans les vn et vnl, ou alignés le long de vnl de Hm.</li> <li>- De 406.5 à 409.1: tr Py dans intervalle d'injection de brèche de quartz et calcite.</li> <li>- De 409.1 à 410.5: tr-1% Py en petits grains automorphes disséminés</li> <li>- De 410.5 à 415.0: Py Ir en grains finement disséminés</li> <li>- De 434 à 435: Py Ir en grains finement disséminés</li> <li>- De 471.1 à 478: Py tr localement 0.5% en grains disséminés ou associés à Vn de Qz</li> </ul> <p>Contact inf, inconnu</p> <p>Exceptés:</p> <ul style="list-style-type: none"> <li>- 75.2-76.9m : I3E</li> <li>- 107.9-110.0m: I3 FIN</li> </ul>								

MAUDORE MINERALS Ltd

AC LB

Description			Analyse							
			De	À	Numéro	Longueur	Au_Final (g/l)	Ag_Final (ppm)	Cu_Final (ppm)	Zn_Final (ppm)
15.00	33.60	- 145.5-146.0m: I3 FIN - 191.3-191.9m: I3 FIN - 393.7-394.4m: I3 FIN - 428-428.3m: I3 FIN SIL+; Chl; PA; SR-; CB-; HMen Tr Silicification forte; Chloritisation; Paragonite; Séricitisation faible; Carbonatation faible; Hématitisation en Tr - De 15.0 à 33.6m: Si+, Chl moy, Pa moy, Ser-, Cb- dans fractures et pervasive, Hm en Tr en vnl et dans fractures.								
18.40	18.50	FRC+ Fracturation forte 45° - De 18.4 à 18.5m: intervalle de fracturation intense. Fragments de 1-3cm anguleux. Contact sup net à 45deg ac, hématisé.	19.50	20.00	P151473	0.50	0.002	0.20	34.0	63.0
			20.00	21.50	P297158	1.50	0.005	0.10	36.0	69.0
21.00	21.50	FRC Fracturé(e) 40° - De 21.0 à 21.5m: zone de fracturation moyenne à 40deg ac avec fractures nettes (fragments de 3-6cm) passant à une fracturation plus forte à 20deg ac avec des fragments anguleux de 1-3cm.	21.50	22.70	P297160	1.20	0.005	0.10	36.0	68.0
			22.70	23.90	P297161	1.20	0.005	0.10	41.0	70.0
23.20	23.40	FRC+ Fracturation forte - De 23.2 à 23.4m: passage fortement fracturé avec fragments anguleux de 1-5cm.	23.90	25.40	P297162	1.50	0.005	0.10	39.5	68.0
			25.40	26.90	P297163	1.50	0.005	0.10	44.0	73.0
			26.90	28.40	P297164	1.50	0.005	0.10	37.0	69.0
			28.40	29.00	P297165	0.60	0.020	0.10	112.0	67.0
			29.00	30.50	P297167	1.50	0.005	0.10	46.0	80.0
			30.50	32.00	P297168	1.50	0.005	0.10	41.0	75.0
			32.00	32.70	P297169	0.70	0.005	0.20	41.0	73.0
			32.70	33.20	P297170	0.50	0.005	0.10	37.0	64.0
33.60	37.30	SIL+; Chl; PA; SR-; CB-; HMen Tr	33.20	34.50	P297172	1.30	0.005	0.10	49.0	68.0
			34.50	36.00	P297173	1.50	0.005	0.10	38.0	61.0

MAUDORE MINERALS Ltd

AC LB

Description		Analyse								
		De	À	Numéro	Longueur	Au_Final (g/t)	Ag_Final (ppm)	Cu_Final (ppm)	Zn_Final (ppm)	
		Silicification forte; Chloritisation;	36.00	37.10	P297174	1.10	0.005	0.10	41.0	62.0
		Paragonite; Séricitisation faible; Carbonatation faible; Hématisation en Tr - De 33.6 à 37.3m: Si+, Chl moy en fines bandes mm ou en mouchetage dans bandes de Pa, Pa moy, Ser-, Cb- dans fractures et pervasive, Hm en Tr en vnl et dans fractures.	37.10	38.50	P297175	1.40	0.005	0.10	40.5	60.5
37.30	41.40	SIL+; SR; PA; Chl-; Chl-; HM-	38.50	39.00	P297176	0.50	0.005	0.10	39.0	60.0
		Silicification forte; Séricitisation;	39.00	40.00	P297177	1.00	0.005	0.10	44.0	62.0
		Paragonite; Chloritisation faible; Chloritisation faible; Hématisation faible - De 37.3 à 41.4m: Si+, Ser moy, Pa moy, Chl- en fines bandes mm ou en mouchetage dans bandes de Pa-Ser, Cb- en vnl mm discordantes, Hm- eb fines vnl ou pervasive aux abords de vnl de Qtz-Cb et de fractures.	40.00	41.50	P297178	1.50	0.005	0.10	37.0	58.0
41.40	48.60	SIL+; SR; PA; HM; Chl-; EP-	41.50	43.00	P297179	1.50	0.005	0.10	36.0	62.0
		Silicification forte; Séricitisation;	43.00	44.40	P297181	1.40	0.005	0.10	38.0	66.0
		Paragonite; Hématisation;	44.40	45.50	P297182	1.10	0.005	0.10	45.0	64.0
		Chloritisation faible; Épidotisation faible - De 41.4 à 48.6m: Si+, Ser moy à localement Ser+, Pa moy, Cb moy, Hm moy, Chl- à localement Chl moy, Ep- à moy. Intervalle d'altération forte et très hétérogène présentant notamment une large veine de Qtz-Tm-Chl-Cb de 2m env.	45.50	46.80	P297183	1.30	0.005	0.20	11.0	10.0
45.60	47.70	VEI::Qz TI Cb Hm::;Py1-2%;	46.80	47.70	P297185	0.90	0.005	0.10	41.0	11.0
		Veine Quartz Tourmaline	47.70	48.20	P297186	0.50	0.005	0.10	40.0	51.0
		Carbonate Hématite Pyrite 1-2% - De 45.6 à 47.7m: Veines de Qtz (30%) - TI (25%) - Cb (10%) - Chl (3-4%) - Hm (1% dans fractures). Passage	48.20	49.50	P297188	1.30	0.005	0.10	36.0	59.0

MAUDORE MINERALS Ltd

AL LB

Description		Analyse								
		De	À	Numéro	Longueur	Au_Final (g/l)	Ag_Final (ppm)	Cu_Final (ppm)	Zn_Final (ppm)	
48.60	52.10	pegmatitique jaune-orangé de 46.5 à 46.9m. Globalement, intervalle plus fracturé. Contacts sup et inf peu nets mais très irréguliers. Min: Py à 1-2% SIL+; SR; Chl; PA-; EP-; HMen Tr Silicification forte; Séricitisation; Chloritisation; Paragonite faible; Épidotisation faible; Hématitisation en Tr - De 48,6 à 52,1m: Si+, Ser moy, Chl moy, Pa-, Ep-, Hm en Tr localement fines vni <1mm disc.	49.50	50.00	P151474	0.50	0.002	0.10	37.0	51.0
			50.00	51.50	P297189	1.50	0.005	0.10	39.0	53.0
			51.50	52.50	P297190	1.00	0.005	0.10	35.0	52.0
52.10	69.60	SIL+; PA; SR; Chl-; EP-; CB-; HMen Tr Silicification forte; Paragonite; Séricitisation; Chloritisation faible; Épidotisation faible; Carbonatation faible; Hématitisation en Tr - De 52,1 à 69,6m: Si+, Pa moy à Pa-, Ser moy à Ser-, Chl- à Chl moy, Ep-, Cb-, Hm en Tr.	52.50	53.50	P297191	1.00	0.005	0.10	38.0	55.0
			53.50	55.00	P297192	1.50	0.005	0.10	34.0	57.0
			55.00	56.50	P297193	1.50	0.005	0.10	39.0	61.0
			56.50	58.00	P297194	1.50	0.005	0.10	36.0	55.5
			58.00	59.50	P297195	1.50	0.010	0.10	36.0	53.0
			59.50	61.00	P297196	1.50	0.005	0.10	39.0	56.0
			61.00	62.30	P297197	1.30	0.005	0.10	35.0	51.0
			62.30	62.80	P297198	0.50	0.005	0.10	24.0	41.0
			62.80	64.00	P297199	1.20	0.005	0.10	33.0	48.0
			64.00	65.50	P297200	1.50	0.005	0.10	43.0	57.0
			65.50	67.00	P297201	1.50	0.005	0.10	38.0	57.0
			67.00	68.50	P297202	1.50	0.005	0.10	36.0	59.0
			68.50	70.00	P297203	1.50	0.005	0.10	40.0	54.0
69.60	73.70	SIL+; PA; SR; Chl-; EP-; CB- Silicification forte; Paragonite; Séricitisation; Chloritisation faible; Épidotisation faible; Carbonatation faible - De 69,6 à 73,7m: Si+, Pa moy, Ser moy, Chl-, Hm moy, Ep- à localement Ep+, Cb-.	70.00	71.50	P297204	1.50	0.005	0.10	32.0	59.0
			71.50	73.00	P297205	1.50	0.005	0.10	44.0	52.0
			73.00	73.90	P297206	0.90	0.005	0.10	43.0	54.0
73.70	74.40	SR+; EP+; HM; SIL; CB- Séricitisation forte; Épidotisation	73.90	74.40	P151475	0.50	0.002	0.10	23.0	44.0

MAUDORE MINERALS Ltd

AC LB

Description		Analyse								
		De	À	Numéro	Longueur	Au_Final (g/t)	Ag_Final (ppm)	Cu_Final (ppm)	Zn_Final (ppm)	
74.40	78.30	SR+; PA; EP; HM; SIL; CB-; Chl- <b>Séricitisation forte; Paragonite;</b> <b>Épidotisation; Hématitisation;</b> <b>Silicification; Carbonatitisation</b> <b>faible; Chlorititisation faible</b> - De 74.4 à 78.3m: Ser+, Pa moy, Ep moy, Hm moy, Si moy, Cb-, Chl-  Excepté: 75.2-76.9m: I3E	74.40	75.20	P297208	0.80	0.005	0.10	33.0	41.0
75.20	76.90	I3E <b>Gabbro à quartz</b> Roche intrusive mafique, massive de couleur gris sombre. Matrice à grains fins. Présence de quelques rares qtz bleus sub-arrondis, de 2-3mm (<1%). Léger mouchetage gris clair dû à la carbonatitisation. Alt: Si+, Cb- Min: <1% de Py en grains mm anguleux et disséminée.  Non magnétique Contact sup net dans fractures à 90deg ac. Contact inf net à 55deg ac marqué par une veine de Qtz de 4cm.	76.80	77.50	P297209	0.70	0.005	0.10	31.0	51.0
			77.50	78.00	P297210	0.50	0.005	0.10	193.0	54.0
			78.00	79.50	P297212	1.50	0.005	0.10	38.0	48.0

MAUDORE MINERALS Ltd

AC LB

Description			Analyse										
			De	À	Numéro	Longueur	Au_Final (g/t)	Ag_Final (ppm)	Cu_Final (ppm)	Zn_Final (ppm)			
78.30	93.50	SIL+; Chl-; PA-; SR-; CB-; HMen Tr; EPen Tr Silicification forte; Chloritisation faible; Paragonite faible; Séricitisation faible; Carbonatation faible; Hématisation en Tr; Epidotisation en Tr - De 78.3 à 93.5m: Si+, Chl-, Pa-, Ser-, Cb-, Hm- à localement Hm++ (à 92.5m), Ep en Tr.	79.50	80.50	P297213	1.00	0.010	0.10	37.0	54.0			
			80.50	81.40	P297214	0.90	0.005	0.10	44.0	55.0			
			81.40	81.90	P297215	0.50	0.005	0.10	30.0	47.0			
			81.90	83.40	P297217	1.50	0.005	0.10	35.0	46.0			
			83.40	84.90	P297218	1.50	0.005	0.10	36.0	46.0			
			84.90	86.30	P297219	1.40	0.010	0.10	38.0	49.0			
			86.30	86.80	P297220	0.50	0.005	0.10	36.0	50.0			
			86.80	88.10	P297221	1.30	0.005	0.10	39.0	49.0			
			88.10	89.60	P297222	1.50	0.005	0.10	36.0	53.0			
			89.60	91.10	P297223	1.50	0.005	0.10	40.0	64.0			
			91.10	92.50	P297224	1.40	0.005	0.10	38.0	65.0			
			92.50	93.00	P297225	0.50	0.005	0.10	102.0	89.5			
			93.00	94.40	P297226	1.40	0.005	0.10	90.0	93.0			
			93.50	100.00	SIL+; HM; Chl-; CB-; PAen Tr; SREN Tr Silicification forte; Hématisation; Chloritisation faible; Carbonatation faible; Paragonite en Tr; Séricitisation en Tr - De 93.5 à 100.0m: Si+, Chl-, Hm moy., Cb-, Pa en Tr, Ser en Tr. - De 100.0 à 110.1m: Si+, Chl moy, Hm-, Cb-, Pa en Tr, Ser en Tr. - De 110.1 à 110.4m: Si+, Chl+, Ser+, Cb+, Hm moy. - De 110.4 à 118.1m: Si+, Chl moy, Hm-, Cb-, Pa en Tr, Ser en Tr.	94.40	94.90	P297227	0.50	0.005	0.10	65.0	69.0
						94.90	96.40	P297228	1.50	0.005	0.10	35.0	68.0
96.40	97.90	P297229				1.50	0.005	0.10	39.0	59.0			
97.90	99.40	P297230				1.50	0.005	0.10	38.0	60.0			
99.40	100.90	P297231				1.50	0.005	0.10	41.0	56.0			
100.00	110.10	SIL+; Chl; HM-; CB-; PA en Tr; SR en Tr Silicification forte; Chloritisation; Hématisation faible; Carbonatation faible; Paragonite en Tr; Séricitisation en Tr - De 100.0 à 110.1m: Si+, Chl moy, Hm-, Cb-, Pa en Tr, Ser en Tr.  Excepté: 107.9-110.0m: I3 FIN				100.90	102.40	P297232	1.50	0.005	0.10	41.0	52.0
			102.40	103.90	P297234	1.50	0.005	0.10	34.0	54.0			
			103.90	105.40	P297235	1.50	0.005	0.10	36.0	63.0			
			105.40	106.40	P297237	1.00	0.005	0.10	38.0	58.0			
			106.40	106.90	P297238	0.50	0.005	0.10	35.0	53.0			
			106.90	107.40	P151485	0.50	0.002	0.10	36.0	64.0			
			107.40	108.00	P297239	0.60	0.005	0.10	25.0	96.0			
107.90	110.00	I3; FIN Intrusion mafique 90°; Grains fins 90°											

Description		Analyse							
		De	À	Numéro	Longueur	Au_Final (g/t)	Ag_Final (ppm)	Cu_Final (ppm)	Zn_Final (ppm)
	<p>Roche intrusive mafique, massive de couleur gris sombre.</p> <p>Matrice à grains fins.</p> <p>Carbonatation intense, pervasive.</p> <p>Alt: Cb+, Hm-</p> <p>Min: Py en Tr disséminée.</p> <p>Magnétisme moyen.</p> <p>Contact sup et inf nets à 90deg ac, marqués par des fractures et bordés par 2 veines de Qtz de 7 et 5cm.</p>								
109.10	<p>109.50 VEI; CI Sr Oz Cc;;; Veine Chlorite Séricite Quartz Calcite</p> <p>- De 109.1 à 109.5m: Veine de Chl (40%)</p> <p>- Ser (30%) - Qtz (15%) - Cb rose (15%). Alt: Si+, Hm-. Contacts sup et inf nets à 55°ac disc. et 35°ac conc.</p>	110.00	110.50	P297240	0.50	0.005	0.10	9.0	52.0
110.10	<p>110.40 SIL+; Chl+; SR+; CB+; HM</p> <p>Silicification forte; Chloritisation forte; Séricitisation forte; Carbonatation forte; Hématitisation</p> <p>- De 110.1 à 110.4m: Si+, Chl+, Ser+, Cb+, Hm moy.</p>								
110.40	<p>118.10 SIL+; Chl; HM-; CB-; PA en Tr; SR en Tr</p> <p>Silicification forte; Chloritisation; Hématitisation faible; Carbonatation faible; Paragonite en Tr; Séricitisation en Tr</p> <p>- De 110.4 à 118.1m: Si+, Chl moy, Hm-, Cb-, Pa en Tr, Ser en Tr.</p>	110.50	112.00	P297242	1.50	0.005	0.10	33.0	75.0
		112.00	113.50	P297243	1.50	0.005	0.10	38.0	56.0
		113.50	115.00	P297244	1.50	0.005	0.10	32.0	45.0
		115.00	116.50	P297245	1.50	0.005	0.10	34.0	50.0
		116.50	118.00	P297246	1.50	0.005	0.10	37.0	50.0
118.10	<p>122.30 SIL+; PA; Chl-; CB-; HM-; SR-</p> <p>Silicification forte; Paragonite; Chloritisation faible; Carbonatation faible; Hématitisation faible; Séricitisation faible</p> <p>- De 118.1 à 122.3m: Si+, Pa moy, Chl- à</p>	118.00	119.50	P297247	1.50	0.005	0.10	36.0	59.0
		119.50	121.00	P297248	1.50	0.005	0.10	36.0	53.0
		121.00	122.50	P297249	1.50	0.005	0.10	36.0	56.0

MAUDORE MINERALS Ltd

AL 13

Description			Analyse								
			De	À	Numéro	Longueur	Au_Final (g/t)	Ag_Final (ppm)	Cu_Final (ppm)	Zn_Final (ppm)	
		Chl moy, Cb-, Hm-, Ser-									
122.30	124.00	SIL+; Chl; BO-; SR-; CB-; HM- Silicification forte; Chloritisation; Biotisation faible; Séricitisation faible; Carbonatation faible; Hématitisation faible - De 122.3 à 124.0m: Si+, Chl moy, Bl-, Ser-, Cb-, Hm-	122.50	124.00	P297250	1.50	0.005	0.10	25.0	58.5	
124.00	132.90	SIL+; PA à Pa+; SR-; Chl-; Chl+ en Tr Silicification forte; Paragonite à Pa+; Séricitisation faible; Chloritisation faible; Chloritisation forte en Tr - De 124.0 à 132.9m: Si+ , Pa moy à Pa+, Ser-, Chl-, Cb en Tr.	124.00	125.50	P297251	1.50	0.005	0.10	39.0	46.0	
			125.50	127.00	P297252	1.50	0.005	0.10	35.0	42.0	
			127.00	128.50	P297253	1.50	0.005	0.10	40.0	50.0	
			128.50	130.00	P297254	1.50	0.005	0.10	41.0	48.0	
			130.00	131.50	P297256	1.50	0.005	0.10	40.0	54.0	
			131.50	133.00	P297257	1.50	0.005	0.10	34.0	46.0	
132.90	145.20	SIL+; PA; Chl-; SR-; HM-; CB en Tr Silicification forte; Paragonite; Chloritisation faible; Séricitisation faible; Hématitisation faible; Carbonatation en Tr - De 132.9 à 145.2m: Si+, Pa moy, Chl- à Chl moy, Ser-, Hm-, Cb en Tr.	133.00	134.50	P297258	1.50	0.005	0.10	37.0	42.0	
			134.50	136.00	P297259	1.50	0.005	0.10	38.0	52.0	
			136.00	137.00	P297260	1.00	0.005	0.10	39.0	51.0	
			137.00	137.50	P151486	0.50	0.002	0.20	44.0	56.0	
			137.50	139.00	P297261	1.50	0.005	0.10	38.0	47.0	
			139.00	140.50	P297263	1.50	0.005	0.10	45.0	51.0	
			140.50	142.00	P297264	1.50	0.005	0.10	37.0	42.0	
			142.00	143.50	P297265	1.50	0.005	0.10	38.0	49.0	
			143.50	145.00	P297266	1.50	0.005	0.20	40.0	48.0	
145.00	155.70	Py<1% Pyrite <1% - De 145 à 155.7m: intervalle légèrement plus minéralisé avec <1% de Py disséminée ou en fins grains étirés principalement dans les bandes et clastes biotitisés.	145.00	146.50	P297267	1.50	0.005	0.10	48.0	55.0	
145.20	156.00	SIL+; Chl; BO-; PA-; SR-; CB en Tr Silicification forte; Chloritisation; Biotisation faible; Paragonite faible; Séricitisation faible;									



MAUDORE MINERALS Ltd

AC 18

Description		Analyse									
		Dé	À	Numéro	Longueur	Au_Final (g/t)	Ag_Final (ppm)	Cu_Final (ppm)	Zn_Final (ppm)		
145.50	146.00	Carbonatation en Tr - De 145.2 à 156.0m: Si+, Chl moy, Bt-, Pa-, Ser-, Cb en Tr en vnl.  Excepté: 145.5-146.0m: I3 FIN									
		I3; FIN	146.50	148.00	P297268	1.50	0.005	0.10	36.0	50.0	
		Intrusion mafique 50*; Grains fins 50*	148.00	149.50	P297269	1.50	0.005	0.10	38.0	48.0	
		Roche intrusive mafique, massive de couleur gris sombre, verdâtre.	149.50	151.00	P297270	1.50	0.005	0.10	31.0	46.0	
		Matrice à grains fins.	151.00	152.50	P297271	1.50	0.005	0.10	39.0	52.0	
		Carbonatation intense, pervasive et en remplissage de fractures.	152.50	154.00	P297272	1.50	0.005	0.10	30.0	40.0	
		Alt: Cb+, Chl-, Hm en tr	154.00	155.50	P297274	1.50	0.005	0.10	41.0	49.0	
		Min: <1% de Py disséminée.	155.50	157.00	P297275	1.50	0.005	0.10	36.0	44.0	
		Non magnétique.									
		Contact sup et inf nets à 50deg ac, marqués par des fractures et bordés par 2 veines de Qtz de 7 et 5cm.									
156.00	168.40	SIL+; Chl; PA; SR-; HM-; CB en Tr		157.00	158.50	P297276	1.50	0.010	0.10	33.0	48.0
		Silicification forte; Chloritisation;	158.50	160.00	P297277	1.50	0.005	0.10	39.0	49.0	
		Paragonite; Séricitisation faible;	160.00	161.50	P297278	1.50	0.005	0.10	35.0	52.0	
		Hématitisation faible;	161.50	163.00	P297279	1.50	0.005	0.10	36.0	44.0	
		Carbonatation en Tr	163.00	164.50	P297281	1.50	0.005	0.10	38.0	41.0	
		- De 156.0 à 168.4m: Si+, Chl moy, Pa- à Pa moy, Ser-, Hm-, Cb en Tr.	164.50	166.00	P297282	1.50	0.010	0.10	43.0	43.0	
			166.00	166.50	P151487	0.50	0.002	0.10	35.0	36.0	
			166.50	167.50	P297283	1.00	0.005	0.10	36.0	39.0	
168.40	174.50	SIL+; SR+; PA; Chl-; HM-; CB en Tr		169.00	170.50	P297286	1.50	0.005	0.10	40.0	50.5
		Silicification forte; Séricitisation forte; Paragonite; Chloritisation faible; Hématitisation faible;	170.50	172.00	P297287	1.50	0.005	0.10	36.0	58.0	
			172.00	173.20	P297288	1.20	0.005	0.10	34.0	67.0	
		Carbonatation en Tr	173.20	174.40	P297289	1.20	0.005	0.10	37.0	53.0	
		- De 168.4 à 174.5m: Si+, Ser+, Pa moy, Chl-, Hm-, Cb en Tr.	174.40	175.80	P297290	1.40	0.005	0.10	40.0	54.0	
174.50	176.40	SIL+; Chl; SR-; PA-; CB en Tr Silicification forte; Chloritisation;									

MAUDORE MINERALS Ltd

AL 13

Description			Analyse							
			De	À	Numéro	Longueur	Au_Final (g/t)	Ag_Final (ppm)	Cu_Final (ppm)	Zn_Final (ppm)
174.50	176.70	Py01 <b>Pyrite 1%</b> - De 174.5-176.7m: 1% de Py en grains sub-automorphes à automorphes <1mm à 3mm (90%), regroupés en amas de grains ou en alignements de grains; disséminée (10%).	175.80	176.70	P297291	0.90	0.005	0.10	45.0	40.0
176.40	179.00	SIL+; HM+; Chl; PA-; CB en Tr <b>Silicification forte; Hématitisation forte; Chloritisation; Paragonite faible; Carbonatation en Tr</b> - De 176.4 à 179.0m: Si+, Hm+, Chl moy, Pa-, Cb en Tr.	176.70	178.20	P297293	1.50	0.005	0.10	37.0	56.0
179.00	194.90	SIL+; Chl; BO-; CB-; HM-; PA-; SR- <b>Silicification forte; Chloritisation; Biotitisation faible; Carbonatation faible; Hématitisation faible; Paragonite faible; Séricitisation faible</b> - De 179.0 à 194.9m: Si+, Chl moy, Bl-, Cb-, Hm-, Pa-, Ser-, Excepté: 191.3-191.9m: I3 FIN	182.50	184.00	P297294	1.50	0.005	0.10	39.0	44.0
			184.00	185.50	P297295	1.50	0.005	0.10	35.0	50.0
			185.50	186.00	P297296	0.50	0.010	0.10	51.0	50.0
			186.00	187.50	P297297	1.50	0.005	0.10	43.0	48.0
			187.50	188.20	P297298	0.70	0.005	0.10	41.0	45.0
			188.20	189.70	P297299	1.50	0.005	0.10	43.0	45.0
			189.70	191.10	P297300	1.40	0.005	0.10	36.0	48.5
190.60	190.70	VEI;;55*;Py en Tr; <b>Veine Quartz 55* Pyrite en Tr</b> - De 190.6 à 190.7m: Veine de Qtz avec 10% de Chlorite. Hématitisation le long des fractures. Min: Py en Tr sur les épontes. Contacts sup et inf nets, discordants à 55' ac.								
191.30	191.90	I3; FIN <b>Intrusion mafique; Grains fins</b>	194.50	196.00	P297301	1.50	0.005	0.10	44.0	58.0

Description		Analyse								
		De	À	Numéro	Longueur	Au_Final (g/t)	Ag_Final (ppm)	Cu_Final (ppm)	Zn_Final (ppm)	
<p>Roche intrusive mafique, massive de couleur gris sombre, verdâtre et rougeâtre. Matrice à grains fins. Alt: Hm++ pervasive et en vnl associée avec du Qtz, Chl-, Cb en Tr. Min: &lt;1% de Py disséminée.</p> <p>Non magnétique. Contact sup net marqué par une fracture, concordante à 25°ac, contact inf net également marqué par une fracture concordante à 45° ac.</p>										
194.90	198.40	SIL+; HM+; SR; Chl-; PA-; CB- Silicification forte; Hématisation forte; Séricitisation; Chloritisation faible; Paragonite faible; Carbonatation faible - De 194.9 à 198.4m: Si+, Hm+, Ser moy, Chl-, Pa-, Cb- en vnl.	196.00	196.50	P151497	0.50	0.002	0.10	24.0	58.0
			196.50	198.00	P297302	1.50	0.010	0.10	45.0	60.0
198.40	203.90	SIL+; Chl; SR-; HM-; BO-; CB-; PA en Tr Silicification forte; Chloritisation; Séricitisation faible; Hématisation faible; Blotisation faible; Carbonatation faible; Paragonite en Tr - De 198.4 à 203.9m: Si+, Chl moy, Ser-, Hm-, Bl-, Cb-, Pa en Tr.								
203.90	206.00	SIL+; HM+; SR; Chl-; PA-; CB- Silicification forte; Hématisation forte; Séricitisation; Chloritisation faible; Paragonite faible; Carbonatation faible - De 203.9 à 206.0m: Si+, Hm+, Ser moy, Chl-, Pa-, Cb- en vnl.								
206.00	219.10	SIL+; Chl; Chl+; HM- Silicification forte; Chloritisation; Chloritisation forte; Hématisation faible	209.00	210.50	P297303	1.50	0.005	0.10	44.0	85.0
			210.50	211.80	P297304	1.30	0.010	0.10	38.0	70.0
			211.80	213.30	P297306	1.50	0.008	0.10	37.0	79.5
			213.30	214.80	P297307	1.50	0.010	0.10	36.0	65.0

Description		Analyse								
		De	À	Numéro	Longueur	Au_Final (g/t)	Ag_Final (ppm)	Cu_Final (ppm)	Zn_Final (ppm)	
219.10	225.10	- De 206.0 à 219.1m: Si+, pervasive, Chl moy en grains mm répartie de façon homogène dans la matrice, Cb-pervasive, Hm- en bandes pervasives ou vnl, Ser- en grains mm (effet moucheté). SIL+; SR; HM; Chl-; PA-; CB- <b>Silicification forte; Séricitisation; Hématitisation; Chloritisation faible; Paragonite faible; Carbonatation faible</b>	224.50	226.00	P297308	1.50	0.005	0.20	38.0	58.0
225.10	229.20	- De 219,1 à 225.1m: altération hétérogène, roche lessivée. Si+ pervasive, Ser moy, Hm moy pervasive ou en vnl, Chl- à Chl moy localement, Pa- en bandes ou clastes cm, Cb-. SIL+; Chl; PA; SR-; HM-; CB- <b>Silicification forte; Chloritisation; Paragonite; Séricitisation faible; Hématitisation faible; Carbonatation faible</b>	226.00	226.50	P151498	0.50	0.002	0.10	37.0	48.0
			226.50	228.00	P297309	1.50	0.008	0.10	50.0	56.0
228.20	228.40	- De 225.1 à 229.2m: Si= pervasive, Chl moy en grains répartie de façon homogène dans la matrice, Pa moy, Ser- en vnl mm à cm, Hm- en vnl, Cb- en vnl et pervasive. FRC+; FAI <b>Fracturation forte; Faille</b>								
229.20	231.30	- De 228.2 à 228.4m: zone de fracturation forte (Faille?). Fragment anuleux de 1- 4cm. Fractures inf et sup nettes, discordantes à 55°ac. SIL+; Chl+; SR-; CB-; HM en Tr <b>Silicification forte; Chloritisation forte; Séricitisation faible; Carbonatation faible; Hématitisation en Tr</b>								

Description		Analyse								
		De	À	Numéro	Longueur	Au_Final (g/t)	Ag_Final (ppm)	Cu_Final (ppm)	Zn_Final (ppm)	
231.30	238.50	- De 229.2 à 231.3m: Si+ pervasive, Chl+, Ser- en une veinule de 2cm, Cb- pervasive, Hm en Tr en vnl SIL+; SR; Chl-; HM-; CB en Tr <b>Silicification forte; Séricitisation; Chloritisation faible; Hématitisation faible; Carbonatation en Tr</b> - De 231.3 à 238.5m: Si+ pervasive, Ser moy en grains mm (effet moucheté), Chl- en grains mm répartie de façon homogène dans la matrice, Hm- pervasive sur tout l'intervalle ou vnl, Cb en Tr. Entre 237.8 et 238.5m, veinule de Ser-Qtz-Cb-Hm dans l'axe de la carotte. VEI;70%;Cl Qz Cc Hm;;	237.00	238.50	P297310	1.50	0.005	0.20	28.0	45.0
237.80	238.50	<b>Veine 70% Chlorite Quartz Calcite Hématite</b> - De 237.8 à 238.5m: Veine et veinules d'altération de part et d'autre d'une fracture (238.4m), dans l'axe de la carotte: Chl vert clair à vert sombre (50%)-Qtz (30%)-Cb(10%)-Hm(10%). Pas de contacts nets. Non minéralisée.								
238.50	254.50	SIL+; PA - à moy; Chl; Chl- à moy; BO-; HM en Tr <b>Silicification forte; Paragonite - à moy; Chloritisation; Chloritisation - à moy; Blotisation faible; Hématitisation en Tr</b> - De 238.5 à 254,5m: Si+ pervasive, Pa- à moy en bandes et clastes, Chl- à moy en en bandes ou en grains dans les bandes de Pa, Bt- en bandes, Hm en Tr en remplissage de fractures, Cb en Tr pervasive. Très localement, larges veinules de Qtz-Cb séricitisées (10-15%).	238.50	239.70	P297311	1.20	0.005	0.30	70.0	71.0
			239.70	241.20	P297313	1.50	0.005	0.10	27.0	48.0
238.50	239.70	Py01 <b>Pyrite 1%</b>								

MAUDORE MINERALS Ltd

AC 13

Description		Analyse							
		De	À	Numéro	Longueur	Au_Final (g/t)	Ag_Final (ppm)	Cu_Final (ppm)	Zn_Final (ppm)
	- De 238.5 à 239.7m: 1% de Py en grains <1mm isolés +/- étirés selon la foliation.  Excepté: - 145.5-146m: I3 FIN								
240.30	241.30	244.40	245.90	P297314	1.50	0.005	0.10	38.0	63.0
	Amas 60% Chlorite Hématite	245.90	246.40	P297315	0.50	0.005	0.10	46.0	61.0
	Quartz Carbonate Pyrite en Tr	246.40	247.90	P297316	1.50	0.005	0.10	33.0	57.0
	- De 240.3 à 241.3m: Amas de Veines et veinules de Chl fortement hématisée (60%); Chl (50%)-Hm(35%)-Qtz(10%)-Cb(5%). Py en Tr minéralisée dans les veinules de Qtz-Cb.								
254.50	267.50	255.00	256.00	P297317	1.00	0.005	0.10	35.0	57.0
	SIL+; Chl; PA-; SR-; HM en Tr ; CB en Tr	256.00	256.50	P151511	0.50	0.002	0.10	34.0	51.0
	Silicification forte; Chloritisation; Paragonite faible; Séricitisation	256.50	258.00	P297318	1.50	0.005	0.10	41.0	54.0
	faible; Hématisation en Tr ; Carbonatation en Tr	267.20	268.70	P297319	1.50	0.005	0.10	46.0	60.0
	- De 254.5 à 267.5m: Si+ pervasive, Chl moy en bandes ou en grains dans bandes Pa, Pa- en bandes d'altération, Ser- dans clastes cm ou associé à Hm, Hm en Tr en vnl mm, Cb en Tr dans vnl.								
267.50	275.70	268.70	270.20	P297320	1.50	0.005	0.10	35.0	61.0
	SIL+; Chl; PA-; SR-; HM-; CB en Tr								
	Silicification forte; Chloritisation; Paragonite faible; Séricitisation								
	faible; Hématisation faible; Carbonatation en Tr								
	- De 267.5 à 275.7m: Si+ pervasive, Chl moy, Pa- et Ser- en clastes cm, Hm- en vnl mm ou pervasive, Cb en Tr.								
269.00	269.40	270.20	270.70	P297321	0.50	0.005	0.10	35.0	50.0
	FRC+	270.70	272.20	P297323	1.50	0.005	0.10	38.0	46.0
	Fracturation forte 40°								
	- De 269.0 à 269.4m: Zone de fracturation forte. Fragments anguleux de 1-7cm. Fractures à 40-45°ac.								

MAUDORE MINERALS Ltd

AC LG

Description			Analyse							
			De	À	Numéro	Longueur	Au_Final (g/t)	Ag_Final (ppm)	Cu_Final (ppm)	Zn_Final (ppm)
275.70	277.70	SIL+; Chl+; PA-; SR-; CB en Tr Silicification forte; Chloritisation forte; Paragonite faible; Séricitisation faible; Carbonatation en Tr - De 275.7 à 277.7m: Si+ pervasive, Chl+ en bandes et clastes, Pa- et Ser- en clastes et bandes mm, Cb en Tr.	276.20	277.70	P297324	1.50	0.005	0.10	38.0	62.0
277.70	280.80	SIL+; HM+; Chl-; CB-; PA en Tr Silicification forte; Hématisation forte; Chloritisation faible; Carbonatation faible; Paragonite en Tr - De 277.7 à 280.8m: Si+ pervasive, Hm+ pervasive, Chl-, Cb- ebn vnl, Pa en Tr.	277.70	278.70	P297325	1.00	0.005	0.15	21.0	64.5
278.50	280.80	Py01 Pyrite 1% - De 278.5 à 280.8m: 1% de Py disséminée.	278.70	279.40	P297326	0.70	0.010	0.10	35.0	52.0
			279.40	280.80	P297327	1.40	0.005	0.20	12.0	41.0
280.80	282.70	SIL+; SR; Chl; HM-; CB en Tr Silicification forte; Séricitisation; Chloritisation; Hématisation faible; Carbonatation en Tr - De 280.8 à 282.7m: Si+ pervasive, Ser moy en vnl et en grains mm répartis de façon homogène dans la matrice (effet moucheté), Chl moy, Hm- en vnl, Cb en vnl ou pervasive.								
282.70	287.20	SIL+; SR+; Chl-; PA-; HM-; CB- Silicification forte; Séricitisation forte; Chloritisation faible; Paragonite faible; Hématisation faible; Carbonatation faible - De 282.7 à 287.2m: Si+ pervasive, Ser+ en vn et vnl et en grains mm répartis de façon homogène dans la matrice (effet moucheté), Chl-, Pa-, Hm-	284.50	286.00	P297328	1.50	0.005	0.10	27.0	53.0
			286.00	286.50	P151512	0.50	0.002	0.10	27.0	54.0
			286.50	288.00	P297329	1.50	0.005	0.10	26.0	54.0

MAUDORE MINERALS Ltd

AL LA

Description			Analyse							
			De	À	Numéro	Longueur	Au_Final (g/t)	Ag_Final (ppm)	Cu_Final (ppm)	Zn_Final (ppm)
		en vnl, Cb en vnl ou pervasive.								
287.20	290.90	SIL+; SR+; Chl; EP; HMen Tr <b>Silicification forte; Séricitisation forte; Chloritisation; Épidotisation; Hématitisation en Tr</b> - De 287.2 à 290.9m: Si+ pervasive, Ser+ jaune-verdâtre en mouchetage, Chl moy, Cb-, Hm en Tr en fines vnl.								
287.80	288.10	BRE; FRC+ <b>Bréchique; Fracturation forte 25°</b> - De 287.8 à 288.1m: zone de fracturation forte à environ 25°ac. De 287.8 à 287.95m, brèche hydraulique composée d'une matrice de Cb rose ou violet-Hm-Qtz-Chl et de fragments anguleux de 0.5-3cm de V2-V3 chloritisés et séricitisés. Les contacts fragment-matrice sont souvent fortement chloritisés.								
290.90	301.20	SIL+; SR; Chl; HM-; CB- <b>Silicification forte; Séricitisation; Chloritisation; Hématitisation faible; Carbonatation faible</b> - De 290.9 à 301.2m: Si+ pervasive, Ser moy en mouchetage plus discret et en vnl mm (disc, ondulantes ou parallèles à schistosité), Chl moy en bandes d'altération cm, Hm- pervasive autour des vnl de Cb-Qtz, Cb-. De part et d'autre du passage bréchifié à 288m, la roche est lessivée et présente plus de vnl de séricite.								
301.20	306.40	SIL+; SR+; Chl; CB-; HM en Tr <b>Silicification forte; Séricitisation forte; Chloritisation; Carbonatation faible; Hématitisation en Tr</b>	304.50	306.00	P297331	1.50	0.005	0.10	24.0	58.0
			306.00	306.50	P151513	0.50	0.005	0.10	59.0	69.0



MAUDORE MINERALS Ltd

AC LB

Description		Analyse									
		Dé	À	Numéro	Longueur	Au_Final (g/t)	Ag_Final (ppm)	Cu_Final (ppm)	Zn_Final (ppm)		
306.40	311.50	- De 301.2 à 306.4m: Si+ pervasive, Ser+ jaune-verdâtre en mouchetage (grains mm étirés) ou diffuse aux abords de vnl, Chl moy principalement en bandes. Cb- en vnl conc. mm à cm, Hm en Tr en fines vnl.		306.50	308.00	P297332	1.50	0.005	0.10	35.0	59.0
311.50	314.20	SIL+; Ch; BO-; PA-; CB-; HM-; SR en Tr Silicification forte; Chloritisation; Biotisation faible; Paragonite faible; Carbonatation faible; Hématitisation faible; Séricitisation en Tr - De 306.4 à 311.5m: Si+ pervasive, Chl moy, Bt-, Pa- en bandes et clastes, Cb- pervasive et en vnl mm, Hm- pervasive et en vnl mm, Ser en Tr		311.50	312.20	P297333	0.70	0.005	0.10	41.0	55.0
				312.20	313.00	P297334	0.80	0.005	0.10	123.0	69.0
312.90	315.90	SIL+; CB+; Ch+; HM; PA en Tr Silicification forte; Carbonatation forte; Chloritisation forte; Hématitisation; Paragonite en Tr - De 311.5 à 314.2m: Si+ pervasive et en vn et vnl de Qtz, Cb+ en bandes mm à cm, Chl+ en bandes mm à cm, Hm moy pervasive, Pa en Tr associée aux bandes de Cb.		313.00	313.50	P297335	0.50	0.010	0.10	24.0	135.0
		PyTr-1% Pyrite Tr-1% - De 312.9 à 315.9m: Py en Tr à 1%, en fins grains <1mm disséminée ou associée à la chlorite dans les vn et vnl, ou alignés le long de vnl de Hm.		313.50	314.20	P297337	0.70	0.005	0.10	32.0	75.0
312.90	314.20	AMA;;Cb Qz Cl;;Py<1%; Amas Carbonate Quartz Chlorite Pyrite <1% - De 212.9 à 314.2m: Amas de veines de 1-5cm (20%) concordantes à 30°ac pour									

MAUDORE MINERALS Ltd

AC LB

Description		Analyse								
		De	À	Numéro	Longueur	Au_Final (g/t)	Ag_Final (ppm)	Cu_Final (ppm)	Zn_Final (ppm)	
314.20	315.90	<p>les plus fines sinon discordantes à 15-20*ac, de Cb-Qtz-Ch; et de fines vnl mm de Cb (50%).</p> <p>Les veines plus larges présentent de la chlorite vert sombre minéralisée en Py (grains &lt;1mm) à 5-8%, ce qui représente sur l'ensemble de l'intervalle &lt;1% de Py.</p> <p>SIL+; HM+; CB; CH-; PA-</p> <p>Silicification forte; Hématisation forte; Carbonatation;</p> <p>Chloritisation faible; Paragonite faible</p> <p>- De 314.5 à 315.9m: Si+ en vn et vnl ou pervasive, Hm+ pervasive sur l'ensemble de l'intervalle, Cb moy, CH-, Pa-</p>	314.20	314.70	P297338	0.50	0.005	0.10	20.0	57.0
			314.70	316.00	P297339	1.30	0.005	0.10	35.0	48.0
314.20	314.50	<p>AMA;80%;Hm Cb Qz Cl;25%;Py en Tr;</p> <p>Amas 80% Hématite Carbonate Quartz Chlorite 25* Pyrite en Tr</p> <p>- De 314.2 à 314.5m: Amas de veines (80%), de Hm(35%)-Cb(30%)-Qtz(25%)-Ch(10%)</p> <p>. Contacts inf et sup peu francs, ondulants, concordants à 25*ac.</p>								
315.90	320.40	<p>SIL+; CH+; CB+; HM-; PA en Tr</p> <p>Silicification forte; Chloritisation forte; Carbonatation forte; Hématisation faible; Paragonite en Tr</p> <p>- De 315.9 à 320.4m: Si+ pervasive, CH+, Cb+ à moy en fines bandes ou clastes cm, Hm- en vnl ou remplissage de fractures, Pa en Tr.</p>	316.00	317.50	P297340	1.50	0.005	0.10	40.0	62.0
320.40	335.70	<p>SIL+; CH; CB; PA-; SR en Tr; HM en Tr</p> <p>Silicification forte; Chloritisation; Carbonatation; Paragonite faible; Séricitisation en Tr; Hématisation en Tr</p> <p>- De 320.4 à 335.7m: Si+ pervasive, CH</p>	329.20	330.20	P299281	1.00	0.005	0.10	38.0	62.0
			330.20	331.70	P299282	1.50	0.005	0.10	42.0	64.0
			334.00	335.50	P297341	1.50	0.010	0.10	36.0	57.0
			335.50	336.00	P151559	0.50	0.002	0.10	39.0	59.0

MAUDORE MINERALS Ltd

AC LB

Description		Analyse									
		De	À	Numéro	Longueur	Au_Final (g/t)	Ag_Final (ppm)	Cu_Final (ppm)	Zn_Final (ppm)		
335.70	342.00	moy à Chl+ en alternance de bandes et clastes mm à cm, vert moyen à vert sombre, Cb moy en clastes, Pa-, Ser et Hm en Tr en vnl.									
		SIL+; Chl; HM-; CB-; PA en Tr; SR en Tr	336.00	337.50	P297343	1.50	0.005	0.10	35.0	57.0	
		Silicification forte; Chloritisation; Hématitisation faible; Carbonatitisation faible; Paragonite en Tr; Séricitisation en Tr									
		- De 335.7 à 342.0m: Si+ pervasive, Chl moy en alternance de bandes et clastes mm à cm, vert moyen à vert sombre, Hm- pervasive et en remplissage de fractures, Cb- en lastes, Pa et Ser en Tr.									
			337.50	339.00	P297344	1.50	0.005	0.10	35.0	58.0	
342.00	364.70	SIL+; Chl; PA; CB-; SR en Tr; HM en Tr		351.30	352.80	P297349	1.50	0.008	0.10	65.0	65.0
		Silicification forte; Chloritisation; Paragonite; Carbonatitisation									
		faible; Séricitisation en Tr; Hématitisation en Tr									
		- De 342.0 à 364.7m: Si+ pervasive, Chl moy en fines bandes mm, Pa moy en fines bandes mm, Cb- pervasive et en clastes étirés, Ser en Tr, Hm en Tr à très localement Hm moy en vnl.									
			352.80	353.30	P297350	0.50	0.008	0.10	31.0	59.5	
			353.30	354.80	P297351	1.50	0.010	0.10	45.0	64.0	
			364.50	366.00	P297345	1.50	0.005	0.10	41.0	63.0	
364.70	372.30	SIL+; Chl+; SR; HM-; CB-		366.00	366.50	P151560	0.50	0.002	0.10	41.0	61.0
		Silicification forte; Chloritisation forte; Séricitisation; Hématitisation faible; Carbonatitisation faible									
		- De 364.7 à 372.3m: Si+ pervasive, Chl+, Ser moy en fines vnl ondulantes, Hm- en vnl, Cb- pervasive.									
			366.50	368.00	P297346	1.50	0.005	0.10	41.0	62.0	
372.30	374.90	SIL+; HM+; Chl; CB									
		Silicification forte; Hématitisation forte; Chloritisation; Carbonatitisation									
		- De 374.3 à 374.9m: Si+ pervasive, Hm+, Chl moy, Cb moy.									

MAUDORE MINERALS Ltd

AC LB

Description			Analyse							
			De	À	Numéro	Longueur	Au_Final (g/t)	Ag_Final (ppm)	Cu_Final (ppm)	Zn_Final (ppm)
374.90	377.30	SIL+; Chl; PA; HM-; CB- Silicification forte; Chloritisation; Paragonite; Hématite faible; Carbonatation faible - De 374.9 à 377.3m: Si+ pervasive, Chl moy et Pa moy en fines bandes et en clastes élargés cm, Hm- en vnl et pervasive, Cb- pervasive.								
377.30	385.70	SIL+; Chl; PA-; CB en Tr; HM en Tr Silicification forte; Chloritisation; Paragonite faible; Carbonatation en Tr; Hématite en Tr - De 377.3 à 385.7m: Si+ pervasive, Chl+ en alternance de bandes de 3-6cm discordante avec la schistosité, de couleur vert moyen et vert sombre; Pa- en clastes et fines bandes, Cb et Hm en Tr.	381.40	382.90	P297352	1.50	0.010	0.10	39.0	54.0
			382.90	384.40	P297353	1.50	0.005	0.10	42.0	61.0
			384.40	385.00	P297354	0.60	0.010	0.10	40.0	59.0
			385.00	385.60	P297355	0.60	0.005	0.10	42.0	60.0
385.70	404.70	SIL+; Chl; PA-; CB-; HM en Tr Silicification forte; Chloritisation; Paragonite faible; Carbonatation faible; Hématite en Tr - De 385.7 à 395.2m: Si+ pervasive, Chl moy, Pa- à moy, Ser- en clastes, Cb-, Hm en Tr en vnl.								
393.70	394.40	I3; FIN Intrusion mafique; Grains fins Roche intrusive mafique, massive de couleur gris moyen, verdâtre. Matrice à grains fins. Alt: Hm- pervasive sur les bordures de l'intrusion et en vnl associée à Qtz-Cb. Min: Py en Tr disséminée.  Non magnétique. Contact sup marqué par une fracture, discordant à 45°ac, contact inf net	394.30	395.50	P297347	1.20	0.010	0.10	37.0	55.0
			395.50	396.00	P151561	0.50	0.002	0.10	37.0	65.0
			396.00	397.50	P297348	1.50	0.005	0.10	37.0	60.0

MAUDORE MINERALS Ltd

AC LR

Description			Analyse							
			De	À	Numéro	Longueur	Au_Final (g/t)	Ag_Final (ppm)	Cu_Final (ppm)	Zn_Final (ppm)
concordante à 55° ac.										
404.70	418.10	SIL; SR; Chl; HM-; MG-; EP- Silicification; Séricitisation; Chloritisation faible; Hématitisation faible; Magnétite faible; Épidotisation faible Silice moyenne pervasive, hématitisation diffuse faible et locale, faible épidotisation et calcitisation (couleur pâle), faiblement séricité et paragonite (mica blanc), magnétisme fort à moyen, chlorite faible.	405.50	406.50	P297357	1.00	0.005	0.10	15.0	69.0
406.50	409.10	Pyr Pyrite tr Tr Py dans intervalle d'injection de brèche de quartz et calcite.	406.50	407.40	P297358	0.90	0.005	0.10	3.0	70.0
			407.40	408.50	P297360	1.10	0.010	0.10	51.0	58.0
			408.50	409.10	P297361	0.60	0.005	0.10	2.0	58.0
409.10	410.50	Pyr Pyrite tr tr-1% Py en petits grains automorphes disséminés	409.10	410.50	P297362	1.40	0.005	0.10	11.0	64.0
410.50	415.00	Pyr Pyrite tr Py tr en grains finement disséminés	410.50	412.00	P297363	1.50	0.005	0.10	16.0	57.0
			412.00	413.50	P297364	1.50	0.005	0.10	45.0	62.0
			413.50	415.00	P297366	1.50	0.010	0.10	47.0	58.0
			415.00	416.00	P297367	1.00	0.010	0.10	42.0	54.0
428.00	428.30	I3; FIN Intrusion mafique; Grains fins Petit dyke mafique à grain fin, discordant.	429.10	430.00	P297368	0.90	0.010	0.10	43.0	59.0
			430.00	430.50	P299008	0.50	0.002	0.20	48.0	75.0
			430.50	432.00	P297369	1.50	0.005	0.10	39.0	66.0

MAUDORE MINERALS Ltd

AL LR

Description			Analyse							
			De	À	Numéro	Longueur	Au_Final (g/t)	Ag_Final (ppm)	Cu_Final (ppm)	Zn_Final (ppm)
434.00	435.00	Pyrr Pyrite tr Py tr en grains finement disséminés	432.00	433.00	P297370	1.00	0.005	0.10	44.0	63.0
			433.00	433.90	P297371	0.90	0.005	0.10	29.0	71.0
			433.90	434.70	P297372	0.80	0.008	0.20	40.5	73.5
			434.70	436.00	P297373	1.30	0.005	0.10	35.0	73.0
441.00	441.20	FRC Fracturé(e) Zone de fracturation moyenne 0-10 deg a/c.	443.40	444.40	P297374	1.00	0.005	0.10	56.0	83.0
444.40	444.90	VEI;95%;Qz Cc TI;;Pyrr; Veine 95% Quartz Calcite Tourmaline Pyrite tr Veine de quartz-calcite-(tourmaline) à texture multi-injections bréchiques, aux contacts bréchiques (discordants ?), avec tr de Py idiomorphe mmtrique.	444.40	444.90	P297375	0.50	0.008	0.10	16.5	19.5
			444.90	446.00	P297376	1.10	0.010	0.10	47.0	89.0
			452.80	453.80	P297377	1.00	0.010	0.10	47.0	61.0
			453.80	454.30	P297378	0.50	0.005	0.10	57.0	55.0
			454.30	455.40	P297380	1.10	0.010	0.10	49.0	65.0
			463.00	463.90	P297381	0.90	0.005	0.10	38.0	60.0
			463.90	464.40	P299009	0.50	0.002	0.20	39.0	59.0
464.40	478.00	SIL; HM; Chl; CB- Silicification; Hématitisation; Chloritisation; Carbonatitisation faible Silice moyenne, chloritisation moyenne, hématitisation forte en Vnl et pervasive, faible calcitisation	464.40	465.40	P297382	1.00	0.010	0.10	37.0	64.0
			466.50	468.00	P297383	1.50	0.008	0.10	33.0	59.0
			468.00	468.90	P297384	0.90	0.010	0.10	43.0	85.0
			468.90	469.70	P297386	0.80	0.010	0.10	26.0	76.0
			469.70	471.10	P297387	1.40	0.005	0.10	21.0	63.0
471.10	478.00	Pyrr Pyrite tr Py tr localement 0.5% en grains disséminés ou associés à Vn de Qz	471.10	471.70	P297389	0.60	0.010	0.10	61.0	60.0
471.70	472.30	VEI;40%;Qz Cc Hm;;Pyrr; Veine 40% Quartz Calcite Hématite Pyrite tr Veine de Quartz-calcite hématitisée (rouge), 40% de l'intervalle; texture bréchique; enclaves fortement hématitisées, avec tr de Py.	471.70	472.30	P297390	0.60	0.005	0.10	24.0	44.0

MAUDORE MINERALS Ltd

AC LB

Description			Analyse							
			De	À	Numéro	Longueur	Au_Final (g/t)	Ag_Final (ppm)	Cu_Final (ppm)	Zn_Final (ppm)
471.90	472.30	FRC+	472.30	473.80	P297391	1.50	0.010	0.10	44.0	58.0
		Fracturation forte	473.80	475.00	P297392	1.20	0.005	0.10	43.0	64.5
		Forte fracturation	475.00	475.80	P297393	0.80	0.010	0.10	14.0	54.0
			475.80	477.00	P297394	1.20	0.010	0.10	378.0	92.0
476.40	476.60	FRC+	477.00	478.00	P297395	1.00	0.005	0.10	73.0	86.0
		Fracturation forte Forte fracturation, grenaille.								
477.40	477.60	FRC+								
		Fracturation forte Forte fracturation, grenaille.								
478.00 Fin du sondage										
Nombre d'échantillons : 227										
Nombre d'échantillons QAQC : 30										
Longueur totale échantillonnée : 269.70										

MAUDORE MINERALS Ltd

AL LB

QAQC

De	À	Numéro	Référence	Longueur	Au (g/t)	Ag (ppm)	Cu (ppm)	Zn (ppm)
0.00	0.00	P297284	Blank	0.00	-0.01	-0.2	11	25
0.00	0.00	P297166	Blank	0.00	-0.01	-0.2	13	19
0.00	0.00	P297171	SH55	0.00	1.34	0.8	116	79
0.00	0.00	P297184	Blank	0.00	-0.01	-0.2	14	26
0.00	0.00	P297187	SK62	0.00	3.27	1.7	88	96
0.00	0.00	P297211	Blank	0.00	-0.01	-0.2	12	21
0.00	0.00	P297216	SQ48	0.00	30.40	1.0	63	95
0.00	0.00	P297236	Blank	0.00	-0.01	-0.2	26	27
0.00	0.00	P297241	SH55	0.00	1.31	0.8	108	78
0.00	0.00	P297262	Blank	0.00	-0.01	-0.2	10	18
0.00	0.00	P297273	SK62	0.00	3.99	1.1	86	96
0.00	0.00	P297292	SQ48	0.00	28.10	1.0	63	89
0.00	0.00	P297342	SK62	0.00	3.99	1.0	82	89
0.00	0.00	P297385	SH65	0.00	1.31	1.6	100	167
0.00	0.00	P297379	Blank	0.00	-0.01	-0.2	13	24
0.00	0.00	P297312	Blank	0.00	-0.01	-0.2	15	22
0.00	0.00	P297322	SH65	0.00	1.34	1.6	102	177
0.00	0.00	P297365	SQ48	0.00	30.10	1.1	64	92
0.00	0.00	P297336	Blank	0.00	-0.01	-0.2	12	21
0.00	0.00	P297359	Blank	0.00	-0.01	-0.2	14	24
23.90	25.40	P297180	P297162	1.50	-0.01	-0.2	39	68
56.50	58.00	P297207	P297194	1.50	-0.01	-0.2	35	53
86.80	88.10	P297233	P297221	1.30	-0.01	-0.2	38	49
115.00	116.50	P297255	P297245	1.50	-0.01	-0.2	33	50
146.50	148.00	P297280	P297268	1.50	-0.01	-0.2	37	54
169.00	170.50	P297305	P297286	1.50	-0.01	-0.2	43	54
211.80	213.30	P297330	P297306	1.50	0.01	-0.2	43	76
316.00	317.50	P297356	P297340	1.50	-0.01	-0.2	43	61
433.90	434.70	P297388	P297372	0.80	0.01	0.2	38	74
473.80	475.00	P297409	P297392	1.20	-0.01	-0.2	42	67



ALB

Géochimie

De	À	Numéro	Longueur	Description	SiO2 (%)	Al2O3 (%)	Fe2O3 (%)	CaO (%)
19.50	20.00	P151473	0.50		64.60	14.39	5.21	5.50
49.50	50.00	P151474	0.50		64.69	14.88	5.14	4.29
73.90	74.40	P151475	0.50		64.09	15.03	4.92	4.63
106.90	107.40	P151485	0.50		61.98	15.97	5.64	3.75
137.00	137.50	P151486	0.50		63.59	14.94	5.61	4.04
166.00	166.50	P151487	0.50		63.99	14.82	4.91	4.80
196.00	196.50	P151497	0.50		64.65	15.08	4.65	3.79
226.00	226.50	P151498	0.50		65.55	15.43	4.56	4.04
256.00	256.50	P151511	0.50		64.67	15.00	5.13	4.28
286.00	286.50	P151512	0.50		65.06	15.80	4.68	3.62
306.00	306.50	P151513	0.50		64.41	15.80	4.81	6.26
335.50	336.00	P151559	0.50		64.83	15.27	4.25	3.97
366.00	366.50	P151560	0.50		58.73	15.99	6.73	6.54
395.50	396.00	P151561	0.50		63.29	15.23	5.55	3.98
430.00	430.50	P299008	0.50		63.65	15.01	5.15	3.61
463.90	464.40	P299009	0.50		63.56	14.63	4.74	4.18

AL L.S.

Géochimie

De	À	Numéro	Longueur	MgO (%)	Na2O (%)	K2O (%)	Cr2O3 (%)	TiO2 (%)	MnO (%)	P2O5 (%)
19.50	20.00	P151473	0.50	2.64	2.92	1.57	0.01	0.52	0.08	0.12
49.50	50.00	P151474	0.50	2.68	4.88	0.62	0.01	0.51	0.08	0.11
73.90	74.40	P151475	0.50	2.62	4.84	1.11	0.02	0.51	0.08	0.11
106.90	107.40	P151485	0.50	3.40	4.80	1.51	0.02	0.52	0.08	0.13
137.00	137.50	P151486	0.50	3.75	4.35	1.52	0.02	0.51	0.09	0.13
166.00	166.50	P151487	0.50	3.23	5.50	0.85	0.02	0.42	0.09	0.11
196.00	196.50	P151497	0.50	3.26	4.18	1.42	0.01	0.44	0.08	0.10
226.00	226.50	P151498	0.50	2.37	5.34	0.86	0.01	0.46	0.08	0.11
256.00	256.50	P151511	0.50	3.24	4.65	1.05	0.02	0.45	0.09	0.15
286.00	286.50	P151512	0.50	2.47	5.21	0.50	0.01	0.41	0.08	0.10
306.00	306.50	P151513	0.50	1.76	2.28	1.44	0.01	0.42	0.09	0.10
335.50	336.00	P151559	0.50	2.76	4.83	1.16	0.02	0.46	0.06	0.11
366.00	366.50	P151560	0.50	3.38	4.22	0.25	0.01	0.65	0.14	0.17
395.50	396.00	P151561	0.50	3.13	4.71	0.91	0.02	0.50	0.09	0.12
430.00	430.50	P299008	0.50	2.90	4.07	1.63	0.01	0.45	0.07	0.10
463.90	464.40	P299009	0.50	2.77	5.25	0.52	0.01	0.42	0.07	0.11

## Géochimie

De	À	Numéro	Longueur	SrO (%)	BaO (%)	LOI (%)	Total (%)	Nb (ppm)	Ba (ppm)	Rb (ppm)
19.50	20.00	P151473	0.50	0.05	0.05	1.91	99.56	5	370	44
49.50	50.00	P151474	0.50	0.04	0.03	1.53	99.49	4	180	15
73.90	74.40	P151475	0.50	0.07	0.03	1.51	99.57	5	230	24
106.90	107.40	P151485	0.50	0.05	0.04	1.34	99.22	4	300	34
137.00	137.50	P151486	0.50	0.05	0.05	0.97	99.61	4	420	30
166.00	166.50	P151487	0.50	0.04	0.03	1.10	99.91	4	260	17
196.00	196.50	P151497	0.50	0.04	0.05	1.92	99.68	3	310	34
226.00	226.50	P151498	0.50	0.04	0.03	1.03	99.91	4	220	19
256.00	256.50	P151511	0.50	0.05	0.04	1.10	99.91	4	290	25
286.00	286.50	P151512	0.50	0.06	0.02	1.49	99.51	3	140	13
306.00	306.50	P151513	0.50	0.04	0.04	2.17	99.63	4	260	38
335.50	336.00	P151559	0.50	0.04	0.05	2.07	99.89	4	350	29
366.00	366.50	P151560	0.50	0.09	0.02	3.16	100.05	5	90	9
395.50	396.00	P151561	0.50	0.05	0.04	2.27	99.89	4	300	31
430.00	430.50	P299008	0.50	0.04	0.03	2.19	98.91	5	380	50
463.90	464.40	P299009	0.50	0.05	0.01	3.28	99.60	2	220	19

MAUDORE MINERALS Ltd

AL LB

Géochimie

De	À	Numéro	Longueur	Zr (ppm)	Y (ppm)	Sr (ppm)	Au (ppm)	Ag (ppm)	Al (%)	As (ppm)
19.50	20.00	P151473	0.50	133	11	524	-0.005	0.20	2.21	-2
49.50	50.00	P151474	0.50	135	10	438	-0.005	-0.2	1.45	-2
73.90	74.40	P151475	0.50	139	10	625	-0.005	-0.2	1.39	-2
106.90	107.40	P151485	0.50	140	11	515	-0.005	-0.2	2.23	-2
137.00	137.50	P151486	0.50	130	10	443	-0.005	0.20	1.97	-2
166.00	166.50	P151487	0.50	119	9	358	-0.005	-0.2	1.19	-2
196.00	196.50	P151497	0.50	121	8	407	-0.005	-0.2	1.61	-2
226.00	226.50	P151498	0.50	128	9	415	-0.005	-0.2	1.22	-2
256.00	256.50	P151511	0.50	124	9	437	-0.005	-0.2	1.58	-2
286.00	286.50	P151512	0.50	120	9	604	-0.005	-0.2	1.44	-2
306.00	306.50	P151513	0.50	118	8	372	0.005	-0.2	2.02	-2
335.50	336.00	P151559	0.50	125	9	414	-0.005	-0.2	1.61	-2
366.00	366.50	P151560	0.50	141	15	873	-0.005	-0.2	2.08	2
395.50	396.00	P151561	0.50	123	10	497	-0.005	-0.2	1.75	-2
430.00	430.50	P299008	0.50	122	9	364	-0.005	0.20	2.02	-2
463.90	464.40	P299009	0.50	110	8	484	-0.005	0.20	1.74	-2

Géochimie

De	À	Numéro	Longueur	B (ppm)	Ba Econo (ppm)	Be (ppm)	Bi (ppm)	Ca (%)	Cd (ppm)	Co (ppm)
19.50	20.00	P151473	0.50	-10		-0.5	-2	1.22	-0.5	15
49.50	50.00	P151474	0.50	-10		-0.5	-2	0.84	-0.5	12
73.90	74.40	P151475	0.50	-10		-0.5	-2	0.84	-0.5	11
106.90	107.40	P151485	0.50	-10		-0.5	-2	0.48	-0.5	17
137.00	137.50	P151486	0.50	-10		-0.5	-2	0.43	-0.5	15
166.00	166.50	P151487	0.50	-10		-0.5	-2	0.85	-0.5	10
196.00	196.50	P151497	0.50	-10		-0.5	-2	0.66	-0.5	13
226.00	226.50	P151498	0.50	-10		-0.5	-2	0.75	-0.5	10
256.00	256.50	P151511	0.50	-10		-0.5	-2	0.56	-0.5	12
286.00	286.50	P151512	0.50	-10		-0.5	-2	0.50	-0.5	10
306.00	306.50	P151513	0.50	-10		-0.5	-2	1.42	-0.5	12
335.50	336.00	P151559	0.50	-10		-0.5	-2	1.15	-0.5	14
366.00	366.50	P151560	0.50	-10		-0.5	-2	1.96	-0.5	18
395.50	396.00	P151561	0.50	-10		-0.5	-2	1.14	-0.5	17
430.00	430.50	P299008	0.50	-10		-0.5	-2	1.12	-0.5	16
463.90	464.40	P299009	0.50	-10		-0.5	-2	1.97	-0.5	14

*AL LB*

Géochimie

De	À	Numéro	Longueur	Cr (ppm)	Cu (ppm)	Fe (%)	Ga (ppm)	Hg (ppm)	K (%)	La (ppm)
19.50	20.00	P151473	0.50	73	34	2.91	10	-1	1.13	-10
49.50	50.00	P151474	0.50	64	37	2.31	10	-1	0.28	-10
73.90	74.40	P151475	0.50	67	23	2.12	10	-1	0.03	10
106.90	107.40	P151485	0.50	94	36	2.99	10	-1	1.14	10
137.00	137.50	P151486	0.50	92	44	2.72	10	-1	1.12	10
166.00	166.50	P151487	0.50	65	35	1.77	-10	-1	0.51	10
196.00	196.50	P151497	0.50	77	24	2.35	10	-1	0.16	-10
226.00	226.50	P151498	0.50	43	37	2.01	10	-1	0.43	10
256.00	256.50	P151511	0.50	74	34	2.27	10	-1	0.58	10
286.00	286.50	P151512	0.50	42	27	2.23	10	-1	0.06	-10
306.00	306.50	P151513	0.50	35	59	2.37	10	-1	0.49	-10
335.50	336.00	P151559	0.50	95	39	2.24	10	-1	0.33	-10
366.00	366.50	P151560	0.50	43	41	3.17	10	-1	0.09	10
395.50	396.00	P151561	0.50	108	37	2.90	10	-1	0.33	10
430.00	430.50	P299008	0.50	99	48	3.23	10	-1	0.51	10
463.90	464.40	P299009	0.50	76	39	2.91	10	-1	0.16	10

## Géochimie

De	À	Numéro	Longueur	Mg (%)	Mn (ppm)	Mo (ppm)	Na (%)	Ni (ppm)	P (ppm)	Pb (ppm)
19.50	20.00	P151473	0.50	1.56	420	-1	0.08	51	460	-2
49.50	50.00	P151474	0.50	1.18	289	-1	0.10	40	430	-2
73.90	74.40	P151475	0.50	1.24	324	1	0.08	49	460	2
106.90	107.40	P151485	0.50	1.98	345	-1	0.09	72	560	-2
137.00	137.50	P151486	0.50	1.63	315	-1	0.11	64	550	-2
166.00	166.50	P151487	0.50	0.91	240	-1	0.11	48	480	-2
196.00	196.50	P151497	0.50	1.76	411	-1	0.06	60	410	-2
226.00	226.50	P151498	0.50	1.02	266	-1	0.07	32	460	-2
256.00	256.50	P151511	0.50	1.39	302	-1	0.09	50	630	-2
286.00	286.50	P151512	0.50	1.24	314	-1	0.08	27	430	-2
306.00	306.50	P151513	0.50	0.98	350	-1	0.14	32	410	-2
335.50	336.00	P151559	0.50	1.42	337	-1	0.08	57	500	2
366.00	366.50	P151560	0.50	1.65	601	-1	0.09	45	740	2
395.50	396.00	P151561	0.50	1.58	422	-1	0.06	66	500	-2
430.00	430.50	P299008	0.50	1.68	464	-1	0.05	68	450	-2
463.90	464.40	P299009	0.50	1.51	464	-1	0.05	51	490	-2

AC LB

Géochimie

De	À	Numéro	Longueur	S (%)	Sb (ppm)	Sc (ppm)	Th (ppm)	Sr Econo (ppm)	Tl (%)	Tl (ppm)
19.50	20.00	P151473	0.50	-0.01	-2	2	-20		0.22	-10
49.50	50.00	P151474	0.50	0.01	-2	2	-20		0.14	-10
73.90	74.40	P151475	0.50	-0.01	-2	2	-20		0.22	-10
106.90	107.40	P151485	0.50	-0.01	-2	2	-20		0.22	-10
137.00	137.50	P151486	0.50	0.07	-2	2	-20		0.21	-10
166.00	166.50	P151487	0.50	0.03	-2	2	-20		0.16	-10
196.00	196.50	P151497	0.50	0.03	-2	2	-20		0.18	-10
226.00	226.50	P151498	0.50	0.01	-2	2	-20		0.14	-10
256.00	256.50	P151511	0.50	0.01	-2	2	-20		0.17	-10
286.00	286.50	P151512	0.50	0.02	-2	2	-20		0.10	-10
306.00	306.50	P151513	0.50	0.06	-2	2	-20		0.13	-10
335.50	336.00	P151559	0.50	-0.01	-2	3	-20		0.16	-10
366.00	366.50	P151560	0.50	0.03	-2	4	-20		0.11	-10
395.50	396.00	P151561	0.50	0.02	-2	3	-20		0.15	-10
430.00	430.50	P299008	0.50	0.01	-2	3	-20		0.18	-10
463.90	464.40	P299009	0.50	0.01	-2	4	-20		0.13	-10



AL LB

Géochimie

De	À	Numéro	Longueur	U (ppm)	V (ppm)	W (ppm)	Zn (ppm)
19.50	20.00	P151473	0.50	-10	53	-10	63
49.50	50.00	P151474	0.50	-10	41	-10	51
73.90	74.40	P151475	0.50	-10	36	-10	44
106.90	107.40	P151485	0.50	-10	62	-10	64
137.00	137.50	P151486	0.50	-10	55	-10	56
166.00	166.50	P151487	0.50	-10	32	-10	36
196.00	196.50	P151497	0.50	-10	39	-10	58
226.00	226.50	P151498	0.50	-10	38	-10	48
256.00	256.50	P151511	0.50	-10	45	-10	51
286.00	286.50	P151512	0.50	-10	35	-10	54
306.00	306.50	P151513	0.50	-10	33	-10	69
335.50	336.00	P151559	0.50	-10	50	-10	59
366.00	366.50	P151560	0.50	-10	69	-10	61
395.50	396.00	P151561	0.50	-10	62	-10	65
430.00	430.50	P299008	0.50	-10	62	-10	75
463.90	464.40	P299009	0.50	-10	60	-10	59

MAUDORE MINERALS Ltd

Sondage : COM-12-906A      Titre minier :      Section : 2778E  
 Canton : Comtois      Niveau : Surface  
 Rang :      Place de travail : Lebel-sur-Quévillon  
 Foré par : Forage Orbit Garant      Lot :  
 Décrit par : Lucie Blayo      Du : 2012-07-10      Date de description : 2012-08-07  
 Au :

Collet

	UTM	Locales	GREER
Azimut : 197.00°	Est 341 915.00	2 778.32	4 249.34
Plongée : -68.00°	Nord 5 444 400.13	1 498.56	2 080.00
Longueur : 1 076.00 m	Élévation 281.30	281.30	281.30

Déviaton

Type	Profondeur	Azimut	Plongée	Invalide	Description
Reflex	0.00	197.00°	-68.00°	Non	
Reflex	47.00	91.80°	-67.60°	Oui	18105
Reflex	50.00	195.70°	-66.60°	Oui	57613
Reflex	53.00	197.50°	-67.00°	Non	55613
Reflex	56.00	197.80°	-68.10°	Non	55275
Reflex	59.00	201.60°	-67.10°	Oui	55123
Reflex	62.00	201.00°	-67.20°	Oui	55031
Reflex	65.00	198.50°	-66.90°	Oui	54939
Reflex	68.00	195.40°	-67.40°	Oui	54920
Reflex	71.00	197.00°	-66.60°	Non	54894
Reflex	74.00	196.80°	-66.40°	Non	54892
Reflex	77.00	196.90°	-66.70°	Oui	54822

Description

OSH-12-13



Dimension de la carotte : Carotte NQ      Cimenté : Non      Entrepréposé : Oui

MAUDORE MINERALS Ltd

ALB

Déviations

Type	Profondeur	Azimut	Plongée	Invalide	Description
Reflex	80.00	195.20°	-66.50°	Oui	54836
Reflex	83.00	196.50°	-66.20°	Non	54831
Reflex	86.00	196.20°	-66.10°	Non	54813
Reflex	89.00	196.10°	-66.00°	Non	54823
Reflex	92.00	196.30°	-65.80°	Non	54829
Reflex	95.00	196.10°	-65.80°	Non	54811
Reflex	98.00	196.10°	-65.70°	Non	54804
Reflex	101.00	196.00°	-65.70°	Non	54781
Reflex	104.00	196.00°	-65.70°	Non	54785
Reflex	107.00	196.00°	-66.00°	Oui	54829
Reflex	110.00	195.90°	-65.50°	Non	54771
Reflex	113.00	195.60°	-65.60°	Non	54782
Reflex	116.00	196.10°	-65.50°	Non	54831
Reflex	119.00	198.10°	-65.00°	Oui	54767
Reflex	122.00	195.90°	-65.40°	Non	54777
Reflex	125.00	195.90°	-65.30°	Non	54780
Reflex	128.00	196.10°	-65.20°	Non	54768
Reflex	131.00	196.20°	-65.30°	Non	54789
Reflex	134.00	195.90°	-65.30°	Non	54739
Reflex	137.00	195.20°	-65.30°	Non	54665
Reflex	140.00	196.80°	-64.90°	Oui	54725
Reflex	143.00	194.80°	-65.30°	Oui	54741
Reflex	146.00	195.30°	-65.40°	Non	54752
Reflex	149.00	195.10°	-65.00°	Non	54753
Reflex	152.00	195.10°	-65.00°	Non	54763
Reflex	155.00	195.00°	-65.00°	Non	54765
Reflex	158.00	195.20°	-65.00°	Non	54783
Reflex	161.00	195.00°	-64.90°	Non	54756
Reflex	164.00	195.00°	-64.90°	Non	54746
Reflex	167.00	195.00°	-64.90°	Non	54753
Reflex	170.00	194.90°	-64.90°	Non	54757
Reflex	173.00	195.40°	-64.70°	Oui	54750
Reflex	176.00	194.90°	-64.80°	Non	54745
Reflex	179.00	194.90°	-64.80°	Non	54748

AL LB

Déviatiion

Type	Profondeur	Azimat	Plongée	Invalide	Description
Reflex	182.00	194.90°	-64.80°	Non	54746
Reflex	185.00	194.90°	-64.80°	Non	54750
Reflex	188.00	194.90°	-64.80°	Non	54805
Reflex	191.00	194.90°	-64.70°	Non	54747
Reflex	194.00	194.80°	-64.70°	Non	54760
Reflex	197.00	194.90°	-64.70°	Non	54744
Reflex	200.00	194.80°	-64.60°	Non	54742
Reflex	203.00	194.70°	-64.60°	Non	54746
Reflex	206.00	195.50°	-64.50°	Non	54745
Reflex	209.00	194.70°	-64.50°	Non	54756
Reflex	212.00	194.70°	-64.50°	Non	54767
Reflex	215.00	194.80°	-64.40°	Non	54748
Reflex	218.00	194.50°	-64.40°	Non	54753
Reflex	221.00	194.70°	-64.30°	Non	54744
Reflex	224.00	194.50°	-64.30°	Non	54743
Reflex	227.00	194.60°	-64.30°	Non	54753
Reflex	230.00	194.50°	-64.30°	Non	54767
Reflex	233.00	194.80°	-64.20°	Non	54751
Reflex	236.00	192.80°	-65.10°	Oui	54747
Reflex	239.00	194.80°	-64.10°	Non	54852
Reflex	242.00	194.50°	-64.20°	Non	54748
Reflex	245.00	194.70°	-64.10°	Non	54834
Reflex	248.00	194.70°	-64.00°	Non	54739
Reflex	251.00	194.60°	-63.90°	Non	54746
Reflex	254.00	194.10°	-63.90°	Non	54737
Reflex	257.00	194.60°	-63.90°	Non	54751
Reflex	260.00	194.40°	-63.80°	Non	54784
Reflex	263.00	194.50°	-63.70°	Non	54748
Reflex	266.00	194.30°	-63.60°	Non	54760
Reflex	269.00	194.30°	-63.50°	Non	54797
Reflex	272.00	194.70°	-63.40°	Non	54762
Reflex	275.00	194.70°	-63.20°	Non	54769
Reflex	278.00	196.10°	-63.10°	Oui	54756
Reflex	281.00	194.60°	-62.80°	Non	54765

AC 18

Déviations

Type	Profondeur	Azimut	Plongée	Invalide	Description
Reflex	284.00	194.40°	-62.70°	Non	54783
Reflex	287.00	194.40°	-62.50°	Non	54777
Reflex	290.00	194.40°	-62.40°	Non	54762
Reflex	293.00	194.50°	-62.30°	Non	54773
Reflex	296.00	194.40°	-62.20°	Non	54763
Reflex	299.00	194.30°	-62.10°	Non	54793
Reflex	302.00	194.60°	-62.00°	Non	54802
Reflex	305.00	194.30°	-61.90°	Non	54836
Reflex	308.00	194.80°	-61.70°	Non	55175
Reflex	311.00	69.10°	-61.80°	Oui	99261
Reflex	314.00	238.00°	-61.50°	Oui	75761
Reflex	317.00	232.90°	-60.80°	Oui	66730
Reflex	320.00	197.90°	-59.80°	Non	55020
Reflex	323.00	197.40°	-58.90°	Non	54882
Reflex	326.00	187.50°	-58.30°	Oui	57431
Reflex	329.00	197.80°	-58.20°	Non	55000
Reflex	332.00	196.90°	-58.10°	Non	54817
Reflex	335.00	196.70°	-58.00°	Non	54811
Reflex	338.00	196.50°	-57.90°	Non	54797
Reflex	341.00	196.40°	-57.80°	Non	54864
Reflex	344.00	196.40°	-57.80°	Non	54866
Reflex	347.00	196.10°	-57.80°	Non	55109
Reflex	350.00	190.80°	-57.70°	Oui	56235
Reflex	353.00	199.20°	-57.60°	Oui	54604
Reflex	356.00	197.00°	-57.50°	Non	54828
Reflex	359.00	196.60°	-57.40°	Non	54807
Reflex	362.00	196.30°	-57.30°	Non	54792
Reflex	365.00	196.10°	-57.20°	Non	54846
Reflex	368.00	196.10°	-57.00°	Non	54851
Reflex	371.00	195.60°	-56.90°	Non	54882
Reflex	374.00	196.00°	-56.80°	Non	54847
Reflex	377.00	195.80°	-56.70°	Non	54871
Reflex	380.00	195.90°	-56.60°	Non	54760
Reflex	383.00	195.80°	-56.50°	Non	54828

ALLO

Déviati

Type	Profondeur	Azimat	Plongée	Invalide	Description
Reflex	386.00	195.70°	-56.40°	Non	54793
Reflex	389.00	195.60°	-56.40°	Non	54804
Reflex	392.00	195.80°	-56.20°	Non	54772
Reflex	395.00	195.80°	-56.10°	Non	54749
Reflex	398.00	195.90°	-56.00°	Non	54750
Reflex	401.00	195.80°	-55.90°	Non	54755
Reflex	404.00	195.70°	-55.90°	Non	54792
Reflex	407.00	196.00°	-55.80°	Non	54574
Reflex	410.00	195.50°	-55.80°	Non	54649
Reflex	413.00	195.80°	-55.70°	Non	54870
Reflex	416.00	196.00°	-55.70°	Non	54862
Reflex	419.00	195.90°	-55.50°	Non	54830
Reflex	422.00	195.30°	-55.50°	Non	54963
Reflex	425.00	195.60°	-55.40°	Non	54807
Reflex	428.00	195.30°	-55.20°	Non	54838
Reflex	431.00	195.40°	-55.10°	Non	54888
Reflex	434.00	195.60°	-55.10°	Non	54799
Reflex	437.00	195.30°	-55.00°	Non	54650
Reflex	440.00	195.60°	-54.90°	Non	54694
Reflex	443.00	195.90°	-54.80°	Non	54857
Reflex	446.00	195.70°	-54.70°	Non	54808
Reflex	449.00	195.60°	-54.60°	Non	54709
Reflex	452.00	195.20°	-54.40°	Non	54675
Reflex	455.00	195.50°	-54.30°	Non	54766
Reflex	458.00	195.50°	-54.20°	Non	54841
Reflex	461.00	195.60°	-54.20°	Non	54790
Reflex	464.00	195.60°	-54.00°	Non	54725
Reflex	467.00	195.40°	-53.90°	Non	54838
Reflex	470.00	195.60°	-53.80°	Non	54791
Reflex	473.00	195.50°	-53.70°	Non	54903
Reflex	476.00	195.30°	-53.60°	Non	54818
Reflex	479.00	195.50°	-53.50°	Non	54901
Reflex	482.00	195.40°	-53.40°	Non	55003
Reflex	485.00	195.40°	-53.30°	Non	54943

MAUDORE MINERALS Ltd

AC 18

Déviations

Type	Profondeur	Azimut	Plongée	Invalide	Description
Reflex	488.00	195.60°	-53.20°	Non	54799
Reflex	491.00	195.30°	-52.90°	Non	54807
Reflex	494.00	195.30°	-52.80°	Non	54830
Reflex	497.00	195.00°	-52.70°	Non	54906
Reflex	500.00	195.50°	-52.60°	Non	54763
Reflex	503.00	195.40°	-52.40°	Non	54715
Reflex	506.00	195.40°	-52.30°	Non	54729
Reflex	509.00	194.90°	-52.20°	Non	55459
Reflex	512.00	195.50°	-52.00°	Non	54751
Reflex	515.00	195.40°	-51.80°	Non	54747
Reflex	518.00	195.40°	-51.60°	Non	54722
Reflex	521.00	195.00°	-51.60°	Non	54784
Reflex	524.00	195.30°	-51.50°	Non	54848
Reflex	527.00	195.20°	-51.40°	Non	54839
Reflex	530.00	195.00°	-51.20°	Non	54958
Reflex	533.00	194.70°	-51.10°	Non	54806
Reflex	536.00	194.50°	-51.00°	Non	54837
Reflex	539.00	194.80°	-51.00°	Non	54953
Reflex	542.00	195.50°	-50.90°	Non	54923
Reflex	545.00	195.30°	-50.80°	Non	54910
Reflex	548.00	195.90°	-50.60°	Non	54852
Reflex	551.00	195.20°	-50.50°	Non	54981
Reflex	554.00	196.50°	-50.40°	Oui	54932
Reflex	557.00	195.10°	-50.30°	Non	55219
Reflex	560.00	195.10°	-50.30°	Non	55029
Reflex	563.00	195.40°	-50.20°	Non	55047
Reflex	566.00	195.50°	-50.00°	Non	54989
Reflex	569.00	195.70°	-49.90°	Non	54749
Reflex	572.00	195.60°	-49.80°	Non	54757
Reflex	575.00	195.70°	-49.70°	Non	54727
Reflex	578.00	195.70°	-49.60°	Non	54764
Reflex	581.00	195.90°	-49.50°	Non	54757
Reflex	584.00	195.60°	-49.40°	Non	54822
Reflex	587.00	195.70°	-49.30°	Non	54820

AC LR

Déviation

Type	Profondeur	Azimet	Plongée	Invalide	Description
Reflex	590.00	195.90°	-49.20°	Non	54943
Reflex	593.00	195.40°	-49.00°	Non	55031
Reflex	596.00	195.60°	-49.00°	Non	54778
Reflex	599.00	195.60°	-48.90°	Non	54768
Reflex	602.00	196.00°	-48.80°	Non	54775
Reflex	605.00	195.50°	-48.60°	Non	54753
Reflex	608.00	195.70°	-48.50°	Non	54782
Reflex	611.00	196.20°	-48.40°	Non	54761
Reflex	614.00	195.90°	-48.40°	Non	54786
Reflex	617.00	196.10°	-48.30°	Non	54746
Reflex	620.00	196.30°	-48.20°	Non	54706
Reflex	623.00	196.10°	-48.10°	Non	54995
Reflex	626.00	196.10°	-48.00°	Non	54870
Reflex	629.00	196.40°	-47.70°	Non	54865
Reflex	632.00	196.60°	-47.40°	Non	54825
Reflex	635.00	196.70°	-47.40°	Non	54760
Reflex	638.00	197.00°	-47.30°	Non	54703
Reflex	641.00	196.70°	-46.90°	Non	54831
Reflex	644.00	196.90°	-46.50°	Non	54809
Reflex	647.00	196.80°	-46.00°	Non	54760
Reflex	650.00	196.80°	-45.50°	Non	54749
Reflex	653.00	196.70°	-45.00°	Non	54638
Reflex	656.00	196.60°	-44.60°	Non	55369
Reflex	659.00	196.60°	-44.50°	Non	54856
Reflex	662.00	196.50°	-44.20°	Non	54684
Reflex	665.00	197.10°	-44.00°	Non	54752
Reflex	668.00	196.70°	-44.10°	Non	54943
Reflex	671.00	196.40°	-44.00°	Non	54873
Reflex	674.00	196.50°	-43.90°	Non	55029
Reflex	677.00	196.80°	-44.00°	Non	55036
Reflex	680.00	197.00°	-43.80°	Non	55164
Reflex	683.00	197.30°	-43.80°	Non	54917
Reflex	686.00	197.40°	-43.70°	Non	54794
Reflex	689.00	197.20°	-43.70°	Non	54919



MAUDORE MINERALS Ltd

AC LB

Déviations

Type	Profondeur	Azimut	Plongée	Invalide	Description
Reflex	692.00	197.10°	-43.60°	Non	54925
Reflex	695.00	196.90°	-43.60°	Non	54759
Reflex	698.00	196.70°	-43.40°	Non	54775
Reflex	701.00	196.90°	-43.20°	Non	54904
Reflex	704.00	196.80°	-43.10°	Non	55035
Reflex	707.00	196.80°	-43.00°	Non	55233
Reflex	710.00	196.30°	-42.80°	Non	55030
Reflex	713.00	197.10°	-42.70°	Non	54682
Reflex	716.00	196.50°	-42.50°	Non	54834
Reflex	719.00	196.70°	-42.20°	Non	55266
Reflex	722.00	196.60°	-41.90°	Non	54918
Reflex	725.00	196.80°	-41.70°	Non	55145
Reflex	728.00	196.60°	-41.40°	Non	55020
Reflex	731.00	196.50°	-41.00°	Non	54931
Reflex	734.00	196.50°	-40.60°	Non	54892
Reflex	737.00	196.30°	-40.10°	Non	54807
Reflex	740.00	196.00°	-39.60°	Non	54874
Reflex	743.00	195.80°	-39.20°	Non	55299
Reflex	746.00	195.50°	-39.10°	Non	55058
Reflex	749.00	196.50°	-38.90°	Oui	55439
Reflex	752.00	195.70°	-38.80°	Non	56092
Reflex	755.00	195.60°	-38.70°	Non	54972
Reflex	758.00	195.60°	-38.70°	Non	54972
Reflex	761.00	195.50°	-38.40°	Non	54845
Reflex	764.00	196.00°	-38.40°	Non	54632
Reflex	767.00	196.10°	-38.40°	Non	54635
Reflex	770.00	196.00°	-38.30°	Non	55260
Reflex	773.00	196.30°	-38.30°	Non	54742
Reflex	776.00	195.80°	-38.20°	Non	54665
Reflex	779.00	195.50°	-38.30°	Non	54894
Reflex	782.00	195.10°	-38.20°	Non	54808
Reflex	785.00	194.60°	-38.10°	Non	54735
Reflex	788.00	195.00°	-38.00°	Non	54701
Reflex	791.00	195.00°	-38.00°	Non	54728

MAUDORE MINERALS Ltd

AC LR

Déviatiion

Type	Profondeur	Azimet	Plongée	Invalide	Description
Reflex	794.00	195.10°	-37.90°	Non	54734
Reflex	797.00	195.00°	-37.90°	Non	54733
Reflex	800.00	195.00°	-37.90°	Non	54737
Reflex	803.00	195.00°	-37.90°	Non	54741
Reflex	806.00	195.10°	-37.90°	Non	54740
Reflex	809.00	195.00°	-37.90°	Non	54736
Reflex	812.00	195.10°	-37.90°	Non	54739
Reflex	815.00	195.10°	-37.80°	Non	54734
Reflex	818.00	195.20°	-37.70°	Non	54738
Reflex	821.00	195.10°	-37.70°	Non	54732
Reflex	824.00	195.10°	-37.60°	Non	54732
Reflex	827.00	195.00°	-37.50°	Non	54745
Reflex	830.00	195.10°	-37.40°	Non	54775
Reflex	833.00	195.10°	-37.40°	Non	54729
Reflex	836.00	195.00°	-37.30°	Non	54749
Reflex	839.00	195.10°	-37.20°	Non	54738
Reflex	842.00	195.20°	-37.10°	Non	54673
Reflex	845.00	195.00°	-37.10°	Non	54705
Reflex	848.00	195.10°	-37.00°	Non	54745
Reflex	851.00	195.10°	-36.90°	Non	54775
Reflex	854.00	195.10°	-36.80°	Non	54736
Reflex	857.00	195.10°	-36.70°	Non	54751
Reflex	860.00	195.20°	-36.70°	Non	54742
Reflex	863.00	195.20°	-36.50°	Non	54758
Reflex	866.00	195.00°	-36.40°	Non	54754
Reflex	869.00	195.30°	-36.30°	Non	54754
Reflex	872.00	194.70°	-36.20°	Non	54757
Reflex	875.00	195.30°	-36.10°	Non	54869
Reflex	878.00	195.20°	-35.90°	Non	54783
Reflex	881.00	195.40°	-35.90°	Non	54791
Reflex	884.00	195.30°	-35.80°	Non	54700
Reflex	887.00	194.40°	-35.80°	Non	55205
Reflex	890.00	195.00°	-35.80°	Non	54930
Reflex	893.00	195.60°	-35.70°	Non	55455

AC LB

Déviation

Type	Profondeur	Azimut	Plongée	Invalide	Description
Reflex	896.00	195.30°	-35.70°	Non	54762
Reflex	899.00	194.90°	-35.50°	Non	54770
Reflex	902.00	193.50°	-35.30°	Oui	55412
Reflex	905.00	194.20°	-35.10°	Non	55083
Reflex	908.00	194.70°	-35.00°	Non	55153
Reflex	911.00	194.50°	-34.80°	Non	55767
Reflex	914.00	194.60°	-34.70°	Non	55681
Reflex	917.00	194.80°	-34.70°	Non	54752
Reflex	920.00	195.20°	-34.60°	Non	54715
Reflex	923.00	195.30°	-34.40°	Non	54705
Reflex	926.00	194.60°	-34.30°	Non	55698
Reflex	929.00	195.30°	-34.20°	Non	54736
Reflex	932.00	195.00°	-34.10°	Non	54875
Reflex	935.00	194.60°	-34.00°	Non	55734
Reflex	938.00	194.90°	-34.00°	Non	54566
Reflex	941.00	194.90°	-33.90°	Non	55143
Reflex	944.00	193.70°	-33.80°	Oui	56321
Reflex	947.00	195.00°	-33.80°	Non	55211
Reflex	950.00	194.70°	-33.80°	Non	54789
Reflex	953.00	195.30°	-33.70°	Non	55711
Reflex	956.00	195.40°	-33.60°	Non	55079
Reflex	959.00	195.30°	-33.60°	Non	54653
Reflex	962.00	194.90°	-33.40°	Non	55094
Reflex	965.00	194.40°	-33.40°	Non	55115
Reflex	968.00	194.80°	-33.40°	Non	55087
Reflex	971.00	195.30°	-33.30°	Non	55105
Reflex	974.00	195.40°	-33.30°	Non	55510
Reflex	977.00	194.70°	-33.40°	Non	55399
Reflex	980.00	195.40°	-33.30°	Non	55234
Reflex	983.00	193.50°	-33.20°	Oui	55742
Reflex	986.00	195.20°	-33.10°	Non	55585
Reflex	989.00	195.20°	-33.00°	Non	54813
Reflex	992.00	194.80°	-32.90°	Non	55354
Reflex	995.00	195.20°	-32.90°	Non	55577

AC LB

Déviation

Type	Profondeur	Azimat	Plongée	Invalide	Description
Reflex	998.00	195.70°	-32.90°	Non	55365
Reflex	1 001.00	195.20°	-32.90°	Non	55607
Reflex	1 004.00	194.10°	-32.80°	Non	55716
Reflex	1 007.00	195.20°	-32.80°	Non	54927
Reflex	1 010.00	195.70°	-32.70°	Non	55041
Reflex	1 013.00	196.20°	-32.70°	Non	55653
Reflex	1 016.00	195.40°	-32.70°	Non	55270
Reflex	1 019.00	196.40°	-32.60°	Non	54962
Reflex	1 022.00	195.50°	-32.60°	Non	54935
Reflex	1 025.00	195.50°	-32.60°	Non	54833
Reflex	1 028.00	195.30°	-32.60°	Non	55164
Reflex	1 031.00	195.40°	-32.50°	Non	55241
Reflex	1 034.00	195.50°	-32.50°	Non	55426
Reflex	1 037.00	195.40°	-32.50°	Non	56043
Reflex	1 040.00	194.90°	-32.40°	Non	54829
Reflex	1 043.00	195.60°	-32.40°	Non	55423
Reflex	1 046.00	194.80°	-32.40°	Non	55822
Reflex	1 049.00	193.50°	-32.40°	Oui	56735
Reflex	1 052.00	196.10°	-32.30°	Oui	55590
Reflex	1 055.00	195.40°	-32.30°	Non	55393
Reflex	1 058.00	195.30°	-32.20°	Non	55522
Reflex	1 061.00	195.60°	-32.30°	Non	55391
Reflex	1 064.00	195.40°	-32.30°	Non	55399
Reflex	1 067.00	195.40°	-32.30°	Non	55416
Reflex	1 070.00	195.30°	-32.30°	Non	55324
Reflex	1 073.00	195.30°	-32.20°	Non	55317
Reflex	1 076.00	196.00°	-32.20°	Non	55209

Description			Analyse							
			De	À	Numéro	Longueur	Au_Final (g/t)	Ag_Final (ppm)	Cu_Final (ppm)	Zn_Final (ppm)
288.00	560.00	<p>V2-V3; T1</p> <p><b>Volcanite intermédiaire à mafique; Tuf à lapillis</b></p> <p>Volcanite intermédiaire à mafique. Tuf à Lapillis. Matrice à grains fins de couleur gris moyen, verdâtre. Clastes (5-10%) de 2 à 10cm, de couleur gris moyen à clair verdâtre étirés dans la foliation Alternance de bandes gris sombre (chlorite) et gris moyen bleuté à verdâtre (paragonite ou séricite), mm à cm (6-7cm maximum). Localement, dans les bandes gris plus clair de paragonite, apparaît un fin mouchetage de chlorite (15%) de couleur gris sombre, étiré selon la foliation. Forte foliation marquée par l'étirement des clastes et les alternances d'altération, à 30deg AC Très localement, quelques intervalles 4-5m de V2V3 MAS, et également des passages à V2V3 à blocs n'excédant jamais plus de 3-4m</p> <p>Altération: 288-294: Si+ pervasive, Sr moy en mouchetage plus localement en Vnl, Chl moy en clastes, Hm- en Vnl 294-303: Si+ pervasive, Chl moy en clastes, Ep moy en Vnl et Vn (1cm) souvent associée, Hm- en Vnl, Pa- 303-313: Si+ pervasive, Pa+ pervasive et en clastes, Cb moy en Vnl et localement pervasifs 313-314: Hm+ pervasive, Si moy (voir faible) pervasive et en Vn 314-331: Si+ pervasive, Chl et Pa moy pervasive et en clastes, Cb- en Vnl et localement forts pervasifs 331-353.5: Si+ pervasive, Chl et Pa moy pervasive et en clastes, Cb moy en Vnl et en petits patches, 1-2cm (=clastes?), Hm- en Vnl 353.5-364.6: Si+ pervasive, Cb+ en clastes, Chl et Pa moy pervasive et en clastes, Hm- en Vnl et pervasive sur 2cm autour des Vnl 364.6-371.2: Si+ pervasive, Chl moy pervasive, Sr moy en Vnl/Vn et localement en mouchetage, Hm tr en Vnl 371.2-389.3: Si+ pervasive, Chl+ en clastes, Pa- en</p>	288.80	290.30	P297396	1.50	0.005	0.10	27.0	54.0

Description	Analyse							
	De	À	Numéro	Longueur	Au_Final (g/t)	Ag_Final (ppm)	Cu_Final (ppm)	Zn_Final (ppm)
<p>clastes, Cb- en patchs, Sr- en Vnl, Hm tr en Vnl                      389.3-395: Si moy, Chl moy en clastes, Cb moy                      pervasifs et en Vnl-Vn, Sr- en Vnl, Hm tr en Vnl                      395-425: Si+ pervasive, Chl+ en clastes, Pa moy en                      clastes, Cb- en patchs et Vnl, Hm- (voir moy dans la                      partie inf. de l'intervalle)                      425-445.5: Zone à forte altération, couleur vert clair à                      rouge. Si moy pervasive, Chl moy en clastes, Pa moy                      en clastes, Cb moy pervasive, Hm moy pervasive et                      en Vnl, Ep moy en Vnl                      445.5-491.1: Si+ pervasive, Chl+ en clastes, Cb moy                      en patchs (=clastes?) de 2-3cm allongés dans la                      foliation et également en Vnl et Vn, Pa- en clastes,                      Hm- à moy en Vnl et pervasive sur 1cm autour de                      celles-ci, Sr- en Vnl, Ep tr en Vnl                      491.1-493.5: Couleur rose, Hm+ pervasive, Pa+                      pervasive (souvent associée à Hm), Si moy en Vn,                      Cb- en Vnl                      493.5-499.6: Si moy pervasive, Chl moy en clastes,                      Pa moy en clastes, Hm moy en Vnl et localement                      pervasive, Cb- en Vnl et patchs                      499.6-503.7: Couleur rouge-brun, Hm+ en bandes                      pervasive, Pa+ en clastes? (associée à Hm), Si moy                      en Vn, Cb- en Vnl                      503.7-512.7: Si+ (voir moy) pervasive, Chl+ en                      clastes, Pa moy en clastes, Sr moy en Vn, Cb- en                      Vnl-Vn, Ep- associée à Sr?                      512.7-529: Couleur rouge: Hm+ pervasive, Si moy                      (voir forte) , Cb moy matricielle dans les brèches, Pa                      moy en bandes d'altération (2-3cm), Chl- en rares                      clastes                      529-531: Si+ (à moy) pervasive, Chl moy en clastes,                      Pa moy en clastes, Cb- (à moy) en patchs, Hm tr en                      Vnl                      531-538: Si moy pervasive, Chl et Pa moy en clastes,                      Hm moy localement pervasive, Cb moy patchs et Vnl                      538-540: Gris clair, Pa+ pervasive, Si moy pervasive,                      Chl- pervasive, Cb- en Vn-Vnl, Hm tr en Vnl                      540-546.5: Si+ (à moy) pervasive, Pa moy en Vn, Cb                      moy en Vn-Vnl-patchs et localement pervasive,                      localement Hm+ sur intervalle de 40-50cm, Ep tr en</p>								

Description	Analyse							
	De	À	Numéro	Longueur	Au_Final (g/t)	Ag_Final (ppm)	Cu_Final (ppm)	Zn_Final (ppm)
<p>Vnl</p> <p>546.5-558.5: Intervalle hétérogène; Si moy pervasive, Chl et Pa moy en clastes, Cb moy en Vnl-patches, Sr moy en Vn-Vnl, Ep- en Vnl, localement Hm+ sur intervalle de 40-50cm</p> <p>558.5-559: Hm+ pervasive, Si moy pervasive, Cb moy en Vnl</p> <p>559-560: Cb+ pervasive, Si+ pervasive, Chl-, Pa- en Vnl</p> <p>Minéralisation:</p> <p>290.3-290.8: Py tr et Cp tr en grains disséminés</p> <p>301.8-302.2: Py tr dans Vnl de Cb</p> <p>308-312: Py tr associée à Vnl de Cb</p> <p>312-312.6: Py tr et Cp tr dans Vn de Qz</p> <p>312.6-327.1: Localement Py tr en grains finement disséminés</p> <p>327.1-327.6: Py tr et Cp tr en grains disséminés</p> <p>327.6-371.5: Localement Py tr en grains finement disséminés, parfois en grains automorphes cubiques (1mm)</p> <p>385-394: Py tr en grains disséminés</p> <p>396-400: Py tr en grains disséminés</p> <p>403-409: Py tr en grains disséminés</p> <p>412-429.6: Py tr en grains disséminés</p> <p>429.6-444: Py tr en grains disséminés et Cp tr en grains associée aux Vn de Qz</p> <p>444-455.3: Py tr en grains disséminés avec une concentration plus importante dans les clastes de Chl</p> <p>459.2-460: Py tr en grains disséminés avec une concentration plus importante dans les clastes de Chl</p> <p>461.3-461.8: Py tr en grains disséminés, Cp tr en grains disséminés</p> <p>466.5-468.7: Py tr en grains disséminés</p> <p>474.5-475: Py 0.5% en grains disséminés localisés autour Vn de Cb</p> <p>475-476.5: Py tr en grains disséminés</p> <p>485.5-494.5 Py tr localement 1% en Vnl (50%) et grains disséminés (50%)</p> <p>494.5-495.3: Py 1% en grains disséminés</p> <p>505.8-506.8: Py 1% en grains très fins disséminés</p>								

AC LD

Description	Analyse							
	De	À	Numéro	Longueur	Au_Final (g/t)	Ag_Final (ppm)	Cu_Final (ppm)	Zn_Final (ppm)
<p>506.8-529 : Py tr en grains disséminés</p> <p>529-538: Py tr en grains disséminés et occasionnellement Cp tr en grains disséminés</p> <p>538-558.5: Localement Py tr en grains disséminés dans Vnl-Vn de Cb. Pas suffisamment de minéralisation pour le rentrée dans l'onglet minéralisation</p> <p>558.5-559.9: Py 0.5% en grains disséminés</p> <p>Veine:</p> <p>290.4-290.7: Vn (100%) de Qz (90%) et Cb (10%) associée à Hm en Vnl. Py tr en grains disséminés. Contacts à 15-20deg AC</p> <p>311-313: Vn (70%) de Qz (50%) et Cb (50%) associée à brèche de Cb. Py tr et Cp? tr. Contacts à 45deg AC en moy</p> <p>371.2-372.2: Vn-Brèche (50%) à Cb et Hm. Py tr en grains disséminés, Cp tr en grains disséminés. Contacts diffus mais à priori dans la foliation 35deg AC</p> <p>438-439.1: Vn (70%) de Qz (90%), Cb et Chl. Py tr en grains disséminés. Vn à 15deg AC</p> <p>492.3-493.1: Vn (100%) à Qz (70%) et Cb (30%), Py 0.5% en grains disséminés, contacts ondulants</p> <p>547.3-547.5: Vn de Cb-Chl noire, Hm avec Py tr en grains disséminés. Contacts nets à 25deg AC</p> <p>Structure:</p> <p>288-314: Frct- homogène en blocs anguleux de 10 à 30cm</p> <p>425.2-430: Frct moy sur l'ensemble. Plusieurs intervalles 30-40cm à Frct+ (blocs anguleux de 1 à 4cm).</p> <p>430-430.8: Brèche à Hm et Cb. Py tr en grains disséminés</p> <p>437-437.5: Frct+, blocs anguleux de 1 à 3cm</p> <p>443.3-443.6: Faille, avec brèche de faille (10Cm) et Vn de Cb à 25deg AC</p> <p>483.7-484: Brèche (faille?) Chl, Cb</p> <p>485.2-485.5: Brèche (faille?) Chl, Ep, Cb</p> <p>495.9-499.6: Frct- avec intervalle (1m environ) à Frct</p>								



MAUDORE MINERALS Ltd

AC LG

Description	Analyse							
	De	À	Numéro	Longueur	Au_Final (g/t)	Ag_Final (ppm)	Cu_Final (ppm)	Zn_Final (ppm)
<p>moy, blocs anguleux de 3 à 6cm</p> <p>499.6-500.5: Frct- et Faille, forte foliation aux périphéries, Hm+ pervasive, Chl moy en Vnl noire, CB moy en Vn-Vnl</p> <p>500.5-507: Frct- avec intervalle (1m environ) à Frct moy, blocs anguleux de 3 à 6cm</p> <p>512.7-513: Faille avec brèche de faille sur 1cn (non fracturée), Hm+ pervasive</p> <p>520.2-529: Nombreux intervalles bréchiqes. Dans les brèches: fragments inf. à 1cm matrice à Cb, Hm+ pervasive</p> <p>540-541.8: Brèche faible, Cb pervasive et en Vnl, Hm en Vnl-Vn, Sr- et Ep-</p> <p>558.4-559.3: Brèche-Veine (stockwerk), Vnl de Cb, Hm pervasive, Qz et Chl noire dans forment les Vn. Py tr en grains disséminés</p> <p>Excepté:</p> <p>391-391.8: I3, FIN</p> <p>494.5-495.3: I3, FIN</p> <p>531.4-532.6: I3, FIN</p> <p>Contacts diffus progressifs</p>								
<p>288.00      294.00      SIL+; SR; Chl; HM- Silicification forte; Séricitisation; Chloritisation; Hématitisation faible Si+ pervasive, Sr moy en mouchetage plus localement en Vnl, Chl moy en clastes, Hm- en Vnl</p>								
<p>288.00      314.00      FRC- Fracturation faible Frrct- homogène en blocs anguleux de 10 à 30cm</p>								
<p>290.30      290.80      Pytr; Cptr Pyrite tr; Chalcopyrite tr Py tr et Cp tr en grains disséminés</p>	290.30	290.80	P297397	0.50	0.005	0.10	41.0	27.0
<p>290.40      290.70      VEI;100%;Qz Cb;;15';Pytr;</p>	290.80	292.30	P297398	1.50	0.005	0.10	29.0	60.0

MAUDORE MINERALS Ltd

AL LB

Description			Analyse							
			De	À	Numéro	Longueur	Au_Final (g/t)	Ag_Final (ppm)	Cu_Final (ppm)	Zn_Final (ppm)
		<p>Veine 100% Quartz Carbonate 15° Pyrite tr Vn (100%) de Qz (90%) et Cb (10%) associée à Hm en Vnl. Py tr en grains disséminés. Contacts à 15-20deg AC</p>								
294.00	303.00	<p>SIL+; Chl; EP; HM-; PA- <b>Silicification forte; Chloritisation;</b> <b>Épidotisation; Hématisation faible;</b> <b>Paragonite faible</b> Si+ pervasive, Chl moy en clastes, Ep moy en Vnl et Vn (1cm) souvent associée, Hm- en Vnl, Pa-</p>	298.50	300.00	P297399	1.50	0.005	0.10	41.0	57.0
			300.00	300.50	P299019	0.50	0.002	0.10	35.0	52.0
			300.50	301.80	P297400	1.30	0.005	0.10	36.0	58.0
301.80	302.20	<p>Pytr <b>Pyrite tr</b> Py tr dans Vnl de Cb</p>	301.80	302.30	P297401	0.50	0.005	0.10	19.0	61.0
			302.30	303.80	P297403	1.50	0.005	0.10	38.0	62.0
303.00	313.00	<p>SIL+; PA+; CB <b>Silicification forte; Paragonite forte; Carbonatation</b> Si+ pervasive, Pa+ pervasive et en clastes, Cb moy en Vnl et localement pervasifs</p>	306.50	308.00	P297404	1.50	0.005	0.10	35.0	70.0
308.00	312.00	<p>Pytr <b>Pyrite tr</b> Py tr associée à Vnl de Cb</p>	308.00	309.00	P297405	1.00	0.005	0.10	60.0	82.0
			309.00	310.50	P297406	1.50	0.005	0.10	38.0	73.0
			310.50	311.50	P297407	1.00	0.005	0.10	39.0	67.0
311.00	313.00	<p>VEI;70%:Qz Cb;;45°:Pytr Cptr; <b>Veine 70% Quartz Carbonate 45°</b> <b>Pyrite tr Chalcopyrite tr</b> Vn (70%) de Qz (50%) et Cb (50%) associée à brèche de Cb. Py tr et Cp? tr. Contacts à 45deg AC en moy</p>	311.50	312.00	P297408	0.50	0.005	0.10	45.0	97.0
312.00	312.60	<p>Pytr; Cptr <b>Pyrite tr; Chalcopyrite tr</b> Py tr et Cp tr dans Vn de Qz</p>	312.00	312.70	P297410	0.70	0.005	0.10	40.0	34.0
312.60	327.10	<p>Pytr</p>	312.70	313.70	P297412	1.00	0.005	0.10	37.0	49.0

MAUDORE MINERALS Ltd

AL LB

Description			Analyse							
			De	À	Numéro	Longueur	Au_Final (g/t)	Ag_Final (ppm)	Cu_Final (ppm)	Zn_Final (ppm)
		<b>Pyrite tr</b> Localement Py tr en grains finement disséminés								
313.00	314.00	HM+: SIL <b>Hématisation forte; Silicification</b> Hm+ pervasive, Si moy (voir faible) pervasives et en Vn	313.70	315.00	P297413	1.30	0.005	0.10	36.0	66.0
314.00	331.00	SIL+: Chl; PA; CB- <b>Silicification forte; Chloritisation;</b> <b>Paragonite; Carbonatation faible</b> Si+ pervasive, Chl et Pa moy pervasive et en clastes, Cb- en Vnl et localement forts pervasifs	324.00	325.50	P297414	1.50	0.005	0.10	42.0	71.0
			325.50	327.00	P297415	1.50	0.005	0.10	40.0	66.0
			327.00	327.70	P297416	0.70	0.005	0.10	38.0	68.0
327.10	327.60	Pytr; Cptr <b>Pyrite tr; Chalcopyrite tr</b> Py tr et Cp tr en grains disséminés								
327.60	371.50	Pytr <b>Pyrite tr</b> Localement Py tr en grains finement disséminés, parfois en grains automorphes cubiques (1mm)	327.70	328.50	P297417	0.80	0.005	0.10	35.0	56.0
			328.50	329.50	P297418	1.00	0.005	0.10	35.0	58.0
			329.50	331.00	P297419	1.50	0.005	0.10	37.5	58.5
331.00	353.50	SIL+: Chl; PA; CB; HM- <b>Silicification forte; Chloritisation;</b> <b>Paragonite; Carbonatation;</b> <b>Hématisation faible</b> Si+ pervasive, Chl et Pa moy pervasive et en clastes, Cb moy en Vnl et en petits patches, 1-2cm (=clastes?), Hm- en Vnl	331.00	332.50	P297420	1.50	0.005	0.10	39.0	62.0
			332.50	333.00	P299020	0.50	0.002	0.10	34.0	54.0
			333.00	334.00	P297421	1.00	0.005	0.10	34.0	64.0
			340.00	341.50	P297422	1.50	0.005	0.10	33.0	56.0
			341.50	343.00	P297423	1.50	0.005	0.10	41.0	57.0
			343.00	344.50	P297424	1.50	0.005	0.10	42.0	54.0
			344.50	346.00	P297425	1.50	0.005	0.10	40.5	57.0
353.50	364.60	SIL+: CB+: Chl; PA; HM- <b>Silicification forte;</b> <b>Carbonatation forte;</b> <b>Chloritisation; Paragonite;</b> <b>Hématisation faible</b> Si+ pervasive, Cb+ en clastes, Chl et Pa moy pervasive et en clastes, Hm- en Vnl	353.50	355.00	P297426	1.50	0.005	0.20	36.0	70.0
			355.00	356.50	P297427	1.50	0.005	0.10	37.0	57.0
			356.50	358.00	P297428	1.50	0.005	0.10	40.0	55.0
			358.00	359.50	P297429	1.50	0.005	0.20	45.0	58.0
			359.50	360.00	P299021	0.50	0.002	0.10	36.0	58.0

MAUDORE MINERALS Ltd

AL LG

Description			Analyse							
			De	À	Numéro	Longueur	Au_Final (g/t)	Ag_Final (ppm)	Cu_Final (ppm)	Zn_Final (ppm)
		et pervasive sur 2cm autour des Vnl	360.00	361.00	P297430	1.00	0.005	0.10	38.0	65.0
			361.00	362.50	P297431	1.50	0.005	0.10	37.0	64.0
			362.50	364.00	P297432	1.50	0.005	0.10	41.0	61.0
			364.00	365.50	P297434	1.50	0.005	0.10	38.0	66.0
364.60	371.20	SIL+; Chl; SR; HMtr	365.50	367.00	P297436	1.50	0.005	0.10	41.0	56.0
		Silicification forte; Chloritisation;	367.00	368.50	P297437	1.50	0.005	0.20	44.0	55.0
		Séricitisation; Hématitisation tr	368.50	370.00	P297438	1.50	0.005	0.20	63.0	68.0
		Si+ pervasive, Chl moy pervasive, Sr	370.00	371.10	P297439	1.10	0.010	0.20	70.0	61.0
		moy en Vnl/Vn, Hm tr en Vnl	371.10	372.00	P297440	0.90	0.030	0.10	46.0	65.0
371.20	389.30	SIL+; Chl+; PA-; CB-; SR-; HMtr	372.00	373.50	P297442	1.50	0.040	0.20	39.0	65.0
		Silicification forte; Chloritisation	383.50	385.00	P297443	1.50	0.005	0.10	39.0	54.0
		forte; Paragonite faible;								
		Carbonatation faible;								
		Séricitisation faible; Hématitisation								
		tr								
		Si+ pervasive, Chl+ en clastes, Pa- en								
		clastes, Cb- en patches, Sr- en Vnl, Hm tr								
		en Vnl								
371.20	372.20	VEI;50%;Cb Hm;;35°;Cptr Pylr;								
		Veine 50% 35° Chalcoppyrite tr								
		Pyrite tr								
		Vn-Brèche (50%) à Cb et Hm. Py tr en								
		grains disséminés, Cp tr en grains								
		disséminés. Contacts diffus mais à priori								
		dans la foliation 35deg AC								
385.00	394.00	Pylr	385.00	386.50	P297444	1.50	0.010	0.10	39.0	57.0
		Pyrite tr	386.50	388.00	P297445	1.50	0.005	0.10	37.5	57.0
		Py tr en grains disséminés	388.00	389.00	P297446	1.00	0.005	0.10	42.0	66.0
		Excepté:	389.00	390.50	P297447	1.50	0.005	0.10	35.0	49.0
		391-391.8: I3, FIN								
389.30	395.00	SIL; Chl; CB; SR-; HMtr	390.50	391.00	P299025	0.50	0.002	0.10	40.0	59.0
		Silicification; Chloritisation;								
		Carbonatation; Séricitisation								
		faible; Hématitisation tr								
		Si moy, Chl moy en clastes, Cb moy								

MAUDORE MINERALS Ltd

AC 18

Description		Analyse								
		De	À	Numéro	Longueur	Au_Final (g/l)	Ag_Final (ppm)	Cu_Final (ppm)	Zn_Final (ppm)	
		pervasifs et en Vnl-Vn, Sr- en Vnl, Hm tr en Vnl								
		Excepté: 391-391.8: I3, FIN								
391.00	391.80	I3; FIN	391.00	391.70	P297448	0.70	0.008	0.10	68.0	68.0
		Intrusion mafique; Grains fins	391.70	392.50	P297449	0.80	0.005	0.10	33.0	70.0
		Intrusion mafique	392.50	394.00	P297450	1.50	0.008	0.10	37.0	52.5
		Roche homogène massive noire								
		Microgrenue	394.00	395.50	P297451	1.50	0.005	0.10	36.0	66.0
		Quelques fines Vnl de Cb								
		Contact sup. fracturé, contact inf. net discordant 55deg AC								
395.00	425.00	SIL+; Chl+; PA; CB-; HM- Silicification forte; Chloritisation forte; Paragonite; Carbonatisation faible; Hématisation faible Si+ pervasive, Chl+ en clastes, Pa moy en clastes, Cb- en patchs et Vnl, Hm- (voir moy dans la partie inf. de l'intervalle)								
396.00	400.00	Pytr	397.50	399.00	P297452	1.50	0.005	0.10	43.0	65.0
		Pyrite tr	399.00	400.00	P297453	1.00	0.005	0.10	40.0	67.0
		Py tr en grains disséminés	400.00	401.50	P297454	1.50	0.005	0.10	38.0	64.0
			401.50	403.00	P297455	1.50	0.005	0.10	44.0	63.0
403.00	409.00	Pytr	403.00	404.50	P297456	1.50	0.005	0.10	46.0	70.0
		Pyrite tr	404.50	406.00	P297457	1.50	0.005	0.10	43.0	65.0
		Py tr en grains disséminés	406.00	407.50	P297458	1.50	0.005	0.10	44.0	69.0
			407.50	409.00	P297460	1.50	0.005	0.10	37.0	55.0
412.00	429.60	Pytr	412.00	413.50	P297461	1.50	0.005	0.10	43.0	60.0
		Pyrite tr	413.50	415.00	P297462	1.50	0.005	0.10	36.0	61.0
		Py tr en grains disséminés	415.00	416.50	P297463	1.50	0.005	0.10	35.0	58.0
			416.50	418.00	P297465	1.50	0.005	0.10	40.0	64.0
			418.00	419.50	P297466	1.50	0.005	0.10	46.0	63.0
			419.50	420.00	P299026	0.50	0.002	0.10	32.0	63.0

MAUDORE MINERALS Ltd

AC 12

Description			Analyse							
			De	À	Numéro	Longueur	Au_Final (g/t)	Ag_Final (ppm)	Cu_Final (ppm)	Zn_Final (ppm)
425.00	445.50	SIL; Chl; PA; CB; HM; EP Silicification; Chloritisation; Paragonite; Carbonatation; Hématitisation; Épidotisation Zone à forte altération, couleur vert clair à rouge. Si moy pervasive, Chl moy en clastes, Pa moy en clastes, Cb moy pervasive, Hm moy pervasive et en Vnl, Ep moy en Vnl	420.00	421.00	P297467	1.00	0.005	0.10	29.0	64.0
			421.00	422.50	P297468	1.50	0.005	0.10	39.0	69.0
			422.50	424.00	P297470	1.50	0.005	0.10	41.0	58.0
			424.00	425.50	P297471	1.50	0.010	0.10	36.0	48.0
425.20	430.00	FRC <b>Fracturé(e)</b> Frct moy sur l'ensemble. Plusieurs intervalles 30-40cm à Frct+ (blocs anguleux de 1 à 4cm).	425.50	426.00	P297472	0.50	0.005	0.10	17.0	40.0
			426.00	427.00	P297473	1.00	0.005	0.15	20.5	56.0
			427.00	428.50	P297474	1.50	0.005	0.10	8.0	55.0
			428.50	429.50	P297475	1.00	0.008	0.10	2.5	57.5
			429.50	430.00	P297476	0.50	0.005	0.10	4.0	69.0
429.60	444.00	Pylr; Cptr <b>Pyrite tr; Chalcopyrite tr</b> Py tr en grains disséminés et Cp tr en grains associée aux Vn de Qz								
430.00	430.80	BRE <b>Bréchique</b> Brèche à Hm et Cb. Py tr en grains disséminés	430.00	430.50	P297478	0.50	0.005	0.10	15.0	65.0
			430.50	431.00	P297479	0.50	0.005	0.10	2.0	65.0
			431.00	432.00	P297480	1.00	0.005	0.10	24.0	51.0
			432.00	433.00	P297481	1.00	0.005	0.10	20.0	53.0
			433.00	433.50	P297482	0.50	0.005	0.10	15.0	54.0
			433.50	434.00	P297483	0.50	0.005	0.10	43.0	53.0
			434.00	435.00	P297485	1.00	0.005	0.10	15.0	57.0
			435.00	436.00	P297486	1.00	0.005	0.10	56.0	60.0
			436.00	437.00	P297487	1.00	0.005	0.10	10.0	37.0
			437.00	437.50	FRC+ <b>Fracturation forte</b> Frct+, blocs anguleux de 1 à 3cm	437.00	437.50	P297488	0.50	0.005
437.50	438.50	P297489				1.00	0.005	0.10	17.0	52.0

MAUDORE MINERALS Ltd

AL LB

Description			Analyse							
			De	À	Numéro	Longueur	Au_Final (g/t)	Ag_Final (ppm)	Cu_Final (ppm)	Zn_Final (ppm)
438.00	439.10	VEI;70%;Qz Cb Cl;;Pytr;	438.50	439.00	P297490	0.50	0.005	0.10	89.0	41.0
		Veine 70% Quartz Carbonate	439.00	440.00	P297492	1.00	0.005	0.10	125.0	55.0
		Chlorite Pyrite tr	440.00	440.50	P297493	0.50	0.005	0.10	44.0	49.0
		Vn (70%) de Qz (90%), Cb et Chl. Py tr en grains disséminés. Vn à 15deg AC	440.50	442.00	P297494	1.50	0.005	0.10	23.5	58.5
			442.00	443.00	P297495	1.00	0.005	0.10	35.0	55.0
			443.00	443.50	P297496	0.50	0.005	0.10	336.0	55.0
443.30	443.60	FAI	443.50	445.00	P297497	1.50	0.005	0.10	33.0	61.0
		Faïlle								
		Faïlle, avec brèche de faille (10Cm) et Vn de Cb à 25deg AC								
444.00	455.30	Pytr	445.00	446.50	P297498	1.50	0.005	0.10	40.0	64.0
		Pyrite tr								
		Py tr en grains disséminés avec une concentration plus importante dans les clastes de Chl								
445.50	491.10	SIL+; Chl+; CB; HM-; SR-; EPIr	446.50	448.00	P297499	1.50	0.005	0.10	39.0	57.0
		Silicification forte; Chloritisation forte; Carbonatation;	448.00	448.50	P299027	0.50	0.002	0.40	29.0	58.0
		Hématitisation faible; Séricitisation faible; Épidotisation tr	448.50	449.50	P297500	1.00	0.005	0.10	41.0	64.0
		Si+ pervasive, Chl+ en clastes, Cb moy en patchs (=clastes?) de 2-3cm allongés dans la foliation et également en Vnl et Vn, Pa- en clastes, Hm- à moy en Vnl et pervasive sur 1cm autour de celles-ci, Sr- en Vnl, Ep tr en Vnl	449.50	451.00	P297501	1.50	0.005	0.10	44.0	59.0
			451.00	452.50	P297502	1.50	0.005	0.10	43.0	57.0
			452.50	454.00	P297503	1.50	0.005	0.10	44.0	65.0
			454.00	455.50	P297504	1.50	0.008	0.10	46.0	62.0
	459.00	460.00	P297505	1.00	0.005	0.10	48.0	53.0		
459.20	460.00	Pytr	460.00	461.30	P297506	1.30	0.005	0.10	51.0	53.0
		Pyrite tr								
		Py tr en grains disséminés avec une concentration plus importante dans les clastes de Chl								
461.30	461.80	Pytr; Cptr	461.30	461.80	P297507	0.50	0.005	0.10	42.0	58.0
		Pyrite tr; Chalcopyrite tr	461.80	463.00	P297509	1.20	0.005	0.10	45.0	53.0
		Py tr en grains disséminés, Cp tr en								

MAUDORE MINERALS Ltd

AL LB

Description			Analyse							
			De	À	Numéro	Longueur	Au_Final (g/t)	Ag_Final (ppm)	Cu_Final (ppm)	Zn_Final (ppm)
grains disséminés										
466.50	468.70	Pytr	466.50	467.30	P297510	0.80	0.005	0.50	46.0	62.0
		<b>Pyrite tr</b>	467.30	467.80	P297511	0.50	0.005	0.20	56.0	52.0
		Py tr en grains disséminés	467.80	469.00	P297513	1.20	0.005	0.10	42.0	73.0
			473.00	474.50	P297514	1.50	0.005	0.10	36.0	65.0
474.50	475.00	Py00.5	474.50	475.00	P297515	0.50	0.010	0.10	63.0	77.0
		<b>Pyrite 0.5%</b>								
		Py 0.5% en grains disséminés localisés autour Vn de Cb								
475.00	476.50	Pytr	475.00	476.50	P297517	1.50	0.005	0.10	51.0	61.0
		<b>Pyrite tr</b>	476.50	478.00	P297518	1.50	0.005	0.40	26.0	64.0
		Py tr en grains disséminés	478.00	479.50	P299279	1.50	0.005	0.10	40.0	58.0
			479.50	480.00	P299036	0.50	0.002	0.10	31.0	53.0
			480.00	481.50	P297519	1.50	0.005	0.10	43.0	59.0
483.70	484.00	BRE	485.00	486.00	P297520	1.00	0.005	0.10	27.0	60.0
		<b>Bréchique</b>								
		Brèche (faille?) Chl, Cb								
485.20	485.50	BRE								
		<b>Bréchique</b>								
		Brèche (faille?) Chl, Ep, Cb								
485.50	494.50	Pytr	486.00	487.50	P297521	1.50	0.005	0.10	44.0	67.0
		<b>Pyrite tr</b>	487.50	488.00	P297522	0.50	0.005	0.10	22.0	68.0
		Py tr localement 1% en Vnl (50%) et grains disséminés (50%)	488.00	489.00	P297523	1.00	0.005	0.10	32.0	82.0
			489.00	490.00	P297524	1.00	0.005	0.20	43.0	63.0
			490.00	491.00	P297525	1.00	0.010	0.10	35.5	56.0
			491.00	492.30	P297526	1.30	0.005	0.10	2.0	46.0
491.10	493.50	HM+; PA+; SIL; CB-								
		<b>Hématisation forte; Paragonite</b>								
		<b>forte; Silicification;</b>								
		<b>Carbonatation faible</b>								
		Couleur rose, Hm+ pervasive, Pa+								
		pervasiva (souvent associée à Hm), Si								
		moy en Vn, Cb- en Vnl								



MAUDORE MINERALS Ltd

AC LA

Description			Analyse							
			De	À	Numéro	Longueur	Au_Final (g/t)	Ag_Final (ppm)	Cu_Final (ppm)	Zn_Final (ppm)
492.30	493.10	VEI;100%;Qz Cb;;Py00.5;	492.30	493.10	P297527	0.80	0.005	0.10	4.0	13.0
		Veine 100% Quartz Carbonate Pyrite 0.5% Vn (100%) à Qz (70%) et Cb (30%), Py 0.5% en grains disséminés, contacts ondulants	493.10	494.60	P297529	1.50	0.030	0.10	77.0	89.0
493.50	499.60	SIL; Chl; PA; HM; CB- Silicification; Chloritisation; Paragonite; Hématite; Carbonatation faible Si moy pervasive, Chl moy en clastes, Pa moy en clastes, Hm moy en Vnl et localement pervasive, Cb- en Vnl et patches								
494.50	495.30	I3; FIN Intrusion mafique; Grains fins Intrusion mafique Roche noire massif Roche microgrenue Py 2-3% en grains très petits disséminés Cb+ pervasifs et en grains millimétriques Contacts sup et inf. net concordants à 38deg AC								
494.50	495.30	Py01	494.60	495.10	P299037	0.50	0.005	0.20	308.0	56.0
		Pyrite 1% Py 1% en grains disséminés	495.10	496.10	P297530	1.00	0.005	0.20	115.0	55.0
495.90	499.60	FRC-	496.10	497.60	P297531	1.50	0.005	0.10	29.0	56.0
		Fracturation faible	497.60	498.30	P297532	0.70	0.005	0.10	42.0	50.0
		Frct- avec intervalle (1m environ) à Frct moy, blocs anguleux de 3 à 6cm	498.30	499.10	P297533	0.80	0.005	0.10	34.0	64.0
			499.10	500.10	P297534	1.00	0.005	0.10	33.0	58.0
499.60	503.70	HM+; PA+; SIL; CB- Hématite forte; Paragonite forte; Silicification; Carbonatation faible Couleur rouge-brun, Hm+ en bandes	500.10	501.00	P297536	0.90	0.005	0.10	5.0	45.0

MAUDORE MINERALS Ltd

AL LB

Description			Analyse							
			De	À	Numéro	Longueur	Au_Final (g/t)	Ag_Final (ppm)	Cu_Final (ppm)	Zn_Final (ppm)
		pervasives, Pa+ en clastes? (associée à Hm), Si moy en Vn, Cb- en Vnl								
499.60	500.50	FRC-; FAI Fracturation faible; Faille Frct- et Faille, forte foliation aux périphéries, Hm+ pervasives, Chl moy en Vnl noire, CB moy en Vn-Vnl								
500.50	507.00	FRC- Fracturation faible Frct- avec intervalle (1m environ) à Frct moy, blocs anguleux de 3 à 6cm	501.00	502.00	P297537	1.00	0.005	0.10	2.0	53.0
			502.00	503.50	P297538	1.50	0.005	0.10	4.0	52.0
			503.50	505.00	P297540	1.50	0.005	0.10	50.0	65.0
503.70	512.70	SIL+; Chl+; PA; SR; CB-; EP- Silicification forte; Chloritisation forte; Paragonite; Séricitisation; Carbonatation faible; Épidotisation faible Si+ (voir moy) pervasives, Chl+ en clastes, Pa moy en clastes, Sr moy en Vn, Cb- en Vnl-Vn, Ep- associée à Sr?	505.00	506.50	P297541	1.50	0.005	0.10	151.0	55.0
505.80	506.80	Py01 Pyrite 1% Py 1% en grains très fins disséminés	506.50	508.00	P297542	1.50	0.005	0.10	43.0	68.0
506.80	529.00	Pytr Pyrite tr Py tr en grains disséminés	508.00	509.00	P297543	1.00	0.005	0.10	59.0	67.0
			509.00	510.50	P297544	1.50	0.005	0.10	60.0	70.0
			510.50	511.00	P299038	0.50	0.002	0.10	49.0	60.0
			511.00	512.50	P297545	1.50	0.005	0.10	54.0	68.0
			512.50	514.00	P297546	1.50	0.005	0.10	48.5	65.0
512.70	529.00	HM+; SIL; CB; PA; Chl- Hématisation forte; Silicification; Carbonatation; Paragonite; Chloritisation faible Couleur rouge: Hm+ pervasives, Si moy (voir forte), Cb moy matricielle dans les brèches, Pa moy en bandes d'altération	514.00	515.50	P297547	1.50	0.005	0.10	62.0	63.0
			515.50	517.00	P297548	1.50	0.005	0.10	36.0	68.0
			517.00	518.50	P297549	1.50	0.005	0.10	42.0	61.0
			518.50	520.00	P297550	1.50	0.008	0.10	29.5	64.0
			520.00	521.50	P297551	1.50	0.005	0.10	35.0	63.0

Description			Analyse							
			De	À	Numéro	Longueur	Au_Final (g/l)	Ag_Final (ppm)	Cu_Final (ppm)	Zn_Final (ppm)
512.70	513.00	(2-3cm), Chl- en rares clastes FAI Faille Faille avec brèche de faille sur 1cm (non fracturée), Hm+ pervasive								
520.20	529.00	BRE Bréchique Nombreux intervalles bréchiques. Dans les brèches: fragments inf. à 1cm matrice à Cb. Hm+ pervasive	521.50	522.50	P297552	1.00	0.005	0.10	27.0	49.0
			522.50	523.00	P297553	0.50	0.005	0.10	74.0	57.0
			523.00	524.50	P297554	1.50	0.005	0.10	40.0	64.0
			524.50	526.00	P297555	1.50	0.005	0.10	47.0	61.0
			526.00	527.50	P297556	1.50	0.005	0.10	56.0	69.0
			527.50	529.00	P297557	1.50	0.005	0.10	59.0	70.0
529.00	531.00	SIL+; Chl; PA; CB-; HMIr Silicification forte; Chloritisation; Paragonite; Carbonatation faible; Hématitisation tr Si+ (à moy) pervasive, Chl moy en clastes, Pa moy en clastes, Cb- (à moy) en patchs, Hm tr en Vnl								
529.00	538.00	Pyrr; Cptr Pyrrite tr; Chalcopyrite tr Py tr en grains disséminés et occasionnellement Cp tr en grains disséminés	529.00	530.00	P297558	1.00	0.005	0.10	58.0	70.0
			530.00	530.50	P297559	0.50	0.005	0.10	59.0	77.0
			530.50	531.40	P297561	0.90	0.005	0.10	51.0	71.0
531.00	538.00	Excepté: 531.4-532.6: I3, FIN SIL; Chl; PA; HM; CB Silicification; Chloritisation; Paragonite; Hématitisation; Carbonatation Si moy pervasive, Chl et Pa moy en clastes, Hm moy localement pervasive, Cb moy patchs et Vnl  Excepté: 531.4-532.6: I3, FIN								

MAUDORE MINERALS Ltd

AC 13

Description			Analyse							
			De	À	Numéro	Longueur	Au_Final (g/t)	Ag_Final (ppm)	Cu_Final (ppm)	Zn_Final (ppm)
531.40	532.60	I3; FIN Intrusion mafique; Grains fins Intrusion mafique Roche gris sombre Microgrenue voir aphanitique avec grains de chlorite noire allongés (0.5mm) Quelques Vnl/patches de Cb Pas de minéralisation Contacts flous, pas vraiment discernables, probablement dans la foliation	532.50	533.50	P297562	1.00	0.005	0.10	37.0	69.0
			533.50	535.00	P297563	1.50	0.010	0.10	47.0	74.0
			535.00	536.50	P297564	1.50	0.010	0.10	46.0	65.0
			536.50	537.50	P297565	1.00	0.005	0.10	41.0	59.0
			537.50	538.00	P297566	0.50	0.010	0.10	158.0	57.0
538.00	540.00	PA+; SIL; Chl; CB-; HMtr Paragonite forte; Silicification; Chloritisation faible; Carbonatation faible; Hématisation tr Gris clair, Pa+ pervasive, Si moy pervasive, Chl- pervasive, Cb- en Vn-Vnl, Hm tr en Vnl	538.00	538.50	P298039	0.50	0.002	0.10	47.0	52.0
			538.50	539.50	P297568	1.00	0.005	0.10	49.0	76.0
			539.50	541.00	P297569	1.50	0.005	0.10	46.0	57.0
540.00	546.50	SIL+; PA; CB; HM-; EPtr Silicification forte; Paragonite; Carbonatation; Hématisation faible; Épidotisation tr Si+ (à moy) pervasive, Pa moy en Vn, Cb moy en Vn-Vnl-patches et localement pervasive, localement Hm+ sur intervalle de 40-50cm, Ep tr en Vnl	541.00	542.50	P297570	1.50	0.005	0.10	40.0	50.0
			542.50	544.00	P297571	1.50	0.005	0.10	47.0	64.0
			544.00	545.50	P297573	1.50	0.005	0.10	32.0	65.0
			545.50	547.00	P297574	1.50	0.005	0.10	44.0	63.0
540.00	541.80	BRE Bréchique Brèche faible, Cb pervasive et en Vnl, Hm en Vnl-Vn, Sr- et Ep-								
546.50	558.50	SIL; Chl; PA; CB; SR; HM-; EPtr Silicification; Chloritisation; Paragonite; Carbonatation; Séricitisation; Hématisation faible; Épidotisation tr Intervalle hétérogène; Si moy pervasive, Chl et Pa moy en clastes, Cb moy en	547.00	547.50	P297575	0.50	0.005	0.10	55.0	64.5

MAUDORE MINERALS Ltd

AL LB

Description			Analyse							
			De	À	Numéro	Longueur	Au_Final (g/l)	Ag_Final (ppm)	Cu_Final (ppm)	Zn_Final (ppm)
		Vnl-patches, Sr moy en Vn-Vnl, Ep- en Vnl, localement Hm+ sur intervalle de 40-50cm								
547.30	547.50	VEI;70%;Cb Cl Hm;;25°;Pytr;	547.50	548.50	P297576	1.00	0.005	0.30	35.0	71.0
		<b>Veine 70% Carbonate Chlorite</b>	548.50	550.00	P297577	1.50	0.005	0.10	49.0	75.0
		<b>Hématite 25° Pyrite tr</b>	550.00	551.50	P297578	1.50	0.005	0.10	46.0	72.0
		Vn de Cb-Chl noire, Hm avec Py tr en grains disséminés. Contacts nets à 25deg AC	557.00	558.50	P297580	1.50	0.010	0.80	37.0	73.0
558.40	559.30	<b>BRE</b> <b>Bréchiq</b> Brèche-Veine (stockwerk), Vnl de Cb, Hm pervasive, Qz et Chl noire dans forment les Vn. Py tr en grains disséminés								
558.50	559.00	HM+; SIL; CB <b>Hématisation forte; Silicification; Carbonatation</b> Hm+ pervasive, Si moy pervasive, Cb moy en Vnl								
558.50	559.90	Py00.5 <b>Pyrite 0.5%</b> Py 0.5% en grains disséminés	558.50	559.30	P297581	0.80	0.030	0.10	22.0	69.0
559.00	560.00	CB+; SIL+; Chl-; PA- <b>Carbonatation forte;</b> <b>Silicification forte; Chloritisation faible; Paragonite faible</b> Cb+ pervasive, Si+ pervasive, Chl-, Pa- en Vnl	559.30	559.80	P297583	0.50	0.450	1.00	61.0	104.0
			559.80	560.50	P297584	0.70	0.010	0.10	46.0	78.0
560.00	631.00	V2-V3; MAS <b>Volcanite Intermédiaire à mafique; Massif</b> Volcanite intermédiaire à mafique Roche massif homogène Matrice à grains fins de couleur gris moyen à verdâtre	560.50	561.50	P297585	1.00	0.010	0.20	45.0	66.0

Description	Analyse							
	De	À	Numéro	Longueur	Au_Final (g/t)	Ag_Final (ppm)	Cu_Final (ppm)	Zn_Final (ppm)
<p>Très rares clastes visibles. Foliation très peu visible à 35-40deg AC</p> <p>L'aspect massif résulte peut être uniquement d'une faible altération.</p> <p>Altération:</p> <p>560-583: Roche massive, Si+ pervasive, Chl+ pervasive, Cb moy en patchs et Vnl, Pa-, De</p> <p>578.5-579: Hm+ pervasive avec Ep moy en Vnl sinon sur l'intervalle Hm tr</p> <p>583-631: Roche massive, Si+ pervasive, Chl+ pervasive, Pa- en clastes et aux pourtours des Vnl de Cb, Cb- en Vnl, Hm tr en Vnl, Sr tr en Vnl-Vn. Localement Pa plus forte de 612 à 613</p> <p>Minéralisation:</p> <p>561.5-563.5: Py 3% dans Vn de Cb</p> <p>582-582.5: Py 2% en grains disséminés aux contacts de Vn de Cb</p> <p>582.5-583: Py tr en grains disséminés</p> <p>622-623: Py tr en grains disséminés</p> <p>623-623.5: Py tr en grains disséminés et qlq grains de Cp? disséminés</p> <p>Veine:</p> <p>561.5-563.5: Vn de Cb-Py (2cm de large) dans l'axe de la carotte 2-5deg AC, Py dans Vn environ 5-10%</p> <p>582.1-582.6: Vn (60%) de Cb, Chl noire, Qz et Hm. Py tr en grains disséminés. Py 2% aux contacts dans l'encaissant. Contacts nets à 40deg AC</p> <p>588.5-589.2: Vn (100%) de Cb, Chl noire, Qz et Hm. Py tr en grains disséminés. Contacts nets à 30deg AC</p> <p>616.5-618: Vn (60%) à Qz, Cb, Chl, Hm et Py tr en grains disséminés. Contacts à 5-10deg AC</p> <p>628.4-628.6: Vn (100%) à Hm, Ep et Cb. Contacts à 45deg AC</p> <p>Structure:</p> <p>612-613.2: Frct-, blocs anguleux de 10-20cm</p>								

MAUDORE MINERALS Ltd

AC LB

Description			Analyse							
			De	À	Numéro	Longueur	Au_Final (g/t)	Ag_Final (ppm)	Cu_Final (ppm)	Zn_Final (ppm)
560.00	583.00	SIL+; CHl+; CB; PA-; HMtr Silicification forte; Chloritisation forte; Carbonatation; Paragonite faible; Hémalisation tr Roche massive, Si+ pervasive, CHl+ pervasive, Cb moy en patchs et Vnl, Pa-. De 578.5-579: Hm+ pervasive avec Ep moy en Vnl sinon sur l'intervalle Hm tr								
561.50	563.50	Py03 Pyrite 3% Py 3% dans Vn de Cb								
561.50	563.50	VEI;60%;Cb;;5*;Py07; Veine 60% Carbonate 5* Pyrite 7% Vn de Cb-Py (2cm de large) dans l'axe de la carotte 2-5deg AC, Py dans Vn environ 5-10%	561.50	562.00	P297586	0.50	0.010	0.20	36.0	61.0
			562.00	562.50	P297587	0.50	0.005	0.20	42.0	56.0
			562.50	563.00	P297589	0.50	0.010	0.30	40.0	32.0
			563.00	563.50	P297590	0.50	0.005	0.10	52.0	72.0
			563.50	565.00	P297591	1.50	0.005	0.10	50.0	62.0
			569.00	570.50	P297592	1.50	0.005	0.10	35.0	67.0
			570.50	571.00	P299040	0.50	0.002	0.10	34.0	62.0
			571.00	572.50	P297593	1.50	0.005	0.10	38.0	69.0
			580.50	582.00	P297594	1.50	0.005	0.10	43.0	67.0
582.00	582.50	Py02 Pyrite 2% Py 2% en grains disséminés aux contacts de Vn de Cb	582.00	583.00	P297595	1.00	0.005	0.10	50.5	64.5
582.10	582.60	VEI;60%;Cb Cl Oz Hm;;40*;Py00.5; Veine 60% Carbonate Chlorite Quartz Hémalite 40* Pyrite 0.5% Vn (60%) de Cb, CHl noire. Qz et Hm. Py tr en grains disséminés. Py 2% aux contacts dans l'encaissant. Contacts nets à 40deg AC								
582.50	583.00	Pylr Pyrite tr								

MAUDORE MINERALS Ltd

AC 12

Description			Analyse							
			De	À	Numéro	Longueur	Au_Final (g/t)	Ag_Final (ppm)	Cu_Final (ppm)	Zn_Final (ppm)
583.00	631.00	Py tr en grains disséminés SIL+; Chl+; PA-; CB-; HMtr; SRtr Silicification forte; Chloritisation forte; Paragonite faible; Carbonatation faible; Hématitisation tr; Séricitisation tr Roche massive, Si+ pervasive, Chl+ pervasive, Pa- en clastes et aux pourtours des Vnl de Cb, Cb- en Vnl, Hm tr en Vnl, Sr tr en Vnl-Vn. Localement Pa plus forte de 612 à 613	583.00	584.50	P297596	1.50	0.005	0.10	25.0	44.0
			587.00	588.30	P297597	1.30	0.005	0.10	51.0	53.0
			588.30	589.20	P297598	0.90	0.005	0.10	38.0	38.0
588.50	589.20	VEI;100%;Cb Cl Qz Hm;;30°;Pytr; Veine 100% Carbonate Chlorite Quartz Hématite 30° Pyrite tr Vn (100%) de Cb, Chl noire, Qz et Hm. Py tr en grains disséminés. Contacts nets à 30deg AC	589.20	590.70	P297599	1.50	0.010	0.10	31.0	59.0
			598.00	599.50	P297600	1.50	0.008	0.10	53.0	54.0
			599.50	601.00	P297601	1.50	0.005	0.10	73.0	52.0
			601.00	601.50	P299041	0.50	0.002	0.10	81.0	45.0
			601.50	603.00	P297602	1.50	0.005	0.10	88.0	54.0
			603.00	604.50	P297603	1.50	0.005	0.10	67.0	48.0
612.00	613.20	FRC- Fracturation faible Frct-, blocs anguleux de 10-20cm	615.00	616.50	P297604	1.50	0.005	0.10	59.0	35.0
616.50	618.00	VEI;60%;Qz Cb Cl Hm;;7°;Pytr; Veine 60% Quartz Carbonate Chlorite Hématite 7° Pyrite tr Vn (60%) à Qz, Cb, Chl, Hm et Py tr en grains disséminés. Contacts à 5-10deg AC	616.50	617.50	P297605	1.00	0.005	0.20	26.0	11.0
			617.50	618.00	P297607	0.50	0.005	0.10	43.0	42.0
			618.00	619.50	P297608	1.50	0.005	0.10	44.0	53.0
622.00	623.00	Pytr Pyrite tr Py tr en grains disséminés	622.00	623.00	P297610	1.00	0.005	0.10	46.0	46.0
623.00	623.50	Pytr; Cptr Pyrite tr; Chalcopyrite tr Py tr en grains disséminés et qlq grains de Cp? disséminés	623.00	623.50	P297611	0.50	0.005	0.10	67.0	57.0
			623.50	625.00	P297613	1.50	0.005	0.10	46.0	71.0
628.40	628.60	VEI;100%;Hm Ep Cb;;45°;; Veine 100% Hématite Épidote Carbonate 45°	629.00	630.50	P297614	1.50	0.005	0.10	16.0	51.0
			630.50	631.00	P299042	0.50	0.002	0.10	25.0	48.0



AC LB

Description			Analyse							
			De	À	Numéro	Longueur	Au_Final (g/t)	Ag_Final (ppm)	Cu_Final (ppm)	Zn_Final (ppm)
631.00	638.90	<p>Vn (100%) à Hm, Ep et Cb. Contacts à 45deg AC</p> <p>V2-V3; T1</p> <p><b>Volcanite intermédiaire à mafique; Tuf à lapillis</b></p> <p>Volcanite intermédiaire à mafique. Tuf à lapillis</p> <p>Matrice à grains fins de couleur gris moyen, verdâtre.</p> <p>Clastes (45%) de 0.5 à 3 cm, étirés dans la foliation:</p> <p>Alternance de bandes noires (chlorite) et vert clair (paragonite ou séricite), mm à cm</p> <p>Altération:</p> <p>Roche beaucoup plus sombre (presque noire). La transition est progressive avec de plus en plus de bandes noires. Si+ pervasive, Chl+ pervasive, Cb- en Vnl et clastes (rouge), Ep- en Vnl</p> <p>Contacts diffus progressifs</p>								
	631.00	<p>638.90</p> <p>SIL+; Chl+; CB-; EP-</p> <p><b>Silicification forte; Chloritisation forte; Carbonatation faible; Épidotisation faible</b></p> <p>Roche beaucoup plus sombre (presque noire). La transition est progressive avec de plus en plus de bandes noires.</p> <p>Si+ pervasive, Chl+ pervasive, Cb- en Vnl et clastes (rouge), Ep- en Vnl</p>	631.00	632.50	P297615	1.50	0.005	0.10	51.0	50.0
			637.00	638.50	P297616	1.50	0.005	0.10	25.0	63.0
			638.50	640.00	P297617	1.50	0.005	0.10	5.0	52.0
638.90	643.20	<p>V1C</p> <p><b>Rhyodacite</b></p> <p>Rhyodacite</p> <p>Roche verte claire à jaunâtre, massif.</p> <p>Pas de pQz</p> <p>Foliation marquée par l'étiement des minéraux noirs (mafique) à 60deg AC</p> <p>Contacts pas vraiment net, ils semblent tout de même être dans la foliation</p> <p>Altération:</p> <p>Pa+ pervasive, Chl+ pervasive, Si moy, Ep moy pervasive, Cb- rouges-roses en Vnl</p>								

Ac LB

Description			Analyse							
			De	À	Numéro	Longueur	Au_Final (g/l)	Ag_Final (ppm)	Cu_Final (ppm)	Zn_Final (ppm)
		Minéralisation: Py 0.5% à 1% en grains fins disséminés								
		Contacts diffus progressifs								
638.90	643.20	PA+; ChI+; SIL; EP; CB-	640.00	641.50	P297618	1.50	0.005	0.10	0.8	58.0
		Paragonite forte; Chloritisation forte; Silicification; Épidotisation; Carbonatation faible	641.50	642.00	P299043	0.50	0.002	0.10	0.5	57.0
		Pa+ pervasive, ChI+ pervasive, Si moy, Ep moy pervasive, Cb- rouges-roses en Vnl	642.00	643.00	P297619	1.00	0.005	0.10	0.5	48.0
			643.00	644.50	P297620	1.50	0.005	0.10	23.0	55.0
643.20	657.00	V2-V3; TI Volcanite intermédiaire à mafique; Tuf à lapillis Volcanite intermédiaire à mafique. Tuf à lapillis Matrice à grains fins de couleur gris moyen, verdâtre. Clastes (30%) de 0.5 à 3 cm, étirés dans la foliation: Alternance de bandes noires (chlorite) et grises (paragonite ou séricite), mm à cm  Altération: 643.2-651: Gris clair. Si+ pervasive, Cb+ pervasifs. Pa moy en clastes, ChI- en clastes, Hm- (localement moy.) en Vnl 651-657: Roche sombre homogène, Si+ pervasive, ChI+ en clastes, Pa- en clastes, Sr- en Vnl, Hm tr en Vnl, Cb tr en Vnl  Structure: 644.2-647.4: Stockwerk à Vnl de Cb et Hm avec de 646.4-647.3 une faille marquée par la variation de la foliation 45deg AC, 90deg AC, 45deg AC  Contacts diffus progressifs								
	643.20	SIL+; CB+; PA; ChI-; HM- Silicification forte; Carbonatation forte; Paragonite; Chloritisation faible; Hématitisation faible Gris clair. Si+ pervasive, Cb+ pervasifs, Pa moy en clastes, ChI- en clastes, Hm-								

MAUDORE MINERALS Ltd

AL LB

Description			Analyse							
			De	À	Numéro	Longueur	Au_Final (g/t)	Ag_Final (ppm)	Cu_Final (ppm)	Zn_Final (ppm)
(localement moy.) en Vnl										
644.20	646.40	STW;50%;Cb Hm;;; Stockwerk 50% Carbonate Hématite Stockwerk à Vnl de Cb et Hm	644.50	646.00	P297621	1.50	0.005	0.10	40.0	61.0
			646.00	647.50	P297622	1.50	0.008	0.10	45.0	55.0
646.40	647.30	FAI Faille Faille marquée par la variation de la foliation 45deg AC, 90deg AC, 45deg AC								
647.30	647.40	STW;50%;Cb Hm;;; Stockwerk 50% Carbonate Hématite Stockwerk à Vnl de Cb et Hm								
651.00	685.00	SIL+; Chl+; PA-; SR-; HMtr; CBtr Silicification forte; Chloritisation forte; Paragonite faible; Séricitisation faible; Hématitisation tr; Carbonatitisation tr Roche sombre homogène, Si+ pervasiva, Chl+ en clastes, Pa- en clastes, Sr- en Vnl, Hm tr en Vnl, Cb tr en Vnl	655.00	656.50	P297623	1.50	0.010	0.10	82.0	59.0
			656.50	658.00	P297624	1.50	0.005	0.10	71.0	54.0
657.00	665.50	V2-V3; MAS Volcanite intermédiaire à mafique; Massif Volcanite intermédiaire à mafique Roche massif homogène Matrice à grains fins de couleur gris moyen à verdâtre Très rares clastes visibles environ 2%. Foliation très peu visible à 55deg AC  Altération: Roche sombre homogène, Si+ pervasiva, Chl+ pervasiva, Pa- en clastes, Sr- en Vnl, Hm tr en Vnl, Cb tr en Vnl  Minéralisation: 659-660.5; Py tr en grains disséminés	658.00	659.50	P297625	1.50	0.005	0.10	79.5	56.0

MAUDORE MINERALS Ltd

AC LB

Description		Analyse							
		De	À	Numéro	Longueur	Au_Final (g/t)	Ag_Final (ppm)	Cu_Final (ppm)	Zn_Final (ppm)
	<p>Veine: 668.5-673: Intervalle à forte concentration de Vn de Cb blanche (calcite) de 2-3cm d'épaisseurs, principalement concordantes. Non minéralisées</p> <p>Contacts diffus progressifs</p>								
659.00	660.50 Pytr	659.50	661.00	P297626	1.50	0.005	0.10	54.0	51.0
	Pyrite tr	661.00	661.50	P299044	0.50	0.002	0.10	48.0	54.0
	Py tr en grains disséminés	661.50	663.00	P297627	1.50	0.010	0.10	104.0	45.0
665.50	685.00 V2-V3; Tm	665.50	667.00	P297628	1.50	0.005	0.10	37.0	48.0
	<p><b>Volcanite intermédiaire à mafique; Tuf à blocs</b></p> <p>Volcanite intermédiaire à mafique Roche massif homogène Matrice à grains fins de couleur gris moyen à verdâtre Quelques clastes visibles (max5%) de taille variable entre 4 et 8cm. Foliation localement visible à 45-50deg AC</p> <p>Altération: Roche sombre homogène, Si+ pervasive, Chl+ en clastes, Pa- en clastes, Sr- en Vnl, Hm tr en Vnl, Cb tr en Vnl</p> <p>Minéralisation: 667-667.5: Py tr en grains disséminés 681-681.5: Py tr en grains disséminés</p> <p>Contacts diffus progressifs</p>								
667.00	667.50 Pytr	667.00	667.50	P297629	0.50	0.005	0.10	43.0	35.0
	Pyrite tr	667.50	669.00	P297630	1.50	0.005	0.10	41.0	44.0
	Py tr en grains disséminés								
668.50	673.00 VEI;70%;Cc;;15*::	669.00	670.00	P297631	1.00	0.005	0.10	27.0	31.0
	<b>Veine 70% Calcite 15*</b>	670.00	671.50	P297632	1.50	0.005	0.10	37.0	52.0
	Intervalle à forte concentration de Vn de Cb blanche (calcite) de 2-3cm d'épaisseurs, principalement concordantes. Non minéralisées	671.50	673.00	P297635	1.50	0.005	0.10	59.0	43.0
		679.00	680.50	P297636	1.50	0.005	0.10	26.0	52.0
		680.50	681.00	P297637	0.50	0.005	0.10	17.0	44.0

MAUDORE MINERALS Ltd

AL LQ

Description			Analyse							
			De	À	Numéro	Longueur	Au_Final (g/t)	Ag_Final (ppm)	Cu_Final (ppm)	Zn_Final (ppm)
681.00	681.50	Pytr	681.00	681.50	P297638	0.50	0.005	0.10	21.0	28.0
		Pyrite tr Py tr en grains disséminés	681.50	683.00	P297640	1.50	0.010	0.10	22.0	41.0
685.00	691.40	V2-V3; TI Volcanite intermédiaire à mafique; Tuf à lapillis Volcanite intermédiaire à mafique. Tuf à lapillis Matrice à grains fins de couleur gris moyen, verdâtre. Clastes (30%) de 0.5 à 3 cm, étirés dans la foliation: Alternance de bandes noires (chlorite) et grises (paragonite ou séricite), mm à cm Foliation à 45deg AC  Altération: Si+ pervasive, Chl+ en clastes, Pa moy en clastes. Cb- associés à Pa et en Vnl, localement Hm moy pervasive et en Vnl  Structure: 690.5-691: Brèche à Vnl de Hm  Contacts diffus progressifs								
685.00	691.40	SIL+; Chl+; PA; CB-; HM-	686.50	688.00	P297641	1.50	0.005	0.10	47.0	54.0
		Silicification forte; Chloritisation forte; Paragonite; Carbonatation faible; Hématite faible	688.00	688.50	P299045	0.50	0.002	0.10	31.0	52.0
			688.50	690.00	P297642	1.50	0.005	0.10	51.0	55.0
		Si+ pervasive, Chl+ en clastes, Pa moy en clastes, Cb- associés à Pa et en Vnl, localement Hm moy pervasive et en Vnl	690.00	691.50	P297643	1.50	0.005	0.10	28.0	58.0
690.50	691.00	BRE Bréchique Brèche à Vnl de Hm								
691.00	702.00	FRC- Fracturation faible Frct-, blocs anguleux d'une taille moyenne de 10-20cm								
691.40	703.00	V2-V3; MAS Volcanite intermédiaire à mafique; Massif Volcanite intermédiaire à mafique								

MAUDORE MINERALS Ltd

A LB

Description	Analyse							
	De	À	Numéro	Longueur	Au_Final (g/t)	Ag_Final (ppm)	Cu_Final (ppm)	Zn_Final (ppm)
<p>Roche massif homogène, l'origine intrusive est possible mais les contacts sont progressifs</p> <p>Matrice à grains fins de couleur gris moyen</p> <p>Pas de clastes visibles</p> <p>Foliation très faible, localement visible autour de 40deg AC marquée par Vnl de Cb et quelques étirements de grains</p> <p>Allération:</p> <p>Si+ (voir moy.) pervasive, Pa- pervasive, Cb- en Vnl, Ep tr en Vnl</p> <p>Minéralisation:</p> <p>699.1-699.8: Py tr et Cp tr en grains disséminés dans Vn de Qz</p> <p>Veine:</p> <p>699.1-699.8: Vn (95%) de Qz (80%) et Cb (20%) avec Hm, Chl, et Ep en Vnl. Py tr et Cp tr en grains disséminés. Contact sup. ondulant, contact inf. fracturé</p> <p>Structure:</p> <p>691-702: Frct-, blocs anguleux d'une taille moyenne de 10-20cm</p> <p>Contacts diffus progressifs</p>								
<p>691.40 703.00 SIL+; PA-; CB-; EPtr Silicification forte; Paragonite faible; Carbonatation faible; Épidotisation tr Si+ (voir moy.) pervasive, Pa- pervasive, Cb- en Vnl, Ep tr en Vnl</p>	697.60	699.10	P297644	1.50	0.005	0.10	25.0	59.0
<p>699.10 699.80 Pytr; Cptr Pyrite tr; Chalcopyrite tr Py tr et Cp tr en grains disséminés dans Vn de Qz</p>								
<p>699.10 699.80 VEI;;Qz Cb Hm Cl Ep;;Cptr Pytr; Veine Quartz Carbonate Hémalite Chlorite Épidote Chalcopyrite tr Pyrite tr</p>	699.10 699.80	699.80 701.30	P297645 P297646	0.70 1.50	0.005 0.005	0.10 0.10	42.0 30.0	22.0 56.0

Description		Analyse								
		De	À	Numéro	Longueur	Au_Final (g/t)	Ag_Final (ppm)	Cu_Final (ppm)	Zn_Final (ppm)	
703.00	766.30	V2-V3; T1 Volcanite intermédiaire à mafique; Tuf à lapillis Volcanite intermédiaire à mafique. Tuf à lapillis Roche hétérogène, forte altération donnant un aspect rubanée à la roche et faisant très bien ressortir les clastes Roche globalement clair, gris vert. Matrice à grains fins de couleur gris moyen, verdâtre. Clastes (50%) de 0.5 à 3 cm, étirés dans la foliation: Alternance de bandes noires (chlorite) et grises (paragonite ou séricite), mm à cm Foliation à 50deg AC  Altération: 703-709: roche sombre, Si+ pervasive, Chl+ en clastes, Pa- en clastes, Sr- en clastes 709-766.3: roche hétérogène claire, Si+ pervasive, Pa+ en clastes, Chl moy en clastes, Sr moy en clastes, Cb moy en clastes, Hm- en Vnl rouge, Ep tr en Vnl. Succession d'intervalles de 3-4m à Pa+ (clair) et d'intervalle à Pa un peu plus faible (un peu plus sombre)  Minéralisation: 705.5-706.1: Cp tr associé à Cb rouge 732.5-733: Py tr en grains disséminés dans Vn de Qz 747.4-748: Cp tr associée à Vn (brèche?) (2cm) de Qz-Cb 755.2-755.7: Cp tr en grains disséminés 765.8-766.4: Py 0.5% en grains disséminés en périphérie de Vn de Sr  Veine: 713.7-714: Vn (100%) de Qz avec Hm et Chl en Vnl. Pas de minéralisation. Contacts nets discordants	704.00	705.50	P297647	1.50	0.005	1.40	216.0	61.0

MAUDORE MINERALS Ltd

AC LB

Description	Analyse							
	De	À	Numéro	Longueur	Au_Final (g/t)	Ag_Final (ppm)	Cu_Final (ppm)	Zn_Final (ppm)
40deg AC								
Contacts diffus progressifs								
Excepté: 721.9-722.4: I3, FIN 756.7-758.2: I3, FIN								
703.00 709.00 SIL+; Chl+; PA-; SR- Silicification forte; Chloritisation forte; Paragonite faible; Séricitisation faible Roche sombre, Si+ pervasive, Chl+ en clastes, Pa- en clastes, Sr- en clastes								
705.50 706.10 Cplr Chalcopyrite tr Cp tr associé à Cb rouge	705.50	706.10	P297648	0.60	0.005	0.20	45.0	55.0
	706.10	707.60	P297649	1.50	0.005	0.10	35.0	53.0
709.00 766.30 SIL+; PA+; Chl; SR; CB; HM-; EPlr Silicification forte; Paragonite forte; Chloritisation; Séricitisation; Carbonatation; Hématitisation faible; Épidotisation tr Roche hétérogène claire, Si+ pervasive, Pa+ en clastes, Chl moy en clastes, Sr moy en clastes, Cb moy en clastes, Hm- en Vnl rouge, Ep tr en Vnl. Succession d'intervalles de 3-4m à Pa+ (clair) et d'intervalle à Pa un peu plus faible (un peu plus sombre)	712.70	713.70	P297650	1.00	0.010	0.10	41.5	55.0
713.70 714.00 VEI;100%;Qz Hm Cl;40°; Veine 100% Quartz Hématite Chlorite 40° Vn (100%) de Qz avec Hm et Chl en Vnl. Pas de minéralisation. Contacts nets discordants 40deg AC	713.70	714.20	P297651	0.50	0.005	0.10	26.0	27.0
	714.20	715.20	P297652	1.00	0.005	0.10	61.0	53.0
	715.20	716.50	P297653	1.30	0.005	0.10	56.0	43.0
	716.50	717.50	P297654	1.00	0.005	0.10	11.0	51.0
	717.50	719.00	P297655	1.50	0.005	0.10	10.0	59.0



MAUDORE MINERALS Ltd

AC LB

Description			Analyse							
			De	À	Numéro	Longueur	Au_Final (g/l)	Ag_Final (ppm)	Cu_Final (ppm)	Zn_Final (ppm)
721.90	722.40	I3; FIN Intrusion mafique; Grains fins 25° Intrusion mafique En réalité, il y a une série d'intrusion (6 au total) de 10 à 50cm d'épaisseurs, toutes semblables de 715-722.6m Roche gris vert Microgrenue Contacs nets discordants autour de 20-25deg AC Altération en Cb+ pervasifs Py tr aux contacts des l'intrusifs sur 2-3cm	719.00	719.50	P299046	0.50	0.002	0.10	4.0	47.0
			719.50	721.00	P297656	1.50	0.005	0.10	9.0	58.0
			724.00	725.00	P297657	1.00	0.005	0.20	109.0	59.0
			725.00	726.00	P297658	1.00	0.010	0.10	127.0	102.0
			726.00	727.00	P297660	1.00	0.005	0.10	29.0	55.0
			731.00	732.50	P297662	1.50	0.005	0.10	39.0	65.0
732.50	733.00	Pyr Pyrite tr Py tr en grains disséminés dans Vn de Qz	732.50	733.00	P297663	0.50	0.005	0.10	63.0	75.0
			733.00	734.50	P297664	1.50	0.010	0.10	59.0	77.0
			745.90	747.40	P297665	1.50	0.005	0.10	94.0	57.0
747.40	748.00	Cptr Chalcopyrite tr Cp tr associée à Vn (brèche?) (2cm) de Qz-Cb	747.40	748.00	P297666	0.60	0.010	0.10	53.0	50.0
			748.00	749.50	P297668	1.50	0.005	0.10	55.0	55.0
			749.50	750.50	P297669	1.00	0.005	0.10	48.0	54.0
			750.50	751.00	P299047	0.50	0.002	0.10	44.0	39.0
			751.00	752.50	P297670	1.50	0.005	0.10	44.0	49.0
			752.50	754.00	P297671	1.50	0.005	0.10	41.0	51.0
			754.00	755.00	P297672	1.00	0.005	0.10	37.0	52.0
			755.00	755.70	P297673	0.70	0.005	0.10	24.0	56.0
755.20	755.70	Cptr Chalcopyrite tr Cp tr en grains disséminés	755.70	756.80	P297674	1.10	0.005	0.10	18.0	56.0
756.70	758.20	I3; FIN Intrusion mafique; Grains fins Intrusion mafique Roche grise Microgrenue Altération en Cb+ et localement Hm pervasive Contacts fracturés	763.30	764.80	P297675	1.50	0.005	0.10	30.0	35.5
			764.80	765.40	P297676	0.60	0.005	0.10	36.0	85.0
			765.40	766.90	P297677	1.50	0.005	0.10	44.0	43.0

Description			Analyse							
			De	À	Numéro	Longueur	Au_Final (g/t)	Ag_Final (ppm)	Cu_Final (ppm)	Zn_Final (ppm)
765.80	766.40	Py00.5 Pyrite 0.5% Py 0.5% en grains disséminés en périphérie de Vn de Sr								
766.30	770.40	V2-V3; MAS <b>Volcanite intermédiaire à mafique; Massif</b> Volcanite intermédiaire à mafique Roche massif homogène, l'aspect massif de la roche résulte peut être uniquement de l'altération (ou de l'absence d'altération) Matrice à grains fins de couleur gris sombre Peut-être 5% de clastes visible Foliation très faible, localement visible autour de 45deg AC marquée par les rares clastes visibles  Altération: Si+ pervasive, Chl+ pervasive, Bo- en clastes?, Cb- en Vnl, Hm- en Vnl  Contacts diffus progressifs								
766.30	770.40	SIL+; Chl+; BO-; CB-; HM- <b>Silicification forte; Chloritisation forte; Blotisation faible; Carbonatation faible; Hématitisation faible</b> Si+ pervasive, Chl+ pervasive, Bo- en clastes?, Cb- en Vnl, Hm- en Vnl								
770.40	857.50	V2-V3; T1 <b>Volcanite intermédiaire à mafique; Tuf à lapills</b> Volcanite intermédiaire à mafique. Tuf à Lapills. Matrice à grains fins de couleur gris moyen, verdâtre. Clastes (30%) de 1 à 3cm. de couleur gris moyen à clair verdâtre étirés dans la foliation Alternance de bandes gris sombre (chlorite) et gris moyen bleuté à verdâtre (paragonite ou séricite) ou brunes (biotite) Forte foliation marquée par l'étiement des clastes et les alternances d'altération, à 50deg AC	775.00	776.50	P297678	1.50	0.005	0.10	53.0	51.0

AK LB

Description	Analyse							
	De	À	Numéro	Longueur	Au_Final (g/t)	Ag_Final (ppm)	Cu_Final (ppm)	Zn_Final (ppm)
<p>Altération:</p> <p>770.4-788.5: Si+ pervasive, Chl+ en clastes, Pa- en clastes, Cb- en Vnl, Hm- en Vnl, Ep tr en Vnl</p> <p>788.5-800.5: Si+ pervasive, Chl+ en clastes, Hm moy en Vnl et Vn, Pa- en clastes, Cb- en Vnl, Ep- voir localement moy. en Vnl-Vn</p> <p>800.5-806.5: Si+ pervasive, Chl moy en clastes, Bo moy. en clastes</p> <p>806.5-816.5: Pa+ pervasive et en clastes, Si moy pervasive, Sr moy en bandes (clastes?), Cb moy., Chl moy en clastes</p> <p>816.5-821: Pa+ pervasive et en clastes, Cb+ pervasifs, Sr moy en bandes, Chl moy en clastes, Si moy</p> <p>821-849.5: Hétérogène, Si+ pervasive, Chl+ en clastes, Bo+ en clastes localement Sr moy et Pa moy en bandes</p> <p>849.5-852.7: Pa+ pervasive, Si moy pervasive, Chl- en clastes, Sr-, Cb- en Vnl</p> <p>852.7-857.5: Sil+ pervasive, Pa moy en en clastes, Chl moy en clastes, Cb- en Vnl</p> <p>Minéralisation:</p> <p>776-805: Py tr en grains finement disséminés</p> <p>805-834: Py 2 à 5% en grains automorphes (voir légèrement étirés dans la foliation) regroupés en amas allongés dans la foliation</p> <p>834-845: Py tr en grains disséminés</p> <p>845-846: Py 1% en grains disséminés, la minéralisation semble être plutôt associée à la Bo</p> <p>846-849.3: Py tr en grains disséminés</p> <p>849.3-853.5: Py 1%, minéralisation hétérogène, les grains sont regroupés en amas-Vn de 2-3cm</p> <p>853.5-857.5: Py 2-3%, finement disséminée (50%) et regroupés aussi en amas-Vn (50%) de 1-2cm</p> <p>Veine:</p> <p>787.1-787.4: Vn (60%) à Cb, Ep, Hm, Contacts ondulants. Py tr en grains disséminés</p> <p>794.4-794.6: Vn (90%) vert (Ep+), à Qz (90%), Cb Ep Hm et Chl, Contacts flous. Py tr en grains</p>								

Description	Analyse							
	De	À	Numéro	Longueur	Au_Final (g/t)	Ag_Final (ppm)	Cu_Final (ppm)	Zn_Final (ppm)
<p>disséminés</p> <p>795.2-795.5: Vn (100%) à Cb et Ep. Contacts discordants à 35deg AC. Pas de minéralisation</p> <p>820-820.3: Vn (50%) à Qz (80%), Cb et Ep. Pas de contacts nets. Py 1% en grains disséminés</p> <p>825.7-825.9: Vn (100%) blanche à Qz. Contacts discordants à 30deg AC. Py tr aux contacts</p> <p>832.4-832.6: Vn (100%) blanche à Qz. Contacts discordants à 30deg AC. Py Ir aux contacts</p> <p>836.5-837.4: Vn (90%) blanche à Qz. Contacts discordants à 30deg AC.</p> <p>846.2-846.8: Vn (100%) de Qz. Couleur jaunâtre à verdâtre. Pas de minéralisation. Contacts progressifs.</p> <p>Structure:</p> <p>776.5-793: Frct moy, débit de la roche dans la foliation, blocs anguleux de 5 à 20cm</p> <p>793-803: Zone de faille avec quelques brèches associées et nombreuses Vn-Vnl de Ep-Cb-Hm</p> <p>803-813: Frct+: Nombreux intervalles à blocs anguleux cm et grenaille</p> <p>813-823: Frct moy, débit de la roche dans la foliation, blocs anguleux de 5 à 20cm</p> <p>832-835: Frct moy, débit de la roche dans la foliation, blocs anguleux de 5 à 20cm</p> <p>847.5-852: Frct moy avec localement Frct+, blocs anguleux de 5 à 10-20cm</p> <p>852-852.5: Faille avec grenaille et brèche associée</p> <p>852.5-856: Frct moy avec localement Frct+, blocs anguleux de 5 à 10-20cm</p> <p>856-857.5: Frct- blocs anguleux de 10-20cm</p> <p>Contacts diffus progressifs</p> <p>770.40 788.50 SIL+; Chl+; PA-; CB-; HM-; EPtr                      Silicification forte; Chloritisation forte; Paragonite faible;                      Carbonatation faible;                      Hématitisation faible; Epidotisation tr                      Si+ pervasive, Chl+ en clastes, Pa- en</p>								

MAUDORE MINERALS Ltd

AC LB

Description			Analyse							
			De	À	Numéro	Longueur	Au_Final (g/t)	Ag_Final (ppm)	Cu_Final (ppm)	Zn_Final (ppm)
776.00	805.00	clastes, Cb- en Vnl, Hm- en Vnl, Ep tr en Vnl  Pytr <b>Pyrite tr</b> Py tr en grains finement disséminés								
776.50	793.00	FRC <b>Fracturé(e)</b> Frct moy, débit de la roche dans la foliation, blocs anguleux de 5 à 20cm	776.50	778.00	P297679	1.50	0.005	0.10	30.0	50.0
			778.00	779.50	P297680	1.50	0.005	0.10	29.0	45.0
			779.50	781.00	P297681	1.50	0.005	0.10	2.0	32.0
			781.00	781.50	P299048	0.50	0.009	0.10	53.0	51.0
			781.50	782.50	P297682	1.00	0.005	0.10	21.0	41.0
			782.50	784.00	P297683	1.50	0.010	0.10	29.0	44.0
			784.00	785.50	P297684	1.50	0.005	0.10	53.0	49.0
			785.50	787.00	P297686	1.50	0.005	0.10	17.0	46.0
			787.00	788.50	P297688	1.50	0.010	0.10	70.0	40.0
787.10	787.40	VEI;60%;Cb Ep Hm;;Pytr; <b>Veine 60% Carbonate Épidote</b> <b>Hématite Pyrite tr</b> Vn (60%) à Cb, Ep, Hm. Contacts ondulants. Py tr en grains disséminés								
788.50	800.50	SIL+; Chl+; HM; PA-; CB-; EP- <b>Silicification forte; Chloritisation forte; Hématisation; Paragonite faible; Carbonatation faible; Épidotisation faible</b> Si+ pervasive, Chl+ en clastes, Hm moy en Vnl et Vn, Pa- en clastes, Cb- en Vnl, Ep- voir localement moy. en Vnl-Vn	788.50	790.00	P297689	1.50	0.005	0.10	30.0	43.0
			790.00	791.50	P297690	1.50	0.010	0.10	38.0	50.0
			791.50	793.00	P297692	1.50	0.010	0.10	29.0	62.0
793.00	803.00	FAI; FRC+ <b>Faillie; Fracturation forte</b> Zone de faille avec quelques brèches associées et nombreuses Vn-Vnl de Ep-Cb-Hm	793.00	794.50	P297693	1.50	0.020	0.10	3.0	77.0
794.40	794.60	VEI;90%;Qz Cb Ep Hm Cl;;Pytr; <b>Veine 90% Quartz Carbonate</b>	794.50	796.00	P297694	1.50	0.005	0.30	8.5	52.0

MAUDORE MINERALS Ltd

AC LG

Description			Analyse							
			De	À	Numéro	Longueur	Au_Final (g/t)	Ag_Final (ppm)	Cu_Final (ppm)	Zn_Final (ppm)
795.20	795.50	Épidote Hématite Chlorite Pyrite tr Vn (90%) vert (Ep+), à Qz (90%), Cb Ep Hm et Chl. Contacts flous. Py tr en grains disséminés	796.00	797.50	P297695	1.50	0.008	0.10	24.0	82.0
		<b>Veine 100% Carbonate Épidote 35°</b>	797.50	799.00	P297696	1.50	0.005	0.10	15.0	80.0
		Vn (100%) à Cb et Ep. Contacts discordants à 35deg AC. Pas de minéralisation	799.00	800.50	P297697	1.50	0.005	0.10	38.0	71.0
800.50	806.50	SIL; Chl; BO	800.50	802.00	P297698	1.50	0.010	0.20	41.0	66.0
		<b>Silicification; Chloritisation; Blotisation</b>	802.00	803.50	P297699	1.50	0.005	0.10	25.0	45.0
		Sl+ pervasive, Chl moy en clastes, Bo moy. en clastes								
803.00	813.00	SCH+	803.50	805.00	P297700	1.50	0.008	0.10	33.0	92.0
		<b>Schistosité forte</b>								
		Frct+: Nombreux intervalles à blocs anguleux cm et grenaille								
805.00	834.00	Py03	805.00	806.50	P295701	1.50	0.010	0.10	59.0	93.0
		<b>Pyrite 3%</b>								
		Py 2 à 5% en grains automorphes (voir légèrement étirés dans la foliation) regroupés en amas allongés dans la foliation								
806.50	816.50	PA+; SIL; SR; CB; Chl	806.50	808.00	P295702	1.50	0.010	0.10	50.0	70.0
		<b>Paragonite forte; Silicification;</b>	808.00	809.50	P295703	1.50	0.010	0.10	88.0	167.0
		<b>Séricitisation; Carbonatisation;</b>	809.50	811.00	P295704	1.50	0.005	0.10	38.0	65.0
		<b>Chloritisation</b>	811.00	811.50	P299049	0.50	0.011	0.10	52.0	79.0
		Pa+ pervasive et en clastes, Si moy pervasive, Sr moy en bandes (clastes?), Cb moy., Chl moy en clastes	811.50	812.50	P295705	1.00	0.020	0.10	33.0	100.0
			812.50	814.00	P295706	1.50	0.005	0.10	24.0	93.0
813.00	823.00	FRC	814.00	815.50	P295707	1.50	0.005	0.10	23.0	41.0
		<b>Fracturé(e)</b>	815.50	817.00	P295709	1.50	0.020	0.10	36.0	100.0

MAUDORE MINERALS Ltd

AC UB

Description			Analyse							
			De	À	Numéro	Longueur	Au_Final (g/t)	Ag_Final (ppm)	Cu_Final (ppm)	Zn_Final (ppm)
		Frct moy, débit de la roche dans la foliation, blocs anguleux de 5 à 20cm								
816.50	821.00	PA+; CB+; SR; Ch; SIL <b>Paragonite forte; Carbonatisation forte; Séricitisation; Chloritisation; Silicification</b> Pa+ pervasive et en clastes, Cb+ pervasifs, Sr moy en bandes, Chl moy en clastes, Si moy	817.00	818.50	P295711	1.50	0.005	0.10	38.0	102.0
			818.50	819.00	P295712	0.50	0.005	0.10	20.0	62.0
			819.00	820.00	P295713	1.00	0.005	0.10	39.0	49.0
820.00	820.30	VEI;50%;Qz Cb Ep;;Py01; <b>Veine 50% Quartz Carbonate Épidote Pyrite 1%</b> Vn (50%) à Qz (80%), Cb et Ep. Pas de contacts nets. Py 1% en grains disséminés	820.00	821.50	P295714	1.50	0.010	0.10	47.0	94.0
821.00	849.50	SIL+; Ch+; BO+; SR-; PA- <b>Silicification forte; Chloritisation forte; Biotisation forte; Séricitisation faible; Paragonite faible</b> Hétérogène, Si+ pervasive, Chl+ en clastes, Bo+ en clastes localement Sr moy et Pa moy en bandes	821.50	823.00	P295715	1.50	0.005	0.10	50.0	89.0
			823.00	824.50	P295717	1.50	0.005	0.20	39.0	113.0
			824.50	826.00	P295718	1.50	0.010	0.10	54.5	94.5
825.70	825.90	VEI;100%;Qz;;30*;Pyr; <b>Veine 100% Quartz 30* Pyrite tr</b> Vn (100%) blanche à Qz. Contacts discordants à 30deg AC. Py tr aux contacts	826.00	827.50	P295719	1.50	0.005	0.10	45.0	94.0
			827.50	829.00	P295720	1.50	0.010	0.10	45.0	81.0
			829.00	830.50	P295721	1.50	0.010	0.10	33.0	98.0
			830.50	832.00	P295722	1.50	0.010	0.10	36.0	87.0
832.00	835.00	FRC <b>Fracturé(e)</b> Frct moy, débit de la roche dans la foliation, blocs anguleux de 5 à 20cm	832.00	833.50	P295723	1.50	0.010	0.10	10.0	45.0
832.40	832.60	VEI;100%;Qz;;30*;Pyr;	833.50	835.00	P295724	1.50	0.010	0.10	34.0	52.0

MAUDORE MINERALS Ltd

AL LB

Description			Analyse							
			Dé	À	Numéro	Longueur	Au_Final (g/t)	Ag_Final (ppm)	Cu_Final (ppm)	Zn_Final (ppm)
834.00	845.00	Veine 100% Quartz 30° Pyrite tr Vn (100%) blanche à Qz. Contacts discordants à 30deg AC. Py tr aux contacts  Pytr Pyrite tr Py tr en grains disséminés	835.00	836.50	P295725	1.50	0.008	0.10	45.0	58.5
836.50	837.40	VEI;90%;Qz;;30*;; Veine 90% Quartz 30° Vn (90%) blanche à Qz. Contacts discordants à 30deg AC.	836.50	838.00	P295726	1.50	0.005	0.10	15.0	59.0
			838.00	838.50	P299050	0.50	0.007	0.10	23.0	71.0
			838.50	839.50	P295727	1.00	0.005	0.10	36.0	38.0
			839.50	841.00	P295728	1.50	0.005	0.10	33.0	66.0
			841.00	842.50	P295729	1.50	0.010	0.20	46.0	169.0
			842.50	844.00	P295731	1.50	0.010	0.20	45.0	112.0
			844.00	845.50	P295732	1.50	0.005	0.10	56.0	125.0
845.00	846.00	Py01 Pyrite 1% Py 1% en grains disséminés, la minéralisation semble être plutôt associée à la Bo	845.50	846.10	P295733	0.60	0.010	0.40	64.0	889.0
846.00	849.30	Pytr Pyrite tr Py tr en grains disséminés	846.10	846.80	P295735	0.70	0.005	0.30	50.0	772.0
846.20	846.80	VEI;100%;Qz;;;; Veine 100% Quartz Vn (100%) de Qz. Couleur jaunâtre à verdâtre. Pas de minéralisation. Contacts progressifs.	846.80	848.00	P295736	1.20	0.010	0.20	40.0	243.0
847.50	852.00	FRC Fracturé(e) Frct moy avec localement Frct+, blocs anguleux de 5 à 10-20cm	848.00	849.00	P295737	1.00	0.010	0.20	46.0	124.0
			849.00	850.00	P295738	1.00	0.010	0.30	52.0	189.0
849.30	853.50	Py01 Pyrite 1% Py 1%. minéralisation hétérogène, les								



MAUDORE MINERALS Ltd

AC LB

Description			Analyse							
			De	À	Numéro	Longueur	Au_Final (g/t)	Ag_Final (ppm)	Cu_Final (ppm)	Zn_Final (ppm)
		grains sont regroupés en amas-Vn de 2-3cm								
849.50	852.70	PA+; SIL; Chl-; SR-; CB- Paragonite forte; Silicification; Chloritisation faible; Séricitisation faible; Carbonatation faible Pa+ pervasive, Si moy pervasive, Chl- en clastes, Sr-, Cb- en Vnl	850.00	851.50	P295740	1.50	0.030	0.50	40.0	307.0
			851.50	853.00	P295741	1.50	0.030	0.40	42.0	87.0
852.00	852.50	FAI Faille Faille avec grenaille et brèche associée								
852.50	856.00	FRC Fracturé(e) Frct moy avec localement Frct+, blocs anguleux de 5 à 10-20cm								
852.70	857.50	SIL+; PA; Chl; CB- Silicification forte; Paragonite; Chloritisation; Carbonatation faible Sil+ pervasive, Pa moy en en clastes, Chl moy en clastes, Cb- en Vnl	853.00	854.50	P295742	1.50	0.050	0.20	27.0	90.0
853.50	873.00	Py02 Pyrite 2% Py 2-3%, finement disséminée (50%) et regroupés aussi en amas-Vn (50%) de 1-2cm  Exceplé: 864-866.3: I2 pFp 868.2-869.5: I2 pFpAm 871.3-871.9: I2 pFpAm	854.50	856.00	P295743	1.50	0.010	0.20	50.0	52.0
856.00	864.70	FRC- Fracturation faible Frct- blocs anguleux de 10-20cm	856.00	857.50	P295744	1.50	0.047	0.20	24.0	420.0
857.50	1 038.60	V1C; pQz	857.50	859.00	P295745	1.50	0.070	0.50	10.0	700.0

Description	Analyse							
	De	À	Numéro	Longueur	Au_Final (g/l)	Ag_Final (ppm)	Cu_Final (ppm)	Zn_Final (ppm)
Rhyodacite; Porphyre de Quartz	859.00	860.50	P295746	1.50	0.050	0.10	28.0	359.0
Roche volcanique felsique (Rhyodacite) comportant entre 3 et localement 10% de petits porphyres de Qz bleutés (entre 2 et 5mm)	860.50	862.00	P295747	1.50	0.030	0.40	12.0	687.0
Matrice à grains fins, de couleur hétérogène, gris clair à sombre, légèrement bleuté.	862.00	863.50	P295748	1.50	0.040	0.40	9.0	938.0
Foliation fine principalement marquée par l'altération, globalement à 55-60deg AC	863.50	864.70	P295749	1.20	0.140	0.70	17.0	1 325.0
<p>Allération:</p> <p>857.5-865: Pa+ pervasive et en bandes claires (2-3cm), Chl moy en bandes sombres (2-3cm), Si moy pervasive et localement en Vnl, Hm- en Vnl, Cb tr en Vnl</p> <p>865-985: Pa+ pervasive et en bandes claires (2-3cm), Chl moy en bandes sombres (2-3cm), Si moy pervasive et localement en Vnl, Cb tr en Vnl</p> <p>985-1005: Pa+ pervasive et en bandes claires (2-3cm), Chl moy en bandes sombres (2-3cm), Si moy pervasive et localement en Vnl, Sr- en Vnl, Cb tr en Vnl</p> <p>1005-1038.6: Pa+ pervasive et en bandes claires (2-3cm), Chl moy en bandes sombres (2-3cm), Si moy pervasive et localement en Vnl, Cb tr en Vnl</p> <p>Minéralisation:</p> <p>857.5-873: Py 2-3%, finement disséminée (50%) et regroupés aussi en amas-Vn (50%) de 1-2cm</p> <p>873-873.5: Py 2-3%, finement disséminée (50%) et regroupés aussi en amas-Vn (50%) de 1-2cm et Sp tr en Vnl</p> <p>873.5-896.1: Py 1-2%, finement disséminée</p> <p>896.1-914: Py 2-3% en grains disséminés, Vnl et amas, Sp 0.5% en Vnl</p> <p>914-921: Sp 2% en Vnl, localement peut être 5% de Sp en grains allongés dans la foliation, Py 1% en grains disséminés</p> <p>921-1008: Py 1 à 2% en grains disséminés 50% et en amas de grains voir en Vn (50%), la sphalérite en Vnl (50%), mais également en petits grains allongés dans la foliation (50%). Une association Sp en Vnl</p>								

MAUDORE MINERALS Ltd

AC LB

Description	Analyse							
	De	À	Numéro	Longueur	Au_Final (g/t)	Ag_Final (ppm)	Cu_Final (ppm)	Zn_Final (ppm)
<p>(1cm) avec grains de Py est présente à 20%</p> <p>1008-1008.7: Py 40% gros amas/Vn dans la foliation, grains automorphes 0.5mm</p> <p>1008.7-1035.9: Py 1 à 2% en grains disséminés 50% et en amas de grains voir en Vn (50%), la sphalérite en Vnl (50%), mais également en petits grains allongés dans la foliation (50%).</p> <p>1035.9-1036.6: Py 5% en amas avec magnétite en périphérie, Sp 0.5% en Vnl et petits grains disséminés</p> <p>1036.9-1038.6: Py 1 à 2% en grains disséminés 50% et en amas de grains voir en Vn (50%)</p> <p>Veine:</p> <p>881.5-882.1: Vn (100%) de Qz. Pas de minéralisation. Contacts ondulants. Marque le contact sup. d'une intrusion.</p> <p>886.5-886.7: Vn (100%) de Qz avec Vnl d'Hm. Contacts ondulants (injection dans l'encaissant). Pas de minéralisation</p> <p>Structure:</p> <p>857.5-864.7: Frct- blocs anguleux de 10-20cm</p> <p>866.3-866.5: Faille et brèche au contact d'un intrusif</p> <p>928.2-928.7: Cisaillement</p> <p>951.7-952: Faille avec brèche de faille (3cm)</p> <p>Contact sup diffus, contact inf. net concordant 60deg AC</p> <p>Excepté:</p> <p>864-866.3: I2 pFp</p> <p>868.2-869.5: I2 pFpAm</p> <p>871.3-871.9: I2 pFpAm</p> <p>875-875.3: I3 FIN</p> <p>876.3-881.2: I2 pFpAm</p> <p>882.1-896.1: I2 pFpAm</p> <p>903-904: I2 pFpAm</p> <p>908.2-909: I2 pFpAm</p> <p>911-912.7: I2 pFpAm</p> <p>930.5-932.7: I2: pFpAm</p>								

Description	Analyse							
	De	À	Numéro	Longueur	Au_Final (g/l)	Ag_Final (ppm)	Cu_Final (ppm)	Zn_Final (ppm)
937.9-939.5: I2; pFpAm 941.1-942: I2; pFpAm 942.3-944.5: I2; pFpAm 945.4-947.1: I2; pFpAm 948.2-951.1: I2; pFpAm 956.7-958: I2; pFpAm 959.5-961: I2; pFpAm 962.9-965: I2; pFpAm 965.8-971.9: I2; pFpAm 973.3-975: I2; pFpAm 975.8-977.4: I1F 977.4-978.7: I2; pFpAm 979.5-984.5: I2; pFpAm 988.1-991.3: I2; pFpAm 991.6-1004.3: I1B 1009.2-1016: I1B 1018.7-1019.9: I2; pFpAm 1021.2-1022.4: I2; pFpAm 1023.4-1028.8: I2; pFpAm 1030.2-1032.5: I2; pFpAm 1033.2-1035.4: I2; pFpAm								
857.50      865.00      PA+; Chl; SIL; HM-; CBtr Paragonite forte; Chloritisation; Silicification; Hématitisation faible; Carbonatation tr Pa+ pervasive et en bandes claires (2-3cm), Chl moy en bandes sombres (2-3cm), Si moy pervasive et localement en Vnl, Hm- en Vnl, Cb tr en Vnl Excepté: 864-866.3: I2 pFp								
864.00      866.30      I2; pFp intrusion Intermédiaire; Porphyre de Feldspath Intrusion intermédiaire Couleur rouge pFp automorphes atteignant jusqu'à 1cm matrice aphanitique rouge Pas de minéralisation								

MAUDORE MINERALS Ltd

AC LB

Description			Analyse							
			De	À	Numéro	Longueur	Au_Final (g/t)	Ag_Final (ppm)	Cu_Final (ppm)	Zn_Final (ppm)
Contact sup. concordant 60deg AC, contact inf. discordant à 25deg AC										
865.00	985.00	PA+; Chl; SIL; CBr Paragonite forte; Chloritisation; Silicification; Carbonatation tr Pa+ pervasive et en bandes claires (2-3cm), Chl moy en bandes sombres (2-3cm), Si moy pervasive et localement en Vnl, Cb tr en Vnl  Excepté: 868.2-869.5: I2 pFpAm 871.3-871.9: I2 pFpAm 875-875.3: I3 FIN 876.3-881.2: I2 pFpAm 882.1-896.1: I2 pFpAm 903-904: I2 pFpAm 908.2-909: I2 pFpAm 911-912.7: I2 pFpAm 930.5-932.7: I2; pFpAm 937.9-939.5: I2; pFpAm 941.1-942: I2; pFpAm 942.3-944.5: I2; pFpAm 945.4-947.1: I2; pFpAm 948.2-951.1: I2; pFpAm 956.7-958: I2; pFpAm 959.5-961: I2; pFpAm 962.9-965: I2; pFpAm	866.10	867.50	P295750	1.40	0.090	0.50	23.5	1 887.5
866.30	866.50	FAI; BRE Faille; Bréchique Faille et brèche au contact d'un intrusif	867.50	868.30	P295751	0.80	0.060	0.60	7.0	969.0
868.20	869.50	I2; pFpAm Intrusion intermédiaire; Porphyre de Feldspath et Amphibole Intrusion intermédiaire Gris-rouge (moins d'Hm que l'intrusion précédente) pFp automorphes atteignant jusqu'à 1cm Localement baguettes noires d'amphibole (max.	869.50	870.50	P295752	1.00	0.050	0.20	20.0	1 615.0
			870.50	871.00	P299101	0.50	0.084	0.25	9.0	1 230.0
			871.00	872.50	P295753	1.50	0.030	0.20	11.0	835.0

MAUDORE MINERALS Ltd

AC 13

Description		Analyse								
		De	À	Numéro	Longueur	Au_Final (g/t)	Ag_Final (ppm)	Cu_Final (ppm)	Zn_Final (ppm)	
871.30	871.90	1cm) matrice aphanitique rouge Pas de minéralisation Contacts concordant 52deg AC I2; pFpAm <b>Intrusion Intermédiaire; Porphyre de Feldspath et Amphibole</b> Intrusion Intermédiaire Gris-rouge (moins d'Hm que l'intrusion précédente) pFp automorphes atteignant jusqu'à 1cm Localement baguettes noires d'amphibole (max. 1cm) matrice aphanitique rouge Pas de minéralisation Contacts concordant 58deg AC	872.50	874.00	P295754	1.50	0.140	0.80	16.0	1 540.0
873.00	873.50	Py02; SpIr <b>Pyrite 2%; Sphalérite tr</b> Py 2-3%, finement disséminée (50%) et regroupés aussi en amas-Vn (50%) de 1-2cm et Sp tr en Vnl								
873.50	896.10	Py01.5 <b>Pyrite 1.5%</b> Py 1-2%, finement disséminée  Excepté: 875-875.3: I3 FIN 876.3-881.2: I2 pFpAm 882.1-896.1: I2 pFpAm	874.00	875.10	P295755	1.10	0.020	0.20	20.0	672.0
875.00	875.30	I3; FIN <b>Intrusion mafique; Grains fins</b> Intrusion mafique Gris sombre Microgrenue homogène pas de minéralisation Contacts concordants à 58deg AC	875.10	876.40	P295757	1.30	0.050	0.40	22.0	2 070.0
876.30	881.20	I2; pFpAm	881.10	881.60	P295758	0.50	0.110	0.30	24.0	2 220.0

MAUDORE MINERALS Ltd

AC 28

Description			Analyse							
			De	À	Numéro	Longueur	Au_Final (g/t)	Ag_Final (ppm)	Cu_Final (ppm)	Zn_Final (ppm)
881.50	882.10	<p>Intrusion intermédiaire; Porphyre de Feldspath et Amphibole Intrusion intermédiaire Gris (très peu d'Hm) pFp automorphes atteignant jusqu'à 1cm Localement baguettes noires d'amphibole (max. 1cm) matrice aphanitique rouge Pas de minéralisation Contacts concordant 58deg AC</p> <p>VEI;100%;Qz;;; <b>Veine 100% Quartz</b> Vn (100%) de Qz. Pas de minéralisation. Contacts ondulants. Marque le contact sup. d'une intrusion.</p>	881.60	882.20	P295759	0.60	0.050	0.10	35.0	1 060.0
882.10	896.10	<p>I2; pFpAm Intrusion Intermédiaire; Porphyre de Feldspath et Amphibole Intrusion intermédiaire Rouge (très peu d'Hm) pFp automorphes atteignant jusqu'à 1cmB Baguettes noires d'amphibole (max. 1cm) Matrice aphanitique rouge Pas de minéralisation Contacts concordant 60deg AC Nombreuses enclaves de V1C (une dizaine d'une longueur moy. de 1m environ)</p>	885.80	887.00	P295761	1.20	0.140	0.90	72.0	5 940.0
886.50	886.70	<p>VEI;100%;Qz;;; <b>Veine 100% Quartz</b> Vn (100%) de Qz avec Vnl d'Hm. Contacts ondulants (injection dans l'encaissant). Pas de minéralisation</p>	887.00	888.00	P295762	1.00	0.110	0.50	47.0	4 900.0
			888.00	889.20	P295763	1.20	0.080	0.40	49.0	3 830.0
			890.50	891.30	P295764	0.80	0.120	0.70	46.0	4 790.0
			894.50	895.50	P295765	1.00	0.090	0.60	63.0	6 040.0
			896.00	897.30	P295766	1.30	0.070	0.80	56.0	7 530.0
896.10	914.00	<p>Py02; Sp00.5 <b>Pyrite 2%; Sphalérite 0.5%</b> Py 2-3% en grains disséminés, Vnl et amas, Sp 0.5% en Vnl</p>	897.30	898.00	P295767	0.70	0.190	1.00	37.0	9 020.0
			898.00	899.00	P295768	1.00	0.160	1.40	81.0	10 450.0
			899.00	899.50	P295769	0.50	0.210	0.90	55.0	5 550.0

MAUDORE MINERALS Ltd

AC LB

Description			Analyse							
			De	À	Numéro	Longueur	Au_Final (g/l)	Ag_Final (ppm)	Cu_Final (ppm)	Zn_Final (ppm)
		Excepté: 903-904: I2 pFpAm 908.2-909: I2 pFpAm 911-912.7: I2 pFpAm	899.50	900.50	P295771	1.00	0.550	2.10	571.0	4 800.0
			900.50	901.00	P299102	0.50	0.197	0.70	150.0	5 640.0
			901.00	902.50	P295772	1.50	2.390	6.00	769.0	15 850.0
			902.50	903.10	P295773	0.60	0.100	0.20	17.0	8 680.0
903.00	904.00	I2; pFpAm <b>Intrusion intermédiaire; Porphyre de Feldspath et Amphibole</b> Intrusion intermédiaire Gris-rouge (très peu d'Hm) pFp automorphes atteignant jusqu'à 1cmB Baguettes noires d'amphibole (max. 1cm) Matrice aphanitique rouge Pas de minéralisation Contacts concordant 60deg AC	904.00	905.50	P295774	1.50	0.055	0.30	15.5	6 185.0
			905.50	907.00	P295775	1.50	0.210	0.40	44.0	6 285.0
			907.00	908.00	P295776	1.00	0.120	0.50	48.0	10 550.0
			908.00	909.00	P295777	1.00	0.010	0.20	23.0	1 370.0
908.20	909.00	I2; pFpAm <b>Intrusion intermédiaire; Porphyre de Feldspath et Amphibole</b> Intrusion intermédiaire Gris-rouge (très peu d'Hm) pFp automorphes atteignant jusqu'à 1cmB Baguettes noires d'amphibole (max. 1cm) Matrice aphanitique rouge Pas de minéralisation Contacts concordant 60deg AC	909.00	910.00	P295778	1.00	0.450	1.90	238.0	9 460.0
			910.00	911.10	P295779	1.10	0.200	0.30	22.0	6 680.0
911.00	912.70	I2; pFpAm <b>Intrusion intermédiaire; Porphyre de Feldspath et Amphibole</b> Intrusion intermédiaire Gris (très peu d'Hm) pFp automorphes atteignant jusqu'à 1cmB Baguettes noires d'amphibole (max. 1cm) Matrice aphanitique grise Pas de minéralisation Contacts concordant 60deg AC	912.60	913.50	P295780	0.90	0.110	0.50	34.0	7 360.0
			913.50	914.50	P295782	1.00	0.200	0.50	41.0	13 850.0
914.00	921.00	Sp02; Py01	914.50	915.00	P295784	0.50	0.210	0.20	12.0	8 960.0



MAUDORE MINERALS Ltd

AC LB

Description			Analyse								
			De	À	Numéro	Longueur	Au_Final (g/l)	Ag_Final (ppm)	Cu_Final (ppm)	Zn_Final (ppm)	
921.00	1 008.00	Sphalérite 2%; Pyrite 1%	915.00	915.50	P295785	0.50	0.030	0.20	5.0	7 310.0	
		Sp 2% en Vnl, localement peut être 5%	915.50	916.00	P295786	0.50	0.090	0.20	5.0	8 870.0	
		de Sp en grains allongés dans la	916.00	916.50	P295787	0.50	0.490	0.20	5.0	3 520.0	
		foliation. Py 1% en grains disséminés	916.50	917.50	P295789	1.00	0.050	0.20	4.0	6 240.0	
			917.50	919.00	P295790	1.50	0.060	0.40	21.0	5 320.0	
			919.00	920.50	P295791	1.50	0.090	0.40	44.0	5 650.0	
			920.50	922.00	P295792	1.50	0.035	0.30	11.0	4 140.0	
			922.00	923.10	P295793	1.10	0.040	0.50	33.0	4 630.0	
		Py1-2; Sp01									
		<b>Pyrite 1-2; Sphalérite 1%</b>									
		Py 1 à 2% en grains disséminés 50% et en amas de grains voir en Vn (50%), 1% sphalérite en Vnl (50%), mais également en petits grains allongés dans la foliation (50%).									
		Une association Sp en Vnl (1cm) avec grains de Py est présente à 20%									
		Excepté:									
		930.5-932.7: I2; pFpAm									
		937.9-939.5: I2; pFpAm									
		941.1-942: I2; pFpAm									
		942.3-944.5: I2; pFpAm									
		945.4-947.1: I2; pFpAm									
		948.2-951.1: I2; pFpAm									
		956.7-958: I2; pFpAm									
		959.5-961: I2; pFpAm									
		962.9-965: I2; pFpAm									
		965.8-971.9: I2; pFpAm									
		973.3-975: I2; pFpAm									
		975.8-977.4: I1F									
		977.4-978.7: I2; pFpAm									
		979.5-984.5: I2; pFpAm									
		988.1-991.3: I2; pFpAm									
		991.6-1004.3: I1B									
923.10	924.60	I2; pFpAm	924.50	925.80	P295794	1.30	0.050	0.50	21.0	1 895.0	
		Intrusion intermédiaire; Porphyre de	925.80	926.30	P295795	0.50	0.080	0.50	35.0	4 390.0	
		Feldspath et Amphibole	926.30	927.30	P295796	1.00	0.050	0.40	22.0	3 570.0	
		Intrusion intermédiaire									

MAUDORE MINERALS Ltd

AC 18

Description			Analyse							
			De	À	Numéro	Longueur	Au_Final (g/t)	Ag_Final (ppm)	Cu_Final (ppm)	Zn_Final (ppm)
		Rouge-bordeau (très peu d'Hm)	927.30	928.00	P295797	0.70	0.080	0.50	76.0	5 300.0
		pFp automorphes atteignant jusqu'à 1cmB	928.00	928.50	P299103	0.50	0.140	0.25	69.0	8 270.0
		Baguettes noires d'amphibole (max. 1cm)								
		Matrice aphanitique grise								
		Pas de minéralisation								
		Contacts concordant 60deg AC								
928.20	928.70	CIS	928.50	929.50	P295798	1.00	0.020	0.40	33.0	3 360.0
		Cisaillé(e)	929.50	930.50	P295799	1.00	0.020	0.30	38.0	2 070.0
		Cisaillement								
930.50	932.70	I2; pFpAm	932.60	934.00	P295800	1.40	0.010	0.35	48.5	2 805.0
		<b>Intrusion Intermédiaire; Porphyre de</b>								
		<b>Feldspath et Amphibole</b>	934.00	935.50	P295801	1.50	0.020	0.40	89.0	1 130.0
		Intrusion intermédiaire	935.50	937.00	P295802	1.50	0.050	0.40	92.0	2 180.0
		Rouge-bordeau, Hm+	937.00	937.90	P295803	0.90	0.070	0.60	72.0	2 720.0
		pFp automorphes atteignant jusqu'à 1cmB								
		Baguettes noires d'amphibole (max. 1cm)								
		Matrice aphanitique grise								
		Pas de minéralisation								
		Contacts flous								
937.90	939.50	I2; pFpAm	939.70	940.50	P295804	0.80	0.030	0.80	69.0	2 220.0
		<b>Intrusion Intermédiaire; Porphyre de</b>								
		<b>Feldspath et Amphibole 65*</b>	940.50	941.00	P295805	0.50	0.190	0.60	77.0	2 690.0
		Intrusion intermédiaire								
		Gris, localement rouge (Hm moy)								
		pFp automorphes atteignant jusqu'à 1cmB								
		Baguettes noires d'amphibole (max. 1cm)								
		Matrice aphanitique grise								
		Pas de minéralisation								
		Contacts concordants 65deg AC								
941.10	942.00	I2; pFpAm	941.70	942.50	P295807	0.80	0.030	0.20	41.0	1 640.0
		<b>Intrusion Intermédiaire; Porphyre de</b>								
		<b>Feldspath et Amphibole 65*</b>								
		Intrusion intermédiaire								
		Gris sombre								
		pFp automorphes atteignant jusqu'à 1cmB								
		Baguettes noires d'amphibole (max. 1cm)								
		Matrice aphanitique grise								

MAUDORE MINERALS Ltd

AC LB

Description		Analyse									
		D <sub>e</sub>	Å	Numéro	Longueur	Au_Final (g/t)	Ag_Final (ppm)	Cu_Final (ppm)	Zn_Final (ppm)		
942.30	944.50	Pas de minéralisation Contacts concordants 65deg AC I2; pFpAm Intrusion Intermédiaire; Porphyre de <b>Feldspath et Amphibole 65*</b> Intrusion intermédiaire Rouge-bordeau (Hm*) pFp automorphes atteignant jusqu'à 1cmB Baguettes noires d'amphibole (max. 1cm) Matrice aphanitique grise Pas de minéralisation	944.40	945.50	P295808	1.10	0.080	0.30	57.0	2 420.0	
945.40	947.10	Contacts concordants 65deg AC I2; pFpAm Intrusion Intermédiaire; Porphyre de <b>Feldspath et Amphibole 65*</b> Intrusion intermédiaire Rouge-bordeau (Hm*) pFp automorphes atteignant jusqu'à 1cmB Baguettes noires d'amphibole (max. 1cm) Matrice aphanitique grise Pas de minéralisation	947.00	948.30	P295809	1.30	0.050	0.50	79.0	3 660.0	
948.20	951.10	Contacts concordant 65deg AC I2; pFpAm Intrusion Intermédiaire; Porphyre de <b>Feldspath et Amphibole</b> Intrusion intermédiaire Rouge-bordeau (Hm*) pFp automorphes atteignant jusqu'à 1cmB Baguettes noires d'amphibole (max. 1cm) Matrice aphanitique grise Pas de minéralisation	951.10	952.00	P295810	0.90	0.180	0.50	56.0	4 870.0	
	951.70	952.00	FAI	952.00	952.50	P295812	0.50	0.030	0.10	22.0	757.0
			Faïlle	952.50	953.00	P295813	0.50	0.210	0.70	81.0	5 910.0
			Faïlle avec brèche de faille (3cm)	953.00	954.00	P295814	1.00	1.350	1.00	138.0	12 000.0
				954.00	955.00	P295816	1.00	0.100	0.90	114.0	5 020.0
				955.00	955.50	P299104	0.50	0.093	0.25	65.0	5 570.0
				955.50	956.70	P295817	1.20	0.060	0.40	32.0	3 510.0
956.70	958.00	I2; pFpAm	958.00	959.50	P295818	1.50	0.300	1.50	130.0	13 650.0	

MAUDORE MINERALS Ltd

AC 1B

Description			Analyse							
			De	À	Numéro	Longueur	Au_Final (g/t)	Ag_Final (ppm)	Cu_Final (ppm)	Zn_Final (ppm)
959.50	961.00	Intrusion intermédiaire; Porphyre de Feldspath et Amphibole 65* Intrusion intermédiaire Rouge-bordeau (Hm+) pFp automorphes atteignant jusqu'à 1cmB Baguettes noires d'amphibole (max. 1cm) Matrice aphanitique grise Pas de minéralisation Contacts concordant 65deg AC I2; pFpAm	961.00	962.00	P295819	1.00	0.160	0.80	98.0	4 450.0
		Intrusion intermédiaire; Porphyre de Feldspath et Amphibole 65* Intrusion intermédiaire Gris (Hm-) pFp automorphes atteignant jusqu'à 1cmB Baguettes noires d'amphibole (max. 1cm) Matrice aphanitique grise Py tr en grains disséminés Contacts concordant 65deg AC I2; pFpAm	962.00	962.90	P295820	0.90	0.110	0.90	77.0	5 240.0
962.90	965.00	Intrusion intermédiaire; Porphyre de Feldspath et Amphibole 65* Intrusion intermédiaire Rouge-bordeau (Hm+) pFp automorphes atteignant jusqu'à 1cmB Baguettes noires d'amphibole (max. 1cm) Matrice aphanitique grise Rares traces de Py Contacts concordant 65deg AC I2; pFpAm	965.00	965.90	P295821	0.90	0.135	1.10	124.0	5 745.0
965.80	971.90	Intrusion intermédiaire; Porphyre de Feldspath et Amphibole 65* Intrusion intermédiaire Rose (Hm moy pervasive) pFp automorphes atteignant jusqu'à 1cmB Baguettes noires d'amphibole (max. 1cm) Matrice aphanitique grise Pas de minéralisation Contacts concordant 65deg AC I2; pFpAm	971.90	973.40	P295822	1.50	0.060	0.40	77.0	2 990.0
973.30	975.00	I2; pFpAm	974.90	976.00	P295823	1.10	0.060	0.30	27.0	1 230.0

Description		Analyse							
		Dé	À	Numéro	Longueur	Au_Final (g/t)	Ag_Final (ppm)	Cu_Final (ppm)	Zn_Final (ppm)
975.80	977.40								
977.40	978.70	978.60	979.50	P295824	0.90	0.090	0.70	71.0	2 720.0
979.50	984.50	984.50	986.00	P295825	1.50	0.035	0.15	24.5	570.0

MAUDORE MINERALS Ltd

AC LB

Description			Analyse							
			De	À	Numéro	Longueur	Au_Final (g/t)	Ag_Final (ppm)	Cu_Final (ppm)	Zn_Final (ppm)
985.00	1 005.00	PA+; Chl; SIL; SR-; CBtr Paragonite forte; Chloritisation; Silicification; Séricitisation faible; Carbonatation tr Pa+ pervasive et en bandes claires (2-3cm), Chl moy en bandes sombres (2-3cm), Si moy pervasive et localement en Vnl, Sr- en Vnl, Cb tr en Vnl  Excepté: 965.8-971.9: I2; pFpAm 973.3-975: I2; pFpAm 975.8-977.4: I1F 977.4-978.7: I2; pFpAm 979.5-984.5: I2; pFpAm 988.1-991.3: I2; pFpAm 991.6-1004.3: I1B	986.00	987.00	P295826	1.00	0.010	0.10	6.0	57.0
			987.00	987.50	P299105	0.50	0.018	0.25	10.0	109.0
			987.50	988.20	P295827	0.70	0.010	0.10	4.0	67.0
988.10	991.30	I2; pFpAm Intrusion intermédiaire; Porphyre de Feldspath et Amphibole 65° Intrusion intermédiaire Très hétérogène, microgrenue dans la partie supérieure Rouge-bordeau (Hm+) pFp automorphes atteignant jusqu'à 1cmB Baguettes noires d'amphibole (max. 1cm) Matrice aphanitique grise Pas de minéralisation Contacts concordant 65deg AC								
991.60	1 004.30	I1B Granite 65° Granite Couleur hétérogène, grains noirs (biotite et amphibole?), grains blancs (feldspaths et quartz) Grenue (qz et mica) avec porphyre de feldspaths Pas de minéralisation Conatcts concordants à 65deg AC	1 004.30	1 005.80	P295828	1.50	0.040	0.30	29.0	1 055.0

MAUDORE MINERALS Ltd

AC LB

Description			Analyse							
			De	À	Numéro	Longueur	Au_Final (g/t)	Ag_Final (ppm)	Cu_Final (ppm)	Zn_Final (ppm)
1 005.00	1 038.60	PA+; Chl; SIL; Cbtr <b>Paragonite forte; Chloritisation;</b> <b>Silicification; Carbonatation tr</b> Pa+ pervasive et en bandes claires (2-3cm), Chl moy en bandes sombres (2-3cm), Si moy pervasive et localement en Vnl, Cb tr en Vnl  Excepté: 1009.2-1016: I1B 1018.7-1019.9: I2; pFpAm 1021.2-1022.4: I2; pFpAm 1023.4-1028.8: I2; pFpAm 1030.2-1032.5: I2; pFpAm 1033.2-1035.4: I2; pFpAm	1 005.80	1 006.50	P295829	0.70	0.080	0.30	24.0	265.0
			1 006.50	1 008.00	P295830	1.50	0.190	0.90	56.0	1 975.0
1 008.00	1 008.70	Py40 <b>Pyrite 40%</b> Py 40% gros amas/Vn dans la foliation, grains automorphes 0.5mm	1 008.00	1 008.70	P295831	0.70	0.510	3.10	398.0	3 970.0
1 008.70	1 035.90	Py02; Sp00.5 <b>Pyrite 2%; Sphalérite 0.5%</b> Py 1 à 2% en grains disséminés 50% et en amas de grains voir en Vn (50%), Sp 0.5% en Vnl (50%), mais également en petits grains allongés dans la foliation (50%).  Excepté: 1009.2-1016: I1B 1018.7-1019.9: I2; pFpAm 1021.2-1022.4: I2; pFpAm 1023.4-1028.8: I2; pFpAm 1030.2-1032.5: I2; pFpAm 1033.2-1035.4: I2; pFpAm	1 008.70	1 009.30	P295833	0.60	0.080	0.80	109.0	1 810.0
1 009.20	1 016.00	I1B <b>Granite</b>	1 016.00	1 017.50	P295835	1.50	0.630	1.20	167.0	9 730.0
			1 017.50	1 018.00	P299106	0.50	0.063	0.25	55.0	1 640.0

Description		Analyse								
		De	À	Numéro	Longueur	Au_Final (g/t)	Ag_Final (ppm)	Cu_Final (ppm)	Zn_Final (ppm)	
	Granite hétérogène grenue à microgrenue Couleur hétérogène, grains noirs (biotite et amphibole?), grains blancs (feldspaths et quartz) qz et mica avec porphyre de feldspaths Pas de minéralisation Passage d'intervalles d'I3, FIN (10 et 40cm) et d'une zone à pegmatite/aplite (60cm) Contact sup. concordant à 35deg AC, contacts inf. 70deg AC	1 018.00	1 018.70	P295836	0.70	0.030	0.20	43.0	876.0	
1 018.70	1 019.90	I2; pFpAm <b>Intrusion Intermédiaire; Porphyre de Feldspath et Amphibole 60°</b> Intrusion intermédiaire Gris rouge (Hm moy) pFp automorphes atteignant jusqu'à 1cm Baguettes noires d'amphibole (max. 1cm) Matrice aphanitique grise à rouge Pas de minéralisation Contacts concordant 60deg AC	1 019.70	1 021.20	P295837	1.50	0.060	0.60	134.0	573.0
1 021.20	1 022.40	I2; pFpAm <b>Intrusion Intermédiaire; Porphyre de Feldspath et Amphibole 60°</b> Intrusion intermédiaire Gris rouge (Hm moy) pFp automorphes atteignant jusqu'à 1cm Baguettes noires d'amphibole (max. 1cm) Matrice aphanitique grise à rouge Pas de minéralisation Contacts concordant 60deg AC	1 022.40	1 023.50	P295838	1.10	0.160	1.00	115.0	1 135.0
1 023.40	1 028.80	Petit dyke (20cm) de I3, FIN à 1022 I2; pFpAm <b>Intrusion Intermédiaire; Porphyre de Feldspath et Amphibole 60°</b> Intrusion intermédiaire Gris rouge (Hm moy) pFp automorphes atteignant jusqu'à 1cm Baguettes noires d'amphibole (max. 1cm) Matrice aphanitique grise à rouge Pas de minéralisation Contacts concordant 60deg AC	1 028.80	1 030.20	P295839	1.40	0.010	0.10	3.0	109.0



MAUDORE MINERALS Ltd

AL LB

Description		Analyse								
		De	À	Numéro	Longueur	Au_Final (g/t)	Ag_Final (ppm)	Cu_Final (ppm)	Zn_Final (ppm)	
1 030.20	1 032.50	Présence d'une veine d'apilite (20cm) I2; pFpAm Intrusion Intermédiaire; Porphyre de Feldspath et Amphibole 60° Intrusion intermédiaire Gris rouge (Hm moy) pFp automorphes atteignant jusqu'à 1cm Baguettes noires d'amphibole (max. 1cm) Matrice aphanitique grise à rouge Pas de minéralisation Contacts concordant 60deg AC	1 032.50	1 033.20	P295840	0.70	0.260	1.10	110.0	2 280.0
1 033.20	1 035.40	I2; pFpAm Intrusion Intermédiaire; Porphyre de Feldspath et Amphibole 60° Intrusion intermédiaire Gris rouge (Hm moy) pFp automorphes atteignant jusqu'à 1cm Baguettes noires d'amphibole (max. 1cm) Matrice aphanitique grise à rouge Pas de minéralisation Contacts concordant 60deg AC	1 035.40	1 035.90	P295841	0.50	0.180	0.60	83.0	2 280.0
1 035.90	1 036.60	Py05; Sp00.5 Pyrite 5%; Sphalérite 0.5% Py 5% en amas avec magnétite en périphérie. Sp 0.5% en Vnl et petits grains disséminés	1 035.90	1 036.40	P295842	0.50	0.840	3.50	370.0	8 810.0
			1 036.40	1 036.90	P295843	0.50	1.210	2.50	487.0	21 200.0
1 036.60	1 038.60	Py02 Pyrite 2% Py 1 à 2% en grains disséminés 50% et en amas de grains voir en Vn (50%)	1 036.90	1 037.50	P295845	0.60	0.005	0.10	2.0	142.0
			1 037.50	1 038.70	P295846	1.20	0.010	0.10	7.0	571.0
1 038.60	1 076.00	I1B Granite Beehler Gros porphyre de feldspaths Enclave de 1045.2 à 1046.5: ressemble à du V2V3 TI (sombre, pas de pQz)	1 045.20	1 046.60	P295847	1.40	0.025	0.40	38.5	2 500.0

AL LB

1 076.00 Fin du sondage  
Nombre d'échantillons : 426  
Nombre d'échantillons QAQC : 54  
Longueur totale échantillonnée : 488.80

MAUDORE MINERALS Ltd

AL LB

QAQC

De	À	Numéro	Référence	Longueur	Au (g/t)	Ag (ppm)	Cu (ppm)	Zn (ppm)
0.00	0.00	P297528	Blank	0.00	-0.01	-0.2	14	22
0.00	0.00	P295770	SH65	0.00	1.36	1.4	103	176
0.00	0.00	P295760	Blank	0.00	-0.01	-0.2	14	24
0.00	0.00	P295730	Blank	0.00	-0.01	-0.2	14	19
0.00	0.00	P297402	Blank	0.00	-0.01	-0.2	14	27
0.00	0.00	P295716	SK62	0.00	3.94	1.0	87	94
0.00	0.00	P295710	Blank	0.00	-0.01	-0.2	15	21
0.00	0.00	P297691	SH65	0.00	1.37	1.4	97	160
0.00	0.00	P297687	Blank	0.00	-0.01	-0.2	10	18
0.00	0.00	P295783	Blank	0.00	-0.01	-0.2	16	48
0.00	0.00	P297535	SH65	0.00	1.23	1.3	96	168
0.00	0.00	P295739	SQ48	0.00	29.00	1.0	62	85
0.00	0.00	P297516	SQ48	0.00	29.00	1.2	65	91
0.00	0.00	P297508	Blank	0.00	-0.01	0.2	24	25
0.00	0.00	P297484	SK62	0.00	3.79	1.0	80	90
0.00	0.00	P297477	Blank	0.00	-0.01	-0.2	11	19
0.00	0.00	P297469	SH65	0.00	1.28	1.3	100	172
0.00	0.00	P297464	Blank	0.00	-0.01	-0.2	13	22
0.00	0.00	P297441	SQ48	0.00	30.40	1.0	68	95
0.00	0.00	P297433	Blank	0.00	-0.01	-0.2	15	20
0.00	0.00	P297411	SK62	0.00	3.69	0.9	85	99
0.00	0.00	P297560	Blank	0.00	-0.01	-0.2	16	25
0.00	0.00	P297582	SQ48	0.00	29.00	1.0	65	92
0.00	0.00	P297667	SQ48	0.00	28.90	0.9	62	87
0.00	0.00	P297659	Blank	0.00	-0.01	-0.2	14	21
0.00	0.00	P297639	SK62	0.00	3.07	1.0	79	85
0.00	0.00	P297634	Blank	0.00	-0.01	-0.2	12	21
0.00	0.00	P297612	SH65	0.00	1.37	1.5	106	184
0.00	0.00	P297606	Blank	0.00	-0.01	-0.2	16	61
0.00	0.00	P297588	Blank	0.00	-0.01	-0.2	13	23
0.00	0.00	P295788	SK62	0.00	4.24	1.3	91	109
0.00	0.00	P297572	SK62	0.00	4.24	0.9	93	99
0.00	0.00	P295815	SQ48	0.00	29.50	1.1	68	98

MAUDORE MINERALS Ltd

AL LB

QAQC

De	À	Numéro	Référence	Longueur	Au (g/t)	Ag (ppm)	Cu (ppm)	Zn (ppm)
0.00	0.00	P295844	SH65	0.00	1.34	1.3	102	186
0.00	0.00	P295806	Blank	0.00	-0.01	-0.2	19	34
0.00	0.00	P295832	Blank	0.00	-0.01	-0.2	12	33
329.50	331.00	P297435	P297419	1.50	-0.01	-0.2	38	57
386.50	388.00	P297459	P297445	1.50	-0.01	-0.2	38	60
426.00	427.00	P297491	P297473	1.00	-0.01	-0.2	22	50
440.50	442.00	P297512	P297494	1.50	-0.01	-0.2	23	62
488.00	489.00	P297539	P297523	1.00	-0.01	-0.2	32	84
512.50	514.00	P297567	P297546	1.50	-0.01	-0.2	48	63
535.00	536.50	P297579	P297564	1.50	0.01	-0.2	45	64
582.00	583.00	P297609	P297595	1.00	-0.01	-0.2	63	64
640.00	641.50	P297633	P297618	1.50	-0.01	-0.2	-1	58
699.10	699.80	P297661	P297645	0.70	-0.01	-0.2	36	23
751.00	752.50	P297685	P297670	1.50	-0.01	-0.2	42	49
794.50	796.00	P295708	P297694	1.50	-0.01	-0.2	10	56
824.50	826.00	P295734	P295718	1.50	0.01	-0.2	54	93
856.00	857.50	P295756	P295744	1.50	0.03	0.2	23	359
904.00	905.50	P295781	P295774	1.50	0.06	0.3	15	5 710
920.50	922.00	P295811	P295792	1.50	0.03	0.3	11	4 280
965.00	965.90	P295834	P295821	0.90	0.13	1.1	120	5 620
1 045.20	1 046.60	P299290	P295847	1.40	0.03	0.5	48	2 520

MAUDORE MINERALS Ltd

AC UB

Géochimie

De	À	Numéro	Longueur	Description	SiO2 (%)	Al2O3 (%)	Fe2O3 (%)	CaO (%)
300.00	300.50	P299019	0.50	V2V3 TI, SIL+; Chl; EP; HM-; PA-	63.36	15.06	4.38	5.78
332.50	333.00	P299020	0.50	V2V3 TI, SIL+; Chl; PA; CB; HM-	59.58	15.31	5.57	6.09
359.50	360.00	P299021	0.50	V2V3 TI, SIL+; CB+; Chl; PA; HM-	63.13	14.54	4.51	5.23
390.50	391.00	P299025	0.50	V2V3 TI; SIL; Chl; CB; SR-; HMtr	61.07	14.48	6.76	5.57
419.50	420.00	P299026	0.50	V2V3 TI; SIL+; Chl+; PA; CB-; HM-	63.61	15.52	5.12	4.14
448.00	448.50	P299027	0.50	V2V3 TI; SIL+; Chl+; PA-; CB-; HM-	62.65	15.11	5.11	4.88
479.50	480.00	P299036	0.50	V2V3 TI; SIL+; Chl+; CB; HM-; SR-; EPtr	63.35	15.09	5.35	3.69
494.60	495.10	P299037	0.50	I3, FIN?	38.50	8.32	16.31	15.78
510.50	511.00	P299038	0.50	V2V3 TI, SIL+; Chl+; PA; SR; CB-; EP-	60.54	15.56	6.28	4.20
538.00	538.50	P299039	0.50	V2V3 TI, SIL+; Chl; PA; HM-; CB	57.44	14.55	6.83	5.55
570.50	571.00	P299040	0.50	V2V3 MA?, SIL+; Chl+; CB; PA-; HMtr	61.47	15.42	6.24	4.10
601.00	601.50	P299041	0.50	V2V3 MAS?, SIL+; Chl+; PA-; CB-	54.53	15.73	9.66	6.49
630.50	631.00	P299042	0.50	V2V3 MAS, SIL+; Chl+; PA-; CB-	60.61	15.36	6.35	3.37
641.50	642.00	P299043	0.50	V1C, PA+; Chl+; SIL; EP; CB-	73.04	14.60	2.02	1.74
661.00	661.50	P299044	0.50	V2V3 MAS, SIL+; Chl+; PA-; SR-	59.02	15.72	6.86	5.06
688.00	688.50	P299045	0.50	V2V3 TI, SIL+; Chl+; PA; CB-; HM-	63.20	14.41	5.23	6.51
719.00	719.50	P299046	0.50	V2V3 TI, SIL+; PA+; Chl; SR; CB; HM-; EPtr	62.19	14.37	5.51	6.00
750.50	751.00	P299047	0.50	V2V3 TI, SIL+; PA+; Chl; SR; CB; HM-; EPtr	63.28	16.36	6.14	3.70
781.00	781.50	P299048	0.50	V2V3 TI, SIL+; Chl+; PA-; CB-; HM-; EPtr	62.98	15.30	5.86	4.87
811.00	811.50	P299049	0.50	V2V3 TI, PA+; SIL; SR; CB; Chl	60.19	14.17	7.16	4.94
838.00	838.50	P299050	0.50	V2V3 TI, SIL+; Chl+; BO+; SR-; PA-	56.44	14.85	6.44	9.00
870.50	871.00	P299101	0.50	V1C pQz, PA+; Chl; SIL; HM-; CBtr	71.30	14.85	3.33	2.77
900.50	901.00	P299102	0.50	V1C pQz, PA+; Chl; SIL; CBtr	71.10	14.55	6.18	1.11
928.00	928.50	P299103	0.50	V1C pQz, PA+; Chl; SIL; CBtr	71.10	14.20	5.14	0.88
955.00	955.50	P299104	0.50	V1C pQz, PA+; Chl; SIL; CBtr	71.70	14.95	4.85	0.47
987.00	987.50	P299105	0.50	V1C pQz, PA+; Chl; SIL; Sr-; CBtr	66.50	15.75	3.45	5.14
1 017.50	1 018.00	P299106	0.50	V1C pQz, PA+; Chl; SIL; CBtr	69.00	13.60	3.38	2.08

## Géochimie

De	À	Numéro	Longueur	MgO (%)	Na2O (%)	K2O (%)	Cr2O3 (%)	TiO2 (%)	MnO (%)	P2O5 (%)
300.00	300.50	P299019	0.50	2.06	3.64	0.65	-0.01	0.42	0.06	0.09
332.50	333.00	P299020	0.50	2.84	4.23	1.05	0.01	0.46	0.10	0.11
359.50	360.00	P299021	0.50	2.40	3.89	1.39	0.01	0.49	0.06	0.11
390.50	391.00	P299025	0.50	3.50	3.84	0.57	0.01	0.56	0.09	0.18
419.50	420.00	P299026	0.50	3.20	3.97	1.66	0.01	0.44	0.07	0.11
448.00	448.50	P299027	0.50	3.14	4.32	1.24	0.01	0.43	0.08	0.11
479.50	480.00	P299036	0.50	3.54	4.80	0.57	0.01	0.46	0.09	0.13
494.60	495.10	P299037	0.50	8.59	0.65	0.04	0.07	1.86	0.44	0.21
510.50	511.00	P299038	0.50	4.04	4.97	0.17	0.01	0.63	0.09	0.21
538.00	538.50	P299039	0.50	4.62	4.64	0.86	0.01	0.74	0.11	0.34
570.50	571.00	P299040	0.50	3.52	4.12	1.83	0.01	0.53	0.09	0.15
601.00	601.50	P299041	0.50	5.37	3.72	0.67	0.02	0.67	0.15	0.24
630.50	631.00	P299042	0.50	4.41	5.68	0.28	0.01	0.56	0.09	0.14
641.50	642.00	P299043	0.50	0.82	2.98	1.89	-0.01	0.13	0.03	0.07
661.00	661.50	P299044	0.50	3.79	5.68	0.79	0.01	0.60	0.08	0.17
688.00	688.50	P299045	0.50	2.12	1.91	1.75	0.01	0.46	0.07	0.11
719.00	719.50	P299046	0.50	2.89	3.63	1.01	0.01	0.51	0.09	0.12
750.50	751.00	P299047	0.50	2.79	3.67	1.35	0.01	0.53	0.10	0.13
781.00	781.50	P299048	0.50	3.29	3.60	1.01	0.01	0.55	0.13	0.13
811.00	811.50	P299049	0.50	3.59	2.37	1.85	0.01	0.48	0.18	0.12
838.00	838.50	P299050	0.50	5.13	0.67	1.98	0.02	0.50	0.21	0.11
870.50	871.00	P299101	0.50	1.09	1.34	3.04	-0.01	0.24	0.22	0.10
900.50	901.00	P299102	0.50	0.87	0.37	3.87	-0.01	0.24	0.36	0.10
928.00	928.50	P299103	0.50	1.14	1.72	3.84	-0.01	0.24	0.19	0.10
955.00	955.50	P299104	0.50	0.61	0.49	3.78	-0.01	0.24	0.26	0.08
987.00	987.50	P299105	0.50	1.61	2.24	3.24	0.01	0.33	0.07	0.13
1 017.50	1 018.00	P299106	0.50	0.92	3.40	2.73	-0.01	0.20	0.24	0.14

## Géochimie

De	À	Numéro	Longueur	SrO (%)	BaO (%)	LOI (%)	Total (%)	Nb (ppm)	Ba (ppm)	Rb (ppm)
300.00	300.50	P299019	0.50	0.06	0.01	2.70	98.27	3	160	18
332.50	333.00	P299020	0.50	0.06	0.03	3.29	98.74	4	400	30
359.50	360.00	P299021	0.50	0.03	0.01	3.14	98.94	4	200	40
390.50	391.00	P299025	0.50	0.08	0.01	2.53	99.25	5	210	18
419.50	420.00	P299026	0.50	0.04	0.04	1.87	99.80	3	420	48
448.00	448.50	P299027	0.50	0.04	0.03	2.45	99.60	5	340	35
479.50	480.00	P299036	0.50	0.05	0.01	2.59	99.73	4	150	25
494.60	495.10	P299037	0.50	0.03	-0.01	7.52	98.31	45	-10	-2
510.50	511.00	P299038	0.50	0.09	-0.01	2.49	99.27	4	80	9
538.00	538.50	P299039	0.50	0.04	0.01	3.52	99.26	4	160	30
570.50	571.00	P299040	0.50	0.04	0.04	2.04	99.59	4	410	44
601.00	601.50	P299041	0.50	0.08	0.02	1.61	98.95	5	240	18
630.50	631.00	P299042	0.50	0.04	0.01	2.29	99.20	5	170	9
641.50	642.00	P299043	0.50	0.04	0.02	1.92	99.29	4	290	68
661.00	661.50	P299044	0.50	0.04	0.03	2.32	100.15	5	340	21
688.00	688.50	P299045	0.50	0.03	0.02	3.95	99.78	5	240	49
719.00	719.50	P299046	0.50	0.04	0.01	2.63	99.00	5	220	30
750.50	751.00	P299047	0.50	0.04	0.02	2.01	100.15	5	270	39
781.00	781.50	P299048	0.50	0.04	0.01	2.42	100.20	6	160	44
811.00	811.50	P299049	0.50	0.03	0.02	3.48	98.59	5	320	82
838.00	838.50	P299050	0.50	0.02	0.03	4.10	99.49	4	300	91
870.50	871.00	P299101	0.50	0.03	0.06	2.29	100.66	5	533	103
900.50	901.00	P299102	0.50	0.01	0.07	2.02	100.85	5	643	97
928.00	928.50	P299103	0.50	0.02	0.12	2.58	101.27	5	995	170
955.00	955.50	P299104	0.50	0.01	0.07	2.22	99.73	5	618	97
987.00	987.50	P299105	0.50	0.09	0.09	1.53	100.18	5	776	117
1 017.50	1 018.00	P299106	0.50	0.04	0.06	1.93	97.72	4	523	199

AL LB

Géochimie

De	À	Numéro	Longueur	Zr (ppm)	Y (ppm)	Sr (ppm)	Au (ppm)	Ag (ppm)	Al (%)	As (ppm)
300.00	300.50	P299019	0.50	116	9	551	-0.005	-0.2	1.52	-2
332.50	333.00	P299020	0.50	118	9	613	-0.005	-0.2	1.98	-2
359.50	360.00	P299021	0.50	116	8	276	-0.005	-0.2	1.71	-2
390.50	391.00	P299025	0.50	133	12	732	-0.005	-0.2	1.87	-2
419.50	420.00	P299026	0.50	123	9	418	-0.005	-0.2	2.12	-2
448.00	448.50	P299027	0.50	118	8	377	-0.005	0.40	1.86	-2
479.50	480.00	P299036	0.50	113	10	507	-0.005	-0.2	1.69	-2
494.60	495.10	P299037	0.50	118	19	265	0.005	0.20	1.73	-2
510.50	511.00	P299038	0.50	130	12	872	-0.005	-0.2	1.87	-2
538.00	538.50	P299039	0.50	127	13	390	-0.005	-0.2	1.69	-2
570.50	571.00	P299040	0.50	129	10	334	-0.005	-0.2	2.08	-2
601.00	601.50	P299041	0.50	117	16	755	-0.005	-0.2	1.83	-2
630.50	631.00	P299042	0.50	120	11	386	-0.005	-0.2	1.64	-2
641.50	642.00	P299043	0.50	155	9	343	-0.005	-0.2	0.74	-2
661.00	661.50	P299044	0.50	119	12	375	-0.005	-0.2	1.88	3
688.00	688.50	P299045	0.50	126	10	322	-0.005	-0.2	2.49	-2
719.00	719.50	P299046	0.50	139	11	353	-0.005	-0.2	1.38	-2
750.50	751.00	P299047	0.50	123	11	359	-0.005	-0.2	1.59	-2
781.00	781.50	P299048	0.50	146	10	409	0.009	-0.2	1.59	-2
811.00	811.50	P299049	0.50	119	11	267	0.011	-0.2	2.26	2
838.00	838.50	P299050	0.50	117	10	197	0.007	-0.2	3.41	-2
870.50	871.00	P299101	0.50	160	12	286	0.084	-0.5		1
900.50	901.00	P299102	0.50	180	12	79	0.197	0.70		1
928.00	928.50	P299103	0.50	160	12	154	0.140	-0.5		2
955.00	955.50	P299104	0.50	170	12	95	0.093	-0.5		1
987.00	987.50	P299105	0.50	210	10	749	0.018	-0.5		0
1 017.50	1 018.00	P299106	0.50	160	11	355	0.063	-0.5		1



## Géochimie

De	À	Numéro	Longueur	B (ppm)	Ba Econo (ppm)	Be (ppm)	Bi (ppm)	Ca (%)	Cd (ppm)	Co (ppm)
300.00	300.50	P299019	0.50	-10		-0.5	-2	1.51	-0.5	12
332.50	333.00	P299020	0.50	-10		-0.5	-2	2.04	-0.5	15
359.50	360.00	P299021	0.50	-10		-0.5	-2	1.98	-0.5	13
390.50	391.00	P299025	0.50	-10		-0.5	-2	1.47	-0.5	17
419.50	420.00	P299026	0.50	-10		-0.5	-2	0.89	-0.5	19
448.00	448.50	P299027	0.50	-10		-0.5	-2	1.46	-0.5	13
479.50	480.00	P299036	0.50	-10		-0.5	-2	1.08	-0.5	14
494.60	495.10	P299037	0.50	-10		0.5	-2	5.99	-0.5	43
510.50	511.00	P299038	0.50	-10		-0.5	-2	1.03	-0.5	14
538.00	538.50	P299039	0.50	-10		-0.5	-2	2.16	-0.5	14
570.50	571.00	P299040	0.50	-10		-0.5	-2	1.07	-0.5	16
601.00	601.50	P299041	0.50	-10		-0.5	-2	0.88	-0.5	19
630.50	631.00	P299042	0.50	-10		-0.5	-2	0.86	-0.5	14
641.50	642.00	P299043	0.50	-10		-0.5	-2	0.54	-0.5	2
661.00	661.50	P299044	0.50	-10		0.5	-2	1.80	-0.5	17
688.00	688.50	P299045	0.50	-10		-0.5	-2	3.12	-0.5	12
719.00	719.50	P299046	0.50	-10		-0.5	-2	1.91	-0.5	12
750.50	751.00	P299047	0.50	-10		-0.5	-2	0.79	-0.5	16
781.00	781.50	P299048	0.50	-10		-0.5	-2	1.29	-0.5	12
811.00	811.50	P299049	0.50	-10		-0.5	-2	2.22	-0.5	17
838.00	838.50	P299050	0.50	10		0.5	-2	3.80	-0.5	12
870.50	871.00	P299101	0.50				0		4.3	2
900.50	901.00	P299102	0.50				0		21.6	-1
928.00	928.50	P299103	0.50				1		31.2	2
955.00	955.50	P299104	0.50				0		31.1	-1
987.00	987.50	P299105	0.50				0		-0.5	7
1 017.50	1 018.00	P299106	0.50				0		6.7	1

AL 18

Géochimie

De	À	Numéro	Longueur	Cr (ppm)	Cu (ppm)	Fe (%)	Ga (ppm)	Hg (ppm)	K (%)	La (ppm)
300.00	300.50	P299019	0.50	37	35	2.24	10	-1	0.17	-10
332.50	333.00	P299020	0.50	81	34	2.98	10	-1	0.68	-10
359.50	360.00	P299021	0.50	96	36	2.67	10	-1	0.83	-10
390.50	391.00	P299025	0.50	83	40	3.07	10	-1	0.35	10
419.50	420.00	P299026	0.50	97	32	2.87	10	-1	1.08	-10
448.00	448.50	P299027	0.50	83	29	2.74	10	-1	0.82	10
479.50	480.00	P299036	0.50	80	31	2.68	10	-1	0.06	10
494.60	495.10	P299037	0.50	257	308	4.67	10	-1	0.01	30
510.50	511.00	P299038	0.50	71	49	2.81	10	1	0.03	10
538.00	538.50	P299039	0.50	73	47	2.89	10	1	0.04	30
570.50	571.00	P299040	0.50	69	34	3.51	10	-1	1.02	10
601.00	601.50	P299041	0.50	82	81	2.92	10	-1	0.18	10
630.50	631.00	P299042	0.50	88	25	2.75	10	-1	0.02	10
641.50	642.00	P299043	0.50	3	-1	1.05	-10	-1	0.13	20
661.00	661.50	P299044	0.50	90	48	3.05	10	-1	0.03	10
688.00	688.50	P299045	0.50	56	31	2.69	10	-1	0.31	10
719.00	719.50	P299046	0.50	72	4	2.39	10	-1	0.42	10
750.50	751.00	P299047	0.50	66	44	2.84	10	-1	0.21	10
781.00	781.50	P299048	0.50	54	53	2.50	10	-1	0.16	10
811.00	811.50	P299049	0.50	37	52	3.80	10	-1	0.13	10
838.00	838.50	P299050	0.50	63	23	2.11	10	-1	0.38	10
870.50	871.00	P299101	0.50	40	9		20	0		23
900.50	901.00	P299102	0.50	40	150		21	0		22
928.00	928.50	P299103	0.50	40	69		20	0		27
955.00	955.50	P299104	0.50	30	65		22	0		22
987.00	987.50	P299105	0.50	80	10		26	0		31
1 017.50	1 018.00	P299106	0.50	50	55		19	0		20

AL LB

Géochimie

De	À	Numéro	Longueur	Mg (%)	Mn (ppm)	Mo (ppm)	Na (%)	Ni (ppm)	P (ppm)	Pb (ppm)
300.00	300.50	P299019	0.50	1.09	311	1	0.05	27	390	-2
332.50	333.00	P299020	0.50	1.50	593	-1	0.06	60	440	-2
359.50	360.00	P299021	0.50	1.28	433	-1	0.06	64	450	-2
390.50	391.00	P299025	0.50	1.66	380	-1	0.05	63	750	-2
419.50	420.00	P299026	0.50	1.73	405	-1	0.06	73	460	-2
448.00	448.50	P299027	0.50	1.53	448	-1	0.07	59	440	-2
479.50	480.00	P299036	0.50	1.67	461	-1	0.06	53	540	-2
494.60	495.10	P299037	0.50	1.94	1 020	-1	0.06	231	850	-2
510.50	511.00	P299038	0.50	1.83	332	-1	0.06	69	830	-2
538.00	538.50	P299039	0.50	1.74	448	-1	0.07	61	1 400	-2
570.50	571.00	P299040	0.50	1.80	515	-1	0.07	51	610	-2
601.00	601.50	P299041	0.50	1.58	351	1	0.09	74	1 000	-2
630.50	631.00	P299042	0.50	1.67	312	-1	0.06	53	580	-2
641.50	642.00	P299043	0.50	0.32	208	1	0.05	1	310	-2
661.00	661.50	P299044	0.50	1.40	304	-1	0.08	62	720	-2
688.00	688.50	P299045	0.50	0.99	396	-1	0.14	44	470	-2
719.00	719.50	P299046	0.50	1.01	391	1	0.09	43	490	-2
750.50	751.00	P299047	0.50	1.05	358	-1	0.07	60	510	-2
781.00	781.50	P299048	0.50	1.17	553	1	0.09	34	520	-2
811.00	811.50	P299049	0.50	1.37	827	1	0.12	55	520	3
838.00	838.50	P299050	0.50	1.24	609	1	0.11	53	480	-2
870.50	871.00	P299101	0.50			-1		3		8
900.50	901.00	P299102	0.50			-1		1		6
928.00	928.50	P299103	0.50			1		2		4
955.00	955.50	P299104	0.50			-1		1		32
987.00	987.50	P299105	0.50			-1		25		12
1 017.50	1 018.00	P299106	0.50			-1		2		9

*AL LB*

Géochimie

De	À	Numéro	Longueur	S (%)	Sb (ppm)	Sc (ppm)	Th (ppm)	Sr Econo (ppm)	TI (%)	TI (ppm)
300.00	300.50	P299019	0.50	0.01	-2	2	-20		0.09	-10
332.50	333.00	P299020	0.50	0.03	-2	3	-20		0.14	-10
359.50	360.00	P299021	0.50	0.01	-2	4	-20		0.14	-10
390.50	391.00	P299025	0.50	0.06	-2	2	-20		0.12	-10
419.50	420.00	P299026	0.50	0.01	-2	3	-20		0.19	-10
448.00	448.50	P299027	0.50	0.01	-2	3	-20		0.16	-10
479.50	480.00	P299036	0.50	-0.01	-2	3	-20		0.13	-10
494.60	495.10	P299037	0.50	0.63	-2	5	-20		0.27	-10
510.50	511.00	P299038	0.50	-0.01	-2	3	-20		0.11	-10
538.00	538.50	P299039	0.50	-0.01	-2	4	-20		0.19	-10
570.50	571.00	P299040	0.50	-0.01	-2	4	-20		0.20	-10
601.00	601.50	P299041	0.50	0.02	-2	4	-20		0.14	-10
630.50	631.00	P299042	0.50	0.01	-2	4	-20		0.13	-10
641.50	642.00	P299043	0.50	0.03	-2	-1	-20		0.02	-10
661.00	661.50	P299044	0.50	0.03	-2	4	-20		0.19	-10
688.00	688.50	P299045	0.50	0.01	-2	4	-20		0.12	-10
719.00	719.50	P299046	0.50	0.03	-2	5	-20		0.13	-10
750.50	751.00	P299047	0.50	0.01	-2	5	-20		0.10	-10
781.00	781.50	P299048	0.50	0.02	-2	5	-20		0.15	-10
811.00	811.50	P299049	0.50	1.35	-2	4	-20		0.15	-10
838.00	838.50	P299050	0.50	0.07	-2	6	-20		0.12	-10
870.50	871.00	P299101	0.50	0.48	-0.05	4	3			-0.5
900.50	901.00	P299102	0.50	0.48	-0.05	3	3			-0.5
928.00	928.50	P299103	0.50	1.05	0	3	3			1
955.00	955.50	P299104	0.50	0.66	-0.05	3	3			-0.5
987.00	987.50	P299105	0.50	0.03	-0.05	5	4			1
1 017.50	1 018.00	P299106	0.50	0.40	-0.05	3	3			1

## Géochimie

De	À	Numéro	Longueur	U (ppm)	V (ppm)	W (ppm)	Zn (ppm)
300.00	300.50	P299019	0.50	-10	34	-10	52
332.50	333.00	P299020	0.50	-10	61	-10	54
359.50	360.00	P299021	0.50	-10	55	-10	58
390.50	391.00	P299025	0.50	-10	54	-10	59
419.50	420.00	P299026	0.50	-10	59	-10	63
448.00	448.50	P299027	0.50	-10	58	-10	58
479.50	480.00	P299036	0.50	-10	60	-10	53
494.60	495.10	P299037	0.50	-10	72	-10	56
510.50	511.00	P299038	0.50	-10	52	-10	60
538.00	538.50	P299039	0.50	-10	66	-10	52
570.50	571.00	P299040	0.50	-10	73	-10	62
601.00	601.50	P299041	0.50	-10	50	-10	45
630.50	631.00	P299042	0.50	-10	63	-10	48
641.50	642.00	P299043	0.50	-10	1	-10	57
661.00	661.50	P299044	0.50	-10	71	-10	54
688.00	688.50	P299045	0.50	-10	47	-10	52
719.00	719.50	P299046	0.50	-10	53	-10	47
750.50	751.00	P299047	0.50	-10	54	-10	39
781.00	781.50	P299048	0.50	-10	57	-10	51
811.00	811.50	P299049	0.50	-10	50	-10	79
838.00	838.50	P299050	0.50	-10	53	-10	71
870.50	871.00	P299101	0.50	1	31	1	1 230
900.50	901.00	P299102	0.50	1	29	1	5 640
928.00	928.50	P299103	0.50	1	30	1	8 270
955.00	955.50	P299104	0.50	1	30	1	5 570
987.00	987.50	P299105	0.50	1	50	1	109
1 017.50	1 018.00	P299106	0.50	1	32	1	1 640

MAUDORE MINERALS Ltd

Sondage : COM-12-907  
 Titre minier :  
 Canton : Comtois  
 Rang :  
 Lot :  
 Foré par : Forages M. Rouillier Inc  
 Décrit par : JG. Merdy  
 Du : 2012-07-04  
 Au : 2012-07-11  
 Section : 1375E  
 Niveau : Surface  
 Place de travail : Label-sur-Quévillon  
 Date de description : 2012-07-12

Collet

	UTM	Locales	GREER
Azimut : 195.00°	Est 340 548.75	1 382.20	3 213.77
Plongée : -46.00°	Nord 5 444 695.41	1 430.17	3 018.85
Longueur : 462.00 m	Élévation 290.47	290.47	290.47

Déviations

Type	Profondeur	Azimut	Plongée	Invalide	Description
Reflex	0.00	195.00°	-46.00°	Non	
Reflex	27.00	342.00°	-46.10°	Oui	21943
Reflex	30.00	347.20°	-45.40°	Oui	31198
Reflex	33.00	0.90°	-45.20°	Oui	20845
Reflex	36.00	345.70°	-46.30°	Oui	22651
Reflex	39.00	345.70°	-46.40°	Oui	30496
Reflex	42.00	163.40°	-44.50°	Oui	31285
Reflex	45.00	195.70°	-45.50°	Oui	55302
Reflex	48.00	194.20°	-46.50°	Non	54695
Reflex	51.00	194.10°	-45.60°	Oui	54933
Reflex	54.00	187.20°	-51.70°	Oui	54827
Reflex	57.00	192.00°	-46.20°	Oui	54687

Description

L'échantillon P299806 (Blank) a été contaminé à l'extérieur et confirmé par la reprise faite avec le rejet (certificat TM12173501) De P299801 à P299811, la teneur de l'analyse en Au a été pris à partir de la ré-analyse. Aucune valeur significative sauf la contamination du Blank et le standard.



Dimension de la carotte : Carotte NQ  
 Cimenté : Non  
 Entposé : Oui

MAUDORE MINERALS Ltd

AC

Déviation

Type	Profondeur	Azimut	Plongée	Invalide	Description
Reflex	60.00	303.70°	-20.50°	Oui	54520
Reflex	63.00	190.90°	-46.00°	Oui	54317
Reflex	66.00	194.90°	-45.40°	Oui	54266
Reflex	69.00	194.00°	-45.60°	Non	54601
Reflex	72.00	194.60°	-45.10°	Oui	54432
Reflex	75.00	193.50°	-45.50°	Non	54381
Reflex	78.00	193.70°	-45.20°	Non	54374
Reflex	81.00	193.40°	-45.40°	Non	54426
Reflex	84.00	192.60°	-45.30°	Non	54570
Reflex	87.00	193.10°	-45.20°	Non	55232
Reflex	90.00	184.70°	-45.20°	Oui	61477
Reflex	93.00	221.80°	-35.80°	Oui	59448
Reflex	96.00	189.80°	-45.10°	Oui	60210
Reflex	99.00	195.40°	-45.10°	Non	54728
Reflex	102.00	191.80°	-45.70°	Oui	54675
Reflex	105.00	195.00°	-44.80°	Non	54668
Reflex	108.00	194.70°	-44.70°	Non	54645
Reflex	111.00	194.50°	-44.70°	Non	54629
Reflex	114.00	194.30°	-44.70°	Non	54636
Reflex	117.00	197.70°	-43.90°	Oui	54644
Reflex	120.00	194.60°	-44.60°	Non	54660
Reflex	123.00	194.40°	-44.60°	Non	54745
Reflex	126.00	194.30°	-44.60°	Non	54765
Reflex	129.00	194.10°	-44.50°	Non	54987
Reflex	132.00	194.60°	-44.40°	Oui	55009
Reflex	135.00	191.40°	-46.60°	Oui	54706
Reflex	138.00	195.70°	-42.90°	Oui	54778
Reflex	141.00	193.10°	-44.50°	Non	54632
Reflex	144.00	196.60°	-42.90°	Oui	55058
Reflex	147.00	197.10°	-42.90°	Oui	54641
Reflex	150.00	194.30°	-44.20°	Non	54587
Reflex	153.00	193.30°	-44.50°	Oui	54869
Reflex	156.00	194.10°	-44.20°	Non	54564
Reflex	159.00	195.00°	-44.70°	Oui	54681

MAUDORE MINERALS Ltd

AC

Déviation

Type	Profondeur	Azimet	Plongée	Invalide	Description
Reflex	162.00	223.90°	-34.30°	Oui	54688
Reflex	165.00	194.00°	-44.10°	Non	54735
Reflex	168.00	194.40°	-43.70°	Oui	54563
Reflex	171.00	193.40°	-44.00°	Non	55021
Reflex	174.00	193.80°	-43.90°	Non	54871
Reflex	177.00	189.10°	-52.40°	Oui	54677
Reflex	180.00	287.90°	-24.60°	Oui	54641
Reflex	183.00	192.80°	-44.00°	Oui	55347
Reflex	186.00	196.60°	-41.30°	Oui	55005
Reflex	189.00	194.30°	-43.80°	Non	54961
Reflex	192.00	194.10°	-43.70°	Non	55156
Reflex	195.00	194.60°	-43.70°	Non	54828
Reflex	198.00	194.10°	-43.60°	Non	55148
Reflex	201.00	192.80°	-44.30°	Oui	55203
Reflex	204.00	187.30°	-43.50°	Oui	54682
Reflex	207.00	194.30°	-43.50°	Non	55181
Reflex	210.00	194.40°	-43.50°	Non	55149
Reflex	213.00	194.30°	-43.50°	Non	54891
Reflex	216.00	194.30°	-43.40°	Non	54847
Reflex	219.00	193.40°	-43.30°	Non	54943
Reflex	222.00	192.30°	-44.30°	Oui	54983
Reflex	225.00	194.50°	-43.10°	Non	54924
Reflex	228.00	194.80°	-42.90°	Non	54682
Reflex	231.00	194.80°	-42.80°	Non	55190
Reflex	234.00	194.40°	-42.60°	Non	54644
Reflex	237.00	195.30°	-42.40°	Non	54546
Reflex	240.00	195.90°	-42.30°	Non	54882
Reflex	243.00	198.70°	-38.60°	Oui	54967
Reflex	246.00	195.30°	-42.10°	Non	55186
Reflex	249.00	197.30°	-42.20°	Oui	54717
Reflex	252.00	195.10°	-42.00°	Non	54748
Reflex	255.00	194.50°	-42.00°	Non	54626
Reflex	258.00	188.40°	-50.00°	Oui	54930
Reflex	261.00	201.50°	-39.10°	Oui	54805



MAUDORE MINERALS Ltd

AC

Déviations

Type	Profondeur	Azimut	Plongée	Invalide	Description
Reflex	264.00	194.80°	-41.70°	Non	55131
Reflex	267.00	195.80°	-41.70°	Non	54612
Reflex	270.00	195.20°	-41.60°	Non	54604
Reflex	273.00	195.60°	-41.60°	Non	54645
Reflex	276.00	196.70°	-41.10°	Non	54695
Reflex	279.00	193.20°	-42.30°	Oui	54714
Reflex	282.00	196.00°	-41.40°	Non	54629
Reflex	285.00	196.00°	-41.40°	Non	54613
Reflex	288.00	195.80°	-41.40°	Non	54859
Reflex	291.00	196.10°	-41.40°	Non	54721
Reflex	294.00	198.30°	-40.40°	Oui	54948
Reflex	297.00	193.40°	-41.50°	Oui	54858
Reflex	300.00	196.30°	-41.30°	Non	54765
Reflex	303.00	196.40°	-41.30°	Non	54726
Reflex	306.00	196.50°	-41.20°	Non	54703
Reflex	309.00	196.20°	-41.20°	Non	54699
Reflex	312.00	196.10°	-41.20°	Non	54737
Reflex	315.00	196.30°	-41.20°	Non	54682
Reflex	318.00	195.80°	-41.20°	Non	54697
Reflex	321.00	196.30°	-41.20°	Non	54735
Reflex	324.00	196.20°	-41.20°	Non	54742
Reflex	327.00	196.00°	-41.20°	Non	54646
Reflex	330.00	196.30°	-41.20°	Non	54635
Reflex	333.00	196.10°	-41.10°	Non	54642
Reflex	336.00	196.20°	-41.20°	Non	55018
Reflex	339.00	196.00°	-41.20°	Non	54731
Reflex	342.00	196.10°	-41.10°	Non	54806
Reflex	345.00	195.20°	-41.10°	Non	54982
Reflex	348.00	192.10°	-43.70°	Oui	54625
Reflex	351.00	199.30°	-43.90°	Oui	54860
Reflex	354.00	196.10°	-40.90°	Non	54960
Reflex	357.00	196.70°	-40.90°	Non	54880
Reflex	360.00	197.20°	-40.90°	Non	55014
Reflex	363.00	196.50°	-40.90°	Non	54971

AC

Déviation

Type	Profondeur	Azimet	Plongée	Invalide	Description
Reflex	366.00	196.20°	-40.80°	Non	54824
Reflex	369.00	196.10°	-40.70°	Non	54689
Reflex	372.00	195.60°	-40.70°	Non	54604
Reflex	375.00	195.80°	-40.70°	Non	54650
Reflex	378.00	196.10°	-40.60°	Non	54798
Reflex	381.00	196.70°	-40.60°	Non	54743
Reflex	384.00	197.00°	-40.50°	Non	54811
Reflex	387.00	196.80°	-40.50°	Non	54820
Reflex	390.00	196.50°	-40.50°	Non	54734
Reflex	393.00	196.10°	-40.40°	Non	54745
Reflex	396.00	192.60°	-40.50°	Oui	54935
Reflex	399.00	196.70°	-40.40°	Non	54634
Reflex	402.00	196.80°	-40.30°	Non	54619
Reflex	405.00	208.60°	-37.90°	Oui	54661
Reflex	408.00	285.80°	-20.70°	Oui	54960
Reflex	411.00	196.50°	-40.20°	Non	54671
Reflex	414.00	195.40°	-40.20°	Non	56008
Reflex	417.00	196.20°	-40.10°	Non	54497
Reflex	420.00	196.10°	-40.10°	Non	55131
Reflex	423.00	196.90°	-40.10°	Non	54558
Reflex	426.00	196.80°	-40.00°	Non	54605
Reflex	429.00	188.80°	-41.00°	Oui	54622
Reflex	432.00	202.20°	-37.60°	Oui	54594
Reflex	435.00	197.10°	-39.90°	Non	54604
Reflex	438.00	197.00°	-39.90°	Non	54617
Reflex	441.00	197.20°	-39.80°	Non	54618
Reflex	444.00	188.60°	-46.50°	Oui	54620
Reflex	447.00	237.50°	-29.10°	Oui	54621
Reflex	450.00	197.00°	-39.60°	Non	54642
Reflex	453.00	197.20°	-39.50°	Non	54643
Reflex	456.00	197.00°	-39.50°	Non	54643
Reflex	459.00	197.10°	-39.40°	Non	54644
Reflex	462.00	197.20°	-39.40°	Non	54634

MAUDORE MINERALS Ltd

AK

Description			Analyse							
			De	À	Numéro	Longueur	Au_Final (g/t)	Ag_Final (ppm)	Cu_Final (ppm)	Zn_Final (ppm)
0.00	42.00	MT Mort Terrain Casing								
42.00	88.90	V2-V3; MAS <b>Volcanite intermédiaire à mafique; Massif</b> Volcanite intermédiaire à mafique Couleur sombre, presque noire Texture plutôt massive (faible orientation ou pas d'orientation des grains constitutifs), très peu de clastes (1-2%, millimétriques, étirés dans le sens de la foliation). Mouchetage de petits grains sombres (Chlorite noir, Amphibole?) également présent de façon disséminée. FOL difficilement mesurable, moyenne entre 40 et 50deg AC.  Altérations : De 42-45.5 : Si forte pervasive, FK moyen à forte en mouchetage de grains 1-2mm (35-40%), Chl faible en clastes, Sr faible pervasive et en bandes centimétriques, Hm faible en veinules rouges millimétriques, Cb faibles en veinules millimétriques de Cc blanche. De 45.5-57.7 : Cb forts pervasifs, Si faible pervasive, Hm faible en veinules rouges millimétriques. De 57.7-75 : Si forte pervasive et en veines-veinules de quartz blanc, Cb faibles en veinules pluri-millimétriques de Cc blanche (localement fortement pervasifs), Chl faible en clastes et halos d'altérations autour des veinules de Cb, Hm faible en veinules rouges millimétriques, Pa en traces en liserés de micas blancs, Sr en traces en veinules millimétriques et localement pervasive. De 75-80.7 : Si forte pervasive et en veines-veinules de quartz blanc, Cb forts pervasifs en mouchetage de grains de Cc blanche et rose millimétriques (50%), Hm en traces en veinules rouges millimétriques, Sr en traces localement pervasive. De 80.7-88.9 : Si forte pervasive et en veines-veinules de quartz blanc, Pa faible à moyenne	44.00	45.00	P299601	1.00	0.020	0.10	25.0	51.0

AC

Description	Analyse							
	De	À	Numéro	Longueur	Au_Final (g/t)	Ag_Final (ppm)	Cu_Final (ppm)	Zn_Final (ppm)
<p>pervasives et en bandes centimétriques, Cb faible en veinules millimétriques de Cc blanche et en patches étirés dans le sens de la foliation, Chl faible en clastes et pervasives, Hm en traces en fine veinules rouges millimétriques.</p> <p>Minéralisations :</p> <p>De 59.5-67 : Py en traces à 0.5% en grains disséminés millimétriques (20%), en alignement de grains millimétriques (60%) et en veinules millimétriques (20%).</p> <p>De 88-104.2 : Py en traces en grains disséminés millimétriques (20%), en alignement de grains millimétriques (60%) et en veinules millimétriques (20%). Po en traces en grains disséminés 1-2mm (20%), en alignement de grains millimétriques (30%) et en amas de 2-3mm (10%).</p> <p>Structures :</p> <p>De 44.5-77.9 : Fracturation forte avec blocs anguleux de 0.1-5cm et lambeaux de carottes de 1-30cm. Présence d'une faille à 63.1m marquée par de la boue de forage (environ 40deg AC)</p> <p>De 85.3-85.4 : Faille env. 40deg AC marquée par de la boue de forage et de la roche broyée.</p> <p>Veines :</p> <p>De 85.9-86.9 : Amas de veines à Qz-Cb-Hm (60%). Non-minéralisée. Contacts sup et inf irréguliers.</p> <p>Contact sup non recoupé Contact inf fracturé</p>	42.00	45.50	SIL+; Fk; Chl-; SR-; HM-; CB- Silicification forte; Feldspath potassique; Chloritisation faible; Séricitisation faible; Hémalisation faible; Carbonatation faible Si forte pervasives, FK moyen à forte en mouchetage de grains 1-2mm (35-40%), Chl faible en clastes, Sr faible pervasives et en bandes centimétriques, Hm faible					

MAUDORE MINERALS Ltd

AC

Description			Analyse							
			De	À	Numéro	Longueur	Au_Final (g/t)	Ag_Final (ppm)	Cu_Final (ppm)	Zn_Final (ppm)
44.50	77.90	<p>en veinules rouges millimétriques, Cb faibles en veinules millimétriques de Cc blanche.</p> <p>FRC+; FAI</p> <p><b>Fracturation forte; Faille 40°</b></p> <p>Fracturation forte avec blocs anguleux de 0,1-5cm et lambeaux de carottes de 1-30cm. Présence d'une faille à 63.1m marquée par de la boue de forage (environ 40deg AC)</p>	45.00	45.50	P151523	0.50	0.005	0.10	27.0	52.0
45.50	57.70	<p>CB+; HM-; SIL-</p> <p><b>Carbonatation forte;</b></p> <p><b>Hématisation faible; Silicification faible</b></p> <p>Cb forts pervasifs, Si faible pervasive, Hm faible en veinules rouges millimétriques.</p>	45.50	46.50	P299602	1.00	0.030	0.10	32.0	52.0
57.70	75.00	<p>SIL+; CB-; Chl-; HM-; PAtr; SRtr</p> <p><b>Silicification forte;</b></p> <p><b>Carbonatation faible;</b></p> <p><b>Chloritisation faible; Hématisation faible; Paragonite tr; Séricitisation tr</b></p> <p>Si forte pervasive et en veines-veinules de quartz blanc, Cb faibles en veinules pluri-millimétriques de Cc blanche (localement fortement pervasifs), Chl faible en clastes et halos d'altérations autour des veinules de Cb, Hm faible en veinules rouges millimétriques, Pa en traces en liserés de micas blancs, Sr en traces en veinules millimétriques et localement pervasive.</p>								
59.50	67.00	<p>Pytr</p> <p><b>Pyrite tr</b></p>	60.00	61.00	P299603	1.00	0.010	0.10	10.0	46.0
			61.00	62.00	P299604	1.00	0.010	0.20	30.0	71.0

MAUDORE MINERALS Ltd

AC

Description		Analyse								
		De	À	Numéro	Longueur	Au_Final (g/t)	Ag_Final (ppm)	Cu_Final (ppm)	Zn_Final (ppm)	
	Py en traces à 0.5% en grains disséminés millimétriques (20%), en alignement de grains millimétriques (60%) et en veinules millimétriques (20%).	62.00	63.50	P299605	1.50	0.010	0.10	43.0	56.0	
		63.50	64.00	P299606	0.50	0.010	0.10	16.0	162.0	
		64.00	65.10	P299608	1.10	0.230	0.10	39.0	81.0	
		65.10	66.10	P299609	1.00	0.030	0.10	25.0	52.0	
		66.10	67.00	P299610	0.90	0.010	0.10	26.0	84.0	
		73.00	74.50	P299611	1.50	0.005	0.10	21.0	30.0	
		74.50	75.00	P151524	0.50	0.002	0.10	32.0	17.0	
		75.00	80.70	P299612	1.00	0.005	0.10	34.0	40.0	
75.00	80.70									
		SIL+; CB+; HMtr; SRtr <b>Silicification forte;</b> <b>Carbonatation forte;</b> <b>Hématitisation tr; Séricitisation tr</b> Si forte pervasive et en veines-veinules de quartz blanc, Cb forts pervasifs en en mouchetage de grains de Cc blanche et rose millimétriques (50%), Hm en traces en veinules rouges millimétriques, Sr en traces localement pervasive.								
80.70	88.90	SIL+; PA-; CB-; Chl-; HMtr <b>Silicification forte; Paragonite faible; Carbonatation faible;</b> <b>Chloritisation faible; Hématitisation tr</b> Si forte pervasive et en veines-veinules de quartz blanc, Pa faible à moyenne pervasive et en bandes centimétriques, Cb faible en veinules millimétriques de Cc blanche et en patchs étirés dans le sens de la foliation, Chl faible en clastes et pervasive, Hm en traces en fine veinules rouges millimétriques.								
80.70	88.90									
85.30	85.40	FAI <b>Faïlle 40°</b> Faïlle env. 40deg AC marquée par de la boue de forage et de la roche broyée.								
85.30	85.40									
85.90	86.90	AMA:60%;Qz Cb Hm;;; <b>Amas 60% Quartz Carbonate</b> <b>Hématite</b> Amas de veines à Qz-Cb-Hm (60%).	87.00	88.00	P299613	1.00	0.010	0.10	30.0	38.0

AC

Description		Analyse								
		De	À	Numéro	Longueur	Au_Final (g/l)	Ag_Final (ppm)	Cu_Final (ppm)	Zn_Final (ppm)	
88.00	104.20	<p>Non-minéralisée. Contacts sup et inf irréguliers.</p> <p>Pytr; Polr</p> <p><b>Pyrite tr; Pyrrhotine tr</b></p> <p>Py en traces en grains disséminés millimétriques (20%), en alignement de grains millimétriques (60%) et en veinules millimétriques (20%). Po en traces en grains disséminés 1-2mm (60%), en alignement de grains millimétriques (30%) et en amas de 2-3mm (10%).</p>	88.00	89.00	P299614	1.00	0.010	0.10	108.0	51.0
88.90	98.10	<p>I3A</p> <p><b>Gabbro</b></p> <p>Gabbro</p> <p>Texture variable, alternant entre passages massifs-grenus à grains moyens millimétriques à pluri-mm et passages foliés</p> <p>Foliation 40-45deg AC (marqués par étirement des grains constitutifs).</p> <p>Roche généralement constituée de nombreux grains d'amphiboles (60-80%) de tailles 1-4mm dans les intervalles les plus grenus</p> <p>Magnétisme généralement fort sur l'ensemble de l'intervalle.</p> <p>Altération :</p> <p>Si forte pervasive, Cb forts pervasifs et en patches étirés dans le sens de la foliation, Chl faible en mouchetage de petits grains noirs (5%), Hm faible en veinules rouges millimétriques.</p> <p>Minéralisations :</p> <p>De 88-104.2 : Py en traces en grains disséminés millimétriques (20%), en alignement de grains millimétriques (60%) et en veinules millimétriques (20%). Po en traces en grains disséminés 1-2mm (60%), en alignement de grains millimétriques (30%) et en amas de 2-3mm (10%).</p>								

MAUDORE MINERALS Ltd

AC

Description			Analyse							
			De	À	Numéro	Longueur	Au_Final (g/l)	Ag_Final (ppm)	Cu_Final (ppm)	Zn_Final (ppm)
88.90	98.10	<p>Contact sup fracturé Contact inf fracturé</p> <p>SIL+; CB+; CH-; HM- Silicification forte; Carbonatation forte; Chloritisation faible; Hématitisation faible</p> <p>Si forte pervasive, Cb forts pervasifs et en patches étirés dans le sens de la foliation, Chl faible en mouchetage de petits grains noirs (5%), Hm faible en veinules rouges millimétriques.</p>	89.00	90.00	P299615	1.00	0.180	0.30	742.0	37.0
			90.00	91.00	P299616	1.00	0.160	0.30	602.5	42.5
			91.00	92.00	P299617	1.00	0.130	0.20	485.0	65.0
			92.00	93.10	P299618	1.10	0.190	0.60	296.0	100.0
			93.10	94.50	P299619	1.40	0.030	0.30	221.0	140.0
			94.50	95.00	P299620	0.50	0.010	0.20	218.0	103.0
			95.00	96.00	P299622	1.00	0.010	0.10	211.0	201.0
			96.00	97.50	P299623	1.50	0.210	0.30	716.0	63.0
			97.50	99.00	P299624	1.50	0.130	0.20	295.0	50.0
98.10	148.00	<p>V2-V3; MAS</p> <p><b>Volcanite intermédiaire à mafique; Massif</b></p> <p>Volcanite intermédiaire à mafique Couleur sombre, presque noire Texture plutôt massive (faible orientation ou pas d'orientation des grains constitutifs) Mouchetage de petits grains sombres (Chlorite noir, Amphibole?) également présent de façon disséminée et de grains blanchâtres millimétriques étirés dans le sens de la foliation (Cc blanche) Foliation difficilement mesurable, localement moyenn entre 40-50deg AC</p> <p>Altérations : De 98.1-148 : Si forte pervasive et en veines-veinules de quartz blanc, Cb faible moyens en patches centimétriques étirés dans le sens de la foliation, pervasifs, en veines pluri-centimétriques et localement en mouchetage de petits grains de Cc blanche (moyen dans ces zones), Chl et Bt faibles en clastes.</p> <p>Minéralisations : De 88-104.2 : Py en traces en grains disséminés millimétriques (20%), en alignement de grains millimétriques (60%) et en veinules millimétriques (20%). Po en traces en grains disséminés 1-2mm (60%), en alignement de grains millimétriques (30%)</p>								



MAUDORE MINERALS Ltd

AC

Description	Analyse									
	De	À	Numéro	Longueur	Au_Final (g/t)	Ag_Final (ppm)	Cu_Final (ppm)	Zn_Final (ppm)		
<p>et en amas de 2-3mm (10%).</p> <p>De 107.3-147.8 : Py en traces à 0.5% en grains disséminés millimétriques (20%), en alignement de grains millimétriques (60%) et en veinules millimétriques (20%).</p> <p>De 147.8-151 : Py 0.5% en grains disséminés millimétriques (80%) et en alignement de grains millimétriques (20%). Cpy en traces en placage de 2-3cm dans une fracture au sein d'une veinule de quartz.</p> <p>Excepté :</p> <p>114.9-119.1 : I2; pFpAm</p> <p>Veines :</p> <p>De 110.7-111.1 : Veine de quartz. Py en traces en grains fins disséminés (localement concentrés aux bordures de la veine). Contacts sup et inf irréguliers.</p> <p>De 128.6-129.1 : Veine à Cb-Chl. Py en traces en grains disséminés millimétriques. Contact sup net ondulant env. 20deg AC. Contact inf fracturé.</p> <p>Contact sup fracturé</p> <p>Contact inf net irrégulier (veine à quartz)</p>										
98.10	148.00	SIL+; CB-; Chl-; BO-	99.00	100.50	P299625	1.50	0.020	0.15	18.0	54.0
		<b>Silicification forte;</b>	100.50	102.00	P299626	1.50	0.005	0.20	10.0	48.0
		<b>Carbonatation faible;</b>	102.00	103.50	P299627	1.50	0.010	0.10	14.0	53.0
		<b>Chloritisation faible; Blotisation faible</b>	103.50	104.70	P299629	1.20	0.005	0.10	15.0	48.0
		Si forte pervasive et en veines-veinules de quartz blanc, Cb faible moyens en	104.70	105.50	P299630	0.80	0.005	0.10	19.0	75.0
		patches centimétriques étirés dans le	105.50	106.00	P151525	0.50	0.002	0.10	3.0	41.0
		sens de la foliation, pervasifs, en veines pluri-centimétriques et localement en mouchetage de petits grains de Cc blanche (moyen dans ces zones), Chl et Bl faibles en clastes.	106.00	107.50	P299631	1.50	0.010	0.10	10.0	55.0
		Excepté :								
		114.9-119.1 : I2; pFpAm								

MAUDORE MINERALS Ltd

AC

Description			Analyse							
			De	À	Numéro	Longueur	Au_Final (g/t)	Ag_Final (ppm)	Cu_Final (ppm)	Zn_Final (ppm)
107.30	147.80	Pytr	107.50	108.00	P299632	0.50	0.020	0.10	68.0	238.0
		Pyrite tr	108.00	109.00	P299634	1.00	0.005	0.10	21.0	56.0
		Py en traces à 0.5% en grains disséminés millimétriques (20%), en	109.00	110.00	P299635	1.00	0.005	0.10	36.0	35.0
		alignement de grains millimétriques (60%) et en veinules millimétriques (20%).	110.00	111.00	P299636	1.00	0.005	0.10	33.0	43.0
110.70	111.10	VEI;100%;Qz;;Pytr;	111.00	112.30	P299637	1.30	0.020	0.10	7.0	139.0
		<b>Veine 100% Quartz Pyrite tr</b>	112.30	112.80	P299638	0.50	0.010	0.10	8.0	35.0
		Veine de quartz. Py en traces en grains fins disséminés (localement concentrés aux bordures de la veine). Contacts sup	112.80	114.30	P299640	1.50	0.005	0.10	12.0	31.0
		et inf irréguliers.	114.30	115.80	P299641	1.50	0.008	0.10	12.0	64.5
114.90	119.10	I2; pFpAm	115.80	116.80	P299642	1.00	0.005	0.10	10.0	94.0
		<b>Intrusion Intermédiaire; Porphyre de Feldspath et Amphibole</b>	116.80	117.50	P299643	0.70	0.005	0.10	12.0	97.0
		Intrusion intermédiaire à porphyres de Fp et d'Am.	117.50	118.00	P299644	0.50	0.010	0.10	16.0	101.0
		Couleur noire	118.00	119.50	P299645	1.50	0.010	0.10	6.0	58.0
		Matrice à grains fins	119.50	121.00	P299646	1.50	0.030	0.10	23.0	12.0
		Mouchetage de pFp blancs subautomorphes, environ 25-30%, de tailles 1-3mm	121.00	122.50	P299647	1.50	0.020	0.10	42.0	36.0
		pAm très faibles (moins de 1%) en petites baguettes infra-millimétriques alignées dans le sens de la foliation.	122.50	124.00	P299648	1.50	0.010	0.10	24.0	42.0
			124.00	125.50	P299649	1.50	0.050	0.10	37.0	46.0
			125.50	127.00	P299650	1.50	0.008	0.10	45.5	36.0
			127.00	128.50	P299651	1.50	0.010	0.10	46.0	37.0
			128.50	130.00	P299652	1.50	0.010	0.10	52.0	45.0

MAUDORE MINERALS Ltd

AC

Description			Analyse							
			De	À	Numéro	Longueur	Au_Final (g/t)	Ag_Final (ppm)	Cu_Final (ppm)	Zn_Final (ppm)
		Contact inf nel 50deg AC								
128.60	129.10	VEI;100%;Cb Cl;;;Pytr;	130.00	131.50	P299653	1.50	0.020	0.10	23.0	38.0
		<b>Veine 100% Carbonate Chlorite</b>	131.50	133.00	P299654	1.50	0.005	0.10	18.0	52.0
		<b>Pyrite tr</b>	133.00	133.70	P299656	0.70	0.030	0.10	87.0	51.0
		Veine à Cb-Chl. Py en traces en grains disséminés millimétriques. Contact sup nel ondulant env. 20deg AC. Contact inf fracturé.	133.70	134.50	P299657	0.80	0.090	0.10	113.0	44.0
			134.50	135.00	P151531	0.50	0.010	0.10	37.0	58.0
			135.00	136.00	P299658	1.00	0.010	0.10	38.0	40.0
			136.00	137.50	P299659	1.50	0.075	0.10	31.0	28.0
			137.50	139.00	P299660	1.50	0.050	0.10	38.0	47.0
			139.00	140.50	P299661	1.50	0.090	0.10	54.0	40.0
			140.50	142.00	P299662	1.50	0.050	0.10	37.0	47.0
			142.00	143.50	P299663	1.50	0.530	0.10	70.0	45.0
			143.50	145.00	P299664	1.50	0.180	0.30	119.0	39.0
			145.00	146.50	P299665	1.50	0.005	0.10	41.0	45.0
			146.50	147.80	P299666	1.30	0.030	0.10	40.0	43.0
147.60	151.00	Py00.5; Cptr	147.80	148.30	P299667	0.50	0.100	0.40	119.0	63.0
		<b>Pyrite 0.5%; Chalcoppyrite tr</b>								
		Py 0.5% en grains disséminés millimétriques (80%) et en ailgnement de grains millimétriques (20%). Cpy en traces en placage de 2-3cm dans une fracture au sein d'une veinules de quartz.								
148.00	173.60	V2-V3; T1	148.30	149.30	P299669	1.00	0.100	0.20	144.0	83.0
		<b>Volcanite intermédiaire à mafique; Tuf à lapillis</b>	149.30	150.20	P299670	0.90	0.020	0.10	32.0	55.0
		Volcantie intermédiaire à mafique. Tuf à lapillis. Couleur globale allant de gris sombre verdâtre (Chlorite), brunâtre (biotite) à rougeâtre dans plusieurs zones centimétriques à métriques (Hm) Matrice à grains fins de couleur gris moyen à foncé, verdâtre. De 20 à 25% de clastes millimétriques à centimétriques étirés dans le sens de la foliation, de couleurs verte (Chlorite), brune (biotite), bleuâtre à blanche (Paragonite). Globalement 2-3% de veines/veinules de Qz-Cb	150.20	151.00	P299671	0.80	0.020	0.20	12.0	50.0

AC

Description	Analyse							
	De	À	Numéro	Longueur	Au_Final (g/l)	Ag_Final (ppm)	Cu_Final (ppm)	Zn_Final (ppm)
<p>millimétriques à pluri-centimétriques et 4-5% de veinules d'Hm millimétriques à centimétriques irrégulières.</p> <p>Foliation moyenne à forte de 50-55deg AC marquée par un rubanement provoqué par l'étirement des clastes de Chl et de Bt, ainsi que par certaines veines/veinules de Cb et Hm également étirées.</p> <p>Allérations :</p> <p>De 148-152.8 : Si forte pervasive et en veines/veinules de quartz blanc, Chl et Bt forts en clastes, Pa faible pervasive et en bandes centimétriques, Cb faibles en veinules millimétriques de Cc blanche et en patchs centimétriques étirés dans le sens de la foliation.</p> <p>De 152.8-165.6 : Si forte pervasive et en veines/veinules de quartz blanc, Chl et Bt forts en clastes, Sr moyenne en patchs d'altérations centimétriques légèrement étirés dans le sens de la foliation, Cb faibles à moyens en veines/veinules millimétriques à centimétriques de Cc blanche et en patchs centimétriques étirés dans le sens de la foliation, Hm en traces en veinules rouges millimétriques.</p> <p>De 165.6-173.6 : Si forte pervasive et en veines/veinules de quartz blanc, Chl et Bt moyens en clastes, Hm moyenne en veinules rouges millimétriques et pervasive, Cb faibles en veinules millimétriques de Cc blanche et en patchs centimétriques étirés dans le sens de la foliation, Ép faible en veinules vertes pistaches millimétriques à centimétriques (très localement), Sr faible en patchs d'altérations centimétriques et en bandes millimétriques.</p> <p>Minéralisations :</p> <p>Globalement, Py en traces en grains disséminés millimétriques et en alignement de grains, sauf :</p> <p>De 147.8-151 : Py 0.5% en grains disséminés millimétriques (80%) et en alignement de grains millimétriques (20%). Cpy en traces en placage de</p>								

AC

Description	Analyse									
	Dé	À	Numéro	Longueur	Au_Final (g/l)	Ag_Final (ppm)	Cu_Final (ppm)	Zn_Final (ppm)		
<p>2-3cm dans une fracture au sein d'une veinules de quartz.</p> <p>De 151-152.9 : Py 2% en grains disséminés subautomorphes 1-2mm (50%) et en alignement de grains millimétriques (50%).</p> <p>De 152.9-157 : Py 0.5% en grains disséminés millimétriques (30%) et en alignement de grains millimétriques (70%).</p> <p>De 163-165.1 : Py 0.5% en grains disséminés millimétriques (60%) et en alignement de grains millimétriques (40%).</p> <p>Structures :</p> <p>De 155.7-155.8 : Faille env. 50deg AC marquée par de la boue de forage et de la roche broyée.</p> <p>De 162.5-162.6 : Faille env. 25-30deg AC marquée par de la boue de forage et de la roche broyée.</p> <p>Contact sup net irrégulier (veine à quartz)</p> <p>Contact inf diffus</p>										
148.00	152.80	SIL+; Chl+; BO+; PA-; CB- <b>Silicification forte; Chloritisation forte; Biotisation forte; Paragonite faible; Carbonatation faible</b> Si forte pervasive et en veines/veinules de quartz blanc, Chl et Bt forts en clastes, Pa faible pervasive et en bandes centimétriques, Cb faibles en veinules millimétriques de Cc blanche et en patchs centimétriques étirés dans le sens de la foliation.								
151.00	152.90	Py02 <b>Pyrite 2%</b> Py 2% en grains disséminés subautomorphes 1-2mm (50%) et en alignement de grains millimétriques (50%).	151.00	151.50	P299672	0.50	0.050	0.10	17.0	63.0
			151.50	152.00	P299674	0.50	0.020	0.10	14.0	64.0
			152.00	152.50	P299675	0.50	0.020	0.15	15.0	41.0
			152.50	154.00	P299676	1.50	0.060	0.20	66.0	49.0
152.80	165.60	SIL+; Chl+; BO+; SR; CB-; HMtr <b>Silicification forte; Chloritisation</b>								

MAUDORE MINERALS Ltd

AC

Description			Analyse							
			De	À	Numéro	Longueur	Au_Final (g/t)	Ag_Final (ppm)	Cu_Final (ppm)	Zn_Final (ppm)
		forte; Biotisation forte; Séricitisation; Carbonatation faible; Hématitisation tr Si forte pervasive et en veines/veinules de quartz blanc, Chl et Bt forts en clastes, Sr moyenne en patchs d'altérations centimétriques légèrement étirés dans le sens de la foliation, Cb faibles à moyens en veines/veinules millimétriques à centimétriques de Cc blanche et en patchs centimétriques étirés dans le sens de la foliation, Hm en traces en veinules rouges millimétriques.								
152.90	157.00	Py00.5	154.00	155.50	P299677	1.50	0.060	0.10	106.0	34.0
		<b>Pyrite 0.5%</b>	155.50	156.50	P299678	1.00	0.150	0.10	57.0	44.0
		Py 0.5% en grains disséminés millimétriques (30%) et en alignement de grains millimétriques (70%).								
155.70	155.80	FAI	156.50	157.00	P299679	0.50	0.290	0.10	32.0	31.0
		<b>Faille 50°</b>	157.00	158.50	P299681	1.50	0.080	0.10	68.0	39.0
		Faille env. 50deg AC marquée par de la boue de forage et de la roche broyée.	158.50	159.50	P299682	1.00	0.070	0.10	63.0	38.0
			159.50	160.00	P151532	0.50	0.123	0.10	46.0	46.0
			160.00	161.00	P299683	1.00	0.540	0.10	49.0	52.0
			161.00	162.50	P299684	1.50	0.170	0.10	79.0	79.0
162.50	162.60	FAI	162.50	164.00	P299685	1.50	0.080	0.10	54.0	33.0
		<b>Faille 30°</b>								
		Faille env. 25-30deg AC marquée par de la boue de forage et de la roche broyée.								
163.00	165.10	Py00.5	164.00	164.50	P299686	0.50	0.240	0.20	23.0	37.0
		<b>Pyrite 0.5%</b>	164.50	166.00	P299688	1.50	0.960	0.40	38.0	33.0
		Py 0.5% en grains disséminés millimétriques (60%) et en alignement de grains millimétriques (40%).								
165.60	173.60	SIL+; Chl; BO; HM; CB-; EP-; SR-	166.00	167.50	P299690	1.50	0.040	0.10	99.0	30.0
		<b>Silicification forte; Chloritisation; Biotisation; Hématitisation;</b>	167.50	169.00	P299691	1.50	0.030	0.20	78.0	40.0

MAUDORE MINERALS Ltd

AC

Description		Analyse							
		Dé	À	Numéro	Longueur	Au_Final (g/t)	Ag_Final (ppm)	Cu_Final (ppm)	Zn_Final (ppm)
	Carbonatation faible;	169.00	170.50	P299692	1.50	0.040	0.10	33.0	42.0
	Épidotisation faible; Séricitisation	170.50	172.00	P299693	1.50	0.035	0.15	44.0	38.0
	faible	172.00	173.50	P299694	1.50	0.010	0.20	27.0	37.0
	Si forte pervasive et en veines/veinules de quartz blanc, Chl et Bt moyens en clastes, Hm moyenne en veinules rouges millimétriques et pervasive, Cb faibles en veinules millimétriques de Cc blanche et en patchs centimétriques étirés dans le sens de la foliation, Ép faible en veinules vertes pistaches millimétriques à centimétriques (très localement), Sr faible en patchs d'altérations centimétriques et en bandes millimétriques.	173.50	175.00	P299695	1.50	0.010	0.10	28.0	45.0
173.60	188.00	V2-V3; MAS							
		<b>Volcanite intermédiaire à mafique; Massif</b>							
		Volcanite intermédiaire à mafique							
		Couleur gris sombre à gris souris							
		Texture plutôt massive (faible orientation ou pas d'orientation des grains constitutifs)							
		Mouchetage de petits grains sombres (Chlorite noir, Amphibole?) également présent de façon disséminée et de grains blanchâtres millimétriques étirés dans le sens de la foliation (FK)							
		Foliation difficilement mesurable, localement forte entre 50-55deg AC							
		Altération :							
		Si forte pervasive et en veines/veinules de quartz blanc, FK faibles à moyens localement (10-20%) en mouchetage de grains blancs millimétriques, Cb faible en veinules millimétriques de Cc blanche et en patchs centimétriques étirés dans le sens de la foliation, Chl faible en clastes, Hm en traces en veinules rouges millimétriques.							
		Minéralisations :							
		Globalement, Py en traces en grains disséminés millimétriques et en alignement de grains.							
		Contact sup diffus							

MAUDORE MINERALS Ltd

AC

Description			Analyse							
			De	À	Numéro	Longueur	Au_Final (g/t)	Ag_Final (ppm)	Cu_Final (ppm)	Zn_Final (ppm)
173.60	188.00	<p>Contact inf diffus</p> <p>SIL+; Fk; CB-; Chl-; HMir</p> <p>Silicification forte; Feldspath potassique; Carbonatation faible; Chloritisation faible; Hématitisation tr</p> <p>Si forte pervasive et en veines/veinules de quartz blanc, FK faibles à moyens localement (10-20%) en mouchetage de grains blancs millimétriques, Cb faible en veinules millimétriques de Cc blanche et en patchs centimétriques étirés dans le sens de la foliation, Chl faible en clastes, Hm en traces en veinules rouges millimétriques.</p>	175.00	176.50	P299696	1.50	0.010	0.10	17.0	35.0
			176.50	178.00	P299697	1.50	0.030	0.10	35.0	29.0
			178.00	179.50	P299698	1.50	0.020	0.10	29.0	26.0
			179.50	181.00	P299699	1.50	0.010	0.10	27.0	25.0
			181.00	182.50	P299700	1.50	0.075	0.15	55.0	39.0
			182.50	184.00	P299701	1.50	0.030	0.20	141.0	37.0
			184.00	185.50	P299702	1.50	0.010	0.10	76.0	115.0
			185.50	187.00	P299703	1.50	0.010	0.10	43.0	44.0
			187.00	188.50	P299704	1.50	0.020	0.10	55.0	44.0
188.00	212.30	<p>V2-V3; T1</p> <p>Volcanite intermédiaire à mafique; Tuf à lapillis</p> <p>Volcanite intermédiaire à mafique. Tuf à lapillis.</p> <p>Couleur globale allant de gris sombre verdâtre (Chlorite), brunâtre (biotite) à gris pâle dans plusieurs zones centimétriques à métriques (Pa)</p> <p>Matrice à grains fins de couleur gris moyen à foncé, verdâtre.</p> <p>De 10 à 15% de clastes millimétriques à centimétriques étirés dans le sens de la foliation, de couleurs verte (Chlorite), brune (biotite), bleuâtre à blanche (Paragonite).</p> <p>Globalement 1-2% de veines/veinules de Qz-Cb millimétriques à pluri-centimétriques et 1-2% de veinules d'Hm millimétriques à centimétriques irrégulières.</p> <p>Foliation moyenne à forte de 50-55deg AC marquée par un rubanement provoqué par l'éclatement des clastes de Chl et de Bl, des liserés de micas blancs ainsi que par certaines veines/veinules de Cb et Hm également étirés.</p> <p>Allérations :</p> <p>De 188-212.3 : Si forte pervasive et en veines/veinules de quartz blanc, Chl forte en clastes,</p>								



MAUDORE MINERALS Ltd

AC

Description	Analyse									
	De	À	Numéro	Longueur	Au_Final (g/t)	Ag_Final (ppm)	Cu_Final (ppm)	Zn_Final (ppm)		
<p>Bt moyenne en clastes, Pa faible à localement moyenne en liserés de micas blancs, en clastes et pervasive, Cb faibles en veinules millimétriques de Cc blanche et en patchs centimétriques étirés dans le sens de la foliation, Hm en traces en veinules rouges millimétriques, Sr en traces en bandes millimétriques.</p> <p>Minéralisations : Globalement, Py en traces en grains disséminés millimétriques et en alignement de grains, sauf : De 194.7-195.6 : Py en traces à 0.5% en grains disséminés millimétriques (40%) et en alignement de grains millimétriques (60%). Cpy en traces en veinules millimétriques.</p> <p>Contact sup diffus Contact inf net concordant 50deg AC</p>										
188.00	212.30									
		SIL+; Ch+; BO; PA-; CB-; HMtr; SRtr	188.50	190.00	P299705	1.50	0.020	0.10	36.0	42.0
		Silicification forte; Chloritisation	190.00	191.50	P299706	1.50	0.020	0.10	35.0	37.0
		forte; Biotisation; Paragonite	191.50	193.00	P299707	1.50	0.060	0.10	57.0	38.0
		faible; Carbonatation faible;	193.00	194.00	P299708	1.00	0.310	0.20	48.0	45.0
		Hématitisation tr; Séricitisation tr	194.00	195.00	P299709	1.00	0.170	0.20	36.0	38.0
		Si forte pervasive et en veines/veinules de quartz blanc, Chl forte en clastes, Bt moyenne en clastes, Pa faible à localement moyenne en liserés de micas blancs, en clastes et pervasive, Cb faibles en veinules millimétriques de Cc blanche et en patchs centimétriques étirés dans le sens de la foliation, Hm en traces en veinules rouges millimétriques, Sr en traces en bandes millimétriques.								
194.70	195.60									
		Pytr; Cptr	195.00	195.50	P299711	0.50	0.630	0.30	197.0	37.0
		Pyrite tr; Chalcopyrite tr	195.50	196.50	P299713	1.00	0.050	0.20	29.0	36.0
		Py en traces à 0.5% en grains disséminés millimétriques (40%) et en alignement de grains millimétriques	196.50	197.50	P299714	1.00	0.020	0.10	19.0	39.0
		(60%). Cpy en traces en veinules millimétriques.	197.50	198.00	P151533	0.50	0.121	0.10	26.0	36.0
			198.00	199.00	P299715	1.00	0.030	0.20	43.0	34.0
			199.00	200.50	P299716	1.50	0.020	0.10	71.0	37.0
			200.50	202.00	P299717	1.50	0.020	0.10	60.5	36.5

MAUDORE MINERALS Ltd

Description	Analyse							
	De	À	Numéro	Longueur	Au_Final (g/t)	Ag_Final (ppm)	Cu_Final (ppm)	Zn_Final (ppm)
212.30      218.40      V1C; ZEB <b>Rhyodacite; Zébré</b> Rhyodacite zébrée Couleur hétérogène gris sombre à gris clair Matrice à grains fins de couleur grise sombre à grise claire Ressemble fortement à un V2V3; T1 au début (sur les 80 premiers cm) Présence de clastes généralement millimétriques, environ 5%, de couleur verdâtre (chlorite) à brunâtre (biotite) Foliation difficilement observable environ 40-45deg AC marquée par un fort rubanement produit par les zébrures ainsi que les rares clastes de ChI et Bt étirés dans les sens de la foliation. Environ 1% de veinules de Qz et 2-3% de veinules de Hm-Ép-Cb étroitement associés (en général de l'extérieur vers l'intérieur : Hm et Ép, puis ChI et Cb) Zébrures localement nombreuses (30-35%) mais en général moyennes (15%), millimétriques, orientées en moyenne 45deg AC, légèrement ondulantes, de couleur blanchâtres à brunes-rougeâtres : Paragonite ? (associée avec de l'Hm pour la couleur rougeâtre)  Altérations : Si moyenne à forte pervasive et en veines/veinules de quartz blanc, Pa moyenne en liserés de micas blancs formant des zébrures et pervasive, Cb faible en veinules millimétriques de Cc blanche, Hm faible en veinules rouges millimétriques et localement pervasive, ChI en traces en veinules millimétriques,	202.00	203.50	P299718	1.50	0.030	0.10	30.0	36.0
	203.50	205.00	P299719	1.50	0.060	0.20	20.0	34.0
	205.00	206.50	P299720	1.50	0.030	0.10	29.0	36.0
	206.50	208.00	P299721	1.50	0.120	0.10	23.0	32.0
	208.00	209.50	P299722	1.50	0.030	0.10	27.0	38.0
	209.50	211.00	P299724	1.50	0.060	0.10	53.0	26.0
	211.00	212.50	P299725	1.50	0.010	0.15	42.5	39.0

MAUDORE MINERALS Ltd

AC

Description			Analyse							
			De	À	Numéro	Longueur	Au_Final (g/t)	Ag_Final (ppm)	Cu_Final (ppm)	Zn_Final (ppm)
212.30	218.40	<p>Ép en traces en halos d'allérations autour des veinules de Cb-Chl.</p> <p>Minéralisations : Py en traces en grains disséminés millimétriques et en alignement de grains.</p> <p>Veines : De 213.4-213.7 : Veine à Qz-Chl-Hm-Ép. Traces de Py dans les veinules de Chl en grains millimétriques disséminés. Contact sup diffus. Contact inf net discordant 50deg AC.</p> <p>Contact sup net concordant 50deg AC Contact inf diffus</p> <p>SIL; PA; CB-; HM-; Chlr; EPtr Silicification; Paragonite; Carbonatation faible; Hématitisation faible; Chloritisation tr; Épidotisation tr</p> <p>Si moyenne à forte pervasive et en veines/veinules de quartz blanc, Pa moyenne en liserés de micas blancs formant des zébrures et pervasive, Cb faible en veinules millimétriques de Cc blanche, Hm faible en veinules rouges millimétriques et localement pervasive, Chl en traces en veinules millimétriques, Ép en traces en halos d'allérations autour des veinules de Cb-Chl.</p>	212.50	214.00	P299726	1.50	0.020	0.10	6.0	55.0
213.40	213.70	<p>VEI; 100%; Qz Cl Hm Ep;; Pytr: Veine 100% Quartz Chlorite Hématite Epidote Pyrite tr</p> <p>Veine à Qz-Chl-Hm-Ép. Traces de Py dans les veinules de Chl en grains millimétriques disséminés. Contact sup diffus. Contact inf net discordant 50deg AC.</p>	214.00	215.50	P299727	1.50	0.005	0.10	3.0	57.0
			215.50	217.00	P299729	1.50	0.005	0.10	5.0	50.0
			217.00	218.50	P299730	1.50	0.005	0.10	7.0	42.0
216.40	243.70	<p>V2-V3; TI Volcanite Intermédiaire à mafique; Tuf à</p>	218.50	220.00	P299731	1.50	0.010	0.20	31.0	36.0

AS

Description	Analyse							
	De	À	Numéro	Longueur	Au_Final (g/t)	Ag_Final (ppm)	Cu_Final (ppm)	Zn_Final (ppm)
<p><b>lapillis</b></p> <p>Volcanite intermédiaire à mafique. Tuf à lapillis. Couleur globale allant de gris sombre verdâtre (Chlorite) à brunâtre (biotite) Matrice à grains fins de couleur gris moyen à foncé, verdâtre.</p> <p>De 10 à 15% de clastes millimétriques à centimétriques étirés dans le sens de la foliation, de couleurs verte (Chlorite), brune (biotite), bleuâtre à blanche (Paragonite).</p> <p>Globalement 1-2% de veines/veinules de Qz-Cb millimétriques à pturi-centimétriques et 3-4% de veinules d'Hm millimétriques à centimétriques irrégulières.</p> <p>Foliation moyenne à forte de 50-55deg AC marquée par un rubanement provoqué par l'étiement des clastes de Chl et de Bt, des liserés de micas blancs ainsi que par certaines veines/veinules de Cb et Hm également étirées.</p> <p><b>Allérations :</b></p> <p>De 218.4-226 : Si forte pervasive et en veines/veinules de quartz blanc, Chl et Bt forts en clastes, Cb faibles en veinules millimétriques de Cc blanche, FK en traces localement en mouchetage de petits grains blanchâtres millimétriques (env. 4-5%)</p> <p>De 226-243.7 : Chl forte en clastes, Si moyenne pervasive et en veines/veinules de quartz blanc, Bt moyenne en clastes, Cb faibles à localement moyens pervasifs et en veinules millimétriques de Cc blanche, Hm faible à moyenne en veinules rouges millimétriques à centimétriques, Ép faible en veinules vertes pistaches millimétriques associées à l'Hm, Sr faible en bandes millimétriques et en patchs centimétriques étirés dans le sens de la foliation.</p> <p><b>Minéralisations :</b></p> <p>Globalement, Py en traces en grains disséminés millimétriques et en alignement de grains, sauf :</p> <p>De 220-225.2 : Py 0.5-2% en amas 2-3 mm étirés dans le sens de la foliation, en alignement de grains</p>								

MAUDORE MINERALS Ltd

AC

Description	Analyse										
	Dé	À	Numéro	Longueur	Au_Final (g/t)	Ag_Final (ppm)	Cu_Final (ppm)	Zn_Final (ppm)			
millimétriques (20%) et en grains disséminés millimétriques (30%). De 229.4-230.9 : Py en traces à 0.5% en alignement de grains millimétriques (80%) et en grains disséminés millimétriques (20%). Cpy en traces en grains disséminés millimétriques.  Contact sup diffus Contact inf net 15deg AC (veine de quartz)	218.40	226.00	SIL+; ChI+; BO+; CB-; Fktr  <b>Silicification forte; Chloritisation forte; Biotisation forte; Carbonatation faible; Feldspath potassique tr</b>  Si forte pervasive et en veines/veinules de quartz blanc, ChI et Bt forts en clastes, Cb faibles en veinules millimétriques de Cc blanche, FK en traces localement en mouchetage de petits grains blanchâtres millimétriques (env. 4-5%)								
	220.00	225.20	Py01 <b>Pyrite 1%</b> Py 0.5-2% en amas 2-3 mm étirés dans le sens de la foliation, en alignement de grains millimétriques (20%) et en grains disséminés millimétriques (30%).	220.00	221.00	P299732	1.00	0.030	0.30	119.0	64.0
				221.00	221.50	P299733	0.50	0.240	0.10	225.0	34.0
				221.50	222.10	P299735	0.60	0.020	0.20	103.0	43.0
				222.10	222.60	P299736	0.50	0.010	0.30	45.0	58.0
				222.60	224.10	P299737	1.50	0.005	0.10	36.0	29.0
				224.10	225.00	P299738	0.90	0.020	0.10	25.0	28.0
				225.00	226.00	P299739	1.00	0.010	0.20	28.0	31.0
	226.00	243.70	ChI+; SIL; BO; CB-; HM-; EP-; SR- <b>Chloritisation forte; Silicification; Biotisation; Carbonatation faible; Hématitisation faible; Epidotisation faible; Séricitisation faible</b> ChI forte en clastes, Si moyenne pervasive et en veines/veinules de quartz blanc, Bt moyenne en clastes, Cb faibles à localement moyens pervasifs et en veinules millimétriques de Cc blanche, Hm faible à moyenne en veinules rouges	226.00	227.40	P299740	1.40	0.010	0.10	36.0	26.0
				227.40	227.90	P151539	0.50	0.054	0.10	26.0	26.0
				227.90	229.40	P299741	1.50	0.020	0.10	41.0	32.0

MAUDORE MINERALS Ltd

AC

Description		Analyse											
		De	À	Numéro	Longueur	Au_Final (g/t)	Ag_Final (ppm)	Cu_Final (ppm)	Zn_Final (ppm)				
229.40	230.90	millimétriques à centimétriques, Ép faible en veinules vertes pistaches millimétriques associées à l'Hm, Sr faible en bandes millimétriques et en patchs centimétriques étirés dans le sens de la foliation.  Pyrr; Cplr <b>Pyrite tr; Chalcopyrite tr</b> Py en traces à 0.5% en alignement de grains millimétriques (80%) et en grains disséminés millimétriques (20%). Cpy en traces en grains disséminés millimétriques.	229.40	230.10	P299742	0.70	0.020	0.10	125.0	31.0			
			230.10	230.60	P299743	0.50	0.260	0.30	420.0	33.0			
			230.60	231.60	P299745	1.00	0.010	0.10	51.0	28.0			
			231.60	233.10	P299746	1.50	0.010	0.10	26.0	27.0			
			233.10	234.60	P299747	1.50	0.012	0.10	33.0	28.0			
			234.60	236.10	P299748	1.50	0.010	0.10	22.0	29.0			
			236.10	237.60	P299749	1.50	0.020	0.10	44.0	31.0			
			237.60	239.10	P299750	1.50	0.055	0.40	86.0	41.0			
			239.10	240.60	P299751	1.50	0.010	0.10	38.0	34.0			
			240.60	242.10	P299752	1.50	0.010	0.10	24.0	35.0			
			242.10	243.60	P299753	1.50	0.030	0.10	87.0	36.0			
			243.60	245.10	P299754	1.50	0.010	0.10	29.0	26.0			
			243.70	418.50	V2-V3; MAS <b>Volcanite Intermédiaire à mafique; Massif</b> Volcanite intermédiaire à mafique Couleur gris sombre-noir Texture plutôt massive (faible orientation ou pas d'orientation des grains constitutifs) Foliation difficilement mesurable, localement forte entre 50-55deg AC marquée par des clastes résiduels ayant résisté à l'altération (ces fantômes sont assez nombreux, témoins de l'origine V2V3; TI de cet intervalle), des veines et veinules de Cb-Hm-Sr. Env. 5-6% de veines ou veinules de Cb-Hm-Sr orientées aléatoirement. Clastes résiduels millimétriques, environ 2-3%, de couleur généralement verdâtre (chlorite). Alternance avec quelques passages de V2V3; TI pluri-centimétriques ne dépassant jamais le mètre.  Altérations :	245.10	246.60	P299755	1.50	0.060	0.10	73.0	24.0
						246.60	247.30	P299756	0.70	0.060	0.10	54.0	31.0
247.30	247.80	P299757				0.50	0.120	0.20	149.0	24.0			

MAUDORE MINERALS Ltd

AC

Description	Analyse							
	Dø	Å	Numéro	Longueur	Au_Final (g/l)	Ag_Final (ppm)	Cu_Final (ppm)	Zn_Final (ppm)
<p>De 243.7-306.3 : Si forte pervasive et en veines/veinules de quartz blanc, Sr faible à moyenne en bandes millimétriques à centimétriques et en patchs centimétriques étirés dans le sens de la foliation, Cb faibles en veinules millimétriques de Cc blanche et en patchs centimétriques de Cc blanche étirés dans le sens de la foliation, Chl faible en clastes, Hm faible en veinules rouges millimétriques et localement pervasive, Pa localement faible pervasive.</p> <p>De 306.3-340.2 : Si forte pervasive et en veines/veinules de quartz blanc, Chl moyenne (localement forte) en clastes, Sr moyenne pervasive et en bandes centimétriques, Bt faible (localement moyenne) en clastes, Cb faible en veinules millimétriques de Cc blanche, Hm faible en veinules rouges millimétriques.</p> <p>De 340.2-354.4 : Si moyenne pervasive et en veines/veinules de quartz blanc, Hm moyenne à forte pervasive et en veinules rouges millimétriques à centimétriques, Pa faible à moyenne pervasive et en liserés de micas blancs, Ép faible en veinules millimétriques vertes pistaches, Cb faible en veinules millimétriques de Cc blanche.</p> <p>De 354.4-376.3 : Si forte pervasive et en veines/veinules de quartz blanc, Hm moyenne pervasive et en veinules rouges millimétriques, Sr faible à moyenne en bandes centimétriques et en halos d'altération autour de veinules de Cb, Chl faible en bandes centimétriques et rares clastes, Cb faibles en veinules millimétriques de Cc blanche.</p> <p>De 376.3-384.9 : Si moyenne pervasive et en veines/veinules de quartz blanc, Cb faible en veinules millimétriques à centimétriques de Cc blanche (localement fortement pervasifs), Hm faible en veinules rouges millimétriques, Sr faible en halos d'altérations autour des veinules de Cb et en bandes centimétriques, Chl faible en clastes.</p> <p>De 384.9-418.5 : Si forte pervasive et en veines/veinules de quartz blanc, Hm faible à moyenne en veinules rouges millimétriques et pervasive, Cb faibles en veinules millimétriques de Cc</p>								

AK

Description	Analyse							
	De	À	Numéro	Longueur	Au_Final (g/t)	Ag_Final (ppm)	Cu_Final (ppm)	Zn_Final (ppm)
<p>blanche et en patches centimétriques de Cc verte étirés dans le sens de la foliation, Bt faible en clastes, Sr localement faible pervasive et en bandes centimétriques, Pa localement faible pervasive et en liserés de micas blancs, Chl en traces en clastes.</p> <p>Minéralisations :</p> <p>Globalement, Py en traces en grains disséminés millimétriques et en alignement de grains, sauf :</p> <p>De 247.4-254 : Py en traces à 0,5% en alignement de grains millimétriques (60%) et en grains disséminés millimétriques (20%) et en veinules millimétriques (20%). Cpy en traces en grains disséminés millimétriques.</p> <p>De 264-269 : Cpy 0.5-1% en veinules millimétriques (50%), en alignement de grains millimétriques (30%) et en grains disséminés 1-2mm (20%). Py en traces en grains disséminés millimétriques (50%) et alignement de grains millimétriques (50%).</p> <p>De 271-282.5 : Py en traces à 0,5% en alignement de grains millimétriques (60%), en grains disséminés millimétriques (30%) et en amas de 2-4mm étirés dans le sens de la foliation (10%). Cpy en traces en grains disséminés millimétriques.</p> <p>De 287.1-340.2 : Py trace à 2% en alignement de grains infra-millimétriques à pluri-millimétriques (60%), en amas pluri-millimétriques étirés dans le sens de la foliation (15%) et en grains disséminés 1-3mm (15%) . Po trace à 0,5% en alignement de grains pluri-millimétriques (70%) et en amas 1-3mm étirés dans le sens de la foliation (30%).</p> <p>De 354.4-358.9 : Py 3-5% en alignement de grains millimétriques (40%), en grains disséminés millimétriques (40%), en bandes centimétriques (10%) et en amas 1-6mm étirés dans le sens de la foliation. Po 1-2% en grains disséminés millimétriques (30%), en bandes centimétriques (50%) et en amas 1-4mm étirés dans le sens de la foliation.</p> <p>De 376.2-381.7 : Py 0.5-2% en alignement de grains millimétriques à centimétriques (70%) et en grains disséminés millimétriques (20%) et en amas 1-5mm</p>								



MAUDORE MINERALS Ltd

AC

Description	Analyse							
	De	À	Numéro	Longueur	Au_Final (g/t)	Ag_Final (ppm)	Cu_Final (ppm)	Zn_Final (ppm)
<p>étirés dans le sens de la foliation.</p> <p>De 384.6-387.4 : Py 0.5% en alignement de grains millimétriques (80%) et en grains disséminés millimétriques (20%).</p> <p>De 415.2-416.5 : Py 2% en grains disséminés millimétriques (50%), en amas 1-4mm étirés dans le sens de la foliation (30%) et en alignement de grains millimétriques (20%), le tout associé étroitement aux clastes et veinules de Chlorite.</p> <p>Excepté :</p> <p>309.4-309.8 : I1G</p> <p>315-317.9 : I2; pFpAm</p> <p>336.7-340.2 : I3; FIN</p> <p>353.3-354.4 : I2; pFpAm</p> <p>361-376.3 : I1G</p> <p>381.7-384.6 : I3; FIN</p> <p>387.4-392.4 : I1G</p> <p>395.2-396.5 : I2; pFpAm</p> <p>407.2-408.4 : I1F</p> <p>Structures :</p> <p>De 306.3-306.4 : Faille marquée par de la boue de forage et de la roche broyée.</p> <p>De 306.6-306.7 : Faille marquée par de la boue de forage et de la roche broyée.</p> <p>De 381.7-381.8 : Faille marquée par de la boue de forage et de la roche broyée.</p> <p>De 413.9-414 : Faille marquée par de la boue de forage et de la roche broyée, environ 20deg AC.</p> <p>Veines :</p> <p>De 243.7-244.4 : Amas de veines (60%) de Qz-Cb-Hm-Chl-Ép. Non-minéralisée. Contact sup net irrégulier. Contact inf net discordant env. 20deg AC.</p> <p>Contact sup net 15deg AC (veine de quartz)</p> <p>Contact inf net concordant 55deg AC</p>								
243.70	306.30	SIL+; SR-; CB-; Chl-; HM-; PA- Silicification forte; Sérictisation faible; Carbonatisation faible;						

MAUDORE MINERALS Ltd

AS

Description	Analyse										
	De	À	Numéro	Longueur	Au_Final (g/t)	Ag_Final (ppm)	Cu_Final (ppm)	Zn_Final (ppm)			
Chloritisation faible; Hématitisation faible; Paragonite faible Si forte pervasive et en veines/veinules de quartz blanc, Sr faible à moyenne en bandes millimétriques à centimétriques et en patchs centimétriques étirés dans le sens de la foliation, Cb faibles en veinules millimétriques de Cc blanche et en patchs centimétriques de Cc blanche étirés dans le sens de la foliation, Chl faible en clastes, Hm faible en veinules rouges millimétriques et localement pervasive, Pa localement faible pervasive.	243.70	244.40	AMA;60%;Qz Cb Hm Cl Ep;;; <b>Amas 60% Quartz Carbonate Hématite Chlorite Épidote</b> Amas de veines (60%) de Qz-Cb-Hm-Chl-Ép. Non-minéralisée. Contact sup net irrégulier. Contact inf net discordant env. 20deg AC.								
Pytr; Cptr <b>Pyrite tr; Chalcopyrite tr</b> Py en traces à 0.5% en alignement de grains millimétriques (60%) et en grains disséminés millimétriques (20%) et en veinules millimétriques (20%). Cpy en traces en grains disséminés millimétriques.	247.40	254.00	Pytr; Cptr	247.80	249.30	P299759	1.50	0.045	0.10	57.0	33.0
			<b>Pyrite tr; Chalcopyrite tr</b>	249.30	250.80	P299760	1.50	2.550	0.20	160.0	33.0
			Py en traces à 0.5% en alignement de grains millimétriques (60%) et en grains disséminés millimétriques (20%) et en veinules millimétriques (20%). Cpy en traces en grains disséminés millimétriques.	250.80	252.30	P299762	1.50	0.310	0.10	72.0	31.0
				252.30	253.30	P299763	1.00	0.060	0.10	3.0	31.0
				253.30	254.20	P299764	0.90	0.070	0.10	14.0	30.0
				254.20	255.70	P299765	1.50	0.010	0.10	33.0	39.0
				255.70	256.20	P151540	0.50	0.015	0.30	92.0	43.0
				256.20	257.70	P299766	1.50	0.020	0.10	43.0	43.0
				257.70	259.20	P299767	1.50	0.005	0.10	6.0	28.0
				259.20	260.70	P299768	1.50	0.105	0.15	115.0	29.0
				260.70	262.20	P299769	1.50	0.090	0.10	0.5	26.0
264.00	269.00	Cp01; Pytr <b>Chalcopyrite 1%; Pyrite tr</b> Cpy 0.5-1% en veinules millimétriques (50%), en alignement de grains	262.20	263.20	P299770	1.00	0.010	0.10	60.0	28.0	
			263.20	264.00	P299771	0.80	0.020	0.10	60.0	28.0	
			264.00	264.50	P299772	0.50	0.410	2.10	2 380.0	35.0	
			264.50	265.00	P299774	0.50	0.080	0.20	219.0	29.0	
			265.00	265.50	P299775	0.50	0.080	0.30	263.0	31.0	

MAUDORE MINERALS Ltd

AC

Description		Analyse								
		De	À	Numéro	Longueur	Au_Final (g/t)	Ag_Final (ppm)	Cu_Final (ppm)	Zn_Final (ppm)	
271.00	282.50	millimétriques (30%) et en grains	265.50	267.00	P299776	1.50	0.050	0.10	25.0	30.0
		disséminés 1-2mm (20%). Py en traces	267.00	267.50	P299777	0.50	0.060	0.10	189.0	27.0
		en grains disséminés millimétriques	267.50	268.50	P299780	1.00	0.060	0.10	61.0	32.0
		(50%) et alignement de grains	268.50	270.00	P299781	1.50	0.050	0.10	128.0	26.0
		millimétriques (50%).	270.00	271.50	P299782	1.50	0.040	0.10	29.0	28.0
		Pyrr, Cptr	271.50	272.00	P299783	0.50	0.050	0.10	17.0	26.0
		<b>Pyrite tr; Chalcopyrite tr</b>	272.00	273.50	P299784	1.50	0.045	0.10	23.0	30.0
		Py en traces à 0.5% en alignement de	273.50	275.00	P299785	1.50	0.080	0.10	118.0	30.0
		grains millimétriques (60%), en grains	275.00	276.50	P299786	1.50	0.065	0.10	53.5	32.5
		disséminés millimétriques (30%) et en	276.50	278.00	P299787	1.50	0.050	0.10	15.0	28.0
		amas de 2-4mm étirés dans le sens de la	278.00	278.80	P299788	0.80	0.050	0.10	99.0	79.0
		foliation (10%). Cpy en traces en grains	278.80	279.30	P299789	0.50	0.070	0.10	119.0	34.0
		disséminés millimétriques.	279.30	279.80	P299791	0.50	0.070	0.10	71.0	29.0
			279.80	281.30	P299792	1.50	0.020	0.10	34.0	30.0
	281.30	282.30	P299793	1.00	0.010	0.10	4.0	28.0		
	282.30	283.00	P299794	0.70	0.010	0.10	9.0	25.0		
	283.00	284.50	P299795	1.50	0.005	0.10	9.0	28.0		
	284.50	285.00	P151541	0.50	0.015	0.10	1.0	26.0		
	285.00	286.00	P299796	1.00	0.010	0.10	1.0	31.0		
	286.00	287.50	P299797	1.50	0.020	0.10	1.0	32.0		
287.10	340.20	Py01; Potr	287.50	289.00	P299798	1.50	0.005	0.10	1.0	26.0
		<b>Pyrite 1%; Pyrrhotine tr</b>	289.00	290.50	P299799	1.50	0.010	0.10	2.0	27.0
		Py trace à 2% en alignement de grains	290.50	292.00	P299800	1.50	0.035	0.10	50.0	27.0
		infra-millimétriques à pluri-millimétriques	292.00	293.50	P299801	1.50	0.030	0.10	34.0	45.0
		(60%), en amas pluri-millimétriques étirés	293.50	295.00	P299803	1.50	0.055	0.10	7.0	31.0
		dans le sens de la foliation (15%) et en	295.00	296.40	P299804	1.40	0.140	0.10	223.0	45.0
		grains disséminés 1-3mm (15%) . Po	296.40	296.90	P299805	0.50	0.150	0.10	85.0	30.0
		trace à 0,5% en alignement de grains	296.90	298.00	P299807	1.10	0.005	0.10	55.0	27.0
		pluri-millimétriques (70%) et en amas	298.00	299.50	P299808	1.50	0.100	0.10	10.0	28.0
		1-3mm étirés dans le sens de la foliation	299.50	301.00	P299809	1.50	0.040	0.10	1.0	26.0
		(30%).	301.00	302.00	P299810	1.00	0.020	0.10	1.0	31.0
		Excepté :	302.00	302.50	P299811	0.50	0.020	0.10	1.0	27.0
		309.4-309.8 : 11G	302.50	304.00	P299812	1.50	0.010	0.10	1.0	33.0
		315-317.9 : I2; pFpAm								
		336.7-340.2 : I3; FIN								

MAUDORE MINERALS Ltd

AC

Description			Analyse							
			De	À	Numéro	Longueur	Au_Final (g/t)	Ag_Final (ppm)	Cu_Final (ppm)	Zn_Final (ppm)
306.30	340.20	SIL+; ChI; SR; BO-; CB-; HM- Silicification forte; Chloritisation; Séricitisation; Blotisation faible; Carbonatation faible; Hématitisation faible Si forte pervasive et en veines/veinules de quartz blanc, ChI moyenne (localement forte) en clastes, Sr moyenne pervasive et en bandes centimétriques, Bt faible (localement moyenne) en clastes, Cb faible en veinules millimétriques de Cc blanche, Hm faible en veinules rouges millimétriques.  Excepté : 309.4-309.8 : I1G 315-317.9 : I2; pFpAm 336.7-340.2 : I3; FIN	304.00	305.50	P299813	1.50	0.010	0.10	1.0	32.0
			305.50	307.00	P299814	1.50	0.020	0.10	2.0	30.0
306.30	306.40	FAI Faille Faille marquée par de la boue de forage et de la roche broyée.								
306.60	306.70	FAI Faille Faille marquée par de la boue de forage et de la roche broyée.	307.00	308.50	P299815	1.50	0.030	0.10	41.0	24.0
			308.50	310.00	P299816	1.50	0.010	0.10	4.0	55.0
309.40	309.80	I1G Pegmatite 75° Pegmatite Couleur blanche-beige Matrice à grains grossiers parfois centimétriques. Composé principalement de Porphyres de feldspath blancs-beiges de taille pluri-cm, de	310.00	311.00	P299817	1.00	0.005	0.10	7.0	34.0
			311.00	311.50	P299818	0.50	0.030	0.10	2.0	31.0
			311.50	312.50	P299819	1.00	0.020	0.10	22.0	32.0
			312.50	313.00	P151547	0.50	0.026	0.10	45.0	38.0
			313.00	314.00	P299820	1.00	0.020	0.50	24.0	35.0
			314.00	315.20	P299821	1.20	0.120	0.20	28.0	148.0

MAUDORE MINERALS Ltd

AC

Description		Analyse								
		Dø	Å	Numéro	Longueur	Au_Final (g/t)	Ag_Final (ppm)	Cu_Final (ppm)	Zn_Final (ppm)	
315.00	317.90									
biotite en baguettes noires centimétriques, de quartz xénomorphe blanc.										
Traces de Py en grains disséminés infra-millimétriques.										
Contact sup net discordant 75deg AC										
Contact inf net discordant légèrement ondulant env. 75deg AC										
		I2; pFpAm	317.70	319.00	P299822	1.30	0.070	0.10	152.0	51.0
<b>Intrusion intermédiaire; Porphyre de Feldspath et Amphibole 45°</b>										
		Intrusion intermédiaire à porphyres de Fp et d'Am.	319.00	320.50	P299823	1.50	0.040	0.20	100.0	33.0
			320.50	322.00	P299825	1.50	0.070	0.10	43.0	33.5
			322.00	323.00	P299826	1.00	0.020	0.10	49.0	52.0
		Couleur grise-verdâtre	323.00	324.00	P299827	1.00	0.030	0.10	12.0	32.0
		Matrice à grains fins	324.00	325.50	P299829	1.50	0.050	0.10	4.0	34.0
		Mouchetage de pFp beiges subautomorphes, environ 30-35%, de tailles 1-3mm	325.50	326.00	P299830	0.50	0.040	0.10	4.0	42.0
			326.00	327.50	P299832	1.50	0.030	0.10	6.0	40.0
		pAm faibles (1-2%) en petites baguettes infra-millimétriques alignées dans le sens de la foliation.	327.50	328.00	P299833	0.50	0.050	0.10	5.0	39.0
			328.00	329.50	P299834	1.50	0.070	0.10	98.0	47.0
		Cb en traces en fines veinules infra-millimétriques de Cc blanche.	329.50	331.00	P299835	1.50	0.095	0.10	2.0	31.0
			331.00	332.50	P299836	1.50	0.330	0.10	1.0	30.0
			332.50	334.00	P299837	1.50	0.295	0.10	4.0	33.5
		Traces de Py en grains fins infra-millimétriques disséminés (60%) et en alignements de grains infra-millimétriques (40%)	334.00	335.50	P299838	1.50	0.070	0.10	41.0	32.0
			335.50	337.00	P299839	1.50	0.100	0.10	19.0	31.0
336.70	340.20									
Contact sup net discordant 45deg AC										
Contact inf net ondulant env. 45deg AC										
		I3; FIN	340.00	341.00	P299840	1.00	0.010	0.10	19.0	35.0
<b>Intrusion mafique; Grains fins</b>										
Intrusion mafique à grains fins, de couleur grise-noire										
Matrice fine microgrenue										
Nombreux pAm en baguettes noires infra-mm										
Veinules de calcite (blanche, rose ou violette) mm en traces										
Hématisation en traces associée aux veinules de Cb										
Chlorite (mouchetage et pervasive) forte et										

MAUDORE MINERALS Ltd

AC

Description		Analyse								
		De	À	Numéro	Longueur	Au_Final (g/l)	Ag_Final (ppm)	Cu_Final (ppm)	Zn_Final (ppm)	
340.20	354.40	SIL; HM; PA-; EP-; CB- Silicification; Hématitisation; Paragonite faible; Épidotisation faible; Carbonatation faible Si moyenne pervasive et en veines/veinules de quartz blanc, Hm moyenne à forte pervasive et en veinules rouges millimétriques à centimétriques, Pa faible à moyenne pervasive et en liserés de micas blancs, Ép faible en veinules millimétriques vertes pistaches, Cb faible en veinules millimétriques de Cc blanche.  Excepté : 353.3-354.4 : I2; pFpAm	341.00	342.50	P299841	1.50	0.040	0.10	19.0	34.0
			342.50	343.00	P151548	0.50	0.312	0.20	140.0	30.0
			343.00	344.50	P299842	1.50	0.040	0.10	34.0	30.0
			344.50	346.00	P299843	1.50	0.010	0.10	21.0	35.0
			346.00	347.50	P299845	1.50	0.020	0.10	4.0	46.0
			347.50	349.00	P299846	1.50	0.005	0.10	3.0	41.0
			349.00	350.50	P299847	1.50	0.005	0.10	3.0	58.0
			350.50	352.00	P299848	1.50	0.005	0.10	5.0	53.0
			352.00	353.50	P299849	1.50	0.005	0.10	4.0	56.0
353.30	354.40	I2; pFpAm Intrusion intermédiaire; Porphyre de Feldspath et Amphibole Intrusion intermédiaire à porphyres de Fp et d'Am. Couleur grise-rougeâtre Matrice à grains fins Mouchetage de pFp beiges subautomorphes, environ 20-25%, de tailles 1-3mm pAm faibles (1-2%) en petites baguettes infra-millimétriques alignées dans le sens de la foliation. Cb en traces en fines veinules infra-millimétriques de Cc blanche. Hm moyenne en veinules rouges millimétriques et pervasive  Traces de Py en grains fins infra-millimétriques	353.50	354.50	P299850	1.00	0.010	0.10	4.0	62.5

MAUDORE MINERALS Ltd

AC

Description		Analyse								
		Dé	À	Numéro	Longueur	Au_Final (g/t)	Ag_Final (ppm)	Cu_Final (ppm)	Zn_Final (ppm)	
disséminés										
Contact sup et inf diffus (altération forte)										
354.40	376.30	SIL+; HM; SR-; CHL-; CB-	354.50	355.00	P299851	0.50	0.060	0.10	12.0	53.0
		<b>Silicification forte; Hématitisation;</b>	355.00	355.50	P299852	0.50	0.030	0.10	14.0	39.0
		<b>Séricitisation faible; Chloritisation</b>	355.50	356.00	P299853	0.50	0.030	0.10	27.0	35.0
		<b>faible; Carbonatation faible</b>	356.00	356.50	P299855	0.50	0.060	0.10	41.0	44.0
		Si forte pervasive et en veines/veinules	356.50	357.00	P299856	0.50	0.030	0.10	26.0	36.0
		de quartz blanc, Hm moyenne pervasive	357.00	357.50	P299857	0.50	0.070	0.10	62.0	47.0
		et en veinules rouges millimétriques, Sr	357.50	358.50	P299860	1.00	0.030	0.10	185.0	27.0
		faible à moyenne en bandes	358.50	359.50	P299861	1.00	0.010	0.10	34.0	34.0
		centimétriques et en halos d'altération	359.50	360.00	P151549	0.50	0.013	0.10	15.0	36.0
		autour de veinules de Cb, CHl faible en	360.00	361.00	P299862	1.00	0.010	0.10	11.0	28.0
		bandes centimétriques et rares clastes,								
		Cb faibles en veinules millimétriques de								
		Cc blanche.								
Excepté :										
354.40	358.90	361-376.3 : I1G								
		Py04; Po01								
		<b>Pyrite 4%; Pyrrhotine 1%</b>								
		Py 3-5% en alignement de grains								
		millimétriques (40%), en grains								
		disséminés millimétriques (40%), en								
		bandes centimétriques (10%) et en amas								
		1-6mm étirés dans le sens de la foliation.								
		Po 1-2% en grains disséminés								
		millimétriques (30%), en bandes								
		centimétriques (50%) et en amas 1-4mm								
		étirés dans le sens de la foliation.								
361.00	376.30	I1G								
		<b>Pegmatite</b>								
		Pegmatite								
		Couleur rose								
		Matrice à grains grossiers parfois								
		centimétriques.								
		Composé principalement de porphyres de								
		feldspaths roses de taille pluri-cm, de biotite en								
		baguettes noires centimétriques, de quartz								
		xénomorphe blanc, de muscovite en								
		feuillets pluri-centimétriques.								

MAUDORE MINERALS Ltd

AC

Description			Analyse							
			De	À	Numéro	Longueur	Au_Final (g/t)	Ag_Final (ppm)	Cu_Final (ppm)	Zn_Final (ppm)
376.20	381.70	<p>Hm en traces en veinules rouges millimétriques Cb en traces en veinules millimétriques de Cc blanche.</p> <p>Traces de Py en grains disséminés infra-millimétriques et en amas 1-4mm.</p> <p>Contact sup net discordant 60deg AC Contact inf net légèrement ondulant 20deg AC</p> <p>Py01 <b>Pyrite 1%</b> Py 0.5-2% en alignement de grains millimétriques à centimétriques (70%) et en grains disséminés millimétriques (20%) et en amas 1-5mm étirés dans le sens de la foliation.</p>	376.20	377.30	P299863	1.10	0.010	0.10	36.0	34.0
376.30	384.90	<p>SIL; CB-; HM-; SR-; Chl- Silicification; Carbonatation faible; Hématitisation faible; Séricitisation faible; Chloritisation faible</p> <p>Si moyenne pervasive et en veines/veinules de quartz blanc, Cb faible en veinules millimétriques à centimétriques de Cc blanche (localement fortement pervasifs), Hm faible en veinules rouges millimétriques, Sr faible en halos d'altérations autour des veinules de Cb et en bandes centimétriques, Chl faible en clastes.</p> <p>Excepté : 381.7-384.6 : I3; FIN</p>	377.30	378.30	P299864	1.00	0.020	0.10	109.0	31.0
			378.30	378.80	P299865	0.50	0.050	0.10	204.0	41.0
			378.80	379.70	P299866	0.90	0.060	0.10	177.0	37.0
			379.70	380.70	P299867	1.00	0.010	0.10	45.0	23.0
			380.70	381.20	P299868	0.50	0.070	0.20	185.0	43.0
			381.20	382.00	P299869	0.80	0.030	0.10	44.0	39.0
381.70	384.60	<p>I3; FIN Intrusion mafique; Grains fins Intrusion mafique à grains fins, de couleur grise-noire-rougeâtre Matrice fine microgrenue Nombreux pAm en baguettes noires infra-mm</p>	382.00	383.50	P299870	1.50	0.008	0.10	34.5	41.0
			383.50	385.00	P299871	1.50	0.010	0.10	47.0	41.0



MAUDORE MINERALS Ltd

AC

Description		Analyse								
		De	À	Numéro	Longueur	Au_Final (g/t)	Ag_Final (ppm)	Cu_Final (ppm)	Zn_Final (ppm)	
381.70	381.80	FAI Faille Faille marquée par de la boue de forage et de la roche broyée.								
384.60	387.40	Py00.5 Pyrite 0.5% Py 0.5% en alignement de grains millimétriques (80%) et en grains disséminés millimétriques (20%).								
384.90	418.50	SIL+; HM-; CB-; BO-; SR-; PA-; Chlr Silicification forte; Hématisation faible; Carbonatation faible; Biotisation faible; Séricitisation faible; Paragonite faible; Chloritisation tr Si forte pervasive et en veines/veinules de quartz blanc, Hm faible à moyenne en veinules rouges millimétriques et pervasive, Cb faibles en veinules millimétriques de Cc blanche et en patchs centimétriques de Cc verte étirés dans le sens de la foliation, Bt faible en clastes, Sr localement faible pervasive et en bandes centimétriques, Pa localement faible pervasive et en liserés de micas blancs, Chl en traces en clastes.	385.00	385.50	P299872	0.50	0.020	0.10	111.0	23.0
			385.50	387.00	P299873	1.50	0.030	0.10	224.0	27.0
			387.00	387.50	P299874	0.50	0.020	0.10	140.0	17.0
Excepté :										
387.4-392.4 : 11G										

MAUDORE MINERALS Ltd

AC

Description			Analyse							
			De	À	Numéro	Longueur	Au_Final (g/t)	Ag_Final (ppm)	Cu_Final (ppm)	Zn_Final (ppm)
387.40	392.40	395.2-396.5 : I2; pFpAm 407.2-408.4 : 11F I1G <b>Pegmatite</b> Pegmatite Couleur rose Matrice à grains grossiers parfois centimétriques. Composé principalement de porphyres de feldspaths roses de taille pluri-cm, de biotite en baguettes noires centimétriques, de quartz xénomorphe blanc, de muscovite en feuilletages pluri-centimétriques. Sur les 1.5 premiers mètres, texture bréchique marquée par des fragments de pegmatite, de quartz blanc xénomorphe et d'une roche à la matrice gris claire-verdâtre très fine (V1C ?) Hm en traces en veinules rouges millimétriques Cb en traces en veinules millimétriques de Cc blanche.  Traces de Py en grains disséminés infra-millimétriques.  Contact sup net fracturé 50deg AC Contact inf net discordant 15deg AC	392.30	393.50	P299875	1.20	0.020	0.10	68.5	36.0
			393.50	394.00	P151556	0.50	0.078	0.10	82.0	48.0
			394.00	395.30	P299876	1.30	0.050	0.10	111.0	38.0
395.20	396.50	I2; pFpAm <b>Intrusion intermédiaire; Porphyre de Feldspath et Amphibole</b> Intrusion intermédiaire à porphyres de Fp et d'Am. Couleur grise-rougeâtre Matrice à grains fins grise sombre Mouchetage de pFp roses-rouges subautomorphes, environ 15-20%, de tailles 1-2mm pAm env. 4-5% en petites baguettes infra-millimétriques à millimétriques alignées dans le sens de la foliation. Cb en traces en fines veinules infra-millimétriques de Cc blanche.	396.40	397.90	P299877	1.50	0.040	0.10	112.0	29.0
			397.90	399.40	P299878	1.50	0.100	0.20	307.0	45.0
			399.40	400.90	P299879	1.50	0.070	0.10	219.0	31.0
			400.90	402.40	P299880	1.50	0.090	0.10	167.0	31.0
			402.40	403.90	P299881	1.50	0.025	0.10	36.5	30.0
			403.90	405.40	P299882	1.50	0.010	0.10	8.0	31.0
			405.40	406.40	P299883	1.00	0.010	0.10	7.0	26.0
			406.40	407.40	P299884	1.00	0.010	0.10	7.0	22.0

MAUDORE MINERALS Ltd

AC

Description		Analyse								
		De	À	Numéro	Longueur	Au_Final (g/t)	Ag_Final (ppm)	Cu_Final (ppm)	Zn_Final (ppm)	
407.20	408.40	Hm moyenne en veinules rouges millimétriques et pervasive.								
		Traces de Py en grains fins infra-millimétriques disséminés								
		Contact sup net ondulant								
		Contact inf net légèrement ondulant environ 30deg AC								
		I1F	408.20	409.70	P299885	1.50	0.220	0.10	30.0	32.0
413.90	414.00	<b>Aplite 60°</b>	409.70	411.20	P299886	1.50	0.150	0.10	37.0	30.0
		Aplite	411.20	412.60	P299887	1.40	0.020	0.10	35.0	30.0
		Matrice aphanitique de couleur blanche à rose.								
		Mouchetage de grains noirs 1-2mm, env. 10-15% (amph, chl ?)	412.60	414.10	P299888	1.50	0.020	0.10	28.0	33.0
		Hématite moyennement pervasive et en veinules rouges millimétriques. Si forte pervasive et en Vn-Vnl de quartz blanc.								
418.50	459.70	Traces-1 de Py en grains disséminés infra-millimétriques								
		Contact sup net 60deg AC								
		Contact inf net légèrement ondulant 55-60deg AC.								
		<b>FAI</b>	414.10	415.20	P299890	1.10	0.020	0.10	25.0	45.0
		<b>Faïlle 20°</b> Faïlle marquée par de la boue de forage et de la roche broyée, environ 20deg AC.								
418.50	459.70	<b>Py02</b>	415.20	415.70	P299891	0.50	0.060	0.10	38.0	44.0
		<b>Pyrite 2%</b>	415.70	416.20	P299893	0.50	0.150	0.20	145.0	50.0
		Py 2% en grains disséminés millimétriques (50%), en amas 1-4mm	416.20	416.70	P299894	0.50	0.560	0.30	458.0	49.0
		étirés dans le sens de la foliation (30%)	416.70	418.20	P299896	1.50	0.080	0.10	81.0	64.0
		et en alignement de grains millimétriques (20%), le tout associé étroitement aux clastes et veinules de Chlorite.	418.20	419.20	P299897	1.00	0.050	0.10	58.0	36.0
		V1C; pQz								
		<b>Rhyodacite; Porphyre de Quartz 55°</b>								

Description	Analyse							
	De	À	Numéro	Longueur	Au_Final (g/t)	Ag_Final (ppm)	Cu_Final (ppm)	Zn_Final (ppm)
<p>Volcanite felsique. Rhyodacite.                      Matrice à grains fins de couleur gris clair à gris moyen.                      Foliation difficilement observable, environ 50-55 deg AC, marquée par un rubanement ou l'orientation des lisérés de mica blancs. Rubanement de bandes grisâtre de différentes teintes, également bandes teintées rougeâtre (Hm).                      Globalement 2-3% de Vn/Vnl de Cb±Qtz mm, irrégulières et 1-2% de Vn/Vnl d'Hm rouges mm irrégulières.                      Présence de pQz bleus 1-4mm env. 5-6%                      Entre 445.9 et 447.5 : zone fortement altérée, à grains fins, de couleur grise-verdâtre, parfois mouchetée de petits minéraux mafiques noirs millimétriques (Chl ? Amp ?), pas de contacts nets                      ==&gt; intrusif ? zone d'altération ?</p> <p>Altération :</p> <p>De 418.5-435.1 : Si forte pervasive et en veines/veinules de quartz blanc, Pa moyenne pervasive, Cb faibles en veinules millimétriques de Cc blanche, Sr faible bandes centimétriques, en halos d'altération autour des veinules de Cb et d'Hm et pervasive, Fp en traces en mouchetage de grains 1-3mm blancs-roses (2-3%), Hm en traces en veinules rouges millimétriques.</p> <p>De 435.1-439.8 : Si forte pervasive et en veines/veinules de quartz blanc, Pa forte pervasive et en fins lisérés de micas blancs, Sr faible bandes centimétriques, en halos d'altération autour des veinules de Cb et d'Hm et pervasive, Cb en traces en veinules millimétriques de Cc blanche, Fp en traces en mouchetage de grains 1-3mm blancs (3-4%).</p> <p>De 439.8-452.5 : Zone fortement fracturée et altérée. Si forte pervasive et en veines/veinules de quartz blanc, Pa moyenne pervasive, Sr faible à moyenne en bandes centimétriques, en halos d'altération autour des veinules de Cb et d'Hm et pervasive sur des zones pluri-centimétriques, Cb faibles à moyens en veinules millimétriques de Cc blanche et pervasifs,</p>								

AC

Description	Analyse							
	De	À	Numéro	Longueur	Au_Final (g/t)	Ag_Final (ppm)	Cu_Final (ppm)	Zn_Final (ppm)
<p>Hm en traces en veinules rouges millimétriques, Chi en traces en veinules millimétriques et en mouchetage de petits grains millimétriques noir-verdâtres.</p> <p>De 452.5-459.7 : Si forte pervasive et en veines/veinules de quartz blanc, Pa forte pervasive, Cb faibles en veinules millimétriques de Cc blanche, Sr en traces en veinules millimétriques et bandes centimétriques.</p> <p>Minéralisations :</p> <p>De 418.5-459.7 : Py en traces à 0.5% en alignement de grains millimétriques (40%), en grains disséminés millimétriques (50%) et localement en amas 1-10mm associés aux patches de Chlorite (10%).</p> <p>Exceplé :</p> <p>427.4-430.3 : I2; pFpAm</p> <p>Structures :</p> <p>De 437.5-459 : Fracturation forte avec des blocs anguleux de 0.5-5cm et des lambeaux de carottes de 2-20cm. Présence d'une faille à 445.8 marquée par de la boue de forage et de la roche broyée, ainsi qu'une texture bréchique, environ 70deg AC.</p> <p>Contact sup net concordant 55deg AC Contact inf net concordant 55deg AC</p>	418.50	435.10	SIL+; PA; CB-; SR-; Fktr; HMtr Silicification forte; Paragonite; Carbonatation faible; Séricitisation faible; Feldspath potassique tr; Hématitisation tr Si forte pervasive et en veines/veinules de quartz blanc, Pa moyenne pervasive, Cb faibles en veinules millimétriques de Cc blanche, Sr faible bandes centimétriques, en halos d'altération autour des veinules de Cb et d'Hm et pervasive, Fp en traces en mouchetage de grains 1-3mm blancs-roses (2-3%).					

AC

Description		Analyse								
		Dé	À	Numéro	Longueur	Au_Final (g/t)	Ag_Final (ppm)	Cu_Final (ppm)	Zn_Final (ppm)	
418.50	459.70	Hm en traces en veinules rouges millimétriques.  Excepté : 427.4-430.3 : I2; pFpAm Py00.5	419.20	420.20	P299898	1.00	0.120	0.10	45.0	25.0
		<b>Pyrite 0.5%</b>	420.20	420.80	P299899	0.60	0.070	0.10	45.0	16.0
		Py en traces à 0.5% en alignement de grains millimétriques (40%), en grains disséminés millimétriques (50%) et localement en amas 1-10mm associés aux patchs de Chlorite (10%).	420.80	422.30	P299900	1.50	0.040	0.10	36.5	23.5
			422.30	422.80	P151557	0.50	0.036	0.10	64.0	26.0
			422.80	424.30	P299901	1.50	0.030	0.10	56.0	19.0
			424.30	425.80	P299902	1.50	0.020	0.10	33.0	21.0
			425.80	426.80	P299903	1.00	0.040	0.10	51.0	34.0
		Excepté : 427.4-430.3 : I2; pFpAm	426.80	427.60	P299904	0.80	0.015	0.10	28.0	37.0
427.40	430.30	I2; pFpAm <b>Intrusion intermédiaire; Porphyre de Feldspath et Amphibole</b> Intrusion intermédiaire à porphyres de Fp et d'Am. Couleur grise claire-rougeâtre Matrice à grains fins grise claire Mouchetage de pFp blancs-roses subautomorphes, environ 20-25%, de tailles 1-5mm pAm env. 10% en petites baguettes infra-millimétriques à millimétriques alignées dans le sens de la foliation. Enclave de V1C; pQz de 40cm entre 428.9 et 429.3 Cb en traces en fines veinules infra-millimétriques de Cc blanche. Hm faible en veinules rouges millimétriques et pervasive.  Traces de Py en grains fins infra-millimétriques disséminés  Contact sup net discordant 25deg AC Contact inf net 55deg AC	430.10	431.00	P299905	0.90	0.060	0.10	16.0	40.0
			431.00	432.00	P299906	1.00	0.050	0.10	22.0	46.0
			432.00	433.00	P299907	1.00	0.120	0.10	57.0	21.0
			433.00	433.50	P299909	0.50	0.130	0.20	29.0	15.0
			433.50	435.00	P299911	1.50	0.070	0.10	8.0	21.0
			435.00	436.50	P299912	1.50	0.050	0.10	4.0	23.0

MAUDORE MINERALS Ltd

AC

Description			Analyse							
			D <sub>e</sub>	À	Numéro	Longueur	Au_Final (g/t)	Ag_Final (ppm)	Cu_Final (ppm)	Zn_Final (ppm)
435.10	439.80	SIL+; PA+; SR-; CBtr; Fktr Silicification forte; Paragonite forte; Séricitisation faible; Carbonatation tr; Feldspath potassique tr Si forte pervasive et en veines/veinules de quartz blanc, Pa forte pervasive et en fins liserés de micas blancs, Sr faible bandes centimétriques, en halos d'altération autour des veinules de Cb et d'Hm et pervasive, Cb en traces en veinules millimétriques de Cc blanche, Fp en traces en mouchetage de grains 1-3mm blancs (3-4%).	436.50	438.00	P299913	1.50	0.020	0.10	3.0	38.0
437.50	459.00	FRC+; BRE; FAI Fracturation forte; Bréchique; Faille 70° Fracturation forte avec des blocs anguleux de 0.5-5cm et des lambeaux de carottes de 2-20cm. Présence d'une faille à 445.8 marquée par de la boue de forage et de la roche broyée, ainsi qu'une texture bréchique, environ 70deg AC.	438.00	439.50	P299914	1.50	0.010	0.10	3.0	21.0
			439.50	441.00	P299915	1.50	0.020	0.10	9.0	26.5
439.80	452.50	SIL+; PA; SR; CB-; HMtr; Chtr Silicification forte; Paragonite; Séricitisation; Carbonatation faible; Hématitisation tr; Chloritisation tr Zone fortement fracturée et altérée. Si forte pervasive et en veines/veinules de quartz blanc, Pa moyenne pervasive, Sr faible à moyenne en bandes centimétriques, en halos d'altération autour des veinules de Cb et d'Hm et pervasive sur des zones pluri-centimétriques, Cb faibles à moyens en veinules millimétriques de Cc blanche et pervasifs, Hm en traces en veinules rouges millimétriques, Chl en traces en	441.00	442.50	P299916	1.50	0.080	0.10	26.0	25.0
			442.50	444.00	P299917	1.50	0.030	0.10	6.0	36.0
			444.00	445.50	P299918	1.50	0.020	0.10	4.0	17.0
			445.50	447.00	P299919	1.50	0.040	0.10	37.0	45.0
			447.00	448.00	P299920	1.00	0.090	0.10	63.0	22.0
			448.00	449.50	P299921	1.50	0.120	0.20	49.0	26.0
449.50	451.00	P299922	1.50	0.130	0.30	6.0	12.0			
451.00	452.50	P299924	1.50	0.065	0.30	5.0	10.0			

AC

Description			Analyse							
			De	À	Numéro	Longueur	Au_Final (g/t)	Ag_Final (ppm)	Cu_Final (ppm)	Zn_Final (ppm)
452.50	459.70	veinules millimétriques et en mouchetage de petits grains millimétriques noir-verdâtres. SIL+; PA+; CB-; SRtr Silicification forte; Paragonite forte; Carbonatation faible; Séricitisation tr Si forte pervasive et en veines/veinules de quartz blanc, Pa forte pervasive, Cb faibles en veinules millimétriques de Cc blanche, Sr en traces en veinules millimétriques et bandes centimétriques.	452.50	453.00	P151558	0.50	0.072	0.10	28.0	14.0
			453.00	454.50	P299925	1.50	0.055	0.10	32.0	19.5
			454.50	456.00	P299926	1.50	0.030	0.10	9.0	19.0
			456.00	457.50	P299927	1.50	0.035	0.10	23.0	62.0
			457.50	459.00	P299928	1.50	0.220	0.30	73.0	201.0
			459.00	460.50	P299929	1.50	0.120	0.10	36.0	45.0
459.70	462.00	V2-V3; T1 Volcanite intermédiaire à mafique; Tuf à lapillis Volcanite intermédiaire à mafique. Tuf à lapillis. Couleur globale allant de gris sombre verdâtre (Chlorite) à brunâtre (biotite) Matrice à grains fins de couleur gris moyen à foncé, verdâtre. De 15 à 20% de clastes millimétriques à centimétriques étirés dans le sens de la foliation, de couleurs verte (Chlorite), brune (biotite), bleuâtre à blanche (Paragonite). Globalement moins de 1% de veines/veinules de Qz-Cb millimétriques à pluri-centimétriques irrégulières. Foliation moyenne à forte de 50-55deg AC marquée par un rubanement provoqué par l'étirement des clastes de Chl et de Bt, des liserés de micas blancs ainsi que par certaines veines/veinules de Cb et Hm également étirées.  Altération : Si forte pervasive, Chl et Bt forts en clastes, Cb faibles en veinules millimétriques de Cc blanche et en patches de Cc verte étirés dans le sens de la foliation, Pa faible en liserés de micas blancs.  Minéralisation : Py 0.5% en alignement de grains millimétriques.								



MAUDORE MINERALS Ltd

AC

Description	Analyse							
	De	À	Numéro	Longueur	Au_Final (g/t)	Ag_Final (ppm)	Cu_Final (ppm)	Zn_Final (ppm)
Contact sup net concordant 55deg AC Contact inf non recoupé  Fin du trou 459.70 462.00 SIL+; Chl+; BO+; CB-; PA- Silicification forte; Chloritisation forte; Biotisation forte; Carbonatation faible; Paragonite faible Si forte pervasive, Chl et Bt forts en clastes, Cb faibles en veinules millimétriques de Cc blanche et en patchs de Cc verte étirés dans le sens de la foliation, Pa faible en liserés de micas blancs.								
459.70 462.00 Py00.5 Pyrite 0.5% Py 0.5% en alignement de grains millimétriques.	460.50	462.00	P299930	1.50	0.070	0.10	57.0	53.0
462.00 Fin du sondage Nombre d'échantillons : 307 Nombre d'échantillons QAQC : 39 Longueur totale échantillonnée : 357.60								

MAUDORE MINERALS Ltd

AC

QAQC

De	À	Numéro	Référence	Longueur	Au (g/t)	Ag (ppm)	Cu (ppm)	Zn (ppm)
0.00	0.00	P299687	SQ48	0.00	29.40	1.2	63	88
0.00	0.00	P299923	SQ48	0.00	29.80	0.9	64	85
0.00	0.00	P299758	Blank	0.00	-0.01	-0.2	12	19
0.00	0.00	P299607	Blank	0.00	0.01	-0.2	14	23
0.00	0.00	P299744	SK62	0.00	3.68	1.0	82	90
0.00	0.00	P299734	Blank	0.00	-0.01	-0.2	15	27
0.00	0.00	P299778	Blank	0.00	0.01	-0.2	14	21
0.00	0.00	P299712	Blank	0.00	-0.01	-0.2	16	28
0.00	0.00	P299773	SQ48	0.00	28.70	0.9	69	88
0.00	0.00	P299680	Blank	0.00	-0.01	-0.2	11	18
0.00	0.00	P299673	SK62	0.00	3.95	1.1	84	95
0.00	0.00	P299668	Blank	0.00	-0.01	0.2	15	23
0.00	0.00	P299639	SH55	0.00	1.24	0.7	102	72
0.00	0.00	P299633	Blank	0.00	-0.01	-0.2	13	23
0.00	0.00	P299621	SQ48	0.00	30.20	1.0	66	92
0.00	0.00	P299723	SH55	0.00	1.34	0.9	121	85
0.00	0.00	P299854	Blank	0.00	-0.01	-0.2	11	20
0.00	0.00	P299910	Blank	0.00	-0.01	-0.2	17	21
0.00	0.00	P299895	SK62	0.00	3.99	1.1	97	94
0.00	0.00	P299892	Blank	0.00	0.01	-0.2	14	25
0.00	0.00	P299859	SH55	0.00	1.34	0.5	107	72
0.00	0.00	P299844	SQ48	0.00	29.50	1.0	67	93
0.00	0.00	P299824	SK62	0.00	3.89	1.3	88	96
0.00	0.00	P299831	Blank	0.00	-0.01	-0.2	15	23
0.00	0.00	P299806	Blank	0.00	1.01	-0.2	10	21
0.00	0.00	P299790	SH55	0.00	1.27	0.6	107	71
90.00	91.00	P299628	P299616	1.00	0.15	0.3	633	43
114.30	115.80	P299655	P299641	1.50	0.01	-0.2	12	63
136.00	137.50	P299689	P299659	1.50	0.08	-0.2	29	27
170.50	172.00	P299710	P299693	1.50	0.03	-0.2	40	42
200.50	202.00	P299728	P299717	1.50	0.02	-0.2	63	37
233.10	234.60	P299761	P299747	1.50	0.02	-0.2	33	26
259.20	260.70	P299779	P299768	1.50	0.12	-0.2	128	31

MAUDORE MINERALS Ltd

AK

QAQC

De	À	Numéro	Référence	Longueur	Au (g/t)	Ag (ppm)	Cu (ppm)	Zn (ppm)
275.00	276.50	P299802	P299786	1.50	0.03	-0.2	43	34
313.00	314.00	P299828	P299820	1.00	0.02	0.8	28	36
332.50	334.00	P299858	P299837	1.50	0.31	-0.2	4	33
382.00	383.50	P299889	P299870	1.50	0.01	-0.2	35	42
402.40	403.90	P299908	P299881	1.50	0.02	-0.2	35	29
439.50	441.00	P299935	P299915	1.50	0.02	-0.2	9	26

## Géochimie

De	À	Numéro	Longueur	Description	SiO2 (%)	Al2O3 (%)	Fe2O3 (%)	CaO (%)
45.00	45.50	P151523	0.50		63.13	16.08	5.13	4.16
74.50	75.00	P151524	0.50		62.23	15.31	3.37	6.13
105.50	106.00	P151525	0.50		61.87	15.26	4.94	6.34
134.50	135.00	P151531	0.50		61.21	16.05	6.38	4.80
159.50	160.00	P151532	0.50		61.49	16.89	5.93	6.57
197.50	198.00	P151533	0.50		61.36	16.58	6.32	5.51
227.40	227.90	P151539	0.50		62.16	16.25	5.85	4.95
255.70	256.20	P151540	0.50		55.19	15.59	8.27	7.18
284.50	285.00	P151541	0.50		64.46	14.78	5.32	4.53
312.50	313.00	P151547	0.50		64.35	15.56	6.05	4.83
342.50	343.00	P151548	0.50		63.16	14.85	6.24	4.99
359.50	360.00	P151549	0.50		64.14	15.77	5.67	4.57
393.50	394.00	P151556	0.50		59.17	15.32	8.32	3.82
422.30	422.80	P151557	0.50		70.17	15.13	2.91	2.81
452.50	453.00	P151558	0.50		70.05	15.22	2.30	2.30

MAUDORE MINERALS Ltd

1A

Géochimie

De	À	Numéro	Longueur	MgO (%)	Na2O (%)	K2O (%)	Cr2O3 (%)	TiO2 (%)	MnO (%)	P2O5 (%)
45.00	45.50	P151523	0.50	1.51	4.04	1.82	0.01	0.57	0.10	0.20
74.50	75.00	P151524	0.50	0.77	4.29	2.38	0.01	0.54	0.08	0.19
105.50	106.00	P151525	0.50	1.30	3.72	1.71	0.01	0.47	0.09	0.13
134.50	135.00	P151531	0.50	3.68	3.95	1.43	0.01	0.62	0.12	0.19
159.50	160.00	P151532	0.50	1.94	2.20	1.80	0.01	0.61	0.12	0.22
197.50	198.00	P151533	0.50	2.59	3.36	1.68	0.01	0.59	0.10	0.21
227.40	227.90	P151539	0.50	2.17	3.03	2.16	0.01	0.61	0.10	0.22
255.70	256.20	P151540	0.50	5.34	3.70	1.12	0.03	1.25	0.11	0.44
284.50	285.00	P151541	0.50	2.02	3.47	1.56	0.01	0.52	0.06	0.18
312.50	313.00	P151547	0.50	2.40	2.64	1.96	0.01	0.58	0.06	0.20
342.50	343.00	P151548	0.50	2.14	3.37	1.58	0.01	0.53	0.06	0.19
359.50	360.00	P151549	0.50	2.19	3.39	1.52	0.01	0.55	0.06	0.20
393.50	394.00	P151556	0.50	3.95	4.13	0.91	0.02	0.68	0.12	0.19
422.30	422.80	P151557	0.50	0.54	4.69	1.60	-0.01	0.20	0.03	0.10
452.50	453.00	P151558	0.50	0.46	5.57	1.36	-0.01	0.20	0.02	0.10

AC

Géochimie

De	À	Numéro	Longueur	SrO (%)	BaO (%)	LOI (%)	Total (%)	Nb (ppm)	Ba (ppm)	Rb (ppm)
45.00	45.50	P151523	0.50	0.03	0.06	2.69	99.52	6	400	45
74.50	75.00	P151524	0.50	0.03	0.05	4.47	99.84	5	330	50
105.50	106.00	P151525	0.50	0.04	0.05	3.55	99.48	4	310	39
134.50	135.00	P151531	0.50	0.03	0.04	1.46	99.97	6	310	37
159.50	160.00	P151532	0.50	0.05	0.08	1.80	99.70	5	710	44
197.50	198.00	P151533	0.50	0.05	0.08	1.50	99.94	5	660	46
227.40	227.90	P151539	0.50	0.06	0.09	2.27	99.92	4	650	73
255.70	256.20	P151540	0.50	0.09	0.06	1.51	99.86	9	510	37
284.50	285.00	P151541	0.50	0.05	0.03	2.56	99.55	5	220	61
312.50	313.00	P151547	0.50	0.04	0.04	1.09	99.82	6	280	71
342.50	343.00	P151548	0.50	0.07	0.04	2.14	99.36	5	320	66
359.50	360.00	P151549	0.50	0.07	0.05	1.62	99.80	5	350	63
393.50	394.00	P151556	0.50	0.04	0.03	2.89	99.59	5	210	45
422.30	422.80	P151557	0.50	0.04	0.08	1.61	99.91	3	600	35
452.50	453.00	P151558	0.50	0.03	0.07	2.25	99.93	5	490	54

## Géochimie

De	À	Numéro	Longueur	Zr (ppm)	Y (ppm)	Sr (ppm)	Au (ppm)	Ag (ppm)	Al (%)	As (ppm)
45.00	45.50	P151523	0.50	150	12	326	0.005	-0.2	1.47	-2
74.50	75.00	P151524	0.50	140	12	338	-0.005	-0.2	0.87	-2
105.50	106.00	P151525	0.50	122	11	472	-0.005	-0.2	1.78	-2
134.50	135.00	P151531	0.50	123	11	256	0.010	-0.2	2.11	-2
159.50	160.00	P151532	0.50	152	14	436	0.123	-0.2	4.05	-2
197.50	198.00	P151533	0.50	140	13	491	0.121	-0.2	2.50	-2
227.40	227.90	P151539	0.50	151	14	559	0.054	-0.2	2.27	-2
255.70	256.20	P151540	0.50	191	17	831	0.015	0.30	1.72	-2
284.50	285.00	P151541	0.50	140	12	468	0.015	-0.2	1.79	-2
312.50	313.00	P151547	0.50	149	12	409	0.026	-0.2	3.01	-2
342.50	343.00	P151548	0.50	142	13	642	0.312	0.20	1.55	3
359.50	360.00	P151549	0.50	151	12	681	0.013	-0.2	1.69	-2
393.50	394.00	P151556	0.50	122	15	462	0.078	-0.2	2.29	-2
422.30	422.80	P151557	0.50	165	9	410	0.036	-0.2	0.66	-2
452.50	453.00	P151558	0.50	165	10	333	0.072	-0.2	0.56	-2

AC

Géochimie

De	À	Numéro	Longueur	B (ppm)	Ba Econo (ppm)	Be (ppm)	Bi (ppm)	Ca (%)	Cd (ppm)	Co (ppm)
45.00	45.50	P151523	0.50	-10		-0.5	3	1.56	-0.5	13
74.50	75.00	P151524	0.50	-10		-0.5	3	3.57	-0.5	13
105.50	106.00	P151525	0.50	-10		-0.5	2	2.83	-0.5	14
134.50	135.00	P151531	0.50	-10		-0.5	-2	1.06	-0.5	18
159.50	160.00	P151532	0.50	-10		-0.5	-2	2.54	-0.5	23
197.50	198.00	P151533	0.50	-10		-0.5	-2	1.40	-0.5	12
227.40	227.90	P151539	0.50	-10		-0.5	-2	1.78	-0.5	10
255.70	256.20	P151540	0.50	-10		-0.5	-2	1.41	-0.5	20
284.50	285.00	P151541	0.50	-10		-0.5	-2	1.81	-0.5	15
312.50	313.00	P151547	0.50	-10		-0.5	-2	1.30	-0.5	14
342.50	343.00	P151548	0.50	-10		-0.5	-2	1.37	-0.5	9
359.50	360.00	P151549	0.50	-10		-0.5	-2	0.81	-0.5	13
393.50	394.00	P151556	0.50	-10		-0.5	-2	0.87	-0.5	34
422.30	422.80	P151557	0.50	-10		-0.5	-2	0.84	-0.5	2
452.50	453.00	P151558	0.50	-10		-0.5	-2	1.31	-0.5	2



MAUDORE MINERALS Ltd

AC

Géochimie

De	À	Numéro	Longueur	Cr (ppm)	Cu (ppm)	Fe (%)	Ga (ppm)	Hg (ppm)	K (%)	La (ppm)
45.00	45.50	P151523	0.50	32	27	3.05	10	-1	0.35	20
74.50	75.00	P151524	0.50	28	32	1.82	10	-1	0.26	20
105.50	106.00	P151525	0.50	41	3	3.30	10	1	0.92	10
134.50	135.00	P151531	0.50	69	37	3.21	10	-1	0.91	10
159.50	160.00	P151532	0.50	30	46	3.58	10	-1	1.01	20
197.50	198.00	P151533	0.50	29	26	3.73	10	-1	0.99	20
227.40	227.90	P151539	0.50	29	26	3.39	10	-1	0.53	20
255.70	256.20	P151540	0.50	80	92	2.75	10	-1	0.55	30
284.50	285.00	P151541	0.50	39	1	3.28	10	-1	0.33	20
312.50	313.00	P151547	0.50	46	45	3.57	10	-1	1.31	20
342.50	343.00	P151548	0.50	39	140	3.48	10	-1	0.15	10
359.50	360.00	P151549	0.50	44	15	3.38	10	-1	0.55	20
393.50	394.00	P151556	0.50	80	82	4.58	10	-1	0.18	20
422.30	422.80	P151557	0.50	9	64	1.34	-10	-1	0.15	10
452.50	453.00	P151558	0.50	8	28	1.37	-10	-1	0.09	10

AC

Géochimie

De	À	Numéro	Longueur	Mg (%)	Mn (ppm)	Mo (ppm)	Na (%)	Ni (ppm)	P (ppm)	Pb (ppm)
45.00	45.50	P151523	0.50	0.79	487	-1	0.08	26	890	-2
74.50	75.00	P151524	0.50	0.37	405	-1	0.07	20	850	-2
105.50	106.00	P151525	0.50	0.74	571	-1	0.10	27	610	-2
134.50	135.00	P151531	0.50	1.63	345	-1	0.11	55	840	-2
159.50	160.00	P151532	0.50	1.11	574	-1	0.30	22	1 020	-2
197.50	198.00	P151533	0.50	1.30	445	-1	0.15	25	930	-2
227.40	227.90	P151539	0.50	1.13	436	-1	0.14	21	960	-2
255.70	256.20	P151540	0.50	1.42	209	-1	0.13	85	1 980	-2
284.50	285.00	P151541	0.50	1.11	293	-1	0.08	24	810	-2
312.50	313.00	P151547	0.50	1.29	290	2	0.18	30	930	-2
342.50	343.00	P151548	0.50	1.12	280	1	0.06	30	870	-2
359.50	360.00	P151549	0.50	1.20	251	-1	0.08	27	860	-2
393.50	394.00	P151556	0.50	1.91	419	2	0.10	61	870	-2
422.30	422.80	P151557	0.50	0.22	144	-1	0.07	2	460	2
452.50	453.00	P151558	0.50	0.19	124	-1	0.08	1	460	2

## Géochimie

De	À	Numéro	Longueur	S (%)	Sb (ppm)	Sc (ppm)	Th (ppm)	Sr Econo (ppm)	Ti (%)	Ti (ppm)
45.00	45.50	P151523	0.50	0.03	-2	5	-20		0.19	-10
74.50	75.00	P151524	0.50	0.19	-2	3	-20		0.13	-10
105.50	106.00	P151525	0.50	0.08	-2	7	-20		0.18	-10
134.50	135.00	P151531	0.50	0.18	2	7	-20		0.20	-10
159.50	160.00	P151532	0.50	0.61	3	5	-20		0.20	-10
197.50	198.00	P151533	0.50	0.17	2	7	-20		0.19	-10
227.40	227.90	P151539	0.50	0.06	2	6	-20		0.21	-10
255.70	256.20	P151540	0.50	0.42	2	3	-20		0.23	-10
284.50	285.00	P151541	0.50	0.30	-2	5	-20		0.17	-10
312.50	313.00	P151547	0.50	0.38	-2	6	-20		0.20	-10
342.50	343.00	P151548	0.50	0.73	-2	4	-20		0.17	-10
359.50	360.00	P151549	0.50	0.84	-2	4	-20		0.20	-10
393.50	394.00	P151556	0.50	1.42	-2	7	-20		0.16	-10
422.30	422.80	P151557	0.50	0.26	-2	-1	-20		0.05	-10
452.50	453.00	P151558	0.50	0.56	-2	-1	-20		0.01	-10

A

## Géochimie

De	À	Numéro	Longueur	U (ppm)	V (ppm)	W (ppm)	Zn (ppm)
45.00	45.50	P151523	0.50	-10	60	-10	52
74.50	75.00	P151524	0.50	-10	43	-10	17
105.50	106.00	P151525	0.50	-10	70	-10	41
134.50	135.00	P151531	0.50	-10	84	-10	58
159.50	160.00	P151532	0.50	-10	78	-10	46
197.50	198.00	P151533	0.50	-10	87	-10	36
227.40	227.90	P151539	0.50	-10	76	-10	26
255.70	256.20	P151540	0.50	-10	47	-10	43
284.50	285.00	P151541	0.50	-10	66	-10	26
312.50	313.00	P151547	0.50	-10	87	-10	38
342.50	343.00	P151548	0.50	-10	58	-10	30
359.50	360.00	P151549	0.50	-10	73	-10	36
393.50	394.00	P151556	0.50	-10	96	-10	48
422.30	422.80	P151557	0.50	-10	2	-10	26
452.50	453.00	P151558	0.50	-10	1	-10	14

MAUDORE MINERALS Ltd

Sondage : COM-12-908  
 Titre minier :  
 Canton : Comtois  
 Rang :  
 Lot :  
 Du : 2012-07-05  
 Au : 2012-07-13  
 Section : 1537E  
 Niveau : Surface  
 Place de travail : Lebel-sur-Quévillon  
 Date de description : 2012-07-19  
 Foré par : Forages M. Rouillier Inc  
 Décrit par : JG. Merdy

Collet

	UTM	Locales	GREER
Est	340 610.67	1 426.50	3 297.35
Nord	5 444 755.32	1 504.07	3 039.77
Élévation	290.26	290.26	290.26


Azimut : 190.00°  
 Plongée : -61.00°  
 Longueur : 506.00 m

Déviations

Type	Profondeur	Azimut	Plongée	Invalide	Description
Reflex	0.00	190.00°	-61.00°	Non	
Reflex	4.00	170.20°	-60.60°	Oui	49662
Reflex	7.00	170.40°	-60.70°	Oui	49613
Reflex	10.00	171.60°	-60.50°	Oui	49394
Reflex	13.00	341.80°	-60.50°	Oui	90518
Reflex	16.00	345.80°	-60.90°	Oui	36719
Reflex	19.00	337.10°	-60.10°	Oui	26908
Reflex	22.00	338.80°	-64.20°	Oui	38878
Reflex	25.00	328.90°	-61.10°	Oui	36544
Reflex	28.00	351.90°	-60.70°	Oui	47952
Reflex	31.00	261.30°	-57.80°	Oui	2278
Reflex	34.00	184.10°	-61.20°	Oui	116596

Description

TMN-12-04  
 Pas de core orienteur



Dimension de la carotte : Carotte NQ  
 Cimenté : Non  
 Entrepris : Oui

MAUDORE MINERALS Ltd

AC

Déviation

Type	Profondeur	Azimut	Plongée	Invalide	Description
Reflex	37.00	189.00°	-61.00°	Oui	56040
Reflex	40.00	186.80°	-61.60°	Non	55016
Reflex	43.00	188.30°	-59.80°	Oui	54851
Reflex	46.00	186.40°	-60.70°	Non	54804
Reflex	49.00	186.10°	-60.90°	Non	54597
Reflex	52.00	186.90°	-60.90°	Non	54676
Reflex	55.00	186.60°	-60.80°	Non	54848
Reflex	58.00	185.70°	-60.80°	Non	54690
Reflex	61.00	185.40°	-61.40°	Non	54513
Reflex	64.00	186.40°	-60.80°	Non	54679
Reflex	67.00	186.20°	-60.80°	Non	54545
Reflex	70.00	185.90°	-60.80°	Non	54688
Reflex	73.00	186.30°	-60.70°	Non	54701
Reflex	76.00	183.30°	-66.20°	Oui	54452
Reflex	79.00	189.30°	-59.20°	Oui	54685
Reflex	82.00	187.50°	-60.70°	Non	54651
Reflex	85.00	187.30°	-60.60°	Non	54797
Reflex	88.00	186.20°	-60.50°	Non	54744
Reflex	91.00	185.70°	-60.40°	Non	54618
Reflex	94.00	185.50°	-60.30°	Non	54792
Reflex	97.00	183.20°	-60.80°	Oui	54686
Reflex	100.00	185.70°	-60.00°	Non	54765
Reflex	103.00	186.60°	-59.80°	Non	54610
Reflex	106.00	186.80°	-59.70°	Non	54647
Reflex	109.00	186.70°	-59.70°	Non	54549
Reflex	112.00	187.60°	-59.50°	Non	54719
Reflex	115.00	186.40°	-59.50°	Non	54798
Reflex	118.00	186.50°	-59.50°	Non	54683
Reflex	121.00	186.90°	-59.50°	Non	54470
Reflex	124.00	187.10°	-59.00°	Non	54722
Reflex	127.00	186.80°	-59.20°	Non	54819
Reflex	130.00	185.00°	-59.10°	Oui	54778
Reflex	133.00	187.20°	-59.20°	Non	54729
Reflex	136.00	186.90°	-59.20°	Non	54691

AC

Déviation

Type	Profondeur	Azimet	Plongée	Invalide	Description
Reflex	139.00	187.20°	-59.30°	Non	54656
Reflex	142.00	187.00°	-58.90°	Non	54682
Reflex	145.00	187.00°	-59.30°	Non	54755
Reflex	148.00	187.60°	-59.30°	Non	54799
Reflex	151.00	187.60°	-59.40°	Non	54848
Reflex	154.00	188.20°	-59.40°	Non	54721
Reflex	157.00	188.90°	-59.40°	Non	54638
Reflex	160.00	189.40°	-59.50°	Non	54418
Reflex	163.00	189.90°	-59.50°	Non	54677
Reflex	166.00	190.00°	-59.60°	Non	54396
Reflex	169.00	188.80°	-60.10°	Oui	54707
Reflex	172.00	190.20°	-59.60°	Non	54524
Reflex	175.00	192.80°	-58.00°	Oui	54501
Reflex	178.00	188.90°	-59.60°	Oui	54535
Reflex	181.00	190.40°	-59.70°	Non	54603
Reflex	184.00	189.30°	-60.80°	Oui	54549
Reflex	187.00	190.90°	-59.80°	Non	54655
Reflex	190.00	190.10°	-59.80°	Non	54444
Reflex	193.00	190.70°	-59.90°	Non	54477
Reflex	196.00	190.70°	-59.90°	Non	54630
Reflex	199.00	190.70°	-59.90°	Non	54523
Reflex	202.00	191.00°	-60.00°	Non	54487
Reflex	205.00	189.00°	-62.90°	Oui	54471
Reflex	208.00	191.10°	-60.00°	Non	54511
Reflex	211.00	191.40°	-60.00°	Non	54486
Reflex	214.00	193.90°	-60.10°	Oui	54478
Reflex	217.00	191.70°	-60.10°	Non	54475
Reflex	220.00	191.60°	-60.10°	Non	54448
Reflex	223.00	191.50°	-60.10°	Non	54423
Reflex	226.00	191.80°	-60.10°	Non	54398
Reflex	229.00	191.70°	-60.10°	Non	54366
Reflex	232.00	192.20°	-60.10°	Non	54541
Reflex	235.00	191.60°	-60.10°	Non	54435
Reflex	238.00	191.50°	-60.10°	Non	54376

MAUDORE MINERALS Ltd

Ac

Déviation

Type	Profondeur	Azimut	Plongée	Invalide	Description
Reflex	241.00	191.30°	-60.10°	Non	54317
Reflex	244.00	191.30°	-60.10°	Non	54365
Reflex	247.00	191.20°	-60.10°	Non	54388
Reflex	250.00	191.10°	-60.10°	Non	54423
Reflex	253.00	190.80°	-60.10°	Non	54436
Reflex	256.00	191.00°	-60.10°	Non	54423
Reflex	259.00	191.60°	-60.10°	Non	54411
Reflex	262.00	191.20°	-60.10°	Non	54371
Reflex	265.00	191.30°	-60.10°	Non	54306
Reflex	268.00	191.10°	-60.10°	Non	54235
Reflex	271.00	192.10°	-60.10°	Non	54491
Reflex	274.00	193.00°	-60.00°	Non	53944
Reflex	277.00	189.40°	-60.00°	Oui	56502
Reflex	280.00	191.50°	-60.00°	Oui	58612
Reflex	283.00	190.90°	-60.00°	Oui	54579
Reflex	286.00	199.00°	-59.80°	Oui	54930
Reflex	289.00	196.20°	-59.70°	Non	54154
Reflex	292.00	196.90°	-59.60°	Non	54145
Reflex	295.00	197.30°	-59.50°	Non	54286
Reflex	298.00	197.30°	-59.50°	Non	54463
Reflex	301.00	197.00°	-59.50°	Non	54549
Reflex	304.00	195.70°	-59.40°	Non	54723
Reflex	307.00	196.10°	-59.30°	Non	54517
Reflex	310.00	195.80°	-59.30°	Non	54574
Reflex	313.00	195.20°	-59.20°	Non	54673
Reflex	316.00	195.50°	-59.20°	Non	54646
Reflex	319.00	195.50°	-59.10°	Non	54599
Reflex	322.00	195.20°	-59.10°	Non	54608
Reflex	325.00	195.00°	-59.10°	Non	54558
Reflex	328.00	195.10°	-59.10°	Non	54590
Reflex	331.00	195.00°	-59.00°	Non	54634
Reflex	334.00	195.20°	-59.00°	Non	54559
Reflex	337.00	194.90°	-59.00°	Non	54626
Reflex	340.00	195.20°	-59.00°	Non	54546



MAUDORE MINERALS Ltd

AC

Déviation

Type	Profondeur	Azimet	Plongée	Invalide	Description
Reflex	343.00	195.20°	-59.00°	Non	54549
Reflex	346.00	195.20°	-59.00°	Non	54691
Reflex	349.00	195.60°	-59.00°	Non	54567
Reflex	352.00	195.60°	-59.00°	Non	54643
Reflex	355.00	196.00°	-59.00°	Non	54633
Reflex	358.00	196.20°	-59.00°	Non	54848
Reflex	361.00	195.50°	-59.00°	Non	54926
Reflex	364.00	195.80°	-59.00°	Non	54928
Reflex	367.00	195.90°	-58.70°	Non	54913
Reflex	370.00	195.70°	-59.00°	Non	54875
Reflex	373.00	195.80°	-59.00°	Non	54759
Reflex	376.00	196.60°	-59.00°	Non	54681
Reflex	379.00	196.00°	-58.90°	Non	54581
Reflex	382.00	196.40°	-58.90°	Non	54646
Reflex	385.00	195.70°	-59.00°	Non	55032
Reflex	388.00	196.50°	-59.00°	Non	54869
Reflex	391.00	196.40°	-59.00°	Non	54596
Reflex	394.00	197.00°	-59.10°	Non	54489
Reflex	397.00	195.90°	-58.90°	Non	54641
Reflex	400.00	196.50°	-58.90°	Non	54643
Reflex	403.00	196.50°	-58.90°	Non	54741
Reflex	406.00	196.70°	-58.90°	Non	54631
Reflex	409.00	196.60°	-58.90°	Non	54754
Reflex	412.00	196.60°	-58.90°	Non	55030
Reflex	415.00	196.60°	-58.90°	Non	54772
Reflex	418.00	196.80°	-58.90°	Non	54700
Reflex	421.00	197.00°	-59.00°	Non	54569
Reflex	424.00	197.50°	-59.00°	Non	54783
Reflex	427.00	196.60°	-59.00°	Non	55039
Reflex	430.00	205.50°	-55.30°	Oui	54835
Reflex	433.00	196.90°	-59.00°	Non	54627
Reflex	436.00	196.90°	-59.10°	Non	54663
Reflex	439.00	197.70°	-59.00°	Non	54931
Reflex	442.00	197.90°	-59.00°	Non	54660

MAUDORE MINERALS Ltd

AC

Déviations

Type	Profondeur	Azimut	Plongée	Invalide	Description
Reflex	445.00	198.50°	-59.00°	Non	54786
Reflex	448.00	198.10°	-59.00°	Non	54545
Reflex	451.00	198.20°	-59.00°	Non	54392
Reflex	454.00	198.50°	-59.00°	Non	54532
Reflex	457.00	197.20°	-58.90°	Oui	55042
Reflex	460.00	198.30°	-59.00°	Non	54671
Reflex	463.00	198.40°	-58.80°	Non	54614
Reflex	466.00	198.00°	-58.80°	Non	54619
Reflex	469.00	199.40°	-58.60°	Oui	54662
Reflex	472.00	198.60°	-58.50°	Non	54697
Reflex	475.00	199.90°	-58.40°	Oui	54862
Reflex	478.00	198.50°	-58.30°	Non	54712
Reflex	481.00	198.40°	-58.20°	Non	54631
Reflex	484.00	199.10°	-58.10°	Non	54722
Reflex	487.00	198.90°	-58.10°	Non	54796
Reflex	490.00	198.10°	-57.90°	Non	54772
Reflex	493.00	0.00°	-57.80°	Oui	54776

MAUDORE MINERALS Ltd

AC

Description			Analyse							
			De	À	Numéro	Longueur	Au_Final (g/t)	Ag_Final (ppm)	Cu_Final (ppm)	Zn_Final (ppm)
0.00	30.00	MT Mort Terrain Casing								
30.00	152.60	V2-V3; MAS	34.00	35.50	P299931	1.50	0.010	0.10	44.0	72.0
		<b>Volcanite intermédiaire à mafique; Massif</b>	35.50	36.00	P151562	0.50	0.002	0.10	24.0	56.0
		Volcanite intermédiaire à mafique	36.00	37.50	P299932	1.50	0.010	0.10	34.0	61.0
		Couleur gris sombre-noire								
		Matrice à grains fins à moyens, texture relativement massive (faible orientation ou pas d'orientation des grains constitutifs)								
		Foliation difficilement mesurable, localement forte entre 50-55deg AC marquée par des clastes résiduels ayant résisté à l'altération (ces fantômes sont assez nombreux, témoins de l'origine V2V3; TI de cet intervalle), des veines et veinules de Cb-Hm-Sr.								
		Env. 2-3% de veines ou veinules de Cb-Hm-Sr orientées aléatoirement.								
		Clastes résiduels millimétriques, environ 2-3%, de couleur généralement verdâtre (chlorite), brunâtre (biotite) à rarement blanchâtre-bleuâtre (paragonite)								
		Alternance avec quelques passages de V2V3; TI pluri-centimétriques ne dépassant jamais le mètre à partir de 76m.								
		Altérations :								
		De 30-116.5 : Si forte pervasive et en Vn/Vnl de quartz blanc, Sr moyenne en patchs centimétriques étirés dans le sens de la foliation ("fantômes" de clastes ?), en mouchetage de grains 1-3mm localement fort mais globalement moyen, en bandes centimétriques et pervasive, Hm faible (localement moyenne) en veinules rouges millimétriques à centimétriques irrégulières, Cb faibles en veinules millimétriques de Cc blanche et en patchs centimétriques de Cc blanche et verte étirés dans le sens de la foliation, Chl et Bt faibles en rares clastes (localement moyen à forts dans les passages de tufs à lapillis), Pa localement en traces pervasive et en liserés de micas blancs.								
		De 116.5-120.9 : Matrice plus fine, Si forte pervasive,								

MAUDORE MINERALS Ltd

AC

Description	Analyse							
	De	À	Numéro	Longueur	Au_Final (g/t)	Ag_Final (ppm)	Cu_Final (ppm)	Zn_Final (ppm)
<p>Cb faibles en veinules millimétriques de Cc blanche, Sr faible en mouchetage de grains millimétriques et en patchs centimétriques étirés dans le sens de la foliation ("fantômes" de clastes ?), Pa localement faible pervasive, Chl faible en rares clastes, Hm et Ép en traces en veinules rouges et vertes pistache étroitement associées millimétriques.</p> <p>De 120.9-152.6 : Si forte pervasive et en Vn/Vnl de quartz blanc, Sr moyenne en patchs centimétriques étirés dans le sens de la foliation ("fantômes" de clastes ?), en mouchetage de grains 1-3mm localement fort mais globalement moyen, en bandes centimétriques et pervasive, Hm faible (localement moyenne) en veinules rouges millimétriques à centimétriques irrégulières, Cb faibles en veinules millimétriques de Cc blanche et en patchs centimétriques de Cc blanche et verte étirés dans le sens de la foliation, Chl et Bt faibles en rares clastes (localement moyen à forts dans les passages de tufs à lapilis), Pa localement en traces pervasive et en liserés de micas blancs.</p> <p>Minéralisations : Localement quelques traces de Py en grains disséminés et en veinules associés aux carbonates.</p> <p>Structures : Quelques intervalles fracturés inférieurs au mètre, mais globalement roche peu fracturée.</p> <p>Veines : De 45.5-46 : Veine à Qz-Cb. Non-minéralisée. Contact sup net légèrement ondulant 30deg AC. Contact inf net légèrement ondulant 10deg AC.</p> <p>Contact sup non recoupé Contact inf diffus (apparition des pQz)</p>	30.00	116.50	SIL+; SR; HM-; CB-; Chl-; BO-; PATr					
			Silicification forte; Sérictisation; Hématisation faible; Carbonatation faible;					

MAUDORE MINERALS Ltd

AC

Description	Analyse								
	De	À	Numéro	Longueur	Au_Final (g/t)	Ag_Final (ppm)	Cu_Final (ppm)	Zn_Final (ppm)	
<p>Chloritisation faible; Biotisation faible; Paragonite tr</p> <p>Si forte pervasive et en Vn/Vnl de quartz blanc. Sr moyenne en patchs centimétriques étirés dans le sens de la foliation ("fantômes" de clastes ?), en mouchetage de grains 1-3mm localement fort mais globalement moyen, en bandes centimétriques et pervasive, Hm faible (localement moyenne) en veinules rouges millimétriques à centimétriques irrégulières, Cb faibles en veinules millimétriques de Cc blanche et en patchs centimétriques de Cc blanche et verte étirés dans le sens de la foliation, Chl et Bt faibles en rares clastes (localement moyen à forts dans les passages de tufs à lapillis), Pa localement en traces pervasive et en liserés de micas blancs.</p> <p>VEI;100%;Qz Cb;;;</p> <p><b>Veine 100% Quartz Carbonate</b></p> <p>Veine à Qz-Cb. Non-minéralisée.</p> <p>Contact sup net légèrement ondulant 30deg AC. Contact inf net légèrement ondulant 10deg AC.</p>	45.50	46.00							
	46.00	47.00	P299933	1.00	0.010	0.10	43.0	67.0	
		47.00	48.00	P299934	1.00	0.010	0.10	58.0	65.0
		48.00	49.00	P299936	1.00	0.010	0.10	36.0	58.0
		56.00	57.00	P299938	1.00	0.020	0.10	58.0	68.0
		57.00	58.00	P299939	1.00	0.010	0.10	31.0	59.0
		58.00	59.00	P299940	1.00	0.005	0.10	37.0	55.0
		64.00	65.00	P299941	1.00	0.010	0.10	41.0	70.0
		65.00	65.50	P151563	0.50	0.002	0.10	37.0	59.0
		65.50	67.00	P299942	1.50	0.008	0.10	35.5	61.5
		73.00	74.00	P299943	1.00	0.010	0.10	23.0	66.0
		74.00	75.00	P299944	1.00	0.010	0.10	30.0	65.0
		75.00	76.00	P299945	1.00	0.010	0.10	39.0	60.0
		84.00	85.00	P299946	1.00	0.010	0.10	31.0	66.0
		85.00	86.00	P299947	1.00	0.010	0.10	35.0	51.0
		86.00	87.00	P299949	1.00	0.020	0.10	50.0	56.0
		94.00	95.50	P299950	1.50	0.008	0.10	11.0	51.0
		95.50	96.00	P151564	0.50	0.002	0.10	13.0	49.0

MAUDORE MINERALS Ltd

AC

Description			Analyse							
			De	À	Numéro	Longueur	Au_Final (g/t)	Ag_Final (ppm)	Cu_Final (ppm)	Zn_Final (ppm)
116.50	120.90	SIL+; CB-; SR-; PA-; Chl-; HMtr; EPtr Silicification forte; Carbonatisation faible; Séricitisation faible; Paragonite faible; Chloritisation faible; Hématitisation tr; Épidotisation tr Matrice plus fine, Si forte pervasive, Cb faibles en veinules millimétriques de Cc blanche, Sr faible en mouchetage de grains millimétriques et en patchs centimétriques étirés dans le sens de la foliation ("fantômes" de clastes ?). Pa localement faible pervasive, Chl faible en rares clastes, Hm et Ép en traces en veinules rouges et vertes pistache étroitement associées millimétriques.	96.00	97.50	P299951	1.50	0.005	0.10	43.0	49.0
			106.00	107.00	P299952	1.00	0.005	0.10	28.0	49.0
			107.00	108.00	P299953	1.00	0.010	0.10	57.0	54.0
			108.00	109.00	P299954	1.00	0.005	0.10	43.0	57.0
			119.50	121.00	P299955	1.50	0.010	0.10	86.0	59.0
120.90	152.60	SIL+; SR; HM-; CB-; Chl-; BO-; PAtr Silicification forte; Séricitisation; Hématitisation faible; Carbonatisation faible; Chloritisation faible; Biotitisation faible; Paragonite tr Si forte pervasive et en Vn/Vnl de quartz blanc, Sr moyenne en patchs centimétriques étirés dans le sens de la foliation ("fantômes" de clastes ?), en mouchetage de grains 1-3mm localement fort mais globalement moyen, en bandes centimétriques et pervasive, Hm faible (localement moyenne) en veinules rouges millimétriques à centimétriques irrégulières, Cb faibles en veinules millimétriques de Cc blanche et en patchs centimétriques de Cc blanche et verte étirés dans le sens de la foliation.	121.00	122.50	P299956	1.50	0.005	0.10	66.0	59.0
			122.50	124.00	P299958	1.50	0.005	0.10	33.0	61.0
			124.00	125.50	P299959	1.50	0.005	0.10	35.0	71.0
			125.50	126.00	P151567	0.50	0.002	0.10	25.0	66.0
			126.00	127.50	P299960	1.50	0.005	0.10	24.0	66.0
			137.00	138.00	P299961	1.00	0.005	0.10	55.0	70.0
			138.00	139.00	P299962	1.00	0.005	0.10	33.0	76.0
			139.00	140.00	P299963	1.00	0.005	0.10	18.0	87.0
			150.00	151.00	P299964	1.00	0.005	0.10	27.0	65.0
			151.00	152.00	P299965	1.00	0.005	0.15	52.5	56.0
152.00	153.00	P299966	1.00	0.005	0.10	77.0	74.0			

MAUDORE MINERALS Ltd

AC

Description		Analyse								
		De	À	Numéro	Longueur	Au_Final (g/l)	Ag_Final (ppm)	Cu_Final (ppm)	Zn_Final (ppm)	
152.60	237.80	<p>Chl et Bt faibles en rares clastes (localement moyen à forts dans les passages de tufs à lapillis), Pa localement en traces pervasive et en liserés de micas blancs.</p>								
		V1C; pQz	153.00	154.00	P299967	1.00	0.010	0.20	84.0	65.0
		<b>Rhyodacite; Porphyre de Quartz</b>	154.00	154.50	P299969	0.50	0.005	0.10	63.0	53.0
		Rhyodacite à porphyres de quartz bleus.	154.50	155.00	P299970	0.50	0.005	0.10	11.0	67.0
		Couleur globale allant de gris sombre verdâtre (Chlorite), brunâtre (biotite) à rougeâtre dans plusieurs zones centimétriques à métriques (Hm)	155.00	156.00	P299971	1.00	0.010	0.10	78.0	36.0
		Matrice à grains fins de couleur gris moyen à foncé, verdâtre.	156.00	157.00	P299972	1.00	0.020	0.10	78.0	30.0
		De 10 à 15% de clastes millimétriques à centimétriques étirés dans le sens de la foliation, de couleurs verte (Chlorite), brune (biotite), bleuâtre à blanche (Paragonite).	157.00	157.50	P151568	0.50	0.007	0.20	58.0	44.0
		Globalement 2-3% de veines/veinules de Qz-Cb millimétriques à pluri-centimétriques et 1-2% de veinules d'Hm millimétriques à centimétriques irrégulières.	157.50	158.50	P299973	1.00	0.005	0.10	61.0	54.0
		Foliation moyenne à forte de 50-55deg AC marquée par un rubanement provoqué par l'étirement des clastes de Chl et de Bt, ainsi que par certaines veines/veinules de Cb et Hm également étirées. Ressemble fortement à un V2V3 alternant les passages massifs et tuffacés, mais la présence de pQz bleus infra-millimétriques à millimétriques (env. 2-3%) indique plutôt un V1C.								
		Altérations :								
		De 152.6-158.4 : Si forte pervasive, Cb faibles en veinules millimétriques de Cc blanche, Sr faible en patches centimétriques étirés dans le sens de la foliation ("fantômes" de clastes ?), Bt et Chl faibles en rares clastes, Hm et Ép en traces en veinules rouges et vertes pistache étroitement associées millimétriques, Pa en traces en bandes centimétriques, FK en traces en mouchetage de grains blancs millimétriques (1%).								
		De 158.4-173.6 : Si forte pervasive et en Vn/Vnl de								

AC

Description	Analyse							
	De	À	Numéro	Longueur	Au_Final (g/t)	Ag_Final (ppm)	Cu_Final (ppm)	Zn_Final (ppm)
<p>quartz blanc, ChI moyenne en clastes et pervasive, Cb faibles en veinules millimétriques de Cc blanche et en bandes centimétriques de Cc rose et blanche étirées dans le sens de la foliation, Sr faible en patchs centimétriques étirés dans le sens de la foliation ("fantômes" de clastes ?), Bt faible en rares clastes, Pa faible en bandes centimétriques, Hm et Ép en traces en veinules rouges et vertes pistache étroitement associées millimétriques.</p> <p>De 173.6-237.8 : Si forte pervasive et en Vn/Vnl de quartz blanc, Bt forte en clastes, ChI moyenne en clastes et pervasive, Cb faibles en veinules millimétriques de Cc blanche et en bandes centimétriques de Cc rose et blanche étirées dans le sens de la foliation, Pa faible en bandes centimétriques et localement pervasive, Hm en traces en veinules rouges millimétriques, Sr en traces en patchs centimétriques étirés dans le sens de la foliation ("fantômes" de clastes ?).</p> <p>Minéralisations :</p> <p>De 152.6-193 : Py en traces en grains disséminés infra-millimétriques à millimétriques. Cpy en traces en grains disséminés infra-millimétriques à millimétriques (30%), en alignement de grains infra-millimétriques à millimétriques (60%) et en veinules centimétriques suivant des veinules de Cb (10%). À noter à 189,1m : deux veinules de carbonates minéralisées en Cpy de 2-6mm de large, se recoupant à 90deg l'une de l'autre, d'orientation 35deg et donc 125deg.</p> <p>De 193-237.8 : Py en traces en alignement de grains millimétriques (70%) et en grains disséminés millimétriques (30%). Très localement 0.5%.</p> <p>Structures :</p> <p>De 237.3-237.4 : Faille marquée par de la roche broyée et de la boue de forage.</p> <p>Contact sup diffus (apparition des pQz) Contact inf diffus (disparition des pQz)</p>								



MAUDORE MINERALS Ltd

AC

Description			Analyse							
			De	À	Numéro	Longueur	Au_Final (g/t)	Ag_Final (ppm)	Cu_Final (ppm)	Zn_Final (ppm)
152.60	158.40	<p>SIL+; CB-; SR-; BO-; ChI-; HMtr; EPtr; PAtr; Fktr Silicification forte; Carbonatisation faible; Séricitisation faible; Biotisation faible; Chloritisation faible; Hématitisation tr; Epidotisation tr; Paragonite tr; Feldspath potassique tr Si forte pervasive, Cb faibles en veinules millimétriques de Cc blanche, Sr faible en patchs centimétriques étirés dans le sens de la foliation ("fantômes" de clastes ?), Bt et ChI faibles en rares clastes, Hm et Ép en traces en veinules rouges et vertes pistache étroitement associées millimétriques, Pa en traces en bandes centimétriques, FK en traces en mouchelage de grains blancs millimétriques (1%).</p>								
152.60	193.00	<p>Pytr; Cptr Pyrite tr; Chalcopyrite tr Py en traces en grains disséminés infra-millimétriques à millimétriques. Cpy en traces en grains disséminés infra-millimétriques à millimétriques (30%), en alignement de grains infra-millimétriques à millimétriques (60%) et en veinules centimétriques suivant des veinules de Cb (10%). À noter à 189.1m : deux veinules de carbonates minéralisées en Cpy de 2-6mm de large, se recoupant à 90deg l'une de l'autre, d'orientation 35deg et donc 125deg.</p>								
158.40	173.60	<p>SIL+; ChI; CB-; SR-; BO-; PA-; HMtr; EPtr Silicification forte; Chloritisation; Carbonatisation faible; Séricitisation faible; Biotisation faible; Paragonite faible;</p>	158.50	159.00	P299975	0.50	0.005	0.10	28.5	57.0
			159.00	160.00	P299977	1.00	0.005	0.10	43.0	50.0
			160.00	161.00	P299978	1.00	0.005	0.20	72.0	56.0
			161.00	162.00	P299979	1.00	0.005	0.10	109.0	62.0

MAUDORE MINERALS Ltd

AC

Description	Analyse							
	De	À	Numéro	Longueur	Au_Final (g/t)	Ag_Final (ppm)	Cu_Final (ppm)	Zn_Final (ppm)
Hématisation tr; Épidotisation tr	162.00	163.00	P299980	1.00	0.020	0.10	72.0	42.0
Si forte pervasive et en Vn/Vnl de quartz	163.00	164.00	P299981	1.00	0.020	0.10	77.0	60.0
blanc, Chl moyenne en clastes et	164.00	165.00	P299982	1.00	0.010	0.10	90.0	47.0
pervasives, Cb faibles en veinules	165.00	166.00	P299983	1.00	0.005	0.10	64.0	59.0
millimétriques de Cc blanche et en	166.00	167.00	P299984	1.00	0.005	0.10	15.0	59.0
bandes centimétriques de Cc rose et	167.00	168.00	P299985	1.00	0.005	0.20	23.0	55.0
blanche étirées dans le sens de la	168.00	169.00	P299986	1.00	0.005	0.10	14.0	54.0
foliation, Sr faible en patchs	169.00	170.00	P299987	1.00	0.008	0.10	53.5	49.0
centimétriques étirés dans le sens de la	170.00	171.00	P299988	1.00	0.005	0.10	44.0	50.0
foliation ("fantômes" de clastes ?), Bt	171.00	172.00	P299989	1.00	0.005	0.20	21.0	61.0
faible en rares clastes, Pa faible en	172.00	173.00	P299990	1.00	0.005	0.10	59.0	57.0
bandes centimétriques, Hm et Ép en	173.00	174.50	P299991	1.50	0.005	0.10	46.0	87.0
traces en veinules rouges et vertes								
pistache étroitement associées								
millimétriques.								
173.60 237.80	174.50	175.00	P299992	0.50	0.005	0.10	34.0	100.0
SIL+; BO+; Chl; CB-; PA-; HMtr; SRtr	175.00	175.50	P299994	0.50	0.005	0.10	41.0	106.0
Silicification forte; Biotisation	175.50	177.00	P299995	1.50	0.005	0.10	48.0	96.0
forte; Chloritisation;	177.00	178.00	P299996	1.00	0.005	0.10	59.0	101.0
Carbonatation faible; Paragonite	178.00	179.00	P299997	1.00	0.005	0.10	42.0	84.0
faible; Hématisation tr;	179.00	180.00	P299999	1.00	0.010	0.10	28.0	73.0
Séricitisation tr	180.00	181.00	P300000	1.00	0.005	0.15	35.0	80.5
Si forte pervasive et en Vn/Vnl de quartz	181.00	182.00	P260001	1.00	0.010	0.10	19.0	88.0
blanc, Bt forte en clastes, Chl moyenne	182.00	183.00	P260002	1.00	0.010	0.10	44.0	71.0
en clastes et pervasives, Cb faibles en	183.00	184.00	P260003	1.00	0.005	0.10	41.0	68.0
veinules millimétriques de Cc blanche et	184.00	185.50	P260004	1.50	0.005	0.10	33.0	75.0
en bandes centimétriques de Cc rose et	185.50	186.50	P260005	1.00	0.010	0.10	38.0	87.0
blanche étirées dans le sens de la	186.50	187.00	P151569	0.50	0.002	0.10	26.0	71.0
foliation, Pa faible en bandes	187.00	188.00	P260006	1.00	0.010	0.10	45.0	91.0
centimétriques et localement pervasives,	188.00	188.50	P260008	0.50	0.010	0.10	44.0	90.0
Hm en traces en veinules rouges	188.50	189.00	P260010	0.50	0.020	0.10	60.0	74.0
millimétriques, Sr en traces en patchs	189.00	189.50	P260011	0.50	0.210	2.20	1 005.0	88.0
centimétriques étirés dans le sens de la	189.50	190.50	P260013	1.00	0.010	0.10	38.0	79.0
foliation ("fantômes" de clastes ?).	190.50	191.50	P260014	1.00	0.010	0.10	45.0	122.0
	191.50	192.00	P260015	0.50	0.010	0.10	35.0	79.0

MAUDORE MINERALS Ltd

AC

Description	Analyse							
	De	À	Numéro	Longueur	Au_Final (g/l)	Ag_Final (ppm)	Cu_Final (ppm)	Zn_Final (ppm)
	192.00	193.00	P260016	1.00	0.040	0.10	27.0	92.0
	193.00	194.00	P260017	1.00	0.010	0.10	16.0	79.0
	194.00	195.00	P260018	1.00	0.010	0.10	18.0	78.0
	195.00	196.00	P260019	1.00	0.010	0.10	42.0	76.0
	196.00	197.00	P260020	1.00	0.010	0.10	26.5	74.5
	197.00	197.50	P260021	0.50	0.020	0.10	22.0	81.0
	197.50	198.00	P260022	0.50	0.020	0.10	13.0	98.0
	198.00	199.00	P260023	1.00	0.010	0.10	25.0	68.0
	199.00	200.00	P260024	1.00	0.010	0.10	17.0	65.0
	200.00	201.00	P260025	1.00	0.010	0.10	37.5	84.0
	201.00	202.00	P260026	1.00	0.005	0.10	33.0	87.0
	202.00	203.00	P260027	1.00	0.010	0.10	21.0	87.0
	203.00	204.00	P260028	1.00	0.030	0.10	20.0	85.0
	204.00	204.50	P260030	0.50	0.005	0.10	10.0	88.0
	204.50	205.50	P260032	1.00	0.010	0.10	38.0	88.0
	205.50	206.50	P260033	1.00	0.005	0.10	33.0	87.0
	206.50	207.60	P260034	1.10	0.005	0.10	15.0	87.0
	207.60	208.10	P260035	0.50	0.005	0.10	24.0	77.0
	208.10	209.00	P260037	0.90	0.005	0.10	29.0	74.0
	209.00	210.00	P260038	1.00	0.005	0.10	17.0	71.0
	210.00	211.00	P260039	1.00	0.010	0.10	48.0	76.0
	211.00	212.00	P260040	1.00	0.005	0.10	27.0	75.0
	212.00	213.00	P260041	1.00	0.005	0.10	30.0	58.0
	213.00	214.00	P260042	1.00	0.005	0.10	48.0	56.0
	214.00	215.00	P260043	1.00	0.005	0.40	14.0	72.0
	215.00	216.00	P260044	1.00	0.005	0.10	12.0	88.0
	216.00	217.00	P260045	1.00	0.005	0.10	20.0	78.0
	217.00	217.50	P151582	0.50	0.002	0.10	16.0	84.0
	217.50	218.50	P260046	1.00	0.020	0.10	23.0	73.0
	218.50	220.00	P260047	1.50	0.008	0.10	29.0	69.0
	220.00	221.00	P260048	1.00	0.005	0.10	26.0	76.0
	221.00	222.00	P260049	1.00	0.005	0.10	39.0	147.0
	222.00	223.00	P260050	1.00	0.008	0.10	33.0	206.0

MAUDORE MINERALS Ltd

AC

Description				Analyse							
				De	À	Numéro	Longueur	Au_Final (g/t)	Ag_Final (ppm)	Cu_Final (ppm)	Zn_Final (ppm)
				223.00	224.00	P260051	1.00	0.010	0.10	45.0	122.0
				224.00	225.00	P260052	1.00	0.010	0.10	41.0	79.0
				225.00	226.00	P260053	1.00	0.010	0.10	15.0	169.0
				226.00	227.00	P260054	1.00	0.010	0.10	16.0	188.0
				227.00	228.00	P260055	1.00	0.010	0.30	35.0	146.0
				228.00	228.50	P260056	0.50	0.010	0.10	23.0	115.0
				228.50	229.00	P260057	0.50	0.040	0.20	21.0	75.0
				229.00	230.00	P260059	1.00	0.190	0.20	34.0	75.0
				230.00	231.00	P260060	1.00	0.140	2.50	41.0	284.0
				231.00	232.00	P260061	1.00	0.010	0.10	36.0	72.0
				232.00	233.00	P260062	1.00	0.010	0.10	44.0	55.0
				233.00	234.00	P260064	1.00	0.010	0.10	41.0	58.0
				234.00	235.00	P260065	1.00	0.050	0.40	103.0	171.0
				235.00	236.00	P260066	1.00	0.010	0.20	123.0	80.0
				236.00	237.00	P260067	1.00	0.010	0.10	31.0	68.0
				237.00	238.00	P260068	1.00	0.010	0.20	28.0	98.0
237.80	237.40	FAI									
		Faille									
		Faille marquée par de la roche broyée et de la boue de forage.									
237.80	265.00	V2-V3; T1		240.20	241.70	P260069	1.50	0.010	0.10	73.0	55.0
		Volcanite intermédiaire à mafique; Tuf à lapillis		241.70	242.20	P260070	0.50	0.030	0.30	218.0	53.0
		Volcanite intermédiaire à mafique. Tuf à lapillis.		242.20	243.70	P260072	1.50	0.030	0.20	100.0	67.0
		Couleur globale allant de gris sombre verdâtre		243.70	244.20	P260073	0.50	0.010	0.10	16.0	56.0
		(Chlorite), brunâtre (biotite) à blanchâtre dans		244.20	244.70	P260074	0.50	0.010	0.20	23.0	61.0
		plusieurs zones centimétriques à métriques (Pa)		244.70	245.50	P260075	0.80	0.010	0.10	14.5	68.5
		Matrice à grains fins de couleur gris moyen à foncé, verdâtre.		245.50	247.00	P260076	1.50	0.005	0.10	16.0	73.0
		De 30 à 35% de clastes millimétriques à centimétriques étirés dans le sens de la foliation, de couleurs verte (Chlorite), brune (biotite), bleuâtre à blanche (Paragonite).		247.00	247.50	P151583	0.50	0.012	0.10	79.0	82.0
		Globalement 2-3% de veines/veinules de Qz-Cb millimétriques à pluri-centimétriques et moins de 1% de veinules d'Hm millimétriques irrégulières.		247.50	249.00	P260077	1.50	0.070	0.10	19.0	75.0
		Foliation moyenne de 35-40deg AC marquée par un		249.00	250.50	P260078	1.50	0.010	0.10	51.0	76.0
				250.50	251.00	P260080	0.50	0.090	0.20	95.0	55.0
				251.00	252.00	P260082	1.00	0.040	0.10	206.0	48.0
				261.00	262.00	P260083	1.00	0.010	0.10	29.0	36.0

AC

Description	Analyse							
	De	À	Numéro	Longueur	Au_Final (g/l)	Ag_Final (ppm)	Cu_Final (ppm)	Zn_Final (ppm)
<p>rubanement provoqué par l'éirement des clastes de Chl et de Bt, ainsi que par certaines veines/veinules de Cb et Hm également étirées.</p> <p>Présence de deux zones particulières entre 251.1-251.4 et 253.4-253.9 : couleur franchement verte sombre, carbonatation forte à intense pervasive et en veinules de Cc blanche pluri-centimétriques, non-magnétique ==&gt; ressemble à du I3A</p> <p>Allérations :</p> <p>De 237.8-261.7 : Si forte pervasive et en Vn/Vnl de quartz blanc, Pa faible à moyenne en liserés de micas blancs et pervasive, Chl moyenne en clastes (localement forte dans les zones verte), Cb faibles en veinules et patchs millimétriques de Cc blanche (localement forte pervasive dans les zones vertes), Bt faible en clastes.</p> <p>De 261.7-265 : Si moyenne pervasive, Pa moyenne pervasive et en bandes pluri-centimétriques, Chl faible en clastes, Cb faible en veinules millimétriques de Cc blanche.</p> <p>Minéralisations :</p> <p>Py en traces à 0.5% sur l'ensemble de l'intervalle, sous forme d'alignement de grains millimétriques (60%), de grains disséminés infra-millimétriques à millimétriques (30%) et de petites veinules millimétriques généralement discordants (10%).</p> <p>Contact sup diffus (disparition des pQz) Contact inf diffus (disparition des clastes)</p> <p>237.80 261.70    SiL+; PA-; Chl; CB-; BO- Silicification forte; Paragonite faible; Chloritisation; Carbonatation faible; Biotisation faible</p> <p>Si forte pervasive et en Vn/Vnl de quartz blanc, Pa faible à moyenne en liserés de micas blancs et pervasive, Chl moyenne en clastes (localement forte dans les</p>								

Description			Analyse							
			De	À	Numéro	Longueur	Au_Final (g/t)	Ag_Final (ppm)	Cu_Final (ppm)	Zn_Final (ppm)
		zones verte), Cb faibles en veinules et patchs millimétriques de Cc blanche (localement forte pervasive dans les zones vertes), Bt faible en clastes.								
261.70	265.00	SIL; PA; Chl-; CB- Silicification; Paragonite; Chloritisation faible; Carbonatation faible Si moyenne pervasive, Pa moyenne pervasive et en bandes pluri-centimétriques, Chl faible en clastes, Cb faible en veinules millimétriques de Cc blanche.	262.00	263.00	P260084	1.00	0.005	0.10	37.0	35.0
			263.00	264.00	P260085	1.00	0.010	0.10	30.0	8.0
265.00	268.70	V2-V3; MAS <b>Volcanite intermédiaire à mafique; Massif</b> Volcanite intermédiaire à mafique Couleur gris sombre-noire Matrice à grains fins, texture massive (pas d'orientation des grains constitutifs) Foliation difficilement mesurable, localement faible entre 20-25deg AC marquée par des veines et veinules de Cb-Hm-Sr. Env. 1% de veines ou veinules de Cb-Hm-Sr orientées aléatoirement.  Altérations : Si forte pervasive, Cb en traces en veinules millimétriques de Cc blanche (faibles sur la fin de l'intervalle)  Minéralisations : Py en traces-1 en grains disséminés millimétriques.  Contact sup diffus (disparition des clastes) Contact inf net 45deg AC								
265.00	268.70	SIL+; CB- Silicification forte; Carbonatation faible Si forte pervasive, Cb en traces en	268.00	269.00	P260086	1.00	0.010	0.10	271.0	71.0

MAUDORE MINERALS Ltd

AC

Description			Analyse								
			De	À	Numéro	Longueur	Au_Final (g/t)	Ag_Final (ppm)	Cu_Final (ppm)	Zn_Final (ppm)	
268.70	282.20	<p>veinules millimétriques de Cc blanche (faibles sur la fin de l'intervalle)</p> <p>I3A</p> <p><b>Gabbro</b></p> <p>Gabbro</p> <p>Texture massive avec des grains fins jusqu'à 169.5, puis grenue à grains moyens millimétriques à pluri-mm et passages foliés.</p> <p>Foliation 30-35deg AC (marqués par étirement des grains constitutifs).</p> <p>Roche généralement constituée de nombreux grains d'amphiboles (60-80%) de tailles 1-4mm dans les intervalles les plus grenus</p> <p>Magnétisme généralement fort sur l'ensemble de l'intervalle.</p> <p>Altérations :</p> <p>Cb forts pervasifs et en veinules millimétriques de Cc blanche et rose, Si moyenne pervasive, Chl faible pervasive, Hm en traces en fines veinules rouges millimétriques.</p> <p>Minéralisations :</p> <p>Py en traces en grains disséminés infra-millimétriques.</p> <p>Contact sup net 45deg AC</p> <p>Contact inf net 60deg AC</p>									
	268.70	282.20	<p>CB+; SIL; Chl; HMtr</p> <p><b>Carbonatation forte;</b></p> <p><b>Silicification; Chloritisation faible;</b></p> <p><b>Hématitisation tr</b></p> <p>Cb forts pervasifs et en veinules millimétriques de Cc blanche et rose, Si moyenne pervasive, Chl faible pervasive, Hm en traces en fines veinules rouges millimétriques.</p>	269.00	270.00	P260087	1.00	0.020	0.20	721.0	49.0
				270.00	271.00	P260088	1.00	0.005	0.10	653.0	29.0
				271.00	271.50	P151584	0.50	0.034	0.60	691.0	20.0
				271.50	272.50	P260089	1.00	0.070	0.20	649.0	62.0
				272.50	273.50	P260090	1.00	0.030	0.10	275.0	107.0
				273.50	274.50	P260091	1.00	0.030	0.10	124.0	96.0
				274.50	275.50	P260092	1.00	0.010	0.10	203.0	70.0
				275.50	276.50	P260093	1.00	0.005	0.20	225.0	70.0
				276.50	277.50	P260094	1.00	0.010	0.20	596.0	74.0
				277.50	278.50	P260095	1.00	0.010	0.20	817.0	28.0

AC

Description			Analyse							
			D <sub>e</sub>	À	Numéro	Longueur	Au_Final (g/t)	Ag_Final (ppm)	Cu_Final (ppm)	Zn_Final (ppm)
282.20	307.90	<p>V2-V3; MAS</p> <p><b>Volcanite intermédiaire à mafique; Massif</b></p> <p>Volcanite intermédiaire à mafique</p> <p>Couleur gris sombre-verdâtre-blanchâtre</p> <p>Matrice à grains fins à moyens, texture relativement massive (faible orientation ou pas d'orientation des grains constitutifs)</p> <p>Foliation difficilement mesurable, localement moyenne à forte entre 45-50deg AC marquée par des clastes résiduels ayant résisté à l'altération (ces fantômes sont assez nombreux, témoins de l'origine V2V3; Tl de cet intervalle), des veines et veinules de Cb-Hm-Sr.</p> <p>Env. 4-5% de veines ou veinules de Cb-Sr orientées aléatoirement et moins de 1% de Vnl d'Hm orientées aléatoirement.</p> <p>Clastes résiduels millimétriques, environ 3-4%, de couleur généralement verdâtre (chlorite), brunâtre (biotite) à blanchâtre-bleuâtre (paragonite)</p> <p>Altérations :</p> <p>De 282.2-294.2 : Si moyenne pervasive, Pa moyenne pervasive, Chl faible en clastes résiduels et veinules noires-verdâtres, Cb faibles en veinules millimétriques de Cc blanche.</p> <p>De 294.2-307.9 : Si forte pervasive et en Vn/Vnl de quartz blanc, Chl et Bt faibles en clastes résiduels, Cb faibles en veinules millimétriques de Cc blanche et en patchs centimétriques de Cc blanche étirés dans le sens de la foliation, Hm en traces en veinules rouges millimétriques.</p> <p>Minéralisations :</p> <p>Py en traces à 0.5% en alignements de grains millimétriques (60%) et en grains disséminés millimétriques (40%). Cpy en traces en grains</p>	278.50	279.60	P260096	1.10	0.010	0.40	723.0	27.0
			279.60	280.60	P260097	1.00	0.010	0.20	808.0	7.0
			280.60	281.50	P260099	0.90	0.050	0.30	576.0	28.0
			281.50	282.50	P260100	1.00	0.010	0.15	258.5	57.0



MAUDORE MINERALS Ltd

AC

Description	Analyse							
	De	À	Numéro	Longueur	Au_Final (g/t)	Ag_Final (ppm)	Cu_Final (ppm)	Zn_Final (ppm)
disséminés infra-millimétriques.  Structures : De 288.5-294.7 : Fracturation moyenne à forte avec des blocs anguleux de 0.5-20 mm et des lambeaux de carottes de 3-30cm.  Contact sup net 60deg AC Contact inf diffus (apparition des clastes)								
282.20 294.20 SIL; PA; Chl-; CB- <b>Silicification; Paragonite;</b> <b>Chloritisation faible;</b> <b>Carbonatation faible</b> Si moyenne pervasive, Pa moyenne pervasive, Chl faible en clastes résiduels et veinules noires-verdâtres, Cb faibles en veinules millimétriques de Cc blanche.								
282.20 307.90 Pyr; Cptr <b>Pyrite tr; Chalcopyrite tr</b> Py en traces à 0.5% en alignements de grains millimétriques (60%) et en grains disséminés millimétriques (40%). Cpy en traces en grains disséminés infra-millimétriques.	282.50	284.00	P260101	1.50	0.010	0.10	45.0	43.0
288.50 294.70 FRC+ <b>Fracturation forte</b> Fracturation moyenne à forte avec des blocs anguleux de 0.5-20 mm et des lambeaux de carottes de 3-30cm.								
294.20 307.90 SIL+; CB-; Chl-; BO-; HMr <b>Silicification forte;</b> <b>Carbonatation faible;</b> <b>Chloritisation faible; Biotisation faible; Hématitisation tr</b> Si forte pervasive et en Vn/Vnl de quartz blanc, Chl et Bt faibles en clastes résiduels, Cb faibles en veinules millimétriques de Cc blanche et en patchs centimétriques de Cc blanche	295.00	296.00	P260102	1.00	0.020	0.20	54.0	77.0
	296.00	297.00	P260103	1.00	0.010	0.40	52.0	163.0
	297.00	298.00	P260104	1.00	0.010	0.20	52.0	105.0
	298.00	299.00	P260105	1.00	0.030	0.10	54.0	92.0
	299.00	300.50	P260107	1.50	0.040	0.20	57.0	71.0
	300.50	301.00	P299011	0.50	0.014	0.10	48.0	106.0
	301.00	302.00	P260108	1.00	0.020	0.40	79.0	297.0
	302.00	302.50	P260109	0.50	0.030	0.60	87.0	362.0

Description		Analyse							
		De	À	Numéro	Longueur	Au_Final (g/t)	Ag_Final (ppm)	Cu_Final (ppm)	Zn_Final (ppm)
307.90	331.60	étrés dans le sens de la foliation, Hm en traces en veinules rouges millimétriques.							
		302.50	303.50	P260111	1.00	0.010	0.20	40.0	138.0
		303.50	305.00	P260112	1.50	0.010	0.30	52.0	150.0
		305.00	305.50	P260113	0.50	0.010	0.20	52.0	118.0
		305.50	306.00	P260114	0.50	0.020	0.10	79.0	89.0
		306.00	307.00	P260116	1.00	0.030	0.30	47.0	52.0
		<p>V2-V3; Tl</p> <p><b>Volcanite intermédiaire à mafique; Tuf à lapillis</b></p> <p>Volcanite intermédiaire à mafique. Tuf à lapillis.</p> <p>Couleur globale allant de gris sombre verdâtre (Chlorite), brunâtre (biotite) à blanchâtre dans plusieurs zones centimétriques à métriques (Pa)</p> <p>Matrice à grains fins de couleur gris moyen à foncé, verdâtre.</p> <p>De 35 à 40% de clastes millimétriques à centimétriques éétrés dans le sens de la foliation, de couleurs verte (Chlorite), brune (biotite), bleuâtre à blanche (Paragonite).</p> <p>Globalement 3-4% de veines/veinules de Qz-Cb millimétriques à pluri-centimétriques et moins de 1% de veinules d'Hm millimétriques irrégulières.</p> <p>Foliation moyenne de 40-45deg AC marquée par un rubanement provoqué par l'éétriment des clastes de Chl et de Bt, ainsi que par certaines veines/veinules de Cb et Hm également éétrées.</p> <p>Allérations :</p> <p>Si forte pervasive et en Vn/Vnl de quartz blanc, Chl et Bt forts en clastes, Cb faibles en veinules millimétriques de Cc blanche et en patchs centimétriques de Cc blanche éétrés dans le sens de la foliation, Pa localement faible pervasive (intervalles &lt;1m)</p> <p>Minéralisations :</p> <p>Py 0.5-1% en alignements de grains 1-2mm (80%) et en grains disséminés millimétriques (20%).</p> <p>Veines :</p> <p>De 310-310.5 : Amas de veines (40%) de Qz-Cb.</p>							

MAUDORE MINERALS Ltd

AC

Description	Analyse							
	De	À	Numéro	Longueur	Au_Final (g/t)	Ag_Final (ppm)	Cu_Final (ppm)	Zn_Final (ppm)
Traces de Py aux contacts entre V2V3; MAS et veines en grains disséminés millimétriques. Contact sup net 55deg AC. Contact inf net 35deg AC.								
Contact sup diffus (apparition des clastes) Contact inf net concordant 40deg AC.								
307.90 331.60 SIL+; Chl+; BO+; CB-; PA- <b>Silicification forte; Chloritisation forte; Biotisation forte; Carbonatation faible; Paragonite faible</b> Si forte pervasive et en Vn/Vnl de quartz blanc, Chl et Bt forts en clastes, Cb faibles en veinules millimétriques de Cc blanche et en patches centimétriques de Cc blanche étirés dans le sens de la foliation, Pa localement faible pervasive (intervalles <1m)								
307.90 331.60 Py00.5 <b>Pyrite 0.5%</b> Py 0.5-1% en alignements de grains 1-2mm (80%) et en grains disséminés millimétriques (20%).								
310.00 310.50 AMA;40%;Qz Cb;;Pytr; <b>Amas 40% Quartz Carbonate Pyrite tr</b> Amas de veines (40%) de Qz-Cb. Traces de Py aux contacts entre V2V3; MAS et veines en grains disséminés millimétriques. Contact sup net 55deg AC. Contact inf net 35deg AC.	312.50	313.50	P260117	1.00	0.090	0.20	33.0	61.0
	313.50	314.00	P260118	0.50	0.150	0.20	42.0	110.0
	314.00	315.50	P260119	1.50	0.060	0.40	58.5	88.5
	315.50	316.00	P260120	0.50	0.070	0.20	80.0	91.0
	316.00	317.00	P260121	1.00	0.020	0.10	53.0	101.0
	317.00	318.00	P260122	1.00	0.020	0.10	52.0	140.0
	318.00	318.50	P260123	0.50	0.030	0.30	67.0	128.0
	318.50	319.00	P260124	0.50	0.030	0.40	74.0	138.0
	319.00	320.00	P260125	1.00	0.025	0.20	37.0	111.0
	320.00	321.00	P260126	1.00	0.020	0.30	45.0	109.0
	326.50	328.00	P260127	1.50	0.110	0.30	52.0	208.0
	328.00	329.00	P260128	1.00	0.010	0.10	26.0	89.0
	329.00	330.50	P260129	1.50	0.010	0.10	29.0	101.0
	330.50	331.00	P299012	0.50	0.010	0.10	18.0	264.0

MAUDORE MINERALS Ltd

AC

Description			Analyse							
			De	À	Numéro	Longueur	Au_Final (g/t)	Ag_Final (ppm)	Cu_Final (ppm)	Zn_Final (ppm)
331.60	378.70	<p>V2-V3; MAS</p> <p>Volcanite intermédiaire à mafique; Massif</p> <p>Volcanite intermédiaire à mafique</p> <p>Couleur gris sombre-noire</p> <p>Matrice à grains fins à moyens, texture relativement massive (faible orientation ou pas d'orientation des grains constitutifs)</p> <p>Foliation difficilement mesurable, localement moyenne à forte entre 45-50deg AC marquée par des clastes résiduels ayant résisté à l'altération (ces fantômes sont assez nombreux, témoins de l'origine V2V3; TI de cet intervalle), des veines et veinules de Cb-Hm-Sr.</p> <p>Env. 2-3% de veines ou veinules de Cb-Sr orientées aléatoirement et 1% de Vnl d'Hm orientées aléatoirement.</p> <p>Clastes résiduels millimétriques, environ 3-4%, de couleur généralement verdâtre (chlorite), brunâtre (biotite) à blanchâtre-bleuâtre (paragonite)</p> <p>Altérations :</p> <p>Si forte pervasive et en Vn/Vnl de quartz blanc, Sr moyenne en patchs centimétriques étirés dans le sens de la foliation formant des "fantômes" de clastes (origine V2V3; TI de la roche), Chl et Bt faibles en clastes résiduels, Cb faibles en veinules millimétriques de Cc blanche et en patchs centimétriques de Cc blanche étirés dans le sens de la foliation, Ab faible en mouchetage de grains beiges-verdâtres 1-3mm (env. 10-15% localement), Hm en traces en veinules rouges millimétriques.</p> <p>Minéralisations :</p> <p>Py en traces-1 à traces, sauf :</p> <p>De 331.6-345 : Py en traces à 0.5% en bandes millimétriques à centimétriques (40%), en alignement de grains millimétriques (40%), en grains disséminés millimétriques (10%) et en veinules millimétriques (10%).</p> <p>De 375.6-378.7 : Py 1-2% en grains disséminés</p>	331.00	332.00	P260130	1.00	0.010	0.10	42.0	142.0

MAUDORE MINERALS Ltd

AC

Description	Analyse									
	De	À	Numéro	Longueur	Au_Final (g/t)	Ag_Final (ppm)	Cu_Final (ppm)	Zn_Final (ppm)		
<p>infra-millimétriques à millimétriques (70%) et en alignements de grains infra-millimétriques à millimétriques (30%).</p> <p>Excepté : De 334.2-338.7 : I2; pFpAm</p> <p>Contact sup net concordant 40deg AC Contact inf net 60deg AC.</p>										
331.60	378.70	SIL+; SR; Chl-; BO-; CB-; AB-; HMtr	332.00	333.00	P260131	1.00	0.010	0.10	49.0	199.0
		Silicification forte; Séricitisation; Chloritisation faible; Biolitisation faible; Carbonatation faible; Albitisation faible; Hématitisation tr	333.00	334.00	P260133	1.00	0.010	0.10	47.0	291.0
		Si forte pervasive et en Vn/Vnl de quartz blanc, Sr moyenne en patchs centimétriques étirés dans le sens de la foliation formant des "fantômes" de clastes (origine V2V3; TI de la roche), Chl et Bt faibles en clastes résiduels, Cb faibles en veinules millimétriques de Cc blanche et en patchs centimétriques de Cc blanche étirés dans le sens de la foliation, Ab faible en mouchetage de grains beiges-verdâtres 1-3mm (env. 10-15% localement), Hm en traces en veinules rouges millimétriques.								
331.60	345.00	Excepté : De 334.2-338.7 : I2; pFpAm Pyr Pyrite tr Py en traces à 0.5% en bandes millimétriques à centimétriques (40%), en alignement de grains millimétriques (40%), en grains disséminés millimétriques (10%) et en veinules millimétriques (10%).  Excepté : De 334.2-338.7 : I2; pFpAm								

MAUDORE MINERALS Ltd

AC

Description			Analyse							
			De	À	Numéro	Longueur	Au_Final (g/t)	Ag_Final (ppm)	Cu_Final (ppm)	Zn_Final (ppm)
334.20	338.70	I2; pFpAm	342.00	343.00	P260134	1.00	0.010	0.10	51.0	88.0
		Intrusion intermédiaire; Porphyre de	343.00	344.00	P260135	1.00	0.010	0.10	41.0	78.0
		Feldspath et Amphibole	344.00	345.00	P260136	1.00	0.005	0.10	12.0	84.0
		Intrusion intermédiaire à porphyres de Fp et	353.50	355.00	P260137	1.50	0.005	0.10	1.0	77.0
		d'Am.	355.00	355.50	P260138	0.50	0.005	0.10	7.0	64.0
		Couleur grise souris	355.50	357.00	P260140	1.50	0.005	0.10	3.0	67.0
		Matrice à grains fins	357.00	358.00	P260141	1.00	0.005	0.10	2.0	68.0
		Mouchetage de pFp blancs-beiges	358.00	359.00	P260142	1.00	0.005	0.10	2.0	61.0
		subautomorphes, environ 15-20%, de tailles	359.00	360.50	P260143	1.50	0.005	0.10	2.0	66.0
		1-4mm	360.50	361.00	P299013	0.50	0.002	0.10	5.0	71.0
		pAm faibles (2-3%) en petites baguettes noires	361.00	362.50	P260144	1.50	0.005	0.10	16.0	61.0
		infra-millimétriques alignées dans le sens de la	372.00	373.00	P260145	1.00	0.005	0.10	10.0	65.0
		foliation.	373.00	374.00	P260146	1.00	0.005	0.10	2.0	74.0
		Cb en traces en fines veinules	374.00	375.00	P260147	1.00	0.010	0.10	4.0	64.0
infra-millimétriques de Cc blanche.	375.00	376.00	P260148	1.00	0.005	0.10	3.0	66.0		
Si forte pervasive et en Vn/Vnl de quartz blanc.										
Traces de Py en grains fins infra-millimétriques										
disséminés (30%) et en alignements de grains										
infra-millimétriques (70%)										
Contact sup et inf nets légèrement ondulants										
env. 35deg AC.										
375.60	378.70	Py02	376.00	376.50	P260150	0.50	0.010	0.10	3.0	64.5
		Pyrite 2%	376.50	377.00	P260151	0.50	0.020	0.10	3.0	65.0
		Py 1-2% en grains disséminés	377.00	377.50	P260152	0.50	0.020	0.40	7.0	85.0
		infra-millimétriques à millimétriques (70%)	377.50	378.00	P260153	0.50	0.020	0.80	13.0	1 125.0
et en alignements de grains	378.00	379.00	P260155	1.00	0.005	0.10	26.0	145.0		
infra-millimétriques à millimétriques										
(30%).										
378.70	381.80	V1C; pQz								
Rhyodacite; Porphyre de Quartz										
Rhyodacite à porphyres de quartz bleus.										
Couleur globale gris sombre-noire										
Matrice à grains fins de couleur gris moyen à foncé.										
Moins de 5% de clastes millimétriques à										
centimétriques étirés dans le sens de la foliation, de										
couleurs verte (Chlorite), brune (biotite), bleuâtre à										
blanche (Paragonite).										
Globalement 4-5% de veines/veinules de Qz-Cb										
millimétriques à pluri-centimétriques et moins de 1%										

AC

Description	Analyse									
	De	À	Numéro	Longueur	Au_Final (g/t)	Ag_Final (ppm)	Cu_Final (ppm)	Zn_Final (ppm)		
<p>de veinules d'Hm millimétriques irrégulières. Foliation difficilement mesurable, localement moyenne à forte entre 45-50deg AC marquée par des clastes résiduels ayant résisté à l'altération (ces fantômes sont assez nombreux, témoins de l'origine V2V3; TI de cet intervalle), des veines et veinules de Cb-Hm-Sr. Ressemble fortement à un V2V3; MAS, mais la présence de pQz bleus infra-millimétriques à millimétriques (env. 1-2%) indique plutôt un V1C.</p> <p>Altérations :</p> <p>Si forte pervasive et en Vn/Vnl de quartz blanc, Ab moyenne en mouchetage de grains blancs millimétriques (env. 20-25%), Cb faibles en veinules et bandes millimétriques à centimétriques de Cc blanche, Sr faible en bandes millimétriques et en patchs centimétriques étirés dans le sens de la foliation formant des "fantômes" de clastes (origine V2V3; TI de la roche), Hm en traces en veinules rouges millimétriques, Ép en traces en veinules vertes pistaches millimétriques.</p> <p>Minéralisations :</p> <p>Py en traces-1 en grains disséminés infra-millimétriques.</p> <p>Contact sup net 60deg AC Contact inf net 40deg AC</p>										
378.70	381.80	SIL+; AB; CB-; SR-; HMtr; EPtr	379.00	380.50	P260156	1.50	0.005	0.10	21.0	60.0
		Silicification forte; Albisation;	360.50	381.00	P299014	0.50	0.005	0.10	35.0	60.0
		Carbonatation faible;	381.00	382.00	P260157	1.00	0.005	0.10	35.0	65.0
		Séricitisation faible; Hématitisation tr; Epidotisation tr								
		Si forte pervasive et en Vn/Vnl de quartz blanc, Ab moyenne en mouchetage de grains blancs millimétriques (env. 20-25%), Cb faibles en veinules et bandes millimétriques à centimétriques de Cc blanche, Sr faible en bandes millimétriques et en patchs								

Description		Analyse						
		Dé	À	Numéro	Longueur	Au_Final (g/t)	Ag_Final (ppm)	Cu_Final (ppm)
381.80	506.00	<p>centimétriques étirés dans le sens de la foliation formant des "fantômes" de clastes (origine V2V3; T1 de la roche). Hm en traces en veinules rouges millimétriques, Ép en traces en veinules vertes pistaches millimétriques.</p> <p>V2-V3; MAS  <b>Volcanite intermédiaire à mafique; Massif</b>                      Volcanite intermédiaire à mafique                      Couleur gris sombre-noire                      Matrice à grains fins à moyens, texture relativement massive (faible orientation ou pas d'orientation des grains constitutifs)                      Foliation difficilement mesurable, localement moyenne entre 40-45deg AC marquée par des clastes résiduels ayant résisté à l'altération (ces fantômes sont assez nombreux, témoins de l'origine V2V3; T1 de cet intervalle), des veines et veinules de Cb-Hm-Sr.                      Env. 2-3% de veines ou veinules de Cb-Sr orientées aléatoirement et 1% de Vnl d'Hm orientées aléatoirement.                      Clastes résiduels millimétriques, environ 3-4%, de couleur généralement verdâtre (chlorite), brunâtre (biotite) à blanchâtre-bleuâtre (paragonite)                      Nombreuses petites intrusions inférieures à 10cm d'aplite et pegmatite.</p> <p>Altérations :</p> Si intense pervasive et en Vn/Vnl de quartz blanc, Sr faible à moyenne en patchs centimétriques étirés dans le sens de la foliation formant des "fantômes" de clastes (origine V2V3; T1 de la roche), Chl et Bt faibles en clastes résiduels, Cb faibles en veinules millimétriques de Cc blanche et en patchs centimétriques de Cc blanche étirés dans le sens de la foliation, Pa localement faible à moyenne (passage de V1C décimétriques ?), Hm en traces en veinules rouges millimétriques, Ép en traces en veinules vertes pistaches millimétriques.						



A

Description	Analyse							
	De	À	Numéro	Longueur	Au_Final (g/l)	Ag_Final (ppm)	Cu_Final (ppm)	Zn_Final (ppm)
<p>Minéralisations :</p> <p>De 381.8-457.6 : Py en traces à 0.5% en grains disséminés 1-2mm (60%) et en alignements de grains 1-2 mm (40%) avec quelques passages remarquables (notamment une veine de 2-3cm de Py semi-massive à 432.8m, orientée 30deg AC).</p> <p>De 457.6-493.9 : Py en traces à 1% en alignement de grains subautomorphes à automorphes 1-3mm (45%), en grains disséminés subautomorphes à automorphes 1-5mm (30%), en amas de grains subautomorphes à automorphes 0.1-1cm (20%) et en veinules millimétriques (5%). Cpy en traces en grains disséminés millimétriques (60%) et en alignements de grains 1-3mm associés aux alignements de Py (40%).</p> <p>De 493.9-497.6 : Py 4-10% en alignements de grains 1-4mm (30%), en grains disséminés 1-3mm (30%) et en veines/veinules millimétriques à pluri-centimétriques (40%, avec notamment une veine de Py semi-massive de 4-5cm à 495.2, orientée 20deg AC). Cpy en traces en grains disséminés millimétriques.</p> <p>De 497.6-506 : Py 0.5-2% en grains disséminés subautomorphes à automorphes 1-4mm (60%) et en alignements de grains 1-3mm (40%). Cpy en traces en grains disséminés millimétriques.</p> <p>Excepté :</p> <p>De 406.2-409 : I3; FIN</p> <p>De 421-423.6 : I3; FIN</p> <p>De 423.6-424 : I1G</p> <p>De 453.4-454 : I1G</p> <p>De 454.5-454.9 : I1G</p> <p>De 481.7-482.7 : I2; pFpAm</p> <p>Structures :</p> <p>De 474.7-474.8 : Faille marquée par de la boue de forage et de la roche broyée.</p> <p>Veines :</p> <p>De 411-411.4 : Amas de veines 60% de Qz-Cb.</p>								

MAUDORE MINERALS Ltd

AC

Description	Analyse							
	De	À	Numéro	Longueur	Au_Final (g/t)	Ag_Final (ppm)	Cu_Final (ppm)	Zn_Final (ppm)
Traces de Py en grains infra-millimétriques disséminés aux bordures des veines. Contact sup net légèrement ondulant 30deg AC. Contact inf net 35deg AC.								
Contact sup net 40deg AC Contact inf non recoupé								
Fin du trou								
381.80 506.00	SIL++; SR-; Chl-; BO-; CB-; PA-; HMtr; EPlr	382.00 383.00	P260159	1.00	0.010	0.10	24.0	71.0
	Silicification Intense; Séricitisation faible; Chloritisation faible;	393.00 394.00	P260160	1.00	0.005	0.20	24.0	62.0
	Biotisation faible; Carbonatation faible; Paragonite faible;	394.00 394.50	P260161	0.50	0.020	0.30	43.0	48.0
	Hématitisation tr; Épidotisation tr	394.50 395.50	P260162	1.00	0.010	0.10	27.0	53.0
	Si intense pervasive et en Vn/Vnl de quartz blanc, Sr faible à moyenne en patchs centimétriques étirés dans le sens de la foliation formant des "fantômes" de clastes (origine V2V3; Tl de la roche), Chl et Bt faibles en clastes résiduels, Cb faibles en veinules millimétriques de Cc blanche et en patchs centimétriques de Cc blanche étirés dans le sens de la foliation, Pa localement faible à moyenne (passage de V1C décimétriques ?), Hm en traces en veinules rouges millimétriques, Ép en traces en veinules vertes pistaches millimétriques.	395.50 396.60	P260163	1.10	0.030	0.10	24.0	52.0
	Excepté :	396.60 397.60	P260164	1.00	0.010	0.10	27.0	55.0
	De 406.2-409 : I3; FIN	403.00 404.00	P260165	1.00	0.005	0.10	38.0	62.0
	De 421-423.6 : I3; FIN	404.00 405.00	P260166	1.00	0.005	0.15	23.0	47.5
	De 423.6-424 : I1G	405.00 406.00	P260167	1.00	0.030	0.10	16.0	59.0
	De 453.4-454 : I1G							
	De 454.5-454.9 : I1G							
	De 481.7-482.7 : I2; pFpAm							
381.80 457.60	Pytr Pyrite tr							

MAUDORE MINERALS Ltd

AC

Description			Analyse							
			De	À	Numéro	Longueur	Au_Final (g/t)	Ag_Final (ppm)	Cu_Final (ppm)	Zn_Final (ppm)
406.20	409.00	<p>Py en traces à 0.5% en grains disséminés 1-2mm (60%) et en alignements de grains 1-2 mm (40%) avec quelques passages remarquables (notamment une veine de 2-3cm de Py semi-massive à 432.8m, orientée 30deg AC).</p> <p>Excepté : De 406.2-409 : I3; FIN De 421-423.6 : I3; FIN De 423.6-424 : I1G</p> <p>I3; FIN</p> <p><b>Intrusion mafique; Grains fins</b> Intrusion mafique à grains fins, de couleur grise-noire-rougeâtre Matrice fine microgrenue Nombreux pAm en baguettes noires infra-mm Recoupé par quelques veines de pagmalite 1-3cm. Présence de quelques pFp roses 1-3mm (environ 2-3%) probablement relié aux veinules pegmatitiques. Veinules de calcite (blanche) mm en traces Hématisation faible en veinules rouges millimétriques et pervasive. Chlorite (mouchetage et pervasive) forte et baguettes d'amphiboles. Si forte pervasive</p> <p>Py en traces en grains disséminés infra-mm.</p> <p>Contact sup relativement net 30deg AC Contact inf net discordant 65deg AC</p>	410.50	411.50	P260168	1.00	0.005	0.10	10.0	34.0
411.00	411.40	<p>AMA;60%;Qz Cb;35%;Pyr;</p> <p><b>Amas 60% Quartz Carbonate 35*</b></p> <p><b>Pyrite tr</b></p> <p>Amas de veines 60% de Qz-Cb. Traces de Py en grains infra-millimétriques disséminés aux bordures des veines.</p>	411.50	412.00	P299015	0.50	0.009	0.10	39.0	40.0
			412.00	413.00	P260169	1.00	0.020	0.20	46.0	44.0
			413.00	413.50	P260170	0.50	0.010	0.10	21.0	41.0
			413.50	414.50	P260172	1.00	0.010	0.10	15.0	42.0

MAUDORE MINERALS Ltd

AC

Description		Analyse							
		De	À	Numéro	Longueur	Au_Final (g/t)	Ag_Final (ppm)	Cu_Final (ppm)	Zn_Final (ppm)
421.00	423.60	Contact sup net légèrement ondulant 30deg AC. Contact inf net 35deg AC.  I3; FIN <b>Intrusion mafique; Grains fins 15°</b> Intrusion mafique à grains fins, de couleur grise-noire-rougeâtre Matrice fine microgrenue Nombreux pAm en baguettes noires infra-mm Veinules de calcite (blanche) mm en traces Hémathisation faible en veinules rouges millimétriques et pervasive. Chlorite (mouchetage et pervasive) forte et baguettes d'amphiboles. Si forte pervasive Ép en traces en veinules vertes pistaches millimétriques associées à l'Hm et à la Cc.  Py en traces en grains disséminés infra-mm à millimétriques.  Contact sup net fracturé env. 15deg AC. Contact inf net 15deg AC							
423.60	424.00	424.00	425.00	P260173	1.00	0.010	0.10	37.0	47.0
		425.00	425.90	P260174	0.90	0.020	0.20	79.0	44.0
		425.90	426.40	P260175	0.50	0.020	0.20	25.5	42.0
		426.40	427.40	P260176	1.00	0.020	0.10	131.0	62.0
		427.40	428.40	P260177	1.00	0.020	0.10	50.0	49.0
		428.40	429.40	P260178	1.00	0.030	0.20	30.0	53.0
		431.50	432.50	P260180	1.00	0.010	0.20	9.0	44.0
		432.50	433.00	P260181	0.50	0.240	1.30	219.0	73.0
		433.00	434.00	P260182	1.00	0.020	0.10	75.0	52.0
		434.00	435.00	P260183	1.00	0.010	0.10	57.0	58.0
		440.00	441.50	P260184	1.50	0.020	0.10	9.0	51.0
		441.50	442.00	P299022	0.50	0.027	0.10	10.0	54.0
		442.00	443.50	P260185	1.50	0.030	0.10	6.0	53.0
453.40	454.00	I1G <b>Pegmatite</b> Pegmatite							

MAUDORE MINERALS Ltd

A

Description		Analyse								
		De	À	Numéro	Longueur	Au_Final (g/t)	Ag_Final (ppm)	Cu_Final (ppm)	Zn_Final (ppm)	
454.50	454.90	11G	455.00	456.00	P260186	1.00	0.005	0.10	3.0	58.0
		<b>Pegmatite 45*</b>	456.00	457.00	P260187	1.00	0.050	0.25	61.0	57.5
		Pegmatite	457.00	458.00	P260188	1.00	0.270	1.70	702.0	75.0
457.60	493.90	Py00.5; Cplr	458.00	458.50	P260189	0.50	0.130	1.60	500.0	144.0
		<b>Pyrite 0.5%; Chalcopyrite tr</b>	458.50	460.00	P260191	1.50	0.130	0.40	95.0	55.0
		Py en traces à 1% en alignement de grains subautomorphes à automorphes 1-3mm (45%), en grains disséminés subautomorphes à automorphes 1-5mm (30%), en amas de	460.00	461.00	P260192	1.00	0.030	0.10	13.0	53.0
			461.00	462.00	P260193	1.00	0.030	0.10	12.0	52.0
			462.00	463.00	P260194	1.00	0.050	0.10	15.0	54.0

MAUDORE MINERALS Ltd

AC

Description	Analyse							
	De	À	Numéro	Longueur	Au_Final (g/t)	Ag_Final (ppm)	Cu_Final (ppm)	Zn_Final (ppm)
grains subautomorphes à automorphes	463.00	464.00	P260195	1.00	0.100	0.40	123.0	54.0
0.1-1cm (20%) et en veinules	464.00	465.00	P260196	1.00	0.120	0.30	166.0	43.0
millimétriques (5%). Cpy en traces en	465.00	466.00	P260197	1.00	0.020	0.20	16.0	40.0
grains disséminés millimétriques (60%) et	466.00	467.00	P260199	1.00	0.030	0.30	36.0	45.0
en alignements de grains 1-3mm	467.00	468.00	P260200	1.00	0.080	0.25	82.0	53.0
associés aux alignements de Py (40%).	468.00	469.00	P260201	1.00	0.120	0.30	117.0	50.0
Excepté :	469.00	469.50	P260202	0.50	0.130	0.10	177.0	49.0
De 453.4-454 : I1G	469.50	471.00	P260204	1.50	0.070	0.20	140.0	52.0
De 454.5-454.9 : I1G	471.00	472.00	P260205	1.00	0.060	0.10	227.0	48.0
De 481.7-482.7 : I2; pFpAm	472.00	472.50	P299023	0.50	0.051	0.10	78.0	43.0
	472.50	474.00	P260206	1.50	0.070	0.10	158.0	35.0
	474.00	475.00	P260207	1.00	0.130	0.10	144.0	56.0
474.70 474.80 FAI	475.00	476.10	P260209	1.10	0.150	0.20	41.0	43.0
Faïlle	476.10	476.60	P260210	0.50	0.965	0.30	116.0	36.0
Faïlle marquée par de la boue de forage	476.60	478.00	P260211	1.40	0.098	0.25	118.5	50.5
et de la roche broyée.	478.00	478.50	P260212	0.50	0.020	0.10	46.0	38.0
	478.50	479.50	P260213	1.00	0.050	0.10	82.0	39.0
	479.50	480.50	P260214	1.00	0.050	0.10	67.0	39.0
	480.50	481.50	P260215	1.00	0.030	0.10	35.0	49.0
481.70 482.70 I2; pFpAm	482.60	483.50	P260216	0.90	0.030	0.10	75.0	48.0
Intrusion Intermédiaire; Porphyre de	483.50	484.00	P260217	0.50	0.150	0.40	388.0	38.0
Feldspath et Amphibole 40*	484.00	485.00	P260219	1.00	0.010	0.10	57.0	41.0
Intrusion intermédiaire à porphyres de Fp et	485.00	486.00	P260220	1.00	0.030	0.10	28.0	39.0
d'Am.	486.00	487.00	P260221	1.00	0.030	0.10	38.0	42.0
Couleur grise-brune à verdâtre	487.00	488.00	P260222	1.00	0.050	0.20	47.0	38.0
Matrice à grains fins	488.00	489.00	P260223	1.00	0.040	0.10	32.0	36.0
pFp presque oblitérés par l'altération, reste	489.00	490.00	P260224	1.00	0.050	0.10	52.0	38.0
quelques fantômes pluri-millimétriques,	490.00	491.00	P260225	1.00	0.090	0.40	176.5	38.0
beiges-roses.	491.00	492.00	P260226	1.00	0.005	0.10	42.0	83.0
pAm moyens (10-15%) en baguettes noires	492.00	493.00	P260227	1.00	0.010	0.10	35.0	71.0
infra-millimétriques à centimétriques alignées	493.00	493.90	P260228	0.90	0.005	0.10	36.0	71.0
dans le sens de la foliation.								
Cb en traces en fines veinules								
infra-millimétriques de Cc blanche.								
Hm en traces en fines veinules rouges								
millimétriques.								
Si forte pervasive.								

MAUDORE MINERALS Ltd

AC

Description	Analyse									
	De	À	Numéro	Longueur	Au_Final (g/t)	Ag_Final (ppm)	Cu_Final (ppm)	Zn_Final (ppm)		
Pas de minéralisations										
Contact sup et inf nets discordants 40deg AC.										
493.90	497.60	Py08; Cptr	493.90	494.40	P260229	0.50	0.005	0.20	54.0	70.0
		<b>Pyrite 8%; Chalcopyrite tr</b>	494.40	494.90	P260231	0.50	0.005	0.20	162.0	26.0
		Py 4-10% en alignements de grains	494.90	495.40	P260230	0.50	0.005	0.10	31.0	68.0
		1-4mm (30%), en grains disséminés	495.40	495.90	P260233	0.50	0.005	0.10	22.0	67.0
		1-3mm (30%) et en veines/veinules	495.90	496.40	P260234	0.50	0.005	0.20	39.0	73.0
		millimétriques à pluri-centimétriques	496.40	496.90	P260235	0.50	0.010	0.30	32.0	34.0
		(40%, avec notamment une veine de Py	496.90	497.40	P260236	0.50	0.005	0.30	37.0	68.0
		semi-massive de 4-5cm à 495.2, orientée	497.40	497.90	P260237	0.50	0.005	0.10	29.0	49.0
		20deg AC). Cpy en traces en grains								
		disséminés millimétriques.								
497.60	506.00	Py01; Cptr	497.90	498.40	P260239	0.50	0.005	0.10	37.0	66.0
		<b>Pyrite 1%; Chalcopyrite tr</b>	498.40	498.90	P260241	0.50	0.005	0.10	55.0	59.0
		Py 0.5-2% en grains disséminés	498.90	499.90	P260242	1.00	0.010	0.10	79.0	82.0
		subautomorphes à automorphes 1-4mm	499.90	501.00	P260243	1.10	0.008	0.10	24.0	57.0
		(60%) et en alignements de grains	501.00	502.00	P260244	1.00	0.005	0.10	41.0	66.0
		1-3mm (40%), Cpy en traces en grains	502.00	502.70	P260245	0.70	0.008	0.10	36.0	61.0
		disséminés millimétriques.	502.70	503.20	P299024	0.50	3.040	0.10	13.0	39.0
			503.20	504.00	P260246	0.80	0.005	0.10	35.0	68.0
			504.00	504.50	P260247	0.50	0.005	0.20	41.0	68.0
			504.50	505.00	P260248	0.50	0.010	0.70	40.0	64.0
			505.00	505.50	P260249	0.50	0.005	0.10	37.0	67.0
			505.50	506.00	P260250	0.50	0.005	0.10	50.5	66.0
506.00	Fin du sondage									
	Nombre d'échantillons : 298									
	Nombre d'échantillons QAQC : 39									
	Longueur totale échantillonnée : 279.70									

MAUDORE MINERALS Ltd

AK

QAQC

De	À	Numéro	Référence	Longueur	Au (g/t)	Ag (ppm)	Cu (ppm)	Zn (ppm)
0.00	0.00	P260149	SQ48	0.00	27.90	1.0	67	98
0.00	0.00	P299968	Blank	0.00	-0.01	-0.2	12	21
0.00	0.00	P260009	Blank	0.00	-0.01	-0.2	14	29
0.00	0.00	P299998	SQ48	0.00	29.70	1.1	63	87
0.00	0.00	P299993	Blank	0.00	-0.01	-0.2	11	20
0.00	0.00	P299974	SK62	0.00	3.75	1.2	97	107
0.00	0.00	P260031	Blank	0.00	-0.01	-0.2	11	22
0.00	0.00	P260154	Blank	0.00	-0.01	-0.2	13	26
0.00	0.00	P260012	SH55	0.00	1.38	0.6	116	85
0.00	0.00	P260139	Blank	0.00	-0.01	-0.2	18	42
0.00	0.00	P260115	Blank	0.00	-0.01	-0.2	15	19
0.00	0.00	P260110	SK62	0.00	3.94	1.3	83	84
0.00	0.00	P260098	SH55	0.00	1.29	0.8	114	79
0.00	0.00	P260081	Blank	0.00	-0.01	-0.2	14	38
0.00	0.00	P260071	SQ48	0.00	28.90	1.1	63	89
0.00	0.00	P260171	SH55	0.00	1.36	1.0	125	78
0.00	0.00	P260218	SQ48	0.00	28.40	1.1	66	93
0.00	0.00	P299948	SH55	0.00	1.29	0.7	110	76
0.00	0.00	P299937	Blank	0.00	0.01	-0.2	13	25
0.00	0.00	P260240	SK62	0.00	4.02	1.1	81	94
0.00	0.00	P260232	Blank	0.00	-0.01	0.3	14	24
0.00	0.00	P260036	SK62	0.00	3.94	1.2	88	99
0.00	0.00	P260203	Blank	0.00	-0.01	-0.2	13	27
0.00	0.00	P260198	SK62	0.00	4.07	1.1	84	90
0.00	0.00	P260190	Blank	0.00	-0.01	-0.2	16	20
0.00	0.00	P260058	Blank	0.00	0.01	0.3	13	23
65.50	67.00	P299957	P299942	1.50	-0.01	-0.2	35	63
151.00	152.00	P299976	P299965	1.00	-0.01	0.2	57	53
169.00	170.00	P260007	P299987	1.00	0.01	-0.2	71	48
196.00	197.00	P260029	P260020	1.00	0.01	-0.2	28	76
218.50	220.00	P260063	P260047	1.50	0.01	-0.2	20	70
235.00	236.00	P260079	P260066	1.00	0.01	0.2	133	78
274.50	275.50	P260106	P260092	1.00	0.01	-0.2	208	68



MAUDORE MINERALS Ltd

AC

QAQC

De	À	Numéro	Référence	Longueur	Au (g/t)	Ag (ppm)	Cu (ppm)	Zn (ppm)
314.00	315.50	P260132	P260119	1.50	0.04	0.5	61	94
326.50	328.00	P260158	P260127	1.50	0.08	0.3	54	188
404.00	405.00	P260179	P260166	1.00	-0.01	-0.2	23	50
456.00	457.00	P260208	P260187	1.00	0.05	0.2	62	61
476.60	478.00	P260238	P260211	1.40	-0.01	-0.2	31	64
499.90	501.00	P260258	P260243	1.10	0.01	-0.2	20	50

## Géochimie

De	À	Numéro	Longueur	Description	SiO <sub>2</sub> (%)	Al <sub>2</sub> O <sub>3</sub> (%)	Fe <sub>2</sub> O <sub>3</sub> (%)	CaO (%)
35.50	36.00	P151562	0.50		62.73	15.25	5.12	5.99
65.00	65.50	P151563	0.50		64.04	16.19	5.40	4.03
95.50	96.00	P151564	0.50		64.10	15.73	5.35	4.79
125.00	125.50	P151567	0.50		62.62	15.84	5.51	5.30
157.00	157.50	P151568	0.50		54.70	15.71	8.87	7.74
186.50	187.00	P151569	0.50		64.77	14.16	5.78	5.76
217.00	217.50	P151582	0.50		60.11	16.72	5.83	6.03
247.00	247.50	P151583	0.50		60.78	16.07	6.26	5.01
271.00	271.50	P151584	0.50		43.02	6.00	13.36	16.94
300.50	301.00	P299011	0.50		57.98	15.56	6.64	5.46
330.50	331.00	P299012	0.50		61.85	15.64	5.49	4.33
360.50	361.00	P299013	0.50		62.19	16.13	5.79	4.73
380.50	381.00	P299014	0.50		61.78	16.34	5.99	4.16
411.50	412.00	P299015	0.50		63.77	15.88	5.11	3.53
441.50	442.00	P299022	0.50		62.07	15.48	5.46	4.64
472.00	472.50	P299023	0.50		62.42	15.09	5.66	3.97
502.70	503.20	P299024	0.50		62.89	15.45	6.41	2.96

AL

Géochimie

De	À	Numéro	Longueur	MgO (%)	Na2O (%)	K2O (%)	Cr2O3 (%)	TiO2 (%)	MnO (%)	P2O5 (%)
35.50	36.00	P151562	0.50	1.93	4.66	0.81	0.01	0.53	0.10	0.19
65.00	65.50	P151563	0.50	2.13	5.29	0.76	0.01	0.56	0.09	0.20
95.50	96.00	P151564	0.50	2.18	4.41	1.06	0.01	0.54	0.08	0.19
125.00	125.50	P151567	0.50	2.11	4.50	1.04	0.01	0.55	0.09	0.20
157.00	157.50	P151568	0.50	4.84	3.31	0.47	0.02	0.60	0.17	0.14
186.50	187.00	P151569	0.50	2.88	2.91	1.06	0.01	0.54	0.13	0.15
217.00	217.50	P151582	0.50	3.06	3.13	1.66	0.01	0.43	0.12	0.11
247.00	247.50	P151583	0.50	2.43	3.53	1.88	0.01	0.62	0.12	0.22
271.00	271.50	P151584	0.50	8.57	1.90	0.40	0.04	2.13	0.23	0.14
300.50	301.00	P299011	0.50	3.18	4.53	1.35	-0.01	0.56	0.11	0.14
330.50	331.00	P299012	0.50	2.58	3.52	1.78	-0.01	0.48	0.15	0.12
360.50	361.00	P299013	0.50	2.30	4.51	1.05	-0.01	0.59	0.11	0.21
380.50	381.00	P299014	0.50	2.98	5.16	0.76	-0.01	0.49	0.10	0.14
411.50	412.00	P299015	0.50	2.49	5.04	0.96	0.01	0.41	0.06	0.10
441.50	442.00	P299022	0.50	1.95	4.05	1.65	-0.01	0.56	0.07	0.19
472.00	472.50	P299023	0.50	2.18	3.53	1.97	-0.01	0.59	0.05	0.19
502.70	503.20	P299024	0.50	1.87	4.43	1.54	-0.01	0.61	0.03	0.20

## Géochimie

De	À	Numéro	Longueur	SrO (%)	BaO (%)	LOI (%)	Total (%)	Nb (ppm)	Ba (ppm)	Rb (ppm)
35.50	36.00	P151562	0.50	0.06	0.03	2.30	99.70	5	220	23
65.00	65.50	P151563	0.50	0.05	0.04	1.11	99.89	5	260	25
95.50	96.00	P151564	0.50	0.05	0.04	1.24	99.76	5	330	31
125.00	125.50	P151567	0.50	0.04	0.04	2.06	99.92	4	300	30
157.00	157.50	P151568	0.50	0.06	0.02	2.69	99.34	4	120	13
186.50	187.00	P151569	0.50	0.04	0.04	1.58	99.82	5	290	29
217.00	217.50	P151582	0.50	0.03	0.05	2.36	99.65	3	380	40
247.00	247.50	P151583	0.50	0.03	0.05	2.00	99.01	6	420	50
271.00	271.50	P151584	0.50	0.06	0.03	6.69	99.50	36	180	15
300.50	301.00	P299011	0.50	0.03	0.05	2.81	98.40	3	530	35
330.50	331.00	P299012	0.50	0.05	0.05	2.35	98.39	3	540	58
360.50	361.00	P299013	0.50	0.04	0.03	0.95	98.64	6	350	26
380.50	381.00	P299014	0.50	0.05	0.02	0.89	98.87	4	330	24
411.50	412.00	P299015	0.50	0.04	0.02	1.77	99.18	3	240	36
441.50	442.00	P299022	0.50	0.05	0.03	2.46	98.66	6	370	50
472.00	472.50	P299023	0.50	0.03	0.03	2.99	98.69	6	340	56
502.70	503.20	P299024	0.50	0.03	0.02	1.94	98.37	6	270	44

MAUDORE MINERALS Ltd

Géochimie

De	À	Numéro	Longueur	Zr (ppm)	Y (ppm)	Sr (ppm)	Au (ppm)	Ag (ppm)	Al (%)	As (ppm)
35.50	36.00	P151562	0.50	141	12	598	-0.005	-0.2	1.30	-2
65.00	65.50	P151563	0.50	153	13	479	-0.005	-0.2	1.28	3
95.50	96.00	P151564	0.50	146	12	441	-0.005	-0.2	1.42	-2
125.00	125.50	P151567	0.50	148	13	456	-0.005	-0.2	1.48	-2
157.00	157.50	P151568	0.50	98	17	585	0.007	0.20	1.82	3
186.50	187.00	P151569	0.50	135	11	419	-0.005	-0.2	1.75	-2
217.00	217.50	P151582	0.50	96	9	326	-0.005	-0.2	2.69	-2
247.00	247.50	P151583	0.50	149	13	294	0.012	-0.2	2.32	-2
271.00	271.50	P151584	0.50	96	18	693	0.034	0.60	0.55	-2
300.50	301.00	P299011	0.50	116	13	300	0.014	-0.2	2.21	2
330.50	331.00	P299012	0.50	113	10	439	0.010	-0.2	2.05	-2
360.50	361.00	P299013	0.50	160	14	433	-0.005	-0.2	1.48	-2
380.50	381.00	P299014	0.50	132	12	495	0.005	-0.2	1.19	-2
411.50	412.00	P299015	0.50	115	7	349	0.009	-0.2	1.66	-2
441.50	442.00	P299022	0.50	146	12	458	0.027	-0.2	1.50	-2
472.00	472.50	P299023	0.50	144	12	281	0.051	-0.2	1.82	-2
502.70	503.20	P299024	0.50	149	11	276	3.040	-0.2	1.72	-2

## Géochimie

De	À	Numéro	Longueur	B (ppm)	Ba Econo (ppm)	Be (ppm)	Bi (ppm)	Ca (%)	Cd (ppm)	Co (ppm)
35.50	36.00	P151562	0.50	-10		-0.5	-2	1.80	-0.5	12
65.00	65.50	P151563	0.50	-10		-0.5	-2	0.61	-0.5	11
95.50	96.00	P151564	0.50	-10		-0.5	-2	0.93	-0.5	11
125.00	125.50	P151567	0.50	-10		-0.5	-2	1.43	-0.5	13
157.00	157.50	P151568	0.50	-10		-0.5	-2	1.76	-0.5	15
186.50	187.00	P151569	0.50	-10		-0.5	-2	1.34	-0.5	11
217.00	217.50	P151582	0.50	-10		-0.5	-2	1.94	-0.5	16
247.00	247.50	P151583	0.50	-10		-0.5	-2	1.53	-0.5	14
271.00	271.50	P151584	0.50	-10		-0.5	-2	6.17	-0.5	11
300.50	301.00	P299011	0.50	-10		-0.5	-2	2.27	-0.5	17
330.50	331.00	P299012	0.50	-10		-0.5	-2	1.47	1.0	16
360.50	361.00	P299013	0.50	-10		-0.5	-2	0.78	-0.5	12
380.50	381.00	P299014	0.50	-10		-0.5	-2	0.57	-0.5	11
411.50	412.00	P299015	0.50	-10		-0.5	-2	0.91	-0.5	11
441.50	442.00	P299022	0.50	-10		-0.5	-2	1.68	-0.5	13
472.00	472.50	P299023	0.50	-10		-0.5	-2	1.80	-0.5	9
502.70	503.20	P299024	0.50	-10		-0.5	-2	0.95	-0.5	25

MAUDORE MINERALS Ltd

AC

Géochimie

De	À	Numéro	Longueur	Cr (ppm)	Cu (ppm)	Fe (%)	Ga (ppm)	Hg (ppm)	K (%)	La (ppm)
35.50	36.00	P151562	0.50	35	24	2.47	10	-1	0.52	10
65.00	65.50	P151563	0.50	37	37	2.61	10	-1	0.39	20
95.50	96.00	P151564	0.50	35	13	2.59	10	-1	0.70	20
125.00	125.50	P151567	0.50	38	25	2.88	10	-1	0.34	10
157.00	157.50	P151568	0.50	68	58	2.72	10	-1	0.11	10
186.50	187.00	P151569	0.50	51	26	2.19	10	-1	0.66	10
217.00	217.50	P151582	0.50	42	16	3.28	10	-1	1.03	10
247.00	247.50	P151583	0.50	32	79	3.98	10	-1	0.91	20
271.00	271.50	P151584	0.50	42	691	3.37	-10	-1	0.08	30
300.50	301.00	P299011	0.50	53	48	3.72	10	-1	1.02	10
330.50	331.00	P299012	0.50	59	18	3.17	10	-1	0.25	10
360.50	361.00	P299013	0.50	44	5	3.06	10	-1	0.65	20
380.50	381.00	P299014	0.50	55	35	2.66	10	-1	0.43	20
411.50	412.00	P299015	0.50	72	39	2.89	10	-1	0.48	10
441.50	442.00	P299022	0.50	31	10	3.01	10	-1	0.28	20
472.00	472.50	P299023	0.50	30	78	3.43	10	-1	0.48	20
502.70	503.20	P299024	0.50	34	13	4.02	10	-1	0.66	10

## Géochimie

De	À	Numéro	Longueur	Mg (%)	Mn (ppm)	Mo (ppm)	Na (%)	Ni (ppm)	P (ppm)	Pb (ppm)
35.50	36.00	P151562	0.50	0.92	401	-1	0.07	21	780	-2
65.00	65.50	P151563	0.50	1.00	279	-1	0.06	21	810	2
95.50	96.00	P151564	0.50	0.97	261	-1	0.08	20	780	-2
125.00	125.50	P151567	0.50	1.10	402	-1	0.06	23	850	-2
157.00	157.50	P151568	0.50	1.36	421	1	0.10	40	550	-2
186.50	187.00	P151569	0.50	0.98	428	-1	0.11	33	620	-2
217.00	217.50	P151582	0.50	1.55	639	-1	0.15	41	490	-2
247.00	247.50	P151583	0.50	1.42	721	-1	0.08	24	980	-2
271.00	271.50	P151584	0.50	0.63	587	-1	0.06	33	690	3
300.50	301.00	P299011	0.50	1.56	460	-1	0.09	36	620	-2
330.50	331.00	P299012	0.50	1.27	707	-1	0.11	34	500	-2
360.50	361.00	P299013	0.50	1.05	399	-1	0.08	27	930	-2
380.50	381.00	P299014	0.50	0.98	175	2	0.08	27	610	-2
411.50	412.00	P299015	0.50	1.23	282	1	0.08	48	340	-2
441.50	442.00	P299022	0.50	1.01	351	-1	0.06	25	820	-2
472.00	472.50	P299023	0.50	1.15	316	-1	0.05	26	820	-2
502.70	503.20	P299024	0.50	1.01	175	-1	0.06	33	820	-2



AC

Géochimie

De	À	Numéro	Longueur	S (%)	Sb (ppm)	Sc (ppm)	Th (ppm)	Sr Econo (ppm)	Ti (%)	Ti (ppm)
35.50	36.00	P151562	0.50	0.01	-2	3	-20		0.14	-10
65.00	65.50	P151563	0.50	0.01	-2	4	-20		0.13	-10
95.50	96.00	P151564	0.50	0.01	-2	4	-20		0.13	-10
125.00	125.50	P151567	0.50	0.02	-2	3	-20		0.16	-10
157.00	157.50	P151568	0.50	0.03	-2	6	-20		0.08	-10
186.50	187.00	P151569	0.50	0.03	-2	5	-20		0.12	-10
217.00	217.50	P151582	0.50	0.24	-2	7	-20		0.14	-10
247.00	247.50	P151583	0.50	0.26	-2	6	-20		0.26	-10
271.00	271.50	P151584	0.50	0.09	-2	5	-20		0.47	-10
300.50	301.00	P299011	0.50	0.22	-2	11	-20		0.16	-10
330.50	331.00	P299012	0.50	0.29	2	7	-20		0.18	-10
360.50	361.00	P299013	0.50	0.06	-2	5	-20		0.17	-10
380.50	381.00	P299014	0.50	0.03	-2	5	-20		0.10	-10
411.50	412.00	P299015	0.50	0.10	-2	6	-20		0.12	-10
441.50	442.00	P299022	0.50	0.31	-2	4	-20		0.15	-10
472.00	472.50	P299023	0.50	0.14	-2	4	-20		0.17	-10
502.70	503.20	P299024	0.50	0.99	-2	5	-20		0.14	-10

AC

Géochimie

De	À	Numéro	Longueur	U (ppm)	V (ppm)	W (ppm)	Zn (ppm)
35.50	36.00	P151562	0.50	-10	54	-10	56
65.00	65.50	P151563	0.50	-10	60	-10	59
95.50	96.00	P151564	0.50	-10	62	-10	49
125.00	125.50	P151567	0.50	-10	60	-10	66
157.00	157.50	P151568	0.50	-10	63	-10	44
186.50	187.00	P151569	0.50	-10	55	-10	71
217.00	217.50	P151582	0.50	-10	62	-10	84
247.00	247.50	P151583	0.50	-10	82	-10	82
271.00	271.50	P151584	0.50	-10	105	-10	20
300.50	301.00	P299011	0.50	-10	99	-10	106
330.50	331.00	P299012	0.50	-10	66	-10	264
360.50	361.00	P299013	0.50	-10	75	-10	71
380.50	381.00	P299014	0.50	-10	77	-10	60
411.50	412.00	P299015	0.50	-10	58	-10	40
441.50	442.00	P299022	0.50	-10	55	-10	54
472.00	472.50	P299023	0.50	-10	55	-10	43
502.70	503.20	P299024	0.50	-10	63	-10	39

MAUDORE MINERALS Ltd

Sondage : COM-12-909      Titre minier :      Section : 1587E / 1400N  
 Canton : Comtois      Niveau : Surface  
 Rang :      Place de travail : Lebel-sur-Quévillon  
 Foré par : Forages M. Rouillier Inc      Lot :  
 Décrit par : Camille Vallet      Du : 2012-07-11      Date de description : 2012-07-18  
 Au :


Collet

	UTM	Locales	GREER
Azimut : 193.00°	Est 340 738.29	1 585.32	3 339.19
Plongée : -70.00°	Nord 5 444 617.96	1 404.42	2 857.00
Longueur : 541.00 m	Élévation 287.32	287.32	287.32

Déviations

Type	Profondeur	Azimut	Plongée	Invalide	Description
Reflex	0.00	193.00°	-70.00°	Non	
Reflex	13.00	316.70°	-71.60°	Oui	40127
Reflex	16.00	329.80°	-70.10°	Oui	52436
Reflex	19.00	329.60°	-69.20°	Oui	38641
Reflex	22.00	342.80°	-69.50°	Oui	46617
Reflex	25.00	342.00°	-69.80°	Oui	52809
Reflex	28.00	353.50°	-70.00°	Oui	41821
Reflex	31.00	332.00°	-71.10°	Oui	35535
Reflex	34.00	341.90°	-70.00°	Oui	37815
Reflex	37.00	305.90°	-69.90°	Oui	38477
Reflex	40.00	38.10°	-70.00°	Oui	49469
Reflex	43.00	192.80°	-69.80°	Non	55655

Description  
 Proposition TMN-12-06



Dimension de la carotte : Carotte NQ      Cimenté : Non      Entrepris : Oui

MAUDORE MINERALS Ltd

AC

Déviations

Type	Profondeur	Azimut	Plongée	Invalide	Description
Reflex	46.00	192.50°	-68.10°	Oui	55221
Reflex	49.00	192.80°	-69.50°	Non	55125
Reflex	52.00	192.60°	-69.70°	Non	55063
Reflex	55.00	192.60°	-69.60°	Non	55034
Reflex	58.00	192.90°	-69.70°	Non	54986
Reflex	61.00	182.70°	-76.80°	Oui	54967
Reflex	64.00	192.60°	-69.60°	Non	54951
Reflex	67.00	192.20°	-69.60°	Non	54925
Reflex	70.00	192.60°	-69.60°	Non	54923
Reflex	73.00	192.80°	-69.50°	Non	54915
Reflex	76.00	192.80°	-69.40°	Non	54883
Reflex	79.00	192.30°	-69.50°	Non	54879
Reflex	82.00	192.70°	-69.60°	Non	54890
Reflex	85.00	192.50°	-69.50°	Non	54972
Reflex	88.00	192.90°	-69.40°	Non	55155
Reflex	91.00	190.30°	-69.40°	Oui	55220
Reflex	94.00	185.70°	-71.50°	Oui	55430
Reflex	97.00	192.40°	-69.40°	Non	55221
Reflex	100.00	192.40°	-68.80°	Non	55123
Reflex	103.00	193.50°	-68.90°	Non	55107
Reflex	106.00	192.50°	-69.30°	Non	54971
Reflex	109.00	193.00°	-69.10°	Non	54790
Reflex	112.00	192.00°	-69.40°	Non	54887
Reflex	115.00	192.40°	-69.10°	Non	54841
Reflex	118.00	192.30°	-69.10°	Non	54885
Reflex	121.00	192.60°	-69.00°	Non	54830
Reflex	124.00	192.40°	-69.00°	Non	54840
Reflex	127.00	192.60°	-68.90°	Non	54840
Reflex	130.00	262.10°	-53.70°	Oui	54855
Reflex	133.00	192.50°	-68.90°	Non	54863
Reflex	136.00	192.50°	-68.70°	Non	54838
Reflex	139.00	195.00°	-67.10°	Oui	54843
Reflex	142.00	192.90°	-68.30°	Non	54828
Reflex	145.00	192.60°	-68.40°	Non	54852

Ac

Déviation

Type	Profondeur	Azimet	Plongée	Invalide	Description
Reflex	148.00	192.70°	-68.20°	Non	54816
Reflex	151.00	192.50°	-67.90°	Non	54818
Reflex	154.00	192.50°	-67.90°	Non	54851
Reflex	157.00	195.30°	-68.90°	Oui	54826
Reflex	160.00	195.50°	-66.50°	Oui	54799
Reflex	163.00	193.50°	-66.60°	Non	54722
Reflex	166.00	193.20°	-66.60°	Non	54793
Reflex	169.00	193.50°	-66.40°	Non	54789
Reflex	172.00	193.80°	-66.30°	Non	54761
Reflex	175.00	198.70°	-63.70°	Oui	54863
Reflex	178.00	193.90°	-66.00°	Non	54848
Reflex	181.00	193.80°	-65.90°	Non	54848
Reflex	184.00	193.80°	-65.70°	Non	54766
Reflex	187.00	192.90°	-67.60°	Oui	54798
Reflex	190.00	193.50°	-65.50°	Non	54764
Reflex	193.00	193.10°	-65.40°	Non	54799
Reflex	196.00	193.30°	-65.10°	Non	54867
Reflex	199.00	194.40°	-65.20°	Non	54920
Reflex	202.00	193.10°	-65.20°	Non	54795
Reflex	205.00	193.30°	-65.00°	Non	54696
Reflex	208.00	193.30°	-65.10°	Non	54717
Reflex	211.00	193.10°	-65.00°	Non	54671
Reflex	214.00	193.60°	-64.90°	Non	54815
Reflex	217.00	193.40°	-64.80°	Non	54830
Reflex	220.00	193.40°	-64.80°	Non	54971
Reflex	223.00	194.40°	-64.50°	Non	54836
Reflex	226.00	192.70°	-64.60°	Oui	54772
Reflex	229.00	193.90°	-64.50°	Non	55116
Reflex	232.00	192.90°	-64.40°	Non	55037
Reflex	235.00	192.90°	-64.40°	Non	54780
Reflex	238.00	193.30°	-64.20°	Non	54730
Reflex	241.00	193.50°	-64.10°	Non	54792
Reflex	244.00	193.10°	-64.00°	Non	54947
Reflex	247.00	193.60°	-64.00°	Non	54970

MAUDORE MINERALS Ltd

AC

Déviations

Type	Profondeur	Azimut	Plongée	Invalide	Description
Reflex	250.00	193.40°	-63.90°	Non	54684
Reflex	253.00	193.30°	-63.90°	Non	54801
Reflex	256.00	193.60°	-63.90°	Non	54703
Reflex	259.00	193.30°	-63.90°	Non	55007
Reflex	262.00	193.60°	-63.90°	Non	54806
Reflex	265.00	193.30°	-63.90°	Non	54771
Reflex	268.00	193.30°	-63.90°	Non	54783
Reflex	271.00	193.30°	-63.70°	Non	54770
Reflex	274.00	193.70°	-63.70°	Non	54768
Reflex	277.00	193.50°	-63.70°	Non	54787
Reflex	280.00	193.40°	-63.60°	Non	54813
Reflex	283.00	193.90°	-63.60°	Non	54803
Reflex	286.00	193.80°	-63.60°	Non	54685
Reflex	289.00	193.90°	-63.50°	Non	54689
Reflex	292.00	191.90°	-63.50°	Oui	55536
Reflex	295.00	194.00°	-63.40°	Non	54771
Reflex	298.00	193.90°	-63.40°	Non	54777
Reflex	301.00	193.90°	-63.30°	Non	54794
Reflex	304.00	193.90°	-63.20°	Non	54791
Reflex	307.00	193.80°	-63.20°	Non	54780
Reflex	310.00	193.70°	-63.20°	Non	54790
Reflex	313.00	193.80°	-63.10°	Non	54787
Reflex	316.00	193.90°	-63.10°	Non	54841
Reflex	319.00	194.00°	-63.10°	Non	54794
Reflex	322.00	193.60°	-63.10°	Non	54981
Reflex	325.00	194.20°	-63.00°	Non	54797
Reflex	328.00	194.10°	-63.10°	Non	54808
Reflex	331.00	194.30°	-63.10°	Non	54811
Reflex	334.00	194.10°	-63.10°	Non	54812
Reflex	337.00	194.10°	-63.10°	Non	54798
Reflex	340.00	193.90°	-62.80°	Non	54806
Reflex	343.00	194.00°	-62.70°	Non	54808
Reflex	346.00	194.10°	-62.60°	Non	54801
Reflex	349.00	193.90°	-62.50°	Non	54799

MAUDORE MINERALS Ltd

Déviations

Type	Profondeur	Azmut	Plongée	Invalide	Description
Reflex	352.00	193.90°	-62.30°	Non	54801
Reflex	355.00	194.00°	-62.30°	Non	54797
Reflex	358.00	194.10°	-62.10°	Non	54806
Reflex	361.00	194.10°	-62.00°	Non	54838
Reflex	364.00	193.80°	-61.90°	Non	54753
Reflex	367.00	193.70°	-61.90°	Non	54848
Reflex	370.00	193.60°	-61.80°	Non	54797
Reflex	373.00	193.90°	-61.80°	Non	54764
Reflex	376.00	193.80°	-61.80°	Non	54797
Reflex	379.00	193.60°	-61.70°	Non	54852
Reflex	382.00	193.50°	-61.70°	Non	54819
Reflex	385.00	193.80°	-61.60°	Non	54826
Reflex	388.00	193.70°	-61.50°	Non	54809
Reflex	391.00	193.80°	-61.50°	Non	54840
Reflex	394.00	193.80°	-61.40°	Non	54823
Reflex	397.00	193.90°	-61.30°	Non	54831
Reflex	400.00	194.10°	-61.00°	Non	54828
Reflex	403.00	194.30°	-61.00°	Non	54848
Reflex	406.00	194.20°	-61.00°	Non	54863
Reflex	409.00	194.10°	-60.90°	Non	54856
Reflex	412.00	194.00°	-60.80°	Non	54889
Reflex	415.00	193.60°	-60.80°	Non	54613
Reflex	418.00	194.50°	-60.70°	Non	54720
Reflex	421.00	194.50°	-60.70°	Non	54801
Reflex	424.00	194.80°	-60.60°	Non	54841
Reflex	427.00	194.70°	-60.60°	Non	54736
Reflex	430.00	194.50°	-60.60°	Non	54875
Reflex	433.00	194.80°	-60.50°	Non	55077
Reflex	436.00	194.50°	-60.40°	Non	54936
Reflex	439.00	194.60°	-60.40°	Non	54835
Reflex	442.00	195.10°	-60.40°	Non	54744
Reflex	445.00	195.00°	-60.30°	Non	54809
Reflex	448.00	195.00°	-60.30°	Non	54789
Reflex	451.00	195.20°	-60.20°	Non	54812

MAUDORE MINERALS Ltd

AC

Déviations

Type	Profondeur	Azimet	Plongée	Invalide	Description
Reflex	454.00	194.80°	-60.20°	Non	54822
Reflex	457.00	194.90°	-60.20°	Non	54814
Reflex	460.00	195.00°	-60.20°	Non	54747
Reflex	463.00	195.20°	-60.10°	Non	54795
Reflex	466.00	195.10°	-60.10°	Non	54814
Reflex	469.00	194.50°	-60.10°	Non	54813
Reflex	472.00	194.70°	-60.00°	Non	54869
Reflex	475.00	195.00°	-60.10°	Non	54815
Reflex	478.00	194.30°	-60.00°	Non	54808
Reflex	481.00	194.70°	-60.00°	Non	54787
Reflex	484.00	194.90°	-60.00°	Non	54770
Reflex	487.00	194.70°	-60.00°	Non	54764
Reflex	490.00	194.80°	-60.00°	Non	54768
Reflex	493.00	194.90°	-60.00°	Non	54761
Reflex	496.00	194.80°	-59.90°	Non	54841
Reflex	499.00	194.90°	-59.90°	Non	54800
Reflex	502.00	195.00°	-59.80°	Non	54741
Reflex	505.00	194.90°	-59.80°	Non	54629
Reflex	508.00	195.00°	-59.80°	Non	54737
Reflex	511.00	193.50°	-59.70°	Oui	55146
Reflex	514.00	195.30°	-59.70°	Non	54726
Reflex	517.00	195.40°	-59.70°	Non	54761
Reflex	520.00	195.50°	-59.60°	Non	54764
Reflex	523.00	195.40°	-59.60°	Non	54931
Reflex	526.00	194.80°	-59.60°	Non	54867
Reflex	529.00	195.80°	-59.50°	Non	55548
Reflex	532.00	195.40°	-59.40°	Oui	55026
Reflex	535.00	196.50°	-59.30°	Non	55039
Reflex	538.00	196.50°	-59.30°	Non	55069
Reflex	541.00	196.40°	-59.30°	Non	55385



MAUDORE MINERALS Ltd

Description			Analyse							
			De	À	Numéro	Longueur	Au_Final (g/t)	Ag_Final (ppm)	Cu_Final (ppm)	Zn_Final (ppm)
0.00	33.00	MT Mort Terrain Mort Terrain								
33.00	82.00	V2-V3; TI Volcanite intermédiaire à mafique; Tuf à lapillis Volcanite intermédiaire à mafique Teintes variables, généralement gris sombre Clastes présentes mais peu visibles, taille variable entre 5mm et 2-3cm, environ 30-40% de clastes Matrice à grains fins de couleur gris foncé Foliation marquée par l'allongement des clastes et les nuances d'altération, globalement à 25-30deg AC Magnétisme nul voir localement faible  Contact sup. inconnu, contact inf. progressif  Altération: 33-52: Si+ pervasive, Chl moy en clastes, Pa en clastes, Sr- en Vn/Vnl, Cb- en Vnl, Ep tr en Vnl 52-61: Si+ pervasive, Chl moy en clastes, Bo moy en clastes, Sr- en Vnl, Cb- en Vnl 61-64: Si+ pervasive, Pa moy pervasive et en clastes, Chl- en clastes, Cb- en Vnl 64-74.5: Si+ pervasive, Chl moy en clastes, Bo moy en clastes, Cb- en Vnl 74.5-82: Si+ pervasive, Chl moy en clastes, Hm moy en Vnl rouge et localement pervasive, Bo- en clastes, Cb-, localement Fk en mouchetage (Fk-)  Minéralisation: 33-37: Po tr en grains disséminés 46-49: Py tr en grains disséminés  Structure: 73.6-76.5: Frct-, blocs anguleux de 1 à 10 cm, les plus gros blocs sont fracturés dans l'axe de la carotte	34.00	35.00	P296311	1.00	0.030	0.10	65.0	52.0
			35.00	36.00	P296312	1.00	0.010	0.10	32.0	58.0
			36.00	37.00	P296313	1.00	0.010	0.10	39.0	30.0
			41.50	43.00	P296314	1.50	0.005	0.10	6.0	66.0
			43.00	43.50	P151544	0.50	0.002	0.10	5.0	59.0
			43.50	44.50	P296315	1.00	0.005	0.10	5.0	66.0
			44.50	45.50	P296316	1.00	0.010	0.10	5.0	60.0
			45.50	46.50	P296317	1.00	0.010	0.10	10.0	67.0
33.00	52.00	SIL+; Chl; PA; SR-; CB-; EPir Silicification forte; Chloritisation; Paragonite; Séricitisation faible;								

MAUDORE MINERALS Ltd

AC

Description		Analyse								
		De	À	Numéro	Longueur	Au_Final (g/l)	Ag_Final (ppm)	Cu_Final (ppm)	Zn_Final (ppm)	
33.00	37.00	Carbonatisation faible; Épidotisation tr Si+ pervasive, Chl moy en clastes, Pa moy en clastes, Sr- en Vn/Vnl, Cb- en Vnl, Ep tr en Vnl Potr Pyrrhotine tr Po tr en grains disséminés								
46.00	49.00	Pytr	46.50	48.00	P296318	1.50	0.010	0.10	15.0	57.0
		Pyrite tr	48.00	48.50	P296320	0.50	0.040	0.10	38.0	55.0
		Py tr en grains disséminés	48.50	50.00	P296321	1.50	0.010	0.10	11.0	65.0
52.00	61.00	SIL+; Chl; BO; SR-; CB- Silicification forte; Chloritisation; Biotisation; Séricitisation faible; Carbonatisation faible Si+ pervasive, Chl moy en clastes, Bo moy en clastes, Sr- en Vnl, Cb- en Vnl								
61.00	64.00	SIL+; PA; Chl-; CB- Silicification forte; Paragonite; Chloritisation faible; Carbonatisation faible Si+ pervasive, Pa moy pervasive et en clastes, Chl- en clastes, Cb- en Vnl								
64.00	74.50	SIL+; Chl; BO; CB-	65.50	67.00	P296322	1.50	0.005	0.10	1.0	68.0
		Silicification forte; Chloritisation;	67.00	68.50	P296323	1.50	0.010	0.10	2.5	74.0
		Biotisation; Carbonatisation faible	68.50	70.00	P296324	1.50	0.010	0.10	11.0	86.0
		Si+ pervasive, Chl moy en clastes, Bo moy en clastes, Cb- en Vnl	70.00	70.50	P151545	0.50	0.024	0.10	10.0	89.0
			70.50	72.00	P296325	1.50	0.010	0.10	4.5	82.5
73.60	76.50	FRC- Fracturation faible Frct-, blocs anguleux de 1 à 10 cm, les plus gros blocs sont fracturés dans l'axe de la carotte								
74.50	82.00	SIL+; Chl; HM; BO-; CB-; Fk	74.50	76.00	P296326	1.50	0.010	0.10	11.0	79.0
		Silicification forte; Chloritisation;	76.00	77.50	P296327	1.50	0.010	0.10	6.0	71.0
		Hématisation; Biotisation faible;	77.50	79.00	P296328	1.50	0.010	0.10	36.0	65.0

MAUDORE MINERALS Ltd

A

Description			Analyse							
			De	À	Numéro	Longueur	Au_Final (g/t)	Ag_Final (ppm)	Cu_Final (ppm)	Zn_Final (ppm)
		Carbonatation faible; Feldspath potassique	79.00	80.50	P296329	1.50	0.020	0.10	56.0	56.0
		Si+ pervasive, Chl moy en clastes, Hm moy en Vnl rouge et localement pervasive, Bo- en clastes, Cb-, localement Fk en mouchetage (Fk-)	80.50	82.00	P296330	1.50	0.010	0.10	49.0	41.0
82.00	106.80	V2-V3; MAS	82.00	83.50	P296331	1.50	0.020	0.10	41.0	33.0
		<b>Volcanite intermédiaire à mafique; Massif</b>	83.50	85.00	P296332	1.50	0.010	0.10	59.0	39.0
		Volcanite intermédiaire à mafique Teintes généralement gris sombre Roche massive, contenant quelques intervalles (max. 1m) avec des clastes Matrice à grains fins de couleur gris foncé Foliation localement visible à 45deg AC Magnésisme nul Présence de plusieurs intervalles à mouchetage de pFp fort  Contacts progressifs pas clairement définis  Altération: 82-88: Roche sombre, Si+ pervasive, Chl+ pervasive, Hm- en Vnl, Cb- en Vnl, localement Fk en mouchetage (Fk-) 88-106.8: Intervalle plus clair que précédemment, un peu verdâtre; Si+ pervasive, Chl+ pervasive, Pa- pervasive, Hm- en Vnl, Cb- en Vnl, Ep- en Vnl, localement Fk en mouchetage (Fk-)  Minéralisation: 82-85: Py tr en grains disséminés 94-94.8: Cp Ir en grains diss dans Vn de Qz  Veine: 89-100: Nombreuses Vn (environ 20%) de Qz (80%) et Cb (20%), avec Chl, Ep et Hm  Structure: 84.5-85: Frct-, blocs anguleux de 2 à 10 cm								
	82.00	88.00								
		SIL+; Chl+; HM-; CB-; Fk Silicification forte; Chloritisation								

MAUDORE MINERALS Ltd

AC

Description			Analyse							
			De	À	Numéro	Longueur	Au_Final (g/t)	Ag_Final (ppm)	Cu_Final (ppm)	Zn_Final (ppm)
		forte; Hématisation faible; Carbonatation faible; Feldspath potassique Roche sombre, Si+ pervasive, Chl+ pervasive, Hm- en Vnl, Cb- en Vnl, localement Fk en mouchetage (Fk-)								
82.00	85.00	Pytr Pyrite tr Py tr en grains disséminés								
84.50	85.00	FRC- Fracturation faible Frct-, blocs anguleux de 2 à 10 cm								
88.00	106.80	SIL+; CH+; PA-; HM-; CB-; EP-; Fk Silicification forte; Chloritisation forte; Paragonite faible; Hématisation faible; Carbonatation faible; Épidotisation faible; Feldspath potassique Intervalle plus clair que précédemment, un peu verdâtre; Si+ pervasive, Chl+ pervasive, Pa- pervasive, Hm- en Vnl, Cb- en Vnl, Ep- en Vnl, localement Fk en mouchetage (Fk-)								
89.00	100.00	VEI;20%;Qz Cb Cl Ep Hm;;; Veine 20% Quartz Carbonate Chlorite Épidote Hématite 89-100: Nombreuses Vn (environ 20%) de Qz (80%) et Cb (20%), avec Chl, Ep et Hm	89.00	89.50	P296333	0.50	0.010	0.10	23.0	70.0
			89.50	90.50	P296335	1.00	0.010	0.10	28.0	50.0
			90.50	91.00	P296337	0.50	0.005	0.10	4.0	65.0
			91.00	92.50	P296339	1.50	0.010	0.10	7.0	64.0
			92.50	94.00	P296340	1.50	0.010	0.10	21.0	45.0
94.00	94.80	Cptr Chalcopyrite tr Cp tr en grains diss dans Vn de Qz	94.00	94.80	P296341	0.80	0.010	0.10	51.0	35.0
			94.80	95.50	P296342	0.70	0.005	0.10	24.0	27.0
			95.50	97.00	P296343	1.50	0.005	0.10	20.0	48.0
			97.00	98.00	P296344	1.00	0.010	0.10	26.5	79.5
			98.00	99.00	P296345	1.00	0.005	0.10	56.0	39.0
			99.00	100.00	P296346	1.00	0.005	0.10	26.0	64.0
			100.00	100.50	P151546	0.50	0.002	0.10	40.0	78.0

MAUDORE MINERALS Ltd

★

Description			Analyse							
			De	À	Numéro	Longueur	Au_Final (g/t)	Ag_Final (ppm)	Cu_Final (ppm)	Zn_Final (ppm)
106.80	182.00	V2-V3; T1 <b>Volcanite intermédiaire à mafique; Tuf à lapillis</b> Volcanite intermédiaire à mafique Teintes variables, généralement gris sombre Clastes présentes mais peu visibles, taille variable entre 5mm et 2-3cm, environ 30-40% de clastes Matrice à grains fins de couleur gris foncé Foliation marquée par l'allongement des clastes et les nuances d'altération, globalement à 30-35deg AC Magnétisme nul voir localement faible  Contacts progressifs pas clairement définis  Altération: 106.8-111: Si+ pervasive, Chl+ pervasive, Pa- pervasive, Hm- en Vnl, Cb- en Vnl, Ep- en Vnl, localement Fk en mouchetage (Fk-) 111-130.3: Si+ pervasive, Chl+ pervasive et en clastes, Bo- en clastes, Pa- en clastes, Cb tr en Vnl, Hm tr en Vnl, localement Fk en mouchetage (Fk-) 130.3-132.6: Si+ pervasive, Chl+ pervasive et en clastes, Pa- en clastes, Cb- en Vnl, Hm moy en Vnl et localement pervasive, Ep- en Vn, localement Fk en mouchetage (Fk tr) 132.6-142: Si+ pervasive, Chl+ pervasive et en clastes, Bo moy en clastes, Pa- en clastes, Cb- en patchs (clastes?), Hm tr en Vnl 142-150.4: Si+ pervasive, Chl+ pervasive et en clastes, Bo moy en clastes, Pa- en clastes, Sr- en Vn-Vnl, Ep- en Vnl, Hm- en Vnl, localement Fk en mouchetage (Fk moy) 150.4-151.2: Si+ pervasive, Hm moy en Vnl et localement pervasive, Ep moy en Vn 151.2-180: Si+ pervasive, Chl+ pervasive et en clastes, Pa moy pervasive et localement Pa+, Cb- en Vnl, Hm tr en Vnl, Ep tr en Vnl, localement Fk en mouchetage (Fk-) 180-182: Roche verte, Chl+ pervasive, Cb+ pervasifs, Si moy pervasive, Bo moy en clastes, Hm-	100.50	101.50	P296347	1.00	0.010	0.10	42.0	58.0
			108.00	109.50	P296348	1.50	0.005	0.10	38.0	64.0

MAUDORE MINERALS Ltd

AC

Description	Analyse							
	De	À	Numéro	Longueur	Au_Final (g/l)	Ag_Final (ppm)	Cu_Final (ppm)	Zn_Final (ppm)
<p>en Vnl</p> <p>Minéralisation:</p> <p>117.9-122: Py tr en grains très disséminés</p> <p>131.7-132.2: Cp tr et Py tr en grains disséminés associés à Vn (4cm) à Ep, Hm et Cb</p> <p>134.5-137.5: Po tr et Py tr en grains disséminés</p> <p>165.8-166.3: Py tr en grains disséminés</p> <p>173.2-173.7: Cp tr en grains disséminés</p> <p>Structure:</p> <p>108.2-111.1: Frct-, blocs anguleux de 1 à 10 cm, les plus gros blocs sont fracturés dans l'axe de la carotte</p>								
<p>106.80 111.00 SIL+; Chl+; PA-; HM-; CB-; EP-; Fk</p> <p>Silicification forte; Chloritisation forte; Paragonite faible; Hématisation faible; Carbonatation faible; Épidotisation faible; Feldspath potassique</p> <p>Si+ pervasive, Chl+ pervasive, Pa-pervasive, Hm- en Vnl, Cb- en Vnl, Ep- en Vnl, localement Fk en mouchetage (Fk-)</p>								
<p>108.20 111.10 FRC-</p> <p>Fracturation faible</p> <p>Frct-, blocs anguleux de 1 à 10 cm, les plus gros blocs sont fracturés dans l'axe de la carotte</p>	109.50	111.00	P296349	1.50	0.005	0.10	47.0	67.0
<p>111.00 130.30 SIL+; Chl+; BO-; PA-; CBtr; HMr; Fk</p> <p>Silicification forte; Chloritisation forte; Biotisation faible; Paragonite faible; Carbonatation tr; Hématisation tr; Feldspath potassique</p> <p>Si+ pervasive, Chl+ pervasive et en clastes, Bo- en clastes, Pa- en clastes, Cb tr en Vnl, Hm tr en Vnl, localement Fk en mouchetage (Fk-)</p>	111.00	112.50	P296350	1.50	0.005	0.10	29.0	45.5
	117.60	118.50	P296351	0.90	0.005	0.10	22.0	65.0

MAUDORE MINERALS Ltd

AC

Description			Analyse							
			De	À	Numéro	Longueur	Au_Final (g/t)	Ag_Final (ppm)	Cu_Final (ppm)	Zn_Final (ppm)
117.90	122.00	Pytr Pyrite tr Py tr en grains très disséminés	118.50	119.50	P296352	1.00	0.010	0.10	37.0	54.0
			119.50	121.00	P296353	1.50	0.010	0.10	117.0	58.0
			121.00	122.50	P296354	1.50	0.010	0.10	14.0	59.0
			122.50	124.00	P296355	1.50	0.010	0.10	46.0	62.0
			128.50	130.00	P296356	1.50	0.010	0.10	107.0	53.0
			130.00	130.50	P151550	0.50	0.002	0.30	85.0	58.0
130.30	132.60	SIL+; CB+; HM; PA-; CB-; EP-; Fk Silicification forte; Carbonatation forte; Hématisation; Paragonite faible; Carbonatation faible; Épidotisation faible; Feldspath potassique Si+ pervasive, Chl+ pervasive et en clastes, Pa- en clastes, Cb- en Vnl, Hm moy en Vnl et localement pervasive, Ep- en Vn, localement Fk en mouchelage (Fktr)	130.50	131.20	P296357	0.70	0.010	0.10	27.0	51.0
			131.20	131.70	P296359	0.50	0.010	0.10	3.0	59.0
131.70	132.20	Cptr; Pytr Chalcopryite tr; Pyrite tr Cp tr et Py tr en grains disséminés associés à Vn (4cm) à Ep, Hm et Cb	131.70	132.20	P296361	0.50	0.005	0.10	124.0	55.0
			132.20	133.70	P296363	1.50	0.010	0.10	23.0	49.0
132.60	142.00	SIL+; Chl+; BO; PA-; CB-; HMtr Silicification forte; Chloritisation forte; Biotisation; Paragonite faible; Carbonatation faible; Hématisation tr Si+ pervasive, Chl+ pervasive et en clastes, Bo moy en clastes, Pa- en clastes, Cb- en patches (clastes?), Hm tr en Vnl	133.70	134.70	P296364	1.00	0.005	0.10	27.0	46.0
134.50	137.50	Potr; Pytr Pyrrhotine tr; Pyrite tr Po tr et Py tr en grains disséminés	134.70	136.00	P296365	1.30	0.005	0.10	10.0	57.0
			136.00	137.50	P296366	1.50	0.010	0.10	85.0	52.0
			137.50	139.00	P296367	1.50	0.005	0.10	50.0	48.0

MAUDORE MINERALS Ltd

AC

Description			Analyse							
			De	À	Numéro	Longueur	Au_Final (g/t)	Ag_Final (ppm)	Cu_Final (ppm)	Zn_Final (ppm)
142.00	150.40	SIL+; Chl+; BO; PA-; SR-; EP-; HM-; Fk Silicification forte; Chloritisation forte; Biotisation; Paragonite faible; Séricitisation faible; Épidotisation faible; Hématitisation faible; Feldspath potassique Si+ pervasive, Chl+ pervasive et en clastes, Bo moy en clastes, Pa- en clastes, Sr- en Vn-Vnl, Ep- en Vnl, Hm- en Vnl, localement Fk en mouchetage (Fk moy)	148.00	149.50	P296368	1.50	0.010	0.20	61.0	59.0
			149.50	151.00	P296369	1.50	0.010	0.10	72.0	61.0
150.40	151.20	SIL+; HM; EP Silicification forte; Hématitisation; Épidotisation Si+ pervasive, Hm moy en Vnl et localement pervasive, Ep moy en Vn	151.00	152.50	P296370	1.50	0.008	0.10	33.0	45.5
151.20	180.00	SIL+; Chl+; PA; CB-; HMr; Fk Silicification forte; Chloritisation forte; Paragonite; Carbonatation faible; Hématitisation tr; Feldspath potassique Si+ pervasive, Chl+ pervasive et en clastes, Pa moy pervasive et localement Pa+, Cb- en Vnl, Hm tr en Vnl, Ep tr en Vnl, localement Fk en mouchetage (Fk-)	152.50	154.00	P296371	1.50	0.010	0.10	39.0	40.0
			158.50	160.00	P296372	1.50	0.010	0.10	12.0	42.0
			160.00	160.50	P151551	0.50	0.416	0.20	75.0	45.0
			160.50	162.00	P296373	1.50	0.010	0.20	59.0	42.0
			164.50	166.00	P296374	1.50	0.010	0.10	41.0	47.0
165.80	166.30	Pytr Pyrite tr Py tr en grains disséminés	166.00	167.50	P296375	1.50	0.005	0.15	39.0	42.0
			167.50	169.00	P296376	1.50	0.010	0.10	96.0	42.0
			171.70	173.20	P296377	1.50	0.005	0.10	30.0	36.0
173.20	173.70	Cptr Chalcopyrite tr Cp tr en grains disséminés	173.20	173.70	P296378	0.50	0.010	0.40	182.0	35.0
			173.70	175.20	P296380	1.50	0.005	0.10	19.0	32.0
180.00	183.00	Chl+; CB+; SIL; BO; HM- Chloritisation forte; Carbonatation forte; Silicification; Biotisation; Hématitisation faible Roche verte, Chl+ pervasive, Cb+								



AK

Description		Analyse							
		De	À	Numéro	Longueur	Au_Final (g/t)	Ag_Final (ppm)	Cu_Final (ppm)	Zn_Final (ppm)
182.00	193.00	pervasifs, Si moy pervasive, Bo moy en clastes, Hm- en Vnl  V2-V3; MAS Volcanite intermédiaire à mafique; Massif Volcanite intermédiaire à mafique Teintes généralement gris sombre Roche massive, contenant quelques intervalles (max. 1m) avec des clastes Matrice à grains fins de couleur gris foncé Foliation localement visible à 30-35deg AC Magnétisme nul Présence de plusieurs intervalles à mouchetage de pFp fort Pas de minéralisation  Contacts progressifs pas clairement définis  Altération: 182-183: Roche verte, Chl+ pervasive, Cb+ pervasifs, Si moy pervasive, Bo moy en clastes, Hm- en Vnl 183-193: Si+ pervasive, Chl+ pervasive et en clastes, Pa moy pervasive et localement Pa+, Cb- en Vnl, Hm tr en Vnl, Ep tr en Vnl, localement Fk en mouchetage (Fk-)  Structure: 190.5-193: Frct-, blocs 3 à 20 cm (localement 1-2cm), fracturés dans l'axe de la carotte.							
	183.00	187.00	188.50	P296381	1.50	0.005	0.20	64.0	42.0
		188.50	190.00	P296382	1.50	0.005	0.20	45.0	59.0
		190.00	190.50	P151552	0.50	0.026	1.20	205.0	60.0
		SIL+; Chl+; PA; CB-; HMLr; EPtr; Fk Silicification forte; Chloritisation forte; Paragonite; Carbonatation faible; Hématitisation tr; Épidotisation tr; Feldspath potassique Si+ pervasive, Chl+ pervasive et en clastes, Pa moy pervasive et localement Pa+, Cb- en Vnl, Hm tr en Vnl, Ep tr en Vnl, localement Fk en mouchetage (Fk-)							

MAUDORE MINERALS Ltd

AC

Description			Analyse							
			De	À	Numéro	Longueur	Au_Final (g/l)	Ag_Final (ppm)	Cu_Final (ppm)	Zn_Final (ppm)
190.50	197.00	FRC- <b>Fracturation faible</b> 190.5-197: Frct-, blocs 3 à 20 cm (localement 1-2cm), fracturés dans l'axe de la carotte.	190.50	192.00	P296383	1.50	0.005	0.10	29.0	57.0
			192.00	193.40	P296384	1.40	0.005	0.10	24.0	52.0
193.00	239.50	V2-V3: TI <b>Volcanite intermédiaire à mafique; Tuf à lapillis</b> Volcanite intermédiaire à mafique Teintes variables, généralement gris sombre Clastes présentes mais peu visibles, taille variable entre 5mm et 2-3cm, environ 20-30% de clastes Matrice à grains fins de couleur gris foncé Foliation marquée par l'allongement des clastes et les nuances d'altération, globalement à 30-40deg AC Magnétisme nul  Contacts progressifs pas clairement définis  Altération: 193-194.5: Roche vert clair, Cb++ pervasifs, Chl moy, Si moy pervasive et en Vn, Bo- en clastes 194.5-202: Si+ pervasive, Chl+ en clastes, Bo moy en clastes, Pa moy en clastes, Cb- (=calcite) en Vnl et patches, Sr tr en Vnl 202-206.7: Si+ pervasive, Chl+ clastes, Pa+ clastes, Bo- clastes, Cb tr en Vnl, Hm tr en Vnl 206.7-228.5: Si+ pervasive, Chl+ pervasive et clastes, Pa moy clastes, Cb- en Vnl, Hm- en Vnl, Ep tr en Vnl 228.5-229.5: Si moy pervasive, Chl moy pervasive, Hm moy en Vnl et localement pervasive 229.5-239.5: Si+ pervasive, Chl+ pervasive et en clastes, Pa- en clastes, Bo- en clastes, Cb- en Vnl, Hm- en Vnl  Minéralisation: 193.4-194.4: Py tr en grains disséminés associés à Cb+ 202-207: Py tr en grains très fins disséminés 207-207.5: Cp tr en grains disséminés								

MAUDORE MINERALS Ltd

AC

Description	Analyse							
	De	À	Numéro	Longueur	Au_Final (g/t)	Ag_Final (ppm)	Cu_Final (ppm)	Zn_Final (ppm)
208.5-209: Cp tr en grains disséminés 209-211.7: Py tr en grains disséminés 218-219: Py tr en grains disséminés 226-229: Py tr en grains disséminés 231.8-234: Py tr en grains disséminés, Cp tr en grains disséminés 237.2-238: Py 1-2% en alignement de grains dans Vnl concordantes et discordantes  Structure: 193-197: Frct-, blocs 3 à 20 cm (localement 1-2cm), fracturés dans l'axe de la carotte. 203-230.6: Frct-, Nombreux intervalles métriques à forte fracturation, blocs anguleux de 1 à 7 cm								
193.00 194.50 CB++; Chl; SIL; BO- <b>Carbonatation intense;</b> <b>Chloritisation; Silicification;</b> <b>Biotisation faible</b> Roche vert clair, Cb++ pervasifs, Chl moy, Si moy pervasive et en Vn, Bo- en clastes								
193.40 194.40 Pytr <b>Pyrite tr</b> Py tr en grains disséminés associés à Cb+	193.40	194.40	P296386	1.00	0.350	1.20	298.0	1 485.0
	194.40	195.90	P296388	1.50	0.050	0.10	70.0	258.0
194.50 202.00 SIL+; Chl+; BO; PA; CB-; SRtr <b>Silicification forte; Chloritisation forte; Biotisation; Paragonite;</b> <b>Carbonatation faible;</b> <b>Séricitisation tr</b> Si+ pervasive, Chl+ en clastes, Bo moy en clastes, Pa moy en clastes, Cb- (=calcite) en Vnl et patches, Sr tr en Vnl								
202.00 206.70 SIL+; Chl+; PA+; BO-; CBtr; HMtr <b>Silicification forte; Chloritisation forte; Paragonite forte; Biotisation faible; Carbonatation tr;</b> <b>Hématisation tr</b>								

MAUDORE MINERALS Ltd

AC

Description			Analyse								
			De	À	Numéro	Longueur	Au_Final (g/t)	Ag_Final (ppm)	Cu_Final (ppm)	Zn_Final (ppm)	
		Si+ pervasive, Chl+ clastes, Pa+ clastes, Bo- clastes, Cb tr en Vnl, Hm tr en Vnl									
202.00	207.00	Pytr Pyrite tr Py tr en grains très fins disséminés	202.00	203.50	P296389	1.50	0.010	0.10	39.0	33.0	
203.00	230.60	FRC-	203.50	205.00	P296390	1.50	0.010	0.10	43.0	38.0	
		<b>Fracturation faible</b>	205.00	206.50	P296391	1.50	0.005	0.10	69.0	36.0	
		Frct-, Nombreux intervalles métriques à forte fracturation, blocs anguleux de 1 à 7 cm	206.50	207.00	P296392	0.50	0.005	0.10	50.0	38.0	
206.70	228.50	SIL+; Chl+; PA; CB-; HM-; EPtr Silicification forte; Chloritisation forte; Paragonite; Carbonatation faible; Hématitisation faible; Épidotisation tr Si+ pervasive, Chl+ pervasive et clastes, Pa moy clastes, Cb- en Vnl, Hm- en Vnl, Ep tr en Vnl									
207.00	207.50	Cptr	207.00	207.50	P296393	0.50	0.005	0.10	62.0	40.0	
		Chalcopyrite tr Cp tr en grains disséminés	207.50	208.50	P296394	1.00	0.005	0.10	37.0	40.0	
208.50	209.00	Cptr Chalcopyrite tr Cp tr en grains disséminés	208.50	209.50	P296395	1.00	0.005	0.10	43.0	46.0	
209.00	211.70	Pytr	209.50	210.00	P296396	0.50	0.005	0.10	64.0	47.0	
		Pyrite tr	210.00	211.50	P296397	1.50	0.005	0.10	69.0	26.0	
		Py tr en grains disséminés	211.50	213.00	P296398	1.50	0.005	0.10	25.0	42.0	
			217.50	219.00	P296399	1.50	0.005	0.10	26.0	74.0	
218.00	219.00	Pytr	219.00	220.00	P296400	1.00	0.005	0.10	37.5	78.5	
		Pyrite tr	220.00	220.50	P151565	0.50	0.002	0.10	34.0	79.0	
		Py tr en grains disséminés	220.50	222.00	P296401	1.50	0.010	0.10	20.0	73.0	
226.00	229.00	Pytr	226.00	227.50	P296402	1.50	0.010	0.10	26.0	47.0	
		Pyrite tr	227.50	229.00	P296405	1.50	0.005	0.10	35.0	62.0	

Description			Analyse							
			De	À	Numéro	Longueur	Au_Final (g/t)	Ag_Final (ppm)	Cu_Final (ppm)	Zn_Final (ppm)
		Py tr en grains disséminés								
228.50	229.50	SIL; Chl; HM Silicification; Chloritisation; Hématisation Si moy pervasive, Chl moy pervasive, Hm moy en Vnl et localement pervasive	229.00	230.50	P296406	1.50	0.010	0.20	71.0	56.0
229.50	239.50	SIL+; Chl+; PA-; BO-; CB-; HM- Silicification forte; Chloritisation forte; Paragonite faible; Biotisation faible; Carbonatation faible; Hématisation faible Si+ pervasive, Chl+ pervasive et en clastes, Pa- en clastes, Bo- en clastes, Cb- en Vnl, Hm- en Vnl	230.50	232.00	P296407	1.50	0.005	0.10	29.0	66.0
231.80	234.00	Pylr; Cplr Pyrite tr; Chalcopyrite tr Py tr en grains disséminés, Cp tr en grains disséminés	232.00	233.00	P296408	1.00	0.010	0.10	50.0	66.0
			233.00	233.50	P296409	0.50	0.005	0.10	27.0	69.0
			233.50	234.00	P296411	0.50	0.005	0.20	44.0	57.0
			234.00	234.50	P296412	0.50	0.005	0.10	42.0	58.0
			234.50	235.00	P296413	0.50	0.005	0.10	23.0	39.0
			235.00	236.50	P296414	1.50	0.005	0.10	30.0	45.0
			236.50	237.00	P296415	0.50	0.005	0.10	37.0	71.0
237.20	238.00	Py01 Pyrite 1% Py 1-2% en alignement de grains dans Vnl concordantes et discordantes	237.00	238.00	P296416	1.00	0.008	0.20	61.0	100.5
			238.00	239.00	P296417	1.00	0.005	0.10	35.0	56.0
			239.00	240.50	P296418	1.50	0.005	0.10	43.0	63.0
239.50	251.00	V2-V3; MAS Volcanite intermédiaire à mafique; Massif Volcanite intermédiaire à mafique Teintes généralement gris sombre Roche massive, contenant quelques intervalles (max. 1m) avec des clastes Matrice à grains fins de couleur gris foncé Foliation localement visible à 30-35deg AC Magnétisme nul Présence de plusieurs intervalles à mouchetage de								

MAUDORE MINERALS Ltd

AL

Description	Analyse									
	Dø	Å	Numéro	Longueur	Au_Final (g/l)	Ag_Final (ppm)	Cu_Final (ppm)	Zn_Final (ppm)		
<p>pFp fort</p> <p>Contacts progressifs pas clairement définis</p> <p>Altération: 239.5-246.8: Si+ pervasive, Chl+ en clastes, Hm- (voir localement moy) en Vnl, Cb tr en Vnl 246.8-251: Si+ pervasive, Chl+ pervasive et en clastes, Ep en Vnl, Fk moy mouchetage (Fk épidotisés?)</p> <p>Minéralisation: 240.5-241.5: Py tr en grains disséminés 246.1-247.2: Py 1% en alignement de grains automorphes dans Vnl de Cb 247.2-251: Py tr en grains disséminés automorphes (jusqu'à 0.4mm), à 50% associés à Vnl de Cb</p>										
239.50	246.80	<p>SIL+; Chl+; HM-; CBtr</p> <p>Silicification forte; Chloritisation forte; Hématitisation faible; Carbonatation tr</p> <p>Si+ pervasive, Chl+ en clastes, Hm- (voir localement moy) en Vnl, Cb tr en Vnl</p>								
240.50	241.50	Pytr	240.50	241.50	P296419	1.00	0.010	0.10	38.0	69.0
		Pyrite tr	241.50	243.00	P296420	1.50	0.008	0.10	30.0	51.0
		Py tr en grains disséminés	246.00	247.00	P296421	1.00	0.160	1.30	50.0	1 215.0
246.10	247.20	<p>Py01</p> <p>Pyrite 1%</p> <p>Py 1% en alignement de grains automorphes dans Vnl de Cb</p>								
246.80	251.00	<p>SIL+; Chl+; EP; Fk</p> <p>Silicification forte; Chloritisation forte; Épidotisation; Feldspath potassique</p> <p>Si+ pervasive, Chl+ pervasive et en clastes, Ep en Vnl, Fk moy mouchetage</p>	247.00	248.50	P296422	1.50	0.030	0.70	71.0	837.0

MAUDORE MINERALS Ltd

AC

Description			Analyse							
			De	À	Numéro	Longueur	Au_Final (g/t)	Ag_Final (ppm)	Cu_Final (ppm)	Zn_Final (ppm)
247.20	273.50	(Fk épidotisés?) Pytr <b>Pyrite tr</b> Py tr en grains disséminés automorphes (jusqu'à 0.4mm), à 50% associés à Vnl de Cb	248.50	250.00	P296423	1.50	0.010	0.20	22.0	229.0
			250.00	250.50	P151566	0.50	1.035	5.20	142.0	1 250.0
			250.50	252.00	P296424	1.50	0.020	0.30	43.0	285.0
251.00	399.30	V2-V3; Tl <b>Volcanite intermédiaire à mafique; Tuf à lapillis</b> Volcanite intermédiaire à mafique Teintes variables, généralement gris sombre Clastes présentes mais peu visibles, taille variable entre 5mm et 2-3cm, environ 20-30% de clastes Matrice à grains fins de couleur gris foncé Foliation marquée par l'allongement des clastes et les nuances d'altération, globalement à 30-40deg AC Magnétisme nul  Contacts progressifs pas clairement définis  Altération: 251-265: Chl+ pervasive, Si moy pervasive, Pa moy pervasive, Fk moy en mouchetage, Hm tr en Vnl 265-275: Si+ (localement moy), Chl+ en clastes, Pa moy en clastes, Bo moy en clastes, Fk- en mouchetage 275-279.1: Si+ pervasive, Chl+ en clastes, Bo- en clastes, Pa- en clastes, Cb tr en Vnl, Sr tr 279.1-288: Si+ pervasive et en Vn, Chl+ et Bo+ en clastes, Cb- en Vnl et Vn 288-318.5: Si+ pervasive, Chl+ en clastes, Bo moy en clastes, feldspaths moy. verts en mouchetage (albite?, épidotisation?), Sr en amas-patch (=clastes?), localement Pa 318.5-324.9: Si+ pervasive, Chl+ en clastes, Bo moy en clastes, Fk- blancs en mouchetage, Hm- en Vnl, Cb- en Vnl, Ep- en Vnl 324.9-338: Si+ pervasive, Chl+ en clastes, Bo- en clastes, Pa- en clastes, Hm tr en Vnl, Cb tr en Vnl, Sr	252.00	253.00	P296425	1.00	0.060	0.60	26.5	792.0
			253.00	254.50	P296426	1.50	0.005	0.10	31.0	136.0
			254.50	256.00	P296427	1.50	0.005	0.10	31.0	43.0
			256.00	257.50	P296428	1.50	0.005	0.10	29.0	48.0
			257.50	259.00	P296429	1.50	0.005	0.10	32.0	45.0
			259.00	260.50	P296431	1.50	0.005	0.10	55.0	60.0
			260.50	262.00	P296433	1.50	0.005	0.10	37.0	100.0
			262.00	263.50	P296434	1.50	0.005	0.20	24.0	85.0
			263.50	265.00	P296435	1.50	0.005	0.10	40.0	70.0

AC

Description	Analyse							
	Dø	Å	Numéro	Longueur	Au_Final (g/l)	Ag_Final (ppm)	Cu_Final (ppm)	Zn_Final (ppm)
<p>Ir en Vnl</p> <p>338-346: Si+ pervasive, Chl moy en clastes, Pa moy pervasive, Fk moy en mouchetage, Bo- en clastes, Cb- en Vnl, Hm tr en Vnl</p> <p>346-367: Si+ pervasive, Chl+ en clastes, Bo- en clastes, Pa- en clastes, Cb- (voir localement moy) en patches et Vnl</p> <p>367-381: Si+ pervasive, Chl moy en clastes, Bo- en clastes, Pa- en clastes, Hm- (voir moy) en Vnl, Cb- (localement +) en Vnl/Vn, Sr tr</p> <p>381-390.1: Si+ (à moy) pervasive, Pa moy en clastes, Fk moy en mouchetage, Chl- en clastes, Cb- en Vnl/Vn, Sr- en Vnl</p> <p>390.1-399.3: Si+ (à moy) pervasive, Pa moy en clastes, Fk moy en mouchetage, Cb moy en Vnl/Vn/patches, Chl- en clastes, Hm- en Vnl</p> <p>Minéralisation:</p> <p>251-273.5: Py tr en grains disséminés automorphes (jusqu'à 0.4mm), à 50% associés à Vnl de Cb</p> <p>273.5-274.6: Py 1% en grains disséminés principalement dans Vnl de Cb</p> <p>274.6-280.5: Py 0.5%, 50% en grains disséminés, 50% dans Vnl de Cb</p> <p>280.5-281.5: Py 3% en alignement de grains, associée à petit stockwerk (Vnl de Cb)</p> <p>281.5-286.1: Py tr localement 0.5% en grains disséminés</p> <p>286.1-287.1: Py 1-2% en amas de grains</p> <p>287.1-291: Py tr, Po tr en grains disséminés</p> <p>305.4-309.3: Py tr en grains disséminés, en Vnl (10%) et en patches (10%)</p> <p>316-354.4: Localement Py tr en grains disséminés et 20% associés à Vnl de Cb</p> <p>361-362: Py 0.5% e ngrains disséminés</p> <p>367-369.4: Py tr e ngrains disséminés</p> <p>369.4-373: Py 0.5% localement 1% en grains disséminés intimement liés à l'altération Vn de Cb et Vnl d'Hm</p> <p>391-396: Py tr e ngrains disséminés</p>								



Description	Analyse									
	De	À	Numéro	Longueur	Au_Final (g/t)	Ag_Final (ppm)	Cu_Final (ppm)	Zn_Final (ppm)		
<p>Structure:</p> <p>294.9-296.2: Frct moy, le long de l'axe de la carotte</p> <p>296.2-296.7: Frct+ blocs anguleux à subarrondis, taille en 0.5cm et 2cm</p> <p>305.3-305.6: Cisaillement à 35deg AC avec faille marquée par de la boue</p> <p>305.6-308: Frct- blocs anguleux de 3 à 10cm</p> <p>358.9-359.4: Frct+, blocs anguleux de 1 à 3cm</p> <p>367.9-368.5: Brèche à Vn/Vnl Hm et Cb avec géode de Cb et Py automorphe (1mm)</p> <p>394.3-395.7: Frct moy, blocs anguleux de 2 à 8cm</p> <p>Veine:</p> <p>282.3-288: Intervalle à forte concentration de Vn de Cb (80%) et Qz (20%)</p> <p>372.3-373: Vn Qz, Chl et Cb blancs et rose/rouge associée à un cisaillement (faille?), Py 0.5% en grains disséminés. Contacts à 35deg AC</p> <p>393.8-394.3: Vn (70%) de Cb blancs laiteux. Py tr en grains disséminés. Pas d'orientation préférentielle</p> <p>Excepté:</p> <p>276.3-277: I3A</p> <p>354.4-359.5: I2, pFp</p> <p>363.3-365.7: I3, FIN</p> <p>377.5-380.6: I3, FIN</p> <p>398.1-399.3: I1G</p>										
251.00	265.00	<p>Chl+; SIL; PA; Fk; HMtr</p> <p><b>Chloritisation forte; Silicification;</b></p> <p><b>Paragonite; Feldspath potassique;</b></p> <p><b>Hématisation tr</b></p> <p>Chl+ pervasive, Si moy pervasive, Pa moy pervasive, Fk moy en mouchetage, Hm tr en Vnl</p>								
265.00	275.00	<p>SIL+; Chl+; PA; BO; Fk-</p> <p><b>Silicification forte; Chloritisation forte; Paragonite; Biotisation;</b></p> <p><b>Feldspath potassique -</b></p> <p>Si+ (localement moy), Chl+ en clastes,</p>	265.00	266.50	P296436	1.50	0.005	0.10	38.0	63.0
			266.50	268.00	P296437	1.50	0.005	0.10	20.0	59.0
			268.00	269.50	P296438	1.50	0.008	0.10	46.0	61.5
			269.50	271.00	P296439	1.50	0.005	0.10	50.0	92.0

MAUDORE MINERALS Ltd

AC

Description		Analyse							
		De	À	Numéro	Longueur	Au_Final (g/l)	Ag_Final (ppm)	Cu_Final (ppm)	Zn_Final (ppm)
		271.00	272.50	P296440	1.50	0.005	0.10	43.0	54.0
	Pa moy en clastes, Bo moy en clastes, Fk- en mouchetage	272.50	274.00	P296441	1.50	0.010	0.10	145.0	38.0
273.50	274.60	274.00	275.50	P296442	1.50	0.005	0.10	52.0	56.0
	Py01 <b>Pyrite 1%</b> Py 1% en grains disséminés principalement dans Vnl de Cb								
274.60	280.50								
	Py00.5 <b>Pyrite 0.5%</b> Py 0.5%, 50% en grains disséminés, 50% dans Vnl de Cb								
	Excepté: 276.3-277; I3A								
275.00	279.10	275.50	277.00	P296443	1.50	0.020	0.40	183.0	124.0
	SIL+; CHl+; BO-; PA-; CBtr; SRtr <b>Silicification forte; Chloritisation forte; Biotisation faible; Paragonite faible; Carbonatisation tr; Séricitisation tr</b> Si+ pervasive, CHl+ en clastes, Bo- en clastes, Pa- en clastes, Cb tr en Vnl, Sr tr								
	Excepté: 276.3-277; I3A								
276.30	277.00	277.00	278.50	P296444	1.50	0.010	0.10	51.0	113.0
	I3A								
	Gabbro	278.50	279.00	P151570	0.50	0.002	0.10	31.0	73.0
	Gabbro	279.00	280.50	P296445	1.50	0.830	0.80	119.0	240.0
	Roche vert homogène Microgrenue Cisaillée selon la foliation à 35deg AC Contacts fracturés non visibles Magnétisme fort Minéralisation 0.5% à 1% de Py								
279.10	288.00								
	SIL+; CHl+; BO+; CB- <b>Silicification forte; Chloritisation forte; Biotisation forte; Carbonatisation faible</b> Si+ pervasive et en Vn, CHl+ et Bo+ en clastes, Cb- en Vnl et Vn								

MAUDORE MINERALS Ltd

Description			Analyse							
			De	À	Numéro	Longueur	Au_Final (g/t)	Ag_Final (ppm)	Cu_Final (ppm)	Zn_Final (ppm)
280.50	281.50	Py03 <b>Pyrite 3%</b> Py 3% en alignement de grains, associée à petit stockwerk (Vnl de Cb)	280.50	281.50	P296446	1.00	1.520	1.20	39.0	178.0
281.50	286.10	Pytr <b>Pyrite tr</b> Py tr localement 0.5% en grains disséminés	281.50	283.00	P296448	1.50	1.860	3.80	75.0	190.0
282.30	288.00	VEI;30%;Cb Qz;... <b>Veine 30% Carbonate Quartz</b> Intervalle à forte concentration de Vn de Cb (80%) et Qz (20%)	283.00	284.50	P296449	1.50	0.150	0.70	60.0	146.0
			284.50	286.00	P296450	1.50	0.010	0.20	88.5	111.0
			286.00	286.60	P296451	0.60	0.040	0.70	75.0	265.0
286.10	287.10	Py01 <b>Pyrite 1%</b> Py 1-2% en amas de grains	286.60	287.10	P296453	0.50	0.300	1.00	33.0	394.0
287.10	291.00	Pytr; Potr <b>Pyrite tr; Pyrrhotine tr</b> Py tr, Po tr en grains disséminés	287.10	288.10	P296454	1.00	0.010	0.20	25.0	148.0
288.00	318.50	SIL+; Chl+; BO; Fk; SR; PA- <b>Silicification forte; Chloritisation</b> forte; Biotisation; Feldspath potassique; Séricitisation; <b>Paragonite faible</b> Si+ pervasive, Chl+ en clastes, Bo moy en clastes, feldspaths moy, verts en mouchetage (albite?, épidotisation?), Sr en amas-patch (=clastes?), localement Pa	288.10	289.00	P296456	0.90	0.005	0.10	31.0	108.0
			289.00	289.50	P296457	0.50	0.005	0.10	3.0	91.0
			289.50	290.50	P296458	1.00	0.008	0.15	47.5	91.5
			290.50	292.00	P296459	1.50	0.005	0.10	58.0	95.0
294.90	296.20	FRC <b>Fracturé(e)</b> Frct moy, le long de l'axe de la carotte								
296.20	296.70	FRC+ <b>Fracturation forte</b>	303.90	305.40	P296460	1.50	0.015	0.10	38.0	39.0

MAUDORE MINERALS Ltd

AC

Description			Analyse							
			De	À	Numéro	Longueur	Au_Final (g/t)	Ag_Final (ppm)	Cu_Final (ppm)	Zn_Final (ppm)
305.30	305.60	Frct+ blocs anguleux èa subarrondis, taille en 0.5cm et 2cm  CIS+; FAI <b>Cisaillement fort; Faille</b> Cisaillement à 35deg AC avec faille marquée par de la boue								
305.40	309.30	Pytr <b>Pyrite tr</b> Py tr en grains disséminés, en Vnl (10%) et en patchs (10%)	305.40	305.90	P296461	0.50	0.280	1.50	459.0	116.0
305.60	308.00	FRC- <b>Fracturation faible</b> Frct- blocs anguleux de 3 à 10cm	305.90	307.00	P296463	1.10	0.010	0.10	44.0	110.0
			307.00	308.30	P296464	1.30	0.180	0.70	48.0	132.0
			308.30	309.30	P296465	1.00	0.080	0.50	88.0	87.0
			309.30	310.00	P296466	0.70	0.005	0.10	38.0	54.0
			310.00	310.50	P151571	0.50	0.002	0.10	62.0	43.0
			310.50	312.00	P296467	1.50	0.005	0.20	48.0	58.0
316.00	354.40	Pytr <b>Pyrite tr</b> Localement Py tr en grains disséminés et 20% associés à Vnl de Cb	316.00	317.50	P296468	1.50	0.005	0.10	37.0	44.0
			317.50	319.00	P296469	1.50	0.005	0.20	185.0	59.0
318.50	324.90	SIL+; Chl+; BO; Fk; HM-; CB-; EP- <b>Silicification forte; Chloritisation</b> <b>forte; Biotisation; Feldspath</b> <b>potassique; Hématisation faible;</b> <b>Carbonatation faible;</b> <b>Épidotisation faible</b> Si+ pervasive, Chl+ en clastes, Bo moy en clastes, Fk- blancs en mouchetage, Hm- en Vnl, Cb- en Vnl, Ep- en Vnl	319.00	320.50	P296470	1.50	0.005	0.20	19.0	67.0
			320.50	322.00	P296471	1.50	0.005	0.20	15.0	61.0
			322.00	323.50	P296472	1.50	0.010	0.30	58.0	56.0
			323.50	325.00	P296473	1.50	0.010	0.20	65.0	63.0
324.90	338.00	SIL+; Chl+; BO-; PA-; HMtr; CBtr; SRtr <b>Silicification forte; Chloritisation</b> <b>forte; Biotisation faible;</b> <b>Paragonite faible; Hématisation tr;</b> <b>Carbonatation tr; Séricitisation</b>	325.00	326.50	P296474	1.50	0.005	0.20	24.0	62.0
			326.50	328.00	P296475	1.50	0.010	0.10	42.0	61.0
			328.00	329.50	P296476	1.50	0.005	0.10	32.0	63.0
			329.50	331.00	P296477	1.50	0.005	0.10	18.0	62.0

MAUDORE MINERALS Ltd

AC

Description		Analyse							
		De	À	Numéro	Longueur	Au_Final (g/t)	Ag_Final (ppm)	Cu_Final (ppm)	Zn_Final (ppm)
		331.00	332.50	P296478	1.50	0.010	0.30	112.0	64.0
	tr								
	Si+ pervasive, Chl+ en clastes, Bo- en clastes, Pa- en clastes, Hm tr en Vnl, Cb tr en Vnl, Sr tr en Vnl	332.50	334.00	P296480	1.50	0.005	0.10	23.0	51.0
		334.00	335.50	P296481	1.50	0.005	0.10	15.0	54.0
		335.50	337.00	P296483	1.50	0.005	0.10	23.0	62.0
		337.00	338.50	P296484	1.50	0.005	0.20	26.0	62.0
338.00	346.00	338.50	340.00	P296485	1.50	0.005	0.20	63.0	58.0
	SIL+; Chl; PA; Fk; BO-; CB-; HMtr								
	Silicification forte; Chloritisation;	340.00	340.50	P151572	0.50	0.005	0.10	74.0	48.0
	Paragonite; Feldspath potassique;	340.50	341.50	P296486	1.00	0.010	0.10	62.0	50.0
	Biotisation faible; Carbonatisation	341.50	343.00	P296487	1.50	0.130	0.50	75.0	86.0
	faible; Hématisation tr								
	Si+ pervasive, Chl moy en clastes, Pa moy pervasive, Fk moy en mouchetage,	343.00	344.50	P296489	1.50	1.190	3.20	1 130.0	163.0
	Bo- en clastes, Cb- en Vnl, Hm tr en Vnl	344.50	346.00	P296490	1.50	0.010	0.30	75.0	58.0
346.00	367.00	346.00	347.50	P296491	1.50	0.010	0.20	109.0	68.0
	SIL+; Chl+; BO-; PA-; CB-								
	Silicification forte; Chloritisation	347.50	349.00	P296492	1.50	0.008	0.10	52.0	60.0
	forte; Biotisation faible;	349.00	350.50	P296493	1.50	0.005	0.10	27.0	60.0
	Paragonite faible; Carbonatisation	350.50	352.00	P296494	1.50	0.005	0.10	19.0	51.0
	faible								
	Si+ pervasive, Chl+ en clastes, Bo- en clastes, Pa- en clastes, Cb- (voir localement moy) en patchs et Vnl	352.00	353.00	P296495	1.00	0.005	0.20	45.0	54.0
		353.00	354.50	P296496	1.50	0.005	0.10	33.0	60.0
	Excepté:								
	354.4-359.5: I2, pFp								
	363.3-365.7: I3, FIN								
354.40	359.50								
	I2; pFp								
	Intrusion Intermédiaire; Porphyre de Feldspath 35°								
	Intrusion intermédiaire								
	Roche grise								
	Matrice microgrenue grise								
	Mouchetage de pFp (3-4mm) blancs à roses								
	Contacts nets concordants à 35deg AC								
	Py 0.5% en grains disséminés								
358.90	359.40	359.50	361.00	P296497	1.50	0.010	0.10	34.0	60.0
	FRC+								
	Fracturation forte								
	Frct+, blocs anguleux de 1 à 3cm								

MAUDORE MINERALS Ltd

AC

Description			Analyse							
			De	À	Numéro	Longueur	Au_Final (g/t)	Ag_Final (ppm)	Cu_Final (ppm)	Zn_Final (ppm)
361.00	362.00	Py00.5 Pyrite 0.5%	361.00	362.00	P296498	1.00	0.020	0.10	98.0	57.0
		Py 0.5% e ngrains disséminés	362.00	363.40	P296499	1.40	0.005	0.20	33.0	47.0
363.30	365.70	I3; FIN Intrusion mafique; Grains fins Intrusion mafique Roche grise massive homogène à grains fins (microgrenue) Contacts flous Pas de minéralisation								
367.00	381.00	SiL+; Chl; BO-; PA-; HM-; CB-; SRtr Silicification forte; Chloritisation; Blotisation faible; Paragonite faible; Hématite faible; Carbonatation faible; Séricitisation tr Si+ pervasive, Chl moy en clastes, Bo- en clastes, Pa- en clastes, Hm- (voir moy) en Vnl, Cb- (localement +) en Vnl/Vn, Sr tr  Excepté: 377.5-380.6: I3, FIN	367.00	368.00	P296500	1.00	0.010	0.10	14.5	52.5
367.00	369.40	Pytr Pyrite tr Py tr e ngrains disséminés								
367.90	368.50	BRE Bréchtique Brèche à Vn/Vnl Hm et Cb avec géode de Cb et Py automorphe (1mm)	368.00	369.00	P296501	1.00	0.005	0.10	28.0	41.0
			369.00	370.00	P296503	1.00	0.020	0.10	43.0	55.0
369.40	373.00	Py00.5 Pyrite 0.5% Py 0.5% localement 1% en grains disséminés intimement liés à l'altération Vn de Cb et Vnl d'Hm	370.00	370.50	P151576	0.50	0.006	0.10	16.0	50.0
			370.50	371.50	P296504	1.00	0.010	0.10	22.0	49.0
			371.50	373.00	P296505	1.50	0.170	1.40	49.0	51.0

MAUDORE MINERALS Ltd

AC

Description			Analyse							
			De	À	Numéro	Longueur	Au_Final (g/t)	Ag_Final (ppm)	Cu_Final (ppm)	Zn_Final (ppm)
372.30	373.00	CIS+ Cisaillement fort Cisaillement, présence d'une faille?								
372.30	373.00	VEI;60%;Qz Cb Cl;35%;Py00.5; Veine 60% Quartz Carbonate Chlorite 35* Pyrite 0.5% Vn Qz, Chl et Cb blancs et rose/rouge associée à un cisaillement (faille?), Py 0.5% en grains disséminés. Contacts à 35deg AC								
377.50	380.60	I3; FIN Intrusion mafique; Grains fins Intrusion mafique Roche massive homogène, aphanitique Altération en Hm moy en Vnl Py tr en grains disséminés Contact sup. net discordant à 50deg AC, contact inf. discordant à 45deg AC	379.00	380.50	P296506	1.50	0.020	0.10	71.0	41.0
			380.50	382.00	P296508	1.50	0.005	0.10	38.0	45.0
381.00	390.10	SIL+; PA; Fk; Chl-; CB-; SRtr Silicification forte; Paragonite; Feldspath potassique; Chloritisation faible; Carbonatation faible; Séricitisation tr Si+ (à moy) pervasive, Pa moy en clastes, Fk moy en mouchetage, Chl- en clastes, Cb- en Vnl/Vn, Sr- en Vnl	382.00	383.50	P296509	1.50	0.005	0.10	40.0	50.0
			383.50	385.00	P296510	1.50	0.020	0.10	40.0	55.0
			385.00	386.50	P296511	1.50	0.005	0.10	5.0	57.0
390.10	399.30	SIL+; PA; Fk; CB; Chl-; HM- Silicification forte; Paragonite; Feldspath potassique; Carbonatation; Chloritisation faible; Hématitisation faible Si+ (à moy) pervasive, Pa moy en clastes, Fk moy en mouchetage, Cb moy en Vnl/Vn/patches, Chl- en clastes, Hm- en Vnl  Excepté:								

MAUDORE MINERALS Ltd

AC

Description			Analyse							
			De	À	Numéro	Longueur	Au_Final (g/t)	Ag_Final (ppm)	Cu_Final (ppm)	Zn_Final (ppm)
391.00	396.00	398.1-399.3: I1G Pyr <b>Pyrite tr</b> Py tr en grains disséminés	391.00	392.50	P296512	1.50	0.005	0.10	44.0	62.0
			392.50	394.00	P296513	1.50	0.010	0.10	21.0	66.0
393.80	394.30	VEI;70%;Cb;;;Pyr; <b>Veine 70% Carbonate Pyrite tr</b> Vn (70%) de Cb blancs laiteux. Py tr en grains disséminés. Pas d'orientation préférentielle	394.00	395.50	P296515	1.50	0.120	0.60	134.0	73.0
394.30	395.70	FRC <b>Fracturé(e)</b> Frct moy, blocs anguleux de 2 à 8cm	395.50	397.00	P296516	1.50	0.005	0.10	14.0	72.0
398.10	399.30	I1G <b>Pegmatite 50°</b> Pegmatite Couleur rose Présence de porphyre de muscovite Quelques Vn d'aplite recoupe l'intrusif Contacts nets discordants à 50deg AC  Avec de 382-397: Série de Vn de I1G à muscovite, de 1 à 4cm	399.00	400.50	P296517	1.50	0.005	0.10	7.0	36.0
399.30	411.40	V2-V3; pFp; T1 <b>Volcanite intermédiaire à mafique; Porphyre de Feldspath; Tuf à lapillis</b> Volcanite intermédiaire à mafique Teintes variables, généralement gris sombre Clastes présentes mais peu visibles, taille variable entre 5mm et 2-3cm, environ 20-30% de clastes Matrice à grains fins de couleur gris foncé Foliation marquée par l'allongement des clastes et les nuances d'altération, globalement à 30-40deg AC Magnétisme nul Environ 30 à 40% de pFp en mouchetage regroupés en amas (clastes?)  Contacts progressifs pas clairement définis  Altération:								



MAUDORE MINERALS Ltd

AC

Description		Analyse								
		De	À	Numéro	Longueur	Au_Final (g/t)	Ag_Final (ppm)	Cu_Final (ppm)	Zn_Final (ppm)	
399.30	411.40	Si+ (à moy) pervasive, Pa moy pervasive et en clastes, Fk moy (localement fort) en mouchetage regroupés en amas, Cb- en Vnl SIL+; PA; CB-; Fk Silicification forte; Paragonite; Carbonatisation faible; Feldspath potassique Si+ (à moy) pervasive, Pa moy pervasive et en clastes, Fk- en mouchetage, Cb- en Vnl	400.50	401.00	P151577	0.50	0.008	0.10	76.0	44.0
			401.00	402.50	P296518	1.50	0.005	0.10	106.0	44.0
411.40	541.00	V2-V3; TI Volcanite intermédiaire à mafique; Tuf à lapillis Volcanite intermédiaire à mafique Teintes variables, généralement gris sombre Clastes présentes mais peu visibles, taille variable entre 5mm et 2-3cm, environ 20-30% de clastes, parfois marqués par la présence de porphyres de feldspaths (ou feldspathisation ?) Matrice à grains fins de couleur gris foncé Foliation marquée par l'allongement des clastes et les nuances d'altération, globalement à 30-40deg AC Magnétisme faible à moyen localisé dans les bandes sombres riches en chlorite et biotite; sinon magnétisme nul dans l'ensemble.  Contacts progressifs pas clairement définis  Altération: 411.4-415.5: Si+ pervasive, Chi+ en clastes, Pa moy en clastes, Fk- en mouchetage, Cb- et Hm- en Vnl 415.5-429: Si+ pervasive, Bo+ en clastes, Chl moy en clastes, Sr- en Vnl/Vn, Cb Ir en Vnl 429-432: Si+ pervasive, Chi+ en clastes, Bo+ en clastes, Cb Ir en Vnl 432-441.4: Silice pervasive, faible chlorite, biotite intersticielle, calcite en veinules et pervasive autour de celles-ci. 441.4-466: Silicification forte pervasive (feldspathisation ??), Feldspathisation, biotitisation et	413.50	415.00	P296519	1.50	0.010	0.10	52.0	65.0

MAUDORE MINERALS Ltd

AC

Description	Analyse							
	De	À	Numéro	Longueur	Au_Final (g/t)	Ag_Final (ppm)	Cu_Final (ppm)	Zn_Final (ppm)
<p>chloritisation modérées (très localement intense) en bandes souvent associées avec la magnétite, calcitisation en veinules et pervasives en étroite relation avec la feldspathisation.</p> <p>466-473.5: Silice pervasive, biotitisation et chloritisation intenses en bandes associées avec la magnétite, calcitisation en veinules, localement feldspathisation.</p> <p>473.5-487: Silicification moyenne, chlorite moyenne, biotitisation faible, calcitisation en veinules et pervasive (teinte pâle), paragonite (micas blancs) faible, hématite faible à moyenne (en veinules dans quartz et calcite) et pervasive.</p> <p>487-499.5: Silice moyenne, biotitisation et chloritisation moyenne à intense en bandes concordantes, faible feldspathisation, faible calcitisation.</p> <p>499.5-506.: Silice moyenne, biotitisation et chloritisation moyenne à intense en bandes concordantes, calcitisation moyenne en veinules et diffuse donnant à la roche une teinte plus pâle, faible hématitisation diffuse.</p> <p>506-523.4: Silice moyenne, biotitisation faible, chlorite moyenne, moyennement magnétique (magnétite en association avec bandes foncé), faible calcitisation en taches et en veinules.</p> <p>523.4-527.4: Silice moyenne, chloritisation moyenne, calcitisation forte à moyenne diffuse, fortement magnétique, paragonite (teinte grisâtre); localement bandes mmtriques de silice en injections à texture chertreuse.</p> <p>527.4-541.0: Silicification forte (parfois intense) semblant intimement associée à la présence de magnétite (magnétisme fort à intense), hématitisation en veinules et diffuse, faible séricitisation locale avec paragonite faible (micas blancs), calcitisation faible. La silicification et la séricitisation se présentent souvent comme une bréchification in-situ d'apparence discrète et difficile à cerner.</p> <p>Minéralisation:</p>								

MAUDORE MINERALS Ltd

AC

Description	Analyse							
	De	À	Numéro	Longueur	Au_Final (g/t)	Ag_Final (ppm)	Cu_Final (ppm)	Zn_Final (ppm)
<p>415-427.1: Py 3%, localement 5% en grains disséminés</p> <p>427.1-435.1: Py tr en grains disséminés</p> <p>435.1-436.6: tr-1% Py en grains disséminés et en fine veinules mm discordantes 30 deg a/c.</p> <p>436.6-467.2: tr Py en fins grains disséminés</p> <p>467.2-468.1: 1-2% Py en grains disséminés et aplatis, aussi en veinules concordantes, surtout concentrée près des plans de failles</p> <p>468.1-469.4: tr-1% Py en grains disséminés et aplatis, aussi en veinules concordantes, surtout concentrée près des plans de failles</p> <p>469.4-472.0: 2-4% Py en grains disséminés et aplatis dans les éponges décimétriques et enclaves de veines de calcite-quartz-(chlorite) concordantes (localement jusqu'à 10-15% Py sur quelques décimètres)</p> <p>472.0-472.9: 3-5% Py en grains de 2-3mm aplatis dans la schistosité; intervalle correspondant à l'éponte inf des veines précédentes.</p> <p>472.9-477.4: 1% Py en grains de 2-3mm aplatis dans la schistosité.</p> <p>477.4-479.7: 1% Py en grains de 2-3mm aplatis dans la schistosité et concentrée dans les secteurs faillés.</p> <p>479.7-486.6: tr Py</p> <p>486.6-487.1: tr-1% Py en grains de 2-3mm aplatis dans la schistosité.</p> <p>487.1-489.5: tr Py</p> <p>489.5-498.3: tr-1% Py en grains de 2-3mm aplatis dans la schistosité, en concentrations ("amas") centimétriques aplatis et concordant, rarement en fines veinules sub-mm discordantes (20 deg a/c).</p> <p>498.3-502.0: 1% Py Py en grains de 2-3mm aplatis dans la schistosité, en concentrations ("amas") centimétriques aplatis et concordant</p> <p>502.0-502.7: tr-1% Py et 1% Cpy-Po, concentrés dans une veinule de 1-2cm concordante (45 deg a/c)</p> <p>502.7-506.4: tr Py</p> <p>506.4-507.5: tr-1% Py en grains aplatis dans la schistosité, en concentrations ("amas") centimétriques aplatis et concordant</p>								

Description	Analyse							
	De	À	Numéro	Longueur	Au_Final (g/t)	Ag_Final (ppm)	Cu_Final (ppm)	Zn_Final (ppm)
<p>507.5-508.0: 1% Cpy-Po et 1% Py concentrés dans une veinule de calcite-quartz de 1-2cm et concordante, dans intervalle folié à 30 deg a/c; fortement magnétique.</p> <p>508.0-511.4: tr-1% Py en grains aplatis dans la schistosité, en concentrations ("amas") centimétriques aplatis et concordant (45 deg a/c)</p> <p>511.4-514.2: tr Py</p> <p>519.6-526.4: tr Py en grains aplatis dans la schistosité, en concentrations ("amas") centimétriques aplatis et concordant (45 deg a/c)</p> <p>526.4-527.4: 1-2% Py disséminée, dans intervalle séricitisé et très faiblement biotitisé, avec silicification "cherteuse"</p> <p>527.4-532.4: Tr Py, disséminée ou en concentrations ("amas") centimétriques.</p> <p>532.4-532.9: 1% Py, en chapelets parallèles à la foliation anormale (30 deg a/c, pas de lignes d'orientation)</p> <p>532.9-535.2: tr Py</p> <p>535.2-537.1: tr-2% de Py très fine (&lt;0,5mm) et alignée dans les plans de foliation (35 deg a/c)</p> <p>537.1-541.0: tr Py</p> <p>Structure:</p> <p>433-435: Frct-, blocs anguleux de 5-20cm</p> <p>465.4-465.6: Faille marquée par boue, orientation dans la foliation 35deg AC</p> <p>470.3-470.5: Faille marquée par boue de faille</p> <p>474.9-478.9: Frct moy, blocs de 2 à 10cm, fractures dans la foliation</p> <p>478.9-479.5: Zone bréchique, bordure de la faille</p> <p>479.5-479.7: Faille avec boue</p> <p>484-484.5: Petit stockwerk avec fine Vnl de Cb et Hm</p> <p>487-487.6: Zone de faille avec Vnl de Hm</p> <p>491-510: Frct- sur l'ensemble de l'intervalle, passage 20-30 à blocs centimétriques (1 à 5cm) tous les 0.5-1m en moyenne</p> <p>503.9-507.5: Zone de faille bréchique, forte fracturation.</p> <p>513.5-514.0: Forte fracturation.</p>								

Description	Analyse							
	De	À	Numéro	Longueur	Au_Final (g/t)	Ag_Final (ppm)	Cu_Final (ppm)	Zn_Final (ppm)
522.5-523.0: Forte fracturation, 0,4m de carotte non-récupérée. 529.0-530.0: Fracturation moyenne 531.5-532.4: Fracturation moyenne à forte.  Veine: 415.3-415.7: Vn (100%) à Qz (90%) et Cb, Chl, Py tr en grains automorphes 470.5-471.9: Vn (80%) à Cb (80%) et Qz, Chl. Non minéralisée sauf les enclaves à Py 5%  Excepté: 420.8-422: I3, FIN 443-443.6: I3, FIN 445.2-445.8: I3, FIN 514.2-519.6: I2 pFp Am, HM+, MG+								
411.40 415.50 SIL+; Chl+; PA; CB-; HM-; Fk Silicification forte; Chloritisation forte; Paragonite; Carbonatation faible; Hématitisation faible; Feldspath potassique Si+ pervasive, Chl+ en clastes, Pa moy en clastes, Fk- en mouchelage, Cb- et Hm- en Vnl								
415.00 427.10 Py03 Pyrite 3% Py 3%, localement 5% en grains disséminés	415.00	415.70	P296520	0.70	0.370	0.40	69.0	284.0
415.30 415.70 VEI;100%;Qz Cb Cl;;Pytr; Veine 100% Quartz Carbonate Chlorite Pyrite tr Vn (100%) à Qz (90%) et Cb, Chl, Py tr en grains automorphes								
415.50 429.00 SIL+; BO+; Chl; SR-; CBr Silicification forte; Blotisation forte; Chloritisation; Séricitisation faible; Carbonatation tr	415.70	416.50	P296521	0.80	0.380	2.30	453.0	217.0
	416.50	418.00	P296522	1.50	0.050	0.20	82.5	63.5
	418.00	419.50	P296523	1.50	0.020	0.10	67.0	53.0
	419.50	421.00	P296524	1.50	0.020	0.10	91.0	43.0

MAUDORE MINERALS Ltd

AC

Description			Analyse							
			De	À	Numéro	Longueur	Au_Final (g/t)	Ag_Final (ppm)	Cu_Final (ppm)	Zn_Final (ppm)
420.80	422.00	I3; FIN Si+ pervasive, Bo+ en clastes, Chl moy en clastes, Sr- en Vnl/Vn, Cb tr en Vnl  Excepté: 420.8-422: I3, FIN	421.00	422.50	P296525	1.50	0.005	0.10	43.0	51.0
		<b>Intrusion mafique; Grains fins 40*</b>	422.50	424.00	P296526	1.50	0.020	0.10	39.0	35.0
		Intrusion mafique	424.00	425.50	P296527	1.50	0.030	0.20	28.0	39.0
		Gris sombre, aphanitique	425.50	427.00	P296528	1.50	0.070	0.20	105.0	44.0
		Contacts concordants à 40deg AC	427.00	428.50	P296530	1.50	0.110	0.30	162.0	43.0
		Pas de minéralisation, mias Py 1% aux contacts de l'intrusif								
427.10	435.10	Pytr <b>Pyrite tr</b> Py tr en grains disséminés	428.50	430.00	P296531	1.50	0.010	0.10	86.0	38.0
429.00	432.00	SIL+; Chl+; BO+; CBtr	430.00	430.50	P151579	0.50	0.009	0.10	42.0	33.0
		<b>Silicification forte; Chloritisation forte; Biotisation forte;</b>	430.50	431.50	P296532	1.00	0.005	0.10	7.0	35.0
		<b>Carbonatation tr</b>	431.50	433.00	P296533	1.50	0.070	0.10	87.0	41.0
432.00	441.40	Si+ pervasive, Chl+ en clastes, Bo+ en clastes, Cb tr en Vnl  SIL; Chl-; BO; CB <b>Silicification; Chloritisation faible; Biotisation; Carbonatation</b>  Silice pervasive, faible chlorite, biotite intersticielle, calcite en veinules et pervasives autour de celles-ci.	433.00	434.10	P296534	1.10	0.010	0.10	40.0	31.0
433.00	435.00	<b>FRC-</b> <b>Fracturation faible</b> Frct-, blocs anguleux de 5-20cm	434.10	435.10	P296535	1.00	0.010	0.10	29.0	31.0
435.10	436.60	Pytr-1 <b>Pyrite tr-1</b> tr-1% Py en grains disséminés et en fine veinules mm discordantes 30 deg a/c.	435.10	436.60	P296537	1.50	0.090	0.20	111.5	51.0
436.60	467.20	Py; Pytr <b>Pyrite; Pyrite tr</b> tr Py en fins grains disséminés	436.60	438.10	P296538	1.50	0.190	0.20	74.0	44.0
			438.10	439.60	P296539	1.50	0.040	0.10	54.0	47.0
			439.60	441.10	P296540	1.50	0.010	0.10	28.0	47.0
			441.10	442.60	P296541	1.50	0.030	0.10	88.0	41.0

MAUDORE MINERALS Ltd

AC

Description			Analyse							
			De	À	Numéro	Longueur	Au_Final (g/l)	Ag_Final (ppm)	Cu_Final (ppm)	Zn_Final (ppm)
441.40	466.00	SIL+; Fk; BO-; CHL-; MG-; CB Silicification forte; Feldspath potassique; Biotisation faible; Chloritisation faible; Magnétite faible; Carbonatation Silicification forte pervasive (feldspathisation ??), Feldspathisation, biotitisation et chloritisation modérées (très localement intense) en bandes souvent associées avec la magnétite, calcitisation en veinules et pervasives en étroite relation avec la feldspathisation.  excepté 443.0-443.6: I3;FIN 445.2-445.8: I3;FIN	442.60	444.10	P296542	1.50	0.050	0.20	147.0	21.0
443.00	443.60	I3; FIN Intrusion mafique; Grains fins Intrusion mafique Roche gris-vert homogène massive aphanitique Contacts nets discordants à 70deg AC Py tr finement disséminée	444.10	445.60	P296543	1.50	0.020	0.10	40.0	28.0
445.20	445.80	I3; FIN Intrusion mafique; Grains fins Intrusion mafique Roche gris-vert homogène massive aphanitique Contacts nets discordants à 70deg AC Py tr finement disséminée	445.60	447.10	P296544	1.50	0.030	0.10	53.0	34.0
			447.10	448.60	P296545	1.50	0.010	0.10	17.0	38.0
			448.60	450.10	P296546	1.50	0.030	0.10	91.0	51.0
			450.10	451.60	P296548	1.50	0.020	0.10	86.0	42.0
			451.60	453.10	P296549	1.50	0.010	0.10	40.0	37.0
			453.10	454.60	P296550	1.50	0.010	0.10	27.0	31.0
			454.60	456.10	P296551	1.50	0.030	0.10	45.0	35.0
			456.10	457.60	P296552	1.50	35.850	2.50	96.0	61.0
			457.60	458.60	P296553	1.00	0.040	0.20	47.0	52.0
			458.60	460.00	P296554	1.40	1.500	2.00	487.0	54.0
			460.00	460.50	P151590	0.50	0.019	0.10	51.0	36.0
			460.50	461.60	P296555	1.10	0.030	0.10	65.0	33.0
			461.60	462.70	P296556	1.10	0.020	0.10	24.0	31.0
			462.70	464.20	P296557	1.50	0.040	0.10	65.0	42.0

MAUDORE MINERALS Ltd

AC

Description			Analyse							
			De	À	Numéro	Longueur	Au_Final (g/t)	Ag_Final (ppm)	Cu_Final (ppm)	Zn_Final (ppm)
		FAI	464.20	465.70	P296558	1.50	0.030	0.10	28.0	43.0
465.40	465.60	<b>Faïlle</b> Faïlle marquée par boue, orientation dans la foliation 35deg AC	465.70	467.20	P296559	1.50	0.040	0.20	83.0	48.0
466.00	473.50	SIL; BO; CHl; MG; CB; Fk <b>Silicification; Biotisation; Chloritisation; Magnétite; Carbonatisation; Feldspath potassique</b> Silice pervasive, biotitisation et chloritisation intenses en bandes associées avec la magnétite, calcitisation en veinules, localement feldspathisation.								
467.20	468.10	Py1-2 <b>Pyrite 1-2</b> 1-2% Py en grains disséminés et aplatis, aussi en veinules concordantes, surtout concentrée près des plans de failles	467.20	468.10	P296560	0.90	0.200	1.00	382.0	43.0
468.10	469.40	Pytr-1 <b>Pyrite tr-1</b> tr-1% Py en grains disséminés et aplatis, aussi en veinules concordantes, surtout concentrée près des plans de failles	468.10	469.40	P296562	1.30	0.070	0.30	170.0	54.0
469.40	472.00	Py2-4 <b>Pyrite 2-4</b> 2-4% Py en grains disséminés et aplatis dans les épontes décimétriques et enclaves de veines de calcite-quartz- (chlorite) concordantes (localement jusqu'à 10-15% Py sur quelques décimètres)	469.40	470.30	P296563	0.90	0.260	1.30	574.0	110.0
470.30	470.50	FAI <b>Faïlle</b> Faïlle marquée par boue de faille	470.30	471.30	P296565	1.00	4.285	1.90	466.0	14.0
470.50	471.90	VEI:80%;Cb Oz Ct;35°; <b>Veine 80% Carbonate Quartz</b>	471.30	472.00	P296566	0.70	0.630	2.20	1 175.0	40.0



MAUDORE MINERALS Ltd

AC

Description		Analyse								
		De	À	Numéro	Longueur	Au_Final (g/t)	Ag_Final (ppm)	Cu_Final (ppm)	Zn_Final (ppm)	
	Chlorite 35° 80% de veines (5cm et 60 cm) de calcite (80%), Qz et chlorite; éponles et enclaves fortement chloritisées et pyritisées; la veine n'est pas minéralisée.									
472.00	472.90	Py3-5 Pyrite 3-5 3-5% Py en grains de 2-3mm aplatis dans la schistosité; intervalle correspondant à l'éponte inf des veines précédentes.	472.00	472.90	P286567	0.90	0.980	1.35	365.0	69.5
472.90	477.40	Py01 Pyrite 1% 1% Py en grains de 2-3mm aplatis dans la schistosité.	472.90	474.40	P286568	1.50	0.090	0.40	117.0	126.0
473.50	487.00	Chl; BO-; CB; PA-; HM Chloritisation; Biotitisation faible; Carbonatation; Paragonite faible; Hématitisation Silicification moyenne, chlorite moyenne, biotitisation faible, calcitisation en veinules et pervasive (teinte pâle), paragonite (micas blancs) faible, hématite faible à moyenne (en veinules dans quartz et calcite) et pervasive.	474.40	475.90	P286569	1.50	0.030	0.40	32.0	72.0
474.90	478.90	FRC Fracturé(s) Frct moy, blocs de 2 à 10cm, fractures dans la foliation	475.90	477.40	P286570	1.50	0.090	0.50	33.0	41.0
477.40	479.70	Py01 Pyrite 1% 1% Py en grains de 2-3mm aplatis dans la schistosité et concentrée dans les secteurs faillés.	477.40	478.90	P286572	1.50	0.100	0.50	141.0	32.0
478.90	479.50	BRE Bréchique Zone bréchique, bordure de la faille	478.90	479.70	P286573	0.80	0.230	0.50	52.0	41.0
479.50	479.70	FAI								

MAUDORE MINERALS Ltd

AC

Description			Analyse							
			De	À	Numéro	Longueur	Au_Final (g/t)	Ag_Final (ppm)	Cu_Final (ppm)	Zn_Final (ppm)
		Faïlle Faïlle avec boue								
479.70	486.60	Pyrr	479.70	481.10	P296574	1.40	0.020	0.50	75.0	423.0
		Pyrrite tr	481.10	482.10	P296575	1.00	0.020	0.45	50.5	41.0
		tr Py	482.10	483.60	P296576	1.50	0.030	0.20	92.0	69.0
			483.60	485.10	P296577	1.50	0.020	0.20	39.0	86.0
484.00	484.50	BRE Bréchique Petit stockwerk avec fine Vnl de Cb et Hm	485.10	486.60	P296578	1.50	0.020	0.20	61.0	69.0
486.60	487.10	Pyrr-1 Pyrrite tr-1 tr-1% Py en grains de 2-3mm aplatis dans la schistosité.	486.60	487.10	P296579	0.50	0.020	0.30	109.0	266.0
487.00	499.50	SIL; BO; Chl; Fk; CB- Silicification; Biotisation; Chloritisation; Feldspath potassique; Carbonatation faible Silice moyenne, biotisation et chloritisation moyenne à intense en bandes concordantes, faible feldspathisation, faible calcitisation.								
487.00	487.60	FAI Faïlle Zone de faïlle avec Vnl de Hm								
487.10	489.50	Pyrr Pyrrite tr tr Py	487.10	487.60	P151591	0.50	0.020	0.20	131.0	58.0
			487.60	488.60	P296580	1.00	0.030	0.20	70.0	54.0
			488.60	489.50	P296582	0.90	0.030	0.10	41.0	39.0
489.50	498.30	Pyrr-1 Pyrrite tr-1 tr-1% Py en grains de 2-3mm aplatis dans la schistosité, en "amas" centimétriques aplatis et concordant, rarement en fines veinules sub-mm discordantes (20 deg a/c).	489.50	490.80	P296583	1.30	0.065	0.20	61.5	111.0
			490.80	492.30	P296584	1.50	0.030	0.20	45.0	48.0

MAUDORE MINERALS Ltd

AC

Description			Analyse							
			De	À	Numéro	Longueur	Au_Final (g/t)	Ag_Final (ppm)	Cu_Final (ppm)	Zn_Final (ppm)
491.00	503.90	FRC- <b>Fracturation faible</b> Frct- sur l'ensemble de l'intervalle, passage 20-30 à blocs centimétriques (1 à 5cm) tous les 0.5-1m en moyenne	492.30	493.80	P296585	1.50	0.030	0.10	53.0	50.0
			493.80	495.30	P296586	1.50	0.070	0.60	248.0	49.0
			495.30	496.80	P296587	1.50	0.080	0.70	299.0	60.0
			496.80	498.30	P296588	1.50	0.020	0.30	40.0	44.0
498.30	502.00	Py01 <b>Pyrite 1%</b> 1% Py Py en grains de 2-3mm aplatis dans la schistosité, en "amas" centimétriques aplatis et concordant	498.30	499.80	P296589	1.50	0.040	0.20	53.0	43.0
499.50	506.00	SIL; BO; Ch; CB; HM- <b>Silicification; Biotisation;</b> <b>Chloritisation; Carbonatation;</b> <b>Hématitisation faible</b> Silice moyenne, biotitisation et chloritisation moyenne à intense en bandes concordantes, calcitisation moyenne en veinules et diffuse donnant à la roche une teinte plus pâle, faible hématitisation diffuse.	499.80	501.00	P296590	1.20	0.040	0.30	56.0	47.0
			501.00	502.00	P296591	1.00	0.070	0.50	59.0	50.0
502.00	506.40	Pyr <b>Pyrite tr</b> tr Py	502.00	502.70	P296592	0.70	1.150	4.80	1 870.0	206.0
			502.70	504.20	P296594	1.50	0.190	0.40	51.0	148.0
503.90	504.40	FAI; BRE <b>Faille; Bréchique</b> Zone de faille bréchique	504.20	505.00	P296595	0.80	0.030	0.30	48.0	43.0
504.40	510.00	CIS- <b>Cisaillement faible</b> Frct- sur l'ensemble de l'intervalle, passage 20-30 à blocs centimétriques (1 à 5cm) tous les 0.5-1m en moyenne	505.00	506.40	P296596	1.40	0.030	0.40	43.0	46.0
506.00	523.40	SIL; CH; MG; BO-; CB- <b>Silicification; Chloritisation;</b> <b>Magnétite; Biotisation faible;</b> <b>Carbonatation faible</b> Silice moyenne, biotitisation faible, chlorite moyenne, moyennement magnétique (magnétite en association)								

MAUDORE MINERALS Ltd

AC

Description		Analyse								
		De	À	Numéro	Longueur	Au_Final (g/t)	Ag_Final (ppm)	Cu_Final (ppm)	Zn_Final (ppm)	
		avec bandes foncé), faible calcilisation en taches et en veinules.								
		excepté								
		514.2-519.6 : I2 pFpAm								
506.40	507.50	Pytr-1	506.40	507.50	P296597	1.10	0.050	0.80	172.0	54.0
		<b>Pyrite tr-1</b>								
		tr-1% Py en grains aplatis dans la schistosité, en "amas" centimétriques aplatis et concordant								
507.50	508.00	Po01; Cp01; Py01	507.50	508.00	P296598	0.50	0.770	5.00	2 310.0	67.0
		<b>Pyrrhotine 1%; Chalcopyrite 1%; Pyrite 1%</b>								
		507.5-508.0: 1% Cpy-Po et 1% Py concentrés dans une veinule de calcite-quartz de 1-2cm et concordante, dans intervalle folié à 30 deg a/c; fortement magnétique								
508.00	511.40	Pytr-1	508.00	509.30	P296600	1.30	0.020	0.30	73.0	65.0
		<b>Pyrite tr-1</b>								
		Tr-1% Py en grains aplatis dans la schistosité, en "amas" centimétriques aplatis et concordant (45 deg a/c)								
511.40	514.20	Pytr	511.40	512.80	P296604	1.40	0.010	0.10	101.0	54.0
		<b>Pyrite tr</b>								
		tr Py								
513.50	514.00	FRC+	513.30	514.40	P296606	1.10	0.005	0.10	37.0	43.0
		<b>Fracturation forte</b>								
		Forte fracturation.								
514.20	519.60	I2; pFpAm	519.40	520.00	P296607	0.60	0.005	0.10	35.0	61.0
		<b>Intrusion Intermédiaire; Porphyre de Feldspath et Amphibole</b>								
		Intrusion intermédiaire de couleur rose grisâtre, à grain aphanitique à moyen ( d<=5mm, dm=1,5-2,0mm). Matrice quartzofeldspathique avec fines amphiboles, grain fin de couleur gris verdâtre rosé; 15-25% de porphyres de feldspaths rose-rougeâtre-blanchâtre, 2-6mm, sub-automorphes. 2-5% de porphyres d'amphibole (1-4mm) discrets et flous.								

MAUDORE MINERALS Ltd

AC

Description	Analyse							
	De	À	Numéro	Longueur	Au_Final (g/t)	Ag_Final (ppm)	Cu_Final (ppm)	Zn_Final (ppm)
Hématitisation et magnétisme omniprésents. Contacts nets, discordants à 20-30 deg a/c, avec mince bordure flgée (1cm).								
519.60 526.40 Pytr	520.00	520.50	P151598	0.50	0.021	0.20	57.0	69.0
<b>Pyrite tr</b>	520.50	521.40	P296609	0.90	0.010	0.10	66.0	55.0
tr Py en grains aplatis dans la schistosité, en "amas" centimétriques aplatis et concordant (45 deg a/c)	521.40	522.50	P296610	1.10	0.020	0.10	42.0	98.0
522.50 523.00 FRC+	522.50	523.40	P296611	0.90	0.020	0.10	37.0	93.0
<b>Fracturation forte</b> Forte fracturation, 0,4m de carotte non-récupérée.								
523.40 527.40 SIL; Chl; CB+; MG+; PA-	523.40	524.90	P296612	1.50	0.020	0.10	58.0	103.0
<b>Silicification; Chloritisation;</b> <b>Carbonatation forte; Magnérite</b> <b>forte; Paragonite faible</b>	524.90	526.40	P296613	1.50	0.005	0.10	40.0	89.0
Silice moyenne, chloritisation moyenne, calcitisation forte à moyenne diffuse, fortement magnétique, paragonite (teinte grisâtre); localement bandes mmtriques de silice en injections à texture cherteuse.								
526.40 527.40 Py1-2	526.40	527.40	P296614	1.00	0.020	0.45	45.0	207.0
<b>Pyrite 1-2</b> 1-2% Py disséminée, dans intervalle séricitisé et très faiblement biotitisé, avec silicification "cherteuse"								
527.40 541.00 SIL+; MG+; HM; SR-; PA-; CB-	527.40	528.60	P296615	1.20	0.005	0.10	39.0	45.0
<b>Silicification forte; Magnérite</b> <b>forte; Hématitisation; Séricitisation</b> <b>faible; Paragonite faible;</b> <b>Carbonatation faible</b>	528.60	529.80	P296616	1.20	0.020	0.10	99.0	32.0
527.4-541.0: Silicification forte (parfois intense) semblant intimement associée à la présence de magnérite (magnétisme fort à intense), hématitisation en veinules et diffuse, faible séricitisation locale avec paragonite faible (micas blancs), calcitisation faible. La silicification et la séricitisation se								

MAUDORE MINERALS Ltd

AC

Description			Analyse							
			De	À	Numéro	Longueur	Au_Final (g/t)	Ag_Final (ppm)	Cu_Final (ppm)	Zn_Final (ppm)
527.40	532.40	présentent souvent comme une bréchification in-situ d'apparence discrète et difficile à cerner (plus facilement observable sur carotte sèche). Pytr Pyrite tr Tr Py								
529.00	530.00	FRC	529.80	531.10	P296617	1.30	0.005	0.10	43.0	29.0
		Fracturé(e) Fracturation moyenne	531.10	532.40	P296618	1.30	0.010	0.10	114.0	25.0
532.40	532.90	Py01 Pyrite 1% 1% Py, en chapelets parallèles à la foliation anormale (30 deg a/c, pas de lignes d'orientation)	532.40	532.90	P296619	0.50	0.030	0.70	78.0	45.0
532.90	535.20	Pytr	532.90	534.30	P296621	1.40	0.005	0.10	49.0	23.0
		Pyrite tr tr Py	534.30	535.20	P296622	0.90	0.005	0.10	36.0	33.0
535.20	537.10	Pytr-2	535.20	536.10	P296623	0.90	0.005	0.10	15.0	49.0
		Pyrite tr-2 tr-2% de Py très fine (<0,5mm) et alignée dans les plans de foliation (35 deg a/c)	536.10	537.10	P296624	1.00	0.005	0.10	11.0	33.0
537.10	541.00	Pytr	537.10	538.20	P296625	1.10	0.005	0.10	37.0	31.0
		Pyrite tr	538.20	539.20	P296626	1.00	0.005	0.10	82.0	49.0
		tr Py	539.20	540.00	P296627	0.80	0.005	0.10	76.0	39.0
			540.00	540.50	P151599	0.50	0.002	0.10	71.0	39.0
			540.50	541.00	P296628	0.50	0.005	0.10	85.0	35.0
541.00	Fin du sondage Nombre d'échantillons : 299 Nombre d'échantillons QAQC : 38 Longueur totale échantillonnée : 363.30									

MAUDORE MINERALS Ltd

AC

QAQC

De	À	Numéro	Référence	Longueur	Au (g/l)	Ag (ppm)	Cu (ppm)	Zn (ppm)
0.00	0.00	P296334	Blank	0.00	-0.01	-0.2	16	20
0.00	0.00	P296379	Blank	0.00	0.02	-0.2	13	31
0.00	0.00	P296387	SK62	0.00	3.86	1.2	90	98
0.00	0.00	P296403	Blank	0.00	-0.01	-0.2	10	19
0.00	0.00	P296410	SQ48	0.00	29.70	1.1	61	90
0.00	0.00	P296432	Blank	0.00	-0.01	-0.2	13	91
0.00	0.00	P296319	SK62	0.00	3.79	1.1	82	93
0.00	0.00	P296358	Blank	0.00	0.01	-0.2	11	21
0.00	0.00	P296362	SH55	0.00	1.27	0.8	108	69
0.00	0.00	P296338	SQ48	0.00	29.40	0.9	59	83
0.00	0.00	P296447	SH55	0.00	1.36	0.8	104	73
0.00	0.00	P296452	Blank	0.00	-0.01	-0.2	16	21
0.00	0.00	P296514	SH55	0.00	1.28	0.7	106	79
0.00	0.00	P296462	SK62	0.00	3.92	1.1	89	96
0.00	0.00	P296479	Blank	0.00	-0.01	0.4	13	20
0.00	0.00	P296488	SQ48	0.00	30.40	1.3	62	93
0.00	0.00	P296529	Blank	0.00	-0.01	-0.2	12	26
0.00	0.00	P296502	Blank	0.00	-0.01	-0.2	13	22
67.00	68.50	P296336	P296323	1.50	0.01	-0.2	3	74
97.00	98.00	P296360	P296344	1.00	0.01	-0.2	25	80
151.00	152.50	P296385	P296370	1.50	-0.01	-0.2	39	43
207.50	208.50	P296404	P296394	1.00	-0.01	-0.2	35	37
237.00	238.00	P296430	P296416	1.00	-0.01	0.2	59	104
268.00	269.50	P296455	P296438	1.50	0.01	-0.2	55	64
289.50	290.50	P296482	P296458	1.00	0.01	0.2	56	94
347.50	349.00	P296507	P296492	1.50	-0.01	-0.2	49	58
416.50	418.00	P296536	P296522	1.50	0.05	0.2	82	66
435.10	436.60	P296564	P296537	1.50	0.09	0.2	113	56
448.60	450.10	P296547	SK62	1.50	3.85	1.1	85	94
467.20	468.10	P296561	SQ48	0.90	29.70	1.2	60	89
472.00	472.90	P296581	P296567	0.90	1.01	1.3	381	68
475.90	477.40	P296571	Blank	1.50	-0.01	0.3	10	19
489.50	490.80	P296608	P296583	1.30	0.06	0.2	57	75

AC

QAQC

De	À	Numéro	Référence	Longueur	Au (g/t)	Ag (ppm)	Cu (ppm)	Zn (ppm)
502.00	502.70	P296593	Blank	0.70	0.01	-0.2	17	42
507.50	508.00	P296599	SH55	0.50	1.33	0.8	118	71
509.30	510.20	P296602	Blank	0.90	-0.01	-0.2	14	28
526.40	527.40	P296639	P296614	1.00	0.01	0.5	42	266
532.40	532.90	P296620	SK62	0.50	3.86	1.4	79	87



MAUDORE MINERALS Ltd

AL

Géochimie

De	À	Numéro	Longueur	Description	SiO2 (%)	Al2O3 (%)	Fe2O3 (%)	CaO (%)
43.00	43.50	P151544	0.50	V2V3 Ti; SiL+; Chl; PA; SR-; CB-; EPtr	60.66	15.70	6.22	7.65
70.00	70.50	P151545	0.50	V2V3 Ti; SiL+; Chl; BO; CB-	62.15	16.77	5.54	5.19
100.00	100.50	P151546	0.50	V2V3 MAS; SiL+; Chl+; PA-; HM-; CB-; EP-; Fk	60.05	16.97	6.90	1.62
130.00	130.50	P151550	0.50	V2V3 Ti; SiL+; Chl+; BO-; PA-; CBtr; HMtr; Fk	59.62	14.64	5.89	6.63
160.00	160.50	P151551	0.50	V2V3 Ti; SiL+; Chl+; PA; CB-; HMtr; Fk	60.60	14.85	6.14	6.13
190.00	190.50	P151552	0.50	V2V3 MAS; SiL+; Chl+; PA; CB-; HMtr; EPtr; Fk	58.18	14.71	5.96	7.25
220.00	220.50	P151565	0.50	V2V3 Ti; SiL+; Chl+; PA; CB-; HM-; EPtr	64.39	15.51	4.51	4.99
250.00	250.50	P151566	0.50	V2V3 MAS; SiL+; Chl+; EP; Fk	62.49	15.56	6.53	3.04
278.50	279.00	P151570	0.50	V2V3 Ti; SiL+; Chl+; BO-; PA-; CBtr; SRtr	62.23	15.02	6.42	5.08
310.00	310.50	P151571	0.50	V2V3 Ti; SiL+; Chl+; BO; Fk; SR; PA-	61.36	14.98	5.86	5.00
340.00	340.50	P151572	0.50	V2V3 Ti; SiL+; Chl; PA; Fk; BO-; CB-	61.76	15.29	5.79	5.86
370.00	370.50	P151576	0.50	V2V3 Ti; SiL+; Chl; BO-; PA-; HM-; CB-; SRtr	57.20	16.00	7.62	5.55
400.50	401.00	P151577	0.50	V2V3 pFp Ti; SiL+; PA; CB-; Fk	58.38	14.65	7.57	6.39
430.00	430.50	P151579	0.50	V2V3 Ti; SiL+; Chl+; BO+; CBtr	65.34	15.66	4.56	4.86
460.00	460.50	P151590	0.50	V2V3 Ti; Si+,FpK+,BO,CL,CB,MG	60.57	14.03	7.07	6.27
487.10	487.60	P151591	0.50	V2V3 Ti; Si,BO,CL,FpK-,CB-	58.26	15.18	7.78	5.98
520.00	520.50	P151598	0.50	V2V3 Ti, Si,CL,MG,BO-,CA-	56.31	15.37	8.18	6.95
540.00	540.50	P151599	0.50	V2V3 Ti, Si+,MG+,HM,CA-, SR-, PA-	61.60	15.46	7.38	4.04

MAUDORE MINERALS Ltd

AL

Géochimie

De	À	Numéro	Longueur	MgO (%)	Na2O (%)	K2O (%)	Cr2O3 (%)	TiO2 (%)	MnO (%)	P2O5 (%)
43.00	43.50	P151544	0.50	3.29	1.77	1.41	0.01	0.51	0.10	0.12
70.00	70.50	P151545	0.50	2.78	2.97	1.54	0.01	0.57	0.08	0.13
100.00	100.50	P151546	0.50	4.94	5.23	0.88	0.03	0.56	0.08	0.11
130.00	130.50	P151550	0.50	4.26	1.65	2.76	0.02	0.50	0.11	0.11
160.00	160.50	P151551	0.50	4.40	3.47	1.30	0.03	0.50	0.10	0.10
190.00	190.50	P151552	0.50	4.03	3.51	1.13	0.02	0.49	0.13	0.11
220.00	220.50	P151565	0.50	1.86	3.71	1.47	0.01	0.40	0.08	0.09
250.00	250.50	P151566	0.50	3.40	4.05	1.42	0.01	0.49	0.12	0.12
278.50	279.00	P151570	0.50	4.54	3.41	1.18	0.03	0.48	0.15	0.10
310.00	310.50	P151571	0.50	4.58	4.18	0.80	0.03	0.48	0.11	0.10
340.00	340.50	P151572	0.50	3.87	3.29	1.29	0.02	0.47	0.09	0.09
370.00	370.50	P151576	0.50	5.72	3.52	1.17	0.02	0.69	0.20	0.19
400.50	401.00	P151577	0.50	6.31	3.39	0.61	0.04	0.55	0.14	0.12
430.00	430.50	P151579	0.50	2.60	4.11	0.79	0.01	0.42	0.09	0.09
460.00	460.50	P151590	0.50	4.96	3.30	0.48	0.03	0.55	0.13	0.12
487.10	487.60	P151591	0.50	4.11	3.32	1.01	0.02	0.79	0.12	0.17
520.00	520.50	P151598	0.50	5.12	4.16	0.43	0.03	0.74	0.17	0.21
540.00	540.50	P151599	0.50	3.60	4.69	0.92	0.02	0.65	0.12	0.15

AL

Géochimie

De	À	Numéro	Longueur	SrO (%)	BaO (%)	LOI (%)	Total (%)	Nb (ppm)	Ba (ppm)	Rb (ppm)
43.00	43.50	P151544	0.50	0.04	0.04	2.36	99.89	6	320	39
70.00	70.50	P151545	0.50	0.05	0.04	2.12	99.95	5	290	43
100.00	100.50	P151546	0.50	0.03	0.04	2.29	99.73	4	290	21
130.00	130.50	P151550	0.50	0.03	0.06	3.67	99.94	5	450	79
160.00	160.50	P151551	0.50	0.03	0.04	2.00	99.69	4	300	29
190.00	190.50	P151552	0.50	0.03	0.04	4.26	99.84	5	270	27
220.00	220.50	P151565	0.50	0.04	0.04	2.48	99.58	2	320	33
250.00	250.50	P151566	0.50	0.03	0.05	1.54	98.85	4	430	28
278.50	279.00	P151570	0.50	0.04	0.04	1.00	99.72	4	350	27
310.00	310.50	P151571	0.50	0.04	0.04	1.98	99.53	4	270	23
340.00	340.50	P151572	0.50	0.04	0.04	1.80	99.70	4	330	34
370.00	370.50	P151576	0.50	0.04	0.04	2.02	99.99	5	310	48
400.50	401.00	P151577	0.50	0.03	0.03	1.71	99.92	4	160	29
430.00	430.50	P151579	0.50	0.05	0.04	1.20	99.82	3	240	20
460.00	460.50	P151590	0.50	0.03	0.02	2.22	99.77	4	70	19
487.10	487.60	P151591	0.50	0.03	0.04	3.14	99.95	8	260	32
520.00	520.50	P151598	0.50	0.04	0.02	2.12	99.84	8	80	19
540.00	540.50	P151599	0.50	0.04	0.03	1.19	99.89	7	220	33

MAUDORE MINERALS Ltd

AC

Géochimie

De	À	Numéro	Longueur	Zr (ppm)	Y (ppm)	Sr (ppm)	Au (ppm)	Ag (ppm)	Al (%)	As (ppm)
43.00	43.50	P151544	0.50	144	12	393	-0.005	-0.2	2.96	4
70.00	70.50	P151545	0.50	141	14	501	0.024	-0.2	2.54	-2
100.00	100.50	P151546	0.50	140	12	283	-0.005	-0.2	2.88	2
130.00	130.50	P151550	0.50	121	10	298	-0.005	0.30	3.37	-2
160.00	160.50	P151551	0.50	121	12	283	0.416	0.20	1.96	-2
190.00	190.50	P151552	0.50	118	11	301	0.026	1.20	2.27	-2
220.00	220.50	P151565	0.50	104	8	384	-0.005	-0.2	1.57	-2
250.00	250.50	P151566	0.50	121	10	287	1.035	5.20	2.28	2
278.50	279.00	P151570	0.50	127	10	395	-0.005	-0.2	1.76	2
310.00	310.50	P151571	0.50	125	11	390	-0.005	-0.2	1.36	-2
340.00	340.50	P151572	0.50	116	10	398	0.005	-0.2	1.84	2
370.00	370.50	P151576	0.50	125	13	392	0.006	-0.2	1.98	2
400.50	401.00	P151577	0.50	95	12	349	0.008	-0.2	1.43	2
430.00	430.50	P151579	0.50	115	8	450	0.009	-0.2	1.30	2
460.00	460.50	P151590	0.50	96	11	337	0.019	-0.2	1.60	-2
487.10	487.60	P151591	0.50	133	17	326	0.020	0.20	2.66	-2
520.00	520.50	P151598	0.50	146	17	440	0.021	0.20	1.45	4
540.00	540.50	P151599	0.50	148	15	358	-0.005	-0.2	1.37	2

AC

Géochimie

De	À	Numéro	Longueur	B (ppm)	Ba Econo (ppm)	Be (ppm)	Bi (ppm)	Ca (%)	Cd (ppm)	Co (ppm)
43.00	43.50	P151544	0.50	-10		-0.5	-2	2.54	-0.5	10
70.00	70.50	P151545	0.50	-10		-0.5	-2	1.52	-0.5	16
100.00	100.50	P151546	0.50	-10		-0.5	-2	0.23	-0.5	23
130.00	130.50	P151550	0.50	-10		-0.5	-2	2.90	-0.5	17
160.00	160.50	P151551	0.50	-10		-0.5	-2	1.50	-0.5	15
190.00	190.50	P151552	0.50	-10		-0.5	-2	3.08	-0.5	15
220.00	220.50	P151565	0.50	-10		-0.5	-2	1.65	-0.5	13
250.00	250.50	P151566	0.50	-10		-0.5	-2	0.38	9.4	25
278.50	279.00	P151570	0.50	-10		-0.5	-2	0.69	-0.5	15
310.00	310.50	P151571	0.50	-10		-0.5	-2	1.20	-0.5	12
340.00	340.50	P151572	0.50	-10		-0.5	-2	1.30	-0.5	14
370.00	370.50	P151576	0.50	-10		-0.5	-2	0.96	-0.5	14
400.50	401.00	P151577	0.50	-10		-0.5	-2	0.77	-0.5	14
430.00	430.50	P151579	0.50	-10		-0.5	-2	0.81	-0.5	14
460.00	460.50	P151590	0.50	-10		-0.5	-2	1.45	-0.5	20
487.10	487.60	P151591	0.50	-10		-0.5	-2	2.24	-0.5	24
520.00	520.50	P151598	0.50	-10		-0.5	-2	1.52	-0.5	18
540.00	540.50	P151599	0.50	-10		-0.5	-2	0.59	-0.5	16

MAUDORE MINERALS Ltd

AC

Géochimie

De	À	Numéro	Longueur	Cr (ppm)	Cu (ppm)	Fe (%)	Ga (ppm)	Hg (ppm)	K (%)	La (ppm)
43.00	43.50	P151544	0.50	35	5	2.01	10	-1	0.46	10
70.00	70.50	P151545	0.50	70	10	2.76	10	-1	0.47	10
100.00	100.50	P151546	0.50	198	40	4.04	10	-1	0.62	10
130.00	130.50	P151550	0.50	121	85	2.98	10	1	1.03	10
160.00	160.50	P151551	0.50	115	75	2.63	10	-1	0.89	10
190.00	190.50	P151552	0.50	112	205	3.02	10	-1	0.55	10
220.00	220.50	P151565	0.50	30	34	2.68	10	-1	0.63	10
250.00	250.50	P151566	0.50	75	142	3.90	10	-1	0.97	10
278.50	279.00	P151570	0.50	109	31	2.24	10	-1	0.90	10
310.00	310.50	P151571	0.50	133	62	1.98	10	-1	0.33	10
340.00	340.50	P151572	0.50	72	74	2.33	10	-1	0.61	10
370.00	370.50	P151576	0.50	94	16	2.80	10	-1	0.22	10
400.50	401.00	P151577	0.50	108	76	1.87	-10	-1	0.14	10
430.00	430.50	P151579	0.50	59	42	2.08	10	-1	0.46	10
460.00	460.50	P151590	0.50	100	51	2.40	10	-1	0.22	10
487.10	487.60	P151591	0.50	85	131	3.73	10	-1	0.12	10
520.00	520.50	P151598	0.50	74	57	2.88	10	-1	0.11	10
540.00	540.50	P151599	0.50	94	71	3.69	10	-1	0.33	10

AZ

Géochimie

De	À	Numéro	Longueur	Mg (%)	Mn (ppm)	Mo (ppm)	Na (%)	Ni (ppm)	P (ppm)	Pb (ppm)
43.00	43.50	P151544	0.50	0.95	306	-1	0.20	28	530	-2
70.00	70.50	P151545	0.50	1.23	334	-1	0.15	48	540	2
100.00	100.50	P151546	0.50	2.75	347	-1	0.05	122	440	-2
130.00	130.50	P151550	0.50	2.00	560	-1	0.22	75	460	2
160.00	160.50	P151551	0.50	1.62	366	-1	0.12	62	460	-2
190.00	190.50	P151552	0.50	1.85	562	-1	0.10	64	450	-2
220.00	220.50	P151565	0.50	0.99	479	-1	0.06	20	380	-2
250.00	250.50	P151566	0.50	1.85	530	1	0.08	54	470	2
278.50	279.00	P151570	0.50	1.42	279	-1	0.11	72	390	-2
310.00	310.50	P151571	0.50	1.38	255	-1	0.08	69	440	-2
340.00	340.50	P151572	0.50	1.33	309	-1	0.09	56	390	-2
370.00	370.50	P151576	0.50	1.90	527	-1	0.10	67	860	-2
400.50	401.00	P151577	0.50	1.38	217	-1	0.07	53	540	-2
430.00	430.50	P151579	0.50	0.98	252	-1	0.08	44	380	-2
460.00	460.50	P151590	0.50	1.46	282	-1	0.09	75	490	-2
487.10	487.60	P151591	0.50	1.70	467	-1	0.11	57	810	2
520.00	520.50	P151598	0.50	1.33	458	-1	0.09	49	880	12
540.00	540.50	P151599	0.50	1.39	371	-1	0.09	46	640	-2

## Géochimie

De	À	Numéro	Longueur	S (%)	Sb (ppm)	Sc (ppm)	Th (ppm)	Sr Econo (ppm)	Tl (%)	Tl (ppm)
43.00	43.50	P151544	0.50	0.02	-2	4	-20		0.10	-10
70.00	70.50	P151545	0.50	0.02	-2	8	-20		0.17	-10
100.00	100.50	P151546	0.50	0.02	-2	13	-20		0.16	-10
130.00	130.50	P151550	0.50	0.03	-2	6	-20		0.20	-10
160.00	160.50	P151551	0.50	0.01	2	6	-20		0.16	-10
190.00	190.50	P151552	0.50	0.01	-2	8	-20		0.17	-10
220.00	220.50	P151565	0.50	0.08	-2	5	-20		0.15	-10
250.00	250.50	P151566	0.50	0.52	-2	10	-20		0.19	-10
278.50	279.00	P151570	0.50	0.10	-2	5	-20		0.13	-10
310.00	310.50	P151571	0.50	0.03	-2	5	-20		0.15	-10
340.00	340.50	P151572	0.50	0.02	-2	6	-20		0.17	-10
370.00	370.50	P151576	0.50	0.07	-2	5	-20		0.18	-10
400.50	401.00	P151577	0.50	0.04	-2	3	-20		0.10	-10
430.00	430.50	P151579	0.50	0.25	-2	4	-20		0.10	-10
460.00	460.50	P151590	0.50	0.27	-2	5	-20		0.09	-10
487.10	487.60	P151591	0.50	0.38	-2	8	-20		0.28	-10
520.00	520.50	P151598	0.50	0.31	-2	5	-20		0.15	-10
540.00	540.50	P151599	0.50	0.10	-2	4	-20		0.22	-10



MAUDORE MINERALS Ltd

AC

Géochimie

De	À	Numéro	Longueur	U (ppm)	V (ppm)	W (ppm)	Zn (ppm)
43.00	43.50	P151544	0.50	-10	43	-10	59
70.00	70.50	P151545	0.50	-10	76	-10	89
100.00	100.50	P151546	0.50	-10	99	-10	78
130.00	130.50	P151550	0.50	-10	72	-10	58
160.00	160.50	P151551	0.50	-10	64	-10	45
190.00	190.50	P151552	0.50	-10	77	-10	60
220.00	220.50	P151565	0.50	-10	53	-10	79
250.00	250.50	P151566	0.50	-10	89	-10	1 250
278.50	279.00	P151570	0.50	-10	59	-10	73
310.00	310.50	P151571	0.50	-10	60	-10	43
340.00	340.50	P151572	0.50	-10	63	-10	48
370.00	370.50	P151576	0.50	-10	66	-10	50
400.50	401.00	P151577	0.50	-10	40	-10	44
430.00	430.50	P151579	0.50	-10	47	-10	33
460.00	460.50	P151590	0.50	-10	55	-10	36
487.10	487.60	P151591	0.50	-10	79	-10	58
520.00	520.50	P151598	0.50	-10	58	-10	69
540.00	540.50	P151599	0.50	-10	81	-10	39

MAUDORE MINERALS Ltd

Sondage : COM-12-910  
 Titre minier :  
 Section : 1587E  
 Canton : Comtois  
 Niveau : Surface  
 Rang :  
 Place de travail : Lebel-Sur-Quévillon  
 Foré par : Forage Orbit Garant  
 Lot :  
 Décrit par : L. Blayo, C. Blanchette, C Vallet  
 Du : 2012-07-12  
 Date de description : 2012-07-23  
 Au :



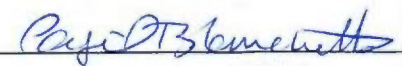
Collet

	UTM	Locales	GREER
Azimut : 197.00°	Est 340 779.32	1 587.40	3 447.28
Plongée : -68.00°	Nord 5 444 763.08	1 555.21	2 962.16
Longueur : 830.50 m	Élévation 288.44	288.44	288.44

Déviaton

Type	Profondeur	Azimut	Plongée	Invalide	Description
Reflex	0.00	197.00°	-68.00°	Non	
Reflex	16.00	203.00°	-67.40°	Oui	64726
Reflex	19.00	196.70°	-67.40°	Non	56004
Reflex	22.00	196.80°	-67.30°	Non	55175
Reflex	25.00	197.60°	-67.30°	Non	54973
Reflex	28.00	197.20°	-67.30°	Non	54913
Reflex	31.00	196.80°	-67.20°	Non	54778
Reflex	34.00	196.70°	-67.10°	Non	54955
Reflex	37.00	196.40°	-67.10°	Non	54837
Reflex	40.00	196.80°	-67.10°	Non	54892
Reflex	43.00	197.80°	-67.00°	Non	54964
Reflex	46.00	198.60°	-67.00°	Non	55033

Description  
 TMN-12-10. Position collet, arpenté aout 2012, par Descarreaux & Dubé.

Dimension de la carotte : Carotte NQ      Cimenté : Non      Entreposé : Oui

MAUDORE MINERALS Ltd

ALB CB

Déviations

Type	Profondeur	Azimet	Plongée	Invalide	Description
Reflex	49.00	195.60°	-66.90°	Non	54993
Reflex	52.00	190.80°	-71.00°	Oui	54586
Reflex	55.00	198.20°	-66.90°	Non	54963
Reflex	58.00	195.80°	-66.70°	Non	55029
Reflex	61.00	195.50°	-66.60°	Non	54797
Reflex	64.00	199.30°	-66.60°	Non	55666
Reflex	67.00	196.50°	-66.60°	Non	55639
Reflex	70.00	197.50°	-66.50°	Non	55161
Reflex	73.00	197.40°	-66.50°	Non	55013
Reflex	76.00	196.90°	-66.50°	Non	55097
Reflex	79.00	195.50°	-66.50°	Non	54975
Reflex	82.00	196.30°	-66.40°	Non	54957
Reflex	85.00	197.90°	-66.30°	Non	54999
Reflex	88.00	196.90°	-66.20°	Non	55180
Reflex	91.00	196.80°	-66.00°	Non	54977
Reflex	94.00	196.50°	-65.90°	Non	55093
Reflex	97.00	195.60°	-66.10°	Oui	54954
Reflex	100.00	196.60°	-65.90°	Non	54912
Reflex	103.00	197.20°	-65.80°	Non	55055
Reflex	106.00	197.10°	-65.70°	Non	54934
Reflex	109.00	195.40°	-65.60°	Non	55739
Reflex	112.00	196.60°	-65.50°	Non	55247
Reflex	115.00	196.60°	-65.50°	Non	54813
Reflex	118.00	196.30°	-65.40°	Non	54809
Reflex	121.00	196.90°	-65.30°	Non	54746
Reflex	124.00	197.50°	-65.20°	Non	55250
Reflex	127.00	198.00°	-65.20°	Oui	55140
Reflex	130.00	196.90°	-65.00°	Non	54889
Reflex	133.00	196.90°	-64.90°	Non	54924
Reflex	136.00	197.10°	-64.80°	Non	54844
Reflex	139.00	197.10°	-64.70°	Non	54685
Reflex	142.00	196.70°	-64.60°	Non	54719
Reflex	145.00	196.50°	-64.50°	Non	54951
Reflex	148.00	194.90°	-64.40°	Oui	54372

*ALR CB*

Déviations

Type	Profondeur	Azimet	Plongée	Invalide	Description
Reflex	151.00	197.00°	-64.30°	Non	54850
Reflex	154.00	194.30°	-64.30°	Oui	53508
Reflex	157.00	197.50°	-64.20°	Non	54842
Reflex	160.00	197.10°	-64.00°	Non	54834
Reflex	163.00	197.20°	-63.80°	Non	54842
Reflex	166.00	197.10°	-63.70°	Non	54921
Reflex	169.00	194.90°	-64.90°	Oui	54764
Reflex	172.00	196.90°	-63.60°	Non	54776
Reflex	175.00	196.30°	-63.50°	Non	55093
Reflex	178.00	193.10°	-63.50°	Oui	55163
Reflex	181.00	198.30°	-63.40°	Non	54952
Reflex	184.00	197.40°	-63.30°	Oui	54918
Reflex	187.00	199.10°	-63.20°	Non	54914
Reflex	190.00	198.50°	-63.10°	Non	54758
Reflex	193.00	198.20°	-63.00°	Non	54846
Reflex	196.00	198.10°	-62.90°	Non	54820
Reflex	199.00	198.20°	-62.70°	Non	54877
Reflex	202.00	198.00°	-62.60°	Non	54830
Reflex	205.00	198.20°	-62.60°	Non	54831
Reflex	208.00	198.20°	-62.50°	Non	54827
Reflex	211.00	197.80°	-62.50°	Non	54827
Reflex	214.00	198.00°	-62.40°	Non	54811
Reflex	217.00	198.10°	-62.30°	Non	54798
Reflex	220.00	198.10°	-62.20°	Non	54787
Reflex	223.00	198.10°	-62.10°	Non	54788
Reflex	226.00	198.20°	-61.90°	Non	54800
Reflex	229.00	198.00°	-61.80°	Non	54801
Reflex	232.00	198.00°	-61.80°	Non	54791
Reflex	235.00	198.10°	-61.70°	Non	54798
Reflex	238.00	198.10°	-61.60°	Non	54827
Reflex	241.00	198.20°	-61.60°	Non	54790
Reflex	244.00	198.40°	-61.50°	Non	54622
Reflex	247.00	198.30°	-61.50°	Non	54852
Reflex	250.00	198.20°	-61.30°	Non	54829

MAUDORE MINERALS Ltd

*ALP CB*

Déviations

Type	Profondeur	Azimut	Plongée	Invalide	Description
Reflex	253.00	198.20°	-61.10°	Non	54836
Reflex	256.00	198.40°	-60.70°	Non	54813
Reflex	259.00	198.70°	-60.20°	Non	54848
Reflex	262.00	198.60°	-59.80°	Non	54824
Reflex	265.00	198.70°	-59.80°	Non	54787
Reflex	268.00	198.30°	-59.50°	Non	54900
Reflex	271.00	198.70°	-59.40°	Non	54802
Reflex	274.00	198.50°	-59.10°	Non	54740
Reflex	277.00	198.60°	-59.00°	Non	54809
Reflex	280.00	198.70°	-58.80°	Non	54805
Reflex	283.00	199.20°	-58.70°	Non	54930
Reflex	286.00	198.80°	-58.60°	Non	54847
Reflex	289.00	198.90°	-58.50°	Non	54808
Reflex	292.00	198.50°	-58.40°	Non	54816
Reflex	295.00	198.90°	-58.40°	Non	54904
Reflex	298.00	198.70°	-58.30°	Non	54821
Reflex	301.00	198.90°	-58.30°	Non	54806
Reflex	304.00	197.30°	-58.20°	Oui	55023
Reflex	307.00	198.70°	-58.20°	Non	54739
Reflex	310.00	198.50°	-58.10°	Non	54765
Reflex	313.00	198.70°	-58.10°	Non	54773
Reflex	316.00	198.60°	-58.00°	Non	54715
Reflex	319.00	198.20°	-58.00°	Non	54780
Reflex	322.00	198.70°	-58.00°	Non	54805
Reflex	325.00	198.70°	-57.90°	Non	55022
Reflex	328.00	198.70°	-57.90°	Non	54743
Reflex	331.00	198.40°	-57.90°	Non	54623
Reflex	334.00	198.10°	-57.90°	Non	54799
Reflex	337.00	198.60°	-57.80°	Non	54828
Reflex	340.00	198.60°	-57.80°	Non	54774
Reflex	343.00	198.90°	-57.80°	Non	54948
Reflex	346.00	198.80°	-57.80°	Non	54853
Reflex	349.00	198.40°	-57.70°	Non	54759
Reflex	352.00	198.50°	-57.70°	Non	54699

*LR 03 KC*

Déviations

Type	Profondeur	Azimut	Plongée	Invalide	Description
Reflex	355.00	197.90°	-57.70°	Oui	55071
Reflex	358.00	199.00°	-57.70°	Non	55004
Reflex	361.00	198.80°	-57.60°	Non	54889
Reflex	364.00	198.90°	-57.60°	Non	54982
Reflex	367.00	198.60°	-57.60°	Non	54801
Reflex	370.00	196.90°	-57.50°	Oui	55332
Reflex	373.00	199.40°	-57.40°	Non	54843
Reflex	376.00	199.70°	-57.40°	Non	54716
Reflex	379.00	198.60°	-57.40°	Non	54450
Reflex	382.00	199.30°	-57.30°	Non	54812
Reflex	385.00	199.10°	-57.30°	Non	54804
Reflex	388.00	199.40°	-57.30°	Non	54901
Reflex	391.00	199.00°	-57.20°	Non	54849
Reflex	394.00	199.10°	-57.20°	Non	54788
Reflex	397.00	199.20°	-57.10°	Non	54801
Reflex	400.00	199.20°	-57.10°	Non	54814
Reflex	403.00	199.20°	-57.10°	Non	54832
Reflex	406.00	199.20°	-57.10°	Non	54770
Reflex	409.00	199.40°	-56.90°	Non	54807
Reflex	412.00	199.40°	-57.00°	Oui	54787
Reflex	415.00	199.40°	-56.90°	Non	54785
Reflex	418.00	198.80°	-56.90°	Non	54885
Reflex	421.00	199.40°	-56.90°	Non	54861
Reflex	424.00	199.20°	-56.80°	Non	54803
Reflex	427.00	199.20°	-56.80°	Non	54933
Reflex	430.00	198.80°	-56.70°	Non	54709
Reflex	433.00	199.20°	-56.50°	Non	54752
Reflex	436.00	199.20°	-56.30°	Non	54801
Reflex	439.00	199.20°	-56.10°	Non	54824
Reflex	442.00	199.20°	-55.90°	Non	54794
Reflex	445.00	199.10°	-55.80°	Non	54804
Reflex	448.00	199.20°	-55.60°	Non	54710
Reflex	451.00	199.00°	-55.40°	Non	54810
Reflex	454.00	199.20°	-55.30°	Non	54755

MAUDORE MINERALS Ltd

12 03 K

Déviation					
Type	Profondeur	Azimut	Plongée	Invalide	Description
Reflex	457.00	199.20°	-55.10°	Non	54803
Reflex	460.00	199.10°	-54.90°	Non	54802
Reflex	463.00	199.10°	-54.80°	Non	54754
Reflex	466.00	199.30°	-54.50°	Non	54729
Reflex	469.00	198.70°	-54.30°	Non	54785
Reflex	472.00	199.00°	-54.20°	Non	54765
Reflex	475.00	189.60°	-54.00°	Oui	57660
Reflex	478.00	199.20°	-53.80°	Non	54781
Reflex	481.00	199.30°	-53.70°	Non	54771
Reflex	484.00	199.30°	-53.60°	Non	54753
Reflex	487.00	199.30°	-53.50°	Non	54743
Reflex	490.00	199.40°	-53.50°	Non	54729
Reflex	493.00	199.50°	-53.40°	Non	54754
Reflex	496.00	199.20°	-53.40°	Non	54752
Reflex	499.00	199.70°	-53.40°	Non	54969
Reflex	502.00	199.60°	-53.40°	Non	55378
Reflex	505.00	199.30°	-53.30°	Non	54827
Reflex	508.00	198.90°	-53.30°	Non	55065
Reflex	511.00	199.20°	-53.20°	Non	55070
Reflex	514.00	199.60°	-53.20°	Non	54796
Reflex	517.00	199.40°	-53.20°	Non	54772
Reflex	520.00	199.60°	-53.20°	Non	54778
Reflex	523.00	199.60°	-53.10°	Non	54761
Reflex	526.00	199.50°	-53.10°	Non	54806
Reflex	529.00	199.70°	-53.00°	Non	54770
Reflex	532.00	199.60°	-53.00°	Non	54790
Reflex	535.00	199.60°	-52.90°	Non	54797
Reflex	538.00	199.90°	-52.90°	Non	54818
Reflex	541.00	202.50°	-52.90°	Oui	55490
Reflex	544.00	199.50°	-52.90°	Non	54857
Reflex	547.00	199.60°	-52.80°	Non	54791
Reflex	550.00	199.70°	-52.80°	Non	54750
Reflex	553.00	199.60°	-52.70°	Non	54801
Reflex	556.00	199.60°	-52.70°	Non	54770

MAUDORE MINERALS Ltd

*Handwritten initials/signature*

Déviation

Type	Profondeur	Azimet	Plongée	Invalide	Description
Reflex	559.00	199.60°	-52.60°	Non	54762
Reflex	562.00	199.40°	-52.60°	Non	54772
Reflex	565.00	199.60°	-52.60°	Non	54813
Reflex	568.00	199.50°	-52.60°	Non	54783
Reflex	571.00	199.50°	-52.50°	Non	54778
Reflex	574.00	199.60°	-52.50°	Non	54740
Reflex	577.00	199.50°	-52.50°	Non	54783
Reflex	580.00	199.60°	-52.50°	Non	54780
Reflex	583.00	199.50°	-52.40°	Non	54774
Reflex	586.00	199.50°	-52.40°	Non	55100
Reflex	589.00	199.40°	-52.40°	Non	54739
Reflex	592.00	199.50°	-52.40°	Non	54808
Reflex	595.00	199.60°	-52.40°	Non	54813
Reflex	598.00	199.30°	-52.30°	Non	54831
Reflex	601.00	199.50°	-52.30°	Non	54808
Reflex	604.00	199.20°	-52.30°	Non	54841
Reflex	607.00	199.30°	-52.30°	Non	54833
Reflex	610.00	199.30°	-52.20°	Non	54881
Reflex	613.00	199.40°	-52.20°	Non	54902
Reflex	616.00	200.00°	-52.10°	Non	54846
Reflex	619.00	199.70°	-52.10°	Non	54843
Reflex	622.00	199.60°	-52.10°	Non	54759
Reflex	625.00	199.50°	-52.10°	Non	54779
Reflex	628.00	199.70°	-52.00°	Non	54803
Reflex	631.00	199.70°	-52.00°	Non	54771
Reflex	634.00	199.50°	-52.00°	Non	54787
Reflex	637.00	199.90°	-51.90°	Non	54876
Reflex	640.00	199.20°	-51.90°	Non	54873
Reflex	643.00	199.30°	-51.90°	Non	54761
Reflex	646.00	199.50°	-51.90°	Non	54814
Reflex	649.00	199.80°	-51.80°	Non	54794
Reflex	652.00	199.80°	-51.80°	Non	54710
Reflex	655.00	195.80°	-51.70°	Oui	57145
Reflex	658.00	200.90°	-51.60°	Non	54923



MAUDORE MINERALS Ltd

*LG. CS AC*

Déviation

Type	Profondeur	Azimut	Plongée	Invalide	Description
Reflex	661.00	200.20°	-51.50°	Non	54836
Reflex	664.00	197.10°	-51.40°	Oui	55637
Reflex	667.00	199.90°	-51.40°	Oui	54831
Reflex	670.00	201.00°	-51.30°	Non	55051
Reflex	673.00	200.80°	-51.30°	Non	54607
Reflex	676.00	200.30°	-51.20°	Non	54902
Reflex	679.00	199.90°	-51.20°	Non	54832
Reflex	682.00	200.10°	-51.20°	Non	54807
Reflex	685.00	200.10°	-51.10°	Non	54833
Reflex	688.00	200.10°	-51.00°	Non	54797
Reflex	691.00	199.20°	-51.00°	Non	55029
Reflex	694.00	199.40°	-50.90°	Non	54936
Reflex	697.00	200.00°	-50.90°	Non	54787
Reflex	700.00	199.40°	-50.80°	Non	54855
Reflex	703.00	199.40°	-50.80°	Non	54938
Reflex	706.00	199.90°	-50.80°	Non	55006
Reflex	709.00	200.40°	-50.70°	Non	55501
Reflex	712.00	199.70°	-50.70°	Non	55227
Reflex	715.00	200.10°	-50.70°	Non	55016
Reflex	718.00	199.90°	-50.60°	Non	55745
Reflex	721.00	199.60°	-50.50°	Non	54746
Reflex	724.00	200.50°	-50.50°	Non	54837
Reflex	727.00	199.80°	-50.50°	Non	54998
Reflex	730.00	200.50°	-50.40°	Non	54889
Reflex	733.00	200.60°	-50.30°	Non	54877
Reflex	736.00	200.50°	-50.30°	Non	54826
Reflex	739.00	200.70°	-50.20°	Non	54986
Reflex	742.00	200.60°	-50.10°	Non	54848
Reflex	745.00	200.50°	-50.00°	Non	54956
Reflex	748.00	200.50°	-49.90°	Non	54673
Reflex	751.00	200.80°	-49.80°	Non	54948
Reflex	754.00	200.60°	-49.80°	Non	54792
Reflex	757.00	200.60°	-49.70°	Non	54860
Reflex	760.00	200.30°	-49.60°	Non	54913

MAUDORE MINERALS Ltd

U9 03 AC

Déviations

Type	Profondeur	Azimat	Plongée	Invalide	Description
Reflex	763.00	200.80°	-49.50°	Non	54873
Reflex	766.00	200.10°	-49.50°	Non	54899
Reflex	769.00	200.70°	-49.40°	Non	54887
Reflex	772.00	200.50°	-49.30°	Non	54893
Reflex	775.00	200.50°	-49.30°	Non	54823
Reflex	778.00	200.40°	-49.20°	Non	54850
Reflex	781.00	200.40°	-49.20°	Non	54813
Reflex	784.00	200.60°	-49.20°	Non	54883
Reflex	787.00	200.50°	-49.00°	Non	54910
Reflex	790.00	200.50°	-49.00°	Non	54849
Reflex	793.00	200.80°	-49.00°	Non	54893
Reflex	796.00	201.60°	-49.00°	Non	54873
Reflex	799.00	200.80°	-49.00°	Non	54857
Reflex	802.00	200.60°	-49.00°	Non	54877
Reflex	805.00	200.70°	-49.10°	Non	54897
Reflex	808.00	200.50°	-49.10°	Non	54826
Reflex	811.00	200.60°	-49.00°	Non	54903
Reflex	814.00	200.40°	-49.00°	Non	54910
Reflex	817.00	200.40°	-49.00°	Non	54854
Reflex	820.00	200.50°	-49.00°	Non	54925
Reflex	823.00	200.50°	-49.00°	Non	54888
Reflex	826.00	200.70°	-49.00°	Non	54923
Reflex	829.00	200.50°	-49.00°	Non	54880

MAUDORE MINERALS Ltd

LD CAG AC

Description			Analyse							
			De	À	Numéro	Longueur	Au_Final (g/l)	Ag_Final (ppm)	Cu_Final (ppm)	Zn_Final (ppm)
0.00	13.00	MT Mort Terrain Mort terrain								
13.00	126.50	V2-V3; pFp; MAS	22.00	23.50	P297804	1.50	0.010	0.10	34.0	45.0
		<b>Volcanite intermédiaire à mafique; Porphyre de Feldspath; Massif</b>	23.50	24.00	P297805	0.50	0.010	0.10	23.0	42.0
		Volcanite intermédiaire à mafique	24.00	25.50	P297807	1.50	0.010	0.10	40.0	51.0
		Couleur gris sombre	25.50	27.00	P297808	1.50	0.010	0.10	11.0	60.0
		Roche à grains fins, homogène en altération et couleur	27.00	28.00	P297809	1.00	0.010	0.10	18.0	51.0
			28.00	29.50	P297810	1.50	0.010	0.10	17.0	51.0
		Contient environ 15-20% de pFp mm blanchâtres subarrondis	29.50	30.00	P299016	0.50	0.002	0.10	14.0	49.0
		Foliation très peu visible. Une seule mesure de schistosité à 50deg marqué par l'éirement de grains matriciels	30.00	31.50	P297811	1.50	0.010	0.10	42.0	40.0
			31.50	32.00	P297812	0.50	0.040	0.10	41.0	43.0
			32.00	33.50	P297814	1.50	0.010	0.10	46.0	30.0
		3-4% de Vn pluri mm à cm de Qz+Cb	33.50	35.00	P297816	1.50	0.010	0.10	29.0	27.0
		Localement, présence de petits pQz bleutés infra mm subarrondis répartis de façon hétérogène mais c'est très difficile d'appeler cette roche V1C	35.00	36.00	P297817	1.00	0.020	0.10	40.0	27.0
		Quelques passages dm à métrique contenant moins de pFp (moins de 2%) avec foliation plus facilement distinguable.								
		<b>Veines:</b>								
		De 64-64.5m: Veine à 50deg AC de Qz blanc+Chl ±Cb. pas de miné visible								
		De 66.4-66.6m: Veine à 50deg AC de Qz blanc.								
		Trace de Cp en un amas cubique de 1cm au niveau de l'éponte inf. d'une veine de Qz								
		De 56.3-56.6m: Amas de clastes ou Vn/Vnl de Qz+Chl verte sombre et noire. Pas de minéralisation visible								
		<b>Allérations:</b>								
		De 13-126.5m: Si+ pervasive, Chl+ pervasive, Ab+ en petits porphyres blancs, Bt- pervasive par passages, Hm en traces en Vn/Vnl ou brèche ou remplissage de fractures, cb- en Vn/Vnl, Ép. en traces en remplissage de fractures								
		Ab- entre 99.1-103.5m et entre 111.5-120.1m.								

LB 07 AC

Description	Analyse										
	De	À	Numéro	Longueur	Au_Final (g/t)	Ag_Final (ppm)	Cu_Final (ppm)	Zn_Final (ppm)			
<p>Minéralisation</p> <p>Globalement, Py en traces en rares grains infra mm disséminée.</p> <p>Entre 163-163.1m: Trace de Cp en un amas cubique de 1cm au niveau de l'éponte inf. d'une veine de Qz.</p> <p>Structure:</p> <p>De 36.3-36.5m: Zone de faille (?) marquée par une forte fracturation de la roche avec des morceaux de carotte de 3-5cm et hématisation localement forte en remplissage de fractures.</p> <p>De 49.5-50.2m: Zone de brèche composée de fragments de V2V3 mm à 3cm anguleux à rarement subarrondis dans une matrice de cb+Hm</p> <p>Contact inf. transitionnelle avec la disparition progressive des pFp.</p>	13.00	99.10	SIL+; CHl+; AB+; BO-; CB-; HMT; EPTr Silicification forte; Chloritisation forte; Albitisation forte; Blotisation faible; Carbonatation faible; Hématisation Tr; Épidotisation Tr De 13-126.5m: Si+ pervasive, CHl+ pervasive, Ab+ en petits porphyres blancs, Bt- pervasive par passages, Hm en traces en vn/Vnl ou breche ou remplissage de fractures, cb- en Vn/Vnl, Ép en traces en remplissage de fractures Ab- entre 99.1-103.5m et entre 111.5-120.1m.								
<p>Exceptés:</p> <p>59.1-62.1m: I3 FIN</p>	36.00	36.50	FRC+; FAI	36.00	37.00	P297818	1.00	0.010	0.10	32.0	29.0
<p><b>Fracturation forte; Faille</b></p>	37.00	38.00	P297819	37.00	38.00	P297819	1.00	0.040	0.10	40.0	24.0
<p>De 36.3-36.5m: Zone de faille (?) marquée par une forte fracturation de la roche avec des morceaux de carotte de 3-5cm et hématisation localement forte</p>	42.50	43.50	P297820	42.50	43.50	P297820	1.00	0.010	0.10	29.0	41.0
	43.50	45.00	P297821	43.50	45.00	P297821	1.50	0.008	0.10	41.5	50.0
	45.00	45.70	P297822	45.00	45.70	P297822	0.70	0.020	0.10	39.0	39.0

MAUDORE MINERALS Ltd

LB 99 AC

Description			Analyse							
			De	À	Numéro	Longueur	Au_Final (g/t)	Ag_Final (ppm)	Cu_Final (ppm)	Zn_Final (ppm)
49.50	50.20	en remplissage de fractures	45.70	47.00	P297823	1.30	0.010	0.10	33.0	45.0
			47.00	48.00	P297824	1.00	0.020	0.10	41.0	50.0
			48.00	49.50	P297825	1.50	0.020	0.10	22.0	40.0
		BRE	49.50	50.20	P297826	0.70	0.010	0.10	23.0	42.0
		Bréchique	50.20	51.50	P297827	1.30	0.005	0.10	31.0	44.0
56.30	56.60	De 49.5-50.2m: Zone de breche composée de fragments de V2V3 mm à 3cm anguleux à rarement subarrondis dans une matrice de cb+Hm	55.50	57.00	P297828	1.50	0.010	0.10	28.0	59.0
		AMA:100%;Qz Cl;:::	57.00	57.50	P299017	0.50	0.005	0.10	38.0	69.0
		Amas 100% Quartz Chlorite De 56.3-56.6m: Amas de clastes ou Vn/Vnl de Qz+Chl verte sombre et noire. PAs de minéralisation visible	57.50	59.00	P297829	1.50	0.005	0.10	29.0	62.0
59.10	62.10	I3; FIN Intrusion mafique; Grains fins Intrusion mafique Couleur vert sombre Roche homogène à grains fins Présence locale de pFp Alt: Si+, Chl+ Pas de miné Contact sup de 60deg AC et inf de 30deg AC	63.00	64.00	P297830	1.00	0.005	0.10	26.0	57.0
64.00	64.50	VEI;:Qz Cl Cb;:50*;;	64.00	64.50	P297831	0.50	2.060	0.10	80.0	16.0
		Veine Quartz Chlorite Carbonate 50*	64.50	65.50	P297832	1.00	0.005	0.10	22.0	52.0
		De 64-64.5m: Veine à 50deg Ac de Qz	65.50	66.30	P297833	0.80	0.020	0.20	47.0	49.0
		blanc+Chl±Cb. pas de miné visible	66.30	66.80	P297834	0.50	0.010	0.10	104.0	33.0
66.40	66.60	VEI;:Qz;:50*;CpTr;	66.80	68.00	P297836	1.20	0.005	0.10	36.0	42.0
		Veine Quartz 50° Chalcopyrite Tr	85.50	86.50	P297837	1.00	0.005	0.10	61.0	59.0
		De 66.4-66.6m: Veine à 50deg AC de Qz	86.50	87.50	P297838	1.00	0.005	0.10	21.5	47.5
		blanc. Trace de Cp en un amas cubique de 1cm au niveau de l'éponte inf d'une veine de Qz	87.50	88.00	P299018	0.50	0.002	0.10	3.0	58.0
			88.00	89.50	P297839	1.50	0.010	0.10	63.0	64.0
99.10	103.50	SIL+; Chl+; BO-; CB-; AB-; HMtr; EPtr Silicification forte; Chloritisation forte; Blotisation faible; Carbonatation faible; Albitisation								

MAUDORE MINERALS Ltd

LB CS AC

Description	Analyse								
	De	À	Numéro	Longueur	Au_Final (g/t)	Ag_Final (ppm)	Cu_Final (ppm)	Zn_Final (ppm)	
faible; Hématisation tr; Épidotisation tr De 13-126.5m: Si+ pervasive, Chl+ pervasive, Ab+ en petits porphyres blancs, Bt- pervasive par passages, Hm en traces en vn/Vnl ou breche ou remplissage de fractures, cb- en Vn/Vnl, Ép en traces en remplissage de fractures Ab- entre 99.1-103.5m et entre 111.5-120.1m.									
103.50 111.50	SIL+; Chl+; AB+; BO-; CB-; HMtr; EPtr	105.80	106.80	P297840	1.00	0.005	0.10	19.0	49.0
	Silicification forte; Chloritisation	106.80	107.30	P297841	0.50	0.010	0.10	15.0	14.0
	forte; Albitisation forte; Biotisation	107.30	108.30	P297842	1.00	0.010	0.10	5.0	23.0
	faible; Carbonatation faible;	108.30	109.50	P297843	1.20	0.005	0.10	1.0	19.0
	Hématisation tr; Épidotisation tr	109.50	111.00	P297844	1.50	0.005	0.10	5.0	23.0
	De 13-126.5m: Si+ pervasive, Chl+ pervasive, Ab+ en petits porphyres blancs, Bt- pervasive par passages, Hm en traces en vn/Vnl ou breche ou remplissage de fractures, cb- en Vn/Vnl, Ép en traces en remplissage de fractures Ab- entre 99.1-103.5m et entre 111.5-120.1m.	111.00	111.50	P299032	0.50	0.010	0.10	3.0	28.0
111.50 120.10	SIL+; Chl+; AB-; CB-; BO-; HMtr; EPtr	111.50	112.50	P297845	1.00	0.005	0.10	8.0	26.0
	Silicification forte; Chloritisation								
	forte; Albitisation faible;								
	Carbonatation faible; Biotisation								
	faible; Hématisation tr;								
	Épidotisation tr								
	De 13-126.5m: Si+ pervasive, Chl+ pervasive, Ab+ en petits porphyres blancs, Bt- pervasive par passages, Hm en traces en vn/Vnl ou breche ou remplissage de fractures, cb- en Vn/Vnl, Ép en traces en remplissage de fractures Ab- entre 99.1-103.5m et entre								

MAUDORE MINERALS Ltd

LB CB AC

Description		Analyse								
		De	À	Numéro	Longueur	Au_Final (g/t)	Ag_Final (ppm)	Cu_Final (ppm)	Zn_Final (ppm)	
	111.5-120.1m.									
120.10	126.50	SIL+; Chl+; AB+; BO-; CB-; HMr; EPtr Silicification forte; Chloritisation forte; Ablitisation forte; Biotisation faible; Carbonatation faible; Hématitisation tr; Epidotisation tr	124.00	125.50	P297847	1.50	0.005	0.10	10.0	23.0
		De 13-126.5m: Si+ pervasive, Chl+ pervasive, Ab+ en petits porphyres blancs, Bt- pervasive par passages, Hm en traces en vn/Vnl ou breche ou remplissage de fractures, cb- en Vn/Vnl, Ép en traces en remplissage de fractures Ab- entre 99.1-103.5m et entre 111.5-120.1m.	125.50	126.50	P297848	1.00	0.005	0.10	28.0	14.0
126.50	259.00	V2-V3; TI Volcanite intermédiaire à mafique; Tuf à lapillis Volcanite intermédiaire à mafique; Tufs à lapillis. Matrice à grains fins (presque aphanitique) de couleur gris moyen à sombre, verdâtre. 10-15% de clastes gris moyens-verdâtre mm à cm, sub-arrondis généralement allongés dans le sens de la foliation, mais parfois de forme très quelconque sans orientation particulières (comme des tâches). Foliation moyenne à 35 deg tca, marquée par l'allongement des clastes ou un rubanement de bandes de teintes légèrement différentes les unes des autres. Localement la foliation est difficilement distinguable. Localement en retrouve des passages dm à m (près du contact sup, entre 126-132m) contenant 1-2% de pFp mm (1-2mm), sub-arrondis, blanchâtre. Plusieurs (3-5%) veines de carbonate blanches mm à cm discordantes, irrégulières, souvent boudinées ou disloquées, parfois même sous forme d'amas globuleux. Les veines sont souvent entourées d'une auréole sombre chloriteuse.	126.50	128.00	P297850	1.50	0.008	0.10	50.0	27.0

LR CB AC

Description	Analyse							
	De	À	Numéro	Longueur	Au_Final (g/t)	Ag_Final (ppm)	Cu_Final (ppm)	Zn_Final (ppm)
<p>À partir de 185.5m: V2V3;T1 classique, rubané, alternance de bandes mm à cm grise-verte à brunâtre.</p> <p>Forte foliation entre 35-40 deg tca marquée par le rubanement (allongement des clastes?).</p> <p>2% de Vn/Vnl de carbonate blanchâtre irrégulières; contenant parfois des amas carbonaté? de couleur pourpre à l'intérieur</p> <p>À partir de 231.1m: 7-10% de bandes mm à cm beige-orangé de Sr insérés dans la foliation.</p> <p>Rares Vn de Qtz cm blanche discordantes.</p> <p>Structure:</p> <p>Roche peu fracturée dans son ensemble.</p> <p>Roche moyennement fracturée entre 200.6-204.3m (succession d'intervalle dm fracturée à fragments angulaires cm avec des intervalles intacts).</p> <p>Veines:</p> <p>182.5-182.9m: Vn massive (100%) de Qtz pure blanche opaque, faiblement carbonaté, non-minéralisé, contact inf. et sup. franc et concordant à 35 deg tca.</p> <p>199.9-200.1m: Vn de Cb (rose) et Qtz blanc entre 30-35 deg tca, discordant. Pas de miné. visible.</p> <p>Allération:</p> <p>Entre 126.5-164m: Sil moy. pervasive; Chl moy. pervasive; Cb moy. en Vn blanches irrégulières; Bt- en rares bandes brunâtre. Ab- en petit pFp entre 128.5-130.4m.</p> <p>Entre 164-168.4m: Sil moy. pervasive; Chl moy. pervasive; Cb moy. en Vn blanches irrégulières; Bt- en rares bandes brunâtre; Hm- sous forme de Vn irrégulières.</p> <p>Entre 168.4-182.9m: Sil moy. pervasive; Chl moy. pervasive; Cb moy. en Vn blanches irrégulières; Bt- en rares bandes brunâtre.</p> <p>Entre 182.9-231.1m: Sil+ pervasive; Chl moy. pervasive; Bt moyenne en bandes mm à cm concordantes; Cb- en Vn irrégulières; Sr- en bandes</p>								



MAUDORE MINERALS Ltd

LB CS AC

Description	Analyse							
	De	À	Numéro	Longueur	Au_Final (g/t)	Ag_Final (ppm)	Cu_Final (ppm)	Zn_Final (ppm)
<p>concordantes beige-orangé localement (distribution hétérogène).</p> <p>Entre 231.1-259m: Sil* pervasive; Chl moy. pervasive; Bt moy. en bandes brunâtre; Sr moy. en bandes beige-orangé; Cb- en Vn/Vnl irrégulières; Ép. en trace, Vn/Vnl localement.</p> <p>Minéralisation:</p> <p>Globalement, Py en traces en rares grains infra mm disséminée ou amas mm isolés ou en patches, également diss ou en amas mm dans de rares Vn de qtz blanche.</p> <p>Entre 163-163.1m: Trace de Cp en un amas cubique de 1cm au niveau de l'éponte inf. d'une veine de Qz.</p> <p>Entre 204.3-206.4m: 0.5% Py en amas mm isolés ou regroupés en patches, quelques grains de Py cubique (1-2mm)</p> <p>Entre 219.8-220.7m: 0.5% Py en amas mm isolés, quelques grains de Py cubique (1-2mm).</p> <p>Entre 257.8-259m: 0.5% Py en fins amas mm (max 2mm); remplissage de vacuoles ??</p> <p>Contact inf. transitionnel, progressif avec l'apparition des pFp.</p> <p>Excepté:</p> <p>132-135: 13A</p>								
126.50	128.50							
128.50	130.40							

MAUDORE MINERALS Ltd

LB 03 AC

Description		Analyse								
		De	À	Numéro	Longueur	Au_Final (g/t)	Ag_Final (ppm)	Cu_Final (ppm)	Zn_Final (ppm)	
130.40	164.00	blanches irrégulières; Bt- en rares bandes brunâtre. Ab- en petit pFp entre 128.5-130.4m. SIL; Chl; CB; BO- Silicification; Chlortisation; Carbonatisation; Biotisation faible Entre 126.5-164m: Sil moy. pervasive; Chl moy. pervasive; Cb moy. en vn blanches irrégulières; Bt- en rares bandes brunâtre. Ab- en petit pFp entre 128.5-130.4m.  Excepté: 132-135m: I3A								
132.00	135.00	I3A	132.00	133.00	P297851	1.00	0.005	0.10	21.0	64.0
		Gabbro	133.00	133.50	P299035	0.50	0.002	0.10	11.0	53.0
		Gabbro.	133.50	135.00	P297852	1.50	0.005	0.10	28.0	52.0
		Matrice à grains moyens de couleur vert foncé, tacheté blanc (Fld).	135.00	136.50	P297853	1.50	0.005	0.10	28.0	81.0
		Composé de Fld blanc laiteux plagioc (30%) et de minéraux mafiques tels que Px, Amp et mica.	136.50	138.00	P297854	1.50	0.005	0.10	77.0	65.0
		Non-magnétique.	138.00	138.50	P299033	0.50	0.002	0.10	34.0	31.0
		Aucune minéralisation visible.	138.50	139.50	P297855	1.00	0.005	0.10	45.0	35.0
		Si moy, Chl moy.	159.00	159.80	P297856	0.80	0.005	0.10	122.0	104.0
		Contact sup. perdus dans une zone de fracturation.	159.80	160.50	P297857	0.70	0.005	0.10	93.0	96.0
		Contact inf. franc et discordant à 20 deg tca.	160.50	162.00	P297858	1.50	0.005	0.10	19.0	101.0
163.00	163.10	Cptr; Pytr	162.00	162.90	P297859	0.90	0.005	0.10	30.0	115.0
		Chalcopryite tr; Pyrite tr	162.90	163.40	P297860	0.50	0.005	0.50	313.0	136.0
		Entre 163-163.1m: Trace de Cp en un amas cubique de 1cm au niveau de l'éponte inf d'une veine de Qz.	163.40	164.50	P297862	1.10	0.010	0.20	44.0	110.0
164.00	168.40	SIL; Chl; CB; BO-; HM- Silicification; Chlortisation; Carbonatisation; Biotisation faible; Hématisation faible Entre 164-168.4m: Sil moy. pervasive; Chl moy. pervasive; Cb moy. en vn	167.50	168.50	P297864	1.00	0.030	0.20	65.0	31.0

MAUDORE MINERALS Ltd

LB CSB AC

Description			Analyse							
			De	À	Numéro	Longueur	Au_Final (g/t)	Ag_Final (ppm)	Cu_Final (ppm)	Zn_Final (ppm)
168.40	182.90	blanches irrégulières; Bt- en rares bandes brunâtre; Hm- sous forme de Vn irrégulières. SIL; Chl; CB; BO- Silicification; Chloritisation; Carbonatation; Biotisation faible Entre 168.4-182.9m: Sil moy. pervasive; Chl moy. pervasive; Cb moy. en vn blanches irrégulières; Bt- en rares bandes brunâtre.	168.50	169.00	P299034	0.50	0.023	0.10	60.0	25.0
			169.00	170.50	P297865	1.50	0.010	0.20	37.0	38.0
			181.00	182.50	P297866	1.50	0.005	0.20	50.0	45.0
182.50	182.90	VEI;100%;Qz;;35*; Veine 100% Quartz 35* 182.5-182.9m: Vn massive (100%) de Qtz pure blanche opaque, faiblement carbonaté, non-minéralisé, contact inf. et sup. franc et concordant à 35 deg tca.	182.50	183.00	P297867	0.50	0.005	0.10	13.0	22.0
182.90	231.10	SIL+; Chl; BO; CB-; SR- Silicification forte; Chloritisation; Biotisation; Carbonatation faible; Séricitisation faible Entre 182.9-231.1m: Sil+ pervasive; Chl moy. pervasive; Bt moyenne en bandes mm à cm concordantes; Cb- en vn irrégulières; Sr- en bandes concordantes beige-orangé localement (distribution hétérogène)	183.00	184.00	P297869	1.00	0.010	0.10	74.0	32.0
			191.00	192.50	P297870	1.50	0.005	0.10	13.0	56.0
			192.50	193.00	P299060	0.50	0.002	0.25	13.0	111.0
			193.00	194.50	P297871	1.50	0.010	0.10	60.0	51.0
199.90	200.10	VEI;;Qz Cc;;30*; Veine Quartz Calcite 30* 199.9-200.1m: Vn de Cb (rose) et Qtz blanc entre 30-35 deg tca, discordant. Pas de miné. visible.								
200.60	204.30	FRC- Fracturation faible Roche moyennement fracturée entre 200.6-204.3m (succesion d'intervalle dm fracturée à fragments angulaires cm avec des intervalles intacts).	203.00	204.30	P297872	1.30	0.010	0.10	31.0	54.0
204.30	206.40	Py00.5	204.30	205.30	P297873	1.00	0.030	0.20	107.0	144.0

MAUDORE MINERALS Ltd

LB CB AC

Description		Analyse								
		De	À	Numéro	Longueur	Au_Final (g/t)	Ag_Final (ppm)	Cu_Final (ppm)	Zn_Final (ppm)	
219.80	220.70	Pyrite 0.5%	205.30	206.40	P297874	1.10	0.005	0.15	26.5	170.0
		Entre 104.3-106.4m: 0.5% Py en amas mm isolés ou regroupés en patches, quelques grains de Py cubique (1-2mm)	206.40	207.90	P297875	1.50	0.008	0.15	25.5	48.5
			218.50	219.80	P297876	1.30	0.005	0.20	12.0	77.0
		Py00.5	219.80	220.70	P297877	0.90	0.010	0.40	28.0	89.0
		Pyrite 0.5%	220.70	221.50	P297878	0.80	0.005	0.10	19.0	82.0
		Entre 218.8-220.7m: 0.5% Py en amas mm isolés, quelques grains de Py cubique (1-2mm)	221.50	223.00	P297879	1.50	0.010	0.20	26.0	60.0
			223.00	224.50	P297881	1.50	0.005	0.10	1.0	67.0
			224.50	225.00	P299061	0.50	0.006	0.25	9.0	110.0
			225.00	226.50	P297882	1.50	0.010	0.40	26.0	68.0
		231.10	259.00	SIL+; Chl; BO; SR; CB-; EPTr	233.50	235.00	P297883	1.50	0.140	0.20
Silicification forte; Chloritisation;	235.00			236.50	P297885	1.50	0.040	0.30	115.0	84.0
Biotisation; Séricitisation;	236.50			238.00	P297886	1.50	0.020	0.30	55.0	65.0
Carbonatation faible;	245.50			246.50	P297887	1.00	0.005	0.10	6.0	47.0
Épidotisation Tr	246.50			247.00	P299062	0.50	0.002	0.25	1.0	116.0
Entre 231.1-259m: Sil+ pervasive; Chl moy. pervasive; Bt moy. en bandes brunâtre; Sr moy. en bandes beige-orangé; Cb- en vn/vnl irrégulières; Ép en trace, vn/vnl localement.	247.00			248.50	P297888	1.50	0.005	0.20	1.0	46.0
	256.30			257.80	P297889	1.50	0.005	0.30	12.0	39.0
	257.80			259.00	P297890	1.20	0.020	0.20	65.0	64.0
259.00	652.50	Py00.5	257.80	259.00	P297890	1.20	0.020	0.20	65.0	64.0
		Pyrite 0.5%								
		Entre 257.8-259m: 0.5% Py en fins amas mm (max 2mm); remplissage de vacuoles ??								
		V2-V3; pFp	259.00	260.50	P297892	1.50	0.010	0.10	30.0	57.0
		<b>Volcanite intermédiaire à mafique; Porphyre de Feldspath</b>								
		Volcanite intermédiaire à porphyre de Fld; Tufs à lapillis.								
		Matrice à grains fins, pratiquement aphanitique, de couleur gris foncé, avec rubanement verdâtre à brunâtre.								
		Matrice d'aspect très vitreux, fortement silicifiée.								
		Généralement rubané, rubanement serré formé par une alternance de bandes mm à cm grise foncé, brunâtre et verdâtre (représentant les clastes fortement allongés ??).								
		À partir de 311.5m, aspect beaucoup plus massif, la								

MAUDORE MINERALS Ltd

LB CS AC

Description	Analyse							
	De	À	Numéro	Longueur	Au_Final (g/l)	Ag_Final (ppm)	Cu_Final (ppm)	Zn_Final (ppm)
<p>foliation devenant beaucoup plus difficilement distinguable.</p> <p>Forte foliation entre 40-45 deg tca, marquée par le rubanement (clastes allongés), également par les bandes de séricite insérés dans la foliation.</p> <p>Présence de petits pFp blanc laiteux subarrondis (distribution variable très hétérogène allant de 1-25%).</p> <p>Succession d'intervalles dm à métrique ne contenant que très peu de pFp (1%) avec des intervalles dm à métrique pouvant contenir jusqu'à 25% de pFp. Entre 311.5-317m 15-25% de pFp baignant dans la matrice. Après 317m, globalement seulement 1% de pFp distribué en poches de façon hétérogène.</p> <p>Généralement 2-3% de fines veinules blanches carbonatées ± Hm ± Ép., irrégulières, recoupant l'unité dans toutes les directions. Entre 351-374m, les Vn/Vnl carbonatées semblent s'aligner dans l'orientation de la foliation (intervalle où la foliation est plus visible).</p> <p>Rares Vn de Qtz cm blanche discordantes.</p> <p>Rares présence locale d'Ép. et d'Hm accompagnant les Vn carbonatés.</p> <p>De 604-614: V2V3 MAS à pFp minéralisé en Py 1-2%</p> <p>Structure:</p> <p>Unité généralement peu fracturée; rares petites zones de fracturation cm à dm.</p> <p>495.5-496.2: Frct moy, blocs anguleux de 2 à 10cm</p> <p>510.5-511: Frct moy, blocs anguleux de 2 à 10cm</p> <p>566.5-570: Frct-, localement fracturation moy sur 10-20cm</p> <p>569.5-570: Brèche à Qz, Cb, et Chl noire. Py tr en grains disséminés. Foliation à 39deg (cisaillement?).</p> <p>Contacts à 39deg AC. Associée en périphérie sur 1m dans la partie sup. à stockwerk de Vnl/Vn de Cb</p> <p>Veines:</p> <p>408.2-408.8m: Vn de Qtz+ Cb blanche à bas angle de la carotte (15 deg tca), non-minéralisé.</p> <p>335.7-335.9m: Veine de Qtz+Cb à 15 deg tca,</p>								

LD CM AC

Description	Analyse							
	De	À	Numéro	Longueur	Au_Final (g/l)	Ag_Final (ppm)	Cu_Final (ppm)	Zn_Final (ppm)
<p>contenant un grains de Cp.                      466.6-468.6m: Amas de veines de Qtz-Cb Chl (50%) de forme irrégulière.                      518.1-520: Intervalle à VN-Brèche (40%) de 1 à 5cm de Cb, Hm et Chl noire. Pas d'orientation préférentielle. Pas de minéralisation                      535.4-535.8: Vn (90%) à Qz (80%), Cb et Chl verte. Py tr en grains disséminés. Contacts nets concordants à 35deg AC                      601.9-602.1: Vn (100%), de Cb-Qz (50%-50%) avec Chl-, Hm tr. Contacts nets concordants 40deg AC                      631.9-632.8: Vn (90%), Qz (60%) et Cb (40%), Chl tr. Contact sup. net discordant à 40deg AC, inf. net concordant à 40deg AC</p> <p>Allération:                      Entre 259-266.9m: Sil+ pervasive; Chl moy. pervasive ou en bandes; Bt moy. en bandes; Ab-pFp; Sr- en fines bandes beige orangé; Ép.- Vn/Vnl; Cb- Vn/Vnl.                      Entre 266.9-269.7m: Sil+ pervasive; Chl moy. pervasive ou en bandes; Bt moy. en bandes; Hm moy. Vn/Vnl; Ab- pFp; Cb- Vn/Vnl; Ép.- Vn/Vnl.                      Entre 269.7-304m: Sil+ pervasive; Chl moy. pervasive ou en bandes; Bt moy. en bandes; Ab-pFp; Sr- en fines bandes beige orangé; Ép.- à moyen localement Vn/Vnl; Cb- Vn/Vnl.                      Entre 304-311.5m: Sil+ pervasive; Chl moy. pervasive ou en bandes; Bt moy. en bandes; Ab moy.; Cb- Vn/Vnl.                      Entre 311.5-317m: Sil+ pervasive; Ab+ pFp; Chl moy. pervasive ou en bandes; Bt moy. en bandes; Cb- Vn/Vnl.                      Entre 317-334m: Sil+ pervasive; Chl moy. pervasive ou en bandes; Bt moy. en bandes; Ab- pFp; Sr- en fines bandes beige orangé; Ép.- Vn/Vnl; Cb- Vn/Vnl; Hm trace Vn/Vnl.                      Entre 334-418.9m: Sil+ pervasive; Chl moy. pervasive ou en bandes; Bt- en bandes; Ab- pFp; Sr Tr en fines bandes beige; Ép. Tr Vn/Vnl; Cb- Vn/Vnl; Hm Tr Vn/Vnl.</p>								

MAUDORE MINERALS Ltd

LG CB A

Description	Analyse							
	De	À	Numéro	Longueur	Au_Final (g/l)	Ag_Final (ppm)	Cu_Final (ppm)	Zn_Final (ppm)
<p>Entre 418.9-421.7m: Si+ pervasive; Chl moy pervasive; Ab- pFp; Pa- et Ser- en bandes; Cb- en Vnl; Hm Tr en Vnl; Bt en Tr</p> <p>Entre 421.7-456.5m: Si+ pervasive et en Vn; Chl moy. pervasive ou en bandes; Bt- en bandes; Ab- pFp; Sr Tr en fines bandes beige; Ép. Tr Vn/Vnl; Cb- Vn/Vnl; Hm Tr Vn/Vnl.</p> <p>Entre 456.5-466.6m: Si+ pervasive et en Vnl; Chl moy. pervasive ou en bandes; Bt- en bandes; Ab- pFp; Cb- Vn/Vnl; Hm en Vnl associée à Qtz-Cb; Sr Tr en fines bandes beige; Ép. Tr Vn/Vnl.</p> <p>Entre 466.6-479.7m: Si+ pervasive et en Vn; Chl moy. pervasive ou en bandes; Bt- en bandes; Ab- pFp; Sr Tr en fines bandes beige; Ép. Tr Vn/Vnl; Cb- Vn/Vnl; Hm Tr Vn/Vnl.</p> <p>Entre 479.7-499.4 m: Si+ pervasive; Chl moy pervasive ou en bandes; Ab- pFp; Bt- en bandes; Pa- en bandes; Cb- en Vnl ou bandes associée à Pa; Sr en Tr Vnl et amas.</p> <p>499.4-510: Si+ pervasive, Chl moy pervasive et en bandes, pFp en mouchetage; Bt- en bandes; Pa- à moy en bandes; Cb- en Vnl ou bandes associée à Pa, Sr- Vnl et amas, Hm- en Vnl</p> <p>510-520: Si+ pervasive, Chl moy pervasive et en bandes, Pa moy pervasive; Hm moy en Vnl</p> <p>520-575: Si+ pervasive; Chl moy pervasive ou en bandes; Ab- pFp; Bt- en bandes; Pa- en bandes; Cb- en Vnl ou bandes associée à Pa; Sr tr en Vnl et amas.</p> <p>575-615: Si+ pervasive; Chl moy pervasive ou en bandes; Ab- pFp; Bt- en bandes; Cb- en Vnl; Sr tr en Vnl et amas.</p> <p>615-620.7: Si+ pervasive; Chl moy pervasive ou en bandes; Ab- pFp; Bt- en bandes; Pa- en bandes; Cb- en Vnl ou bandes associée à Pa; Sr tr en Vnl et amas.</p> <p>620.7-631: Si+ pervasive; Chl moy pervasive ou en bandes; Ab- pFp; Bt- en bandes; Pa- en bandes; Cb- à localement moy. en Vnl ou bandes associée à Pa; Hm- voir localement moy en Vnl</p> <p>631-652.5: Si+ pervasive; Chl et Bo moy pervasive</p>								

MAUDORE MINERALS Ltd

LB 43 AC

Description	Analyse							
	De	À	Numéro	Longueur	Au_Final (g/t)	Ag_Final (ppm)	Cu_Final (ppm)	Zn_Final (ppm)
<p>ou en bandes; Ab- pFp; Cb- en Vnl; Sr tr en Vnl et amas.</p> <p>Minéralisation:</p> <p>Faible trace de Py en rares grains ou amas mm isolés; également rarement en amas mm dans des Vnl de Cb/Chl.</p> <p>Un grains de Cp dans une veine de Qtz à 335.8m (Vn de 20cm de largeur).</p> <p>Entre 418.9-419.5m: 30% Py en Vnl cm ou en amas de 5 à 10cm de grains grossiers.</p> <p>Entre 419.5-421.7m: 0.5% Py en grains br&gt;Entre 421.7-479.7m: Py en Tr en grains br&gt;Entre 479.7-490.5m: 0.5-1% de Py en grains diss souvent dans des bandes de Bt, engrains mm isolés ou en Vnl mm concordantes.</p> <p>Entre 490.5-510 m: Py en Tr en grains br&gt;Entre 510-511.3: Py tr en grains disséminés et un grain de Cp</p> <p>Entre 511.3-520.4: Py tr en grains disséminés</p> <p>520.4-520.9: Py tr en grains br&gt;520.9-534: Py en Tr en grains br&gt;550.9-569: Py tr, localement 0.5% en grains disséminés</p> <p>569-574: Py 0.5 à 1% en grains disséminés et 20% associés à clastes de Bo</p> <p>574-581.5: Py tr en grains disséminés</p> <p>581.5-589: Py 0.5% en grains et en alignement de grains (50%/50%)</p> <p>589-593: Py 1-2% en grains et en alignement de grains (50%/50%)</p> <p>605.8-617: Py 2% en grains finement disséminés</p> <p>617-623.5: Py tr en grains disséminés</p> <p>623.5-624: Py 1% grains disséminés associés à brèche et Vn</p> <p>624-652.5: Py tr en grains disséminés</p> <p>Contact sup. et inf. progressif avec l'apparition (et disparition) des pFp sur environ 1m</p> <p>Excepté:</p> <p>416,1-418,6: I3; FIN</p>								



MAUDORE MINERALS Ltd

LB 03 R

Description			Analyse							
			De	À	Numéro	Longueur	Au_Final (g/t)	Ag_Final (ppm)	Cu_Final (ppm)	Zn_Final (ppm)
259.00	266.90	561.7-566.2: I2; pFp 606.4-607: I1G 611.7-612.2: I1G SIL+; Chl; BO; AB-; SR-; EP-; CB- Silicification forte; Chloritisation; Biotisation; Albitisation faible; Séricitisation faible; Épidotisation faible; Carbonatation faible Entre 259-266.9m: Sil+ pervasive; Chl moy. pervasive ou en bandes; Bt moy. en bandes; Ab- pFp; Sr- en fines bandes beige orangé; Ép- vn/vnl; Cb- vn/vnl.								
266.90	269.70	SIL+; Chl; BO; HM; AB-; EP-; CB- Silicification forte; Chloritisation; Biotisation; Hématitisation; Albitisation faible; Épidotisation faible; Carbonatation faible Entre 266.9-269.7m: Sil+ pervasive; Chl moy. pervasive ou en bandes; Bt moy. en bandes; Hm moy. vn/vnl; Ab- pFp; Cb- vn/vnl; Ép- vn/vnl.								
269.70	304.00	SIL+; Chl; BO; AB-; SR-; EP-; CB- Silicification forte; Chloritisation; Biotisation; Albitisation faible; Séricitisation faible; Épidotisation faible; Carbonatation faible Entre 269.7-304m: Sil+ pervasive; Chl moy. pervasive ou en bandes; Bt moy. en bandes; Ab- pFp; Sr- en fines bandes beige orangé; Ép- à moyen localement vn/vnl; Cb- vn/vnl.	272.50	274.00	P297893	1.50	0.010	0.10	4.0	61.0
			274.00	274.50	P299066	0.50	0.007	0.25	3.0	103.0
			274.50	276.00	P297894	1.50	0.010	0.10	5.0	67.0
			276.00	277.50	P297895	1.50	0.008	0.10	4.0	71.5
			277.50	278.50	P297896	1.00	0.010	0.10	3.0	59.0
			278.50	279.50	P297897	1.00	0.010	0.10	3.0	86.0
			290.00	291.00	P297898	1.00	0.010	0.10	35.0	49.0
			291.00	292.00	P297899	1.00	0.005	0.10	19.0	65.0
			302.50	303.50	P297900	1.00	0.010	0.15	60.0	45.0
			303.50	304.00	P296751	0.50	0.010	0.10	54.0	51.0
304.00	311.50	SIL+; Chl; BO; AB; CB- Silicification forte; Chloritisation; Biotisation; Albitisation; Carbonatation faible Entre 304-311.5m: Sil+ pervasive; Chl moy. pervasive ou en bandes; Bt moy. en bandes; Ab moy.; Cb- vn/vnl.	304.00	305.00	P296752	1.00	0.020	0.10	43.0	34.0
			305.00	305.50	P299067	0.50	0.012	0.25	63.0	71.0
			305.50	307.00	P296753	1.50	0.010	0.10	74.0	44.0

MAUDORE MINERALS Ltd

LB C03 AC

Description			Analyse							
			De	À	Numéro	Longueur	Au_Final (g/t)	Ag_Final (ppm)	Cu_Final (ppm)	Zn_Final (ppm)
311.50	317.00	SIL+; AB+; ChI; BO; CB- Silicification forte; Albitisation forte; Chloritisation; Biotisation; Carbonatation faible Entre 311.5-317m: Sil+ pervasive; Ab+ pFP; ChI moy. pervasive ou en bandes; Bt moy. en bandes; Cb- vn/vnl.								
317.00	334.00	SIL+; ChI; BO; AB-; SR-; EP-; CB-; HMTr Silicification forte; Chloritisation; Biotisation; Albitisation faible; Séricitisation faible; Épidotisation faible; Carbonatation faible; Hématitisation Tr Entre 317- m: Sil+ pervasive; ChI moy. pervasive ou en bandes; Bt moy. en bandes; Ab- pFp; Sr- en fines bandes beige orangé; Ép- vn/vnl; Cb- vn/vnl; Hm trace vn/vnl.	317.50	319.00	P296754	1.50	0.010	0.10	54.0	22.0
			329.50	331.00	P296756	1.50	0.005	0.10	39.0	22.0
			331.00	331.50	P299068	0.50	0.002	0.25	19.0	70.0
			331.50	333.00	P296757	1.50	0.005	0.10	64.0	47.0
334.00	421.70	SIL+; ChI; BO-; AB-; CB-; SRTr; EPTr; HMTr Silicification forte; Chloritisation; Biotisation faible; Albitisation faible; Carbonatation faible; Séricitisation Tr; Épidotisation Tr; Hématitisation Tr Entre 334-421.7m: Sil+ pervasive; ChI moy. pervasive ou en bandes; Bt- en bandes; Ab- pFp; Sr Tr en fines bandes beige; Ép Tr vn/vnl; Cb- vn/vnl; Hm Tr vn/vnl.  Excepté: 416.1-418.6: I3; FIN	334.00	335.50	P296759	1.50	0.005	0.10	42.0	54.0
			335.50	336.00	P296760	0.50	0.005	0.10	56.0	41.0
335.70	335.90	VEI; 100%; Qz Cb;; 15"; CpTr; Veine 100% Quartz Carbonate 15" Chalcopyrite Tr Veine de Qlz+Cb à 15 deg lca, contenant un grains de Cpy.	336.00	337.00	P296762	1.00	0.005	0.10	39.0	39.0
			347.50	349.00	P296763	1.50	0.005	0.10	39.0	36.0
			354.50	356.00	P296764	1.50	0.005	0.20	28.0	42.0
			356.00	357.50	P296765	1.50	0.010	0.40	130.0	70.0
			357.50	358.00	P299072	0.50	0.002	0.25	32.0	67.0

MAUDORE MINERALS Ltd

LG CB AC

Description			Analyse							
			De	À	Numéro	Longueur	Au_Final (g/t)	Ag_Final (ppm)	Cu_Final (ppm)	Zn_Final (ppm)
			358.00	359.50	P296766	1.50	0.005	0.10	51.0	82.0
			370.00	371.50	P296767	1.50	0.005	0.10	49.0	35.0
			379.00	380.50	P296768	1.50	0.008	0.15	52.5	85.5
			386.50	388.00	P296769	1.50	0.005	0.10	31.0	33.0
			388.00	388.50	P299073	0.50	0.002	0.25	11.0	64.0
			388.50	389.50	P296770	1.00	0.005	0.10	33.0	37.0
			397.00	398.50	P296771	1.50	0.005	0.10	57.0	43.0
			398.50	399.00	P296772	0.50	0.005	0.10	44.0	43.0
			399.00	400.50	P296774	1.50	0.010	0.10	29.0	44.0
402.20	402.80	VEI;100%:Qz Cb;;15";; Veine 100% Quartz Carbonate 15" 408.2-408.8m: Vn de Qtz+ Cb blanche à bas angle de la carotte (15 deg tca), non-minéralisé.	408.20	408.80	P296775	0.60	0.045	0.25	170.5	206.5
			413.50	415.00	P296776	1.50	0.005	0.10	47.0	70.0
			415.00	416.20	P296777	1.20	0.010	0.20	105.0	66.0
416.10	418.60	I3; FIN Intrusion mafique 60"; Grains fins 60" Intrusion mafique Couleur vert sombre Roche homogène à grains moyens Présence de pfp blancs laiteux ou orangé (hématisation) de 1-2mm (20%) Alt: Si+, Chl+, Hm moy, Ep en Tr Min: Py en 0.5% en fins grains disséminés ou concentrée dans des veinules Cb-Hm mm. Contact sup et inf nets de 60deg AC	418.40	418.90	P296778	0.50	0.020	0.30	41.0	215.0
418.90	419.50	Py30 Pyrite 30% Entre 418.9-419.5m: 30% Py en vnl cm ou en amas de 5 à 10cm de grains grossiers.	418.90	419.50	P296779	0.60	4.345	21.90	3 060.0	21 900.0
419.50	421.70	Py00.5 Pyrite 0.5% Entre 419.5-421.7m: 0.5% Py en grains br>	419.50	420.20	P296781	0.70	0.160	0.40	44.0	287.0
			420.20	420.70	P299082	0.50	0.015	0.25	40.0	86.0
			420.70	421.70	P296783	1.00	0.005	0.10	20.0	75.0
421.70	456.50	SIL+; Chl; BO-; AB-; SRTr; EPTr; HMTr Silicification forte; Chloritisation;	421.70	423.20	P296784	1.50	0.005	0.10	25.0	67.0
			427.50	428.70	P296785	1.20	0.005	0.10	27.0	62.0

MAUDORE MINERALS Ltd

LB CM A

Description		Analyse							
		De	À	Numéro	Longueur	Au_Final (g/t)	Ag_Final (ppm)	Cu_Final (ppm)	Zn_Final (ppm)
		428.70	430.20	P296786	1.50	0.010	0.20	26.0	43.0
		430.20	431.20	P296787	1.00	0.010	0.25	52.0	113.0
		431.20	432.70	P296788	1.50	0.005	0.10	19.0	56.0
		436.00	437.00	P296789	1.00	0.005	0.10	20.0	51.0
		437.00	438.00	P296790	1.00	0.010	0.10	54.0	52.0
		438.00	439.00	P296791	1.00	0.010	0.10	46.0	42.0
		448.60	450.00	P296792	1.40	0.005	0.10	23.0	118.0
		450.00	451.00	P296793	1.00	0.010	0.20	60.0	140.0
		451.00	451.50	P299083	0.50	0.002	0.25	56.0	161.0
		451.50	452.90	P296794	1.40	0.010	0.10	30.0	84.0
456.50	466.60	463.20	464.70	P296795	1.50	0.010	0.10	24.0	109.0
		464.70	465.20	P299084	0.50	0.002	0.25	28.0	121.0
		465.20	466.70	P296796	1.50	0.010	0.30	47.0	462.0
466.60	479.70	466.70	467.90	P296797	1.20	0.020	0.40	126.0	209.0
		467.90	468.60	P296799	0.70	0.030	0.30	75.0	699.0
		468.60	469.60	P296800	1.00	0.035	0.30	84.0	1 162.5
		469.60	471.00	P296801	1.40	0.040	0.20	104.0	358.0
		471.00	472.50	P296802	1.50	0.005	0.10	47.0	94.0
		479.00	480.00	P296803	1.00	0.010	0.10	18.0	137.0
466.60	468.60								

MAUDORE MINERALS Ltd

LG C13 AC

Description		Analyse									
		De	À	Numéro	Longueur	Au_Final (g/t)	Ag_Final (ppm)	Cu_Final (ppm)	Zn_Final (ppm)		
479.70	499.40	Chlorite Pyrite 0.5%									
		466.6-468.6m: Amas de veines de Qtz-Cb Chl (50%) de forme irrégulière. Min: 0.5% de Py disséminée en grains >									
		SIL+; Chl; AB-; BO-; PA-; CB-; SRTr	480.00	481.00	P296804	1.00	0.100	0.50	50.0	795.0	
		Silicification forte; Chloritisation;	481.00	482.00	P296805	1.00	0.260	1.70	97.0	1 770.0	
		Albitisation faible; Biotisation faible; Paragonite faible;	482.00	483.50	P296807	1.50	0.170	0.80	30.0	428.0	
		Carbonatation faible;	483.50	485.00	P296808	1.50	0.008	0.10	29.0	123.0	
		Séricitisation Tr	485.00	486.00	P296809	1.00	0.005	0.10	33.0	90.0	
		Si+ pervasive; Chl moy pervasive ou en bandes; Ab- pFp; Bt- en bandes; Pa- en bandes; Cb- en Vnl ou bandes associée à Pa; Sr en Tr Vnl et amas.	486.00	487.00	P296811	1.00	0.005	0.10	32.0	57.0	
			487.00	487.50	P299085	0.50	0.002	0.25	41.0	163.0	
			487.50	488.50	P296812	1.00	0.005	0.10	34.0	68.0	
			488.50	489.20	P296813	0.70	0.030	0.60	27.0	277.0	
			489.20	489.80	P296814	0.60	1.390	6.30	274.0	238.0	
			489.80	490.30	P296815	0.50	1.150	4.00	630.0	357.0	
	490.30	491.80	P296817	1.50	0.005	0.10	36.0	183.0			
479.70	490.50	Py0.5-1%									
Pyrite 0.5-1%											
Entre 479.7-490.5m: 0.5-1% de Py en grains diss souvent dans des bandes de Bt, engrains mm isolés ou en vnl mm concordantes.											
490.50	510.00	Pylr		491.80	493.00	P296818	1.20	0.005	0.10	27.0	70.0
		Pyrite tr		493.00	494.50	P296819	1.50	0.010	0.10	34.0	39.0
		Py en Tr en grains br>		494.50	496.00	P296820	1.50	0.010	0.20	50.0	94.0
495.50	496.20	FRC		496.00	497.50	P296821	1.50	0.020	0.10	82.0	68.0
		Fracturé(e)		497.50	499.00	P296822	1.50	0.010	0.10	51.0	55.0
		Frct moy, blocs anguleux de 2 à 10cm		499.00	500.50	P296823	1.50	0.005	0.10	23.0	52.0
499.40	510.00	SIL+; Chl; Fk; BO-; PA-; CB-; SR-; HM-		500.50	502.00	P296824	1.50	0.008	0.10	33.5	57.0
		Silicification forte; Chloritisation;		502.00	503.50	P296825	1.50	0.005	0.10	26.5	57.5
		Feldspath potassique; Biotisation faible; Paragonite faible;		503.50	505.00	P296826	1.50	0.010	0.10	22.0	54.0
		Carbonatation faible;		505.00	506.50	P296827	1.50	0.010	0.10	27.0	46.0
		Séricitisation faible; Hématisation faible		506.50	508.00	P296828	1.50	0.005	0.10	38.0	45.0

MAUDORE MINERALS Ltd

18 CB R

Description			Analyse							
			De	À	Numéro	Longueur	Au_Final (g/t)	Ag_Final (ppm)	Cu_Final (ppm)	Zn_Final (ppm)
		Si+ pervasive, Chl moy pervasive et en bandes, pFp en mouchetage; Bl- en bandes; Pa- à moy en bandes; Cb- en Vnl ou bandes associée à Pa. Sr- Vnl et amas, Hm- en Vnl	508.00	509.50	P296830	1.50	0.005	0.10	33.0	45.0
			509.50	511.00	P296831	1.50	0.010	0.10	134.0	39.0
510.00	520.00	SIL+; Chl; PA; HM Silicification forte; Chloritisation; Paragonite; Hémalitisation Si+ pervasive, Chl moy pervasive et en bandes, Pa moy pervasive; Hm moy en Vnl								
510.00	511.30	Pytr; Cptr Pyrite tr; Chalcopyrite tr Py tr en grains disséminés et un grain de Cp								
510.50	511.00	FRC Fracturé(e) Frct moy, blocs anguleux de 2 à 10cm	511.00	512.50	P296832	1.50	0.010	0.10	10.0	48.0
511.30	520.40	Pytr Pyrite tr Py tr en grains disséminés	512.50	514.00	P296833	1.50	0.008	0.10	6.0	45.0
			514.00	515.50	P296835	1.50	0.010	0.10	29.0	59.0
			515.50	517.00	P296836	1.50	0.010	0.10	47.0	55.0
			517.00	518.50	P296837	1.50	0.005	0.10	3.0	55.0
518.10	520.00	VEI;40%;Cb Hm Cl;;; Vaine 40% Carbonate Hémalite Chlorite Intervalle à VN-Brèche (40%) de 1 à 5cm de Cb, Hm et Chl noire. Pas d'orientation préférentielle. Pas de minéralisation	518.50	519.00	P296839	0.50	0.010	0.10	1.0	41.0
			519.00	519.50	P296840	0.50	0.010	0.10	1.0	51.0
			519.50	520.00	P296841	0.50	0.010	0.10	1.0	64.0
520.00	575.00	SIL+; Chl; Fk; BO-; PA-; CB-; SRtr Silicification forte; Chloritisation; Feldspath potassique; Blotisation faible; Paragonite faible; Carbonatation faible;	520.00	520.50	P299110	0.50	0.045	0.25	34.0	159.0

MAUDORE MINERALS Ltd

LB/CIS AC

Description		Analyse								
		De	À	Numéro	Longueur	Au_Final (g/t)	Ag_Final (ppm)	Cu_Final (ppm)	Zn_Final (ppm)	
<p><b>Séricitisation tr</b>                      Si+ pervasive; Chl moy pervasive ou en bandes; Ab- pFp; Bt- en bandes; Pa- en bandes; Cb- en Vnl ou bandes associée à Pa; Sr Ir en Vnl et amas.</p> <p>Excepté:                      561.7-566.2: I2; pFp</p>										
520.40	520.90	Pytr: Cptr	520.50	521.00	P296842	0.50	0.010	0.30	91.0	90.0
<p><b>Pyrite tr; Chalcopyrite tr</b>                      Py tr en grains br&gt;</p>										
520.90	534.00	Pytr	521.00	522.50	P296843	1.50	0.005	0.10	11.0	67.0
<p><b>Pyrite tr</b>                      Py en Tr en grains br&gt;</p>										
		Pytr	522.50	524.00	P296844	1.50	0.005	0.10	6.0	71.0
		Pytr	524.00	525.00	P296845	1.00	0.005	0.10	9.0	65.0
		Pytr	525.00	526.00	P296846	1.00	0.010	0.10	44.0	74.0
		Pytr	526.00	527.50	P296847	1.50	0.320	0.60	140.0	67.0
		Pytr	527.50	529.00	P296848	1.50	0.005	0.10	35.0	46.0
		Pytr	529.00	530.50	P296849	1.50	0.005	0.10	13.0	35.0
		Pytr	530.50	532.00	P296850	1.50	0.008	0.10	22.0	41.5
		Pytr	532.00	533.50	P296851	1.50	0.005	0.10	30.0	40.0
		Pytr	533.50	535.00	P296852	1.50	0.010	0.20	151.0	35.0
535.40	535.80	VEI;90%;Cb Cl;35*;Pytr;	548.50	550.00	P296853	1.50	0.005	0.10	30.0	48.0
<p><b>Veine 90% Carbonate Chlorite 35*</b></p>										
<p><b>Pyrite tr</b>                      Vn (90%) à Qz (80%), Cb et Chl verte.                      Py tr en grains disséminés. Contacts nets concordants à 35deg AC</p>										
		Pytr	550.00	550.50	P299111	0.50	0.020	0.25	275.0	78.0
		Pytr	550.50	551.50	P296854	1.00	0.020	0.60	422.0	62.0
550.90	569.00	Pytr	551.50	553.00	P296855	1.50	0.005	0.10	54.0	51.0
<p><b>Pyrite tr</b>                      Py tr, localement 0.5% en grains disséminés</p>										
		Pytr	553.00	554.50	P296856	1.50	0.005	0.10	22.0	50.0
		Pytr	554.50	556.00	P296857	1.50	0.005	0.10	29.0	58.0
		Pytr	556.00	557.50	P296859	1.50	0.005	0.10	18.0	62.0
<p>Excepté:                      561.7-566.2: I2; pFp</p>										
		Pytr	557.50	559.00	P296860	1.50	0.005	0.10	27.0	61.0
		Pytr	559.00	560.50	P296861	1.50	0.010	0.20	39.0	74.0
		Pytr	560.50	562.00	P296863	1.50	0.005	0.10	12.0	69.0
561.70	566.20	I2; pFp	566.10	567.10	P296864	1.00	0.005	0.10	9.0	72.0
<p>Intrusion Intermédiaire; Porphyre de</p>										

MAUDORE MINERALS Ltd

LB CB AC

Description		Analyse								
		De	À	Numéro	Longueur	Au_Final (g/t)	Ag_Final (ppm)	Cu_Final (ppm)	Zn_Final (ppm)	
		<b>Feldspath 50*</b> Intrusion intermédiaire Roche sombre, ressemble à un I3, FIN mais avec mouchetage de pFp 0.5cm blancs Matrice fine sombre Py tr en grains disséminés Contacts nets ondulants, en moy. concordants à 50deg AC								
566.50	569.50	FRC-	567.10	568.00	P296865	0.90	0.010	0.10	38.0	133.0
		<b>Fracturation faible</b>	568.00	569.00	P296866	1.00	0.010	0.20	96.0	127.0
		Frct-, localement fracturation moy sur 10-20cm								
569.00	574.00	Py01	569.00	569.50	P296867	0.50	0.020	0.30	318.0	48.0
		<b>Pyrite 1%</b>								
		Py 0.5 à 1% en grains disséminés et 20% associés à clastes de Bo								
569.50	570.00	BRE; FRC-	569.50	571.00	P296869	1.50	0.020	0.20	50.0	60.0
		<b>Bréchique; Fracturation faible</b>	571.00	572.50	P296870	1.50	0.100	0.90	29.0	58.0
		Brèche à Qz, Cb, et Chl noire. Py tr en grains disséminés. Foliation à 39deg (cisaillement?). Contacts à 39deg AC. Associée en périphérie sur 1m dans la partie sup. à stockwerk de Vnl/Vn de Cb	572.50	574.00	P296871	1.50	0.060	0.30	205.0	71.0
574.00	581.50	Pytr	574.00	575.50	P296872	1.50	0.010	0.20	48.0	57.0
		<b>Pyrite tr</b>								
		Py tr en grains disséminés								
575.00	615.00	SIL+; Chl; Fk; BO-; CB-; SRtr	575.50	577.00	P296873	1.50	0.005	0.10	47.0	56.0
		<b>Silicification forte; Chloritisation;</b>	577.00	578.50	P296874	1.50	0.005	0.10	35.0	41.0
		<b>Feldspath potassique; Biotisation faible; Carbonatation faible;</b>	578.50	580.00	P296875	1.50	0.005	0.10	27.5	42.0
		<b>Séricitisation tr</b>	580.00	580.50	P299115	0.50	0.002	0.25	7.0	96.0
		Si+ pervasive; Chl moy pervasive ou en bandes; Ab- pFp; Bl- en bandes; Cb- en Vnl; Sr tr en Vnl et amas.	580.50	581.50	P296876	1.00	0.010	0.10	17.0	40.0
		Excepté: 606.4-607: I1G 611.7-612.2: I1G								
581.50	589.00	Py00.5	581.50	583.00	P296877	1.50	0.030	0.40	45.0	55.0



MAUDORE MINERALS Ltd

LG CR3 AC

Description			Analyse							
			De	À	Numéro	Longueur	Au_Final (g/t)	Ag_Final (ppm)	Cu_Final (ppm)	Zn_Final (ppm)
		<b>Pyrite 0.5%</b>	583.00	584.50	P296878	1.50	0.005	0.10	24.0	51.0
		Py 0.5% en grains et en alignement de grains (50%/50%)	584.50	586.00	P296879	1.50	0.005	0.10	20.0	47.0
			586.00	587.50	P296880	1.50	0.030	0.20	158.0	55.0
			587.50	589.00	P296881	1.50	0.040	0.50	399.0	76.0
589.00	593.00	Py01	589.00	590.50	P296882	1.50	0.650	1.50	273.0	132.0
		<b>Pyrite 1%</b>	590.50	592.00	P296884	1.50	0.010	0.10	85.0	98.0
		Py 1-2% en grains et en alignement de grains (50%/50%)								
601.90	602.10	VEI;100%;Qz Cb Cl Hm;;40*;; <b>Veine 100% Quartz Carbonate</b> <b>Chlorite Hématite 40°</b> Vn (100%), de Cb-Qz (50%-50%) avec ChL, Hm tr. Contacts nets concordants 40deg AC	605.50	607.00	P296885	1.50	0.060	0.20	66.0	60.0
605.80	617.00	Py02 <b>Pyrite 2%</b> Py 2% en grains finement disséminés  Excepté: 606.4-607: I1G 611.7-612.2: I1G								
606.40	607.00	I1G	607.00	608.50	P296887	1.50	0.110	0.20	161.0	52.0
		<b>Pegmatite 30°</b>	608.50	610.00	P296888	1.50	0.010	0.10	55.0	44.0
		Pegmatite hétérogène avec passage aplitique Couleur blanc-rose	610.00	610.50	P299116	0.50	0.331	0.25	306.0	50.0
		Minéraux de qz, mica, et feldspaths Pas de minéralisation Contacts nets discordants à 30deg AC	610.50	612.00	P296890	1.50	0.090	0.20	131.0	46.0
611.70	612.20	I1G	612.00	613.00	P296891	1.00	0.010	0.10	83.0	30.0
		<b>Pegmatite 30°</b>	613.00	614.50	P296892	1.50	0.035	0.20	70.0	32.0
		Pegmatite hétérogène avec passage aplitique Couleur blanc-rose Minéraux de qz, mica, et feldspaths Pas de minéralisation Contacts nets discordants à 30deg AC D'autres Vn de pegmatite autour inf. à 20cm	614.50	616.00	P296893	1.50	0.020	0.10	61.0	34.0
615.00	620.70	SIL+; Ch; Fk; BO-; PA-; CB-; SRtr	616.00	616.50	P296894	0.50	0.020	0.30	56.0	49.0

MAUDORE MINERALS Ltd

LG CSK AC

Description			Analyse							
			De	À	Numéro	Longueur	Au_Final (g/l)	Ag_Final (ppm)	Cu_Final (ppm)	Zn_Final (ppm)
		<p>Silicification forte; Chloritisation; Feldspath potassique; Biotisation faible; Paragonite faible; Carbonatation faible; Séricitisation tr</p> <p>Si+ pervasive; Chl moy pervasive ou en bandes; Ab- pFp; Bt- en bandes; Pa- en bandes; Cb- en Vnl ou bandes associée à Pa; Sr tr en Vnl et amas.</p>	616.50	617.00	P296895	0.50	0.005	0.10	40.0	43.0
617.00	623.50	<p>Pytr</p> <p><b>Pyrite tr</b></p> <p>Py tr en grains disséminés</p>	617.00	618.50	P296896	1.50	0.020	0.20	181.0	47.0
			618.50	620.00	P296897	1.50	0.030	0.30	102.0	41.0
			620.00	621.50	P296898	1.50	0.030	0.10	105.0	37.0
620.70	631.00	<p>SIL+; Chl; Fk; BO-; PA-; CB-; HM-</p> <p>Silicification forte; Chloritisation; Feldspath potassique; Biotisation faible; Paragonite faible; Carbonatation faible; Hématation faible</p> <p>Si+ pervasive; Chl moy pervasive ou en bandes; Ab- pFp; Bt- en bandes; Pa- en bandes; Cb- à localement moy. en Vnl ou bandes associée à Pa; Hm- voir localement moy en Vnl</p>	621.50	623.00	P296899	1.50	0.010	0.10	55.0	30.0
			623.00	624.00	P296900	1.00	1.160	1.65	505.0	60.5
623.50	624.00	<p>Py01</p> <p><b>Pyrite 1%</b></p> <p>Py 1% grains disséminés associés à brèche et Vn</p>								
624.00	652.50	<p>Pytr</p> <p><b>Pyrite tr</b></p> <p>Py tr en grains disséminés</p>	624.00	625.00	P296901	1.00	0.070	0.30	159.0	52.0
631.00	652.50	<p>SIL+; Chl; BO; Fk; CB-; SRtr</p> <p>Silicification forte; Chloritisation; Biotisation; Feldspath potassique; Carbonatation faible; Séricitisation tr</p> <p>Si+ pervasive; Chl et Bo moy pervasive</p>	631.00	631.90	P296903	0.90	0.030	0.10	333.0	64.0

MAUDORE MINERALS Ltd

18 C.B. AC

Description		Analyse								
		De	À	Numéro	Longueur	Au_Final (g/t)	Ag_Final (ppm)	Cu_Final (ppm)	Zn_Final (ppm)	
		ou en bandes; Ab- pFp; Cb- en Vnl; Sr tr en Vnl et amas.								
631.90	632.80	VEI;90%;Qz Cb Cl;40*;; <b>Veine 90% Quartz Carbonate Chlorite 40°</b> Vn (90%), Qz (60%) et Cb (40%), Chl tr. Contact sup. net discordant à 40deg AC, inf. net concordant à 40deg AC	631.90	633.00	P296904	1.10	0.005	0.10	31.0	25.0
			633.00	634.00	P296905	1.00	0.040	0.30	220.0	64.0
			641.50	643.00	P296907	1.50	0.090	0.50	96.0	28.0
			643.00	643.50	P299117	0.50	0.010	0.25	32.0	71.0
			643.50	644.50	P296909	1.00	0.020	0.10	44.0	27.0
			644.50	646.00	P296910	1.50	0.020	0.20	74.0	39.0
			646.00	647.50	P296911	1.50	0.160	0.10	31.0	44.0
			647.50	649.00	P296912	1.50	0.050	0.30	88.0	68.0
			649.00	650.50	P296913	1.50	0.030	0.20	109.0	50.0
			650.50	652.00	P296914	1.50	0.030	0.10	29.0	48.0
			652.00	653.50	P296915	1.50	0.190	0.30	109.0	45.0
652.50	692.30	V2-V3; T1 <b>Volcanite intermédiaire à mafique; Tuf à lapillis</b> Volcanite intermédiaire à mafique; Tufs à lapillis. Matrice à grains fins (pratiquement aphanitique) de couleur brune 10-15% de clastes gris moyens-verdâtre mm à cm, sub-arrondis généralement allongés dans le sens de la foliation Important rubanement, alternance de bandes mm à cm grise-verte à brunâtre. Forte foliation entre 35-40 deg tca marquée par l'allongement des clastes ou le rubanement de bandes de teintes légèrement différentes les unes des autres, altération Chl-Bo  Altération: 652.5-653.9: Si+ pervasive; Chl et Bo moy pervasive ou en bandes; Cb- en Vnl; Ab- pFp tr 653.9-658.3: Si+ pervasive; Bo+ pervasive ou en bandes; Chl moy pervasive ou en bandes 658.3-659.8: Cb+ pervasifs, Pa moy? pervasive, Si- 659.8-661.7: Si+ pervasive; Bo+ pervasive ou en bandes; Chl moy pervasive ou en bandes 661.7-671.6: Si+ pervasive, Chl et Bo moy pervasive	653.50	654.50	P296916	1.00	1.055	2.30	787.0	60.5

MAUDORE MINERALS Ltd

LB CS AC

Description	Analyse							
	De	À	Numéro	Longueur	Au_Final (g/t)	Ag_Final (ppm)	Cu_Final (ppm)	Zn_Final (ppm)
<p>ou en bandes; Cb- en patch 671.6-692.3: Si+ pervasive; Chl et Bo moy pervasive ou en bandes; Cb- en patch, Sr- en patch, localement Hm- en Vnl</p> <p>Minéralisation: 652.5-653.9: 1% Py en patchs de grains 653.9-656: 5% Py en alignement de grains et en bandes de 2-3cm automorphes 656-662: 1-2% de Py en grains disséminés 662-668.5: 1% Py en grains disséminés 668.5-683.5; Py tr en grains disséminés 683.5-686.5: Py 1% en grains disséminés et amas de grains, 50% sont allongés, 50% sont automorphes 686.5-692.3: Py tr en grains diss.</p> <p>Structure: 673-676: Frct-, localement sur 10cm blocs de 3 à 5cm 682-688.4: Frct-, blocs de 3-5cm</p> <p>Contact sup. et inf. progressif avec l'apparition (et disparition) des pFp sur environ 1m</p> <p>Excepté: 674.7-680.6: I2, pFp 690.7-692.7: I1B</p>								
<p>652.50      653.90      SIL+; Chl; BO; CB-; Fktr Silicification forte; Chloritisation; Blotisation; Carbonatation faible; Feldspath potassique tr Si+ pervasive; Chl et Bo moy pervasive ou en bandes; Cb- en Vnl; Ab- pFp tr</p>								
<p>652.50      653.90      Py01 Pyrite 1% 1% Py en patchs de grains</p>								
<p>653.90      658.30      SIL+; BO+; Chl Silicification forte; Blotisation</p>	654.50	655.00	P296917	0.50	2.260	5.50	2 600.0	109.0

MAUDORE MINERALS Ltd

LB CB AC

Description			Analyse							
			De	À	Numéro	Longueur	Au_Final (g/t)	Ag_Final (ppm)	Cu_Final (ppm)	Zn_Final (ppm)
		<b>forte; Chloritisation</b> Si+ pervasive; Bo+ pervasive ou en bandes; Chl moy pervasive ou en bandes	655.00	656.00	P296918	1.00	2.850	4.40	2 050.0	70.0
653.90	656.00	Py05 <b>Pyrite 5%</b> 5% Py en alignement de grains et en bandes de 2-3cm automorphes								
656.00	662.00	Py02 <b>Pyrite 2%</b> 1-2% de Py en grains disséminés	656.00	657.50	P296919	1.50	2.330	2.90	1 340.0	71.0
			657.50	659.00	P296920	1.50	3.395	2.40	1 075.0	306.0
658.30	659.80	CB+; PA; SIL- <b>Carbonatation forte; Paragonite;</b> <b>Silicification faible</b> Cb+ pervasifs, Pa moy? pervasive, Si-	659.00	660.50	P296921	1.50	58.550	8.00	1 030.0	312.0
659.80	661.70	SIL+; BO+; Chl <b>Silicification forte; Biotisation forte; Chloritisation</b> Si+ pervasive; Bo+ pervasive ou en bandes; Chl moy pervasive ou en bandes	660.50	661.50	P296922	1.00	2.100	2.70	1 220.0	84.0
			661.50	662.50	P296923	1.00	0.770	1.30	561.0	66.0
661.70	671.60	SIL+; Chl; BO; CB- <b>Silicification forte; Chloritisation;</b> <b>Biotisation; Carbonatation faible</b> Si+ pervasive, Chl et Bo moy pervasive ou en bandes; Cb- en patch								
662.00	668.50	Py01 <b>Pyrite 1%</b> 1% Py en grains disséminés	662.50	664.00	P296924	1.50	0.130	0.50	134.0	52.0
			664.00	665.50	P296925	1.50	0.600	1.20	507.0	67.0
			665.50	667.00	P296926	1.50	1.170	2.00	908.0	170.0
			667.00	667.50	P299118	0.50	2.170	6.00	2 620.0	129.0
			667.50	668.50	P296927	1.00	1.400	3.40	1 315.0	330.0
668.50	683.50	Pytr <b>Pyrite tr</b>	668.50	670.00	P296929	1.50	0.250	0.90	390.0	410.0
			670.00	671.50	P296931	1.50	0.250	0.20	103.0	36.0

MAUDORE MINERALS Ltd

LB CB AC

Description			Analyse							
			De	À	Numéro	Longueur	Au_Final (g/t)	Ag_Final (ppm)	Cu_Final (ppm)	Zn_Final (ppm)
		Py tr en grains disséminés	671.50	672.50	P296932	1.00	0.060	0.40	24.0	179.0
671.60	692.70	Excepté: 674.7-680.6: I2, pFp SiL+; Chl; BO; CB-; SR-; HMtr Silicification forte; Chloritisation; Biotisation; Carbonatation faible; Séricitisation faible; Hématitisation tr Si+ pervasive, Chl et Bo moy pervasive ou en bandes; Cb- en patch, Sr- en patch, localement Hm- en Vnl	672.50	673.50	P296933	1.00	0.080	0.40	76.0	121.0
			673.50	674.70	P296934	1.20	0.020	0.10	18.0	37.0
674.70	680.60	Excepté: 674.7-680.6: I2, pFp 690.7-692.7: I1B I2; pFp Intrusion Intermédiaire; Porphyre de Feldspath 30* Intrusion intermédiaire Sombre noir à mouchetage de pFp blancs à roses (Hm) environ 50% inférieurs à 0.5cm. Contacts 30deg AC nets concordants. Pas de minéralisation	680.50	682.00	P296935	1.50	0.040	0.20	56.0	43.0
			682.00	683.50	P296936	1.50	0.040	0.30	140.0	50.0
683.50	686.50	Py01 Pyrite 1% Py 1% en grains disséminés et amas de grains, 50% sont allongés, 50% sont automorphes	683.50	685.00	P296937	1.50	2.940	2.20	1 135.0	59.0
			685.00	686.50	P296939	1.50	1.170	2.60	1 140.0	231.0
686.50	697.70	Pytr Pyrite tr Py tr en grains diss.	686.50	688.00	P296940	1.50	0.010	0.10	53.0	37.0
			688.00	689.50	P296941	1.50	0.010	0.10	37.0	42.0
			689.50	690.80	P296942	1.30	0.010	0.20	28.0	45.0
690.70	692.70	Excepté: 690.7-692.7: I1B I1G Pegmatite 65* Pegmatite Couleur rose	691.70	693.00	P296943	1.30	0.010	0.20	29.0	31.0

MAUDORE MINERALS Ltd

LB CB AC

Description			Analyse							
			De	À	Numéro	Longueur	Au_Final (g/t)	Ag_Final (ppm)	Cu_Final (ppm)	Zn_Final (ppm)
692.30	711.00	Contacts net légèrement ondulant 65deg AC Pas de minéralisation V2-V3; MAS <b>Volcanite intermédiaire à mafique; Massif</b> Volcanite intermédiaire à mafique Massif homogène Couleur gris sombre Rares clastes visibles 2-3%. Pas de minéralisation  Allération: Si+ pervasiva, Chl+ pervasiva, Sr- en patchs et Vnl  Minéralisation: 692.3-697.7: Py tr en grains diss. 697.7-698.5: Py 1% au contact de l'intrusif  Contacts progressifs sur 50cm  Excepté: 698.5-706.2: I2, pFp								
692.70	711.00	SIL+; Chl+; SR- <b>Silicification forte; Chloritisation forte; Séricitisation faible</b> Si+ pervasiva, Chl+ pervasiva, Sr- en patchs et Vnl  Excepté: 698.5-706.2: I2, pFp	693.00	694.00	P296944	1.00	0.010	0.20	40.0	23.0
			694.00	694.50	P299119	0.50	0.014	0.25	79.0	59.0
			694.50	695.50	P296945	1.00	0.010	0.10	29.0	12.0
			695.50	697.00	P296946	1.50	0.020	0.45	18.5	46.5
			697.00	698.50	P296947	1.50	0.005	0.20	6.0	25.0
697.70	698.50	Py01 <b>Pyrite 1%</b> Py 1% au contact de l'intrusif								
698.50	706.20	I2; pFp <b>Intrusion intermédiaire; Porphyre de Feldspath 35*</b> Intrusion intermédiaire Sombre noir à mouchetage de pFp blancs à roses (Hm) environ 50% inférieurs à 0.5cm. Contacts 35deg AC nets concordants. Pas de minéralisation								

MAUDORE MINERALS Ltd

UB C13 AC

Description			Analyse							
			De	À	Numéro	Longueur	Au_Final (g/t)	Ag_Final (ppm)	Cu_Final (ppm)	Zn_Final (ppm)
711.00	756.00	V2-V3; TI	711.00	712.50	P296948	1.50	0.320	0.60	172.0	63.0
		Volcanite intermédiaire à mafique; Tuf à lapillis	712.50	713.50	P296949	1.00	0.960	0.70	154.0	56.0
		Volcanite intermédiaire à mafique; Tufs à lapillis.	713.50	715.00	P296950	1.50	1.650	0.75	173.0	50.0
		Matrice à grains fins (pratiquement aphanitique) de couleur brune	715.00	716.50	P296951	1.50	0.030	0.10	32.0	42.0
		10-15% de clastes gris moyens-verdâtre mm à cm.	716.50	718.00	P296952	1.50	0.020	0.10	19.0	27.0
		sub-arrondis généralement allongés dans le sens de la foliation	718.00	719.50	P296953	1.50	0.050	0.30	36.0	142.0
		Important rubanement, alternance de bandes mm à cm grise-verte à brunâtre.								
		Forte foliation entre 35-40 deg AC marquée par l'allongement des clastes ou le rubanement de bandes de teintes légèrement différentes les unes des autres, altération Chl-Bo								
		De 739 à 756, la roche ressemble à un V2V3 TI, mais clair (Pa*?), correspond soit à une altération, soit à une zone de transition entre V2V3 TI et V1 pQz TI								
		Altération:								
		711-719: Sr+ en bandes, Si moy pervasive, Chl- en clastes, Cb- en Vnl								
		719-730: Si+ pervasive, Chl moy en clastes, Bo- en clastes, Sr- en bandes ou Vn, Cb- en Vnl, rare pFp avec auréole de Chl autour								
		730-739: Si+ pervasive, Chl+ et Bo+ en clastes, Sr- en patchs associée à Cb-								
		739-756: Pa moy pervasive, Si- pervasive, Chl- et Bo- en clastes								
		Minéralisation:								
		711-719: Py 1% en bandes de Py automorphe de 2cm concordant, et en petits grains disséminés automorphes								
		719-727.5: Py tr à 0.5% en grains diss.								
		727.5-731: Py 0.5 à 1% en grains disséminés ou alignement de grains dans la foliation (50/50)								
		731.3-737: Py 2% en grains disséminés ou alignement de grains dans la foliation (50/50)								
		737-748.4: Py 0.5 à 1% en grains disséminés ou alignement de grains dans la foliation (50/50)								



MAUDORE MINERALS Ltd

LB CB #

Description	Analyse							
	Dé	À	Numéro	Longueur	Au_Final (g/t)	Ag_Final (ppm)	Cu_Final (ppm)	Zn_Final (ppm)
748.4-748.9: Py 0.5%, Sp tr en Vnl 741.9-756: Py 3% en grains disséminés ou alignement de grains dans la foliation (50/50)  Contact sup. progressif sur environ 1m, contact inf. flou localisé à l'apparition des pQz, vraisemblablement progressif de 739-756 (=zone de transition)								
711.00 719.00 SR+; SIL; Chl-; CB- Séricitisation forte; Silicification; Chloritisation faible; Carbonatation faible Sr+ en bandes, Si moy pervasive, Chl- en clastes, Cb- en Vnl								
711.00 719.00 Py01 Pyrite 1% Py 1% en bandes de Py automorphe de 2cm concordant, et en petits grains disséminés automorphes								
719.00 730.00 SIL+; Chl; BO-; SR-; CB-; Fktr Silicification forte; Chloritisation; Blotisation faible; Séricitisation faible; Carbonatation faible; Feldspath potassique tr Si+ pervasive, Chl moy en clastes, Bo- en clastes, Sr- en bandes ou Vn, Cb- en Vnl, rare pFp avec auréole de Chl autour	719.50	721.00	P296955	1.50	0.040	0.20	19.0	35.0
	721.00	722.50	P296956	1.50	0.040	0.10	61.0	37.0
	722.50	724.00	P296957	1.50	0.250	0.30	120.0	49.0
	724.00	725.50	P296958	1.50	0.060	0.20	72.0	39.0
	725.50	726.50	P296959	1.00	0.030	0.10	16.0	37.0
	726.50	727.00	P299120	0.50	0.036	0.25	41.0	67.0
	727.00	727.50	P296961	0.50	0.040	0.10	30.0	44.0
719.00 727.50 Pytr Pyrite tr Py tr à 0.5% en grains diss.								
727.50 731.00 Py00.5 Pyrite 0.5% Py 0.5 à 1% en grains disséminés ou alignement de grains dans la foliation (50/50)	727.50	729.00	P296963	1.50	0.020	0.10	33.0	34.0
	729.00	730.00	P296964	1.00	0.020	0.10	47.0	59.0
730.00 739.00 SIL+; Chl+; BO+; SR-; CB- Silicification forte; Chloritisation	730.00	731.50	P296965	1.50	0.160	0.30	226.0	90.0

MAUDORE MINERALS Ltd

LB CB AC

Description			Analyse							
			De	À	Numéro	Longueur	Au_Final (g/t)	Ag_Final (ppm)	Cu_Final (ppm)	Zn_Final (ppm)
		forte; Biotisation forte; Séricitisation faible; Carbonatation faible Si+ pervasive, Chl+ et Bo+ en clastes, Sr- en patchs associée à Cb-								
731.00	737.00	Py02 <b>Pyrite 2%</b> Py 2% en grains disséminés ou alignement de grains dans la foliation (50/50)	731.50	732.00	P296966	0.50	0.090	0.40	120.0	60.0
			732.00	733.00	P296967	1.00	0.240	0.40	269.0	56.0
			733.00	734.50	P296968	1.50	0.250	0.70	452.0	264.0
			734.50	736.00	P296969	1.50	0.210	0.95	256.0	568.0
			736.00	737.50	P296970	1.50	0.035	0.20	39.0	287.0
737.00	748.40	Py00.5 <b>Pyrite 0.5%</b> Py 0.5 à 1% en grains disséminés ou alignement de grains dans la foliation (50/50)	737.50	739.00	P296971	1.50	0.070	0.20	76.0	195.0
739.00	756.00	PA; SIL; Chl-; BO- <b>Paragonite; Silicification;</b> <b>Chloritisation faible; Biotisation faible</b> Pa moy pervasive, Si- pervasive, Chl- et Bo- en clastes	739.00	740.50	P296972	1.50	0.220	0.80	170.0	198.0
			740.50	742.00	P296973	1.50	0.160	0.30	199.0	60.0
			742.00	743.50	P296974	1.50	0.190	0.20	189.0	57.0
			743.50	745.00	P296975	1.50	0.220	0.30	193.5	77.5
			745.00	746.00	P296976	1.00	0.250	0.50	184.0	91.0
			746.00	747.00	P296978	1.00	0.070	0.10	15.0	58.0
			747.00	748.40	P296979	1.40	0.140	0.20	44.0	76.0
748.40	748.90	Py00.5; Sptr <b>Pyrite 0.5%; Sphalérite tr</b> Py 0.5%, Sp tr en Vnl	748.40	748.90	P296980	0.50	0.110	1.60	33.0	6 950.0
748.90	763.00	Py03 <b>Pyrite 3%</b> Py 3% en grains disséminés ou alignement de grains dans la foliation (50/50)	748.90	750.00	P296983	1.10	0.220	0.30	70.0	94.0
			750.00	751.00	P296984	1.00	0.590	0.90	467.0	270.0
			751.00	752.50	P296985	1.50	0.130	0.50	7.0	973.0
			752.50	754.00	P296986	1.50	0.320	0.70	171.0	154.0
			754.00	755.50	P296987	1.50	1.180	0.90	560.0	434.0
			755.50	757.00	P296988	1.50	0.950	0.50	45.0	282.0
756.00	830.50	V1C; pQz <b>Rhyodacite; Porphyre de Quartz</b>								

MAUDORE MINERALS Ltd

LB CG H

Description	Analyse							
	Dé	À	Numéro	Longueur	Au_Final (g/t)	Ag_Final (ppm)	Cu_Final (ppm)	Zn_Final (ppm)
<p>Volcanite felsique</p> <p>Couleur gris clair à gris moyen</p> <p>Roche homogène et à grains fins</p> <p>pQz bleu de taille moy. 0.5cm assez fréquents, environ 1%</p> <p>Foliation bien visible à 45deg AC</p> <p>Quelques clastes présentes mais c'est peut être juste des nuances d'altérations</p> <p>Allération:</p> <p>756-777.4: Pa+ pervasive, Si moy voir faible, Chl- et Bo- en bandes</p> <p>777.4-781: Si++</p> <p>781-802.5: Pa pervasive, Bo moy pervasive, Si moy voir faible, Chl- en bandes</p> <p>802.5-808.5: Pa+, Si moy voir faible, Chl- et Bo- en bandes</p> <p>805.5-811.7: Pa+, Si moy voir faible, Chl- et Bo- en bandes, Ep- pervasive et en Vnl</p> <p>811.7-823.7: Pa+, Bo+ pervasive, Si moy voir faible, Chl- en bandes</p> <p>823.7-830.5: Pa+, Si moy voir faible, Chl- et Bo- en bandes</p> <p>Minéralisation:</p> <p>756-763: Py 3% en grains disséminés ou alignement de grains dans la foliation (50/50)</p> <p>763-764.7: Py 5%, les grains semblent être dans Vnl d'un stockwerk</p> <p>764.7-788.5: Py 0.5% en grains disséminés ou alignement de grains dans la foliation (50/50)</p> <p>788.5-802.5: Py 1-2% en grains disséminés ou alignement de grains dans la foliation (50/50)</p> <p>802.5-808: Py 0.5% en grains disséminés</p> <p>808-809: Py 2% grains alignés dans la foliation</p> <p>809-812.5: Py 0.5% en grains disséminés</p> <p>812.5-823.6: Py 1% en grains disséminés</p> <p>823.6-826.9: Py 2% en grains diss</p> <p>826.9-827.5: Py 5% en grains finement diss</p> <p>827.5-830.5: Py 1-2% en grains finement diss</p>								

MAUDORE MINERALS Ltd

LB CR3 AC

Description	Analyse									
	De	À	Numéro	Longueur	Au_Final (g/t)	Ag_Final (ppm)	Cu_Final (ppm)	Zn_Final (ppm)		
<p>Veine:</p> <p>756.3-756.7: Vn (60%) à Qz, Cb et Chl. Py environ 1% en grains disséminés. Contacts concordants à 35deg AC</p> <p>775.2-776.4: Intervalles à Vn (50%) de Qz (90%), Chl et Cb. Py Ir en grains disséminés. Contacts concordants à 45deg AC</p> <p>Structure:</p> <p>758.2-760: Frct+. blocs de 0.5 à 2cm</p> <p>778-782 :Frct moy, localement Frct+ avec blocs de 2-3cm</p> <p>811-816.8: Frct moy, Blocs anguleux 10-20cm et forte fracturation dans l'axe de la carotte</p> <p>Contact sup. flou localisé à l'apparition des pQz, vraisemblablement progressif de 739-756 (=zone de transition), contact inf. non driller</p> <p>Excepté:</p> <p>771-773: 11F</p> <p>778.7-780.8: 11F</p> <p>783.6-785.8: 11G</p> <p>794.3-801.4: 12, pFp</p> <p>814-819.6: 12, pFp</p>										
756.00	777.40	PA+; SIL; Chl-; BO- <b>Paragonite forte; Silicification; Chloritisation faible; Biotisation faible</b> Pa+ pervasive, Si moy voir faible, Chl- et Bo- en bandes								
756.30	756.70	VEI:60%;Qz Cb Ct::35*;Py01; <b>Veine 60% Quartz Carbonate Chlorite 35* Pyrite 1%</b> Vn (60%) à Qz, Cb et Chl. Py environ 1% en grains disséminés. Contacts concordants à 35deg AC	757.00	758.50	P296989	1.50	0.347	0.40	35.5	210.5
758.20	760.00	FRC+ <b>Fracturation forte</b> Frct+. blocs de 0.5 à 2cm	758.50	760.00	P296990	1.50	0.300	0.10	17.0	61.0
			760.00	760.50	P299130	0.50	0.303	0.25	17.0	19.0
			760.50	761.50	P296991	1.00	0.170	0.10	17.0	29.0

MAUDORE MINERALS Ltd

LB MB AC

Description			Analyse							
			De	À	Numéro	Longueur	Au_Final (g/l)	Ag_Final (ppm)	Cu_Final (ppm)	Zn_Final (ppm)
763.00	764.70	Py05	761.50	763.00	P296992	1.50	0.160	0.10	23.0	34.0
		<b>Pyrite 5%</b>	763.00	764.00	P296993	1.00	0.380	0.20	22.0	36.0
		Py 5%, les grains semblent être dans Vnl d'un stockwerk	764.00	764.50	P296994	0.50	0.220	0.20	57.0	31.0
			764.50	766.00	P296995	1.50	0.520	0.20	44.0	32.0
764.70	788.50	Py00.5	766.00	767.50	P296996	1.50	0.140	0.10	26.0	48.0
		<b>Pyrite 0.5%</b>	767.50	769.00	P296997	1.50	0.120	0.10	16.0	20.0
		Py 0.5% en grains disséminés ou alignement de grains dans la foliation (50/50)	769.00	769.60	P296998	0.60	0.190	0.10	28.0	21.0
			769.60	771.10	P296999	1.50	0.320	0.10	40.0	36.0
Exceplé: 771-773: 11F 778.7-780.8: 11F 783.6-785.8: 11G										
771.00	773.00	11F	772.90	774.40	P297000	1.50	0.090	0.10	20.5	40.0
		<b>Alpîte 30°</b>	774.40	775.00	P262001	0.60	0.180	0.10	52.0	27.0
		Alpîte Gris blanc Quelques porphyres de micas visibles Contacts concordants 30deg AC	775.00	776.50	P262002	1.50	0.450	0.20	27.0	36.0
775.20	776.40	VEI;50%;Qz Cl Cb;45°;Pytr; <b>Veine 50% Quartz Chlorite</b> <b>Carbonate 45° Pyrite tr</b> Intervalles à Vn (50%) de Qz (90%), Chl et Cb. Py tr en grains disséminés. Contacts concordants à 45deg AC	776.50	777.50	P262004	1.00	0.040	0.20	40.0	77.0
777.40	781.00	SIL++ <b>Silicification intense</b> Si++ pervasive, recuit par les intrusifs?								
778.00	782.00	FRC <b>Fracturé(e)</b> Frct moy, localement Frct+ avec blocs de 2-3cm								
778.70	780.80	11F <b>Alpîte 45°</b> Alpîte	780.70	782.00	P262005	1.30	0.010	0.10	9.0	30.0

MAUDORE MINERALS Ltd

LB 017 AC

Description		Analyse								
		De	À	Numéro	Longueur	Au_Final (g/t)	Ag_Final (ppm)	Cu_Final (ppm)	Zn_Final (ppm)	
Gris blanc Pas de minéralisation Contacts à 45deg AC En périphérie zone ultrasilicifié (= zone de recuit?) de 77.4-778.7, et de 780.8-781										
781.00	802.50	PA; BO; SIL; Chl-	782.00	783.00	P262006	1.00	0.080	0.10	13.0	20.0
		<b>Paragonite; Blotisation;</b> <b>Silicification; Chloritisation faible</b>	783.00	784.00	P262007	1.00	0.020	0.10	7.0	28.0
		Pa pervasive, Bo moy pervasive, Si moy voir faible, Chl- en bandes								
783.60	785.80	IIG	784.00	785.50	P262008	1.50	0.005	0.20	4.0	10.0
		<b>Pegmatite 55*</b>	785.50	787.00	P262009	1.50	0.060	0.10	7.0	23.0
		Pegmatite	787.00	788.50	P262010	1.50	0.040	0.10	7.0	16.0
		Porphyres de micas et Qz Py tr en grain disséminés Contacts discordants à 55deg AC								
788.50	802.50	Py02	788.50	790.00	P262012	1.50	0.080	0.10	21.0	29.0
		<b>Pyrite 2%</b>	790.00	790.50	P299152	0.50	0.111	0.10	12.0	22.0
		Py 1-2% en grains disséminés ou alignement de grains dans la foliation (50/50)	790.50	791.50	P262013	1.00	0.110	0.10	15.0	31.0
			791.50	793.00	P262014	1.50	0.060	0.10	12.0	25.0
			793.00	794.50	P262015	1.50	0.040	0.10	8.0	58.0
		Excepté: 794.3-801.4: I2, pFp								
794.30	801.40	I2; pFp	801.40	802.50	P262016	1.10	0.020	0.10	9.0	90.0
		<b>Intrusion intermédiaire; Porphyre de Feldspath 35*</b> Intrusion intermédiaire Sombre noir à mouchetage de pFp blancs inférieurs à 0.5cm, environ 30%. Isotrope. Contacts 35deg AC nets concordants. Pas de minéralisation								
		De 797.1-798: Intrusion de pegmatite rose. Contacts 25deg AC								
802.50	808.50	PA+; SIL; Chl; BO-	802.50	803.50	P262018	1.00	0.020	0.10	12.0	28.0
		<b>Paragonite forte; Silicification;</b> <b>Chloritisation faible; Blotisation faible</b>	803.50	805.00	P262019	1.50	0.010	0.10	13.0	22.0
			805.00	805.50	P299153	0.50	0.014	0.10	6.0	13.0

MAUDORE MINERALS Ltd

LB C13 AC

Description			Analyse							
			De	À	Numéro	Longueur	Au_Final (g/t)	Ag_Final (ppm)	Cu_Final (ppm)	Zn_Final (ppm)
		Pa+, Si moy voir faible, Chl- et Bo- en clastes	805.50	807.00	P262020	1.50	0.020	0.10	9.0	38.0
			807.00	808.00	P262021	1.00	0.030	0.10	17.0	45.0
802.50	808.00	Py00.5 Pyrite 0.5% Py 0.5% en grains disséminés								
808.00	809.00	Py02 Pyrite 2% Py 2% grains alignés dans la foliation	808.00	809.50	P262022	1.50	0.015	0.10	7.5	23.0
808.50	811.70	PA+; SIL; Chl-; BO-; EP- Paragonite forte; Silicification; Chloritisation faible; Biotisation faible; Épidotisation faible Pa+, Si moy voir faible, Chl- et Bo- en bandes, Ep- pervasive et en Vnl								
809.00	812.50	Py00.5 Pyrite 0.5% Py 0.5% en grains disséminés	809.50	811.00	P262023	1.50	0.030	0.10	9.0	24.0
811.00	816.80	FRC Fracturé(e) Frct moy. Blocs anguleux 10-20cm et forte fracturation dans l'axe de la carotte	811.00	812.50	P262024	1.50	0.480	0.30	164.0	32.0
811.70	823.70	PA+; BO+; SIL; Chl- Paragonite forte; Biotisation forte; Silicification; Chloritisation faible Pa+, Bo+ pervasive, Si moy voir faible, Chl- en bandes								
812.50	823.60	Py01 Pyrite 1% Py 1% en grains disséminés	812.50	814.00	P262025	1.50	0.390	0.20	140.0	40.0
814.00	819.60	I2; pFp Intrusion Intermédiaire; Porphyre de	818.00	819.30	P299291	1.30	0.010	0.10	7.0	53.0

MAUDORE MINERALS Ltd

LB 03 AC

Description			Analyse							
			De	À	Numéro	Longueur	Au_Final (g/t)	Ag_Final (ppm)	Cu_Final (ppm)	Zn_Final (ppm)
<b>Feldspath 45*</b>			819.30	820.00	P262026	0.70	11.250	0.40	21.0	34.0
Intrusion intermédiaire			820.00	821.50	P262027	1.50	0.140	0.10	17.0	30.0
Sombre noir à rouge (Hm+) à mouchetage de pFp blancs-roses (Hm+) inférieurs à 0.5cm, environ 30%. Isotrope. Contacts 45deg AC nets concordants. Pas de minéralisation			821.50	823.00	P262029	1.50	0.720	0.30	98.0	187.0
			823.00	824.50	P262030	1.50	0.710	0.60	421.0	31.0
823.60	826.90	Py02 <b>Pyrite 2%</b> Py 2% en grains diss								
823.70	830.50	PA+; SIL; Chl-; BO- <b>Paragonite forte; Silicification;</b> <b>Chloritisation faible; Biotisation faible</b> Pa+, Si moy voir faible, Chl- et Bo- en bandes	824.50	826.00	P262031	1.50	0.540	0.80	524.0	44.0
			826.00	826.50	P299161	0.50	0.345	0.25	22.0	34.0
			826.50	827.50	P262032	1.00	0.960	1.20	796.0	59.0
826.90	827.50	Py05 <b>Pyrite 5%</b> Py 5% en grains finement diss								
827.50	830.50	Py02 <b>Pyrite 2%</b> Py 1-2% en grains finement diss	827.50	829.00	P262034	1.50	0.150	0.10	35.0	44.0
			829.00	830.50	P262036	1.50	0.210	0.20	44.0	61.0
830.50	Fin du sondage Nombre d'échantillons : 367 Nombre d'échantillons QAQC : 47 Longueur totale échantillonnée : 435.50									



MAUDORE MINERALS Ltd

185 CR3 AC

QAQC

De	A	Numéro	Référence	Longueur	Au (g/t)	Ag (ppm)	Cu (ppm)	Zn (ppm)
0.00	0.00	P296761	Blank	0.00	-0.01	-0.2	12	19
0.00	0.00	P262033	SK62	0.00	3.92	1.0	80	90
0.00	0.00	P296838	SQ48	0.00	29.50	1.1	63	89
0.00	0.00	P297806	Blank	0.00	0.01	-0.2	15	26
0.00	0.00	P296829	Blank	0.00	-0.01	-0.2	13	21
0.00	0.00	P296816	SK62	0.00	4.08	1.1	83	90
0.00	0.00	P296806	Blank	0.00	-0.01	-0.2	12	25
0.00	0.00	P296798	SH65	0.00	1.32	1.5	98	178
0.00	0.00	P296868	SH65	0.00	1.31	1.3	104	173
0.00	0.00	P296773	SQ48	0.00	29.00	1.0	65	90
0.00	0.00	P296858	Blank	0.00	-0.01	-0.2	13	19
0.00	0.00	P297891	SK62	0.00	4.07	1.0	83	95
0.00	0.00	P297884	Blank	0.00	-0.01	0.3	11	24
0.00	0.00	P297868	SH65	0.00	1.40	1.5	101	156
0.00	0.00	P297861	Blank	0.00	-0.01	0.3	12	19
0.00	0.00	P297849	SQ48	0.00	29.80	0.9	64	84
0.00	0.00	P297835	Blank	0.00	-0.01	-0.2	14	26
0.00	0.00	P297813	SK62	0.00	3.64	1.1	82	94
0.00	0.00	P296782	Blank	0.00	-0.01	-0.2	11	20
0.00	0.00	P262011	SH65	0.00	1.33	1.4	102	172
0.00	0.00	P296977	Blank	0.00	-0.01	-0.2	13	20
0.00	0.00	P296981	SQ48	0.00	28.00	1.2	62	96
0.00	0.00	P296883	Blank	0.00	-0.01	-0.2	14	22
0.00	0.00	P296954	Blank	0.00	-0.01	-0.2	12	20
0.00	0.00	P262003	Blank	0.00	-0.01	-0.2	14	20
0.00	0.00	P296928	Blank	0.00	-0.01	-0.2	14	22
0.00	0.00	P296962	SK62	0.00	3.89	1.2	89	103
0.00	0.00	P296906	SQ48	0.00	29.50	1.1	62	89
0.00	0.00	P296902	Blank	0.00	-0.01	-0.2	13	20
0.00	0.00	P296889	SK62	0.00	3.74	1.0	86	92
0.00	0.00	P262028	Blank	0.00	-0.01	-0.2	14	48
0.00	0.00	P296938	SH65	0.00	1.39	1.4	93	162
43.50	45.00	P297846	P297821	1.50	-0.01	-0.2	44	49

MAUDORE MINERALS Ltd

*LB CB A*

QAQC

De	À	Numéro	Référence	Longueur	Au (g/t)	Ag (ppm)	Cu (ppm)	Zn (ppm)
86.50	87.50	P297863	P297838	1.00	-0.01	-0.2	19	51
205.30	206.40	P297880	P297874	1.10	-0.01	0.2	19	176
276.00	277.50	P296755	P297895	1.50	0.01	-0.2	5	74
379.00	380.50	P296780	P296768	1.50	0.01	0.2	57	103
430.20	431.20	P296810	P296787	1.00	0.01	0.2	45	103
500.50	502.00	P296834	P296824	1.50	0.01	-0.2	31	59
521.00	522.50	P296862	P296843	1.50	-0.01	-0.2	12	69
572.50	574.00	P296886	P296871	1.50	0.06	0.3	198	74
613.00	614.50	P296908	P296892	1.50	0.04	0.2	65	30
653.50	654.50	P296930	P296916	1.00	0.98	2.2	725	60
695.50	697.00	P296960	P296946	1.50	0.01	-0.2	5	28
734.50	736.00	P296982	P296969	1.50	0.21	1.1	263	696
757.00	758.50	P262017	P296989	1.50	0.30	0.4	36	209
808.00	809.50	P262035	P262022	1.50	0.01	-0.2	7	22

## Géochimie

De	À	Numéro	Longueur	Description	SiO2 (%)	Al2O3 (%)	Fe2O3 (%)	CaO (%)
29.50	30.00	P299016	0.50		60.37	15.92	6.32	4.26
57.00	57.50	P299017	0.50		62.07	15.97	5.04	3.65
87.50	88.00	P299018	0.50		62.52	16.29	5.15	4.21
111.00	111.50	P299032	0.50		63.45	16.23	4.98	2.97
133.00	133.50	P299035	0.50		52.54	12.73	6.91	8.59
138.00	138.50	P299033	0.50		47.53	11.93	8.60	15.33
168.50	169.00	P299034	0.50		46.62	14.09	11.28	9.97
192.50	193.00	P299060	0.50		59.80	14.25	7.28	7.58
224.50	225.00	P299061	0.50		59.90	14.30	5.59	6.80
246.50	247.00	P299062	0.50		58.30	13.10	5.85	9.87
274.00	274.50	P299066	0.50		62.60	16.95	6.02	5.00
305.00	305.50	P299067	0.50		60.70	14.40	5.98	7.31
331.00	331.50	P299068	0.50		63.00	15.45	6.05	3.44
357.50	358.00	P299072	0.50		63.30	15.95	6.03	5.58
388.00	388.50	P299073	0.50		63.40	14.60	5.73	5.29
420.20	420.70	P299082	0.50		62.00	15.25	4.61	6.13
451.00	451.50	P299083	0.50		63.10	14.35	5.86	5.38
464.70	465.20	P299084	0.50		62.90	14.45	5.74	4.94
487.00	487.50	P299085	0.50		61.70	14.35	6.70	4.44
520.00	520.50	P299110	0.50		62.00	14.65	6.75	3.75
550.00	550.50	P299111	0.50		60.10	14.70	5.58	5.86
580.00	580.50	P299115	0.50		61.10	14.65	6.87	6.50
610.00	610.50	P299116	0.50		60.70	15.85	6.81	5.16
643.00	643.50	P299117	0.50		58.00	14.75	7.45	6.90
667.00	667.50	P299118	0.50		55.20	14.00	8.98	5.26
694.00	694.50	P299119	0.50		59.70	15.30	7.62	5.48
726.60	727.00	P299120	0.40		59.50	15.25	7.90	5.23
760.00	760.50	P299130	0.50		63.40	14.70	7.74	3.04
790.00	790.50	P299152	0.50		68.43	14.26	5.03	3.33
805.00	805.50	P299153	0.50		68.27	14.25	1.93	4.40
826.00	826.50	P299161	0.50		71.40	14.20	3.49	2.25

MAUDORE MINERALS Ltd

LB CB AC

Géochimie

De	À	Numéro	Longueur	MgO (%)	Na2O (%)	K2O (%)	Cr2O3 (%)	TiO2 (%)	MnO (%)	P2O5 (%)
29.50	30.00	P299016	0.50	4.09	5.12	0.62	0.02	0.61	0.09	0.25
57.00	57.50	P299017	0.50	2.88	4.63	1.89	0.01	0.54	0.07	0.16
87.50	88.00	P299018	0.50	2.72	4.99	1.21	0.01	0.48	0.08	0.15
111.00	111.50	P299032	0.50	2.69	5.70	0.98	-0.01	0.47	0.04	0.14
133.00	133.50	P299035	0.50	8.18	3.33	2.16	0.04	0.78	0.11	0.49
138.00	138.50	P299033	0.50	4.05	2.40	0.49	0.03	0.84	0.27	0.20
168.50	169.00	P299034	0.50	10.16	2.17	0.21	0.06	0.56	0.20	0.24
192.50	193.00	P299060	0.50	4.01	1.95	1.09	0.02	0.59	0.14	0.16
224.50	225.00	P299061	0.50	4.21	1.45	2.13	0.02	0.53	0.14	0.10
246.50	247.00	P299062	0.50	5.22	1.84	1.14	0.02	0.52	0.11	0.13
274.00	274.50	P299066	0.50	2.97	2.68	1.86	0.01	0.58	0.11	0.13
305.00	305.50	P299067	0.50	4.18	1.70	1.04	0.02	0.51	0.11	0.11
331.00	331.50	P299068	0.50	4.72	5.64	0.43	0.03	0.51	0.09	0.11
357.50	358.00	P299072	0.50	3.35	2.11	2.15	0.01	0.55	0.08	0.12
388.00	388.50	P299073	0.50	4.12	4.14	1.02	0.02	0.51	0.10	0.11
420.20	420.70	P299082	0.50	1.79	2.36	2.24	0.01	0.42	0.10	0.08
451.00	451.50	P299083	0.50	4.52	3.16	1.28	0.03	0.50	0.13	0.08
464.70	465.20	P299084	0.50	4.33	3.46	1.29	0.03	0.50	0.12	0.08
487.00	487.50	P299085	0.50	5.92	3.70	0.40	0.03	0.58	0.14	0.11
520.00	520.50	P299110	0.50	5.46	2.55	2.05	0.03	0.51	0.14	0.11
550.00	550.50	P299111	0.50	3.92	3.94	1.17	0.02	0.48	0.10	0.09
580.00	580.50	P299115	0.50	4.91	3.92	0.64	0.02	0.59	0.14	0.14
610.00	610.50	P299116	0.50	2.81	3.52	1.46	0.01	0.52	0.09	0.14
643.00	643.50	P299117	0.50	5.16	4.51	0.33	0.04	0.61	0.14	0.12
667.00	667.50	P299118	0.50	5.51	3.28	2.14	0.03	0.51	0.10	0.12
694.00	694.50	P299119	0.50	3.66	5.05	0.33	0.02	0.75	0.12	0.15
726.60	727.00	P299120	0.40	3.99	3.21	1.65	0.02	0.70	0.12	0.15
760.00	760.50	P299130	0.50	1.76	1.67	2.51	0.01	0.45	0.06	0.12
790.00	790.50	P299152	0.50	1.76	1.97	1.71	0.01	0.26	0.05	0.08
805.00	805.50	P299153	0.50	0.57	4.42	1.51	-0.01	0.20	0.03	0.10
826.00	826.50	P299161	0.50	1.19	1.68	2.33	-0.01	0.21	0.03	0.09

MAUDORE MINERALS Ltd

LB CB A

Géochimie

De	À	Numéro	Longueur	SrO (%)	BaO (%)	LOI (%)	Total (%)	Nb (ppm)	Ba (ppm)	Rb (ppm)
29.50	30.00	P299016	0.50	0.06	0.01	1.99	99.72	7	150	17
57.00	57.50	P299017	0.50	0.05	0.06	1.85	98.85	5	630	46
87.50	88.00	P299018	0.50	0.06	0.03	1.55	99.45	6	360	27
111.00	111.50	P299032	0.50	0.04	0.02	1.57	99.28	5	280	22
133.00	133.50	P299035	0.50	0.12	0.09	3.26	99.33	10	890	41
138.00	138.50	P299033	0.50	0.03	0.02	8.13	99.85	9	200	13
168.50	169.00	P299034	0.50	0.06	-0.01	4.45	100.05	7	80	10
192.50	193.00	P299060	0.50	0.03	0.02	2.32	99.24	5	191	27
224.50	225.00	P299061	0.50	0.02	0.03	3.61	98.83	5	296	56
246.50	247.00	P299062	0.50	0.03	0.02	4.45	100.60	4	147	30
274.00	274.50	P299066	0.50	0.04	0.04	2.59	101.58	6	359	68
305.00	305.50	P299067	0.50	0.05	0.02	2.40	98.53	4	222	26
331.00	331.50	P299068	0.50	0.04	0.02	1.60	101.13	4	145	13
357.50	358.00	P299072	0.50	0.05	0.04	2.57	101.89	4	343	51
388.00	388.50	P299073	0.50	0.03	0.03	1.49	100.59	4	289	25
420.20	420.70	P299082	0.50	0.05	0.05	3.77	98.86	3	437	60
451.00	451.50	P299083	0.50	0.04	0.04	1.23	99.70	4	328	28
464.70	465.20	P299084	0.50	0.03	0.04	1.27	99.18	4	372	28
487.00	487.50	P299085	0.50	0.09	0.02	2.14	100.32	5	146	16
520.00	520.50	P299110	0.50	0.03	0.06	2.78	100.87	4	470	76
550.00	550.50	P299111	0.50	0.04	0.03	3.22	99.25	3	267	24
580.00	580.50	P299115	0.50	0.05	0.02	1.47	101.02	4	198	16
610.00	610.50	P299116	0.50	0.04	0.06	1.63	98.80	4	493	52
643.00	643.50	P299117	0.50	0.04	0.01	2.11	100.17	4	106	12
667.00	667.50	P299118	0.50	0.02	0.04	3.75	98.94	3	327	68
694.00	694.50	P299119	0.50	0.09	0.01	0.55	98.83	7	92	11
726.60	727.00	P299120	0.40	0.03	0.02	1.71	99.48	7	210	64
760.00	760.50	P299130	0.50	0.03	0.03	3.93	99.45	4	273	76
790.00	790.50	P299152	0.50	0.03	0.03	2.77	99.72	3	250	55
805.00	805.50	P299153	0.50	0.02	0.04	4.00	99.73	4	230	57
826.00	826.50	P299161	0.50	0.03	0.09	2.40	99.39	4	755	65

MAUDORE MINERALS Ltd

LB CB AC

Géochimie

De	À	Numéro	Longueur	Zr (ppm)	Y (ppm)	Sr (ppm)	Au (ppm)	Ag (ppm)	Al (%)	As (ppm)
29.50	30.00	P299016	0.50	135	12	552	-0.005	-0.2	1.58	-2
57.00	57.50	P299017	0.50	125	10	473	0.005	-0.2	2.20	-2
87.50	88.00	P299018	0.50	127	10	608	-0.005	-0.2	1.69	-2
111.00	111.50	P299032	0.50	127	9	406	0.010	-0.2	1.64	-2
133.00	133.50	P299035	0.50	224	23	1 160	-0.005	-0.2	1.96	-2
138.00	138.50	P299033	0.50	102	20	299	-0.005	-0.2	1.00	-2
168.50	169.00	P299034	0.50	71	18	539	0.023	-0.2	1.82	-2
192.50	193.00	P299060	0.50	120	12	261	-0.005	-0.5		0
224.50	225.00	P299061	0.50	120	10	182	0.006	-0.5		-0.1
246.50	247.00	P299062	0.50	110	9	263	-0.005	-0.5		-0.1
274.00	274.50	P299066	0.50	140	14	310	0.007	-0.5		-0.1
305.00	305.50	P299067	0.50	110	11	453	0.012	-0.5		-0.1
331.00	331.50	P299068	0.50	110	10	337	-0.005	-0.5		-0.1
357.50	358.00	P299072	0.50	120	10	428	-0.005	-0.5		0
388.00	388.50	P299073	0.50	120	11	261	-0.005	-0.5		0
420.20	420.70	P299082	0.50	100	8	445	0.015	-0.5		0
451.00	451.50	P299083	0.50	110	10	303	-0.005	-0.5		0
464.70	465.20	P299084	0.50	120	10	294	-0.005	-0.5		0
487.00	487.50	P299085	0.50	120	11	765	-0.005	-0.5		-0.1
520.00	520.50	P299110	0.50	130	10	224	0.045	-0.5		1
550.00	550.50	P299111	0.50	110	9	335	0.020	-0.5		0
580.00	580.50	P299115	0.50	120	11	417	-0.005	-0.5		0
610.00	610.50	P299116	0.50	110	11	353	0.331	-0.5		0
643.00	643.50	P299117	0.50	100	11	345	0.010	-0.5		0
667.00	667.50	P299118	0.50	80	10	198	2.170	6.00		2
694.00	694.50	P299119	0.50	130	15	724	0.014	-0.5		0
726.60	727.00	P299120	0.40	140	14	263	0.036	-0.5		0
760.00	760.50	P299130	0.50	120	10	244	0.303	-0.5		1
790.00	790.50	P299152	0.50	138	10	342	0.111	-0.2	1.61	-2
805.00	805.50	P299153	0.50	153	10	287	0.014	-0.2	0.45	-2
826.00	826.50	P299161	0.50	150	9	260	0.345	-0.5		1

MAUDORE MINERALS Ltd

LB C/S AC

Géochimie

De	À	Numéro	Longueur	B (ppm)	Ba Econo (ppm)	Be (ppm)	Bi (ppm)	Ca (%)	Cd (ppm)	Co (ppm)
29.50	30.00	P299016	0.50	-10		-0.5	-2	0.85	-0.5	14
57.00	57.50	P299017	0.50	-10		-0.5	-2	1.10	-0.5	14
87.50	88.00	P299018	0.50	-10		-0.5	-2	0.94	-0.5	14
111.00	111.50	P299032	0.50	-10		-0.5	-2	0.81	-0.5	12
133.00	133.50	P299035	0.50	-10		-0.5	-2	2.66	-0.5	16
138.00	138.50	P299033	0.50	-10		-0.5	-2	7.30	-0.5	9
168.50	169.00	P299034	0.50	-10		-0.5	-2	2.73	-0.5	15
192.50	193.00	P299060	0.50				0		-0.5	22
224.50	225.00	P299061	0.50				0		-0.5	17
246.50	247.00	P299062	0.50				0		-0.5	17
274.00	274.50	P299066	0.50				0		-0.5	16
305.00	305.50	P299067	0.50				0		-0.5	18
331.00	331.50	P299068	0.50				0		-0.5	22
357.50	358.00	P299072	0.50				0		-0.5	20
388.00	388.50	P299073	0.50				0		-0.5	22
420.20	420.70	P299082	0.50				0		-0.5	13
451.00	451.50	P299083	0.50				0		-0.5	21
464.70	465.20	P299084	0.50				0		-0.5	23
487.00	487.50	P299085	0.50				0		-0.5	28
520.00	520.50	P299110	0.50				0		-0.5	21
550.00	550.50	P299111	0.50				0		-0.5	22
580.00	580.50	P299115	0.50				0		-0.5	26
610.00	610.50	P299116	0.50				1		-0.5	19
643.00	643.50	P299117	0.50				0		-0.5	31
667.00	667.50	P299118	0.50				6		0.6	22
694.00	694.50	P299119	0.50				0		-0.5	21
726.60	727.00	P299120	0.40				0		-0.5	13
760.00	760.50	P299130	0.50				2		-0.5	27
790.00	790.50	P299152	0.50	10		-0.5	-2	0.87	-0.5	10
805.00	805.50	P299153	0.50	-10		-0.5	-2	2.86	-0.5	2
826.00	826.50	P299161	0.50				1		-0.5	6

MAUDORE MINERALS Ltd

12 CB AC

Géochimie

De	A	Numéro	Longueur	Cr (ppm)	Cu (ppm)	Fe (%)	Ga (ppm)	Hg (ppm)	K (%)	La (ppm)
29.50	30.00	P299016	0.50	114	14	2.79	10	-1	0.07	20
57.00	57.50	P299017	0.50	69	38	3.22	10	1	1.17	10
87.50	88.00	P299018	0.50	67	3	2.94	10	-1	0.74	10
111.00	111.50	P299032	0.50	65	3	3.02	10	-1	0.56	10
133.00	133.50	P299035	0.50	127	11	2.45	10	-1	1.35	70
138.00	138.50	P299033	0.50	71	34	1.63	-10	-1	0.13	10
168.50	169.00	P299034	0.50	177	60	2.12	-10	-1	0.02	20
192.50	193.00	P299060	0.50	160	13		18	-0.005		20
224.50	225.00	P299061	0.50	150	9		20	0		17
246.50	247.00	P299062	0.50	130	1		17	-0.005		16
274.00	274.50	P299066	0.50	80	3		21	-0.005		16
305.00	305.50	P299067	0.50	140	63		18	0		13
331.00	331.50	P299068	0.50	220	19		20	0		12
357.50	358.00	P299072	0.50	130	32		23	0		14
388.00	388.50	P299073	0.50	230	11		20	-0.005		12
420.20	420.70	P299082	0.50	70	40		20	0		11
451.00	451.50	P299083	0.50	240	56		18	0		12
464.70	465.20	P299084	0.50	230	28		19	-0.005		13
487.00	487.50	P299085	0.50	280	41		19	-0.005		16
520.00	520.50	P299110	0.50	270	34		21	-0.005		11
550.00	550.50	P299111	0.50	170	275		18	-0.005		11
580.00	580.50	P299115	0.50	180	7		19	-0.005		15
610.00	610.50	P299116	0.50	110	306		21	-0.005		22
643.00	643.50	P299117	0.50	300	32		18	-0.005		11
667.00	667.50	P299118	0.50	230	2 620		21	0		11
694.00	694.50	P299119	0.50	180	79		20	-0.005		15
726.60	727.00	P299120	0.40	160	41		21	-0.005		16
760.00	760.50	P299130	0.50	100	17		19	-0.005		22
790.00	790.50	P299152	0.50	28	12	3.17	10	-1	0.42	10
805.00	805.50	P299153	0.50	5	6	1.18	-10	-1	0.09	10
826.00	826.50	P299161	0.50	40	22		19	-0.005		18



MAUDORE MINERALS Ltd

LB CB AC

Géochimie

De	À	Numéro	Longueur	Mg (%)	Mn (ppm)	Mo (ppm)	Na (%)	Ni (ppm)	P (ppm)	Pb (ppm)
29.50	30.00	P299016	0.50	1.52	263	1	0.07	64	1 070	-2
57.00	57.50	P299017	0.50	1.64	467	-1	0.07	46	670	-2
87.50	88.00	P299018	0.50	1.38	384	1	0.07	41	650	-2
111.00	111.50	P299032	0.50	1.43	218	-1	0.07	40	600	-2
133.00	133.50	P299035	0.50	2.08	373	-1	0.07	125	1 970	3
138.00	138.50	P299033	0.50	0.61	1 070	-1	0.09	42	860	2
168.50	169.00	P299034	0.50	1.81	299	-1	0.07	73	1 000	-2
192.50	193.00	P299060	0.50			1		88		7
224.50	225.00	P299061	0.50			-1		64		4
246.50	247.00	P299062	0.50			-1		67		3
274.00	274.50	P299066	0.50			-1		48		4
305.00	305.50	P299067	0.50			-1		58		4
331.00	331.50	P299068	0.50			-1		113		3
357.50	358.00	P299072	0.50			-1		58		4
388.00	388.50	P299073	0.50			-1		94		4
420.20	420.70	P299082	0.50			-1		23		4
451.00	451.50	P299083	0.50			-1		128		3
464.70	465.20	P299084	0.50			-1		119		2
487.00	487.50	P299085	0.50			-1		134		2
520.00	520.50	P299110	0.50			-1		121		-2
550.00	550.50	P299111	0.50			-1		90		3
580.00	580.50	P299115	0.50			-1		106		2
610.00	610.50	P299116	0.50			-1		41		7
643.00	643.50	P299117	0.50			-1		109		4
667.00	667.50	P299118	0.50			-1		97		19
694.00	694.50	P299119	0.50			-1		67		2
726.60	727.00	P299120	0.40			-1		62		-2
760.00	760.50	P299130	0.50			-1		43		2
790.00	790.50	P299152	0.50	0.82	247	-1	0.11	33	350	-2
805.00	805.50	P299153	0.50	0.20	152	1	0.05	5	420	4
826.00	826.50	P299161	0.50			22		6		4

MAUDORE MINERALS Ltd

LB CB A

Géochimie

De	À	Numéro	Longueur	S (%)	Sb (ppm)	Sc (ppm)	Th (ppm)	Sr Econo (ppm)	Tl (%)	Tl (ppm)
29.50	30.00	P299016	0.50	0.03	-2	4	-20		0.11	-10
57.00	57.50	P299017	0.50	0.03	-2	5	-20		0.21	-10
87.50	88.00	P299018	0.50	0.01	-2	5	-20		0.16	-10
111.00	111.50	P299032	0.50	-0.01	-2	6	-20		0.14	-10
133.00	133.50	P299035	0.50	0.01	-2	3	20		0.26	-10
138.00	138.50	P299033	0.50	-0.01	-2	5	-20		0.10	-10
168.50	169.00	P299034	0.50	-0.01	-2	3	-20		0.05	-10
192.50	193.00	P299060	0.50	0.02	-0.05	15	2			-0.5
224.50	225.00	P299061	0.50	0.01	-0.05	12	2			-0.5
246.50	247.00	P299062	0.50	0.01	-0.05	12	2			-0.5
274.00	274.50	P299066	0.50	-0.01	-0.05	10	2			-0.5
305.00	305.50	P299067	0.50	0.05	-0.05	12	2			-0.5
331.00	331.50	P299068	0.50	0.01	-0.05	12	2			-0.5
357.50	358.00	P299072	0.50	0.01	-0.05	9	2			-0.5
388.00	388.50	P299073	0.50	-0.01	-0.05	10	2			-0.5
420.20	420.70	P299082	0.50	0.22	-0.05	7	1			-0.5
451.00	451.50	P299083	0.50	0.10	-0.05	12	2			-0.5
464.70	465.20	P299084	0.50	0.09	-0.05	11	2			-0.5
487.00	487.50	P299085	0.50	0.06	-0.05	13	2			-0.5
520.00	520.50	P299110	0.50	0.10	-0.05	10	2			-0.5
550.00	550.50	P299111	0.50	0.12	-0.05	11	2			-0.5
580.00	580.50	P299115	0.50	0.14	-0.05	12	2			-0.5
610.00	610.50	P299116	0.50	1.28	-0.05	11	3			-0.5
643.00	643.50	P299117	0.50	0.13	-0.05	17	1			-0.5
667.00	667.50	P299118	0.50	1.47	-0.05	14	1			-0.5
694.00	694.50	P299119	0.50	0.10	0	12	2			-0.5
726.60	727.00	P299120	0.40	0.11	-0.05	11	2			-0.5
760.00	760.50	P299130	0.50	3.55	-0.05	8	2			-0.5
790.00	790.50	P299152	0.50	2.09	-2	3	-20		0.06	-10
805.00	805.50	P299153	0.50	0.76	-2	1	-20		0.02	-10
826.00	826.50	P299161	0.50	1.43	-0.05	2	2			-0.5

MAUDORE MINERALS Ltd

LB CP A

Géochimie

De	À	Numéro	Longueur	U (ppm)	V (ppm)	W (ppm)	Zn (ppm)
29.50	30.00	P299016	0.50	-10	55	-10	49
57.00	57.50	P299017	0.50	-10	63	-10	69
87.50	88.00	P299018	0.50	-10	61	-10	58
111.00	111.50	P299032	0.50	-10	66	-10	28
133.00	133.50	P299035	0.50	-10	60	-10	53
138.00	138.50	P299033	0.50	-10	38	-10	31
168.50	169.00	P299034	0.50	-10	39	-10	25
192.50	193.00	P299060	0.50	0	117	-1	111
224.50	225.00	P299061	0.50	0	105	-1	110
246.50	247.00	P299062	0.50	0	107	1	116
274.00	274.50	P299066	0.50	1	99	-1	103
305.00	305.50	P299067	0.50	0	109	1	71
331.00	331.50	P299068	0.50	0	106	-1	70
357.50	358.00	P299072	0.50	0	138	-1	67
388.00	388.50	P299073	0.50	0	130	-1	64
420.20	420.70	P299082	0.50	0	81	-1	86
451.00	451.50	P299083	0.50	1	104	-1	161
464.70	465.20	P299084	0.50	1	106	-1	121
487.00	487.50	P299085	0.50	1	125	1	163
520.00	520.50	P299110	0.50	1	116	-1	159
550.00	550.50	P299111	0.50	0	101	-1	78
580.00	580.50	P299115	0.50	1	122	-1	96
610.00	610.50	P299116	0.50	1	115	-1	50
643.00	643.50	P299117	0.50	0	149	-1	71
667.00	667.50	P299118	0.50	0	134	-1	129
694.00	694.50	P299119	0.50	0	133	-1	59
726.60	727.00	P299120	0.40	0	131	-1	67
760.00	760.50	P299130	0.50	1	95	3	19
790.00	790.50	P299152	0.50	-10	22	-10	22
805.00	805.50	P299153	0.50	-10	3	-10	13
826.00	826.50	P299161	0.50	0	29	1	34